

جمهوری اسلامی ایران  
معاونت برنامه‌ریزی و نظارت راهبردی رئیس جمهور

# راهنمای روش‌ها و شیوه‌های بهسازی لرزه‌ای ساختمان‌های موجود و جزئیات اجرایی

نشریه شماره ۵۲۴

معاونت نظارت راهبردی  
دفتر نظام فنی اجرایی

[nezamfanni.ir](http://nezamfanni.ir)

۱۳۸۹



(J)

بسمه تعالیٰ

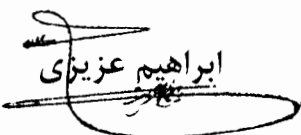
ریاست جمهوری

معاون برنامه‌ریزی و نظارت راهبردی رئیس جمهور

|   |            |  |
|---|------------|--|
| شماره:  | ۱۰۰/۱۰۶۷۱۳ | بخشنامه به دستگاه‌های اجرایی، مهندسان مشاور و پیمانکاران |
| تاریخ:  | ۸۹/۱۲/۲۵   |  |
| موضوع: راهنمای روش‌ها و شیوه‌های بهسازی لرزه‌ای ساختمان‌های موجود و جزئیات اجرایی |            |  |

به استناد ماده (۲۳) قانون برنامه و بودجه و ماده (۶) آیین‌نامه استانداردهای اجرایی طرح‌های عمرانی - مصوب سال ۱۳۵۲ و در چارچوب نظام فنی و اجرایی کشور (موضوع تصویب‌نامه شماره ۴۲۳۳۹/ت ۱۳۴۹۷-۱۳۸۵/۴/۲۰ هـ مورخ ۱۳۴۹/۴/۲۰ هـ هیأت محترم وزیران)، به پیوست نشریه شماره ۵۲۴ دفتر نظام فنی اجرایی، با عنوان «راهنمای روش‌ها و شیوه‌های بهسازی لرزه‌ای ساختمان‌های موجود و جزئیات اجرایی» از نوع گروه سوم ابلاغ می‌شود.

دستگاه‌های اجرایی، مهندسان مشاور، پیمانکاران و عوامل دیگر می‌توانند از این نشریه به عنوان راهنمای استفاده کنند و در صورتی که روش‌ها، دستورالعمل‌ها و راهنمای بهتری در اختیار داشته باشند، با ارسال نسخه‌ای از آن به دفتر نظام فنی اجرایی رعایت مفاد این بخشنامه الزامی نیست.



ابراهیم عزیزی



## اصلاح مدارک فنی

### خواننده گرامی

دفتر نظام فنی اجرایی معاونت برنامه‌ریزی و نظارت راهبردی رییس جمهور، با استفاده از نظر کارشناسان برجسته مبادرت به تهیه این نشریه کرده و آن را برای استفاده به جامعه مهندسی کشور عرضه نموده است. با وجود تلاش فراوان، این اثر مصون از ایرادهایی نظیر غلطهای مفهومی، فنی، ابهام، ایهام و اشکالات موضوعی نیست.

از این‌رو، از شما خواننده گرامی صمیمانه تقاضا دارد در صورت مشاهده هرگونه ایراد و اشکال فنی مراتب را به صورت زیرگزارش فرمایید:

- ۱- شماره بند و صفحه موضوع مورد نظر را مشخص کنید.
- ۲- ایراد مورد نظر را به صورت خلاصه بیان دارید.
- ۳- در صورت امکان متن اصلاح شده را برای جایگزینی ارسال نمایید.
- ۴- نشانی خود را برای تماس احتمالی ذکر فرمایید.

کارشناسان این دفتر نظرهای دریافتی را به دقت مطالعه نموده و اقدام مقتضی را معمول خواهند داشت.  
پیش‌آپیش از همکاری و دقت نظر جنابعالی قدردانی می‌شود.

نشانی برای مکاتبه: تهران، میدان بهارستان، خیابان صفی‌علی‌شاه، مرکز تلفن ۳۳۲۷۱، دفتر نظام  
فنی اجرایی  
Email: [info@nezamfanni.ir](mailto:info@nezamfanni.ir) web: [nezamfanni.ir](http://nezamfanni.ir)



## پیشگفتار

نظام فنی و اجرایی کشور براساس مصوبه شماره ۱۳۸۵/۴۲۰ ت ۳۳۴۹۷ ه، مورخ ۱۳۸۵/۴/۲۰ هیات محترم وزیران به کارگیری معیارها، استانداردها و ضوابط فنی در مراحل تهیه و اجرای طرح و نیز توجه لازم به هزینه‌های نگهداری و بهره‌برداری در قیمت تمام شده طرح‌ها را مورد تأکید جدی قرار داده است.

بهسازی لرزه‌ای از شاخه‌های نوین علم عمران می‌باشد که از چند دهه قبل در کشورهای پیشرفته صنعتی مورد توجه قرار گرفته است و در سالهای اخیر با توجه به خسارات وارد در اثر زلزله‌های گذشته، در کشور ما نیز اهمیت ویژه‌ای به خود اختصاص داده است. در زمینه ارزیابی لرزه‌ای ساختمان‌ها، نشریه شماره ۳۶۰ معاونت برنامه‌ریزی و نظارت راهبردی رئیس جمهور تحت عنوان "دستورالعمل بهسازی لرزه‌ای ساختمان‌های موجود" با اقتباس از مدارک معتبر بین‌المللی و تجربیات داخلی منتشر شده است، ولی آنچه که برای مهندسین مشاور اهمیت دارد این است که پس از ارزیابی و شناسایی صحفه‌ای سازه بتوانند با روش‌های صحیح، علمی و در عین حال اقتصادی این ضعف‌ها را مرتفع سازند. از طرفی جزئیات بهسازی تا حدودی به عنوان رازی در دل مهندسین مجبوب و باتجربه بوده و لذا تهییه راهنمایی برای انتقال این تجربیات و ارتقای دانش طراحی و اجرایی مهندسین جامعه امری ضروری به نظر می‌رسید.

هدف این راهنمای ارائه مجموعه‌ای از تجربیات داخلی و خارجی به منظور بهسازی لرزه‌ای ساختمانهای موجود می‌باشد که در سه بخش معرفی راهبردهای بهسازی، راهکارهای بهسازی موضعی و بهسازی سیستم سازه‌ای ارائه شده است.

با همه‌ی تلاش انجام‌شده قطعاً هنوز کاستی‌هایی در متن موجود است که إنشاء... کاربرد عملی و در سطح وسیع این نشریه توسط مهندسان موجبات شناسایی و برطرف نمودن آن‌ها را فراهم خواهد نمود.

در پایان، از تلاش و جدیت سرکار خانم مهندس بهنائز پورسید و کارشناسان دفتر نظام فنی اجرایی همچنین شرکت تدبیر ساحل پارس مجری محترم طرح تشکر و قدردانی می‌نماید. امید است شاهد توفيق روزافزون همه‌ی این بزرگواران در خدمت به مردم شریف ایران اسلامی باشیم.

### معاون نظارت راهبردی

۱۳۸۹

## مجري طرح

شرکت مهندسین مشاور تدبیر ساحل پارس

### اعضای کارگروه تنظیم و تدوین به ترتیب حروف الفبا:

آقای مهندس آرش برخوردار

آقای مهندس منصور بیات

آقای مهندس سید محسن شبانکاره

آقای مهندس شاپور طاحونی

آقای مهندس مجید رضائی

آقای مهندس مهدی فضلی

خانم لیلا سلمه

خانم مینا کوشکی

### گروه مدیریت و راهبری پروژه به ترتیب حروف الفبا:

خانم مهندس فرزانه آقا رمضانعلی

آقای مهندس رضا اسفندیاری صدق

آقای مهندس فرزاد پارسا

آقای مهندس علی تبار

آقای مهندس حمیدرضا خاشعی

آقای مهندس حامد سرمست

آقای مهندس علیرضا فلسفی

## فهرست

### بخش اول - معرفی

#### فصل ۱ - راهبردهای بهسازی

##### ۱-۱ - کلیات

۵

##### ۲-۱ - روش ارزیابی براساس نسبت ظرفیت به نیاز سازه

۵

###### ۲-۱-۱ - منحنی ظرفیت و طیف ظرفیت

۷

###### ۲-۲-۱ - طیف نیاز

۸

###### ۲-۳-۱ - نقطه عملکردی و جابجایی هدف سازه

۹

###### ۲-۴-۱ - رفتار یا عملکرد هدف

۹

##### ۳-۱ - بهسازی سازه‌ها

۱۰

##### ۴-۱ - راهبردهای بهسازی

۱۲

###### ۴-۱-۱ - راهبرد اصلاح موضعی اجزا

۱۴

###### ۴-۱-۲ - راهبرد افزایش مقاومت و سختی جانبی سازه

۱۵

###### ۴-۱-۳ - راهبرد کاهش نیاز ساختمان

۱۶

###### ۴-۱-۴ - کاهش جرم ساختمان

۱۶

###### ۴-۲-۱ - سیستم‌های جداسازی لرزه‌ای

۱۸

###### ۴-۳-۱ - سیستم‌های غیر فعال اتلاف انرژی (میراگرها)

### بخش دوم - بهسازی موضعی

#### فصل دوم - راهکارهای اصلاح موضعی اجزا

##### ۱-۱ - کاشت پیچ و میلگرد

۲۵

###### ۱-۱-۱ - مقدمه

۲۵

###### ۱-۱-۲ - کاشت با استفاده از پایه سیمانی

۲۵

###### ۱-۱-۳ - کاشت با استفاده از مواد اپوکسی

۲۸

###### ۱-۱-۳-۱ - مقاومت کششی و برشی پیچ یا میلگرد کاشته شده با چسب اپوکسی

۲۸

###### ۱-۱-۲ - ضرایب اصلاح

۳۰

###### ۱-۲ - کاشت به کمک مهار مکانیکی

|    |   |
|----|---|
| ۳۱ | مثال ۱-۱-۲                                      |
| ۳۵ | <b>۲-۲- راهکارهای بهسازی شالوده و پی</b>        |
| ۳۵ | ۱-۲-۲- معرفی                                    |
| ۳۶ | ۲-۲-۲- مشکلات مقاومسازی شالوده                  |
| ۳۶ | ۲-۲-۳- انواع راهکارهای رفع عیوب شالوده          |
| ۳۶ | ۴-۲-۲- راهکارهای بهسازی شالوده و پی             |
| ۳۷ | ۱-۴-۲-۲- راهکارهای بهسازی شالوده                |
| ۴۴ | ۲-۴-۲-۲- راهکارهای بهسازی پی (بهسازی ژئوتکنیکی) |
| ۴۹ | مثال ۱-۲-۲                                      |
| ۵۳ | <b>۳-۲- راهکارهای بهسازی دال</b>                |
| ۵۳ | ۱-۳-۲- انواع راهکارهای تقویت دال                |
| ۵۳ | ۱-۱-۳-۲- تعمیر موضعی                            |
| ۵۳ | ۲-۱-۳-۲- افزایش ضخامت دال                       |
| ۵۶ | ۳-۱-۳-۲- اضافه کردن تیرک فولادی                 |
| ۵۷ | ۴-۱-۳-۲- اضافه نمودن نوارهای فولادی             |
| ۵۸ | ۵-۱-۳-۲- استفاده از مصالح FRP                   |
| ۶۳ | ۶-۱-۳-۲- مقاومسازی اتصال دال به دیوار برشی      |
| ۶۵ | ۷-۱-۳-۲- بهبود عملکرد دیافراگمی دال             |
| ۶۶ | مثال ۱-۳-۲                                      |
| ۷۱ | <b>۴-۳- راهکارهای بهسازی تیرها</b>              |
| ۷۱ | ۱-۴-۲- تیرهای بتن مسلح                          |
| ۷۲ | ۱-۱-۴-۲- روکش بتن مسلح                          |
| ۷۴ | ۱-۴-۲- مثال                                     |
| ۷۹ | ۲-۱-۴-۲- روکش فولادی                            |
| ۸۰ | ۲-۴-۲- مثال                                     |
| ۸۴ | ۳-۱-۴-۲- استفاده از مصالح FRP                   |
| ۸۴ | ۱-۳-۱-۴-۲- تقویت خمشی تیر با مصالح FRP          |
| ۸۵ | ۱-۱-۳-۱-۴-۲- فرضیات                             |
| ۸۵ | ۲-۱-۳-۱-۴-۲- مقاومت برشی مقطع                   |
| ۸۶ | ۳-۱-۳-۱-۴-۲- کرنش لایه زیرین بتن موجود          |

|     |   |               |
|-----|---|---------------|
| ۸۶  | ضرایب جزئی اینمی  | -۴-۱-۳-۱-۴-۲  |
| ۸۶  | بررسی معایب مقاوم سازی خمشی تیرها با مصالح FRP                  | -۵-۱-۳-۱-۴-۲  |
| ۹۰  | FRP در مصالح کرنش   | -۶-۱-۳-۱-۴-۲  |
| ۹۰  | FRP در مصالح تنش  | -۷-۱-۳-۱-۴-۲  |
| ۹۱  | مقاومت نهایی تیرهای مستطیلی                                     | -۸-۱-۳-۱-۴-۲  |
| ۹۲  | مقاومت نهایی تیرهای مستطیلی دارای فولاد فشاری                   | -۹-۱-۳-۱-۴-۲  |
| ۹۲  | مقاومت نهایی تیرهای T شکل                                       | -۱۰-۱-۳-۱-۴-۲ |
| ۹۳  | تقویت برشی  | -۲-۳-۱-۴-۲    |
| ۹۷  | محدودیت های تقویت برشی  | -۱-۲-۳-۱-۴-۲  |
| ۹۷  | حداقل تقویت برشی  | -۲-۲-۳-۱-۴-۲  |
| ۹۷  | حداقل تقویت برشی  | -۳-۲-۳-۱-۴-۲  |
| ۹۷  | افزایش مقاومت موضعی تیرهای دارای سوراخ                          | -۳-۳-۱-۴-۲    |
| ۹۷  | راهکارهای اجرایی برای رفع معایب FRP                             | -۴-۳-۱-۴-۲    |
| ۹۸  | اعمال سیستم مهاربندی در انتهای لایه FRP                         | -۱-۴-۳-۱-۴-۲  |
| ۹۹  | اعمال سیستم پیش تنیدگی در لایه FRP                              | -۲-۴-۳-۱-۴-۲  |
| ۱۰۱ | مثال ۳-۴-۲  |               |
| ۱۰۳ | مثال ۴-۴-۲  |               |
| ۱۰۶ | مثال ۵-۴-۲  |               |
| ۱۰۸ | -۴-۱-۴-۲ استفاده از پیش تنیدگی خارجی در تیر بتنی                |               |
| ۱۰۹ | مثال ۶-۴-۲  |               |
| ۱۱۱ | تیرهای فولادی -۲-۴-۲  |               |
| ۱۱۲ | تقویت با روکش فولادی -۱-۲-۴-۲                                   |               |
| ۱۱۲ | اضافه نمودن ورق های موazی با جان تیر -۲-۲-۴-۲                   |               |
| ۱۱۳ | اضافه نمودن سخت کننده های جان -۳-۲-۴-۲                          |               |
| ۱۱۳ | مثال ۷-۴-۲  |               |
| ۱۱۵ | -۴-۲-۴-۲ استفاده از روکش بتنی برای افزایش مقاومت تیرهای فلزی    |               |
| ۱۱۵ | -۵-۲-۴-۲ استفاده از پیش تنیدگی خارجی برای مقاوم سازی تیر فولادی |               |
| ۱۱۷ | مثال ۸-۴-۲  |               |
| ۱۱۹ | <b>۵-۲- راهکارهای بهسازی ستون</b>                               |               |
| ۱۱۹ | -۱-۵-۲ - بهسازی ستون های بتن مسلح                               |               |
| ۱۲۰ | -۱-۱-۵-۲ - روش های بهسازی ستون های مسلح                         |               |

|     |   |             |
|-----|---|-------------|
| ۱۲۱ | استفاده از روکش بتنی  | ۱-۱-۵-۲     |
| ۱۲۷ |   | مثال ۱-۵-۲  |
| ۱۳۰ | روکش فولادی   | ۲-۱-۵-۲     |
| ۱۳۶ |   | مثال ۲-۵-۲  |
| ۱۳۸ | استفاده از الیاف مسطح پلاستیکی FRP                                | ۳-۱-۵-۲     |
| ۱۴۱ | مقاومسازی ستون‌های گرد کوتاه تحت فشار خالص                        | ۱-۳-۱-۱-۵-۲ |
| ۱۴۳ | ستون‌های مستطیلی کوتاه تحت فشار خالص                              | ۲-۳-۱-۱-۵-۲ |
| ۱۴۵ | تقویت برشی برای اعضای فشاری                                       | ۳-۳-۱-۱-۵-۲ |
| ۱۴۹ | محدودیت‌های مقاومسازی برای ظرفیت بار محوری                        | ۴-۳-۱-۱-۵-۲ |
| ۱۵۰ |   | مثال ۳-۵-۲  |
| ۱۵۲ |   | مثال ۴-۵-۲  |
| ۱۵۳ |   | مثال ۵-۵-۲  |
| ۱۵۵ |   | مثال ۶-۵-۲  |
| ۱۵۷ | بهسازی ستون‌های فولادی  | ۲-۵-۲       |
| ۱۵۸ | اضافه نمودن ورق‌های پوششی به بال ستون                             | ۱-۲-۵-۲     |
| ۱۵۹ | اضافه کردن ورق‌های موازی با جان ستون و تبدیل مقطع به شکل جعبه‌ای  | ۲-۲-۵-۲     |
| ۱۵۹ |   | مثال ۷-۵-۲  |
| ۱۶۰ | استفاده از روکش بتنی  | ۳-۲-۵-۲     |
| ۱۶۱ | محدودیت‌ها  | ۱-۳-۲-۵-۲   |
| ۱۶۲ | مقاومت فشاری  | ۲-۳-۲-۵-۲   |
| ۱۶۳ | مقاومت کششی   | ۳-۳-۲-۵-۲   |
| ۱۶۳ | مقاومت برشی   | ۴-۳-۲-۵-۲   |
| ۱۶۴ | انتقال بار  | ۵-۳-۲-۵-۲   |
| ۱۶۵ | جزییات آرماتوربندی اعضای محوری محاط در بتن                        | ۶-۳-۲-۵-۲   |
| ۱۶۵ | مقاومت برشگیرها   | ۷-۳-۲-۵-۲   |
| ۱۶۶ | پر نمودن ستون فولادی با بتن                                       | ۴-۲-۵-۲     |
| ۱۶۶ | محدودیت‌ها  | ۱-۴-۲-۵-۲   |
| ۱۶۶ | مقاومت فشاری  | ۲-۴-۲-۵-۲   |
| ۱۶۷ | مقاومت کششی   | ۳-۴-۲-۵-۲   |
| ۱۶۷ | مقاومت برشی   | ۴-۴-۲-۵-۲   |
| ۱۶۷ | انتقال بار  | ۵-۴-۲-۵-۲   |
| ۱۶۸ | ترکیب فشار و خمش در اعضای مختلط محاط در بتن و اعضای پر شده با بتن | ۵-۲-۵-۲     |

|            |  |
|------------|--|
| ۱۶۸        | ۱-۵-۲-۵-۲- محاسبه اندرکنش و ظرفیت خمینی                      |
| ۱۶۹        | مثال ۸-۵-۲   |
| ۱۷۱        | مثال ۹-۵-۲   |
| <b>۱۷۵</b> | <b>۶-۶- راهکارهای بهسازی اتصالات</b>                         |
| ۱۷۶        | ۱-۶-۲- اتصالات بتني  |
| ۱۷۶        | ۱-۱-۶-۲- معرفی   |
| ۱۷۸        | ۲-۱-۶-۲- آسیب‌های اتصالات بتني                               |
| ۱۷۹        | ۲-۱-۶-۲- گسیختگی برشی اتصال                                  |
| ۱۸۰        | ۲-۱-۶-۲- کمانش میلگردهای طولی ستون در ناحیه اتصال            |
| ۱۸۱        | ۲-۱-۶-۲- کمانش میلگردهای طولی تیر در ناحیه اتصال             |
| ۱۸۲        | ۴-۲-۱-۶-۲- وجود درز سرد در محل اتصال                         |
| ۱۸۲        | ۴-۲-۱-۶-۲- برون محوری امتداد تیر نسبت به امتداد ستون         |
| ۱۸۲        | ۶-۲-۱-۶-۲- کمبود میلگردهای مشتب و منفی                       |
| ۱۸۴        | ۳-۱-۶-۲- مبانی نظری رفتار اتصالات بتني                       |
| ۱۸۹        | ۴-۱-۶-۲- مهار میلگرد کششی تیر در محدوده اتصال                |
| ۱۹۰        | ۵-۱-۶-۲- روش‌های مقاوم‌سازی اتصالات بتني                     |
| ۱۹۰        | ۱-۵-۱-۶-۲- تعمیرات جزئی                                      |
| ۱۹۰        | ۲-۵-۱-۶-۲- روکش بتني   |
| ۱۹۴        | ۱-۶-۲- مثال  |
| ۱۹۸        | ۳-۵-۱-۶-۲- روکش فولادی (ورق فولادی مسلح کننده)               |
| ۲۰۱        | ۴-۵-۱-۶-۲- پوشش FRP  |
| ۲۰۵        | ۵-۱-۶-۲- استفاده از تنگ خارجی برای افزایش ظرفیت برشی اتصالات |
| ۲۰۶        | ۲-۶-۲- راهکارهای بهسازی اتصالات فولادی                       |
| ۲۰۶        | ۱-۲-۶-۲- معرفی   |
| ۲۰۶        | ۲-۲-۶-۲- آسیب‌های اتصالات فلزی                               |
| ۲۱۱        | ۳-۲-۶-۲- نارسايی‌های اتصال                                   |
| ۲۱۱        | ۴-۲-۶-۲- ورق‌های پيوستگى                                     |
| ۲۱۱        | ۵-۲-۵-۲- چشمeh اتصال   |
| ۲۱۳        | ۶-۲-۶-۲- تعیین لنگر محتمل در موقعیت مفصل پلاستیک             |
| ۲۱۳        | ۷-۲-۶-۲- محاسبه نیروهای داخلی در مفصل پلاستیک در وجه ستون    |
| ۲۱۴        | ۸-۲-۶-۲- راهکارهای تقویت اتصال فلزی جوشی                     |
| ۲۱۴        | ۱-۸-۲-۶-۲- استفاده از ورق روسرب و زیر سری مضاعف              |

|     |  |            |
|-----|--|------------|
| ۲۱۵ | - استفاده از ماهیچه  | -۲-۸-۲-۶-۲ |
| ۲۱۵ | - لچکی‌های قائم در بال فوکانی و تحتانی                                       | -۳-۸-۲-۶-۲ |
| ۲۱۶ | - استفاده از ورق کناری (ورق گونه)  | -۴-۸-۲-۶-۲ |
| ۲۱۶ | - استفاده از مقطع T شکل  | -۵-۸-۲-۶-۲ |
| ۲۱۷ | - مقاومسازی اتصال با پیش‌تییدگی خارجی بوسیله کابل کششی                       | -۶-۸-۲-۶-۲ |
| ۲۱۸ | - راهکارهای تقویت اتصال فلزی پیچی باگیرداری کامل                             | -۹-۲-۶-۲   |
| ۲۱۹ | - افزایش طول ورق انتهایی و استفاده از سخت کننده در اتصال پیچی با ورق انتهایی | -۱-۹-۲-۶-۲ |
| ۲۲۰ | مثال ۲-۶-۲ مقاومسازی اتصال فولادی  |            |

### **بخش سوم- بهسازی سیستم**

#### **فصل ۳- حذف و یا کاهش نامنظمی در سازه**

|     |   |  |
|-----|---|--|
| ۲۳۹ | - ۳-۱- معرفی                            |  |
| ۲۴۱ | - ۲-۳- تقسیم‌بندی ساختمان‌ها بر حسب شکل |  |
| ۲۴۱ | - ۱-۲-۳- نامنظمی در پلان                |  |
| ۲۴۱ | - ۲-۲-۳- نامنظمی در ارتفاع              |  |
| ۲۴۲ | - ۳-۳- طبقه نرم                         |  |
| ۲۴۵ | - ۴-۳- نامنظمی پیچشی                    |  |
| ۲۴۹ | - ۵-۳- ستون کوتاه                       |  |
| ۲۵۲ | - ۶-۳- گوشه‌های فرورفتہ                 |  |

#### **فصل ۴- افزایش مقاومت و سختی جانبی سازه**

|     |   |  |
|-----|---|--|
| ۲۵۷ | - ۱-۴- مقدمه  |  |
| ۲۵۹ | - ۲-۴- اضافه نمودن مهاربندها                            |  |
| ۲۶۰ | - ۱-۲-۴- مهاربندهای فولادی همگرا (CBF)                  |  |
| ۲۶۳ | - ۱-۱-۲-۴- ضوابط طراحی قاب‌های مهاربندی شده همگرای ویژه |  |
| ۲۶۳ | - ۱-۱-۱-۲-۴- توزیع نیروهای جانبی                        |  |
| ۲۶۴ | - ۲-۱-۱-۲-۴- محدودیت‌های اعضای قطری                     |  |
| ۲۶۴ | - ۳-۱-۱-۲-۴- لاغری اعضای قطری                           |  |

|     |  |
|-----|--|
| ۲۶۵ | - اتصالات اعضای قطری مهاربندها                     |
| ۲۶۶ | - تیرهای قابهای مهاربندی شده ۷ و ۸                 |
| ۲۶۷ | - ضوابط طراحی قابهای مهاربندی شده همگرای معمولی    |
| ۲۶۷ | - اعضای قطری مهاربندها                             |
| ۲۶۸ | - اتصالات قطری‌های مهاربندها                       |
| ۲۶۸ | - تیرهای قابهای مهاربندی شده ۷ و ۸                 |
| ۲۶۸ | - مهاربندهای فولادی واگرا (EBF)                    |
| ۲۷۲ | - مهاربندهای فولادی واگرای ویژه                    |
| ۲۷۲ | - طراحی اعضای قطری مهاربند و اتصالات آنها          |
| ۲۷۲ | - نیروهای طراحی مهاربندها                          |
| ۲۷۳ | - طراحی اتصالات مهاربندها                          |
| ۲۷۳ | - مهاربند واگرای معمولی در داخل قاب ساده           |
| ۲۷۴ | - مهاربندهای ضد کمانش (BRBF)                       |
| ۲۷۶ | - اضافه کردن مهاربندهای خارجی                      |
| ۲۷۷ | - اضافه کردن مهاربندهای بتنی پیش‌تنیده و پیش‌ساخته |
| ۲۷۹ | <b>۳-۳-۴- اضافه کردن دیوارهای برشی و میانقاب</b>   |
| ۲۸۰ | - دیوار برشی بتنی                                  |
| ۲۸۴ | - عملکرد دیوار برشی بتنی                           |
| ۲۸۵ | - انواع شکست دیوار برشی                            |
| ۲۸۵ | - شکست خمشی  |
| ۲۸۶ | - شکست برشی  |
| ۲۸۷ | - تقویت دیوار برشی                                 |
| ۲۸۹ | - تقویت دیوار برشی با مصالح FRP                    |
| ۲۹۳ | - میان قابها                                       |
| ۲۹۳ | - میان قابهای بتنی                                 |
| ۲۹۹ | - دیوارهای برشی فولادی                             |
| ۳۰۰ | - دیوار برشی فولادی سخت نشده معمولی                |
| ۳۰۱ | - ورق دیوار  |
| ۳۰۲ | - اتصال ورق به اجزای لبه                           |
| ۳۰۲ | - اجزای لبه افقی و قائم                            |
| ۳۰۳ | - دیوار برشی فولادی سخت نشده ویژه                  |
| ۳۰۳ | - ورق دیوار  |

|     |   |
|-----|---|
| ۳۰۳ | - اتصال ورق به اجزای لبه  |
| ۳۰۴ | - اجزای لبه افقی و قائم   |
| ۳۰۵ | - دیوار برشی فولادی سخت شده ویژه  |
| ۳۰۵ | - ورق دیوار   |
| ۳۰۶ | - اتصال ورق به اجزای لبه  |
| ۳۰۶ | - روش تحلیل   |
| ۳۰۷ | - اجرای کامپوزیت دیوار برشی فولادی  |
| ۳۰۷ | - دیوارهای پشت بند  |
| ۳۰۸ | <b>۴-۴- اضافه کردن قابهای خمشی</b>  |
| ۳۱۰ | مثال ۱-۴ (اضافه نمودن بادبند)   |
| ۳۳۳ | مثال ۲-۴ (بررسی آسیب پذیری ساختمان آتش نشانی با قابهای خمشی بتنی میان پر) |

## فصل ۵- کاهش جرم

|     |                            |
|-----|----------------------------|
| ۳۶۷ | <b>۱-۱- مقدمه</b>          |
| ۳۶۷ | <b>۲- کاهش جرم ساختمان</b> |
| ۳۶۸ | مثال ۱-۵                   |

## فصل ۶- جداسازی لرزه‌ای در بهسازی سازه‌ها

|     |   |
|-----|---|
| ۳۷۳ | <b>۱- کلیات</b>   |
| ۳۷۴ | ۱-۱-۶ - مقایسه ساختمان با و بدون جدا سازی لرزه‌ای در زلزله‌های گذشته        |
| ۳۷۵ | ۲-۱-۶ - معیارهای طراحی جداگرها  |
| ۳۷۵ | <b>۲- انواع سیستم‌های جداسازی</b>   |
| ۳۷۵ | ۱-۲-۶ - سیستم‌های الاستومر (لاستیک طبیعی)                                   |
| ۳۷۶ | ۲-۲-۶ - سیستم‌های لاستیکی طبیعی و مصنوعی با میرایی کم به همراه صفحات فولادی |
| ۳۷۷ | ۳-۲-۶ - سیستم جداگر لاستیکی با هسته سربی (LRB)                              |
| ۳۷۷ | ۴-۲-۶ - سیستم‌های لاستیک طبیعی با میرایی زیاد (HDNR)                        |
| ۳۷۸ | ۵-۲-۶ - سیستم ترکیبی EERC   |

|     |   |
|-----|---|
| ۳۷۸ | ۶-۲-۶- سیستم ترکیبی <i>TASS</i>                             |
| ۳۷۸ | ۶-۲-۷- سیستم جدابر اصطکاکی پس جهنده ( <i>R-FBI</i> )        |
| ۳۷۹ | ۶-۲-۸- سیستم آونگ اصطکاکی <i>FPS</i>                        |
| ۳۸۰ | ۶-۲-۹- سیستم‌های فتری                                       |
| ۳۸۰ | ۶-۳- تعریف المانهای سازه جداسده                             |
| ۳۸۱ | ۶-۴- اثرات بارهای $\Delta - P$ بر سیستم جداسازی             |
| ۳۸۲ | ۶-۵- مراحل نصب جدابر لرزه‌ای                                |
| ۳۸۴ | ۶-۶- درز انبساط   |
| ۳۸۵ | ۶-۷- اجزای غیر سازه‌ای                                      |
| ۳۸۷ | ۶-۸- مراحل طراحی جدابر لرزه‌ای لاستیکی با میرایی بالا (HDR) |
| ۳۹۱ | ۶-۹- مراحل طراحی جدابر لرزه‌ای لاستیکی با هسته سربی (LRB)   |
| ۳۹۶ | ۶-۱۰- مثال  |
| ۳۹۶ | ۶-۱۰- توصیف   |
| ۳۹۶ | ۶-۱۰-۲- طراحی قاب خمی بتنی بر اساس آینن نامه ۲۸۰۰           |
| ۴۰۰ | ۶-۱۰-۳- ارزیابی لرزه‌ای سازه بر اساس نشریه ۳۶۰              |
| ۴۰۷ | ۶-۱۰-۴- بهسازی به روش جداسازی لرزه‌ای                       |
| ۴۲۱ | ۷- میرابر در بهسازی سازه‌ها                                 |
| ۴۲۱ | ۷-۱- مقدمه  |
| ۴۲۱ | ۷-۲- اثر میرایی بر پاسخ سازه                                |
| ۴۲۴ | ۷-۳- انواع میرابرها   |
| ۴۲۴ | ۷-۳-۱- میرابرها اصطکاکی                                     |
| ۴۲۶ | ۷-۳-۲- میرابرها تسلیمی                                      |
| ۴۳۰ | ۷-۳-۳- میرابرها آلیاژی (SMA)                                |
| ۴۳۰ | ۷-۳-۴- میرابرها ویسکوز                                      |

|     |   |
|-----|---|
| ۴۳۲ | ۵-۳-۷- میراگر ویسکوالاستیک  |
| ۴۳۳ | ۶-۳-۷- میراگر جرمی  |
| ۴۳۴ | <b>۴-۷- روش‌های تحلیل سازه با میراگر</b>                            |
| ۴۳۴ | ۱-۴-۷- روش تحلیل سازه غیرخطی و میراگر غیرخطی ( <i>NS/ND</i> )       |
| ۴۳۵ | ۲-۴-۷- روش تحلیل سازه غیرخطی و میراگر خطی ( <i>NS/LD</i> )          |
| ۴۳۵ | ۳-۴-۷- روش تحلیل سازه خطی و میراگر غیرخطی ( <i>LS/ND</i> )          |
| ۴۳۵ | ۴-۴-۷- روش تحلیل سازه خطی و میراگر خطی ( <i>LS/LD</i> )             |
| ۴۳۵ | <b>۵-۷- مشخصات کاربردی میراگرها</b>                                 |
| ۴۳۵ | ۱-۵-۷- میراگرهای وابسته به تغییرمکان (شامل انواع اصطکاکی و تسیلیمی) |
| ۴۳۷ | ۲-۵-۷- میراگر وابسته به سرعت شامل انواع میراگرهای ویسکوز            |
| ۴۳۹ | ۳-۵-۷- میراگرهای ویسکوالاستیک جامد (وابسته به سرعت و تغییرمکان)     |
| ۴۴۰ | ۴-۵-۷- اشکال مختلف نصب میراگر                                       |
| ۴۴۲ | <b>۶- سطوح عملکرد</b>   |
| ۴۴۲ | <b>۷- ۷- گام‌های بهسازی سازه با استفاده از میراگر</b>               |
| ۴۴۳ | <b>۸-۷- مثال</b>  |
| ۴۴۴ | ۱-۸-۷- روش استاتیکی خطی در طراحی میراگر                             |
| ۴۵۰ | ۲-۸-۷- ارزیابی سازه با میراگر                                       |
| ۴۵۴ | ۳-۸-۷- نتیجه‌گیری   |

|     |   |
|-----|---|
|     | <b>فصل ۸- بهسازی ساختمان‌های بنایی</b>                      |
| ۴۵۷ | <b>۱-۸- مقدمه</b>   |
| ۴۵۷ | <b>۲-۸- انواع خسارات بوجود آمده ناشی از زلزله‌های گذشته</b> |
| ۴۵۸ | ۱-۲-۸- شکست خارج صفحه                                       |
| ۴۶۰ | ۲-۲-۸- شکست داخل صفحه                                       |
| ۴۶۲ | <b>۳-۸- روش‌های بهسازی سقف (یکپارچه نمودن سقف)</b>          |
| ۴۶۵ | <b>۴-۸- تقویت ساختمان‌های بنایی در مقابل بارهای جانبی</b>   |

|   |   |
|---|---|
| ۴۶۶   | ۱-۴-۸ - سیستم کامپوزیت FRP                                    |
| ۴۶۶   | ۱-۱-۴-۸ - معرفی سیستم   |
| ۴۶۶   | ۲-۱-۴-۸ - مزایا   |
| ۴۶۷   | ۳-۱-۴-۸ - روش‌های ساخت مواد مرکب FRP                          |
| ۴۶۸   | ۴-۱-۴-۸ - مشخصات مکانیکی مواد مرکب FRP                        |
| ۴۶۹   | ۵-۱-۴-۸ - رزین‌ها   |
| ۴۶۹   | ۶-۱-۴-۸ - ضریب کاهش محیطی برای سیستم‌های FRP با شرایط گوناگون |
| ۴۶۹   | ۷-۱-۴-۸ - مقایسه عملکرد انواع کامپوزیت‌ها در سازه             |
| ۴۷۰   | ۸-۱-۴-۸ - روش و تکنیک مقاومسازی با FRP                        |
| ۴۷۱   | ۹-۱-۴-۸ - تقویت دیوارهای آجری بدون اعضای بتنی با فولادی محیطی |
| ۴۷۲   | ۱۰-۱-۴-۸ - تقویت دیوارهای آجری با اعضای بتنی یا فولادی محیطی  |
| ۴۷۴   | ۱۱-۴-۸ - روکش بتنی  |
| ۴۷۵   | ۱۲-۴-۸ - تقویت پی دیوارهای روکش شده                           |
| ۴۷۶   | ۱۳-۴-۸ - اتصال میلگردی‌های روکش بتنی به دیوار بنایی           |
| ۴۷۶   | ۱۴-۴-۸ - تعییه دیوار برشی                                     |
| ۴۷۷   | ۱۵-۴-۸ - اتصال دیوارهای برشی در طبقات                         |
| ۴۷۷   | ۱۶-۴-۸ - پی دیوارهای برشی                                     |
| ۴۷۸   | ۱۷-۴-۸ - مقایسه روش تقویت روکش بتن با روش تعییه دیوار برشی    |
| ۴۷۸   | ۱۸-۴-۸ - استقرار دیوارهای جدید                                |
| ۴۷۹   | ۱۹-۴-۸ - استفاده از پشت بند                                   |
| ۴۸۰   | ۲۰-۴-۸ - تزییق صفحه اپوکسی یا ملات                            |
| ۴۸۰   | ۲۱-۴-۸ - تعییه کلافهای قائم                                   |
| ۲۲-۴-۸ - بهسازی سیستم سازه‌ای ساختمان از طریق کامل نمودن مسیر |   |
| ۴۸۲   | ۲۳-۴-۸ - بار، رفع نامنظمی‌ها در پلان یا ارتفاع                |
| ۴۸۲   | ۲۴-۴-۸ - نامنظمی در پلان                                      |
| ۴۸۲   | ۲۵-۴-۸ - نامنظمی در ارتفاع                                    |
| ۴۸۳   | ۲۶-۴-۸ - مثال ۱: مقاومسازی ساختمان بنایی                      |

## فصل ۹- بهسازی ساختمان‌های روستایی

### ۹-۱- مقدمه

|     |   |
|-----|---|
| ۵۳۵ | ۲-۹- مقاومسازی دیوارها  |
| ۵۳۵ | ۱-۲-۹- عناصر همبند در دیوارهای سنگی   |
| ۵۳۶ | ۱-۱-۲-۹- نحوه اجرای عناصر همبند   |
| ۵۳۶ | ۲-۱-۲-۹- جزئیات مناسب میلگرد المان همبند  |
| ۵۳۷ | ۲-۲-۹- عناصر همبند در دیوارهای آجری   |
| ۵۳۸ | ۳-۲-۹- تسمه‌های افقی  |
| ۵۳۸ | ۱-۳-۲-۹- موقعیت تسمه‌های افقی لرزه‌ای   |
| ۵۳۹ | ۲-۳-۲-۹- مشخصات تسمه افقی لرزه‌ای   |
| ۵۳۹ | ۳-۳-۲-۹- نحوه کارگذاری تسمه افقی لرزه‌ای  |
| ۵۴۲ | ۴-۳-۲-۹- جزئیات تسمه افقی در گوشه‌ها  |
| ۵۴۳ | ۵-۳-۲-۹- پیوستگی تسمه در شرایطی که بصورت محیطی کامل اجرا نشده باشد                                |
| ۵۴۴ | ۶-۳-۲-۹- پیوستگی تسمه لرزه‌ای اجرا شده بر روی سازه الحاقی متصل به دیوار اصلی                      |
| ۵۴۴ | ۴-۲-۹- تسمه‌های قائم  |
| ۵۴۷ | ۱-۴-۲-۹- نحوه اجرای میلگردهای قائم منفرد  |
| ۵۴۸ | ۲-۴-۲-۹- نحوه اجرای تسمه قائم در گوشه‌ها  |
| ۵۵۰ | ۳-۹- ساختمان‌های خشتی و گلی   |
| ۵۵۰ | ۱-۳-۹- دیوارهای خشتی و گلی  |
| ۵۵۲ | ۲-۳-۹- مقاومسازی طاق‌های قوسی   |
| ۵۵۳ | ۳-۳-۹- ساختمان‌های کاه‌گلی توام با چوب  |
| ۵۵۴ | ۴-۳-۹- مسلح نمودن دیوارهای گلی  |
| ۵۵۶ | ۴-۹- ساختمان‌های چوبی   |
| ۵۵۶ | ۱-۴-۹- علل اصلی خسارات وارد بر ساختمان‌های چوبی بر اثر زلزله                                      |
| ۵۵۷ | ۲-۴-۹- مقاومسازی ساختمان‌های چوبی با پر کننده‌های سنگی  |
| ۵۵۷ | ۱-۲-۴-۹- مقاومسازی دیوار ساختمان‌های چوبی با پر کننده‌های سنگی در برابر تغییرشکل‌های خارج از صفحه |
| ۵۵۹ | ۲-۴-۹- مقاومسازی ساختمان‌های چوبی در برابر تغییرشکل‌های داخل صفحه                                 |

## فصل ۱۰- بهسازی لردهای ناسازه‌ها

|     |  |
|-----|--|
| ۵۶۵ | ۱-۱- مقدمه   |
| ۵۶۷ | ۲- مقاومسازی اجزای معماری  |
| ۵۶۷ | ۱-۲- بررسی آسیب‌های وارد به سیستم‌ها و اجزای معماری در زلزله‌های اخیر      |
| ۵۶۸ | ۲-۲- راهکارهای کاهش آسیب پذیری در سیستم‌های معماری                         |
| ۵۷۳ | ۳- مقاومسازی اجزای مکانیکی و الکتریکی                                      |
| ۵۷۳ | ۱-۳- بررسی آسیب‌های وارد شده به سیستم‌های مکانیکی و برقی در زلزله‌های اخیر |
| ۵۷۷ | ۲-۳- راهکارهای کاهش آسیب‌پذیری در سیستمهای مکانیکی و الکتریکی              |
| ۵۸۲ | مثال ۱-۱۰  |



# **بخش اول**

---

---

---

**معرفی**



# **بخش اول**

---

---

---

**معرفی**



## ۱-۱- کلیات

در هنگام وقوع زلزله در اثر تغییر مکان سازه، اجزای سازه نیز تحت تاثیر تغییر شکل های قرار می گیرند. در زلزله های خفیف پاسخ سازه و تغییر شکل های اجزا در محدوده خطی (الاستیک) باقی می ماند، اما در زلزله های شدید پاسخ سازه و تغییر شکل های اجزا، از محدوده ارجاعی فراتر خواهد رفت که در نهایت ممکن است باعث خرابی سازه گردد.

سازه ها باید توانایی تحمل نیروهای ناشی از زلزله (در سطح عملکرد مورد نظر) را داشته باشند و در این تراز از زلزله تغییر مکان ها، دوران ها و همچنین میزان خرابی اجزای مختلف آن، در محدوده مورد نظر ضوابط طراحی قرار گیرد. مهمترین پارامترهایی که بر رفتار سازه تحت اثر نیروهای ناشی از زلزله تاثیر می گذارند عبارتند از: جرم، سختی، میرایی، پیکربندی و هندسه، مقاومت، شکل پذیری اجزای سازه و پارامترهای جنبش زمین. اولین گام در بهسازی لرزه های موجود، ارزیابی آسیب پذیری لرزه های آنها می باشد. در سال های اخیر روش های مختلفی برای بررسی میزان آسیب پذیری سازه ها ارائه گردیده، که اکثر آنها مبتنی بر ارزیابی های کیفی و کمی سازه ها می باشند.

در روش های کیفی با توجه به شرایط لرزه خیزی منطقه و بر اساس تجربیات حاصل از زلزله های گذشته، فرم های ویژه ای جهت جمع آوری اطلاعات و نوادره های موجود در اجزا و سیستم سازه مانند سیستم باربر قائم و جانبی، شکل پذیری اجزاء، آسیب های فعلی وارد بر سازه، عملکرد اجزاء گوناگون نسبت به شرایط طراحی و... تهیه شده و از آنها جهت برآورد اولیه و تقریبی مقاومت لرزه های سازه استفاده می شود.

در روش های کمی با توجه به بانک های اطلاعاتی که در مرحله ارزیابی کیفی تهیه شده اند، مشخصات سازه با دقت و جزئیات بیشتری مورد مطالعه قرار گرفته و مدل سازی سازه با توجه به شرایط فعلی آن و با استفاده از روش های متداول و شناخته شده ارزیابی آسیب پذیری لرزه های سازه ها انجام می گیرد.

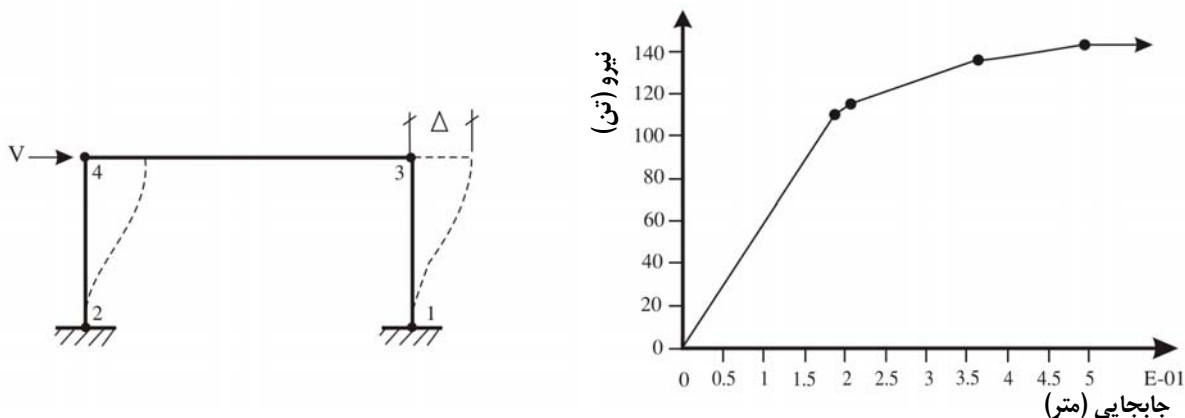
## ۲-۱- روش ارزیابی براساس نسبت ظرفیت به نیاز سازه

در این روش، عملکرد سازه در وضعیت حداقل پاسخ آن تحت زلزله طرح، ارزیابی می گردد. برای رسیدن به این وضعیت، مقاومت سازه در برابر جابجایی و تغییر مکان جانبی یک نقطه از سازه (در ساختمانها معمولاً بام) تعیین می شود. مقاومت مذکور بصورت منحنی ای که آن را منحنی ظرفیت می نامند، تعیین می گردد. بعد از تعیین منحنی ظرفیت، نقطه ای بر روی آن تعیین می شود که با جابجایی نیاز زلزله طرح سازگار باشد. نقطه مذکور را نقطه عملکرد و جابجایی متناظر با آن را جابجایی نیاز یا هدف می نامند.

## ۲-۱- منحنی ظرفیت و طیف ظرفیت

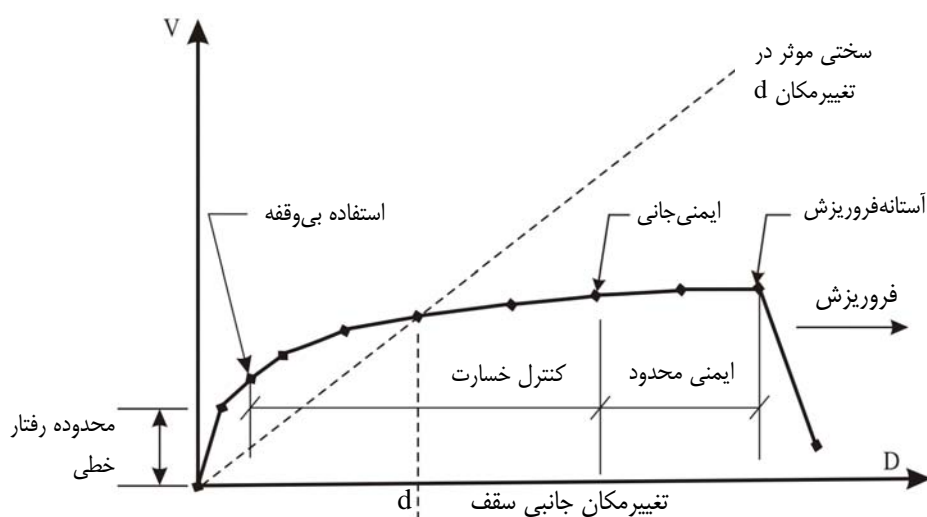
منحنی ظرفیت، نشان دهنده برش پایه قابل تحمل توسط سازه، تحت بارگذاری تدریجی، به ازاء تغییر شکل جانبی تراز معین شده سازه (بام) در برابر بارهای وارد بر آن می باشد. در صورتی که ظرفیت خطی (الاستیک) سازه نامحدود باشد، این منحنی بصورت

یک خط ثابت بوده که شیب آن برابر با سختی سازه می‌باشد. اما از آنجایی که ظرفیت خطی سازه محدود می‌باشد، منحنی ظرفیت سازه‌ها بطور عمومی شامل مجموعه‌ای از خطوط مستقیم بوده که با کاهش شیب مواجه هستند. این کاهش شیب نشان دهنده کاهش سختی سازه می‌باشد (شکل ۱-۱).



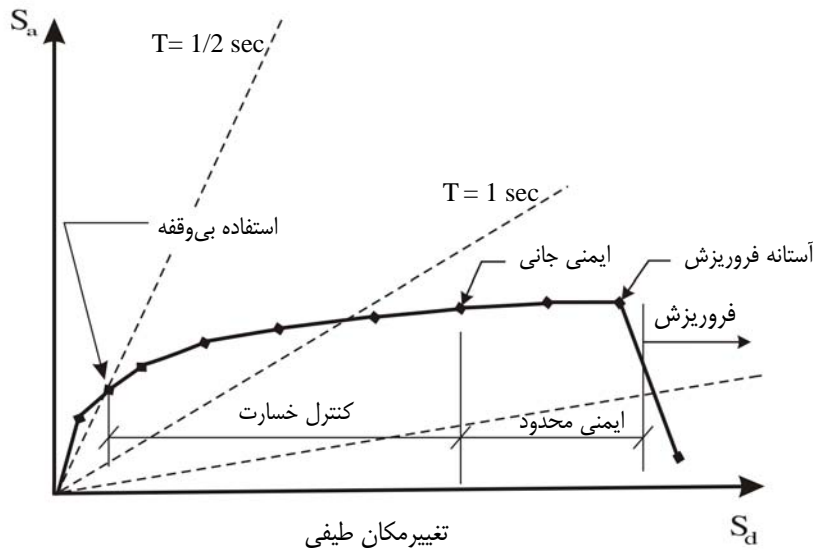
شکل ۱-۱- منحنی ظرفیت (برش پایه در برابر جابجایی بام)

منحنی طیف ظرفیت سازه، منحنی شتاب طیفی قابل تحمل توسط سازه نسبت به تغییر مکان طیفی بام می‌باشد. در شکل‌های (۲-۱) و (۳-۱) نمونه‌ای از منحنی‌های ظرفیت و طیف ظرفیت سازه نمایش داده شده است.



شکل ۲-۱- منحنی ظرفیت تیپ

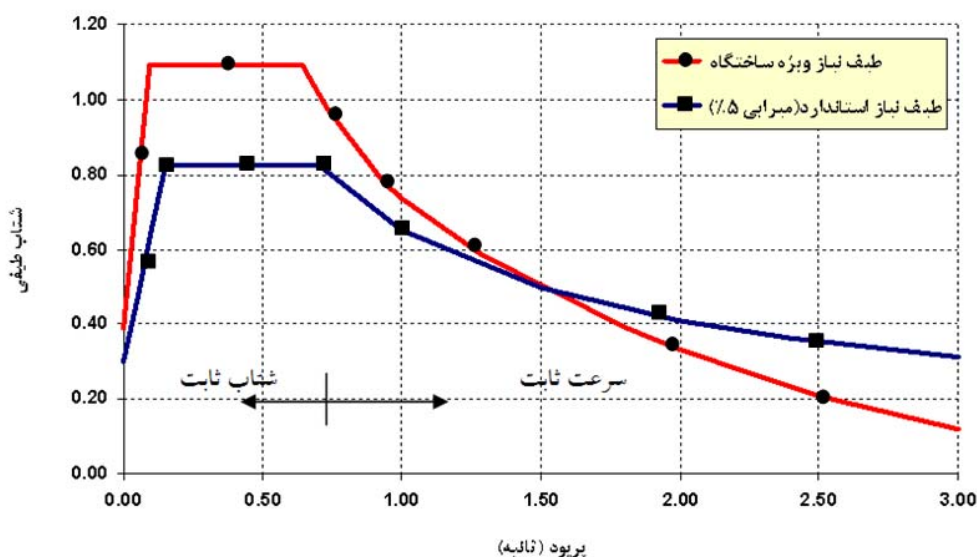
به منظور تعیین منحنی ظرفیت یا طیف ظرفیت سازه، استفاده از روش‌های تحلیل غیرخطی (استاتیکی، دینامیکی) ضروری می‌باشد.



شکل ۱-۳- منحنی طیف ظرفیت نیپ

## ۲-۲-۱- طیف نیاز

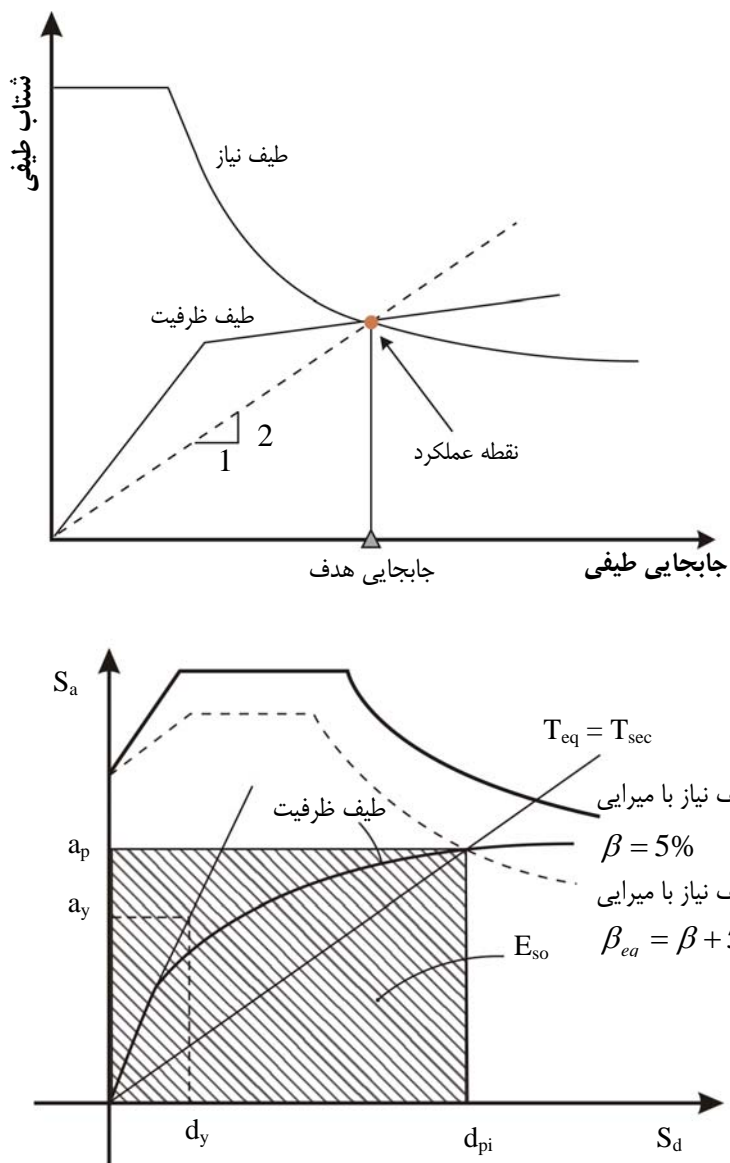
زلزله اعمالی به سازه به صورت شتاب وارد بر سازه تعریف می‌گردد که به آن طیف نیاز سازه می‌گویند. منحنی‌های طیف نیاز به دو دسته طیف نیاز استاندارد و طیف نیاز ویژه ساختگاه طبقه‌بندی می‌شوند، این منحنی‌ها معمولاً دارای دو بخش شتاب ثابت و سرعت ثابت می‌باشند. بطور معمول منحنی‌های طیف نیاز برای میرایی ۵ درصد تهیه می‌شوند که بر اساس آن نیاز با میرایی‌های مختلف قابل ترسیم خواهد بود (شکل ۱-۴).



شکل ۱-۴- منحنی طیف نیاز استاندارد و ویژه ساختگاه

### ۱-۲-۳- نقطه عملکردی و جابجایی هدف سازه

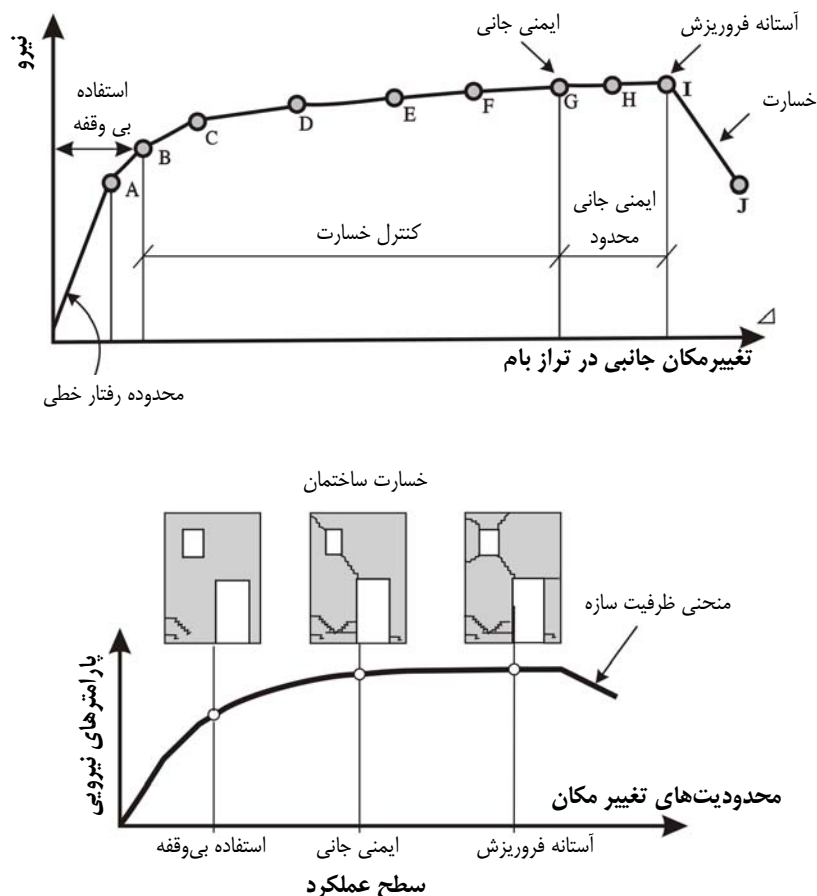
به محل تقاطع منحنی‌های ظرفیت و نیاز سازه که در سیستم مختصات صحیح رسم شده باشند نقطه عملکرد سازه گویند، که در آن نیاز سازه با ظرفیت موجود در آن مساوی است. در واقع نقطه عملکرد، نقطه توقف سازه در طول منحنی ظرفیت سازه است. لازم به ذکر است در صورتی که تقاطع دو منحنی در قسمت خطی اولیه قرار نگیرد باید منحنی نیاز با میرایی متناسب ترسیم گردد. از این رو تعیین دقیق نقطه عملکرد، مستلزم روش سعی و خطای خواهد بود. همچنین جابجایی نیاز یا هدف، حداقل جابجایی بام را تحت اثر زلزله طرح یا هر زلزله بکار رفته در تحلیل غیرخطی نشان می‌دهد. در واقع هدف از تحلیل غیرخطی، تعیین پاسخ سازه در نقطه عملکرد و جابجایی هدف می‌باشد (شکل ۱-۵).



شکل ۱-۵- مشخص کردن نقطه عملکرد و جابجایی هدف

### ۱-۲-۴- رفتار یا عملکرد هدف

سطح عملکرد لرزه‌ای مورد انتظار از سازه معمولاً با تعیین حداکثر خرابی مجاز اعضای سازه‌ای و غیرسازه‌ای برای سطح مشخصی از خطرپذیری لرزه‌ای بیان می‌شود. انتخاب ترازهای شامل عملکردی شناسایی تراز خسارت قابل قبول، برای شدت خاصی از زلزله است. تعداد ترازهای زلزله با توجه به معیارهای آیین‌نامه‌ای انتخاب می‌شود که این معیارها تابعی از اهمیت سازه از نظر اقتصادی و اجتماعی می‌باشد. آیین‌نامه‌های مختلف تعاریف متفاوتی از سطوح عملکردی ارائه کرده‌اند که با وجود اختلافات ظاهری مبنای همه آنها یکی است (شکل ۱-۶).



شکل ۱-۶- منحنی سطوح عملکرد سازه‌ای در آیین‌نامه‌های مختلف

### ۱-۳- بهسازی سازه‌ها

براساس ارزیابی‌هایی که بر روی سازه انجام می‌شود ضعف‌ها و کاستی‌های آن تعیین می‌گردد. به منظور اصلاح این ضعف‌ها و انجام بهسازی، استفاده از روش‌های مناسب ضروری است. در بیشتر اوقات برای تعیین روش‌های بهسازی در ساختمان محدودیت‌هایی وجود دارد که تاثیر عمده‌ای بر روش‌های انتخابی برای بهسازی می‌گذارند.

مجموعه این محدودیت‌ها را می‌توان به صورت زیر طبقه‌بندی نمود:

- الف- اهداف عملکردی ساختمان
- ب- محدودیت هزینه‌های اجرایی
- پ- محدودیت زمانی در امر بهسازی
- ت- محدودیت‌های معماری (پلان و نما)
- ث- ضرورت فعال بودن ساختمان در حین بهسازی
- ج- پرهیز از ریسک در زمان بهسازی
- ج- لزوم حفظ آثار باستانی

به همین دلیل به منظور انجام بهسازی ضروری است با توجه به نیاز سازه در ابتدا راهبرد بهسازی انتخاب و سپس راهکارهای مناسب با راهبردهای انتخاب شده بررسی و مطالعه شوند.

## ۱-۴- راهبردهای بهسازی

راهبرد بهسازی، روش پایه برای بهبود عملکرد سازه‌ای در برابر زلزله و یا کاهش خطر زلزله تا دستیابی به ترازی معین و قابل قبول از عملکرد و نیاز سازه به طور همزمان می‌باشد. به طور کلی راهبردهای بهسازی شامل دو دسته:

- ۱- راهبردهای فنی
- ۲- راهبردهای مدیریتی

می‌باشند، که می‌توان به طور مجازاً یا همزمان از آنها استفاده نمود.

راهبردهای فنی شامل افزایش مقاومت سازه، اصلاح موضعی اجزاء سازه، افزایش سختی سازه، حذف یا کاهش نامنظمی در ساختمان، کاهش نیاز سازه (افزایش استهلاک انرژی زلزله) و... بوده و راهبردهای مدیریتی شامل تغییرکاربری ساختمان، بهسازی تدریجی، تخریب ساختمان و احداث ساختمان جدید و... می‌باشد.

پس از انتخاب راهبرد بهسازی باید به منظور دستیابی به سطح عملکرد مورد نظر، راهکار بهسازی مناسب انتخاب گردد. راهکار بهسازی روش مورد استفاده برای دستیابی به راهبرد بهسازی انتخاب شده می‌باشد. برای مثال در صورتی که راهبرد بهسازی برای طبقه نرم در اولین تراز ساختمانی، افزایش مقاومت و سختی سازه باشد، راهکارهایی از قبیل اضافه کردن دیوارهای حائل، اضافه کردن دیوار برشی، ایجاد ستون‌های جدید، اضافه کردن بادبند و ... می‌توانند برای دستیابی به این امر بکار گرفته شوند (شکل ۱-۷).

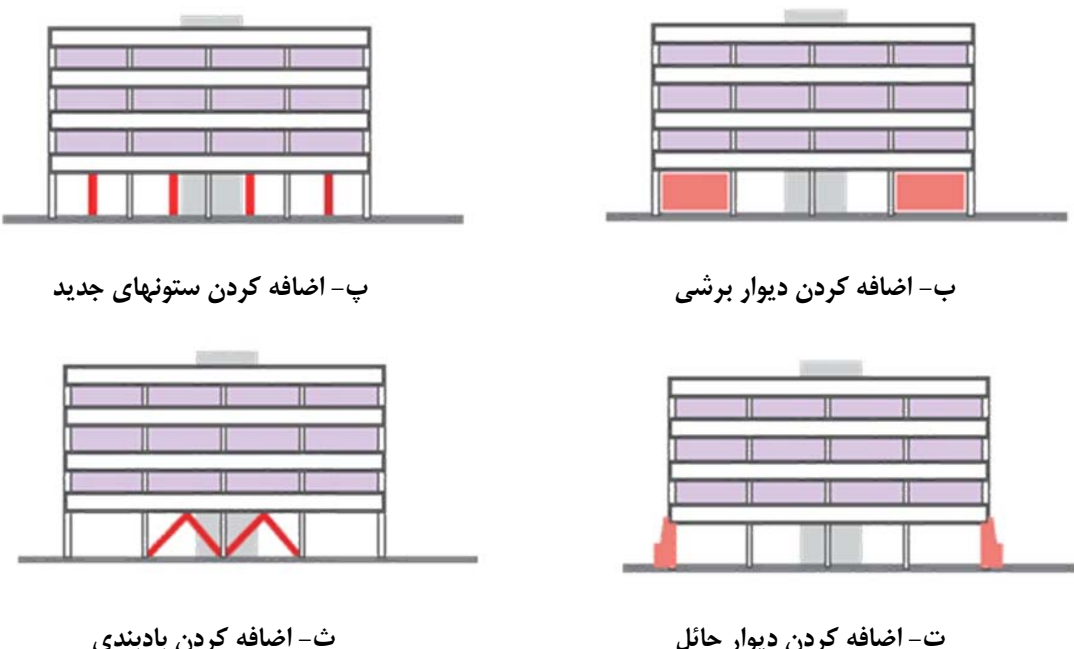
همانطور که اشاره شد، برای کاهش اثرات ناشی از زلزله بر سازه، راهبردهای فنی و مدیریتی متعددی وجود دارد. راهبردهای فنی شامل دو بخش کلی افزایش ظرفیت و کاهش نیاز سازه می‌باشند، این راهبردها عبارتند از:

- الف- اصلاح موضعی اجزا

- ب- حذف یا کاهش نامنظمی در سازه
- پ- افزایش مقاومت سازه
- ت- افزایش سختی جانبی سازه
- ث- افزایش شکل پذیری سازه
- ج- کاهش نیاز سازه



الف- وجود طبقه نرم در اولین تراز ساختمان- انتخاب افزایش مقاومت و سختی سازه به عنوان راهبرد بهسازی



شکل ۱-۷- راهکارهای بکار گرفته شده برای دستیابی به راهبرد بهسازی انتخاب شده

علاوه بر راهبردهای فنی، به منظور انجام بهسازی باید راهبردهای مدیریتی نیز مدنظر قرار گیرد. راهبردهای مدیریتی شامل موارد زیر می‌باشند:

- الف : استفاده کردن از ساختمان در هنگام بهسازی،
- ب : تخلیه ساختمان تا زمان اتمام بهسازی،
- پ : پذیرش خطر موجود و عدم بهسازی،
- ت : تغییر کاربری ساختمان به منظور کاهش میزان خطر،
- ث : تخریب ساختمان موجود و احداث ساختمان جدید،
- ج : مقاوم سازی تدریجی در طی چندین سال،
- چ : تمرکز بهسازی‌ها فقط در خارج ساختمان یا فقط در داخل ساختمان و ... باشد.

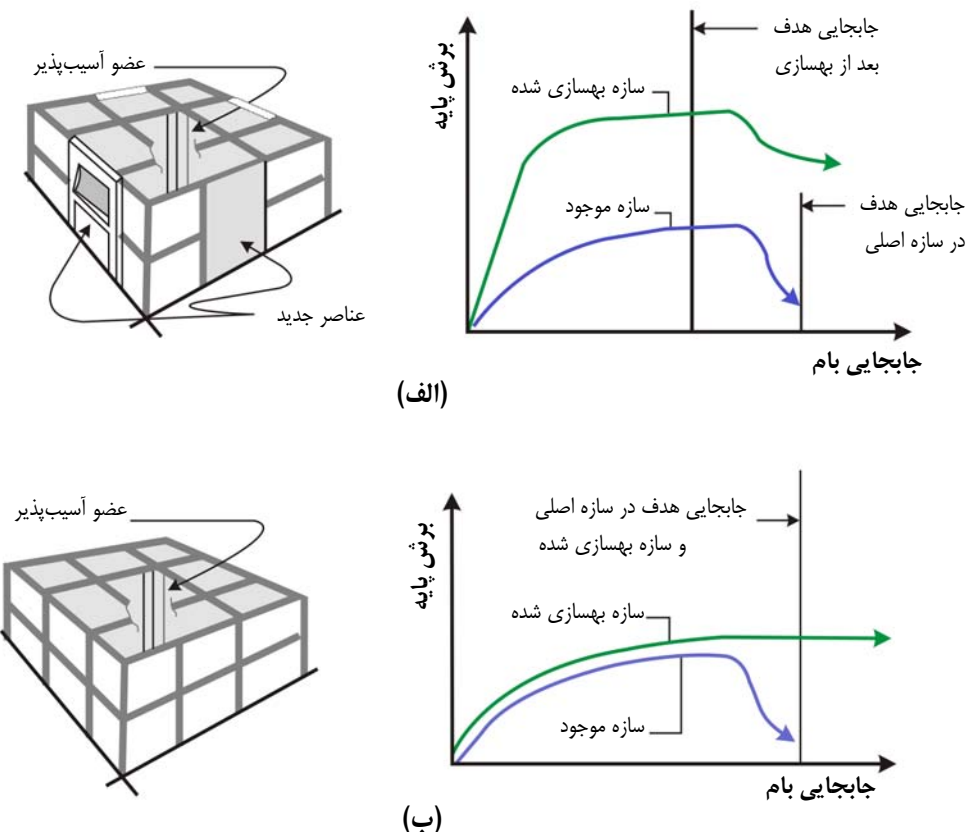
راهبردهای مدیریتی از عوامل اصلی در انتخاب راهبردهای فنی می‌باشند و می‌تواند باعث ایجاد محدودیت‌های زیادی در انتخاب راهکار بهسازی گردد. انتخاب بهترین شیوه بهسازی همواره با لحاظ نمودن همزمان راهبردهای مدیریتی و فنی به دست می‌آید.

#### ۱-۴-۱- راهبرد اصلاح موضعی اجزا

در صورتی که سیستم کلی سازه شامل دیافراگم‌ها، دیوارها، قاب‌ها و ... ظرفیت کافی برای تحمل نیروهای جانبی وارد به سازه را دارا باشند ولی به منظور تأمین و تضمین کارایی سیستم نیاز به اصلاح برخی از جزئیات باشد، اصلاح موضعی اجزا سازه ضروری می‌باشد. در این وضعیت، نقطه عملکردی سازه در نقطه قابل قبولی است و خرابی عمدت‌های در سازه رخ نمی‌دهد و فقط به طور موضعی، در نقاط محدودی خرابی ایجاد می‌گردد.

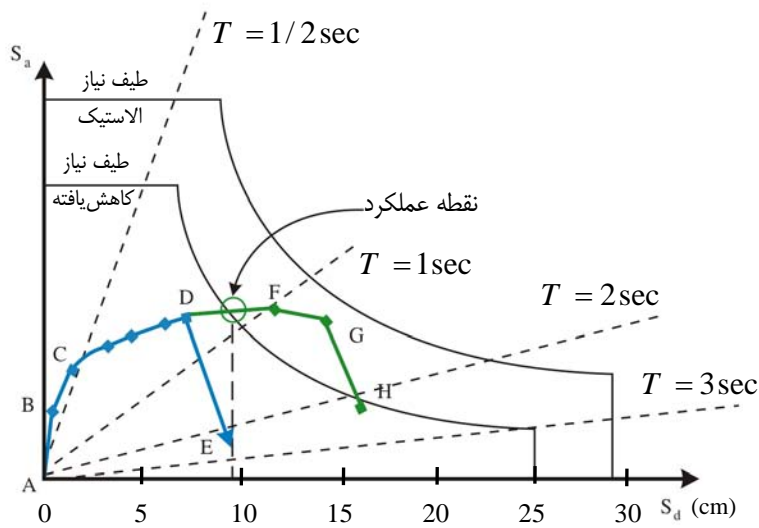
همانطور که در شکل (۱-۸) نشان داده شده است، اصلاح موضعی اجزاء سازه به تنها (در مقایسه با اصلاح سیستم توسط سایر راهبردها)، تاثیر چندانی بر روی رفتار کلی سازه نخواهد داشت و منحنی‌های نیاز و ظرفیت سازه قبل و بعد از اصلاح موضعی، تغییر چندانی نمی‌کنند. شکل (۱-۹) نیز نشان می‌دهد که اصلاح موضعی تعداد محدودی از اجزای سازه، نمی‌تواند ماهیت منحنی ظرفیت سازه را تغییر دهد و فقط می‌تواند بطور محدود، باعث توسعه و ادامه پیدا کردن منحنی ظرفیت سازه شود.

در شکل (۹-۱) منحنی A-B-C-D-E نشان‌دهنده منحنی طیف ظرفیت سازه اولیه می‌باشد. همانطور که ملاحظه می‌شود این منحنی قادر نیست تا منحنی نیاز را در نقطه عملکرد مناسبی قطع کند، زیرا شکست بحرانی در یک عضو مانع از این کار می‌شود. اگر این عضو آسیب‌پذیر تغییر یابد و بطور مثال مقاومت و یا ظرفیت تغییر شکل آن افزایش داده شود، منحنی ظرفیت می‌تواند ادامه یافته و سازه به تغییر شکل‌های بزرگتری دست پیدا کند. منحنی A-B-C-D-F-G-H نشان‌دهنده منحنی ظرفیت سازه بعد از اصلاح موضعی عضو آسیب‌پذیر می‌باشد. در این حالت منحنی طیف ظرفیت می‌تواند منحنی نیاز را در یک نقطه عملکرد متناظر با یک سطح عملکرد تعریف شده، قطع نماید.



شکل ۱-۸-الف- تاثیر اصلاح سیستم سازه بر منحنی ظرفیت

ب- تاثیر اصلاح موضعی اجزا سازه بر منحنی ظرفیت



شکل ۱-۹- تاثیر اصلاح موضعی اجزا بر عملکرد لرزه ای سازه

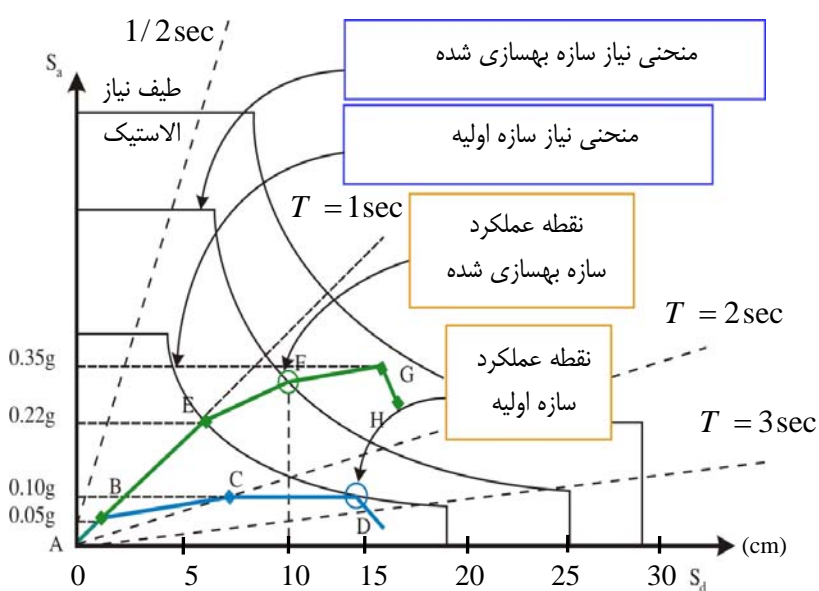
هدف از این روش، افزایش قابلیت تغییر شکل و مقاومت اعضای ناکارآمد می‌باشد، چرا که این اعضاء در شرایط فعلی به وضعیت حدی مورد نیاز سازه نخواهند رسید.

در این راهبرد، اعضای سازه بسته به مقاومت لرزه‌ای مورد نظر، میزان آسیب دیدگی، نوع و کیفیت اتصالات آنها، با راهکارهای مختلفی از قبیل جایگزینی قطعات جدا شدنی، اضافه کردن ورقهای فولادی روی سطوح، استفاده از ژاکتهای بتن مسلح و یا فلزی، تزریق رزین، بتن پاشی، بکارگیری سیستم های کامپوزیت FRP، استفاده از پیش تنیدگی خارجی و ...، مرمت و تقویت می‌شوند. لازم به ذکر است به منظور دستیابی به ترمیم و بهسازی مناسب، باید بین اعضاء موجود و تقویت های صورت گرفته جدید ، با اعمال روش‌های مختلف، پیوستگی مطلوبی بوجود آید. در فصل دوم (راهکارهای اصلاح موضعی اجزاء سازه) به تفصیل در مورد هر یک راهکارهای قابل استفاده برای اصلاح موضعی اجزاء سازه بحث می‌گردد.

#### ۲-۴-۱- راهبرد افزایش مقاومت و سختی جانبی سازه

مقاومت جانبی و شکل‌پذیری، ضروری‌ترین اهداف تاثیر گذار بر رفتار لرزه‌ای سازه‌ها می‌باشند. افزایش مقاومت جانبی و افزایش سختی سازه مفاهیمی بسیار نزدیک به یکدیگر دارند ولی در عین حال از جهاتی نیز دارای اختلاف می‌باشند.

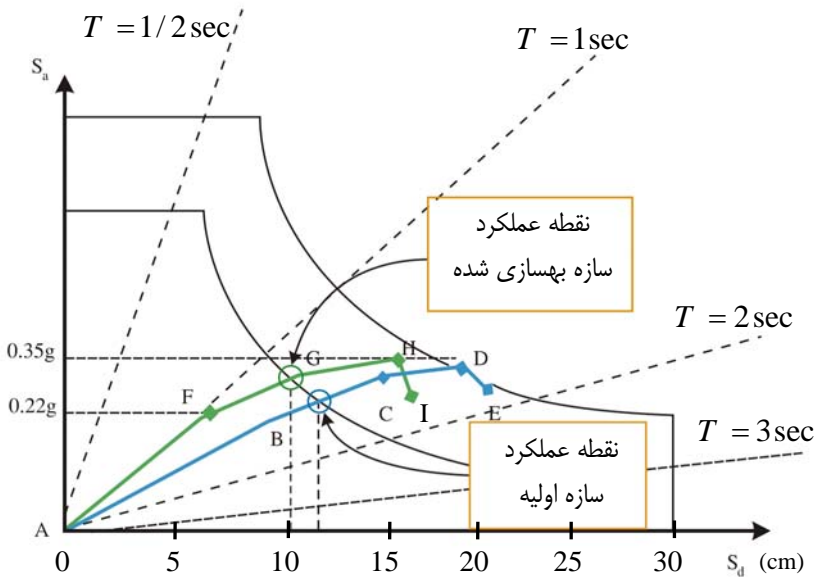
تأثیر افزایش مقاومت سازه بدون افزایش سختی در شکل (۱۰-۱) نشان داده شده است. در این شکل منحنی A-B-C-D، طیف ظرفیت سازه با مقاومت ناکافی است. این سازه دارای مشخصاتی از قبیل زمان تناوب اصلی الاستیک ۱ ثانیه، شتاب طیفی  $0.05g$  در اولین حد جاری شدن، شتاب طیفی  $0.08g$  در حدنهایی و جابجایی نهایی برابر  $15$  سانتیمتر می‌باشد. نقطه عملکرد سازه در نقطه D و طیف نیاز متناظر با آن برای سازه اولیه نشان داده شده است. همچنین در این شکل منحنی A-B-E-F-G-H، طیف ظرفیت ممکن برای سازه بعد از افزایش مقاومت جانبی می‌باشد. نکته قابل توجه در این شکل زمان تناوب اصلی الاستیک سازه، در همان ۱ ثانیه است که نشان‌دهنده افزایش مقاومت بدون افزایش سختی سازه است. جابجایی طیفی ماکزیمم نیز تغییر چندانی نیافته و این بیانگر ظرفیت تغییر شکل جانبی سازه است. سازه بهسازی شده دارای شتاب طیفی حد جاری شدن  $0.22g$ ، شتاب طیفی حدنهایی  $0.35g$  و نقطه عملکرد جدیدی در جابجایی  $10$  سانتیمتر می‌باشد.



شکل ۱۰-۱ - تاثیر افزایش مقاومت سیستم در عملکرد لرزه‌ای سازه

به بیان دیگر اگر راهکار انتخابی به منظور بهسازی منجر به افزایش مقاومت سازه بدون افزایش در سختی شود، شیب قسمت اصلی منحنی طیف ظرفیت تغییری نخواهد کرد و یا تغییری در ظرفیت شکل پذیری کلی سازه به وجود نخواهد آمد. البته در واقعیت اکثر راهکارهای اجرا شده برای افزایش مقاومت سازه (مانند اضافه کردن دیوار و میانقاب)، به افزایش سختی نیز منجر خواهد شد.

در شکل (۱۱-۱) تاثیر افزایش سختی بر منحنی طیف ظرفیت سازه نشان داده شده است.



شکل ۱۱-۱- تاثیر افزایش سختی بر عملکرد لرزه‌ای سازه

در این شکل منحنی A-B-C-D-E مربوط به سازه اولیه می‌باشد. این سازه دارای زمان تناوب اصلی الاستیک  $1/5$  ثانیه، شتاب طیفی در حد جاری شدن برابر  $g/22$  و شتاب طیفی نهایی برابر  $g/35$  می‌باشد. منحنی A-F-G-H-I نیز بیانگر منحنی طیف ظرفیت برای سازه با افزایش سختی می‌باشد. زمان تناوب اصلی الاستیک سازه برابر ۱ ثانیه، شتاب طیفی در حد جاری شدن و نهایی نیز بدون تغییر باقی مانده است. تاثیر این افزایش سختی بصورت انتقال نقطه عملکرد سازه از  $11/25$  سانتیمتر به  $10$  سانتیمتر می‌باشد و این تغییر زیادی در مقاومت سازه در برابر بارهای جانبی را به همراه نخواهد داشت.

### ۳-۴-۱- راهبرد کاهش نیاز ساختمان

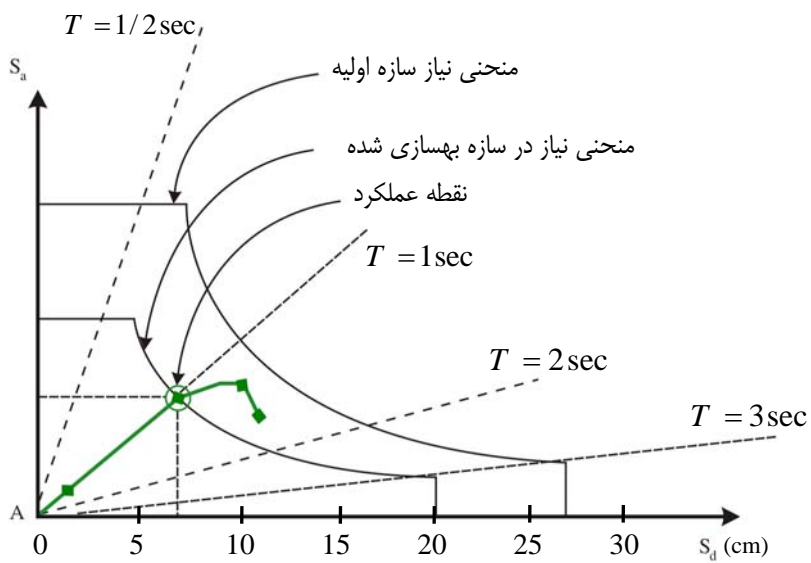
راهبرد دیگری که می‌توان جهت بهسازی سازه‌ها از آن استفاده کرد، کاهش نیاز سازه، بجای افزایش ظرفیت‌های تحمل در برابر نیروهای وارد بر آن می‌باشد که در این راهبرد با بکارگیری راهکارهایی، پاسخ سازه در برابر نیروهای وارد بر آن با کاهش نیاز سازه اصلاح می‌گردد. یعنی بجای تغییرات در منحنی ظرفیت سازه، تغییرات در طیف نیاز آن صورت می‌گیرد. باید توجه داشت که در کارهای عملی استفاده از این راهبرد باید همراه با افزایش مقاومت و سختی سازه باشد. از راهکارهای شناخته شده برای دستیابی به این راهبرد می‌توان به کاهش جرم ساختمان، نصب سیستم‌های جداساز لرزه‌ای و یا سیستم‌های غیر فعال اتلاف انرژی (میراگرهای) اشاره کرد.

### ۱-۴-۳-۱- کاهش جرم ساختمان

در ساختمان‌هایی که دارای ضعف کلی از نظر سختی جانبی یا ظرفیت باربری هستند یکی از راهبردهای مفید برای بهسازی، کاهش جرم ساختمان می‌باشد. چرا که با کاهش جرم، می‌توان میزان تغییرشکل‌ها و نیروهای داخلی ناشی از زلزله را در اعضا کاهش داد. برای این منظور می‌توان، با تخریب طبقات فوکانی، تغییر کاربری ساختمان، تغییر مصالح استفاده شده در نمای ساختمان، تغییر مشخصات دیوارهای داخلی و یا انتقال تجهیزات و انبارهای سنگین به نقاط دیگر، جرم ساختمان را تغییر داد. یکی دیگر از موارد موثر در کاهش جرم ساختمان، برداشتن مخازن مختلف از روی بام (و یا سایر طبقات) می‌باشد.

اگر چه کاهش وزن ساختمان روش بهبود عملکرد لرزه‌ای می‌باشد و این راهبرد، برخورد نسبتاً ریشه‌ای با مسئله آسیب‌پذیری سازه می‌باشد ولی در عمل بدلیل وزن ناچیز اعضای قابل حذف در ساختمان و مشکلاتی که در برابر حذف یک طبقه وجود دارد، استفاده از این راهبرد مشکل می‌باشد.

در شکل (۱۲-۱) تاثیر کاهش جرم ساختمان بر منحنی طیف نیاز سازه نشان داده شده است.



شکل ۱۲-۱- تاثیر کاهش جرم ساختمان بر منحنی نیاز سازه

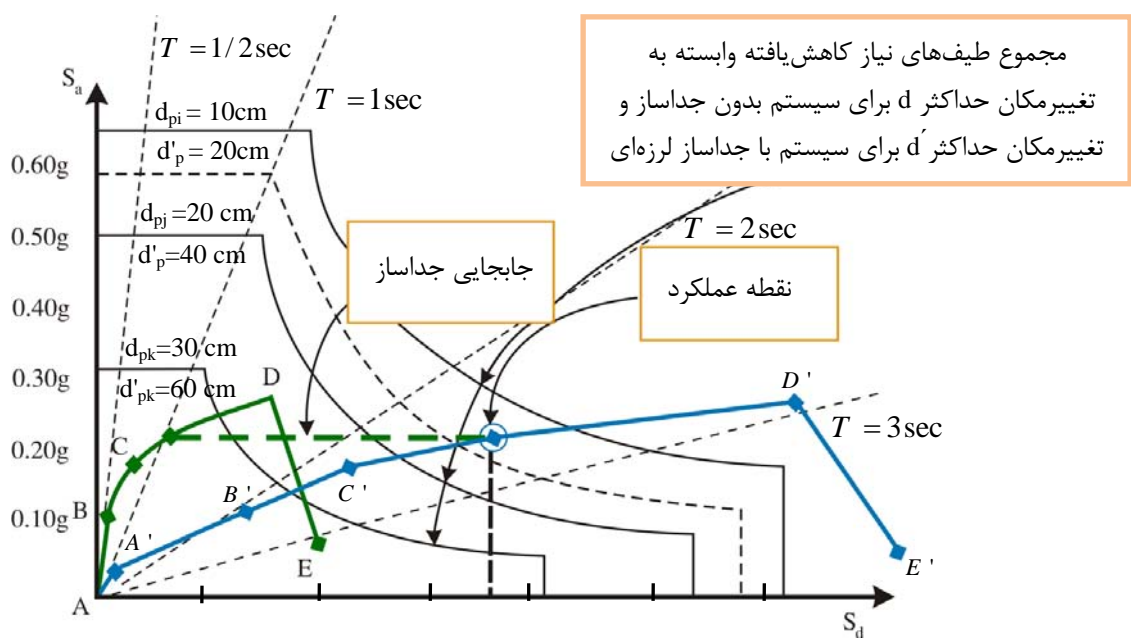
### ۱-۴-۳-۲- سیستم‌های جداسازی لرزه‌ای

استفاده از سیستم‌های جداسازی لرزه‌ای، راهبرد مناسبی برای کاهش اثرات زلزله روی سازه موجود می‌باشد. هنگامی که حفاظت از اعضاء مدنظر باشد و یا تجهیزات مهمی در ساختمان موجود باشد، با بکارگیری جداسازهای لرزه‌ای می‌توان انتقال انرژی موجود در حرکات ارتداشی زمین را به ساختمان محدود نمود.

در این روش هنگام وقوع زلزله تغییر شکل‌های ساختمان در تکیه‌گاه‌هایی که قابلیت تغییر شکل زیادی دارند متوجه شده و سازه مانند جسم صلب با تغییر شکل‌های کوچک ارتعاشی عمل می‌کند. روش جداسازی برای ساختمان‌های کوتاه و نسبتاً صلب موثر بوده و برای ساختمانهای بلند و نرم کارایی کمتری دارد.

نصب سیستم‌های جداساز لرزه‌ای منجر به افزایش اساسی در زمان تناوب اصلی سازه می‌شود. از این رو سیستم‌های جداساز به نوعی نیاز تغییر شکل‌های لرزه‌ای سازه را در خود متوجه می‌سازند. در نهایت این اثرات منجر به کاهش نیاز در بخش‌هایی از سازه که جداسازی شده‌اند، می‌شود.

در شکل (۱۳-۱) تأثیر جداساز لرزه‌ای بر منحنی‌های طیف نیاز و طیف ظرفیت سازه نمایش داده شده است.



شکل ۱۳-۱- تأثیرات استفاده از جداسازهای لرزه‌ای بر طیف نیاز و ظرفیت سازه

در این شکل منحنی A-B-C-D-E منحنی طیف ظرفیت برای سازه اصلی (بهسازی نشده) را مشخص می‌کند. این سازه دارای مشخصه‌های زمان تناوب اصلی ۵/۰ ثانیه و ظرفیت نهایی تغییر شکل در حدود ۱۵ سانتیمتر می‌باشد.

شروع تسلیم سازه در نقطه B و حد مقاومت نهایی آن در نقطه D می‌باشد. همانطور که مشخص است منحنی ظرفیت، منحنی طیف نیاز را در حداکثر تغییر مکان سازه قطع نکرده است و سازه در اثر زلزله طرح خراب می‌شود.

منحنی A'-A'-B'-C'-D'-E' نشان‌دهنده منحنی ظرفیت سازه بعد از نصب سیستم جداساز لرزه‌ای می‌باشد. اگر چه تغییر مکان در هر کدام از این مقاومت‌ها به دلیل جابجایی در سیستم جداساز، افزایش چشمگیری داشته ولی همانطور که ملاحظه می‌شود مقاومت جاری شدن و نهایی سازه بدون تغییر باقی مانده است.

همچنین زمان تناوب اصلی الاستیک سازه جداسازی شده تقریباً به ۲/۵ ثانیه رسیده است. جابجایی متناظر با نقطه تسلیم اولیه (B) در سازه بهسازی نشده برابر ۱/۲۵ سانتیمتر و در سازه جداسازی شده (B') برابر ۱۰ سانتیمتر می‌باشد. بطور مشابه ظرفیت

جابجایی نهایی در سازه اولیه (D) برابر ۱۵ سانتیمتر و در سازه جداسازی شده (D') برابر ۶۰ سانتیمتر می‌باشد. وقتی که در سازه از سیستم جداساز لرزه‌ای استفاده شود، متناسب با تغییراتی که شرح داده شد باید میرایی موثر محاسبه و منحنی نیاز مجدداً ترسیم شود. همانطور که در شکل (۱۳-۱) نشان داده شده است، نقطه عملکرد در سازه جداسازی شده در جابجایی طیفی برابر ۳۵ سانتیمتر اتفاق می‌افتد و ملاحظه می‌شود که تفاوت جابجایی‌های طیفی بین نقطه عملکرد در سازه جداسازی شده و نقطه متناظر با آن در سازه اصلی، برابر ۳۰ سانتیمتر می‌باشد.

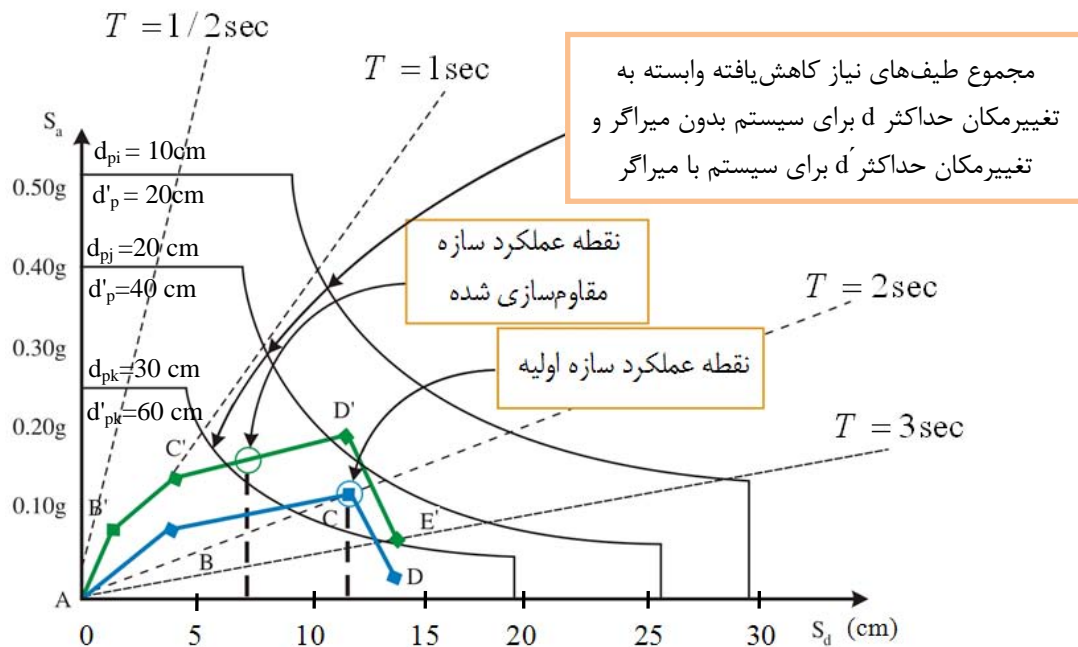
البته باید توجه داشت که کلیه جابجایی‌های ذکر شده طیفی بوده و برای محاسبه جابجایی‌های واقعی، باید منحنی طیف ظرفیت سازه جداسازی شده را به منحنی ظرفیت تبدیل کرد (منحنی برش پایه در برابر جابجایی بام). توضیحات کاربردی بیشتر در مورد این سیستم‌ها در فصل ششم ارائه خواهد شد.

### ۱-۴-۳-۳- سیستم‌های غیر فعال اتلاف انرژی (میراگرها)

بکارگیری سیستم‌های اتلاف انرژی برای کنترل و کاهش تغییر شکل ساختمان یکی از راهکارهای کاهش نیاز سازه و بهسازی آن می‌باشد. در ساختمانهایی که دارای سختی جانبی کافی نیستند با تعییه اجزاء جاذب انرژی در سازه می‌توان تغییر شکل‌های ساختمان را محدود ساخت. برای این منظور اجزاء خاصی طراحی و ساخته شده‌اند که با ایجاد اصطکاک یا تغییر شکل‌های خمیری و یا استفاده از خاصیت ویسکوزیته در سیالات، بخشی از انرژی سازه را جذب و مستهلك می‌کنند و به این ترتیب تغییر شکل‌های سازه محدود می‌شود. البته در بکارگیری این سیستم‌ها در بعضی موارد به دلیل افزایش سختی سازه، نیروهای جانبی نیز افزایش می‌یابند.

در شکل (۱۴-۱) تأثیر استفاده از میراگرها روی منحنی‌های نیاز و طیف ظرفیت سازه نمونه، نشان داده شده است. در این شکل منحنی A-B-C-D-A بیانگر منحنی طیف ظرفیت برای سازه اولیه (بدون تجهیزات میراگر) می‌باشد. نقطه عملکرد در سازه بهسازی نشده در جابجایی طیفی برابر ۱۲/۵ سانتیمتر اتفاق می‌افتد.

منحنی A'-B'-C'-D'-E' نیز نشان‌دهنده منحنی طیف ظرفیت سازه بعد از نصب سیستم‌های میراگر می‌باشد. در سازه مقاوم‌سازی شده، هم سختی اضافه شده است (کاهش زمان تناوب اصلی از ۱/۵ ثانیه به ۰/۷۵ ثانیه) و هم افزایش مقاومت مشاهده می‌شود. تأثیر اصلی استفاده از میراگر در این سازه روی منحنی نیاز بوده است. از نتایج این تأثیرات می‌توان به جابجایی نقطه عملکرد سازه به مقداری کمتر از ۷/۵ سانتیمتر و در نتیجه دستیابی سازه به سطح عملکرد بهتر (ایمنی جانی) اشاره کرد.



شکل ۱۴-۱ - تأثیر استفاده از سیستم‌های مستهلك کننده انرژی روی منحنی‌های نیاز و طیف ظرفیت



## **بخش دوم**

---

---

**بهسازی موضعی**



## **فصل ۲**

---

---

# **راهکارهای اصلاح موضعی اجزا**



## ۱-۲- کاشت پیچ و میلگرد

### ۱-۱- مقدمه

در مواردی برای تقویت عضو لازم است میلگرد یا پیچ در داخل بتن کاشته شود. در اکثر موارد عمل کاشت باید طوری انجام پذیرد که مقاومت گیرایی بیش از مقاومت کششی میلگرد یا پیچ باشد. به میلگرد یا پیچ کاشته شده در بتن اصطلاحاً میخچه گفته می‌شود.

کاشت پیچ یا میلگرد به سه روش مختلف انجام می‌شود.

- ۱- کاشت با استفاده از مواد پایه سیمانی
- ۲- کاشت با استفاده از چسب اپوکسی
- ۳- کاشت با استفاده از مهار مکانیکی

### ۲-۱-۲- کاشت با استفاده از پایه سیمانی

در کارهای ساختمانی به علت فراموشی در تعییه ریشه‌های ستون، اجرای ستون در محل هایی غیر از محل استقرار ستون در نقشه، رفع خطا در محل میلگردهای انتظار و بالاخره عملیات بهسازی از این روش استفاده می‌شود.

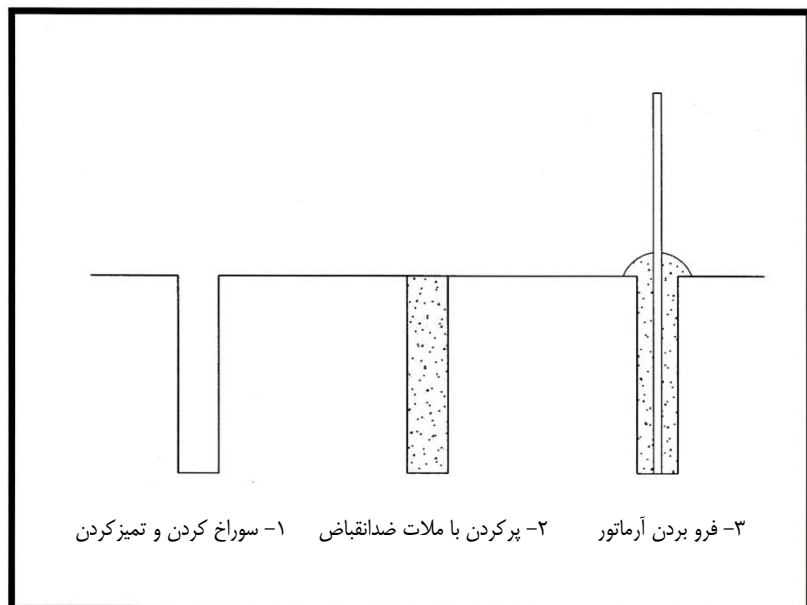
برای کاشت میلگرد ابتدا سوراخی به قطر حدود ۵ میلیمتر بزرگتر از قطر میلگرد و به طول مهاری آن و یا بیشتر به کمک دستگاه مغزه‌گیر، در بتن ایجاد می‌شود و داخل آن با حجم مناسب ملات روان پر می‌گردد. ملات روان ترکیبی از آب، سیمان، ماسه، مواد ضد انقباض و روان‌ساز می‌باشد. پس از پر نمودن نسبی سوراخ با ملات، میلگرد به کمک چک هیدرولیک با فشار به داخل سوراخ رانده شود. بدیهی است مقداری ملات از داخل سوراخ خارج شده و باقیمانده در پیرامون میلگرد در داخل سوراخ متراکم می‌گردد. ملات داخل سوراخ طی مدت زمان لازم عمل آوری می‌گردد تا سیمان به مقاومت لازم برسد. بدیهی است اگر میلگرد آجdar بوده و محیط سوراخ مضرس باشد نتیجه رضایت بخش‌تر خواهد بود.

مراحل اجرای میخچه پایه سیمانی در شکل ۱-۱-۲ نشان داده شده است.

### ۳-۱-۲- کاشت با استفاده از مواد اپوکسی

روش کار همانند کاشت با مواد پایه سیمانی است که در آن به جای سیمان از چسب‌های اپوکسی استفاده می‌شود. با توجه به چسبندگی فوق العاده زیاد چسب‌های اپوکسی بدیهی است که قطر سوراخ و طول مهاری کوچکتر خواهد شد، در نتیجه عملیات سوراخ کاری سهولت‌تر می‌گردد. اما قیمت مواد اپوکسی گرانتر است.

چسب‌های اپوکسی قدرت گیرش فوق العاده زیاد دارند. بنابراین آنها را نمی‌توان به صورت ترکیب کامل بسته‌بندی و حمل نمود، زیرا به سرعت می‌گیرند و فاسد می‌شوند.



شکل ۲-۱-۱-۱- مرحله اجرای میخچه پایه سیمانی

چسب‌های اپوکسی به صورت دو یا سه جزئی حمل می‌گردند. در بعضی حالات این مواد بصورت تفکیک داخل کپسول تعییه می‌شوند. کپسول را وارد سوراخ کرده و میلگرد را به درون سوراخ می‌کوبند، مواد در همانجا با هم ترکیب شده و چسبندگی به وجود می‌آید. نمونه‌ای از کاشت پیچ به کمک مواد اپوکسی داخل کپسول در شکل ۲-۱-۲ نشان داده شده است.



شکل ۲-۱-۲- کاشت پیچ به کمک مواد اپوکسی داخل کپسول

در بعضی موارد اجزاء چسب‌های اپوکسی در داخل نازل ترکیب و سپس درون سوراخ تزریق می‌گردند.

مراحل کاشت به شرح زیر است:

۱. محاسبه ابعاد سوراخ برای استقرار پیچ و یا میلگرد مطابق با جدول ۱-۱-۲،
۲. ایجاد سوراخ مورد نیاز با ابزار مناسب،
۳. تمیز نمودن گرد و غبار ناشی از حفاری با استفاده از دستگاه مکنده یا برس موئی،
۴. زدودن هرگونه چربی و مواد روغنی، دانه‌های سست و یا سطوح فاقد استحکام و رطوبت از سطوح داخلی سوراخ،
۵. ترکیب نمودن اجزا چسب اپوکسی درون نازل،
۶. تزریق چسب تا میزان دو سوم حجم حفره،
۷. فرو بردن پیچ یا میلگرد به صورت چرخشی داخل سوراخ،
۸. تمیز نمودن مواد اضافی بیرون ریخته از دهانه سوراخ با کاردک و یا ابزار دیگر،
۹. زمان عملآوری بر اساس درجه حرارت محیط مطابق جدول ۲-۱-۲ می‌باشد که پس از گذشت این زمان، بارگذاری قابل اعمال است.

جدول ۱-۱-۲ - محاسبه ابعاد سوراخ برای استقرار پیچ و یا میلگرد

| قطر سوراخ<br>(mm) | قطر پیچ یا میلگرد<br>(mm) | عمق سوراخ<br>(mm) |
|-------------------|---------------------------|-------------------|
| ۱۰                | ۸                         | ۸۰                |
| ۱۲                | ۱۰                        | ۹۰                |
| ۱۴                | ۱۲                        | ۱۱۰               |
| ۱۶                | ۱۴                        | ۱۲۰               |
| ۱۸                | ۱۶                        | ۱۲۵               |
| ۲۲                | ۲۰                        | ۱۷۰               |
| ۲۸                | ۲۴                        | ۲۱۰               |
| ۳۵                | ۳۰                        | ۲۸۰               |

➤ توصیه می‌شود عمق سوراخ از اولین سفره آرماتور گذاری عبور کند.

جدول ۲-۱-۲ - محاسبه زمان عملآوری بر اساس درجه حرارت محیط

| زمان عملآوری بر حسب دقیقه | درجه حرارت محیط (°C) | -۵ | ۰  | ۵  | ۱۰ | ۲۰ | بالای ۲۰ |
|---------------------------|----------------------|----|----|----|----|----|----------|
| ۳۶۰                       | ۱۸۰                  | ۹۰ | ۴۰ | ۲۰ |    |    |          |

### ۱-۳-۱-۲- مقاومت کششی و برشی پیچ یا میلگرد کاشته شده با چسب اپوکسی

در جدول ۱-۳-۲ مقاومت کششی و مقاومت برشی توصیه شده برای پیچ یا میلگرد کاشته شده با چسب اپوکسی ارائه شده است. این مقدار باید در ضرایب اصلاح مربوطه ضرب گردد تا مقاومت کششی و برشی اصلاح شده بدست آید.

$$(1-1-2) \quad (\text{مقاومت کششی یا برشی توصیه شده}) = \alpha_1 \cdot \alpha_2 \cdot \alpha_3$$

### جدول ۱-۳-۲- مقاومت برشی و کششی توصیه شده برای میخچه‌های کاشته شده

با چسب اپوکسی بر حسب کیلو نیوتن در بتن با مقاومت  $f_c' = 20 \text{ MPa}$

| مقادیر برشی<br>(KN) | مقادیر کششی<br>(KN) | قطر پیچ یا میلگرد<br>(mm) |
|---------------------|---------------------|---------------------------|
| ۸                   | ۸                   | ۸                         |
| ۱۳                  | ۱۳                  | ۱۰                        |
| ۱۹                  | ۱۹                  | ۱۲                        |
| ۲۹                  | ۲۹                  | ۱۴                        |
| ۳۶                  | ۳۶                  | ۱۶                        |
| ۵۷                  | ۵۷                  | ۲۰                        |
| ۸۳                  | ۸۳                  | ۲۴                        |
| ۱۳۰                 | ۱۳۰                 | ۳۰                        |

### ۲-۳-۱-۲- ضرایب اصلاح

مقاومت‌های ارائه شده در جدول ۱-۳-۲ به مقاومت جداره سوراخ، مقاومت پیچ یا میلگرد، طول سطح تماس میلگرد و یا پیچ با رزین، نوع و نحوه ایجاد حفره و فاصله‌بندی سوراخ‌ها بستگی دارد. برای محاسبه تنش‌های اصلاح شده میخچه باید از سه ضریب اصلاح مقاومت مصالح پایه، ضریب کاهش مقاومت فاصله‌بندی سوراخ‌ها و ضریب کاهش مقاومت فاصله میخچه‌ها از لبه سازه استفاده نمود. سه ضریب اصلاح مقاومت باید به صورت همزمان در مقاومت‌های ارائه شده ضرب گردد.

#### الف- ضریب اصلاح مقاومت مصالح پایه ( $\alpha_1$ ):

از آنجا که مقاومت‌های معرفی شده برای کاشت میخچه‌ها در بتن با مقاومت مشخصه  $20 \text{ MPa}$  باشد، برای مصالح بتی پای کار با مقاومت‌های مختلف ضریب اصلاح رابطه ۲-۱-۲ معرفی می‌گردد:

$$(2-1-2) \quad \alpha_1 = \sqrt{\frac{f_c'}{20}}$$

که در این رابطه:

$f_c'$ : مقاومت مشخصه بتن بر حسب مگاپاسکال می‌باشد.

ب- ضریب کاهش مقاومت فاصله میخچه‌ها از یکدیگر ( $a_2$ ):

بر اساس فاصله‌بندی سوراخ‌ها، ضریب کاهش مقاومت مطابق جدول ۱-۲-۴ محاسبه می‌گردد.

جدول ۱-۲-۴- محاسبه ضریب کاهش مقاومت به علت فاصله‌بندی

| فاصله‌بندی سوراخ‌ها<br>(mm) |      |      |      |      |      |      |      |      |      | قطر پیچ یا میلگرد<br>(mm) |
|-----------------------------|------|------|------|------|------|------|------|------|------|---------------------------|
| ۲۱۰                         | ۱۷۰  | ۱۲۵  | ۱۱۰  | ۹۰   | ۸۰   | ۶۵   | ۵۵   | ۴۵   | ۴۰   |                           |
|                             |      |      |      |      | ۱/۰۰ | ۰/۹۱ | ۰/۸۴ | ۰/۷۸ | ۰/۷۵ | ۸                         |
|                             |      |      |      | ۱/۰۰ | ۰/۹۴ | ۰/۸۶ | ۰/۸۱ | ۰/۷۵ |      | ۱۰                        |
|                             |      |      | ۱/۰۰ | ۰/۹۱ | ۰/۸۶ | ۰/۸۰ | ۰/۷۵ |      |      | ۱۲                        |
|                             |      | ۱/۰۰ | ۰/۹۴ | ۰/۸۶ | ۰/۸۲ | ۰/۷۶ |      |      |      | ۱۶                        |
|                             | ۱/۰۰ | ۰/۸۷ | ۰/۸۳ | ۰/۷۶ |      |      |      |      |      | ۲۰                        |
| ۱/۰۰                        | ۰/۹۰ | ۰/۸۰ | ۰/۷۶ |      |      |      |      |      |      | ۲۴                        |

➤ لازم به ذکر است فاصله میخچه‌ها از یکدیگر به هیچ عنوان نباید از مقادیر عنوان شده در جدول فوق کمتر اختیار شوند.

پ- ضریب کاهش مقاومت به علت فاصله سوراخ‌ها از لبه ( $a_3$ ):

بر اساس فاصله میخچه‌ها از لبه ضریب کاهش مقاومت مطابق جدول ۱-۲-۵ محاسبه می‌گردد.

جدول ۱-۲-۵- محاسبه ضریب کاهش مقاومت فاصله سوراخ از لبه

| فاصله میخچه‌ها از لبه<br>(mm) |      |      |      |      |      |      |      |      |      | قطر پیچ یا میلگرد<br>(mm) |
|-------------------------------|------|------|------|------|------|------|------|------|------|---------------------------|
| ۲۱۰                           | ۱۷۰  | ۱۲۵  | ۱۱۰  | ۹۰   | ۸۰   | ۶۵   | ۵۵   | ۴۵   | ۴۰   |                           |
|                               |      |      |      |      | ۱/۰۰ | ۰/۸۷ | ۰/۷۸ | ۰/۶۹ | ۰/۶۵ | ۸                         |
|                               |      |      |      | ۱/۰۰ | ۰/۹۲ | ۰/۸۱ | ۰/۷۳ | ۰/۶۵ |      | ۱۰                        |
|                               |      |      | ۱/۰۰ | ۰/۸۷ | ۰/۸۱ | ۰/۷۱ | ۰/۶۵ | ۰/۵۹ |      | ۱۲                        |
|                               |      | ۱/۰۰ | ۰/۹۲ | ۰/۸۰ | ۰/۷۵ | ۰/۶۶ |      |      |      | ۱۶                        |
|                               | ۱/۰۰ | ۰/۸۱ | ۰/۷۵ | ۰/۶۷ |      |      |      |      |      | ۲۰                        |
| ۱/۰۰                          | ۰/۸۷ | ۰/۷۲ | ۰/۶۷ |      |      |      |      |      |      | ۲۴                        |

➤ لازم به ذکر است فاصله میخچه‌ها از لبه به هیچ عنوان نباید از مقادیر عنوان شده در جدول فوق کمتر اختیار شوند.

### ۴-۱-۲- کاشت به کمک مهار مکانیکی

در این روش همانند روش‌های قبلی ابتدا سوراخی به قطر حدود ۲ میلیمتر بزرگتر از قطر پیچ در بتن ایجاد می‌گردد، سپس پیچ با مهار مکانیکی را داخل سوراخ قرار می‌دهند. این پیچ در انتهای خود دارای پره‌های مخصوصی است که با پیچاندن پیچ باز می‌شوند و به جدار سوراخ می‌چسبند. پیچ آنقدر سفت می‌گردد تا پره‌ها تا جایی که ممکن است به دیوار بچسبند. در این روش نیز طول مهار بسیار کوتاه است. شاید برای بارهای دینامیکی مناسب نباشند، چون پره‌ها می‌توانند بتن محیطی خود را خرد نمایند ولی به هر حال در کارهای استاتیکی بسیار عالی هستند(شکل ۲-۱-۳).

هر نوع پیچ مهاری بر حسب قطر و مقاومت میلگرد دارای نیروی برشی و کششی مجاز می‌باشد که توسط کارخانه سازنده ارائه می‌گردد.



شکل ۲-۱-۳- میخچه‌های مکانیکی

مقاومت برشی و کششی نهایی، مشخصه و طراحی پیچ‌های مکانیکی متداول در جدول‌های ۱-۲ و ۷-۱-۶ ارائه شده است. مقاومت‌های ارائه شده برای شرایطی است که فاصله پیچ‌ها از یکدیگر و از لبه اعضا کافی باشد و برای استفاده از پیچ‌های خاص و همچنین استفاده از پیچ‌های متداول در فواصل کمتر باید از مقاومت‌ها و ضرایب کاشش مقاومت توصیه شده توسط کارخانه سازنده

استفاده نمود. لازم به ذکر است که مقاومت‌های ارئه شده بر اساس مقاومت بتن  $20 \text{ MPa}$  می‌باشد و برای بتن با مقاومت بیشتر می‌توان مقادیر جدول زیر را در ضربی  $\sqrt{\frac{f_c}{20}}$  ضرب نمود. استفاده از این روش در بتن با مقاومت کمتر از  $20 \text{ MPa}$  توصیه نمی‌شود.

همان گونه که در جداول زیر نشان داده شده است، شکل ظاهری بتن (ترک خورده یا سالم) در مقاومت‌های ارئه شده موثر می‌باشد.

**جدول ۲-۱-۶- نیروی برشی و کششی نهايی میخچه‌های مکانيکي بر حسب كيلو نيوتن برای طراحی به روش حدی**

| ۲۴    | ۲۰    | ۱۶   | ۱۲   | ۱۰   | ۸    | قطر پیچ (mm)      |               |
|-------|-------|------|------|------|------|-------------------|---------------|
| ۷۹/۱  | ۷۷/۴  | ۴۹/۸ | ۳۵/۱ | ۲۶/۷ | ۱۸/۱ | مقاومت کششی نهايی | بنجكوي سالم   |
| ۱۵۱/۴ | ۱۳۶/۰ | ۸۴/۰ | ۵۰/۳ | ۳۱/۹ | ۲۲/۸ | مقاومت برشی نهايی |               |
| ۷۰/۵  | ۵۵/۱  | ۳۶/۰ | ۲۰/۱ | ۱۸/۴ | ۱۲/۷ | مقاومت کششی نهايی | بنجكوي ميلگرد |
| ۱۵۱/۴ | ۱۰۶/۶ | ۸۴/۰ | ۴۵/۵ | ۳۱/۹ | ۲۰/۶ | مقاومت برشی نهايی |               |

**جدول ۲-۱-۷- نیروی برشی و کششی مجاز میخچه‌های مکانيکي بر حسب كيلو نيوتن برای طراحی به روش تنش مجاز**

| ۲۴   | ۲۰   | ۱۶   | ۱۲   | ۱۰   | ۸    | قطر پیچ (mm)     |               |
|------|------|------|------|------|------|------------------|---------------|
| ۴۰/۰ | ۳۳/۳ | ۲۳/۳ | ۱۳/۳ | ۱۰/۷ | ۶/۰  | مقاومت کششی مجاز | بنجكوي سالم   |
| ۷۹/۹ | ۵۵/۶ | ۳۸/۵ | ۲۴/۰ | ۱۶/۰ | ۱۰/۴ | مقاومت برشی مجاز |               |
| ۲۶/۷ | ۲۰/۰ | ۱۶/۷ | ۸/۰  | ۶/۰  | ۳/۳  | مقاومت کششی مجاز | بنجكوي ميلگرد |
| ۷۹/۹ | ۵۵/۶ | ۳۸/۵ | ۲۴/۰ | ۱۶/۰ | ۱۰/۴ | مقاومت برشی مجاز |               |

### مثال ۱-۱-۲ :

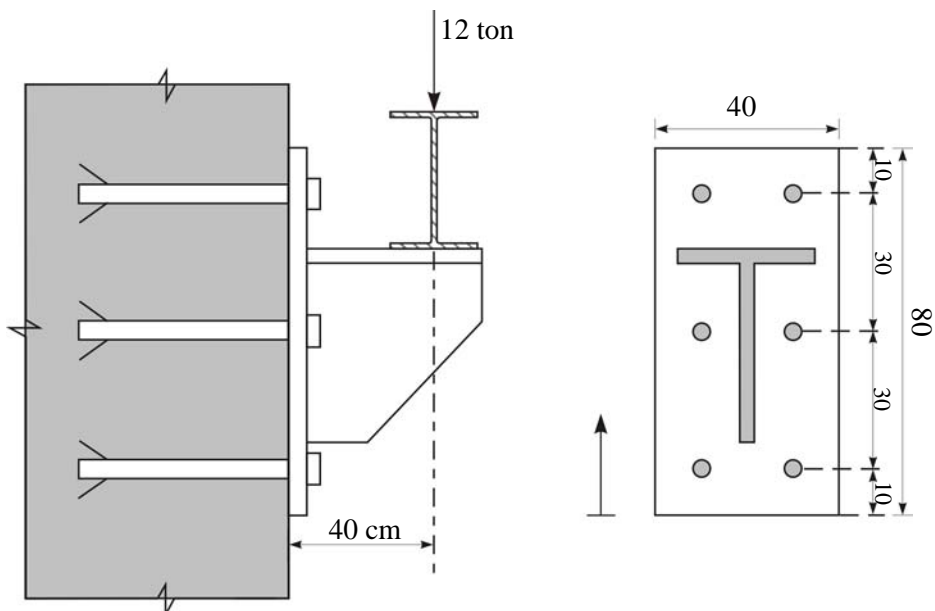
می‌خواهیم به ستون بتنی مسلح، براکتی برای حمل تیر جرثقیل متصل نماییم. واکنش تکیه‌گاهی حداکثر جرثقیل  $12 \text{ تن}$  می‌باشد. مطلوبست طراحی اتصال براکت با کاشت میخچه مکانیکی. شکل ظاهری بتن سالم و بدون ترک و مقاومت فشاری آن  $20 \text{ MPa}$  می‌باشد.

برای اجرای براکت از پیچ با قطر  $20 \text{ میلیمتر}$  استفاده می‌نماییم. از آنجا که ظاهر بتن سالم می‌باشد از جدول ۲-۱-۷ داریم:

نیروی مجاز کششی  $= \frac{33}{3} \text{ KN}$

نیروی مجاز برشی  $= \frac{55}{6} \text{ KN}$

ارتفاع کل ورق  $80$  سانتیمتر و آرایش پیچ‌ها مطابق شکل اختیار می‌شود.



شکل مثال ۲-۱-۱-الف

حل:

تعیین مشخصات هندسی مقطع:

$$40y \frac{y}{2} = 2 \times A (10 - y + 40 - y + 70 - y)$$

$$20y^2 = 2A (120 - 3y)$$

$$10y^2 = A (120 - 3y)$$

$$10y^2 + 3.14 \times 3y - 3.14 \times 120 = 0$$

$$y^2 + 0.942y - 37.68 = 0$$

$$y = 5.69 \text{ cm}$$

$$I = 2 \times 3.14 \left[ (10 - 5.69)^2 + (40 - 5.69)^2 + (70 - 5.69)^2 \right] + 40 \times \frac{5.69^3}{3}$$

$$I = 35938 \text{ cm}^4 \rightarrow S_t = I / (70 - 5.69) = 558 \text{ cm}^3$$

محاسبه لنگر وارد بر برآکت:

$$M = 12 \times 0.4 = 4.8 \text{ ton.m}$$

محاسبه تنش کشنی:

$$\sigma = \frac{4.8 \times 10^5}{558} = 860 \text{ kg/cm}^2 \quad f_t = 860 \times 3.14 \times 10^{-3} = 2.7 \text{ ton} < F_t = 3.33 \text{ ton}$$

محاسبه تنش برشی:

$$f_v = \frac{12}{6} = 2 \text{ ton} < F_v = 5.56 \text{ ton}$$

محاسبه تنش ترکیبی:

$$\left( \frac{2}{5.56} \right)^2 + \left( \frac{2.7}{3.33} \right)^2 = 0.13 + 0.66 = 0.79 < 1 \text{ O.K.}$$



## ۲-۲- راهکارهای بهسازی شالوده و پی

### ۱-۲-۲- معرفی

بارهای ساختمان از طریق شالوده به خاک زیر آن یعنی پی منتقل می‌گردد. از این رو نقش شالوده و پی در اینمی ساختمان مهم می‌باشد.

معمول ترین موارد آسیب‌پذیری شالوده و پی به قرار زیر است:

#### الف- آسیب‌پذیری شالوده

- وجود نیروی کششی بلند کننده

- عدم کفایت ظرفیت خمشی یا برشی (برش خمشی یا برش سوراخ کننده) مقطع شالوده

- تهاجم مواد شیمیایی مضر موجود در خاک و آب زیرزمینی به بتن شالوده

- عدم کفایت مقاومت جانبی برای تحمل نیروهای جانبی وارد بر شالوده

- وجود نیروی فشاری یا کششی بیش از ظرفیت سازه‌ای در شمعها

#### ب- آسیب‌پذیری پی

- وقوع تنش فشاری بیش از ظرفیت برابری پی در زیر شالوده

- وجود نیروی فشاری یا کششی بیش از ظرفیت ژئوتکنیکی سازه‌ای در شمعها

- وجود نشستهای زیاد و غیرقابل قبول در پی

- وجود پتانسیل روانگرایی، ماسه سریع و تورم در خاک زیر شالوده

- عدم پایداری ساختگاه سازه، مخصوصاً برای ساختمان‌هایی که بر روی زمین‌های شیبدار احداث شده‌اند.

روندهای ارزیابی شرایط پی و شالوده شامل موارد زیر می‌باشد:

- تحقیق اسناد و بایگانی مدارک طراحی ساختمان برای گزارش مکانیک خاک

- بررسی خاک‌ها در قالب نمونه‌گیری و انجام آزمایش‌های مرتبط، اندازه‌گیری سطح آب زیرزمینی و میزان فشار آب حفره‌ای

- برآورد ابعاد شالوده ساختمان و شالوده دیوارها. در صورت لزوم بعضی از شالوده‌ها تحت گمانه‌زنی قرار گرفته و در این گمانه‌ها میزان زوال مصالح را بررسی می‌کنند.

- بررسی آثار نشست پی شامل شکل‌گیری ترک‌ها و کج شدن دیوارها، برآمدگی مناطق مجاور و مسیرهای قائم و افقی پی

- کسب اطلاعات لازم از هندسه، پیکربندی و نقشه‌های اجرایی ساختمان و شالوده و بارگذاری

- مدلسازی و تحلیل

- ارزیابی

- ارائه طرح تقویت

## ۲-۲-۲- مشکلات مقاوم‌سازی شالوده

همان‌گونه که قبلاً اشاره شد، علاوه بر هزینه بالای بهسازی شالوده‌ها، این کار در زمان بهره‌برداری از ساختمان، بسیار مشکل است.

در هنگام مقاوم‌سازی شالوده، با مشکلات زیر روبرو هستیم:

- ۱- لزوم تخلیه کلیه و یا قسمتی از فضاهای طبقه همکف یا زیرزمین
- ۲- تخریب دال کف زمین در داخل ساختمان و سنگ فرش بیرون از آن
- ۳- فضای بسیار محدود در طول عملیات مقاوم‌سازی به علت وجود پایه‌ها و تکیه‌گاه‌های موقتی
- ۴- ارتفاع محدود برای تجهیز ساختمان
- ۵- صدا و لرزش‌های ساختمان

## ۲-۳-۳- انواع راهکارهای رفع عیوب شالوده

برای رفع موارد عیوب شالوده می‌توان از راهکارهای مختلفی به صورت مجزا و یا در ترکیب با یکدیگر استفاده نمود؛ به طور کلی تعمیر و تقویت شالوده‌ها را می‌توان به کمک یکی از روش‌های زیر انجام داد:

- ۱- تقویت سازه‌ای شالوده موجود (بهسازی سازه‌ای)
  - ۲- بهبود شرایط پی (بهسازی ژئوتکنیکی)
  - ۳- کاهش بار وارد بر فونداسیون از طریق سبک کردن ساختمان یا افزایش عناصر مقاوم جانبی
- مقاوم‌سازی لرزه‌ای شالوده شامل بهسازی سازه‌ای شالوده ضعیف و یا احداث شالوده جدید می‌باشد، ولی در بعضی از موارد لازمست شرایط خاک زیر شالوده (پی) را بهبود بخشد.

## ۲-۴- راهکارهای بهسازی شالوده و پی

با توجه به نوع ضعف موجود در شالوده و پی، راهکارهای مختلفی برای تقویت آنها وجود دارد که عبارتند از:

الف- بهسازی سازه‌ای شامل:

- افزایش ابعاد شالوده
- افزودن شناذ به شالوده موجود
- تقویت خمشی و برشی شالوده با کابل‌های پیش‌تنیده
- افزایش مقاومت شمع‌های موجود

ب- بهسازی ژئوتکنیکی شامل:

- تزریق (اختلاط مکانیکی)
- ریزشمع

- احداث شمع

- تقویت از زیر شالوده (پی‌بندی)

#### ۱-۴-۲-۲- راهکارهای بهسازی شالوده

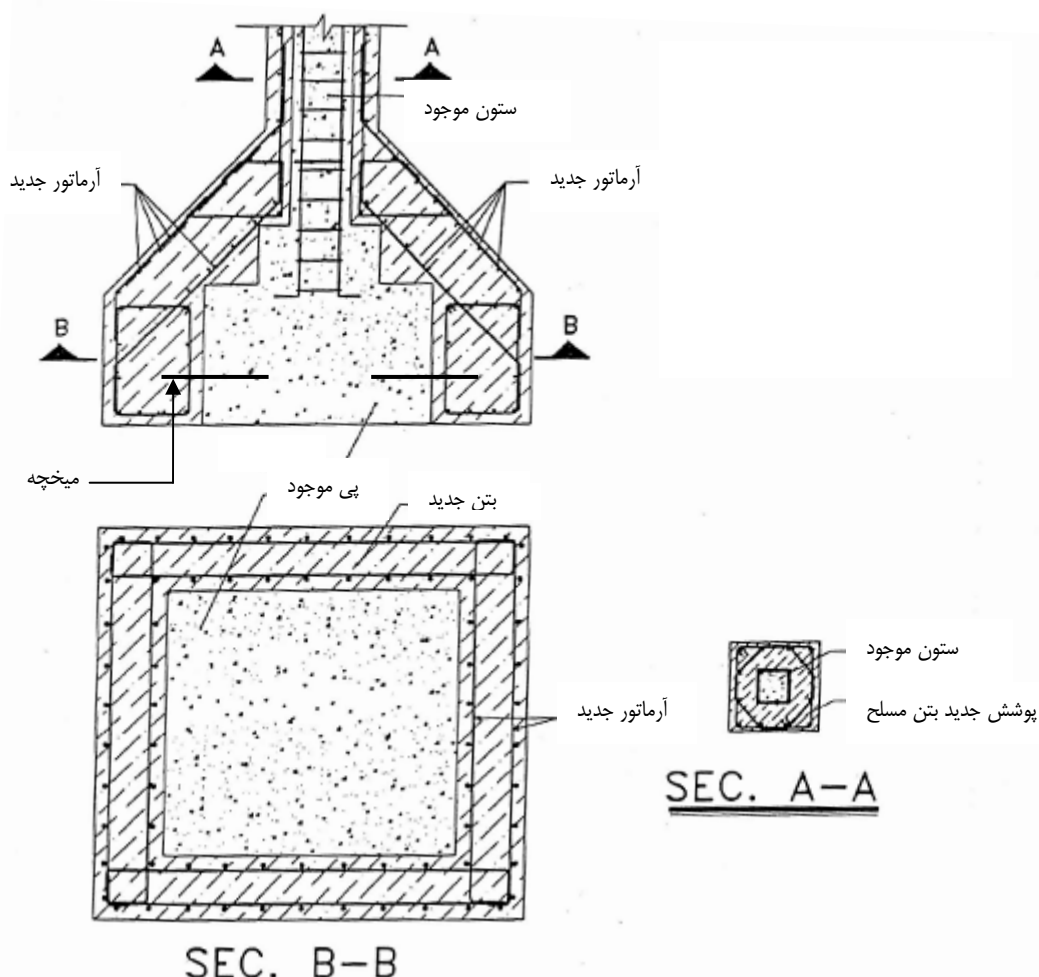
##### I- افزایش ابعاد شالوده

با افزایش ابعاد شالوده می‌توان سطح تماس بر پی را افزایش داد و از تنש‌های اعمالی بر پی کاست که این اقدام منجر به افزایش ظرفیت باربری شالوده می‌شود. همچنین با افزایش ابعاد شالوده و به دنبال آن کاهش تنش موجود در پی، نشستهای پی خاک نیز کاهش می‌یابد. در شکل‌های ۱-۲-۲ و ۲-۲-۲ نمونه‌ای از این روش نشان داده شده است.

دو حالت افزایش ابعاد شالوده وجود دارد:

۱- افزایش ابعاد شالوده و ستون متصل به آن (شکل ۱-۲-۲)

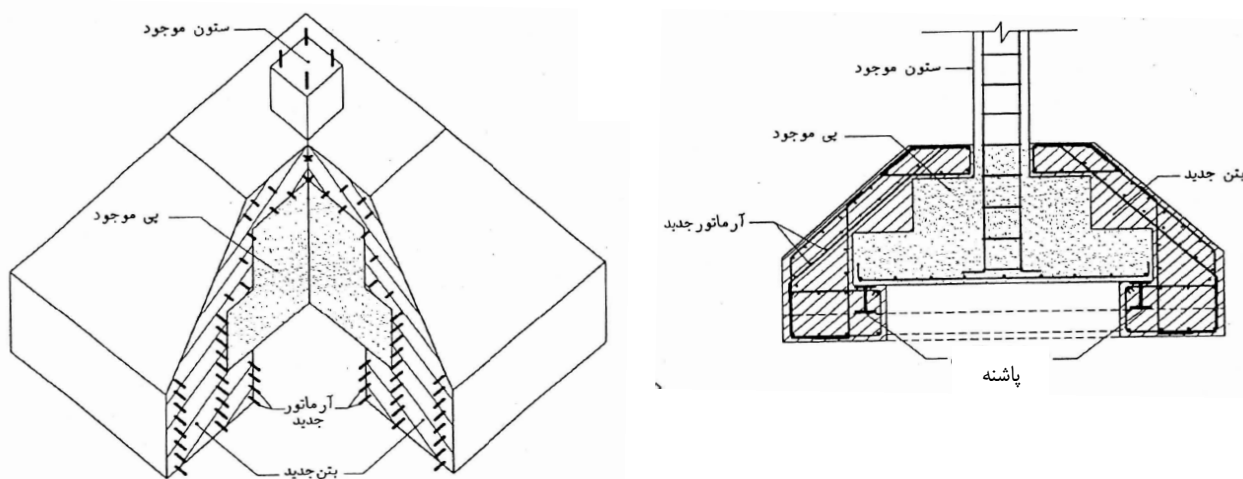
۲- افزایش ابعاد شالوده به تنها یی (شکل ۲-۲-۲)



شکل ۱-۲-۱- افزایش ابعاد شالوده و ستون متصل به آن

در شرایط مقاوم‌سازی شالوده و ستون مطابق شکل ۲-۱، برای افزایش مقاومت شالوده موجود باید ابعاد قسمت زیرین شالوده را افزایش داد. در این روش فشار خاک اضافه شده باید به صورت یکنواخت به شالوده اعمال گردد. کمربند محیطی شالوده باید بار قسمت‌های فوقانی سازه را به خاک زیر آن منتقل نماید. در این حالت باید به دنبال پیوستگی کامل بین روکش بتنی و بتن شالوده باشیم که این امر با تمیز و مضرس کردن سطح بتن قدیم و یا استفاده از اتصالات مکانیکی به صورت میخچه امکان‌پذیر است.

در حالی که تنها ابعاد شالوده افزایش پیدا کرده و ستون مقاوم‌سازی نشده باشد، بار اعمالی به قسمت‌های تقویت شده باید مستقیماً به شالوده موجود منتقل گردد. این امر با استفاده از پاشنه یکپارچه‌ای که در محیط و زیر شالوده موجود قرار گرفته، محقق می‌گردد. در این راستا از آرماتور‌گذاری مناسبی باید در پاشنه مورد استفاده قرار گیرد (شکل ۲-۲-۲).



شکل ۲-۲-۲-بهسازی شالوده بوسیله افزایش ابعاد هندسی

مراحل اجرای راهکار افزایش ابعاد شالوده به شرح زیر می‌باشد:

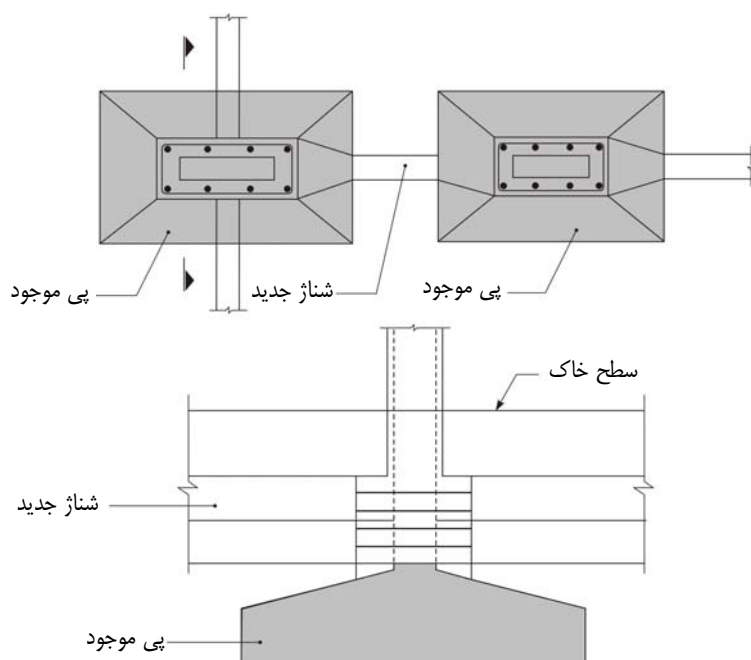
- ۱- خالی کردن اطراف شالوده از تراز روی آن تا تراز زیر بتن مگر به اندازه عرضی بیشتر از عرض موردنیاز مقاوم‌سازی
- ۲- مضرس کردن سطح بتن در بالا و وجوده عمودی شالوده
- ۳- ایجاد سوراخ‌های افقی در اطراف شالوده برای کاشت شاخص (میخچه). (در صورت لزوم)
- ۴- اجرای بتن مگر اضافی در ناحیه افزایش ابعاد
- ۵- تمیز و مضرس کردن سطوح تماس اجرای چسب پلیمری بر روی سطوح نمایان شالوده
- ۶- اجرای آرماتورهای اضافی برای بتن مسلح جدید مطابق نقشه‌های اجرایی
- ۷- اجرای بتن جدید
- ۸- جدا کردن قالب‌ها و مراقبت از شالوده با پوشاندن سطح بتن با گونی‌های خیس (هرگز نباید شالوده را مستقیماً با آب خیس نمود، زیرا منجر به شستن لایه‌های زیر آن می‌شود)
- ۹- مقاوم‌سازی ستون (در صورت لزوم)

۱۰- پرکردن مجدد شالوده ترجیحاً با خاک‌های درشت دانه در لایه‌های مختلفی که کاملاً متراکم شده باشند.

۱۱- کامل کردن کف و سنگ فرش روی شالوده

## II- افزودن شناز به شالوده

یکی از راهکارهای بهسازی شالوده در برابر لغزش، به هم بستن شالوده‌ها و ایجاد مشارکت کلیه شالوده‌ها در تحمل بارهای جانبی می‌باشد. به همین منظور از شناز برای بستن شالوده‌ها استفاده می‌گردد (شکل ۲-۲-۳ و ۲-۲-۴).



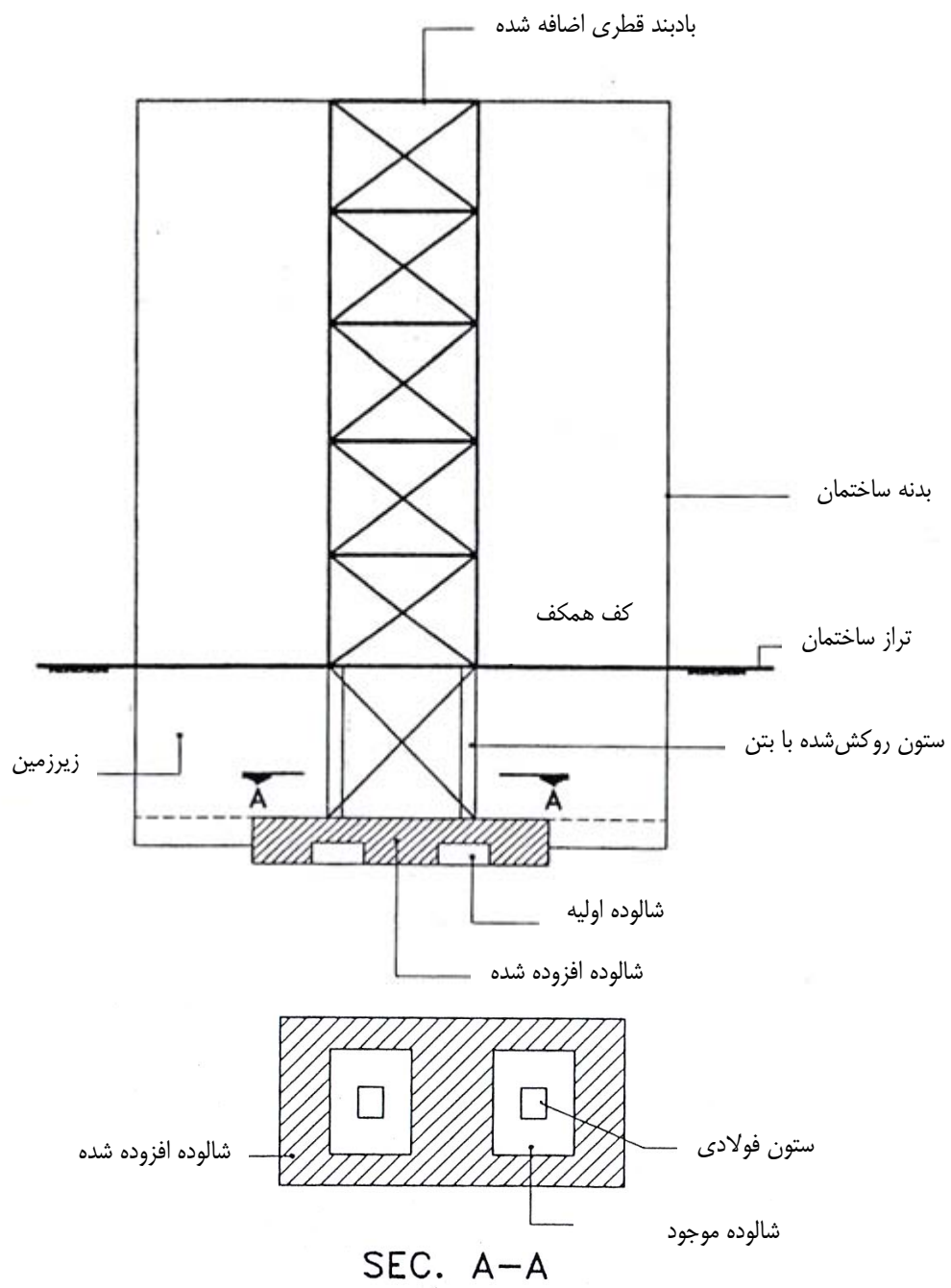
شکل ۲-۲-۳- به هم بستن شالوده‌ها با شناز



شکل ۲-۲-۴- به هم بستن شالوده‌ها با شناز

### III- یکپارچه‌سازی شالوده

این نوع بهسازی معمولاً در مواردی مورد توجه قرار می‌گیرد که بادبند یا دیوار برشی جدید بین دو ستون احداث شود. در این نوع بهسازی علاوه بر افزایش ظرفیت برشی و خمشی شالوده، مقاومت جانبی برای تحمل نیروهای جانبی وارد بر شالوده نیز افزایش می‌یابد (شکل ۲-۲-۶)، شکل ۲-۲-۵ نیز نشان‌دهنده تصاویری از مراحل اجرایی یکپارچه کردن شالوده‌هاست.



پلان تقویت شالوده برای دهانه بادبندی شده

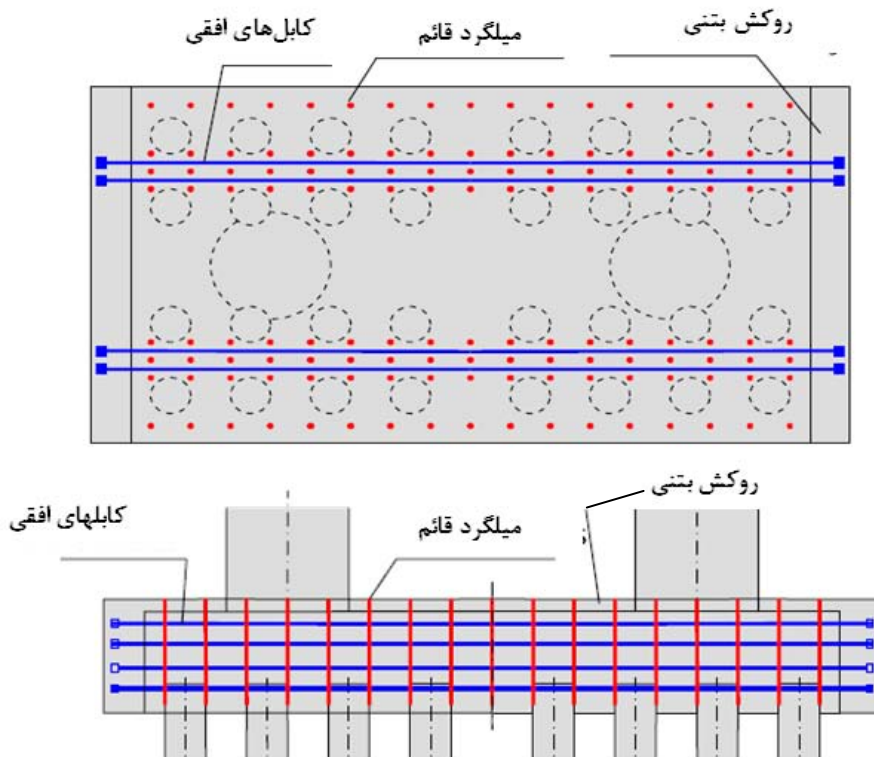
شکل ۲-۲-۵- یکپارچه‌سازی شالوده



شکل ۲-۲-۶- یکپارچه‌سازی شالوده

#### IV- بهسازی شالوده با کابل‌های پیش‌تینیده

یکی از راهکارهای بهسازی و افزایش ظرفیت خمشی و برشی شالوده، اعمال نیروی پیش‌تینیدگی به مقطع می‌باشد. معمولاً وقتی افزایش عمق شالوده از بالا به دلیل معماری ممکن نباشد، ظرفیت خمشی مثبت و منفی مقطع را می‌توان با عبور کابل‌های پیش‌تینیده، در حفره‌های تعبیه شده سراسری در طول شالوده یا در بتون جدید روی وجوده آن و پیش‌تینیده کردن آنها، افزایش داد. نیروهای پیش‌تینیدگی فوق در دو امتداد عمودی و افقی به شالوده اعمال می‌شوند. نیروهای پیش‌تینیدگی قائم باعث افزایش ظرفیت برشی و نیروهای پیش‌تینیدگی افقی باعث افزایش ظرفیت برشی و خمشی به طور همزمان می‌شوند. پیش‌تینیدگی افقی بوسیله کابل‌ها و مفتول‌های متداول و پیش‌تینیدگی قائم با استفاده از مصالح FRP صورت می‌گیرد (شکل ۲-۲-۷).



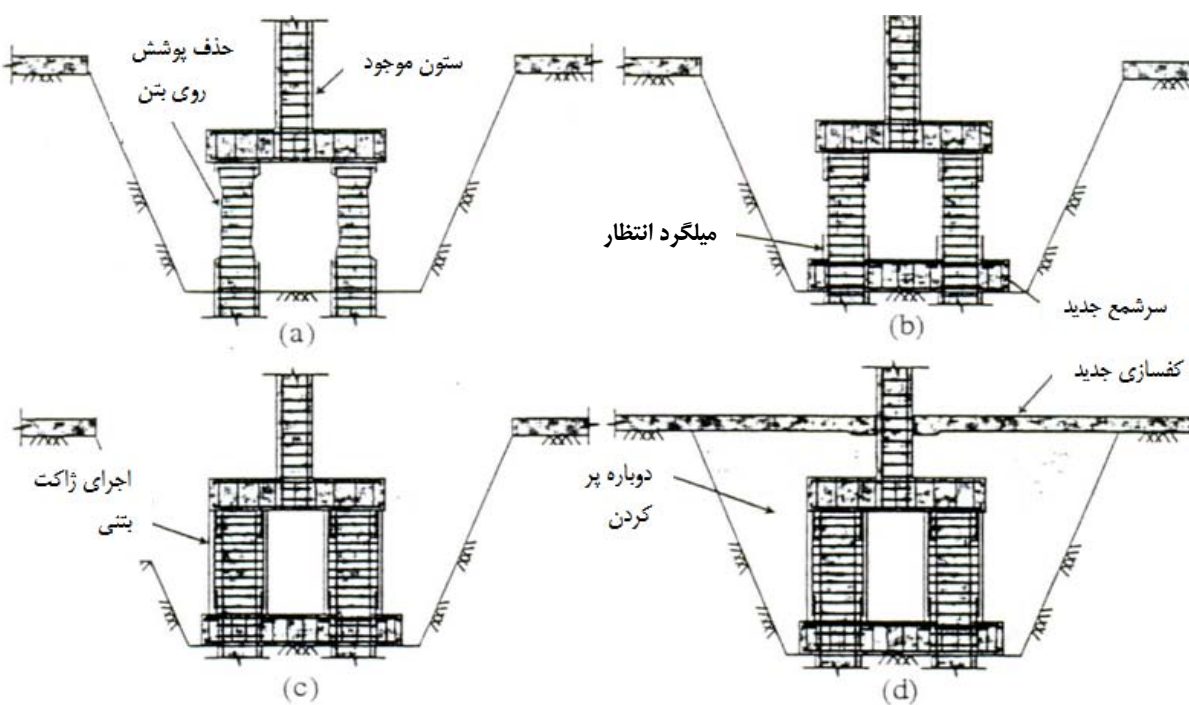
شکل ۲-۲-۷- اعمال پیش تنیدگی افقی و قائم برای بهسازی شالوده

#### ۷- افزایش مقاومت شمع‌های موجود

در ساختمانهای احداث شده بروی شمع، شمع‌ها ممکن است نتوانند به صورت مناسبی در برابر بارهای جانبی مقاومت کنند؛ همچنین شمع‌ها ممکن است در محل اتصال به سر شمع دچار مشکل شده باشند.

نحوه افزایش مقاومت شمع به شرح زیر است:

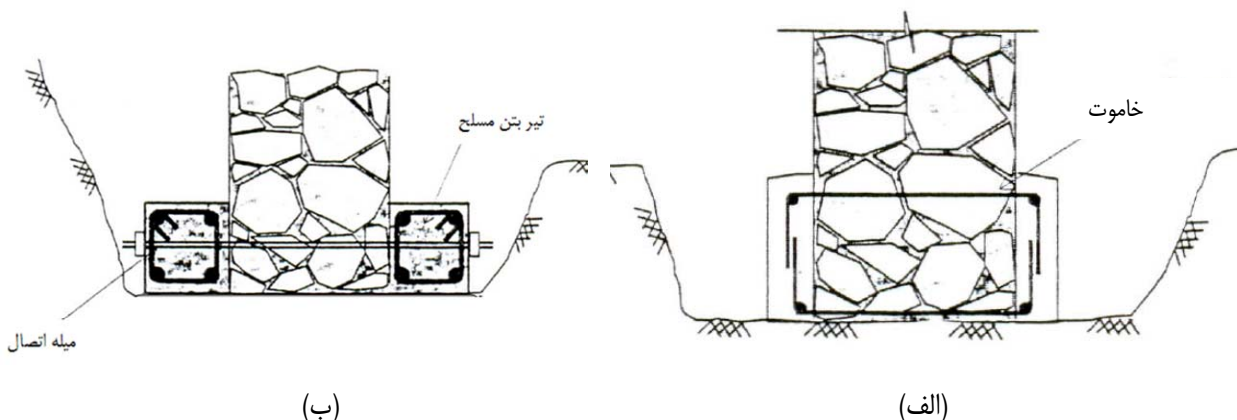
- ۱- کندن زمین تا سطحی که خرابی شمع مشهود باشد.
- ۲- لایه‌برداری از سطح شمع تا قسمت‌های داخلی آن به شکلی که خرابی و خوردگی کاملاً از سطح شمع برداشته شود. کلاهکی مانند شکل ۲-۲-۸ در زیر آن باید اجرا شود تا از پیوستگی آرماتورهای اضافی با شمع موجود اطمینان حاصل شود.
- ۳- اجرای آرماتورهای دور شمع و بتن ژاکت دور آن که بر اساس نتایج تحلیل سازه، طراحی شده باشد.
- ۴- پرکردن مجدد شالوده با خاک دانه‌ای متراکم
- ۵- اجرای کف



شکل ۲-۸-۲- افزایش مقاومت شمع های موجود

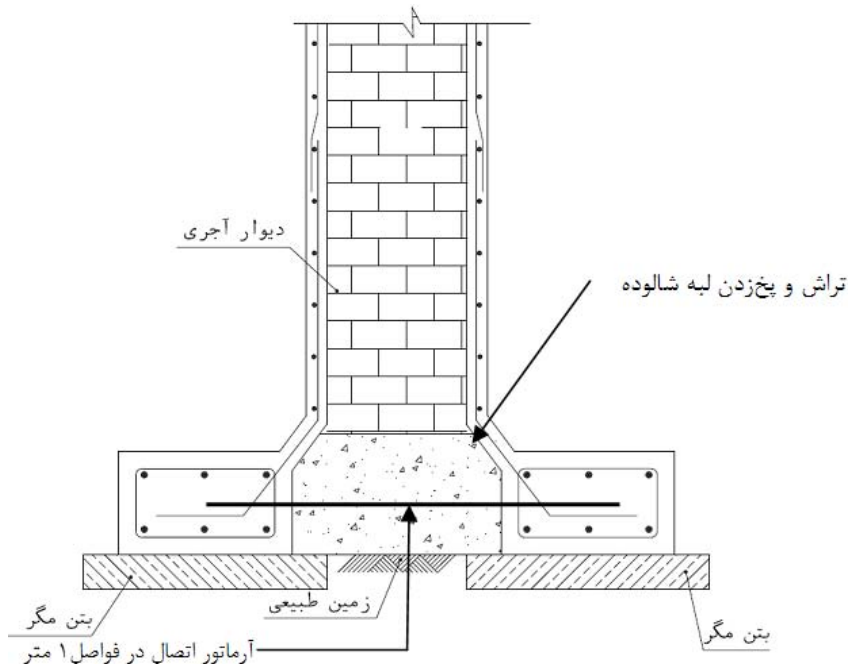
## VI- تقویت شالوده های بنایی

شالوده های بنایی را می توان با اضافه نمودن عرض آنها به کمک آرماتور و بتن مانند شکل ۹-۲-۲ مقاوم سازی نمود. در ابتدا، با خالی کردن خاک اطراف دیوار، دو سمت آن نمایان می گردد. سوراخ هایی در فاصله  $1/5$  تا  $1$  متر ایجاد می شود. داخل سوراخ ها آرماتور قرار داده و پس از پاک کردن تمام مصالح ضعیف، رویه دیوار را با بتن می پوشانند. بجای بتن معمولی از شاتکریت نیز می توان استفاده نمود. پوشش بتن میلگردها نیز باید حداقل  $40$  میلیمتری باشد تا از خوردگی میلگردها جلوگیری شود (شکل ۹-۲-۲-الف). روش دیگر برای مقاوم سازی شالوده های سنگ قلوه ای استفاده از تیرهای بتن مسلح در دو سمت دیوار می باشد (شکل ۹-۲-۲-ب) که در فواصل معین به یکدیگر بسته می شوند.



شکل ۲-۹-۲- افزایش مقاومت شالوده سنگ قلوه ای با بتن مسلح

در مواردی که بنا به دلایلی دیوار بنایی با روش بتن‌پاشی تقویت شده باشد و شالوده نیز نیاز به تقویت داشته باشد مطابق شکل ۲-۲ می‌توان با همین روش شالوده را تقویت نمود.



شکل ۲-۲-۱۰- افزایش مقاومت شالوده با بتن مسلح

#### ۲-۴-۲- راهکارهای بهسازی پی (بهسازی ژئوتکنیکی)

در روش بهسازی ژئوتکنیکی سعی بر افزایش باربری زمین زیر شالوده به کمک بهبود شرایط خاک و یا انتقال نیرو یا اضافه نیروی شالوده به لایه‌های تحتانی، بدون افزایش ابعاد هندسی شالوده می‌باشد.

##### I- بهبود شرایط خاک با استفاده از تزریق مواد افزودنی

این روش اختلاط در جای خاک با مواد افزومنی از قبیل سیمان، آهک و... به روش تزریق است. هدف از اختلاط خاک، دستیابی به پارامترهای ژئوتکنیکی اصلاح شده از قبیل مقاومت فشاری، مقاومت برشی و یا نفوذپذیری است. اختلاط خاک برای محدود کردن و یا ثابت نمودن مواد شیمیایی مضر در خاک نیز کاربرد دارد.

معمولًاً سیمان بصورت دوغاب (ترکیب با آب) با خاک مخلوط می‌شود. هر چند امکان استفاده از سیمان بصورت خشک نیز مقدور است، بر حسب نوع خاک حجم دوغاب بین ۲۰ تا ۳۰ درصد حجم خاک انتخاب می‌شود.

افزومنی‌ها شامل مواد زیر می‌شوند:

سیمان، خاکستر آتشفسانی، سرباره کوره، آهک، سایر مواد شیمیایی

ساخت دوغاب طبق مراحل زیر انجام می‌شود:

- سیستم اختلاط مرکزی، با میکسرهای دور بالا برای اختلاط

- محل ذخیره موقت دوغاب همراه با همزن‌های دور پایین

- سیستم پمپاژ

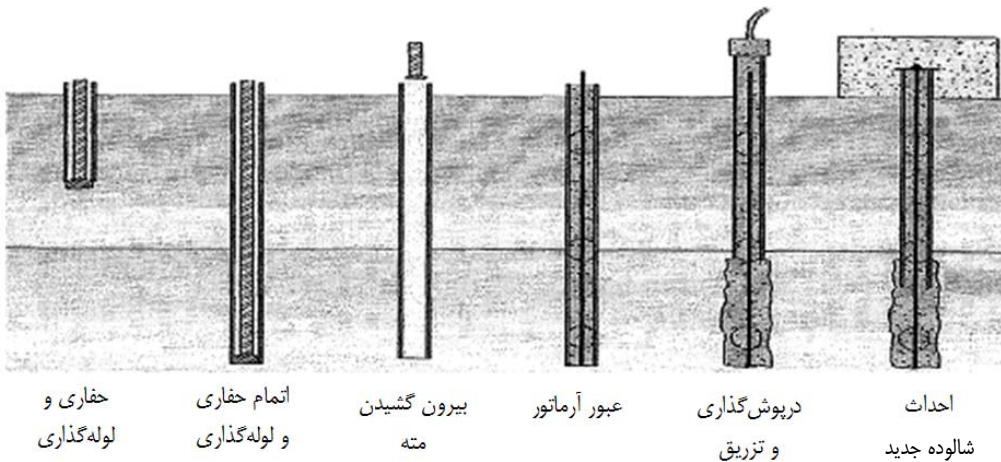
خاکهای غیرچسبنده معمولاً ساده‌تر از خاکهای چسبنده مخلوط می‌شوند. به خاکهای نباتی مقادیر قابل ملاحظه‌ای از مواد افزودنی باید اضافه نمود و قبل از شروع عملیات اجرایی لازم است از عملکرد سیستم اختلاط در آزمایشگاه اطمینان حاصل کرد. با اختلاط خاک در محل می‌توان انواع متفاوت خاکها را اصلاح نمود. روش اصلاح بسته به میزان انرژی اختلاط و نوع مواد افزودنی متفاوت است. در خاکهای نرم این روش در مقایسه با سایر روش‌های اصلاح خاک از اقتصادی‌ترین شیوه‌های بهبود است. در این روش با اختلاط دوغاب با خاک، مصالحی ساخته می‌شود که با گذشت زمان سخت‌تر شده و مقاومت آن افزایش می‌یابد و می‌تواند بعنوان مصالح مهندسی با خصوصیات ژئوتکنیکی بهتر از خاک محل در طراحی‌ها استفاده شود.

### (Micro Pile) - اجرای ریز شمع

ریزشمع‌ها، شمع‌هایی با قطر ۱۰۰ تا ۲۰۰ میلیمتر هستند که می‌توانند به صورت عمودی یا مایل در اطراف و جسم شالوده ایجاد شوند. در صورتیکه به علت محدودیت‌های فضایی در نزدیکی شالوده موجود نتوان از شمع برای افزایش ظرفیت برابری پی استفاده نمود می‌توان از ریز شمع‌ها به جای شمع استفاده کرد. با اجرای ریز شمع‌ها بدليل نفوذ دوغاب سیمان در خاک، خواص مکانیکی خاک بهبود یافته و ظرفیت برابری آن افزایش می‌یابد. همچنین ریزشمع‌ها در عمق بیشتر از عمق شالوده نفوذ کرده و بارها را به عمقی بیشتر منتقل می‌کنند.

روش اجرای ریزشمع مشتمل بر ۴ مرحله حفاری، لوله‌کوبی، تزریق و تسلیح به شرح زیر است (شکل ۱۱-۲-۲):

- در صورتیکه امکان کوبش لوله‌های ریزشمع نباشد، باید حفاری سوراخ به قطر ۱۵۰ تا ۲۰۰ میلیمتر انجام شود. عملیات حفاری به روشهای مختلف نظیر حفاری دورانی انجام می‌شود.

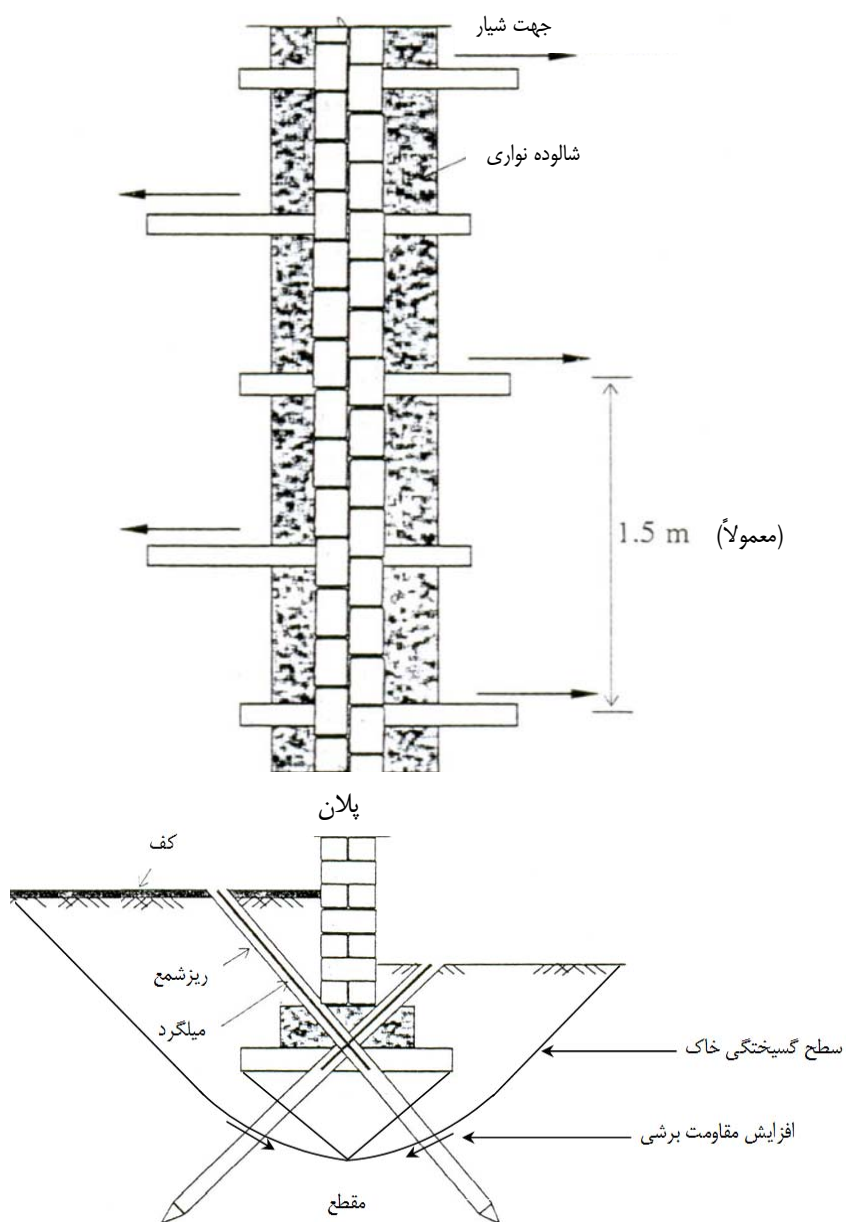


شکل ۱۱-۲-۲ - مراحل اجرای ریزشمع

- قراردادن یا کوبش لوله‌های مشبك فولادی به قطر ۱۵۰ تا ۲۰۰ میلیمتر در محل گمانه‌های حفاری شده. در این راستا ابتدا لوله نوک تیزی کوبیده شده و سپس لوله‌های متواالی به آن متصل شده و کوبیده می‌شوند. در صورتیکه در ازای ۳۰ ضربه متواالی لوله کوب، نفوذ لوله بیش از ۱۰ سانتیمتر نباشد، عملیات متوقف می‌شود. لوله‌های ریز شمع دارای سوراخهای به قطر

حدود ۸ تا ۱۰ میلیمتر هستند. در صورت انجام حفاری، کوبیدن لوله لازم نیست و لوله‌ها درون سوراخ حفاری شده فرو برده می‌شوند.

- اطراف لوله‌های مشبک با سنگدانه‌های شنی به قطر حدود ۱۰ میلیمتر بعنوان یک لایه فیلتر پر می‌شود.
- قراردادن آرماتور لازم بصورت میلگرد تک یا گروهی.
- درپوش گذاری (فلنج) جهت تامین اتصال مناسب بین ریز شمع و بتن شالوده.
- انجام تزریق دوغاب سیمان تحت فشار: فشار تزریق در مراحل مختلف تزریق، در اعماق مختلف و مناسب با جنس زمین و شرایط ژئوتکنیکی پی متغیر بوده و به حداقل ۱۰ اتمسفر محدود می‌گردد. نسبت آب به سیمان در محدوده ۰/۵ تا ۱/۵ و مقدار سیمان مصرفی معمولاً حدود ۱۰۰ کیلوگرم به ازاء هر متر ریز شمع است.



شکل ۲-۱۲-۲- افزایش مقاومت ژئوتکنیکی پی با استفاده از ریز شمع

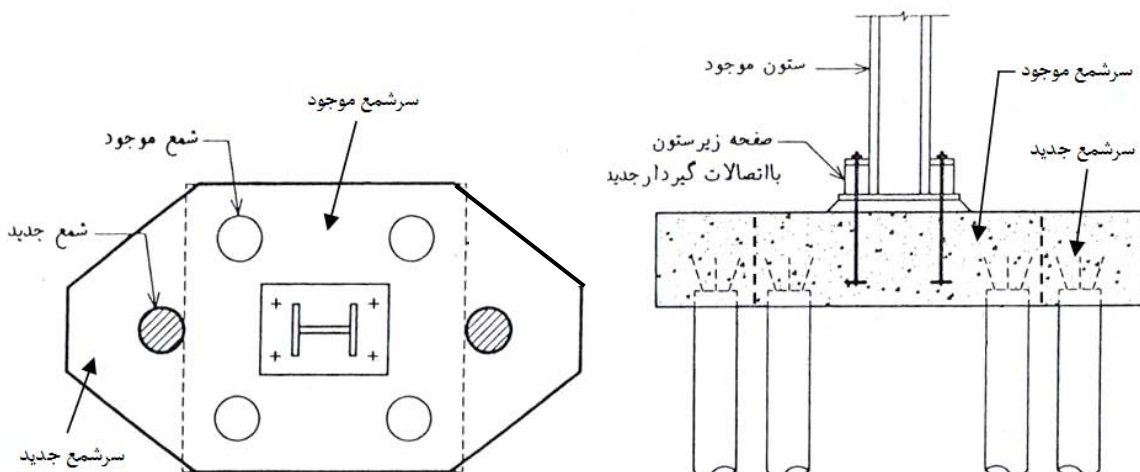
در شکل ۲-۲-۱۳ تصویری از اجرای ریزشمع نشان داده شده است.



شکل ۲-۲-۱۳-۲- استفاده از ریز شمع برای بهسازی شالوده و پی

## II- احداث شمع

به منظور افزایش ظرفیت باربری ژئوتکنیکی و سازه‌ای شمع‌های موجود، می‌توان با احداث شمع‌های جدید و اتصال آنها به سرشمغ موجود، به ظرفیت فشاری، کششی و خمی گروه شمع موجود اضافه نمود (شکل ۲-۲-۱۴).



شکل ۲-۲-۱۴- افزایش باربری ژئوتکنیکی با استفاده از اجرای شمع

## III- انتقال بار شالوده به لایه‌های باربر تحتانی به کمک شمع (پی‌بندی کردن)

در صورتیکه شالوده موجود بر روی خاکی با ظرفیت کم احداث شده باشد، با استفاده از این روش می‌توان بارهای روسازه را به لایه‌های تحتانی خاک که دارای شرایط مناسبتری می‌باشند، منتقل نمود.

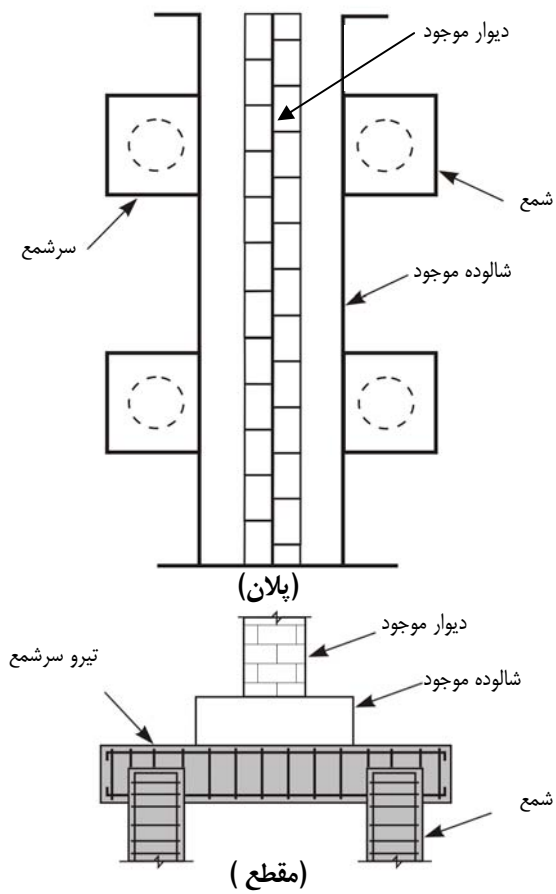
### مراحل اجرای شمع زیر شالوده

مراحل اجرای شمع زیر شالوده مطابق زیر می‌باشد:

- کندن پیرامون شالوده از روی زمین تا قسمت زیرین شالوده



شکل ۲-۱۵-۲-۱۵- مراحلی از احداث شمع‌های جدید و اتصال آن به شالوده



شکل ۲-۱۶- نحوه قرارگیری شمع‌ها زیر شالوده نواری

۲. حفاری و آرماتورگذاری و بتن ریزی شمع تا تراز زیر گالری در دو طرف شالوده
۳. اجرای گالری افقی و آرماتورگذاری تیر سرشع
۴. قالب‌بندی دیوارهای قائم سرشع
۵. بتن ریزی سرشع و عمل آوری آن
۶. پرکردن قسمت‌های کنده شد با خاک فشرده دانه‌ای
۷. اجرای کف و سنگ فرش‌های اطراف دیوار

شمع‌ها بهتر است به صورت جفت و با فاصله‌ای یکسانی از بر دیوار قرار گیرند (شکل ۱۶-۲). اگر دیوار در مجاورت ملک همسایه باشد، به ناچار کلاهک شمع‌ها از یک سمت ادامه می‌یابند. در این مورد شمع‌ها ممکن است تحت کشش قرار گیرند. در نتیجه باید برای کشش طراحی شوند.

## مثال ۱-۲-۲:

ستونی با بار  $P_d = 145\text{ton}$ ,  $P_l = 70\text{ton}$  در زمینی با مقاومت مجاز  $2/5$  کیلوگرم بر سانتیمتر مربع قرار دارد. برای آن شالوده منفردی با ابعاد  $3 \times 3$  متر طراحی شده است. با تغییر کاربری ساختمان، بار محوری ناشی از بار زنده ستون به مقدار ۱۲۰ تن افزایش یافته است. مطلوبست ارائه طرح تقویت برای شالوده

$$f_y = 4000 \text{ kg/cm}^2$$

$$f_c = 250 \text{ kg/cm}^2$$

### الف: طراحی شالوده برای حالت اولیه

$$P_d = 145\text{ton}$$

$$P_l = 70\text{ton}$$

$$\text{وزن فرضی شالوده} = 15\text{ton}$$

$$P_t = 145 + 70 + 15 = 230\text{ton}$$

$$A = 230 \div 25 = 9.2 \rightarrow \text{لازم } B = 3.03m$$

ابعاد شالوده معادل  $3 \times 3$  متر انتخاب می‌شود.

تعیین ضخامت شالوده براساس برش سوراخ کننده

ابعاد ستون:  $60 \times 60\text{cm}$

$$P_u = 1.25 \times 145 + 1.5 \times 70 = 290\text{ton}$$

(بدون منظور کردن وزن شالوده)

$$V_c = 2v_c b_o d$$

$$v_c = 0.2\varphi_c \sqrt{f_c} = 0.2 \times 0.6\sqrt{25} = 0.6 MPa = 6 kg/cm^2$$

$$290 \times 10^3 = 2 \times 6 \times (60 + d)4d = 48(60 + d)d$$

$$d = 53 cm \rightarrow h = 70 cm, d = 60 cm$$

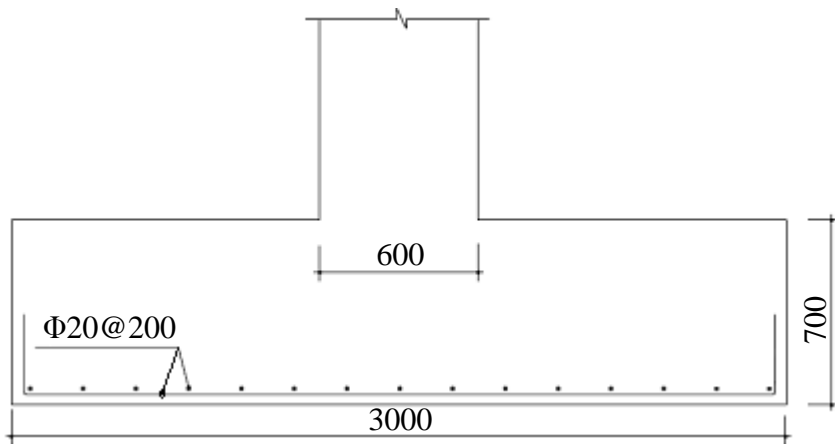
$$q_u = \frac{290}{3 \times 3} = 32.2 ton/m^2$$

$$M_u = \frac{1}{8} q_u (b - a)^2 = \frac{1}{8} 32.3 (3 - 0.6)^2 = 23.2 ton.m/m$$

$$A_s = \frac{23.2 \times 10^5}{0.85 \times 4000 \times 60} = 11.37 cm^2/m$$

از میلگرد  $\Phi 20/200$  با مساحت  $15/7$  سانتیمتر مربع بر متر استفاده می‌شود.

$$A_s = 0.0018 \times 100 \times 70 = 12.6 < 15.70 cm^2/m$$



شکل مثال ۲-۱-الف-وضعیت اولیه شالوده

طرح تقویت:

$$P_t = 145 + (70 + 120) + 15 = 350 ton$$

$$\text{لازم } A = 350 \div 25 = 14 \rightarrow \text{لازم } B = 3.80 m$$

لازم است از هر طرف به مقدار  $40$  سانتیمتر ابعاد شالوده افزایش یابد.

کنترل تنش در اضافه سطح:

$$\Delta A = 2 \times 3.8 \times 0.4 + 2 \times 3 \times 0.4 = 5.44 m^2$$

$$\sigma = (120 + 5) / 5.44 = 22.98 ton/m^2 < 25 ton/m^2$$

مقدار  $5$  تن به علت افزایش ابعاد شالوده می‌باشد.

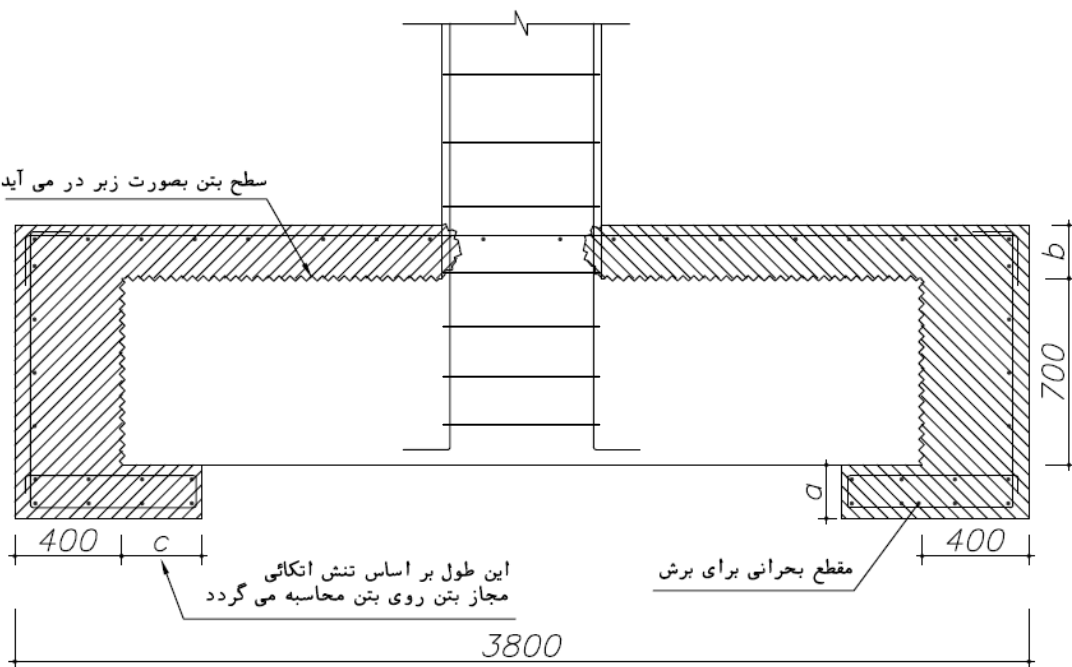
## تعیین ضخامت a:

ضخامت a باید مقداری باشد تا قادر به حمل بار اضافه شده باشد.

$$V_u = 1.5 \times 120 = 180 \text{ ton}$$

$$v_c = \frac{180 \times 10^3}{4 \times 300 \times (a-5)} = 6 \rightarrow a-5 = \frac{180 \times 10^3}{4 \times 300 \times 6}$$

$$a = 30 \text{ cm}$$



شکل مثال ۲-۱-۲-ب

## تعیین ضخامت b:

برای تعیین ضخامت b باید:

الف: ضخامت کل برای انتقال برش سوراخ کننده کافی باشد.

ب: آرماتور موجود برای تحمل خمث شالوده کافی باشد.

الف: کنترل ضخامت کل برای انتقال برش سوراخ کننده:

$$P_u = 1.25 \times 145 + 1.5(70 + 120) = 466.25 \text{ ton}$$

$$V_c = 2v_c b_o d$$

$$466.25 \times 10^3 = 2 \times 6 \times [60 + (60 + b)] 4(60 + b)$$

$$466.25 \times 10^3 = 48(60 + b)(120 + b)$$

$$b = 13.02 \text{ cm}$$

ب: کنترل آرماتور موجود برای خمین شالوده:

$$\Phi 20/200, A_s = 15.70 \text{ cm}^2 / \text{m}$$

$$q_u = \frac{466.25}{3.8 \times 3.8} = 32.3 \text{ ton/m}^2$$

$$M_u = 32.3(3.8 - 0.6)^2 / 8 = 41.35 \text{ ton.m/m}$$

$$A_s = \frac{41.35 \times 10^5}{0.85 \times 4000 \times (60 + b)} = 15.7 \text{ cm}^2 / \text{m}$$

$$60 + b = 77.5 \rightarrow b = 17.5 \text{ cm}$$

$$b = 20 \text{ cm}$$

برای انتقال برش، سطح قدیمی بتن شالوده باید کاملاً مضرس شده و پای ستون کاملاً سخت شود تا چسبندگی کامل بوجود آید.

تعیین طول: c

مقدار c بر اساس کنترل تنش اتکائی بتن بر روی بتن محاسبه می‌گردد:

$$F_p = 0.3f_c$$

$$F_p = 0.3 \times 250 = 75 \text{ kg/cm}^2$$

$$F_p = 75 \text{ kg/cm}^2$$

$$P_u = 1.25 \times 145 + 1.5(70 + 120) = 466.25 \text{ ton}$$

$$A = \frac{P_u}{F_p} = \frac{466.25 \times 10^3}{75} = 6217 \text{ cm}^2$$

$$A = 2[(300c) + (300 - 2c)c] = 6217$$

$$A = 2[600c - 2c^2] = 6217 \Rightarrow 2c^2 - 600c + 3108.5 = 0$$

$$c = 5.3 \text{ cm}$$

انتخاب می‌شود: C = 25 cm

### ۳-۲- راهکارهای بهسازی دال

دال‌ها عملاً وظیفه تحمل بارهای قائم را دارا می‌باشند ولی چون عملکرد دیافراگم افقی را نیز دارند، باید با اعضای مقاوم جانبی سازه اتصال داشته و از سختی و مقاومت کافی برخوردار باشند. آسیب‌های دال معمولاً در قسمت‌های نامنظم آن مانند محل برخورد با راه پله، دیوار برشی و یا در نزدیکی بازشوهای کف مشاهده می‌شوند.

اصلاح دال‌ها نسبت به سایر اعضای سازه ساده‌تر می‌باشد و در صورتی که دال به هر دلیلی مقاومت لازم در برابر بارهای وارد بر آن را نداشته باشد می‌توان از روش‌های بسیار ساده‌ای برای بهسازی آن استفاده کرد.

### ۳-۱- انواع راهکارهای تقویت دال

با توجه به نوع ضعف موجود در دال، راهکارهای مختلفی برای تقویت آن وجود دارد که عبارتند از:

- ۱- تعمیر موضعی،
- ۲- افزایش ضخامت دال (از بالا یا پایین)،
- ۳- اضافه کردن تیرک فولادی،
- ۴- اضافه نمودن نوارهای فولادی در وجود دال،
- ۵- استفاده از مصالح FRP در وجود دال،
- ۶- مقاوم‌سازی اتصال دال به دیوار برشی،
- ۷- بهبود عملکرد دیافراگمی دال.

### ۱-۳-۱- تعمیر موضعی

برای تعمیر ترک‌های موجود در بتن، مواد پلیمری اپوکسی یا دوغاب سیمان را می‌توان در داخل ترک‌ها تزریق نمود.

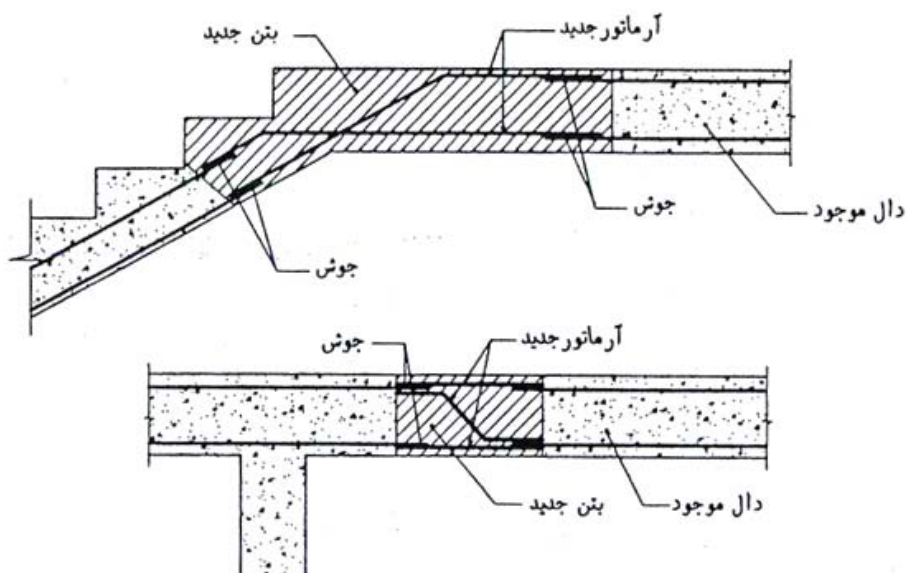
برای خردش‌گی بتن و کمانش و شکست میلگردها باید از راهکارهای تعویض استفاده نمود.

تعمیر دال را می‌توان مطابق شکل ۱-۳-۲ انجام داد. بدین گونه که بعد از جدا نمودن مصالح آسیب دیده، آرماتورهای جدید جایگذاری و به آرماتورهای موجود جوش می‌گرددند. مشخصات بتن جدید باید شبیه به بتن موجود باشد. در مکان‌هایی که خوردگی شدید باشد، آرماتورهای جدید جایگذاری شده باید نو و بدون خوردگی باشند، چرا که آرماتورهای جدید و قدیم با یکدیگر تشکیل پیل الکتریکی می‌دهند که این امر منجر به خوردگی شدید آرماتورها می‌گردد.

### ۱-۳-۲- افزایش ضخامت دال

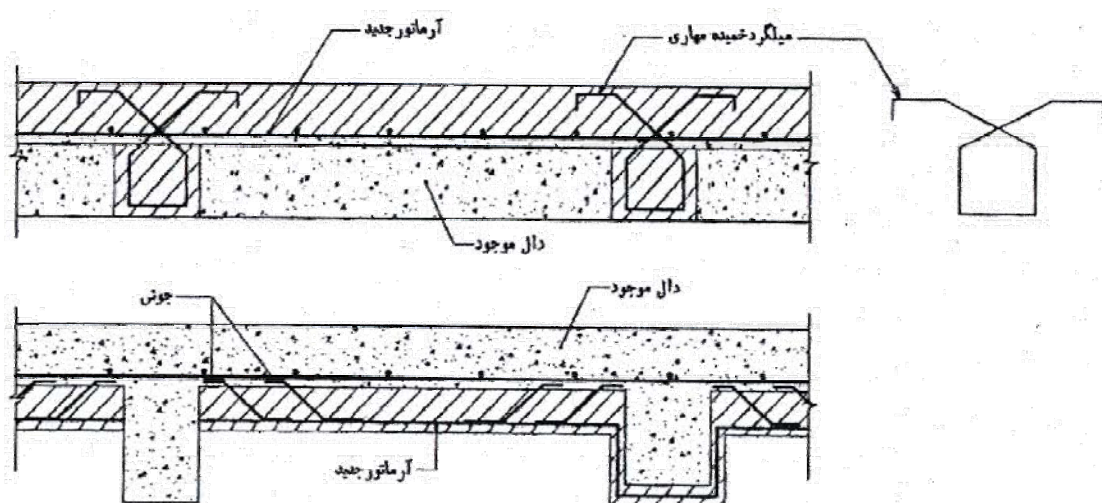
در مواردی که مقاومت و سختی دال کم باشد، با افزایش ضخامت آن می‌توان این عیب را رفع نمود. بتن و میلگردهای جدید بر روی سطح و یا زیر دال موجود می‌تواند اجرا گردد (شکل ۲-۳-۲).

در روشی که افزایش ضخامت از قسمت فوکانی آن صورت می‌گیرد، مقاومت خمثی نیز افزایش می‌یابد، زیرا علاوه بر افزایش عمق مؤثر، آرماتورهای منفی نیز اضافه می‌گردند.



شکل ۲-۳-۱- تعمیر موضعی دال‌های کف و راه‌پله

در روش دیگر که افزایش ضخامت از قسمت زیرین دال می‌باشد، مقاومت خمثی به علت افزایش آرماتورهای کششی اضافه می‌گردد.



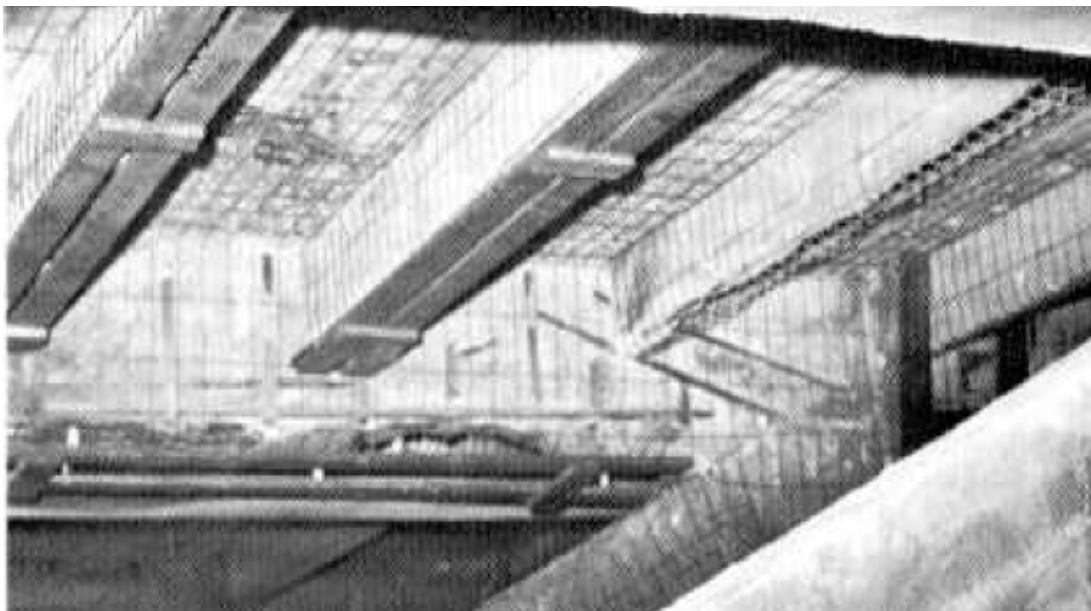
شکل ۲-۳-۲- افزایش ضخامت دال

با بتن ریزی معمولی می‌توان ضخامت دال را از قسمت فوکانی افزایش داد، ولی برای افزایش ضخامت دال از قسمت تحتانی آن بهتر است از روش بتن پاشی<sup>۱</sup> استفاده نمود.

<sup>1</sup> Shotcrete

با افزایش ضخامت از روی دال، سختی نیاز برای عملکرد دیافراگمی کف نیز افزایش یافته و به طور کلی این روش نسبت به روش افزایش ضخامت از قسمت تحتانی دال، روش متداول‌تر و آسان‌تری می‌باشد. (شکل ۲-۳-۳)

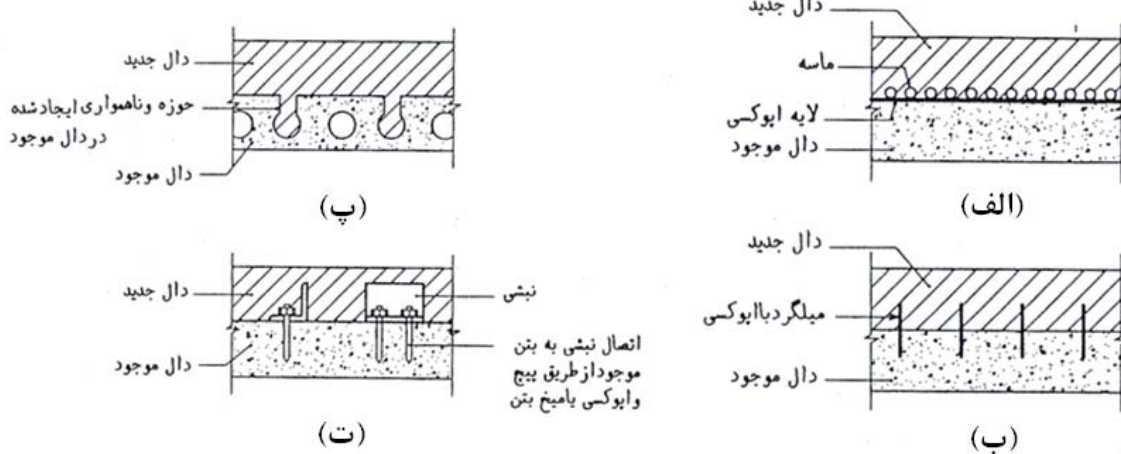
اگر افزایش ضخامت دال از قسمت تحتانی آن صورت گیرد، برای بهبود عملکرد دیافراگمی باید تیرها نیز با ژاکت بتی مقاوم‌سازی شوند.



شکل ۲-۳-۳-۳- افزایش ضخامت دال از قسمت تحتانی با شاتکربت

برای یکپارچه نمودن دال موجود با بتون مسلح جدید، بکارگیری وصله برشی لازم است. برای اجرای وصله برشی مناسب می‌توان روش‌های زیر را بکار برد:

- سطح زبر، که با خرد سنگ و چسب اپوکسی ایجاد شده باشد (شکل ۲-۳-۴-الف).



شکل ۲-۳-۴- روش‌های متداول درگیر نمودن بتون جدید و قدیم در راهکار افزایش ضخامت دال

- میلگرد مینچهای فولادی (شکل ۲-۳-۴-ب).
  - بتن‌های اضافی که در داخل فضاهای خالی ایجاد شده در دال اصلی قلاب می‌شوند (شکل ۲-۳-۴-پ).
  - پروفیل نبشی که با مینچه فلزی اجرا می‌شود و مینچه‌ها با چسب اپوکسی یا بصورت رول‌پلاک به بتن قدیم متصل می‌شود. وجود نبشی منجر به یکپارچه شدن بتن قدیم و جدید می‌گردد (شکل ۲-۳-۴-ت).
- زبر نمودن سطح بتن اصلی بصورت کاملاً مشخصی چسبندگی بین بتن اصلی و جدید را افزایش می‌دهد. این عمل را می‌توان با ماسه‌پاشی<sup>۱</sup>، جت آب و یا تراشیدن سطح بتن انجام داد.

### ۲-۳-۱-۳-۲- اضافه کردن تیرک فولادی

از روش‌های سنتی و بسیار موثر تقویت دال، اضافه نمودن تیرک فولادی می‌باشد. از مزایای آن می‌توان به سادگی اجرا، عدم افزایش وزن دال، افزایش ارتفاع موثر دال، کاهش ارتعاش کف، ایجاد خیز معکوس برای رفع افتادگی و افزایش سختی دیافراگم کف اشاره نمود (شکل ۲-۳-۵). اضافه کردن تیرک فولادی باید به گونه‌ای انجام شود که با رفتار طبیعی دال هماهنگ باشد.

برای تیرک فولادی آرایش‌های متفاوتی می‌توان در نظر گرفت:

- الف - آرایش موازی که در این حالت تیرک‌ها بصورت یکطرفه عمل می‌نمایند.
- ب - آرایش متقطع که تیرک‌ها عمود بر یکدیگر بصورت (+) در زیر دال قرار داده می‌شوند.



شکل ۲-۳-۵- اضافه کردن تیرک فولادی

مراحل اجرای تیرک فولادی مطابق زیر می‌باشد:

- ۱- نصب صفحه تکیه‌گاهی برای اجرای تیرک فلزی.

<sup>1</sup> Sandblast

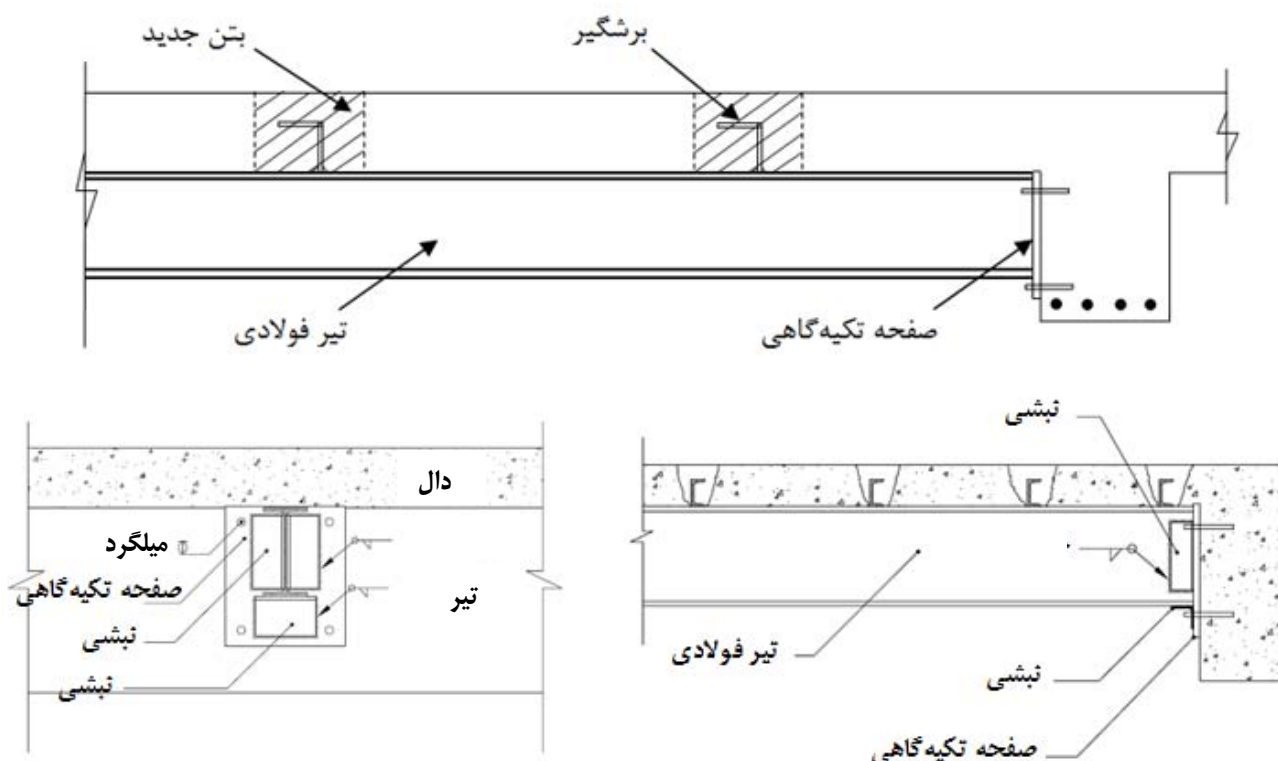
۲- نصب تیرک فلزی در محل.

۳- جک زدن زیر تیرک بطوریکه آنرا محکم به دال بچسباند و حتی خیز اولیه‌ای در دال ایجاد نماید. در این حالت باربرداری کامل یا ناقص از دال صورت می‌گیرد.

۴- نصب اتصالات برشگیر و بتن ریزی در اطراف آن.

۵- تکمیل اتصال تکیه‌گاهی تیرک.

جزئیات اجرایی تیرک فولادی در شکل ۶-۳-۲ نشان داده شده است.



شکل ۶-۳-۲- جزئیات اجرایی تیرک فولادی

#### ۱-۳-۲- اضافه نمودن نوارهای فولادی

یکی دیگر از روش‌های افزایش مقاومت دال، اضافه نمودن ورق‌های فولادی از طریق چسباندن و یا بولت کردن آنها در وجوده افقی دال می‌باشد. در شکل ۷-۳-۲ تقویت دال با ورق‌های فولادی نشان داده شده است. در این روش مقاومت خارج از صفحه دال به شکل کاملاً محسوسی افزایش می‌یابد.

بر خلاف روش افزایش ضخامت دال، این روش منجر به افزایش وزن سازه نمی‌گردد و همچنین مشکلاتی را که روش مقاومسازی با تیر فولادی برای معماری ساختمان ایجاد می‌نماید، ندارد. زیرا ضخامت ورق فولادی نسبت به ارتفاع تیرک فولادی بسیار کم می‌باشد.



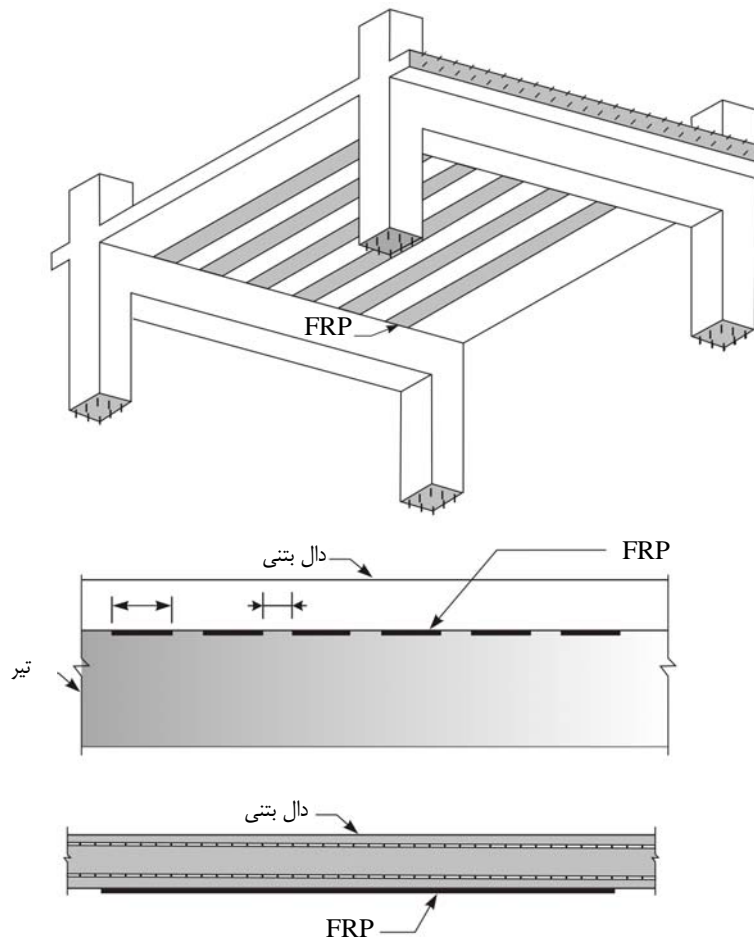
شکل ۲-۳-۷- تقویت دال‌ها با استفاده از ورق‌های فولادی

#### ۲-۳-۵- استفاده از مصالح FRP

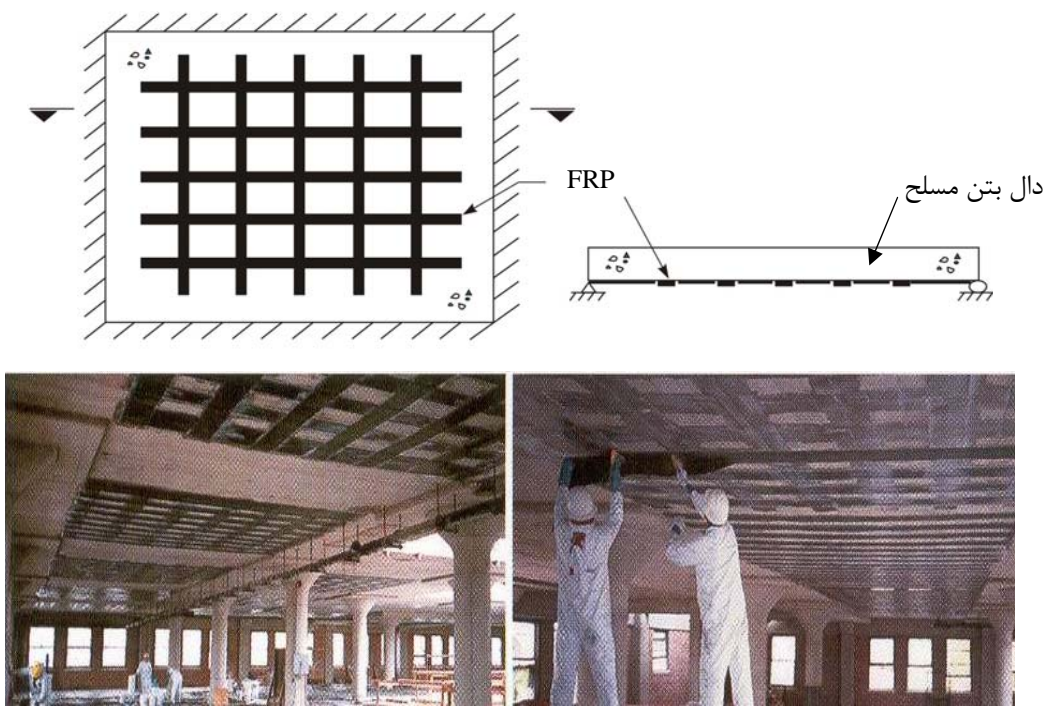
از دیگر راه‌های تقویت خمشی دال‌ها بطور موضعی، استفاده از مصالح FRP می‌باشد. بکارگیری مصالح پلیمری مسلح شده با الیاف بجای مصالح سنتی و شیوه‌های موجود روشی است که امروزه در دنیا متدائل می‌باشد. مصالح FRP ضمن سبکی از مقاومت کششی بالائی برخوردار می‌باشند. با وجود قیمت بالای مصالح FRP، نحوه اجرای آن بسیار آسان و ارزان می‌باشد.

برای مقاومسازی دال‌ها، مصالح مرکب FRP را می‌توان بصورت نوارها و یا صفحاتی بر روی سطوح تحت کشش اجرا نمود. همانگونه که در شکل ۲-۳-۸ نشان داده شده است، دال‌های یک طرفه با تکیه‌گاه ساده را می‌توان با چسباندن نوارها یا صفحات FRP در سطوح تحتانی آنها و در راستای طولی، مقاومسازی نمود.

در دال‌های دو طرفه مقاومسازی با نوارهای FRP مطابق شکل ۹-۳-۲ در هر دو جهت صورت گیرد. البته اگر دال دارای تکیه‌گاه غیردار باشد، نوارهای FRP را باید در قسمت فوقانی دال نیز اجرا نمود.

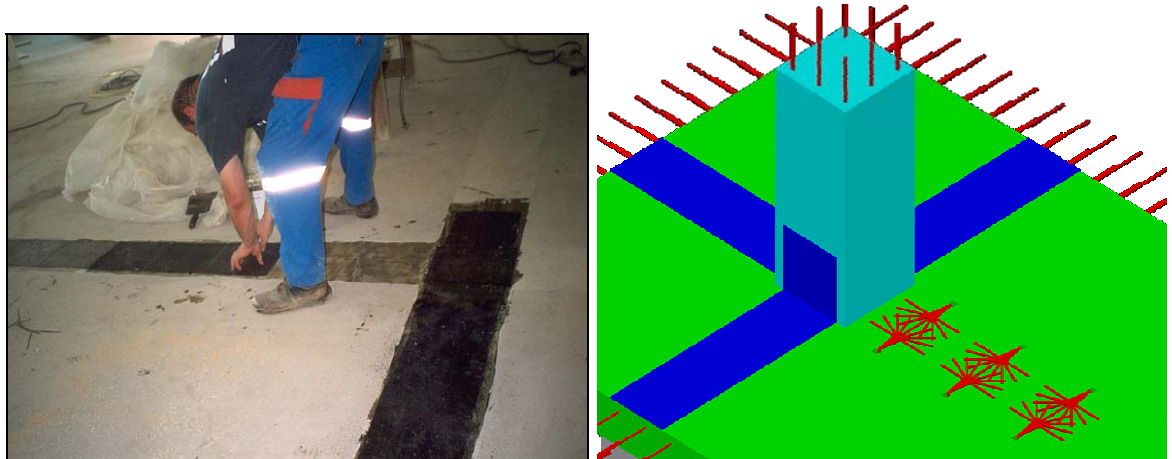


شکل ۲-۳-۸- تقویت خمشی دال با نوارهای FRP در جهت اصلی

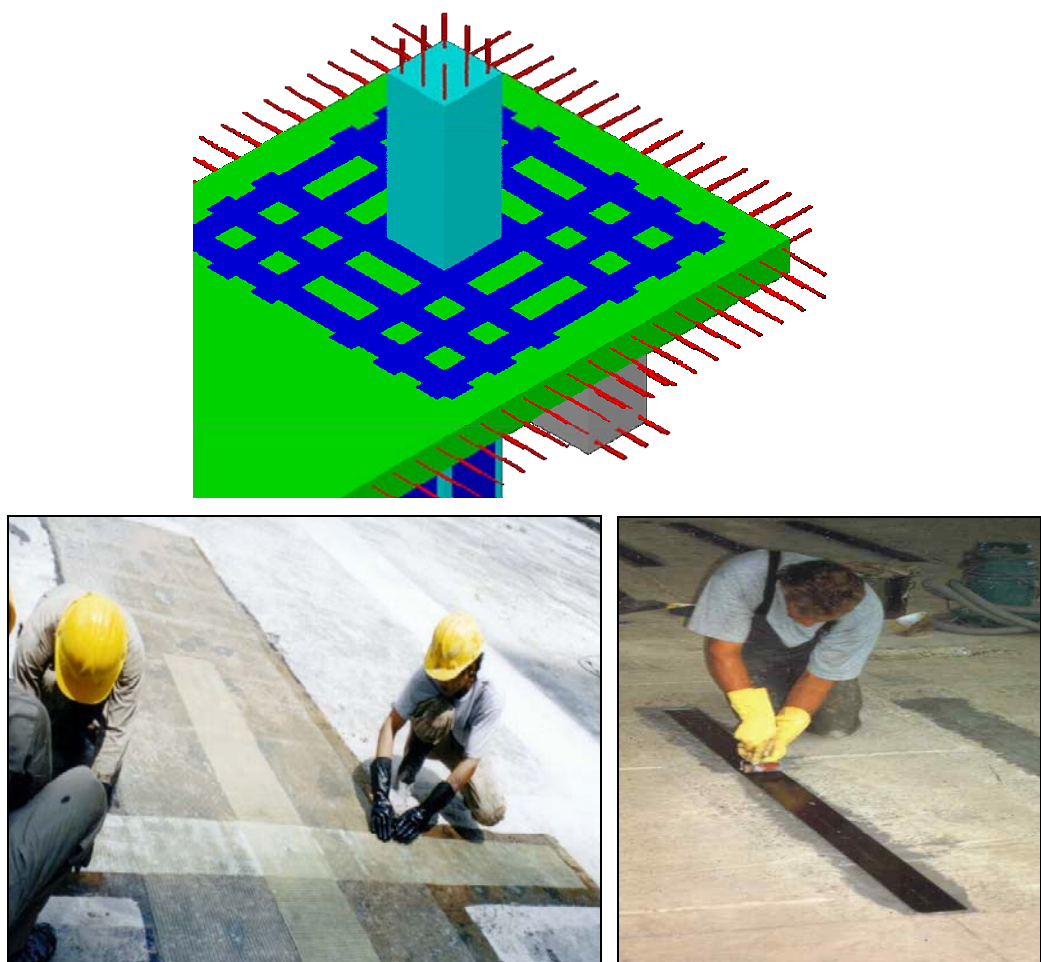


شکل ۲-۳-۹- تقویت دال با نوارهای FRP در دو جهت

در صورت وجود تکیه‌گاه گیردار در لبه‌های دال و ایجاد لنگر منفی در مقطع آن، می‌توان مطابق شکل ۱۰-۳-۲ و ۱۱-۳-۲ از نوارهای FRP در وجه فوقانی دال استفاده نمود.

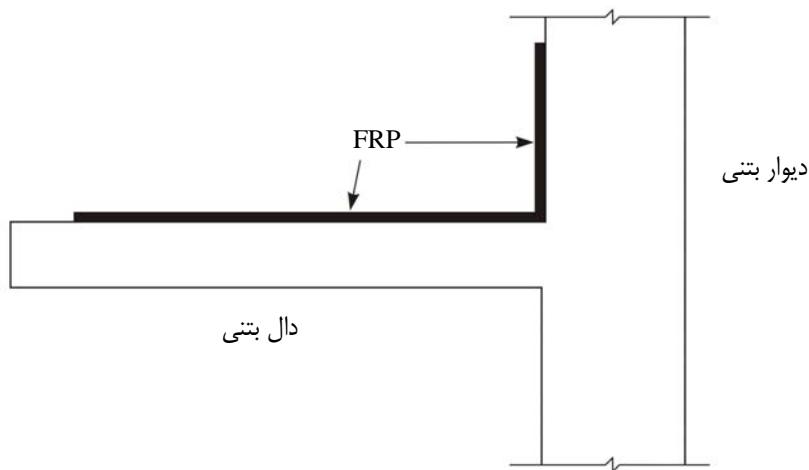


شکل ۱۰-۳-۲ - تقویت دال با استفاده از نوارهای FRP در نواحی لنگر منفی



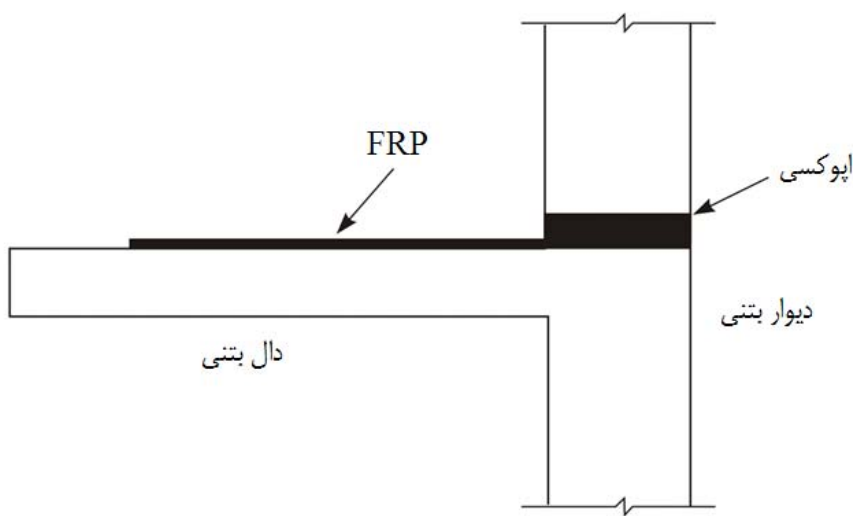
شکل ۱۱-۳-۲ - مقاوم سازی دال در لنگرهای منفی بوسیله FRP

در دالهایی که بصورت طرہای به دیوار برشی متصل شده باشند، برای مهاربندی و مقاومسازی اتصال دال به دیوار برشی می‌توان نوار یا صفحه FRP را تا قسمتی از سطح دیوار بالا بردۀ تا به آن چسبانده شود (شکل ۱۲-۳-۲).



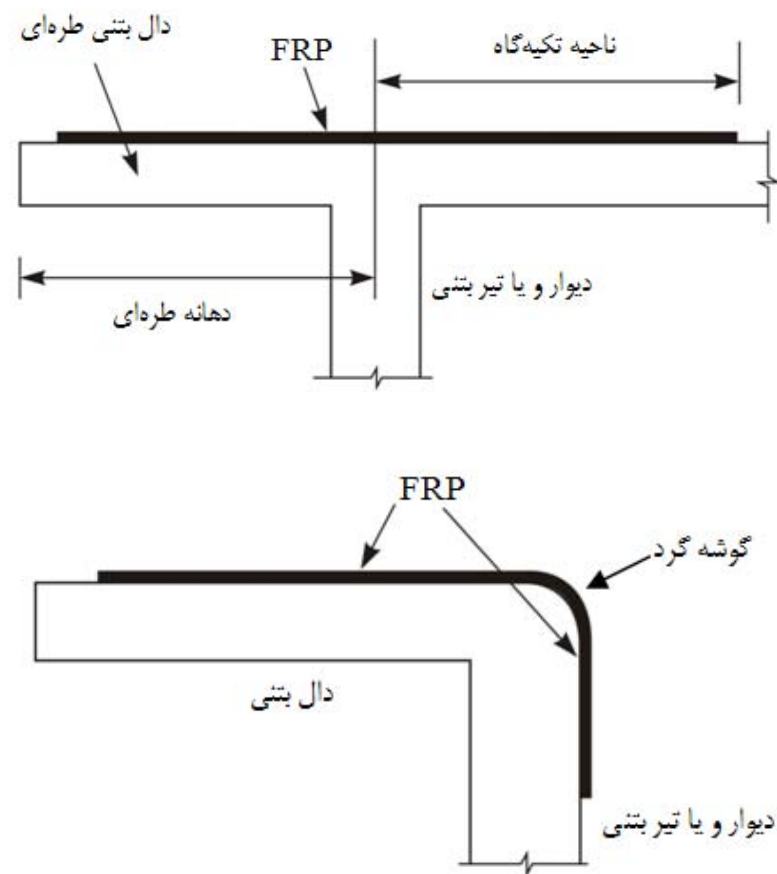
شکل ۱۲-۳-۲ - تأمین طول مهاری با امتداد FRP به روی دیوار

راه موثرتر برای مهاربندی قسمت‌های طرہای، هدایت نوارهای FRP به درون سوراخ‌هایی است که از قبل در دیوار تعییه شده باشد (شکل ۱۳-۳-۲).

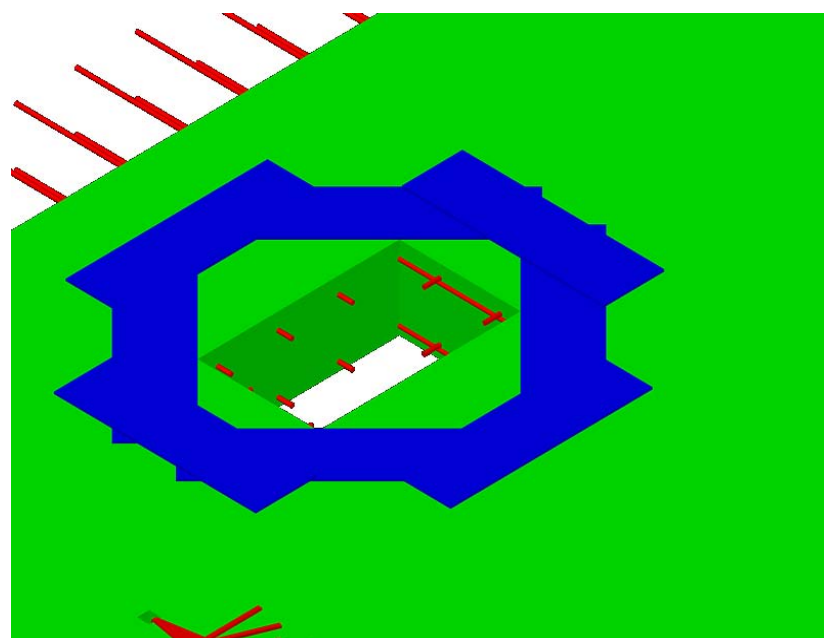


شکل ۱۳-۳-۲ - تأمین طول مهاری با امتداد FRP در داخل اتصال

سایر روش‌های تأمین طول مهاری FRP روی دالها در شکل ۱۴-۳-۲ نشان داده شده است. اطراف بازشوهای دال را نیز می‌توان بانوار و یا صفحات FRP تقویت نمود. نمونه‌ای از این روش در شکل ۱۵-۳-۲ نشان داده شده است.



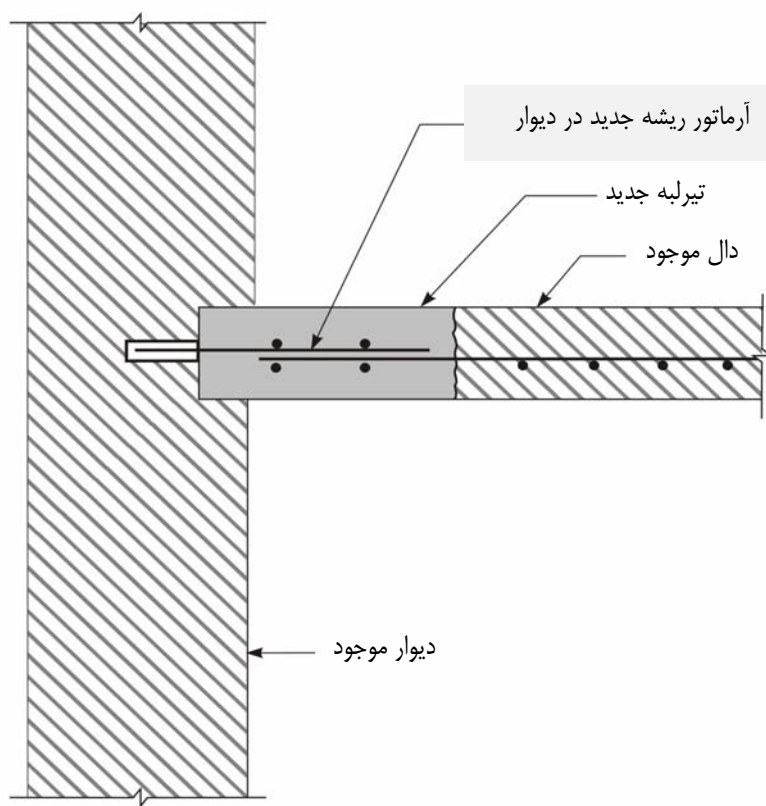
شکل ۲-۳-۱۴- سایر روش‌های تأمین طول مهاری با امتداد FRP روی دال‌ها



شکل ۲-۳-۱۵- تقویت اطراف بازشوهای دال با FRP

### ۱-۳-۶- مقاوم سازی اتصال دال به دیوار برشی

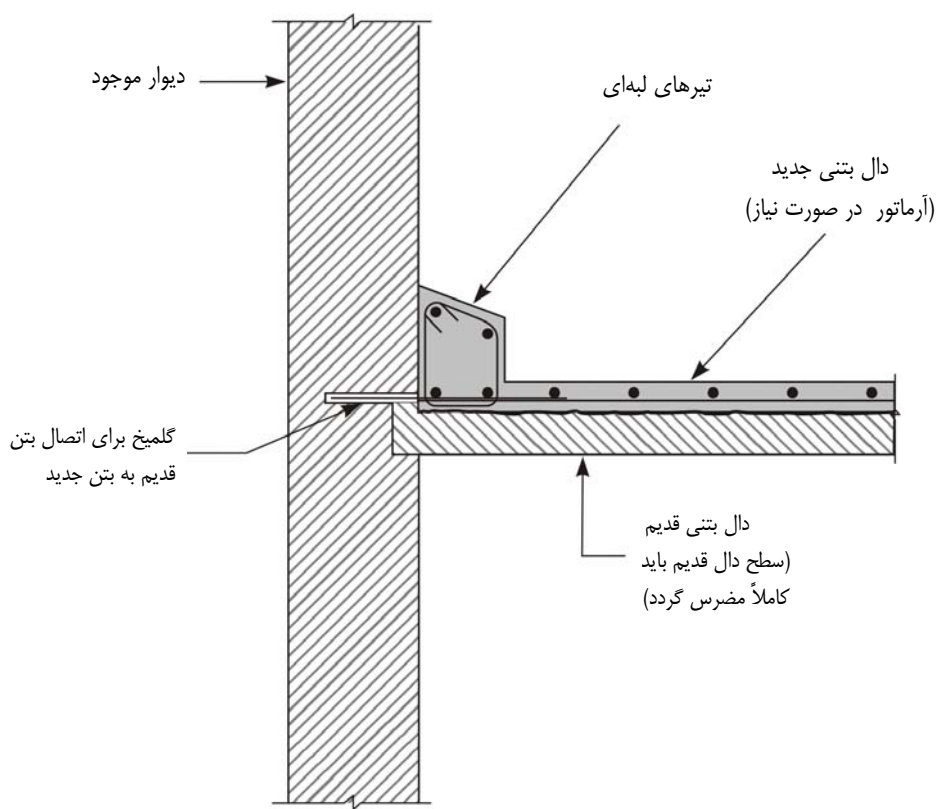
همان گونه که در قسمت های قبلی نیز بدان اشاره شد، آسیب های دال بیشتر در قسمت های نامنظم آن، مانند محل اتصال دال به دیوار برشی مشاهده می شوند. از سویی بدلیل اینکه دال ها باید به عنوان دیافراگم افقی با تمام المان های مقاوم جانبی نیز اتصال داشته باشند، لذا وجود اتصالی قوی بین دال و دیوار برشی ضروری است. بهسازی اتصال دال به دیوار را می توان به کمک میلگرد های اتصال (میلگرد ریشه) مطابق شکل ۱۶-۳-۲ انجام داد.



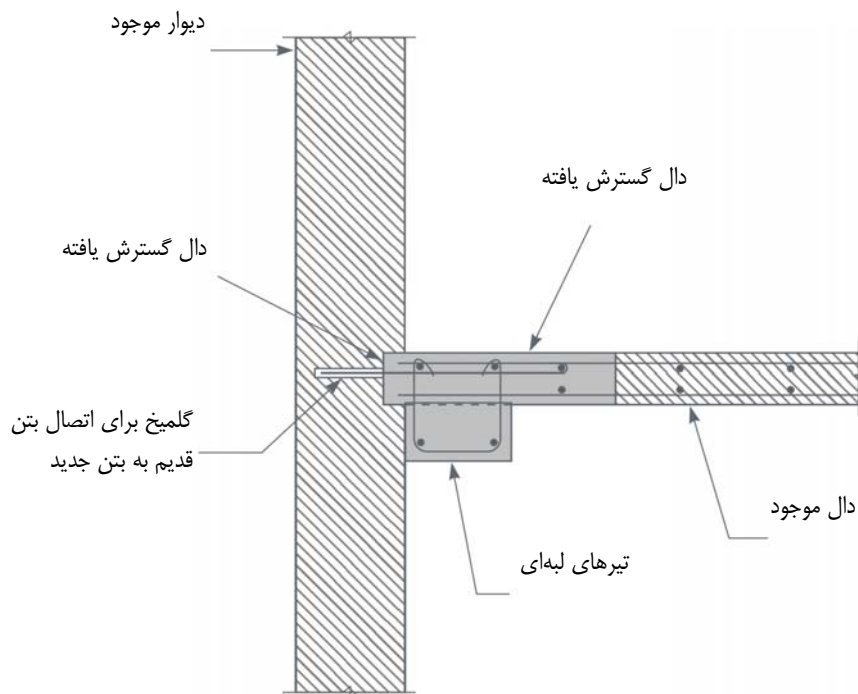
شکل ۲-۱۶-۳- بهسازی دال با اضافه کردن تیر لبه ای

پس از ایجاد شکاف در دال و قسمت هایی از دیوار، سوراخ هایی در دیوار تعییه می گردد به گونه ای که بتوان میلگرد های ریشه را از طریق این سوراخ ها توسط چسب اپوکسی به دیوار متصل نمود. سپس شکاف موجود با بتون قوی منبسط شونده ای پر می گردد تا از عملکرد صحیح اتصال اطمینان حاصل گردد.

یکی دیگر از روش های تقویت اتصال دال به دیوار برشی اضافه کردن تیرهای لبه ای و تقویت در نواحی مرزی می باشد. در این روش می توان قسمت مرزی دال و دیوار را تخریب و با کاشت آرماتور، تیرهای لبه ای ایجاد نمود. تیر لبه ای را می توان در قسمت فوقانی دال (شکل ۱۷-۳-۲) و یا تحتانی آن (شکل ۱۸-۳-۲) اجرا نمود.

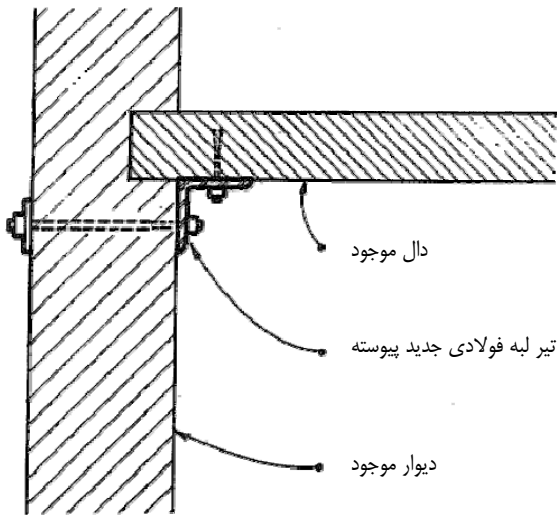


شکل ۲-۳-۱۷- بهسازی دال با اضافه کردن تیر لبه‌ای از بالا



شکل ۲-۳-۱۸- بهسازی دال با اضافه کردن تیر لبه‌ای از پایین

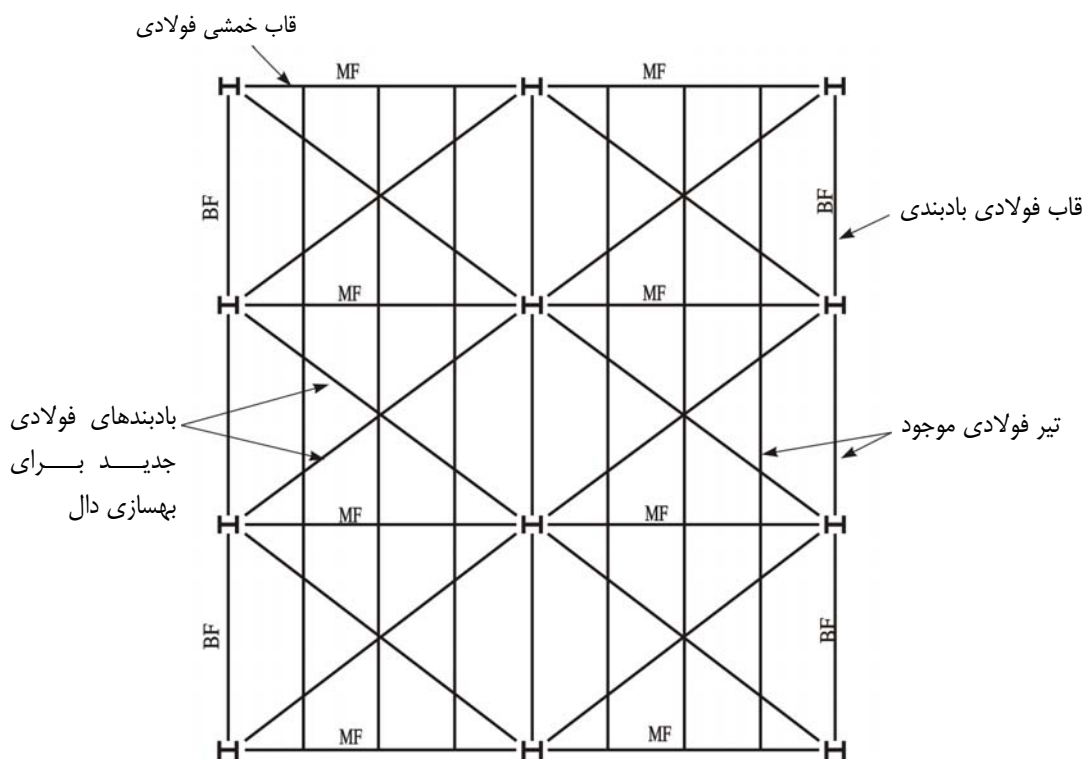
روش دیگر برای مقاوم سازی اتصال دال به دیوار برشی، پیچ نمودن نبیشی در محل تماس دال با دیوار می‌باشد. این روش برای سیستم‌های پیش‌ساخته نیز بسیار مناسب می‌باشد (شکل ۱۹-۳-۲).



شکل ۱۹-۳-۲- بهسازی اتصال دال و دیوار پیش ساخته

#### ۷-۱-۳-۲- بهبود عملکرد دیافراگمی دال

از مواردی دیگری که می‌توان در بهسازی دال‌ها به آن اشاره کرد، تقویت دال برای بهبود عملکرد دیافراگمی آن می‌باشد. دال‌ها علاوه بر تحمل بار قائم، وظیفه انتقال بارهای جانبی را نیز بر عهده دارند. بدین منظور می‌توان راهکارهایی مانند اضافه نمودن مهاربند افقی برای اصلاح سختی دیافراگم و یا بهسازی بازشوهای موجود در دال را بکار گرفت (شکل ۲۰-۳-۲).



شکل ۲۰-۳-۲- بهسازی دیافراگم‌ها بوسیله مهاربندهای افقی

**مثال ۱-۳-۲:**

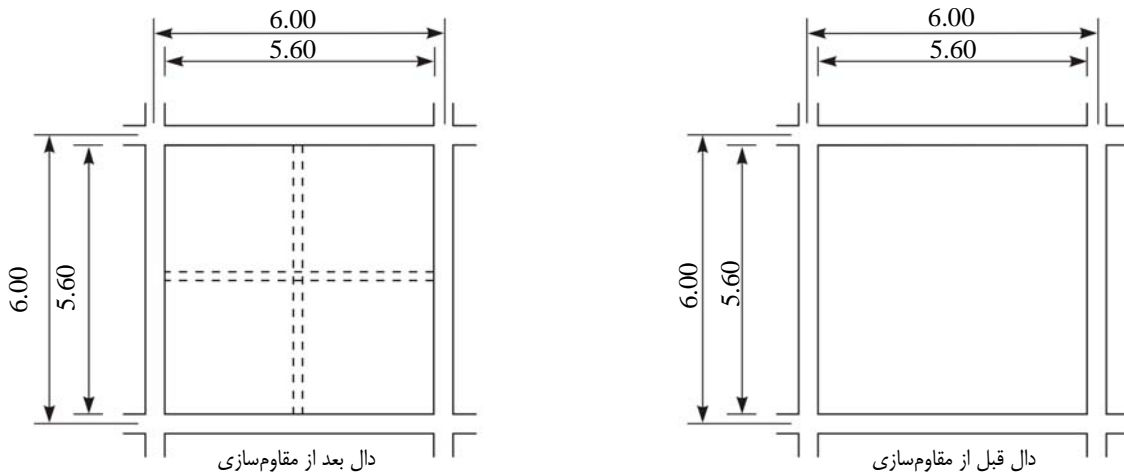
دالی با چشمی ۶×۶ متر و با ضخامت ۱۵ سانتیمتر از چهار طرف پیوسته می‌باشد. این دال برای بار مرده ۶۰۰ و بار زنده ۲۰۰ کیلوگرم بر متر مربع طراحی شده است. با تغییر کاربری بار زنده آن به ۷۵۰ کیلوگرم بر متر مربع افزایش یافته است. مطلوب است ارائه طرح تقویت برای دال:

$$f_c = 200 \frac{kg}{cm^2}, F_y = 4000 \frac{kg}{cm^2}$$

**طراحی دال یکپارچه بتن مسلح:**

$$A \times B = 6 \times 6m$$

$$a \times b = 5.60 \times 5.60m$$



شکل مثال ۱-۳-۲-الف

**کنترل ضخامت:**

$$h = \frac{P}{160} = 2 \times (2 \times 5600) \frac{1}{160} = 140mm$$

$$h = 150mm$$

**تعیین بارگذاری:**

$$= 1.25 \times 600 = 750 kg / m^2 \text{ بار مرده}$$

$$= 1.50 \times 200 = 300 kg / m^2 \text{ بار زنده}$$

$$W_u = 1050 kg / m^2$$

**تعیین لنگرهای طراحی:**

$$m = \frac{5.60}{5.60} = 1.0$$

لنگر منفی در لبه ممتد دال:

$$M^- = 0.045 \times 1050 \times 5.60^2 = 1480 \text{ kg} / \text{m}$$

لنگر مثبت:

$$M_D^+ = 0.018 \times 750 \times 5.60^2 = 423 \text{ kg} / \text{m}$$

$$M_L^+ = 0.027 \times 300 \times 5.60^2 = 254 \text{ kg} / \text{m}$$

$$M_u^+ = 680 \text{ kg} / \text{m}$$

طراحی میلگردها:

ظرفیت خمشی حداکثر دال با ضخامت ۱۵۰ میلیمتر:

$$d = 150 - 30 = 120 \text{ mm}$$

$$b = 1000 \text{ mm}$$

$$\rho_{\max} = 0.6 \times 0.85 \times \frac{20}{400} \times \frac{600}{600 + 400} = 0.0153 \Rightarrow M_{r_{\max}} = 5560 \text{ kg} / \text{m}$$

به فولاد فشاری احتیاج نیست.

محاسبه فولاد حداقل:

$$A_{S_{\min}} = 0.0018 \times 10^3 \times 150 = 270 \text{ mm}^2 / \text{m}$$

سطح مقطع فولاد مورد نیاز:

$$M^- = 1480 \text{ kg} / \text{m} \Rightarrow A_S = 386 \text{ mm}$$

$$USE \Phi 10 @ 200 = 392 \text{ mm}^2 / \text{m}$$

$$M^+ = 680 \text{ kg} / \text{m} \rightarrow A_s = 171 < A_{S_{\min}}$$

$$USE \Phi 10 @ 300 = 261 \text{ mm}^2 / \text{m}$$

تقویت دال برای افزایش بار زنده:

بار زنده دال از ۲۰۰ کیلوگرم بر متر مربع افزایش یافته است، بنابراین خواهیم داشت.

$$Q_D : 1.25 \times 600 = 750 \text{ kg} / \text{m}^2$$

$$Q_L : 1.50 \times 750 = 1125 \text{ kg} / \text{m}^2$$

$$Q_u = 1875 \text{ kg} / \text{m}^2$$

با توجه به عدم کفایت دال برای بار فوق، تصمیم به استفاده از شبکه فولادی برای تقویت دال شده است. طراحی این دال به دو

روش مدل کامپیوترا و دستی انجام می‌شود.

### الف : تحلیل کامپیوتری و استفاده از عمل مرکب تیر فولادی و دال

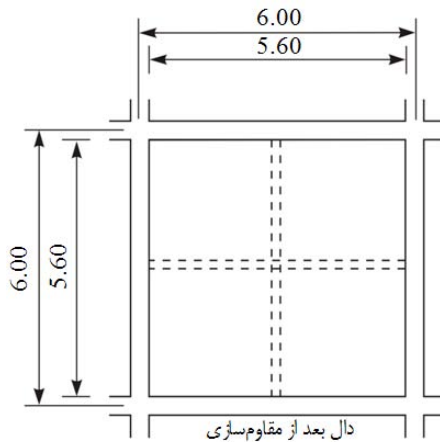
$$M_{\max} = 3.50 \text{ ton-m} \quad (\text{با استفاده از نتایج مدل کامپیوتری})$$

بار وارد بر تیر فلزی:

$$F_b = 1440 \text{ kg/cm}^2$$

$$S = 3.50 \times 10^5 / 1440 = 243 \text{ cm}^3$$

$$IPE 220 : S = 252 \text{ cm}^3$$

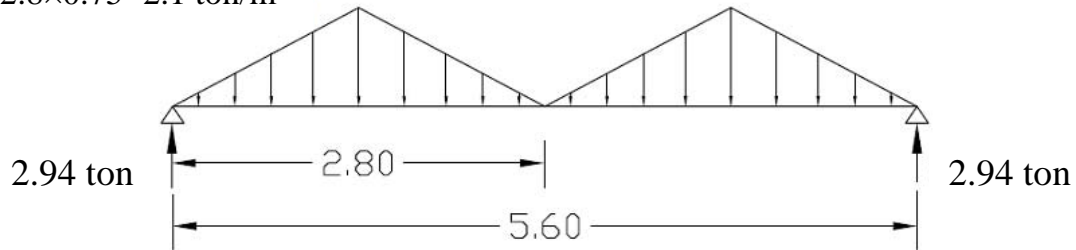


شکل مثال ۱-۳-۲-ب

### ب : روش دستی : (تصویرت غیرمرکب)

فرض می‌شود تمام بار زنده به تیرک فولادی اعمال گردد.

$$2.8 \times 0.75 = 2.1 \text{ ton/m}$$



شکل مثال ۱-۳-۲-پ

$$M_{CL} = 2.94 \times 2.8 - 2.94 \times \frac{2.8}{2} = 4.116 \text{ ton-m}$$

$$S = \frac{4.116 \times 10^5}{1440} = 286 \text{ cm}^3$$

$$IPE 240 : S = 324 \text{ cm}^3$$

### - کنترل تغییر شکل

همانطور که ملاحظه می‌شود این تیر فقط برای اضافه بار زنده طراحی شده است. چند ایراد می‌توان بر آن گرفت:

- معلوم نیست بار زنده قدیمی در روی دال مؤثر باشد. بنابراین احتیاط حکم می‌کند که در طراحی تیر تمام بار زنده منظور گردد. در این حالت با کمی دقت در روش محاسبات IPE240 جوابگو خواهد بود.

- ۲- بار مرده از قبل روی دال مؤثر است بنابراین می‌توان ادعا کرد که به تیر فولادی اعمال نمی‌شود. اگر در هنگام اجرای تیر فولادی به کمک جک تیر و دال را قدری محدب نماییم، ممکن است این ایراد به طرح وارد گردد که تیر فولادی باید قسمتی از بار مرده را نیز تحمل نماید در این حالت عملکرد مرکب نیز قابل استفاده است. در تمام حالات باید تیرهای محیطی برای اثر بار متمن کر تیر فولادی کنترل گردد.



## ۴-۲- راهکارهای بهسازی تیرها

تیرها عموماً بصورت افقی و یا شیبدار در سازه قرار می‌گیرند و بارهای قائم وارد بر محور خود را به ستون‌ها منتقل می‌نمایند. در سازه‌های با قاب خمی، تیرها علاوه بر تحمل بارهای ثقلی باید بارهای جانبی ناشی از زلزله را نیز تحمل نمایند. در زلزله‌های شدید ستون‌ها نباید آسیبی بینند و مفصل‌های خمیری خمی و برشی باید به تیرها و یا بادبندها منتقل شوند بدین منظور به هنگام مقاومسازی، همواره تیر مقاومسازی شده نباید قویتر از ستون متصل به آن باشد. معایب تیرها بر اثر طراحی نادرست، جزئیات ناقص، ساخت نامناسب و کیفیت پایین مصالح می‌باشد. بر اساس نوع تیر (بتنی یا فولادی) و معایب آن روش‌های متعددی برای بهسازی تیرها وجود دارد که در ادامه به آن پرداخته شده است. عوامل مؤثر در انتخاب طرح مقاومسازی تیر عبارتند از:

- میزان دسترسی به تیر در محل (دسترسی به کل محیط تیر)،
- وضعیت بارهای وارد (بارهای یکنواخت، بارهای متناوب و رفت و برگشتی)،
- میزان افزایش مقاومت برشی و خمی مورد نیاز،
- دسترسی به انواع مصالح برای مقاومسازی،
- ملاحظات اقتصادی.

در برخی موارد ارزانترین روش، بهترین انتخاب است اما گاهی اوقات کار باید در کوتاهترین زمان ممکن تمام شود. در بعضی از موارد بعد هندسی مقاطع نباید بزرگ شود و گاهی نیز از مصالحی باید استفاده نمود که دوام بالا و مقاومت خوبی در برابر خوردگی دارند.

## ۴-۳- تیرهای بتن مسلح

شکستهای برشی و خمی، دو حالت عمدۀ شکست در تیرهای بتن مسلح می‌باشند. شکست خمی عموماً نسبت به شکست برشی، ارجح است زیرا رفتار شکل‌پذیرتری از خود نشان می‌دهد. شکست نرم امکان پخش مجدد تنش را فراهم می‌آورد و به کاربران و حاضران در محل نیز فرصت بیشتری برای بی‌بردن به وضعیت بحرانی تیر می‌دهد.

همچنین خرابی تیر بتن مسلح می‌تواند به علت تهاجم یون‌های شیمیایی صورت بگیرد. در شکل ۱-۴-۲ خرابی تیرها در اثر تهاجم یون‌های شیمیایی و تأثیر نیروهای لزهای نشان داده شده است.

برای تقویت تیرهای بتن مسلح می‌توان از راهکارهای زیر استفاده نمود:

- ۱- روکش بتن مسلح
- ۲- روکش فولادی
- ۳- روکش FRP
- ۴- پیش‌تنیدگی خارجی

هر یک از روش‌های فوق به تفکیک در زیر مورد بررسی قرار گرفته‌اند.

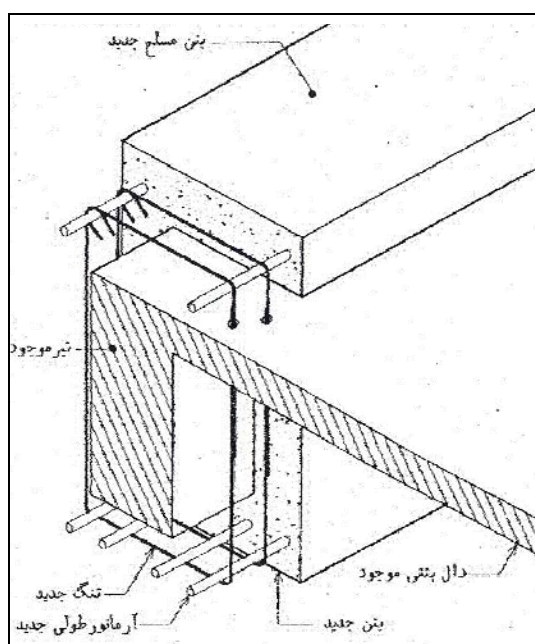


شکل ۲-۴-۱- نمونه‌هایی از آسیب‌دیدگی تیرهای بتنی

#### ۲-۱-۴- روکش بتن مسلح

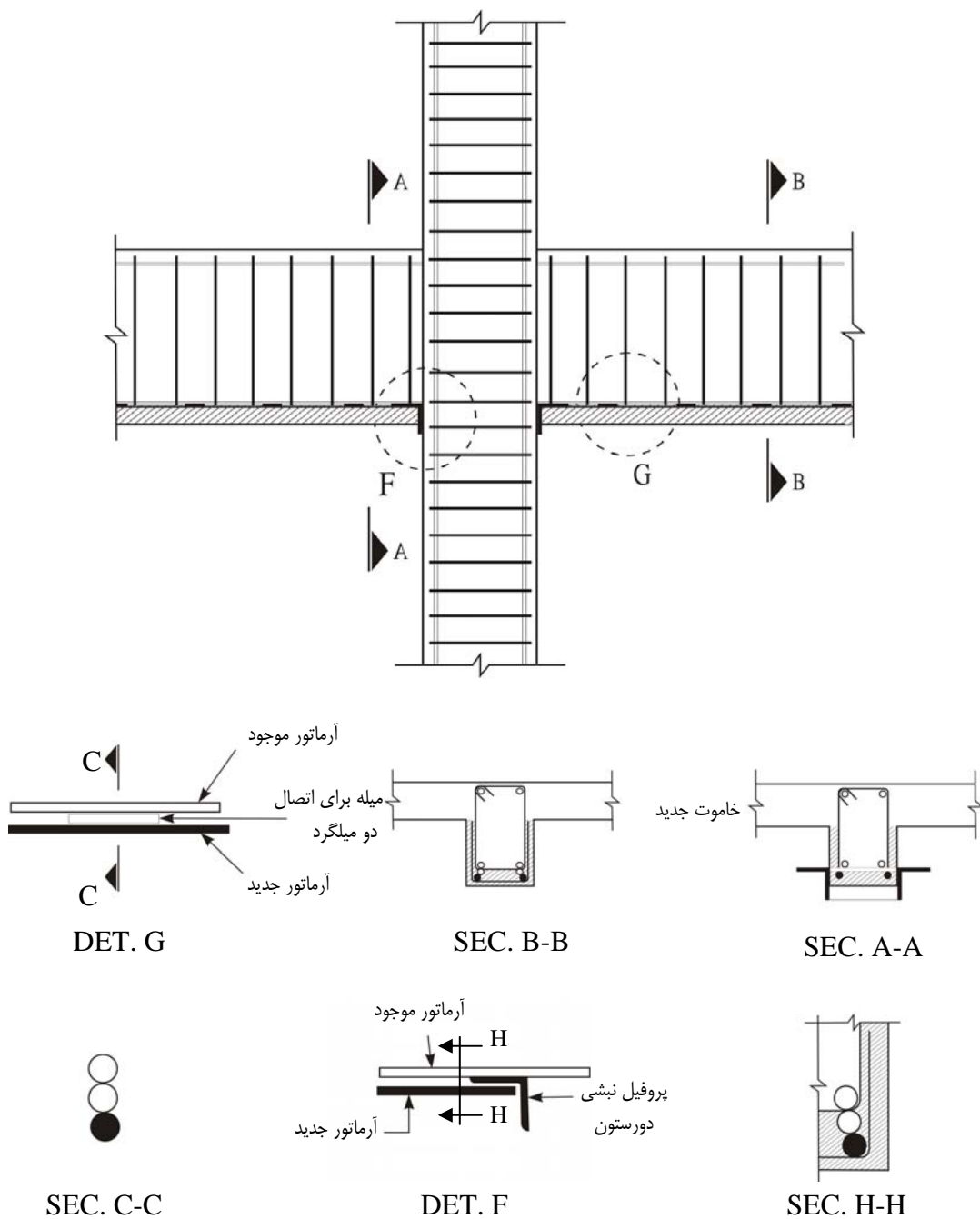
در تیرها می‌توان از روکش بتنی در سه و یا چهار وجه تیر برای بهسازی و افزایش مقاومت آن استفاده نمود. با این روش می‌توان ناحیه کششی و فشاری تیر را با روکش‌های بتنی جدید تقویت کرد.

برای تکمیل مکانیسم انتقال نیرو بین مصالح قدیم و جدید، زبر نمودن سطح بتن قدیمی و جوش دادن میلگردهای اتصال با آرماتورهای جدید و قدیم ضروری می‌باشد. اجرای روکش بتنی در هر چهار وجه تیر موثرترین روش برای مقاوم‌سازی تیرهای بتنی می‌باشد. در این شیوه ضخامت بتنی که به وجه بالایی تیر افزوده می‌گردد باید در ضخامت سقف گم شود. اجرای تنگ‌ها نیز از طریق سوراخهایی که در فواصل نزدیک به هم در دال سقف ایجاد می‌شود امکان پذیر می‌باشد. نمونه‌ای از روکش بتنی در چهار وجه تیر در شکل ۲-۴-۲ نشان داده شده است.

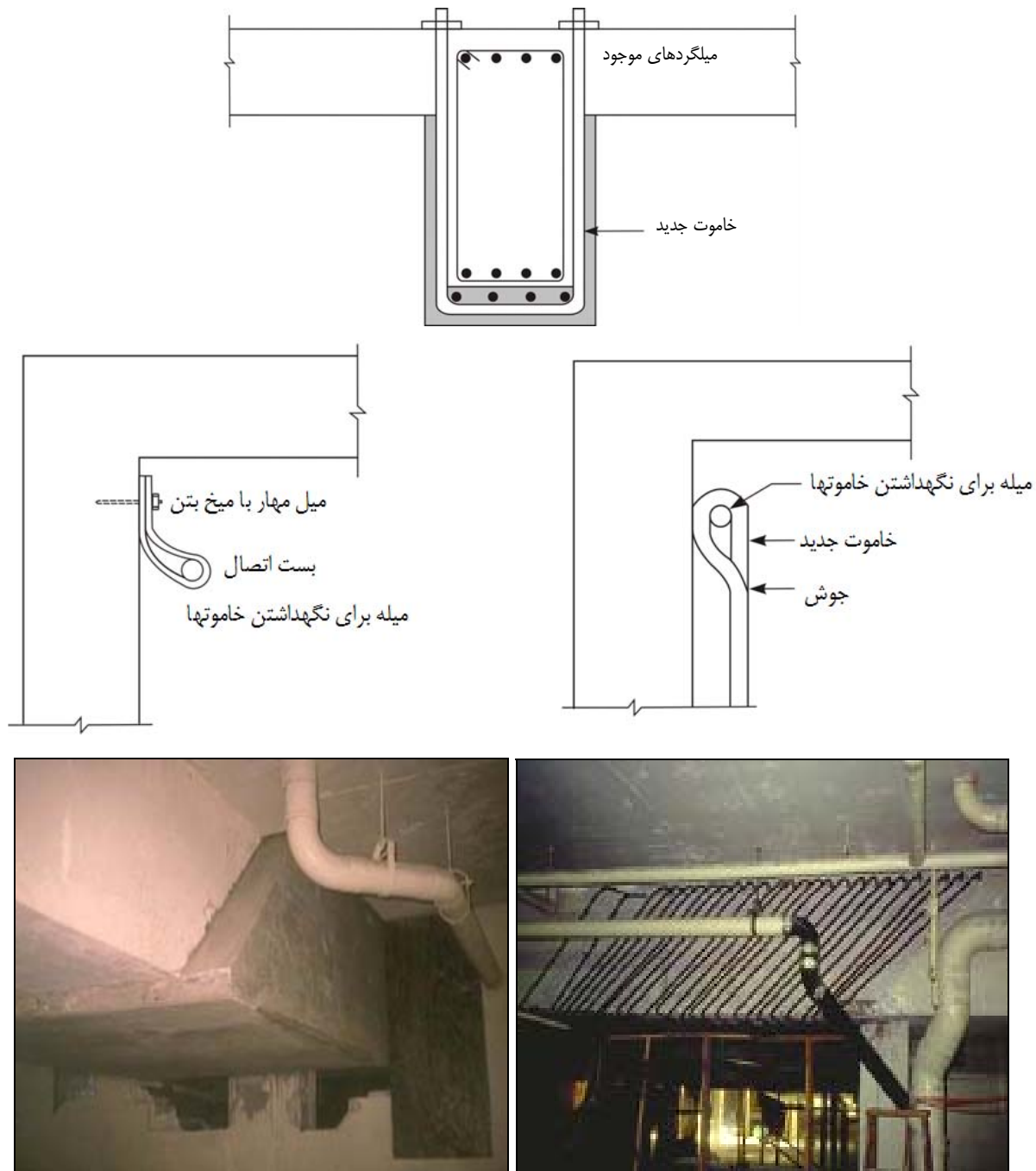


شکل ۲-۴-۲- اجرای روکش بتنی برای افزایش مقاومت تیرهای بتنی

اجرای روکش بتنی در سه وجهه تیر برای افزایش ظرفیت خمشی و برشی تیر در برابر بارهای قائم انجام می‌شود، اما به دلیل آنکه در این حالت، افزایش ظرفیت باربری مقاطعی از تیر که در نزدیکی تکیه‌گاهها قرار دارند امکان پذیر نیست، تیر را نمی‌توان در مقابل بارهای جانبی زلزله تقویت نمود. موفقیت این روش مستلزم مهار مناسب خاموت‌ها از ضلع‌های بالایی روکش است. به دلیل آنکه استفاده از قالب و ریختن بتن از بالای تیر امکان پذیر نیست تنها راه ممکن استفاده از بتن پاشی می‌باشد. نمونه‌ای از روکش بتنی در سه وجهه تیر در اشکال ۲-۳-۴-۴-۴ نشان داده شده است.



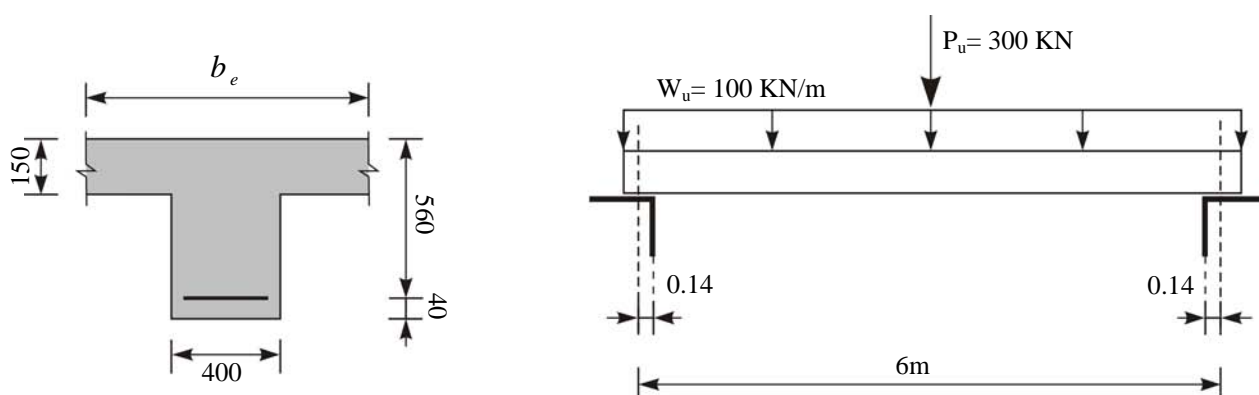
شکل ۲-۳-۴- اجرای روکش بتنی در سه وجهه تیر



شکل ۲-۴-۴- استفاده از روکش بتنی در مقاوم سازی تیرها

#### مثال ۱-۴-۲

تیر دو سر ساده زیر برای نیروی گسترده نهایی  $100 \text{ KN/m}$  طراحی شده و فواصل تیرها از یکدیگر ۳ متر می‌باشد. در صورتی که بخواهیم آن را برای بار متمرکز اضافی نهایی  $300 \text{ کیلونیوتون}$  افزایش باربری دهیم، مطلوب است طرح تقویت تیر بتن مسلح با روکش بتنی:



شکل مثال ۱-۴-۲-الف

عرض مؤثر دال:

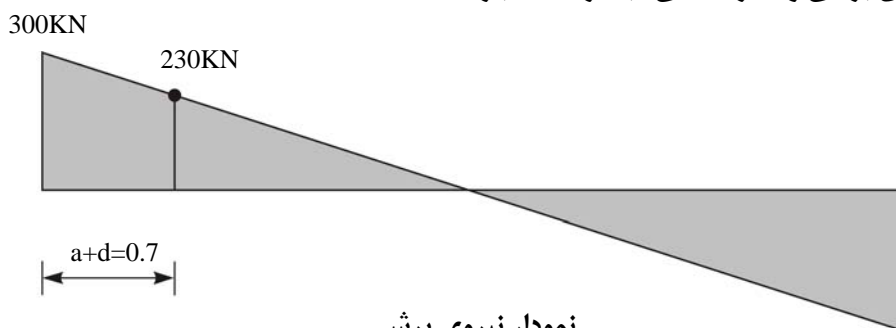
عرض مؤثر دال برابر با کوچکترین مقدار از مقادیر زیر است :

$$\frac{2}{5} \times 5720 = 2300 \quad \text{طول دهانه آزاد: } \frac{2}{5}$$

- ۱۶ برابر ضخامت دال به علاوه عرض جان تیر:  $16 \times 150 + 400 = 2800$

- فاصله مرکز به مرکز دو تیر مجاور:  $3000$

گام ۱ - نمودار نیروی برشی و لنگر خمشی قبل از اعمال بار جدید



نمودار نیروی برشی

450 KN.m

نمودار لنگر خمشی

شکل مثال ۱-۴-۲-ب

## گام ۲- طراحی برای وضعیت قبل از افزایش بار بر اساس آیین‌نامه آبا

$$f_y = 400 \text{ MPa}, \quad f_c = 20 \text{ MPa}$$

آرماتور کششی در مقاطع وسط دهانه:

$$f_{yd} = 0.85 \times 400 = 340 \text{ MPa}$$

$$f_{cd} = 0.6 \times 20 = 12 \text{ MPa}$$

$$A_s = \frac{M_u}{f_{yd}(d - t/2)} = \frac{450 \times 10^6}{340(560 - 75)} = 2730 \text{ mm}^2$$

تعیین تقریبی آرماتورها:

$$USE4\Phi30, A_s = 4 \times 707 = 2828 \text{ mm}^2$$

$$a = \frac{f_{yd} A_s}{0.85 f_{cd} b} = \frac{340 \times 2828}{0.85 \times 12 \times 2300}$$

$$a = 41 < 150 \text{ mm}$$

$$A_s = \frac{M_u}{f_{yd}(d - a/2)} = \frac{450 \times 10^6}{340(650 - 41/2)} = 2453 \text{ mm}^2$$

$$USE4\Phi30, A_s = 4 \times 707 = 2828 > 2453 \text{ mm}^2$$

$$\rho_{\min} = \max\left(\frac{1.4}{f_y}, \frac{0.25\sqrt{f_c}}{f_y}\right) < \rho = \frac{2828}{400 \times 560} < \rho_{\max} = 0.6\beta_1 \frac{f_c}{f_y} \frac{600}{600 + f_y}$$

$$\rho_{\min} = \max(0.0035, 0.0028) < \rho = 0.012 < \rho_{\max} = 0.0153$$

طراحی برای برش:

$$V_u = 230 \text{ KN}$$

$$v_c = 0.2\varphi_c \sqrt{f_c} = 0.2 \times 0.6 \times \sqrt{20} = 0.54 \text{ MPa}$$

$$V_c = 0.54 \times 400 \times 560 \times 10^{-3} = 121 \text{ KN} = 12.1 \text{ ton}$$

$$V_s = 230 - 121 = 109 \text{ KN}$$

$$\frac{A_v}{s} = \frac{V_s}{f_{yd} d} = \frac{109 \times 10^3}{340 \times 560} = 0.572$$

اگر از خاموت Φ10 استفاده شود:

$$A_v = 78.5 \times 2 = 157 \text{ mm}^2$$

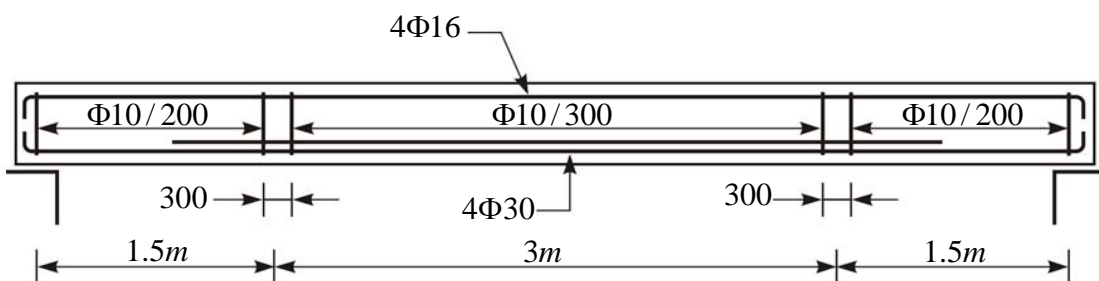
$$s = \frac{157}{0.572} = 274.5 \text{ mm}$$

از خاموت Φ10/200 تا ۱/۵ متر از بر تکیه‌گاه و از آنجا تا وسط دهانه از خاموت Φ10/300 استفاده می‌کنیم.

$$V_s = \frac{A_v}{s} (\varphi_s f_y) d = \frac{157}{200} (0.85 \times 400) \times 560 \times 10^{-3} = 149.5 \text{ KN}$$

$$V_c + V_s = 121 + 149.5 = 270.5 \text{ KN}$$

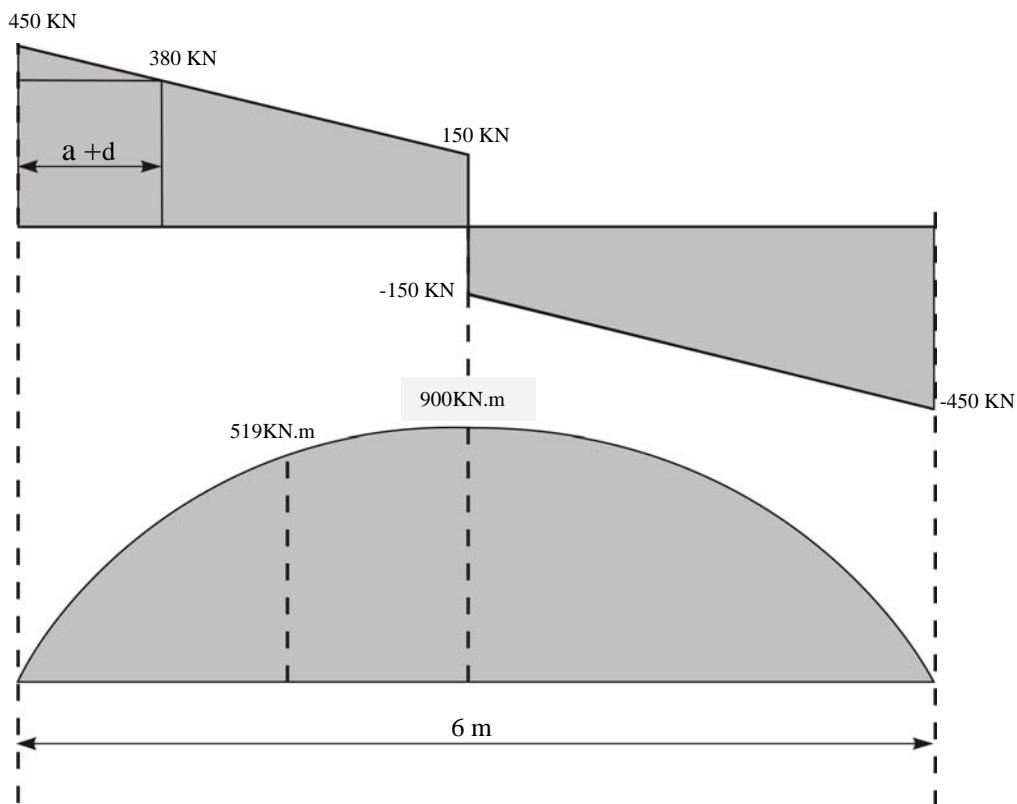
آرماتوربندی اولیه تیر برای وضعیت قبل از تقویت بصورت زیر حاصل می‌شود:



شکل مثال ۲-۴-۱-پ

### گام ۳ - تقویت تیر برای بار جدید

برای طرح تقویت ابتدا نمودار نیروی برشی و لنگر خمشی برای بارگذاری موجود و اضافی رسم می‌گردد:



شکل مثال ۲-۴-۱-ت

### تقویت برای خمش

ابتدا ظرفیت خمشی بر مبنای ۴ میلگرد نمره ۳۰ تعیین می‌گردد:

$$A_s = 4 \times 707 = 2828 \text{ mm}^2$$

$$a = 40 \text{ mm}$$

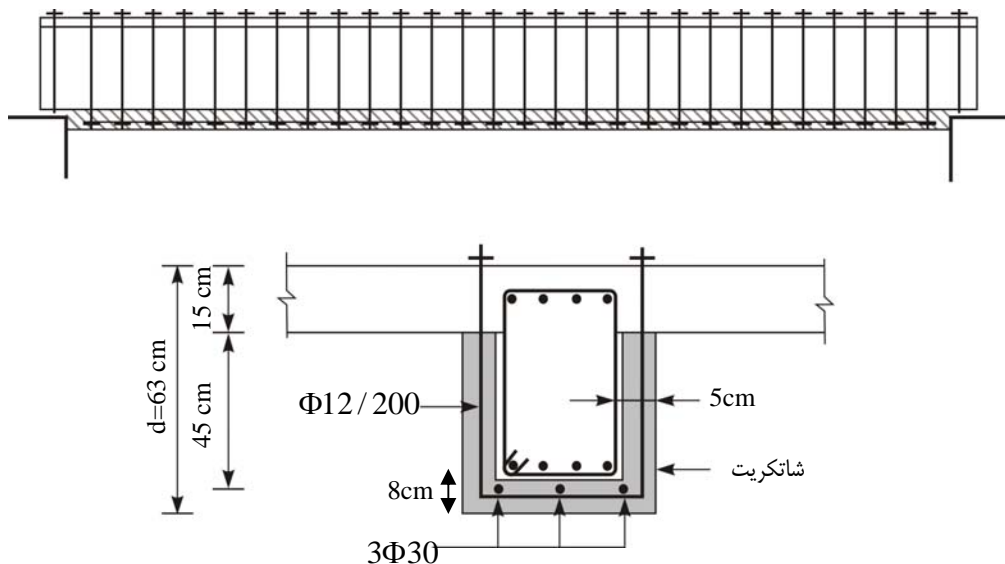
$$M_u = 2828(0.85 \times 400)(560 - \frac{40}{2}) \times 10^{-6} = 519 \text{ KN.m}$$

$$\Delta M_u = 900 - 519 = 381 \text{ KN.m}$$

افزایش بار مرده ناشی از شاتکریت  $= 1.25(2 \times 0.45 \times 0.05 + 0.5 \times 0.08)25 = 2.7 \text{ KN / m}$

$$\Delta M_d = \frac{2.7 \times 6^2}{8} = 12.15 \text{ KN.m}$$

$$\text{کل } M_u = 381 + 12.15 = 393.15 \text{ KN.m}$$



شکل مثال ۲-۴-۲-ث- جزئیات تقویت

تعیین تقریبی آرماتورها:

$$A_s = \frac{M_u}{f_{yd}(d - t/2)} = \frac{393.15 \times 10^6}{340(630 - 75)} = 2083.5 \text{ mm}^2$$

$$3\Phi 30 = 3 \times 707 = 2121 \text{ mm}^2$$

$$USE \quad 3\Phi 30 = 2121 \text{ mm}^2 > 1881.3 \text{ mm}^2$$

این تقویت در طول تیر قرار داده می‌شود.

## تقویت برای برش

از آنجا که با افزایش بار و عدم عملکرد کامل یکپارچه بین بتن قدیم و جدید، احتمال ترک در بتن می‌رود، از مقاومت  $V_c$  در طراحی صرفنظر می‌شود.

$$\text{تقویت } V_u = 380 - V_s = 380 - 149.5 = 230.5 \text{ KN}$$

$$V_s = 230.5 + \frac{2.7 \times 6}{2} = 238.6 \text{ KN}$$

$$\frac{A_v}{s} = \frac{V_s}{0.85f_y d} = \frac{238.6 \times 10^3}{0.85 \times 400 \times 630} = 1.114$$

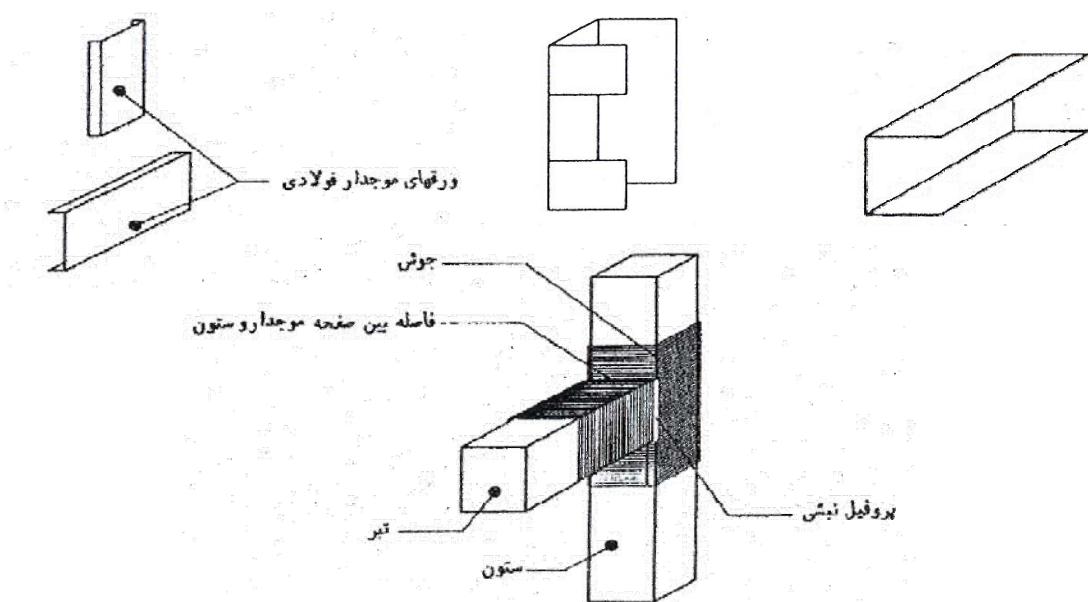
$$s = 200 \text{ mm} \rightarrow A_v = 222.8 \text{ mm}^2$$

$$\Phi 12/200 \quad A_v = 226 \text{ mm}^2 > 222.8 \text{ mm}^2$$

جزئیات تقویت در شکل ۲-۴-۱-ث مثال نشان داده شده است.

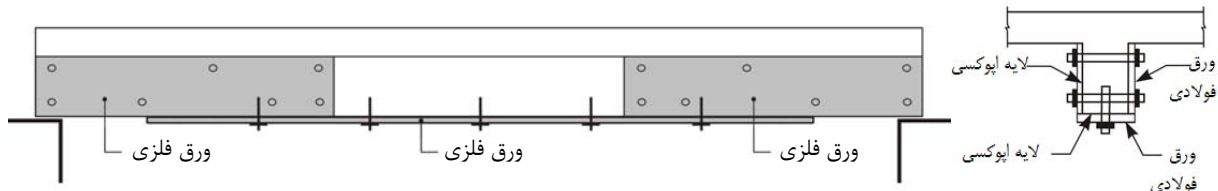
## ۲-۱-۴-۲- روکش فولادی

برای تقویت خمشی تیرها می‌توان ورق‌هایی به ضخامت کم را با رزین اپوکسی به وجه کششی تیر چسباند. چسباندن ورق به وجه قائم تیرها در نزدیکی تکیه‌گاه‌ها موجب افزایش ظرفیت برشی و چسباندن ورق به بال تحتانی موجب افزایش ظرفیت خمشی تیر می‌گردد (شکل ۲-۴-۵). در صورت نیاز به استفاده از ورقه‌هایی با ضخامت بیشتر باید از پیچ‌ها و بولت‌های مهاری برای انتقال برش استفاده نمود. در این حالت نیز توصیه می‌شود ابتدا ورق فولادی با چسب اپوکسی چسبانده شده و بعد پیچ‌ها به صورت میانگذار یا کاشته شده مورد استفاده قرار گیرد (شکل ۲-۴-۶).

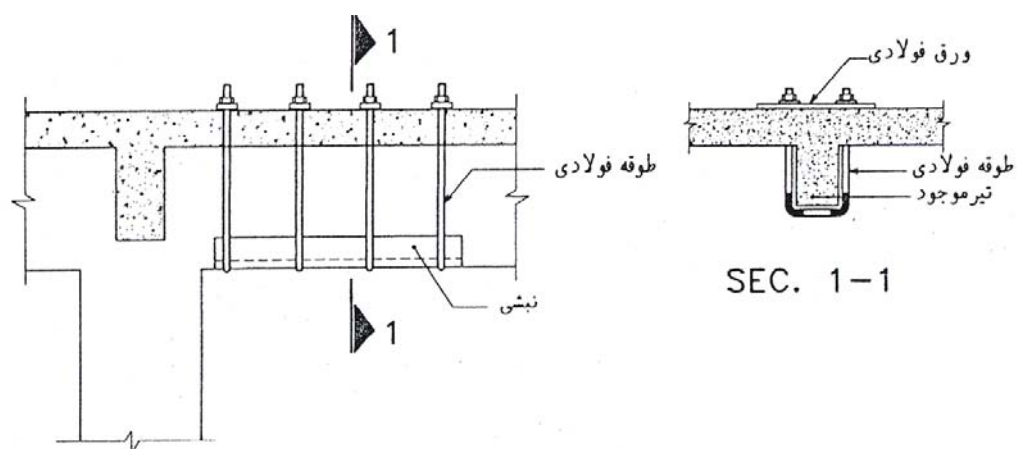


شکل ۲-۴-۵- تقویت خمشی و برشی تیرها با چسباندن ورق‌های فولادی با ضخامت کم با چسب اپوکسی

مطابق شکل ۲-۴-۷ می‌توان بجای استفاده از ورق‌های فولادی که در وجود تیر نصب می‌شوند از قفس‌های فولادی بصورت نبشی و رکابی استفاده نمود.



شکل ۲-۴-۶- تقویت خمشی و برشی تیرها با ورق فولادی



شکل ۲-۴-۷- تقویت خمشی و برشی تیرها با قفس فولادی شامل نبشی و رکابی

## ۲-۴-۲ مثال

مطلوب است طرح تقویت تیر بتن آرمه مثال ۱-۴-۲ با روکش فولادی:

الف: تقویت با روکش فولادی

- کنترل برش -

ابتدا ظرفیت برشی موجود تعیین می‌گردد:

$$V_c = 121 \text{ KN}$$

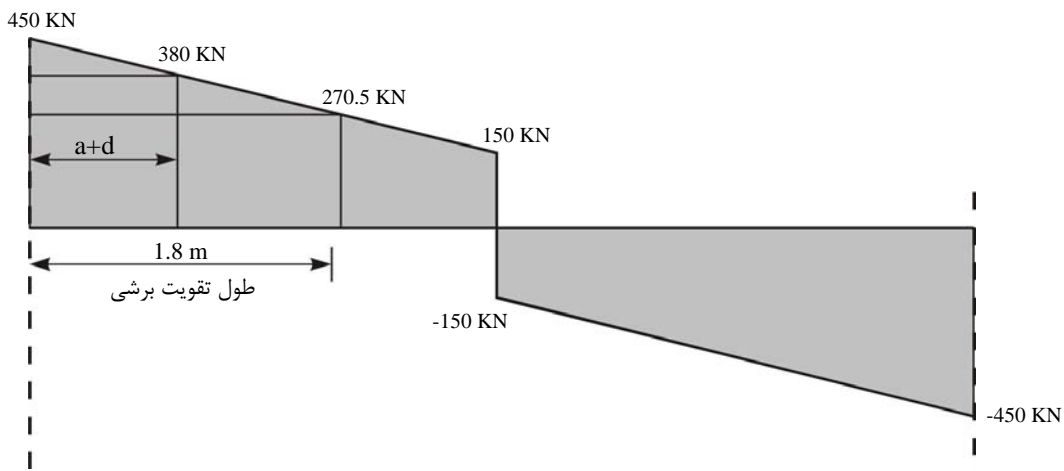
$$V_s = \frac{A_v}{s} (\varphi_s f_y) d = \frac{157}{200} (0.85 \times 400) \times 560 \times 10^{-3} = 149.5 \text{ KN}$$

$$V_c + V_s = 121 + 149.5 = 270.5 \text{ KN}$$

مقدار فوق روی نمودار نیروی برشی برده می‌شود و از آنجا طول لازم برای تقویت بدست می‌آید. این طول از مرکز تکیه‌گاه به سمت وسط دهانه برابر با  $1/8$  متر است. با توجه به اینکه این طول محاسباتی است به آن به مقدار  $d$  اضافه می‌شود تا تقویت قدری از نقطه نظری فراتر رود. بنابراین طول تقویت مساوی  $2/5$  متر از محور تکیه‌گاهی به سمت وسط دهانه بدست می‌آید.

برای تقویت برشی از روکش فولادی استفاده می‌شود. از آنجا که با افزایش بار و عدم عملکرد کامل و یکپارچه بین ورق تقویت و بتن، احتمال ترک در بتن می‌رود، از مقاومت  $V_c$  در طراحی صرفنظر می‌شود.

$$\text{تقویت } V_u = 380 - V_s = 380 - 149.5 = 230.5 \text{ KN}$$



شکل مثال ۲-۴-۲-الف

برای ورق جان از فولاد St37 با تنش تسلیم ۲۴۰۰ کیلوگرم بر سانتیمتر مربع می‌شود.

$$t = \frac{V_u}{\varphi_v \cdot 0.6 \cdot F_y \cdot d} = \frac{230.5 \times 10^3}{0.9 \times 0.6 \times 240 \times 450} = 4 \text{ mm}$$

از ورق  $450 \times 4$  میلیمتر در طول  $2/5$  متر در دو طرف تیر استفاده می‌شود.

$$A_v = 2 \times 4 = 8 \text{ mm}$$

این دو ورق توسط پیچ‌هایی که از سوراخ‌هایی در داخل جان عبور کرده‌اند، محکم به جان چسبیده می‌شوند. بین ورق تقویت و بتن جان نیز از چسب اپوکسی استفاده می‌شود.

### تقویت برای خمش

ابتدا ظرفیت خمشی برمبنای ۴ میلگرد نمره ۳۰ تعیین می‌گردد:

$$A_s = 4 \times 707 = 2828 \text{ mm}^2$$

$$a = 40 \text{ mm}$$

$$M_u = 2828(0.85 \times 400)(560 - \frac{40}{2}) \times 10^{-6} = 519 \text{ KN.m}$$

$$15x + 30x - \frac{10x^2}{2} = 51.9$$

$$5x^2 - 45x + 51.9 = 0$$

$$x = 1.36$$

مقدار فوق روی نمودار لنگر خمی برده می‌شود تا طول تقویت تعیین گردد. طول محاسباتی تقویت مساوی  $\frac{3}{28}$  متر بدست می‌آید که بطور عملی مساوی  $\frac{4}{5}$  متر در نظر گرفته می‌شود. برای تقویت از فولاد St37 با  $f_y = 2400 \text{ kg/cm}^2$  استفاده می‌شود:

$$\Delta M_u = 900 - 519 = 381 \text{ KN.m}$$

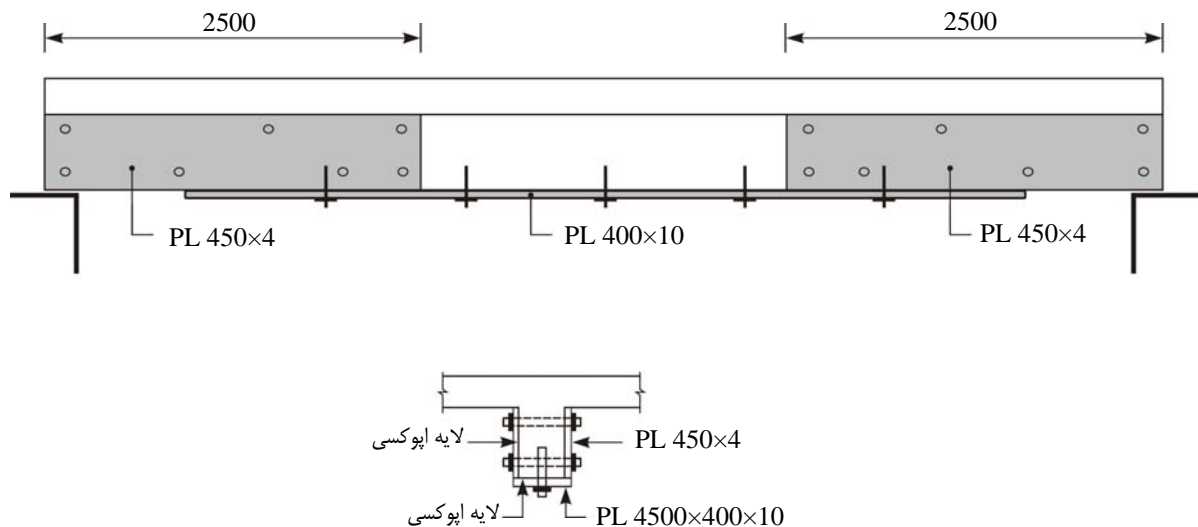
$$A_s = \frac{\Delta M_u}{f_{yd}(d - t/2)} = \frac{381 \times 10^6}{0.85 \times 240(600 - 75)} = 3557 \text{ mm}^2$$

از ورق  $400 \times 10$  میلیمتر در زیر سطح تحتانی تیر استفاده می‌شود.

$$3557 \text{ mm}^2 < 400 \times 10 = 4000 \text{ mm}^2 \quad O.K.$$

این ورق با استفاده از پیچ‌های مهاری به بتن محکم می‌شوند. بین ورق و سطح زیرین بتن نیز چسب اپوکسی تعییه می‌گردد.

طرح نهایی تقویت به شکل زیر خواهد بود.



شکل مثال ۲-۴-۲-ب

### ب: استفاده از نبشی و رکابی

در این روش مقاومت کششی با استفاده از دو نبشی تأمین می‌شود.

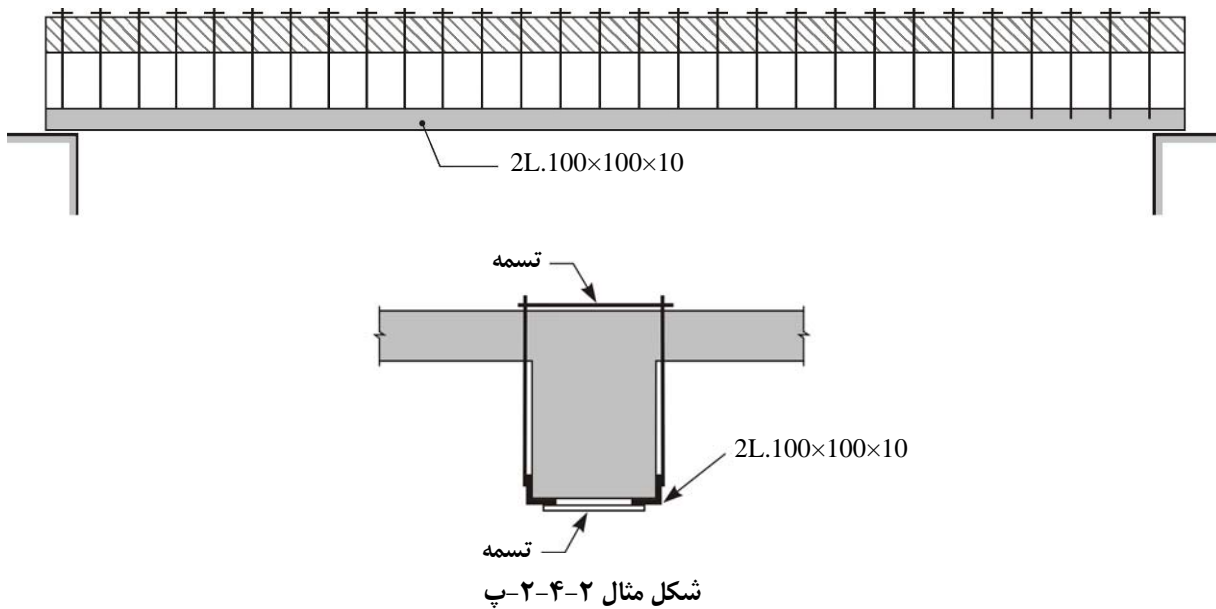
این نبشی‌ها در کنج تیر قرار می‌گیرند و در این حالت رکابی‌ها از پایین به نبشی جوش می‌شوند و از بالا به روی بتن سقف کاملاً پیچ و مهار می‌شوند و محاسبات آن شبیه به تسممهای فولادی است. فقط به جای تسممه فولادی معادل نبشی قرار داده می‌شود. در پیچ‌ها کنشش اولیه‌ای ایجاد می‌گردد که باعث کیپ شدن نبشی‌ها به تیر بتی و عملکرد مشترک در رکابی و تیر بتی می‌گردد. از آنجا که با افزایش بار احتمال ترک در بتن می‌رود، از مقاومت  $V_c$  در طراحی صرفنظر می‌شود.

**طراحی برای تقویت خمی:**

$$A_s = \frac{\Delta M_u}{f_{yd}(d - t/2)} = \frac{381 \times 10^6}{0.85 \times 240(600 - 75)} = 3557 \text{ mm}^2$$

از دو نبشی 2L100x100x10 استفاده می‌شود.

$$A_s = 2 \times A(2L100 \times 100 \times 10) = 2 \times 1920 \text{ mm}^2 = 3840 \text{ mm}^2 > 3557 \text{ mm}^2 \quad O.K$$



**تقویت برشی:**

$$\frac{A_v}{S} = \frac{V_u}{\varphi_v \cdot 0.6 \cdot F_y \cdot d} = \frac{230.5 \times 10^3}{0.9 \times 0.6 \times 240 \times 600} = 2.96$$

$$S = 200 \text{ mm} \rightarrow A_v = 592 \text{ mm}^2$$

$$\Phi 20/200 \quad A_v = 628 \text{ mm}^2 > 592 \text{ mm}^2$$

### ۴-۳-۱-۴-۲- استفاده از مصالح FRP

مقاومت اعضاً بتنی با مصالح کامپوزیتی FRP روش نسبتاً جدیدی به شمار می‌رود. مصالح FRP خواص فیزیکی مناسبی دارند که می‌توان به مقاومت کششی بالا و ضخامت و وزن کم اشاره نمود.

مصالح FRP را می‌توان برای افزایش مقاومت خمشی، مقاومت برشی و مقاومت پیچشی تیر بکار برد که در ادامه به آن اشاره می‌گردد. در هنگام استفاده از مصالح FRP باید سطح بتن و سطح FRP را آماده نمود.

#### آماده کردن سطح بتن:

برای جلوگیری از کنده شدن صفحه FRP و چسب از روی سطح بتن، این سطح باید به نحو مناسبی قبل از چسب زدن آماده‌سازی گردد. در این راستا تمام موارد ناصافی و ناهمواری باید صاف و هموار گردد. وقتی یک لایه نازک FRP بر روی سطح ناهموار بتنی چسبانده شود، قسمتهای FRP که روی ناهمواری‌ها قرار گرفته دچار کشش می‌گردد و تمایل به صاف شدن دارند و این سبب ایجاد تنش‌های جداکننده می‌گردد که ممکن است پس از رسیدن به حد معینی به از بین رفتن چسبندگی در این نقاط متنه شود.

#### آماده‌سازی سطح:

اگر سطح صفحه FRP به طور مناسب آماده نشود، به عنوان مثال اگر ذرات آلودگی و چربی از سطح FRP برداشته نشود، ممکن است جدایی اتصال در سطح نوار FRP با چسب رخ دهد.

#### چسب:

در حال حاضر چسب‌های بسیار قدرتمندی در دسترس می‌باشد که می‌توانند در چسباندن و استفاده از نوارها و الیاف FRP مورد استفاده قرار گیرند به گونه‌ای که مقاومت آنها از مقاومت بتن بیشتر است و به همین دلیل در اغلب حالات شکست در بتن رخ می‌دهد و شکست در لایه چسب به ندرت رخ می‌دهد. تنها در صورت استفاده از چسب نامناسب و یا اجرای غلط و نامطلوب، امکان بروز مشکل در لایه چسب وجود دارد. این مشکل در سطح مشترک چسب و FRP و یا در سطح مشترک بتن و چسب رخ می‌دهد.

### ۴-۳-۱-۴-۲- تقویت خمشی تیر با مصالح FRP

در این بخش به نحوه محاسبه تقویت خمشی تیر بتنی با اضافه نمودن FRP پرداخته می‌شود. برای نمونه تقویت مقاطع مستطیلی و T شکل بررسی شده‌اند. مفاهیم اساسی ارائه شده می‌تواند برای هر شکل هندسی دیگر نیز مورد استفاده قرار گیرد. اتصال مصالح FRP به ناحیه کششی بتن به طوری که راستای الیاف آن در جهت طولی یک عضو خمشی باشد، باعث افزایش مقاومت خمشی آن عضو می‌گردد. مباحث این بخش افزایش مقاومت خمشی اعضای قاب خمشی شکل پذیر مقاوم در برابر زلزله را که انتظار تشکیل مفصل پلاستیک در آن باشد، در بر نمی‌گیرد. در طراحی این حالات باید رفتار قاب تقویت شده با در نظر گرفتن کاهش

قابل توجه چرخش و انحنا در قسمت‌های تقویت شده مورد بررسی قرار گیرد. همچنین در این وضعیت تاثیر بارهای متنابع بر مصالح FRP نیز باید بررسی شود.

نمونه‌ای از روش‌های تقویت خمی تیر با مصالح FRP در شکل ۸-۴-۲ نشان داده شده است.



شکل ۸-۴-۲- کاربرد مصالح FRP در مقاوم‌سازی

#### ۴-۱-۳-۱-۲- فرضیات

فرضیات زیر در محاسبات تقویت خمی مقطع بتنی با استفاده از سیستم FRP بکار می‌روند:

- محاسبات طراحی بر اساس ابعاد واقعی موجود، نحوه استقرار میلگردها و خصوصیات مصالح عضو تقویت شده می‌باشد.
- کرنش در بتن و مصالح FRP متناسب با فاصله آنها از محور خنثی است. به عبارتی شکل مقطع قبل و بعد از بارگذاری تغییر نمی‌کند.
- هیچ نوع لغزش نسبی بین FRP و بتن رخ نمی‌دهد.
- تغییر شکل برشی در لایه چسب، با توجه به ضخامت خیلی کم آن، نادیده گرفته می‌شود.
- حداکثر کرنش فشاری بتن  $300/0$  فرض می‌گردد.
- از مقاومت کششی بتن صرف‌نظر می‌شود.
- رابطه تنش - کرنش FRP تا نقطه شکست آن، به صورت الاستیک خطی فرض می‌شود.

البته باید توجه داشت که بعضی از فرض‌های فوق رفتار دقیق تقویت خمی با FRP را منعکس نمی‌کند و استفاده از آنها به خاطر سادگی محاسبات می‌باشد. برای مثال در لایه چسب به سبب لغزش نسبی FRP و بتن، تغییر شکل برشی وجود دارد. به هر حال عدم صحت دقیق فرضیه‌ها تاثیر قابل ملاحظه‌ای بر مقاومت خمی عضو تقویت شده با FRP نخواهد گذاشت.

#### ۴-۱-۳-۲- مقاومت برشی مقطع

هنگامی که از مصالح FRP برای افزایش مقاومت خمی عضوی استفاده می‌شود، عضو باید بتواند نیروی برشی مربوط به افزایش ظرفیت خمی مقطع را تحمل کند.

### ۴-۱-۳-۱-۳-۱-۴-۲- کرنش لایه زیرین بتن موجود

در صورتی که قبیل از نصب مصالح FRP، تمامی بارهای روی عضو شامل وزن آن و یا نیروی پیش‌تنیدگی از روی عضو برداشته نشود، باید کرنش اولیه موجود در سطح کششی بتن در نظر گرفته شود. این کرنش به عنوان کرنش اولیه است و باید از کرنش موجود در FRP جدا گردد. میزان کرنش اولیه در لایه زیرین بتن،  $E_{bi}$ ، می‌تواند با استفاده از تحلیل الاستیک عضو با در نظر گرفتن تمامی بارهای وارد در حین نصب FRP تعیین شود. توصیه می‌گردد که این تحلیل بر پایه خصوصیات مقطع ترک خورده انجام شود.

### ۴-۱-۳-۱-۴-۲- ضرایب جزئی ایمنی

ضرایب جزئی ایمنی مصالح فولاد و بتن براساس ضوابط مندرج در آیین نامه بتن ایران "آبا" در نظر گرفته می‌شوند. ضرایب جزئی ایمنی مصالح FRP،  $\phi_{frp}$ ، صرفنظر از نوع بارگذاری، به نوع آن و شرایط محیطی کار بستگی دارد. این مقدار از ضرب عدد ۰/۰ در مقادیر متناسب با جدول ۲-۵-۱ (بخش بهسازی ستون‌ها) که ضرایب کاهش محیطی نامیده می‌شود، به دست می‌آید.

### ۴-۱-۳-۱-۴-۲- بررسی معایب مقاوم‌سازی خمی تیرها با مصالح FRP

بررسی‌های تجربی گوناگونی در مورد تقویت خمی تیر با استفاده از ورقه‌ها و صفحات FRP صورت گرفته است. در تمام این ارزیابی‌ها، تیر تقویت شده باربری نهایی بیشتری در مقایسه با حالت تقویت نشده نشان می‌دهد. با این وجود، افزایش مشابه در بار تسلیم تیر گزارش نشده است. بطور کلی مودهای گسیختگی عضو بتن مسلح تقویت شده در خمی با تقویت کننده‌های FRP چسبیده از خارج عضو، می‌تواند به حالات‌های ذیل تقسیم شود:

(الف) شکست به علت گسیختگی FRP در اثر کشش ناشی از خمی

(ب) شکست ترد به علت خرد شدن بتن فشاری تیر در اثر فشار ناشی از خمی در وجه فوقانی تیر

(پ) شکست برشی

(ت) جدا شدن پوشش بتن از تیر

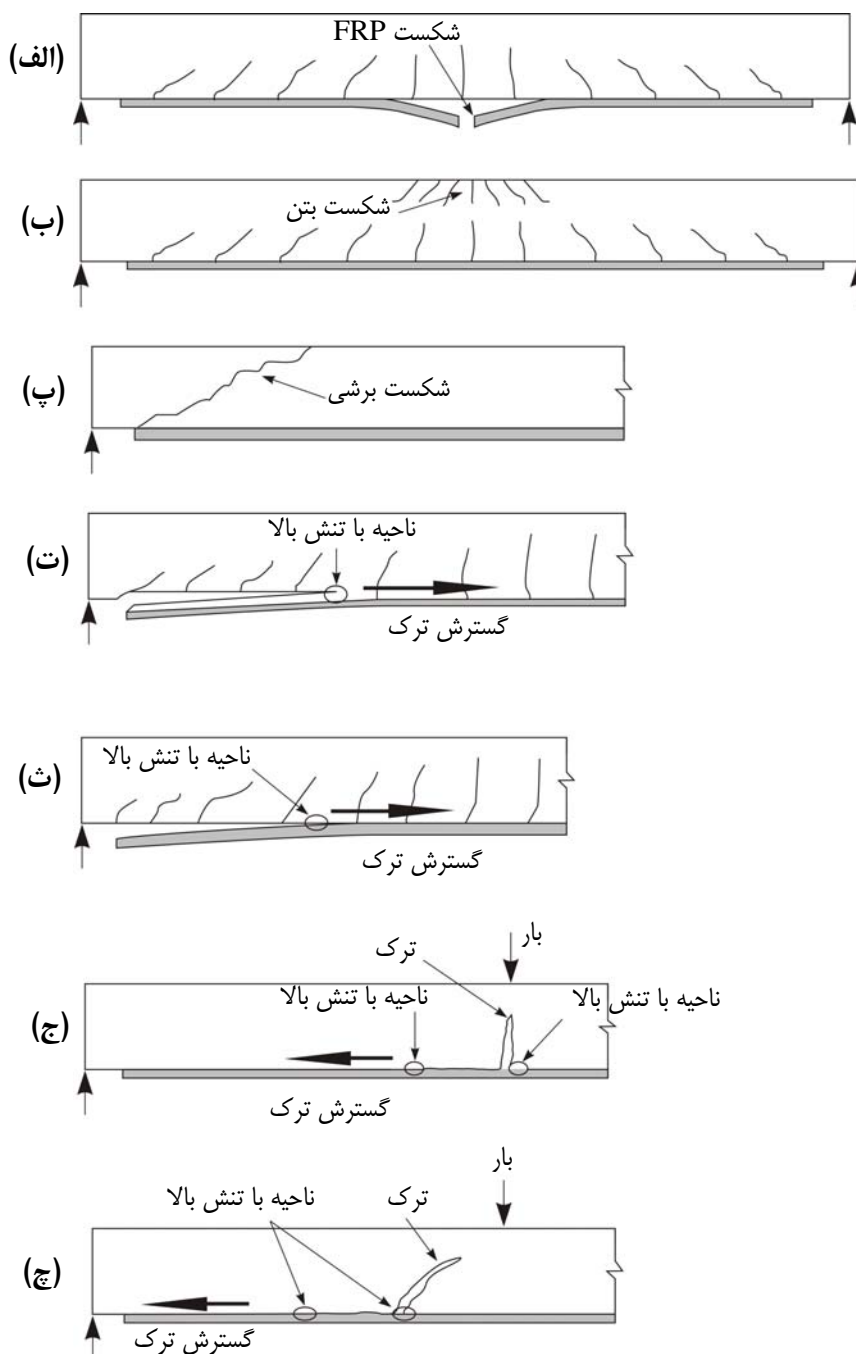
(ث) از بین رفتن مقاومت برشی چسب و جدا شدن FRP از چسب

(ج) گسیتن چسبندگی به صورت موضعی ناشی از بروز ترک‌های خمی در میانه دهانه تیر و انتشار این روند

(چ) از بین رفتن موضعی چسبندگی در سطح تماس FRP و بتن در اثر بروز ترک‌های مایل برشی در طول دهانه و انتشار این روند گسیستگی.

بصورت خلاصه‌تر حالات‌های (ت) و (ث) را از حالات شکست چسبندگی در انتهای لایه چسبانده شده به حساب می‌آورند. به طریق مشابه حالات‌های (ج) و (چ) را شکست چسبندگی در سطح مشترک بتن و FRP ناشی از بروز ترک خوردنگی در طول دهانه می‌نامند. تمام حالات شکست نشان داده شده در شکل ۹-۴-۲ به جز حالات (ج) و (چ) که رشد و انتشار ترک خوردنگی بتن و جدا شدن صفحه چسبانده شده از روی بتن بصورت تدریجی رخ می‌دهد، حالات شکست ترد و ناگهانی می‌باشند. اینکه شکست مقاوم‌سازی در

یک تیر طبق کدامیک از این حالات صورت پذیرد، به عوامل متعددی نظیر مشخصات فولاد خمی و برشی داخل مقطع، ابعاد هندسی، خصوصیات مصالح مصرف شده و لایه چسب به کار رفته بستگی دارد.



الف) گسیختگی FRP      ب) خرد شدن بتن فشاری

پ) گسیختگی برشی      ت) ورقه شدن پوشش بتن

ث) جدایش در فصل مشترک FRP و بتن در انتهای

ج) جدایش در فصل مشترک ناشی از ترک خمی

چ) جدایش در فصل مشترک ناشی از ترک برشی

شکل ۲-۴-۹- مودهای گسیختگی تیر بتونی تقویت شده با صفحه FRP

### شکست خمشی:

اگر دو انتهای صفحه FRP چسبانده شده به خوبی مهار شده باشند، ممکن است تیر وقتی تحت حداکثر خمش قابل تحمل خود قرار می‌گیرد دچار گسیختگی مصالح FRP (بدلیل کشش ناشی از خمش) شود (حالت الف) و یا اینکه بتن قسمت فشاری مقطع تیر خرد گردد (حالت ب).

عموماً گسیختگی کششی صفحه FRP بلافصله پس از جاری شدن فولاد کششی داخل بتن رخ می‌دهد. هر چند ممکن است بدلیل زیاد بودن مقدار پوشش بتن (کاور) وقتی FRP دچار گسیختگی کششی شود، هنوز فولاد به حد جاری شدن نرسیده باشد. بطور کلی افزایش مقاومت و کاهش شکل‌پذیری دو پیامد مقاوم‌سازی تیرهای بتنی با استفاده از مصالح FRP می‌باشد. همچنین اگر از مقادیر زیاد FRP جهت مقاوم‌سازی استفاده شود، شکست در اثر خرد شدن بتن قسمت فشاری مقطع باعث کاهش شدیدتر مقدار شکل‌پذیری خواهد شد.

### شکست برشی:

تیر مقاوم‌سازی شده ممکن است به صورت ترد و ناگهانی در اثر برش دچار شکست شود. در حالتی که تیرهای بتن مسلح فقط در برابر بارهای خمشی مقاوم‌سازی شده باشند و افزایش مقاومت برشی در آنها دیده نشده باشد شکست در اثر برش می‌تواند تهدیدی جدی برای این گونه تیرهای مقاوم‌سازی شده باشد. در چنین شرایطی ظرفیت برشی تیر بتنی به تنها یکی باید در مقابل نیروهای برشی مقاومت کند و نوار FRP چسبانده شده به وجه تحتانی سهم بسیار اندرکی در تحمل نیروهای برشی دارد.

مقاوم‌سازی برشی تیرهای بتنی نیز باید به موازات مقاوم‌سازی خمشی انجام گیرد تا شکست برشی مانع از ارائه حداکثر مقاومت خمشی تیر نگردد و تیر به حالت خمشی (تحت اثر خمش) به نقطه شکست برسد، هر چند شکست خمشی تیرهای بتن مسلح تقویت شده با FRP ترد می‌باشد ولی نسبت به شکست برشی تیر رفتار شکل‌پذیرتری از خود نشان می‌دهد.

### شکست در حالت کنده شدن نوار مقاوم کننده:

تیر مقاوم‌سازی شده در برابر خمش وقتی تحت بارگذاری قرار می‌گیرد قبل از اینکه به حداکثر مقاومت خمشی مورد انتظار برسد، ممکن است دچار شکست زودرس ناشی از کنده شدن صفحه چسبانده شده از بتن گردد. بررسی‌های عملی نشان می‌دهد متداول‌ترین حالت جدا شدن صفحه از بتن، کنده شدن پوشش بتن می‌باشد. این حالت یا در انتهای صفحه و یا در نزدیکی انتهای رخ می‌دهد و منجر به جدا شدن همراه با قسمتی از پوشش بتن از بقیه مقطع می‌گردد.

### جدا شدن و کنده شدن پوشش بتن:

این حالت متداول‌ترین حالت شکست زودرس است و بدلیل اینکه شکست مذکور دور از سطح چسبندگی بتن و FRP رخ می‌دهد، نمی‌توان آن را دقیقاً حالت شکست چسبندگی نامید. این حالت اغلب به علت تمرکز تنش‌ها در انتهای صفحه مقاوم‌کننده می‌باشد. اصطلاح «جدا شدن پوشش بتن» در ظاهر دقیق‌ترین توصیف از این حالت شکست می‌باشد.

عموماً کنده شدن پوشش بتن در این گونه شکست‌ها بدلیل بروز ترک خوردگی در انتهای صفحه چسبانده شده و یا نزدیکی آن، بدلیل تمرکز تنش‌های برشی و نرمال ناشی از تمام شدن ناگهانی صفحه مقاوم کننده رخ می‌دهد. وقتی ترک در بتن در نزدیکی انتهای

صفحه چسبانده شده، شکل می‌گیرد، رشد آن ترک به صورت عمقی بوده و تا سطح میلگردهای کششی تیر نفوذ می‌کند و پس از رسیدن به این عمق، انتشار و گسترش آن در جهت موازی میلگردهای طولی خواهد بود. که این روند سبب جدا شدن پوشش بتن خواهد شد.

#### جدا شدن صفحه چسبانده شده از سطح تماس با بتن:

این حالت شکست به علت از بین رفتن اتصال بین چسب و سطح بتن می‌باشد. این حالت شکست به دلیل بوجود آمدن تنشهای بزرگ برشی در محل و یا نزدیکی انتهای صفحه چسبانده شده رخ می‌دهد آن هم زمانی که این تنشهای از حد تحمل المان ضعیفتر که معمولاً بتن می‌باشد فراتر رود. در این حالت معمولاً لایه نازکی از بتن همراه با چسب از بقیه قسمتها جدا می‌شود این به معنای آنست که لایه بسیار نازکی از سطح بتن در مجاورت سطح تماس با چسب، محل بروز شکست می‌باشد و شکست در خود چسب رخ نمی‌دهد. البته در صورت استفاده از چسب نامرغوب و یا نامناسب و یا پرداخت غیر مناسب سطح بتن، ریسک بروز چنین شکستی افزایش می‌یابد.

#### شکست چسبندگی ناشی از ترک خوردگی بتن در طول دهانه تیر:

گاهی اوقات ممکن است از بین رفتن چسبندگی به صورت موضعی و در اثر وقوع ترکهای خمشی و برشی بتن در طول دهانه تیر و دور از دو انتهای صفحه چسبانده شده رخ دهد و پس از آن جدا شدگی به سمت انتهای صفحه، رشد و انتشار یابد. در این مورد نیز جدا شدن صفحه چسبانده شده، بدلیل کنده شدن لایه نازکی از بتن مجاور سطح صورت می‌گیرد. در این نوع شکست معمولاً لایه نازکی از بتن پس از شکست مقطع همچنان به سطح صفحه جدا شده، چسبیده است.

این حالت شکست بیشتر در تیرهای با مقطع کم عمق روی می‌دهد و عموماً دارای رفتار شکل‌پذیرتری نسبت به حالات دیگر شکست می‌باشد.

#### از بین رفتن چسبندگی به دلیل بروز ترکهای خمشی در طول دهانه:

وقتی ترک بزرگی در بتن رخ می‌دهد، تنشهای کششی در محل ترک خوردگی به صفحه FRP منتقل می‌گردد که در نتیجه تنشهای بزرگی در سطح تماس FRP و بتن در مجاورت محل ترک خوردگی، بوجود می‌آید. با افزایش مقدار بارهای وارده تنشهای تماسی و کششی در صفحه FRP در این محل افزایش می‌یابد. هنگامی که این مقادیر به حد بحرانی خود می‌رسند، جدا شدن صفحه و بتن از این محل آغاز می‌گردد و سپس این روند به سمت یکی از دو انتهای صفحه چسبانده شده که عموماً انتهای نزدیک‌تر می‌باشد، پیشرفت می‌کند.

در شرایط از بین رفتن چسبندگی در محل بروز ترکهای خمشی، عامل محرک، فاصله گرفتن افقی دو لبه ترک از یکدیگر می‌باشد، زیرا اصولاً ترکهای خمشی در راستای عمود بر محور طولی تیر رخ می‌دهد اما در شرایطی که ترک‌ها از ترکیب خمش و برش بوجود آمده‌اند، وضعیت قرارگیری آنها مایل می‌باشد و بنابراین دو لبه ترک نسبت به یکدیگر جایجایی قائم هم دارند که این امر عامل اصلی بوجود آمدن تنشهای بزرگ که سبب کنده شدن FRP از بتن (تصویر موضعی) می‌شوند، می‌باشد. البته لازم به ذکر

است که عریض شدن دهانه ترک (جابجایی افقی دو لبه نسبت به هم) فاکتور مهمتری است و جابجایی نسبی دو لبه ترک در درجه بعدی اهمیت قرار دارد.

#### سایر جنبه‌های از بین رفتن چسبندگی:

خطر بروز جدا شدگی با وجود برخی پارامترهایی که مرتبط با کیفیت اجرا در محل می‌باشند، قابل افزایش است. از این پارامترها می‌توان به اجرای ضعیف و نادرست کارگران و استفاده از چسب‌های نامناسب و نامرغوب اشاره کرد. البته می‌توان این پارامترهای مؤثر را با صرف دقت کافی در اجرا به حداقل رسانید.

### ۱-۳-۱-۴-۲- کرنش در مصالح FRP

مصالح FRP تا نقطه شکست رفتار الاستیک خطی دارند، لذا کرنش FRP مقدار تنش ایجاد شده در آن را نشان می‌دهد. حداکثر کرنشی که می‌تواند در مصالح FRP ایجاد گردد، از میزان کرنش FRP در نقطه‌ای که بتن فشاری دچار شکست می‌شود یا نقطه‌ای که FRP گسیخته می‌گردد، بدست می‌آید. این مقدار از رابطه ۱-۴-۲ بدست می‌آید.

$$\varepsilon_{frp} = \varepsilon_{cu} \left( \frac{h - c}{c} \right) - \varepsilon_{bi} \quad (1-4-2)$$

که در آن:

$\varepsilon_{bi}$  = کرنش اولیه در سطح کششی بتن

$\varepsilon_{cu}$  = کرنش نهایی بتن

$\varepsilon_{frp}$  = کرنش مصالح FRP

$h$  = ارتفاع کل مقطع، میلیمتر

$c$  = ارتفاع قسمت فشاری مقطع، میلیمتر

### ۱-۳-۱-۴-۲-۷- تنش در مصالح FRP

تنش موثر در مصالح FRP، حداکثر میزان تنشی است که می‌تواند در FRP قبل از شکست خمشی مقطع ایجاد گردد. این تنש می‌تواند از سطح کرنش FRP با فرض رفتار الاستیک کامل محاسبه گردد.

$$f_{frp} = E_{frp} \cdot \varepsilon_{frp} \quad (2-4-2)$$

که در آن:

$\varepsilon_{frp}$  = کرنش مصالح FRP

$E_{frp}$  = مدول الاستیسیته مصالح FRP، مگاپاسکال

$f_{frp}$  = تنش کششی در مصالح FRP، مگاپاسکال

#### ۲-۱-۳-۱-۴-۱-۳-۱-۸- مقاومت نهایی تیرهای مستطیلی

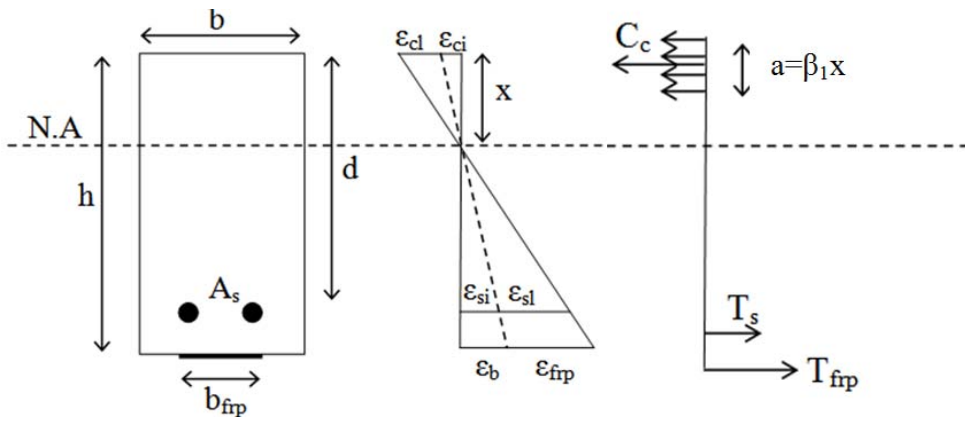
شكل ۴-۱۰ توزیع تنش و کرنش داخلی مقطع مستطیلی تحت خمش را در حالت حدی نهایی نشان می‌دهد. نمودار تنش فشاری بتن را می‌توان با قبول حداقل تغییرشکل نسبی بتن در دورترین تار فشاری برابر با  $300\text{ MPa}$  به وسیله توزیع تنش مستطیلی معادل با مشخصات زیر تامین کرد:

الف - تنشی برابر با  $f_c = 0.85\phi_c f'_c$ ، که بطور یکنواخت روی ناحیه فشاری معادل و موازات محور خنثی به فاصله  $X_1\beta$  از دورترین تار فشاری محدود می شود، اثر می کند.

ب - فاصله تار فشاری حداکثر نظیر حداکثر تغییر شکل نسبی از محور خنثی،  $X$ ، در امتداد عمود بر محور خنثی اندازه‌گیری می‌شود.

پ - ضریب  $\beta_1$  برای بتن با مقاومت فشاری مشخصه تا ۳۰ مگاپاسکال ، برابر با ۸۵٪ است. برای مقاومتهای بیشتر به ازای هر مگاپاسکال افزایش مقاومت فشاری مشخصه بتن، مقدار  $\beta_1$  به صورت خطی به اندازه ۰.۰۸ کاهش می‌یابد. حداقل مقدار  $\beta_1$  به ۶۵٪ محدود می‌شود. رابطه ۲-۴-۳ عبارت فوق را توصیف می‌کند.

$$0.65 \leq \beta_1 = 1.09 - 0.008 f_c \leq 0.85 \quad (\text{F-4-2})$$



شكل ٤-١٠- نمودار تنش- تغییر طول نسبی داخلی مقطع مستطیلی تحت خمش

با حل معادلات تعادل مقطع، مقاومت حدی مقطع مستطیلی تقویت شده FRP از رابطه ۴-۲ به دست می‌آید.

$$M_r = \phi_s f_s A_s (d - \frac{a}{2}) + \phi_{frp} E_{frp} \varepsilon_{frp} A_{frp} (h - \frac{a}{2}) \quad (\text{Eq-4-2})$$

که در آن:

$$\text{FRP} = \varepsilon_{frp}$$

$$\phi_{frp} = \text{ضریب جزیی ایمنی مصالح FRP}$$

$E_{frp}$  = مدول الاستیسیته مصالح FRP، مگاپاسکال

$$A_{frp} = \text{مساحة قطع مصالح FRP، مليمتر مربع}$$

$\phi_s$  = ضریب جزیی ایمنی فولاد

$A_s$  = سطح مقطع آرماتور کششی، میلیمتر مربع

$f_s$  = تنش کششی در فولاد کششی، مگاپاسکال

$h$  = ارتفاع کل مقطع، میلیمتر

$a$  = ارتفاع بلوك فشاری بتن، میلیمتر

در صورت تسلیم فولاد کششی، در روابط فوق مقدار  $f_s$  با  $f_y$  جایگزین می‌شوند.

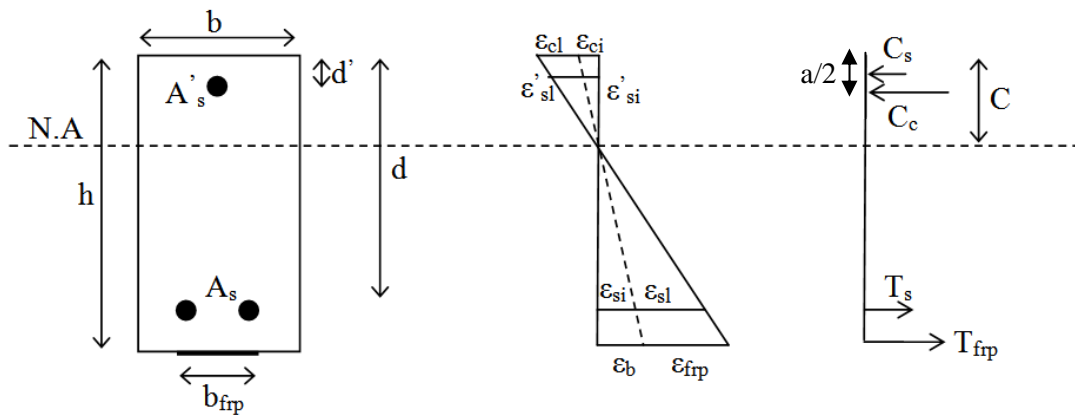
### ۱۱-۳-۱-۴-۲- مقاومت نهایی تیرهای مستطیلی دارای فولاد فشاری

توزیع تنش و کرنش مقطع مستطیلی دارای فولاد فشاری در شکل ۱۱-۴-۲ آورده شده است.

در این حالت مقاومت حدی مقطع از رابطه ۵-۴-۲ بدست می‌آید.

$$M_r = \phi_s f_s A_s (d - \frac{a}{2}) - \phi_s f'_s A'_s (d' - \frac{a}{2}) + \phi_{frp} E_{frp} \varepsilon_{frp} A_{frp} (h - \frac{a}{2}) \quad (5-4-2)$$

در صورت تسلیم فولاد کششی به تنهایی،  $f_s$  با  $f_y$  و در صورت تسلیم همزمان فولادهای کششی و فشاری،  $f_s$  و  $f'_s$  با  $f_y$  جایگزین می‌شوند.



شکل ۱۱-۴-۲- نمودار تنش-کرنش مقطع مستطیلی دارای فولاد فشاری تحت خمث

### ۱۰-۱-۴-۲- مقاومت نهایی تیرهای T شکل

در این تیرها در صورتیکه طول بلوك فشاری،  $a$ ، کوچکتر از  $h_f$  باشد، مقطع مستطیل شکل فرض می‌شود و طراحی بر اساس بند ۲-۴-۱-۳-۸-۱-۱-۳-۱-۴-۲ انجام می‌گیرد. تیرهای T شکل که رفتار مستطیلی داشته باشند رابطه ۶-۴-۶ را باید ارضا کنند.

$$h_f \geq \frac{\phi_s f_y A_s + \phi_{frp} E_{frp} \varepsilon_{frp} A_{frp}}{0.85 \phi_c f_c \beta_1 b_e} \quad (6-4-2)$$

در صورتیکه  $a$  بزرگتر از  $h_f$  باشد، مقطع به صورت T شکل فرض می‌شود. مقاومت نهایی مقطع از جمع مقاومت مقاطع مستطیل جان و دو گوشه بال حاصل می‌شود که در شکل ۱۲-۴-۲ آورده شده است.

بر این اساس مقاومت حدی مقطع از رابطه ۷-۴-۲ حاصل می‌شود.

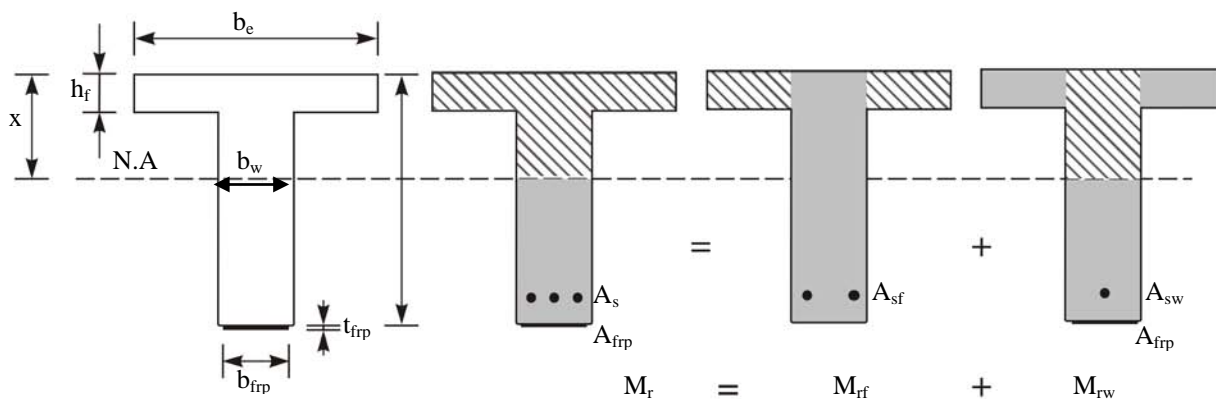
$$M_r = \phi_s f_y A_{sf} \left( d - \frac{h_f}{2} \right) + \phi_s f_y A_{sw} \left( d - \frac{a}{2} \right) + \phi_{frp} E_{frp} \epsilon_{frp} A_{frp} \left( h - \frac{a}{2} \right) \quad (7-4-2)$$

که در آن:

$$a = \frac{A_{sw} \phi_s f_y}{0.85 \phi_c f_c b_w}$$

$$A_{sf} = \frac{0.85 \phi_c f_c (b_e - b_w) h_f}{\phi_s f_y}, \quad A_{sw} = A_s - A_{sf}$$

می‌باشد.



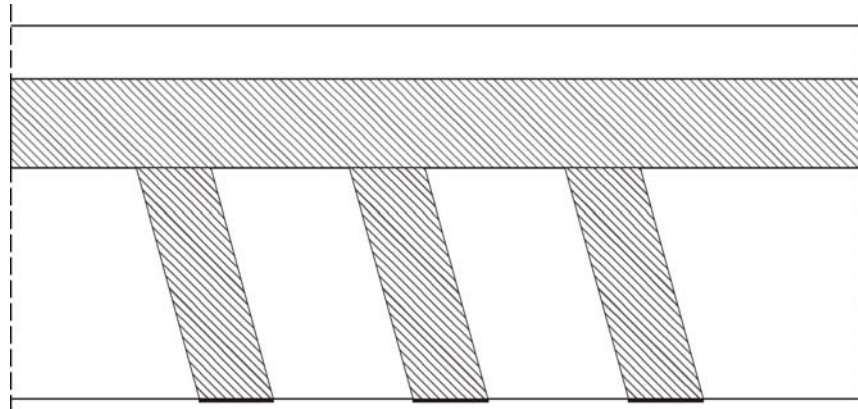
شکل ۱۲-۴-۲ نحوه تفکیک لنگر مقاوم تیر T شکل

#### ۲-۳-۱-۴-۲ - تقویت برشی

این بخش دربردارنده ضوابط کلی استفاده از مصالح FRP به عنوان رکابی‌های خارجی، به منظور افزایش مقاومت برشی مقاطع بتن‌آرمه می‌باشد. در این روش صفحات FRP به وجوده جانبی تیر چسبانده می‌شود بطوری که راستای الیاف عمود بر محور طولی تیر یا مایل باشد. برای داشتن رکابی خارجی U شکل، مصالح FRP بصورت ممتد روی دو وجه جانبی و زیر تیر نصب می‌شود که این امر سبب بهبود مهاری تقویت خمشی FRP نیز می‌گردد. برای افزایش کارآیی تقویت‌های برشی، تامین مهار انتهایی لازم است. به طور مثال در شکل ۱۳-۴-۲، در حالتی که طول مهاری محدود باشد، با تعیین نوارهای طولی اضافی به انتهای رکابی‌های U شکل مهار انتهایی تامین شده است.

از آنجایی که طول موجود برای نصب رکابی‌های FRP به ارتفاع تیر محدود می‌شود، بتن موجود باید از کیفیت مناسبی برخوردار باشد. سطح بتن باید متناسب با نیازمندی‌های مصالح FRP مورد استفاده و در صورت لزوم ترمیم شود. به منظور پرهیز از گسیختگی رکابی‌های FRP در اثر تمرکز تنش در گوشه‌های مقطع تیر، این گوشه‌ها باید به شعاع حداقل ۳۵ میلیمتر گرد شوند.

روش مطرح شده در این بند بر پایه آیین نامه بتن ایران می‌باشد و مقاومت برشی نهایی تامین شده توسط بتن،  $V_s$ ، و مقاومت برشی نهایی تامین شده توسط آرماتور برشی،  $V_a$ ، از آن آیین نامه بدست می‌آیند که مقاومت برشی تامین شده توسط مصالح FRP



شکل ۲-۱۳-۴- نمایی از تقویت برشی

برای لحاظ کردن سهم تقویت برشی FRP به آن اضافه شده است. مقاومت برشی نهایی مقطع،  $V_r$ ، با استفاده از رابطه زیر محاسبه می‌شود:

$$V_r = V_c + V_s + V_{frp} \quad (8-4-2)$$

که در این رابطه  $V_c$  و  $V_s$  از روابط زیر محاسبه می‌شوند:

$$V_c = 0.2\phi_c \sqrt{f_c} b_w d \quad (9-4-2)$$

$$V_s = \phi_s A_v f_y \frac{d}{s} \quad (10-4-2)$$

سهم مصالح FRP از برش به صورت زیر تعیین می‌شود:

$$V_{frp} = \frac{\phi_{frp} E_{frp} \varepsilon_{frp} A_{frp} d_{frp} (\sin \beta + \cos \beta)}{s_{frp}} \quad (11-4-2)$$

که در رابطه بالا:

$\phi_{frp}$  = فاصله مرکز تا مرکز رکابی های FRP، میلیمتر

$\beta$  = زاویه نوار تقویتی برشی FRP با محور طولی عضو، درجه

$\varepsilon_{frp}$  = کرنش مصالح FRP

$E_{frp}$  = مدول الاستیسیته مصالح FRP، مگاپاسکال

$A_{frp}$  = سطح مقطع مصالح FRP که از رابطه ۱۲-۴-۲ بدست می‌آید، میلیمترمربع

$\phi_{frp}$  = ضریب جزیی اینمی مصالح FRP

$d_{frp}$  = عمق موثر رکابی‌های FRP، میلیمتر

$V_{frp}$  = مقاومت برشی نهایی تامین شده توسط مصالح FRP بر حسب نیوتون

$$A_{frp} = 2t_{frp}w_{frp} \quad (12-4-2)$$

که در آن:

$w_{frp}$  = عرض موثر نوار تقویتی برشی FRP (در راستای طولی تیر)، میلیمتر

$t_{frp}$  = فاصله یک لایه تقویت کننده FRP، میلیمتر

عمق موثر رکابی‌های FRP،  $d_{frp}$ ، فاصله انتهای آزاد زیر دال یا تیر تا زیر خاموت‌های فولادی در نظر گرفته می‌شود و در حالتی که مقطع بطور کامل دور پیچ شده باشد برابر  $h$  (ارتفاع تیر) فرض می‌شود (شکل ۱۴-۴-۲).

کرنش موثر مصالح FRP<sub>frpe</sub>، از طریق آزمایش و نیز بکار بستن روابط ۱۳-۴-۲ و ۱۶-۴-۲ بدست می‌آید و در هر صورت کمترین مقدار بدست آمده از دو روش فوق در نظر گرفته می‌شود. لیکن باید کرنش موثر FRP<sub>frpe</sub> به مقدار ۰/۰۰۴ محدود شود، زیرا در محدوده بالاتر کرنش، قفل و بست سنگدانه‌ای بتن بدلیل بازشدنی ترک‌ها از دست می‌رود.

$$\varepsilon_{frp} = R\varepsilon_{frpu} \quad (13-4-2)$$

مقدار  $R$ ، نسبت کرنش موثر به کرنش نهایی در رکابی‌های FRP می‌باشد که به صورت زیر تعیین می‌شود:

$$R = 0.8\lambda_1 \left[ \frac{f_c^{2/3}}{\rho_{frp} E_{frp}} \right]^{\lambda_2} \quad (14-4-2)$$

و نسبت تقویت برشی FRP، از رابطه زیر بدست می‌آید:

$$\rho_{frp} = \frac{2t_{frp}w_{frp}}{b_w s_{frp}} \quad (15-4-2)$$

در رابطه ۱۴-۴-۲ ضرایب  $\lambda_1$  و  $\lambda_2$  مطابق زیر می‌باشند:

$$\begin{aligned} \lambda_1 &= 1.35 && \text{- الیاف کربن} \\ \lambda_2 &= 0.3 && \end{aligned}$$

$$\begin{aligned} \lambda_1 &= 1.23 && \text{- الیاف آرامید و شیشه} \\ \lambda_2 &= 0.47 && \end{aligned}$$

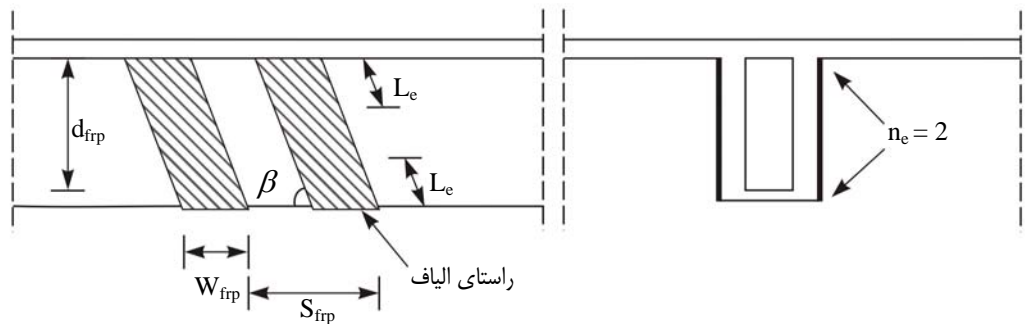
به منظور درنظر گرفتن امکان جدایش ورقه‌های FRP، کرنش موثر برابر کمترین سه مقدار زیر در نظر گرفته می‌شود.

- حد کرنش موثر  $\varepsilon_{frp} = 0.004$

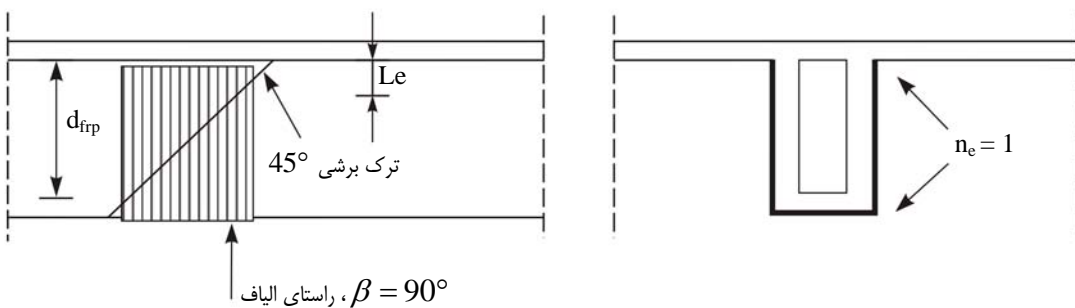
- مقدار بدست آمده از رابطه ۱۳-۴-۲،

- مقدار ارائه شده در رابطه ۱۶-۴-۲،

$$\varepsilon_{frpe} = \frac{0.8\phi_{frp}k_1 k_2 L_e}{9525} \quad (16-4-2)$$



الف- تقویتی‌های برشی FRP بر وجوه جانبی



ب- رکابی‌های U شکل FRP

شکل ۲-۱۴-۲- تقویت برشی تیر با رکابی‌های FRP

در روابط ۱۴-۲ و ۱۶-۴-۲ ضریب کاهش کرنش موثر برابر  $8/0$  در نظر گرفته شده است. در رابطه ۱۶-۴-۲،  $k_1$  شاخصی از مقاومت برشی بتن و  $k_2$  شاخصی برای نحوه قرارگیری و آرایش مصالح FRP می‌باشد که به صورت زیر تعریف می‌شود.

$$k_1 = \left[ \frac{f_c}{27.65} \right]^{2/3} \quad (17-4-2)$$

$$k_2 = \frac{d_{frp} - n_e L_e}{d_{frp}} \quad (18-4-2)$$

در روابط فوق  $n_e$  تعداد انتهای آزاد رکابی‌های FRP در یک سمت تیر، به صورت نشان داده شده در شکل ۱۴-۲ می‌باشد (در صورتی که تنها در ۲ وجه جانبی تیر FRP داشته باشیم  $n_e=2$  و اگر رکابی FRP به صورت U شکل باشد  $n_e=1$ ). هرگاه  $0 \leq k_2 \leq 1$  باشد، سیستم FRP در برش ناکارآمد است، مگر اینکه مهار FRP به روش مناسب تامین گردد.

طول مهارهای موثر،  $L_e$ ، با استفاده از رابطه زیر که براساس داده‌های تجربی پیشنهاد شده است، محاسبه می‌شود.

$$L_e = \frac{25350}{(t_{frp} E_{frp})^{0.58}} \quad (19-4-2)$$

در مواردی که تقویت برشی FRP به طور کامل تمام مقطع را دور پیچ کند، نیازی به محاسبه مقادیر فوق نبوده و در این حالت  $\epsilon_{frpe}$  برابر  $400/0$  در نظر گرفته می‌شود.

### ۱-۴-۲-۳-۱-۲-۱-۴-۲ - محدودیت‌های تقویت برشی

در صورت نیاز به تقویت برشی حداکثر فاصله تقویت‌ها به مقدار زیر محدود می‌شود.

$$s_{frp} \leq w_{frp} + \frac{d}{4} \quad (۲۰-۴-۲)$$

### ۱-۴-۲-۳-۲-۲-۱-۴-۲ - حداکثر تقویت برشی

مقاومت برشی نهایی مقطع به مقدار زیر محدود می‌شود.

$$V_r = V_c + V_s + V_{frp} \leq V_c + 0.8\phi_c \sqrt{f_c} b_w d \quad (۲۱-۴-۲)$$

### ۱-۴-۲-۳-۲-۳-۱-۴-۲ - حداقل تقویت برشی

در ساختمان‌های موجود که فاقد حداقل آرماتور برشی می‌باشند و در فرآیند مقاومسازی یا بهسازی نیاز به صفحات FRP به صورت تقویت خمی باشد، توصیه می‌شود در نقاط انقطاع تقویت طولی بیرونی FRP از حداقل تقویت عرضی،  $A_{vfrp,min}$ ، به صورت رکابی‌های U شکل استفاده گردد. در این حالت سطح مقطع رکابی‌های U شکل حداقل،  $A_{vfrp,min}$ ، برای تحمل یک بیستم نیروی کششی نهایی تقویت‌های طولی قطع شده FRP، مادامی که کرنشی معادل ۴/۰۰ را در نوارهای U شکل سبب شود، طراحی می‌گردد. حداقل تقویت عرضی از رابطه ۲-۴-۲۲ تعیین می‌گردد.

$$A_{vfrp,min} = \frac{A_{frp,cut} f_{frpu}}{0.08E_{frp}} \quad (۲۲-۴-۲)$$

در این رابطه  $A_{vfrp,min}$ ، مساحت FRP در محل انقطاع تقویت بیرونی FRP می‌باشد.

### ۱-۴-۲-۳-۱-۴-۲ - افزایش مقاومت موضعی تیرهای دارای سوراخ

یکی دیگر از کاربردهای FRP افزایش مقاومت موضعی تیرهای دارای سوراخ (ممولاً تأسیساتی) می‌باشد. در این روش می‌توان اطراف سوراخ‌ها را بطور موضعی با FRP تقویت کرد.

### ۱-۴-۳-۱-۴-۲ - راهکارهای اجرایی برای رفع معایب FRP

جهت رفع معایب اشاره شده در بخش ۱-۴-۲-۳-۱-۴-۵ و سایر معایب FRP، راه حل‌های اجرائی پیشنهاد شده که بعضی از این نقایص را مرتفع می‌نماید از جمله راهکارهای معرفی شده، می‌توان استفاده از مهاربندی‌ها و اعمال پیش تنیدگی را نام برد.

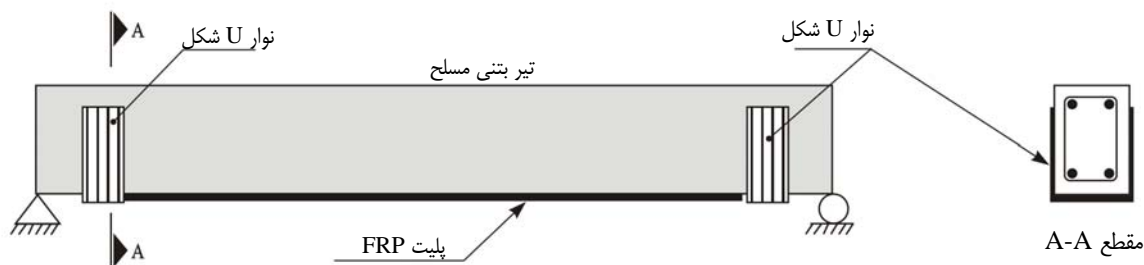


شکل ۲-۴-۱۵-۴- تقویت موضعی سوارخ‌ها در تیر FRP

#### ۱-۴-۳-۱-۴-۲- اعمال سیستم مهاربندی در انتهای لایه FRP

سیستم مهاربندی اصولاً به این جهت مورد استفاده قرار می‌گیرد که بتوان از ظرفیت باربری سیستم FRP نهایت استفاده را برد. گسیختگی‌های ناشی از جدا شدگی لایه‌های FRP عموماً در اثر نبود چنین سیستمی می‌باشد. در این روش از دورپیچ کردن كامل انتهای FRP توسط نوارهایی از FRP استفاده می‌گردد.

با توجه به اینکه معمولاً، ناحیه فوقانی تیرهای موجود به دلیل وجود دال، قابل دستیابی نیستند، از نوارهایی که فقط سطوح پایینی و جانبی تیر را می‌پوشانند استفاده می‌گردد. از سایر روش‌ها نیز می‌توان به استفاده از پیچ‌های مخصوص در انتهای لایه FRP نام برد. این روش یکی از اولین روش‌ها بوده که جهت نصب و مهاربندی صفحات فولادی مورد استفاده قرار می‌گرفت. بر اساس مطالعات انجام شده، این روش بر روی لایه‌های کامپوزیتی نیز مناسب بوده و اثر مثبتی از خود نشان می‌دهد ولی مشکلی که ایجاد می‌کند سوراخ شدن لایه FRP بوده که اثر نامطلوبی بر عملکرد آن خواهد داشت و باعث ایجاد تمرکز تنش در FRP می‌گردد.



شکل ۲-۱۶- تقویت خمسمی تیر با اعمال مهاربندی

#### ۲-۳-۴-۱-۴-۲- اعمال سیستم پیش تبیینگی در لایه FRP

این روش تقریباً مشابه روش مهاربندی در انتهای لایه FRP می‌باشد، زیرا در این روش برای ایجاد پیش‌تنیدگی تعییه سیستم مهاری لازم است. تنها فرق این روش، اعمال نیروی پیش‌تنیدگی قبیل از نصب کامل و عمل آوری لایه FRP می‌باشد.

می‌توان نوارها یا صفحات پیش‌تنیده FRP را قبل از چسباندن بر روی بتن، پیش‌تنیده کرد. مزیت اصلی این کار این است که چنین نوارهایی پس از چسبانده شدن بر روی المان در برابری المان سهیم می‌شوند و برای شرکت آنها در ظرفیت برابری المان دیگر نیازی به اضافه شدن بر مقدار بارهای واردہ بر المان نمی‌باشد. همچنین پیش‌تنیدگی این نوارها باعث کاهش عرض ترک‌های موجود در طول المان می‌شود که این در برخی موارد موضوع بسیار حیاتی و مهمی می‌باشد. علاوه بر اینها بدلیل اینکه مصالح FRP مقاومت کششی بالایی دارند، پیش‌تنیده کردن آنها سبب استفاده بهتر و افزایش بهره‌وری از آنها می‌گردد. البته این روش نیازمند نیروی کار ماهرتر و دقق پیشتر در طراحی، و اجرا می‌باشد.

پس از آماده سازی سطح بتن، نوار FRP تا سطح معینی تحت کشش قرار گرفته است. سپس هم بر روی سطح بتن و هم بر روی سطح نوار چسب زده می شود. سپس مطابق شکل ۲-۴-۱۷ تیر بتنی بالا برده می شود تا به نوار تحت کشش FRP چسبانده شود. بعد از آن با اعمال فشار اندکی بر روی نوار FRP، عمل آوری چسب انجام می شود. پس از اتمام عمل آوری، گیره های فولادی در نزدیکی دو انتهای نوار FRP جهت مهاربندی کافی نصب می گردد. پس از این مراحل و اتمام عملیات مهاربندی، نوار FRP (خارج از محدوده مهاربندی شده) بریده می شود. سپس صفحات ضخیم FRP درست در مجاورت دو گیره فولادی، روی صفحه پیش تینیده قرار گرفته بر سطح بتن، چسبانده می شود. بعد از عمل آوری چسب، سوراخ هایی از میان ضخامت این صفحات ضخیم و نوار پیش تینیده به درون تیر بتنی ایجاد می گردد و سپس بولتها همراه با تزریق اپوکسی به داخل این سوراخها، فرو برده می شوند. پس از عمل آوری

چسب اطراف این بولتها، گیره‌های فولادی دو انتهای نوار پیش‌تنیده برداشته می‌شود و طول اضافی این نوار (خارج از صفحات ضخیم انتهایی) بریده می‌شود. به این ترتیب عملیات به انجام می‌رسد.

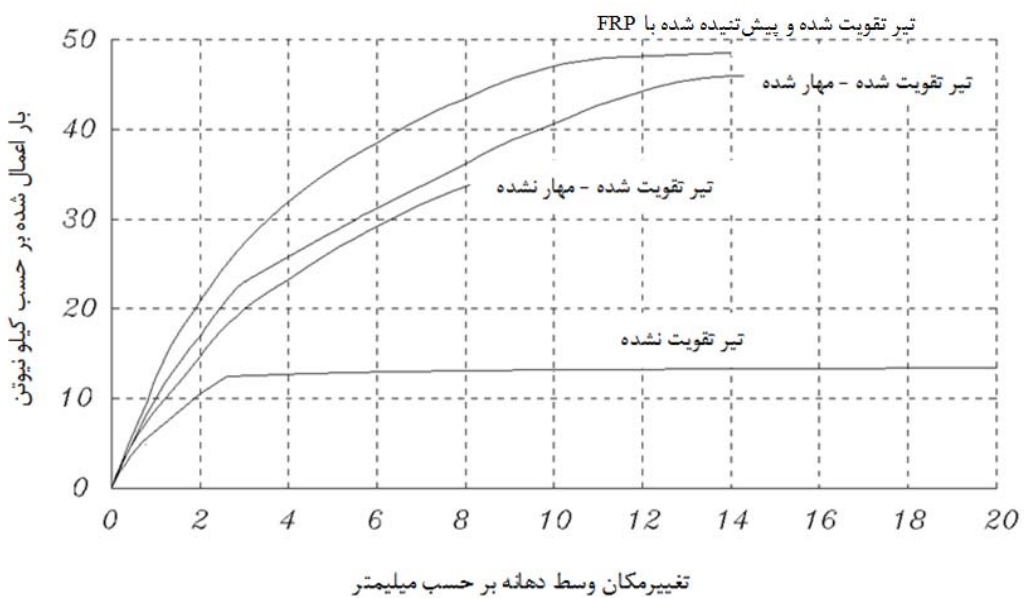


شکل ۲-۴-۱۷- روش پیش‌تنیدگی در صفحه FRP

بطور کلی پیش‌تنیدگی در FRP دارای مزیت‌هایی از قبیل:

- افزایش سختی
- کاهش عرض و توزیع ترک
- بهبود خدمت‌پذیری و دوام
- بهبود مقاومت برشی و خمشی عضو (بدلیل ترک نخوردن مقطع)
- اجتناب از مودهای شکست ناشی از پوسته پوسته شدن در ناحیه ترک‌ها و انتهای لایه FRP
- افزایش ظرفیت مقطع (تار خنثی نسبت به حالت غیر پیش‌تنیده پایین‌تر قرار می‌گیرد)
- افزایش بار تسلیم مقطع می‌باشد.

بنابراین دو روش بیان شده به گونه‌ای عمل می‌کند که انتهای لایه FRP را محکم نگهداشته و بعد از ایجاد جدا شدگی، از لغزش و جدا شدگی کامل لایه FRP جلوگیری نماید.



شکل ۱۸-۲- منحنی رفتار تیرهای تقویت شده و نشده تحت بارگذاری خمشی

در عمل، استفاده از مهاربندی مکانیکی انتهایی می‌بایست موقعی مدنظر قرار گیرد که کاربرد آن لازم باشد و همچنین تأثیر و سودمندی آن برای حفظ چسبندگی CFRP و بتن به اثبات برسد. در بسیاری از موارد، مهاربندی با استفاده از نوارهای U شکل انتهایی، امکان پذیر و یا مؤثر نمی‌باشد همانند مقاوم‌سازی تیرهای با عرض زیاد یا دالهای. در چنین مواردی لازم است راههای دیگری برای مهاربندی مکانیکی بررسی و ابداع گردد. یکی از این راهها، استفاده از مهارهای الیافی می‌باشد.

### ۳-۴-۲ مثال

مطلوبیست محاسبه ظرفیت خمشی تیر بتن‌آرمه با آرماتورهای کششی و پوشش FRP (فرض می‌شود کرنش اولیه در بتن و فولاد ناچیز است). از الیاف کربنی با چسباننده اپوکسی استفاده شده است. شرایط محیطی ملایم در نظر گرفته شده است.

ابعاد هندسی

$b = 400 \text{ mm}$

$h = 600 \text{ mm}$

: فولاد

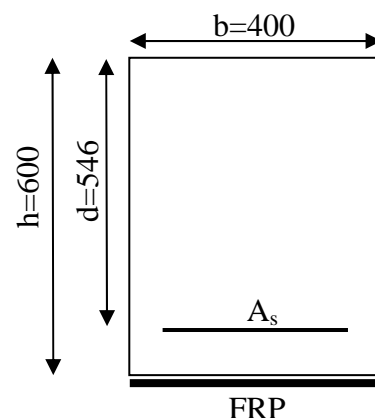
$A_s = 1200 \text{ mm}^2$

$f_y = 300 \text{ MPa}$

$d = 546 \text{ mm}$

: بتن

$f_c = 25 \text{ MPa}$



FRP :

$$A_{frp} = 48 \text{ mm}^2$$

$$E_{frp} = 220 \text{ GPa}$$

$$\phi_{frp} = 0.85 \times 0.95 = 0.807$$

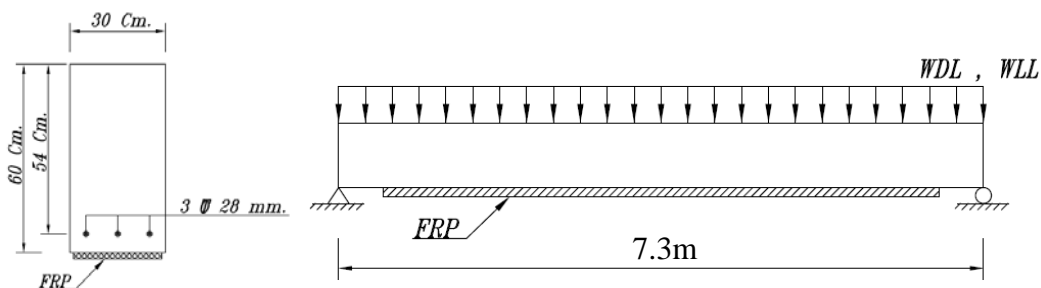
الیاف CFRP: شرایط محیطی ملایم (کربن-اپوکسی)

$$\varepsilon_{frpu} = 0.015$$

| روش   | محاسبات  |
|---|--|
| $f'_c = 25 \text{ MPa} < 30 \text{ MPa} \Rightarrow \beta_1 = 0.85$   | محاسبه ضریب $\beta_1$  |
| $x = \frac{\phi_s f_y A_s + \phi_{frp} E_{frp} \varepsilon_{frpu} A_{frp}}{0.85 f_c \phi_c \beta_1 b}$  | محاسبه ارتفاع ناحیه فشاری<br>(تار خنثی)                      |
| $x = \frac{0.85 \times 300 \times 1200 + 0.807 \times 220000 \times 0.015 \times 48}{0.85 \times 0.6 \times 25 \times 0.85 \times 400}$<br>$x = 100 \text{ mm}$<br>$a = \beta_1 x = 0.85 \times 100 = 85 \text{ mm}$  |  |
| $\varepsilon_s = (\varepsilon_{frpu} + \varepsilon_{bi}) \left( \frac{d - x}{h - x} \right) = (0.015 + 0.0) \left( \frac{546 - 100}{600 - 100} \right)$<br>$\varepsilon_s = 0.0134 > \varepsilon_y (= 0.0015)$<br>$\varepsilon_s = (\varepsilon_{frpu} + \varepsilon_{bi}) \left( \frac{x}{h - x} \right) = (0.015 + 0.0) \left( \frac{100}{600 - 100} \right)$<br>$\varepsilon_s = 0.003 < 0.0035$<br>$\varepsilon_s = 0.003 < \varepsilon_{cu} \text{ و } \varepsilon_s > \varepsilon_y (= 0.002)$<br>لذا حالت تسليیم کششی اتفاق می‌افتد و داریم: | محاسبه میزان کرنش در<br>مصالح به منظور شکست<br>حالت مورد نظر |
| $M_r = \phi_s f_y A_s \left( d - \frac{a}{2} \right) + \phi_{frp} E_{frp} \varepsilon_{frpu} A_{frp} \left( h - \frac{a}{2} \right)$<br>$0.85 \times 300 \times 1200 \left( 546 - \frac{85}{2} \right) + (0.85 \times 0.95) \times 220000 \times 0.015 \times 48 \left( 600 - \frac{85}{2} \right)$<br>$M_r = 225.3 \times 10^6 \text{ N.mm} = 225.3 \text{ KN.m}$  | محاسبه ظرفیت خمینی   |
| مشاهده می‌شود ظرفیت خمینی تیر بدون FRP 158 KN.m بوده و در حالت تقویت با FRP ظرفیت خمینی آن به 225.3 KN.m افزایش می‌یابد که 43% افزایش را نشان می‌دهد.   |  |

#### مثال ۴-۴-۲

تیر ساده‌ای به دهانه  $7/3$  متر توسط سه آرماتور طولی  $3\Phi 28$  مسلح شده است. بنا به دلایل بهره‌برداری، بار زنده تیر  $50$  درصد افزایش یافته است. تحلیل تیر نشان می‌دهد که مقاومت برشی در حالت افزایش بار کفایت دارد ولیکن مقاومت خمشی برای حالت جدید کافی نیست. مطلوبست تقویت تیر به کمک FRP مشخصات طرح به شرح زیر است.



شکل مثال ۴-۴-۲-الف

در این مثال به منظور آشنایی خواننده با آین نامه ACI-2008 از روابط این آین نامه استفاده شده است.

$$f'_c = 35 \text{ MPa}$$

$$f_y = 420 \text{ MPa}$$

$$(FRP \text{ (بدون } \phi M_n) = 355 \text{ KN.m})$$

$$W_D = 14.6 \text{ KN/m} \text{ (شامل وزن تیر)}$$

$$W_L = 17.5 \text{ KN/m}$$

$$q_u = 1.2D + 1.6L = 1.2 \times 14.6 + 1.6 \times 17.5 = 45.5 \text{ KN/m}$$

$$M_u = 45.5 \times 7.3^2 / 8 = 303 \text{ KN.m}$$

$$\text{افزایش بار زنده} = 8.75 \text{ KN/m}$$

$$\Delta q_u = 1.6 \times 8.75 = 14 \text{ KN/m}$$

$$\Delta M_u = 14 \times 7.3^2 / 8 = 93.3 \text{ KN.m}$$

مشخصات FRP مصرفی به شرح زیر است:

$$\text{عرض} = 300 \text{ mm}$$

$$t_f = 1 \text{ mm}$$

$$f_{fu}^* = 620 \text{ MPa}$$

$$\varepsilon_{fu}^* = 0.015 \text{ mm/mm}$$

$$E_f = 3.7 \times 10^4 \text{ MPa}$$

شرایط محیطی ملایم، کربن اپوکسی

$$C_E = 0.95 \quad (\text{ضریب کاهش شرایط محیطی})$$

$$\Psi_f = 0.85 \quad (\text{ضریب کاهش مقاومت})$$

گام ۱ - مشخصات محاسباتی FRP:

$$f_{fu} = C_E f_{fu}^* = 0.95 \times 620 = 590 MPa$$

$$\varepsilon_{fu} = C_E \varepsilon_{fu}^* = 0.95 \times 0.015 = 0.014 mm/mm$$

گام ۲ - محاسبات اولیه:

مشخصات بتن:

$$\beta_1 = 1.05 - 0.05 \frac{f'_c}{6.9} = 0.8$$

$$E_c = 4700 \sqrt{f'_c} = 4700 \sqrt{35} = 2.8 \times 10^4 MPa$$

مشخصات آرماتور:

$$A_s = 3 \times \pi \times \frac{28^2}{4} = 1847 mm^2$$

$$\rho_s = \frac{1847}{300 \times 540} \times 100 = 1.14\%$$

مشخصات FRP:

$$A_f = 2 \times 300 \times 1 = 600 mm^2$$

$$\rho_f = \frac{600}{300 \times 540} \times 100 = 0.37\%$$

گام ۳ - کنترل کرنش موجود در تار تحتانی:

کرنش اولیه با این فرض انجام می‌شود که تیر ترک خورده و در هنگام نصب FRP تنها تحت بار مرده قرار گرفته است.

$$\varepsilon_{bi} = 0.00061$$

گام ۴ - تعیین کرنش طرح سیستم:

$$\varepsilon_{fd} = 0.41 \sqrt{\frac{f'_c}{n E_f t_f}} \leq 0.9 \varepsilon_{fu}$$

$$\varepsilon_{fd} = 0.41 \sqrt{\frac{35}{2 \times 37000 \times 1}} = 0.009 < 0.9 \times 0.014 = 0.013$$

گام ۵ - تعیین ارتفاع تار خنثی:

دراین مرحله ارتفاع تار خنثی مساوی  $0.2d$  تخمین زده می‌شود:

$$c = 0.2 \times 540 = 108 mm$$

گام ۶- تعیین کرنش موجود در مصالح : FRP

$$\varepsilon_{fe} = 0.003 \left( \frac{h-c}{c} \right) - \varepsilon_{bi} < \varepsilon_{fd}$$

$$\varepsilon_{fe} = 0.003 \left( \frac{600-108}{108} \right) - 0.00061 = 0.0131 > 0.009 \rightarrow \varepsilon_{fe} = \varepsilon_{fd} = 0.009$$

گام ۷- کرنش موجود در تراز آرماتور :

$$\varepsilon_s = (\varepsilon_{fe} + \varepsilon_{bi}) \left( \frac{d-c}{h-c} \right)$$

$$= (0.009 + 0.00061) \left( \frac{540-108}{600-108} \right) = 0.0084$$

گام ۸- تنش در آرماتور و FRP :

$$f_s = E_s \varepsilon_s < f_y$$

$$f_s = 2 \times 10^5 \times 0.0084 = 1680 > f_y \Rightarrow f_s = f_y = 420 MPa$$

$$f_{fe} = E_f \varepsilon_{fe} = 3.7 \times 10^4 \times 0.009 = 333 MPa$$

گام ۹- کنترل روابط تعادل:

ضریب  $\alpha_1$  مربوط به توزیع غیرخطی تنش در بلوک فشاری بتن میباشد که طبق ACI-2008 در مقاطع مستطیلی این ضریب، ۰.۸۵ در نظر گرفته میشود.

$$c = \frac{A_s f_s + A_f f_{fe}}{\alpha_1 f'_c \beta_1 b}$$

$$c = \frac{1847 \times 420 + 600 \times 333}{0.85 \times 35 \times 0.8 \times 300} = 137 mm$$

$$c = 137 mm \neq 108 mm$$

باید مقدار  $c$  اصلاح شده و مراحل ۶ تا ۹ تا زمانی که رابطه تعادل برقرار گردد، تکرار شود.

گام ۱۰- اصلاح مقدار  $c$  :

بعد از چند آزمون و خطای داریم.

$$c = 138 mm$$

تکرار گام ۶- تعیین کرنش موجود در مصالح : FRP

$$\varepsilon_{fe} = 0.003 \left( \frac{h-c}{c} \right) - \varepsilon_{bi} < \varepsilon_{fd}$$

$$\varepsilon_{fe} = 0.003 \left( \frac{600-138}{138} \right) - 0.00061 = 0.0094 > 0.009 \rightarrow \varepsilon_{fe} = 0.009$$

تکرار گام ۷- کرنش موجود در تراز آرماتور :

$$\varepsilon_s = (\varepsilon_{fe} + \varepsilon_{bi}) \left( \frac{d-c}{h-c} \right)$$

$$= (0.009 + 0.00061) \left( \frac{540 - 138}{600 - 138} \right) = 0.0084$$

تکرار گام ۸- تنش در آرماتور و FRP :

$$f_s = E_s \varepsilon_s < f_y$$

$$f_s = 2 \times 10^5 \times 0.0084 = 1680 > f_y \Rightarrow f_s = f_y = 420 MPa$$

$$f_{fe} = E_f \varepsilon_{fe} = 3.7 \times 10^4 \times 0.009 = 333 MPa$$

تکرار گام ۹- کنترل روابط تعادل :

$$c = \frac{A_s f_s + A_f f_{fe}}{\alpha_1 f'_c \beta_1 b}$$

$$c = \frac{1847 \times 420 + 600 \times 333}{0.85 \times 35 \times 0.8 \times 300} = 137 mm$$

$$c = 137 mm \approx 138 mm$$

گام ۱۱- محاسبه مقاومت خمی طراحی :

$$\phi M_n > M_u$$

$$\phi M_n = \phi \left[ A_s f_s \left( d - \frac{\beta_l c}{2} \right) + \psi_f A_f f_{fe} \left( h - \frac{\beta_l c}{2} \right) \right]$$

$$\phi M_n = 0.90 \left[ (1847)(420) \left( 540 - \frac{0.8 \times 138}{2} \right) + 0.85 \times 600 \times 333 \left( 600 - \frac{0.8 \times 138}{2} \right) \right] \times 10^{-6}$$

$$\phi M_n = 0.9 [376 + 92.5] = 421.7 > 396.3 KN.m$$

## مثال ۴-۲

مطلوبست محاسبه ظرفیت برشی تیر بتن مسلح با پوشش الیاف FRP مطابق مشخصات داده شده.

ابعاد هندسی

$$b = 400 mm$$

$$h = 600 mm$$

$$d = 546 mm = d_{frp}$$

فولاد

$$A_{st} = 300 mm^2$$

$$A_v = 157 mm^2$$

$$S = 150 mm$$

$$f_y = 400 MPa$$

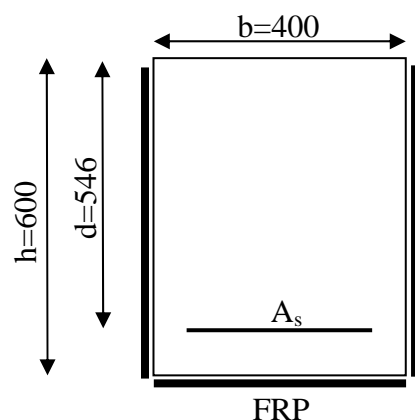
بتن

$$f_c = 20 MPa$$

CFRP

$$t_{frp} = 0.12 mm$$

$$w_{trp} = 500 mm$$



$$s_{frp} = 500 \text{ mm}$$

$$E_{frp} = 220 \text{ GPa}$$

$$\varepsilon_{frpu} = 0.015$$

$$n_e = 1$$

| روش  | محاسبات                          |
|--|----------------------------------|
| $V_c = 0.2\varphi_c \sqrt{f_c} b_w d$ $V_c = 0.2 \times 0.6 \times \sqrt{20} \times 400 \times 546 = 117.2kN$ $V_s = \phi_s A_v f_y \frac{d}{S}$ $V_s = 0.85 \times 157 \times 400 \times \frac{546}{150} \times 10^{-3} = 194.3kN$ $V_c + V_s = 311.5KN$  | سهم بتن و فولاد از مقاومت بر Shi |
| $\rho_{frp} = \frac{2t_{frp} w_{frp}}{b_w s_{frp}}$ $\rho_{frp} = \frac{2 \times 0.12 \times 500}{400 \times 500} = 0.0006$ $A_{frp} = 2w_{frp} \times t_{frp}$ $A_{frp} = 2 \times 500 \times 0.12 = 120mm^2$ $L_e = \frac{25350}{(t_{frp} E_{frp})^{0.58}}$ $L_e = \frac{25350}{(0.12 \times 220000)^{0.58}} = 69.1mm$ $k_1 = \left[ \frac{f_c}{27.65} \right]^{2/3}$ $k_1 = \left[ \frac{20}{27.65} \right]^{2/3} = 0.806$ $k_2 = \frac{d_{frp} - n_e L_e}{d_{frp}}$ $k_2 = \frac{546 - 1 \times 69.1}{546} = 0.87 \geq 0 \quad O.K$ $\varepsilon_{frpe} = \frac{0.8 \times \phi_{frp} k_1 k_2 L_e}{9525}$ $\varphi_{frp} = 0.85 \times 0.95 = 0.807$ | سهم مصالح FRP از مقاومت بر Shi   |

الیاف CFRP : شرایط محیطی ملایم (کربن - اپوکسی)

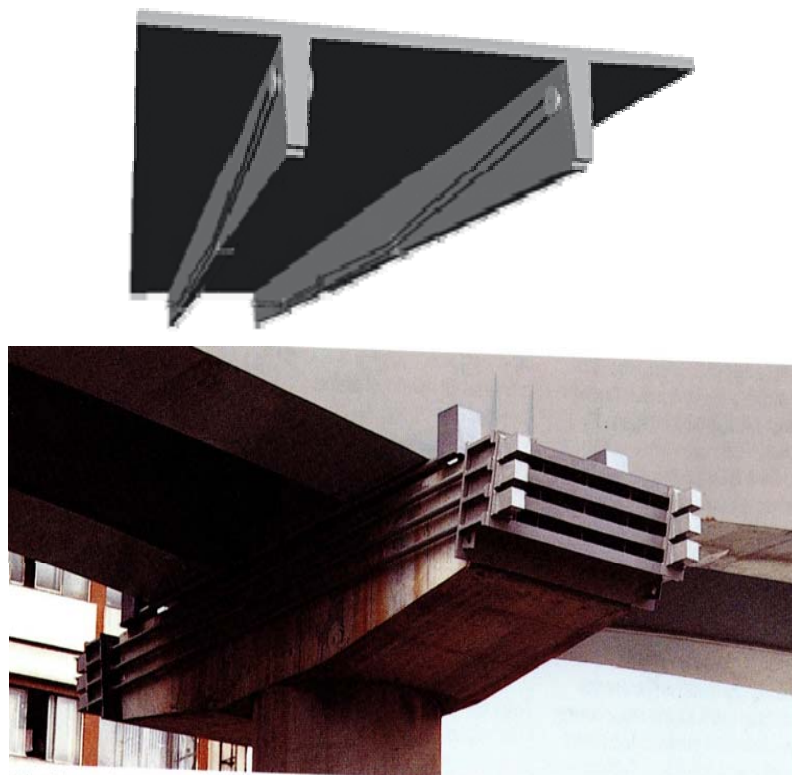
|   |  |
|---|--|
| $\varepsilon_{frpe} = \frac{0.8 \times 0.807 \times 0.806 \times 0.87 \times 69.1}{9525} = 0.0033$ $R = a\lambda_1 \left[ \frac{f_c^{2/3}}{\rho_{frp} E_{frp}} \right]^{\lambda_2}$ $R = 0.8 \times 1.35 \times \left[ \frac{20^{2/3}}{0.0006 \times 220000} \right]^{0.3} = 0.454$ $\varepsilon_{frpe} = R \varepsilon_{frpu}$ $\varepsilon_{frpe} = 0.454 \times 0.015 = 0.0068$ $\varepsilon_{frpe} = \min[0.004, 0.0033, 0.0068] = 0.0033$ $\beta = 90^\circ$ $V_{frp} = \frac{\phi_{frp} E_{frp} \varepsilon_{frp} A_{frp} d_{frp} (\sin \beta + \cos \beta)}{s_{frp}}$ $V_{frp} = \frac{0.807 \times 220000 \times 0.0033 \times 120 \times 546 (1+0)}{500}$ $V_{frp} = 76.8 \times 10^3 N = 76.8 KN$ $V_r = V_C + V_S + V_{frp}$ $V_r = (117.2 + 194.3 + 76.8) \times 10^3 = 388.3 KN$ $V_r \leq V_C + 0.8 \phi_C \sqrt{f_c} b_w d$ $388.3 \leq 586$ |  |
| همان گونه که ملاحظه می‌شود مقاومت برشی تیر ۲۵٪ افزایش می‌یابد.  |  |

#### ۴-۱-۴-۲- استفاده از پیش‌تنیدگی خارجی در تیر بتني

پیش‌تنیدگی خارجی جز روش‌های نوین مقاومسازی می‌باشد. کابل‌های پیش‌تنیدگی بکار گرفته شده برای این کار از همان نوع کابل‌ها و مفتولهای متداول در کارهای پیش‌تنیدگی هستند.

مقاومسازی بدین روش می‌تواند موضعی و یا کلی باشد. در حالت کلی نیروهای پیش‌تنیدگی که به سازه مقاوم شده القا می‌گردد، منجر به باز توزیع نیروهای داخلی گشته و باعث کاهش تنش‌ها در اعضا نسبت به حالت اولیه آنها می‌شوند. با این حال ممکن است در برخی دیگر از اعضای سازه، پیش‌تنیدگی موجب افزایش تنش گردد. به همین دلیل در استفاده از پیش‌تنیدگی خارجی باید آنالیز تنش در سازه مقاومسازی شده به دقت مورد بررسی قرار گیرد.

جدا از مسئله مهارها، به هنگام استفاده از کابل‌های پیش‌تنیدگی یک سری المانهای اضافی که اکثراً شامل انواع مختلفی از سخت‌کننده‌های است، مورد نیاز است. این امر به ویژه در پیش‌تنیدگی موضعی دیده می‌شود زیرا پیش‌تنیدگی، نیروهای متتمرکز جدیدی شامل نیروهای محوری اضافی در اعضا بوجود می‌آورد، از این رو اعضا باید بصورت موضعی برای حفظ پایداریشان تقویت شوند.



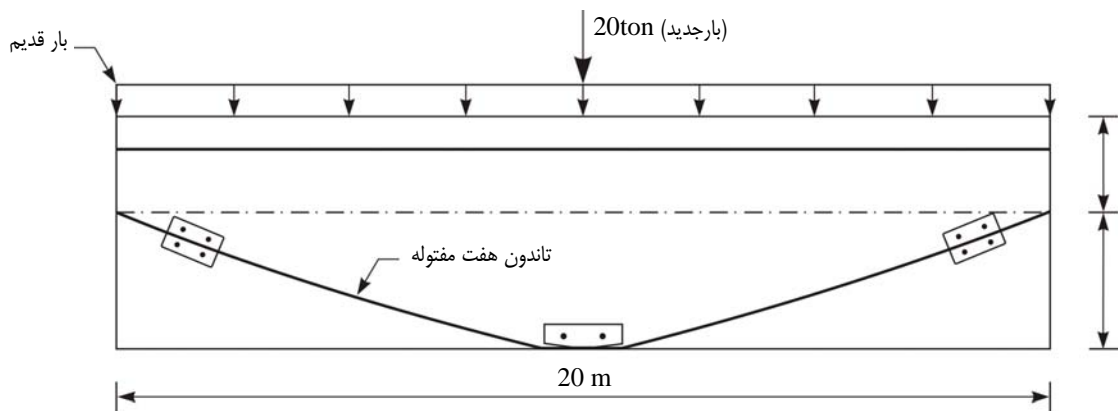
شکل ۲-۱۹-۴- روشن استفاده از پیش‌تنیدگی کلی در مقاومسازی تیرها



شکل ۲-۲۰-۴- روشن استفاده از پیش‌تنیدگی موضعی در مقاومسازی تیرهای بتنی

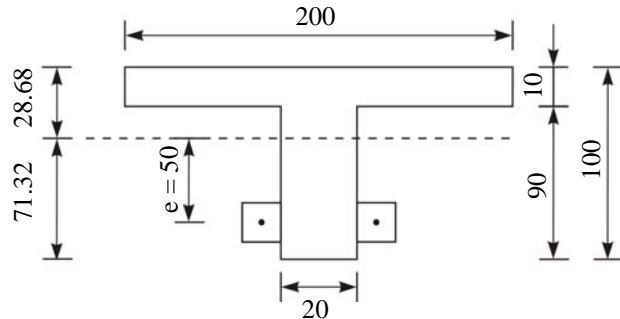
## مثال ۶-۴-۲

تیر بتن مسلح مطابق شکل برای بارگذاری مفروضی طراحی شده است. اکنون قرار است نیروی متمرکز ۲۰ تن در وسط آن اضافه شود. مطلوبست تقویت تیر با استفاده از سیستم پیش‌تنیدگی خارجی:



$$f_c' = 250 \text{ kg/cm}^2$$

$$f_y = 4000 \text{ kg/cm}^2$$



حل:

فرض می‌نماییم تیر برای بارهای قبلی بطور کامل طراحی شده است.

## تعيين مشخصات هندسي مقطع:

| قطعه     | A    | y  | Ay     | $Ay^2$   | $Bh^3/12$ |
|----------|------|----|--------|----------|-----------|
| 20×90    | 1800 | 45 | 81000  | 3645000  | 1215000   |
| 200×10   | 2000 | 95 | 190000 | 18050000 | 16670     |
| $\Sigma$ | 3800 |    | 271000 | 22926670 |           |

$$y_b = 271000 / 3800 = 71.32 \text{ cm}$$

$$I = 22926670 - \frac{271000^2}{3800} = 3600000 \text{ cm}^4$$

$$S_b = 50476 \text{ cm}^3$$

$$S_t = 125523 \text{ cm}^3$$

$$\Delta M = \frac{PL}{4} = \frac{20 \times 20}{4} = 100 \text{ ton.m}$$

$$e = 50 \text{ cm}$$

$$T_p = \frac{100}{0.50} = 200 \text{ ton}$$

$$T_u = \text{نیروی نهایی کابل} / 6 = 24.8 \text{ ton}$$

$$T_e = \text{نیروی موثر پیش‌تییدگی} = 0.55 \times 24.8 = 13.64 \text{ ton}$$

$$\text{تعداد کابل} = 200 / 13.64 = 14.66$$

از دو تاندون ۷ کابل در طرفین استفاده می‌شود:

$$T_e = 2 \times 7 \times 13.64 = 191 \text{ ton}$$

$$\begin{aligned} f_b &= +\frac{\Delta M}{S_b} - \frac{T_e}{A} - \frac{T_e e}{S_b} \\ &= \frac{100 \times 10^5}{50476} - \frac{191 \times 10^3}{3800} - \frac{191 \times 0.50 \times 10^5}{50476} \\ &= 198.11 - 50.26 - 189.2 = -41.35 \text{ kg/cm}^2 \end{aligned}$$

$$\begin{aligned} f_t &= -\frac{\Delta M}{S_t} - \frac{T_e}{A} + \frac{T_e e}{S_t} \\ &= -\frac{100 \times 10^5}{125523} - \frac{191 \times 10^3}{3800} + \frac{191 \times 0.50 \times 10^5}{125523} \\ &= -79.67 - 50.26 + 76.08 = -53.85 \text{ kg/cm}^2 \end{aligned}$$

بتن قادر به تحمل تنש‌های فوق می‌باشد.

## ۲-۴-۲- تیرهای فولادی

عمده خرابی موجود در تیرهای فلزی شامل کمانش کلی و موضعی بال و جان و گسیختگی در محل درزها و وصله‌ها می‌باشد. از آنجایی که قسمتی از مقطع تحت فشار است، خطر کمانش در این ناحیه وجود دارد. این کمانش به دو صورت ممکن است رخ دهد:

- کمانش موضعی: بدین ترتیب که بال و یا جان نیمیرخ به طور موضعی در مقابل تنش‌های فشاری کمانش کند.

- کمانش کلی: بدین ترتیب که ناحیه فشاری مقطع، همانند ستون تحت فشار به صورت کلی دچار کمانش شود.

دلایل اصلی این خرابی‌ها عبارتند از:

۱- سطح مقطع کم تیر،

۲- لاغری بیشتر از حدود مجاز،

۳- عدم فشردگی مقطع،

۴- ضعف در جوش‌ها،

۵- زنگ زدگی و خوردگی تیر،

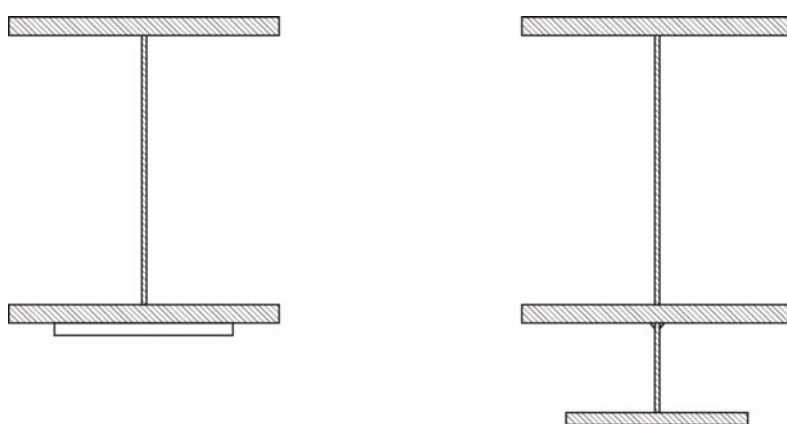
۶- ایجاد ناحیه متأثر از حرارت بر اثر جوشکاری زیاد،

۷- خستگی.

در ادامه به راهکارهای متداول برای بهسازی تیرهای فلزی اشاره شده است.

#### ۱-۲-۴-۲- تقویت با روکش فولادی

از جمله راههای افزایش ظرفیت خمی و محوری تیرهای فولادی، تقویت با روکش فولادی می‌باشد. این روش در شکل ۲-۴-۲ نشان داده شده است. با افزایش ضخامت بال از کمانش موضعی بال تیر نیز جلوگیری شده است.



۲۱-۴-۲- تقویت با روکش فولادی

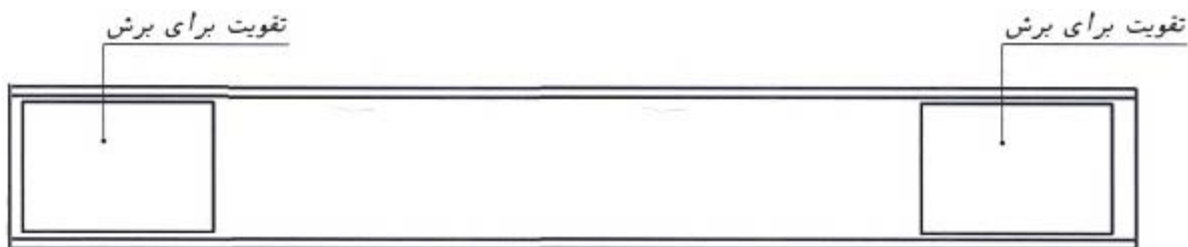
برای تقویت برشی جان تیر می‌توان از دو روش استفاده نمود:

۱- اضافه نمودن ورق‌های موازی با جان تیر

۲- اضافه نمودن سخت‌کننده‌های جان

#### ۲-۳-۴-۲- اضافه نمودن ورق‌های موازی با جان تیر

۱- اضافه نمودن ورق‌های موازی با جان تیر که منجر به افزایش مقاومت برشی می‌شود. این روش در شکل ۲-۴-۲ نشان داده شده است.

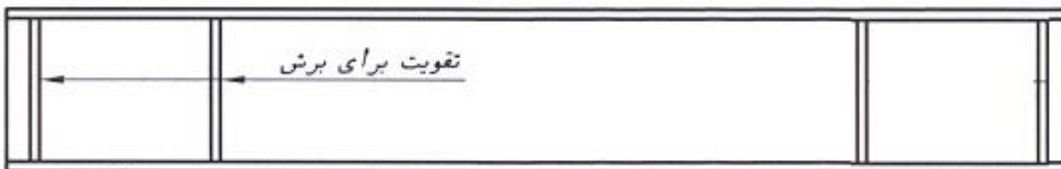


شکل ۲-۴-۲- اضافه نمودن ورق به صورت موازی با جان تیر

### ۴-۲-۳-۲-۲- اضافه نمودن سخت‌کننده‌های جان

- استفاده از ورق‌های سخت‌کننده جان که این روش در شکل ۴-۲-۳ نشان داده شده است.

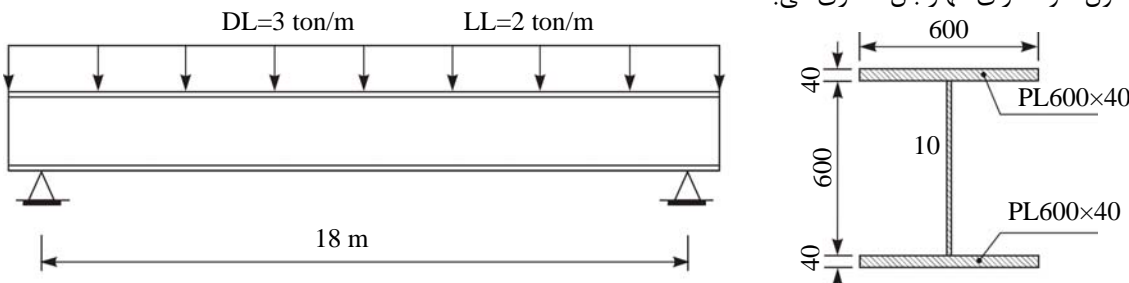
استفاده از سخت‌کننده‌های جان یکی از مؤثرین روش‌های افزایش مقاومت برای تیر می‌باشد. سخت‌کننده‌های عرضی ورق‌هایی هستند که به صورت تیغه‌های قائم و در فواصل معینی از یکدیگر قرار داده می‌شوند و به جان و بال فشاری جوش می‌شوند.



شکل ۴-۲-۳-۲- اضافه نمودن ورق‌های سخت‌کننده عرضی

### ۷-۴-۲ مثال

تیر فلزی نشان داده شده در شکل را برای بار مرده ۳ تن بر متر و بار زنده ۲ تن بر متر کنترل نمایید و سپس آنرا برای افزایش بار زنده به مقدار ۱ تن بر متر کنترل و تقویت نمایید. طبق محدودیت‌های معماری، حداقل ارتفاع جان ۶۰ سانتی‌متر می‌باشد. تیر در تمام طول خود دارای مهار بال فشاری می‌باشد.



شکل مثال ۷-۴-۲-الف

(ابعاد به میلی‌متر)

$$q = 3 + 2 = 5 \text{ ton/m}$$

$$V = q l / 2 = 5 \times 18 / 2 = 45 \text{ ton}$$

$$M_{\max} = q l^2 / 8 = 5 \times 18^2 / 8 = 202.5 \text{ ton.m}$$

$$C_t = C_b = 34 \text{ cm}$$

$$A = 540 \text{ cm}^2$$

$$I = 510160 \text{ cm}^4$$

$$r = 30.74 \text{ cm}$$

$$S_t = S_b = 15004 \text{ cm}^3 \Rightarrow f_b = f_t = \frac{M}{S} = 1349.6 \text{ kg/cm}^2 < F_b = 0.6 F_y = 1440 \text{ kg/cm}^2$$

$$\begin{aligned} \Delta_T &= \frac{5}{384} \times \frac{q L^4}{EI} \\ &= \frac{5}{384} \times \frac{50 \times 1800^4}{2.1 \times 10^6 \times 510160} = 6.4 \text{ cm} \end{aligned}$$

$$\frac{\Delta_T}{L} = \frac{6.4}{1800} = \frac{1}{281} < \frac{1}{240} \text{ O.K}$$

$$\Delta_L = \frac{20}{50} \times \frac{1}{281} = \frac{1}{700} < \frac{1}{360} \text{ O.K}$$

$$q = 6t / m$$

$$f_b = f_t = \frac{6}{5} \times 1349.6 = 1620 \text{ kg/cm}^2 > F_b = 0.6F_y = 1440 \text{ kg/cm}^2$$

$$\Delta_T = \frac{6}{5} \times 6.4 = 7.68 \text{ cm}$$

$$\frac{\Delta_T}{L} = \frac{7.68}{1800} = \frac{1}{234} < \frac{1}{240} \text{ O.K}$$

بنابراین تیر باید تقویت شود به نحوی که تنش در محدوده مجاز قرار گیرد.

#### تقویت با ورق:

برای تقویت با ورق سعی می‌کنیم ارتفاع تیر را به  $\frac{1}{2}$  دهانه برسانیم تا کنترل ارتعاش تیر نیز انجام شود.

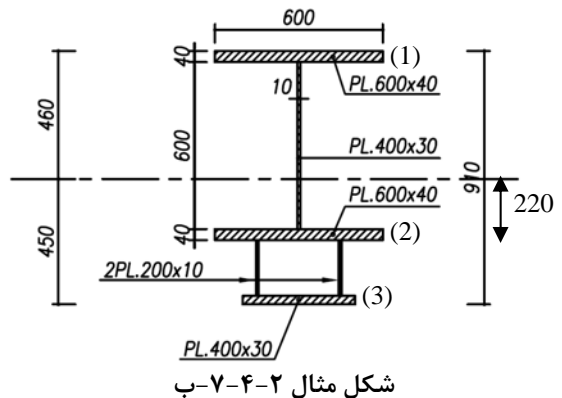
$$A = 700 \text{ cm}^2$$

$$I = 857373 \text{ cm}^4$$

$$C_b = 44.97 \text{ cm} \rightarrow S_3 = 19066 \text{ cm}^3$$

$$C_t = 46.03 \text{ cm} \rightarrow S_1 = 18627 \text{ cm}^3$$

$$\rightarrow S_2 = \frac{857373}{21.97} = 39025 \text{ cm}^3$$



بار مرده را به مقطع قبلی و بار زنده را به مقطع کل می‌دهیم.

$$W_d = 3 \text{ ton/m} \rightarrow M = 3 \times 18^2 / 8 = 121.5 \text{ ton.m}$$

$$W_L = \Delta W = 2 + 1 = 3 \text{ ton/m} \rightarrow M = 3 \times 18^2 / 8 = 121.5 \text{ ton.m}$$

بار مرده:

$$f'_1 = f'_2 = 121.5 \times 10^5 / 15004 = 810 \text{ kg/cm}^2$$

بار زنده + بار جدید:

$$f''_1 = 121.5 \times 10^5 / 18627 = 652 \text{ kg/cm}^2$$

$$f''_2 = 121.5 \times 10^5 / 39025 = 311 \text{ kg/cm}^2$$

$$f''_3 = 121.5 \times 10^5 / 19066 = 637 \text{ kg/cm}^2$$

تنش کل:

$$f_1 = 810 + 652 = 1462 \text{ kg/cm}^2$$

$$f_2 = 810 + 311 = 1121 \quad O.K.$$

$$f_3 = 637 \quad O.K.$$

$$\Delta_T = \Delta_d + \Delta_l + \Delta \quad \text{اضافه بار}$$

$$\Delta_d = \frac{3}{5} \times 6.4 = 3.84 \text{ cm}$$

$$\Delta_L + \Delta = \frac{5}{384} \times \frac{30 \times 1800^4}{2.1 \times 10^6 \times 857373} = 2.28 \text{ cm}$$

$$\Delta_T = 3.84 + 2.28 = 6.12 \text{ cm}$$

$$\frac{6.12}{1800} = \frac{1}{294} \approx \frac{1}{240} \quad \text{خوبست}$$

اگر بتوانیم با جک زدن تمام بار را برداریم، از مقطع کل می‌توانیم برای محاسبه تنش و تغییرشکل بارهای مرده + زنده استفاده کنیم.

#### ۴-۲-۴-۲- استفاده از روکش بتنی برای افزایش مقاومت تیرهای فلزی

با محصور نمودن تیر فلزی، سختی آن افزایش یافته که این امر موجب بالا رفتن سختی برشی و خمشی می‌گردد. در صورتی که تیر فلزی دچار خوردگی شدید شده باشد، استفاده از روکش بتنی به عنوان راه حلی مؤثر توصیه می‌گردد. تیرهای فلزی پس از مقاومسازی با روکش بتنی در برابر آتش‌سوزی نیز مقاومت خوبی دارند.

در حالت حدی نهایی مقاومت خمشی اسمی تیرهای فلزی تقویت شده محاط دربتن برمینای یکی از حالات حدی زیر تعیین می‌شود.

۱. بر اساس رویه‌م گذاری توزیع تنش خطی با در نظر گرفتن اثر پایه‌های موقت و حالت حدی تسلیم در تارهای انتهایی با

$$\text{لنگر تسلیم } M_y = 0/9 (\phi_b = 0/9)$$

۲. بر اساس توزیع تنش پلاستیک بر روی مقطع فولادی تنها ( $\phi_b = 0/9$ )

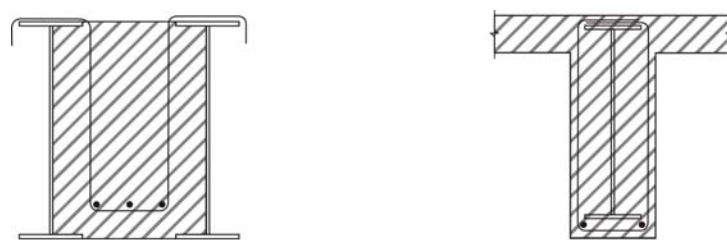
۳. چنانچه در این نوع اعضا برشگیرهای لازم تعییه شده باشد، مقاومت اسمی آنهامی تواند بر اساس توزیع تنش پلاستیک بر

روی مقطع مختلط تعیین شود و یا می‌توان از روش سازگای کرنش‌ها برای محاسبه  $M_n$  استفاده نمود. ( $\phi_b = 0/85$ )

#### ۴-۲-۵- استفاده از پیش‌تنیدگی خارجی برای مقاومسازی تیر فولادی

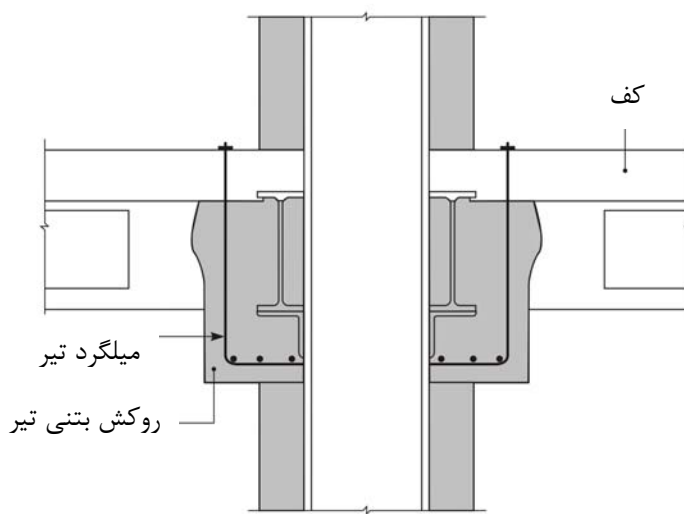
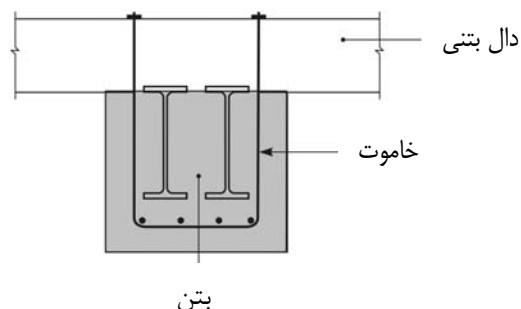
پیش‌تنیدگی خارجی جزء روش‌های نوین مقاومسازی می‌باشد. کابل‌های پیش‌تنیدگی بکار گرفته شده برای این کار از همان

نوع کابل‌ها و مفتولهای متدالول در کارهای پیش‌تنیدگی هستند.



## مقطع کامپوزیت با پر کردن بین دو تیر

## قطع کامپوزیت با محیط کردن بتن

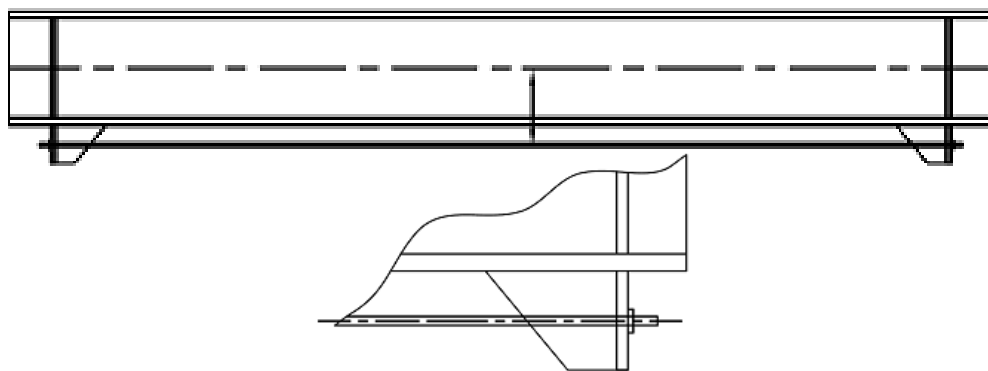


شکل ۲-۴-۲۴- اجرای روکش بتنی برای افزایش مقاومت تیرهای فلزی

مقاومسازی بدین روش می‌تواند موضعی و یا کلی باشد. در حالت کلی نیروهای پیش‌تنیدگی که به سازه مقاوم شده‌القا می‌گردند، منجر به باز توزیع نیروهای داخلی گشته و باعث کاهش تنش‌ها در اعضاء نسبت به حالت اولیه آنها می‌شوند. با این حال ممکن است در برخی دیگر از اعضاء سازه، پیش‌تنیدگی موجب افزایش تنش گردد. به همین دلیل در استفاده از پیش‌تنیدگی خارجی باید آنالیز تنش در سازه مقاومسازی شده به دقت مورد بررسی قرار گیرد.

جدا از مسئله مهارها، به هنگام استفاده از کابل‌های پیش‌تنیدگی یک سری المانهای اضافی که اکثرا شامل انواع مختلفی از سخت کننده‌های است، مورد نیاز است. این امر بویژه در پیش‌تنیدگی موضعی دیده می‌شود زیرا پیش‌تنیدگی، نیروهای متتمرکز جدیدی

شامل نیروهای محوری اضافی در اعضا بوجود می‌آورد، بنابراین اعضا باید بصورت موضعی برای حفظ پایداریشان تقویت شوند. نمونه‌ای از روش‌های مقاومسازی تیر فولادی در شکل ۲۵-۴-۲ نشان داده شده است.



شکل ۲-۴-۲۵- استفاده از پیش‌تینیدگی خارجی برای مقاوم‌سازی تیر فولادی

مثال ۲-۴-۸

مطلوب است تقویت تیر مثال ۷-۴ به روش تقویت با پیش‌تنیدگی خارجی:

حل:

با پیش‌تندیگی خارجی می‌توان تنشی‌ها را به مقدار مجاز کاهش داد و تغییرشکل را بهبود بخشدید:

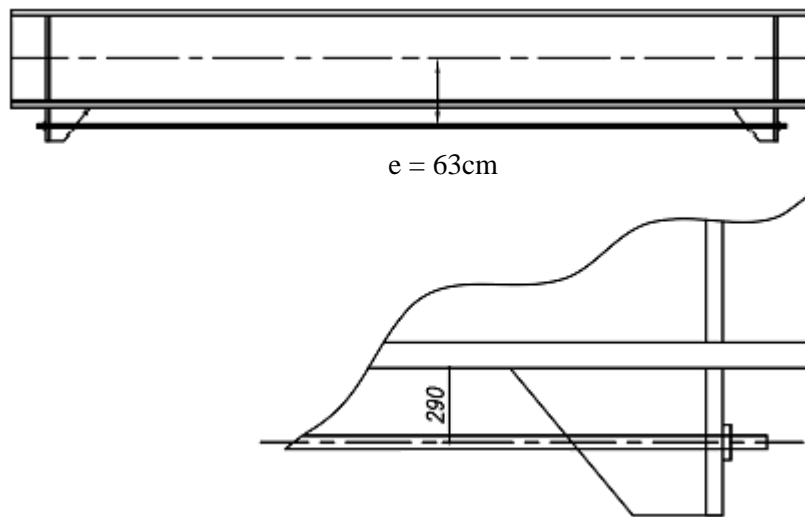
$$M_{موجہ} = 202.5 \text{ ton.m}$$

$$\Delta M_r = 1 \times 18^2 / 8 = 40.5 \text{ ton.m}$$

$$e = 30 + 4 + 29 = 63 \text{ cm}$$

= نیو وی نہایہ، تک کال، 0.6 اینچ دیوبیداگ

$$= نس وی، کلای، بیس، از اتلاف 0.6P_u = 0.6 \times 24.8 = 14.88 ton$$



شکل مثال ۲-۴-۸-الف

$$P = 40.5 / 0.63 = 64.29 \text{ ton}$$

$$P_p = 5 \times 14.88 = 74.4 \text{ ton} > 64.29 \text{ ton}$$

$$\text{پیش‌تندی} M_p = 74.4 \times 0.63 = 46.87 \text{ ton.m}$$

$$f_{bot} = \frac{(202.5 + 40.5) \times 10^5}{15004} - \frac{74.4 \times 10^3}{540} - \frac{64.87 \times 10^5}{15004}$$

$$= 1620 - 138 - 312 = 1170 \text{ kg/cm}^2$$

$$f_{top} = -1620 - 138 + 312 = -1446 \text{ kg/cm}^2$$

قابل قبول است.

### کنترل تغییرشکل

$$\Delta = \Delta_T - \Delta_{\text{پیش‌تندی}}$$

$$\Delta = \frac{L^2}{8EI} (M_1) \uparrow$$

$$\Delta = \frac{1800^2}{8 \times 2.1 \times 10^6 \times 510160} \times 46.87 \times 10^5 = 1.77 \text{ cm} \uparrow$$

$$\Delta_T = \frac{5}{384} \times \frac{60 \times 1800^4}{2.1 \times 10^6 \times 510160} = 7.66 \text{ cm} \downarrow$$

$$\Delta = 7.66 - 1.77 = 5.90 \text{ cm}$$

$$\frac{\Delta}{L} = \frac{5.9}{1800} = \frac{1}{305}$$

هر چند که بار افزایش داده شده است و تغییرشکل از مقدار اولیه کمتر است، ولی هنوز به مقدار مجاز نرسیده است.

## ۵-۲- راهکارهای بهسازی ستون

ستون‌ها اعضاًی هستند که تحت نیروی محوری با و یا بدون نیروی برشی و لنگر خمشی قرار دارند.

در قاب خمشی، ستون‌ها علاوه بر انتقال بارهای ثقلی به فونداسیون، باید تلاشهای ناشی از بارهای جانبی ناشی از زلزله را نیز تحمل نمایند. رعایت اصل ستون قوی-تیر ضعیف از اصول طراحی است و در طراحی همواره سعی بر آن است که تشکیل مفصل خمیری به تیرها و یا بادبندها منتقل گردد تا فلسفه ستون قوی، تیر ضعیف رعایت گردد.

معایب ستون‌ها بر اثر طراحی نادرست، جزئیات ناقص، ساخت نامناسب و کیفیت پایین مصالح می‌باشد. در طراحی لرزه‌ای، ستونها در رده اعضای کنترل شونده توسط نیرو قرار می‌گیرند و در اکثر حالات باید برای زلزله تشدید یافته کنترل گردد. بر اساس نوع ستون (بتنی یا فولادی) و معایب آن روش‌های متعددی برای بهسازی ستون‌ها وجود دارد که در ادامه به آنها برداخته شده است.

## ۵-۱- بهسازی ستون‌های بتن مسلح

ستون‌های بتنی مطابق آیین‌نامه‌های طراحی باید از حداقل بعد عرضی کافی برخوردار باشند. زمانی که ستون‌های بتنی دارای نسبت طول به عرض زیاد می‌باشند تحت خمشهای دو محوره دچار خرابی می‌گردند.

مقاومسازی ستون‌های بتنی به منظور افزایش مقاومت محوری، خمشی و برشی و همچنین برای افزایش ظرفیت شکل‌پذیری ستون در نزدیکی محل اتصال به تیر و مقاوم نمودن محل وصله‌های ضعیف نیز صورت می‌پذیرد.

در ستون‌های بتن مسلح خرابی‌های ناشی از زلزله مربوط به شکستهای ناشی از طول وصله ناکافی، شکستهای ناشی از برش، خمش و اندرکنش برش و خمش، شکست ستون کوتاه و گسیختگی‌های ناشی از کمانش میلگردی‌های طولی می‌باشد.



شکل ۲-۱- نمونه‌ای از شکست برشی ستون

شکست تُرد و برشی ستون‌های بتُنی به دلیل ماهیت ناگهانی آن بدترین نوع شکست می‌باشد. به همین دلیل همواره سعی بر آن است که مکانیسم کنترل کننده خرابی ستون بصورت خمشی باشد و ستون نباید به عنوان عضوی ضعیف در قاب سازه‌ای عمل نماید. در شکل ۱-۵-۲ نمونه‌ای از شکست برشی ستون دیده می‌شود.

در شکل ۲-۵-۲ مکانیسم خرابی ستون‌ها به علت عملکرد نامناسب تیر قوی - ستون ضعیف دیده می‌شود.



شکل ۲-۵-۲- مکانیسم خرابی در عملکرد تیر قوی - ستون ضعیف و ستون کوتاه

از دیگر خرابی‌های ستون می‌توان به کمانش آرماتورهای طولی، عدم دورگیری مناسب و طول ناکافی وصله‌ها اشاره نمود که در اشکال ۲-۵-۳-الف، ب و پ به ترتیب نشان داده شده‌اند.

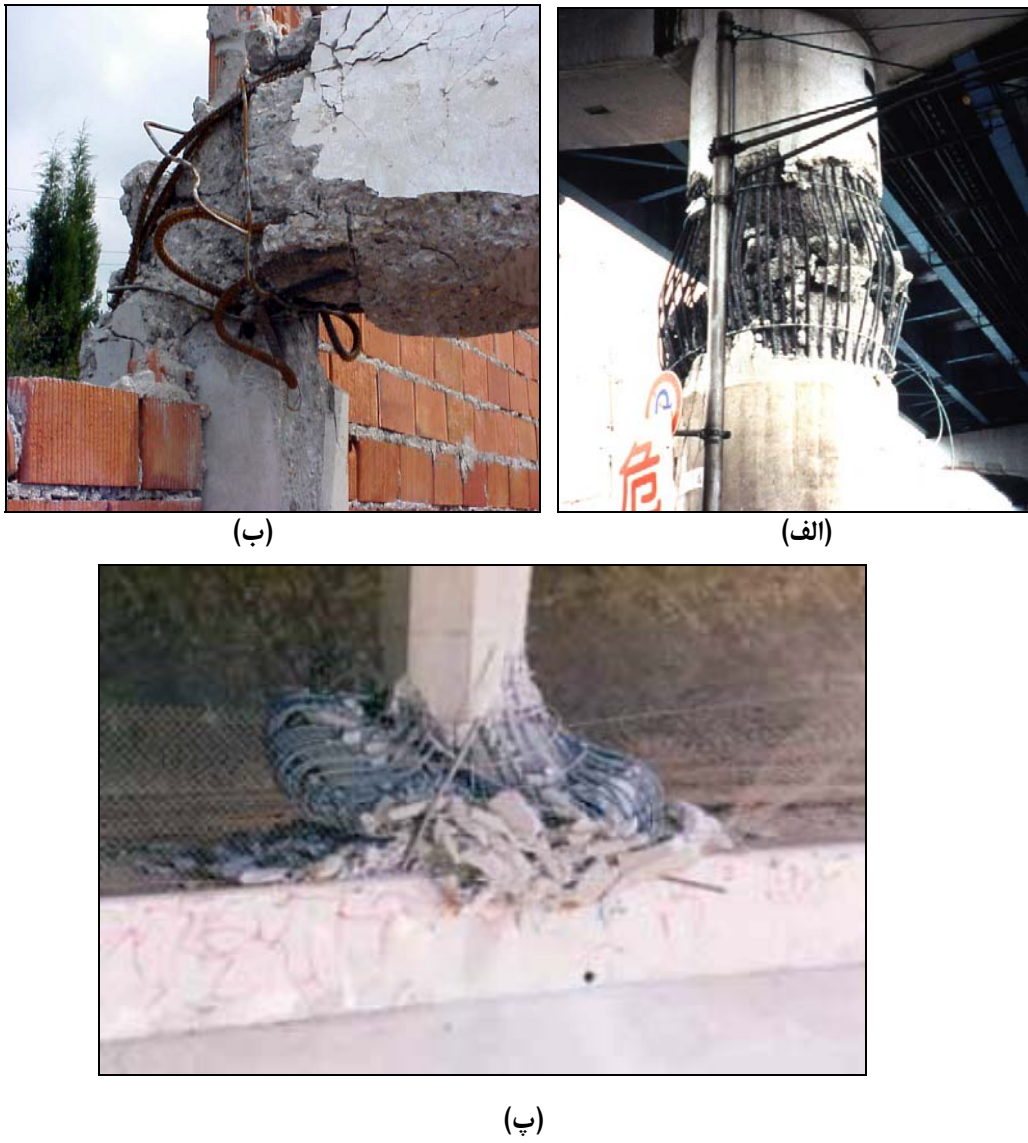
خاموت‌هایی که دارای اعوجاج بوده و یا تحت زاویه ۱۳۵ درجه و با طول مناسب خم نمی‌گردند، نمی‌توانند از کمانش میلگرددهای طولی جلوگیری کرده و یا دورگیری مناسبی برای بتُن ایجاد نمایند. این امر منجر به شکست ستون قبل از تشکیل مفصل پلاستیک در تیر می‌گردد.

در ستون‌های بتُنی به علت لغزش آرماتورهای طولی در محل وصله‌ها، مفصل پلاستیک در این نواحی ایجاد می‌گردد و طی چند سیکل ابتدایی خمش غیر الاستیک، ظرفیت باربری ستون به میزان قابل توجهی کاهش می‌یابد.

### ۱-۱-۵-۲- روش‌های بهسازی ستون‌های مسلح

در سال‌های اخیر روش‌های مختلفی برای بهبود ظرفیت خمشی، برشی و شکل‌پذیری ستون‌ها توسط افزایش دورگیری جانبی ناحیه مفصل پلاستیک ارائه شده است که عملکرد مناسبی طی زلزله‌های مختلف داشته‌اند. این روش‌ها عبارتنداز:

- روکش بتُنی
- روکش فولادی
- روکش FRP



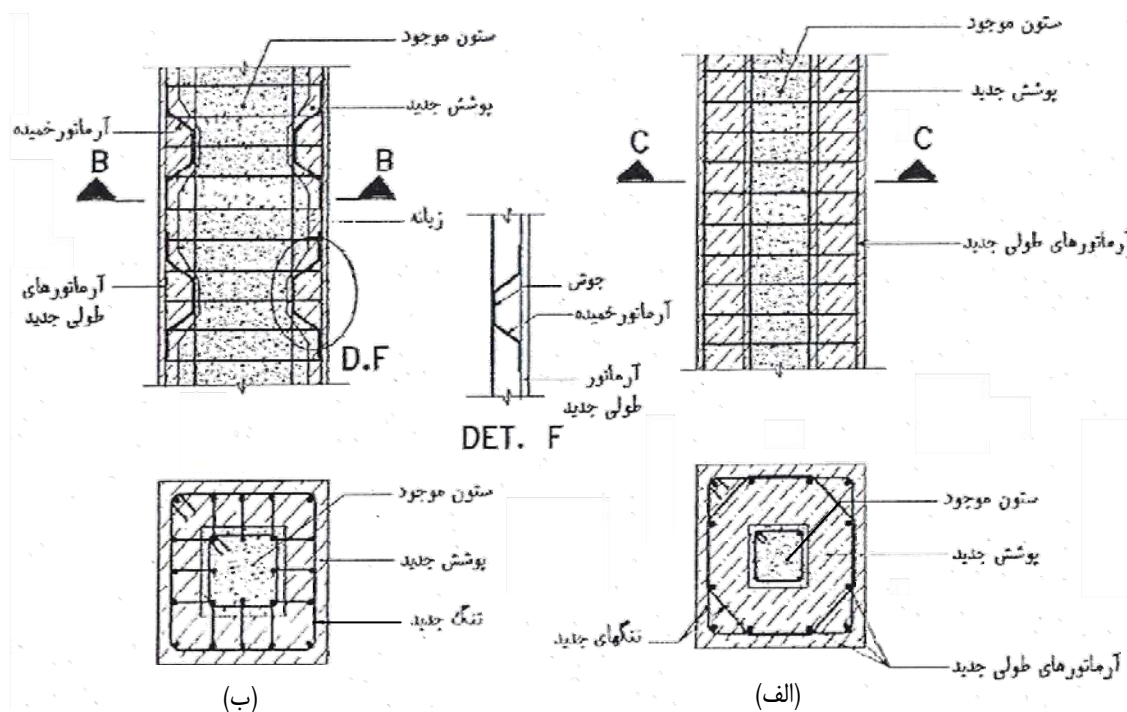
شکل ۲-۵- کمانش آرماتورهای طولی به علت عدم دورگیری مناسب آنها

## ۲-۵-۱-۱-۱-۱- استفاده از روکش بتنی

روکش بتنی شامل لایه‌ای از بتن، میلگردهای طولی و خاموت‌های بسته می‌باشد. روکش بتنی مقاومت خمی و برشی ستون را افزایش می‌دهد و افزایش شکل‌پذیری ستون در این حالت کاملاً مشهود است.

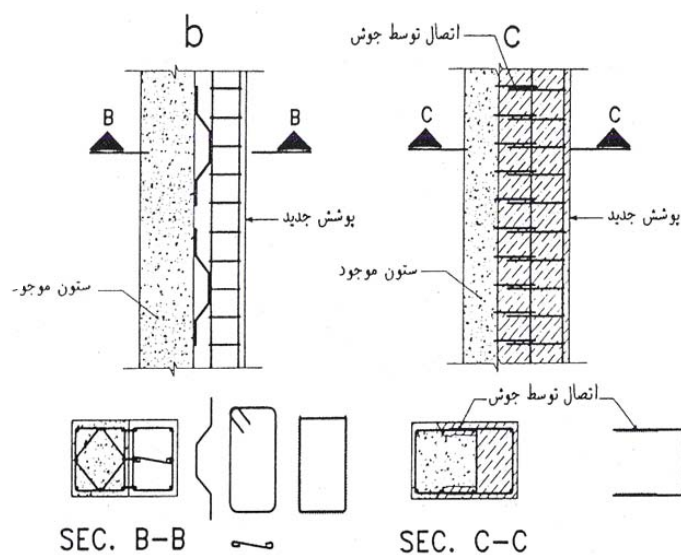
روکش بتن آرمه در مواردی که میزان شدت آسیب‌های واردہ به ستون زیاد باشد و یا ستون از ظرفیت کافی در برابر نیروهای جانبی برخوردار نباشد، بکار گرفته می‌شود. روکش بتنی بسته به شرایط می‌تواند دور تا دور ستون و یا در یک وجه آن اجرا شود. مناسب بودن طرح روکش بتنی به پیوستگی آن با عضو بستگی دارد. اگر خامامت روکش بتنی کم باشد، افزایش سختی در ستون مقاومسازی شده محسوس نمی‌باشد. روکش بتنی باعث افزایش ابعاد ستون می‌گردد که علاوه بر مسائل معماري، وزن ساختمان را نیز افزایش می‌دهد.

گاهی عملکرد مرکب بتن قدیم و روکش صرفاً از طریق چسبندگی بین آنها (با توجه به زبر بودن سطح بتن قدیمی) تأمین می‌گردد که می‌توان برای ایجاد اتصال قویتر بین قفس قدیم و جدید از آرماتور  $\Omega$  که به میلگردهای قدیمی و جدید جوش شده‌اند، استفاده نمود. البته در شرایطی که ابعادستون مقاومسازی شده بزرگ باشد و دورگیری تمام میلگردهای جدید به صورت حداقل یک در میان امکان‌پذیر نباشد، استفاده از تنگهای متصل کننده بمنظور جلوگیری از کمانش میلگردهای طولی، ضروری خواهد بود. (شکل ۲-۴-۵).



شکل ۲-۴-۵- نحوه ایجاد اتصال مناسب بین بتن جدید و قدیم

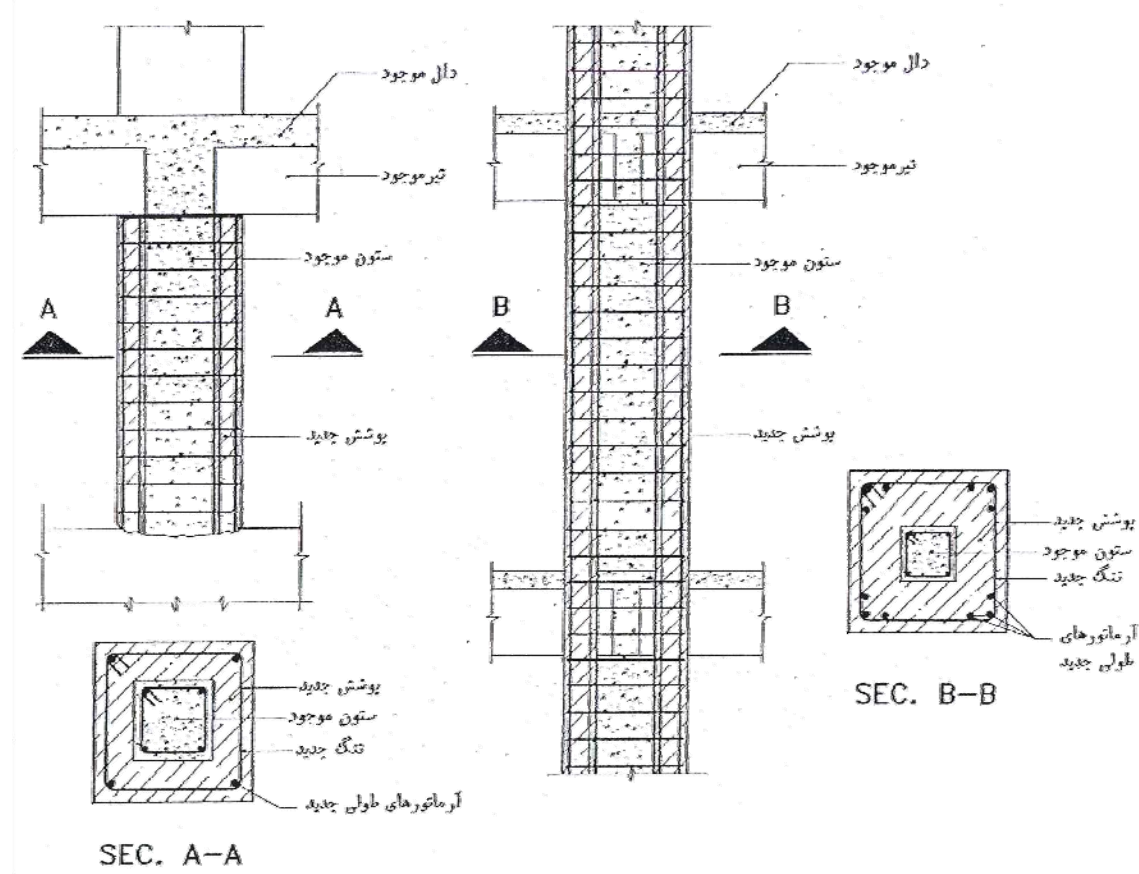
الف) بدون استفاده از تنگهای متصل کننده و ب) با استفاده از تنگهای متصل کننده



شکل ۲-۵- نحوه ایجاد اتصال مناسب بین بتن جدید و قدیم از یک وجه ستون

در صورتی که روکش بتنی تنها در قسمتی از ستون اجرا گردد، باید خاموتهای قدیم نمایان شده و خاموتهای جدید به آنها جوش شوند (شکل ۲-۵-۵).

اگر بنا به دلایلی افزایش ظرفیت برشی بدون افزایش ظرفیت خمی مدنظر باشد، پوشش بکار گرفته شده می‌تواند به سقف و تیرها متصل نباشد و اگر افزایش ظرفیت خمی ستون نیز مدنظر است پوشش بکار گرفته شده باید از سقف عبور نماید (شکل ۲-۶-۵).



شکل ۲-۵-۶- استفاده از روکش بتنی (الف)

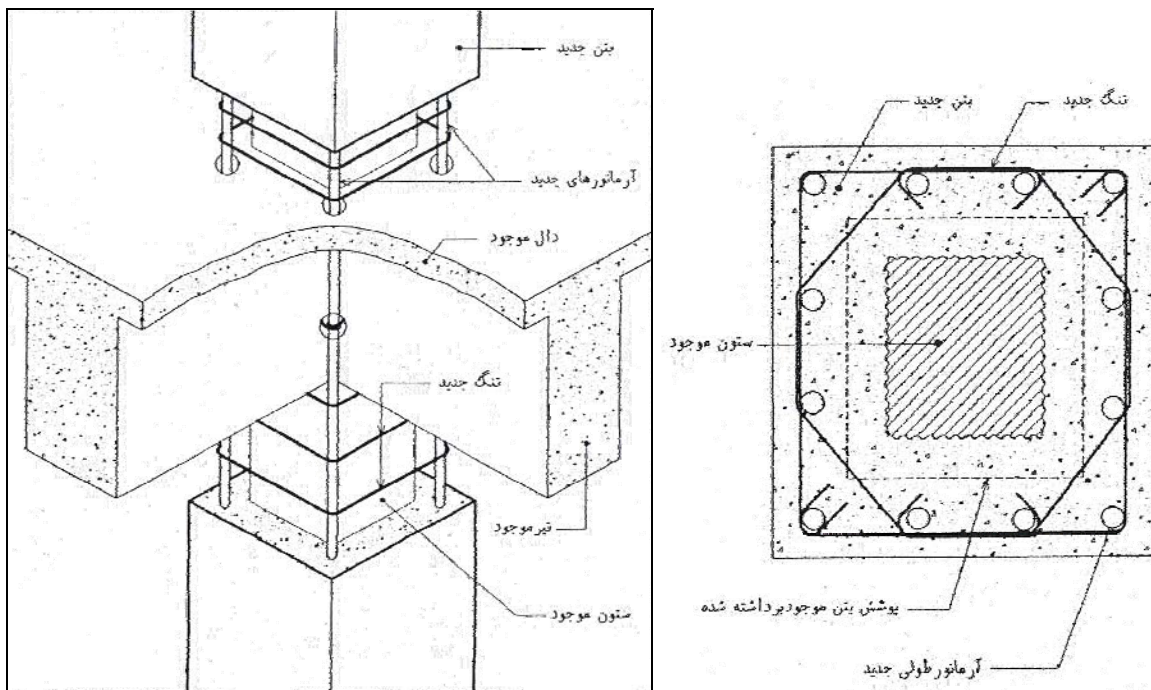
(ب)

الف- بهسازی مقاومت خمی ستون

ب- بهسازی مقاومت برشی ستون

به هنگام استفاده از راهکار بهسازی ستون با روکش بتنی، اگر افزایش ظرفیت خمی ستون مدنظر باشد، آرماتورهای اضافه شده طولی باید در فونداسیون مهار شده و به صورت پیوسته از داخل سقف‌ها نیز عبور نمایند. نمونه‌ای از این امر در شکل ۲-۵-۶ نشان داده شده است. میلگرددهای طولی اضافی معمولاً در چهار گوشه ستون قرار می‌گیرند و به هنگام عبور از سقف باید با تیرها برخورد نمایند. افزایش خاموتها در روکش بتنی منجر به افزایش مقاومت برشی ستون می‌شود.

خاموت‌ها را به علت وجود ستون نمی‌توان با یک میلگرد منفرد اجرا نمود و برای اجرای آنها استفاده از حداقل دو میلگرد که به آرماتورهای طولی متصل شده باشند، ضروری است. خم خاموت‌ها باید دارای طول کافی بوده و حداقل زاویه آنها ۱۳۵ درجه باشد.



شکل ۲-۵-۷- جزئیات بهسازی ستون‌ها بوسیله روکش بتنی به هنگام عبور از سقف

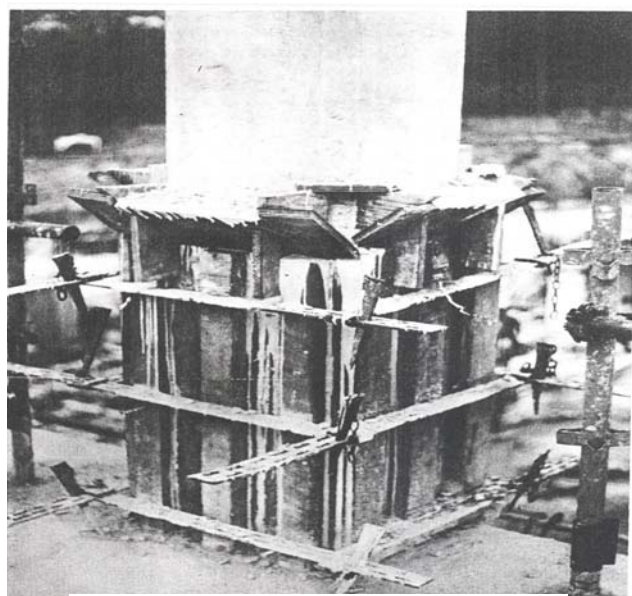
#### - اجرای روکش بتنی

اجرای روکش بتنی بهتر است با قالب و بتن خود تراکم<sup>۱</sup> اجرا گردد ولی اگر روکش بتنی ضخامت کمی داشته باشد، استفاده از روش بتن پاشی<sup>۲</sup> بهتر از بتن ریزی می‌باشد. در شکل ۲-۵-۸-الف اجرای روکش بتنی با قالب نشان داده شده است. در این روش پس از بستن آرماتورها به دور ستون، قالب‌بندی و بتن ریزی به صورت مرحله‌ای انجام می‌شود. ارتفاع قالب در هر مرحله باید طوری باشد که بتن ریزی و تراکم آن امکان‌پذیر باشد. بتن ریزی در قسمت فوقانی زیر سقف مشکل‌ترین قسمت است. در شکل ۲-۵-۸-ب اجرای روکش بتنی ستون با روش بتن پاشی نشان داده شده است. برای اجرای بتن شاتکریت مطابق شکل از کرم‌بندی استفاده می‌شود.

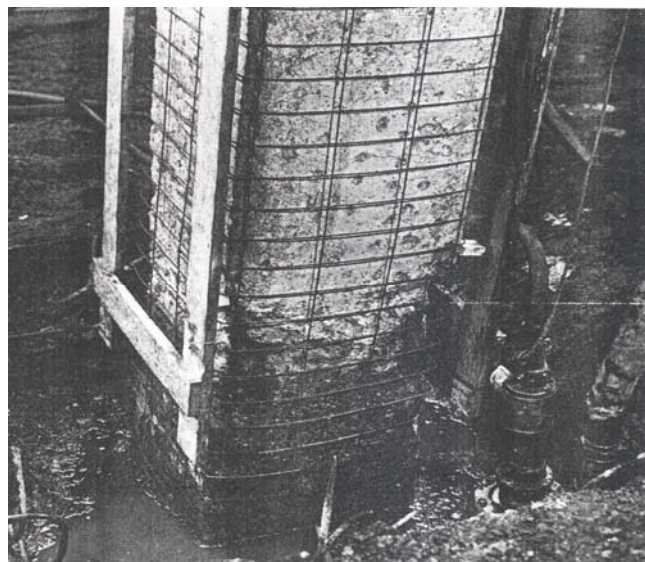
برای اطمینان از عمل مرکب بتن قدیم و جدید باید سطح بتن قدیم را با تیشه یا قلم مضرس نمود و یا سطح آنها را با چسب‌های شیمیایی پوشاند. آزمایشات و تجارب گذشته نشان می‌دهد که زبر نمودن سطح بتن برای پیوستگی بتن قدیم و جدید کافی می‌باشد، ولی با کاشت میخچه در فاصله ۳۰۰ تا ۵۰۰ میلیمتر عمل مرکب بین بتن قدیم و جدید به شکل کاملاً مشهودی افزایش می‌یابد.

<sup>۱</sup> Self Compacted Concrete

<sup>۲</sup> Shotcerete



الف-اجرای روکش بتنی با قالب



ب-اجرای روکش بتنی با بتن پاشی

#### شکل ۲-۸-۱- اجرای روکش بتنی

اگر روکش بتنی ستون را محصور نماید، انقباض بتن جدید منجر به ایجاد اصطکاک بین بتن قدیم و جدید می‌گردد و احتیاجی به کاشت بولت نخواهد بود (شکل ۲-۸-۱).

حداقل مشخصات فنی برای روکش‌های بتنی بصورت زیر ارائه شده است. لازم به ذکر است کلیه ضوابط آئین‌نامه بتن ایران برای طرح و اجرای روکش بتنی باید اجرا گردد.

- ۱- مقاومت مصالح جدید باید برابر و یا بیشتر از مقاومت مصالح موجود باشد. توصیه می‌گردد مقاومت فشاری بتن روکش حداقل ۵ MPa بیشتر از بتن موجود باشد.



شکل ۲-۹-۵- استفاده از روکش بتنی جهت بهسازی ستون‌ها

۲- برای ستون‌هایی که به آرماتورهای طولی اضافی احتیاج ندارند، استفاده از چهار آرماتور طولی با قطر ۱۶ میلیمتر که با خاموتهایی به قطر ۸ میلیمتر محصور شده‌اند ضروری است.

۳- حداقل ضخامت روکش بتنی ۱۰۰ میلیمتر می‌باشد.

۴- حداقل قطر خاموتها ۸ میلیمتر و حداکثر آن ۱۴ میلیمتر می‌باشد. زاویه خم انتهای خاموتها ۱۳۵ درجه می‌باشد.

۵- فاصله محور به محور خاموتها نباید از ۲۰۰ میلیمتر تجاوز نماید، لیکن ترجیحاً فاصله خاموتها نباید از ضخامت

روکش بیشتر شود. در فاصله  $\frac{1}{4}$  ارتفاع ستون از بر تکیه‌گاه، فاصله خاموتها نباید از ۱۰۰ میلیمتر بیشتر شود.

۶- فاصله آرماتورهای متواالی افقی ستون نباید از هیچیک از مقادیر زیر بیشتر شود:

الف: ۱۲ برابر قطر کوچکترین میلگرد طولی اعم از اینکه منفرد باشد یا عضوی از گروه میلگردهای در تماس بشمار آید.

ب: ۴۸ برابر قطر میلگرد خاموتها

پ: کوچکترین بعد عضو فشاری

ت: ۲۵۰ میلیمتر

اگر مقاومت بتن روکش از مقاومت بتن موجود بیشتر باشد به هنگام تحلیل مقاومت خمی ستون مقاومسازی شده، می‌توان مقطع ستون را برابر مقطع افزایش یافته و مصالح آن را همانند مصالح اولیه ستون در نظر گرفت. با فرضی محافظت کارانه، می‌توان ظرفیت خمی تسلیم و نهایی ستون را  $90\%$  مقادیر محاسبه شده در نظر گرفت. افزایش ظرفیت برشی را می‌توان بر اساس مقدار خاموتهای اضافه شده محاسبه نمود. برای محاسبه مقدار دورگیری نیز تنها خاموتهای اضافه شده در نظر گرفته می‌شود.

**مثال ۱-۵-۲**

**مثال روکش بتنی** - ستون قاب خمی تنها تحت بارهای ثقلی طراحی و ساخته شده است.

$$N_d = 1450 \text{ KN}$$

$$N_l = 860 \text{ KN}$$

طول آزاد ستون  $2/6$  متر و مقطع آن  $45 \times 45$  سانتیمتر می‌باشد.

مشخصات مصالح آن نیز به شرح زیر می‌باشد.

$$f_c = 25 \text{ MP}_a$$

$$f_j = 400 \text{ MP}_a$$

از آنجا که ستون بر اساس آیین نامه های قدیمی تنها برای نیروهای ثقلی طرح شده بود، تصمیم گرفته شد که سازه برای نیروهای جانبی زلزله، تحلیل و تقویت گردد. با توجه به افزایش بار مرده طراحی به هنگام تقویت نتایج تحلیل برای ستون فوق بصورت زیر بدست آمد.

$$N_d = 1700 \text{ KN}$$

$$N_l = 860 \text{ KN}$$

$$N_E = 250 \text{ KN}$$

$$M_E = 220 \text{ KN.m}$$

مطلوب است طراحی اولیه ستون و سپس طراحی و تقویت آن در شرایطی که  $k = 1.2$  می‌باشد.

آیین نامه مورد استفاده، آیین نامه آبا می‌باشد.

**طراحی اولیه ستون:**

- محاسبه بار ضریب‌دار:

$$N_u = 1.25D + 1.5L = 1.25 \times 1450 + 1.5 \times 860 = 3102.5 \text{ KN}$$

- کنترل لاغری:

$$K = 1.2, \quad r = 0.3 \times 450 = 135 \text{ mm}$$

$$\frac{KL}{r} = \frac{1.2 \times 2600}{135} = 23.1$$

تقریباً می‌توان گفت که ستون لاغر نیست.

- طراحی آرماتور:

از آنجا که ستون تنها تحت بار محوریست:

$$N_{r\max} = 0.8 \left[ 0.85 \phi_c f_c (A_g - A_{st}) + \phi_s f_y A_{st} \right]$$

$$3102.5 \times 10^3 = 0.8 \left[ 0.85 \times 0.6 \times 25(450 \times 450 - A_{st}) + 0.85 \times 400 A_{st} \right]$$

$$A_{st} = 3961 \text{ mm}^2$$

$$USE 8\varphi 25, A_s = 8 \times 491 = 3928 \text{ mm}^2$$

۴- انتخاب قطر و فواصل خاموت‌ها:

$$\frac{1}{3} \times 25 = 8.33 \geq 8 \quad \text{حداقل قطر آرماتور}$$

از خاموت نمره ۱۰ استفاده می‌شود.

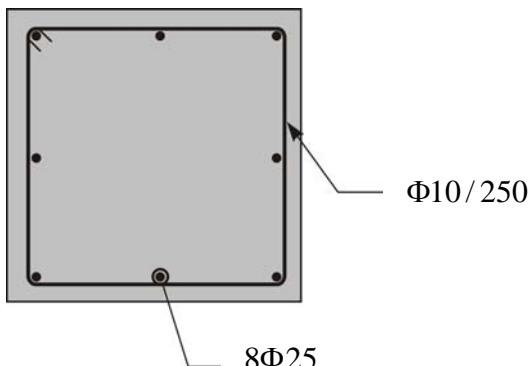
$$12 \times 25 = 300 \text{ mm} \quad \text{حداکثر فاصله خاموت‌ها}$$

$$48 \times 10 = 480 \text{ mm}$$

$$= 450 \text{ mm} \quad \text{بعد ستون}$$

$$= 300 \text{ mm} \quad \text{حداکثر}$$

فاصله خاموت‌ها 250 میلیمتر انتخاب می‌شود. آرایش میلگرد‌ها به صورت زیر خواهد بود.



شکل مثال ۲-۵-۱-الف

تقویت ستون برای نیروهای جانبی زلزله:

استفاده از روکش بتنی

مقاومت روکش بتنی باید حداقل 5MPa بیشتر از بتن موجود باشد.

$$f_c = 25 + 5 = 30 \text{ MPa} \quad \text{بتن روکش}$$

۱- بار محوری ضربیدار:

$$N_u = D + 1.2L + 1.2E = 1700 + 1.2 \times 860 + 1.2 \times 250 = 3032 \text{ KN}$$

$$M_u = 0 + 0 + 1.2 \times 220 = 264 \text{ KN.m}$$

قطع اولیه ستون هنوز جوابگوی نیروی فوق می‌باشد.

$$N_u = 3032 \leq N_{r\max} = 3102.5 \text{ KN}$$

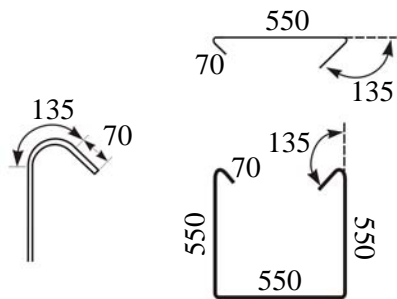
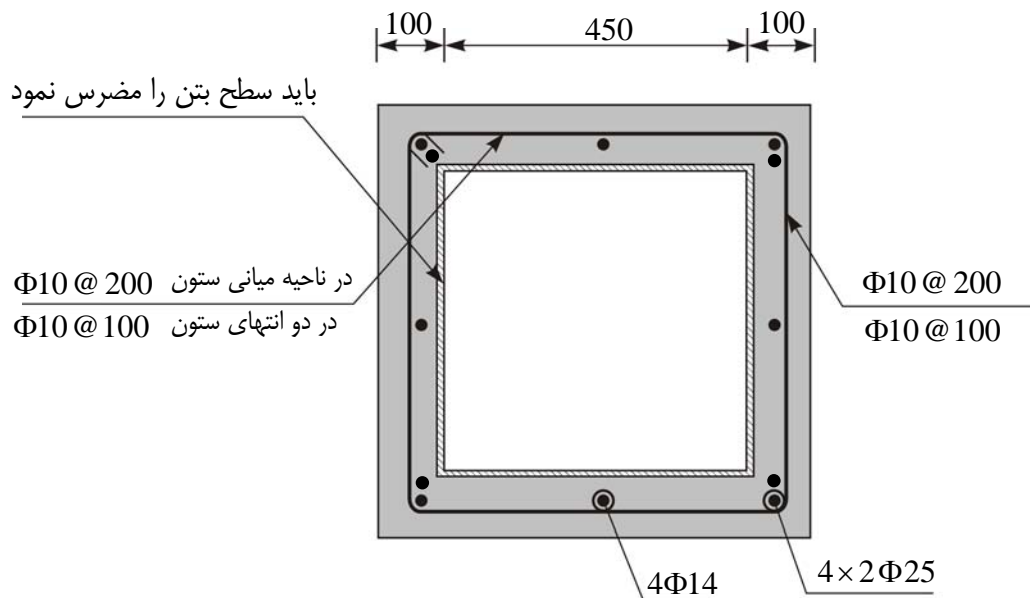
ضخامت روکش بتنی را ۱۰۰ mm در نظر می‌گیریم.

سطح مقطع میلگردها با رابطه اهرم بدست می‌آید.

$$A_s = \frac{264 \times 10^6}{0.85 \times 400 \times 550} = 1412 \text{ mm}^2$$

$$USE4\phi 25, A_s = 4 \times 491 = 1960 \text{ mm}^2$$

آرایش میلگردها مطابق شکل انتخاب می‌گردد.



شکل مثال ۱-۵-۲-ب

قطر خاموت ها:

$$\frac{1}{3} \times 25 = 8.33 > 8$$

از خاموت نمره ۱۰ استفاده می‌شود.

انتخاب فواصل خاموتها:

$$12 \times 25 = 300 \text{ mm}$$

$$48 \times 10 = 480 \text{ mm}$$

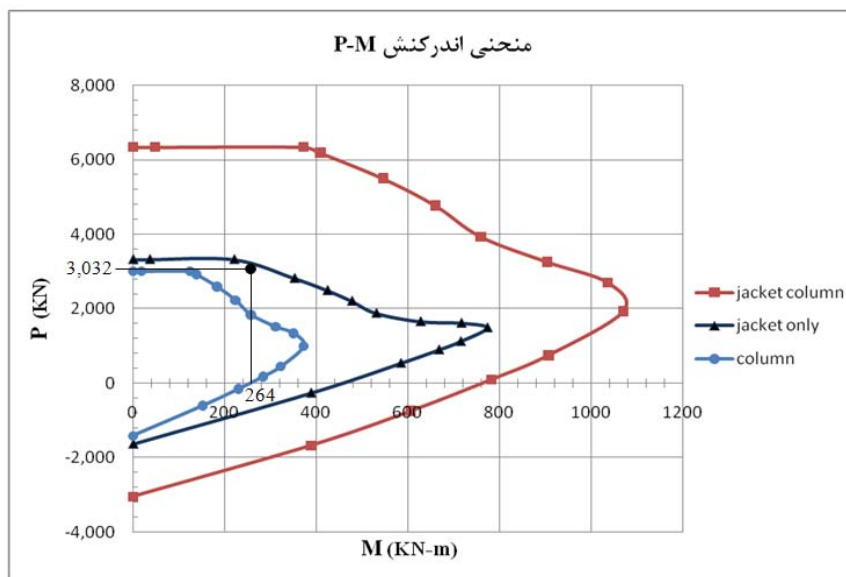
$$= \text{بعد ستون} 650 \text{ mm}$$

= مطابق ضوابط راهنمای روش‌ها و شیوه‌های بهسازی

$$S = 200 \text{ mm}$$

در فاصله  $\frac{1}{4}$  ارتفاع ستون از بر تکیه‌گاه فاصله خاموت‌ها ۱۰۰ میلیمتر در نظر گرفته می‌شود.

در شکل زیر منحنی اندرکنش P-M ستون قبل از مقاومسازی، ستون تقویت شده با روکش بتی و روکش بتی تنها ترسیم شده است. مطابق آنچه که در منحنی اندرکنش ملاحظه می‌شود، ستون بتی پاسخگوی بارهای وارد نیست ولی روکش بتی تنها پاسخگوی بارهای وارد می‌باشد. اگر منحنی اندرکنش ستون تقویت شده (ستون با روکش بتی) را در نظر بگیریم، ستون کاملاً پاسخگوی بارهای وارد می‌باشد.



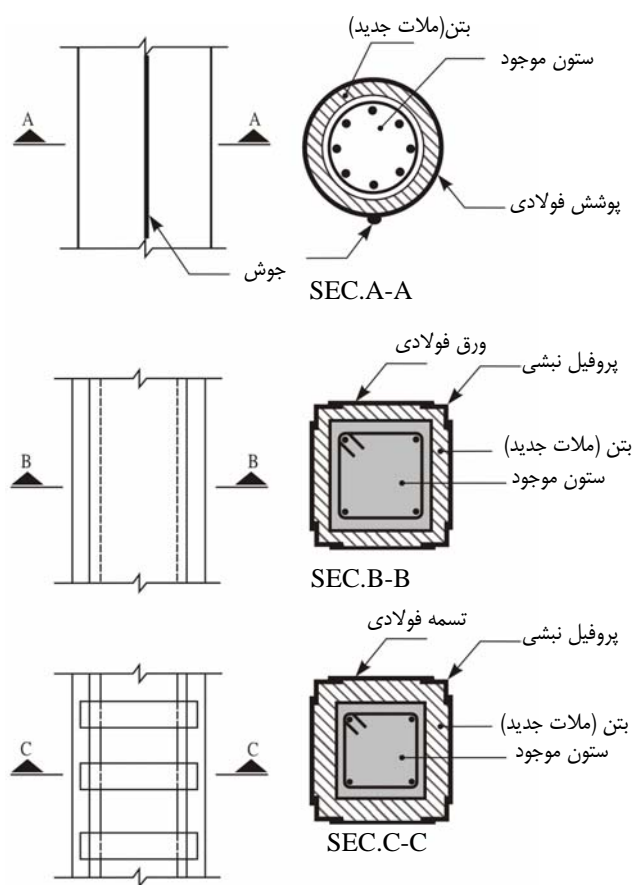
شکل مثال ۲-۵-۱-پ

#### ۲-۱-۱-۵-۲- روکش فولادی

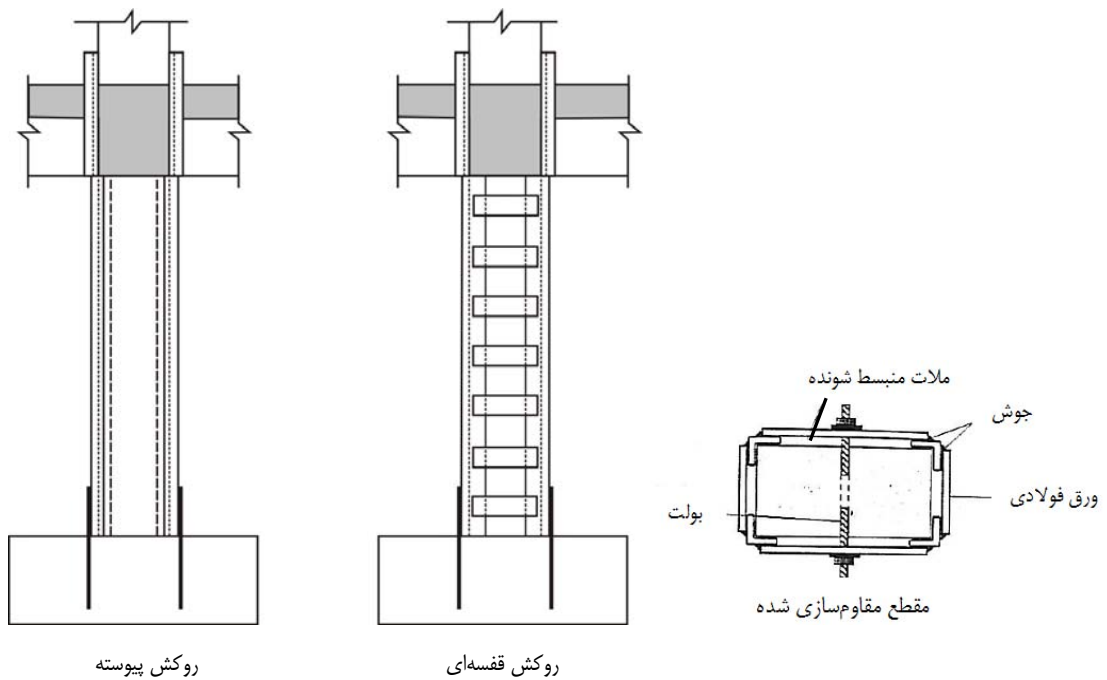
محصور نمودن ستون‌های بتی با پوشش فولادی (روکش فولادی) از دیگر روش‌های بهسازی لرزه‌ای ستون‌های بتی می‌باشد. در این روش، افزایش ناچیزی در ابعاد و وزن ستون بوجود می‌آید. موثر بودن این روش منوط به سختی مناسب روکش در برابر تغییر شکل‌های جانبی بتن می‌باشد. همانند شکل ۲-۵-۱۰ روکش می‌تواند بصورت پیوسته و یا قفسه‌ای باشد.

ورق‌های فولادی روکش در تمامی طول خود به هم جوش می‌شوند و فضای اندک بین روکش و ستون توسط ملات منبسط شونده پر می‌گردد. برای بهبود عملکرد مجموعه می‌توان از کاشت میلگرد برای انتقال برش بین ورق و بتن استفاده نمود.

استفاده از روکش فولادی می‌تواند به عنوان روشی موقت برای بهسازی ستونهای که پس از زلزله دچار آسیب شده‌اند، بکار گرفته شود.



شکل ۲-۵-۱۰- استفاده از روکش فولادی در بهسازی ستونهای بتنی



شکل ۲-۵-۱۱- انواع روکش فولادی جهت افزایش مقاومت برشی ستون

روکش فولادی مقاومت برشی و تا حدودی دورگیری ستون را افزایش می‌دهد. نمونه‌ای از روکش‌های فولادی که استفاده از آن منجر به افزایش مقاومت برشی می‌گردد، در اشکال ۱۱-۵-۲ نشان داده شده است.

در صورت عدم پیوستگی بین روکش‌های فولادی ستون در طبقات مختلف، ظرفیت نیروی محوری ستون افزایش نمی‌یابد. تا زمانی که نتوان ورق‌های روکش فولادی را به فونداسیون متصل کرد و پیوستگی بین روکش فولادی طبقات مختلف را از میان دال ایجاد نمود، مقاومت خمثی ستون افزایش نمی‌یابد. با بکارگیری جزئیات مناسب که نمونه‌های اجرا شده‌ای از آن در اشکال ۱۲-۵-۲ نشان داده شده است، مقاومت خمثی ستون افزایش می‌یابد.



شکل ۱۲-۵-۲- نمونه‌ای از روکش فولادی جهت افزایش مقاومت خمثی ستون

روکش فولادی را می‌توان با نیمیرخ‌های فولادی و تسممه‌های اتصال به شکل قفسه اجرا نمود. این نوع روکش فولادی یکی از متداول‌ترین و کاربردی‌ترین روش‌های اجرایی روکش‌های فولادی می‌باشد.



شکل ۲-۵-۱۳- بھسازی ستونهای بتنی بوسیله روکش فولادی قفسه‌ای

ستون‌های مستطیلی را می‌توان با استفاده از روکش‌های فولادی مدور تقویت نمود. روکش فولادی دایره‌ای از دو ورق فولادی نیمداire تشکیل شده که به یکدیگر جوش شده‌اند. استفاده از روکش‌های فولادی مدور به مراتب دشوارتر از سایر روش‌های روکش‌گذاری می‌باشد ولی تحقیقات نشان می‌دهد که این روش در افزایش مقاومت و تغییرمکان‌های غیرالاستیک ستون‌ها، بسیار موثر می‌باشد. روکش‌هایی که به شکل بیضی کشیده شده هستند، مقاومت برشی و دورگیری بهتری را برای رفتار حول محور قوی فراهم می‌کنند. در حالی که روکش‌های دایره‌ای، مقاومت و دورگیری بهتری را حول محور ضعیف ستون ایجاد خواهند کرد. با آنکه روکش فولادی دایره‌ای مانند حلقه مسلح کننده پیوسته می‌باشد ولی بکارگیری آن برای ستونهای با مقطع مستطیلی توصیه نمی‌شود.

شکست در ناحیه وصله آرماتورهای طولی از جمله خرابی‌های متداول در ستون می‌باشد. استفاده از پوشش‌های فولادی احتمال شکست وصله آرماتورهای طولی را کاهش داده و سلامت خمی وصله‌های پوششی در ستون را افزایش می‌دهد. در صورتیکه طول وصله ستون کافی باشد مقدار فشار محصور کننده لازم برای تضمین عدم بروز شکست در وصله ستون‌ها بصورت رابطه ۱-۵-۲ می‌باشد:

$$f_{\ell} \geq \frac{A_b f_y}{\left[ \frac{\pi D'}{2n} + 2(d_b + c) \right] \ell_s} \quad (1-5-2)$$

که در آن:

$d_b$ : قطر میلگرد طولی وصله شده بر حسب میلیمتر

$A_b$ : مساحت میلگرد طولی وصله شده بر حسب میلیمتر مربع

$f_y$ : تنش میلگرد طولی وصله شده بر حسب نیوتن بر میلیمتر مربع

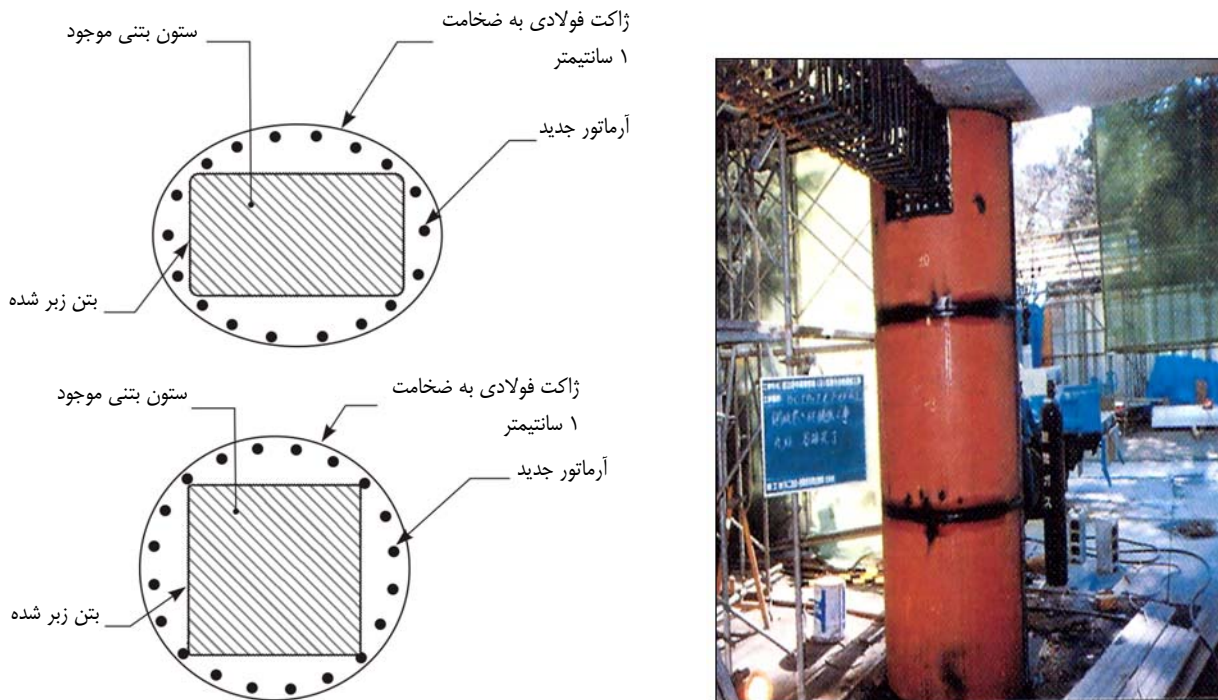
$D'$ : قطر دایره دوربیچ آرماتور طولی بر حسب میلیمتر

$n$ : تعداد میلگردهای طولی

$c$ : پوشش میلگرد طولی بر حسب میلیمتر

$\ell_s$ : طول وصله بر حسب میلیمتر

$f_\ell$ : فشار محصور کننده بر حسب نیوتن بر میلیمتر مربع می‌باشد.



شکل ۲-۵-۲- استفاده از روکش فولادی مدور در بهسازی ستون‌های مستطیلی

ضخامت پوشش‌های فولادی برای ایجاد فشار محصور کننده مورد نیاز از رابطه ۲-۵-۲ محاسبه می‌شود:

$$t > \frac{f_\ell D}{400} \quad (2-5-2)$$

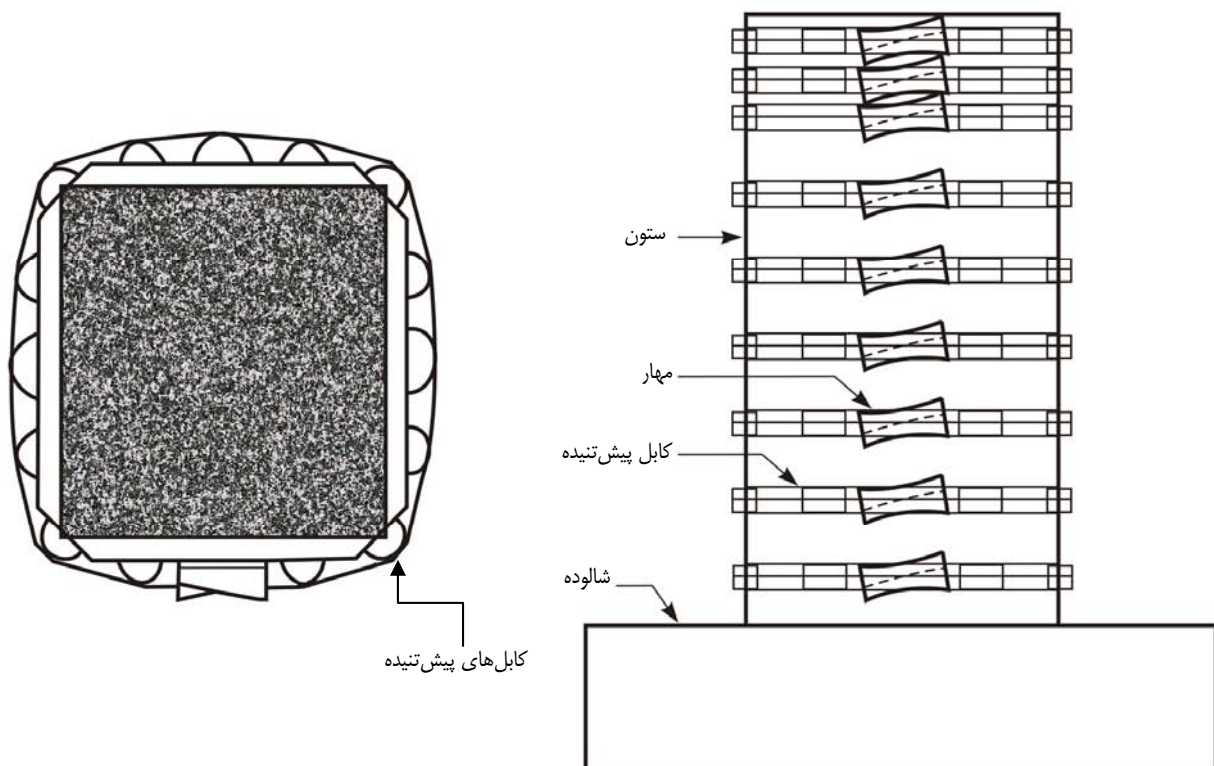
که در آن:

$t$ : ضخامت پوشش فولادی بر حسب میلیمتر

$D$ : قطر ستون بر حسب میلیمتر

$f_\ell$ : فشار محدود کننده بر حسب نیوتن بر میلیمتر مربع می‌باشد.

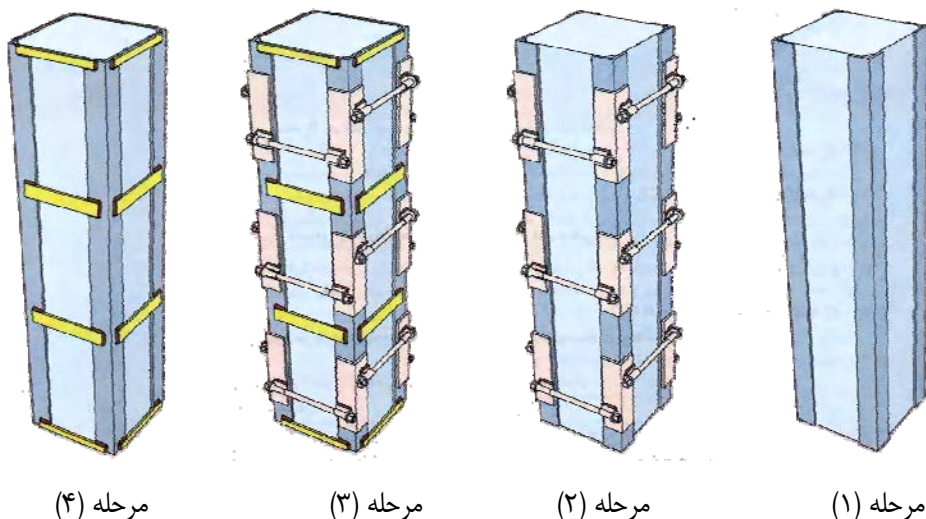
در موارد خاص می‌توان از سیستم‌های پیش‌تنیدگی عرضی استفاده نمود. در این روش جهت محصور کردن و فشردن روکش فولادی به ستون با استفاده از سیستم‌های پیش‌تنیدگی، نیروی فشاری به مجموعه اعمال می‌شود. لازم بذکر است این روش نسبت به سایر روش‌های بهسازی ستون، کمتر متداول می‌باشد.



شکل ۲-۱۵-۵-۱۵- استفاده از پیش‌تنیدگی عرضی در بهسازی ستون‌ها

با انجام تدبیری خاص می‌توان در روکش قفسه‌ای، پیش فشردنگی اولیه ای ایجاد نمود و بدین ترتیب ظرفیت برابری نهایی ستون را افزایش داد. در این روش برای پیش فشرده کردن نبشی‌ها، از گیره‌های موقتی استفاده می‌شود و مراحل کار آن به ترتیب زیر می‌باشد:

- ۱- قرار دادن نبشی‌ها در گوشه ستون
- ۲- قرار دادن گیره‌ایی به فواصل مناسب روی نبشی‌ها و اعمال نیروی فشاری
- ۳- جوش دادن تسمه‌های اتصال روی نبشی‌های گوشه ستون در فواصل تعیین شده
- ۴- باز کردن گیره‌ها.



شکل ۲-۵-۲-۱۶- مراحل اجرای روکش قفسه‌ای به روش پیش فشردن

**مثال ۲-۵-۲**

ستون مثال ۱-۵-۲ را با روکش فولادی مقاومسازی نمایید.

**حل:**

مطابق مثال ۱-۵-۱ حمل نیروی محوری توسط ستون نبشی و حمل لنگر ناشی از بار زلزله به روکش واگذار می‌شود. برای روکش از گزینه روکش قفسه‌ای استفاده شود.

با استفاده از رابطه اهرم، سطح مقطع بدست می‌آید:

$$f_y = 240 \text{ MPa}$$

$$A_s = \frac{M_u}{\phi_s f_y d} = \frac{264 \times 10^6}{0.85 \times 240 \times 450} = 2875.8 \text{ mm}^2$$

مساحت هر نبشی باید  $0.5 \times 2875.8 = 1437.9 \text{ mm}^2$  باشد.

USE L120×120×12

**مشخصات مقطع فولادی:**

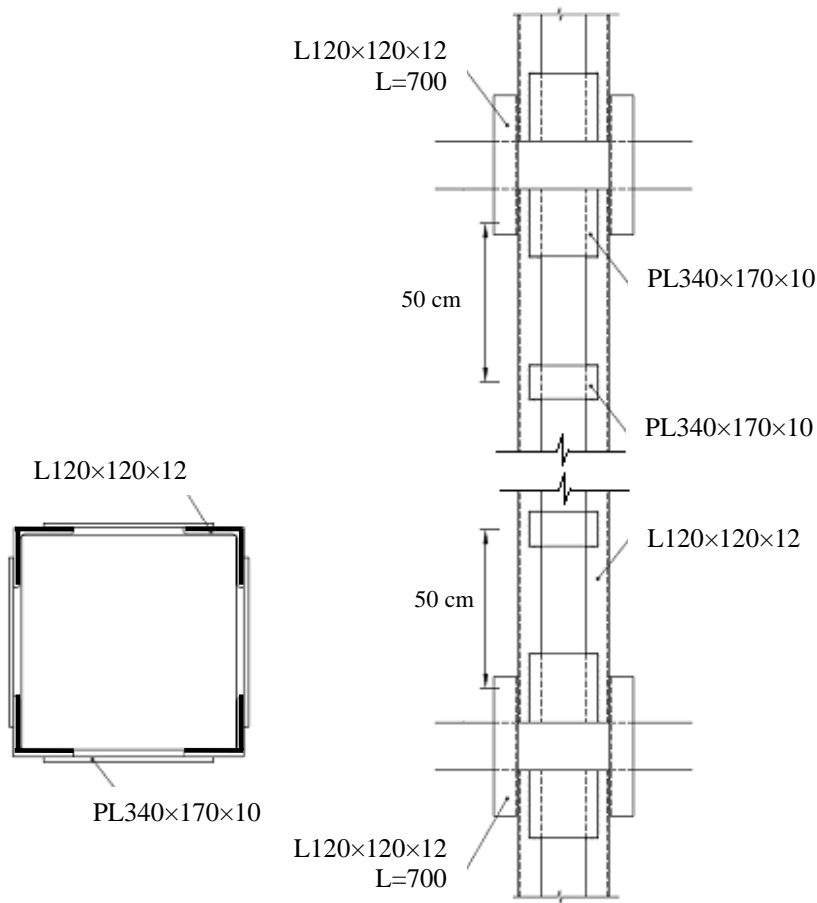
$$A_{steel} = 4 \times A_{L120 \times 120 \times 12} = 4 \times 27.5 = 110 \text{ cm}^2$$

$$I_{steel} = 4 \times I_{L120 \times 120 \times 12} = 4 \times (368 + 27.5 \times (\frac{45}{2} - (3.4 - 1.2))^2)$$

$$I_{steel} = 46.802 \text{ cm}^4$$

$$S_{steel} = \frac{I}{c} = \frac{46802}{\frac{45}{2} + 1.2} = 1975 \text{ cm}^3$$

$$r = \sqrt{\frac{I}{A}} = \sqrt{\frac{46802}{110}} = 20.63 \text{ cm}$$



شکل مثال ۲-۵-۲-الف

**طراحی بست های موازی:**

فاصله بست ها از یکدیگر باید به اندازه ای باشد که ضریب لاغری تک نیمرخ عضو فشاری کمتر از 40 باشد.

$$r_1 = 36.5 \text{ mm}$$

$$\frac{L_1}{r_1} \leq 40 \Rightarrow L_1 \leq 1460 \text{ mm}$$

از آنجا که بست های میانی باید به تعدادی باشند که طول عضو فشاری را حداقل به سه قسمت تقسیم نمایند در نتیجه فاصله بست ها ۵۰ سانتیمتر در نظر گرفته می شود.

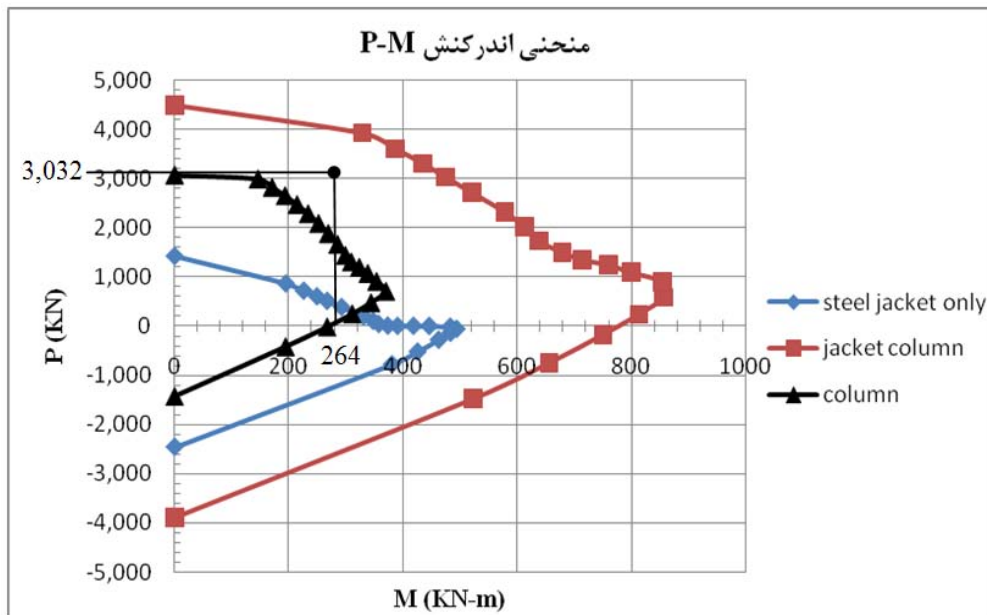
با توجه به هندسه ستون طول ورق ۳۴ و عرض آن ۱۷ سانتیمتر در نظر گرفته می شود.

$$\text{ضخامت ورق های بست} = \frac{34}{40} = 0.85 = \text{ضخامت بست فولادی}$$

کنترل بست های افقی مطابق ضوابط آینه نامه مبحث دهم بر عهده خواننده می باشد.

مطابق محاسبات فوق روکش فولادی ستون به تهایی پاسخگوی نیروی محوری وارد بر آن نیست، ولی پاسخگوی خمس وارد بر ستون می باشد. طبق فرض مسئله نیروی محوری را باید ستون بتنی تحمل نماید و لنگر خمی را روکش فولادی و با توجه به این فرضیات ستون تقویت شده پاسخگوی نیروهای وارد می باشد.

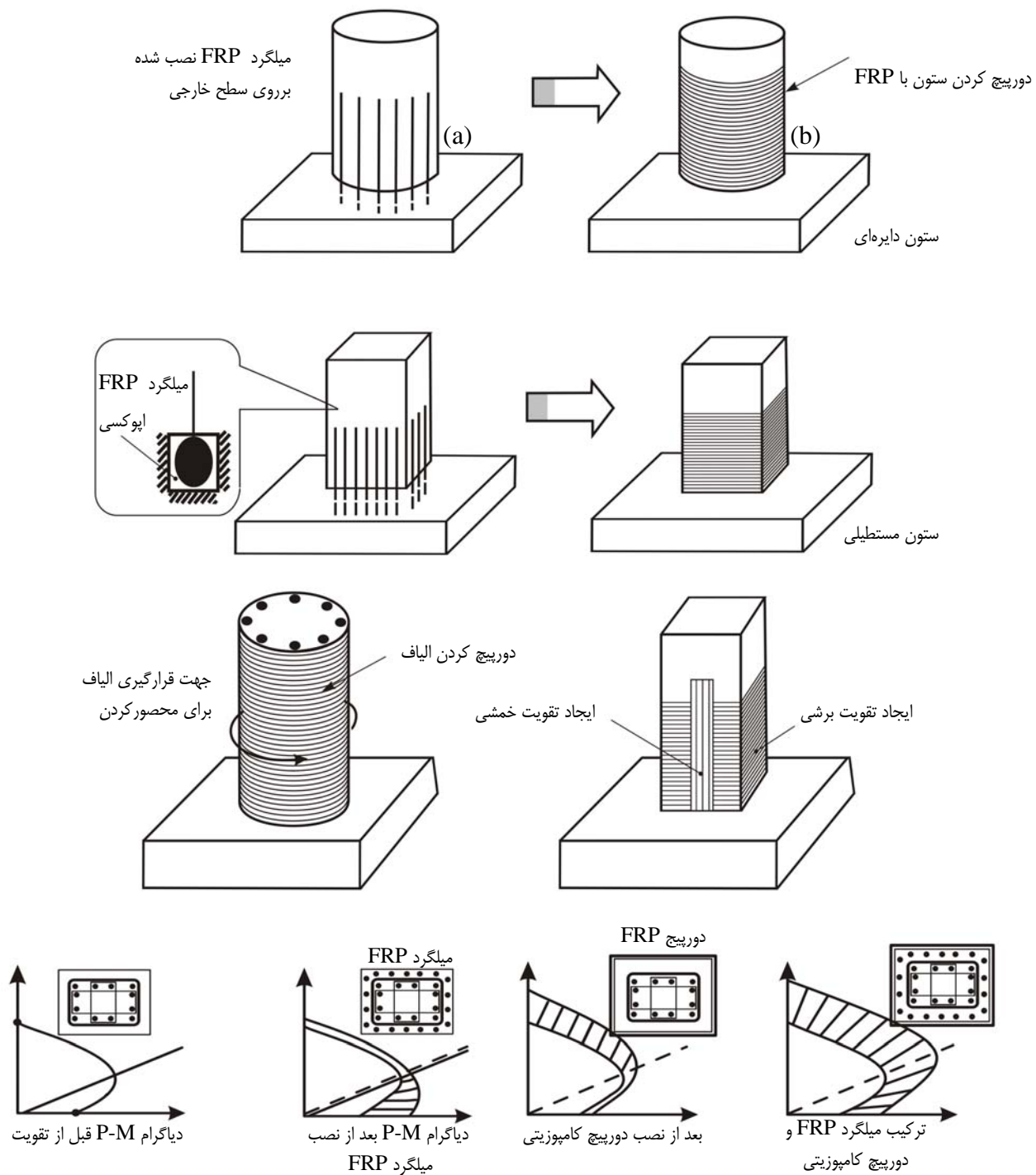
در شکل زیر منحنی اندرکنش P-M ستون، قبل از مقاومسازی، ستون تقویت شده با روکش فولادی و روکش فولادی تنها ترسیم شده است. مطابق آنچه که در منحنی اندرکنش ملاحظه می‌شود، ستون بتنی و روکش فولادی به تنها بارهای پاسخگوی بارهای وارد نمی‌باشند ولی اگر منحنی اندرکنش ستون تقویت شده (ستون با روکش فولادی) را در نظر بگیریم، ستون پاسخگوی بارهای وارد می‌باشد.



شکل مثال ۲-۵-۲-ب

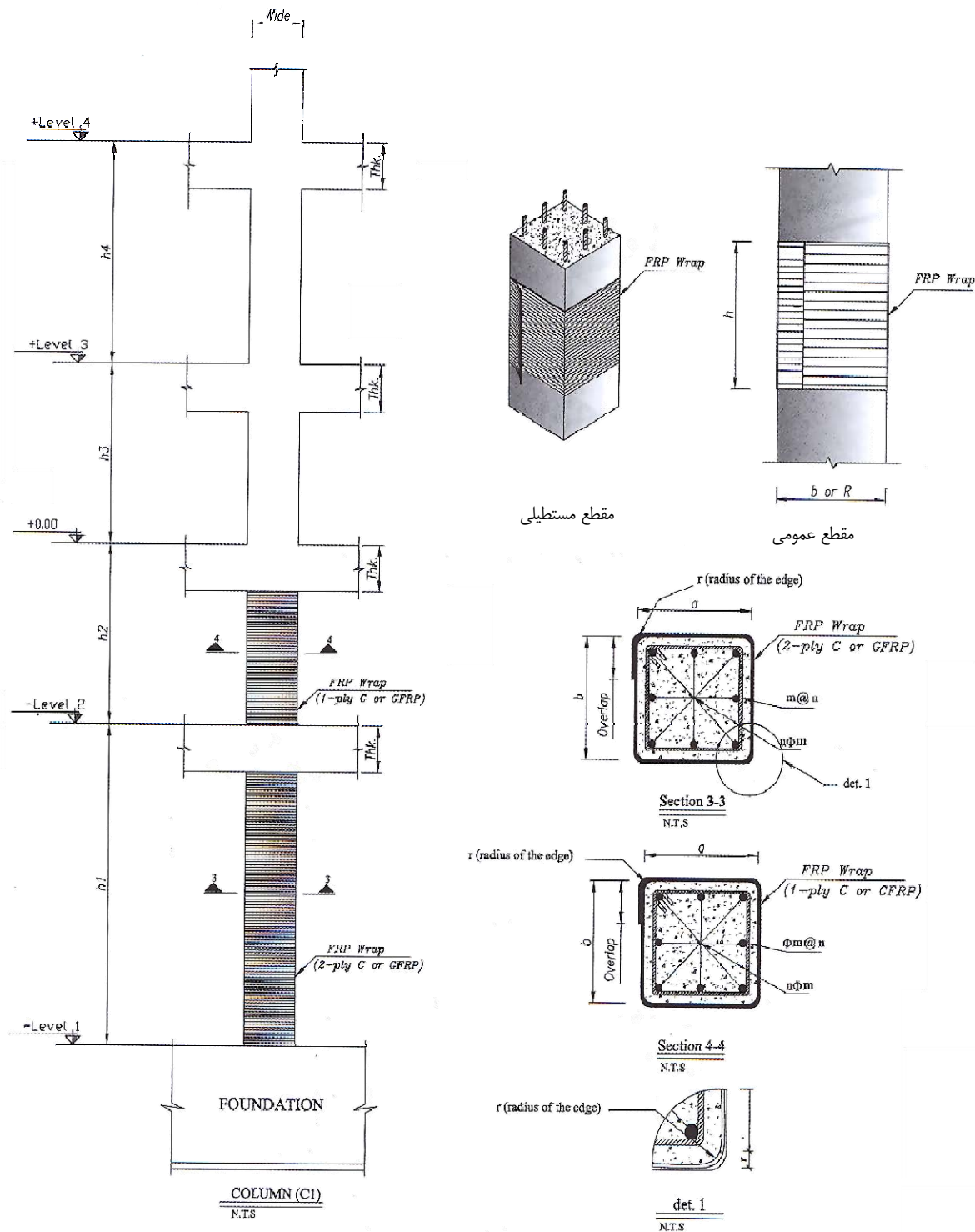
### ۱-۱-۳-۳- استفاده از الیاف مسلح پلاستیکی FRP

مقاومسازی اعضای بتنی با مصالح کامپوزیتی FRP روش نسبتاً جدیدی به شمار می‌رود. مصالح FRP خواص فیزیکی مناسبی دارند که می‌توان به مقاومت کششی بالا و ضخامت و وزن کم آنها اشاره نمود. در ستونهای بتنی استفاده از FRP ضمن افزایش ظرفیت برشی ستون، مُدگسیختگی آن را از حالت برشی به خمشی تغییر داده و شکل پذیری را به میزان قابل توجهی افزایش می‌دهد.



شکل ۲-۱۷-۵- منحنی اندرکنش ستون با مصالح FRP

دوربیچی اعضای فشاری با الیاف FRP، باعث افزایش مقاومت فشاری آنها می‌گردد. این امر همچنین باعث افزایش شکل‌پذیری اعضا تحت ترکیب نیروهای محوری و خمشی می‌شود.



شکل ۱۸-۵-۲ - جزئیات تیپ بهسازی ستون‌های بتنی با مصالح FRP

برای محصور کردن عضو بتنی، لازم است راستای الیاف تا حد امکان عمود بر محور طولی عضو باشد. در این وضعیت، الیاف حلقوی مشابه تنگ‌های بسته یا خاموت‌های مارپیچی فولادی عمل می‌کنند. در محاسبه مقاومت فشاری محوری عضو باید از سهم الیاف موازی با راستای طولی آن صرفنظر گردد.

هنگامی که ستون یا عضو فشاری تحت بارهای لرزه‌ای قرار می‌گیرد، مسئله ظرفیت جذب انرژی و شکل‌پذیری ستون اهمیت می‌یابد. در این ارتباط مقاومسازی یا بهسازی آن عضو با افزایش شکل‌پذیری انجام می‌گیرد، از معایب این روش هزینه بالای آن، رفتار ترد شکن و مقاومت کم آن در برابر آتش‌سوزی می‌باشد.

در ادامه ضوابط طراحی ستون‌های بتنی بهسازی شده با الیاف مسطح پلاستیکی FRP آمده است که در این بخش برای یکسان‌سازی روابط با روابط ارائه شده در مبحث نهم مقررات ملی ساختمان ایران، واحد نیرو و طول، نیوتن و میلیمتر می‌باشد.

### ۲-۱-۳-۱-۵-۱-۳- مقاومسازی ستون‌های گرد کوتاه تحت فشار خالص

ضروری است قبل از تقویت با FRP، از اینکه ستون برای مقدار جدید نیروی فشاری  $N_u$ ، به صورت کوتاه باقی می‌ماند، اطمینان حاصل نمود. در غیر این صورت، روابط ارائه شده در این بخش قابل استفاده نبوده و باید اثر متقابل خمش و نیروی محوری مد نظر قرار گیرد.

#### الف- محصور شدگی

محصورشدنگی از طریق اتصال ورقه‌های FRP که راستای الیاف آنها عمود بر محور ستون می‌باشد، فراهم می‌گردد. مقاومت فشاری بتن محصور شده،  $f_{cc}$ ، از رابطه ۲-۵-۲ بدست می‌آید.

$$f_{cc} = f_c (1 + \alpha_{pc} \omega_w) \quad (2-5-2)$$

که در آن:

$f_{cc}$ : مقاومت فشاری بتن محصور شده بر حسب مگاپاسکال

$f_c$ : مقاومت فشاری مشخصه بتن بر حسب مگاپاسکال

$\omega_w$ : نسبت حجمی مقاومت ورقه‌های FRP به مقاومت بتن

$\alpha_{pc}$ : ضریب عملکرد برای ستون گرد که به سختی و کرنش نهایی FRP، مقاومت بتن، کیفیت اجرا و چسبندگی بتن-رزین- الیاف بستگی دارد. در حال حاضر مقدار  $\alpha_{pc} = 1$  در نظر گرفته می‌شود.

برای محصورشدنگی پیوسته در ارتفاع ستون، نسبت حجمی مقاومت مصالح FRP به مقاومت بتن براساس رابطه ۴-۵-۲ تعریف می‌شود.

$$\omega_w = \frac{2f_{lfsp}}{\phi_c f_c} \quad (4-5-2)$$

که در آن:

$f_{lfsp}$ : فشار محصور شدگی نهایی به سبب مقاومسازی با FRP بر حسب مگاپاسکال

$f_c$ : مقاومت فشاری مشخصه بتن بر حسب مگاپاسکال

$\omega_w$ : نسبت حجمی مقاومت ورقه‌های FRP به مقاومت بتن

$\phi_c$ : ضریب جزیی ایمنی بتن (۰/۶)

فشار محصورشده‌گی نهایی به سبب مقاومسازی مقطع گرد با مصالح FRP،  $f_{frp}$ ، براساس رابطه ۵-۵-۲ بدست می‌آید.

$$f_{frp} = \frac{2N_b \phi_{frp} f_{frpu} t_{frp}}{D_g} \quad (5-5-2)$$

که در آن:

$N_b$ : تعداد لایه‌های تقویتی FRP

$D_g$ : قطر خارجی ستون گرد بر حسب میلیمتر

$f_{frpu}$ : مقاومت کششی نهایی مصالح FRP بر حسب مگاپاسکال

$t_{frp}$ : ضخامت یک لایه تقویت کننده FRP بر حسب میلیمتر

$\phi_{frp}$ : ضریب جزیی ایمنی مصالح FRP

$f_{frp}$ : فشار محصور شده‌گی نهایی به سبب مقاومسازی با FRP بر حسب مگاپاسکال می‌باشد.

ضریب جزیی ایمنی مصالح FRP ( $\phi$ ) از ضرب ۰/۸۵ در مقادیر جدول ۵-۵-۱ بدست می‌آید.

جدول ۵-۱-۵-۱- ضرایب کاهش محیطی برای مصالح FRP

| ضریب کاهش محیطی | نوع الیاف و رزین | شرایط محیطی                              |
|-----------------|------------------|--|
| ۰/۹۵            | کربن-اپوکسی      | شرایط محیطی ملایم                        |
| ۰/۷۵            | شیشه-اپوکسی      |  |
| ۰/۸۵            | آرامید-اپوکسی    |  |
| ۰/۸۵            | کربن-اپوکسی      | شرایط محیطی متوسط و شدید                 |
| ۰/۶۵            | شیشه-اپوکسی      |  |
| ۰/۷۵            | آرامید-اپوکسی    |  |
| ۰/۸۵            | کربن-اپوکسی      | شرایط محیطی بسیار شدید و فوق العاده شدید |
| ۰/۵             | شیشه-اپوکسی      |  |
| ۰/۷             | آرامید-اپوکسی    |  |

### ب- محدودیت‌های محصورشده‌گی

اثربخشی فشار محصورشده‌گی،  $f_{frp}$ ، به سطح شکل‌پذیری مورد انتظار بستگی دارد. حداقل فشار محصورشده‌گی،

توسط پوشش FRP باید ۴ مگاپاسکال باشد. حداقل فشار محصور شده‌گی به منظور محدود کردن کرنش‌های محوری از رابطه ۵-۲-۶ بدست می‌آید.

$$f_{lfsp} \leq \frac{f_c}{2\alpha_{pc}} \left( \frac{1}{k_e} - \phi_c \right) \quad (6-5-2)$$

که در آن:

$\alpha_{pc}$ : ضریب عملکرد برای ستون گرد

$f_c$ : مقاومت فشاری مشخصه بتن بر حسب مگاپاسکال

$\phi_c$ : ضریب جزیی ایمنی بتن (۰/۶)

$f_{lfsp}$ : فشار محصور شدگی نهایی به سبب مقاومت‌سازی با FRP بر حسب مگاپاسکال

$k_e$ : ضریب کاهش مقاومت برای در نظر گرفتن خروج از مرکزیت‌های غیرمنتظره می‌باشد که با توجه به آیین‌نامه بتن ایران «آبا»، مقدار آن برابر ۰/۸ در نظر گرفته می‌شود.

#### پ- مقاومت در برابر بار محوری

بار محوری مقاوم نهایی،  $N_{r_{max}}$ ، برای ستون گرد کوتاه محصور شده از رابطه ۷-۵-۲ بدست می‌آید.

$$N_{r_{max}} = 0.8(0.85\phi_c f_{cc} (A_g - A_{st}) + \phi_s f_y A_{st}) \quad (7-5-2)$$

که در آن:

$N_{r_{max}}$ : بار محوری مقاوم نهایی عضو فشاری بر حسب نیوتون

$f_{cc}$ : مقاومت فشاری بتن محصور شده بر حسب مگاپاسکال

$A_g$ : مساحت کل مقطع ستون بر حسب میلیمترمربع

$A_{st}$ : سطح مقطع آرماتور طولی بر حسب میلیمترمربع

$\phi_c$ : ضریب جزیی ایمنی بتن (۰/۶)

$\phi_s$ : ضریب جزیی ایمنی فولاد (۰/۸۵)

$f_y$ : مقاومت مشخصه فولاد بر حسب مگاپاسکال می‌باشد.

کرنش محوری نهایی در ستون‌های گرد محصور شده به مراتب بزرگتر از ستون‌های محصور نشده است. بنابراین کرنش در آرماتورهای فولادی طولی، ممکن است از کرنش تسلیم آنها بیشتر شود. افزایش مقاومت آرماتورهای فولادی به علت سخت‌شدگی مجدد در رابطه ۷-۵-۲ لحاظ نشده است و تا زمانی که آرماتورهای طولی کمانش نکرده‌اند، حاشیه ایمنی فراهم می‌گردد. این افزایش مقاومت تابعی از کرنش‌های محوری نهایی است.

#### ۶-۵-۲-۳-۱-۱-۲- ستون‌های مستطیلی کوتاه تحت فشار خالص

این بخش در مورد ستون‌های با نسبت ابعاد مقطع کمتر یا مساوی ۱/۵ و حداقل بعد مقطع معادل ۹۰۰ میلیمتر کاربرد دارد.

در صورتی که شعاع انحنای گوشه ستون منجر به کاهش قابل ملاحظه‌ای از پوشش بتن و یا کمبود جزیی یا کلی یک یا چند آرماتور شود، باید مقاومت ستون با توجه به آن، کاهش یابد. به عنوان یک روش جایگزین می‌توان با ایجاد گوشته‌های بتنی مدور در وجوده ستون که به طور مناسبی به آن متصل شده‌اند، مقطع را به حالت دایره نزدیک کرد تا حداقل شعاع انحنای موردنظر حاصل شود.

### الف- محصور شدگی

مقاومت فشاری بتن محصور شده از رابطه ۸-۵-۲ تعیین می‌شود.

$$f_{cc} = f_c (1 + \alpha_{pr} \omega_w) \quad (8-5-2)$$

که در آن:

$f_c$ : مقاومت فشاری مشخصه بتن بر حسب مگاپاسکال

$\omega_w$ : نسبت حجمی مقاومت ورقه‌های FRP به مقاومت بتن

$\alpha_{pr}$ : ضریب عملکرد برای ستون با مقطع مستطیلی که به سختی و کرنش نهایی مصالح FRP، مقاومت بتن، کیفیت اجرا و چسبندگی بتن-رزین-الیاف بستگی دارد. در حال حاضر مقدار  $\alpha_{pr}$  برابر واحد در نظر گرفته می‌شود.

برای محصور شدگی پیوسته در ارتفاع ستون نسبت حجمی مقاومت به صورت رابطه ۹-۵-۲ تعریف می‌شود.

$$\omega_w = \frac{f_{lfp}}{\phi_c f_c} \quad (9-5-2)$$

که در آن:

$f_{lfp}$ : فشار محصور شدگی نهایی به سبب مقاومسازی با FRP بر حسب مگاپاسکال

$f_c$ : مقاومت فشاری مشخصه بتن بر حسب مگاپاسکال

$\phi_c$ : ضریب جزیی ایمنی بتن (۰/۶)

$\omega_w$ : نسبت حجمی مقاومت ورقه‌های FRP به مقاومت بتن می‌باشد.

فشار محصور شدگی به سبب مقاومسازی یک مقطع مستطیلی با مصالح FRP مطابق رابطه ۱۰-۵-۲ محاسبه می‌گردد.

$$f_{lfp} = \frac{2N_b \phi_{frp} E_{frp} \varepsilon_u t_{frp} (b + h)}{bh} \quad (10-5-2)$$

که در آن:

$N_b$ : تعداد لایه‌های تقویتی FRP

$E_{frp}$ : مدول الاستیسیته مصالح FRP بر حسب مگاپاسکال

$b$ : عرض مقطع بر حسب میلیمتر

$h$ : طول کل مقطع بر حسب میلیمتر

$t_{frp}$ : ضخامت یک لایه تقویت کننده FRP بر حسب میلیمتر

$\phi_{frp}$ : ضریب جزیی اینمی مصالح FRP که از ضرب ۸۵٪ در مقادیر جدول ۲-۵-۱ بدست می‌آید

$f_{frp}$ : فشار محصور شدگی نهایی به سبب مقاومسازی با FRP بر حسب مگاپاسکال می‌باشد.

کرنش مصالح FRP برای محصور شدگی غیرپیش تنبیه تا حداقل نسبت ابعاد مقطع  $1/5$ ، برابر  $0.002 \epsilon_{frp}$  در نظر گرفته می‌شود.

اثربخشی فشار محصور شدگی در مقاطع مستطیلی به مراتب کمتر از ستون‌های با مقطع دایره است.

### ب- محدودیت‌های محصور شدگی

افزایش مقاومت به سبب محصور شدگی در ستون‌های مستطیلی نسبت به ستون‌های گرد خیلی کمتر است. در نتیجه محدودیت‌های حداقل و حداقل فشار محصور شدگی برابر ستون‌های مستطیلی وجود ندارد، زیرا فشار محصور شدگی قابل دستیابی که به میزان شکل‌پذیری بستگی دارد در ستون‌های مستطیلی محدود می‌باشد.

### پ- مقاومت در برابر بار محوری

بار محوری مقاوم نهایی ستون مستطیلی محصور شده، توسط رابطه ۷-۵-۲ بدست می‌آید.

### ۲-۳-۱-۱-۵-۳- تقویت برشی برای اعضای فشاری

#### الف- ظرفیت برشی

مقاومت برشی نهایی مقطع،  $V_r$ ، از رابطه ۱۱-۵-۲ بدست می‌آید.

$$V_r = V_c + V_s + V_{frp} \quad (11-5-2)$$

که در آن:

$V_r$ : مقاومت برشی نهایی مقطع بر حسب نیوتن

$V_c$ : مقاومت برشی نهایی تامین شده توسط بتن بر حسب نیوتن

$V_s$ : مقاومت برشی نهایی تامین شده توسط آرماتور برشی بر حسب نیوتن

$V_{frp}$ : مقاومت برشی نهایی تامین شده توسط مصالح FRP بر حسب نیوتن می‌باشد.

حداکثر مقدار  $V_r$  به رابطه ۱۲-۵-۲ محدود می‌شود.

$$V_r \leq V_c + 0.8\phi_c \sqrt{f_c} b_w d \quad (12-5-2)$$

که در آن:

$V_r$ : مقاومت برشی نهایی مقطع بر حسب نیوتن

$V_c$ : مقاومت برشی نهایی تامین شده توسط بتن بر حسب نیوتن

$f_c$ : مقاومت فشاری مشخصه بتن بر حسب مگاپاسکال

$\phi_c$ : ضریب جزیی ایمنی بتن (۰/۶)

$b_w$ : پهنای جان بر حسب میلیمتر

$d$ : فاصله دورترین تار فشاری تا مرکز سطح فولاد کششی بر حسب میلیمتر می‌باشد.

در مورد ستون‌های گرد، عبارت  $b_w d$  با مساحت هسته بتنی ستون که از پشت تا پشت خاموت‌ها  $A_c$  می‌باشد، جایگزین می‌شود.

### ب- محدودیت‌های محصورشدنگی

محدودیت‌های محصورشدنگی در بند ب بخش‌های ۲-۳-۱-۵-۲ و ۱-۳-۱-۵-۲ برای ستون‌های گرد و مستطیلی ذکر شده است. هنگامی که در مقطع، تقویت‌های برشی اضافی مورد نیاز باشد برای کنترل فشار محصورشدنگی لازم است رابطه ۶-۵-۲ مجددًا کنترل شود چرا که با فرض  $\varepsilon_{frp} = 0.002$ ، تقویت‌های برشی اضافی مورد نیاز مطابق بند ب بخش ۲-۳-۱-۵-۲ ممکن است باعث افزایش فشار محصورشدنگی شود. این کنترل مجدد برای ستون‌های مستطیلی موضوعیت ندارد.

### پ- محاسبه مقاومت برشی برای ستون‌های با مقطع دایره

سهم بتن از مقاومت برشی نهایی،  $V_c$ ، از آینن‌نامه بتن ایران (آب) محاسبه می‌شود.

سهم فولاد از مقاومت برشی نهایی،  $V_s$ ، با فرض زاویه ترک برشی،  $\theta$ ، معادل ۳۵ درجه از رابطه ۱۳-۵-۲ تعیین می‌شود.

$$V_s = \frac{\pi}{4} \frac{\phi_s f_y A_h D_c}{S} \quad (13-5-2)$$

که در آن:

$A_h$ : سطح مقطع آرماتور برشی ستون بر حسب میلیمتر مربع

$S$ : فاصله خاموت‌های افقی یا مارپیچ‌ها بر حسب میلیمتر

$D_c$ : قطر هسته بتن در جهت بارگذاری مرکز به مرکز خاموت‌های فولادی محیطی افقی بر حسب میلیمتر

$V_s$ : مقاومت برشی نهایی تامین شده توسط آرماتور برشی بر حسب نیوتن

$\phi_s$ : ضریب جزیی ایمنی فولاد (۰/۸۵)

$f_y$ : مقاومت مشخصه فولاد بر حسب مگاپاسکال می‌باشد.

سهم پوشش FRP با ضخامت کل  $N_b t_{frp}$  از مقاومت برشی نهایی،  $V_{frp}$ ، از رابطه ۱۴-۵-۲ تعیین می‌شود.

$$V_{frp} = \frac{\pi}{4} \phi_{frp} f_{frp} N_b t_{frp} D_g \quad (14-5-2)$$

که در آن:

$N_b$ : تعداد لایه‌های تقویتی FRP

$D_g$ : قطر خارجی ستون گرد بر حسب میلیمتر

$t_{frp}$ : ضخامت یک لایه تقویت کننده FRP بر حسب میلیمتر

$\phi_{frp}$ : ضریب جزیی اینمی مصالح FRP که از ضرب ۸۵/۰ در مقادیر جدول ۲-۵-۲ بدست می‌آید.

$f_{frp}$ : تنش کششی مصالح FRP بر حسب مگاپاسکال می‌باشد.

تنش کششی در پوشش FRP به مقدار بدست آمده از رابطه ۲-۵-۵ محدود می‌گردد.

$$f_{frp} = 0.004E_{frp} \leq \phi_{frp} f_{frpu} \quad (15-5-2)$$

که در آن:

$\phi_{frp}$ : ضریب جزیی اینمی مصالح FRP که از ضرب ۸۵/۰ در مقادیر جدول ۲-۵-۲ بدست می‌آید،

$E_{frp}$ : مدول الاستیسیته مصالح FRP بر حسب مگاپاسکال

$f_{frpu}$ : مقاومت کششی نهایی مصالح FRP بر حسب مگاپاسکال

$f_{frp}$ : تنش کششی مصالح FRP بر حسب مگاپاسکال می‌باشد.

در رابطه فوق، کرنش موثر،  $\varepsilon_{frpu}$ ، در پوشش FRP برابر ۰/۰۰۴ در نظر گرفته شده است.

ضخامت مورد نیاز پوشش FRP برای تقویت برشی از رابطه ۲-۵-۲-۱۶ بدست می‌آید.

$$N_b t_{frp} \geq \frac{1000(V_r - V_c - V_s)}{\pi \phi_{frp} E_{frp} D_g} \quad (16-5-2)$$

که در آن:

$N_b$ : تعداد لایه‌های تقویتی FRP

$V_c$ : مقاومت برشی نهایی تامین شده توسط بتن بر حسب نیوتن

$V_r$ : مقاومت برشی نهایی مقطع بر حسب نیوتن

$V_s$ : مقاومت برشی نهایی تامین شده توسط آرماتور برشی بر حسب نیوتن

$D_g$ : قطر خارجی ستون گرد بر حسب میلیمتر

$t_{frp}$ : ضخامت یک لایه تقویت کننده FRP بر حسب میلیمتر

$E_{frp}$ : مدول الاستیسیته مصالح FRP بر حسب مگاپاسکال

$\phi_{frp}$ : ضریب جزیی اینمی مصالح FRP که از ضرب ۸۵/۰ در مقادیر جدول ۲-۵-۲ بدست می‌آید.

### ت- محاسبه مقاومت برشی برای ستون‌های با مقطع مستطیلی

سهم بتن از مقاومت برشی نهایی  $V_c$  و سهم فولادهای افقی از مقاومت برش نهایی  $V_s$  مطابق آیینه نامه بتن ایران «آب» تعیین می‌شود.

سهم پوشش FRP با ضخامت کل  $N_b t_{frp}$  از مقاومت برشی نهایی،  $V_{frp}$ ، از رابطه ۲-۵-۱۷ تعیین می‌شود.

$$V_{frp} = \phi_{frp} f_{frp} N_b t_{frp} d \quad (17-5-2)$$

که در آن:

$\phi$ : ضریب جزیی ایمنی مصالح FRP که از ضرب ۰/۸۵ در مقادیر جدول ۲-۵-۱ بدست می‌آید،

$f_{frp}$ : تنش کششی مصالح FRP بر حسب مگاپاسکال

$N_b$ : تعداد لایه‌های تقویتی FRP

$t_{frp}$ : ضخامت یک لایه تقویت کننده FRP بر حسب میلیمتر

$d$ : فاصله دورترین تار فشاری تا مرکز سطح فولاد کششی بر حسب میلیمتر

$V_{frp}$ : مقاومت برشی نهایی تامین شده توسط مصالح FRP بر حسب نیوتون می‌باشد.

تنش کششی در پوشش FRP به مقدار زیر محدود می‌گردد.

$$f_{frp} = 0.002 E_{frp} \leq \phi_{frp} f_{frpu} \quad (18-5-2)$$

که در آن:

$\phi$ : ضریب جزیی ایمنی مصالح FRP که از ضرب ۰/۸۵ در مقادیر جدول ۲-۵-۱ بدست می‌آید،

$E_{frp}$ : مدول الاستیسیته مصالح FRP بر حسب مگاپاسکال

$f_{frpu}$ : مقاومت کششی نهایی مصالح FRP بر حسب مگاپاسکال

$f_{frp}$ : تنش کششی مصالح FRP بر حسب مگاپاسکال می‌باشد.

برای یک مقطع مستطیلی (هنگامی که نسبت ابعاد مقطع بین ۱/۱ تا ۱/۵ باشد) کرنش موثر در پوشش FRP،  $\mathcal{E}_{frpu}$ ، برابر ۰/۰۰۲ بکار برده می‌شود. ضخامت مورد نیاز پوشش FRP برای تقویت‌های برشی از رابطه ۲-۵-۱۹ بدست می‌آید.

$$N_b t_{frp} \geq \frac{500(V_r - V_c - V_s)}{\phi_{frp} E_{frp} d} \quad (19-5-2)$$

که در آن:

$d$ : فاصله دورترین تار فشاری تا مرکز سطح فولاد کششی بر حسب میلیمتر

$N_b$ : تعداد لایه‌های تقویتی FRP

$V_c$ : مقاومت برشی نهایی تامین شده توسط بتن بر حسب نیوتون

$V_r$ : مقاومت برشی نهایی مقطع بر حسب نیوتن

$V_s$ : مقاومت برشی نهایی تامین شده توسط آرماتور برشی بر حسب نیوتن

$t_{frp}$ : ضخامت یک لایه تقویت کننده FRP بر حسب میلیمتر

$E_{frp}$ : مدول الاستیسیته مصالح FRP بر حسب مگاپاسکال

$\phi_{frp}$ : ضریب جزیی ایمنی مصالح FRP که از ضرب ۰/۸۵ در مقادیر جدول ۲-۵-۱ بدست می‌آید.

#### ۲-۵-۱-۳-۴- محدودیت‌های مقاوم سازی برای ظرفیت بار محوری

با توجه به اینکه اثر محصور شدنگی تحت بارهای محوری تا زمانی که کرنش‌های شعاعی به اندازه کافی بزرگ نباشند فعال نمی‌شود، باید از عدم وقوع گسیختگی زود رس به سبب خروش یا خستگی مطابق بندهای زیر اطمینان حاصل نمود.

##### الف- خروش

بار مرده،  $N_D$ ، شامل وزن اعضاي سازه‌اي و غيرسازه‌اي ثابت، نباید از رابطه ۲-۵-۲ بيشتر شود.

$$N_D \leq 0.85[0.68\phi_c f_c (A_g - A_{st}) + f_s A_{st}] \quad (20-5-2)$$

که در آن:

$N_D$ : بار مرده عضو فشاری بر حسب نیوتن

$f_{cc}$ : مقاومت فشاری بتن محصور شده بر حسب مگاپاسکال

$A_g$ : مساحت کل مقطع ستون بر حسب میلیمتر مربع

$A_{st}$ : سطح مقطع آرماتور طولی بر حسب میلیمتر مربع

$\phi_c$ : ضریب جزیی ایمنی بتن (۰/۶)

$\phi_s$ : ضریب جزیی ایمنی فولاد (۰/۸۵)

$f_y$ : مقاومت مشخصه فولاد بر حسب مگاپاسکال می‌باشد.

تنش در آرماتورهای طولی،  $f_s$ ، به کمترین مقدار دو عبارت زیر محدود می‌گردد:

$$f_s \leq 0.0015E_s \quad (21-5-2)$$

$$f_s \leq 0.8f_y \quad (22-5-2)$$

اگر ستون با فولادهایی با کرنش تسليیم کمتر از ۰/۰۰۱۹ مسلح شود، رابطه ۲-۵-۲ در طراحی ملاک خواهد بود.

### ب- خستگی

برای ستون مخصوص شده با مصالح FRP، به منظور کنترل تنش بتن در محدوده‌های تحمل خستگی، رعایت محدودیت‌های روابط ۲-۵-۲۳ الزامی است.

$$\begin{aligned} 0 \leq \frac{N_D}{f_c A_g} \leq 0.5 & \rightarrow N_L \leq 0.4 f_c A_g - 0.28 N_D \\ 0.5 \leq \frac{N_D}{f_c A_g} \leq 0.75 & \rightarrow N_L \leq 0.46 f_c A_g - 0.4 N_D \\ 0.75 \leq \frac{N_D}{f_c A_g} \leq 1 & \rightarrow N_L \leq 0.64 f_c A_g - 0.64 N_D \end{aligned} \quad (23-5-2)$$

که در آن:

$A_g$ : مساحت کل مقطع ستون بر حسب میلیمترمربع

$N_D$ : بار مرده عضو فشاری بر حسب نیوتون

$f_c$ : مقاومت فشاری مشخصه بتن بر حسب مگاپاسکال

$N_L$ : بار زنده عضو فشاری بر حسب نیوتون می‌باشد.

### مثال ۳-۵-۲

ستون بتن مسلحی با مشخصات زیر مفروض است، مطلوبست محاسبه ظرفیت برشی جدید ستون مقاومسازی شده با مصالح FRP

#### ابعاد هندسی ستون

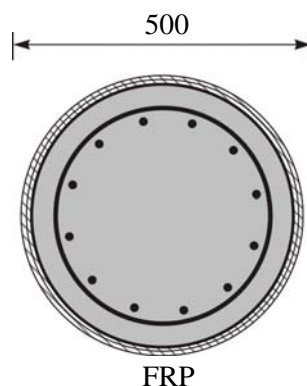
$$\ell_u = 3000 \text{ mm}$$

$$D_g = 500 \text{ mm}$$

$$A_g = 196350 \text{ mm}^2$$

$$D_c = 395 \text{ mm}$$

$$A_c = 122540 \text{ mm}^2$$



#### فولاد:

$$f_y = 400 \text{ MPa}$$

$$A_{st} = 2500 \text{ mm}^2$$

$$A_h = \Phi 16 @ 200 \text{ mm}$$

بتن:

$$f_c = 25 MPa$$

بارگذاری:

$$N_D = 1500 KN$$

$$N_L = 1550 KN$$

$$N_U = 1.25N_D + 1.5N_L = 4200 KN$$

:FRP

$$f_{frpu} = 2400 MPa$$

$$t_{frp} = 0.36 mm$$

الیاف GFRP (شیشه-اپوکسی) و شرایط محیطی ملائم و تعداد لایه‌های تقویت FRP برابر ۲ می‌باشد.

$$\phi_{frp} = 0.85 \times 0.75 = 0.64$$

$$E_{frp} = 70 GPa$$

$$N_b = 2$$

| مراحل                       | محاسبات  |
|-----------------------------|--|
| ۱-محاسبه مقاومت برشی مصالح  | $V_c = 0.2\phi_c \sqrt{f_c} A_c$ $V_c = 0.2 \times 0.6 \times \sqrt{25} \times 122540 = 73.5 KN$ $V_s = \frac{\pi}{4} \frac{\varphi_s f_y A_h D_c}{S}$ $V_s = \frac{\pi}{4} \cdot \frac{0.85 \times 400 \times 2 \times 200 \times 395}{200} = 211 KN$ $V_{frp} = \frac{\pi}{4} \phi_{frp} f_{frp} N_b t_{frp} D_g$ $V_{frp} = \frac{\pi}{4} \times 0.64 \times (0.004 \times 70000) \times 2 \times 0.36 \times 500 = 50.6 KN$ $f_{frp} = 0.004 E_{frp} \leq \phi_{frp} f_{frpu} \Rightarrow 0.004 \times 70 \times 10^9 \leq 0.64 \times 2400 \times 10^6 O.K$ |
| ۲-محاسبه مقاومت برشی        | $V_r = V_c + V_s + V_{frp}$ $V_r = 73.5 + 211 + 50.6 = 335.1 KN$   |
| ۳-کنترل ظرفیت<br>برشی حداقل | $V_r \leq V_c + 0.8\phi_c \sqrt{f_c} \cdot A_c$ $V_r \leq 73.5 \times 10^3 + 0.8 \times 0.6 \times \sqrt{25} \times 122540 = 367.6 KN$   |

نتیجه: ظرفیت برشی از 335.1 به 284.5 افزایش یافته است که حدود 18% افزایش را نشان می‌دهد.

**مثال ۴-۵-۲**

ستون بتن مسلحی با مشخصات زیر مفروض است در صورت تقویت برشی ستون با الیاف FRP مطلوبست محاسبه ظرفیت جدید ستون.

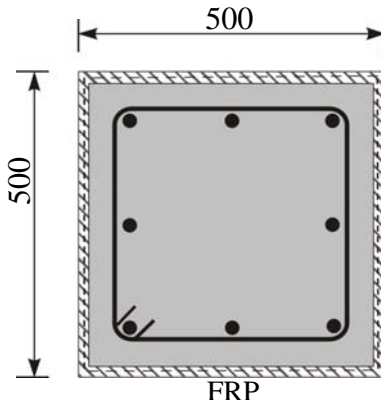
**مشخصات ابعاد هندسی:**

$$\ell_u = 3000 \text{ mm}$$

$$b = 500 \text{ mm}$$

$$h = 500 \text{ mm}$$

$$A_g = 250000 \text{ mm}^2$$

**فولاد:**

$$f_y = 400 \text{ MPa}$$

$$A_{st} = 2500 \text{ mm}^2$$

$$d = 450 \text{ mm}$$

$$A_h = \Phi 16 @ 200 \text{ mm}$$

**بتن:**

$$f_c = 25 \text{ MPa}$$

**بارگذاری:**

$$V_u = 500 \text{ KN}$$

**:FRP**

الیاف شیشه GFRP (شیشه-اپوکسی) و شرایط محیطی ملایم

$$f_{frpu} = 2400 \text{ MPa}$$

$$t_{frp} = 0.36 \text{ mm}$$

$$E_{frpu} = 70 \text{ GPa}$$

$$\phi_{frp} = 0.85 \times 0.75 = 0.64$$

| محاسبات   | مراحل                           |
|---|---------------------------------|
| $V_c = 0.2\phi_c \sqrt{f_c} b_w d$ $V_c = 0.2 \times 0.6 \times \sqrt{25} \times 500 \times 450 = 135 \text{ KN}$ $V_s = \frac{\phi_s f_y A_v d}{S}$ $V_s = \frac{0.85 \times 400 \times 2 \times 200 \times 450}{200} = 306 \text{ KN}$ $V_c + V_s = 441 \text{ KN}$ | ۱ - محاسبه مقاومت برشی<br>مصالح |

|  |                                    |
|--|------------------------------------|
| $N_b \geq \frac{500(V_u - V_c - V_s)}{\phi_{frp} E_{frp} t_{frp} d}$ $N_b = \frac{500(500 - 135 - 306) * 10^3}{0.64 * 70000 * 0.36 * 450} = 4.06$ <p style="text-align: right;">از ۴ لایه استفاده می‌گردد.</p> | ۲ - محاسبه تعداد<br>لایه مورد نیاز |
| $V_{frp} = \phi_{frp} f_{frp} N_b t_{frp} d$ $V_{frp} = 0.64 * (0.002 * 70000) * 4 * 0.36 * 450 = 58.1 KN$ $V_r = V_c + V_s + V_{frp}$ $V_r = 135 + 306 + 58.1 = 499.1 KN$                                     | ۳ - محاسبه $V_{frp}$ و $V_r$       |
| $V_r \leq V_c + 0.8\phi_c \sqrt{f_c} b_w d$ $V_r \leq 135 * 10^3 + 0.8 * 0.6 * \sqrt{25} * 500 * 450$ $V_r \leq 675 KN \quad O.K.$   | ۴ - کنترل ظرفیت<br>برشی ماکزیمم    |
| نتیجه: ظرفیت برشی از 441 KN به 499 KN افزایش می‌یابد که 13.2% افزایش را نشان می‌دهد  |                                    |

## ۵-۵-۲ مثال

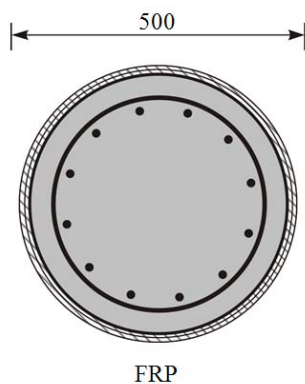
مطلوبست تقویت فشاری ستون بتن مسلح دایره‌ای شکل با مشخصات زیر با الیاف FRP

**مشخصات ابعاد هندسی:**

$$\ell_u = 3000 mm,$$

$$D_g = 500 mm,$$

$$A_g = 196350 mm^2.$$



**فولاد:**

$$f_y = 400 MPa$$

$$A_{st} = 2500 mm^2$$

**بتن:**

$$f_c = 25 MPa$$

**بارگذاری:**

$$N_D = 1500 KN, N_L = 1550 KN$$

$$N_U = 1.25N_D + 1.5N_L = 4200 KN$$

$$N_{r\max} = 0.8[0.85\varphi_c f_c (A_g - A_{st}) + \varphi_s f_y A_{st}]$$

$$N_{r\max} = 2657 \text{ KN} < 4200 \text{ KN}$$

پس تقویت ستون برای افزایش مقاومت محوری لازم است.

:FRP

الیاف GFRP (شیشه-اپوکسی) و شرایط محیطی مالایم

$$f_{frpu} = 2400 \text{ MPa},$$

$$t_{frp} = 0.36 \text{ mm},$$

$$\phi_{frp} = 0.85 \times 0.75 = 0.64$$

$$E_{frp} = 70 \text{ GPa}$$

| مراحل   | محاسبات   |
|---|---|
| ۱ - بررسی لاغری ستون  | $\frac{\ell_u}{D_g} \leq \frac{6.25}{\sqrt{N_u / f_c A_g}}$ $\frac{3000}{500} = 6 < \frac{6.25}{\sqrt{4200 \times 10^3 / (25 \times 196350)}} = 6.75 \text{ O.K}$   |
| ۲ - محاسبه مقاومت مورد نیاز برای بار وارد در بتون محصور شده | $f_{cc} = \frac{\left( \frac{N_u}{0.8} - \phi_s f_y A_{st} \right)}{0.85\varphi_c (A_g - A_{st})}$ $f_{cc} = \frac{\left( \frac{4200 \times 10^3}{0.8} - 0.85 \times 400 \times 2500 \right)}{0.85 \times 0.6 (196350 - 2500)} = 44.5 \text{ MPa}$  |
| ۳ - محاسبه نسبی حجمی مقاومت                                 | $\omega_w = \frac{\left( \frac{f_{cc}}{f_c} - 1 \right)}{\alpha_{pc}} = \frac{\left( \frac{44.5}{25} - 1 \right)}{1} = 0.78$  |
| ۴ - محاسبه فشار محصور شدگی مورد نیاز                        | $f_{lfp} = \frac{\omega_w \phi_c f_c}{2}$ $f_{lfp} \leq \frac{f_c}{2\alpha_{pc}} \left( \frac{1}{k_e} - \phi_c \right)$ $f_{lfp} = \frac{0.78 \times 0.6 \times 25}{2} = 5.85 \text{ MPa}$ $f_{lfp} \geq 4 \text{ MPa} \quad o.k.$ $f_{lfp} \leq \frac{25}{2 \times 1} \left( \frac{1}{0.8} - 0.6 \right) = 8.125 \text{ ok}$ |

|  |  |
|--|--|
| $N_b = \frac{f_{lfip} D_g}{2\phi_{frp} f_{frpu} t_{frp}}$ $N_b = \frac{5.85 \times 500}{2 \times 0.64 \times 2400 \times 0.36} = 2.6$ <p>از ۳ لایه FRP استفاده می‌گردد.</p>  | ۵ - محاسبه تعداد لایه مورد نیاز FRP                    |
| $f_{lfip} = \frac{2N_b \phi_{frp} f_{frpu} t_{frp}}{D_g}$ $f_{lfip} = \frac{2 \times 3 \times 0.64 \times 2400 \times 0.36}{500} = 6.63 MPa$ $4 \leq f_{lfip} \leq 8.125$ $\omega_w = \frac{2f_{lfip}}{\phi_c f_c}$ $\omega_w = \frac{2 \times 6.63}{0.6 \times 25} = 0.88$ $f_{cc} = f_c (1 + \alpha_{pc} \omega_w)$ $f_{cc} = 25 (1 + 0.88) = 47 MPa$ $N_{r\max} = 0.8 [0.85 \phi_c f_{cc} (A_g - A_{st}) + \phi_s f_y A_{st}]$ $N_{r\max} = 0.8 [0.85 \times 0.6 \times 47 \times (196350 - 2500) + 0.85 \times 400 \times 2500]$ $N_{r\max} = 4400 KN$ | ۶ - محاسبه مقاومت فشاری ضریب‌دار ستون محصور شده با FRP |

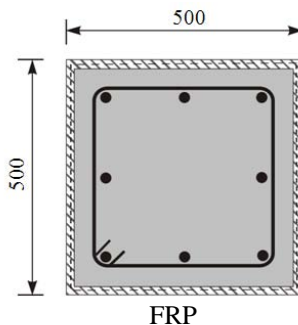
## مثال ۲-۵

مطلوبست تقویت فشاری ستون بتن مسلح با مقطع مربع و مشخصات زیر با الیاف FRP

### مشخصات مقطع:

$$\ell_u = 3000 mm, b = 500 mm, h = 500 mm$$

$$A_g = 250000 mm^2$$



### فولاد:

$$f_y = 400 MPa$$

$$A_{st} = 2500 mm^2$$

بتن:

$$f_c = 30 \text{ MPa}$$

بارگذاری:

$$N_D = 1300 \text{ KN}$$

$$N_L = 1450 \text{ KN}$$

$$N_U = 1.25N_D + 1.5N_L = 3800 \text{ KN}$$

$$N_{r\max} = 0.8[0.85\varphi_c f_c(A_g - A_{st}) + \varphi_s f_y A_{st}]$$

$$N_{r\max} = 3530 \text{ KN} < 3800 \text{ KN}$$

پس تقویت ستون برای افزایش مقاومت محوری لازم است.

### FRP

الیاف GFRP (شیشه-اپکسی) و شرایط محیطی ملایم

$$f_{frpu} = 2400 \text{ MPa}, t_{frp} = 0.36 \text{ mm},$$

$$\phi_{frp} = 0.85 \times 0.75 = 0.64,$$

$$E_{frpu} = 70 \text{ GPa}$$

| مراحل   | محاسبات  |
|---|--|
| ۱ - بررسی لاغری ستون  | $\frac{\ell_u}{h} \leq \frac{7.5}{\sqrt{N_u / f_c A_g}}$ $\frac{3000}{500} = 6 < \frac{7.5}{\sqrt{4200 \times 10^3 / (25 \times 196350)}} = 10.5 \text{ O.K}$  |
| ۲ - محاسبه مقاومت مورد نیاز برای بار واردہ در بتن محصور شده | $f_{cc} = \frac{\left( \frac{N_u}{0.8} - \phi_s f_y A_{st} \right)}{0.85\varphi_c (A_g - A_{st})}$ $f_{cc} = \frac{\left( \frac{3800 \times 10^3}{0.8} - 0.85 \times 400 \times 2500 \right)}{0.85 \times 0.6 (250000 - 2500)} = 30.9 \text{ MPa}$ |
| ۳ - محاسبه نسبت حجمی مقاومت                                 | $\omega_w = \frac{\left( \frac{f_{cc}}{f_c} - 1 \right)}{\alpha_{pc}} = \frac{\left( \frac{30.9}{30} - 1 \right)}{1} = 0.03$   |
| ۴ - محاسبه فشار محصور شدگی مورد نیاز                        | $f_{frp} = \omega_w \phi_c f_c$ $f_{frp} = 0.03 \times 0.6 \times 30 = 0.54 \text{ MPa}$   |

|   |  |
|---|--|
| $N_b = \frac{f_{lfp}bh}{2\phi_{lfp}f_{frpu}\varepsilon_{frp}t_{frp}(b+h)}$ $N_b = \frac{0.54 \times 500 \times 500}{2 \times 0.64 \times 70 \times 10^3 \times 0.002 \times 0.36(500+500)} = 2.1$ <p>از ۳ لایه استفاده می‌کنیم.</p>   | ۵ - محاسبه تعداد لایه<br>مورد نیاز FRP                       |
| $f_{lfp} = \frac{2N_b \phi_{lfp} E_{frp} \varepsilon_{frpu} t_{frp} (b+h)}{bh}$ $f_{lfp} = \frac{2 \times 3 \times 0.64 \times 70000 \times 0.002 \times 0.36 \times (500+500)}{500 \times 500} = 7.774 MPa$ $\omega_w = \frac{f_{lfp}}{\phi_c f_c}$ $\omega_w = \frac{0.774}{0.6 \times 30} = 0.043$ $f_{cc} = f_c (1 + \alpha_{pc} \omega_w)$ $f_{cc} = 30 (1 + 0.043) = 31.3 MPa$ $N_{r\max} = 0.8 [ 0.85 \phi_c f_{cc} (A_g - A_{st}) + \phi_s f_y A_{st} ]$ $N_{r\max} = 3.84 \times 10^6 N = 3840 KN$ | ۶ - محاسبه مقاومت<br>فشاری ضربی‌دار ستون<br>محصور شده با FRP |

## ۲-۵-۲- بهسازی ستون‌های فولادی

عمده خرابی موجود در ستون‌های فولادی شامل کمانش موضعی و کلی و گسینختگی در محل درزها و وصله‌ها می‌باشد. در شکل (۲-۵-۱۹) نمونه‌هایی از خرابی ستون‌های فولادی نشان داده شده است.

دلایل اصلی این خرابی‌ها عبارتند از:

- ۱ سطح مقطع کم ستون
- ۲ لاغری بیشتر از حدود مجاز
- ۳ عدم فشردگی مقطع
- ۴ ضعف در جوش‌ها
- ۵ عدم رعایت اصل تیر ضعیف و ستون قوی
- ۶ زنگ زدگی و خوردگی ستون
- ۷ ایجاد ناحیه متأثر از حرارت بر اثر جوشکاری زیاد
- ۸ خستگی
- ۹ آتش‌سوزی

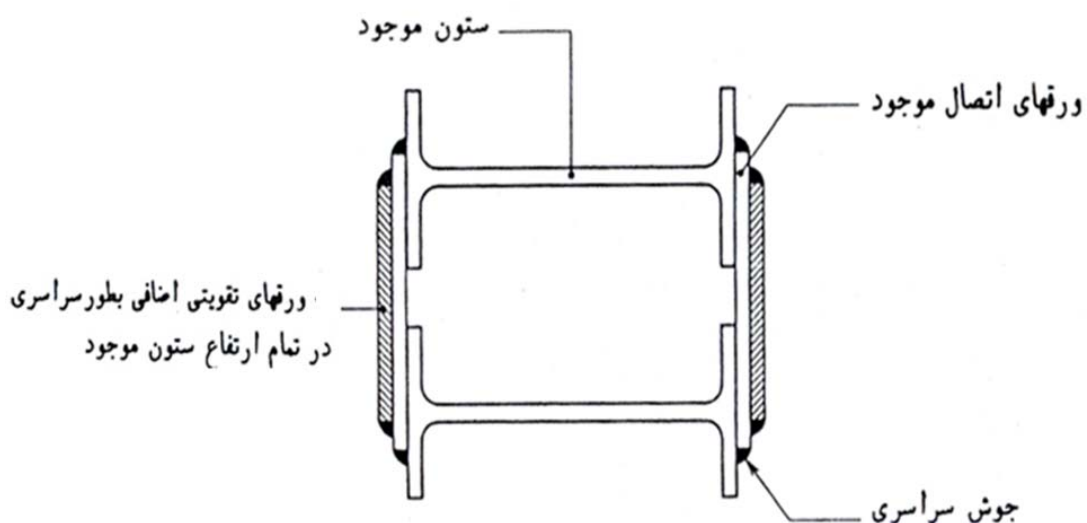
در ادامه به راهکارهای متداول برای بهسازی ستونهای فلزی اشاره شده است.

### ۲-۵-۲-۱- اضافه نمودن ورق‌های پوششی به بال ستون

از جمله راه‌های افزایش ظرفیت خمشی و محوری ستون، اضافه نمودن ورق‌های پوششی به بال ستون می‌باشد. این روش در شکل ۲-۵-۲۰ نشان داده شده است. در این روش با افزایش ضخامت بال از کمانش موضعی بال ستون نیز جلوگیری می‌گردد.



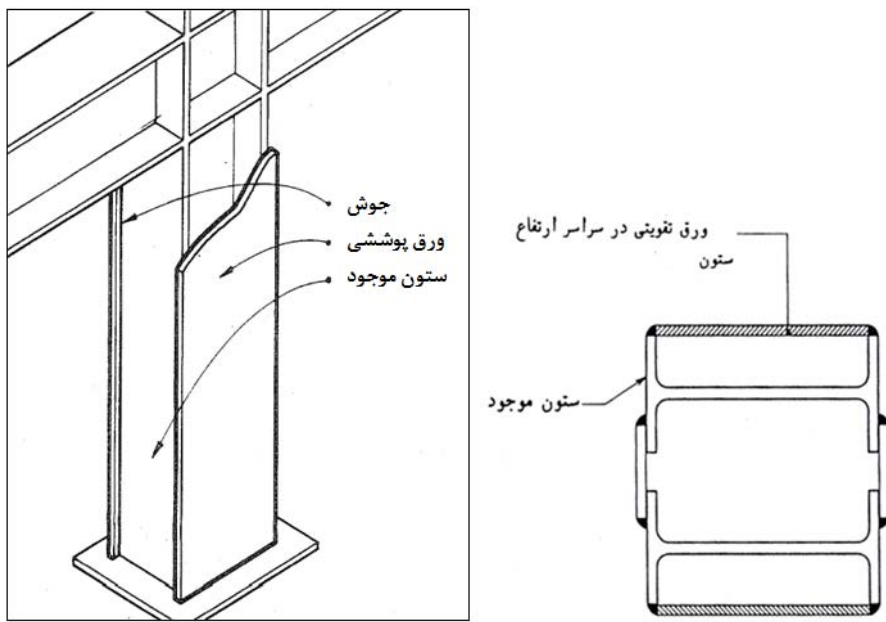
شکل ۲-۵-۱۹- نمونه‌ای از خرابی ستون‌های فولادی



شکل ۲-۵-۲۰- اضافه نمودن ورق‌های پوششی به بال ستون

### ۲-۵-۲- اضافه کردن ورق‌های موازی با جان ستون و تبدیل مقطع به شکل جعبه‌ای

اضافه نمودن ورق‌های موازی با جان ستون و تبدیل آن به مقطع جعبه‌ای منجر به افزایش مقاومت خمشی و محوری ستون می‌شود. این روش در شکل ۲-۵-۲ نشان داده شده است. اضافه نمودن ورق‌های موازی با جان ستون، افزایش ممان اینرسی در امتداد موازی با جان را در پی دارد.



شکل ۲-۵-۲- اضافه نمودن ورق‌های پوششی موازی با جان ستون

### ۷-۵-۲ مثال

ستونی با سطح مقطع ۶۵ سانتیمتر مربع و تنش فشاری مجاز ۱۲۶۰ کیلوگرم بر سانتیمتر مفروض است. این ستون تحت نیروهای محوری ناشی از بار مرده و زنده به ترتیب زیر قرار دارد:

$$P_d = 45\text{ton}$$

$$P_l = 36\text{ton}$$

بنا به علی نیروی محوری ناشی از بار زنده مقدار ۱۰ تن افزایش می‌یابد. مطلوب است تعیین سطح مقطع تقویتی لازم:

۱ - ابتدا وضعیت ستون موجود کنترل می‌شود:

$$f_{ad} = \frac{45 \times 10^3}{65} = 692 \text{kg/cm}^2$$

$$f_{al} = \frac{36 \times 10^3}{65} = 554 \text{kg/cm}^2$$

$$f_a = 1246 \text{kg/cm}^2 \leq 1260 \text{kg/cm}^2 \quad \text{O.K}$$

اکنون سطح مقطع ستون باید برای افزایش نیروی محوری به مقدار ۱۰ تن، تقویت شود. با توجه به حضور دائمی بار مرده بر روی ستون، تنش مجاز برای طراحی ورق تقویتی، تفاضل تنش مجاز با تنش ناشی از بار مرده است:

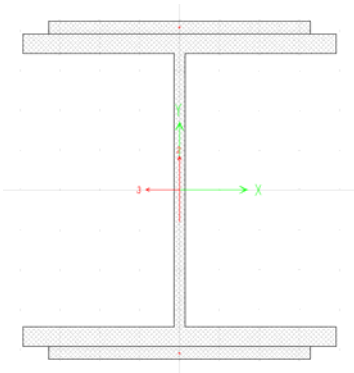
$$\text{تنش مجاز برای طراحی ورق تقویتی} = F_a = 1260 - 692 = 568 \text{ kg/cm}^2$$

$$\text{سطح مقطع ورق تقویتی} = 10 \times 10^3 / 568 = 17.6 \text{ cm}^2$$

سطح مقطع ورق تقویتی معادل  $2P100 \times 10 \text{ mm}$  انتخاب می‌شود:

$$\text{تفویت} A = 2 \times 10 \times 1 = 20 \text{ cm}^2$$

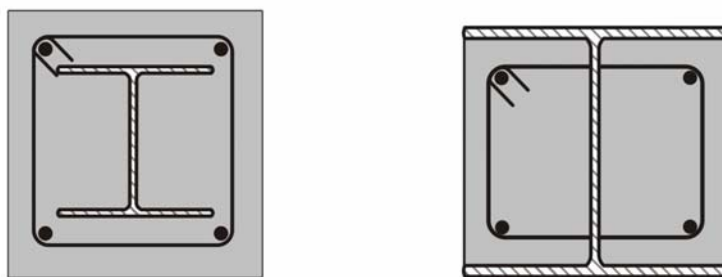
$$\text{کلی} A = 65 + 20 = 85 \text{ cm}^2$$



$$1233 \text{ kg/cm}^2 \leq 1260 \text{ kg/cm}^2$$

### ۳-۵-۲- استفاده از روکش بتنی

این روش برای مقاومسازی مقاطع فولادی باز<sup>۱</sup> مانند مقاطع I و H بکار می‌رود. با محصور نمودن ستون فولادی، سختی آن افزایش یافته که این امر موجب بالا رفتن سختی برشی نیز می‌گردد. برای بالا بردن سختی خمشی ستون، باید روکش بتنی ستون فولادی در طبقات مختلف پیوسته باشد.



شکل ۲-۵-۲- استفاده از روکش بتنی برای مقاومسازی ستون فولادی

<sup>۱</sup> Open Section

در صورتی که ستون فولادی دچار خوردگی شدید شده باشد، استفاده از روکش بتنی به عنوان راه حلی موثر توصیه می‌گردد (شکل ۲-۵-۳). این ستون‌ها پس از مقاومسازی در برابر آتش‌سوزی نیز مقاومت خوبی خواهند داشت. در این بخش جهت یکسان سازی روابط با روابط ارائه شده در مبحث دهم مقررات ملی ساختمان ایران، واحد نیرو و طول، کیلوگرم و سانتیمتر می‌باشد.



شکل ۲-۵-۲۳- بهسازی ستون‌های با خوردگی شدید با روکش بتی

۱-۳-۲-۵-۲ - محدودیت‌ها

- سطح مقطع نیم‌رخ فولادی باید حداقل یک درصد مساحت کلی مقطع مقاومسازی شده باشد.
  - روکش بتنی باید به کمک میلگردھای طولی و تنگ‌های عرضی و یا مارپیچ به منظور دورگیری بتن، مسلح شده باشد.
  - مساحت مقطع تنگ‌های عرضی باید حداقل  $25/0$  میلیمتر مربع برای هر میلیمتر فاصله بین تنگ‌ها باشد.
  - نسبت آرماتورهای طولی ( $\rho_{sr}$ ) باید حداقل  $40/0$  باشد:

$$\rho_{sr} = \frac{A_{sr}}{A_g} \quad (24-3-2)$$

در رابطه فوق:

$A_{sr}$ : مساحت مقطع آرماتورهای طولی پیوسته

$A_g$ : مساحت کلی مقطع مختلط

### ۲-۳-۲-۵-۲ - مقاومت فشاری

مقاومت فشاری ستون‌های فولادی مقاوم‌سازی شده با روکش بتنی با بارگذاری محوری، برابر  $\phi_c P_n$  می‌باشد که ضریب تقلیل ظرفیت مساوی  $0.75$  و  $P_o$  مقاومت فشاری اسمی می‌باشد که باید بر اساس حالت حدی کمانش خمی با توجه به لاغری ستون مطابق روابط زیر تعیین شود:

۱. در صورتی که  $P_e \geq 0.44 P_o$  باشد:

$$P_n = P_o \left[ 0.658 \left( \frac{P_o}{P_e} \right) \right] \quad (25-5-2)$$

۲. در صورتی که  $P_e < 0.44 P_o$  باشد:

$$P_n = 0.877 P_e \quad (26-5-2)$$

در روابط مذکور:

$$P_o = A_s F_y + A_{sr} F_{yr} + 0.85 A_c f_c \quad (27-5-2)$$

$$P_e = \pi^2 \frac{EI_{eff}}{(KL)^2} \quad (28-3-2)$$

که در آن:

$A_s$ : مساحت مقطع نیمرخ فولادی بر حسب  $cm^2$

$A_C$ : مساحت مقطع بتن بر حسب  $cm^2$

$A_{sr}$ : مساحت مقطع آرماتورهای طولی بر حسب  $cm^2$

$E_C$ : مدول الاستیسیته بتن بر حسب  $kg/cm^2$

را می‌توان از رابطه  $E_C = 0.135 W^{1/4} \sqrt{f_c}$  حساب نمود که در آن  $W$  جرم مخصوص بتن بر حسب کیلوگرم بر متر مکعب و  $f_c$  مقاومت فشاری مشخصه نمونه استوانه‌ای بتن بر حسب کیلوگرم بر سانتیمتر مربع بیان می‌شوند. برای بتن با وزن مخصوص معمولی این رابطه به صورت  $E_C = 15000 \sqrt{f_c}$  در می‌آید.

$E_s$ : مدول الاستیسیته فولاد بر حسب  $\frac{kg}{cm^2}$

$f_c$ : مقاومت فشاری مشخصه نمونه استوانه‌ای بتن بر حسب  $\frac{kg}{cm^2}$

$F_y$ : تنش تسلیم نیمرخ فولادی بر حسب  $\frac{kg}{cm^2}$

$F_{yr}$ : تنش تسلیم آرماتورهای طولی بر حسب  $\frac{kg}{cm^2}$

$I_C$ : ممان اینرسی مقطع بتی بر حسب  $cm^4$

$I_S$ : ممان اینرسی مقطع نیمرخ فولادی بر حسب  $cm^4$

$I_{sr}$ : ممان اینرسی میلگردی طولی  $cm^4$

$K$ : ضریب طول موثر

$L$ : طول مهار نشده ستون بر حسب  $cm$

$P_n$ : مقاومت فشاری اسمی مقطع بر حسب  $kg$

$P_O$ : مقاومت فشاری اسمی مقطع بدون توجه به آثار کمانشی بر حسب  $kg$

$P_e$ : نیروی محوری کمانشی اولر بر حسب  $kg$

$EI_{eff}$ : سختی موثر مقطع مختلط که با استفاده از رابطه زیر تعیین می‌شود.

$$EI_{eff} = E_s I_s + \cdot / 5 E_s I_{sr} + C_1 E_c I_c \quad (۲۹-۵-۲)$$

$$C_1 = \cdot / 1 + 2 \left( \frac{A_s}{A_c + A_s} \right) \leq \cdot / 3 \quad (۳۰-۵-۲)$$

### ۲-۵-۲-۳-۳-۲-۵-۳- مقاومت کششی

مقاومت کششی ستون‌های فولادی مقاومسازی شده با روکش بتی با بارگذاری محوری، مساوی  $P_n$  و  $\phi_i P_n$  می‌باشد که ضریب تقلیل مقاومت مساوی  $0.9$  و  $P_n$  ظرفیت کششی اسمی می‌باشد که باید بر اساس حالت حدی تسلیم مطابق رابطه زیر تعیین شود.

$$P_n = A_s F_y + A_{sr} F_{yr} \quad (۳۱-۵-۲)$$

که در آن  $A_s$ ،  $F_{yr}$  و  $A_{sr}$  مطابق تعاریف بند (۲-۳-۲-۵-۲) می‌باشند.

### ۲-۵-۲-۴-۳-۲-۵-۴- مقاومت برشی

مقاومت برشی ستون‌های فولادی مقاومسازی شده با روکش بتی برابر با بزرگترین مقدار به دست آمده از حالات زیر می‌باشد.

۱. مقاومت برشی مقطع فولادی تنها مطابق بخش ۱۰-۵-۶ مبحث دهم مقررات ملی ساختمان (طراحی به روش حدی) به علاوه مقاومت برشی، تنگ‌ها

## ۲. مقاومت برشی بخش بتون مسلح به تنها یی

تبصره: مقاومت برشی اسمی خاموت‌ها را می‌توان به کمک رابطه  $V_{sn} = A_{st} f_{yt} \frac{d}{s}$  محاسبه نمود که در آن  $A_{st}$  سطح مقطع مجموع ساق خاموت‌ها،  $F_{yt}$  تنش تسلیم خاموت،  $d$  ارتفاع موثر مقطع بنتی و  $S$  فاصله خاموت‌ها می‌باشد.

٢-٥-٣-٥-٢-انتقال باء

در ستون های فولادی مقاوم سازی شده با روکش پتین، برای انتقال بار از طریق اتصال پتین و فولاد، باید ضوابط زیر برآورده شود:

۱. چنانچه بارهای خارجی مستقیماً به مقطع فولادی اعمال شود، برشگیرها باید بتوانند نیروی برشی مورد نیاز زیر را تحمل نمایند.

$$V' = V \left( -\frac{A_s F_y}{P_o} \right) \quad (32-5-2)$$

که در آن:

$V'$ : نیروی برشی که پرسکی‌ها باید بتوانند آن را تحمل نمایند، بر حسب kg

$V$ : نیروی پرشی اعمال شده به ستون بر حسب kg

$A_s$ : مساحت کلی مقطع فولادی بر حسب  $cm^2$

$F_y$ : تنش تسليم فولاد بر حسب  $\frac{kg}{cm^2}$

$P_0$ : مقاومت فشاری اسمی ستون بدون توجه به آثار کمانشی بر حسب kg

۲. در صورتی که بارهای خارجی مستقیماً به مقطع بتن اعمال شود، برشگیرها باید بتوانند برش مورد نیاز زیر را تحمل نمایند.

$$V' = V \left( \frac{A_s F_y}{P_o} \right) \quad (33-5-2)$$

۳. در صورتی که بار مستقیماً به مقطع بتنی وارد شود، حداکثر مقاومت اتکایی طرح،  $P_P \phi$ ، با استفاده از روابط زیر محاسبه می‌شود.

$$\phi_B = \cdot / \vartheta \Delta \quad (34 - \Delta - 2)$$

که در آن:

$A_B$ : مساحت ناحیه بارگذاری شده بر حسب  $cm^2$

$f_c$ : مقاومت فشاری مشخصه نمونه استوانه‌ای بتن بر حسب  $\frac{kg}{cm^2}$

### ۲-۵-۳-۲-۶- جزییات آرماتوربندی اعضاي محوري محاط در بتن

الف. حداقل باید ۴ عدد آرماتور طولی وجود داشته باشد.

ب. فاصله تنگ‌ها برابر با کوچکترین مقدار بدست آمده از روابط زیر می‌باشد:

- ۱۲ برابر قطر آرماتور طولی

- ۴۸ برابر قطر آرماتور تنگ

-  $\frac{1}{2}$  برابر کوچکترین بعد مقطع ستون مختلط

پ. مقاطع فولادی باید حداقل دارای ۴۰ میلیمتر پوشش بتن باشند. رعایت شرایط محیطی مختلف برای پوشش مطابق مبحث نهم الزامی است.

ت. حداکثر فاصله برشگیرها  $2/5$  برابر بعد کوچکتر مقطع ستون مقاومسازی شده و یا ۴۰۰ میلیمتر (هر کدام که کوچکترند) می‌باشد.

ث. برشگیرها باید حداقل در دو وجه قرینه مقطع فولادی تعییه شده باشد.

ج. در صورتی که مقطع فولادی محاط در بتن از دو یا چند مقطع فولادی تشکیل شده باشد، باید ضوابط مربوط به ستون‌های مرکب در آنها رعایت شود.

### ۲-۵-۳-۲-۷- مقاومت برشگیرها

مقاومت اسمی گل میخ تک از رابطه زیر بدست می‌آید:

$$Q_n = 0.8 A_{SC} \sqrt{f_c E_c} \leq A_{SC} F_u \quad (35-5-2)$$

که در آن:

$A_{SC}$ : مساحت مقطع گل میخ بر حسب  $cm^2$

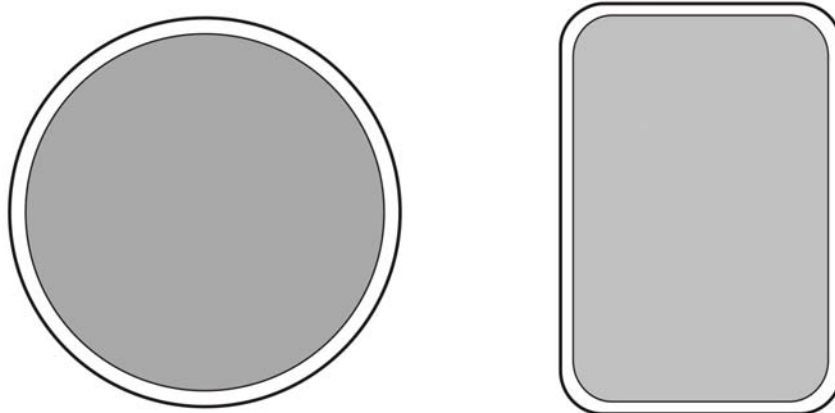
$F_u$ : حداقل تنش نهایی کششی گل میخی بر حسب  $cm^2$

$f_c$ : مقاومت فشاری مشخصه نمونه استوانه‌ای بتن بر حسب  $\frac{kg}{cm^2}$

$E_c$ : مدول الاستیسیته بتن بر حسب  $\frac{kg}{cm^2}$

#### ۴-۲-۵-۲- پر نمودن ستون فولادی با بتن

این روش برای مقاطع فولادی بسته<sup>۱</sup> بکار می‌رود. نمونه‌ای از ستون فولادی پر شده با بتن در شکل ۲۴-۵-۲ نشان داده شده است.



شکل ۲۴-۵-۲- پر نمودن ستون فولادی با بتن

#### ۴-۲-۵-۳- محدودیت‌ها

۱- مساحت مقطع فولادی باید حداقل یک درصد مساحت کلی مقطع مختلط باشد.

$$2- \text{حداکثر نسبت } \frac{b}{t} \text{ در مقطع تو خالی مستطیلی شکل پرشده با بتن برابر با } \sqrt{\frac{E}{F_Y}} / 26 \text{ می باشد.}$$

$$3- \text{حداکثر نسبت } \frac{D}{t} \text{ در مقطع تو خالی لوله ای شکل پرشده با بتن برابر با } \sqrt{\frac{E}{F_Y}} / 15 \text{ می باشد.}$$

#### ۴-۲-۵-۴- مقاومت فشاری

مقاومت فشاری محوری ستون‌های فولادی پرشده با بتن مساوی  $P_n$  می باشد که در آن  $\phi_c$  ضریب تقلیل ظرفیت مساوی  $P_n$  و مقاومت فشاری اسمی می باشد که باید بر اساس حالت حدی کمانش خمشی مطابق روابط بند (۲-۳-۲-۵-۲) و با اصلاحات زیر تعیین شود.

$$P_O = A_S F_Y + A_{sr} F_{yr} + C_2 A_C F_C \quad (36-5-2)$$

$$C_2 = 0.85$$

برای مقاطع تو خالی مستطیلی شکل

$$C_2 = 0.95$$

برای مقاطع تو خالی لوله‌ای شکل

<sup>1</sup> Close Section

$$EI_{eff} = E_S I_S + E_S I_{sr} + C_3 E_C I_C \quad (۳۷-۵-۲)$$

$$C_3 = 0.16 + 2 \left( \frac{A_S}{A_C + A_S} \right) \leq 0.19 \quad (۳۸-۵-۲)$$

### ۳-۴-۲-۵-۲ - مقاومت کششی

مقاومت کششی محوری ستون‌های فولادی پرشده با بتن مساوی  $P_n$  می‌باشد که در آن،  $\phi_i$  ضریب تقلیل ظرفیت مساوی  $/9$  و  $P_n$  مقاومت کششی اسمی می‌باشد که باید بر اساس حالت حدی مطابق رابطه زیر تعیین شود.

$$P_n = A_s F_y + A_{sr} F_{yr} \quad (۳۹-۵-۲)$$

### ۴-۴-۲-۵-۲ - مقاومت برشی

مقاومت برشی ستون‌های فولادی پرشده با بتن برابر با بزرگترین مقدار به دست آمده از حالات زیر می‌باشد.

۱ - مقاومت برشی مقطع فولادی تنها

۲ - مقاومت برشی بخش بتن آرمه تنها

### ۴-۴-۲-۵-۲ - انتقال بار

بار واردہ به ستون‌های فولادی پرشده با بتن باید بین قسمت فولادی و بتنی انتقال یابد. وقتی که بار خارجی به مقطع فولادی تنها و یا بخش بتن مسلح تنها اعمال می‌شود، انتقال نیرو از مقطع فولادی به هسته بتنی می‌تواند به کمک یکی از مکانیسم‌های زیر صورت گیرد:

۱ - چسبندگی مستقیم بین بتن و فولاد

۲ - اتكای مستقیم

در صورت وجود چند مکانیزم، مکانیزمی که بزرگترین مقدار مقاومت اسمی را به دست می‌دهد، ملاک خواهد بود و جمع کردن آثار مکانیسم‌های مختلف مجاز نمی‌باشد.

وقتی که بار به صورت اتكایی به قسمت بتنی مقطع فولادی پرشده با بتن وارد می‌شود، مقاومت طرح اتكایی،  $P_p$  از رابطه زیر به دست می‌آید:

$$\begin{aligned} \phi_B &= 0.65 \\ P_p &= 1.7 f_c A_B \end{aligned} \quad (۴۰-۵-۲)$$

$A_B$  = مساحت ناحیه بارگذاری شده بر حسب  $cm^2$

$f_c$  = مقاومت فشاری مشخصه نمونه استوانه‌ای بتن بر حسب  $\frac{kg}{cm^2}$

اثر توان فشار محوری و خمس حول یک یا هر دو محور  $X$  و  $Y$  در اعضای با مقطع دارای دو محور تقارن و یا یک محور تقارن بر اساس روابط (۴۱-۵-۲) و (۴۲-۵-۲) تعیین می‌گردد.

الف) در صورتی که باشد:

$$\frac{P_r}{\phi_c P_n} + \frac{8}{9} \left( \frac{M_{rx}}{\phi_b M_{nx}} + \frac{M_{ry}}{\phi_b M_{ny}} \right) \leq 1.0 \quad (\textcircled{1}-\Delta-\textcircled{2})$$

ب) در صورتی که باشد:

$$\frac{P_r}{2\phi_c P_n} + \left( \frac{M_{rx}}{\phi_b M_{nx}} + \frac{M_{ry}}{\phi_b M_{ny}} \right) \leq 1.0 \quad (\text{Eq-5-2})$$

که در آن:

$P_r$  = مقاومت فشاری مورد نیاز پر حسب کیلوگرم

$P_n$  = مقاومت فشاری اسمی مقطع بر حسب کیلوگرم (مطابق بخش‌های ۲-۳-۲-۵-۲ و ۲-۴-۲-۵-۲ محاسبه می‌گردد)

$$\phi_c = \text{ضریب مقاومت در فشار، مساوی } 75.$$

$M_{rx}$  = مقاومت خمشی مورد نیاز (تشدید یافته) حول محور X (محور قوی) بر حسب کیلوگرم - سانتیمتر

$$M_{ry} = \text{مقاومة خمسي مورد نياز (تشديد يافته) حول محور } y\text{-}y \text{ (محور ضعيف)} \text{ بحسب كيلوغرام - سانتيمتر}$$

$$M_{nx} = \text{مقاومة خمسي اسمى حول محور X (محور قوى) مطابق بخش ۱-۵-۲-۵-۲ بحسب كيلوگرم - سانتيمتر}$$

$M_{ny}$  = مقاومت خمسي اسمی حول محور y (محور ضعیف) مطابق بخش ۲-۵-۱ بر حسب کیلوگرم - سانتیمتر

$$\phi_b = \text{ضریب مقاومت برابی خمیر، مساوی } ۸۵/۰$$

## ۱-۵-۲-۵-۲- محاسبه اندرکنش و ظرفیت خمی

در مقاطع مختلفی که  $\frac{P_r}{\phi P_n} > 0.3$  باشد، از رابطه اندرکنشی ۴۱-۵-۲ استفاده می‌شود که در آن  $M_n$  از رابطه ۴۳-۵-۲

محاسبه می‌گردد ولی در صورتیکه  $\frac{P_r}{\phi P_n} \leq 0.3$  باشد، باید علاوه بر محاسبه اندرکنش آن، اندرکنش  $P_r = 0$  نیز باید بر اساس

رابطه ۲-۵-۴۳ بررسی شود که در این رابطه مقدار  $\phi_b$  برابر  $0/9$  و  $M_n = ZF_y$  می‌باشد.

$$M_n = ZF_y + \left( \frac{h_2 - 2C_r}{3} \right) A_{sr} F_{yr} + \left[ \frac{h_2}{2} - \frac{A_w F_y}{107 f_e h_i} \right] A_w F_y \quad (43-5-2)$$

که در آن:

$A_w$  : مساحت جان مقطع فولادی بر حسب سانتیمتر مربع (برای مقاطع پرشده از بتن مساوی صفر)

$Z$  : اساس پلاستیک مقطع فولادی بر حسب سانتیمتر مکعب

$C_r$  : میانگین فاصله بین آرماتورهای فشاری تا وجه فشاری مقطع و فاصله بین آرماتورهای کششی تا وجه کششی مقطع بر حسب سانتیمتر

$h_1$  : عرض مقطع مرکب عمود بر صفحه خمش بر حسب سانتیمتر

$h_2$  : عرض مقطع مرکب موازی صفحه خمش بر حسب سانتیمتر

$A_{sr}$  : مساحت کل آرماتورها بر حسب سانتیمتر مربع

$F_{yr}$  : تنش جاری شدن آرماتورها بر حسب کیلوگرم بر سانتیمتر مربع

## ۸-۵-۲ مثال

ستون H شکلی در ساختمان مفروض است. مشخصات آن به صورت زیر می‌باشد.

IPB 300

$$L = 4.5m \quad A = 149cm^2$$

$$I_y = 8560cm^4 \quad I_x = 25170cm^4$$

$$S_y = 571cm^3 \quad S_x = 1680cm^3$$

$$r_y = 7.58cm \quad r_x = 13cm$$

به علت تعییر کاربری ساختمان ستون تحت نیروی محوری  $P_L = 130ton$  و  $P_D = 80ton$  قرار گرفته است. مطلوبست بررسی ظرفیت ستون و در صورت نیاز مقاومسازی آن.

$$P_r = 1.25P_D + 1.5P_L$$

$$P_r = 1.25 \times 80 + 1.5 \times 130 = 295ton$$

### - محاسبه ظرفیت اولیه عضو

$$\lambda = \frac{KL}{r} = \frac{1 \times 450}{7.58} = 59.4$$

$$F_e = \frac{\pi^2 E}{\lambda^2} = \frac{\pi^2 \times 2.1 \times 10^6}{59.4^2} = 5874 kg/cm^2$$

$$F_{cr} = \left[ 0.658^{\frac{F_y}{F_e}} \right] F_y = \left[ 0.658^{\frac{2400}{5874}} \right] 2400 = 2023 kg/cm^2$$

$$P_n = F_{cr} \cdot A_g$$

$$P_n = 2023 \times 149 = 301.4ton$$

$$A_g = 45 \times 45 = 2025 \text{ cm}^2$$

$$A_s / A_g = 149 / 2025 = 0.074 > 0.01$$

### - مقاوم سازی ستون

سطح مقطع نیمرخ فولادی بیشتر از ۱ درصد مساحت کل مقطع مقاوم‌سازی شده می‌باشد.

*USE 8Φ20*

$$F_{yr} = 4000 \text{ kg/cm}^2$$

$$F_y = 2400 \text{ kg/cm}^2$$

$$f_c = 300 \text{ kg/cm}^2$$

$$E_c = 15000 \sqrt{f_c} = 2.6 \times 10^5 \text{ kg/cm}^2$$

$$A_s = 149 \text{ cm}^2$$

$$A_{sr} = 25 \text{ cm}^2$$

$$A_c = 45 \times 45 - 149 - 25 = 1851 \text{ cm}^2$$

$$EI_{eff} = E_s I_s + 0.5 E_s I_{sr} + C_1 E_c I_c$$

$$C_1 = 0.1 + 2 \left( \frac{A_s}{A_s + A_c} \right) \leq 0.3$$

$$I_{sr} = 8 \times \frac{\pi}{4} \times I^4 + 3.14 \times 6 \times 17.5^2 = 5776 \text{ cm}^4$$

$$I_s = 8560 \text{ cm}^4$$

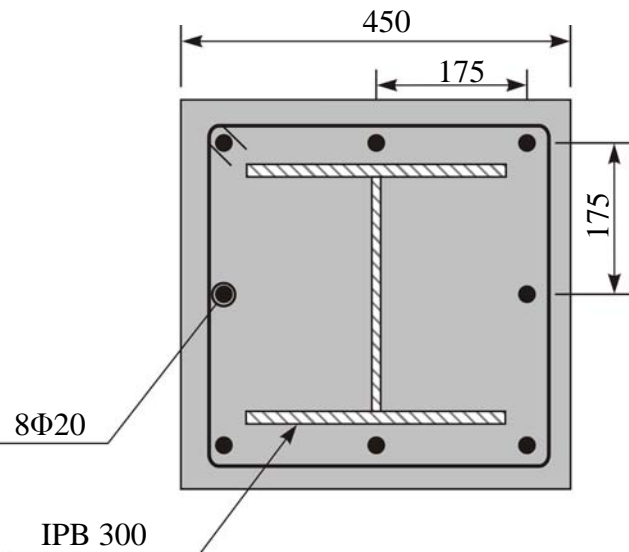
$$I_c = \frac{1}{12} \times 45 \times 45^3 = 341719 \text{ cm}^4$$

$$C_1 = 0.1 + 2 \left( \frac{149}{1851 + 149} \right) = 0.25$$

$$EI_{eff} = 2.1 \times 10^6 \times 8560 + 0.5 \times 2.1 \times 10^6 \times 5776 + 0.25 \times 2.6 \times 10^5 \times 341719$$

$$EI_{eff} = 4.63 \times 10^{10}$$

$$P_e = \pi^2 \frac{EI_{eff}}{(KL)^2} = \pi^2 \frac{4.63 \times 10^{10}}{(450)^2} = 2256.6 \text{ ton}$$



$$P_0 = A_s F_y + A_{sr} F_{yr} + 0.85 A_c f_c$$

$$P_0 = 149 \times 2400 + 25 \times 4000 + 0.85 \times 1851 \times 300 = 929.6 \text{ Ton}$$

$$P_e \geq 0.44 P_0$$

$$P_n = P_0 \left[ 0.658^{\frac{(P_0)}{P_e}} \right] = 929.6 \left[ 0.658^{\frac{929.6}{2256.6}} \right]$$

$$P_n = 782.37 \text{ ton} \implies \text{ مقاومت فشاری} = \phi_c P_n = 0.75 \times 782.5.37 = 586.8 \text{ ton}$$

$$\frac{\text{ مقاومت فشاری عضو مقاومسازی شده}}{\text{ مقاومت فشاری اولیه عضو}} = \frac{586.8}{301.4} = 2.16$$

$$\frac{\text{ مقاومت فشاری عضو مقاومسازی شده}}{\text{ (بدون ضرایب کاهش)}} = \frac{782.37}{301.3} = 1.94$$

## مثال ۹-۵-۲

اگر ستون 300 IPB به طول ۴/۵ متر بر اثر تغییر کاربری ساختمان تحت نیروی محوری و  $P_L = 35 \text{ ton}$  و  $P_D = 30 \text{ ton}$  قرار گیرد، مطلوب است بررسی ستون مذکور تحت اثر نیروهای واردہ لنگر خمثی  $M_y = 10 \text{ ton-m}$  و  $M_x = 17 \text{ ton-m}$  و در صورت نیاز مقاومسازی آن.

$$\phi_c P_n = 0.9 \times 301.4 = 271.3 \text{ ton}$$

با توجه به مثال فوق:

$$P_r = 1.25 P_D + 1.5 P_L$$

$$P_r = 1.25 \times 30 + 1.5 \times 35 = 90 \text{ ton}$$

$$\frac{P_r}{\phi_c P_n} = \frac{90}{271.3} = 0.33$$

$$M_{nx} = Z_x F_y = 1869 \times 2400 \times 10^{-5} = 44.86 \text{ ton-m}$$

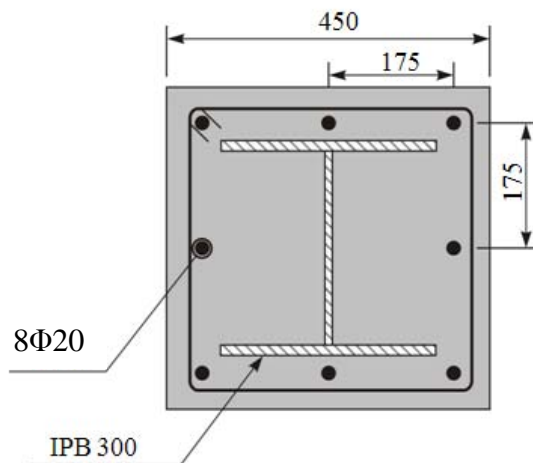
$$M_{ny} = Z_y F_y = 870 \times 2400 \times 10^{-5} = 20.9 \text{ ton-m}$$

$$\frac{P_r}{\phi_c P_n} \text{ می باشد:} \quad \frac{P_r}{\phi_c P_n} \geq 0.2$$

$$\frac{P_r}{\phi_c P_n} + \frac{8}{9} \left( \frac{M_{rx}}{\phi_b M_{nx}} + \frac{M_{ry}}{\phi_b M_{ny}} \right) \leq 1.0$$

$$\frac{90}{271.3} + \frac{8}{9} \left[ \frac{17}{0.9 \times 44.86} + \frac{10}{0.9 \times 20.9} \right] = 0.33 + \frac{8}{9} [0.42 + 0.53] = 1.17 > 1 \text{ N.O.K}$$

### - مقاومت سازی ستون -



- برای مقاومت سازی از روکش بتنی مانند مثال قبل استفاده می‌گردد.

### مقاومت محوری فشاری

$$P_n = 782.37 \text{ ton} \quad \text{مقادیر مقاومت فشاری } \phi_c P_n = 0.75 \times 782.37 = 586.8 \text{ ton}$$

$$\frac{P_r}{\phi_c P_n} = \frac{90}{586.8} = 0.15$$

### مقاومت خمثی حول محور قوی

$$M_{nx} = ZF_y + \left( \frac{h_2 - 2C_r}{3} \right) A_{sr} F_{yr} + \left( \frac{h_2}{2} - \frac{A_W F_y}{1.7 f_C h_l} \right) A_W F_y , \quad \phi_b = 0.85$$

$$h_l = 45 \text{ cm} , h_2 = 45 \text{ cm} , C_r = 4 \text{ cm} , A_{sr} = 25 \text{ cm}^2 , F_{yr} = 4000 \text{ kg/cm}^2 , f_c = 300 \text{ kg/cm}^2$$

$$M_{nx} = \left[ 1869 \times 2400 + \left( \frac{45 - 2 \times 4}{3} \right) \times 25 \times 4000 + \left( \frac{45}{2} - \frac{30 \times 1.1 \times 2400}{1.7 \times 300 \times 45} \right) \times 30 \times 1 \times 2400 \right] \times 10^{-5} \Rightarrow$$

$$M_{nx} = 71.13 \text{ ton-m}$$

### مقاومت خمثی حول محور ضعیف

$$h_l = 45 \text{ cm} , h_2 = 45 \text{ cm} , C_r = 4 \text{ cm} , A_{sr} = 25 \text{ cm}^2 , F_{yr} = 4000 \text{ kg/cm}^2 , f_c = 300 \text{ kg/cm}^2$$

$$M_{ny} = \left[ 1869 \times 2400 + \left( \frac{45 - 2 \times 4}{3} \right) \times 25 \times 4000 + \left( \frac{45}{2} - \frac{2 \times 30 \times 1.9 \times 2400}{1.7 \times 300 \times 45} \right) \times 30 \times 1 \times 2400 \right] \times 10^{-5} \Rightarrow$$

$$M_{ny} = 70.98 \text{ ton-m}$$

$$M_{nx0} = ZF_y, \quad \phi_b = 0.90$$

$$M_{nx0} = Z_x F_y = 1869 \times 2400 \times 10^{-5} = 44.86 \text{ ton-m}$$

$$M_{ny0} = Z_y F_y = 870 \times 2400 \times 10^{-5} = 20.9 \text{ ton-m}$$

از آنجا که  $\frac{P_r}{\phi_c P_n} \leq 0.3$  می‌باشد، باید علاوه بر محاسبه اندرکنش آن، اندرکنش  $P_r = 0$  نیز بررسی شود که به ازاء مقدار  $\phi_b$  برابر  $0.9$  می‌باشد.

$$\text{if } \frac{P_r}{\phi_c P_n} = 0.15$$

$$\frac{P_r}{2\phi_c P_n} + \left( \frac{M_{rx}}{\phi_b M_{nx}} + \frac{M_{ry}}{\phi_b M_{ny}} \right) \leq 1.0 \quad \frac{P_r}{\phi_c P_n} < 0.2$$

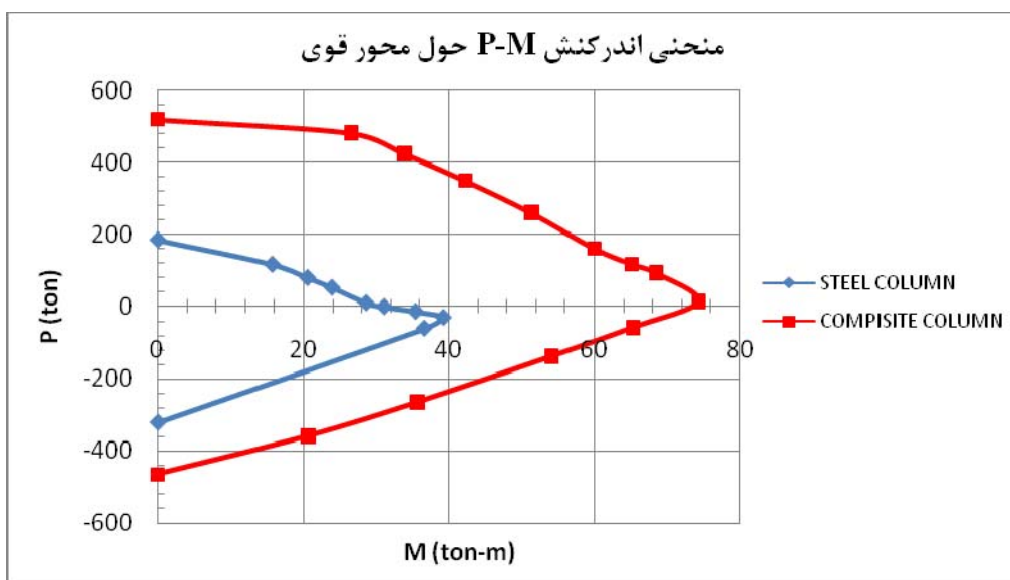
$$\frac{90}{586.8} + \left[ \frac{17}{0.85 \times 71.13} + \frac{10}{0.85 \times 70.98} \right] = 0.15 + [0.28 + 0.17] = 0.6 \leq 1.0 \quad O.K.$$

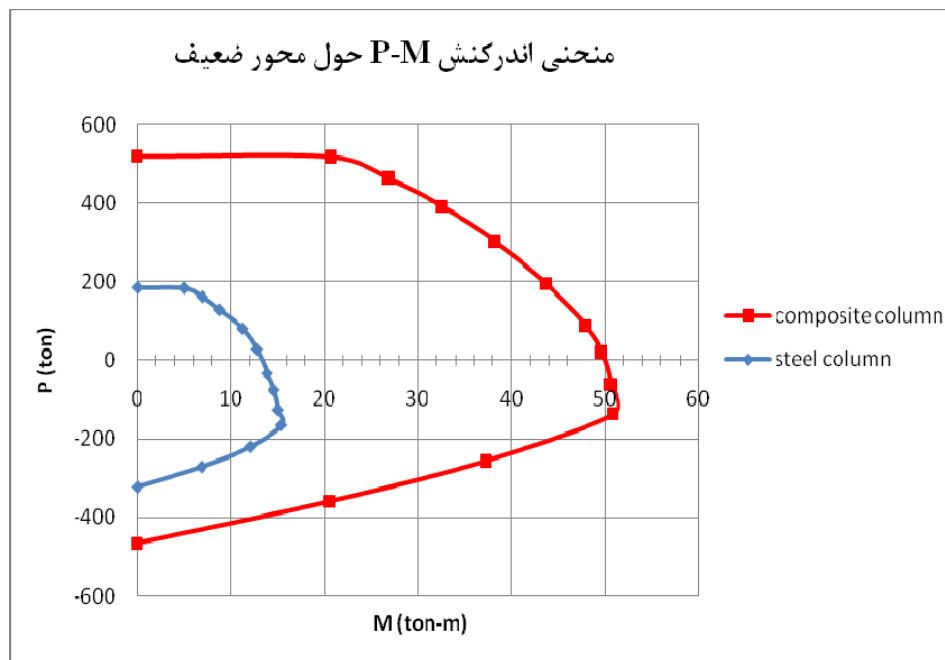
$$\text{if } \frac{P_r}{\phi_c P_n} = 0$$

$$\frac{P_r}{2\phi_c P_n} + \left( \frac{M_{rx}}{\phi_b M_{nx}} + \frac{M_{ry}}{\phi_b M_{ny}} \right) \leq 1.0 \quad \frac{P_r}{\phi_c P_n} < 0.2$$

$$\left[ \frac{17}{0.9 \times 44.86} + \frac{10}{0.9 \times 20.9} \right] = [0.42 + 0.53] = 0.95 < 1 \quad O.K$$

منحنی اندرکنش ستون قبل و بعد از مقاومسازی حول محور قوی و ضعیف در شکل زیر ترسیم شده است.





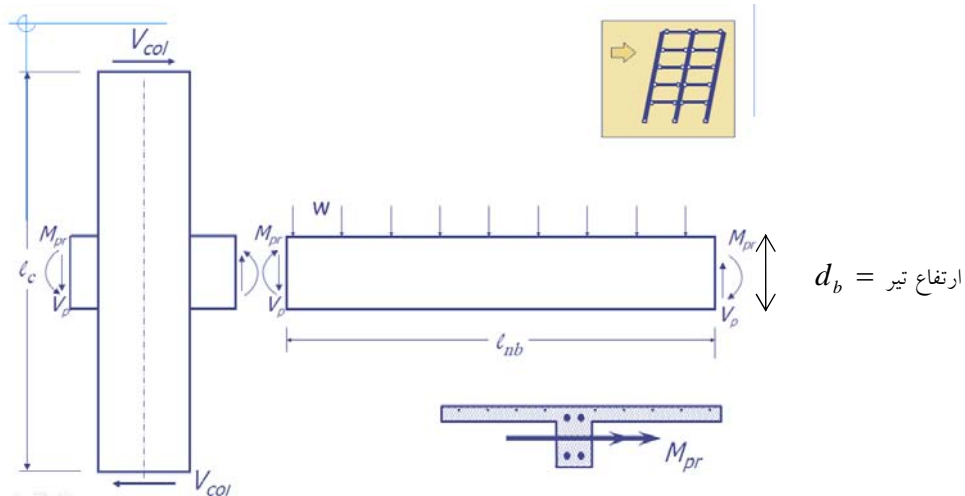
## ۲-۶- راهکارهای بهسازی اتصالات

اتصالات و رفتار آنها نقش بسیار مهمی در رفتار کلی سازه‌های قاب خمشی ایفا می‌کنند. به عبارت دیگر بحرانی‌ترین ناحیه در قاب‌های خمشی برای مقاومت در برابر بارهای لزهای، محل اتصال تیر به ستون می‌باشد. بطور کلی بدلیل عدم شناخت کافی از رفتار اتصالات خمشی، آسیب‌های ایجاد شده در سازه‌های خمشی از ضعف در طراحی یا اجرای اتصالات آنها ناشی می‌شود.

شکست‌های ترد پیش‌بینی نشده اتصالات خمشی تیر و ستون در اثر زلزله، بطور جدی روش‌های طراحی گذشته را زیر سوال برده و این خود نشان‌دهنده اهمیت مقاوم‌سازی اتصالات خصوصاً مقاوم‌سازی لزهای آنها می‌باشد.

در سیستم‌های باربر جانبی، اتصالات و اجزای آن باید به گونه‌ای مقاوم‌سازی شوند که پس از مقاوم‌سازی دارای سختی، مقاومت و هندسه متناسبی باشند و با عملکرد ارجاعی اجزای خود، شرایط لازم برای رفتار غیر ارجاعی چرخه‌ای سایر اعضا را فراهم و پیوستگی مسیر انتقال بار را نیز تأمین نمایند به گونه‌ای که ناحیه شکل‌پذیر (مفصل پلاستیک) در دو سر تیر و خارج از محدوده اتصال تیر به ستون واقع شود. حداقل فاصله محل تشکیل مفصل پلاستیک از بر ستون  $0.5d_b$  و حداقل  $1.5d_b$  می‌باشد (شکل ۱-۶-۲).

در حال حاضر در آیین‌نامه‌های طراحی، اتصالات کنترل شونده توسط نیرو در نظر گرفته شده و مقاومت آنها طبق مکانیسم شکل ۱-۶-۲ طوری در نظر گرفته می‌شود که شرایط وقوع مفصل پلاستیک را در فاصله‌ای از بر ستون فراهم نماید. در آیین‌نامه‌های بهسازی، بعضی از اتصالات و یا اجزای آنها چه در مرحله کنترل و چه در مرحله بعد از بهسازی می‌توانند کنترل شونده توسط تغییر‌شکل باشند.



شکل ۱-۶-۱ نمایش محل تشکیل مفصل پلاستیک در تیر و فاصله آن از بر ستون

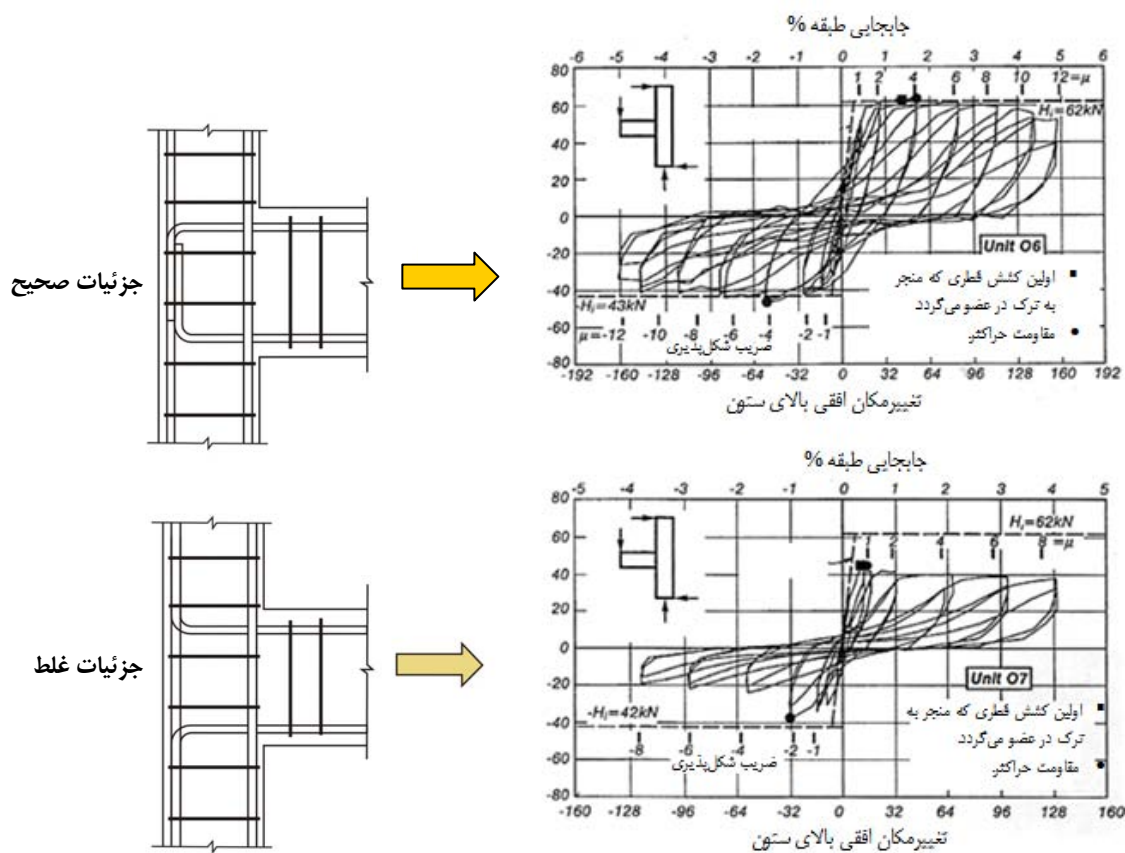
بدون شک مقاوم‌سازی اتصالات از مراحل پیچیده روش‌های مقاوم‌سازی می‌باشد، چرا که محل تلاقی تعدادی از عناصر سازه‌ای است و در زلزله دارای تنفس بالا می‌باشد. از این رو بهتر است بجای تقویت اتصال در برابر بارهای جانبی از راهکارهای تقویت سیستم باربر جانبی ساختمان مانند اضافه نمودن بادبند، دیوار برشی و ... استفاده نمود. این راهکارها منجر به کاهش لنگرهای موجود در اتصال می‌گردند. این موضوع بخصوص در ساختمان‌های بتن مسلح قابل توصیه می‌باشد.

در طی سال‌های گذشته تحقیقات فراوانی روی اتصالات صورت گرفته که شامل کارهای آزمایشگاهی و همچنین ساخت مدل‌های مختلف و بارگذاری دینامیکی تا حصول منحنی‌های چرخه‌ای (شکل ۲-۶) و همچنین ساخت مدل‌های تحلیلی و استفاده از روش‌های عددی گوناگون برای تعیین معیارهای مقاومت، پایداری و شکل‌پذیری اتصالات می‌باشد. بر اساس نوع سازه (بتنی یا فولادی) و معایب اتصال‌های آن، روش‌های متعددی برای بهسازی اتصال وجود دارد که در ادامه به آنها پرداخته شده است.

۲-۶-۱- اتصالات پتنی

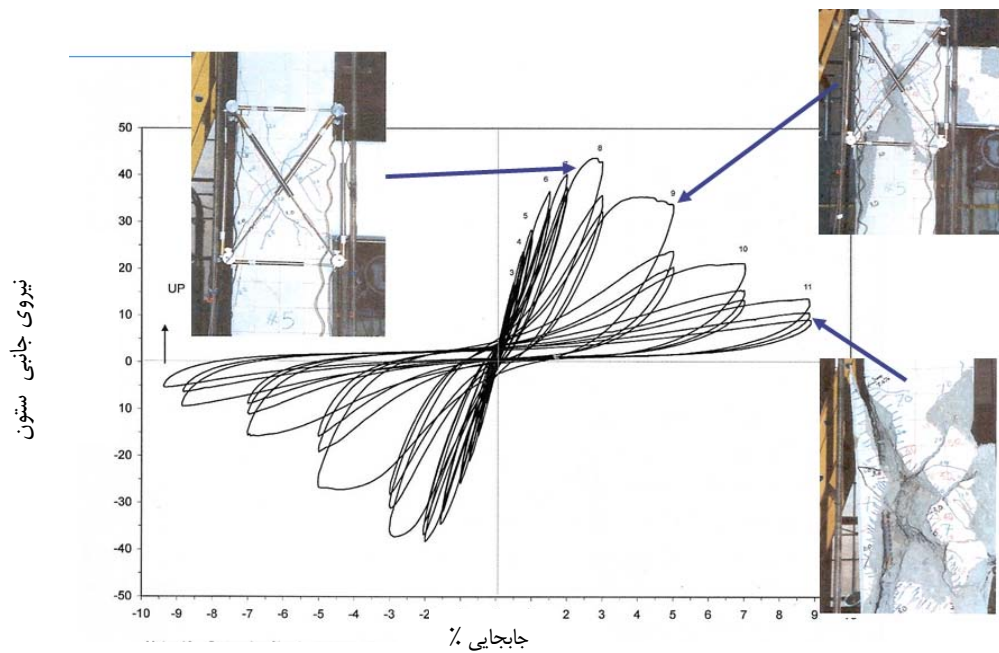
٢-٦-١-١-معرفی

در ساختمان‌های با قاب خمی، اتصال صلب تیر به ستون عامل اصلی باربری جانبی سازه می‌باشد. خسارات واردہ به این نوع قاب‌ها در ناحیه اتصال تیر به ستون رخ می‌دهد. در گذشته تحقیقات و در نتیجه دستورالعمل‌های آئین‌نامه‌ای در اتصالات بتی بسیار محدود بود و در نتیجه مهندسین کمتر به جزئیات این ناحیه توجه می‌کردند و تنها خود را ملزم به رعایت تأمین طول مهاری کششی برای میلگردهای منفی تیر می‌دانستند. همچنین جزئیات سخت در آرماتوریندی ناحیه اتصال و اجرای ضعیف آن منجر به نامناسبی رفتار این جزء سازه‌ای شده است. نمونه‌ای از مقایسه جزئیات آرماتوریندی صحیح و ناصحیح اتصال بتی تحت بارهای رفت و پرگشتی در شکل ۲-۶ نشان داده شده است.

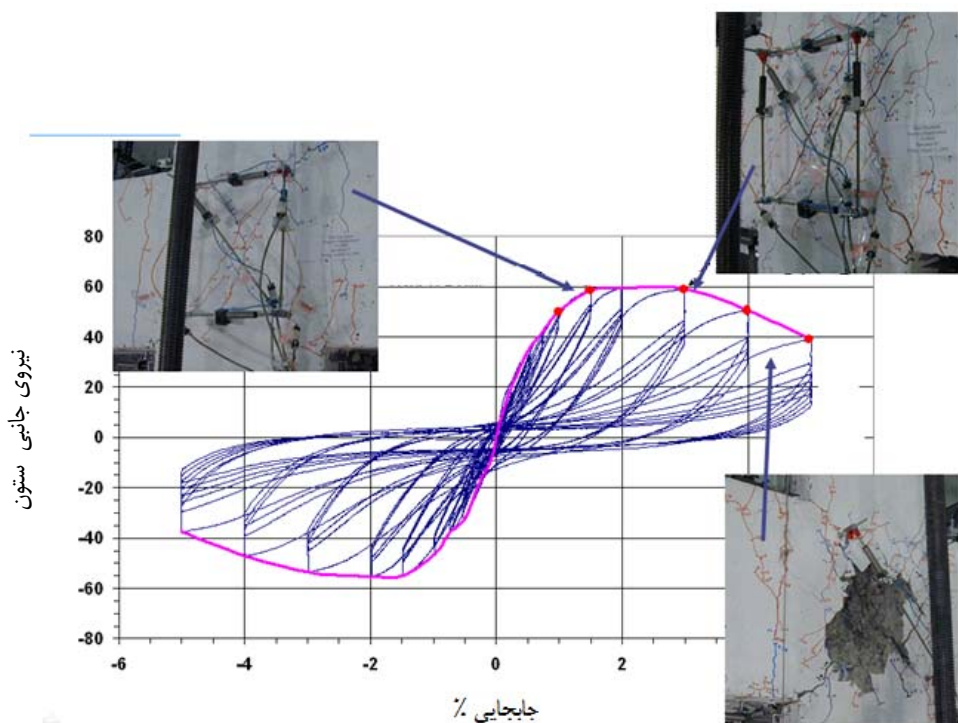


شكل ۲-۶ مقایسه تأثیر جزئیات آرماتوربندی صحیح و غیر صحیح در رفتار اتصال بتونی

به منظور شناخت بهتر از رفتار لرزه‌ای اتصالات بتنی در اشکال شکل ۳-۶-۲ و شکل ۴-۶-۲ نمونه‌ای از آزمایش انجام شده بر روی اتصال بتنی کناری و میانی تحت بار دینامیکی رفت و برگشتی به همراه منحنی نیرو - تغییرمکان و شکل خرابی آنها تحت تغییرمکان‌های مختلف نشان داده شده است. مقایسه دو شکل بیانگر رفتار ترد نمونه شکل ۳-۶-۲ نسبت به نمونه شکل ۴-۶-۲ است.



شکل ۳-۶-۲ نمودار نیرو - تغییرمکان اتصال بتنی کناری



شکل ۴-۶-۲ نمودار نیرو - تغییرمکان اتصال بتنی میانی

### ۲-۱-۶-۲- آسیب‌های اتصالات بتنی

در بسیاری از زلزله‌ها مفصل پلاستیک در تیر و نزدیکی ستون تشکیل می‌گردد که در نتیجه ترک در تمام عمق تیر گسترش می‌یابد. گسترش خرابی تیر در نزدیکی ستون باعث گسترش تسلیم میلگرد تا داخل اتصال و کاهش طول مهاری در میلگرد تحت بار عرضی به علت لغزش میلگردهای افقی در اتصال می‌گردد. در اتصالات میانی، تیر مسلح در دو طرف ستون تحت تنש های مختلفی (فشاری و کششی) قرار می‌گیرد. بنابراین باید برای اتصال بهتر تیر مسلح به ستون، دقت بیشتری نمود.

همان گونه که در شکل ۲-۶-۵ نیز مشاهده می‌شود، خرابی اتصال منجر به خرابی کلی سازه می‌شود و این خود نشان‌دهنده اهمیت مقاوم‌سازی اتصالات خصوصاً مقاوم‌سازی لرزه‌ای آنها می‌باشد.



شکل ۲-۶-۵ نمونه‌هایی از شکست در اتصالات ضعیف بتنی

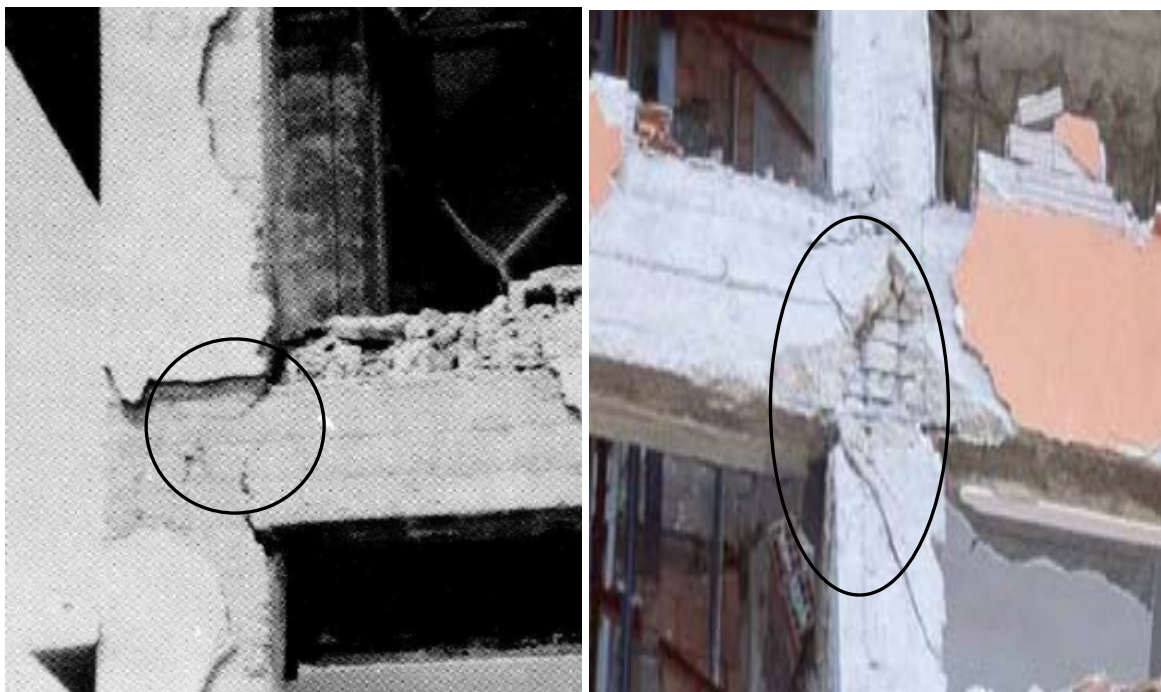
آسیب‌های وارد بر اتصالات بتنی به شرح زیر طبقه‌بندی می‌شود:

- ۱ - گسیختگی برشی
- ۲ - کمانش میلگرد طولی ستون
- ۳ - کمانش میلگرد طولی تیر
- ۴ - وجود درز سرد (اجرایی) در محل اتصال
- ۵ - برون محوری اتصال تیر و ستون
- ۶ - کمبود میلگردهای مثبت و منفی

که در ادامه به هر یک از این ایرادات، علت به وجود آمدن آنها و نمونه‌ای از این نوع خرابی‌ها در اثر زلزله‌های گذشته اشاره می‌گردد.

#### ۶-۲-۱-۲-۱- گسیختگی برشی اتصال

عدم وجود تنگ‌های کافی و مناسب تیر یا ستون در ناحیه بر اتصال، منجر به گسیختگی برشی اتصال می‌گردد. نمونه‌ای از گسیختگی برشی اتصال در شکل ۶-۲ نشان داده شده است.



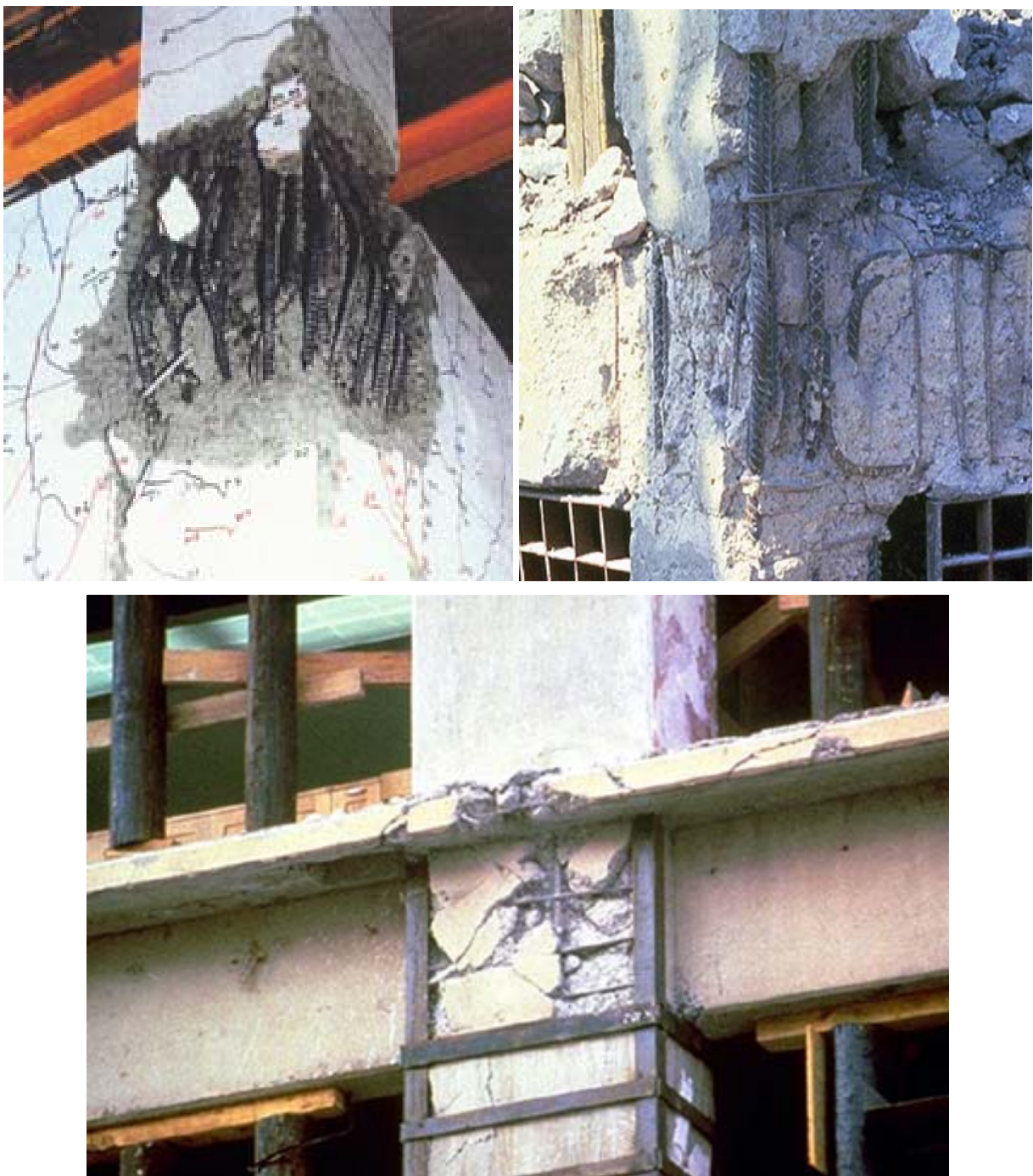
گسیختگی برشی در ناحیه ستون در بر اتصال

شکل ۶-۲ گسیختگی برشی در ناحیه اتصال

### ۲-۶-۲-۱-۲- کمانش میلگردهای طولی ستون در ناحیه اتصال

عدم استفاده از تنگ‌های مناسب و کافی در اتصال، منجر به کمانش میلگردهای طولی ستون در ناحیه اتصال می‌گردد.

نمونه‌ای از کمانش میلگردهای طولی ستون در ناحیه اتصال در شکل ۷-۶-۲ نشان داده شده است.



شکل ۷-۶-۲ کمانش میلگردهای طولی ستون در ناحیه اتصال

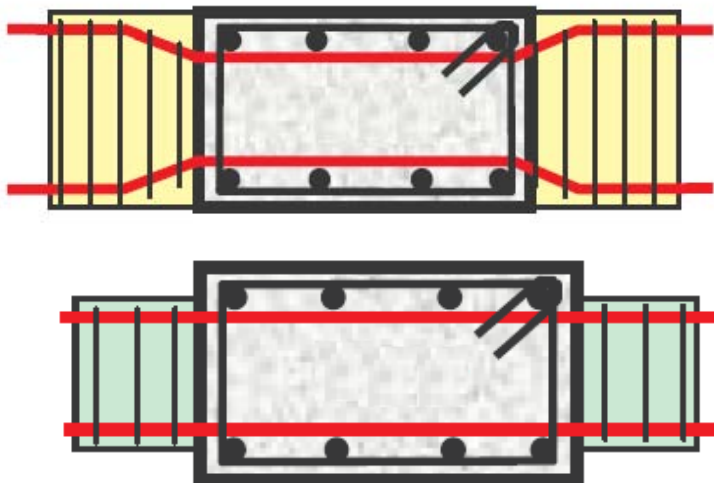
### ۲-۶-۲-۳- کمانش میلگردهای طولی تیر در ناحیه اتصال

در اتصالی میانی که میلگردهای طولی تیر با میلگردهای طولی ستون و یا تنگهای مناسب دورگیری نشده باشند، میلگردهای طولی تیر نیز کمانش خواهند نمود. نمونه‌ای از کمانش میلگردهای طولی تیر در ناحیه اتصال در شکل ۲-۶-۸ نشان داده شده است.



شکل ۲-۶-۸ کمانش میلگردهای طولی تیر در ناحیه اتصال

در اتصالات همواره باید میلگردهای طولی تیر به صورت صاف و مستقیم اجرا شوند، زیرا میلگردهای طولی خمیده، توانایی تحمل نیروهای فشاری را ندارند. جزئیات مناسب و نامناسب میلگردهای طولی تیر در شکل ۲-۶-۹ نشان داده شده است.



شکل ۲-۶-۹ جزئیات میلگردهای طولی در اتصال

۲-۶-۱-۴- وجود درز سرد در محل اتصال

وجود درز انقطاع (به دلیل نحوه اجرا) در نزدیکی محل اتصال، منجر به خرابی اتصال و به تبع خرابی سازه می‌گردد. در تراز فوقانی ساختمان که احتمال وجود درز انقطاع در آن بسیار زیاد است، باید طول مهاری میلگردهای طولی و خم‌های انتهایی آن به شکل صحیحی رعایت شده باشد. نمونه‌ای از خرابی سازه به علت وجود درز انقطاع در محل اتصال در تراز فوقانی ساختمان در شکل ۱۰-۶ نشان داده شده است.



شکل ۲-۶-۱۰ وجود درز سرد در محل اتصال

#### ۲-۱-۶-۵-برون محوری امتداد تیر نسبت به امتداد ستون

برون محوری امتداد تیر نسبت به امتداد ستون، منجر به ایجاد پیچش در محل اتصال تیر به ستون و به تبع خرابی اتصال در اثر زلزله می‌گردد. نمونه‌ای از این نوع خرابی در شکل ۲-۱۱ نشان داده شده است.

#### ۲-۱-۶-۶-کمبود میلگردهای مثبت و منفی

کمبود میلگردهای طولی در اتصالات، منجر به خرابی کامل اتصال در اثر بارهای لرزه‌ای و در نتیجه تخریب کامل سازه می‌شود. حتی کمبود میلگردهای طولی منفی می‌تواند منجر به آسیب اتصال تحت بارهای تقلی گردد. با توجه به موارد عنوان شده به جرأت می‌توان ادعا نمود که بدترین آسیب اتصالات بتنی در اثر کمبود میلگردهای طولی می‌باشد. نمونه‌ای از تخریب اتصال در اثر

کمبود میلگرد طولی که منجر به تخریب کلی سازه شده در شکل زیر نشان داده شده است. همان گونه که مشاهده می‌شود کمبود میلگردهای طولی منجر به شکست بتن در نتیجه جدایی کامل اعضا ای اتصال از یکدیگر می‌گردد (شکل ۲-۶-۲).



شکل ۲-۶-۱۱ برون محوری امتداد تیر نسبت به امتداد ستون

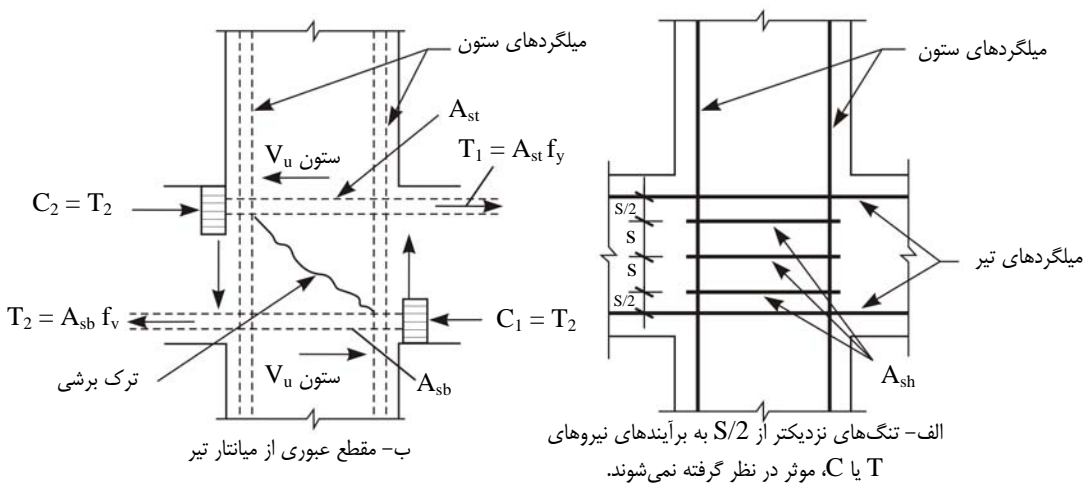


شکل ۲-۶-۲ تخریب اتصال در اثر کمبود میلگرد طولی که منجر به تخریب کلی سازه شده است.

### **۱-۳-۶-۲- مبانی نظری رفتار اتصالات پتنی**

نیروها و لنگرهای وارد بر قطعه اتصال را می‌توان به نیروهای متقارن مربوط به بار قائم و نیروهای معکوس مربوط به بار افقی تقسیم نمود. برش اتصال از نیروهای متقارن معکوس بدست می‌آید. در شکل ۲-۶-۱۳، نمودار آزاد اتصال وقتی که قاب تحت تأثیر نیروی جانبی قرار می‌گیرد، نشان داده شده است. در این نمودار لنگر انتهایی تیر سمت راست، منفی و لنگر انتهایی تیر سمت چپ، مثبت است. در این شکل لنگر منفی  $M_1$  به زوج نیروی کششی  $T_1$  و فشاری  $C_1$  و لنگر مثبت  $M_2$  به زوج نیروی کششی  $T_2$  و فشاری  $C_2$  تجزیه شده است،<sup>۷</sup> نیز نیروی برشی ستون در بر اتصال می‌باشد. اگر مطابق شکل ۲-۶-۱۳-ب، مقطعی از میانتار تیر عور داده شده و تعادل نیروها در امتداد افق نوشته شود، نیروی برشی موجود در اتصال به صورت زیر بدست می‌آید:

$$V_u = T_1 + T_2 - V_u \quad (1-6-2)$$



شکل ۲-۱۳ نیروهای موجود در هسته اتصال [۱۹]

$$(٢-٦-٢) \quad (الاتصال) \quad V_u = f_{yd} A_{st} + f_{yd} A_{sb} - V_u \quad (\text{ستون})$$

با داشتن نیروی برشی  $V_u$  (اتصال)، تنش برشی نهایی در اتصال از رابطه زیر قابل محاسبه است:

$$v_n = \frac{V_u}{\phi A_{cv}} \quad (\mathfrak{F} - \mathfrak{f} - \mathfrak{V})$$

که در آن:

$V_u$  = نیروی برشی با ضریب موجود در اتصال

$A_{cv}$  = مساحت کل مقطع بتنی محصور شده توسط ضخامت جان و طول مقطع در راستای نیروی برشی

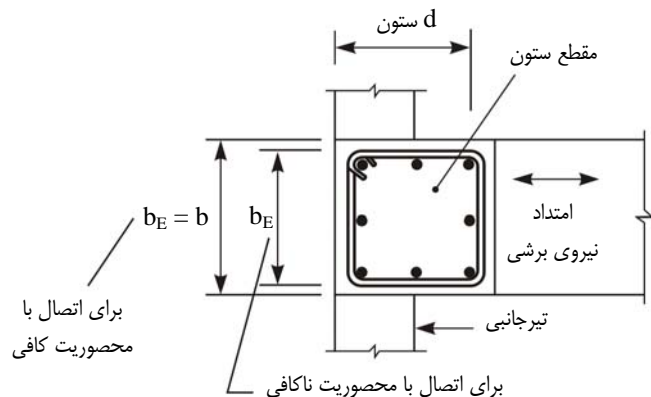
$$\phi = \text{ضریب کاهش ظرفیت} (۰/۶)$$

$$A_{cy} = b_E \cdot d \quad (\text{F-8-2})$$

نیروی برشی در محل اتصال با این فرض تعیین می‌شود که تنش در میلگردهای کششی تیرهای متصل به اتصال مساوی

می باشد.

عضو منتهی به اتصال، وقتی به عنوان محصور کننده اتصال شناخته می‌شود که حداقل  $\frac{3}{4}$  وجه اتصال توسط عضو پوشش داده شود. اتصال وقتی محصور شده تلقی می‌شود که اعضای محصور کننده از تمام جوانب به آن وصل شده باشند.



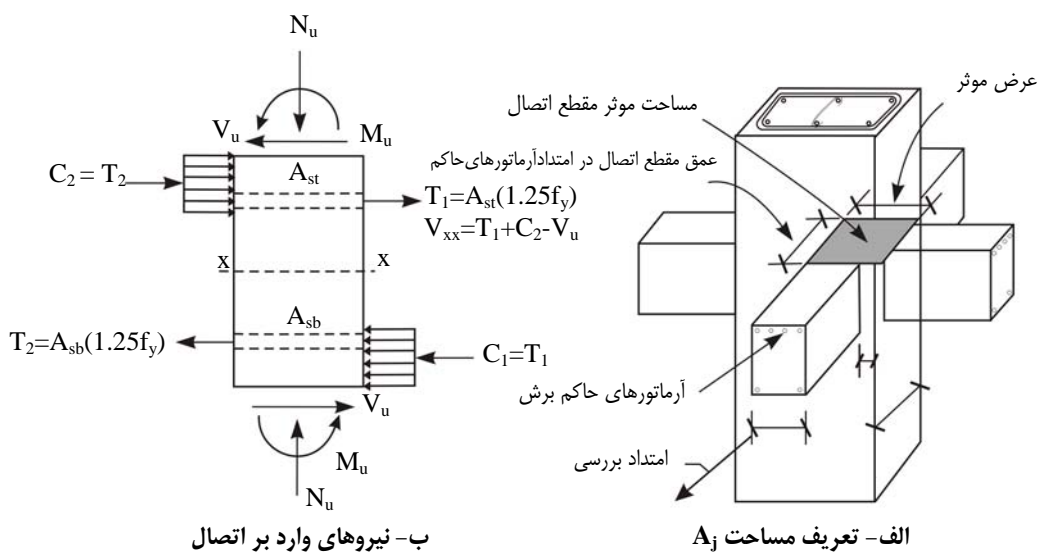
شکل ۲-۱۴ هسته اتصال

برای بتن با وزن معمولی نباید  $V_n$  اتصال از مقادیر مشخص شده زیر بزرگ‌تر شود:

$$V_n = 1.7\sqrt{f_c} A_j \quad \text{برای اتصال محصور شده}$$

$$V_n = 1.2\sqrt{f_c} A_j \quad \text{برای اتصال محصور شده از سه طرف یا دو وجه} \quad (5-6-2)$$

$$V_n = 1.0\sqrt{f_c} A_j \quad \text{برای سایر حالات}$$

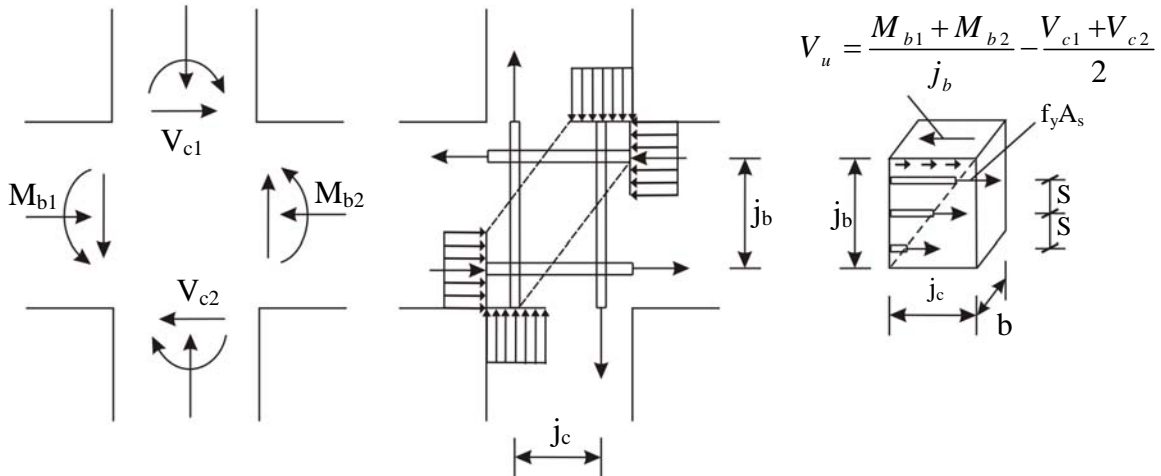


شکل ۲-۱۵ تعریف مساحت مؤثر

$$V_n = \text{ مقاومت برشی اسمی بر حسب MPa}$$

$$f'_c = \text{ مقاومت مشخصه ۲۸ روزه نمونه استوانه‌ای بر حسب MPa}$$

$A_j = A_s$  = سطح مقطع موثر اتصال، در صفحه‌ای به موازات محور میلگردهایی که تولید نیروی برشی می‌نمایند. ارتفاع  $j_s$  مساوی بعد ستون در امتداد مورد بررسی و عرض  $j_s$  کوچکترین: دو برابر فاصله محور تیر تا وجه نزدیکتر ستون و یا عرض تیر به علاوه ارتفاع  $j_s$  در نظر گرفته می‌شود.



شکل ۲-۶-۱۶ نیروهای وارد بر اتصال

$$V_u = \frac{V_{c1} + V_{c2}}{2} \quad (6-6-2)$$

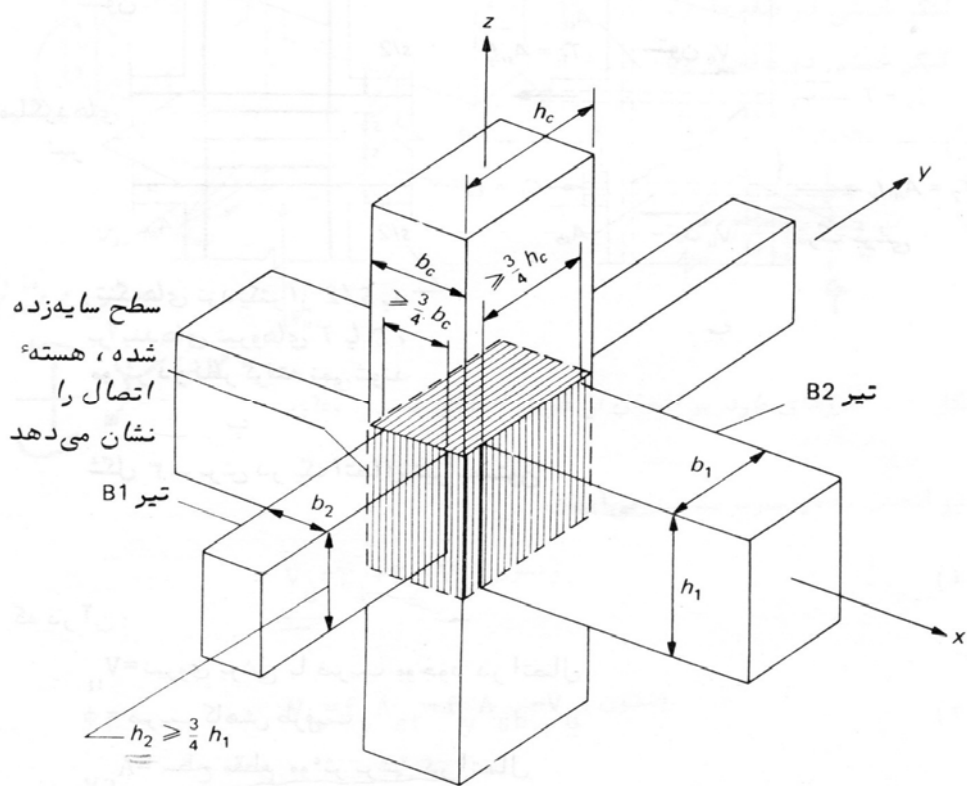
$$\frac{M_{b1}}{j_b} = T_1 \quad (7-6-2)$$

$$\frac{M_{b2}}{j_b} = T_2 \quad (8-6-2)$$

$$V_u = \frac{M_{b1} + M_{b2}}{j_b} - \frac{V_{c1} + V_{c2}}{2} \quad (9-6-2)$$

$$V_n = V_s + V_c \quad (10-6-2)$$

در شکل ۲-۶-۱۷، هسته اتصال، حجمی سه بعدی است که ابعاد آن، ابعاد مقطع ستون و ارتفاع آن، ارتفاع عمیق‌ترین عضو وارد بر اتصال است. میزان محصور شدن جانبی اتصال بستگی به نسبت ابعاد هسته و ابعاد مقطع تیر محصور کننده دارد. تنگ‌های دورگیر کننده حلقه‌ای که برای ستون‌ها مقرر گردیده است، باید در داخل اتصال در اطراف میلگردهای ستون ادامه یابند. در صورتی که از هر چهار طرف، تیر به ستون متصل گردد و عرض تیرها کمتر از  $\frac{3}{4}$  عرض ستون در نقطه اتصال نباشد، نصف تنگ‌های دورگیر کننده ستون را می‌توان در ناحیه اتصال ادامه داد. این کاهش به علت اثر دورگیر کننده تیرها می‌باشد که از چهار طرف اتصال را احاطه کرده‌اند.



شکل ۱۷-۶ هسته اتصال

در حالتی که نیروی محوری با ضریب ( $P_u$ ) از  $0.4P_b$  مربوط به ستون تجاور می‌کند و جایی که اتصال توسط یک جفت تیر عرضی در دو وجه مخالف محصور نمی‌شود، لازم است تنگهای دورگیر کننده، طبق روابط زیر در اتصال قرار داده شود:

- در صورتی که از تنگهای مارپیچ (اسپیرال) استفاده شود (شکل ۱۸-۶-۲-ب):

$$\rho_s = 0.45 \left( \frac{A_g}{A_c} - 1 \right) \frac{f'_c}{f_y} \quad (11-6-2)$$

$$\rho_s \geq \begin{cases} 0.12 f'_c / f_{yh} \\ 0.45 \left( \frac{A_g}{A_{ch}} - 1 \right) \frac{f'_c}{f_{yh}} \end{cases} \quad (12-6-2)$$

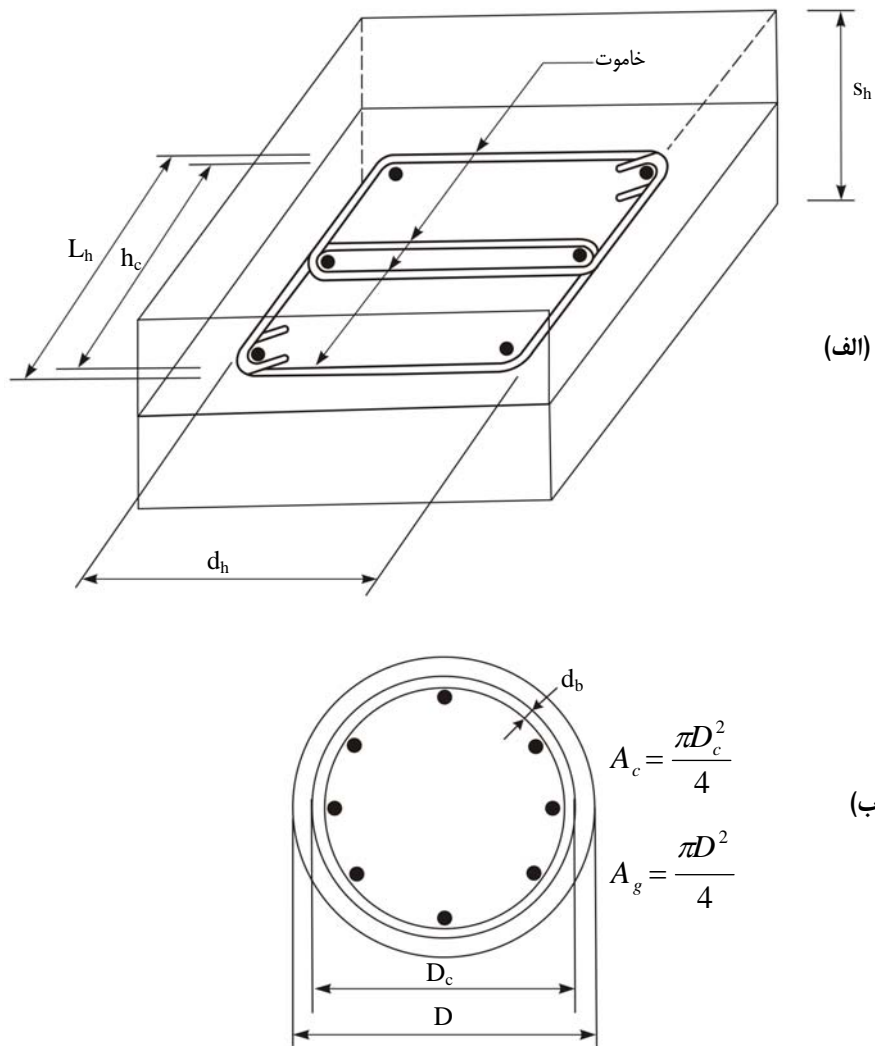
- در صورتی که از تنگهای معمولی یا قلاب استفاده شود (شکل ۱۸-۵-۲-الف):

$$\frac{A_{sh}}{L_h S_h} = 0.3 \left( \frac{A_g}{A_{ch}} - 1 \right) \frac{f'_c}{f_y} \quad (13-6-2)$$

$$\frac{A_{sh}}{L_h S_h} \geq 0.12 \frac{f'_c}{f_y} \quad (14-6-2)$$

که در دو رابطه فوق:

$f'_c$  = مقاومت مشخصه بتن ستون برای نمونه استوانه‌ای،  $f_y$  = تنش جاری شدن فولاد تنگ یا مارپیچ.



شکل ۱۸-۲ شکل تنگ مستطیلی و مارپیچ برای ارتفاع  $s_h$  از هسته ستون

$A_{sh}$  = سطح مقطع کلیه ساقهای تنگ و قلابهایی که توسط مقطعی عمود بر صفحه بررسی، که در وسط اتصال عبور داده شده، قطع می‌گردد (شکل ۱۸-۲-الف).

$L_h$  = اندازه بیرون به بیرون تنگ در امتداد عمود بر صفحه بررسی (شکل ۱۸-۲-الف).

$d_h$  = اندازه بیرون به بیرون تنگ موازی با صفحه بررسی (شکل ۱۸-۲-الف).

$S_h$  = فاصله تنگ در امتداد قائم (در امتداد میلگردھای ستون).

$A_g$  = سطح مقطع کل ستون.

$A_c$  = سطح مقطع هسته ستون، محاط در فاصله پشت به پشت تنگ مارپیچ.

$A_{ch}$  = سطح مقطع هسته ستون، محاط در فاصله پشت به پشت تنگ‌ها (شکل ۱۸-۲-الف).

$$\rho_s = \frac{A_{sp}}{A_c} = \frac{\text{حجم مارپیچ در یک حلقه}}{\text{حجم هسته در ارتفاع } s} = \frac{a_s \pi (D_c - d_b)}{(\pi D_c^2 / 4)s} \approx \frac{4a_s}{D_c s}$$

(شکل ۲-۶-۱۸)

$a_s$  = سطح مقطع میلگرد مارپیچ

$D_c$  = قطر ستون

$D_c$  = قطر پشت به پشت ننگ مارپیچ (شکل ۲-۶-۱۸)

$d_b$  = قطر میلگرد مارپیچ (شکل ۲-۶-۱۸)

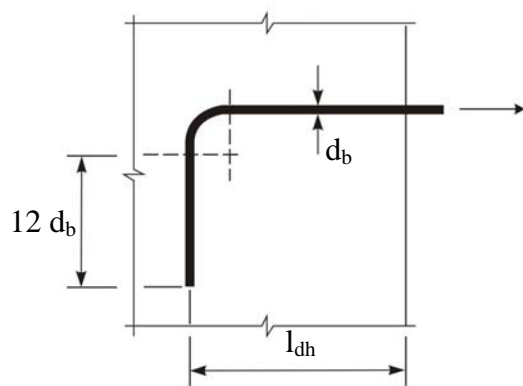
$s$  = گام مارپیچ (شکل ۲-۶-۱۸)

#### ۲-۶-۴-۱- مهار میلگرد کششی تیر در محدوده اتصال

از آنجا که در گذشته اتصالات تنها برای بارهای ثقلی طراحی می‌شدند و بدین دلیل طول مهاری میلگردها در جزئیات اتصال رعایت نمی‌شد یا طول مهاری اجرا شده کمتر از مقادیر مجاز بود، لذا به هنگام ارزیابی اتصالات موجود باید طول مهاری میلگرد کششی تیر در محدوده اتصال را مطابق ملاحظات زیر کنترل نمود.

- در صورتی که در هر دو وجه مقابله اتصال، تیر وجود داشته باشد، میلگردهای کششی یک تیر از اتصال عبور کرده و وارد تیر دیگر شده و میلگرد کششی آن تیر را به وجود می‌آورد و هیچگونه وصله‌ای نباید در روی اتصال انجام بگیرد.
- در صورتی که تیر فقط در یک طرف موجود باشد، میلگرد کششی آن توسط قلاب استاندارد مطابق شکل ۲-۶-۱۹ در ناحیه اتصال مهار می‌گردد. طول مهاری  $\ell_{dh}$  برای میلگردهای آجردار ۱۰ تا ۳۶ میلیمتر برابر است با:

$$l_{dh} = \begin{cases} f_y d_b / (5.4\sqrt{f_c}) \\ 8d_b \\ 150\text{ mm} \end{cases} \quad (15-6-2)$$



شکل ۲-۶-۱۹ قلاب استاندارد میلگرد کششی

- قلاب ۹۰ درجه باید در داخل هسته محصور شده ستون یا عضو مرزی قرار گیرد.

- برای میلگردهای آجadar نمره ۱۰ تا ۳۶ در صورتی که از طول مهاری مستقیم استفاده شود (بدون قلاب)، طول مهاری مستقیم مساوی  $2/5$  برابر طول بر اساس رابطه ۱۵-۵-۲ چنانچه ارتفاع بتن زیر میلگرد از ۳۰ سانتیمتر تجاوز نمی‌کند و  $3/25$  برابر طول لازم براساس رابطه ۱۵-۵-۲ وقتی ارتفاع بتن زیر میلگرد از ۳۰ سانتیمتر تجاوز می‌نماید، می‌باشد.

در صورت عدم رعایت موارد فوق جزئیات اتصال ضعیف بوده و اتصال باید تقویت شود.

#### ۲-۶-۵- روش‌های مقاوم‌سازی اتصالات بتنى

چنانچه اتصال توانایی تحمل لنگرها و نیروهای طراحی را نداشته باشد با یکی از روش‌های زیر اتصال را می‌توان مقاوم‌سازی نمود:

- تعمیرات جزئی،
- روکش بتنى،
- روکش فولادی (ورق فولادی مسلح کننده)،
- پوشش FRP،
- استفاده از تنگ خارجی برای افزایش ظرفیت برشی اتصالات.

#### ۲-۶-۱-۵- تعمیرات جزئی

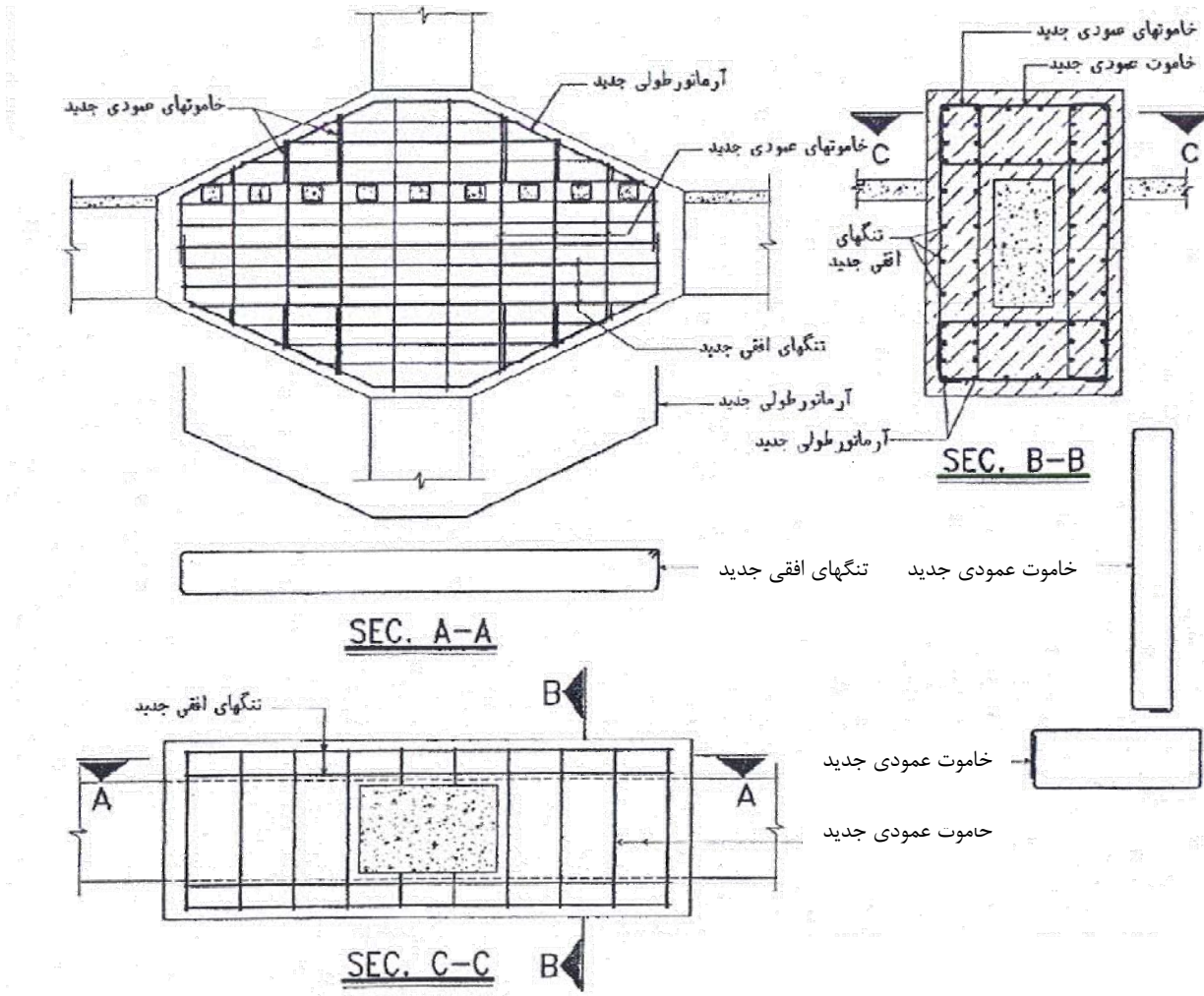
تزریق چسب اپوکسی را می‌توان برای تعمیر ترک‌های با عرض کم بکار برد. در این روش هیچ تخریبی در بتن ایجاد نمی‌شود. البته این روش برای بتن آسیب دیده کاربرد ندارد. در این روش باید ترک به وجود آمده در بتن را کاملاً با روش‌هایی مانند دمیدن هوا در ترک پاک نمود و سپس با تزریق چسب ترک را پر نمود.

#### ۲-۶-۱-۵-۲- روکش بتنى

روکش بتنى باید به گونه‌ای اجرا گردد که کلیه اعضای اتصال به صورت یکپارچه عمل نماید. عموماً این روش زمانی بکار می‌رود که هم تیر و هم ستون اتصال مستعد ترک خوردگی باشند. برای اتصال مناسب بین بتن قدیم و جدید و همچنین برای جوش نمودن میلگردهای جدید و موجود باید قسمت پوشش بتنى میلگردها را تخریب نمود. ضخامت مناسبی برای روکش بتنى در نظر گرفته شود تا کلیه میلگردهای طولی تیر و ستون و همچنین تنگ‌ها را در بر گیرد. در استفاده از این روش بکارگیری خاموت‌ها با فاصله مناسب بسیار حائز اهمیت می‌باشد.

میلگردهای قائم و افقی و خاموت‌ها باید به گونه‌ای تعییه شوند که محدوده مسلح شده‌ای در اتصال بوجود آید. در طراحی اتصال، محصور شدن اتصال توسط اعضایی که عمود بر صفحه نیروهای مورد نظر هستند، نقش بسیار مهمی را ایفا می‌نماید.

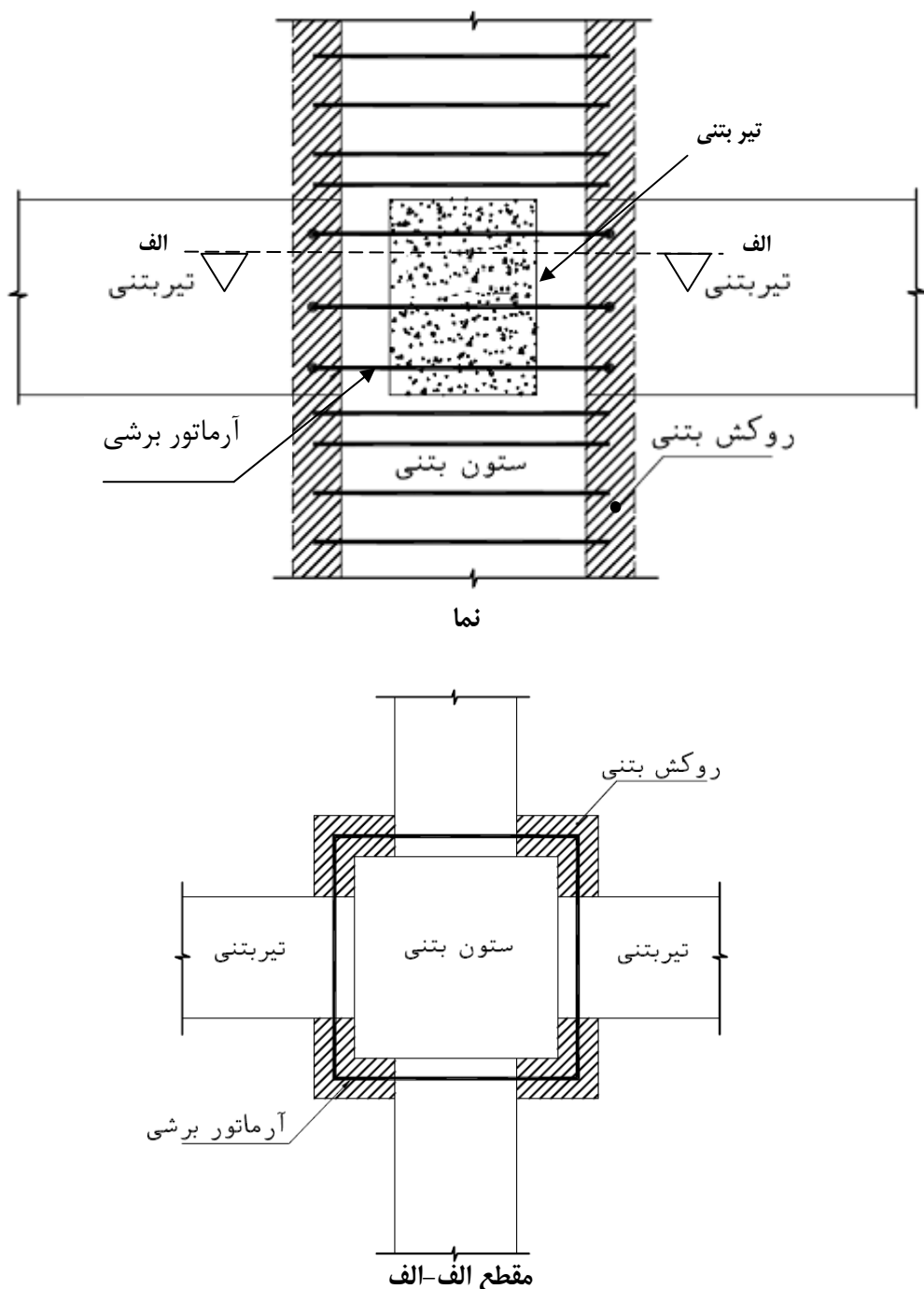
روکش بتی باید تمام وجه تیرها و ستون‌های منتهی به اتصال را در برگیرد. تنگ‌های افقی مقاومت برشی مورد نیاز را تامین می‌نماید. میلگردهای قائم عرضی توسط تنگ‌های عرضی به یکدیگر متصل می‌شوند. در استفاده از این روش، روکش بتی همواره باید سطح رویی دال را نیز پوشاند (شکل ۲۰-۶-۲).



شکل ۲۰-۶-۲ اجرای روکش بتی تنها در ناحیه اتصال

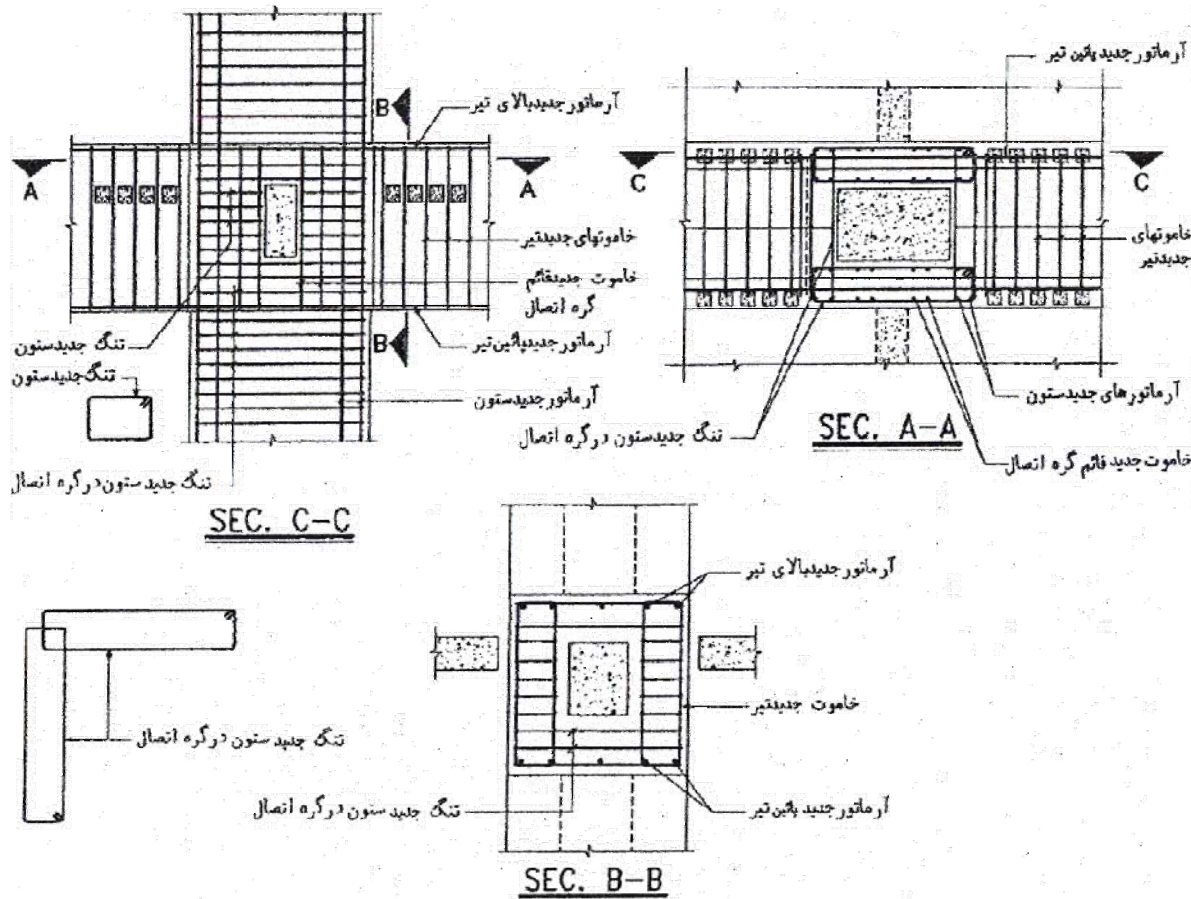
در مواردی که تنها ستون منتهی به اتصال ضعیف بوده و یا ضابطه ستون قوی، تیر ضعیف در اتصال رعایت نشده باشد، می‌توان با تقویت ستون با روکش بتی و امتداد آن تا روی اتصال مانند شکل ۲۱-۶-۲ ستون و اتصال را تقویت نمود. در این روش با سوراخ نمودن تیرهای منتهی به اتصال میلگردهای برشی از داخل تیرها عبور داده می‌شوند.

در مواردی که جزئیات اتصال و اعضای منتهی به آن بسیار ضعیف بوده و یا اینکه ترک‌های عمیقی در اتصال دیده شود، بهتر است روکش بتی در اطراف تیر و ستون منتهی به اتصال و نیز خود اتصال اجرا گردد (شکل ۲۲-۶-۲). در این روش میلگردهای اضافی از اتصال عبور داده می‌شوند. از خاموتهای افقی و قائم نیز برای تامین مقاومت برشی استفاده می‌شود. در قسمت فوقانی و تحتانی مقطع تیر، خاموتهای افقی ستون در ناحیه اتصال باید با فاصله‌های مناسب و نزدیک به یکدیگر قرار گیرند.

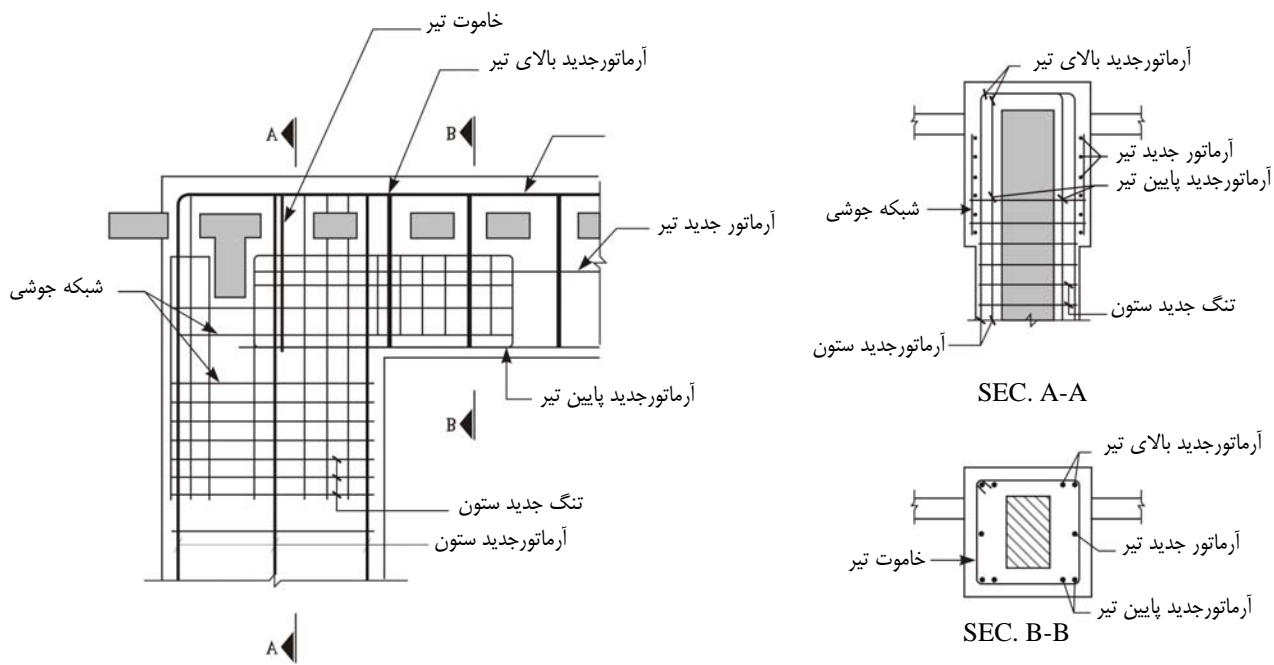


شکل ۲۱-۶-۲ اجرای روکش بتنی تنها در ستون

در اتصالات خارجی بسته به عملکرد نیروها در ناحیه اتصال باید میلگردهای مناسبی در اتصال تعییه شود (شکل ۲۳-۶-۲). میلگردهای افقی و عمودی اضافی تیر و ستون باید در داخل اتصال نفوذ نمایند. شبکه جوش شده باید مانند شکل ۲۳-۶-۲ در دو سمت اتصال تعییه شود. شبکه جوشی را باید با جوش به میلگردهای اصلی متصل نمود. در غیر این صورت می‌توان آنها را با مینخچه به بتن متصل نمود. خاموت‌های تیر به ستون نزدیک به اتصال منجر به اصلاح رفتار اتصال می‌گردد.



شکل ۶-۲۲ اجرای روکش بتی در اطراف تیر و ستون منتهی به اتصال و خود اتصال



شکل ۲-۶-۲۳- اجرای روکش بتنی در اطراف اتصال خارجی

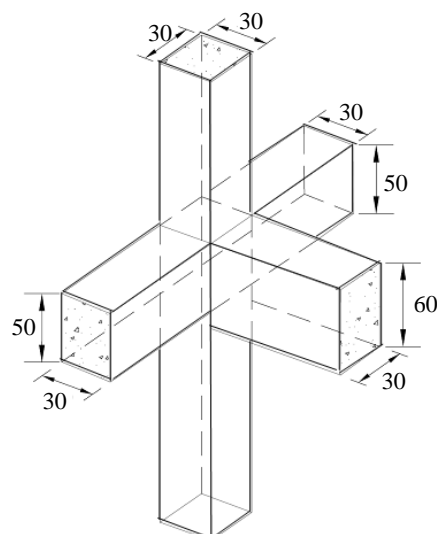


شکل ۲-۶-۲۳ اجرای روکش بتُنی در اطراف اتصال خارجی (ادامه)

### مثال ۲-۶-۱:

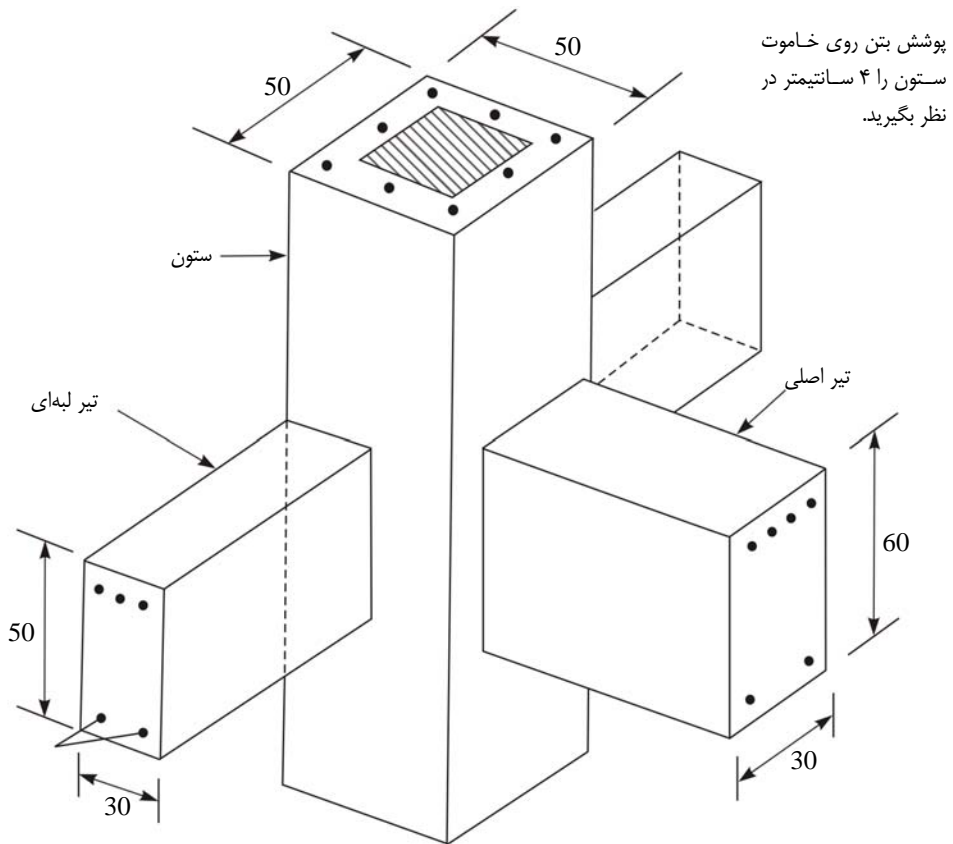
اتصال بتُنی زیر بر اساس آیین‌نامه‌های قدیمی تنها تحت اثر بارهای ثقلی طراحی شده است. از آنجا که این اتصال و ستون متصل به آن بسیار ضعیف می‌باشد، مطلوب است مقاومت‌سازی این اتصال با روکش بتُنی به گونه‌ای که اتصال مقاومت‌سازی شده تحت اثر بارهای لرزه‌ای از مقاومت و شکل‌پذیری کافی برخوردار باشد.

$$f'_c = 28 \text{ MPa} \quad f_y = 420 \text{ MPa}$$



شکل مثال ۲-۶-۱-الف

از روکش بتنی به ضخامت ۱۰۰ میلیمتر در اطراف ستون استفاده می‌شود.



شکل مثال ۲-۶-۱-ب

#### الف: تعیین نیروی برشی انتقالی در اتصال

از آنجا که نمودار نیروی برشی و لنگر خمی ستون معلوم نیست، مطابق نمودار آزاد شکل زیر و با در نظر گرفتن ارتفاع ستون فوقانی و تحتانی به ترتیب مساوی  $\frac{3}{6}$  متر و فرض نقطه عطف ستون در وسط ارتفاع، می‌توان نیروی برشی را محاسبه نمود.

$$V_u \left( \frac{h_1 + h_2}{2} \right) = M_u = 0.9M_n \quad (\text{تیر به ستون})$$

مقاومت خمی مقطع تیر با در نظر گرفتن  $4\phi 25$ ، به صورت زیر محاسبه می‌شود:

$$b = 300 \text{ mm}$$

$$(تیر) d = 510 \text{ mm}$$

$$A_s = 4 \times \frac{\pi \times 25^2}{4} = 1964 \text{ mm}^2$$

$$c = 0.85b af_c$$

$$c = 0.85 \times 300 \times a \times 28 = 7140a$$

$$T = 1.25 A_s f_y$$

$$T = 1.25 \times 1964 \times 420 = 1031100 N$$

$$a = 144.4 mm$$

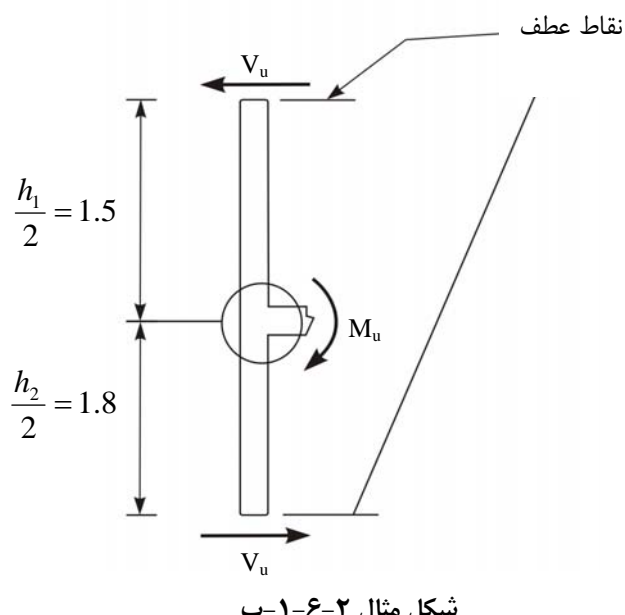
$$M_n = 1031100(510 - 0.5 \times 144.4) \times 10^{-6} = 451.42 KN.m$$

$$M_u = 0.9 \times 451.42 = 406.28 KN.m$$

$$\text{ستون } V_u = \frac{M_u}{\left(\frac{h_1 + h_2}{2}\right)} = \frac{406.28}{(1.5 + 1.8)} = 123.11 KN$$

$$\text{نیروهای کوپل } T_u = C_u = 0.9 \times 1031100 \times 10^{-3} = 927.99 KN$$

$$\text{اتصال } V_u = 927.99 - 123.11 = 804.88 KN$$



تنش برشی در اتصال برابر است با:

$$v_n = \frac{V_u}{\phi A_{cv}}$$

$$A_{cv} = b_E d \quad (\text{مطابق شکل ۲-۱-۶-ت})$$

$b_E$  عرض موثر ستون است. اگر ستون از دو طرف توسط تیرهای عرضی محصور باشد،  $b_E$  مساوی عرض کل مقطع ستون در نظر گرفته می‌شود، در غیر اینصورت، عرض موثر  $b_E$  مساوی عرض پشت به پشت تنگ و در صورتی که ستون فاقد تنگ باشد،

مساوی عرض پشت به پشت میلگرد های ستون منظور می گردد. در این مثال چون عرض تیرهای جانبی کوچکتر از  $\frac{3}{4}$  عرض

ستون می باشد، نمی تواند به عنوان عضو محصور کننده حساب آید. بنابراین:

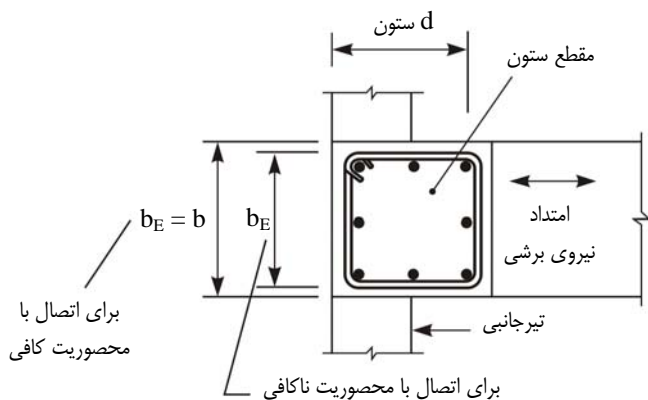
$$b_E = 500 - 2 \times 40 = 420 \text{ mm}$$

$$d = 500 - (50 + \frac{61.6}{2}) = 420mm$$

$$\nu_n = \frac{804.88 \times 10^3}{0.6 \times 420 \times 420} = 7.6 \text{ MPa}$$

$$v_n = 1.2\sqrt{f'_c} = 1.2\sqrt{28} = 6.35 MPa < 7.6 MPa$$

$$\nu_n = 6.35 MPa$$



شکل مثال ۲-۶-۱-ت- سطح مقطع موثر بتنی در هسته اتصال

تنش برشی قابل تحمل توسط بتن برابر است با:

$$v_c = \left( 1 + \frac{N_u}{14A_g} \right) \frac{\sqrt{f_c'}}{6}$$

اگر نیروی محوری با ضریب ستون مساوی ۲۴۰۰ کیلونیوتون فرض گردد، نتیجه می‌شود:

$$N_u = 2400 \text{ KN}$$

چون عرض تیرهای جانبی کوچکتر از  $\frac{3}{4}$  عرض ستون می‌باشد، اتصال به قدر کافی محصور نشده است. بنابراین برای  $V_c$

بِدْسَتْ مَيْ آيْدِ:

$$\nu_c = \left( 1 + \frac{N_u}{14A_g} \right) \frac{\sqrt{f'_c}}{6}$$

$$\nu_c = \left( 1 + \frac{2400 \times 10^3}{14 \times 500 \times 500} \right) \frac{\sqrt{28}}{6}$$

$$\nu_c = 1.48 MPa$$

$$\nu_n = 6.35 > 1.48 MPa$$

$$\nu_n - \nu_c = 6.35 - 1.48 = 4.87 MPa$$

پس وجود تنگ در اتصال الزامی می‌باشد.

$$V_s = (\nu_n - \nu_c) b_E d = 4.87 \times 420 \times 420 \times 10^{-3} = 859 KN$$

$$\frac{A_v}{s} = \frac{V_s}{f_y d} = \frac{859 \times 10^3}{420 \times 420} = 4.87$$

اگر از دو ردیف خاموت نمره ۱۲ در فواصل ۱۰۰ میلیمتر استفاده شود، می‌توان نوشت:

$$A_v = 4.87 \times 100 = 487 mm^2$$

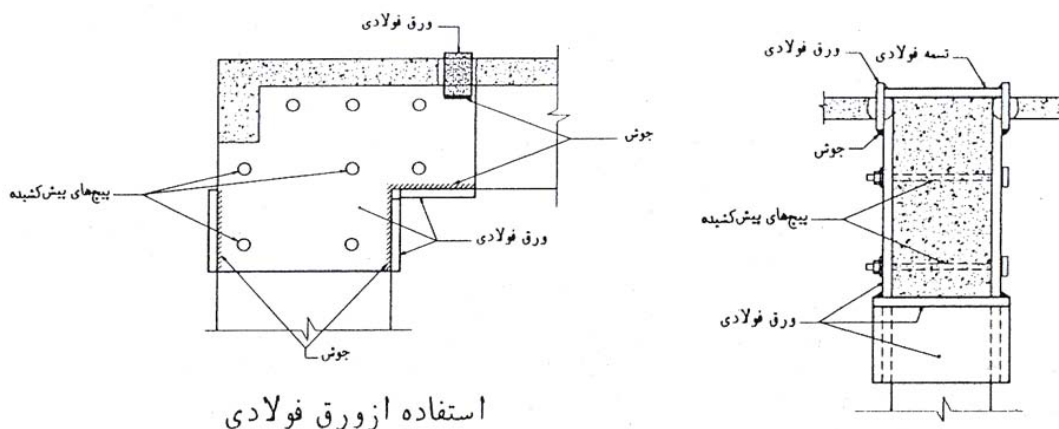
$$12 \text{ سطح مقطع یک ساق میلگرد نمره } 12 = 113 mm^2 \Rightarrow A_v = 4 \times 113 = 452 mm^2$$

مثال ارائه شده به خوبی مشکلات تقویت اتصالات صلب بتن مسلح را نشان می‌دهد. لذا مجدداً توصیه می‌شود در مقاوم‌سازی قاب‌های خمشی بتن مسلح، بجای تقویت اتصال در برابر بارهای جانبی از راهکارهای تقویت سیستم با برابر جانبی ساختمان مانند اضافه نمودن دیوار برپی و ... استفاده نمود. این راهکارها منجر به کاهش لنگرهای موجود در اتصال می‌گردد.

### ۲-۳-۵-۶-۱-۶-۲- روکش فولادی (ورق فولادی مسلح کننده)

استفاده از ورق فولادی مسلح کننده روشی است که با استفاده از آن می‌توان بدون افزایش ابعاد اتصال، مقاومت آن را افزایش داد. در روش استفاده از ورق فولادی مسلح کننده موقعیت اتصال تأثیر بسیاری بر میزان افزایش مقاومت اتصال دارد (شکل ۲-۶-۲).

ورق فولادی تقویت کننده بهتر است با چسب اپوکسی به اتصال چسبانده شود و سپس با پیچ‌های پیش‌تینیده به اتصال محکم گردد. چسب یا گروت اپوکسی می‌تواند سطوح ناهموار اتصال را نیز اصلاح نماید. حداقل ضخامت ورق تقویت ۴ میلیمتر می‌باشد. قبل از انجام عملیات فوق ضروریست که اتصال به طور موضعی مرمت شود. ورق‌های فولادی مسلح کننده ضعف‌های عمدۀ سازه‌های بتن مسلح یعنی فقدان میلگرد برپی کافی و نیاز به میلگردهای محصور کننده هسته بتنی را کاهش می‌دهد. به منظور بهسازی لرزه‌ای اتصالات کناری و میانی در صورتی می‌توان از روکش فولادی استفاده نمود که ورق‌های فولادی مسلح کننده را در کلیه وجوه تیر و ستون بکار برد و آنها را مستقیماً و یا از طریق نیشی به یکدیگر جوش نمود (شکل ۲-۶-۲).



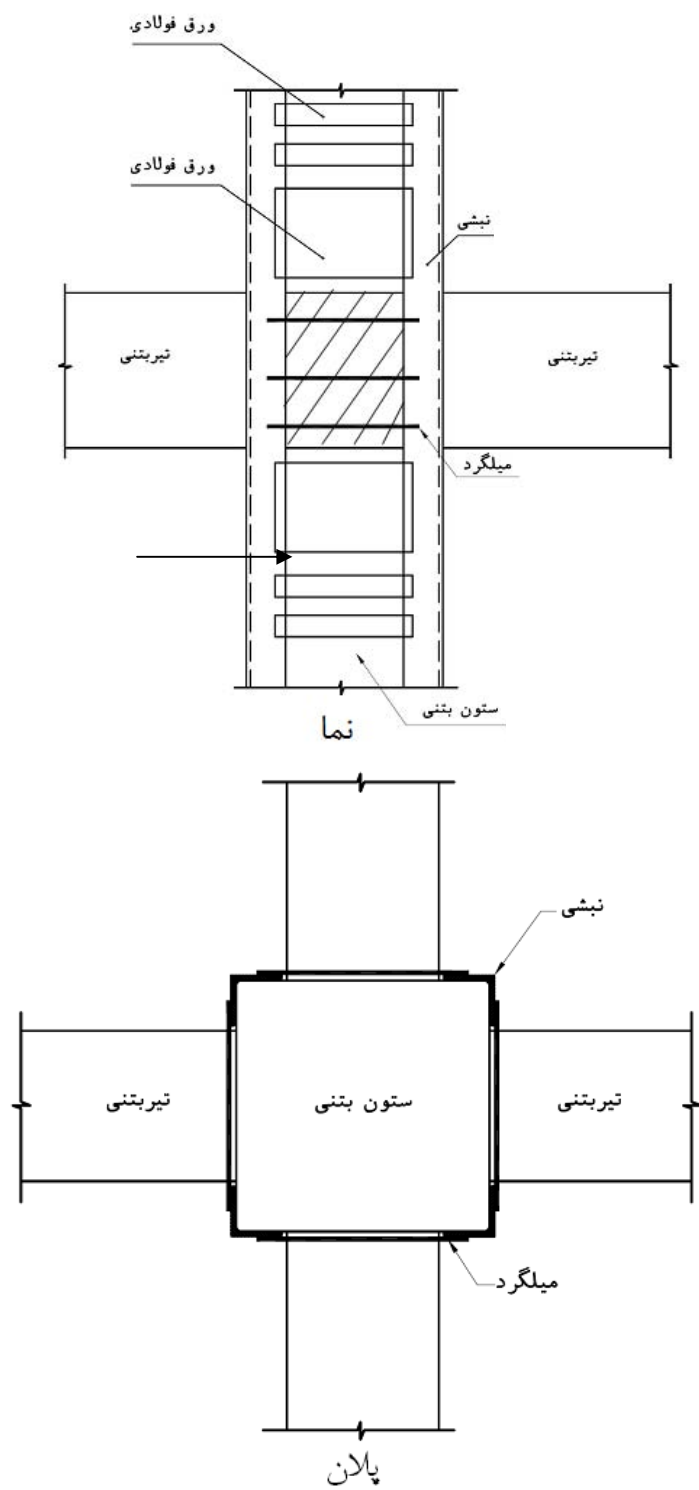
شکل ۲۴-۶-۲ روشهای بهسازی اتصالات کناری



شکل ۲۵-۶-۲ روشهای بهسازی اتصالات میانی

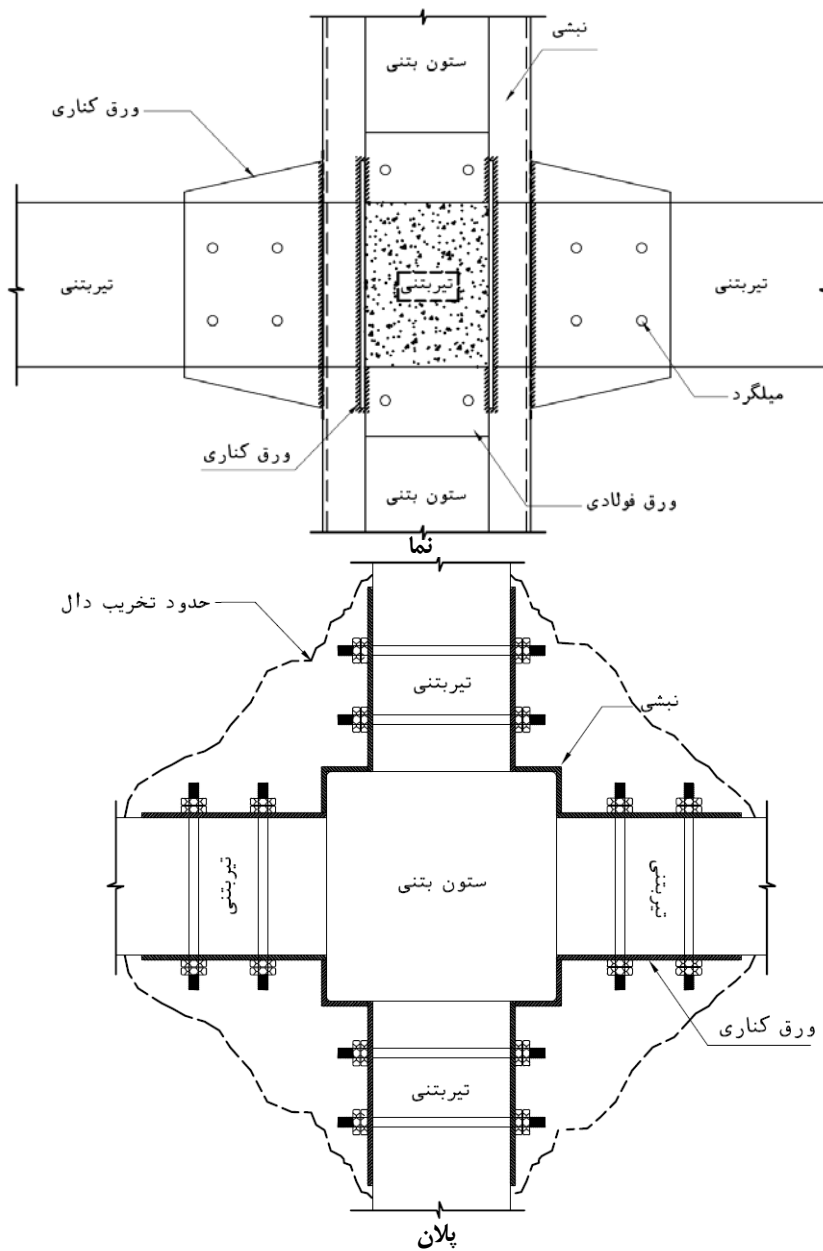
در مواردی که فقط ستون متنهی به اتصال ضعیف بوده و یا ضابطه ستون قوی، تیر ضعیف در اتصال رعایت نشده باشد، می‌توان با تقویت ستون با روکش فولادی و امتداد آن تا روی اتصال مانند شکل ۲۶-۶-۲ ستون و اتصال را تقویت نمود. در این روش با سوراخ نمودن تیرهای متنهی به اتصال میلگردهای برشی از داخل تیرها عبور داده می‌شوند.

برای مکان‌هایی که در آنها خوردگی شیمیایی زیاد است، در صورتی می‌توان از روکش فولادی استفاده نمود که ابتدا با انجام آزمایش‌هایی خاص میزان خوردگی فولاد را اندازه‌گیری نموده و در صورت کمتر بودن میزان خوردگی از رواداری‌های مجاز، این روش را بکار برد.



شکل ۲-۶-۲۶ اجرای روکش فولادی تنها در ستون

روکش فولادی را با ورق‌های گونه نیز می‌توان اجرا نمود. در این روش نیروهای کششی و فشاری بال‌های فوقانی و تحتانی تیر به کمک ورق‌های گونه به ستون انتقال داده می‌شود. رعایت جزئیات اجرایی در این روش مقاومسازی بسیار مهم و روش اجرای آن نیز بسیار مشکل می‌باشد. نمونه‌ای از جزئیات مقاومسازی با ورق کناری در شکل ۲-۶-۲۷ نشان داده شده است.



شکل ۲۷-۶ مقاوم سازی اتصال با ورق کناری

روکش فولادی را با ورق های موجدار نیز می توان اجرا نمود. اتصالات ضعیف توسط ورق های فولادی موجدار روکش می شوند و فاصله موجود بین ورق و سطح بتن با گروت منبسط شونده پر می شود. روکش را می توان بر روی ستون و اتصال اجرا نمود، ولی برای افزایش مقاومت برشی تیر بهتر است روکش را تا روی تیر نیز امتداد داد. ورق فولادی موجدار در برابر بارهای سیکلی رفتار بهتری نسبت به ورق های مسطح از خود نشان می دهند.

#### ۲-۵-۴-۶-۱-۴-۵-۶-۲ پوشش FRP

با محصور نمودن اعضای اتصال با پوشش FRP می توان ظرفیت خمشی و همچنین ظرفیت برشی اتصال را افزایش داد. به علت دورگیری، بکارگیری این روش میزان شکل پذیری اتصال را نیز افزایش می دهد. با استفاده از این روش می توان بدون افزایش

بعد اتصال، مقاومت آن را افزایش داد. استفاده از FRP نسبت به روکش فولادی ارجح است، زیرا FRP برخلاف فولاد دچار خوردگی نمی‌شود و می‌تواند در مقابل خوردگی اسیدها، بازها و مواد مهاجم مشابه در دامنه وسیعی از دما مقاومت کند. در نتیجه نیاز به سیستم‌های حفاظت از خوردگی نمی‌باشد و آماده کردن سطوح اعضا قبل از چسباندن صفحات FRP و نگهداری از آنها بعد از نصب، آسان‌تر از صفحات فولادی است. لازم به ذکر است که در استفاده از این روش برخلاف روش مقاومسازی با روکش بتنی نیاز به افزایش ابعاد اتصال و عملیات ساختمانی پر حجم نمی‌باشد.

در صورتیکه FRP انتهای اعضا متعلق به اتصال (تیر و ستون) را محصور نماید، تقویت برشی در محدوده مفصل پلاستیک تیر و ستون صورت می‌پذیرد ولی هسته اتصال از لحاظ برشی تقویت نمی‌گردد و در صورتیکه FRP به صورت خمشی در ناحیه لنگر منفی (ناحیه فوقانی تیر) قرار گیرد (با توجه به اینکه FRP در حالت معمولی از یک تیر به تیر دیگر از طریق اتصال عبور نمی‌نماید، بلکه از روی تیر به روی ستون قرار می‌گیرد) عملای مهار نیروی کششی در محدوده اتصال ایجاد نمی‌گردد بنابراین نتیجه‌گیری می‌گردد تقویت خمشی تیر در ناحیه اتصال با این روش نیز امکان‌پذیر نمی‌باشد و افزایش ظرفیت گیرداری در محل اتصال اتفاق نمی‌افتد. به عنوان راه حل برای دسترسی به هسته اتصال، بکار گیری مهارهای الیافی در داخل سوراخ‌های ریز ایجاد شده درون اتصال، میتواند مورد استفاده قرار گیرد.

با توجه به این مطلب که لنگر در ناحیه اتصال منفی است و بزرگترین مقدار لنگر در محل اتصال رخ می‌دهد بنابراین نمی‌توان نوارها یا صفحات FRP را که برای مقاومسازی بروی تیر و ستون چسبانده می‌شوند، در محل اتصال و یا قبل از آن قطع کرد بلکه باید نوارهای FRP را به نحو مناسبی در انتهای اتصال مهاربندی کرد. با توجه به شرایط مقاومسازی و شکل تیر و ستون، طرحهای متفاوتی برای مهاربندی انتهای FRP در اتصالات پیشنهاد شده است.

بدلیل وجود فولاد داخلی در مقطع اتصال، این نوع مهاربندی تنها در صورتی می‌تواند استفاده شود که عرض نوار FRP کم باشد تا در سوراخهای ایجاد شده بین دو میلگرد داخل دیوار بتواند قرار گیرد. اغلب آزمایشات انجام یافته، بروی مدل‌هایی متتمرکز شد که به همین صورت انتهای FRP مهاربندی شده است. نتایج نشان داد که این نوع مهاربندی عملکرد خوبی دارد سوراخهای ایجاد شده را نیز باید پس از قرار گرفتن FRP، مجدداً با ملات اپوکسی پر کرد. برای پر کردن این سوراخها ملات سیمان مناسب نیست زیرا افت سیمان سبب تأثیر منفی بر مقاومت مهاربندی می‌گردد.

در محاسبات مقطع تقویت شده با مصالح FRP بجای روابط مربوط به مقطع تقویت نشده طبق گام‌های زیر از این روابط استفاده می‌شود.

گام ۱: محاسبه زوج نیروی کششی و فشاری وارد بر اتصال

$$T_{f_1} + T_1 = C_1 \quad (16-6-2)$$

$$T_{f_2} + T_2 = C_2 \quad (17-6-2)$$

گام ۲: محاسبه نیروی برشی وارد بر اتصال

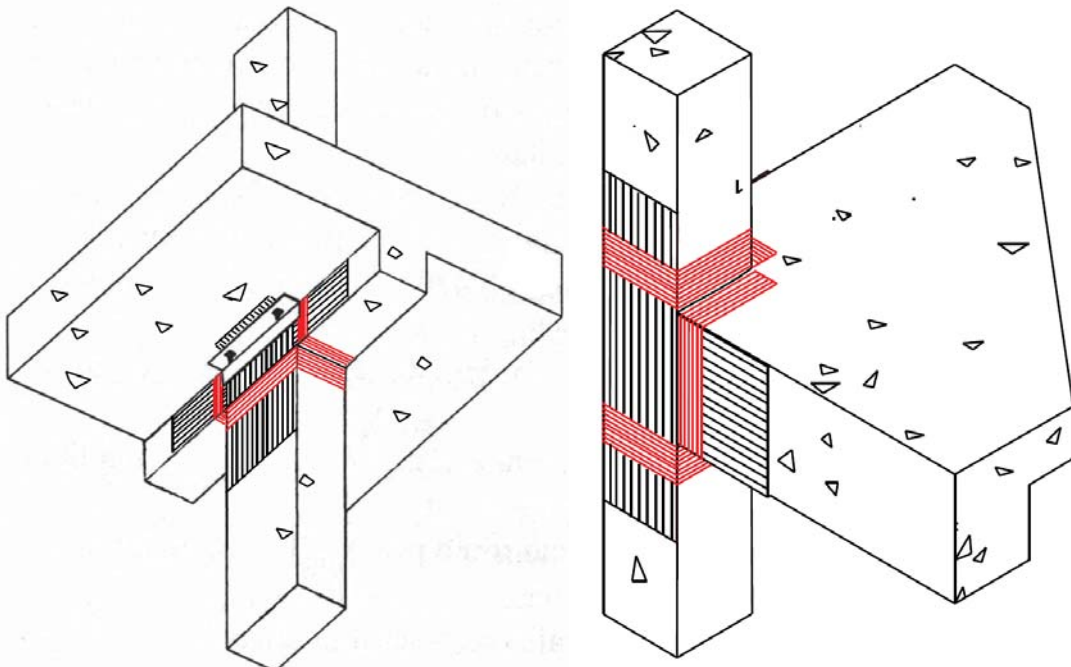
$$\text{ستون } V_u = (T_{f_1} + T_1) + (T_{f_2} + T_2) - V_u \quad \text{اتصال} \quad (18-6-2)$$

$$V_u = \frac{M'_1}{j_b} + \frac{M'_2}{j_b} - \frac{V_{c1} + V_{c2}}{2} \quad (19-6-2)$$

گام ۳: محاسبه نیروی برشی نهایی اتصال

$$V_n = V_c + V_s + V_f \quad (20-6-2)$$

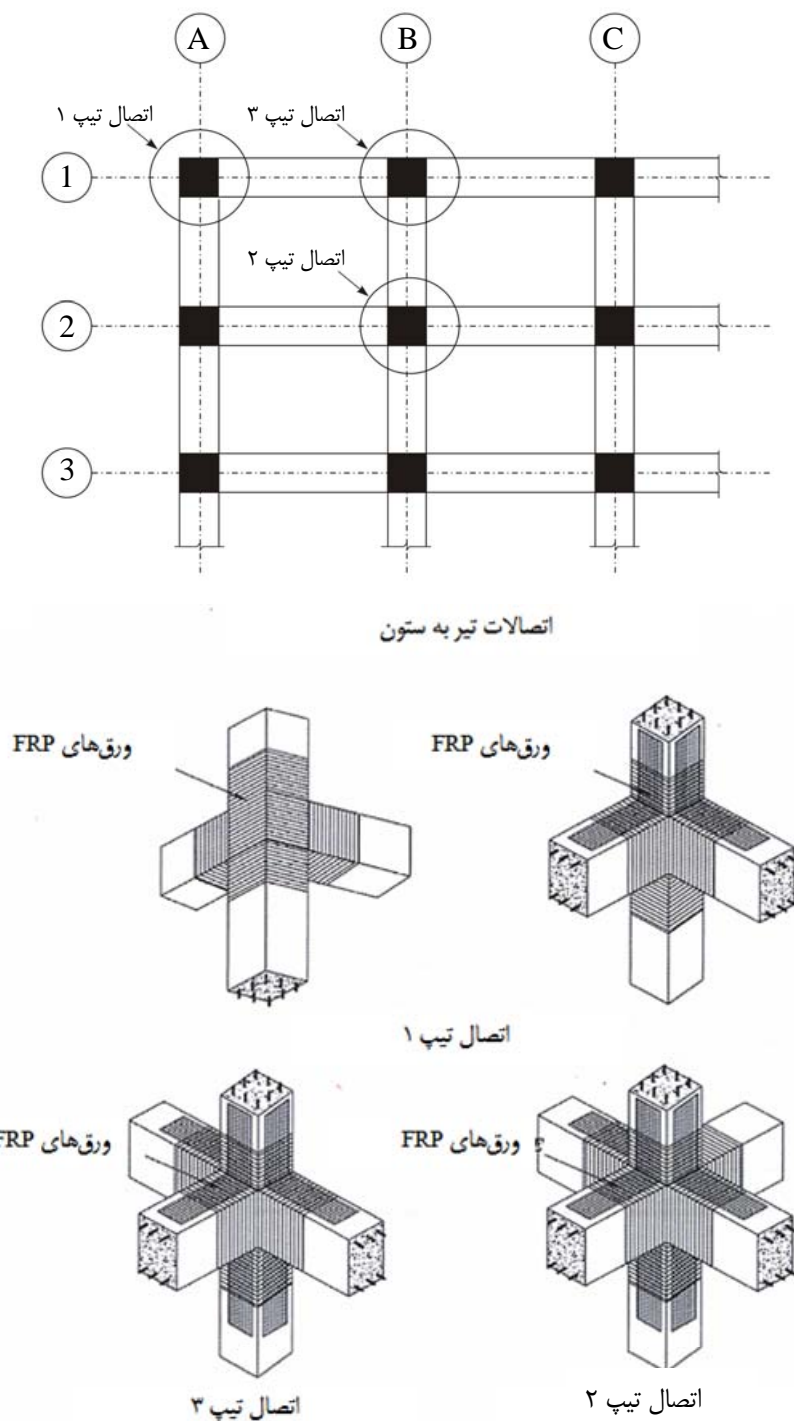
$$V_n = v_c \cdot b \cdot j_c + \frac{0.5 f_y A_v j_c}{S} + \frac{0.5 E_{frp} \varepsilon_{frp} f_{frp} A_{frp} j_c}{S'} \quad (21-6-2)$$



شکل ۲۸-۶-۲ نمونه‌ای از اتصال مقاوم‌سازی شده با ورق FRP



شکل ۲۹-۶-۲ جزئیات تیپ استفاده از FRP در مقاوم‌سازی اتصالات



شکل ۲-۶-۳۰: جزئیات تیپ استفاده از FRP در مقاومسازی اتصالات

گام ۴: کنترل نیروی برشی وارد بر اتصال

$$\phi V_n \geq V_u \quad (22-6-2)$$

که در روابط فوق:

$E$ : مدول الاستیسیته مصالح FRP بر حسب مگاپاسکال،  $E_{frp}$

$\epsilon$ : کرنش موجود در مصالح FRP،  $\epsilon_{frp}$

$f$ : تنش کششی مصالح FRP بر حسب مگاپاسکال،  $f_{frp}$

$S'$ : فاصله رکابی‌های FRP از یکدیگر،

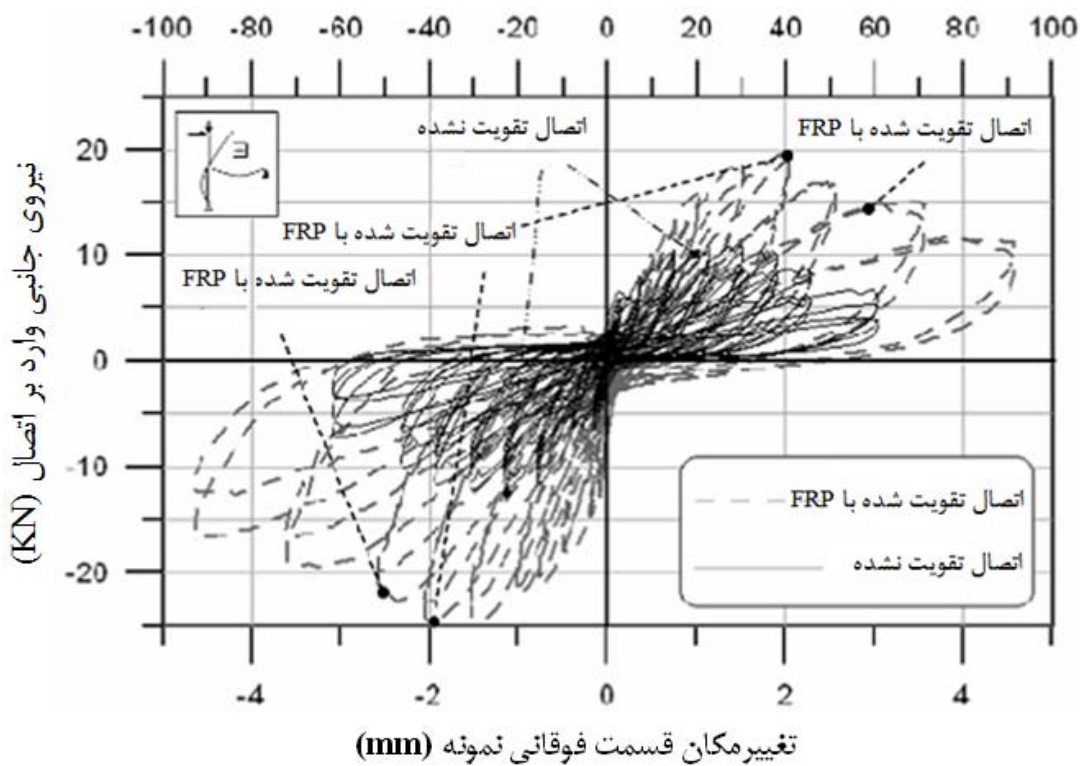
$V_c$ : مقاومت برشی نهایی تامین شده توسط بتن بر حسب نیوتن،

$V_s$ : مقاومت برشی نهایی تامین شده توسط میلگرد برشی بر حسب نیوتن،

$V_f$ : مقاومت برشی نهایی تامین شده توسط مصالح FRP بر حسب نیوتن می‌باشد.

نمونه‌ای از اتصالات بهسازی شده با مصالح FRP در اشکال ۲-۲۸-۶-۳۰ تا ۲-۶-۳۱ نیز

تأثیر FRP بر رفتار لرزه‌ای اتصال را نشان می‌دهد.

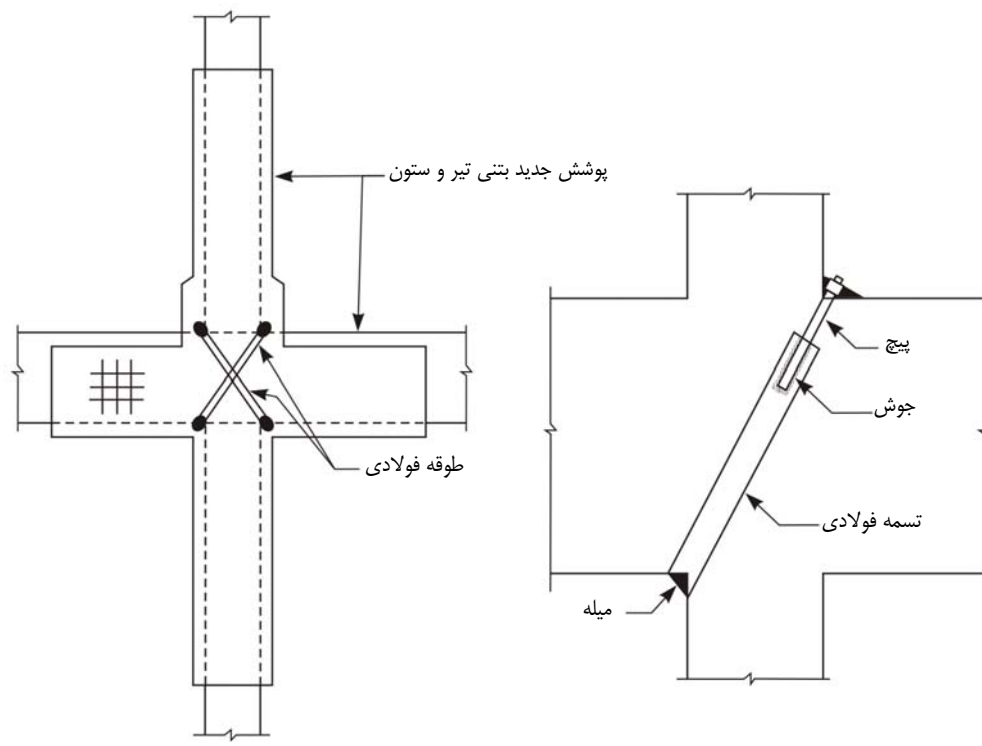


شکل ۲-۶-۳۱ تأثیر FRP بر رفتار لرزه‌ای اتصال

#### ۲-۶-۵-۵- استفاده از تنگ خارجی برای افزایش ظرفیت برشی اتصالات

پس از آنکه ایرادات ترک‌های سطحی با تزریق چسب اپوکسی بر طرف شدن و سطح بتن کاملاً تمیز شد، اتصال با استفاده از تنگ‌های خارجی که پیش‌تینیده شده‌اند، تقویت می‌شود. پس از این مرحله اتصال با شبکه‌ای از مفتول‌های به هم جوش شده پوشانده شده و بتن‌پاشی می‌شود. وقتی که چهار تیر به اتصال وارد می‌شود استفاده از تنگ در دو طرف ممکن نیست زیرا قادر به عبور از اتصال نیستند. لازم به ذکر است استفاده از تنگ خارجی در یک جهت به هیچ عنوان برای بارهای لرزه‌ای مناسب نمی‌باشد زیرا این

تنگ‌ها کششی کار کرده و به هیچ عنوان ظرفیت تحمل نیروی فشاری را ندارند. نمونه‌ای از تنگ خارجی برای افزایش ظرفیت برشی اتصالات در شکل ۲-۶-۳ نشان داده شده است.



شکل ۲-۶-۳ بهسازی ظرفیت برشی اتصالات با استفاده از تنگ خارجی در یک و یا دو جهت

## ۲-۶-۲-۱-۲-۶-۲ راهکارهای بهسازی اتصالات فولادی

### ۲-۶-۲-۱-۲-۶-۲ معرفی

همان گونه که در قسمت قبلی بدان اشاره شد بدلیل عدم شناخت کافی از رفتار اتصالات، بسیاری از آسیب‌های ایجاد شده در سازه‌ها از ضعف در طراحی یا اجرای اتصالات ناشی می‌شود. بنابراین بررسی آسیب‌های وارد شده بر اتصالات در اثر زلزله‌های گذشته امری ضروری می‌نماید.

آسیب‌های اتصالات در اثر زلزله‌های گذشته را می‌توان به آسیب‌های تیر، ستون، جوش، اجزا و چشمۀ اتصال طبقه‌بندی نمود. آسیب‌های واردۀ به اتصال ممکن است یکی از انواع فوق و یا چند نوع مختلف باشد. مشاهده وسیع این‌گونه آسیب‌ها در اتصالات بر اثر زلزله‌های گذشته بسیار هشداردهنده می‌باشد.

## ۲-۶-۲-۲-۶-۲ آسیب‌های اتصالات فلزی

انواع خرابی‌ها و صدمات واردۀ بر ناحیه اتصال در حین زلزله به صورت زیر طبقه‌بندی می‌شوند:

(الف) خرابی در تیرها (G)

(ب) خرابی در بال ستون‌ها (C)

(پ) خرابی در جوش (W)

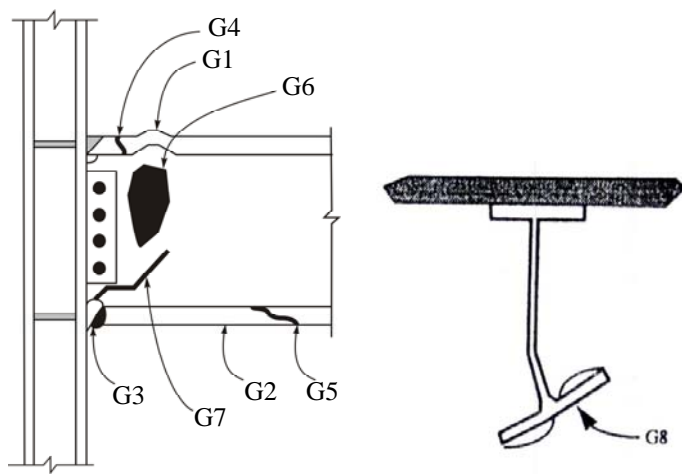
(ت) خرابی در ورق برشی جان (S)

(ث) خرابی در چشمۀ اتصال

**الف- خرابی در تیرها**

وقوع هشت نوع خرابی در تیر مطابق شکل ۳۳-۶-۲ محتمل است.

| توضیح  | نماد خرابی |
|--|------------|
| کمانش بال (بال فوقانی یا تحتانی)                           | G1         |
| تسلیم بال (بال فوقانی یا تحتانی)                           | G2         |
| گسیختگی بال در ناحیه تفتیده (بال فوقانی یا تحتانی)         | G3         |
| گسیختگی بال در خارج از ناحیه تفتیده (بال فوقانی یا تحتانی) | G4         |
| گسیختگی بال فوقانی یا تحتانی                               | G5         |
| تسلیم یا کمانش جان   | G6         |
| گسیختگی جان  | G7         |
| کمانش پیچشی جانبی مقطع                                     | G8         |



شکل ۳۳-۶-۲ خرابی در تیرها

در خرابی تیرها در زلزله نورتریج بیشتر خرابی‌ها در بال پایینی مشاهده شده است، هر چند که خرابی‌هایی در بال فوقانی نیز گزارش شده است. این واقعیت با دلایل متعددی به شرح زیر قابل توجیه است.

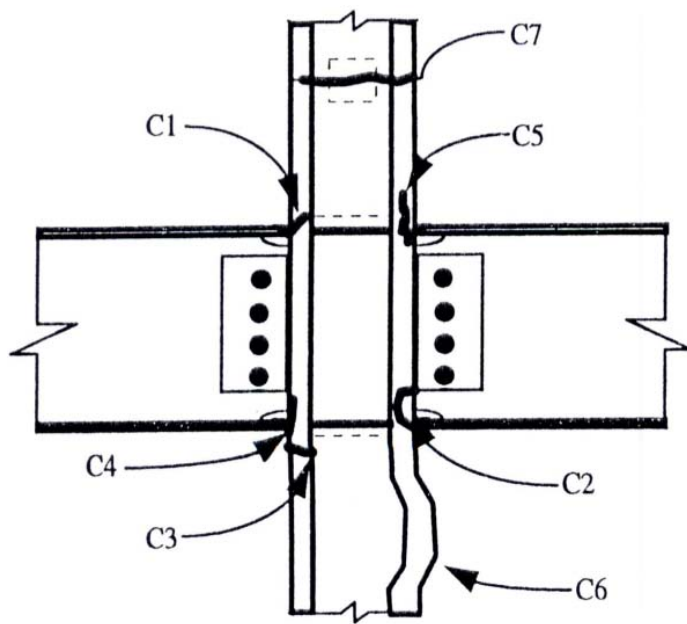
۱- عملکرد مختلط دال بتنی با بال فوقانی که موجب انتقال تار خنثی به طرف بالا و افزایش تنش در بال تحتانی می‌شود.

- ۲- کیفیت پایین جوش لب به لب بال تحتانی به ستون به علت دسترسی ناقص جوشکار به آن در حین جوشکاری.
- ۳- انجام آزمایش فراصوت در بال فوقانی به آسانی امکان پذیر است، در نتیجه کیفیت پذیرش آن نیز افزایش می‌یابد.
- ۴- تسمه پشت بند جوش در بال پایینی در تار تنش حداکثر قراردارد، در حالی که در بال فوقانی در تار تنش حداکثر نیست. وجود تسمه پشت بند عامل تمرکز تنش می‌باشد.

### ب- خرابی در بال ستون

وقوع هفت نوع خرابی در بال ستون مطابق شکل ۳۴-۶-۲ محتمل است.

| توضیح                                      | نماد خرابی |
|--|------------|
| ترک جزی                                    | C1         |
| قلوه کن شدن بالها                          | C2         |
| ترک کامل یا جزی خارج از ناحیه تفتیده       | C3         |
| ترک کامل یا جزی خارج از ناحیه تفتیده (HAZ) | C4         |
| پارگی لایه‌ای                              | C5         |
| کمانش بال ستون                             | C6         |
| گسیختگی در وصله                            | C7         |

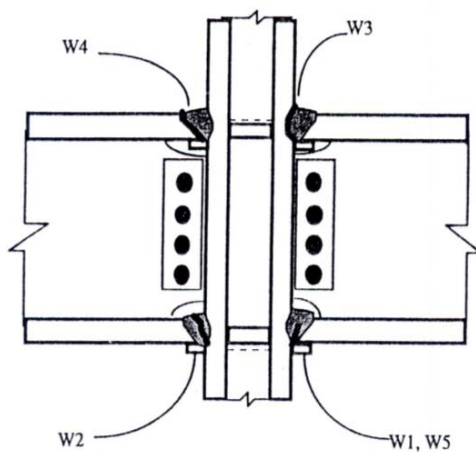


شکل ۳۴-۶-۲ خرابی در ستون

### پ- خرابی‌ها و نقایص جوش

پنج نوع خرابی، نقص و ناپیوستگی جوش در شکل ۳۵-۶-۲ نشان داده شده است.

| توضیح   | نماد خرابی |
|---|------------|
| ترک در ریشه جوش   | W1         |
| ترکهایی به عمق کوچکتر از $5 \text{ میلیمتر}$ و یا $t_f/4$ و عرض کوچکتر از $b_f/4$ | W1a        |
| ترکهایی عمیق تر و بزرگتر از W1a   | W1b        |
| ترک در ضخامت کامل فلز جوش   | W2         |
| گسیختگی در فصل مشترک فلز جوش با ستون  | W3         |
| گسیختگی در فصل مشترک فلز جوش با تیر   | W4         |
| علایم قابل تشخیص با آزمایش UT- غیر قابل رد کردن                                   | W5         |

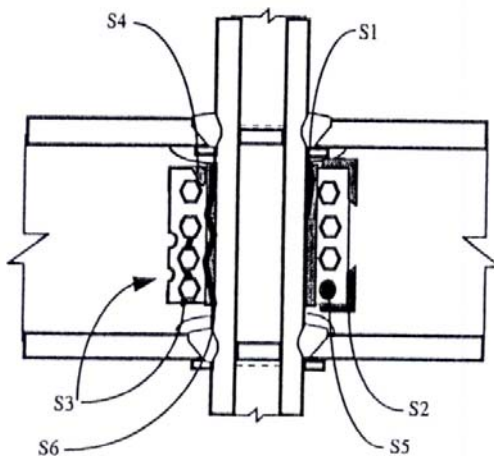


شکل ۲-۶-۳۵ خرابی‌ها و نفایص جوش

### ت- خرابی در ورق اتصال برشی جان تیر

شش نوع خرابی ورق اتصال برشی جان تیر در شکل ۲-۶-۳۶ نشان داده شده است. وقوع خرابی عمدی در ورق اتصال برشی، مبین وقوع خرابی در ستون، تیر، جوش و یا چشمۀ اتصال است.

| توضیح                                 | نماد خرابی |
|---------------------------------------|------------|
| ترک جزی در جوش ورق به ستون            | S1         |
| بالهای تیر سالم                       | S1a        |
| بالهای تیر ترک خورده                  | S1b        |
| گسیختگی جوش های تکمیلی                | S2         |
| بالهای تیر سالم                       | S2a        |
| بالهای تیر ترک خورده                  | S2b        |
| ترک از ناحیه پیچ ها                   | S3         |
| تسلیم یا کمانش ورق اتصالی برشی        | S4         |
| پیچ های شل، صدمه دیده و یا فراموش شده | S5         |
| گسیختگی کامل جوش ورق برشی به ستون     | S6         |

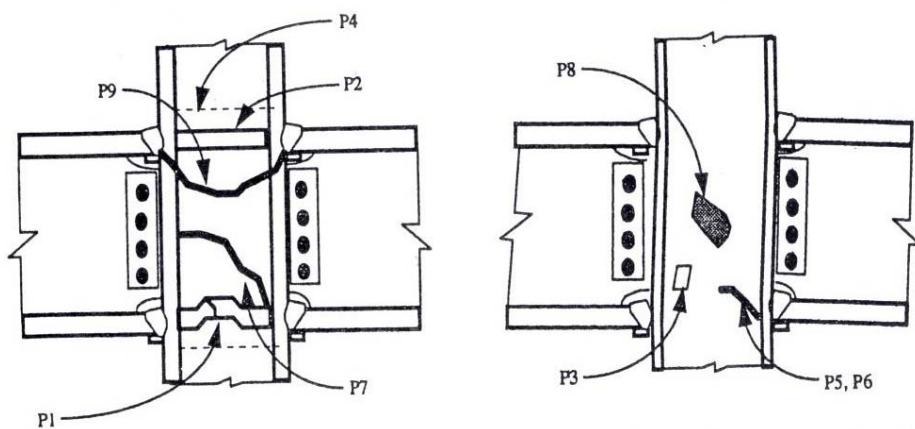


شکل ۳۶-۲ خرابی در ورق اتصال برشی جان تیر

## ث- خرابی در چشمۀ اتصال

نه نوع خرابی در چشمۀ اتصال در شکل ۳۷-۲ نشان داده شده است.

| توضیح   | نماد خرابی |
|---|------------|
| گسیختگی، کمانش و یا تسلیم ورق پیوستگی             | P1         |
| گسیختگی در جوش ورق پیوستگی                        | P2         |
| تسلیم یا تغییر شکل جان                            | P3         |
| شکست جوش ورق مضاعف                                | P4         |
| گسیختگی جزیی در ورق مضاعف                         | P5         |
| گسیختگی جزیی در جان ستون                          | P6         |
| گسیختگی کامل یا نزدیک به کامل در جان یا ورق مضاعف | P7         |
| کمانش جان   | P8         |
| گسیختگی کامل ستون                                 | P9         |



شکل ۳۷-۲ خرابی در چشمۀ اتصال

**۲-۳-۶-۲- نارسایی‌های اتصال**

با توجه به آسیب‌های به وجود آمده در اتصال در اثر زلزله‌های قبلی می‌توان نارسایی‌های اتصال را به شرح زیر طبقه بندی نمود:

(الف) عدم انتخاب جزئیات مناسب (ساختار غلط اتصال).

(ب) عدم تناسب در ورق‌های اتصال.

(پ) عدم توجه به لبه‌های آزاد و لاغری ورق‌های اتصال.

(ت) فاصله‌بندی غلط وسایل اتصال.

(ث) عدم توجه به دسترسی به نقاط کور اتصال.

(ج) عدم دقت در اجرای جوش‌ها با طول و بعد صحیح.

**۲-۴-۶-۲- ورق‌های پیوستگی**

ورق‌های پیوستگی باید در مقابل بال‌های تیر یا ورق‌های پوششی اتصال بال بالایی و پایینی تیرهای متصل شونده به ستون و به صورت متقاض نسبت به محور ستون، قرار داده شوند (شکل ۲-۶-۳۸). این ورق‌ها برای انتقال نیروهای درون صفحه‌ای حاصل از لنگر تیر به چشم‌هه اتصال در ستون به کار برد می‌شوند و باید شرایط زیر را برآورده نمایند:

**الف:** طول ورق‌ها باید برابر با فاصله خالص دو بال ستون باشد.

**ب:** ضخامت ورق‌ها باید از ضخامت بال یا ورق پوششی اتصال بال تیرهای دوطرف کمتر نباشد.

**پ:** پهنای ورق‌ها باید در ستون‌های با مقطع H شکل از مجموع پهنای عرض تیر یا عرض ورق پوششی اتصال در دوطرف جان کمتر نباشد.

**ت:** نسبت عرض به ضخامت در ورق‌های پیوستگی ستون‌های H شکل، باید از  $\sqrt{\frac{E}{F_{ye}}}$  ۰.۵۵ کوچکتر باشد. در این روابط

نش تسلیم ورق‌های پیوستگی است.

**۲-۵-۲- چشم‌هه اتصال**

چشم‌هه اتصال، ناحیه‌ای از جان‌های ستون است که محصور بین امتداد بال‌های بالایی و پایینی تیرهای دو وجه ستون و بال‌های ستون می‌باشد. ناحیه چشم‌هه اتصال باید برش ناشی از نیروهای کششی و فشاری موجود در بال‌های تیرهای سمت چپ و راست ستون را تحمل نماید. این برش به شرح زیر محاسبه می‌شود:

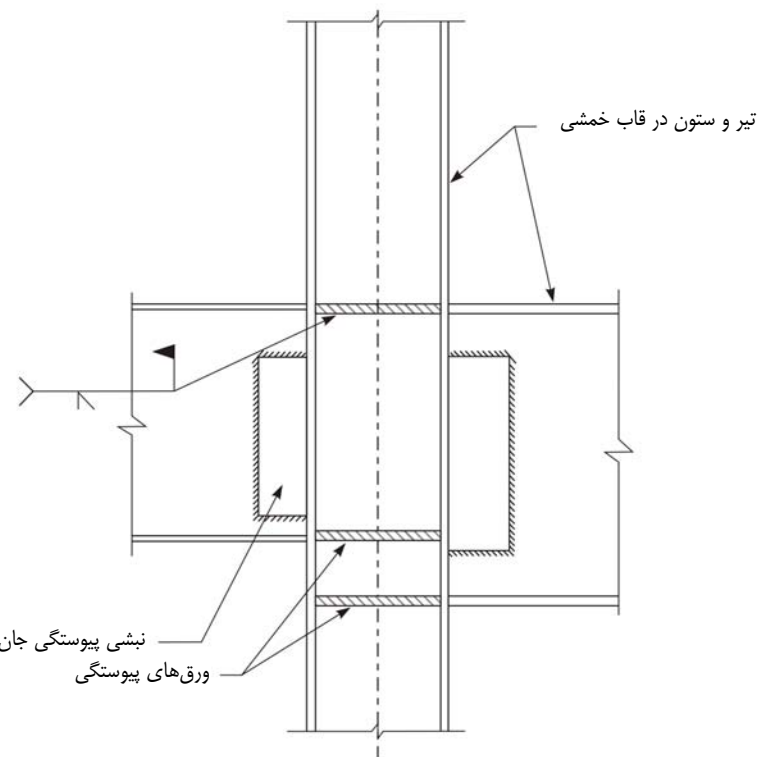
- در روش نش مجاز

$$V_{pa,s} = \sum \frac{M_{ES}}{d_b} - V_{col.} \quad (23-6-2)$$

- در روش حالات حدی

$$V_{pa,u} = \sum \frac{M_{EU}}{d_b} - V_{ucol.} \quad (24-6-2)$$

در این روابط  $V_{col.}$  برش موجود در ستون فوکانی تحت اثر بار جانبی زلزله در حالت‌های بدون ضریب و با ضریب می‌باشد.



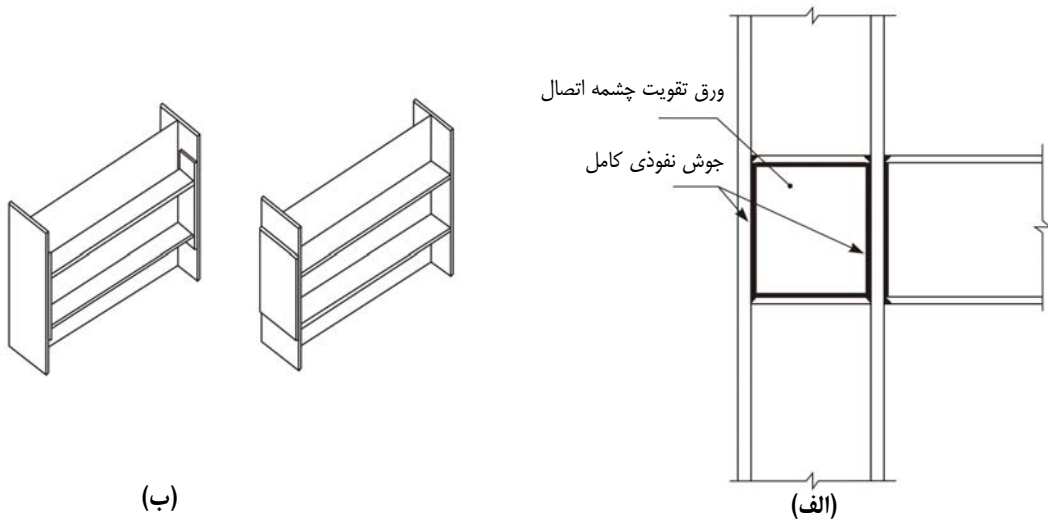
شکل ۲۸-۶-۲ نحوه اجرای ورق‌های پیوستگی

مقاومت برشی چشمی اتصال و سایر ضوابط طراحی چشمی اتصال، در هر یک از روش‌های طراحی براساس ضوابط فصل‌های

۱-۱۰ بند ۱-۱۱-۱-۲-۱۱ مبحث دهم مقررات ملی ساختمان تعیین می‌شود.

اگر چنانچه چشمی اتصال نتواند برش ناشی از نیروهای کششی و فشاری موجود در بال تیرهای متصل به ستون را تحمل نماید، باید ورق‌های تقویتی چشمی اتصال به منظور کاستن از تنش برشی در جان ستون و یا برای جلوگیری از ناپایداری آن به کار گرفته شود. این ورق‌ها را می‌توان چسبیده به جان ستون و یا با فاصله از آن، به صورت متقارن نسبت به محور تقارن مقطع ستون که موازی جهت اعمال نیروی برشی می‌باشد، به کار برد.

این ورق‌ها باید به بال‌های ستون و ورق‌های پیوستگی بالایی و پایینی متصل گردد. جوش اتصال لبه‌های بالایی و پایینی ورق‌های تقویت چشمی اتصال به ورق‌های پیوستگی و جوش اتصال لبه‌های قائم این ورق‌ها به بال‌های ستون، باید برای سه‌می از برش چشمی اتصال که توسط آنها تحمل می‌گردد، طراحی شود. ورق‌های تقویت چشمی اتصال را می‌توان مانند شکل ۲۹-۶-۲-ب نیز اجرا نمود.



شکل ۲-۶-۳۹ نحوه اجرای ورقهای تقویت چشم اتصال

## ۲-۶-۶- تعیین لنگر محتمل در موقعیت مفصل پلاستیک

اتصالات با گیرداری کامل باید بگونه‌ای مقاوم سازی شوند که مفصل پلاستیک آنها در تیر و در وجه ستون تشکیل شود. لنگر

محتمل در محل مفصل پلاستیک برابر است با:

$$M_{exp} = Z_b \cdot F_{ye} \quad (25-6-2)$$

که در آن:

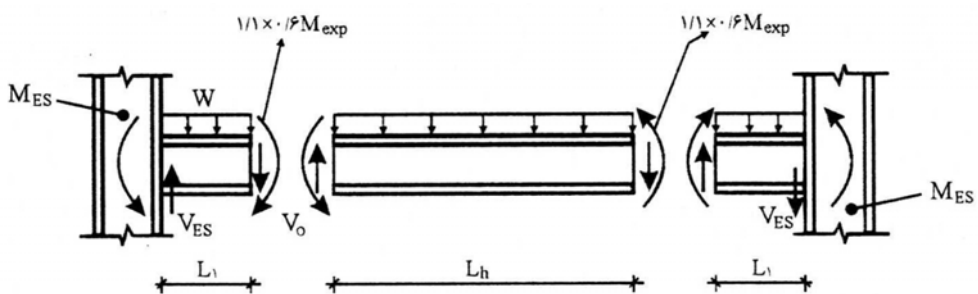
: لنگر پلاستیک مورد انتظار.

$Z_b$ : مدول موثر پلاستیک مقطع در محل مفصل پلاستیک.

$F_{ye}$ : تنش تسليیم مورد انتظار فولاد ( $1.15F_y$ )

## ۲-۶-۷- محاسبه نیروهای داخلی در مفصل پلاستیک در وجه ستون

برش در مفصل پلاستیک با استفاده از قوانین استاتیک و با لحاظ کردن اثرات سخت‌شدگی کرنشی، قیدهای محلی و اثرات بارهای نقلی محاسبه می‌گردد. برای محاسبه برش در مفاصل، دیاگرام تعادل نیرویی تیر مابین دو مفصل پلاستیک، وسیله مناسبی می‌باشد. در شکل ۲-۶-۴۰ نحوه محاسبه این برش نشان داده شده است.



شکل ۲-۶-۴۰ محاسبه برش در مفصل پلاستیک

$$V_0 = \frac{2 \times 0.6 \times 1.1 \times M_{exp}}{L_h} + \frac{W.L_h}{2} \quad (26-6-2)$$

۱- فاصله محل تئوریک تشكیل مفصل پلاستیک از بر ستون است، که مقدار آن طبق مبحث ۱۰ مقررات ملی ساختمان برابر  $d/5$  تا  $d$  از بر ستون می باشد. (d برابر عمق تیر می باشد.)

در صورت وجود نیروی متمرکز باید مقدار برش ناشی از آن را در محل مفصل پلاستیک به عبارت فوق اضافه نمود.

لنگر تسلیم وجه ستون  $M_{ES}$  نیز از رابطه زیر بدست می‌آید:

$$M_{ES} = 0.6 \times 1.1 \times M_{\text{exp}} + V_0 \cdot L_1 + M_W \quad (\text{YY-}\zeta\text{-}\gamma)$$

$M_w$ : لنگر ناشی از بار قائم بدون ضریب موجود در بازوی  $L_1$

$Z_b$ : مدول موثر پلاستیک مقطع در محل مفصل پلاستیک.

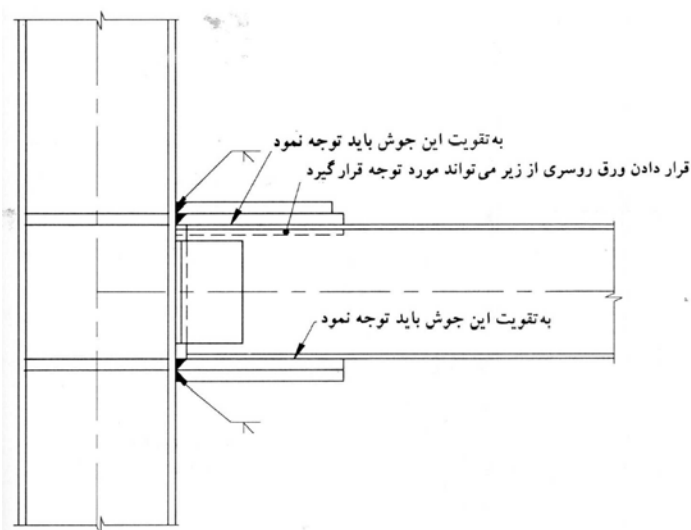
$F_{ye}$ : تنش تسليم مورد انتظار فولاد (1.15F<sub>y</sub>)

#### ۶-۲-۸- راهکارهای تقویت اتصال فلزی جوشی

پس از بررسی آسیب‌های متداول در اتصالات جوشی و ارائه ضوابط مهم برای طراحی ورق‌های تقویت چشمۀ اتصال و ورق‌های پیوستگی و نحوه محاسبه نیروها در مقاطع بحرانی اتصال، در این بخش به معرفی روش‌های مقاوم‌سازی اتصالات جوشی متداول می‌پردازیم.

#### **۱-۸-۲-۶-۲-۱- استفاده از ورق روسیری و زیر سری مضاعف**

در صورتی که از جوش ورق های زیرسری و روسربی به ستون اطمینان نداشته و یا در حین زلزله به آنها صدمه وارد آمده باشد، استفاده از ورق های زیرسری و روسربی مضاعف (شکل ۲-۶-۴۱) می تواند در برنامه کار قرار گیرد.

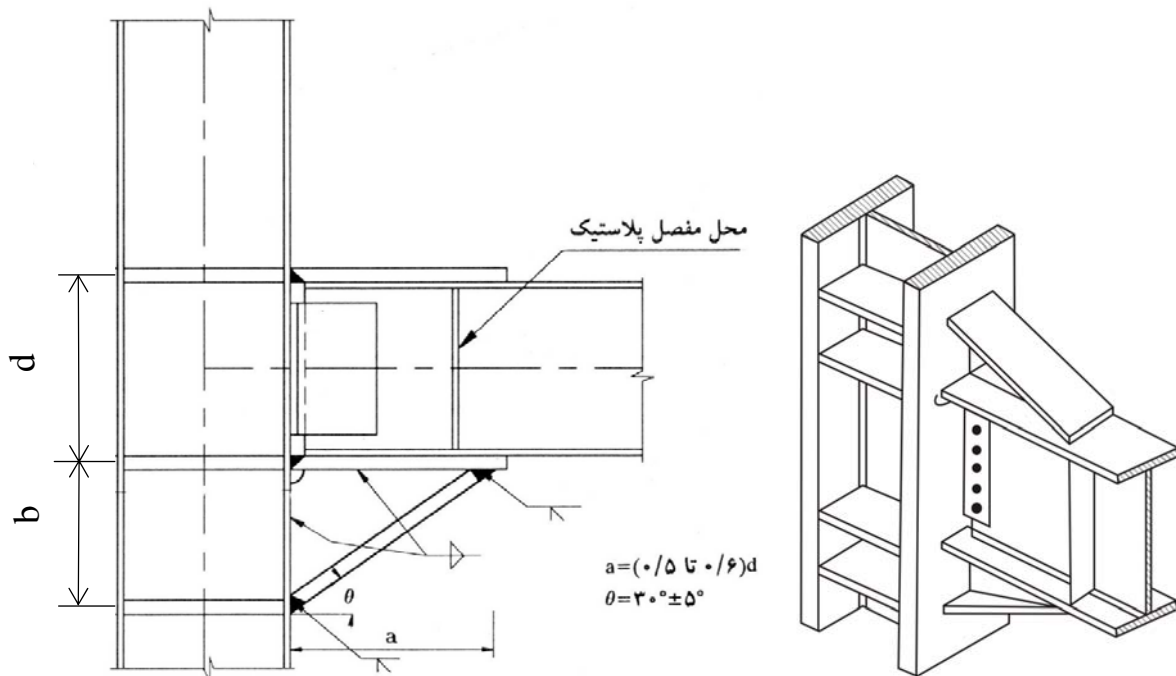


شکل ۶-۴۱ تقویت اتصال با ورق زیرسی و روسربی مضاعف

در صورتی که هیچ اطمینانی از جوش ورق روسربی موجود به ستون نباشد و یا این جوش از بین رفته باشد، ضخامت ورق روسربی و زیررسربی باید برای لنگر پلاستیک تیر طراحی شود. اما اگر اضافه کردن ورق زیررسربی و روسربی به منظور تقویت وضعیت موجود باشد، ضخامت آن بر حسب قضاوت تعیین می‌گردد.

#### ۲-۸-۶-۲- استفاده از ماهیچه

در شکل ۴۲-۶-۲ جزئیات اضافه نمودن ماهیچه نشان داده شده است. اضافه کردن این ماهیچه باعث انتقال مفصل پلاستیک از بر ستون به داخل تیر می‌گردد. اضافه نمودن ماهیچه در صورت امکان بهتر است تنها در بال پایینی صورت گیرد زیرا تجربیات حاصل از زلزله، مبین شروع خرابی از بال تحتانی تیر است و همچنین اضافه نمودن ماهیچه در بال بالایی مستلزم خراب نمودن دال می‌باشد.

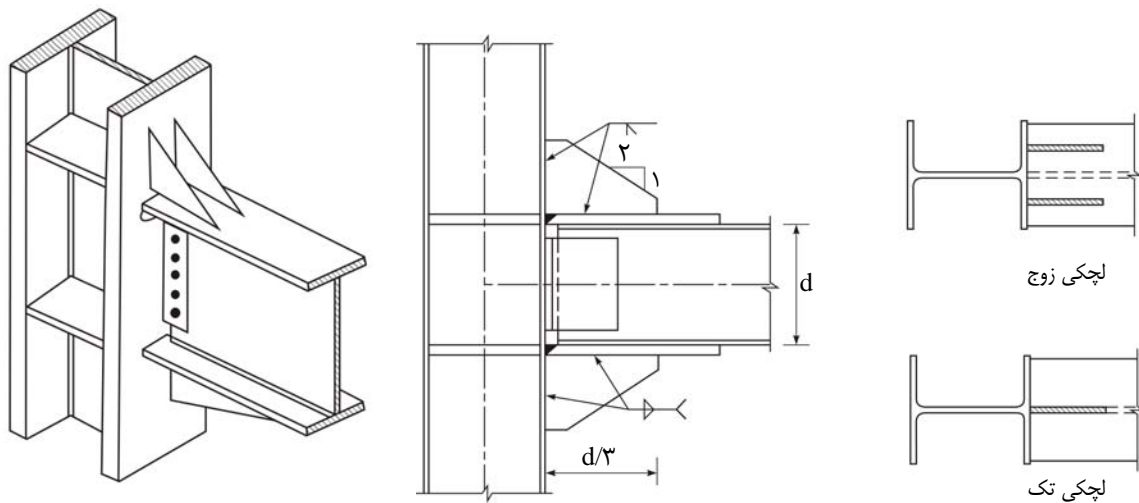


شکل ۴۲-۶-۲ جزئیات ماهیچه تحتانی برای تقویت اتصال

اضافه کردن ماهیچه در پایین در صورتی که ساختمان دارای سقف کاذب باشد، عملی می‌باشد و نیاز به تعمیر جوش ورق زیر رسربی به ستون را از بین می‌برد. در صورتی که از جوش ورق روسربی به ستون نیز اطمینان نداشته باشیم و نخواهیم آن را سنگ زده و تعمیر نماییم، می‌توانیم ماهیچه را در بالا نیز اجرا نماییم. در این حالت احتمال تداخل ماهیچه با کف سازی وجود دارد.

#### ۲-۸-۶-۳- لچکی‌های قائم در بال فوکانی و تحتانی

شکل ۴۳-۶-۲ نشان‌دهنده نحوه تقویت اتصال صلب با لچکی‌های قائم است. تعداد لچکی‌ها می‌تواند یک و یا دو عدد باشد.

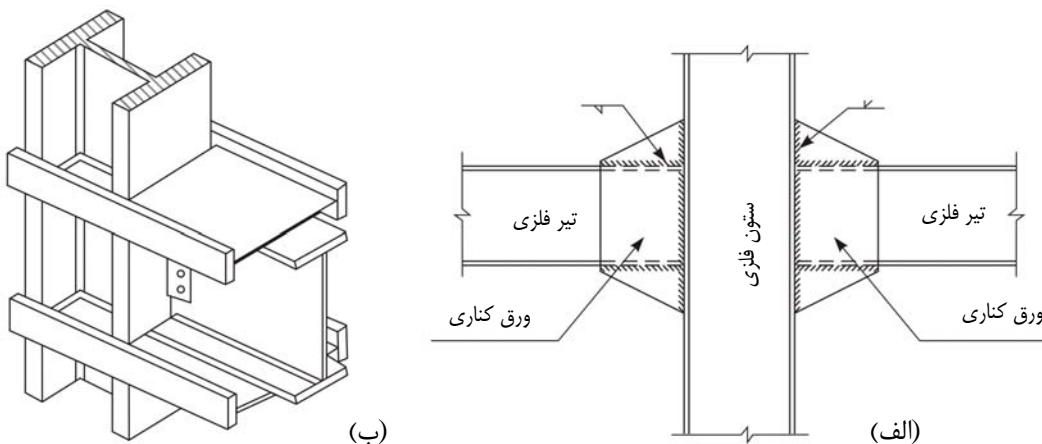


شکل ۶-۴۳ تقویت اتصال با استفاده از لچکی های قائم در بال فوقانی و تحتانی

#### ۲-۶-۸-۴- استفاده از ورق کناری (ورق گونه)

در این روش نیروهای کششی و فشاری بالهای فوکانی و تحتانی تیر به کمک ورق‌های گونه به ستون انتقال داده می‌شود.

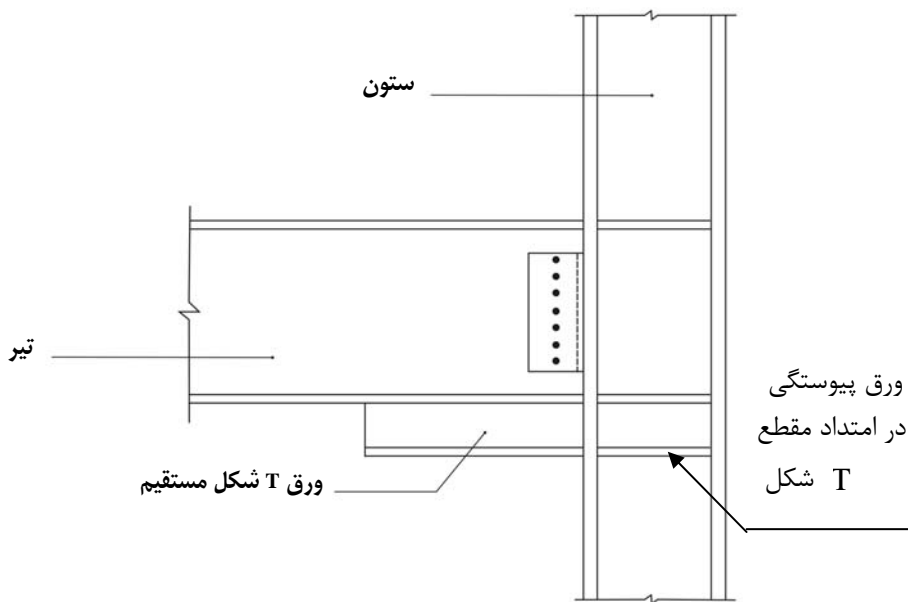
نمونه هایی از جزئیات مقاوم سازی با ورق کناری در شکل ۶-۴ نشان داده شده است.



شکل ۲-۶-۴۴ مقاوم سازی اتصال فولادی با استفاده از ورق کناری

## ۲-۶-۸-۵- استفاده از مقطع T شکل

با استفاده از مقاطع T شکل می‌توان اتصال فولادی را مقاومسازی نمود. در بعضی از موارد مقطع را تنها در بال پایینی اتصال اجرا می‌نمایند که با استفاده از این روش می‌توان بدون تخریب دال اتصال را مقاومسازی نمود. ورق‌های پیوستگی را در امتداد مقاطع T شکل نیز باید اجرا نمود (شکل ۶-۴۵).



شکل ۲-۶-۴۵ مقاوم سازی اتصال فولادی با استفاده از مقاطع T شکل

## **۲-۶-۸-۶- مقاومسازی اتصال با پیش تنیدگی خارجی بوسیله کابل کششی**

این روش یکی از نوین‌ترین روش‌های بهسازی لرزه‌ایست که در سال‌های اخیر توسعه یافته است. کابل با مقاومت بالا معمولاً در قسمت میانی تیر تعییه می‌گردد. این روش را با چهار کابل نیز می‌توان اجرا نمود. حسن استفاده از چهار کابل این است که با از بین رفتن یک کابل عملکرد اتصال مختل نمی‌گردد. مقاومت برشی اتصال توسط دو نبشی که در قسمت فوقانی و تحتانی قرار دارد و نیروی اصطکاکی بین تیر و ستون که به علت پیش‌تنیدگی کابل نیز افزایش یافته، تامین می‌گردد (شکل ۶-۴۶).

جدایی تیر از ستون منجر به جذب انرژی می‌گردد، زیرا با جداشدن تیر از ستون کابل‌ها به کشش افتاده و عملکرد غیرخطی کابل‌ها باعث جذب انرژی می‌گردد. استفاده از این روش منجر به افزایش مقاومت، سختی و شکل‌پذیری اتصال می‌گردد.

در استفاده از این روش بعضی از مشکلات مانند تسلیم شدن کابل‌ها، کمانش موضعی تیر و ... وجود دارد.

از محاسن این روش می‌توان به:

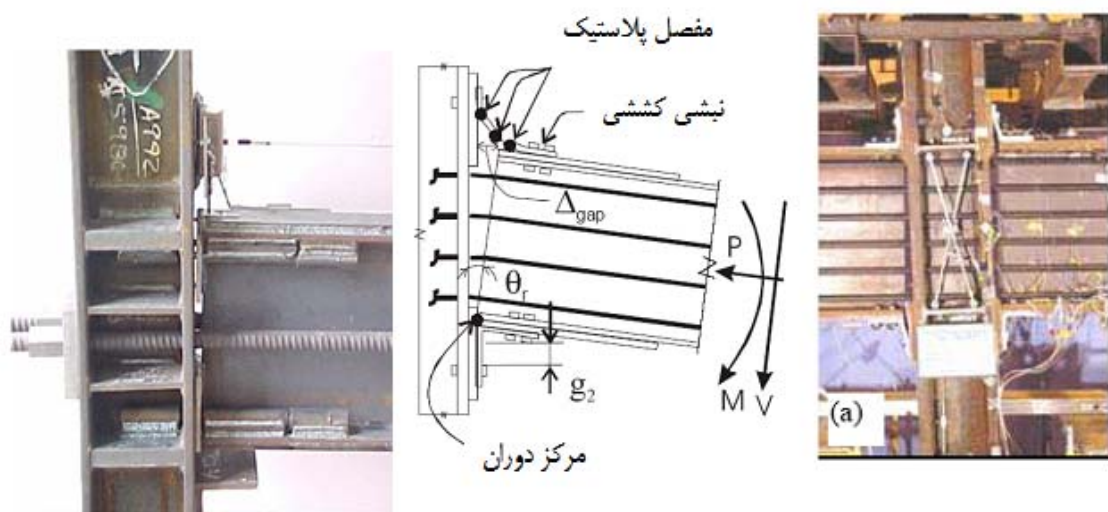
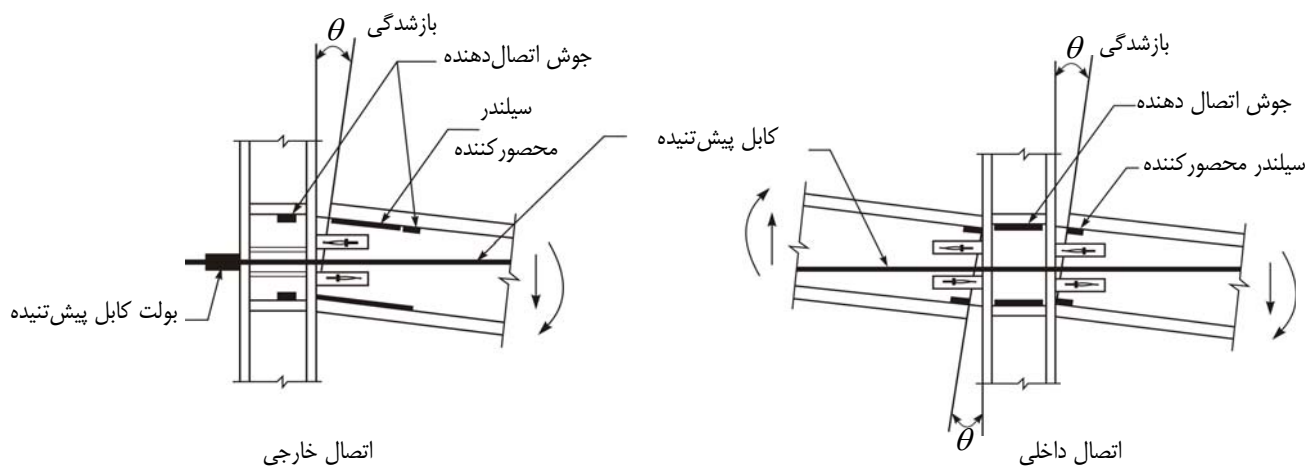
- یکسان‌سازی عملکردی غیرخطی اجزای سازه‌ای و در نتیجه محدود نمودن نیروهای لرزه‌ای به وجود آمده و فراهم

## نمودن میرایی اضافی برای سازه

- برگشت سیستم به حالت اولیه بعد از ایجاد تغییر شکل های به وجود آمده در اثر بارهای لرزه ای

- کاهش و یا حذف خسارت‌های شدید به المان‌های سازه‌ای اصلی

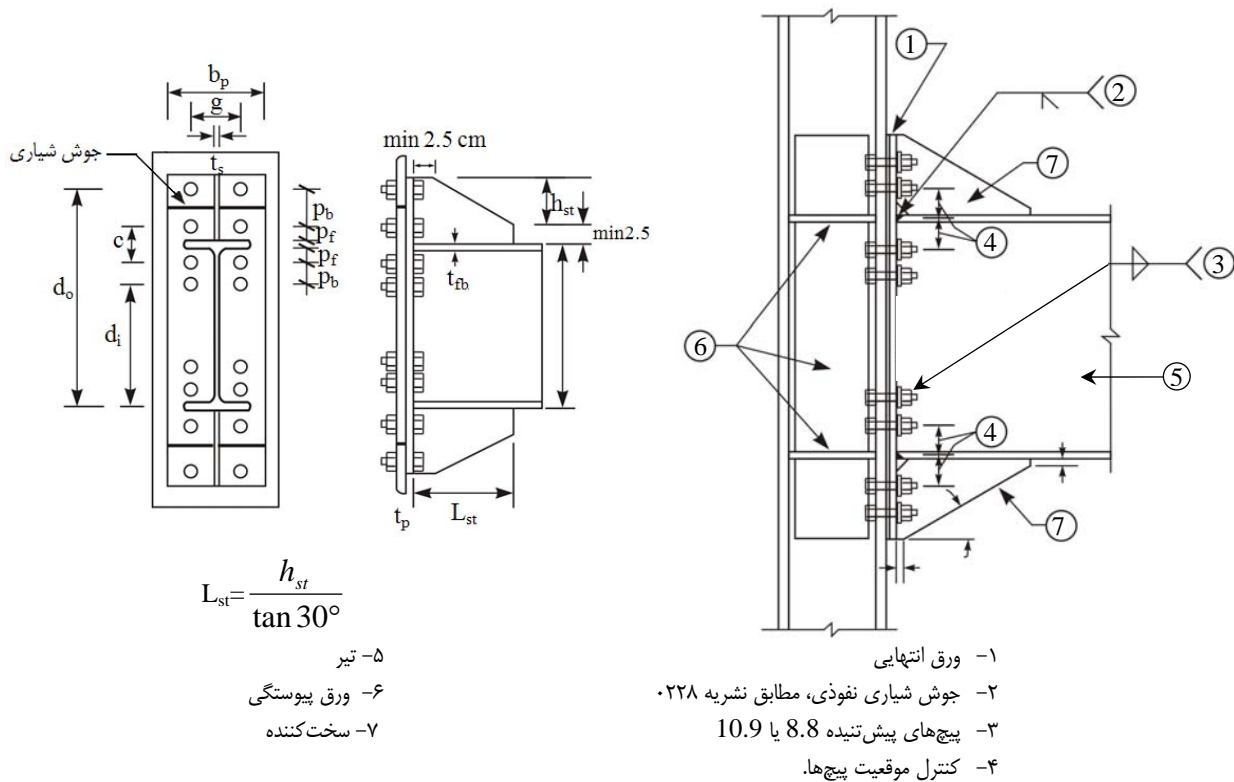
اشاره نمود.



شکل ۲-۶ مقاوم سازی اتصال با پیش تنیدگی خارجی بوسیله کابل کششی

#### ۶-۲-۹- راهکارهای تقویت اتصال فلزی پیچی باگیرداری کامل

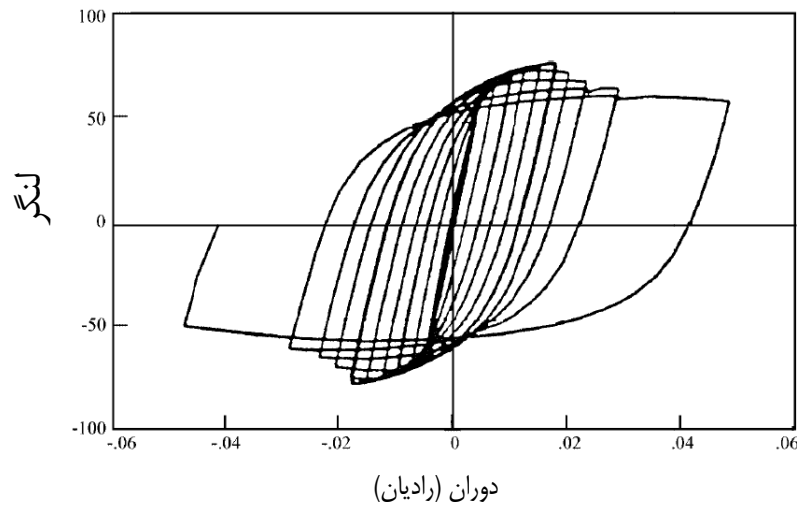
این بخش شامل توصیه‌های لازم برای انواع اتصالات قاب خمشی پیچی باگیرداری کامل می‌باشد.



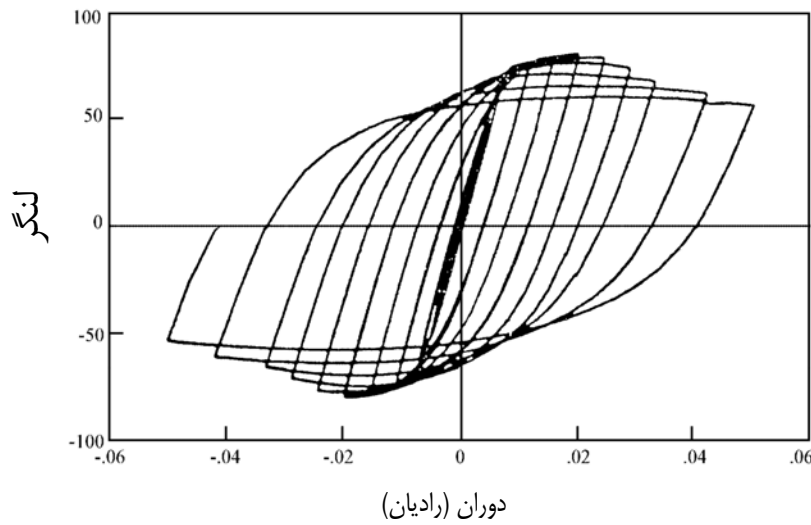
شکل ۲-۶-۴۷ اتصال پیچی با ورق انتهایی سخت شده

## ۲-۶-۹-۱- افزایش طول ورق انتهایی و استفاده از سخت کننده در اتصال پیچی با ورق انتهایی

در این اتصال ورق انتهایی با استفاده از جوش به تیر متصل می‌گردد به نحوی که بال‌های تیر با جوش شیاری نفوذی و جان تیر با جوش گوشه به ورق انتهایی متصل می‌شوند. در نهایت نیز ورق انتهایی با پیچ به ستون متصل می‌گردد. جوشکاری بال تیر به ورق انتهایی بدون سوراخ دسترسی انجام می‌شود. محدوده‌های پائین ورق انتهایی نسبت به بال‌های تیر، بوسیله سخت کننده‌های عمومی سخت می‌شوند. این سخت کننده‌ها، با جوش شیاری نفوذی دو طرفه به بال تیر و ورق انتهایی متصل می‌شود. این اتصال را می‌توان در قاب‌های خمی معمولی و قاب‌های خمی ویژه با رعایت اندازه اعضاء استفاده کرد. در این روش با افزایش طول ورق انتهایی با جوش نمودن ورق اضافه شده به ورق انتهایی موجود و پیچ نمودن ورق انتهایی اضافی به بال ستون می‌توان مقاومت انتهایی اتصال را افزایش داد. جوش شیاری بین ورق انتهایی اضافه شده و قدیمی مطابق مبحث ۱۰ مقررات ملی ساختمان طراحی می‌شود. مقایسه منحنی لنگر- دوران اتصال پیچی با ورق انتهایی با و بدون سخت کننده در شکل ۶-۴۸ نشان داده شده است.



(الف) منحنی لنگر- دوران اتصال پیچی با ورق انتهایی بدون سخت‌کننده

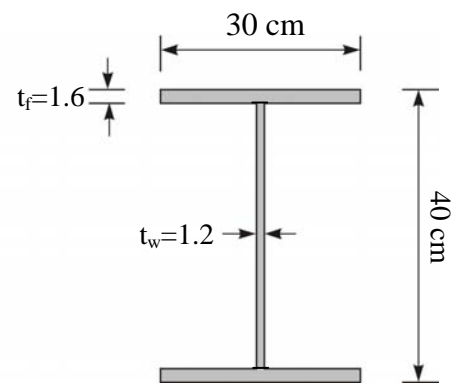
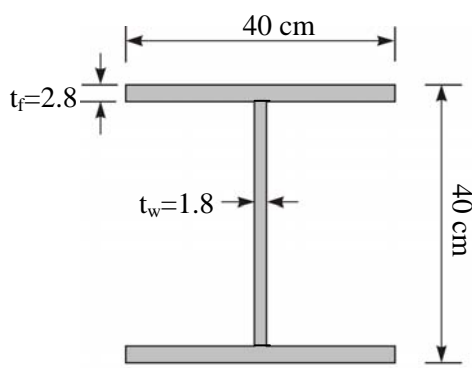


(ب) منحنی لنگر- دوران اتصال پیچی با ورق انتهایی با سخت‌کننده

شکل ۲-۶-۴۸ مقایسه منحنی لنگر- دوران اتصال پیچی با ورق انتهایی با و بدون سخت‌کننده

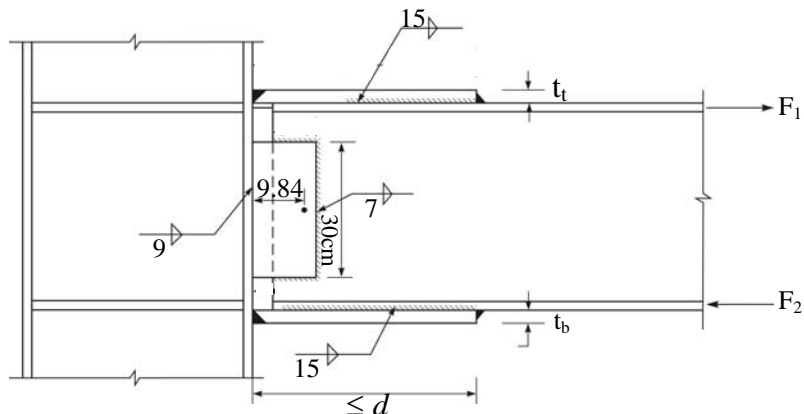
## مثال ۲-۶-۲ مقاومسازی اتصال فولادی

اتصالی مطابق شکل زیر مفروض است. اتصال بر اساس آینه‌نامه‌های قدیمی طراحی شده و پاسخگوی طراحی لرزه‌ای نمی‌باشد. مطلوبست بهسازی اتصال موجود از الکترود E60 ( $F_u = 4200 \text{ kg/cm}^2$ ) و فولاد St37 با تنفس تسلیم استفاده می‌گردد. طول دهانه آزاد تیر از بر سر ستون تا بر سر ستون ۶ متر می‌باشد.



$$S=2019 \text{ cm}^3$$

$$Z=2249.5 \text{ cm}^3$$



حل:

۱- طراحی سنتی بر اساس دیدگاه قدیمی

نیروهای طراحی داخلی به شرح زیر می‌باشند:

| بار |                      | برش (تن) | لنگر (تن-متر) |
|-----|----------------------|----------|---------------|
|     | $DL$                 | 10       | 9.0           |
|     | $LL$                 | 3.8      | 5             |
| 1   | $DL + LL$            | 13.8     | 14.0          |
|     | $EQ$                 | 11.2     | 21.5          |
|     | $DL + LL + EQ$       | 25       | 35.5          |
| 2   | $0.75(DL + LL + EQ)$ | 18.75    | 26.625        |

ترکیب بارگذاری ۲ حاکم می‌باشد.

کتربل تنش خمشی در تیر:

$$f_b = \frac{26.625 \times 10^5}{2019} = 1318 < 1440 \text{ kg/cm}^2$$

طراحی ورق فوقانی:

$$T = \frac{26.625}{0.4} = 66.56 \text{ Ton}$$

$$\text{تنش کششی مجاز ورق} = 0.6 \times 2400 = 1440 \text{ kg/cm}^2$$

$$\text{عرض ورق فوقانی} = 25 \text{ cm}$$

$$t_1 = \frac{66.56 \times 10^3}{1440 \times 25} = 1.85 \text{ cm}$$

جوش شیاری اتصال دهنده ورق فوق به ستون در کارگاه تحت نظر بازرگانی های چشمی انجام می‌شود، لذا مقدار  $\phi$  برای آن مساوی ۷۵٪ اختیار می‌شود.

$$\text{تنش کششی مجاز جوش شیاری} = 0.75 \times 1440 = 1080 \text{ kg/cm}^2$$

$$\text{عرض قسمت کله گاوی} = 40 \text{ cm}$$

$$t_2 = \frac{66.56 \times 10^3}{1080 \times 40} = 1.54 \text{ cm}$$

$$t_t = \max\{t_1, t_2\} = 1.85 \text{ cm}$$

بنابراین برای ورق فوقانی از ورق 250×20mm استفاده می‌شود.

$$\text{عرض ورق تحتانی} = 40 \text{ cm}$$

$$t_b = \frac{66.56 \times 10^3}{1080 \times 40} = 1.54 \text{ cm}$$

برای ورق تحتانی از ورق 400×20mm استفاده می‌شود.

جوش گوش اتصال دهنده ورق فوقانی به تیر:

$$D = 15 \text{ mm}$$

$$\text{ارزش جوش} = 650D$$

$$\text{طول جوش لازم} = \frac{66.56 \times 10^3}{650 \times 1.5} = 68.26 \text{ cm}$$

۲۵ سانتیمتر از جوش فوق در انتهای و ۲۳ سانتیمتر در دو لبه کناری انجام می‌شود.

$$\text{طول کل جوش} = 25 + 23 \times 2 = 71 \text{ cm}$$

ورق فوقانی USE PL450×250×20

جوش گوش اتصال دهنده ورق تحتانی به تیر:

$$D = 15\text{mm}$$

(مثل ورق فوقانی)  $68.26\text{cm} = \text{طول جوش لازم}$

$$\frac{68}{2} + 2D = 34 + 2 \times 1.5 = 37\text{cm}$$

ورق تحتانی USE PL450×400×20

طراحی ورق برشی اتصال:

$$V = 18.75T$$

برای اتصال برشی جان از دو ورق  $PL300 \times 120 \times 10$  در دو طرف جان استفاده می‌شود:  
حداکثر ضخامت موثر جوش جان

$$2 \times 650 \times D_{\max} = 0.4F_y = 0.4 \times 2400$$

$$D_{\max} = 0.74\text{cm}$$

انتخابی  $D = 7\text{mm}$

کنترل جوش ورق برشی اتصال به جان تیر:

$$I_p = \frac{8b^3 + 6bd^2 + d^3}{12}$$

$$\bar{x} = \frac{b^2}{2b+d}$$

$$\bar{x} = \frac{10.5^2}{2 \times 10.5 + 30} = 2.16$$

$$I_p = \frac{8 \times 10.5^3 + 6 \times 10.5 \times 30^2 + 30^3}{12} = 7747\text{cm}^3$$

$$\text{برش مستقیم} = P \quad e_1 = 12 - \bar{x} = 12 - 2.16 = 9.84\text{cm}$$

$$\text{لنگر} = Pe_1 = P(12 - 2.16) = 9.84P$$

$$(برش مستقیم) f'_y = \frac{P}{A} = \frac{P}{(2 \times 10.5 + 30)2} = 0.0098P$$

$$f''_y = \frac{T_x}{2I_p} = \frac{9.84P(10.5 - 2.16)}{2(7747)} = 0.0053P$$

$$f''_x = \frac{Ty}{2I_p} = \frac{9.84P(15)}{2 \times (7747)} = 0.0095P$$

$$f_r = \sqrt{(f'_x + f''_x)^2 + (f''_y)^2}$$

$$f_r = P \sqrt{(0.0098 + 0.0053)^2 + 0.0095^2} = 0.0178P$$

$$650D = 0.0178P \rightarrow 650 \times 0.7 = 0.0178P \rightarrow P = 25.56\text{ton} > 18.75 \quad O.K$$

کنترل جوش ورق برشی اتصال به بال ستون:

با توجه به اینکه از دو ورق استفاده نمودیم، دو خط جوش برای انتقال برش و خمش را کنترل می‌نماییم:

$$f_r = \frac{P}{2L^2} \sqrt{L^2 + 20.25e_1^2}$$

$$P = 18.75T$$

$$L = 30\text{cm}$$

$$e_1 = 9.84\text{cm}$$

$$f_r = \frac{18.75 \times 10^3}{2 \times 30^2} \sqrt{30^2 + 20.25 \times 9.84^2} = 557 \text{kg/cm}$$

$$650D = 557 \rightarrow D = 0.86\text{cm} \rightarrow D = 9\text{mm}$$

## ۲- طرح تقویت:

اکنون با استفاده از مفاهیم جدید طرح لرزه‌ای و تشکیل مفصل خمیری به فاصله  $d$  از بر ستون، اقدام به تقویت اتصال می‌نماییم:

$$M_{\text{exp}} = Z_b \cdot F_{ye}$$

$$M_{\text{exp}} = 2249.5 \times 1.15 \times 2400 \times 10^{-5}$$

$$M_{\text{exp}} = 62.1\text{ton.m}$$

$$w = \frac{V \times 2}{L} = \frac{13.8 \times 2}{6} = 4.6 \text{ ton/m}$$

$$V_0 = \frac{2 \times 0.6 \times 1.1 \times M_{\text{exp}}}{L_h} + \frac{wL_h}{2}$$

$$V_0 = \frac{2 \times 0.6 \times 1.1 \times 62.1}{5.2} + \frac{4.6 \times 5.2}{2}$$

$$V_0 = 15.76 + 11.96 = 27.72\text{ton}$$

$$V_{ES} = V_0 + W \cdot L_1$$

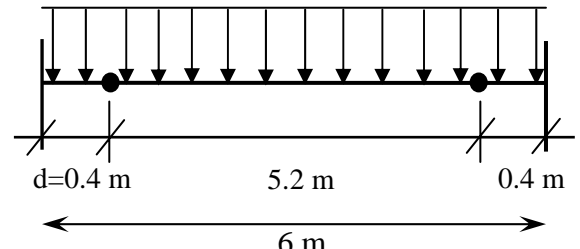
$$V_{ES} = 27.72 + 4.6 \times 0.4$$

$$V_{ES} = 29.56\text{ton}$$

$$M_{ES} = 0.6 \times 1.1 \times M_{\text{exp}} + V_0 \cdot L_1 + M_W$$

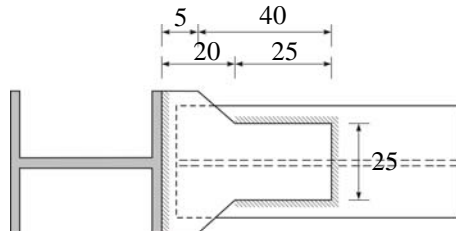
$$M_{ES} = 0.6 \times 1.1 \times 62.1 + 27.72 \times 0.4 + 4.6 \times 0.4 \times \frac{0.4}{2}$$

$$M_{ES} = 40.99 + 11.09 + 0.37 = 52.45\text{ton.m}$$



تعیین مقاومت ورق‌های اتصال:

ورق فوقانی:

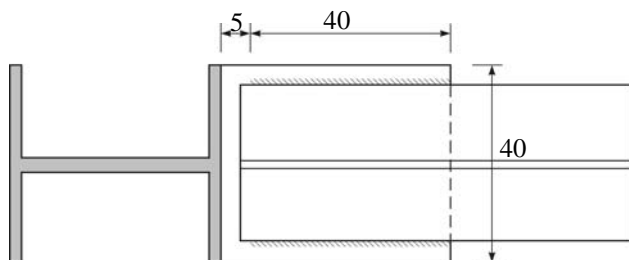


شکل مثال ۲-۶-۲-ب

$$F_{p1} = 0.6 F_y t_t b_t$$

$$F_{p1} = 0.6 \times 2400 \times 2 \times 25 \times 10^3 = 72 \text{ ton}$$

ورق تحتانی:



شکل مثال ۲-۶-۲-پ

$$F_{p2} = 0.6 F_y t_t b_t$$

$$F_{p2} = 0.6 \times 2400 \times 2 \times 40 \times 10^3 = 115.2 \text{ ton}$$

محاسبه لنگر مقاوم ورق‌های اتصال:

$$M_p = \min(F_1, F_2)$$

$$M_p = \min(72, 115.2) \times 0.4 = 28.8 \text{ ton.m}$$

تعیین مقاومت جوش ورق‌های اتصال به بال تیر:

ورق فوقانی:

$$F_{w1} = l_w R_w$$

$$R_w = 0.707 t_w \phi \times 0.3 F_u$$

$$R_w = 0.707 \times t_w \times 0.75 \times 0.3 \times 4200$$

$$R_w = 650t_w = 650 \times 1.5 = 975 \text{ kg/cm}$$

$$l_w = 30 + 30 + 25 = 85 \text{ cm}$$

$$F_{w1} = 85 \times 975 \times 10^{-3} = 83 \text{ ton}$$

ورق تحتانی:

$$F_{w1} = l_w R_w$$

$$R_w = 650t_w = 650 \times 1.5 = 975 \frac{\text{kg}}{\text{cm}}$$

$$l_w = 40 + 40 = 80$$

$$F_{w1} = 80 \times 975 \times 10^{-3} = 78 \text{ ton}$$

محاسبه لنگر مقاوم جوش‌های ورق اتصال به بال تیر:

$$M_w = \min(F_1, F_2) \times d$$

$$M_w = \min(83, 78) \times 0.4 = 31.2 \text{ ton.m}$$

تعیین مقاومت جوش شیاری ورق‌های اتصال به بال ستون:

ورق فوقانی:

$$= \text{نش کششی مجاز جوش شیاری} = 0.75 \times 1440 = 1080 \text{ kg/cm}^2$$

$$\text{مقاومت جوش شیاری ورق‌های فوقانی} = F_{gw1} = 1080 \times 2 \times 25 \times 10^{-3} = 54 \text{ ton}$$

ورق تحتانی:

$$\text{مقاومت جوش شیاری ورق‌های تحتانی} = F_{gw2} = 1080 \times 2 \times 40 \times 10^{-3} = 86.4 \text{ ton}$$

محاسبه لنگر مقاوم جوش شیاری ورق‌های اتصال به بال ستون:

$$M_{gw} = \min(F_1, F_2) \times d$$

$$M_{gw} = \min(54, 86.4) \times 0.4 = 21.6 \text{ ton.m}$$

لنگر مقاوم اتصال:

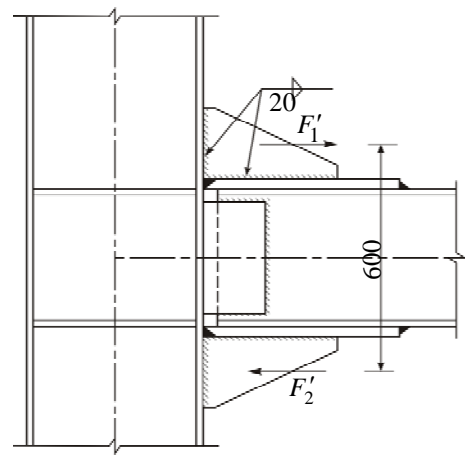
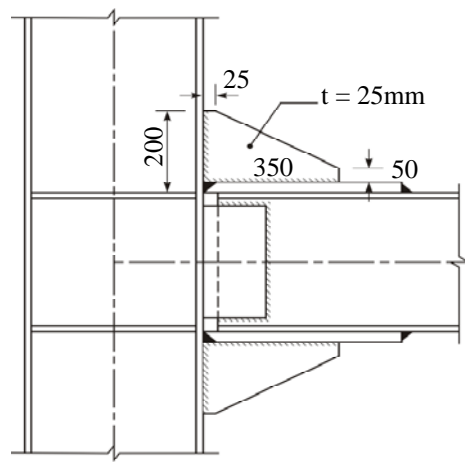
$$M = \min(M_p, M_w, M_{gw})$$

$$M = \min(28.8, 31.2, 21.6) = 21.6 \text{ ton.m}$$

از آنجا که لنگر مقاوم اتصال  $M_{ES} = 52.45 \text{ ton.m}$  می‌باشد لذا باید اتصال را تقویت نمود.

برای تقویت اتصال از لچکی‌های قائم در بال فوقانی و تحتانی استفاده می‌شود.

USE  $\frac{1}{2}$  PL350\*200\*25



شکل مثال ۲-۶-۲-ت

تعیین مقاومت ورق‌های لچکی اتصال:

$$F_p' = 0.6 F_y t h$$

$$F_p' = 0.6 \times 2400 \times 2.5 \times 20 \times 10^{-3} = 72\text{ton}$$

تعیین مقاومت جوش ورق‌های لچکی اتصال به بال ستون:

$$F_w' = l_w R_w$$

$$R_w = 650 t_w = 650 \times 2 = 1300 \frac{\text{kg}}{\text{cm}}$$

$$l_w = 2 \times 20 = 40\text{ cm}$$

$$F_w' = 40 \times 1300 \times 10^{-3} = 52\text{ ton} < 72\text{ ton}$$

بنابراین مقاومت جوش حاکم است.

تعیین لنگر مقاوم جوش ورق‌های لچکی اتصال به بال ستون:

$$M_p' = F_w' \times d'$$

$$M_p' = 52 \times 0.6 = 31.2 \text{ ton.m}$$

تعیین لنگر مقاوم اتصال:

$$M_{total} = M + M' = 21.6 + 31.2 = 52.8 \text{ ton.m}$$

$$M_{total} = 52.8 \text{ ton.m} > M_{ES} = 52.45 \text{ ton.m}$$

تقویت جوش ورق فوقانی و تحتانی به بال تیر:

از آنجا که با اضافه نمودن لچکی‌ها نیروی وارد بر ورق‌های فوقانی و تحتانی افزایش می‌یابد لذا جوش گوشه اتصال دهنده ورق فوقانی و تحتانی پاسخگوی نیروی وارد بر ورق‌ها نمی‌باشد، پس باید آنها را مقاوم‌سازی نمود. بهترین روش برای تقویت این جوش‌ها استفاده از جوش انگشتانه و یا کام می‌باشد. بدین منظور مطابق اشکال زیر بر روی ورق فوقانی و بال تحتانی تیر ۸ سوراخ به قطر ۳۰ میلیمتر ایجاد نموده و سوراخ‌ها را با جوش انگشتانه پر می‌نماییم.

$$t_w = 10 \text{ mm}, d = 30 \text{ mm}$$

$t_w$  = ضخامت جوش،

$d$  = قطر سوراخ‌ها،

$A$  = سطح مقطع سوراخ‌ها،

$$A = 7.06 \text{ cm}^2$$

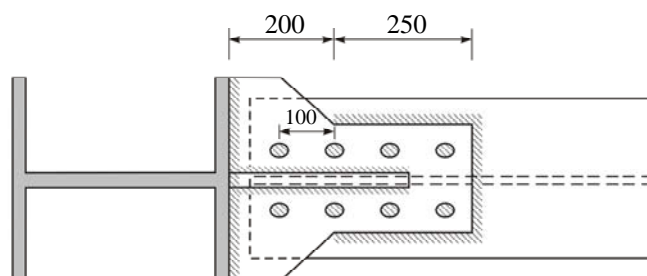
$$F_v = 0.3\varphi F_u t_w = 0.3 \times 0.75 \times 4200 \times 1 = 945 \text{ kg/cm}^2 = 0.945 \text{ ton/cm}^2$$

$$V_{plug} = 7.06 \times 0.945 \times 8 = 53.4 \text{ ton}$$

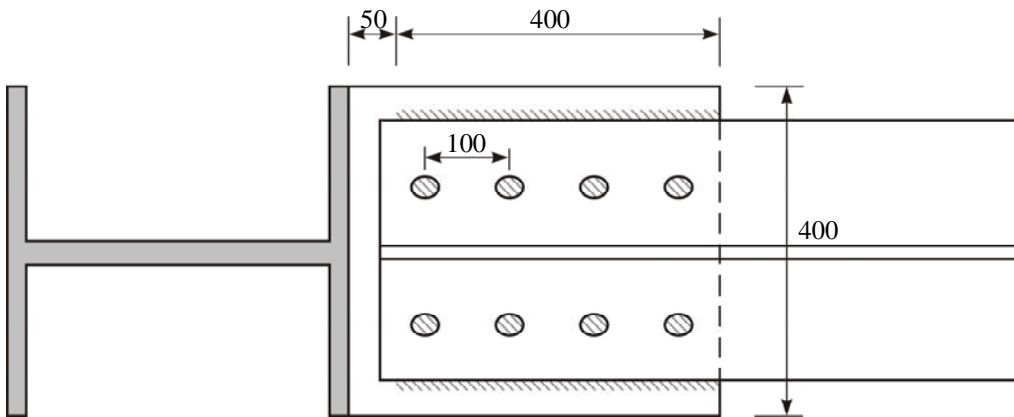
ظرفیت جوش‌های ورق‌های فوقانی و تحتانی به بال تیر برابر با مجموع ظرفیت جوش گوشه و جوش انگشتانه می‌باشد.

$$V_T = V_{plug} + V_{fillet} = 53.4 + 78 = 131.4 \text{ ton}$$

$$M = 131.4 \times 0.4 = 52.56 \text{ ton.m} > 52.45 \text{ ton.m} \quad O.K.$$



ورق فوقانی



ورق تحتانی

شکل مثال ۲-۶-۲-ث

کنترل برش:

$$V_{ES} = 29.56 \text{ ton}$$

کنترل برش تیر:

$$f_v = \frac{V}{d \cdot t_w} = \frac{29.56 \times 10^3}{40 \times 1.2} = 616 \text{ kg/cm}^2 < 0.4 \times 2400 = 960 \text{ kg/cm}^2$$

کنترل جوش ورق برشی اتصال به جان تیر:

$$f_r = P \sqrt{(0.0098 + 0.0053)^2 + 0.0095^2} = 0.0178P$$

$$650D = 0.0178P \rightarrow 650 \times D = 0.0178 \times 29.56 \times 10^3 \rightarrow D = 0.81 \text{ cm} > 0.7 \text{ cm}$$

پس با توجه به محاسبات انجام شده جوش‌های ورق برشی اتصال به جان تیر نیاز به تقویت دارند. با اجرای جوش جدید بر روی جوش قدیمی می‌توان جوش‌های ورق را تقویت نمود.

کنترل جوش ورق برشی اتصال به بال ستون:

$$f_r = \frac{P}{2L^2} \sqrt{L^2 + 20.25e_f^2}$$

$$P = 29.56T$$

$$f_r = \frac{29.56 \times 10^3}{2 \times 30^2} \sqrt{30^2 + 20.25 \times 9.84^2} = 878.4 \text{ kg/cm}$$

$$650D = 878.4 \rightarrow D = 1.35 \text{ cm} \rightarrow D = 14 > 9 \text{ mm}$$

پس با توجه به محاسبات انجام شده جوش‌های ورق برشی اتصال به بال ستون نیاز به تقویت دارند. با اجرای جوش جدید بر روی جوش قدیمی می‌توان جوش‌های ورق را تقویت نمود.

### طراحی سخت کننده‌های ستون در ناحیه اتصال (ورق‌های پیوستگی)

نسبت عرض به ضخامت ستون باید کوچک‌تر از مقدار زیر باشد:

$$d = \frac{1}{2}(40 - 1.8) = 19.1\text{cm} = 191\text{mm}$$

$$\frac{d}{t} < 0.55 \sqrt{\frac{E}{F_{ys}}} = 0.55 \sqrt{\frac{2.1 \times 10^6}{2400}} = 16.3 \Rightarrow t > \frac{d}{16.3} = 1.17\text{cm} = 11.7\text{mm}$$

از آنجا که ضخامت ورق‌های پیوستگی نباید از ضخامت بال‌های تیر کوچک‌تر باشد لذا:

USE 2PL 344×191×16

### کنترل چشمیه اتصال

الف: کنترل مقاومت برشی

$$V_{pa,s} = \frac{52.45}{0.4} = 131.125\text{ton}$$

$$F_v = 0.4F_y \left(1 + \frac{3b_{cf}t_{cf}^2}{d_b d_c t_{cw}}\right)$$

که در آن:

$t_{cw}$ : ضخامت جان ستون

$d_b$ : ارتفاع مقطع تیر

$d_c$ : ارتفاع مقطع ستون در جهت برش

$b_{cf}$ : عرض بال ستون

$t_{cf}$ : ضخامت بال ستون

$$F_v = 0.4 \times 2400 \left(1 + \frac{3 \times 40 \times 2.8^2}{40 \times 40 \times 1.8}\right) = 1274 \text{ kg/cm}^2$$

$$f_v = \frac{131.125 \times 10^3}{(40 - 2 \times 2.8) \times 1.8} = 2117 \text{ kg/cm}^2 > 1274 \text{ kg/cm}^2 \Rightarrow N.O.K$$

باید چشمیه اتصال را تقویت نمود

**ب: کنترل کمانشی**

d: ارتفاع جان تیر

w: ارتفاع جان ستون

$$t_z \geq \frac{d+w}{90}$$

$$t_z \geq \frac{368+344}{90} = 7.9$$

از دو ورق مضاعف برای تقویت جان ستون استفاده می‌نماییم.

USE 2PL 368×344×8

$$f_v = \frac{131.125 \times 10^3}{34.4 \times (1.8 + 2 \times 0.8)} = 1121.1 \text{ kg/cm}^2 < 1274 \text{ kg/cm}^2 \Rightarrow O.K$$

ورق مضاعف در داخل چشمeh قرار داده شده و دور تا دور جوش می‌گردد و در نواحی میانی به کمک دو جوش انگشتانه به جان ستون متصل می‌گردد.



## **بخش سوم**

---

---

**بهسازی سیستم**



در قسمت دوم از این مجموعه و طی مباحث مختلف فصل دوم، با روش‌ها و تکنیک‌های مختلف تقویت موضعی اعضا آشنا شدیم. هر چند که سازه‌ها مجموعه‌ای از اعضا می‌باشند ولی لزوماً رفتار آنها مجموع رفتار اعضا نیست و سیستم کلی ساختمان دارای شخصیت رفتاری متفاوت می‌باشد. در بهسازی ساختمان، هدف اول، بهسازی سیستم است که در آن مهندس مسئول به دنبال بهترین راهبرد و راهکار برای بهسازی لرزه‌ای سیستم سازه مورد مطالعه است. حال در این راهبرد یا راهکار ممکن است نیاز به تقویت اجزایی از سازه و یا اضافه کردن اجزای جدید به سازه باشد.

راهبردهای زیر به عنوان نمونه می‌تواند به صورت منفرد یا در ترکیب با یکدیگر برای تعیین و انتخاب گزینه‌های بهسازی سیستم باربر جانبی سازه مورد استفاده قرار گیرد.

#### الف- حذف یا کاهش نامنظمی در سازه

۱- حذف یا کاهش نامنظمی در پلان

۲- حذف یا کاهش نامنظمی در ارتفاع

۳- حذف طبقه نرم

۴- حذف یا کاهش نامنظمی پیچشی

۵- حذف مکانیسم ستون کوتاه از سازه

۶- حذف یا اصلاح کنج‌های فرورفته

ب- تامین سختی جانبی لازم برای کل سازه؛

پ- تامین مقاومت لازم برای کل سازه؛

ت- کاهش جرم ساختمان؛

ث- کامل نمودن مسیر بار؛

ج- افزایش انسجام ساختمان با کلاف‌بندی؛

ج- تعییر کاربری به منظور کاهش سطح عملکرد مورد انتظار از ساختمان؛

ح- به کارگیری سیستم‌های جاذب انرژی؛

خ- به کارگیری سیستم جداساز لرزه‌ای؛

در بیشتر اوقات برای تعیین راهبردها و راهکارهای بهسازی سیستم باربر جانبی، محدودیت‌هایی وجود دارد که تاثیر عمدہ‌ای

بر راهبرد و راهکار انتخابی برای بهسازی می‌گذارند. مجموعه این محدودیتها را می‌توان به صورت زیر طبقه‌بندی نمود:

#### الف- اهداف عملکردی ساختمان

ب- محدودیت هزینه‌های اجرایی

پ- محدودیت‌های زمانی در امر بهسازی

ت- محدودیت‌های معماری (پلان و نما)

ث – ضرورت فعال بودن ساختمان در حین بهسازی

ج – پرهیز از ریسک در زمان بهسازی

ج – لزوم حفظ آثار باستانی

## **فصل ۳**

---

---

# **حذف و یا کاهش نامنظمی در سازه**



### ۱-۳- معرفی

با توجه به عملکرد ساختمانها در زلزله‌های گذشته، اهمیت پیکربندی و منظم بودن ساختمان‌ها بر کسی پوشیده نیست. به همین جهت رعایت تقارن و تناسبات هندسی در سازه و معماری، می‌تواند از بسیاری از آسیب‌های لرزه‌ای وارد بر ساختمان‌ها جلوگیری کند. مطالعه رفتار ساختمان‌ها در زلزله‌های گذشته نشان می‌دهد که عملکرد ساختمان‌ها نسبت به تغییرات کوچکی در تقارن شکل کلی ساختمان، بسیار حساس می‌باشد. این امر بویژه در ارتباط با دیوارهای برشی و سایر اجزای مقاوم در برابر نیروهای جانبی مطرح است.

در ساختمان‌هایی که به دلیل نامنظمی در پلان و ارتفاع، فاقد عملکرد لرزه‌ای مطلوب می‌باشند، با انجام اصلاحاتی در جهت رفع و یا کاهش نامنظمی (همراه با سایر راهبردهای بهسازی) می‌توان راهکارهای مناسبی برای بهسازی آنها ارائه کرد.

نامنظمی در ساختمان، معمولاً<sup>۱</sup> به دلیل ناپیوستگی در اجزاء باربر جانبی بوجود می‌آید. در چنین شرایطی با ایجاد تغییراتی در سیستم باربر جانبی، ممکن است بتوان نامنظمی ساختمان را کاهش داد. نامنظمی‌ها در ساختمان به دو دسته نامنظمی‌ها در پلان و نامنظمی‌ها در ارتفاع تقسیم می‌شوند.

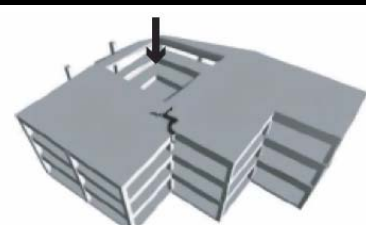
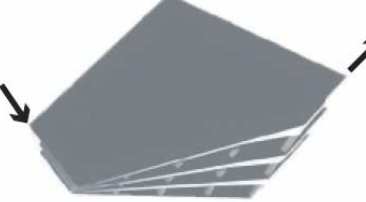
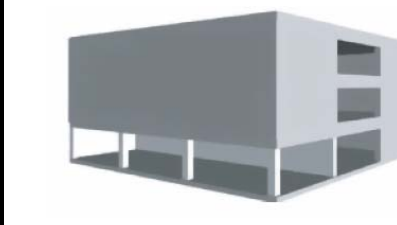
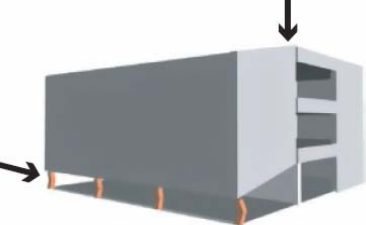
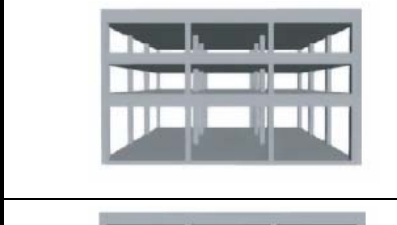
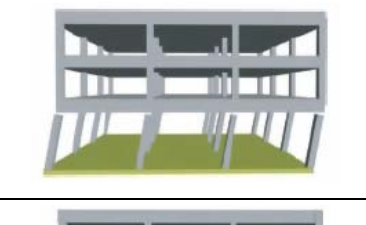
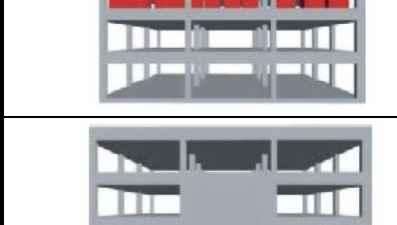
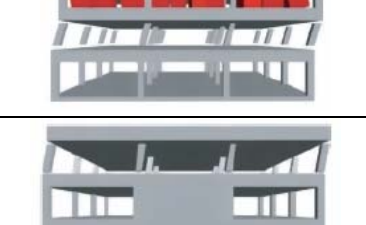
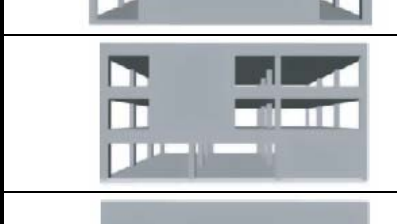
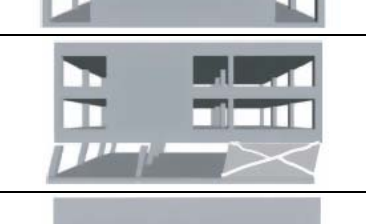
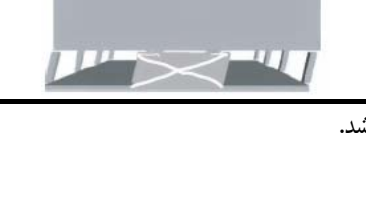
نامنظمی‌ها در پلان بطور عمده عبارتند از نامنظمی پیچشی، وجود بازشوهای بزرگ در دیافراگم‌ها، موازی و متعامد نبودن سیستم‌های باربر جانبی، وجود گوشه‌های فرورفته (پلانهای L,U,T و یا صلیبی شکل) و جابجایی و تغییرات سازه‌ای در پلان‌ها. نامنظمی‌های موجود در ارتفاع نیز عبارتند از وجود طبقه نرم، وجود طبقه ضعیف، توزیع نامنظم جرم در ارتفاع، تغییر صفحه اجزای باربر جانبی<sup>۱</sup> و استفاده از سیستم‌های باربر جانبی متفاوت در ارتفاع. در جدول ۱-۳ انواع نامنظمی‌ها و مکانیسم‌های خرابی در آنها ارائه شده است.

جدول ۱-۳ انواع نامنظمی‌ها و مکانیسم خرابی در آنها

| نوع نامنظمی                   | شکل و موقعیت ساختمان در پلان | مکانیسم خرابی |
|-------------------------------|------------------------------|---------------|
| نامنظمی پیچشی                 |                              |               |
| وجود کنج‌های فرو رفته (L شکل) |                              |               |

<sup>۱</sup> طبق آینین نامه ۲۸۰۰ تغییر صفحه اجزای باربر جانبی منجر به نامنظمی سازه می‌شود ولی طبق نشریه ۳۶۰ جابجایی در اجزای باربر جانبی در صفحه نیز باعث نامنظمی سازه می‌گردد.

جدول ۳-۱ انواع نامنظمی‌ها و مکانیسم خرابی در آنها (ادامه)

| نوع نامنظمی                                     | شکل و موقعیت ساختمان در پلان   | مکانیسم خرابی   |
|---|--|---|
| وجود بازشوهای بزرگ در دیافراگم‌ها               |    |    |
| موازی و متعامد نبودن سیستم‌های باربر جانبی      |    |    |
| قطع دیوارهای برشی (سیستم باربر جانبی) در ارتفاع |   |   |
| وجود طبقه نرم                                   |  |  |
| توزيع نامنظم جرم در ارتفاع                      |  |  |
| بکارگیری سیستم‌های متفاوت در ارتفاع             |  |  |
| نامنظمی در مسیر انتقال بار*                     |  |  |
| وجود طبقه ضعیف                                  |  |  |

\* چون جابجایی سیستم باربر در صفحه است طبق نظریه ۳۶۰ سازه نامنظم می‌باشد.

سیستم مقاوم در برابر بارهای جانبی که بتواند بار ناشی از زلزله را از طبقات به پی منتقل کند، باید بین پی و دیافراگم‌های طبقات وجود داشته باشد. نیروهای جانبی بوجود آمده در ساختمان از طریق سقف به دیوارها و سپس به پی منتقل می‌شود. چنانچه در مسیر انتقال بار، ناپیوستگی وجود داشته و مسیر انتقال بار کامل نباشد، علیرغم وجود اعضای جانبی مناسب در ساختمان، سازه توانایی مقاومت در برابر نیروهای لرزه‌ای را نخواهد داشت.

### ۲-۳-۱- تقسیم‌بندی ساختمان‌ها بر حسب شکل

#### ۲-۳-۱-۱- نامنظمی در پلان

نامنظمی در پلان ساختمان، باعث تولید نیروهای پیچشی در ساختمان تحت اثر نیروهای جانبی می‌گردد. این نیروهای پیچشی به همراه نیروهای افقی ناشی از انتقال جانبی ساختمان، باعث وارد آمدن نیروهای اضافی قابل ملاحظه‌ای بر عناصر باربر سازه‌ای گشته و می‌تواند منجر به خرابی گردد. مطابق با بند ۱-۸-۱ آینه نامه ۲۸۰۰، ساختمان‌هایی با مشخصات ذیل در گروه ساختمان‌های منظم در پلان قرار می‌گیرند:

۱- پلان ساختمان دارای شکل متقارن و یا تقریباً متقارن نسبت به محورهای اصلی ساختمان، که عموماً عناصر مقاوم در برابر زلزله، در امتداد آن‌ها قرار دارند، باشد و در صورت وجود فروفتگی یا پیشامدگی در پلان، اندازه آن در هر امتداد از ۲۵ درصد بعد خارجی ساختمان در آن امتداد تجاوز ننماید.

۲- در هر طبقه فاصله بین مرکز جرم و مرکز سختی در هر یک از دو امتداد متعامد ساختمان از ۲۰ درصد بعد ساختمان در آن امتداد بیشتر نباشد.

۳- تغییرات ناگهانی در سختی دیافراگم هر طبقه نسبت به طبقات مجاور از ۵۰ درصد بیشتر نبوده و مجموع سطوح بازشو در آن از ۵۰٪ سطح کل دیافراگم تجاوز ننماید.

۴- در مسیر انتقال نیروی جانبی به زمین، انقطع‌الایم مانند تغییر صفحه اجزایی برابر جانبی در طبقات وجود نداشته باشد.

۵- در هر طبقه حداقل تغییر مکان نسبی در انتهای ساختمان، با احتساب پیچش تصادفی، بیشتر از ۲۰ درصد با متوسط تغییر مکان نسبی دو انتهای ساختمان در آن طبقه اختلاف نداشته باشد.

#### ۲-۳-۱-۲- نامنظمی در ارتفاع

نامنظمی قائم در ساختمان‌ها شامل طبقه ضعیف، نامنظمی هندسی و نامنظمی در وزن طبقات می‌باشد که سبب اعمال نیروی قابل ملاحظه اضافی به برخی از اعضاء در این طبقات می‌گردد.

مطابق با بند ۱-۸-۲ ساختمان‌های بام مشخصات زیردر گروه ساختمان‌های منظم در ارتفاع قرار می‌گیرند:

۱- توزیع جرم در ارتفاع ساختمان، تقریباً یکنواخت باشد به طوری که جرم هیچ طبقه‌ای، به استثنای بام و خرپشته بام نسبت به جرم طبقه زیر خود بیشتر از ۵۰٪ تغییر نداشته باشد.

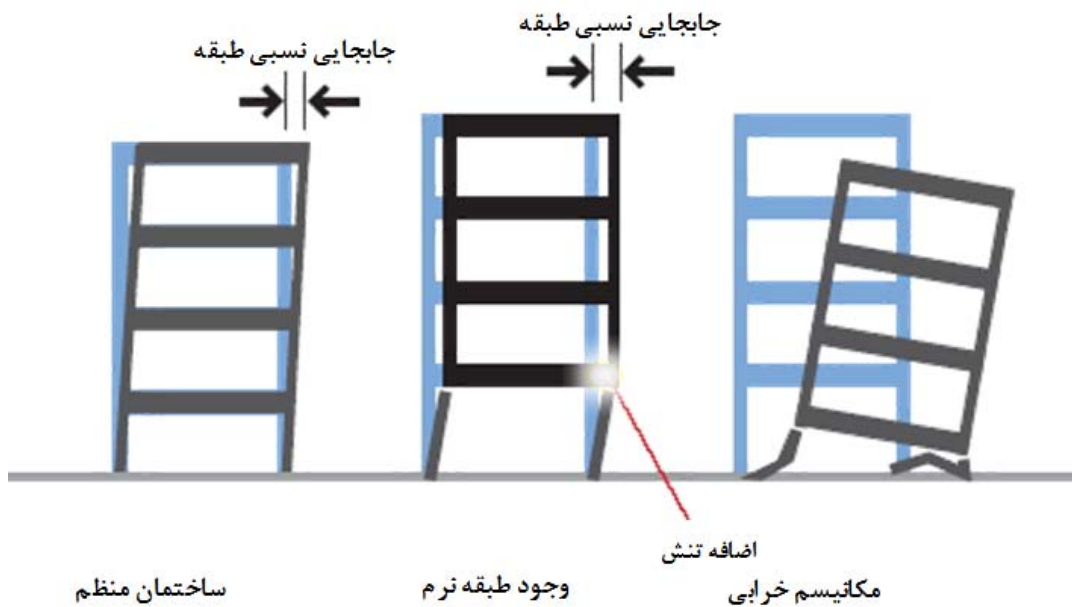
-۲- سختی جانبی در هیچ طبقه‌ای کمتر از ۷۰ درصد سختی جانبی طبقه روی خود و یا کمتر از ۸۰ درصد متوسط سختی سه طبقه روی خود نباشد، به عبارت دیگر هیچ طبقه‌ای نرم نباشد.

-۳- مقاومت جانبی هیچ طبقه‌ای کمتر از ۸۰٪ مقاومت جانبی طبقه روی خود نباشد (هیچ طبقه‌ای ضعیف نباشد). مقاومت هر طبقه برابر با مجموع مقاومت جانبی کلیه اجزای مقاومی است که برش طبقه را در جهت موردنظر تحمل می‌نمایند.

### ۳-۳- طبقه نرم

وجود طبقه نرم یکی از معایب بسیار متداول در ساختمان‌ها می‌باشد. مطابق آیین‌نامه طراحی ساختمانها در برابر زلزله (استاندارد ۲۸۰۰ ویرایش سوم)، طبقه‌ای که سختی جانبی آن کمتر از ۷۰ درصد سختی جانبی طبقه روی خود و یا کمتر از ۸۰ درصد متوسط سختی سه طبقه روی خود باشد، طبقه نرم نامیده می‌شود.

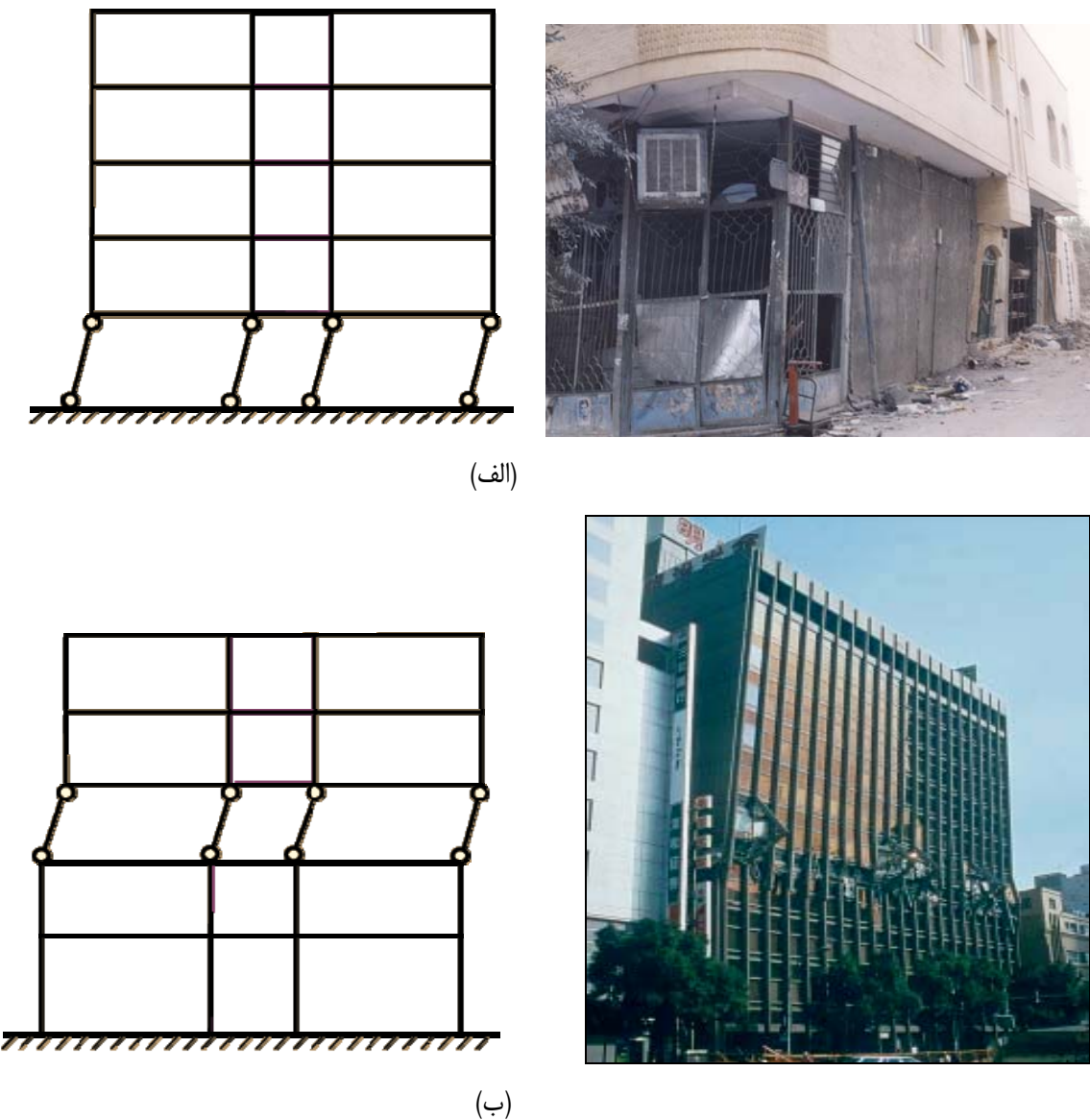
یکی از مشخصه‌های اصلی طبقه نرم ناپیوستگی در استحکام یا سختی است که در اتصالات ایجاد می‌شود. این ناپیوستگی بدین سبب ایجاد می‌شود که هرچه طبقه نرم ساختمان، استحکام کمتر و یا انعطاف‌پذیری بیشتری داشته باشد، تغییر شکل‌های بیشتری در آن ایجاد می‌شود که به نوبه خود به تمرکز نیروها در اتصالات می‌انجامد (شکل ۱-۳).



شکل ۱-۳- مکانیسم ایجاد طبقه نرم

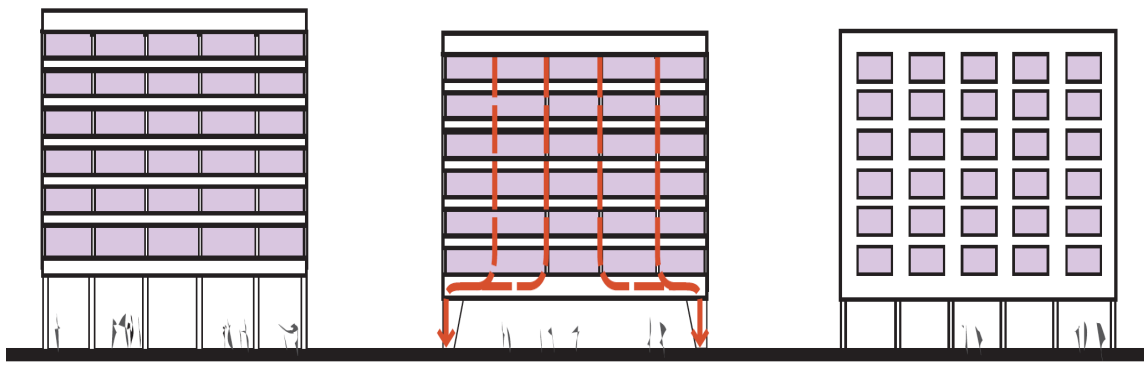
طبقه نرم معمولاً در اولین تراز ساختمان بوجود می‌آید، ولی در موارد خاصی می‌تواند در یکی از طبقات بالایی نیز اتفاق افتد (شکل ۲-۳).

به منظور اصلاح طبقه نرم، می‌توان از راهکارهایی نظیر اضافه کردن مهاربندهای فلزی، اضافه کردن دیوارهای برشی بتنی و یا فلزی، اضافه نمودن قابهای خمشی، ایجاد دیوارهای حائل و ... استفاده نمود. در این حالت با حذف نامنظمی فوق سختی طبقه و در نتیجه آن توزیع نیروی زلزله اصلاح می‌گردد (شکل ۳-۵).



شکل ۳-۲-الف- وجود طبقه نرم در اولین تراز، ب- وجود طبقه نرم در طبقات بالایی

متداول‌ترین علت به وجود آمدن طبقه نرم اختلاف سختی جانبی طبقه فوقانی و تحتانی سازه می‌باشد به طوری که اگر سختی جانبی در طبقه‌ای کمتر از ۷۰ درصد سختی جانبی طبقه روی خود و یا کمتر از ۸۰ درصد متوسط سختی سه طبقه روی خود باشد طبقه نرم به وجود می‌آید. ولی علاوه بر انعطاف‌پذیری زیاد طبقات تحتانی، ناپیوستگی در مسیرهای بارچلی و جانبی و همچنین وجود طبقات فوقانی سنگین نیز از عوامل به وجود آمدن طبقه نرم می‌باشد. بعضی از عوامل ایجاد طبقه نرم در شکل (۳-۳) نشان داده شده است.



انعطاف‌پذیری زیاد طبقه اول

انقطاع در مسیر بارهای نقلی و قائم

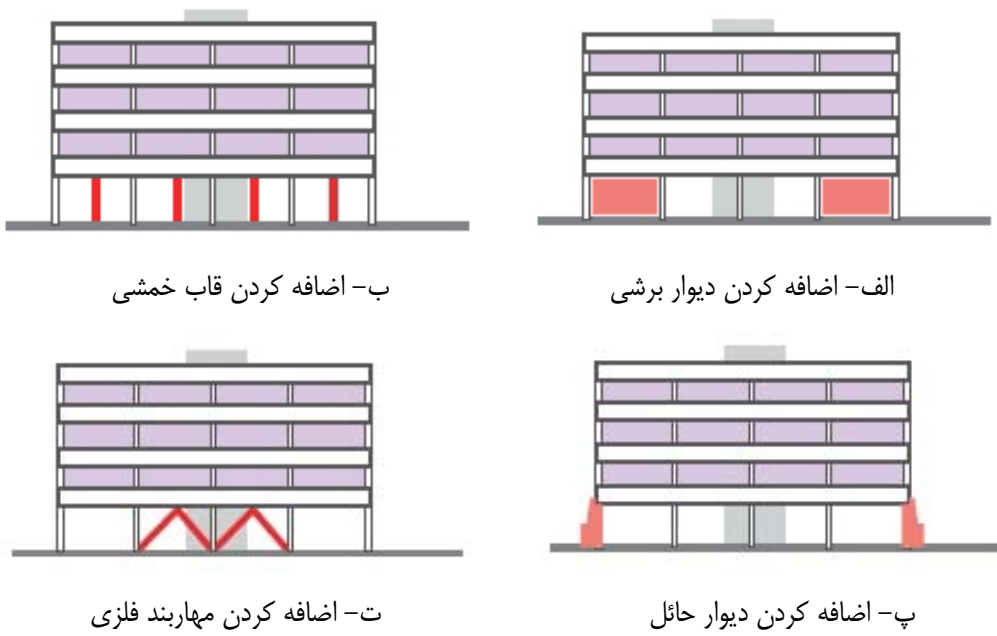
طبقات فوقانی سنگین

### شکل ۳-۳- عوامل به وجود آمدن طبقه نرم

در شکل (۳-۴) زیر مراحل اضافه نمودن قاب خمشی برای یک ساختمان با طبقه نرم، به عنوان راهکار بکار گرفته شده در جهت حذف نامنظمی، نشان داده شده است. این مراحل شامل ایجاد فونداسیون جدید و شناختنی، نصب ستون‌ها و تیرهای قاب خمشی جدید و اتصال آن به سیستم اولیه می‌باشد.



### شکل ۳-۴- مراحل اضافه نمودن قاب خمشی برای اصلاح طبقه نرم



ب- اضافه کردن قاب خمشی

الف- اضافه کردن دیوار برشی

ت- اضافه کردن مهاربند فلزی

پ- اضافه کردن دیوار حائل

شکل ۳-۵- راهکارهای بکار گرفته شده برای حذف نامنظمی و اصلاح طبقه نرم

#### ۴-۳- نامنظمی پیچشی

یکی از دلایل عمدۀ خرابی‌های شدید تحت زلزله، ایجاد پیچش در ساختمان می‌باشد. در صورتی که فاصله بین مرکز جرم و مرکز سختی در هر کدام از امتدادهای اصلی ساختمان زیاد باشد، ساختمان دچار پیچش گردیده و نیروی پیچشی ایجاد شده می‌تواند باعث خرابی در سازه شود (شکل ۳-۶).

مطابق آیین‌نامه طراحی ساختمان‌ها در برابر زلزله (استاندارد ۲۸۰۰ ویرایش سوم)، فاصله بین مرکز جرم و مرکز سختی در هر کدام از دو امتداد متعارض ساختمان، نباید از ۲۰ درصد بُعد ساختمان در آن امتداد بیشتر باشد.



شکل ۳-۶- فاصله زیاد بین مرکز جرم و مرکز سختی و خرابی ناشی از ایجاد پیچش

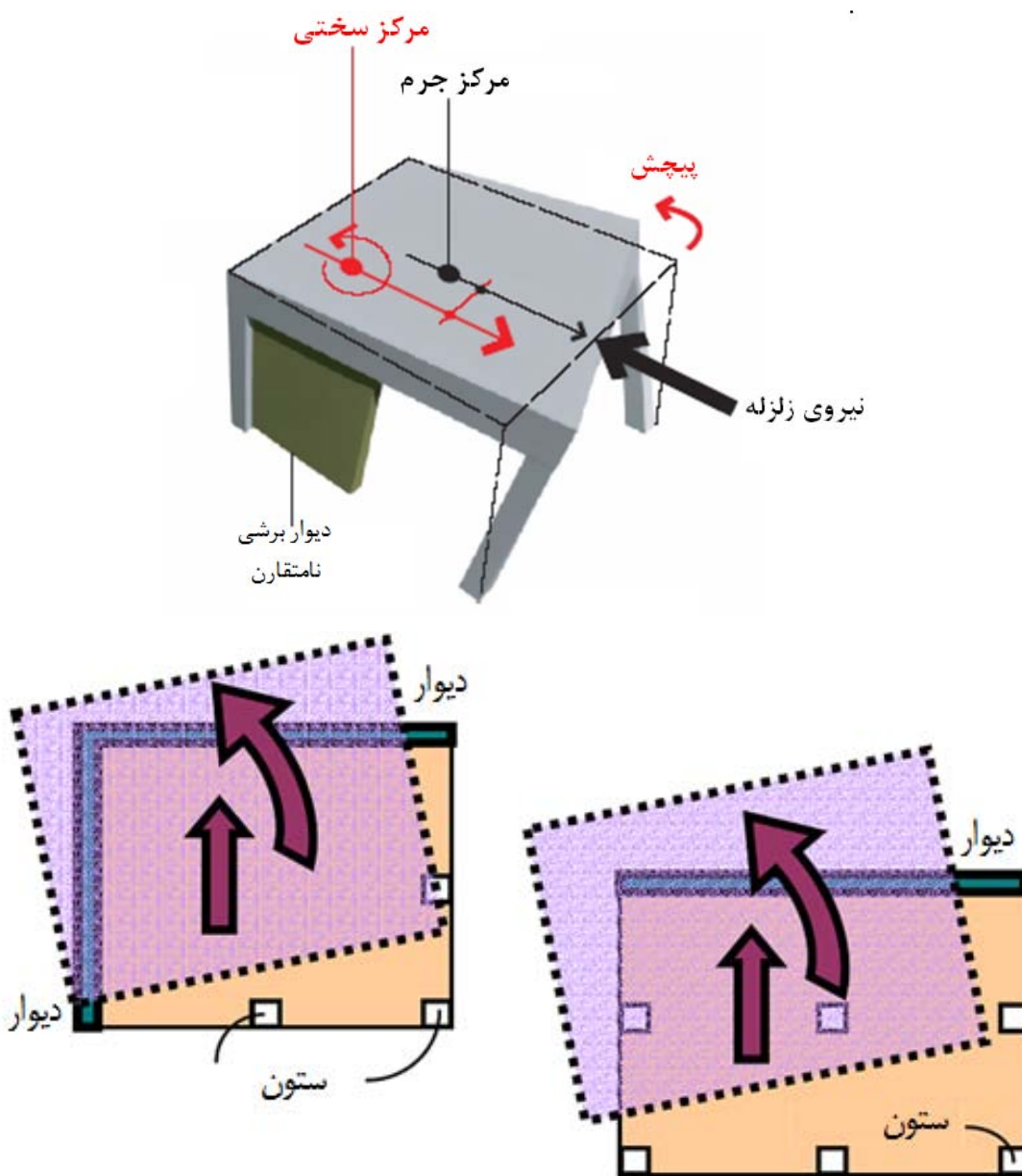
برخی از دلایل وجود فاصله بین مرکز جرم و مرکز سختی عبارتند از:

- قرارگیری نامتقارن اعضای قائم

- قرارگیری جرم‌های بزرگ بصورت نامتقارن

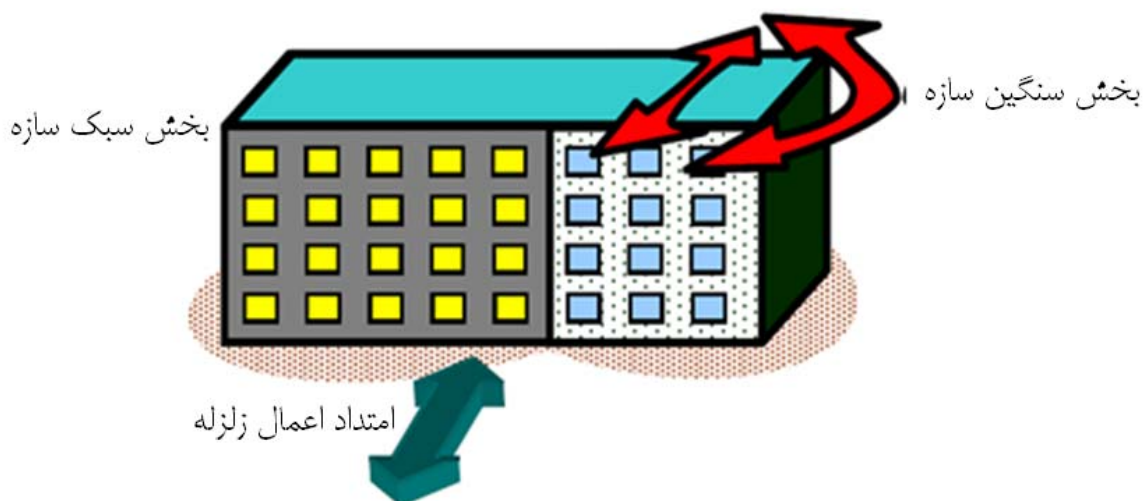
- اثر نامتقارن میان قابها و افزایش سختی ناشی از آنها

در شکل (۷-۳) نحوه ایجاد نیروهای پیچشی در یک سازه، به دلیل وجود دیواربرشی نامتقارن و در نتیجه ایجاد فاصله بین مرکز جرم و مرکز سختی، نشان داده شده است. برای اصلاح نامنظمی پیچشی نیز می‌توان از راهکارهای اضافه کردن دیوار برشی و مهاربند بصورت متقارن در پلان استفاده کرد.



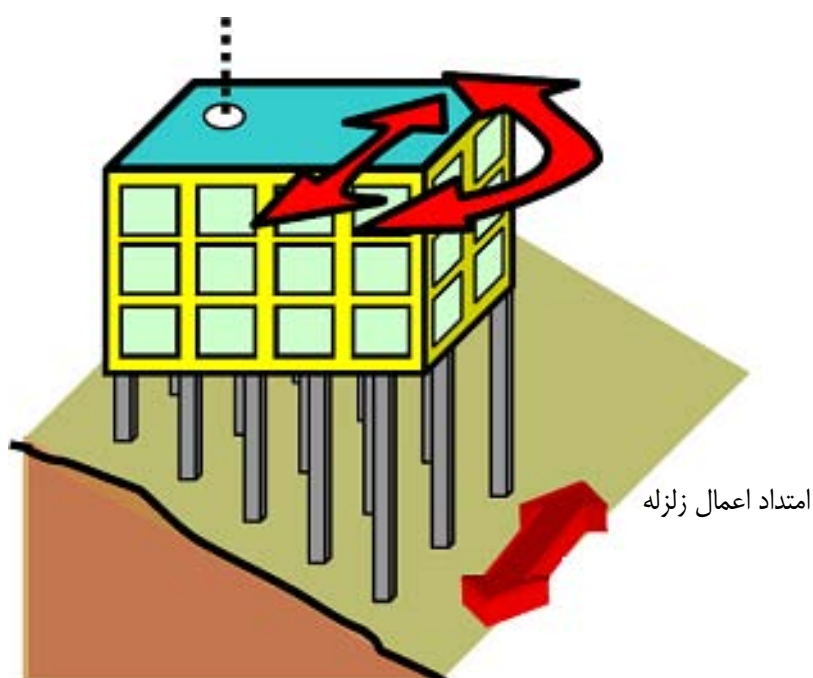
شکل ۷-۳- نحوه ایجاد پیچش به دلیل وجود دیوار برشی نامتقارن

در شکل (۸-۳) سازه‌ای که در آن عناصر قائم به شکل نامنظمی در پلان قرار گرفته و منجر به افزایش وزن قسمتی از سازه شده نشان داده شده است. این شرایط موجب وجود آمدن پیچش در سازه در اثر زلزله می‌گردد.



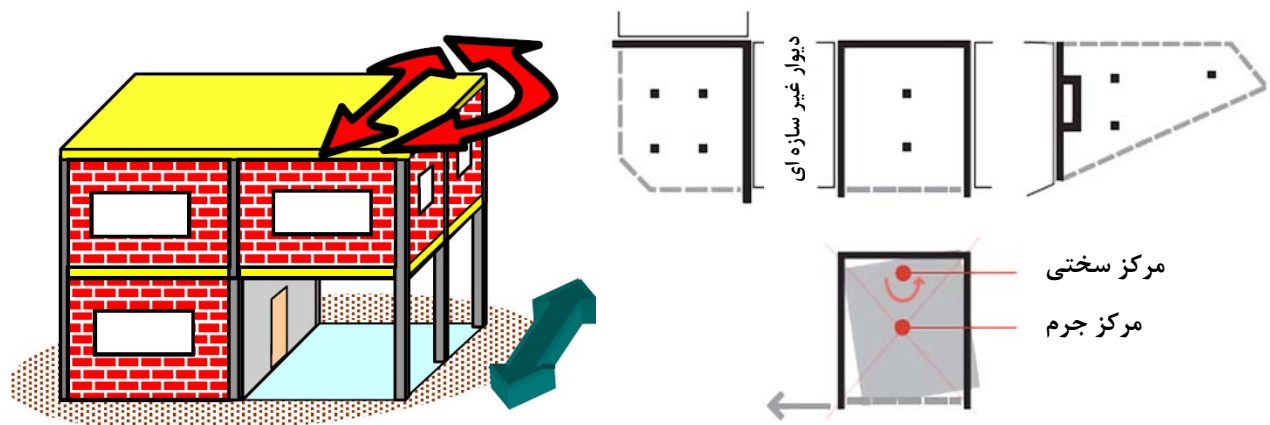
شکل ۸-۳- نحوه ایجاد پیچش به علت توزیع نامتقارن جرم ساختمان

سازه‌هایی که دارای المان‌های قائم سازه‌ای با اندازه‌های مختلف هستند شکل (۹-۳) مانند سازه‌هایی که بر روی زمین‌های شیبدار احداث می‌گردند نیز دچار پیچش می‌شوند. این امر را می‌توان به کودکی که بر روی تابی با طناب‌های نامساوی نشسته شبیه نمود. علت این امر، تغییر سختی در قاب‌های مختلف می‌باشد.



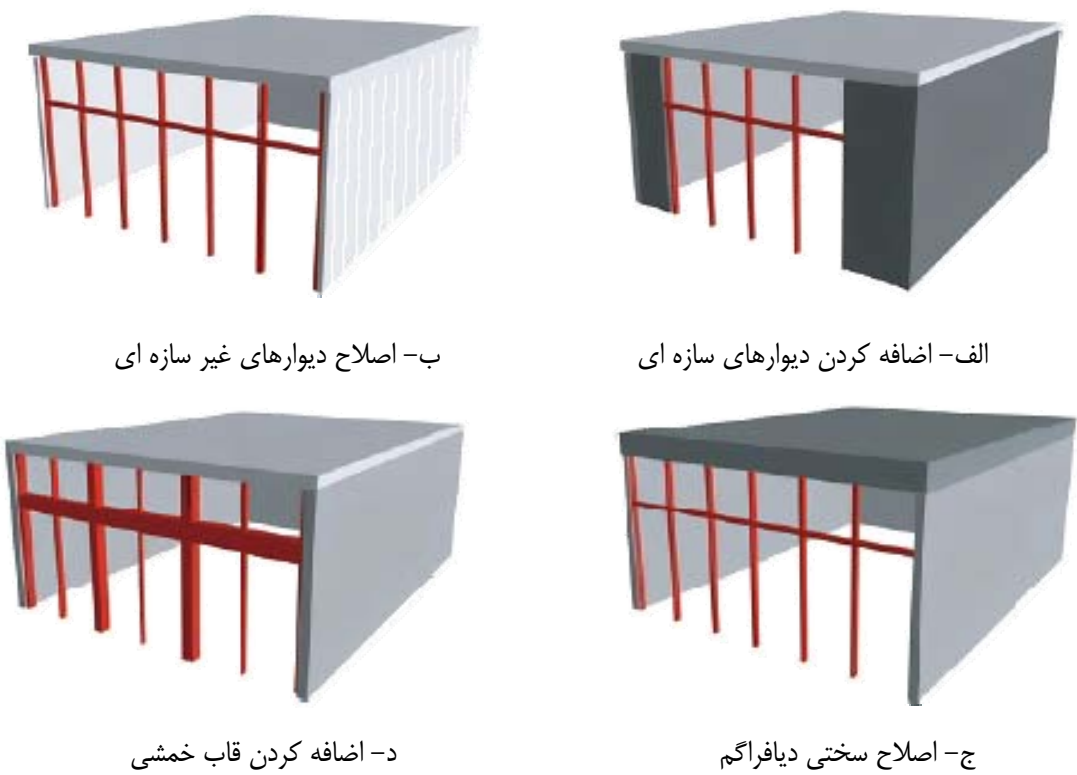
شکل ۹-۳- نحوه ایجاد پیچش به علت وجود المان‌های قائم سازه‌ای با اندازه‌های مختلف

شکل متداول تری از نامنظمی پیچشی مربوط به تغییرات مقاومت و سختی در طول محیط ساختمان‌ها می‌باشد که نتیجه آن مستعد بودن سازه برای پیچش است. این تغییرات می‌توانند ناشی از بازشوهای اجتناب‌ناپذیر و یا فرم مثالی و گوهای در ساختمان باشد (شکل ۳-۱۰).



شکل ۳-۱۰- نامنظمی به دلیل تغییرات مقاومت و سختی در طول محیط ساختمان

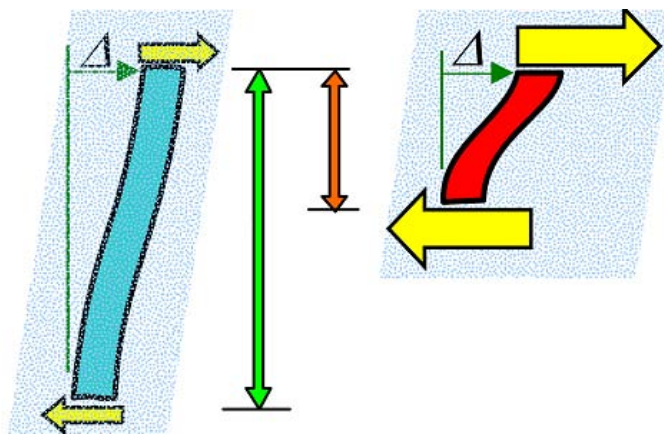
در شکل (۱۱-۳) برخی از راهکارهای متداول برای حالتی که در یک وجه ساختمان عضو برابر جانبی با سختی زیاد و در دو وجه دیگر دیوارهای غیر سازه‌ای و انعطاف پذیر وجود دارد، نشان داده شده است.



شکل ۳-۱۱- راهکارهای ارائه شده برای اصلاح نامنظمی پیچشی

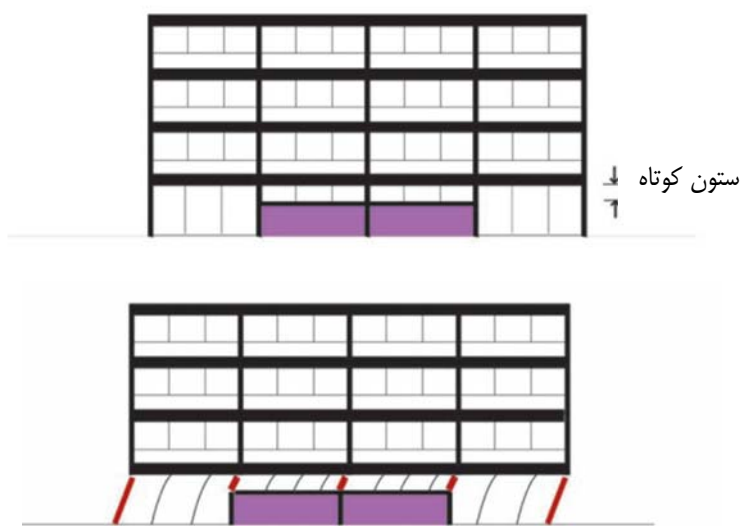
### ۵-۳- ستون کوتاه

شکست تُرد و برشی ستون‌ها به دلیل ماهیت ناگهانی آن بدترین نوع شکست می‌باشد. به همین دلیل همواره سعی بر آن است که مکانیسم کننده خرابی ستون بصورت خمی باشد و ستون نباید به عنوان عضو ضعیفی در قاب سازه‌ای عمل نماید. شکست برشی ستون را اصطلاحاً ستون کوتاه می‌گویند و باید همواره سازه به گونه‌ای طراحی و یا مقاومسازی گردد که از وقوع چنین امری دوری شود (شکل ۱۲-۳).

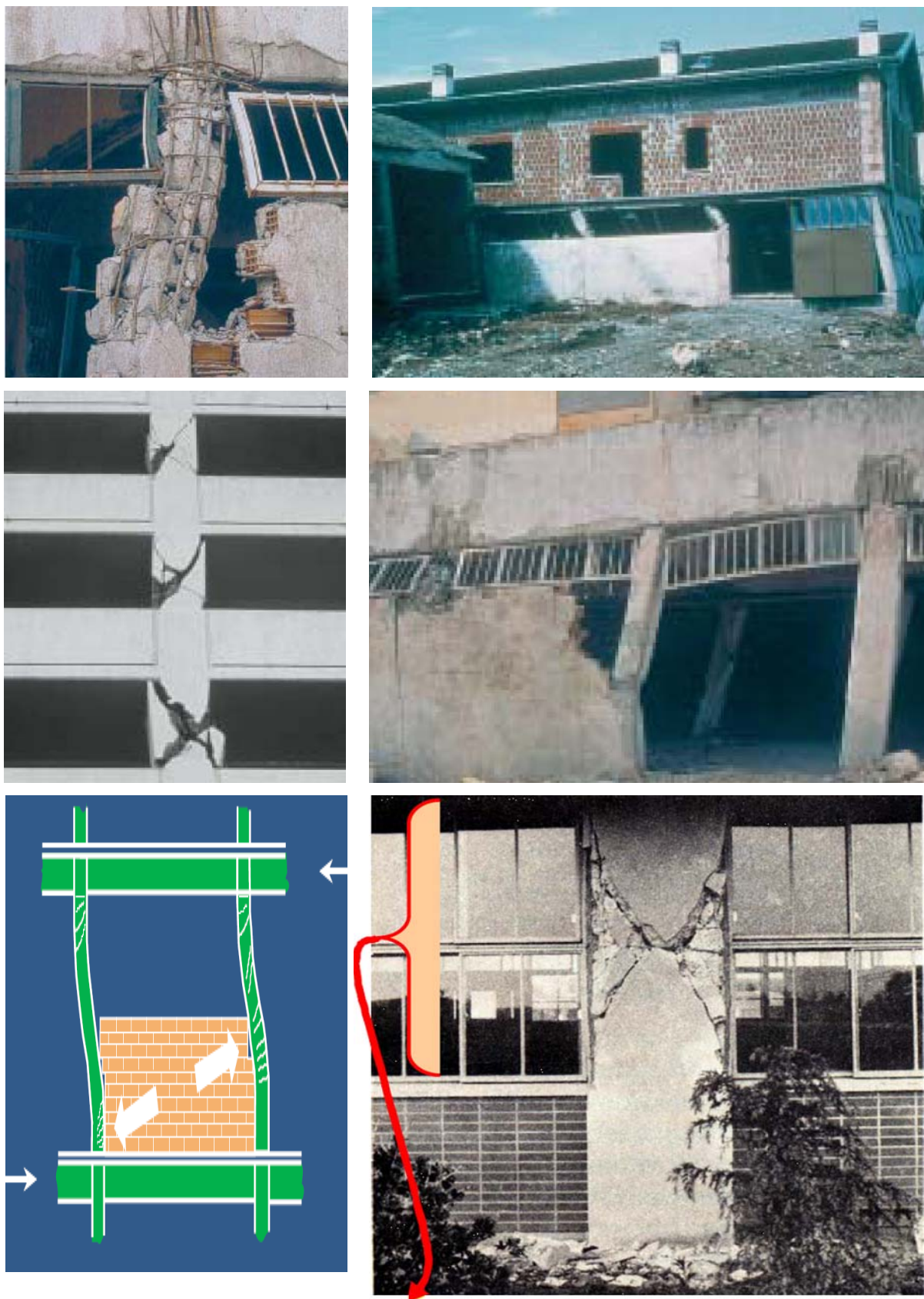


شکل ۱۲-۳- ایجاد برش و دوران‌های زیاد در ستون‌های کوتاه

تشکیل مکانیسم ستون کوتاه معمولاً باعث انهدام سازه می‌گردد. در صورتی که دیوار مخصوصاً دیوار باربر تنها در قسمتی از ستون اجرا شود، در هنگام زلزله در ستون نیروی برشی بزرگی به وجود می‌آید که این امر منجر به مکانیسم ستون کوتاه می‌گردد. در این موارد که به علت وجود بازشو ناگزیر به اجرای دیوار در قسمتی از ستون هستیم باید ستون بر اساس نیروهای برشی بزرگ طراحی و یا مقاومسازی شود (شکل‌های ۱۳-۳ و ۱۴-۳).



شکل ۱۳-۳- تشکیل مکانیسم ستون کوتاه



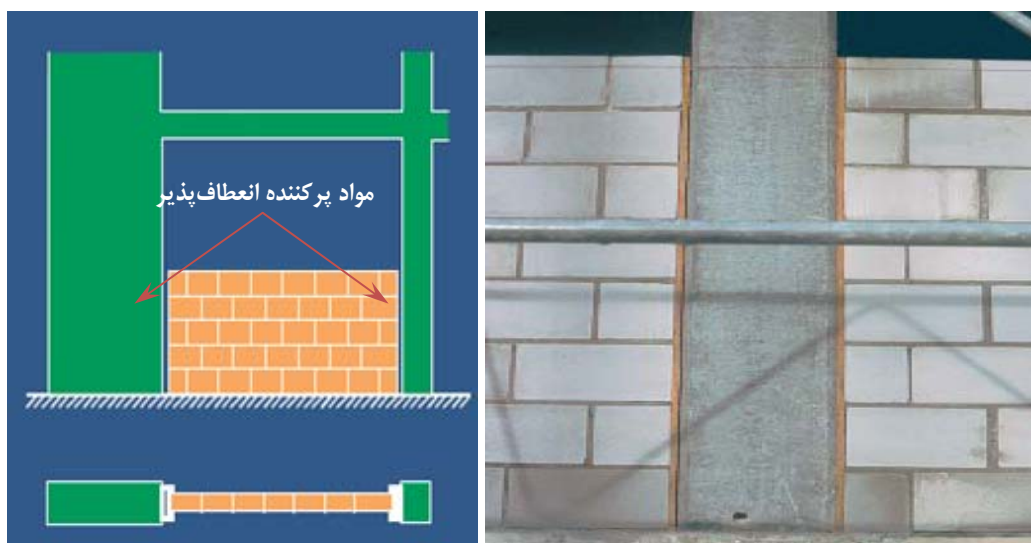
ستون کوتاه

شکل ۳-۱۴- مکانیسم ستون کوتاه و در نتیجه خرابی سازه

راهکارهای حذف ستون کوتاه شامل دو دسته کلی می‌باشد:

الف- جداسازی دیوار و ستون:

در این روش با ایجاد فاصله بین دیوار و ستون و پر نمودن آن با مواد پرکننده انعطاف‌پذیر از ایجاد نیروهای برشی در ستون و در نتیجه ایجاد مکانیسم ستون کوتاه جلوگیری می‌گردد. برای محاسبه فاصله بین دیوار و ستون باید اثر P-Δ سازه را منظور نمود (شکل ۳-۱۵).



شکل ۳-۱۵- جداسازی دیوار و ستون

ب- اجرای جزئیات مناسب و شکل‌پذیر در ستون‌ها:

با اجرای جزئیات مناسب و شکل‌پذیر در ستون‌ها می‌توان توانایی ستون در برابر نیروهای برشی و تغییرشکل‌های بزرگ را افزایش داد (شکل ۳-۱۶).



شکل ۳-۱۶- اجرای جزئیات مناسب و شکل‌پذیر در ستون‌ها

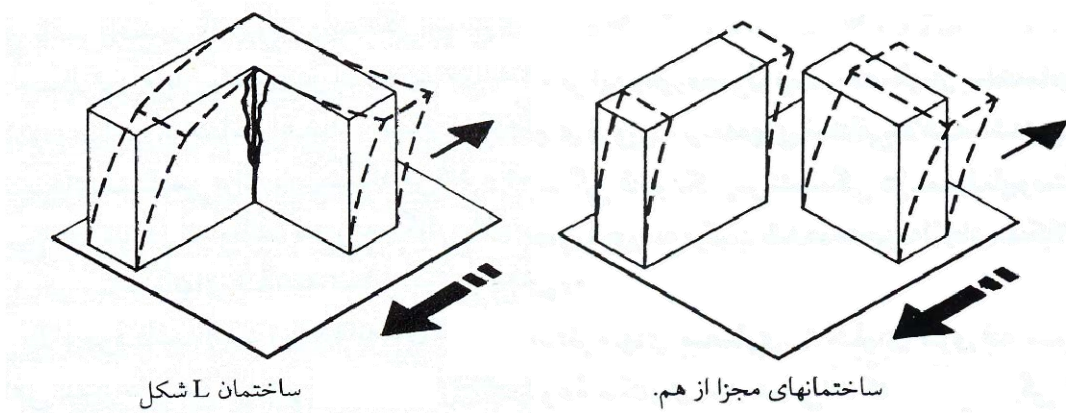
### ۳-۶- گوشه‌های فرورفته

نامنظمی گوشه فرورفته، مشخصه مشترک کلیه پیکربندی‌های ساختمانی است که در پلان، شکل‌هایی به صورت T, U, L, H, +, □, +, L, صلیبی و یا ترکیبی از این شکل‌ها را دارند.



شکل ۳-۱۷- انواع پلان با گوشه‌های فرورفته

در این نوع سازه‌ها سختی عناصر در گنج ها، در هر یک از جهات متفاوت بوده و در نتیجه قسمتهای مختلف بصورت کاملاً متفاوت نوسان می‌کنند، که این امر باعث ایجاد تمکز تنش در گوشه‌های فرورفته می‌شود. (شکل ۳-۱۸).



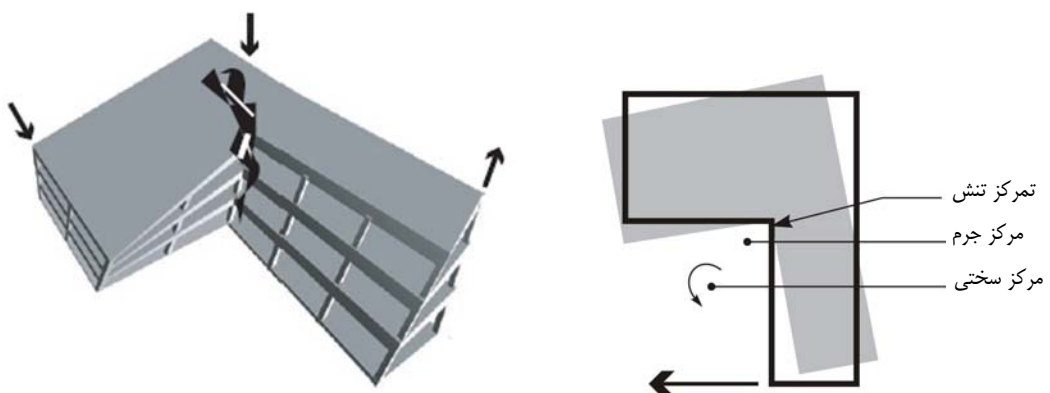
شکل ۳-۱۸- عملکرد ساختمان‌های L شکل تحت نیروهای زلزله

مشکل دیگر این نوع سازه‌ها مربوط به پیچش ایجاد شده در آنها می‌باشد. تمکز تنش در محل شکاف و آثار ناشی از پیچش به هم مرتبط است شکل (۳-۲۰). در مجموع اندازه نیروها و تنش‌های مخرب به عوامل زیر بستگی دارد:

- جرم ساختمان
- سیستم سازه ای
- طول بال ها و نسبت های جناحی آنها
- ارتفاع بال ها و نسبت (ارتفاع / عمق) آنها

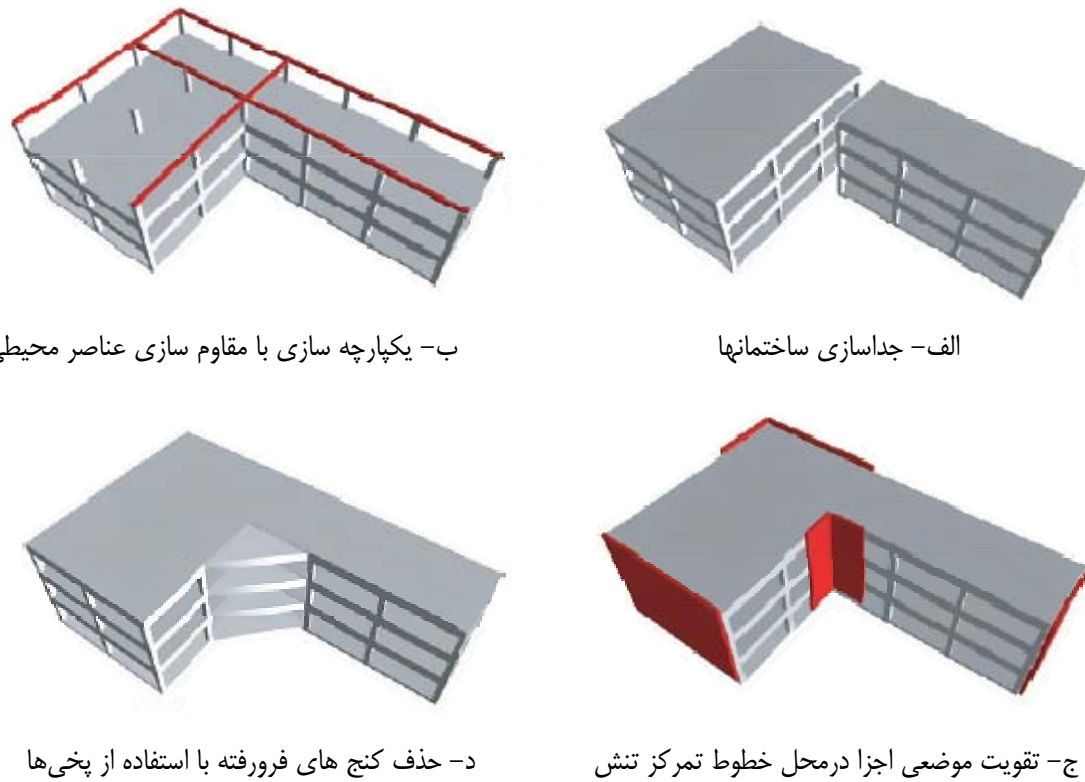


شکل ۳-۱۹-۳- تمرکز تنش در گنج یک ساختمان L شکل



شکل ۳-۲۰- ایجاد پیچش و تمرکز تنش در ساختمانهای با نامنظمی گوشه های فرورفته

راهکارهایی که می‌تواند برای بهسازی این نوع از نامنظمی بکار گرفته شوند شامل جداسازی سازه ای ساختمان به دو بخش منظم، تقویت موضعی اجزا در محل خطوط تمرکز تنش، کمک به یکپارچه عمل کردن سازه با استفاده از مقاوم سازی عناصر محیطی، حذف گنج با استفاده از پخی ها و رفع نامنظمی پیچشی توسط راهکارهایی که در قبل ارائه شد می باشد (شکل ۳-۲۱).



شکل ۳-۲۱- بعضی از راهکارهای ارائه شده برای رفع پیچش و تمراز تنفس در ساختمانهای با نامنظمی گوشه‌های فرورفتہ

## **فصل ۴**

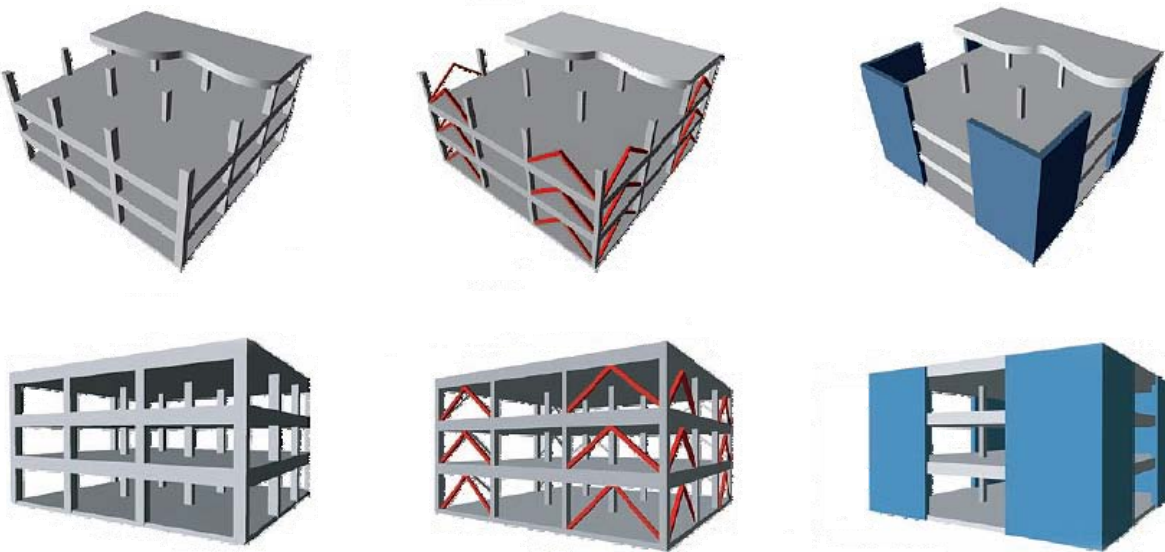
# **افزایش مقاومت و سختی جانبی سازه**



#### ۱-۴ - مقدمه

هنگامی که سازه‌ای دچار ضعف‌های کلی در تحمل بارهای وارد باشد، بطوری که در اغلب اعضای آن نسبت نیاز سازه‌ای به ظرفیت موجود و یا تغییرشکل‌های غیرخطی بزرگ باشد، لازم است به منظور تأمین ظرفیت و مقاومت کلی سازه، سیستم باربر جانبی اصلاح و یا ایجاد گردد. برای این منظور می‌توان از راهکارهایی مانند اضافه نمودن انواع قاب‌های مهاربندی شده، قاب‌های خمشی، انواع دیوارها شامل دیوارهای برشی بتنی، فولادی و یا مرکب، دیوارهای پرکننده، میانقاب‌های بنایی و یا مسلح، دیوارهای پشت بند و ... استفاده نمود.

همچنین چنانچه مشخص شود که ضعف عمدۀ سازه در کمبود سختی جانبی آن و در نتیجه تغییر مکان‌های زیاد می‌باشد، می‌توان با راهکارهایی مناسب افزایش مهاربندی یا دیوار برشی، سختی جانبی لازم را برای سازه فراهم نمود. (شکل ۱-۴).

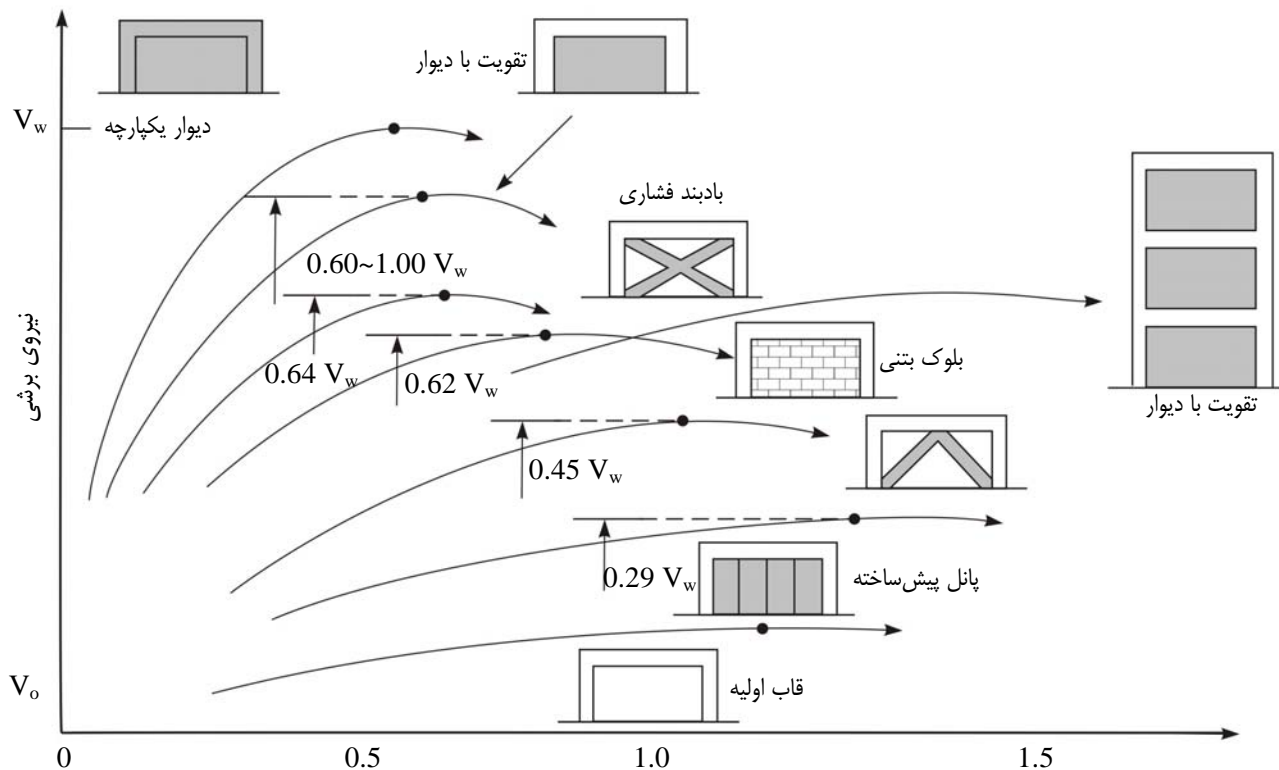


شکل ۱-۴ - افزایش مقاومت و سختی سازه بوسیله اضافه نمودن قاب خمشی، مهاربند و دیوار برشی

در چنین شرایطی اندرکنش سازه موجود و سیستم باربر جانبی جدید باید به دقت مورد بررسی قرار گیرد. چنانچه قاب مهاربندی شده و یا دیوار برشی دارای سختی زیادی باشد، ممکن است بخش قابل توجهی از بارهای جانبی را به خود جذب کند. اگر افزایش ظرفیت با اضافه کردن قاب خمشی انجام گیرد به دلیل نرمی قاب، اندرکنش سازه موجود و قاب خمشی موجب توزیع بار بین هر دو سیستم می‌شود. در این حالت باید رفتار اعضای ترد سازه در اثر تغییرشکل‌های ساختمان بهسازی شده به دقت مورد بررسی قرار گیرد.

مقاومت جانبی و شکل‌پذیری، ضروری‌ترین اهداف تائیر گذار بر رفتار لرزه‌ای سازه‌ها می‌باشند. ترکیب مقاومت و شکل‌پذیری با تعامل خاص بین مقاومت و سختی سروکار دارد. از آنجا که اجزای مختلف سازه بر حسب مقاومت و شکل‌پذیری ارزیابی می‌شوند، راهکارهایی که منجر به افزایش مقاومت و یا سختی سازه می‌شوند، از کارآمدترین راهکارهای بهسازی به شمار می‌آیند. افزایش مقاومت جانبی و افزایش سختی سازه مفاهیمی بسیار نزدیک به یکدیگر دارند، ولی در عین حال از جهاتی نیز دارای اختلاف می‌باشند.

در شکل (۲-۴) منحنی‌های ظرفیت برای یک قاب آزمایشگاهی، در حالات گوناگون بهسازی از نظر افزایش در مقاومت و سختی نشان داده شده است. همچنین در جدول (۱-۴) رفتار کیفی سیستم‌های متدال سازه‌ای از نظر مقاومت و شکل پذیری مورد بررسی قرار گرفته است. در ادامه به بررسی هر کدام از سیستم‌های فوق پرداخته می‌شود.



شکل ۲-۴ - منحنی‌های ظرفیت قاب در شیوه‌های مختلف بهسازی

هنگام محاسبه نیروهای وارد بر المانهای جدید همواره این سوال وجود دارد که در هنگام اعمال نیروهای جانبی چه مقدار از این نیروها به سازه اصلی و چه مقدار به المانهای جدید اعمال می‌گردد. در این مورد راه حل‌های زیر توصیه می‌گردد:

۱- مهندس محاسب می‌تواند در صورتی که سیستم موجود برای بارهای قائم جوابگو باشد کلیه بارهای قائم را به سیستم سازه‌ای اصلی و بارهای جانبی را به المانهای اضافه شده جدید (بادبندها یا دیوارهای برشی) اعمال نماید. در بهسازی ساختمانهای کوچک و متعارف این روش بهترین می‌باشد و اندرکنشی بین دو سیستم برقرار نمی‌گردد. در این روش اجزای مرزی المان‌های اضافه شده، به صورت موضعی بهسازی می‌شوند.

۲- ساختمانهای موجودی که دارای سیستم سازه‌ای می‌باشند می‌توان برای آنها اندرکنشی بین سیستم قدیم و سیستم جدید در نظر گرفت. به عنوان مثال اگر سیستم قدیم به صورت قاب بود و سیستم جدید به صورت قاب دوگانه مورد نظر باشد، باید پیوستگی کافی بین سیستم برابر جانبی جدید و سیستم قاب قدیم برقرار گردد.

۳- مهندس سازه بر حسب شناختی که از اسکلت موجود بدست می‌آورد می‌تواند درصدی از نیروی جانبی را به سیستم قدیم و درصدی را به سیستم جدید اعمال نماید. لذا کارشناسی دقیقی در این خصوص باید صورت بگیرد.

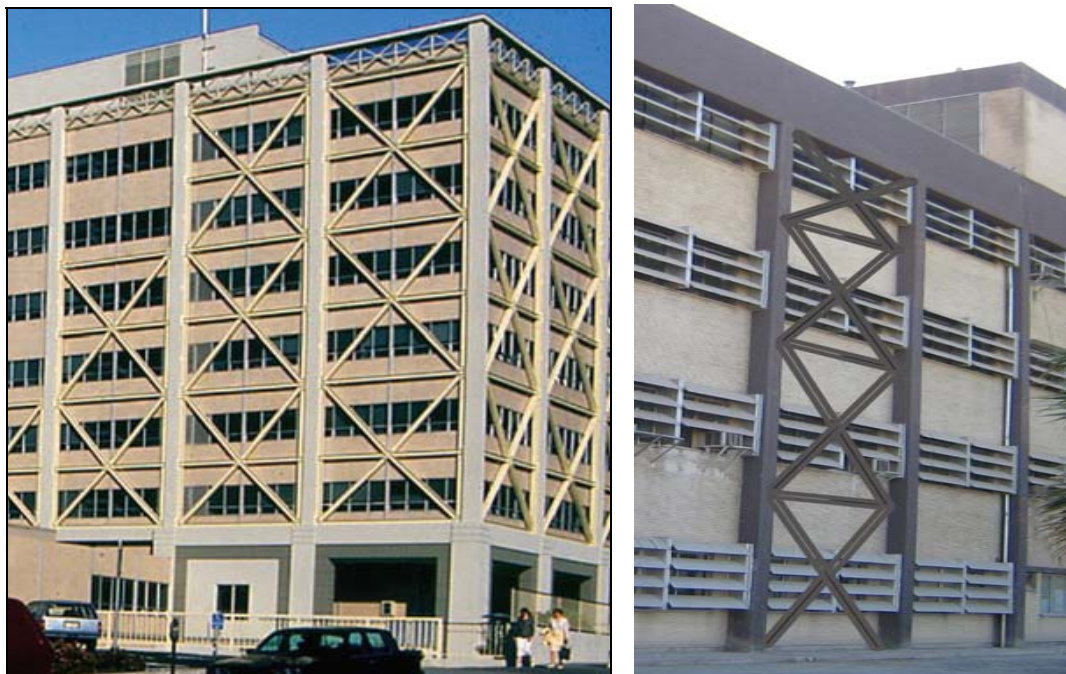
#### جدول ۴-۱- مقایسه رفتار کیفی سیستم‌های مختلف سازه‌ای

| شکل‌پذیری | مقاومت   | سیستم‌های سازه‌ای            |
|-----------|----------|------------------------------|
| متواسط    | خوب      | CBF مهاربند                  |
| خوب       | بسیارخوب | دیواربرشی بتی معمولی         |
| بسیار خوب | بسیارخوب | دیواربرشی بتی متواسط         |
| عالی      | عالی     | دیواربرشی بتی ویژه           |
| کم        | کم       | میانقابهای بنایی             |
| متواسط    | متواسط   | میانقابهای مسلح              |
| عالی      | عالی     | BRBF مهاربند                 |
| بسیارخوب  | بسیارخوب | EBF مهاربند                  |
| عالی      | بسیارخوب | ADAS مهاربند                 |
| متواسط    | متواسط   | قاب خمی معمولی فولادی یا بتی |
| خوب       | متواسط   | قاب خمی متواسط فولادی یا بتی |
| عالی      | متواسط   | قاب خمی ویژه فولادی یا بتی   |
| عالی      | خوب      | دیواربرشی فولادی             |

#### ۴-۲- اضافه نمودن مهاربندها

به منظور بهسازی سازه‌ها می‌توان از انواع مهاربندهای متداول و جدید شامل مهاربندهای فولادی همگرا (CBF)، مهاربندهای فولادی واگرا (EBF)، مهاربندهای ضد کمانش (BRBF) و انواع میراگرهای مهاربندی استفاده نمود. از جمله مزایای این روش عبارتند از:

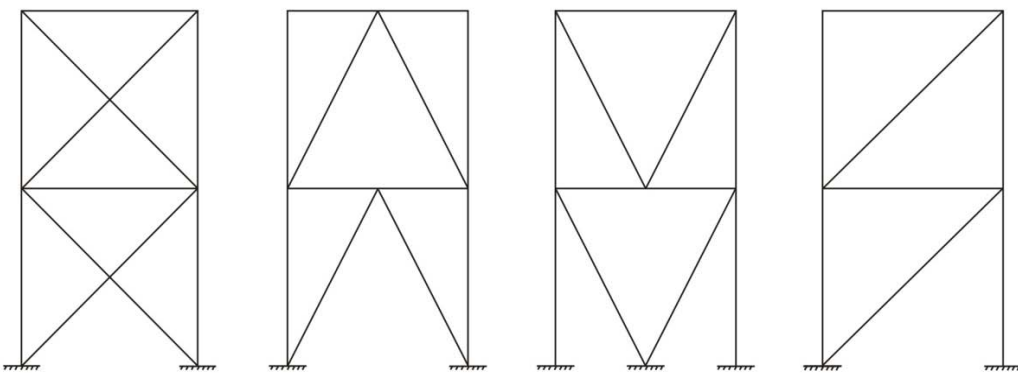
- افزایش مقاومت و شکل‌پذیری سازه
- اعمال وزن کمتر نسبت به سایر سیستم‌ها
- امکان استفاده از بازشو و پنجره در قاب مهاربندی شده
- امکان استفاده موثر در طراحی معماری در صورت اضافه شدن مهاربند در نما (شکل ۴-۳)
- اجرای نسبتاً آسان



شکل ۴-۳- استفاده از مهاربندها بصورت نمایان در ساختمان‌ها

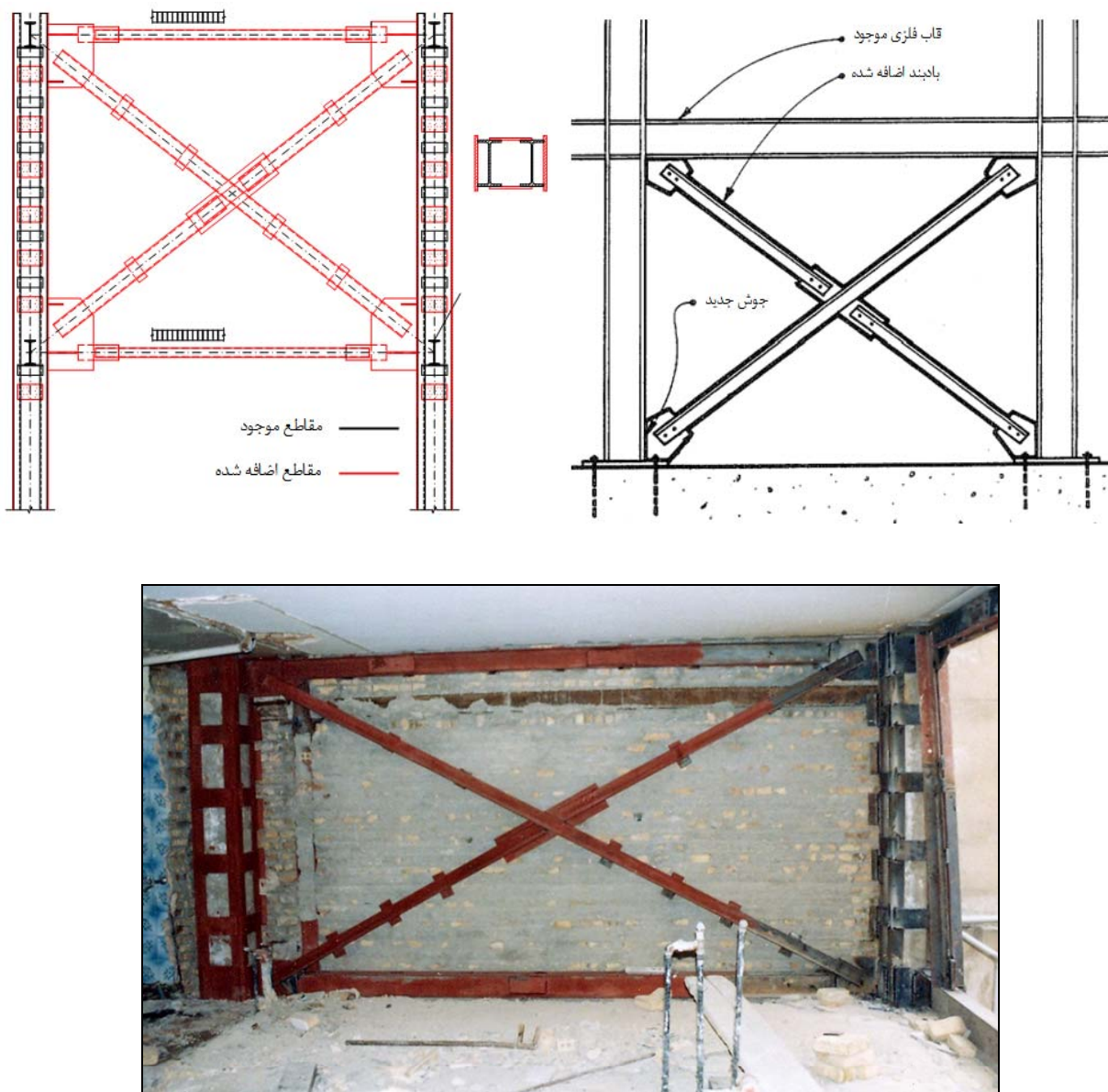
#### ۱-۲-۴- مهاربندهای فولادی همگرا (CBF)

استفاده از مهاربندهای فولادی یکی از کاربردی ترین روش‌های بهسازی بویژه در سازه‌های با اسکلت فولادی می‌باشد. این نوع از مهاربندها که جزء سیستم مقاوم سخت شناخته شده‌اند، با شکل‌های متنوع خود امکان سازگاری با نیازهای متداول معماری را کم و بیش فراهم می‌سازند. این اعضا با استفاده از مقاطعی نظیر I شکل، ناوданی، نبشی و سپری بصورت جفت و یا منفرد، لوله و ... ساخته شده و در اشكال ضربدری (X)، قطری (مورب تک) و جناغی (V یا Λ) قابل استفاده هستند (اشکال ۴-۴ و ۵-۵).



شکل ۴-۴- انواع مهاربندهای همگرا CBF

بطور عمدۀ با استفاده از مهاربندها به جای دیوار برشی، سطح کمتری از سختی و مقاومت را می‌توان به سازه اضافه نمود، ولی نباید از کم بودن وزن آنها و همچنین استفاده بهینه در فضاسازی معماری، چشم پوشی کرد.



شکل ۴-۵- بهسازی قاب‌های موجود بوسیله مهاربندهای همگرا

در ساختمان‌های بتُنی نحوه اتصال مهاربند فولادی به قاب بتُنی، از جمله موارد مهم و اساسی به شمار می‌رود، بطوری که عملکرد خوب مهاربند بستگی به نحوه اتصال آن دارد. طبق تحقیقات و آزمایش‌های انجام شده استفاده از ملات مناسب و منبسط شونده بین قاب فولادی و بتُنی از اهمیت خاصی برخوردار است و در میزان مقاومت جانبی قاب موثر می‌باشد (اشکال ۴-۶ و ۷-۴).



شکل ۴-۶- استفاده از مهاربند همگرای جناغی در بهسازی قاب‌های بتُنی

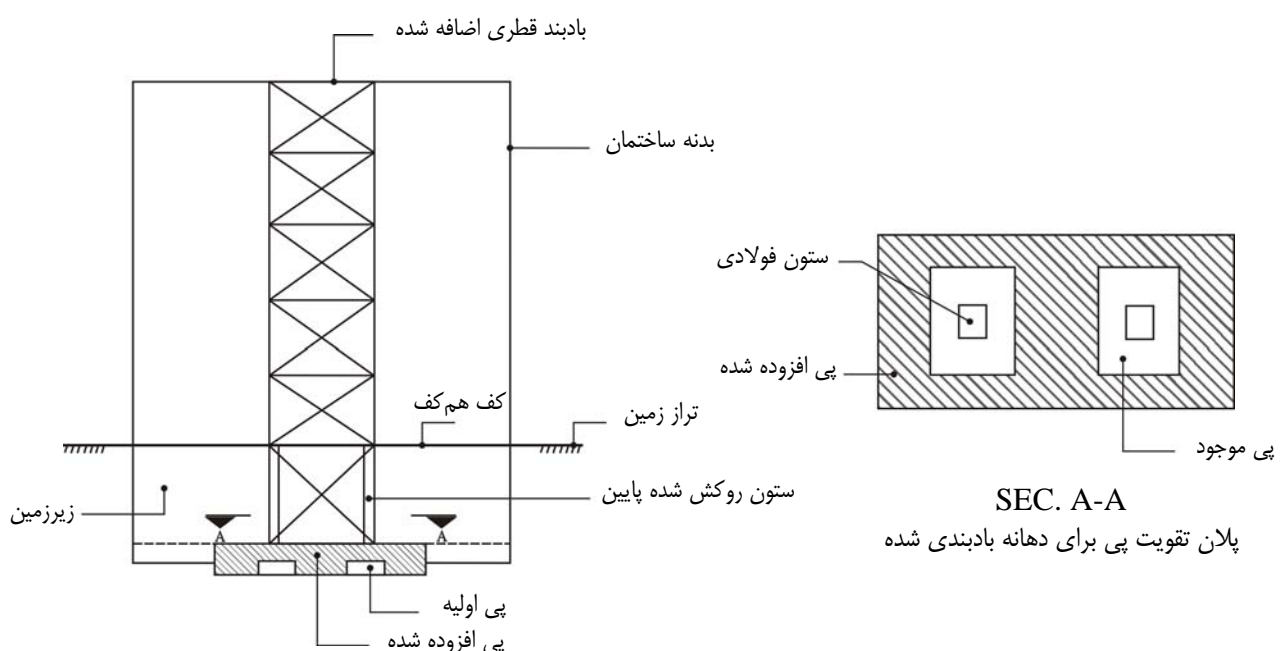


شکل ۴-۷- استفاده از مهاربند همگرای ضربدری در بهسازی قاب‌های بتُنی

در استفاده از مهاربندهای فولادی برای بهسازی قاب‌های فولادی و بتنی باید به دو نکته مهم توجه داشت. اول آنکه استفاده از مهاربندها باید در دهانه‌ها و طبقات بصورتی باشد که باعث نامنظمی پیچشی نگردد.

دوم آنکه در طبقه اول ساختمان استفاده از مهاربند در قاب‌های موجود منجر به اضافه شدن نیروی بلند شدگی در پای ستون‌ها می‌شود و لذا باید فوندانسیون‌ها در محل اضافه شدن مهاربندها کنترل گرددن (شکل ۸-۴).

استفاده از مهاربندهای به شکل K به منظور بهسازی قاب‌ها مجاز نمی‌باشد.



شکل ۸-۴- تقویت موضعی فوندانسیون در قاب مهاربندی شده

#### ۴-۱-۱-۲-۱- ضوابط طراحی قاب‌های مهاربندی شده همگرای ویژه

قاب‌های مهاربندی شده همگرای ویژه به قاب‌هایی گفته می‌شود که در آنها از مهاربندها انتظار می‌رود تحت اثر بار جانبی زلزله طرح تغییرشکل‌های فرا ارجاعی قابل ملاحظه تحمل کنند و در آنها کاهش مقاومت چندانی رخ ندهد. رفتار فرا ارجاعی مورد نظر ممکن است به مرحله بعد از کمانش مهاربند توسعه یابد. با این ترتیب پیکربندی و طراحی مهاربند و اتصالات آن باید چنان باشد که از عهده این تغییرشکل‌ها برآید و رفتار تیرها و ستون‌ها در قاب عملاً در مرحله ارجاعی باقی بماند.

#### ۴-۱-۱-۲-۱- توزیع نیروهای جانبی

در قاب‌های مهاربندی شده همگرا نیروی جانبی باین کلیه مهاربندهای کششی و فشاری توزیع شود و اعضای مهاربندها باید برای حداکثر نیروی ایجاد شده در آنها طراحی شوند.

مهرابندها در امتداد هر محور در هر طبقه باید طوری در نظر گرفته شوند که در هر جهت بارگذاری حداقل ۳۰ درصد و حداکثر ۷۰ درصد نیروی جانبی سهم آن محور در کشش تحمل شود، مگر آنکه اعضای مهرابندهای فشاری دارای مقاومتی بیشتر از آنچه تحلیل سازه برای بار زلزله از جمله ترکیب بارگذاری تشدیدیافته نشان می‌دهد، باشند.

منظور از محور مهرابندهای در این خاصیت یک یا چند محور مهرابندهای شده مستقیم موازی است که به فاصله‌ای کمتر از ۱۰ درصد بعد ساختمان در پلان، در جهت عمود بر محور، از یکدیگر قرار گرفته باشند.

#### ۴-۱-۱-۲- محدودیت‌های اعضای قطری

- الف- اعضای قطری باید دارای مقطع فشرده لرزه‌ای مطابق ضوابط مبحث ۱۰ مقررات ملی ساختمان باشند.
- ب- اعضای قطری ساخته شده از دو یا چند نیم‌رخ باید ضوابط مقاطع فشاری مرکب را مطابق ضوابط مبحث ۱۰ مقررات ملی ساختمان برآورده نمایند. وجود دو بست انتهایی بلافصله بعد از اتمام ورق اتصال الزامی است.
- پ- مقطع قطری‌ها، چه به صورت تکی و چه به صورت ساخته شده از نیم‌رخ‌های نورد شده یا ورقی، باید به صورت متقارن نسبت به صفحه‌ای که در آن قطری‌ها قرار داده شده است، قرار گیرند.
- ت- از به کار بردن وصله در طول عضو قطری باید حتی‌امکان خودداری شود. در صورت لزوم وصله باید بتواند تمام ظرفیت عضو را به صورت اتصال پوششی و یا به صورت مستقیم و با جوش نفوذی کامل انتقال دهد. وصله اجزای قطری نباید در یک مقطع قرار گیرند. همچنین محل وصله عضو مهرابند نباید در ناحیه یک چهارم طول در وسط آن قرار گیرد.
- ث- ناحیه یک چهارم طول قطری در وسط آن و دو ناحیه انتهایی قطری به طول حداقل ارتفاع مقطع آن باید نواحی بحرانی تلقی شده و خاصیت بند ۱۰-۳-۴-۳ در آنها رعایت شود.

#### ۴-۱-۱-۳- لاغری اعضای قطری

$$\text{الف- لاغری عضو قطری فشاری، } \frac{KL}{r} \text{، باید از } 4.23 \sqrt{\frac{E}{F_y}} \text{ تجاوز نماید.}$$

- ب- ضریب طول موثر عضو قطری، در مهرابندهای قطری و مهرابندهای ۷ و ۸ برابر با یک و در مهرابندهای ضربدری، چنانچه در محل تقاطع دو عضو مهرابندی اتصال کافی وجود داشته باشد، در صفحه مهرابندی برابر با  $5/0$  و در جهت عمود بر صفحه مهرابندی، برابر با  $7/0$  درنظر گرفته می‌شود.

#### ۴-۱-۲-۴- اتصالات اعضای قطری مهاربندها

##### الف- مقاومت کششی مورد نیاز

مقاومت کششی مورد نیاز اتصال های قطری مهاربندی، شامل اتصال تیر به ستون اگر بخشی از سیستم مهاربندی باشد، باید حداقل برابر با کمترین دو مقدار زیر باشد:

- در طراحی به روش حالات حدی برابر با  $F_{ye} A_g$  و در طراحی به روش تنش های مجاز  $0.6F_{ye} A_g$ .

که در آن:

$A_g$ : سطح مقطع کلی عضو قطری مهاربند

$F_{ye}$ : تنش تسليم مورد انتظار آن است.

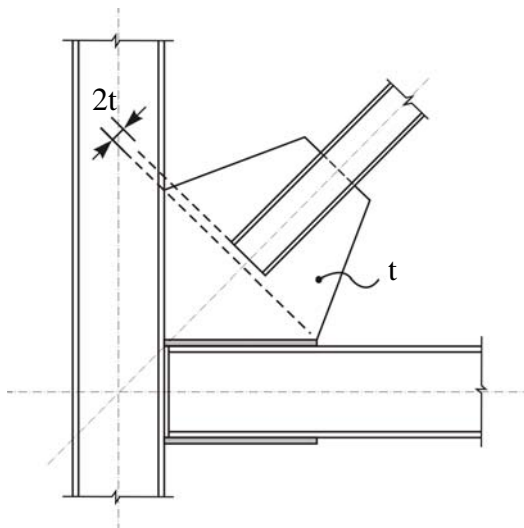
- حداقل اثر نیرویی که بر اساس تحلیل سازه، سیستم باربر جانبی می تواند به مهاربند منتقل نماید.

##### ب- مقاومت خمشی مورد نیاز

مقاومت خمشی مورد نیاز اتصال های قطری های مهاربندی باید حداقل برابر با  $1.1M_{pe}$  در طراحی حالات حدی و یا  $0.6 \times 1.1M_{pe}$  در طراحی تنش های مجاز باشد.  $M_{pe}$  لنگر خمشی پلاستیک مقاوم تسليم مورد انتظار مهاربند حول محور کمانش بحرانی مقطع،  $F_{ye} Z$ ، است.

در اتصال های مهاربندی که ظرفیت کششی بند الف را دارا بوده و قابلیت سازگاری با دوران های غیرالاستیک حاصل از تغییر شکل های پس از کمانش در آنها تامین شده باشد، رعایت این ضابطه الزامی نیست.

سازگاری با دوران غیرالاستیک حاصل از تغییر شکل های پس از کمانش در خارج از صفحه مهاربندی با قطع مهاربند قبل از خط تکیه گاهی ورق اتصال، مطابق شکل ۹-۴ تامین می شود.



شکل ۹-۴- اتصال مهاربندی با ایجاد خط آزاد خمس

### پ- مقاومت فشاری مورد نیاز

مقاومت فشاری مورد نیاز اتصال‌های مهاربندی باید براساس حالت حدی کمانش تعیین شود. این مقاومت را می‌توان حداقل برابر با  $1.25P_n$  در طراحی حالات حدی و یا  $1.25F_a A_g$  در طراحی تنش مجاز در نظر گرفت.  $P_n$  ظرفیت فشاری اسمی عضو قطری مهاربند و  $F_a$  تنش فشاری مجاز آن است.

### ۴-۱-۱-۵- تیرهای قاب مهاربندی شده ۷ و ۸

تیرهای دهانه مهاربندی شده باید قادر به تحمل نیروهای قائم حاصل از ترکیب بارهای ثقلی بدون حضور مهاربندها باشد.

تیرها در این قاب باید در حد فاصل دو ستون پیوسته باشند و مهار جانبی کافی برای جلوگیری از کمانش جانبی- پیچشی، در هر دو بالا و پائین، داشته باشند. مهارهای جانبی و فواصل آنها باید خوبابط بند ۱۰-۳-۱-۸-۴-۲-۱-۸-۳-۱۰ مقررات ملی ساختمان را رعایت نمایند و در هر صورت وجود حداقل یک جفت مهار جانبی در محل اتصال مهاربندها به تیر الزامی است.

تیر دهانه مهاربندی شده باید قادر به تحمل نیروی ناشی از اثر زلزله در ترکیب با بارهای ثقلی باشد.

برای منظور کردن اثر توزیع نامتعادل نیروهای قطری کششی و فشاری ناشی از زلزله، تیر دهانه مهاربندی شده باید برای اثر برشی و لنگر ناشی از نیروهای زیر در اعصاری قطری، محاسبه گردد.

الف- در طراحی به روش تنش‌های مجاز (شکل ۴-۱۰-الف):

- نیروی قطری کششی  $0.6F_{ye} A_g$

- نیروی قطری فشاری  $0.3F_a A_g$

ب- در طراحی به روش حالات حدی (شکل ۴-۱۰-ب):

- نیروی قطری کششی  $A_g F_{ye}$

- نیروی قطری فشاری  $0.3P_{nc}$

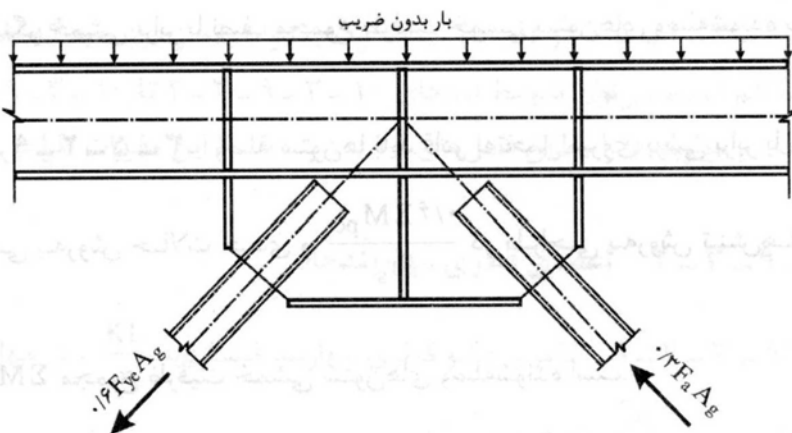
در این روابط:

$A_g$  = سطح مقطع کلی عضو قطری.

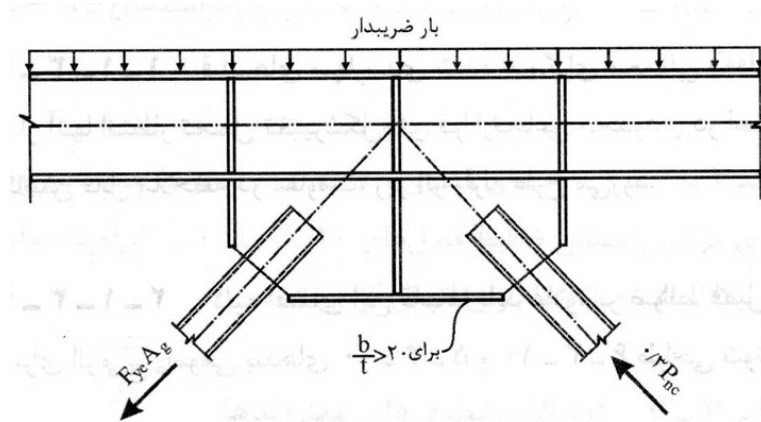
$F_a$  = تنش مجاز فشاری عضو قطری.

$F_{ye}$  = مقاومت تسليیم قابل انتظار فولاد مهاربند.

$P_{nc}$  = ظرفیت فشاری اسمی عضو قطری.



شکل ۴-۱۰-الف- نیروی غیرمتعادل مهاربندهای کششی و فشاری در طراحی به روش تنش مجاز



شکل ۴-۱۰-ب- نیروی غیرمتعادل مهاربندهای کششی و فشاری، در طراحی به روش حالات حدی

#### ۴-۱-۲-۴- خواص طراحی قاب‌های مهاربندی شده همگرای معمولی

قاب‌های مهاربندی شده همگرای معمولی به قاب‌هایی گفته می‌شود که از آنها انتظار تحمل تغییرشکل‌های فرا ارجاعی محدودی در اعضا و اتصالات، بدون کاهش قابل ملاحظه در مقاومت تحت اثر زلزله طرح می‌رود. مهاربندهای قطری و ضربدری را می‌توان به صورت کششی تنها طراحی نمود. در این مهاربندها می‌توان از مقاطع تک نبشی، تسمه، میلگرد یا کابل استفاده نمود.

#### ۴-۱-۲-۱-۱- اعضای قطری مهاربندها

لاغری عضو قطری مهاربند فشاری،  $\sqrt{\frac{E}{F_y}} \frac{KL}{r}$ ، در مهاربندهای ۷ و ۸ و K باید از 4.23 تجاوز نماید.

اعضای قطری ساخته شده از دو یا چند نیمرخ، باید خواص مطابق مقاطع فشاری مركب را مطابق خواص فصلهای ۱-۱۰ یا ۲-۱۰ مقرر ملی ساختمان برآورده نمایند. وجود دو بست انتهایی بلا فاصله بعد از اتمام ورق اتصال الزامی است.

#### ۴-۲-۱-۲-۳- اتصالات قطری‌های مهاربندها

اتصالات مهاربندها باید برای کمترین نیروهای زیر طراحی شوند:

الف- ظرفیت کششی مجاز یا مقاومت کششی اعضای مهاربندی:

- در طراحی به روش تنش‌های مجاز  $0.6F_y A_g$

- در طراحی به روش حالات حدی  $A_g F_y$

ب- حداکثر باری که می‌توان از سیستم انتظار داشت.

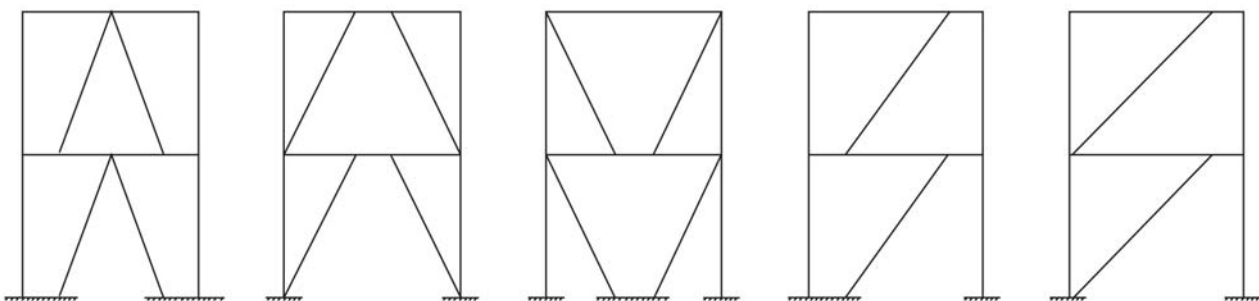
#### ۴-۲-۱-۲-۳- تیرهای قاب‌های مهاربندی شده ۷ و ۸

تیرهای این قاب‌ها باید ضوابط بند ۴-۱-۱-۲-۵ متعلق به قاب‌های مهاربندی شده ویژه را رعایت نمایند، با این تفاوت که در

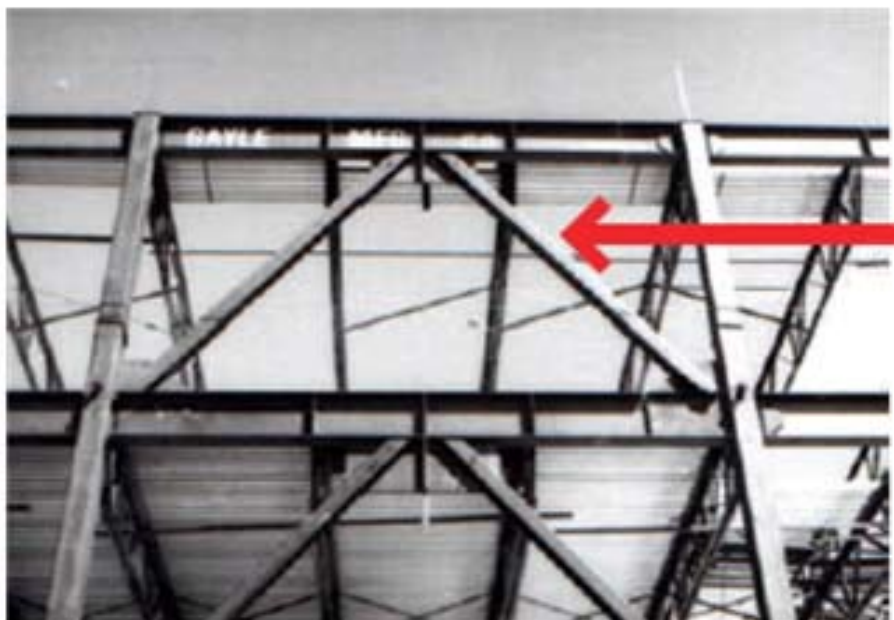
روابط آن بجای  $F_{ye}$  از  $F_y$  استفاده می‌شود.

#### ۴-۲-۲-۳- مهاربندهای فولادی واگرا (EBF)

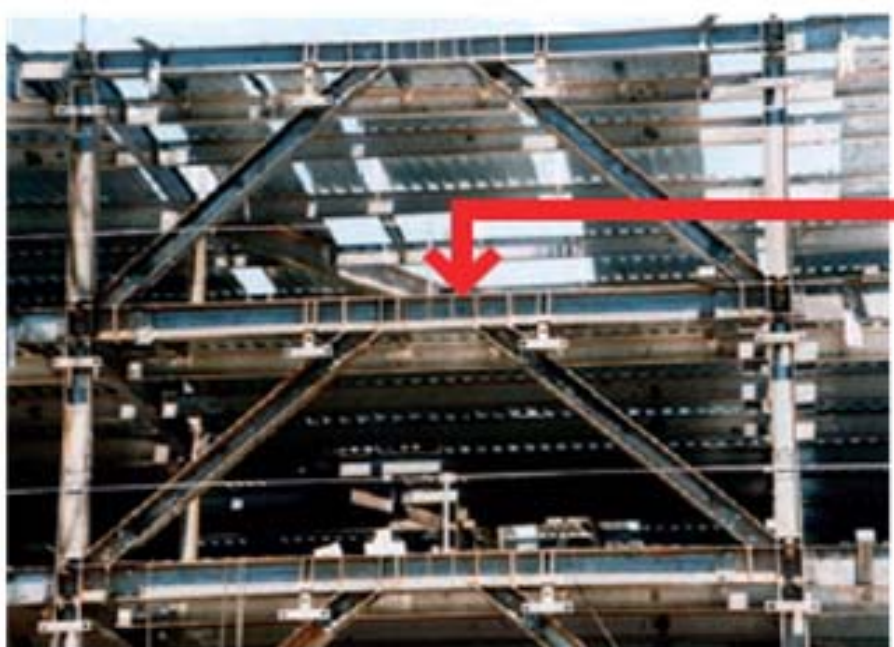
مهاربندهای واگرا (EBF) اگرچه سختی کمتری نسبت به مهاربندهای همگرا (CBF) دارند، لیکن رفتار شکل‌پذیرتری از خود نشان می‌دهند. در این نوع مهاربندها رفتار خمیری در موضعی از پیش تعیین شده و تقویت شده برای این منظور بنام تیر پیوند، سبب اتلاف انرژی وارد می‌شود و شکل‌پذیری موثر سازه را افزایش می‌دهد. مهاربندهای واگرا بسته به محل قرار گیری تیر پیوند، در اشکال متنوعی قابل استفاده هستند. در اشکال ۱۱-۴ تا ۱۶-۴ نمونه‌هایی از انواع متداول این نوع مهاربند نمایش داده شده است.



شکل ۱۱-۴ - انواع متداول مهاربندهای واگرا EBF

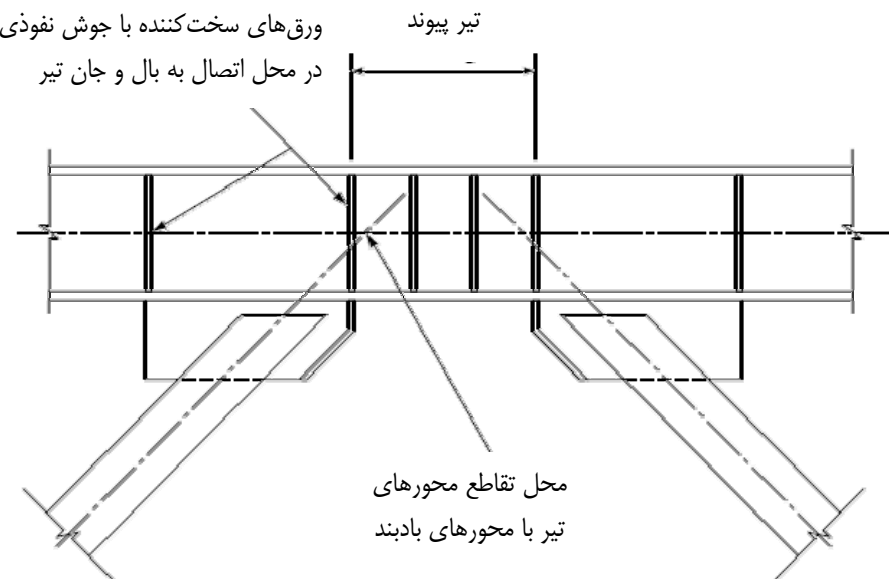


بادبند همگرا



بادبند واگرا و تیر پیوند

شکل ۱۲-۴ - مهاربند واگرا و همگرای جناغی



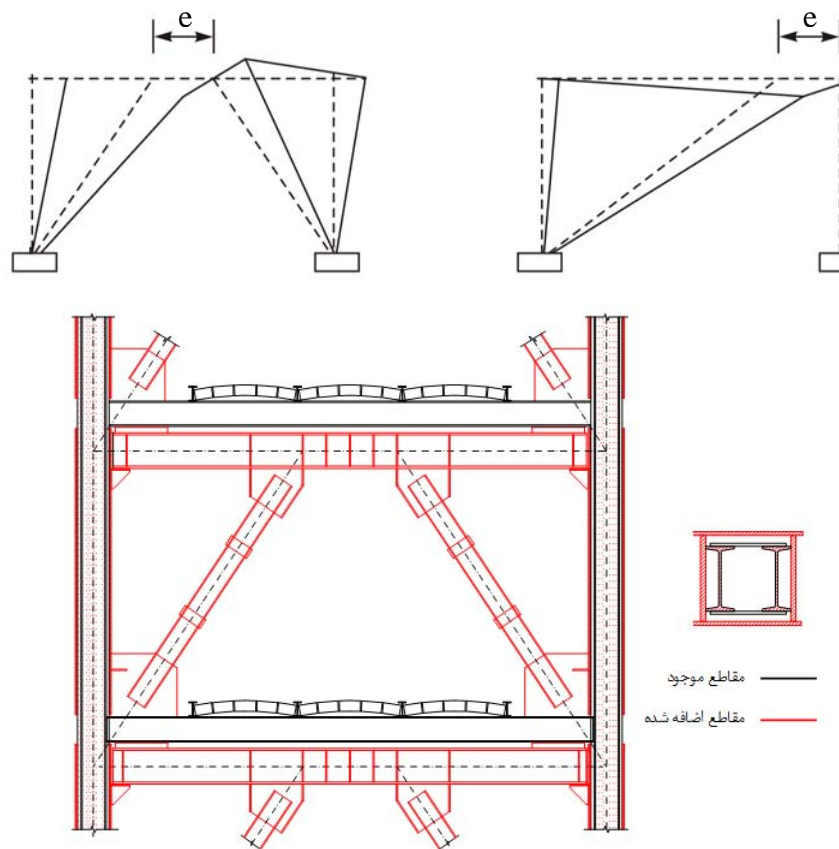
شکل ۴-۱۳-جزئیات تیر پیوند و مکانیسم تسلیم در قاب‌های مهاربندی شده بوسیله مهاربندهای واگرا



شکل ۴-۱۴- اضافه نمودن مهاربند واگرا به منظور تقویت سیستم باربر جانبی سازه



شکل ۴-۱۵- اضافه کردن مهاربند و اگرا به قاب های موجود ساختمان



شکل ۴-۱۶- بهسازی سازه ها باوسیله مهاربندهای EBF

#### ۱-۲-۲-۴- مهاربندهای فولادی واگرای ویژه

##### ۱-۲-۲-۱- طراحی اعضای قطری مهاربند و اتصالات آنها

در طراحی اعضای قطری مهاربند باید ضوابط زیر رعایت شود:

$$\text{الف}-\text{لاگری اعضای قطری، نباید از } \sqrt{\frac{E}{F_y}} \text{ تجاوز نماید.}$$

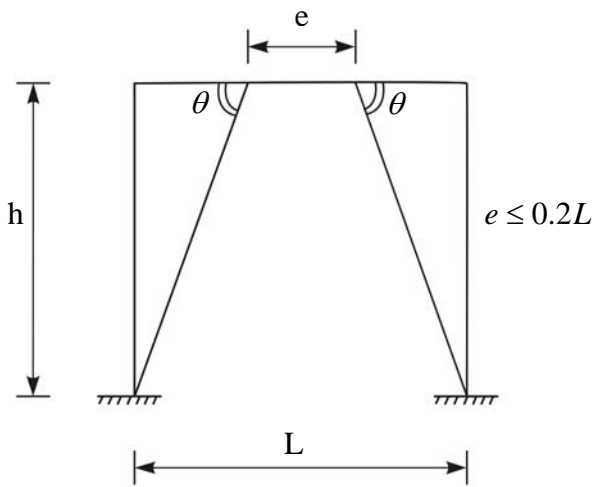
ب- ضریب طول موثر اعضای قطری،  $K$ ، در مهاربندی واگرای برابر با یک در نظر گرفته می‌شود.

پ- اعضای قطری باید فشرده باشند.

ت- مهاربندهای ساخته شده از دو یا چند نیم‌رخ، باید ضوابط مقاطع ساخته شده که تحت اثر نیروی فشاری قرار می‌گیرند را برآورده نمایند.

ث- از وصله کاری در طول عضو مهاربندی باید حتی الامکان خودداری شود. در صورت لزوم، وصله باید بتواند تمام مقاومت عضو را به صورت اتصال پوششی یا به صورت مستقیم و با جوش نفوذی کامل تامین نماید. وصله اجزای مهاربندی نباید در یک مقطع پیش‌بینی شوند. همچنین وصله عضو مهاربند نباید در دو انتهای آن صورت گیرد.

ج- توصیه می‌شود پیکربندی مهاربندها طوری در نظر گرفته شود که زاویه بین عضو مهاربند و تیر،  $\theta$ ، بین  $30^\circ$  تا  $60^\circ$  درجه باشد.  
(۱۷-۴)



شکل ۱۷-۴- زاویه بین عضو مهاربند و تیر

#### ۱-۲-۲-۱- نیروهای طراحی مهاربندها

مهاربندها باید برای ترکیب بار محوری و لنگر خمشی، در صورت وجود، براساس شرایطی که برای تیر خارج از تیر پیوند در مبحث ۱۰ مقررات ملی ساختمان عنوان شده، طراحی شوند. برای این منظور می‌توان مدل محاسباتی پیشنهاد شده در آن بند را به کار گرفت.

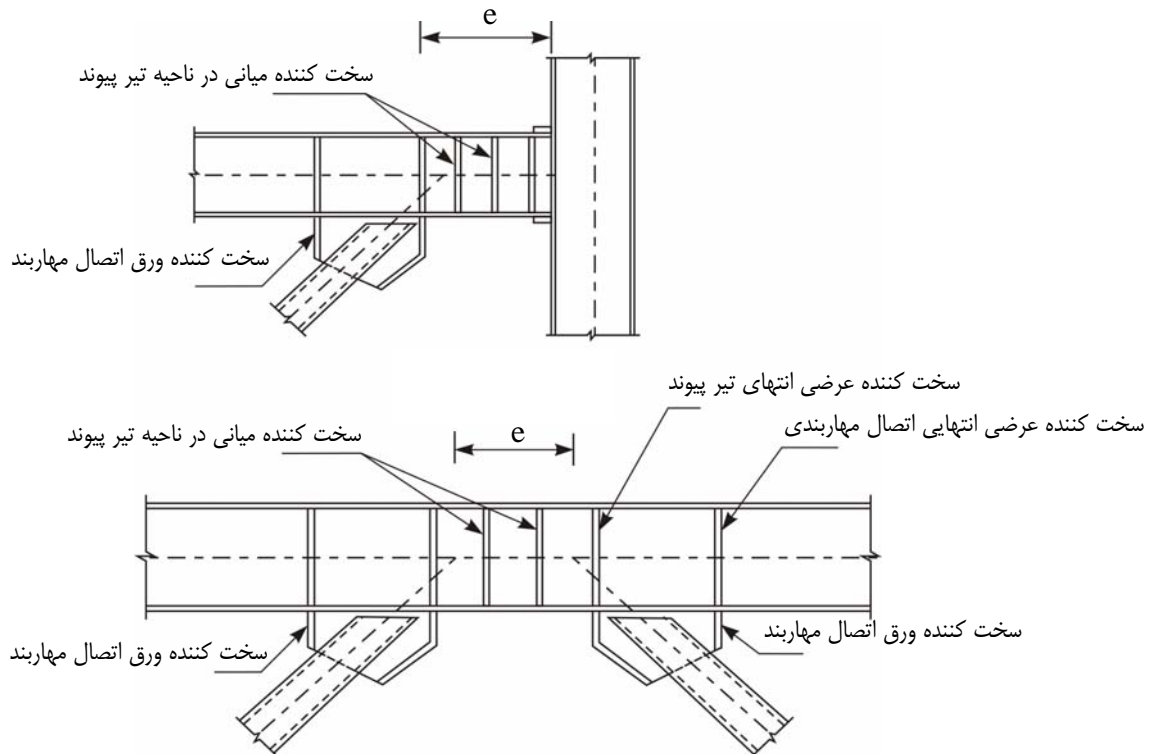
### ۳-۱-۲-۴- طراحی اتصالات مهاربندها

اتصالات دو انتهای مهاربند به تیر باید دارای مقاومتی حداقل برابر با مقاومت خود مهاربند، مطابق ضوابط مبحث ۱۰ مقررات ملی ساختمان باشد.

### ۴-۲-۲-۲- مهاربند و اگرای معمولی در داخل قاب ساده

در این مهاربندها تحلیل و طراحی عضو مهاربند، اتصالات مربوطه، تیر پیوند، تیر خارج از ناحیه پیوند و ستون ها باید مطابق ضوابط ارائه شده برای قابهای مهاربندی شده همگرای معمولی در مبحث ۱۰ مقررات ملی ساختمان و با منظور کردن ضوابط و ملاحظات زیر انجام شود.

- الف- برون محوری e باید کوچکتر از یک پنجم طول دهانه مهاربند باشد.
- ب- تیر مهاربند، شامل تیر پیوند و تیر خارج از ناحیه پیوند، باید به صورت پیوسته با مقطع فشرده با جان پر و اتصال پیوسته سراسری جان تیر به بال ها باشد.
- پ- تیر مهاربند باید قادر به تحمل بارهای قائم وارد بر آن بدون توجه به وجود مهاربندها باشد.
- ت- در جان تیر در محل اتصال مهاربند به تیر، باید سخت کننده های زیر به عنوان حداقل در نظر گرفته شود.
  - یک جفت سخت کننده در ابتدا و انتهای اتصال عضو قطری مهاربند
  - یک جفت سخت کننده در داخل تیر پیوند، مطابق شکل ۱۸-۴.

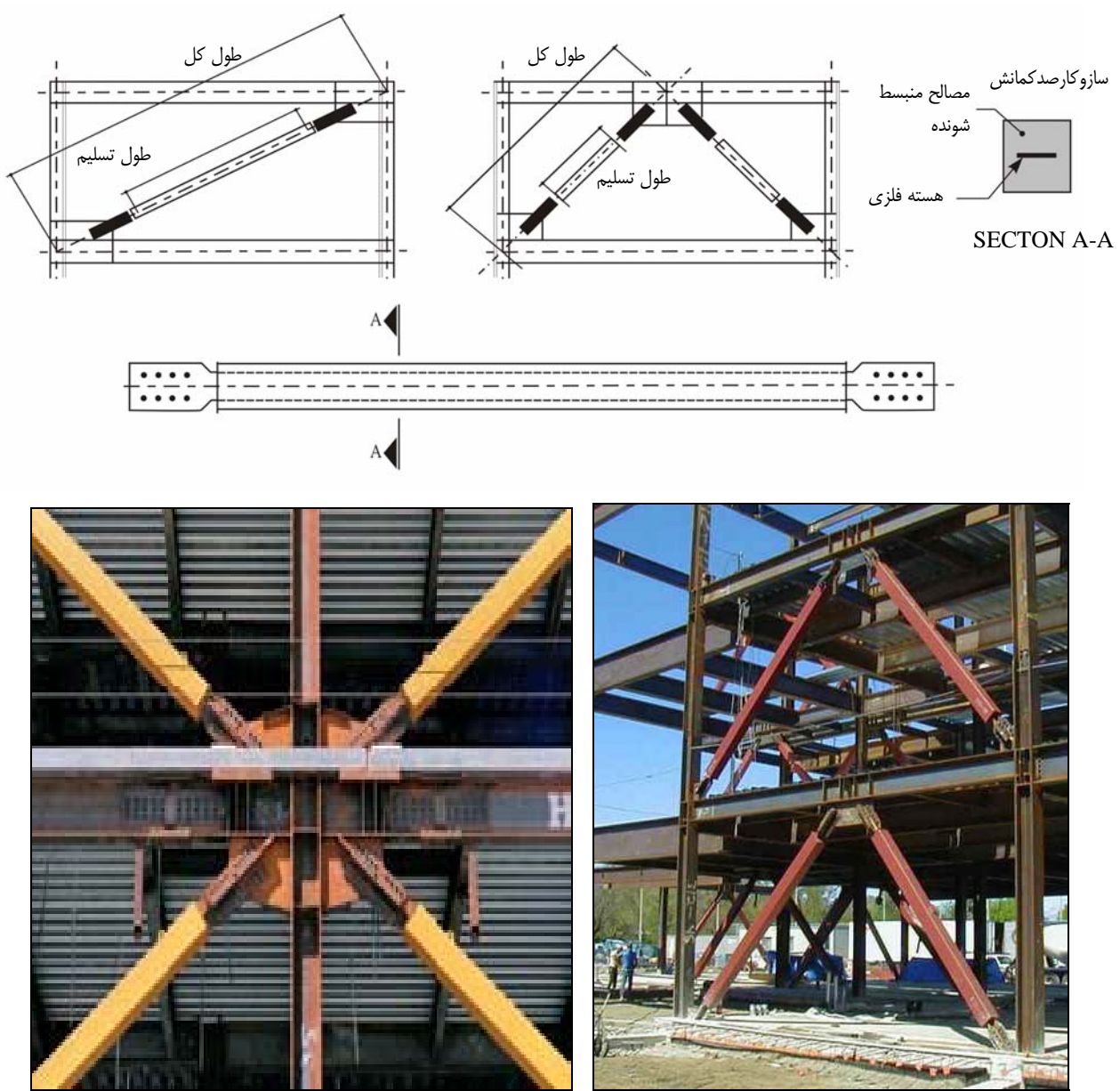


شکل ۱۸-۴- جزئیات تیر پیوند

### ۴-۲-۳- مهاربندهای ضد کمانش (BRBF)

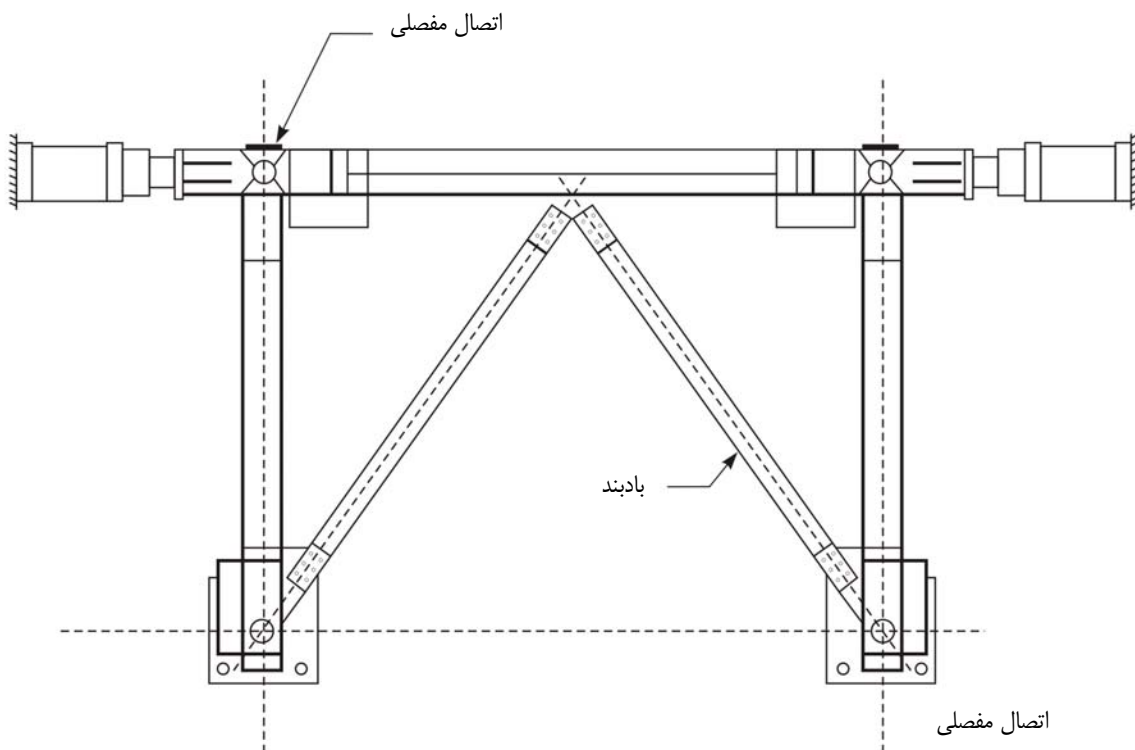
سیستم مهاربندهای ضد کمانش (BRBF) نوع جدیدی از سیستم‌های مهاربندی همراه با اتلاف انرژی می‌باشد که با استفاده از جزئیاتی سعی در بهبود رفتار مهاربندهای همگرا (CBF) دارد (شکل ۴-۱۹). در این سیستم عضو مهاربندی در غلافی قرار می‌گیرد که از کمانش این عضو جلوگیری نماید. با این تجهیزات، رفتار مهاربند در فشار همانند رفتار آن در کشش با تسلیم (ونه کمانش) همراه است و در نتیجه شکل‌پذیری و اتلاف انرژی بسیار بهتری را نسبت مهاربندهای معمولی از خود نشان می‌دهد.

شکل‌های اجرایی مهاربندهای (BRBF) همانند مهاربندهای همگرا شامل آرایش ضربدری (X)، قطری (تک مورب) و جناغی (V) و (Λ) می‌باشد. با توجه به جزئیات غلاف مهاربند، آرایش ضربدری (X) از نظر اجرایی مشکل و غیر متداول می‌باشد.

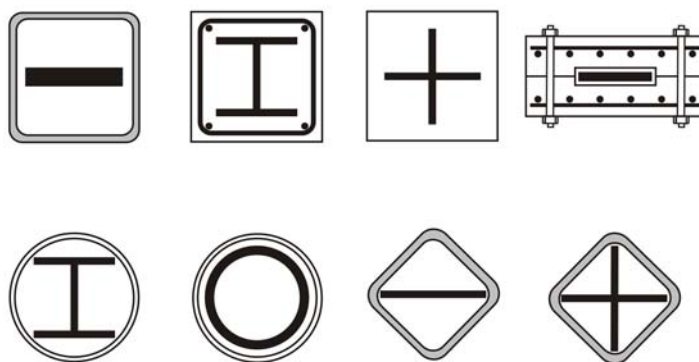


شکل ۴-۱۹- نمونه‌هایی از مهاربند ضد کمانش BRBF

سختی الاستیک قاب‌های مهاربندی (BRBF) از لحاظ مقدار با سختی قاب‌هایی که دارای مهاربندهای واگرا می‌باشند قابل مقایسه است. نتایج آزمایشات با ابعاد واقعی این اعضا نشان می‌دهد که قاب‌هایی که به خوبی با مهاربندهای (BRBF) مهاربندی شوند و جزئیات مناسب اجرایی نیز در آنها ملاحظه گردد، رفتار پایدار و متقاضی تحت فشار، کشش و حتی در تغییرشکل‌های بسیار بزرگ از خود به نمایش می‌گذارند (شکل ۲۰-۴). همچنین شکل پذیری و قابلیت جذب انرژی این قاب‌ها در حد قاب‌های خمی فولادی ویژه و بیشتر از قاب‌های مهاربندی ویژه می‌باشد، که این شکل پذیری بالا نتیجه محصور نمودن هسته فولادی مهاربندها در مقابل کمانش می‌باشد. بعضی از مقاطع استفاده شده در مهاربندهای BRBF در شکل ۲۱-۴ نشان داده شده است.



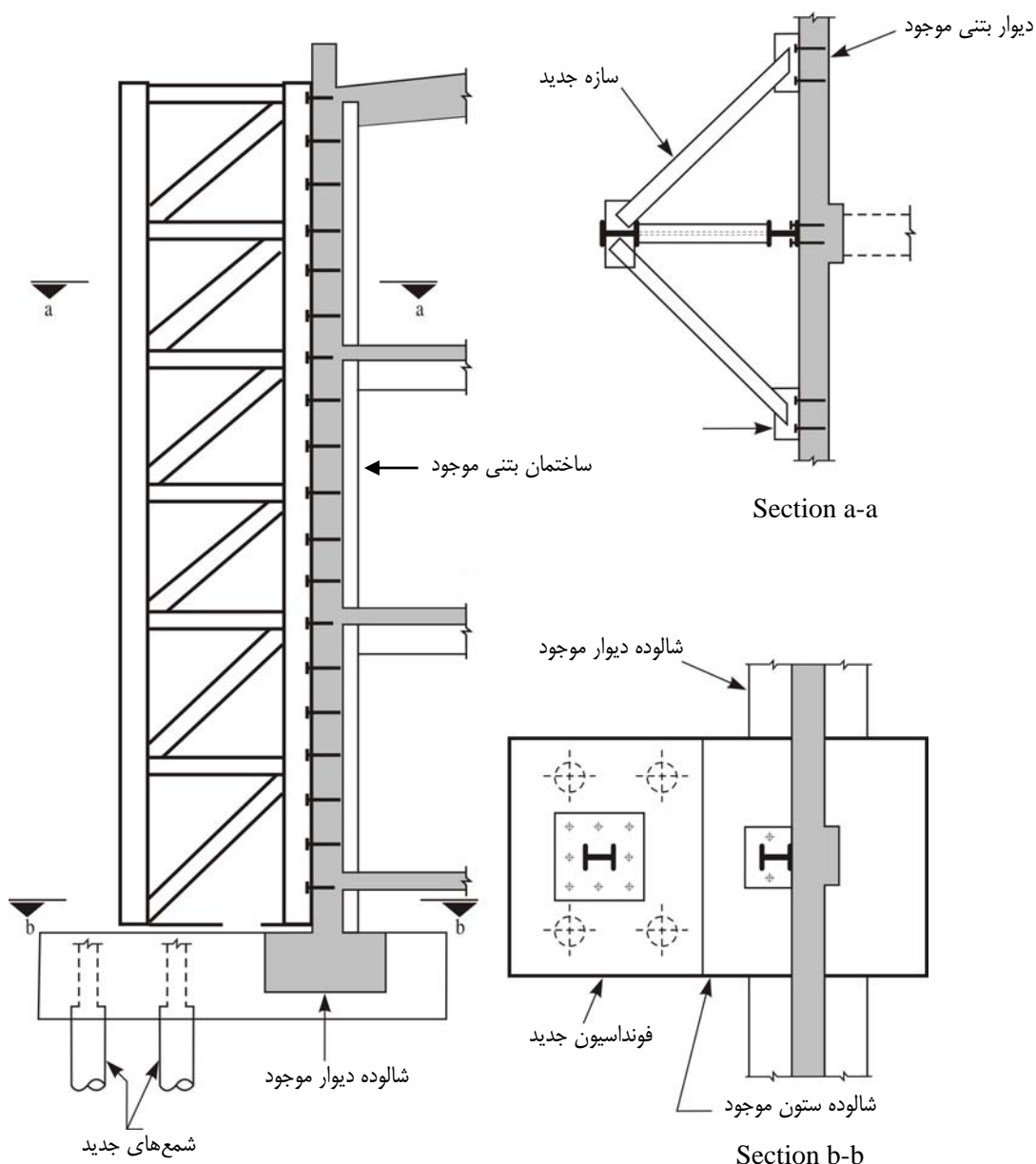
شکل ۲۰-۴- نمونه‌ای از باد بند ضد کمانش (BRBF) و جزئیات آن



شکل ۲۱-۴- بعضی از مقاطع استفاده شده در مهاربندهای BRBF

#### ۴-۲-۴-۴- اضافه کردن مهاربندهای خارجی

اساس این روش مانند مباحثت قبلی بر اضافه نمودن مهاربند برای افزایش سختی سازه می‌باشد و تنها تفاوت آن با روش‌های قبلی در محل اضافه کردن مهاربندها می‌باشد (شکل ۲۲-۴). در این روش در صورتی که محدودیت‌های معماری در خارج ساختمان اجازه دهد، می‌توان سیستم مهاربندی را بصورت خارجی نصب و به سازه متصل نمود. لازم به ذکر است در اجرای این روش باید به اتصال مهاربند جدید به سازه قدیمی توجه ویژه‌ای نمود.



شکل ۲۲-۴- بهسازی ساختمان با اضافه کردن مهاربند خارجی

#### ۴-۲-۵- اضافه کردن مهاربندهای بتنی پیش تنیده و پیش ساخته

استفاده از روش هایی مانند اضافه نمودن دیوار برشی، افزایش مقاومت دیوار موجود، اضافه نمودن مهاربندهای فلزی، روکش کردن ستون ها با فولاد و FRP و .... اگرچه باعث افزایش سختی و مقاومت جانبی سازه می شوند ولی استفاده از این راهکارها مستلزم هزینه زیاد اجرا، وقه طولانی مدت در بهره برداری از ساختمان و... می باشد. هدف استفاده از مهاربند پیش ساخته و پیش تنیده افزایش مقاومت و سختی جانبی سازه می باشد، ولی بر خلاف سایر روش های عنوان شده بکارگیری این روش احتیاجی به میلگرد اتصال برای متصل نمودن مهاربند جدید و قاب ندارد (شکل ۲۳-۴).

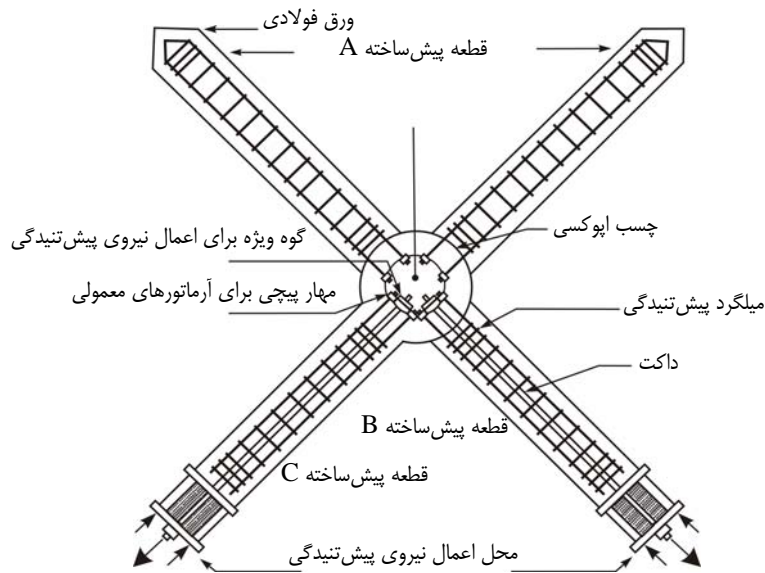


شکل ۲۳-۴ - نمونه ای از مهاربند بتنی پیش تنیده و پیش ساخته

مهاربند ضربدری بتنی پیش تنیده دارای ۴ عضو پیش ساخته می باشد. این اعضا در داخل کارگاه سرهم و موتاز می شوند و دو عضو تحتانی مهاربند مطابق شکل زیر پیش تنیده می شوند.

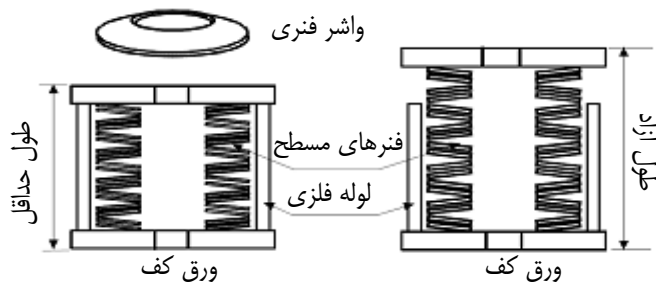
فاصله بین انتهای مهاربند و قاب با ملات منبسط شونده پر می‌گردد. پس از سخت شدن ملات نیروی پیش تنیدگی از روی عضو برداشته می‌شود. سپس مهاربند X شکل افزایش طول داده (به علت برداشتن بار پیش تنیدگی) و در جای خود کاملاً محکم می‌گردد (شکل ۲۴-۴).

وقتی این نوع مهاربندها تحت نیروهای جانبی قرار می‌گیرد تنها عضو فشاری آن کار می‌کند زیرا بتن توانایی تحمل نیروهای کششی را ندارد و این امر مستلزم بکارگیری روش‌هایی برای جلوگیری از به وجود آمدن کشش در مهاربند می‌باشد.



شکل ۲۴-۴ - مونتاژ مهاربند بتنی پیش تنیده و پیش ساخته

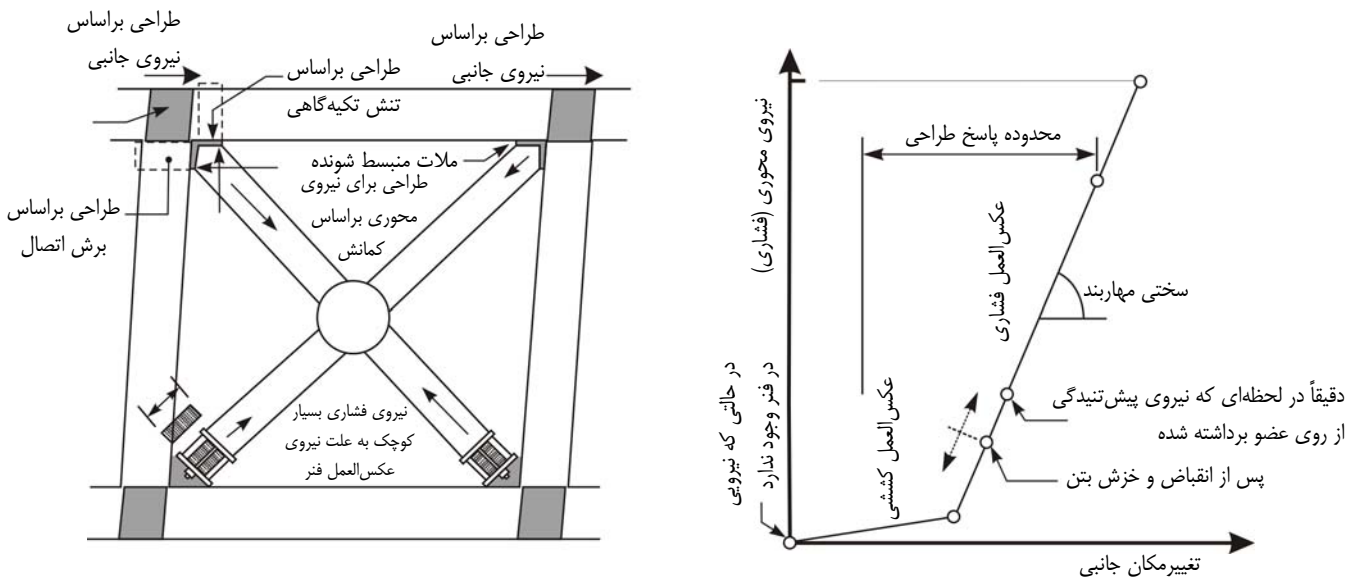
بکارگیری تجهیزاتی خاص با فنرهای مسلح و لوله‌های فلزی (مطابق شکل ۲۵-۴) که در قسمت تحتانی مهاربندها متصل شده مانع از به وجود آمدن کشش در اعضای مهاربند می‌گردد.



شکل ۲۵-۴ - تجهیزات فنر مسطح و لوله فلزی

شکل ۲۶-۴ نحوه مقاومت سازه در برابر بارهای جانبی را نشان می‌دهد. فقط المانی که تحت فشار می‌باشد در برابر بار جانبی مقاومت می‌کند و عضو کششی نیرویی تحمل نماید ولی به علت عکس العمل فنر مسطح همواره مقداری نیروی فشار در داخل عضو باقی می‌ماند. پاسخ محوری عضو مایل با توجه به وجود فنر مسطح و لوله فلزی در شکل زیر نشان داده شده است. در این شکل محور افقی مقدار کاهش طول و محور قائم میزان نیروی محوری موجود در عضو را نشان می‌دهد. در لحظه‌ای که نیروی محوری پیش تنیدگی از روی عضو

برداشته می‌شود نقطه عکس العمل توسط نقطه C نشان داده می‌شود. پس از انقباض و خوش بتن نقطه عملکرد از C به D منتقل می‌گردد. در هنگام زلزله نقطه عملکرد از D به B برای عضو فشاری و از D به F برای عضو کششی منتقل می‌گردد. حتی در هنگام کشش نیز نیروی موجود در عضو فشاری است زیرا فشار موجود در فتر مسطح مانع از به کشش افتادن عضو می‌گردد.



شکل ۲۶-۴ - پاسخ محوری عضو مهاربندی در برابر بار جانبی

به هنگام طراحی این سیستم باید به موارد زیر توجه نمود:

- ۱ - کاهش نیروی پیش‌تنیدگی به علت انقباض و خوش بتن باید به حداقل برسد.
- ۲ - کمانش عناصر مهاربند همواره باید مورد توجه قرار بگیرند.
- ۳ - باید از شکست خمشی اعضای قاب پرهیز نمود بدین صورت که مقطع اعضا مهاربند ضعیفتر از مقطع ستون متصل به آن باشد.
- ۴ - از شکست برشی مستقیم انتهای تیر و ستون ( محل برخورد مهاربند با این اعضا ) باید پرهیز نمود.
- ۵ - از شکست برشی اتصال باید پرهیز نمود.

### ۴-۳- اضافه کردن دیوارهای برشی و میانقاب

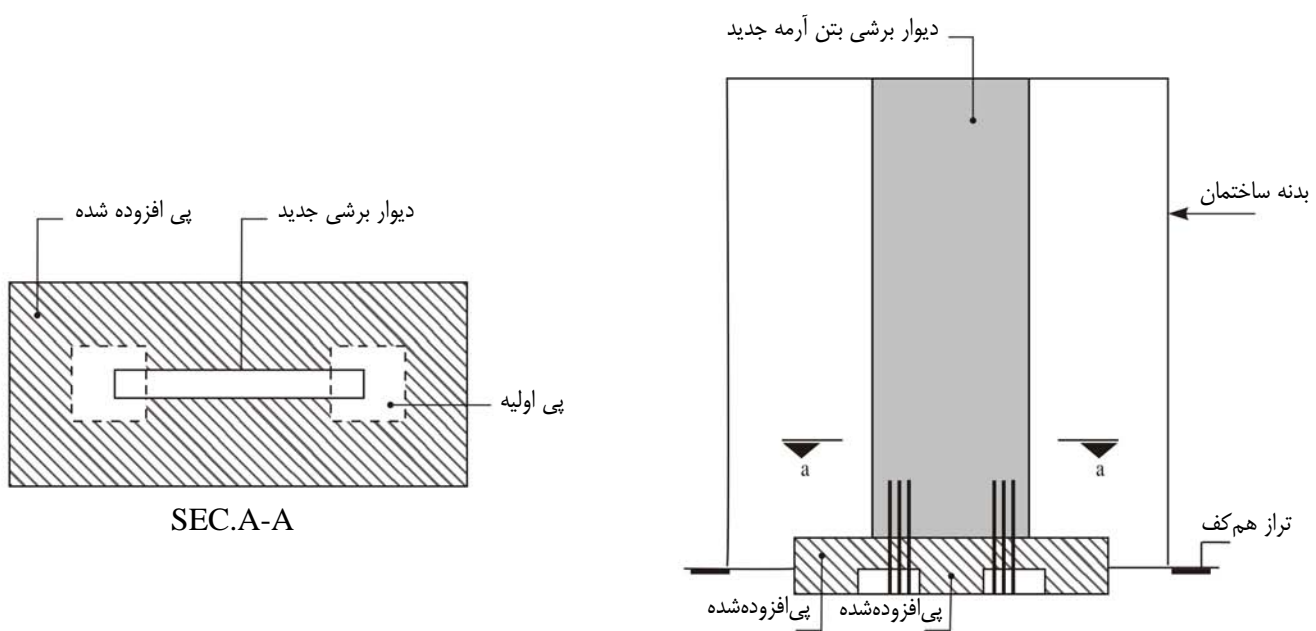
یکی از روش‌های معمول و رایج در بهسازی ساختمان‌ها در برابر زلزله، استفاده از دیوارها شامل دیوارهای برشی بتنی، دیوارهای پرکننده با مصالح بنایی، پانل‌های پیش‌ساخته بتنی، دیوارهای فلزی، دیوارهای برشی مرکب و میانقاب‌های بنایی و مسلح می‌باشد. استفاده از انواع دیوارها در افزایش ظرفیت لرزه‌ای ساختمان و کاهش تغییر مکان جانبی موثر است. با استفاده از این روش مقاومت ساختمان و همچنین شکل‌پذیری آن افزایش می‌یابد. در این روش نیز همانند سایر روش‌ها، اتصال بین قاب اولیه و دیوار جدید اهمیت زیادی دارد.

از نکات مهم در این روش، نحوه قرارگیری دیوارهای جدید و جانمایی آنها در سازه قدیمی می‌باشد. همانطور که در قبل نیز اشاره شد به دلیل پیدایش پیچش باید حتی المقدور دیوارها چه در ارتفاع و چه در پلان بصورت منظم و متقارن قرار گیرند. نکته مهم دیگری که باید به آن توجه داشت این است که به دلیل وزن نسبتاً زیادی که دیوارها می‌توانند به سازه اولیه اعمال نمایند، باید از آنها تنها در قاب‌هایی که ظرفیت برشی ضعیفی دارند استفاده شود و از استفاده بیش از اندازه آنها جلوگیری شود. همچنین در اجرای دیوار برشی جدید در قاب‌ها باید به تقویت فونداسیون نیز توجه شود.

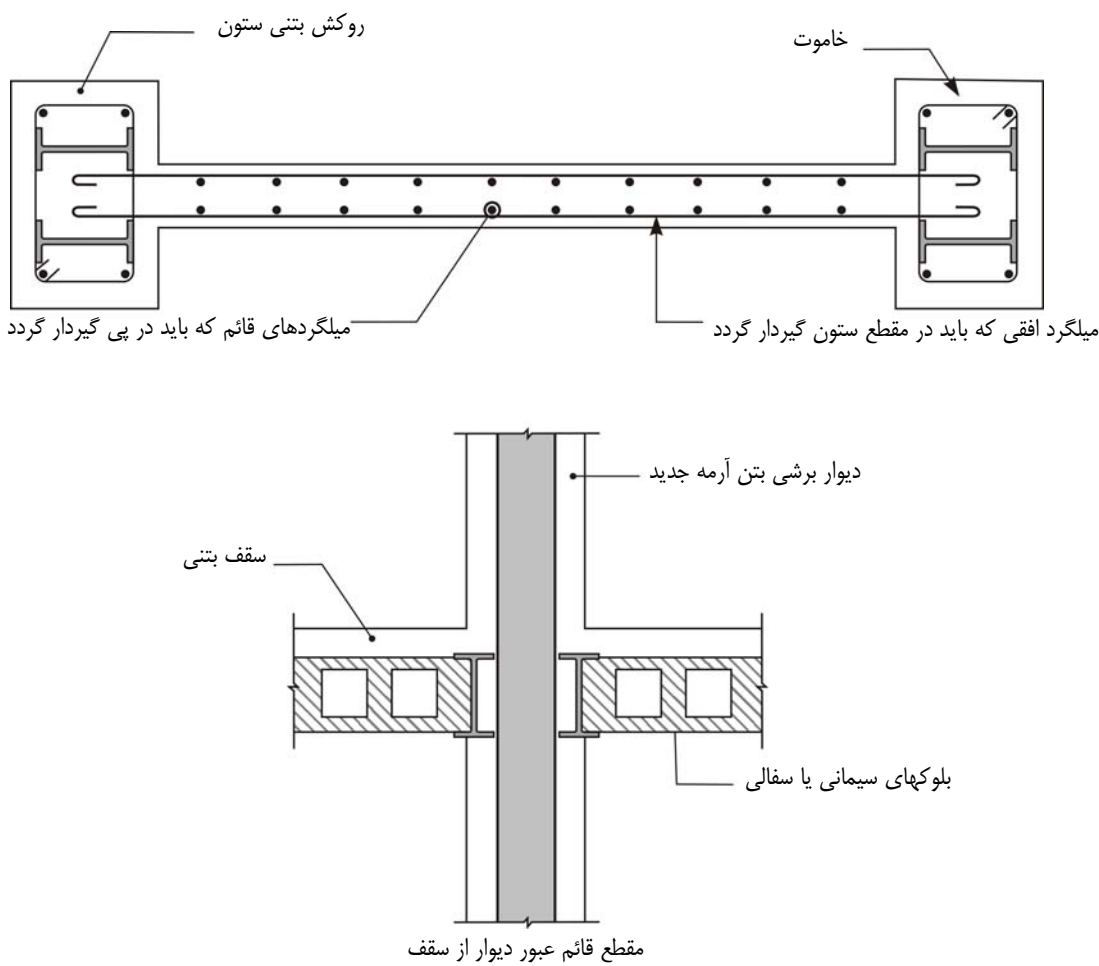
#### ۴-۳-۱- دیوار برشی بتنی

استفاده از دیوار برشی در سالهای اخیر، در ساختمانهای نوساز و همچنین بهسازی ساختمانهای موجود، مورد توجه قرار گرفته است. این سیستم دارای سختی مناسب برای کنترل تغییرشکل سازه بوده و همچنین با اراضی ضوابط طراحی، این دیوارها دارای مکانیسم شکست شکل‌پذیر با اتلاف انرژی بالا می‌باشند.

با توجه به مقاومت بالای این دیوارها، استفاده از آنها در ساختمان‌های بلند مرتبه بسیار اقتصادی بوده ولی در مورد ساختمان‌های با ارتفاع کم و متوسط، مسائل جانبی از قبیل تقویت اجزای سازه‌ای مجاور به آن، تاثیر زیادی بر جنبه‌های اجرایی و اقتصادی آن می‌گذارند. نمونه‌ای از جزئیات اجرایی دیوار برشی جدید در شکل‌های ۲۷-۴ و ۲۸-۴ نشان داده شده است.

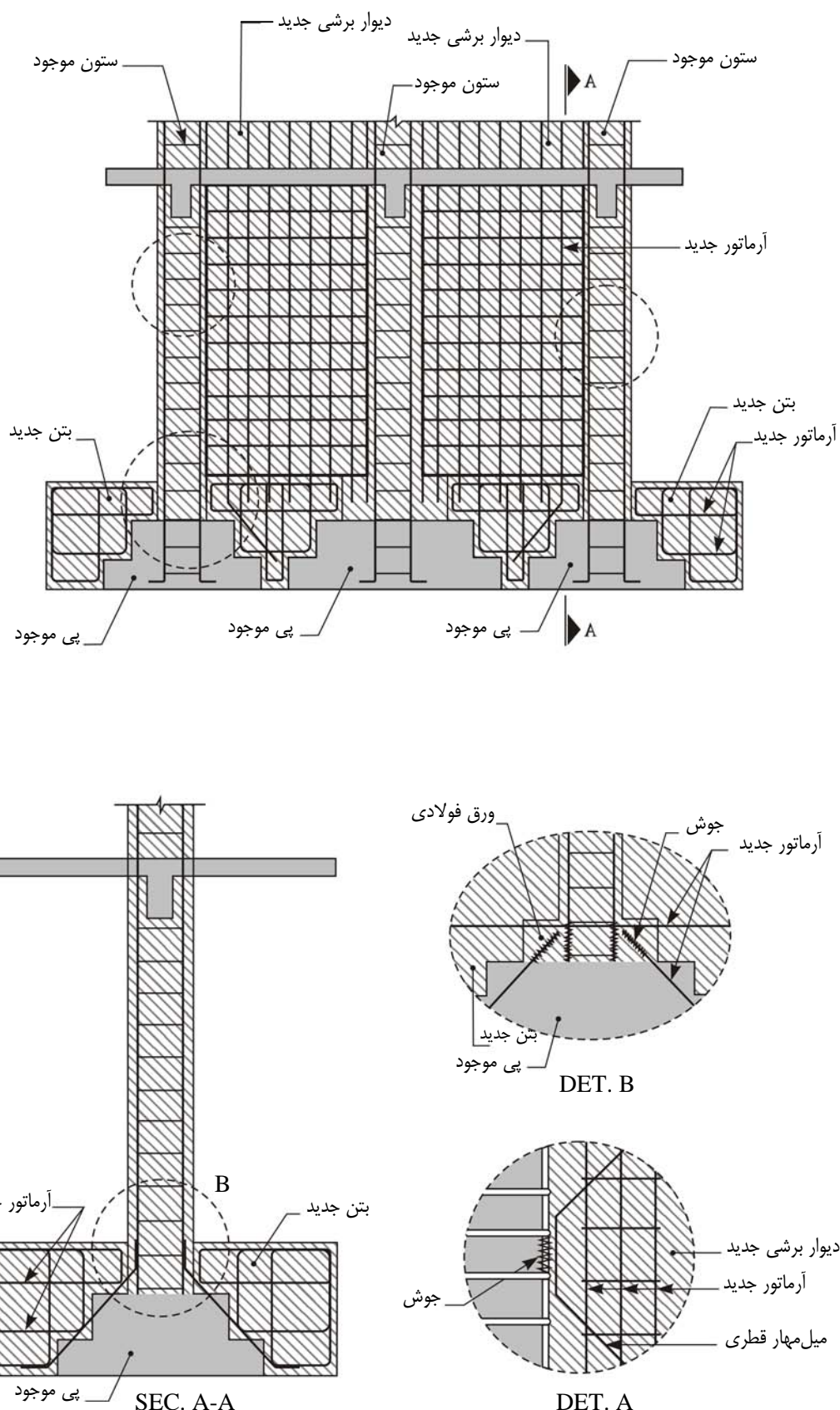


شکل ۲۷-۴- تقویت موضعی فونداسیون در دهانه‌ای که دیوار برشی اضافه گردیده است

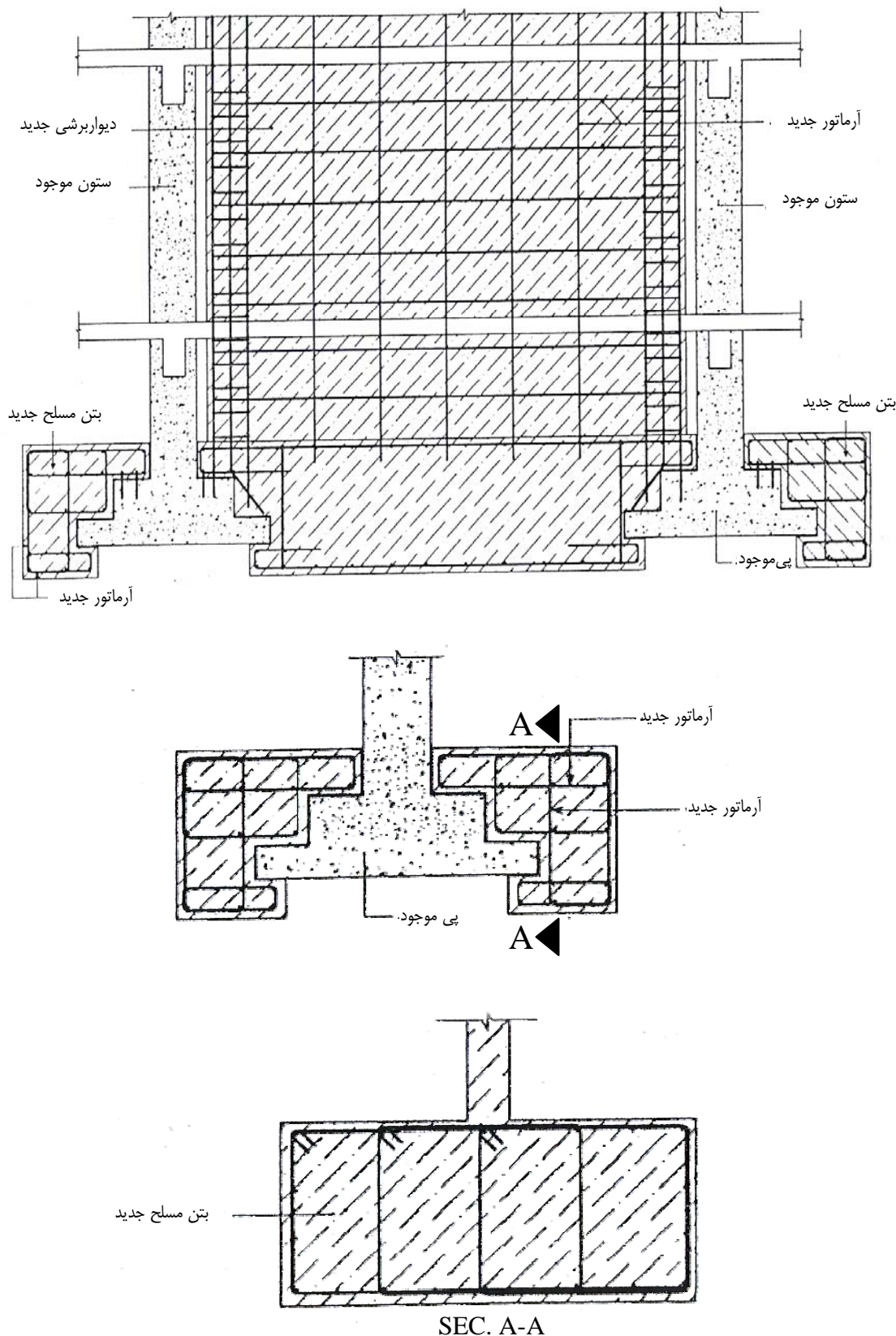


شکل ۴-۲۸-جزئیات اجرایی دیوار برشی جدید جهت بهسازی

از نکات مهمی که در مورد اجرای دیوارهای برشی باید مد نظر قرار گیرد، افزایش وزن سازه، تقارن در سیستم با برابر جانبی جدید و همچنین تقویت فونداسیون به خاطر افزایش نیروهای واژگونی می‌باشد (اشکال ۲۹-۴ و ۳۰-۴).



شکل ۴-۲۹-۴ - بهسازی پی برای دیوارهای برشی جدید



شکل ۴-۳۰-۴ - بهسازی پی برای دیوارهای برشی جدید

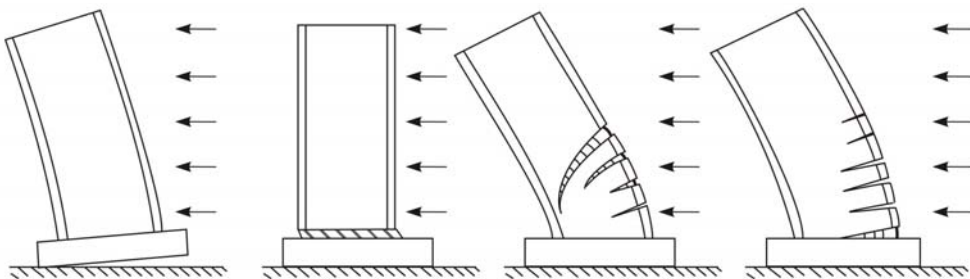
### ۴-۳-۱-۱- عملکرد دیوار برشی بتُنی

در صورتیکه ارتفاع دیوار برشی کم باشد غالباً نیروی برشی حاکم بر طراحی آن خواهد بود اما اگر ارتفاع دیوار زیاد باشد، لنگر خمشی حاکم بر طراحی آن خواهد بود به هر حال دیوار باید برای هر دو نیروی فوق کنترل و در مقابل آنها مسلح گردد. برخلاف عنوان برشی برای این سیستم رفتار دیوارهای برشی با نسبت بعدی بیش از ۲ (ارتفاع به طول) به صورت تیر طره می‌باشد و جایجایی‌های ناشی از خمش در آن حاکم می‌باشد.

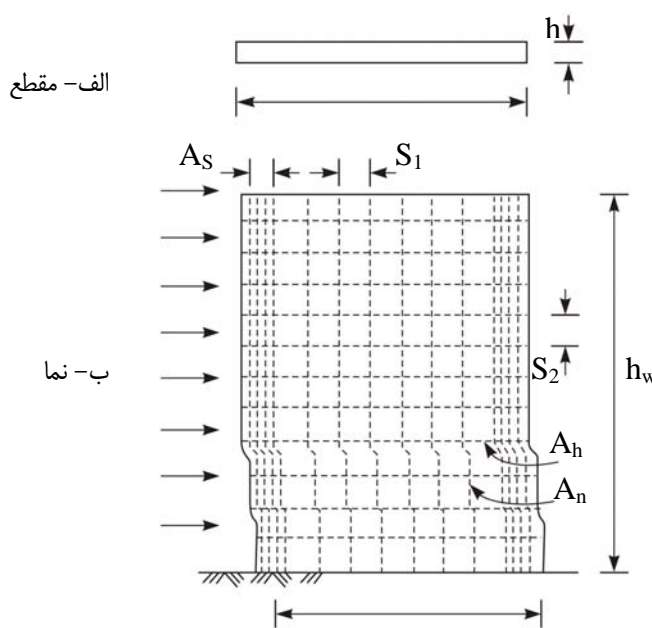
در این حالت دیوار برشی به صورت یک تیر طره‌ای بسیار قوی که پای آن گیردار می‌باشد در مقابل نیروهای جانبی مقاومت نموده و آنها را به پی انتقال می‌دهد. بطور کلی نیروهایی که یک دیوار برشی تحت آن قرار می‌گیرند شامل:

- نیروی برشی متغیر با حداکثر مقدار در پایه
- لنگر خمشی متغیر با حداکثر مقدار در پای دیوار
- نیروی محوری فشاری ناشی از وزن طبقات می‌باشد.

برای دیوار برشی مطابق شکل ۳۱-۴ چهار حالت شکست را می‌توان در نظر گرفت، خمشی، برشی، برشی-لغزشی و واژگونی پی.



شکل ۳۱-۴- انواع حالت‌های شکست دیوار برشی



شکل ۳۲-۴

## ۴-۳-۱-۲-۱-۳-۴ - انواع شکست دیوار برشی

## ۴-۳-۱-۲-۱-۳-۴ - شکست خمی

مقاومت خمی دیوار برشی طرهای را می‌توان با این فرض که توزیع میلگرد در دیوار به صورت یکنواخت می‌باشد و دیوار بدون المان مرزی است، از روابط ذیل محاسبه نمود:

$$M_u = 0.5A_s(\phi_s f_y)l_w \left(1 + \frac{N_u}{A_s \phi_s f_y}\right) \left(1 - \frac{C}{l_w}\right) \quad (1-4)$$

$$\frac{C}{l_w} = \frac{q + \alpha}{2q + 0.85\beta_1} \quad (2-4)$$

$$q = \frac{A_s \phi_s f_y}{l_w h \phi_c f_c} \quad \alpha = \frac{N_u}{l_w h \phi_c f_c} \quad (3-4)$$

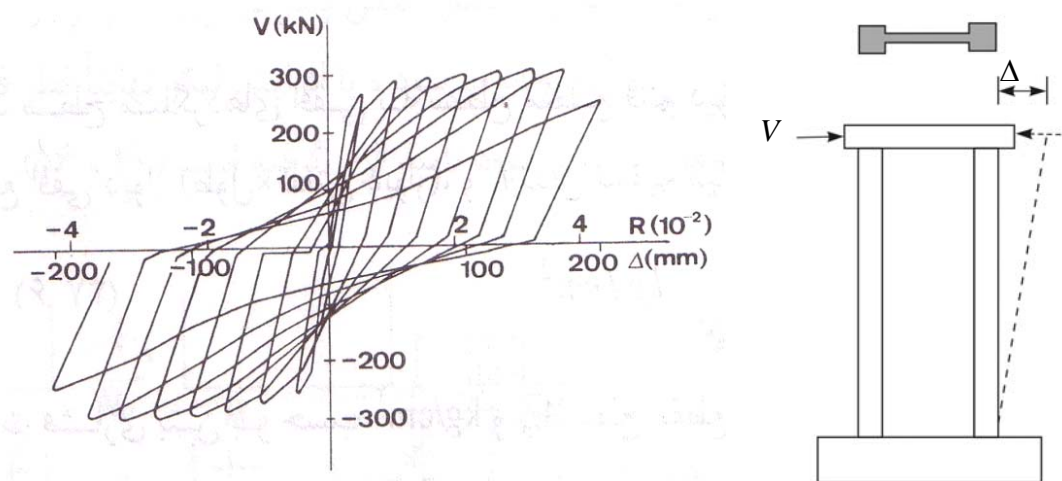
$A_s$ : سطح میلگرد قائم

$L_w$ : طول افقی دیوار

$h$ : ضخامت دیوار

$C$ : فاصله دورترین تار فشاری تا تار خنثی

شکست خمی معمولاً با تسليم میلگرد همراه می‌باشد. همانطوری که در شکل ۳۳-۴ مشخص می‌باشد کاهندگی مقاومت در حلقه‌های منحنی هیسترزیس دیده نمی‌شود، اما کاهندگی سختی ناشی از تسليم میلگردها مشخص می‌باشد.



شکل ۴-۳۳-۴ - منحنی هیسترزیس نیرو - تغییر مکان دیوار برشی

در شرایط خاصی که دیوار تحت نیروی فشاری زیادی نیز قرار گیرد شکست خمی با خرد شدن بتن فشاری همراه است که در این حالت علاوه بر کاهندگی سختی، کاهندگی مقاومت نیز به وجود می‌آید.

### ۴-۳-۱-۲-۲- شکست برشی

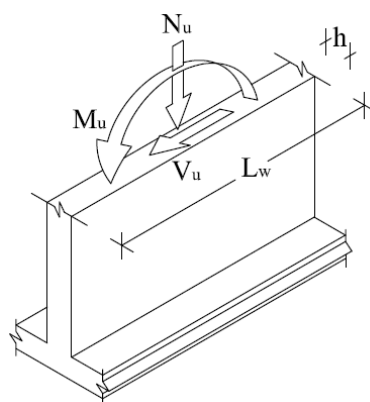
دیوارهایی که نسبت بعدی (ارتفاع به طول) کمی دارند دچار شکست برشی می‌گردند، در این حالت ترکهای قطری ظاهر می‌شوند. مود شکست در این حالت به صورت ترد در پای دیوار رخ می‌دهد.

$$V_c = \text{Min}\left\{(0.3v_c + \frac{L_w}{\left(\frac{M_u}{V_u} - \frac{L_w}{2}\right)} \cdot h \cdot d, 1.65v_c h d + \frac{N_u d}{5L_w}\right\} \quad (4-4)$$

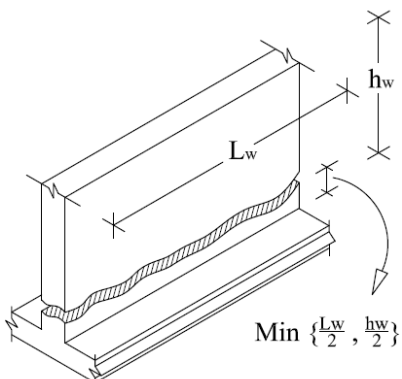
در این روابط مقدار  $N_u$  برای فشار مثبت و برای کشش منفی است در صورتی که مقدار  $\left(\frac{M_u}{V_u} - \frac{L_w}{2}\right)$  منفی باشد

$$V_c = 1.65v_c h d + \frac{N_u d}{5L_w} \text{ می‌باشد.}$$

نیروی برشی مقاوم نهایی بتن  $V_c$  برای همه مقاطعی که در فاصله‌ای کمتر از کوچکترین مقادیر  $\frac{h_w}{2}$  و  $\frac{L_w}{2}$  از پایه دیوار قرار دارند برابر با مقاومت برشی مقطع در کوچکترین این دو مقدار در نظر گرفته می‌شود. نحوه توزیع نیروهای داخلی موثر در دیوار سازه‌ای و مقطع بحرانی به منظور نیروی برشی مقاوم نهایی بتن به ترتیب در اشکال ۳۴-۴ و ۳۵-۴ نشان داده شده است.



شکل ۴-۴ - نحوه توزیع نیروهای داخلی موثر در دیوار سازه‌ای



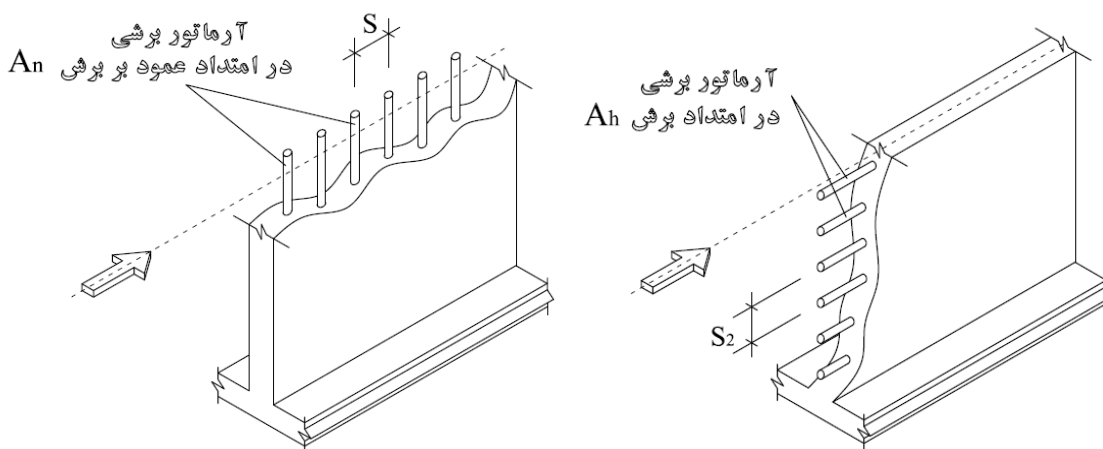
شکل ۴-۵ - مقطع بحرانی به منظور نیروی برشی مقاوم نهایی بتن

نیروی برشی مقاوم نهایی آرماتورها،  $V_s$  از روابط زیر محاسبه می‌شود:

$$V_s = \phi_s A_h f_y \frac{d}{s_2} \quad (5-4)$$

$$V_s = \left[ \frac{A_h}{12s} \left( 1 + \frac{L_w}{d} \right) + \frac{A_n}{12s_2} \left( 1 - \frac{L_w}{d} \right) \right] \phi_s f_y d \quad (6-4)$$

در این روابط  $A_h$  سطح مقطع آرماتور برشی در امتداد برش و در طول فاصله  $S_2$  است (شکل ۴-۳۶). برای تامین برش مقاوم  $V_s$  علاوه بر آرماتورهای برشی افقی،  $A_h$ ، آرماتورهای برشی قائم،  $A_n$ ، نیز باید در دیوار و در طول فاصله  $S$  پیش‌بینی شود.



شکل ۴-۳۶ - فاصله میلگرددهای آرماتور برشی در امتداد برش و عمود بر امتداد برش

نیروی برشی مقاوم نهایی مقطع،  $V_r$  در هیچ حالت نمی‌تواند بیشتر از  $5v_c hd$  اختیار شود.

$$V_r = V_c + V_s \leq 5v_c hd \quad (7-4)$$

در دیوارها چنانچه نیروی برشی نهایی  $V_u$  بیشتر از  $0.5V_c$  باشد طراحی برش لازم است. در طراحی دیوارها برای برش، ارتفاع موثر مقطع  $d$ ، باید برابر با  $0.8L_w$  در نظر گرفته شود.

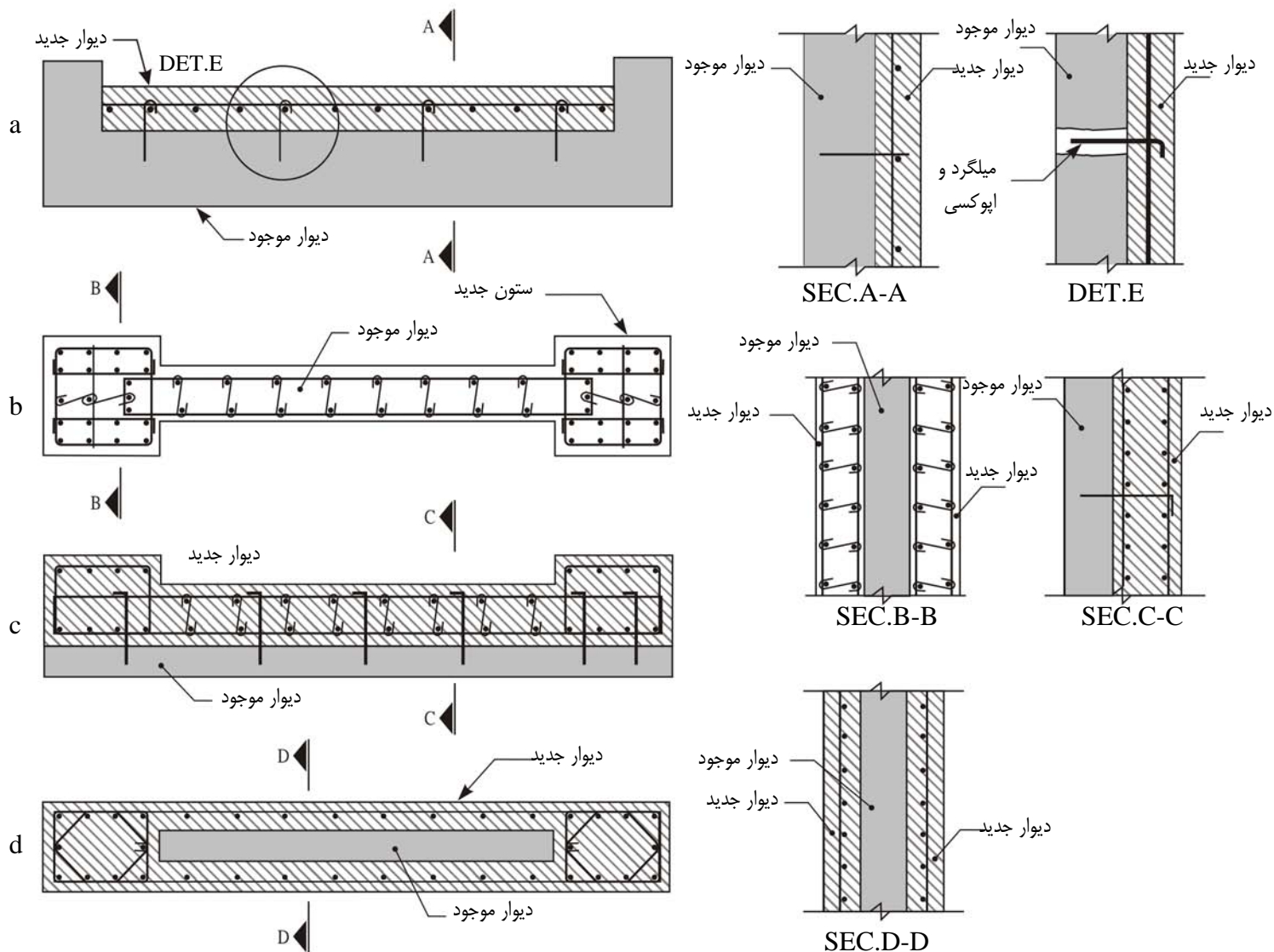
#### ۴-۳-۱-۳-۴- تقویت دیوار برشی

در صورتی که به هر دلیل مقاومت خمی، برشی، شکل پذیری و یا سختی دیوار برشی کم باشد، دیوار را می‌توان با روش‌های روکش بتنی، استفاده از ورق‌های فولادی و یا FRP تقویت نمود. افزایش ضخامت دیوار بوسیله بتن پاشی، احداث دیوار برشی جدید در مجاورت دیوار قدیمی و پرکردن باز شوها با بتن مسلح می‌تواند سبب افزایش سختی و مقاومت جانبی دیوار گردد. در این روش اتصال بتن قدیم و جدید از طریق کاشت بولت‌ها امکان‌پذیر می‌باشد. در این روش آرماتورهای جدید داخل دیافراگم و ستون نیز کاشته می‌شوند. به هر

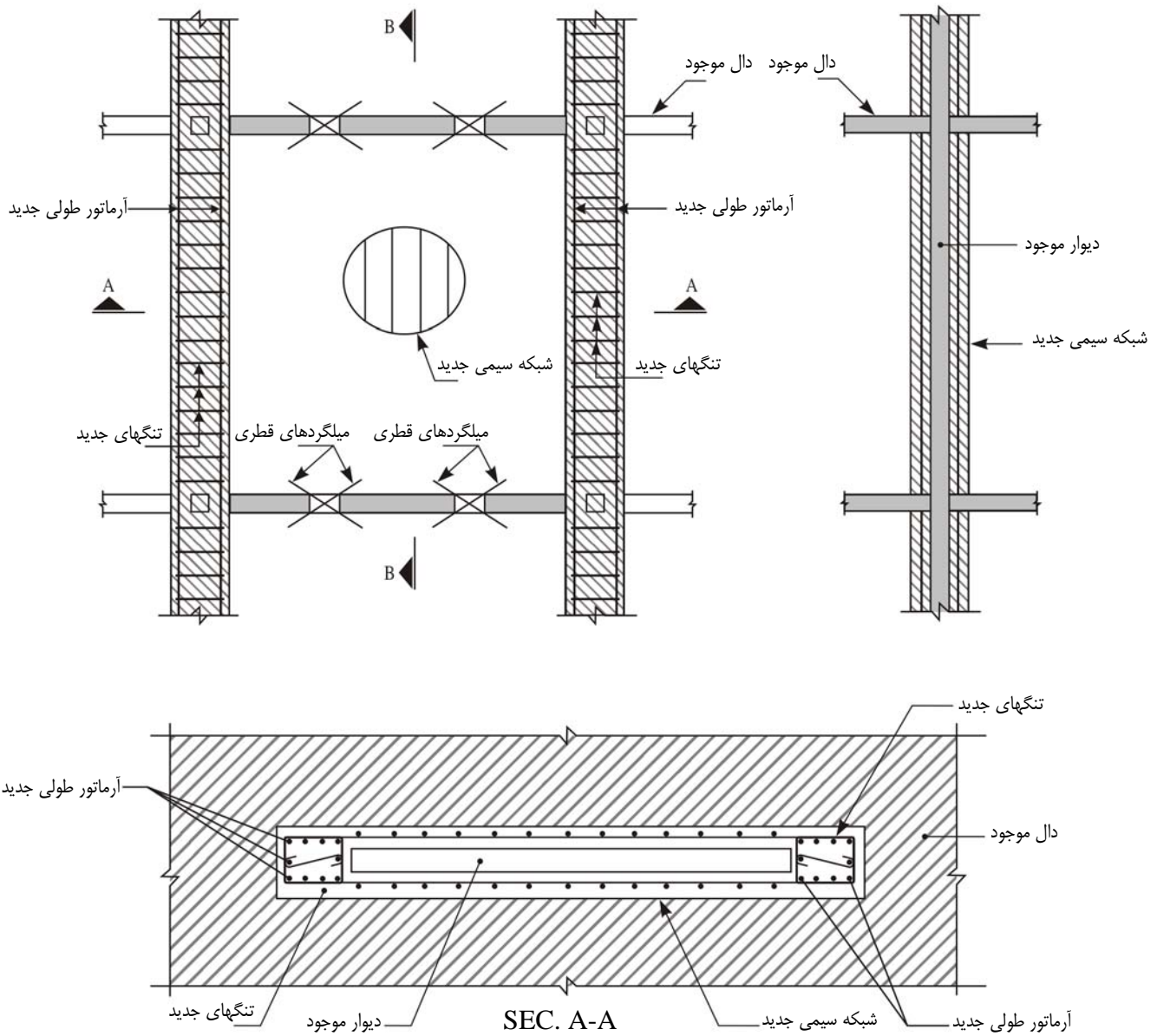
حال باید در نظر داشت تقویت دیوارها، سبب شکست برشی ترد دیوار نگردد، بلکه باید شکست بصورت خمشی نرم ایجاد گردد (اشکال ۳۷-۴ و ۳۸-۴).

اتصال ورق‌های فولادی با انکربولت به دیوار بتنی در یک یا دو طرف نیز می‌تواند باعث افزایش مقاومت و شکل‌پذیری دیوارها

گردد.



شکل ۴-۳۷ - بهسازی دیوارهای برشی و ستون‌های اطراف آن از یک و یا دو طرف

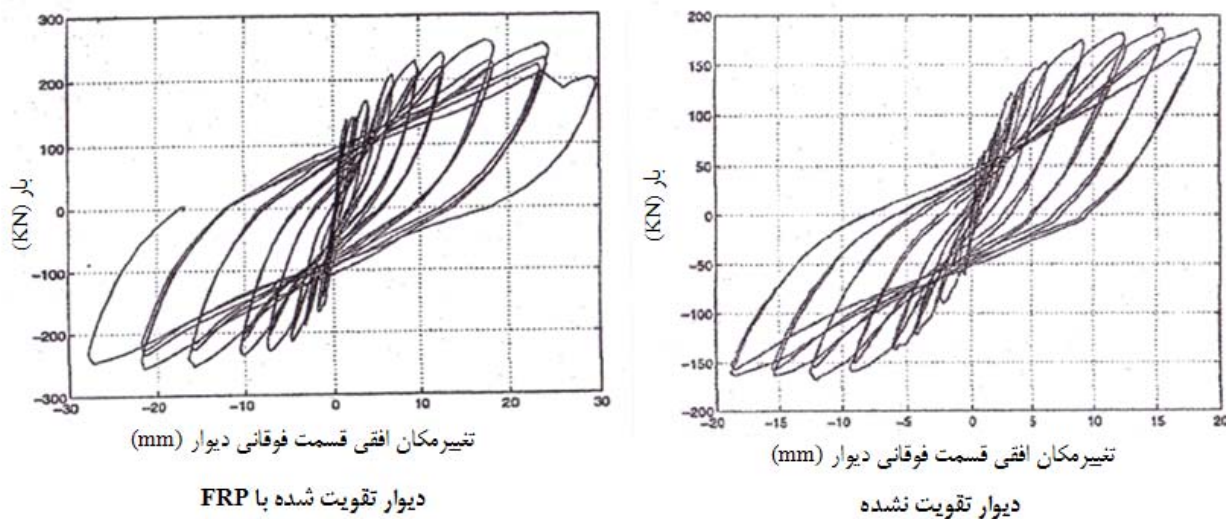


شکل ۴-۳۸- بهسازی دیوارهای برشی از دو طرف

## ۴-۳-۱-۳-۱- تقویت دیوار برشی با مصالح FRP

## الف - تقویت برشی با مصالح FRP

برای جبران ضعف برشی دیوار، صفحات FRP در راستای طول دیوار موازی با آرماتورهای عرضی به صورت افقی در دو وجه دیوار نصب می‌گردد. نحوه عملکرد FRP بدین صورت می‌باشد که پس از ایجاد ترک برشی در بتن، کرنش در آن منطقه افزایش یافته و نیروها به FRP منتقل می‌گردد. نتایج نشان می‌دهد که تقویت برشی دیوار با صفحات FRP سبب افزایش مقاومت تسليیم، مقاومت نهایی و شکل پذیری دیوار می‌گردد. ظرفیت برشی FRP در این حالت بر اساس ظرفیت برشی مقاطع مستطیل شکل دورپیچ شده با FRP مشخص می‌گردد (شکل ۴-۳۹).

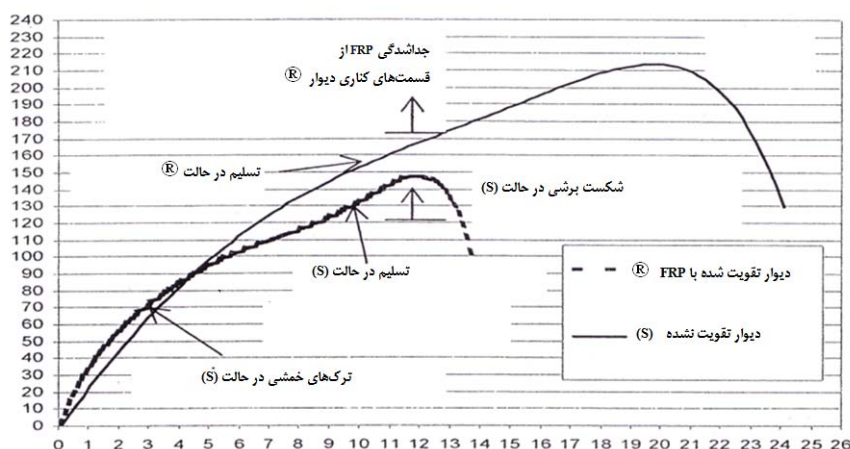


شکل ۳۹-۴ - مقایسه منحنی هیسترزیس دیوار عادی و تقویت شده

### ب - تقویت خمشی

برای جبران ضعف خمشی دیوار صفحات FRP در راستای ارتفاع دیوار موازی با آرماتورهای طولی بر روی آن بطور قائم نصب می‌گردد طریقه نصب معمولاً به این صورت می‌باشد که FRP در دو وجه دیوار نصب می‌گردد.

نحوه همکاری این الیاف در تحمل خمش وارد بر دیوار، همانند نقشی است که آرماتورهای اصلی (قائم) درون دیوار ایفا می‌کند، در صورتیکه FRP به منظور افزایش مقاومت خمشی بر روی دیوار به صورت ارتفاعی استفاده شود، لازم است که انتهای آن به نحو مناسبی در پای دیوار مهار گردد تا نیروهای درون این صفحات به تکیه‌گاه پای دیوار انتقال یابد. برای مهار انتهای صفحات خمشی می‌توان از یک مقطع نسبی فولادی در مجاورت تکیه‌گاه دیوار که بر آن پیچ می‌گردد و یا از یک صفحه برشی FRP عمود بر لایه FRP خمشی در انتهای لایه استفاده نمود (شکل ۴۰-۴).



شکل ۴۰-۴ - منحنی نیرو - تغییر مکان دیوار برشی عادی و تقویت شده

حال شکست دیواری که دارای ضعف خمشی می‌باشد، با شروع ترکهای کششی به صورت افقی در لبه‌های دیوار نزدیک پای دیوار ایجاد می‌گردد و پس از آن خارجی‌ترین آرماتورهای کششی تسلیم می‌گردند.

نتایج نشان می‌دهد که تقویت خمشی دیوار با صفحات FRP سبب افزایش مقاومت ترک‌خوردگی، مقاومت تسلیم، سختی ثانویه در هنگام تسلیم و افزایش مقاومت نهایی دیوار می‌گردد.

نوع شکست نیز به حالت شکل‌پذیر خمشی می‌باشد و شکست آن به صورت خرد شدن پنجه دیوار تحت فشار رخ می‌دهد. نتایج نشان می‌دهد تا پیش از ترک خوردن بتن و جاری شدن فولاد داخل دیوار، مقدار مشارکت FRP در تحمل بارهای وارد کم است، اما پس از جاری شدن فولاد خمشی و ترک خوردن بتن کششی سهم FRP در تحمل خمش وارد به عضو به نحو قابل ملاحظه‌ای افزایش می‌یابد. حالت شکست در این نوع تقویت تا لحظه‌ای که FRP از روی سطح بتن جدا شده است شکل‌پذیر ولی پس از آن کاهش شدید در ظرفیت باربری عضو ایجاد می‌گردد.

در صورتیکه از هر دو تقویت خمشی و برشی به صورت قرارگیری الیاف به طور افقی و عمودی بر روی دیوار به صورت توأم استفاده گردد افزایش در بار تسلیم، سختی ثانویه مقاومت نهایی و شکل‌پذیری، بیشتر از حالت‌های قبل می‌باشد. در این سیستم قرارگیری الیاف به صورت افقی خود مهار کننده الیاف خمشی می‌باشد.

### پ - افزایش شکل‌پذیری

کمبود شکل‌پذیری به عنوان عمدترين ضعف دیوارهای برشی موجود برای مقابله با نیروی جانبی محسوب می‌گردد. از جمله مهمترین علل این کمبود می‌توان به وصله آرماتورهای طولی در نواحی مستعد تشکیل مفصل پلاستیک، محصور شدگی ناکافی در نواحی مرزی و مهار ناکافی آرماتورهای عرضی اشاره نمود. حالت شکست در این حالات به صورت ناگهانی و ترد می‌باشد و منجر به افت شدید ظرفیت باربری می‌گردد.

بطور کلی جهت رسیدن به شکل‌پذیری مناسب لازم است که از تمام حالات شکست ترد اجتناب نمود. از طرف دیگر انرژی وارد به دیوار نیز باید از طریق ایجاد مفصل پلاستیک در ارتفاع دیوار جذب و مستهلك گردد. بنابراین در نواحی مستعد تشکیل مفصل پلاستیک، لازم می‌باشد که المانهای مرزی به نحو مناسبی محصور گردد و از کمانش آرماتورهای طولی دیوار در این قسمتها نیز جلوگیری بعمل آید. در صورتیکه FRP برشی به صورت کامل از طریق دورپیچ دیوار (محصوریت خارجی) و یا اتصال FRP برشی در دو وجه دیوار با بولت که سبب محصوریت داخلی دیوار می‌گردد انجام پذیرد، FRP برشی سبب محصور شدگی آرماتورها می‌گردد. دورپیچ FRP در این حالت در واقع سبب محصور کردن و محدود کردن ترکهای ایجاد شده در راستای آرماتورهای طولی می‌گردد. بطور کلی افزایش ظرفیت برشی دیوار با FRP باید به حدی باشد که امکان تشکیل مفصل پلاستیک در طول دیوار بدون وقوع شکست برشی انجام گیرد.

رفتار بار - تغییر مکان دیوار تقویت شده در محل وصله به کمک حلقه‌های هیسترتیک نشان می‌دهد که مقدار زیادی خمش غیر الاستیک در پای دیوار ایجاد می‌گردد که سبب جذب مقدار قابل توجهی انرژی می‌گردد. همچنین رفتار هیسترتیک دیوارهای تقویت شده با FRP با استفاده از نمودار بار - تغییر مکان نشان می‌دهد که تقویت با FRP روشی موثر برای افزایش محصور شدگی المانهای مرزی و مهار شدگی آرماتورهای عرضی دیوار می‌باشد.

تحقیقات دیگر نشان می‌دهد که برای افزایش میزان تاثیر کامپوزیت FRP می‌توان دیوار را به صورت داخلی محصور نمود. برای این عمل لازم است که دیوار از طریق اتصال بولت‌های پیوسته به چند قسمت تقسیم گردند در این حالت به صورت داخلی با بولت و به صورت خارجی با پوشش FRP محصور می‌گردد. نمونه‌ای از دیوارهای تقویت شده با مصالح FRP در اشکال ۴۱-۴ و ۴۲-۴ نشان داده شده است.



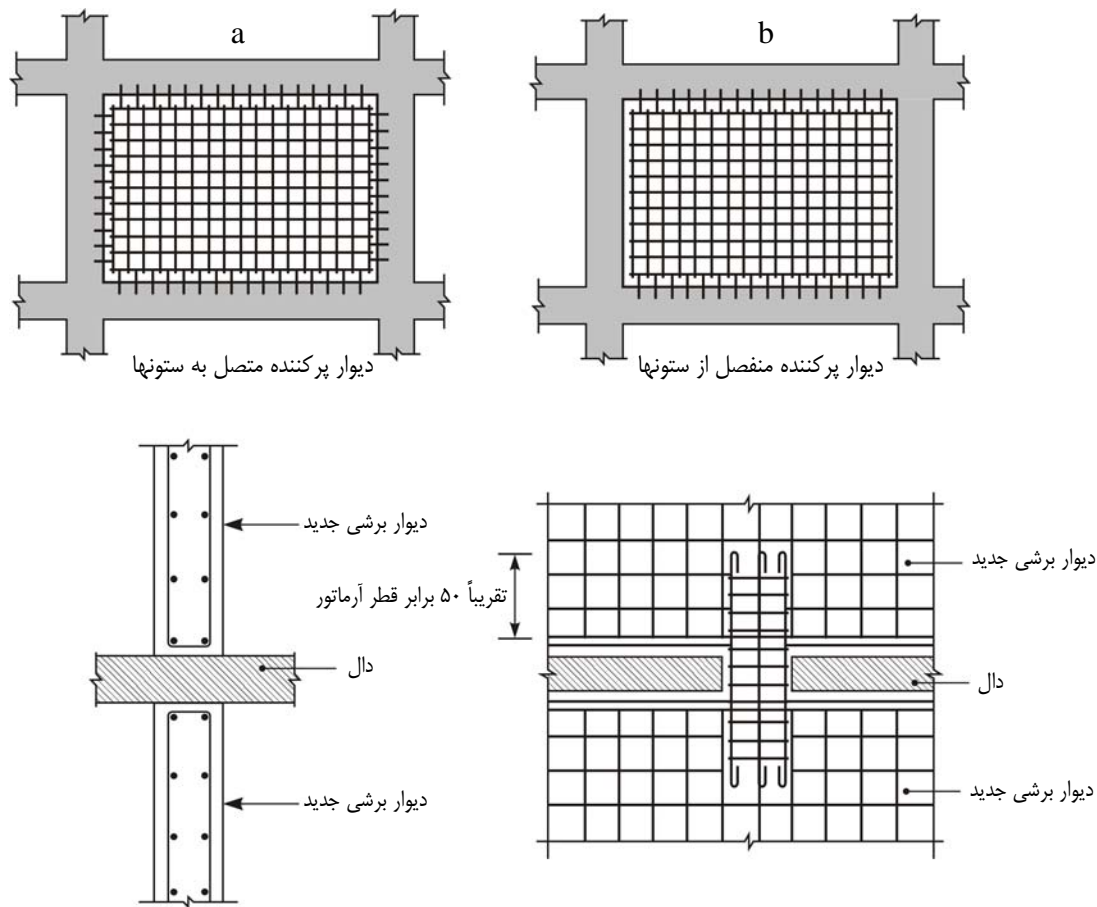
شکل ۴۱-۴ - تقویت دیوار برپی با سیستم FRP



شکل ۴۲-۴ - تقویت کلی دیوارهای برپی بوسیله مصالح FRP

#### ۴-۳-۲- میان قاب‌ها

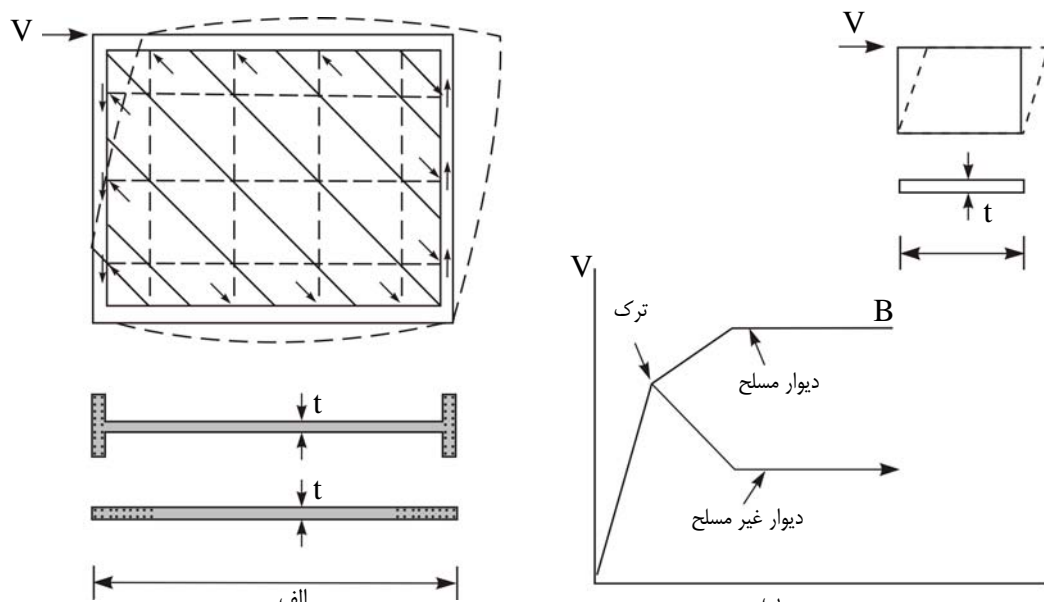
همان گونه که در قبل نیز بدان اشاره شد، از روش‌های افزایش مقاومت و سختی جانبی سازه‌ها می‌توان به اضافه نمودن میانقاب به سازه اشاره نمود. با توجه به مصالح مصرفی، میان قاب‌ها می‌توانند آجری، بتی و ... می‌باشند. البته اضافه نمودن میان قاب‌های بنایی به عنوان روشی برای افزایش مقاومت و سختی جانبی سازه‌ها به هیچ عنوان توصیه نمی‌شود زیرا تحت بارهای لرزه‌ای، میان قاب‌های بنایی تنها در برابر سیکل‌های اول بارگذاری مقاومت می‌نمایند و وزن سازه را نیز به شدت افزایش می‌دهند. لذا در این بخش تنها به نحوه اجرای میان قاب‌های بتی به منظور افزایش مقاومت و سختی جانبی سازه‌ها پرداخته می‌شود (شکل ۴-۳-۴).



شکل ۴-۳-۴- استفاده از دیوارهای پرکننده با مصالح بنایی و یا بتن مسلح در بهسازی ساختمان

#### ۴-۳-۲-۱- میان قاب‌های بتی

دیوارهای بتی در داخل قاب‌های ساختمان می‌توانند مسلح و یا غیرمسلح باشند. رفتار این دو نوع دیوار در نمودار شکل (۴-۴-۴) مشخص گردیده است.



شکل ۴-۴-۴- رفتار میانقاب بتنی تحت بار جانبی الف: ترک قطری و تأثیر میلگرد ب: نمودار نیرو

از رابطه زیر برای محاسبه مقاومت برشی میانقاب بتنی می‌توان استفاده نمود:

$$V_c = 0.1tlf'_c \quad (8-4)$$

که در آن:

$t$ : ضخامت دیوار،

$l$ : طول دیوار

$f'_c$ : مقاومت فشاری بتن می‌باشد.

چنانچه دیوار مسلح باشد، پس از شکست برشی (ترک قطری)، میلگردها تسليیم شده و دیوار به مقاومت نهایی خود می‌رسد. در این صورت فرض می‌شود که مقاومت نهایی دیوار فقط تابعی از مقدار میلگرد است و داریم:

$$V_w = \rho_w tlf'_y \leq 0.18tlf'_c \quad (9-4)$$

$V_w$ : مقاومت نهایی دیوار پس از وقوع ترک قطری،

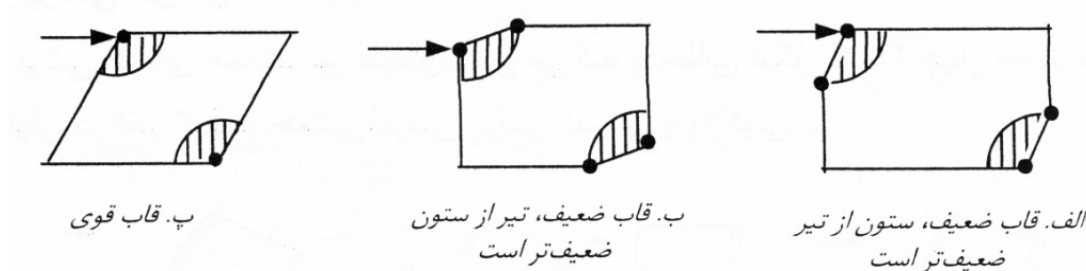
$\rho_w$ : درصد میلگرد افقی (که مساوی میلگردهای قائم فرض شده است)

$f'_y$ : تنش تسليیم میلگرد می‌باشد.

حد  $0.18tlf'_c$  به طور تجربی بدست آمده است و بیانگر شکست کنج میانقاب است. به عبارت دیگر، اگر مقدار میلگرد را آنقدر زیاد کنیم تا مقاومت برشی میانقاب از مقاومت شکست کنج بیشتر شود در این صورت شکست کنج غالب شده و مقدار تجربی فوق به عنوان حد مقاومت میانقاب در نظر گرفته می‌شود.

در حالت نهایی شکست، کنج میانقاب خرد می‌شود و بر حسب اینکه تیر قویتر باشد یا ستون، لولاهای خمیری در قاب ایجاد

می‌گردد (شکل ۴۵-۴).



شکل ۴۵-۴ - انواع شکست میانقاب‌ها

برای این حالت‌های شکست می‌توان مقاومت میانقاب را مطابق زیر حساب کرد.

$$V = m f_c t l \quad (10-4)$$

مقادیر مقاومت فشاری بتن که برابر  $f_c' = 0.85 f_c$  در نظر گرفته می‌شود.  $t$  و  $l$  ضخامت و طول میانقاب بوده و  $m$  کمترین مقدار حاصل

از روابط زیر می‌باشد.

$$m = \frac{1}{\tan \theta} \sqrt{\frac{2(M_j + M_b)}{f_c t h^2}} \quad (11-4)$$

$$m = \frac{4M_j}{f_c t h^2} + \frac{1}{6 \tan^2 \theta} \quad (12-4)$$

در این روابط  $f_c' = 0.85 f_c$ ،  $t$  ضخامت میانقاب،  $h$  ارتفاع میانقاب،  $M_j$  و  $M_b$  لنگر نهایی تیر و ستون و  $\theta$  لنگر نهایی

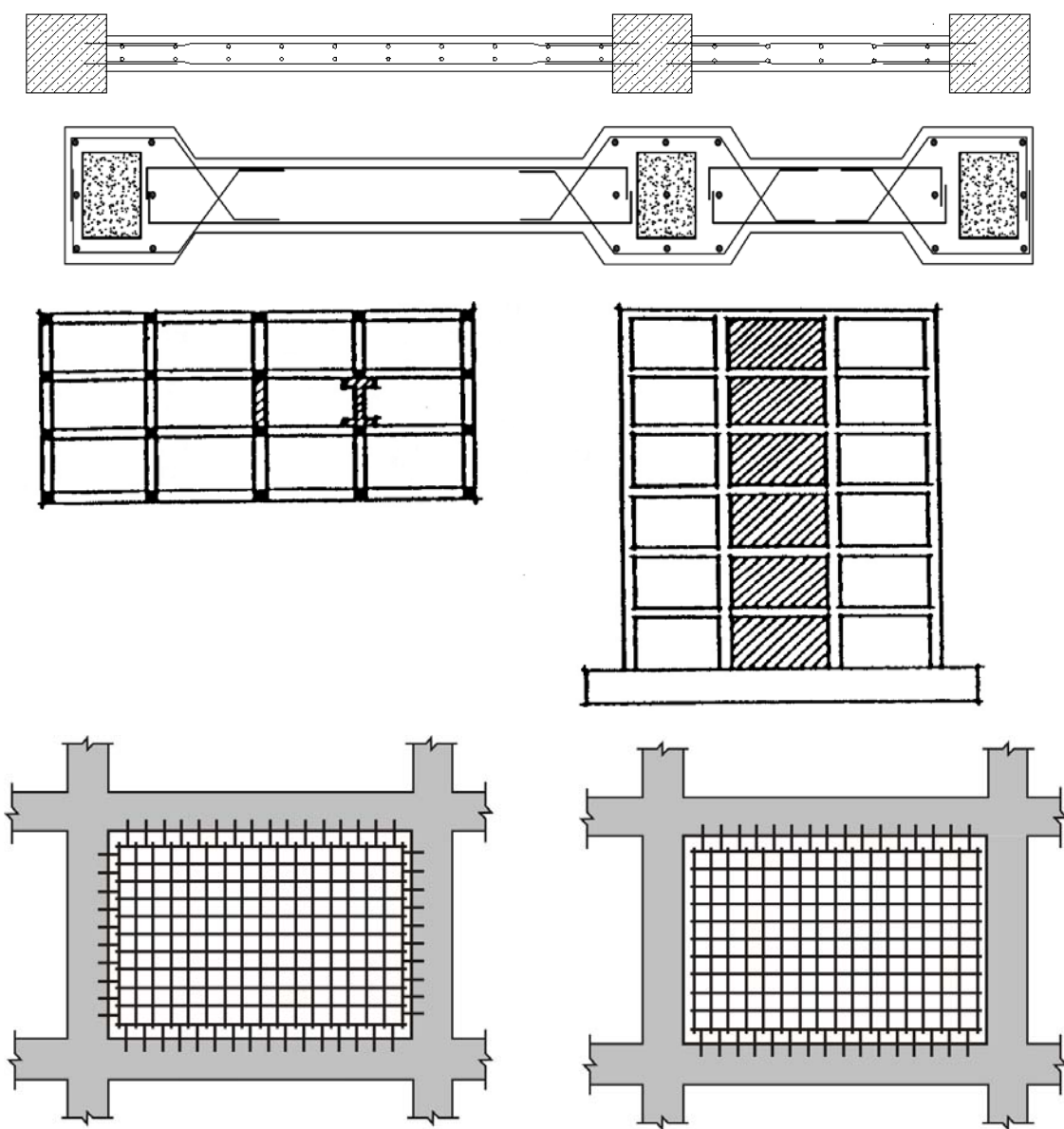
اتصال است که برای اتصالات مفصلی برابر صفر و اتصالات گیردار برابر کمترین  $M_j$  و  $M_b$  اختیار می‌شود و  $\theta$  برابر است با:

$$\theta = \tan^{-1} \frac{h}{l} \quad (13-4)$$

مالحظه می‌شود که مقاومت میانقاب علاوه بر  $f_c'$ ، به مقاومت قاب نیز بستگی دارد و هر قدر قاب قوی‌تر شود  $m$  و  $V$  افزایش

می‌یابند.

نمونه‌ای از روش‌های افزودن میانقاب بتنی به ستون و قاب بتنی در اشکال ۴۶-۴ تا ۴۸-۴ نشان داده شده است.



شکل ۴-۴- روشهای افزودن میانقاب بتنی به ستون

برای افزودن میانقاب بتنی به ستون‌های بتن مسلح موجود دو روش زیر بکار برده می‌شود:

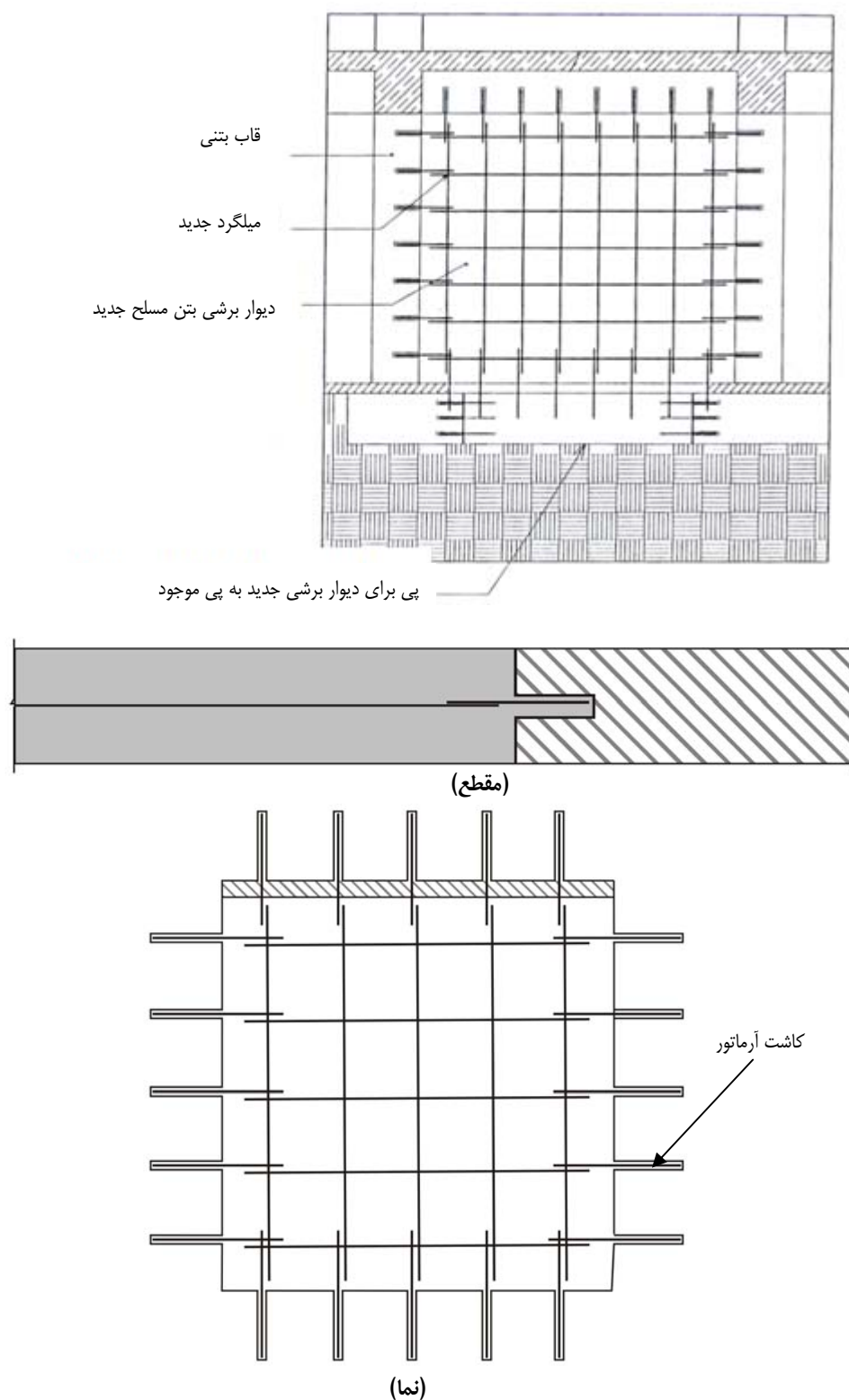
- ۱- در روش اول آرماتورهای انتظار در داخل ستون موجود و دیافراگم سقف کاشته می‌شود و آرماتورهای اصلی دیوار با آنها همپوشانی پیدا کرده و به عملکرد لازم می‌رسند.
- ۲- در روش دوم با ایجاد مقطع بزرگتر و با آرماتوربندی پیرامون ستون‌ها و تیرهای موجود آرماتورهای اصلی دیوار در بتن محصور کننده جدید جاگذاری می‌شوند.

در پر کردن قاب‌های موجود بوسیله بتن مسلح می‌توان کل دهانه و یا بخشی از دهانه در هر طرف ستون را بوسیله دیوارهای سازه‌ای پر کرد. در این موارد باید جنبه‌های زیر رعایت گردد:

- آرماتورهای پانل دیوار در مقاطع تیر و ستون مقید شود تا نیروهای کششی آرماتورهای دیوار و انتقال برشی بین بتن قدیم و جدید تامین گردد.
- برای بهبود کفایت ستون‌ها به عنوان اجزای مرزی، می‌توان آنها را روکش نمود و برای این کار آرماتورهای عمودی مرزی اضافی را از کف‌ها عبور داده و از تنگ‌های مورد نیاز نیز استفاده نمود.
- اثر پانل پر شده بر سایر قاب‌های دیگر که پر نشده است بررسی گردد.
- دیافراگم کف، تیرهای لبه و برشگیرها برای انتقال نیروهای جانبی به دیوار جدید بررسی و در صورت نیاز، تقویت گردد.
- پی زیر پانل پر شده برای وزن اضافی مصالح جدید و نیروهای واژگونی و برشی بررسی و در صورت نیاز، تقویت گردد.



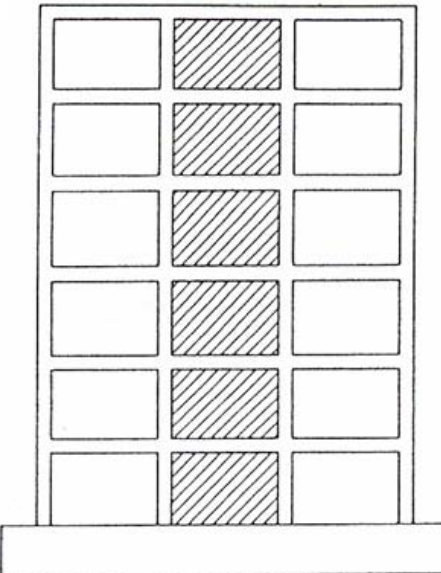
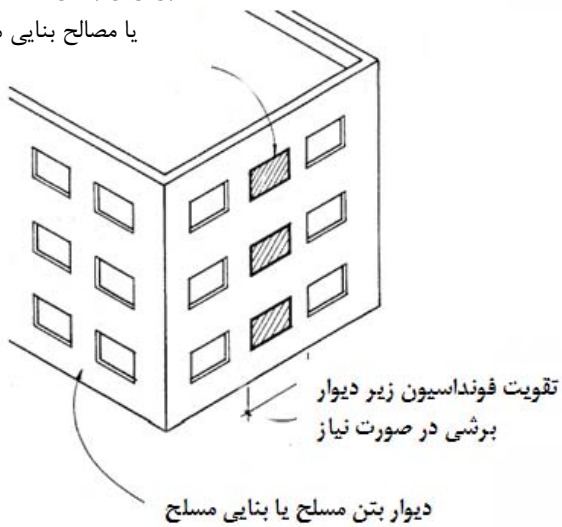
شکل ۴-۴۷ - افزودن میانقاب بتنی به عنوان دیوار برشی



شکل ۴-۴۸-۴- اضافه کردن دیوار برشی جدید در یک قاب بتُّنی

در مورد پر کردن بازشوهای موجود در دیوارهای بتن مسلح باید آرماتورهای ریشه جدید را با استفاده از چسب های اپوکسی در سوراخهای ایجاد شده محکم کرد و یا در صورت وجود تیر فولادی در بالای بازشو، آرماتورهای ریشه جدید به تیر موجود جوش گردد (شکل ۴-۴).

پر کردن پنجره ها با بتن مسلح  
یا مصالح بنایی مسلح



شکل ۴-۴ - پر کردن بازشوی موجود در یک دیوار بتن مسلح و یا مصالح بنایی

### ۴-۳-۳-۴ - دیوارهای برشی فولادی

دیوارهای برشی فولادی به دو نوع سخت شده و سخت نشده تفکیک می شوند.  
در صورتی دیوار برشی فولادی سخت شده محسوب می گردد که ورق دیوار محدودیت های نسبت لاغری زیر را برآورده نماید:  
الف- اگر در دو راستای افقی و قائم سخت کننده استفاده گردد:

$$\frac{s}{t_w} \leq 3.82 \sqrt{\frac{E}{F_y}} \quad (14-4)$$

ج- فاصله سخت کننده ها:

- $t_w$ : ضخامت ورق دیوار برشی فولادی.  
ب- اگر تنها در یک راستا از سخت کننده استفاده گردد:

$$\frac{s}{t_w} \leq 2.88 \sqrt{\frac{E}{F_y}} \quad (15-4)$$

نمونه ای از دیوار برشی فولادی در شکل ۴-۵۰ نشان داده شده است.



شکل ۵۰-۴ - دیوار برشی فلزی

#### ۱-۳-۳-۴ - دیوار برشی فولادی سخت نشده معمولی

دیوار برشی فولادی باید در برابر تغییرشکل‌ها و نیروهای ناشی از ترکیبات بارگذاری مقاومت کند. در صورت عدم وجود ضرایب طراحی در آینه‌های طراحی، این ضرایب باید با استفاده از جدول ۲-۴ تعیین گردد.

جدول ۲-۴ - ضرایب طراحی برای بار لرزه‌ای

| نوع دیوار                | $R$ | دوره تناوب    |
|--------------------------|-----|---------------|
| دیوار برشی فولادی معمولی | ۴   | $0.02h^{3/4}$ |

۴-۳-۳-۱-۱-۱-ورق دیوار

الف- مقاومت برشی

مقاؤمت برشی طراحی پانل با استفاده از حالت حدی تسلیم برشی از رابطه ۱۶-۴ تعیین می‌گردد.

$$V_n = 0.42 F_y t_w L \sin 2\alpha \quad (18-4)$$

$\alpha$  زاویه تسلیم ورق نسبت به راستای قائم است که از رابطه ۱۷-۴ محاسبه می‌گردد.

$$\tan^4 \alpha = \frac{\frac{2}{t_w L} + \frac{1}{A_c}}{\frac{2}{t_w L} + \frac{2h}{A_b L} + \frac{h^4}{180 I_a L^2}} \quad (17-4)$$

**A<sub>h</sub>**: سطح مقطع تير لبه;

$A_c$  و  $I_c$ : سطح مقطع و لنگر اینرسی ستون‌های لبه.

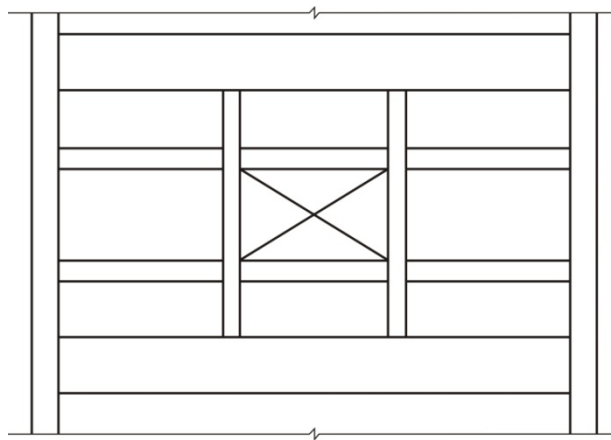
در صورت عدم تعییه اتصال مناسب دیوار به فونداسیون، نباید میدان کشش ورق لحاظ گردد.

### ب- نسبت طول به ارتفاع پانل

نسبة طول به ارتفاع بين  $0.8 < \frac{L}{h} \leq 2.5$  محدود گردد.

پ- بازشو در ورق

در اطراف بازشوهای ورق باید از اجزای لبه افقی و قائم استفاده گردد که این اجزای لبه اطراف بازشو باید مطابق شکل ۵۱-۴ در تمام ارتفاع یا طول ورق ادامه یابد.



### شکل ۴-۵۱- اجزای لبه بازشو

این اجزا باید ضوابط زیر را برآورده نمایند:

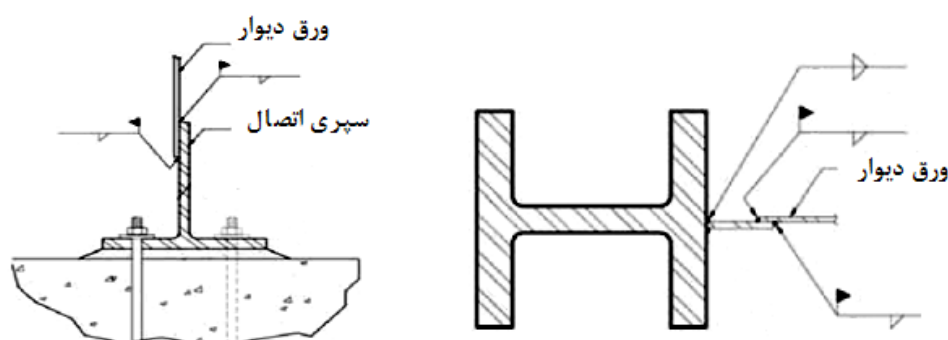
- مقاومت موردنیاز اجزای لبه قائم براساس نیروهای متناظر با مقاومت تسلیم موردانه انتظار در کشش با زاویه  $\alpha$  تعیین گردد.

-سختی اجزای لبه پاژشو شرایط پندهای ۴-۳-۱-۳-۳-ت و ث را برآورده نمایند.

در صورت اثبات عدم نیاز به اجزای لیه بازشو با انجام آزمایش، می‌توان از اجزای لیه استفاده ننمود.

### ۴-۳-۱-۲- اتصال ورق به اجزای لبه

مقاومت موردنیاز اتصال ورق به اجزای لبه و به فونداسیون باید معادل مقاومت تسلیم موردنظر در کشش با درنظر گرفتن زاویه  $\alpha$  تعیین گردد. اتصال ورق به اجزای لبه در شکل ۵۲-۴ نشان داده شده است.



الف- اتصال ورق دیوار به اجزای لبه

ب- اتصال ورق دیوار به فونداسیون

شکل ۵۲-۴- اتصال ورق به اجزای لبه

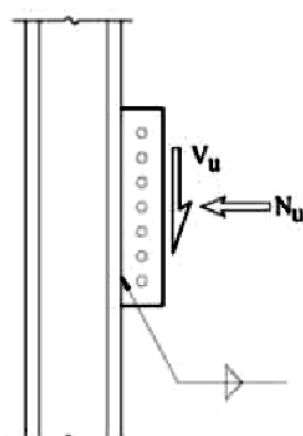
### ۴-۳-۳-۱- اجزای لبه افقی و قائم

#### الف- مقاومت موردنیاز

مقاومت موردنیاز اجزای لبه باید براساس نیروهای بارگذاری بدست آمده از ترکیبات بارگذاری با فرض عدم اعمال بار ثقلی به ورق دیوار با درنظر گرفتن زاویه  $\alpha$  باشد.

#### ب- اتصال اجزای لبه افقی و قائم

اتصالات اجزای لبه باید الزامات بخش ۱۰-۲-۱۰ مبحث دهم مقررات ملی را برآورده نمایند (شکل ۵۳-۴).



شکل ۵۳-۴- اتصال اجزای افقی و قائم

#### پ- وصله اجزای لبه قائم

وصله اجزای لبه قائم باید ضوابط بخش ۱۰-۲-۱۰ مبحث دهم مقررات ملی را برآورده نمایند.

### ت- سختی اجزای لبه قائم

لنگر اینرسی جزء لبه قائم حول محور عمود به صفحه ورق دیوار،  $I_c$ ، نباید کمتر از  $0.00307t_w h^4/L$  باشد.

### ث- سختی اجزای لبه افقی

لنگر اینرسی جزء لبه افقی حول محور عمود به صفحه ورق دیوار،  $I_b$ ، نباید کمتر از  $0.003(\Delta t_w)h^4/L$  باشد.

$\Delta t_w$ : اختلاف ضخامت ورق بالا و پایین جزء لبه افقی.

## ۴-۳-۲-۳- دیوار برشی فولادی سخت نشده ویژه

دیوار برشی فولادی باید در برابر تغییرشکل‌های غیرالاستیک ورق دیوار ناشی از نیروهای زلزله مقاومت کند. اجزای لبه افقی و قائم مجاور ورق دیوار نیز باید تحت نیروهای ناشی از تسلیم ورق بصورت الاستیک باقی بمانند. به استثنای اینکه تشکیل مفصل پلاستیک در انتهای اجزای لبه افقی مجاز می‌باشد. دیوارهای برشی فولادی ویژه باید الزامات این بخش را برآورده نماید. در صورت عدم وجود ضرایب طراحی در آینه نامه های طراحی، این ضرایب با استفاده از جدول ۴-۳- تعیین می‌گردد.

جدول ۴-۳- ضرایب طراحی برای بار لوزهای

| نوع دیوار              | $R$ | $\Omega$ | دوره تناوب    |
|------------------------|-----|----------|---------------|
| دیوار برشی فولادی ویژه | ۱۱  | ۳/۵      | $0.02h^{3/4}$ |

## ۴-۳-۲-۱- ورق دیوار

### الف- مقاومت برشی

مقاومت برشی طراحی پانل مطابق بند ۴-۳-۱-۱-الف تعیین می‌گردد.

### ب- نسبت طول به ارتفاع پانل

نسبت طول به ارتفاع بین  $2.5 < \frac{L}{h} \leq 0.8$  محدود می‌گردد.

### پ- بازشو در ورق

بازشو ورق باید خواص بند ۴-۳-۱-پ را برآورده نماید.

## ۴-۳-۲-۲- اتصال ورق به اجزای لبه

مقاومت موردنیاز اتصال ورق به اجزای لبه و فونداسیون باید معادل مقاومت تسلیم موردنظر نظر گرفتن زاویه  $\alpha$  تعیین گردد.

### ۴-۳-۲-۳-۳-۳-۴- اجزای لبه افقی و قائم

#### الف- مقاومت موردنیاز

علاوه بر رعایت الزامات بند ۱۰-۳-۴-۲-۴ مبحث دهم مقررات ملی، مقاومت موردنیاز اجزای لبه قائم باید براساس نیروهای متناظر با مقاومت تسليم موردانتظار در کشش با زاویه  $\alpha$  تعیین گردد.

مقاومت موردنیاز اجزای لبه افقی باید بزرگتر از نیروهای متناظر با مقاومت تسليم موردانتظار در کشش با زاویه  $\alpha$  یا بزرگتر از ترکیبات بارگذاری با فرض عدم اعمال بار ثقلی به ورق دیوار، باشد.

نسبت لنگر ستون به تیر باید ضوابط بند ۱۰-۳-۱-۸-۴-۱ مبحث دهم مقررات ملی را بدون لحاظ نمودن اثر ورق دیوار در کلیه نقاط اتصال برآورده نماید.

#### ب- اتصال اجزای لبه افقی و قائم

اتصالات اجزای لبه باید الزامات بخش ۱۰-۲-۱۰ مبحث دهم مقررات ملی را برآورده نمایند. مقاومت برشی موردنیاز اتصال نیز باید براساس بخش ۱۰-۲-۱۰ مبحث دهم مقررات ملی تعیین گردد. این مقاومت برشی باید از برش متناظر با لنگر انتهایی معادل  $1.1R_y M_p$  به همراه برش معادل مقاومت تسليم موردانتظار در کشش با زاویه  $\alpha$  کمتر باشد.

#### پ- محدودیت پهنا به ضخامت

اجزای لبه باید محدودیت الزامات پهنا به ضخامت بند ۱۰-۳-۶-۲-۶ مبحث دهم مقررات ملی ساختمان را برآورده نمایند.

#### ت- مهار جانبی

اجزای لبه افقی باید در محل تقاطع با اجزای لبه قائم و در فاصله‌ای کمتر از  $0.086r_y E / F_y$  مهار جانبی داشته باشند. بال‌های اجزای لبه افقی باید بصورت مستقیم یا غیرمستقیم مهار گردد. مقاومت موردنیاز مهار جانبی باید حداقل ۲ درصد مقاومت اسمی بال جزء لبه افقی،  $F_y b_f t_f$  باشد. همچنین سختی موردنیاز برای کلیه مهارهای جانبی باید با استفاده از رابطه ۱۸-۴ تعیین گردد.

$$\beta_{br} = \frac{10M_r}{L_b h_0} \quad (18-4)$$

در این رابطه  $M_r$  باید برابر  $R_y Z F_y$  درنظر گرفته شود.

#### ث- وصله اجزای لبه قائم

وصله اجزای لبه قائم باید ضوابط بند ۱۰-۳-۶-۲-۶ مبحث دهم مقررات ملی را برآورده نمایند.

#### ج- سختی اجزای لبه قائم

لنگر اینرسی جزء لبه قائم حول محور عمود به صفحه ورق دیوار،  $I_c$ ، باید کمتر از  $L/h^4$  ۰.۰۰۳۰۷ $t_w$  باشد.

#### ج- سختی اجزای لبه افقی

لنگر اینرسی جزء لبه قائم حول محور عمود به صفحه ورق دیوار،  $I_c$ ، باید کمتر از  $L/(\Delta t_w)h^4$  ۰.۰۰۳ باشد.  $\Delta t_w$ : اختلاف ضخامت ورق بالا و پایین جزء لبه افقی.

### **۴-۳-۳-۳-۳- دیوار پرشی فولادی سخت شده و پیزه**

دیوار برشی فولادی باید در برابر تغییرشکل های و نیروهای ناشی از ترکیبات بارگذاری مقاومت کند. در صورت عدم وجود ضرایب طراحی در آین نامه های طراحی، این ضرایب باید با استفاده از جدول زیر تعیین گردد.

#### جدول ۴-۴- ضرایب طراحی برای بار لرزه‌ای

| دوره تناوب    | $\Omega$ | R  | نوع دیوار               |
|---------------|----------|----|-------------------------|
| $0.02h^{3/4}$ | $3/5$    | ۱۱ | دیوار برشی فولادی و پزه |

۴-۳-۳-۳-۱- ورق دیوار

الف - ضخامت حدائق ورق

حداقل ضخامت ورق برای رسیدن ورق به تنش تسليم برشی قبل از کمانش برشی با استفاده از رابطه ۱۹-۴ تعیین می‌گردد.

$$t_{\min} = \sqrt{\frac{12(1-\nu) \frac{F_y}{\sqrt{3}}}{\pi^2 E \left[ \frac{5.34}{s_1^2} + \frac{4.0}{s_2^2} \right]}} \quad (19-4)$$

ضریب پواسون:  $\nu$

۱۵: کوچکترین فاصله بین سخت‌کنده‌ها:

<sup>2</sup> : بزرگترین فاصله بین سختکندها.

ب- مقاومت برشی

مقاومت برشی طراحی پانل باید با توجه به رابطه زیر برای حالت حدی تسليم برشی با استفاده از رابطه  $20-4$  تعیین گردد.

$$V_n = 0.6F_y t_w L \quad (3-4)$$

$L_w^t$ : طول و ضخامت پانل دیوار پر شی فولادی؛

در مواردیکه تنها سخت‌کننده عرضی، تیر تراز طبقات باشد، نباید اثر میدان کشش ورق لحاظ گردد. همچنین در صورت عدم تعییه اتصال مناسب بین دیوار و فونداسیون، نباید میدان کشش ورق در چشمۀ انتهایی لحاظ شود.

زاویه‌ی تسلیم ورق نسبت به قائم،  $\alpha$ ، از رابطه (۲۱-۴) و (۲۱-۵) به دست می‌آید و نیروهای طراحی براساس بحرانی‌ترین حالت تعیین گردید:

$$\tan \alpha = \frac{s_x}{a} \quad (21-4)$$

*a* : فاصله سخت‌کننده‌های افقی؛

۵: فاصله سخت‌کننده‌ها، قائم؛

### پ-نسبت طول به ارتفاع پانل

نسبت طول به ارتفاع باید  $\frac{L}{h} < 0.8$  محدود گردد.

### ت-بازشو در ورق

بازشو ورق باید ضوابط بند ۴-۳-۳-۱-۱-۳-۴-پ را برآورده نماید.

### ث-سخت کننده‌ها

سخت کننده‌ها باید ضوابط و محدودیت‌های مربوط به فاصله‌ی بین سخت کننده‌ها را برای جلوگیری از کمانش قطری دیوار طبق بخش (۴-۲-۱۰) مبحث ۱۰ مقررات ملی برآورده نماید.

### ۴-۳-۳-۲-اتصال ورق به اجزای لبه

اتصال ورق به اجزای لبه و فونداسیون مطابق بند ۴-۳-۳-۱-۳-۴ می‌باشد.

### ۴-۳-۳-۳-روش تحلیل

در این بخش دو روش برای تحلیل دیوارهای برشی فولادی شامل مدل نوار کششی و غشای اورتوتروپیک ارائه شده است.

#### الف-مدل نوار کششی

در این روش ورق دیوار با استفاده از تعدادی نوار کششی قطری موازی مدل می‌گردد. حداقل ۱۰ نوار کششی برای مدل ورق دیوار برای تخمین اثرات بارهای توزیع شده بر اجزای لبه استفاده می‌گردد. سطح مقطع نوارها با استفاده از رابطه (۲۲-۴) قابل تعیین می‌باشد.

$$A_s = \frac{[L \cos \alpha + h \sin \alpha] t_w}{n} \quad (22-4)$$

$L$  و  $t_w$ : طول و ارتفاع و ضخامت پانل دیوار برشی فولادی؛

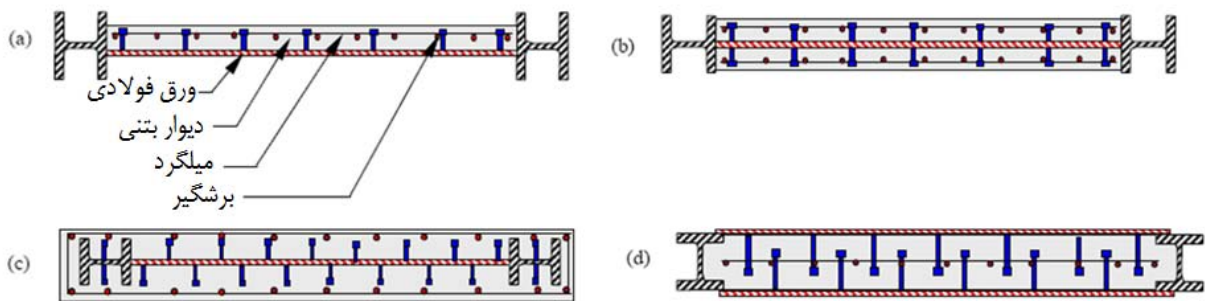
$n$ : تعداد نوارها.

#### ب-مدل غشای اورتوتروپیک

در این روش از المان‌های غشایی غیرهمگن که اختلاف مقاومت فشاری و کششی ورق دیوار را مدل کند، استفاده می‌گردد. بدلیل اینکه کشش در راستای قطری می‌باشد، محورهای محلی المان‌های غشایی باید منطبق بر زاویه  $\alpha$  گردد. خواص مصالح المان‌ها باید همان خواص مصالح دیوار درنظر گرفته شود. از سختی در راستای عمود بر صفحه دیوار باید صرفظیر گردد. علاوه بر این پیشنهاد می‌شود برش درون صفحه المان غشایی ناچیز فرض گردد.

### ۴-۳-۳-۴- اجرای کامپوزیت دیوار برشی فولادی

خصوصیات دیوار برشی فولادی را می‌توان با اجرای کامپوزیت آن با دیوارهای بتنی بهبود بخشد. در این حالت علاوه بر مشارکت دیوار بتنی در سختی و مقاومت سیستم، با تأمین برشگیرها در فواصل مناسب، از کمانش موضعی ورق جلوگیری به عمل آمده و رفتار بهتری برای ورق فولادی حاصل می‌شود. بنابراین این گونه دیوار برشی‌ها می‌توانند در جا و یا پیش‌ساخته باشد (شکل ۵۴-۴).

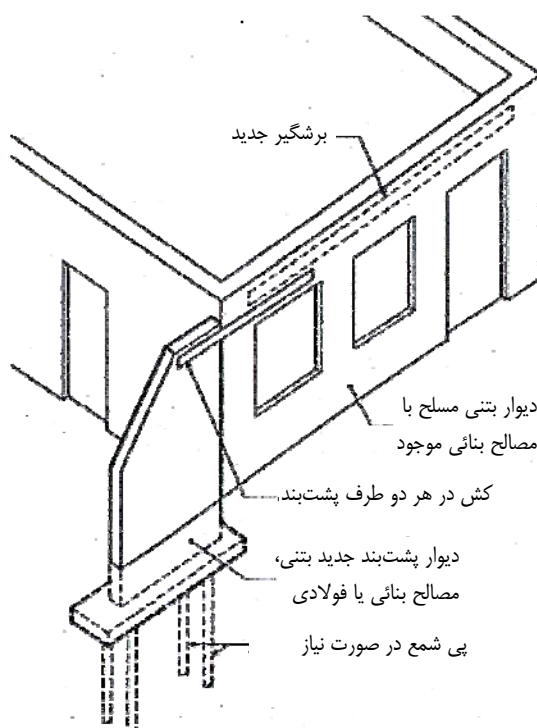


شکل ۵۴-۴- اشکال متداول در اجرای دیوارهای برشی کامپوزیت

### ۴-۳-۴- دیوارهای پشت بند

در صورتی که اضافه کردن دیوار و یا پرکردن قاب‌های موجود، با توجه به ملاحظات معماری مقدور نباشد و یا تغییرات در کاربری فعلی ایجاد اخلال نماید و در کل امکان اجرای بهسازی در داخل ساختمان با مشکلاتی همراه باشد، می‌توان به عنوان یک راه حل از دیوارهای پشت بند در خارج از ساختمان استفاده نمود (شکل ۵۵-۴).

البته اجرای این نوع از دیوارها در بسیاری از موارد ممکن است دسترسی‌های موجود به ساختمان را تغییر داده و خود موجب بروز اشکالاتی شود. در مجموع در طراحی این نوع دیوارها باید به اتصال آن با سازه قدیمی و همچنین فونداسیون جدید برای آن (بررسی رفتار فونداسیون جدید در رابطه با فونداسیون موجود) دقت ویژه‌ای شود.



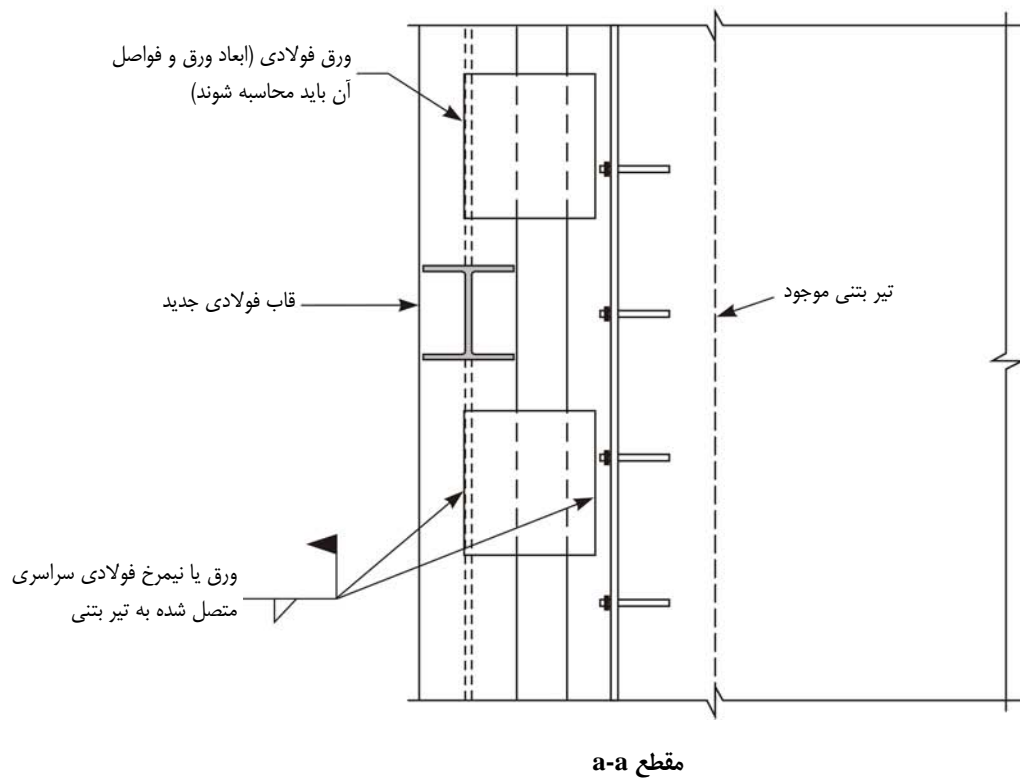
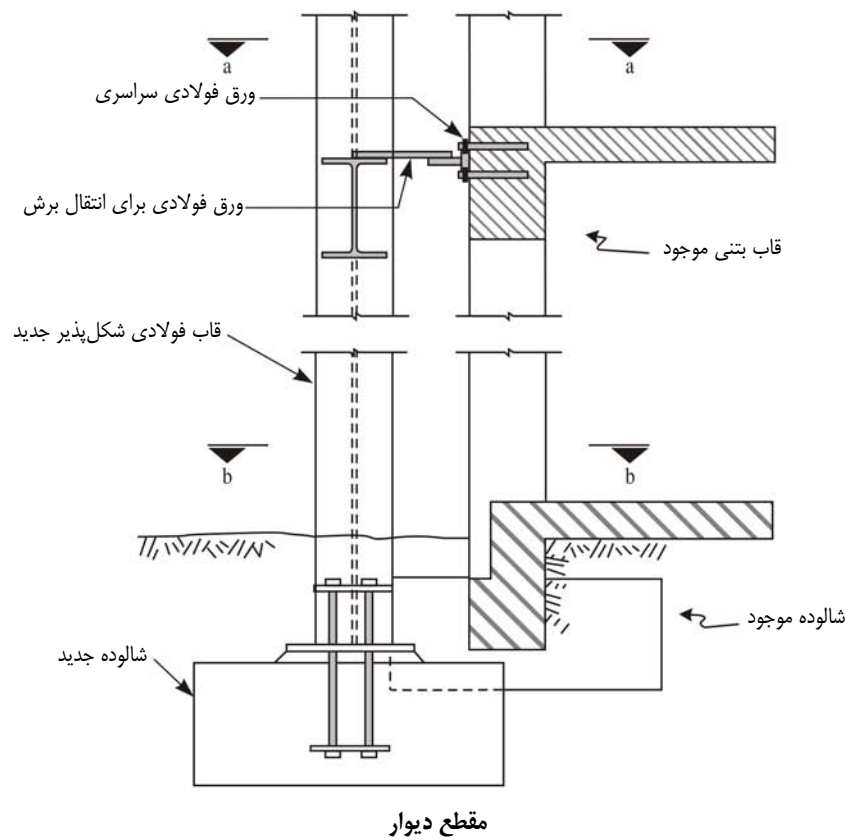
شکل ۴-۵۵ - بهسازی با اضافه کردن دیوار پشت بند به ساختمان

#### ۴-۴- اضافه کردن قاب‌های خمشی

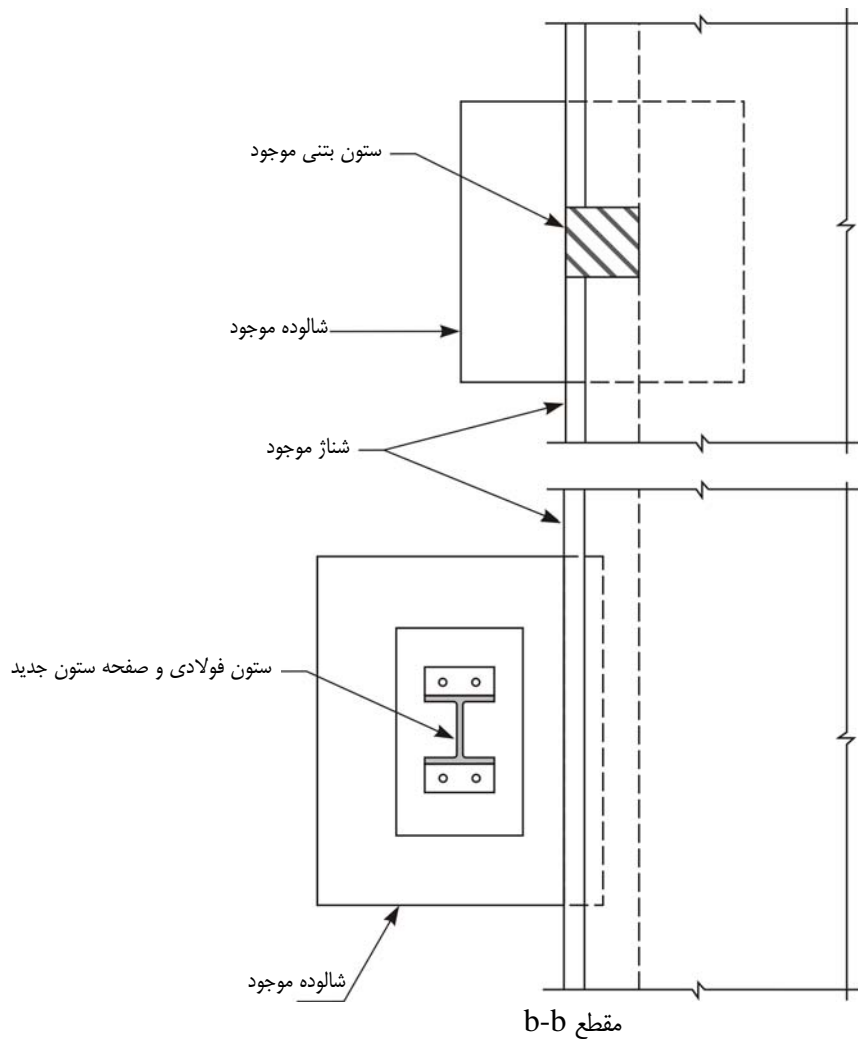
قاب‌های خمشی در صورت ارضای ضوابط تعیین شده ، دارای شکل پذیری و اتلاف انرژی بسیار بالایی می باشند . به علت سختی کم پاسخ این سیستم به نیروهای جانبی با تغییر شکل‌های فزاینده همراه است که برای اجزای غیر سازه‌ای مشکلاتی را بوجود می آورد و همچنین با افزایش تغییرشکل‌های ثانویه حتی به ناپایداری کلی سازه منجر می شود .

این سیستم‌ها با توجه به سختی کمتر و نرم بودن ، پس از خرابی سیستمهای سخت، می‌توانند نیرو جذب کنند و در صورت پاسخگو نبودن سیستم مقاوم اصلی، از خرابی سازه جلوگیری نمایند.

لازم به ذکر است قابهای اضافه شده می‌توانند بصورت خارجی نیز باشند (شکل ۴-۵۶).



شکل ۴-۵۶- بهسازی با اضافه کردن قاب خمسی در خارج از ساختمان



ادامه شکل ۴-۵۶- بهسازی با اضافه کردن قاب خمی در خارج از ساختمان

#### مثال ۱-۴ (اضافه نمودن بادبند)

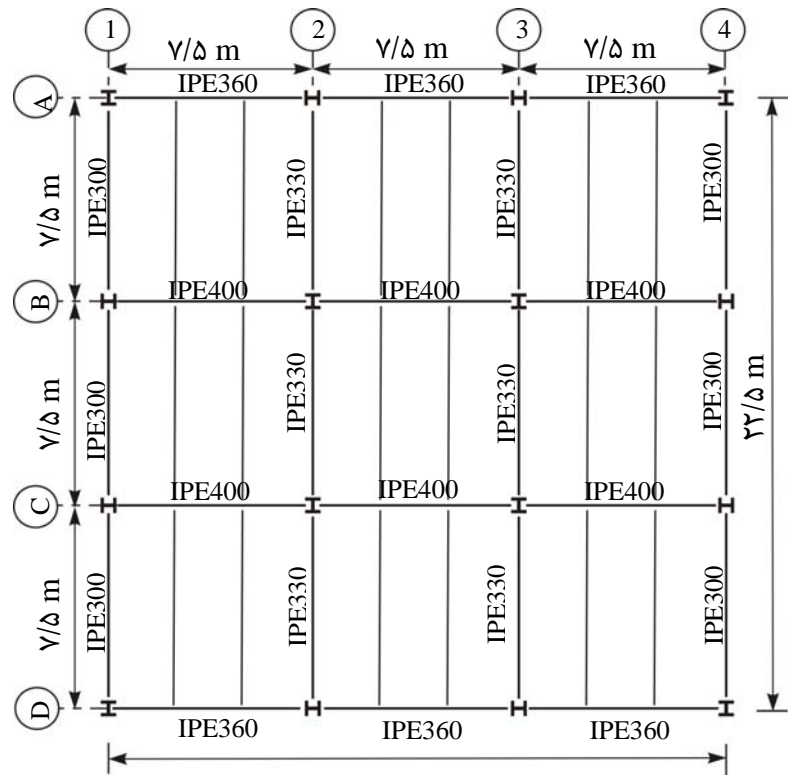
سازه‌ای با مشخصات زیر مفروض است. این سازه باید تحت بارهای لرزه‌ای دارای سطح عملکرد استفاده بی‌وقفه باشد. مطلوبست بررسی سازه مورد نظر و در صورت لزوم بهسازی آن.

ساختمان دو طبقه و سیستم باربر آن قاب خمی معمولی می‌باشد. اتصالات تیر به ستون جوشی و کاملاً گیردار است. قاعده ستون قوی، تیر ضعیف در این ساختمان رعایت نشده است.

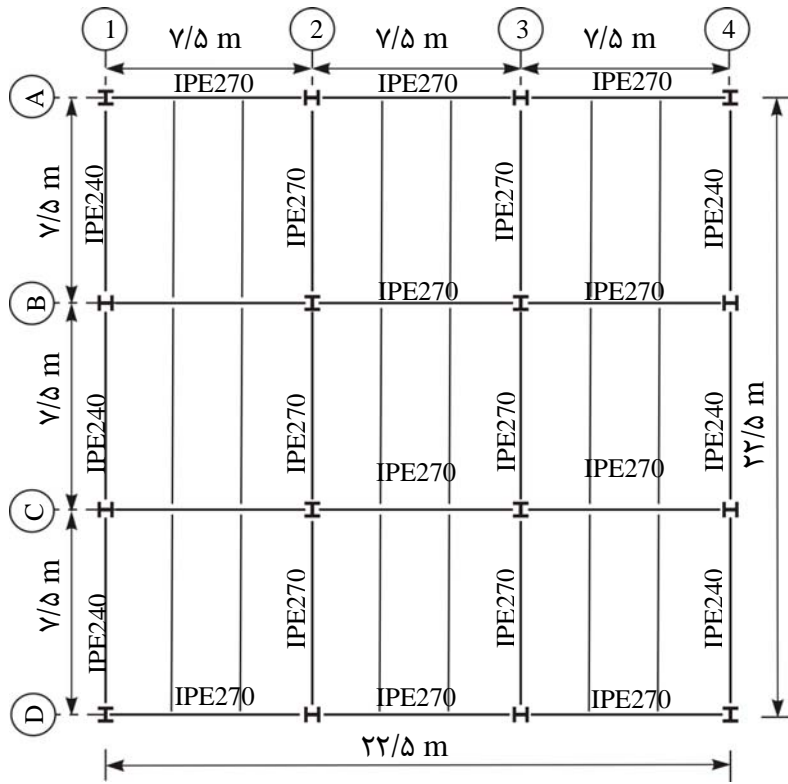
ارتفاع هر طبقه  $\frac{3}{3}$  متر و طول هر دهانه برابر  $\frac{7}{5}$  متر می‌باشد.

محل احداث ساختمان نیز شهر تهران و خاک منطقه نیز نوع III می‌باشد.

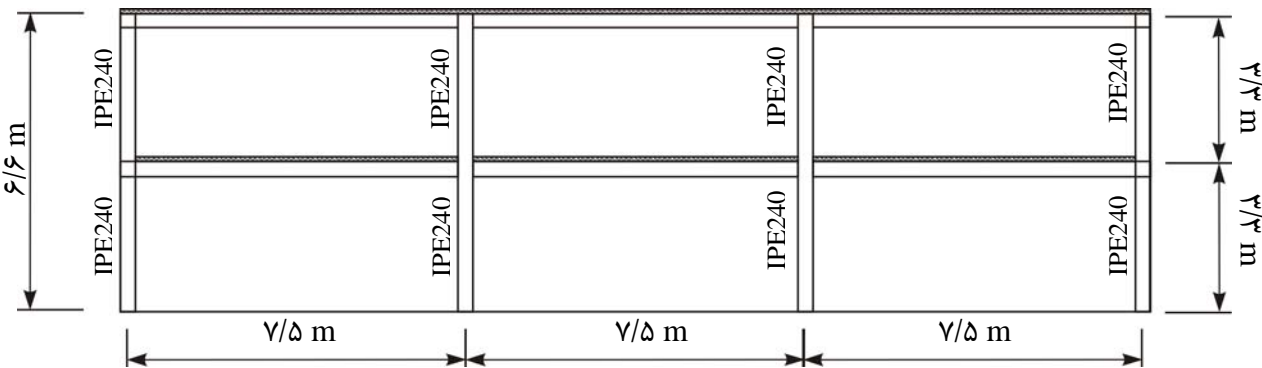
با توجه به کاربری ساختمان هدف از بهسازی ساختمان فوق، بهسازی ویژه می‌باشد. در بهسازی ویژه انتظار می‌رود که تحت زلزله سطح خطر ۲ استفاده بی‌وقفه تامین شده باشد.



شکل مثال ۴-۱-الف- پلان طبقه اول



شکل مثال ۴-۱-ب- پلان طبقه دوم (بام)



شکل مثال ۴-۱-پ- نمای ساختمان

**گام ۱: تعیین بارهای ثقلی****بار خطی وارد بر تیرهای سقف**

تیرها در امتداد محورهای ۱ و ۴ -

$$Q_D = 189 \text{ } \frac{\text{Kg}}{\text{m}}, Q_L = 100 \text{ } \frac{\text{Kg}}{\text{m}}$$

تیرها در امتداد محورهای ۲ و ۳ -

$$Q_D = 213 \text{ } \frac{\text{Kg}}{\text{m}}, Q_L = 200 \text{ } \frac{\text{Kg}}{\text{m}}$$

تیرها در امتداد محورهای A و D -

$$Q_D = 402 \text{ } \frac{\text{Kg}}{\text{m}}, Q_L = 300 \text{ } \frac{\text{Kg}}{\text{m}}$$

تیرها در امتداد محورهای B و C -

$$Q_D = 637.5 \text{ } \frac{\text{Kg}}{\text{m}}, Q_L = 600 \text{ } \frac{\text{Kg}}{\text{m}}$$

**بار خطی وارد بر تیرهای طبقه**

تیرها در امتداد محورهای ۱ و ۴ -

$$Q_D = 541.5 \text{ } \frac{\text{Kg}}{\text{m}}, Q_L = 315 \text{ } \frac{\text{Kg}}{\text{m}}$$

تیرها در امتداد محورهای ۲ و ۳ -

$$Q_D = 750 \text{ } \frac{\text{Kg}}{\text{m}}, Q_L = 625 \text{ } \frac{\text{Kg}}{\text{m}}$$

تیرها در امتداد محورهای A و D -

$$Q_D = 1290 \text{ } \frac{\text{Kg}}{\text{m}}, Q_L = 950 \text{ } \frac{\text{Kg}}{\text{m}}$$

- تیرها در امتداد محورهای C و B :

$$Q_D = 2250 \text{ } \frac{\text{Kg}}{\text{m}}, Q_L = 1875 \text{ } \frac{\text{Kg}}{\text{m}}$$

## گام ۲: انتخاب روش تحلیل سازه

برای انتخاب روش تحلیل سازه از ضوابط مندرج در نشریه ۳۶۰ تحت عنوان دستورالعمل بهسازی لرزاکی ساختمانهای موجود استفاده می‌گردد. این نشریه روش‌های زیر را برای تحلیل سازه‌ها قابل استفاده می‌داند:

۱. روش استاتیکی خطی
۲. روش دینامیکی خطی
۳. روش استاتیکی غیر خطی
۴. روش دینامیکی غیر خطی

همانطور که مشاهده می‌شود، روش‌های تحلیل به دو دسته کلی خطی و غیرخطی تقسیم می‌گردند. همچنین هر کدام از روش‌های خطی و غیرخطی به دو دسته استاتیکی و دینامیکی تقسیم می‌شوند. برای استفاده از روش‌های تحلیل خطی باید یکی از دو شرط ۱ یا ۲ ارائه شده در بند ۱-۳-۲ نشریه ۳۶۰ برقرار باشد. همچنین چنانچه شرایط ۳ تا ۷ نیز برقرار باشد، می‌توان از روش استاتیکی خطی استفاده کرد. این بندها در ادامه ارائه شده‌اند.

در ادامه بندهای ۳۶۰ فوق‌الذکر کنترل می‌گردد.

## - کنترل بند ۲:

طبق این بند چنانچه نسبت نیرو به ظرفیت حتی در یکی از اعضای اصلی بیشتر از ۲ باشد باید هر سه شرط زیر برقرار باشد:

۱. انقطاع در سیستم برابر جانبی در صفحه و خارج از صفحه وجود نداشته باشد.
۲. متوسط نسبت نیروی برشی به ظرفیت برشی اعضای هر طبقه بیش از ۲۵٪ با متوسط نسبت نیروی برشی به ظرفیت برشی یک طبقه بالاتر یا پایین‌تر از آن اختلاف نداشته باشد.
۳. نسبت نیرو به ظرفیت برای تلاش بحرانی در اثر پیچش در هر عضو از طبقه بیش از ۵۰٪ با عضو واقع شده در سمت مقابل آن نسبت به مرکز پیچش اختلاف نداشته باشد.

در ادامه موارد فوق بررسی می‌شوند:

## کنترل بند ۱-۲:

با توجه به جزئیات و نقشه‌های موجود و همچنین برداشت‌های انجام شده، هیچ گونه انقطاعی در سیستم برابر جانبی در راستای طولی و یا عرضی وجود ندارد. بنابراین این شرط برقرار می‌باشد.

**کنترل بند ۲:**

سازه مورد بررسی دارای دو طبقه می‌باشد و پس از بررسی ضریب DCR این شرط نیز برقرار است.

**کنترل بند ۳:**

با توجه به منظم بودن سازه در پلان، پیچش در سازه اتفاق نمی‌افتد و بنابراین مقدار تلاش‌های ایجاد شده در اعضا در اثر سازه بسیار ناچیز است.

بنابراین می‌توان از روش‌های تحلیل خطی استفاده کرد.

**- کنترل بند ۳:**

$$\alpha = 0.08 \rightarrow T = 0.08 \times (6.6)^{\frac{3}{4}} = 0.33 \text{ sec}$$

$$\text{III زمین تیپ} \Rightarrow T_s = 0.7 \text{ sec}$$

بنابراین :

$$T = 0.33 \text{ sec} < 3.5T_s = 3.5 \times 0.7$$

$$T = 0.33 \text{ sec} < 2.45 \text{ sec } O.K.$$

همچنین سازه دارای دو طبقه با مساحت‌های برابر می‌باشد، بنابراین کلیه شرایط این بند برقرار است.

**- کنترل بند ۴:**

مطابق محاسبات، این بند نیز برقرار می‌باشد.

**- کنترل بند ۵:**

مطابق محاسبات، این بند نیز برقرار می‌باشد.

**- کنترل بند ۶:**

مطابق محاسبات، این بند نیز برقرار می‌باشد.

**- کنترل بند ۷:**

سیستم باربر جانبی سازه در راستای طولی و عرضی قاب خمی فولادی می‌باشد. بنابراین سازه دارای سیستم باربر جانبی متعامد بوده و این شرط نیز برقرار است.

بنابراین با توجه به برقرار بودن موارد فوق می‌توان از روش استاتیکی خطی استفاده کرد.

### گام ۳: محاسبه برش پایه با استفاده از نظریه ۳۶۰

جهت محاسبه نیروی جانبی ناشی از زلزله از رابطه زیر که در فصل سوم دستورالعمل بهسازی لرزه‌ای ارائه شده است، استفاده می‌گردد.

$$V = C_1 \times C_2 \times C_3 \times C_m \times S_a \times W$$

که در آن:

$W$ : وزن کل ساختمان شامل وزن مرده ساختمان و درصدی از سربار زنده مطابق بخش (۲-۲) استاندارد ۲۸۰۰ ایران می‌باشد.

$S_a$ : شتاب طیفی بازای زمان تناوب اصلی  $T$  است که براساس بخش (۱-۶) دستورالعمل تعیین می‌شود.

- محاسبه  $S_a$ :

$$T = \alpha \cdot H^{(3/4)}$$

$H$ : ارتفاع سازه

$\alpha$ : ضریبی است که براساس نوع سیستم سازه‌ای ساختمان تعیین می‌گردد.

نوع سیستم سازه‌ای در دو جهت طولی و عرضی سازه قاب خمشی فولادی می‌باشد، بنابراین:

$$\alpha = 0.08 \rightarrow T = 0.08 \times (6.6)^{(3/4)} = 0.33 \text{ sec}$$

از آنجا که مقدار  $A$  در سطح خطر ۲ مشخص نمی‌باشد و آین نامه‌های معتبر مقدار شتاب طیفی سطح خطر ۲ را حداقل  $1/5$  برابر سطح خطر ۱ می‌دانند لذا برای محاسبه شتاب طیفی مقدار  $A$  محاسبه شده از آین نامه ۲۸۰۰ را  $1/5$  برابر می‌نماییم.

$$\text{سطح خطر ۲} \quad T = 0.33 \xrightarrow{2800} S_a = A \times B = 1.5 \times 0.35 \times 2.75 = 1.44$$

- محاسبه  $C_1$ :

$$C_1 = 1 + \frac{T_s - T}{2T_s - 0.2}$$

$$(III) \rightarrow T_s = 0.7$$

بنابراین:

$$C_1 = 1 + \frac{0.7 - 0.33}{2 \times 0.7 - 0.2} = 1.31$$

- محاسبه  $C_2$ :

با توجه به انجام تحلیل خطی (تحلیل اولیه) مقدار آن برابر ۱ فرض می‌گردد.

- محاسبه  $C_3$ :

به عنوان فرض اولیه مقدار  $C_3$  برابر یک فرض می‌شود.

- محاسبه  $C_m$ :

جهت طولی و عرضی قاب خمی فولادی  $\rightarrow C_m = 1$

$$V_x = C_1 \times C_2 \times C_3 \times C_m \times S_a \times W_E \rightarrow V = 1.31 \times 1 \times 1 \times 1 \times 1.44 \times W$$

$$V_y = C_1 \times C_2 \times C_3 \times C_m \times S_a \times W_E \rightarrow V = 1.31 \times 1 \times 1 \times 1 \times 1.44 \times W$$

$$V_x = 1.89W$$

$$V_y = 1.89W$$

$$W_E = 80.1 \text{ ton}$$

$$W_E = 142.3 \text{ ton}$$

$$W_T = 80.1 + 142.3 = 222.4 \text{ ton}$$

مقدار برش پایه

$$V_x = 1.89W_E$$

$$V_x = 1.89 \times 222.4$$

$$V_x = 420.34 \text{ ton}$$

$$V_y = 420.34 \text{ ton}$$

#### گام ۴: توزیع برش پایه برای زلزله سطح خطر ۲

| تراز  | $W_i$ | $H_i$ | $WiHi$ | $\frac{W_i H_i^K}{\sum WiH_i^K}$ | $F_x = V_x \times \frac{W_i H_i^K}{\sum WiH_i^K}$ | $F_y = V_y \times \frac{W_i H_i^K}{\sum WiH_i^K}$ |
|-------|-------|-------|--------|----------------------------------|---|---|
|       | ton   | m     |        |                                  | ton   | ton   |
| بام   | ۸۰/۱  | ۶/۶   | ۵۲۸/۷  | ۰/۵۳                             | ۲۲۲/۷۸  | ۲۲۲/۷۸  |
| طبقه  | ۱۴۲/۳ | ۳/۳   | ۴۶۹/۶  | ۰/۴۷                             | ۱۹۷/۵۶  | ۱۹۷/۵۶  |
| مجموع | ۲۲۲/۴ |       | ۹۹۸/۳  | ۱/۰۰                             | ۴۲۰/۳۴  | ۴۲۰/۳۴  |

از آنجا که زمان تناوب سازه زیر ۵/۰ ثانیه می‌باشد مقدار  $k$  برابر یک درنظر گرفته شده است.

#### گام ۵: ترکیبات بارگذاری بر اساس دستورالعمل بهسازی

مطابق بند ۳-۲-۷ نشریه ۳۶۰ چنانچه یکی از دو شرط زیر صادق باشند باید اثر همزمانی مولفه‌های زلزله در نظر گرفته شود.

۱. ساختمان در پلان نامنظم باشد.

۲. ساختمان دارای یک یا چند ستون مشترک بین دو یا چند سیستم بار جانبی در جهات مختلف باشد.

برای در نظر گرفتن اثر همزمانی در روش‌های تحلیل خطی باید اثر زلزله در هر جهت با  $30\%$  اثر زلزله در امتداد عمود بر آن در نظر گرفته شود. با توجه به اینکه شرط دوم در قرار است این موضوع در ترکیب بارهای معرفی شده به نرم افزار لحاظ می‌گردد.

### ترکیبات بارگذاری برای اعضای کنترل شونده توسط تغییر شکل

$$Q_{uD1} = 1.1(Q_D + Q_L) + Q_{EX} + 0.3Q_{EY}$$

$$Q_{uD9} = 0.9Q_D + Q_{EX} + 0.3Q_{EY}$$

$$Q_{uD2} = 1.1(Q_D + Q_L) + Q_{EX} - 0.3Q_{EY}$$

$$Q_{uD10} = 0.9Q_D + Q_{EX} - 0.3Q_{EY}$$

$$Q_{uD3} = 1.1(Q_D + Q_L) - Q_{EX} + 0.3Q_{EY}$$

$$Q_{uD11} = 0.9Q_D - Q_{EX} + 0.3Q_{EY}$$

$$Q_{uD4} = 1.1(Q_D + Q_L) - Q_{EX} - 0.3Q_{EY}$$

$$Q_{uD12} = 0.9Q_D - Q_{EX} - 0.3Q_{EY}$$

$$Q_{uD5} = 1.1(Q_D + Q_L) + Q_{EY} + 0.3Q_{EX}$$

$$Q_{uD13} = 0.9Q_D + Q_{EY} + 0.3Q_{EX}$$

$$Q_{uD6} = 1.1(Q_D + Q_L) + Q_{EY} - 0.3Q_{EX}$$

$$Q_{uD14} = 0.9Q_D + Q_{EY} - 0.3Q_{EX}$$

$$Q_{uD7} = 1.1(Q_D + Q_L) - Q_{EY} + 0.3Q_{EX}$$

$$Q_{uD15} = 0.9Q_D - Q_{EY} + 0.3Q_{EX}$$

$$Q_{uD8} = 1.1(Q_D + Q_L) - Q_{EY} - 0.3Q_{EX}$$

$$Q_{uD16} = 0.9Q_D - Q_{EY} - 0.3Q_{EX}$$

### ترکیبات بارگذاری برای اعضای کنترل شونده توسط نیرو

$$Q_{UF} = Q_G \pm \frac{Q_E}{C_1.C_2.C_3.J}$$

$$C_1 = 1.31$$

$$C_2 = 1$$

$$C_3 = 1$$

با توجه به اینکه محل احداث پروژه دارای خطر نسبی زیادی می‌باشد مقدار  $J=2$  (چون DCR سازه چک شده است) است.  
بنابراین:

$$Q_{UFX} = Q_G \pm 0.38Q_E$$

$$Q_{UFY} = Q_G \pm 0.38Q_E$$

ترکیب بارهای معرفی شده به نرم افزار مطابق زیر می‌باشد:

## جهت X -

$$\begin{aligned} Q_{UFX\ 1} &= 1.1(Q_D + Q_L) + 0.38Q_{EX} + 0.11Q_{EY} \\ Q_{UFX\ 2} &= 1.1(Q_D + Q_L) + 0.38Q_{EX} - 0.11Q_{EY} \\ Q_{UFX\ 3} &= 1.1(Q_D + Q_L) - 0.38Q_{EX} + 0.11Q_{EY} \\ Q_{UFX\ 4} &= 1.1(Q_D + Q_L) - 0.38Q_{EX} - 0.11Q_{EY} \\ Q_{UFX\ 5} &= 0.9Q_D + 0.38Q_{EX} + 0.11Q_{EY} \\ Q_{UFX\ 6} &= 0.9Q_D + 0.38Q_{EX} - 0.11Q_{EY} \\ Q_{UFX\ 7} &= 0.9Q_D - 0.38Q_{EX} + 0.11Q_{EY} \\ Q_{UFX\ 8} &= 0.9Q_D - 0.38Q_{EX} - 0.11Q_{EY} \end{aligned}$$

## جهت Y -

$$\begin{aligned} Q_{UFY\ 9} &= 1.1(Q_D + Q_L) + 0.38Q_{EY} + 0.11Q_{EX} \\ Q_{UFY\ 10} &= 1.1(Q_D + Q_L) + 0.38Q_{EY} - 0.11Q_{EX} \\ Q_{UFY\ 11} &= 1.1(Q_D + Q_L) - 0.38Q_{EY} + 0.11Q_{EX} \\ Q_{UFY\ 12} &= 1.1(Q_D + Q_L) - 0.38Q_{EY} - 0.11Q_{EX} \\ Q_{UFY\ 13} &= 0.9Q_D + 0.38Q_{EY} + 0.11Q_{EX} \\ Q_{UFY\ 14} &= 0.9Q_D + 0.38Q_{EY} - 0.11Q_{EX} \\ Q_{UFY\ 15} &= 0.9Q_D - 0.38Q_{EY} + 0.11Q_{EX} \\ Q_{UFY\ 16} &= 0.9Q_D - 0.38Q_{EY} - 0.11Q_{EX} \end{aligned}$$

**گام ۶: مدلسازی**

طبق بند (۱-۲-۳) دستورالعمل بهسازی، سازه باید به صورت سه بعدی مدلسازی شود، در موارد ذکر شده در این بند برای تحلیل‌های غیرخطی می‌توان از مدل دو بعدی نیز استفاده کرد. در صورتیکه سازه دارای دیافراگم صلب، مطابق با تعریف بند (۴-۲-۳) دستورالعمل بهسازی باشد و اثرات پیچش در سازه مطابق بند (۳-۲-۳) دستورالعمل ملحوظ شده باشد، می‌توان از مدلسازی دو بعدی در تحلیل‌های غیرخطی نیز استفاده کرد. در مدلسازی، سختی اعضای سازه‌ای باید بر حسب نوع مصالح، مطابق فصل ۵ یا ۶ دستورالعمل بهسازی برآورد شود.

اعضای اصلی باید برای نیروها و تغییر شکل‌های ناشی از زلزله در ترکیب با بارثقلی و اعضای غیر اصلی باید برای تغییر شکل‌های ناشی از زلزله در ترکیب با آثار ثقلی ارزیابی شوند. در تحلیل‌های خطی، فقط سختی و مقاومت اعضای اصلی منظور می‌شود. چنانچه جمع سختی جانبی اعضای غیراصلی از ۲۵٪ جمع سختی جانبی اعضای اصلی ساختمان تجاوز نماید، باید تعدادی از آنها را جزء اعضای اصلی محسوب نمود تا آنجا که این نسبت کمتر از ۲۵٪ شود. هرگاه جمع سختی جانبی اجزای غیرسازه‌ای بیشتر از ۱۰٪ سختی جانبی کل در هر طبقه باشد باید اثر آن‌ها نیز در مدل سازه در نظر گرفته شود.

چنانچه حذف برخی از اعضای غیراصلی از مدل سبب کاهش نیرو یا تغییر شکل در اعضای اصلی سازه شود، باید آن اعضا به مدل اضافه گردد. همچنین دسته‌بندی اعضای سازه به عنوان اعضای اصلی و غیراصلی باید به گونه‌ای انجام شود که ساختمان نامنظم به منظم تبدیل شود.

تحلیل‌های غیر خطی نشریه ۳۶۰ دو روش غیر خطی کامل و غیر خطی ساده شده را به رسمیت می‌شناسد. در روش غیرخطی کامل سختی و مقاومت هر دو گروه اعضای اصلی و غیر اصلی و همچنین تغییرات مقاومت و سختی این اعضاء در اثر کاهندگی باید در مدلسازی وارد گردد. اما در روش غیر خطی ساده فقط اعضای اصلی مدل شده و از اثر کاهندگی صرف نظر می‌شود. در روش‌های غیرخطی نیز دسته‌بندی اعضای سازه به عنوان اعضای اصلی و غیراصلی نباید به گونه‌ای انجام شود که ساختمان نامنظم به منظم تبدیل شود.

#### گام ۷: معیارهای پذیرش

با توجه به استفاده از روش تحلیل استاتیکی خطی، معیارهای پذیرش برای اعضا مطابق بند ۴-۵-۲-۴ نشریه ۳۶۰ می‌باشد.

#### گام ۸: کنترل معیارهای پذیرش

| قطع           | $\frac{b}{2t_f}$ | $\frac{h}{t_w}$ |
|---------------|------------------|-----------------|
| <b>IPE240</b> | 6.12             | 38.7            |
| <b>IPE270</b> | 6.62             | 40.9            |
| <b>IPE300</b> | 7                | 42.25           |
| <b>IPE330</b> | 6.96             | 44              |
| <b>IPE360</b> | 6.9              | 45              |
| <b>IPE400</b> | 6.68             | 46.51           |

$$F_{ye} = 1.1 \times 2400 = 2640 \text{ kg/cm}^2$$

$$\frac{b}{2t_f} \leq \frac{420}{\sqrt{F_{ye}}} = \frac{420}{\sqrt{2640}} = 8.17$$

$$\frac{h}{t_w} \leq \frac{3185}{\sqrt{F_{ye}}} = \frac{3185}{\sqrt{2640}} = 62$$

با توجه به اینکه  $\frac{h}{t_w} \leq \frac{3185}{\sqrt{F_{ye}}}$  و  $\frac{b}{2t_f} \leq \frac{420}{\sqrt{F_{ye}}}$  طبق جدول ۲-۵ نشریه ۳۶۰ مقدار m برای سطح عملکرد استفاده بی‌وقفه برابر ۲ در

نظر گرفته می‌شود.

#### ۱- کنترل معیار پذیرش برای تیر

IPE 300

$$A = 53.8 \text{ cm}^2$$

$$I_{3-3} = 8356 \text{ cm}^4$$

$$I_{2-2} = 604 \text{ cm}^4$$

$$S_{3-3} = 557 \text{ cm}^3$$

$$S_{2-2} = 81 \text{ cm}^3$$

$$Z_{3-3} = 628 \text{ cm}^3$$

$$Z_{2-2} = 125 \text{ cm}^3$$

$$r_{3-3} = 12.5 \text{ cm}$$

$$r_{2-2} = 3.35 \text{ cm}$$

از آنجا که تیر در بن دال مهار شده لذا تیر دارای اتكای جانبی می‌باشد.

$$\left\{ \begin{array}{l} b/t_f = \frac{7.5}{1.07} = 7 < \frac{545}{\sqrt{F_y}} = \frac{545}{\sqrt{2400}} = 11.12 \\ h/t = \frac{30}{0.71} = 42.25 < \frac{5365}{\sqrt{F_y}} = \frac{5365}{\sqrt{2400}} = 109.5 \end{array} \right\} \text{قطع تیر فشرده است}$$

با توجه به اینکه عضو فشرده و دارای اتكای جانبی می‌باشد لذا:

$$M_{CE} = Z \cdot F_{ye}$$

$$F_{ye} = 1.1F_y = 1.1 \times 2400 = 2640 \text{ kg/cm}^2$$

$$\rightarrow M_{CEY} = Z \cdot F_{ye} = 628 \times 2640 \times 10^{-5} = 16.58 \text{ ton.m}$$

$$\rightarrow M_{CEX} = Z \cdot F_{ye} = 125 \times 2640 \times 10^{-5} = 3.3 \text{ ton.m}$$

### - کنترل معیار پذیرش:

$$\frac{P_{UF}}{P_{CL}} = 0 < 0.15$$

بنابراین معادله اندرکنش بصورت زیر کنترل می‌شود:

$$\frac{P_{UF}}{kP_{CL}} + \frac{M_{UDx}}{m_x k M_{CEx}} + \frac{M_{UDy}}{m_y k M_{CEy}} \leq 1.0$$

$$P_{UF} = 0, \quad M_{UDx} = 0.0t.m, \quad M_{UDy} = 46.1t.m \rightarrow$$

از تحلیل‌های انجام شده محاسبه می‌گردد

$$\frac{P_{UF}}{kP_{CL}} + \frac{M_{UDx}}{m_x k M_{CEx}} + \frac{M_{UDy}}{m_y k M_{CEy}} \leq 1.0$$

$$\frac{46.1 \times 10^5}{2 \times 0.75 \times 16.58 \times 10^5} = 1.85 > 1 \rightarrow N.G$$

با توجه به محاسبات انجام شده تیرها از کفایت لازم در برابر تلاش‌های داخلی برای بار زلزله سطح خطر ۲ برخوردار نمی‌باشند.

### ۲- کنترل معیار پذیرش برای ستون

IPB 240

$$A = 106 \text{ cm}^2$$

$$I_{3-3} = 11260 \text{ cm}^4$$

$$I_{2-2} = 3923 \text{ cm}^4$$

$$S_{3-3} = 938 \text{ cm}^3$$

$$S_{2-2} = 327 \text{ cm}^3$$

$$Z_{3-3} = 1053 \text{ cm}^3$$

$$Z_{2-2} = 498 \text{ cm}^3$$

$$r_{3-3} = 10.3 \text{ cm}$$

$$r_{2-2} = 6.08 \text{ cm}$$

$$F_{ye} = 1.1 \times F_y = 1.1 \times 2400 = 2640 \text{ kg/cm}^2$$

### ۱. محاسبه ظرفیت محوری

با توجه به گیردار بودن قاب و بر اساس محاسبات پس از بهسازی مقدار  $k$  برابر ۲ می‌باشد. مقدار  $L$  برابر  $\frac{3}{3}$  متر می‌باشد.

$$\lambda_{22} = \frac{kL}{r_{22}} = \frac{2.0 \times 330}{6.08} = 108.6$$

$$\lambda_{33} = \frac{kL}{r_{33}} = \frac{2.0 \times 330}{10.3} = 64.1$$

$$\lambda = 108.6 \rightarrow F_y = 2400 \text{ kg/cm}^2 \rightarrow F_a = 830 \text{ kg/cm}^2 \rightarrow$$

بنابراین:

$$P_{CL} = 1.7 \times A \times F_a = 1.7 \times 106 \times 830 \times 10^{-3} = 149.6 \text{ ton}$$

### ۲. محاسبه ظرفیت خمی

$$l_b = 350 \text{ cm}$$

$$l_c = \frac{635b_f}{\sqrt{F_y}} = \frac{635 \times 24}{\sqrt{2400}} = 311 \text{ cm}$$

$$l_c = \frac{14 \times 10^5}{\left(\frac{d}{A_f}\right) 2400} = \frac{14 \times 10^5}{\left(\frac{24}{24 \times 1.7}\right) 2400} = 992 \text{ cm}$$

ستون اتكای جانبی ندارد  $\Rightarrow l_b > l_c$

با توجه به اینکه ستون اتكای جانبی ندارد و فشرده می‌باشد داریم:

$$\sqrt{\frac{72 \times 10^5 C_b}{F_y}} \leq \frac{L}{r_T} \leq \sqrt{\frac{360 \times 10^5 C_b}{F_y}}$$

$$F_b = \left[ \frac{2}{3} - \frac{F_y \left( \frac{L}{r_T} \right)^2}{1075 \times 10^5 C_b} \right] F_y$$

$$F_b = 969 \text{ kg/cm}^2$$

$$M_{CE} = \frac{5}{3} \times S \times F_b$$

$$\rightarrow M_{CEY} = \frac{5}{3} \times S_{3-3} \times F_b = \frac{5}{3} \times 938 \times 969 \times 10^{-5} = 15.15 T.m$$

$$\rightarrow M_{CEx} = \frac{5}{3} \times S_{2-2} \times F_b = \frac{5}{3} \times 327 \times 969 \times 10^{-5} = 5.28 T.m$$

$$\lambda = 64.1 \rightarrow F_e = 4898 kg/cm^2 \rightarrow P_{ey} = \frac{12}{23} F_e A \rightarrow P_{ey} = 270880.7 kg$$

$$\lambda = 108.6 \rightarrow F_e = 1706.38 kg/cm^2 \rightarrow P_{ex} = \frac{12}{23} F_e A \rightarrow P_{ex} = 94370.23 kg$$

### ۳. کنترل معیار پذیرش

کنترل ستون در محل اتصال به تیر

$$\frac{P_{UF}}{P_{CL}} = \frac{63}{149.6} = 0.42 \rightarrow 0.15 < \frac{P_{UF}}{P_{CL}} \leq 0.5$$

بنابراین معادله اندرکنش بصورت زیر کنترل می‌شود:

$$\frac{P_{UF}}{kP_{CL}} + \frac{C_{mx} M_{UDx}}{m_x \kappa \left[ 1 - \frac{P_{UF}}{kP_{ex}} \right] M_{CEx}} + \frac{C_{my} M_{UDy}}{m_y \kappa \left[ 1 - \frac{P_{UF}}{kP_{ey}} \right] M_{CEy}} \leq 1$$

$$\frac{P_{UF}}{\kappa A F_{yLB}} + 0.85 \left[ \frac{M_{UDx}}{m_x \kappa M_{PCEx}} + \frac{M_{UDy}}{m_y \kappa M_{PCEy}} \right] \leq 1.0 ; M_{UDx} \leq m_x \kappa M_{PCEx} ; M_{UDy} \leq m_y \kappa M_{PCEy}$$

با توجه به هدف بهسازی (ویژه) و سطح اطلاعات (متعارف) میزان ضریب آگاهی مطابق جدول (۱-۲)،  $\kappa = 0.75$  می‌باشد. همچنین مطابق جدول ۲-۵ نشریه ۳۶۰ مقدار  $m$  برابر ۲ است.

$$P_{UF} = 63 ton , M_{UDx} = 26.4 t.m , M_{UDy} = 25.5 t.m \rightarrow$$

از تحلیل‌های انجام شده محاسبه می‌گردد

$$\frac{63 \times 10^3}{0.75 \times 149.6 \times 10^3} + \frac{0.85 \times 26.4 \times 10^5}{2 \times 0.75 \times \left[ 1 - \frac{63 \times 10^3}{0.75 \times 94370.23} \right] \times 5.28 \times 10^5} + \frac{0.85 \times 25.5 \times 10^5}{2 \times 0.75 \times \left[ 1 - \frac{63 \times 10^3}{0.75 \times 270880.7} \right] \times 15.15 \times 10^5}$$

$$0.56 + 25.78 + 1.38 = 27.72 >> 1$$

بنابراین کلیه ستون‌های طبقه اول کفايت لازم در برابر تلاش‌های حاصل از آنالیز برای زلزله سطح خطر ۲ را ندارد.

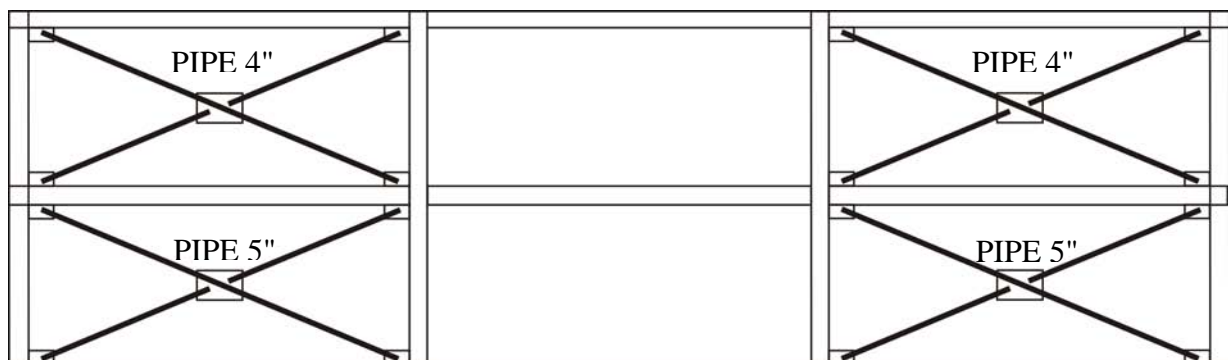
#### گام ۹: نتیجه‌گیری

- با توجه به ارزیابی‌های انجام شده بر روی سازه و با توجه به سطح عملکردهای مورد انتظار می‌توان گفت سازه مناسب نیست و نیاز به بهسازی دارد.

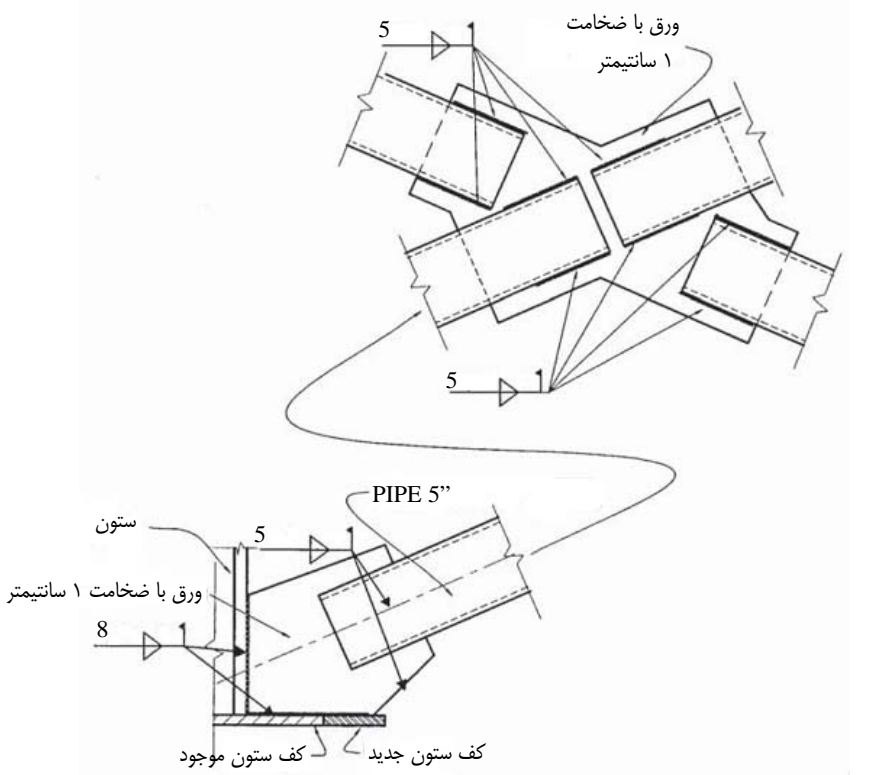
#### گام ۱۰: روش بهسازی

اضافه نمودن مهاربند اساساً منجر به افزایش مقاومت و سختی سازه می‌گردد. در این سازه از مهاربندهای همگرا استفاده می‌شود. مبنای طراحی مهاربند نیز مبحث ۱۰ مقررات ملی ساختمان می‌باشد به طوری که کلیه موارد طراحی لرزاها بر اساس فصل ۳-۱۰ مبحث ۱۰ مقررات ملی ساختمان در طراحی مهاربندها رعایت شده است.

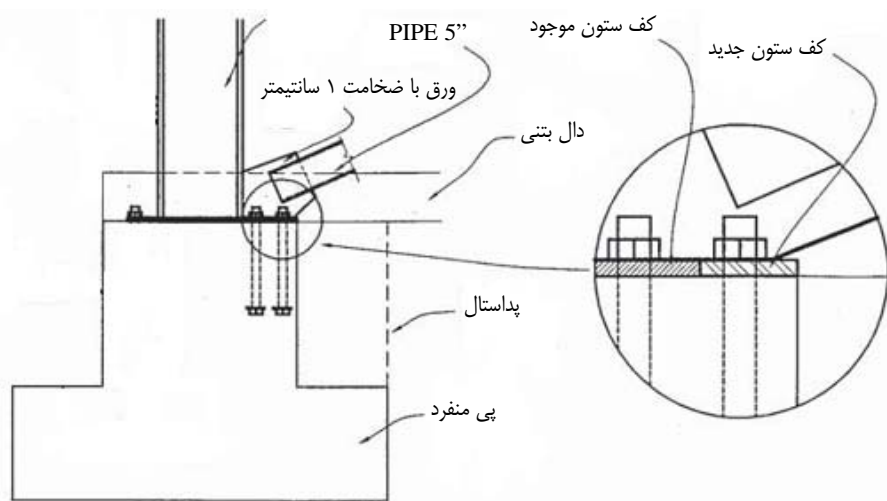
جزئیات اجرایی مطابق اشکال زیر می‌باشد. در طبقه فوقانی از "PIPE4" و در طبقه تحتانی از "PIPE5" در مهاربندها استفاده می‌گردد.

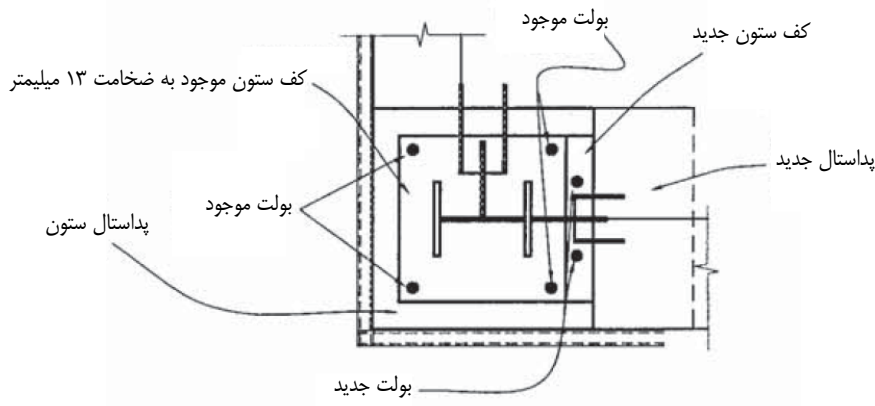


شکل مثال ۴-۱-ت-آرایش مهاربندهای نشان داده شده در هر چهار طرف سازه می‌باشد



شکل مثال ۱-۴-ث





شکل مثال ۱-۴-ج

### گام ۱۱: تحلیل سازه بهسازی شده

پس از مقاومت‌سازی سازه با استفاده از مهاربندهای همگرا، سازه تحت تحلیل بار افزودن (تحلیل استاتیکی غیرخطی) مورد بررسی قرار می‌گیرد. بدین ترتیب که سازه را تا رسیدن به تعییر مکان هدف تحت تعییر مکان جانبی قرار می‌دهند.

#### الگوی بارگذاری ۱

در اولین الگوی بارگذاری، مقدار بار جانبی هر طبقه به وزن آن طبقه بستگی دارد.

وزن بام  $80/1$  تن،

وزن طبقه  $142/3$  تن،

وزن کل سازه برابر  $222/4$  تن می‌باشد.

$$\text{نسبت نیروی جانبی در تراز بام} = \frac{80/1}{222/4} = 0/36$$

$$\text{نسبت نیروی جانبی در تراز طبقه} = \frac{142/3}{222/4} = 0/64$$

#### الگوی بارگذاری ۲

در دومین الگوی بارگذاری، مقدار بار هر طبقه با توجه به نسبت رابطه زیر محاسبه می‌گردد.

$$C_{VX} = \frac{w_x h_x^k}{\sum w_i h_i^k}$$

| تراز | وزن(تن) | ارتفاع(متر) | $w_x h_x^k$ | $C_{VX}$ |
|------|---------|-------------|-------------|----------|
| بام  | ۸۰/۱    | ۶/۶         | ۵۲۸/۷       | ۰/۵۳     |
| طبقه | ۱۴۲/۳   | ۳/۳         | ۴۶۹/۶       | ۰/۴۷     |

$$\text{نسبت نیروی جانبی در تراز طبقه} = ۰/۴۷$$

$$\text{نسبت نیروی جانبی در تراز بام} = ۰/۵۳$$

### محاسبه زمان تناوب اصلی مؤثر

زمان تناوب اصلی مؤثر  $T_e$  در امتداد مورد بررسی بر اساس مدل رفتاری برابر است با:

$$T_e = T_i \sqrt{\frac{k_i}{k_e}}$$

که در آن  $T_i$  زمان تناوب ساختمان با فرض رفتار خطی است و  $k_i$  سختی جانبی ارتعاعی می‌باشد.

### بار ثقلی مؤثر

$$Q_G = 1.1(Q_D + Q_L)$$

### مدل‌سازی

از نرم‌افزار Sap2000 به منظور تحلیل استاتیکی غیرخطی بار افزودن استفاده شده است. با تعریف مفاصل پلاستیک از پیش تعیین شده عملکرد غیرخطی سازه مدل می‌گردد. خصوصیات مفاصل با توجه به نشریه ۳۶۰ دستورالعمل بهسازی تعریف می‌شود.

### مفصل محوری مهاربند "PIPE5"

#### برای فشاری

$$F_{ye} = 1.1F_y = 1.1 \times 2400 = 2640 \text{ kg/cm}^2$$

PIPE5"

$$A = 27 \text{ cm}^2$$

$$r = 4.7 \text{ cm}$$

قطر خارجی لوله = 13.9 cm

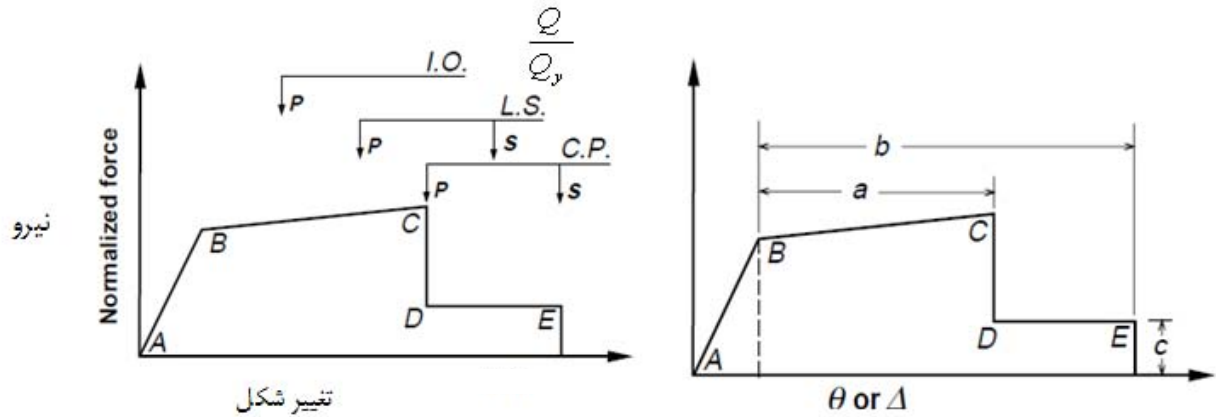
ضخامت جداره لوله = 0.65 cm

$$\frac{d}{t} = \frac{13.9}{0.65} = 21.4$$

$$\frac{d}{t} < \frac{105 \times 10^3}{\sqrt{F_y}} \Rightarrow 21.4 < 2143$$

$$a = 0.5\Delta_c, b = 9\Delta_c, c = 0.4,$$

$$IO = 0.25\Delta_c, LS = 4\Delta_c, CP = 6\Delta_c$$



شکل مثال ۴-۱-ج

پارامترهای  $Q$  و  $Q_y$  به ترتیب عبارتند از نیروی تعیین یافته و مقاومت نظیر اولین تسلیم در عضو می‌باشند. در تیرها و ستون‌ها  $\theta$  عبارت است از کل چرخش ارتجاعی و خمیری تیر یا ستون،  $\theta_y$  چرخش حد تسلیم،  $\Delta$  کل تغییرمکان ارتجاعی و خمیری و  $\Delta_y$  تغییرمکان حد تسلیم می‌باشد.  $a$ ،  $b$  و  $c$  پارامترهای مورد استفاده برای اندازه‌گیری تغییرشکل در منحنی نیرو-تغییرشکل اجزا می‌باشد که از جداول ۳-۵ و ۴-۵ نسخه ۳۶۰ محاسبه می‌شوند.

معیارهای پذیرش روش استاتیکی خطی مطابق ضوابط بخش ۴-۳-۵ نسخه ۳۶۰ می‌باشد.

$$P_{CE} = 1.7F_{as}A$$

$$\lambda = \frac{KL}{r}, K = 1, L = 4.1, r = 4.7\text{ cm}$$

$$\lambda = \frac{410}{4.7} = 87.2$$

$$C_c = \frac{6440}{\sqrt{2400}} = 131.5$$

$$\Rightarrow \lambda < C_c$$

$$\lambda = 87.2 \Rightarrow F_a = 995 \text{ kg/cm}^2$$

$$P_{CE} = Q_{CE} = 1.7 \times 995 \times 27 = 45671 \text{ kg}$$

$$\Delta c = \frac{P_{CE} \cdot L}{E \cdot A} = \frac{45671 \times 820}{2.1 \times 10^6 \times 27} = 0.66 \text{ cm} = 6.6 \text{ mm}$$

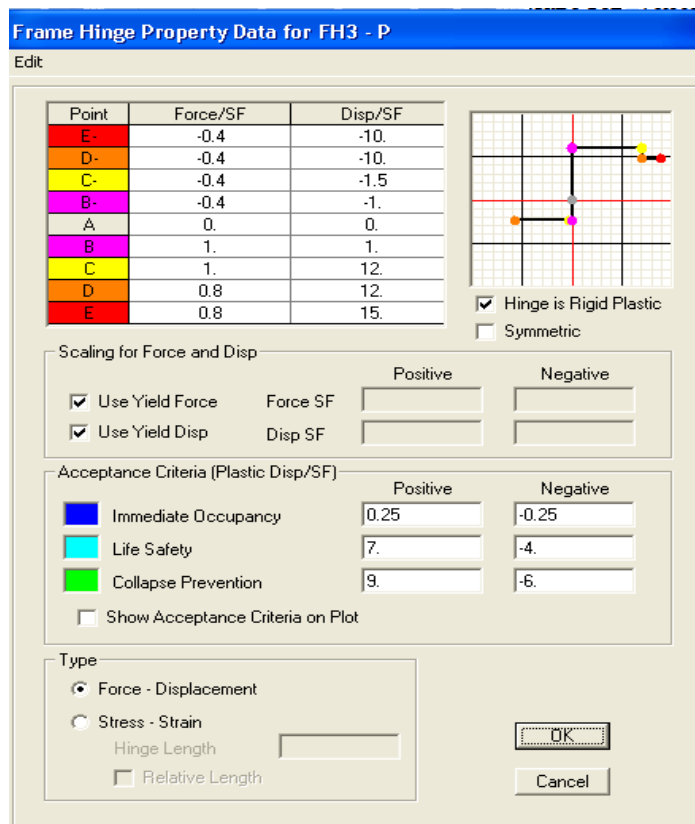
### برای کشش

$$\text{نیرو کششی} = A \times F_{ye} = 27 \times 2640 = 71280 \text{ kg}$$

$$\Delta_T = \frac{T \cdot L}{E \cdot A} = \frac{21280 \times 820}{2.1 \times 10^6 \times 27} = 1.03 \text{ cm}$$

$$a = 11\Delta_T, b = 14\Delta_T, c = 0.8,$$

$$IO = 0.25\Delta_T, LS = 7\Delta_T, CP = 9\Delta_T$$



شکل مثال ۱-۴-ح

**مفصل پلاستیک تیر**

محاسبات مفصل پلاستیک برای یکی از تیرها نشان داده شده است:

$$F_{ye} = 1.1 \times F_y = 1.1 \times 2400 = 2640 \text{ kg/cm}^2$$

**برای تیر IPE330**

$$Z = 804 \text{ cm}^3, \ell_b = 7.5 \text{ m}, I_b = 11770 \text{ cm}^4$$

$$Q_{CE} = ZF_{ye}$$

$$Q_{CE} = 804 \times 2640 = 21.23 \text{ ton.m}$$

$$\frac{b}{2t_f} = 6.96 \leq \frac{420}{\sqrt{F_{ye}}} = 8.17$$

$$\frac{h}{t_w} = 44 \leq \frac{3185}{\sqrt{F_{ye}}} = 62$$

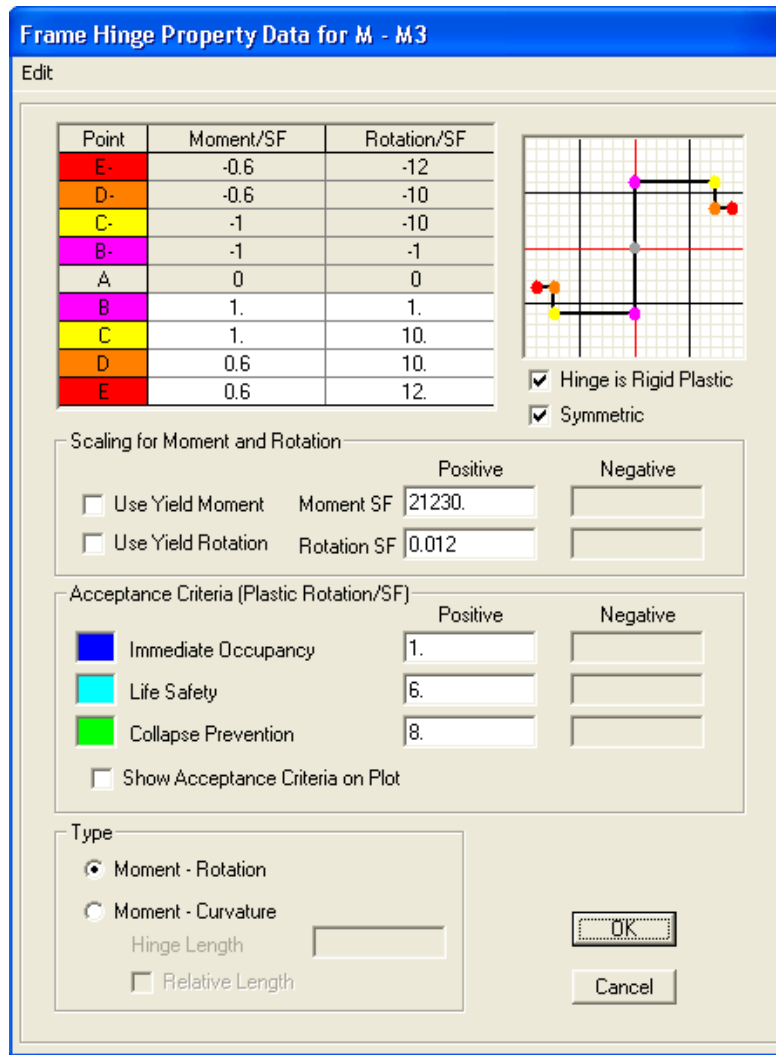
$$a = 9\theta_y, b = 11\theta_y, c = 0.6$$

$$IO = \theta_y$$

$$LS = 6\theta_y$$

$$CP = 8\theta_y$$

$$\theta_y = \frac{ZF_{ye} \ell_b}{6EI_b} = \frac{804 \times 2640 \times 840}{6 \times 2.1 \times 10^6 \times 11770} = 0.012 \text{ Rad}$$



شکل مثال ۱-۴-خ

محاسبه مفصل پلاستیک ستون

IPB 240

$$Z_{3-3} = 1053 \text{ cm}^3, Z_{2-2} = 498 \text{ cm}^3, A = 106 \text{ cm}^2$$

$$Q_{CE} = M_{CE} = 1.18 ZF_{ye} \left(1 - \frac{P}{P_{ye}}\right) \leq ZF_{ye}$$

$$F_{ye} = 1.1F_y = 2640 \text{ kg/cm}^2$$

$$P_{ye} = A F_{ye} = 106 \times 2640 \times 10^{-3} = 279.8 \text{ ton}$$

$$p = 41 \text{ ton}$$

$$\text{ZF}_{ye} = 1053 \times 2640 \times 10^{-5} = 27.8 \text{ ton.m}$$

$$\text{ZF}_{ye} = 498 \times 2640 \times 10^{-5} = 13.15 \text{ ton.m}$$

$$\frac{P}{P_{ye}} = \frac{41}{279.8} = 0.147 \leq 0.15$$

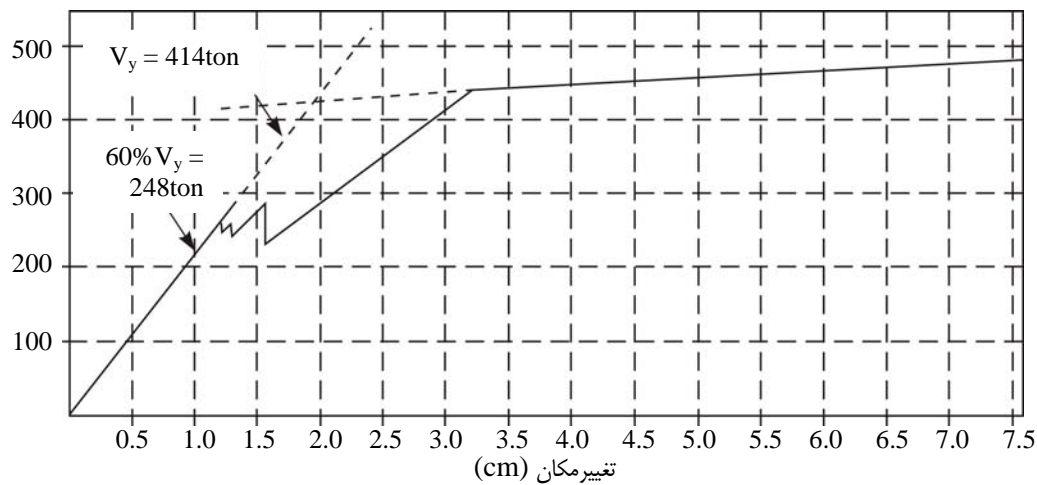
$$\theta_y = \frac{Z F_{ye} \ell_c}{6 E I_c} \left(1 - \frac{P}{P_{ye}}\right)$$

$$\theta_y = \frac{27.8 \times 10^5 \times 330}{6 \times 2.1 \times 10^6 \times 11260} \left(1 - \frac{41 \times 10^3}{279.8 \times 10^3}\right) = 0.0055 \text{ Rad} \quad \text{محور قوی}$$

$$\theta_y = \frac{13.15 \times 10^5 \times 330}{6 \times 2.1 \times 10^6 \times 3923} \left(1 - \frac{41 \times 10^3}{279.8 \times 10^3}\right) = 0.0075 \text{ Rad} \quad \text{محور ضعیف}$$

## گام ۱۲: تحلیل بار افزون

در هنگام تحلیل بار افزودن ۱۰۰٪ تغییر مکان هدف جهت مورد نظر با ۳۰٪ تغییر مکان جهت دیگر به طور همزمان بر سازه اعمال می‌گردد.



شکل مثال ۱-۴-د

## تعیین تغییر مکان هدف

$$\delta = C_0 C_1 C_2 C_3 S_a \frac{T_e^2}{4\pi^2} g$$

$$T_e = T_i \sqrt{\frac{k_i}{k_e}}$$

مقدار  $T_i$  بر اساس محاسبات نرم افزار ۰.۱۷ ثانیه بدست می آید و از آنجا که  $K_i = K_e$  می باشد پس مقدار  $T_e = 0.17\text{ s}$  در نظر گرفته می شود.

$$C_0 = 1.2$$

$$T_s = 0.7 > T_e \Rightarrow C_1 = \frac{\left[ 1 + [R - 1] \frac{T_s}{T_e} \right]}{R}$$

$$R = \frac{S_a}{V_y/W} C_m \Rightarrow R = \frac{0.9625}{513/291.5} \times 1 = 0.55$$

$$C_1 = \frac{\left[ 1 + (0.55 - 1) \times \frac{0.7}{0.17} \right]}{0.5} = -1.71 \Rightarrow C_1 = 1$$

در هر دو جهت

$C_2$  با استفاده از جدول ۳-۳۶ نشریه ۳۶۰ برابر ۱ در نظر گرفته می شود.

طبق نشریه ۳۶۰،  $C_3$  برای سازه هایی که پس از تسلیم دارای سختی مثبت هستند ( $\alpha > 0$ ) برابر ۱ در نظر گرفته می شود. در نمودار برش پایه - تغییر مکان صفحه قبل دیده می شود که سازه دارای سختی مثبت است و پس از تسلیم شبیب نمودار همچنان مثبت می باشد.

$$C_1 = 1$$

$$C_2 = 1$$

$$C_3 = 1$$

$$\delta_t = C_0 C_1 C_2 C_3 S_a \frac{T_e^2}{4\pi^2} g$$

$$\delta_t = 1.2 \times 1 \times 1 \times 1.44 \times \frac{0.17^2}{4\pi^2} \times 981 = 1.24\text{ cm}$$

از آنجا که ساختمان تحت تحلیل ۳ بعدی قرار گرفته ابتدا تغییر مکانی برابر ۳۰٪ تغییر مکان هدف در ابتدا بدان اعمال شده  $(0.3 \times 1.24 = 0.372\text{ cm})$  و سپس تغییر مکان اصلی هدف که راستای دیگر بدان اعمال می گردد.

### تغییر شکل و نیرو در مهاربند

در طبقه اول نیروی موجود در مهاربند برابر  $28.9\text{ ton}$  و تغییر طول محوری آن حدود  $4.6\text{ mm}$  می باشد.

در طبقه دوم نیروی موجود در مهاربند  $14.2\text{ ton}$  و تغییر طول نظیر آن نیز  $2.8\text{ mm}$  است.

### لنگرهای تیر

$$IPE 240, M_{\max} = 1.76\text{ ton.m}$$

$$IPE 270, M_{\max} = 2.52\text{ ton.m}$$

$$IPE 300, M_{\max} = 6.0\text{ ton.m}$$

$$IPE 330, M_{\max} = 7.05\text{ ton.m}$$

$$IPE 360, M_{\max} = 11.3\text{ ton.m}$$

$$IPE 400, M_{\max} = 21.0\text{ ton.m}$$

| قطعه تیر | اساس پلاستیک مقطع<br>(cm <sup>3</sup> ) | * لنگر پلاستیک مقطع<br>(ton-m) | لنگر موجود در تیر<br>(ton-m) | نیاز به ظرفیت مقطع |
|----------|---|--------------------------------|------------------------------|--------------------|
| IPE240   | ۳۶۷                                     | ۹/۶۹                           | ۱/۷۶                         | ۰/۱۸               |
| IPE270   | ۴۸۴                                     | ۱۲/۷۸                          | ۲/۵۲                         | ۰/۲                |
| IPE300   | ۶۲۸                                     | ۱۶/۵۸                          | ۶/۰                          | ۰/۳۶               |
| IPE330   | ۸۰۴                                     | ۲۱/۲۳                          | ۷/۰۵                         | ۰/۳۳               |
| IPE360   | ۱۰۱۹                                    | ۲۶/۹                           | ۱۱/۳                         | ۰/۴۲               |
| IPE400   | ۱۳۰۷                                    | ۳۴/۵                           | ۲۱/۰                         | ۰/۶۱               |

$$M_{CE} = Z \cdot F_{ye} *$$

### نیروهای ستون

نیروهای محوری: 44.9 ton

خمش حول محور قوی: 4.52 ton.m

خمش حول محور ضعیف: 0.52 ton.m

کنترل ستون در محل اتصال به تیر

$$\frac{P_{UF}}{P_{CL}} = \frac{44.9}{149.6} = 0.3 \leq 0.5$$

بنابراین معادله اندرکنش بصورت زیر کنترل می‌شود:

$$\frac{P_{UF}}{kP_{CL}} + \frac{C_{mx} M_{UDx}}{m_x \kappa \left[ 1 - \frac{P_{UF}}{kP_{ex}} \right] M_{CEx}} + \frac{C_{my} M_{UDy}}{m_y \kappa \left[ 1 - \frac{P_{UF}}{kP_{ey}} \right] M_{CEy}} \leq 1$$

$$\frac{P_{UF}}{\kappa A F_{yLB}} + 0.85 \left[ \frac{M_{UDx}}{m_x \kappa M_{PCEx}} + \frac{M_{UDy}}{m_y \kappa M_{PCEy}} \right] \leq 1.0 ; M_{UDx} \leq m_x \kappa M_{PCEx} ; M_{UDy} \leq m_y \kappa M_{PCEy}$$

با توجه به هدف بهسازی (ویژه) و سطح اطلاعات (متعارف) میزان ضریب آگاهی مطابق جدول (۱-۲)،  $\kappa = 0.75$  می‌باشد. همچنین مطابق جدول ۲-۵ نشریه ۳۶۰ مقدار m برابر 2 می‌باشد.

$$P_{UF} = 44.9 \text{ ton}, M_{UDx} = 0.52 \text{ t.m}, M_{UDy} = 4.52 \text{ t.m}$$

$$\frac{44.9 \times 10^3}{0.75 \times 149.6 \times 10^3} + \frac{0.85 \times 0.52 \times 10^5}{2 \times 0.75 \times \left[ 1 - \frac{44.9 \times 10^3}{0.75 \times 94370.23} \right] \times 5.28 \times 10^5} + \frac{0.85 \times 4.52 \times 10^5}{2 \times 0.75 \times \left[ 1 - \frac{44.9 \times 10^3}{0.75 \times 270880.7} \right] \times 15.15 \times 10^5}$$

$$0.4 + 0.23 + 0.22 = 0.83 < 1$$

$$\frac{44.9 \times 10^3}{0.75 \times 106 \times 830} + 0.85 \left[ \frac{0.52 \times 10^5}{2 \times 0.75 \times 5.28 \times 10^5} + \frac{4.52 \times 10^5}{2 \times 0.75 \times 15.15 \times 10^5} \right] \leq 1.0;$$

$$0.68 + 0.85(0.07 + 0.20) = 0.91 < 1$$

$$M_{UDx} \leq m_x \kappa M_{PCEx}; M_{UDy} \leq m_y \kappa M_{PCEy}$$

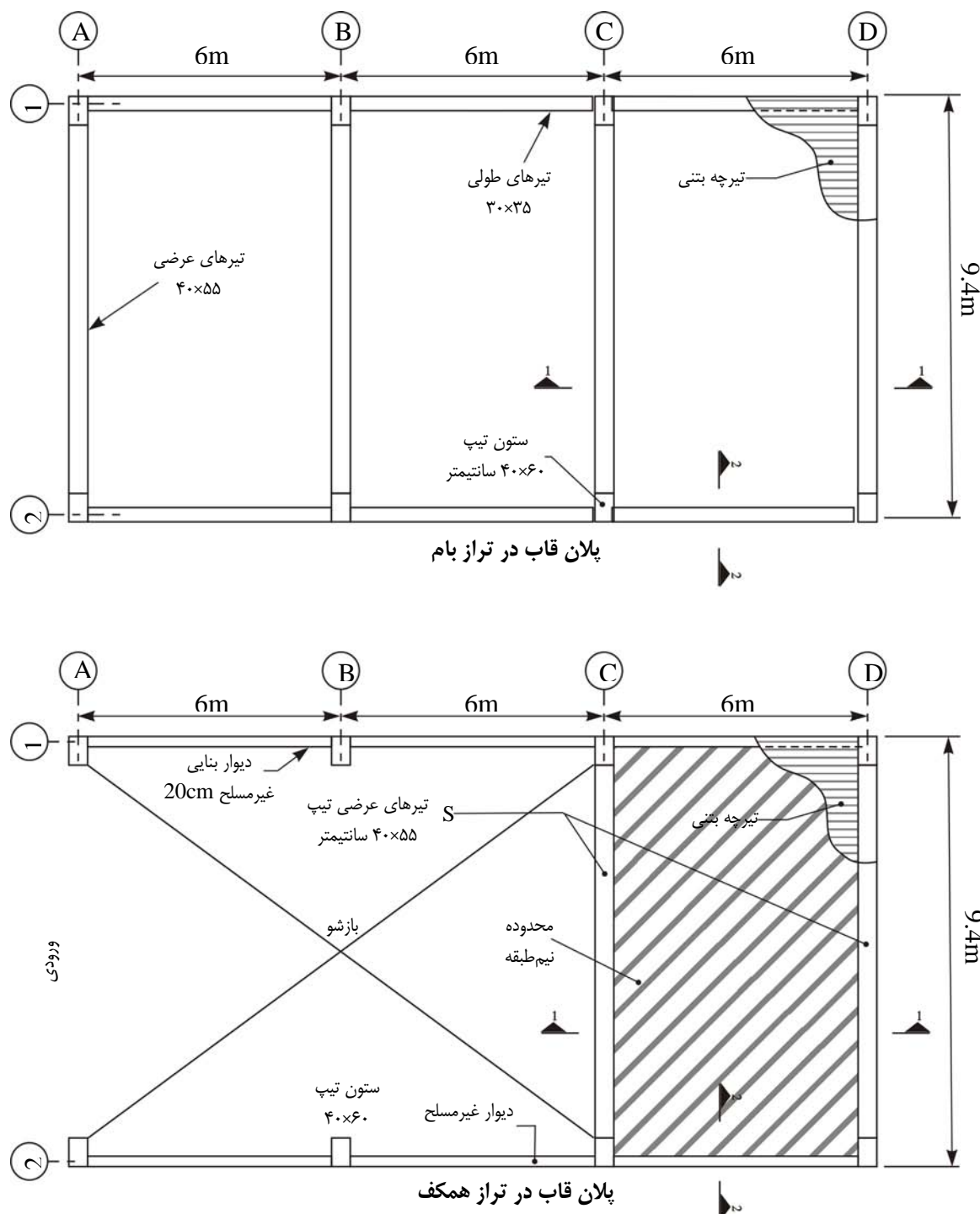
$$0.52 < 2 \times 0.75 \times 5.28; 0.52 < 2 \times 0.75 \times 5.28 \Rightarrow 0.52 < 7.92$$

#### مثال ۲-۴ ( بررسی آسیب پذیری ساختمان آتش نشانی با قابهای خمشی بتنی میان پر )

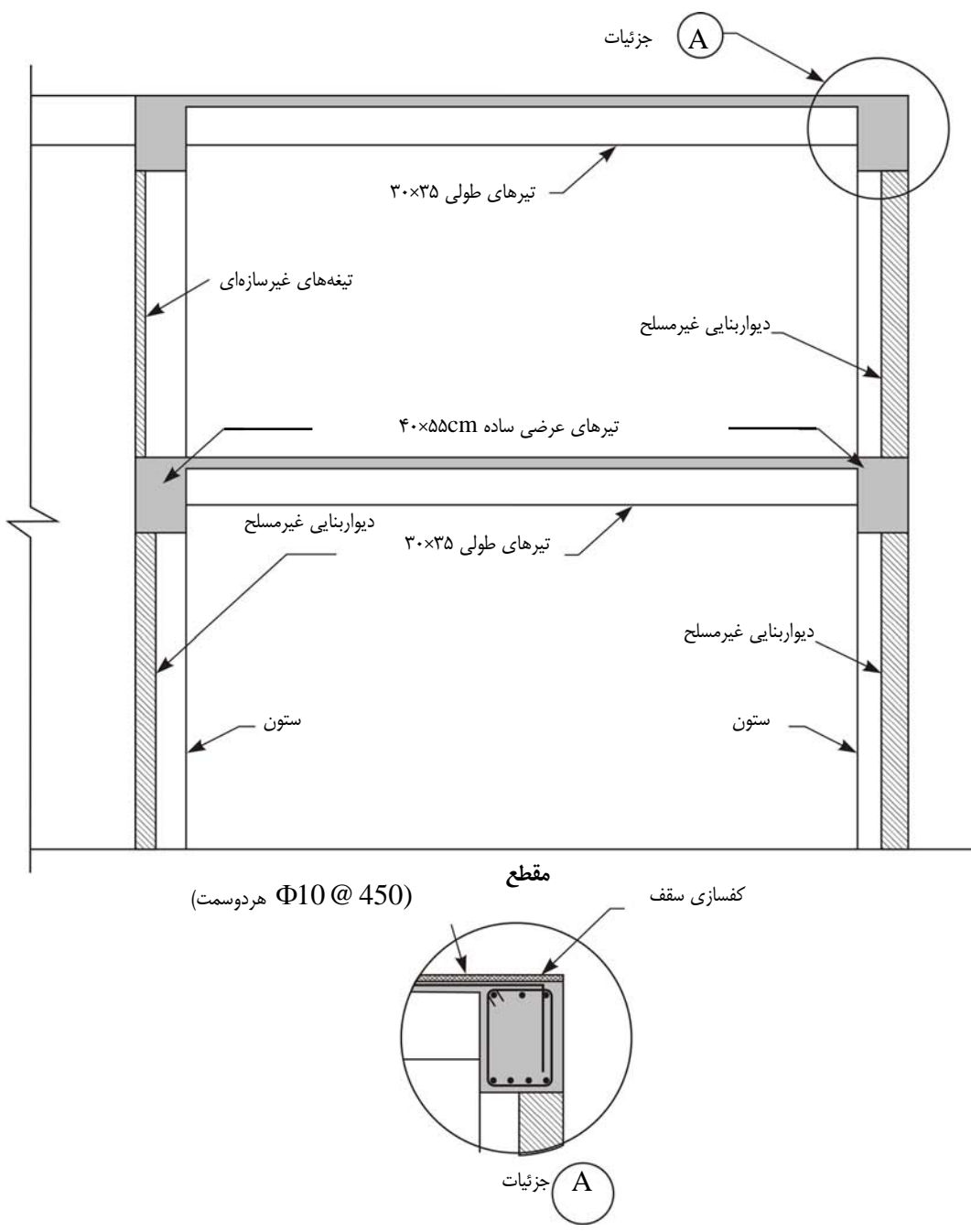
##### - ساختمان با قاب خمشی بتنی میان پر

ساختمان دو طبق مرکز آتش نشانی را مطابق شکل ۲-۴-الف در نظر بگیرید. کاربری طبقه دوم این ساختمان خوابگاه و طبقه اول آن دارای دو بخش دفتر مرکزی و پارکینگ ماشین ها و تجهیزات آتش نشانی می باشد. سیستم باربر سازه، قاب خمشی بتنی معمولی می باشد. قابهای راستای طولی و عرضی به وسیله میانقاب های بنایی غیر مسلح پر شده اند. سیستم سقف ساختمان از نوع تیرچه بلوک است.

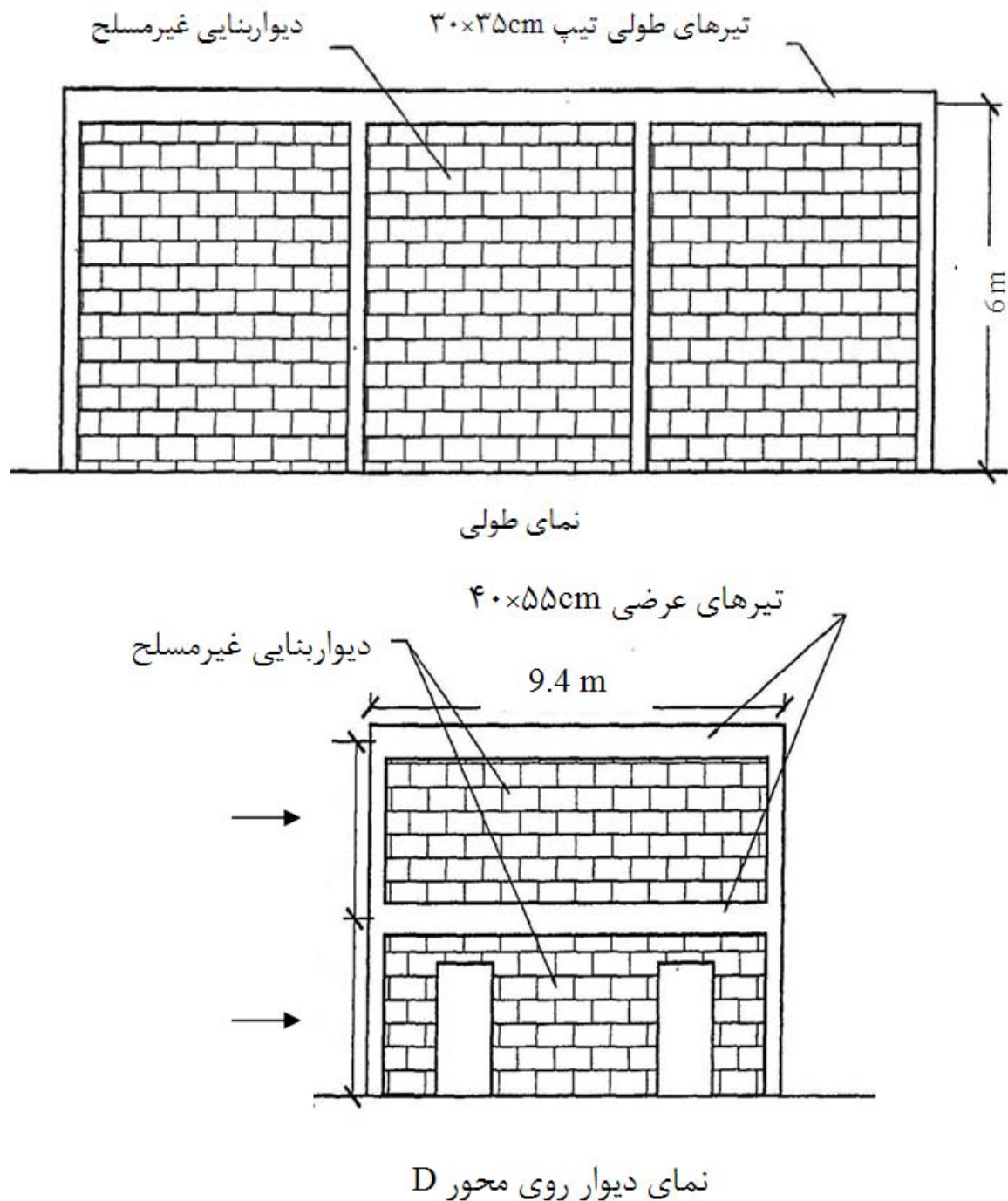
ساختمان مرکز آتش نشانی از نظر سطح خطر زلزله، براساس ساختمانهای موجود در منطقه لرزه خیزی شدید طراحی شده است و باید سطح عملکرد آن از نوع استفاده بی وقفه باشد. مطلوبست بررسی سازه مورد نظر و در صورت لزوم بهسازی آن. تحلیل ساختمان از نوع خطی بوده و فرض بر آن است که در طراحی برای بارهای ثقلی، از وجود میانقابها صرف نظر می گردد و تنها در طراحی برای بارهای جانبی اثر میانقابها در نظر گرفته می شود.



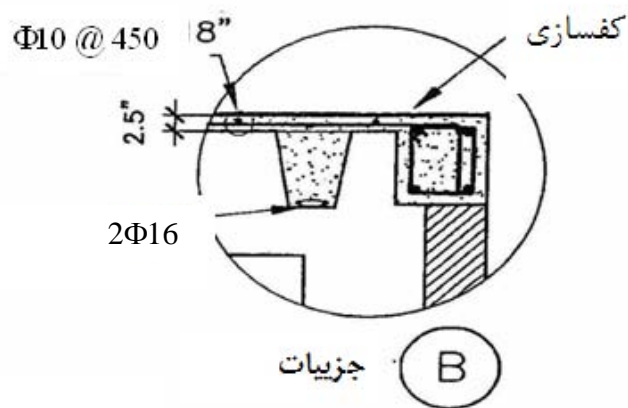
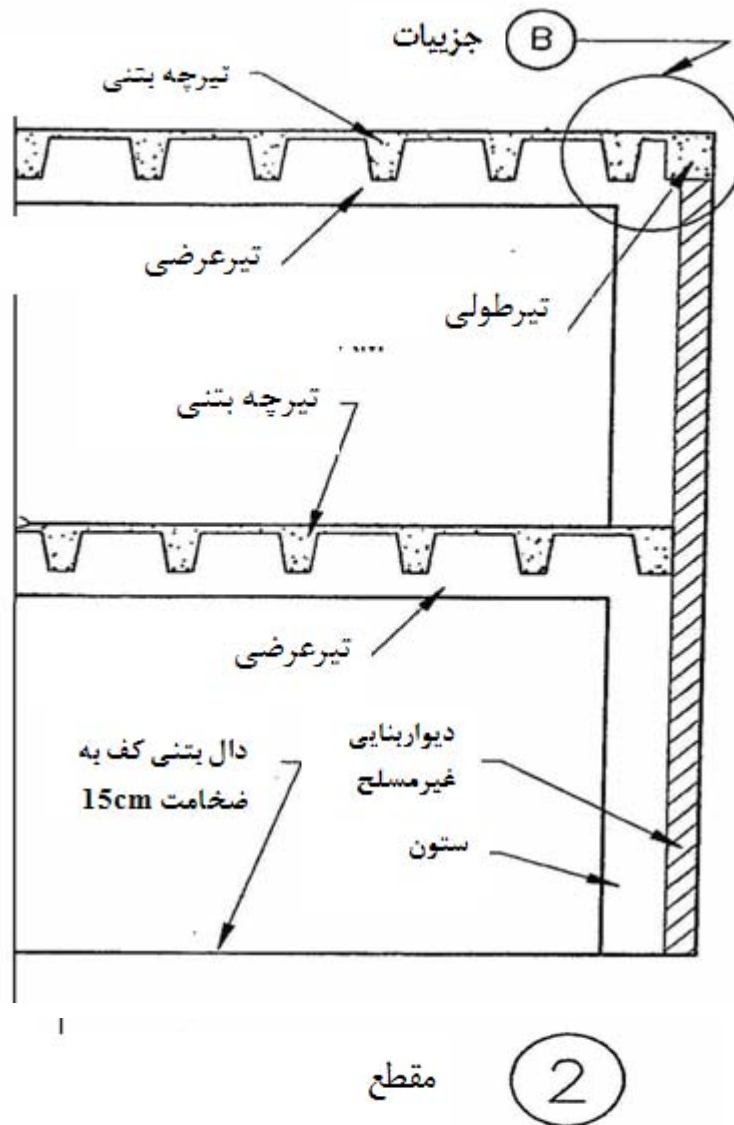
شکل مثال ۲-۴-الف



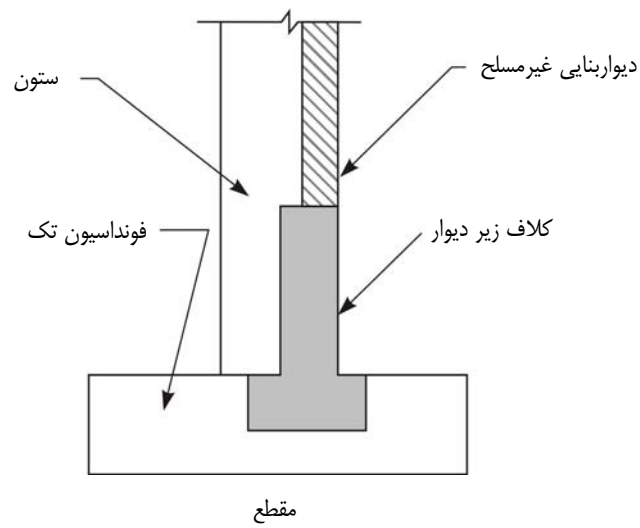
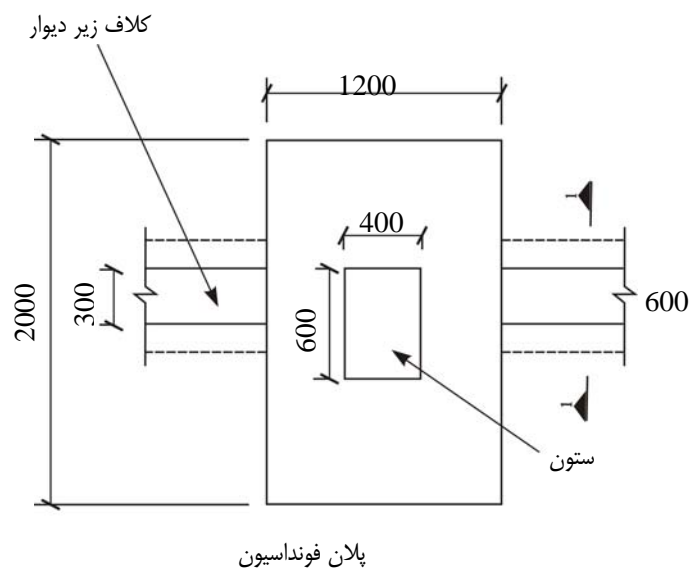
شکل مثال ۴-۲-ب



شکل مثال ۲-۴-پ



شكل مثال ۴-۲-ت



شکل مثال ۴-۲-ث

## گام ۱: محاسبه بارگذاری زلزله

$$V = CW$$

$$C_1 C_2 C_3 S_a = 1.0222$$

$$\text{وزن بام} = 1325 \text{ KN}$$

$$\text{وزن طبقه اول} = 350 \text{ KN}$$

$$\text{مجموع وزن} = 1675 \text{ KN}$$

$$V = CW = 1.022 \times 1675 = 1712 \text{ KN}$$

توزيع بار جانبی بین طبقات

| F (KN)        | h <sub>i</sub> (m) | W <sub>i</sub> (KN) | تراز |
|---------------|--------------------|---------------------|------|
| 1512          | 6.0                | 1325                | بام  |
| 200           | 3.0                | 350                 | طبقه |
| $\sum = 1712$ |                    |                     |      |

سقف بام و طبقه همکف از نوع دیافراگم صلب می باشد.

براساس جدول ۲-۶ دستورالعمل ۳۶۰، سختی موثر اعضای قاب بتی خمی (صلبیت خمی) برابر با  $0.35EI$  برای تیرها و  $0.7EI$  برای ستونها می باشد.

$$E = 5000\sqrt{f_c} = 5000\sqrt{20} = 22360 \text{ MPa}$$

$$I_{\text{تیرهای عرضی}} = \frac{1}{12} \times 40 \times 55^3 = 554583 \text{ cm}^4, 0.35 \times I = 0.35 \times 554583 = 194104 \text{ cm}^4$$

$$I_{\text{تیرهای طولی}} = \frac{1}{12} \times 30 \times 35^3 = 107188 \text{ cm}^4, 0.35 \times I = 0.35 \times 107188 = 37516 \text{ cm}^4$$

$$I_{\text{ستونها}} = \frac{1}{12} \times 40 \times 60^3 = 720000 \text{ cm}^4, 0.7 \times I = 0.7 \times 720000 = 504000 \text{ cm}^4$$

## مشخصات مکانیکی مصالح بنایی

مشخصات مکانیکی مصالح بنایی میانقاب همان مقادیر پیش فرض FEMA 273 انتخاب شده است.

$$f_m = 6200 \text{ KN/m}^2 = 6.2 \text{ N/mm}^2: \text{حداکثر مقاومت فشاری مصالح بنایی میانقاب با شرایط خوب}$$

$$f_{me} = 1.2 \times 6200 \text{ KN/m}^2 = 7440 \text{ KN/m}^2 \quad (\text{مقاومت قابل انتظار فشاری مصالح بنایی})$$

$E_{me} = 550 f_{me} = 550 \times 7440 = 4092000 \text{ KN/m}^2$  : مدول الاستیک مصالح بنایی میانقاب با شرایط خوب

$f_t = 140 \text{ KN/m}^2 = 0.14 \text{ N/mm}^2$  : حداقل مقاومت کششی مصالح بنایی میانقاب با شرایط خوب

$f_{te} = 1.25 f_t = 175 \text{ KN/m}^2 = 0.175 \text{ N/mm}^2$  : مقاومت قابل انتظار کششی مصالح بنایی

$V_t = 190 \text{ KN/m}^2 = 0.19 \text{ N/mm}^2$  : مقاومت برشی

$V_{me} = 1.25 V_m = 238 \text{ KN/m}^2$  : مقاومت قابل انتظار برشی مصالح بنایی

$t_{inf} = 20 \text{ cm}$  : ضخامت دیوار = ضخامت پانل مصالح بنایی غیرمسلح

### گام ۲: بررسی اثر میانقاب‌ها

براساس روش ارائه شده در دستورالعمل ۳۶۰ دیوارهای میانقابی خارجی و دیوار نیم طبقه امتداد C در طبقه همکف به صورت دستک فشاری مدل می‌گردد.

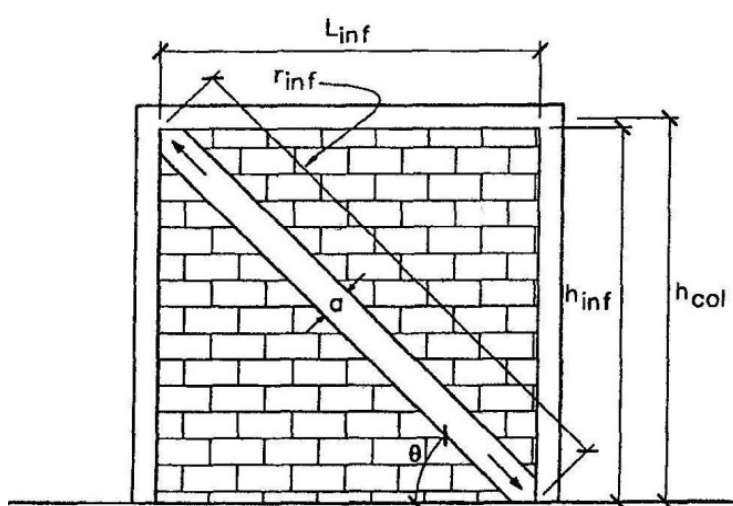
سختی الاستیک داخل صفحه برای پانل میانقابی مصالح بنایی غیرمسلح براساس عرض دستک فشاری معادل a تعیین می‌گردد.

دستک معادل دارای ضخامت و مدول الاستیک مشابه با پانل میانقابی می‌باشد و عرض آن a با استفاده از روابط زیر بدست می‌آید.

$$a = 0.254(\lambda_1 h_{col})^{-0.4} r_{inf}$$

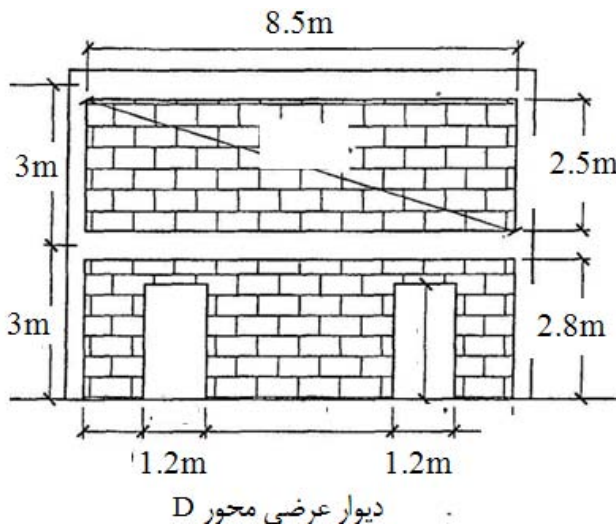
$$\lambda_1 = \left[ \frac{10 E_{me} t_{inf} \sin 2\theta}{E_{fe} I_{col} h_{inf}} \right]^{0.25}$$

دیوار طبقه همکف دارای بازشو است و رابطه فوق مربوط به دیوارهایی است که بازشو ندارند.



شکل مثال ۲-۴-ج تعریف پارامترهای دستک فشاری

دستورالعمل ۳۶۰ استفاده از برنامه‌های اجزای محدود را برای محاسبه مشخصات دستک معادل در دیوارهای دارای بازشو پیشنهاد می‌کند. این کار می‌تواند بسیار وقتگیر بوده و ممکن است منجر به استنتاج پاسخهای متناقض با مقادیر بدست آمده از روش دستک معادل گردد. در این مثال از یک روش ساده استفاده شده است. سختی دستک فشاری برای یک میانقاب کامل با استفاده از روابط فوق محاسبه می‌شود و سختی دستک فشاری برای میانقاب بنایی دارای بازشو کسری از میانقاب کامل می‌باشد.



دیوار عرضی محور D

شکل مثال ۲-۴-ج

سختی خمی - برشی دیوارها با فرض آنکه دو انتهای المان دیوار گیردار است محاسبه می‌شود. تغییرمکان دیوار با دو انتهای

گیردار به صورت زیر محاسبه شده و سختی آن از رابطه  $\frac{1}{\Delta_f}$  قابل دسترسی است.

$$\Delta_f = \frac{Ph^3}{12EI} + \frac{1.2Ph}{AG}$$

ارتفاع دیوار =  $h$

مدول الاستیک مصالح بنایی =  $E$

(توجه: برای در نظر گرفتن اثر ترک خوردگی از مقدار ۰.۵I استفاده می‌شود) ممان اینرسی مقطع دیوار =  $I$

سطح مقطع دیوار =  $A$

$G$  برای بتن و مصالح بنایی = مدول برشی =  $0.4E$

محاسبه سختی خمی - برشی دیوار طبقه بالا:

$$P = 1KN$$

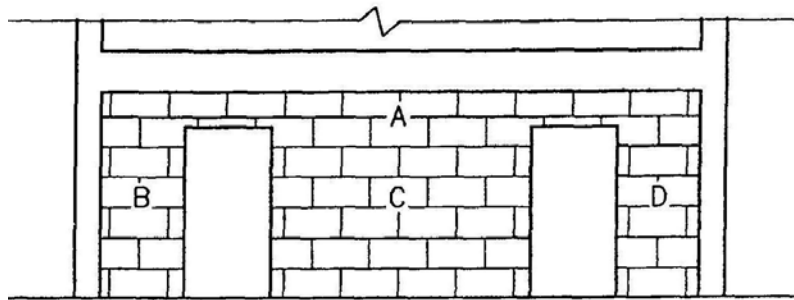
$$\Delta_f (h_w, L_w, t_w) = \frac{(P.h_w^3)}{12.E_m I} + \frac{(1.2 \times P.h_w)}{AG}$$

$$\Delta_{solid} = \Delta_f (h_w = 2.5m, L_w = 8.5m, t_w = 20cm) \quad \Delta_{solid} = 0.0011mm$$

$$R_{wall} = \frac{1(KN)}{\Delta_{wall}(cm)} \quad R_{wall} = 10000KN/cm$$

$$= سختی خمی - برشی دیوار طبقه بالا = 10000KN/cm$$

محاسبه سختی خمی - برشی دیوار طبقه پایین:



شکل مثال ۲-۴-ح

$$\text{تغییرمکان دیوار بدون درنظر گرفتن بازشوها} \quad \Delta_{solid} = \Delta_f(2.8m, 8.5m, 20cm) \quad \Delta_{solid} = 0.0013mm$$

$$\text{تغییرمکان نوار پائین (B و C و D) بدون درنظر گرفتن بازشوها} \quad \Delta_{strip} = \Delta_f(2.3m, 8.5m, 20cm) \quad \Delta_{strip} = 0.001mm$$

$$(A) \text{ تغییرمکان نوار بالا} \quad \Delta_A = \Delta_{solid} - \Delta_{strip} \quad \Delta_A = 0.0013 - 0.001 = 0.0003$$

$$\left\{ \begin{array}{ll} \Delta_B = \Delta_f(2.3m, 1.2m, 20cm) & \Delta_B = 0.015mm \\ \Delta_C = \Delta_f(2.3m, 3.6m, 20cm) & \Delta_C = 0.0027mm \\ \Delta_D = \Delta_f(2.3m, 1.2m, 20cm) & \Delta_D = 0.015mm \end{array} \right.$$

$$R_{BCD} = \frac{1}{\Delta_B} + \frac{1}{\Delta_C} + \frac{1}{\Delta_D} \quad R_{BCD} = 5037 KN/cm$$

$$\Delta_{BCD} = \frac{1}{R_{BCD}} \quad \Delta_{BCD} = 0.002mm$$

$$\Delta_{wall} = \Delta_A + \Delta_{BCD}$$

$$\Delta_{wall} = 0.002 + 0.0003 = 0.0023$$

$$\Delta_{wall} = \frac{1(KN)}{\Delta_{wall}(cm)} \quad R_{wall} = 4347.83 KN/cm$$

$$= سختی خمی - برشی دیوار طبقه پایین = 4350 KN/cm$$

نسبت سختی خمی - برشی دیوار پایین به دیوار طبقه بالا =  $\alpha$

$$\alpha = 4350 / 10000 = 0.435$$

محاسبه مشخصات دستک فشاری دیوار بالا براساس دستورالعمل ۳۶۰:

$$\lambda_1 = \left[ \frac{10E_{me} t_{inf} \sin 2\theta}{E_{fe} I_{col} h_{inf}} \right]^{0.25} \quad \text{و} \quad \lambda_1 = \left[ \frac{10 \times 4092000 \times 0.2 \times \sin(2 \times 17)}{22360000 \times (5.04 \times 10^{-3} m^4) \times 2.5} \right]^{0.25} = 2.0$$

$$a = 0.254(\lambda_1 h_{col})^{-0.4} \times r_{inf}, a = (0.254)[(2.0)(3.0)]^{-0.4} \times 8.9 = 1.1m (110cm)$$

بنابراین پهنای دستک فشاری معادل دیوار طبقه پایین برابر است با:

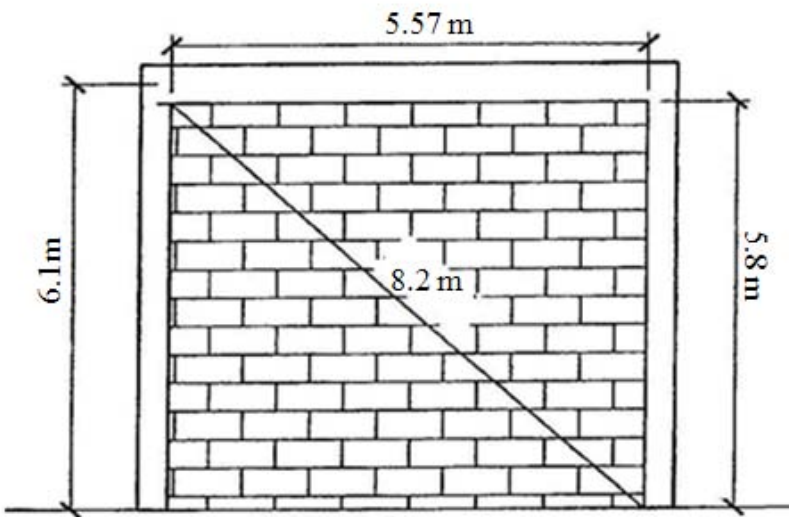
$$a_{bottom} = \alpha \times a_{top} = 0.435 \times 110 = 47.85 cm$$

توجه: این دستک معادل فشاری که برای دیوار طبقه پایین امتداد D بددست آمد برای مدل کردن دیوار امتداد C نیز که شبیه به آن است بکار می رود.

محاسبه مشخصات دستک فشاری برای دیوار میانقابی امتداد طولی:

$$\lambda_1 = \left[ \frac{10E_{me} t_{inf} \sin 2\theta}{E_{fe} I_{col} h_{inf}} \right]^{0.25} \quad \text{و} \quad \lambda_1 = \left[ \frac{10 \times 4092000(0.2) \sin(2 \times 45 \times 0.38^\circ)}{(22360000)(5.04 \times 10^{-3} m^4)(5.8)} \right]^{1/4} = 1.84$$

$$a = 0.254(\lambda_1 h_{col})^{-0.4} \times r_{inf}, a = (0.254)[(1.4)(6.1)]^{-0.4} \times 8.2 = 0.78cm = 78cm$$



شکل مثال ۴-۲-خ- میانقاب راستای طولی

پیچش افقی: در پیچش ساختمانهای نامنظم، اثر پیچش تصادفی باید در ضریب A ضرب گردد. یک ساختمان هنگامی نامنظم نامیده می شود که در دیافراگم صلب نسبت ناشی از  $\frac{\delta_{max}}{\delta_{ave}}$  ممان پیچشی از ۱.۲ بیشتر شود (بند ۱-۱-۸-۱ آین نامه ۲۸۰۰).

پیچش واقعی: بطور مستقیم از یک مدل ۳ بعدی بدست می آید.

پیچش تصادفی: با استفاده از نیروی افقی طبقه و ۵ درصد بعد افقی ساختمان در جهت عمود بر امتداد زلزله بدست می‌آید.(توجه: ۵٪ بعد افقی همان بعد دیافراگم بام و یا دیافراگم طبقه همکف ساختمان در جهت عمود بر امتداد زلزله می‌باشد.)

### محاسبه نیروی پیچشی تصادفی

#### (الف) تراز بام:

$$\text{نیروی زلزله راستای عرضی} =$$

$$e_x = 5\%(18.4) = 0.92m, \quad V = 1512KN, \quad Tx = (1512)(0.92) = 1391KN.m$$

$$= \text{نیروی زلزله راستای طولی}$$

$$e_y = 5\%(9.4) = 0.47m, \quad V = 1512, \quad Ty = (1512)(0.47) = 711KN.m$$

#### (ب) تراز طبقه

$$\text{نیروی زلزله راستای عرضی} =$$

$$e_x = 5\%(6.4) = 0.32m, \quad V = 200KN, \quad Tx = (200)(0.32) = 64KN.m$$

$$= \text{نیروی زلزله راستای طولی}$$

$$e_y = 5\%(9.4) = 0.47, \quad V = 200, \quad Ty = (200)(0.47) = 94KN.m$$

محاسبه جابجایی‌ها جهت تعیین ضریب افزایش پیچش: در این مثال از برنامه SAP2000 برای محاسبه جابجایی نقاط گرهی استفاده شده است. نیروهای برشی و ممان‌های پیچشی تصادفی به طور جداگانه بر سازه وارد می‌گردد. جابجایی‌های گرهی تراز بام از نرم افزار بدست آمده و به وسیله آن متوسط جابجایی دیافراگم بدست می‌آید سپس نسبت آن به مکریم جابجایی گرهی دیافراگم محاسبه می‌گردد.

برای نیروی زلزله راستای عرضی:

$$\delta_{ave} = 42mm, \delta_{max} = 55mm \quad \delta_{max} / \delta_{ave} = 55 / 42 = 1.31 > 1.2$$

بنابراین پیچش تصادفی برای زلزله راستای عرضی باید با ضریب  $A_x$  افزایش یابد.

$$A_x = \left[ \frac{\delta_{max}}{1.2\delta_{ave}} \right]^2 = \left[ \frac{55}{(1.2)(42)} \right]^2 = 1.2$$

پیچش تصادفی برای نیروی زلزله عرضی بدست می‌آید:

تراز بام :  $T = 1.2(1391) = 1670KN.m$

تراز طبقه :  $T = 1.2(64) = 77KN.m$

برای نیروی زلزله راستای طولی:

$$\delta_{ave} = 18.4mm, \delta_{max} = 19.4mm \quad \delta_{max} / \delta_{ave} = 19.4 / 18.4 = 1.05 < 1.2$$

بنابراین، احتیاج به افزایش پیچش تصادفی برای زلزله راستای طولی نمی باشد.

### گام ۳: ترکیبات بار

ترکیبات بارگذاری برای اعضای کنترل شونده توسط تغییر شکل

$$Q_{uD1} = 1.1(Q_D + Q_L) + Q_{EX} + 0.3Q_{EY}$$

$$Q_{uD9} = 0.9Q_D + Q_{EX} + 0.3Q_{EY}$$

$$Q_{uD2} = 1.1(Q_D + Q_L) + Q_{EX} - 0.3Q_{EY}$$

$$Q_{uD10} = 0.9Q_D + Q_{EX} - 0.3Q_{EY}$$

$$Q_{uD3} = 1.1(Q_D + Q_L) - Q_{EX} + 0.3Q_{EY}$$

$$Q_{uD11} = 0.9Q_D - Q_{EX} + 0.3Q_{EY}$$

$$Q_{uD4} = 1.1(Q_D + Q_L) - Q_{EX} - 0.3Q_{EY}$$

$$Q_{uD12} = 0.9Q_D - Q_{EX} - 0.3Q_{EY}$$

$$Q_{uD5} = 1.1(Q_D + Q_L) + Q_{EY} + 0.3Q_{EX}$$

$$Q_{uD13} = 0.9Q_D + Q_{EY} + 0.3Q_{EX}$$

$$Q_{uD6} = 1.1(Q_D + Q_L) + Q_{EY} - 0.3Q_{EX}$$

$$Q_{uD14} = 0.9Q_D + Q_{EY} - 0.3Q_{EX}$$

$$Q_{uD7} = 1.1(Q_D + Q_L) - Q_{EY} + 0.3Q_{EX}$$

$$Q_{uD15} = 0.9Q_D - Q_{EY} + 0.3Q_{EX}$$

$$Q_{uD8} = 1.1(Q_D + Q_L) - Q_{EY} - 0.3Q_{EX}$$

$$Q_{uD16} = 0.9Q_D - Q_{EY} - 0.3Q_{EX}$$

ترکیبات بارگذاری برای اعضای کنترل شونده توسط نیرو

$$Q_{UF} = Q_G \pm \frac{Q_E}{C_1.C_2.C_3.J}$$

$$C_1 = 1.31$$

$$C_2 = 1$$

$$C_3 = 1$$

با توجه به اینکه محل احداث پروژه دارای خطر نسبی زیادی می باشد مقدار  $J=2$  در نظر گرفته می شود.

بنابراین:

$$Q_{UFX} = Q_G \pm 0.38Q_E$$

$$Q_{UFY} = Q_G \pm 0.38Q_E$$

ترکیب بارهای معرفی شده به نرم افزار مطابق زیر می‌باشد:

X - جهت X

$$Q_{UFX1} = 1.1(Q_D + Q_L) + 0.38Q_{EX} + 0.11Q_{EY}$$

$$Q_{UFX2} = 1.1(Q_D + Q_L) + 0.38Q_{EX} - 0.11Q_{EY}$$

$$Q_{UFX3} = 1.1(Q_D + Q_L) - 0.38Q_{EX} + 0.11Q_{EY}$$

$$Q_{UFX4} = 1.1(Q_D + Q_L) - 0.38Q_{EX} - 0.11Q_{EY}$$

$$Q_{UFX5} = 0.9Q_D + 0.38Q_{EX} + 0.11Q_{EY}$$

$$Q_{UFX6} = 0.9Q_D + 0.38Q_{EX} - 0.11Q_{EY}$$

$$Q_{UFX7} = 0.9Q_D - 0.38Q_{EX} + 0.11Q_{EY}$$

$$Q_{UFX8} = 0.9Q_D - 0.38Q_{EX} - 0.11Q_{EY}$$

Y - جهت Y

$$Q_{UFX9} = 1.1(Q_D + Q_L) + 0.38Q_{EY} + 0.11Q_{EX}$$

$$Q_{UFX10} = 1.1(Q_D + Q_L) + 0.38Q_{EY} - 0.11Q_{EX}$$

$$Q_{UFX11} = 1.1(Q_D + Q_L) - 0.38Q_{EY} + 0.11Q_{EX}$$

$$Q_{UFX12} = 1.1(Q_D + Q_L) - 0.38Q_{EY} - 0.11Q_{EX}$$

$$Q_{UFX13} = 0.9Q_D + 0.38Q_{EY} + 0.11Q_{EX}$$

$$Q_{UFX14} = 0.9Q_D + 0.38Q_{EY} - 0.11Q_{EX}$$

$$Q_{UFX15} = 0.9Q_D - 0.38Q_{EY} + 0.11Q_{EX}$$

$$Q_{UFX16} = 0.9Q_D - 0.38Q_{EY} - 0.11Q_{EX}$$

#### گام ۴: ضوابط پذیرش

#### روش استاتیکی خطی

تلاشهای کنترل تغییرشکلی: تلاشهای کنترل شونده توسط تغییرشکل برای این ساختمان شامل خمش در تیر و ستون و نیز برش در پانلهای میانقابی است. تلاشهای کنترل شونده تغییرشکلی در اعضا و اجزای سازه ای اصلی و غیراصلی باید رضایت بخش باشد:

$$mQ_{CE} \geq Q_{UD}$$

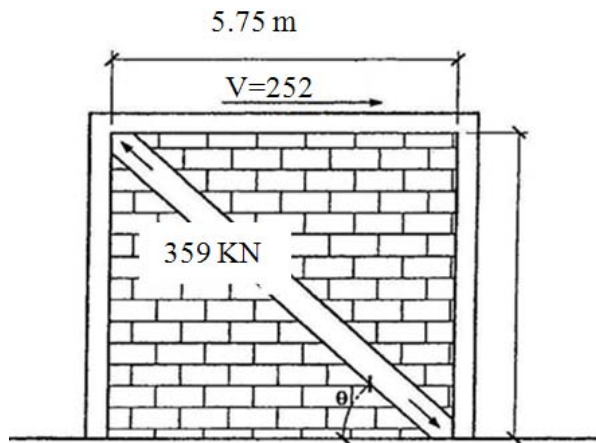
تنش برشی پانلهای میانقابی: پانل های میانقابی فقط در مقاومت در مقابل بارهای لرزه ای شرکت می کنند و در مقاومت مقابل بارهای تقلی شرکت نمی کند.

#### پانل های میانقابی راستای طولی

ماکزیمم نیروی محوری در دستک فشاری = 359 KN

$$\text{زاویه دستک} = \text{ارتفاع} / \text{طول} = \text{Arc tan} = 0.79 \text{ Rad}$$

مولفه افقی برش =  $(359 \text{ KN}) \cos(0.79) = 252 \text{ KN}$



شکل مثال ۲-۴-۵

$$Q_{UD} = V_{ine} = A_{ni} f_{vie}$$

$$f_{vie} = V_{me} = 238 \text{ KN} / \text{m}^2$$

طول پانل × ضخامت پانل میانقابی =

$$A_{ni} = 0.2 \times 5.75 = 1.15 \text{ m}^2$$

$$Q_{CE} = 1.15 \times 238 = 274 \text{ KN}$$

$$m = 1.0$$

$$m Q_{CE} = (1.0)(274 \text{ KN}) = (274 \text{ KN}) > (252 \text{ KN}), ok$$

پانلهای میانقابی راستای عرضی: دیوار امتداد D بالای تیر طبقه همکف

ماکریمم نیروی محوری در دستک فشاری =  $(419 \text{ KN})$

زاویه دستک =  $\arctan(\text{ارتفاع} / \text{طول}) = 0.29 \text{ rad}$

مولفه برشی افقی =  $(419 \text{ KN}) \times \cos(0.29) = 401 \text{ KN}$

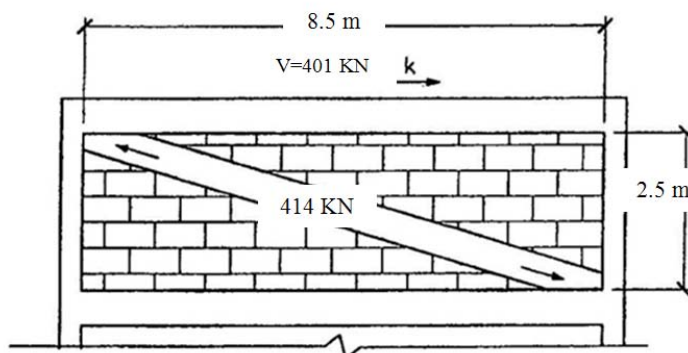
$$Q_{UD} = 401 \text{ KN}$$

$$A_{ni} = 0.2 \times 8.5 = 1.7 \text{ m}^2$$

$$Q_{CE} = 1.7 \times 238 = 405 \text{ KN}$$

$$m = 1.0$$

$$m Q_{CE} = (1.0)(405 \text{ KN}) = 405 \text{ KN} > 401 \text{ KN}, ok$$



شکل مثال ۲-۴-ذ- دیوار طولی طبقه دوم محور D

#### پانل‌های میانقابی راستای عرضی:

دیوار امتداد D، طبقه همکف: دیوار میانقابی تراز طبقه همف دارای بازشوها درب می باشد. نیروی برشی پانل های دیوار به نسبت سختی بین پانل های بین بازشوها توزیع می شود.

$$\text{زاویه دستک طبقه} = \arctan(\text{ارتفاع} / \text{طول}) = 0.32 \text{ rad}$$

$$R_A = R_C = 66666 \text{ KN} / \text{m}$$

$$R_B = 370370 \text{ KN} / \text{m}$$

$$\sum R = 503762 \text{ KN} / \text{m}$$

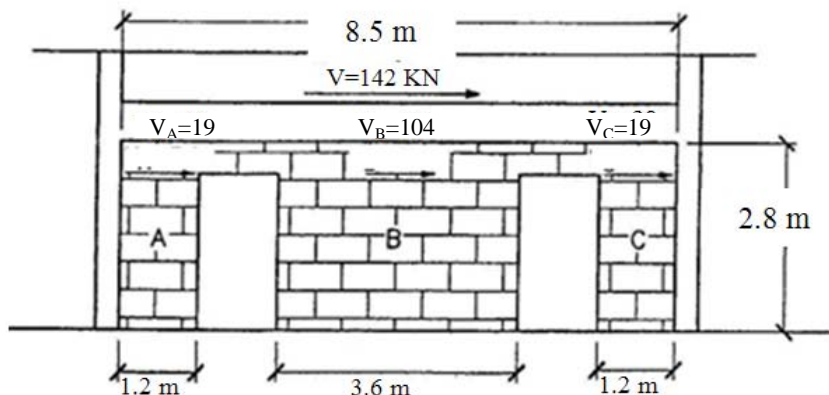
#### دیوار امتداد C

$$\text{ماکزیمم نیروی محوری در دستک فشاری} = 150 \text{ KN}$$

$$\text{مولفه افقی برشی معادل} (150 \text{ KN}) \times \cos(0.32) = 142 \text{ KN}$$

$$V_A = V_C = V(R / \sum R) = 142 \text{ KN} (66666 / 503762) = 19 \text{ KN}$$

$$V_B = 142 \text{ KN} (370370 / 503762) = 104 \text{ KN}$$



شکل مثال ۲-۴-ر- دیوار طولی طبقه همکف محور

: C و A پایه

$$Q_{UD} = 19 \text{ KN}$$

$$A_{ni} = 0.2 \times 1.2 = 0.24 \text{ m}^2$$

$$Q_{CE} = 0.24 \times 238 \text{ KN} / \text{m}^2 = 57.1 \text{ KN}$$

$$m = 1.0$$

$$mQ_{CE} = (1.0)(57.1 \text{ KN}) = 57.1 \text{ KN} > Q_{UD} = 19 \text{ KN}, OK$$

: B پایه

$$Q_{UD} = 104 \text{ KN}$$

$$A_{ni} = 0.2 \times 3.6 = 0.72 \text{ m}^2$$

$$Q_{CE} = 0.72 \text{ m}^2 \times 238 = 171.4 \text{ KN}$$

$$m = 1.0$$

$$mQ_{CE} = (1.0)(171.4 \text{ KN}) = (171.4 \text{ KN}) > 104 \text{ KN}, OK$$

$$\text{نیروی برشی کل امتداد دیوار} = 57.1 \text{ KN} + 57.1 \text{ KN} + 171.4 \text{ KN} = 285.6 \text{ KN}$$

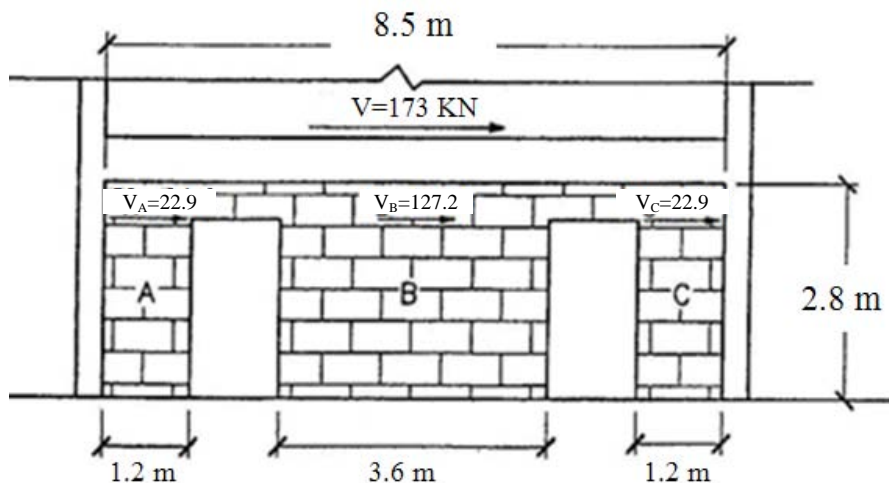
#### دیوار امتداد D

$$\text{ماکزیمم نیروی محوری در دستک فشاری معادل} = 181 \text{ KN}$$

$$\text{مولفه افقی برشی} = (181 \text{ KN}) \times \cos(0.32) = 173 \text{ KN}$$

$$V_A = V_C = V(R / \sum R) = 173 \text{ KN} (66666 / 503702) = 22.9 \text{ KN}$$

$$V_B = 173 \text{ KN} (370370 / 503702) = 127.2 \text{ KN}$$



شکل مثال ۴-۲-۴-ز - دیوار طولی طبقه همکف محور D

: C و A پایه

$$Q_{UD} = 22.9 \text{ KN}$$

$$A_{ni} = 0.2 \times 1.2 = 0.24 \text{ m}^2$$

$$Q_{CE} = 0.24 \times 238 \text{ KN} / \text{m}^2 = 57.1 \text{ KN}$$

$$m = 1.0$$

$$mQ_{CE} = (1.0)(57.1 \text{ KN}) = 57.1 \text{ KN} > Q_{UD} = 22.9 \text{ KN}, OK$$

: B پایه

$$Q_{UD} = 127.2 \text{ KN}$$

$$A_{ni} = 0.2 \times 3.6 = 0.72 \text{ m}^2$$

$$Q_{CE} = 0.72 \text{ m}^2 \times 238 = 171.4 \text{ KN}$$

$$m = 1.0$$

$$mQ_{CE} = (1.0)(171.4 \text{ KN}) = (171.4 \text{ KN}) > 127.2 \text{ KN}, OK$$

$$= \text{نیروی برشی کل امتداد دیوار} = 57.1 \text{ KN} + 57.1 \text{ KN} + 171.4 \text{ KN} = 285.6 \text{ KN}$$

پانل‌های میانقاب عرضی : دیوار امتداد C طبقه همکف

تحلیل این دیوار همانند دیوار راستای D در طبقه همکف است.

$$= \text{ماکزیمم نیروی محوری در دستک فشاری} = 250.6 \text{ KN}$$

$$= \text{زاویه دستک طبقه} = \arctan(\text{ارتفاع} / \text{طول}) = 0.32 \text{ rad}$$

$$= \text{مولفه افقی برشی} = (250.6 \text{ KN}) \times \cos(0.32) = 238 \text{ KN}$$

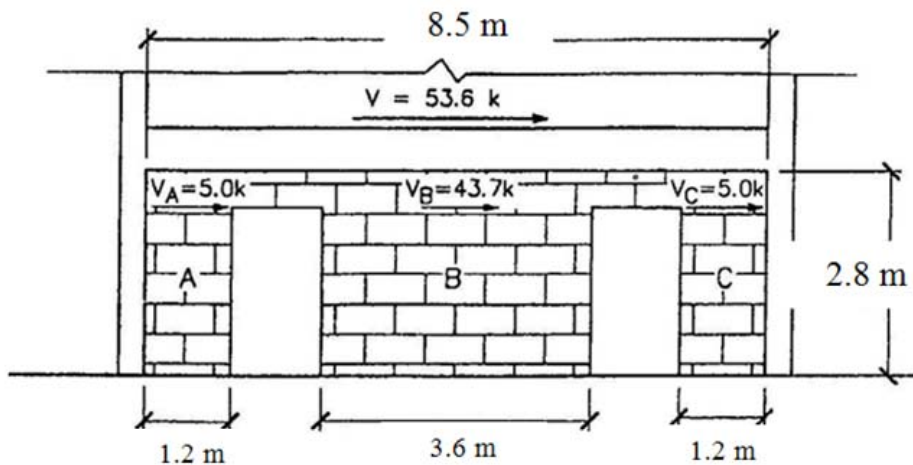
$$\text{سختی } R_A = 66666 \text{ KN} / \text{m} = R_C$$

$$R_B = 370370 \text{ KN} / \text{m}$$

$$\sum_R = 503702 \text{ KN} / \text{m}$$

$$V_A = V_C = V(R / \sum R) = 238 \text{ KN} (66666 / 503702) = 31.5 \text{ KN}$$

$$V_B = 238 \text{ KN} (370370 / 503702) = 175 \text{ KN}$$



شکل مثال ۴-۲-س

پایه C و A

$$Q_{UD} = 31.5 \text{ KN}$$

$$A_{ni} = 0.2 \times 1.2 = 0.24 \text{ m}^2$$

$$Q_{CE} = 0.24 \text{ m}^2 \times 238 \text{ KN} / \text{m}^2 = 57.1 \text{ KN}$$

$$m = 1.0 \quad (\text{FEMA 310 Table.4-5})$$

$$mQ_{CE} = (1.0)(57.1 \text{ KN}) = 57.1 \text{ KN} > 31.5 \text{ KN}, OK$$

پایه B

$$Q_{UD} = 175 \text{ KN}$$

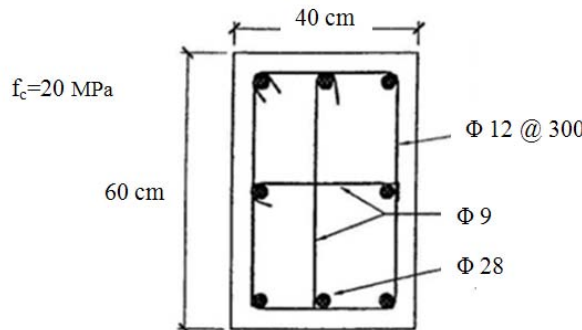
$$A_{ni} = 0.2 \times 3.6 = 0.72 \text{ m}^2$$

$$Q_{CE} = 0.72 \text{ m}^2 \times 238 = 171.4 \text{ KN}$$

$$m = 1.0 \quad (\text{FEMA 310 Table.4-5})$$

$$mQ_{CE} = (1.0)(171.4 \text{ KN}) = (171.4 \text{ KN}) < 175 \text{ KN}, N.G$$

$$\text{نیروی برشی کل امتداد دیوار} = 57.1 \text{ KN} + 57.1 \text{ KN} + 171.4 \text{ KN} = 285.6 \text{ KN}$$



شکل مثال ۴-۲-ش- تیپ ستون

گام ۵:

کنترل خمش در ستون‌ها:

ستونها حول هر دو محور قوى و ضعيف خود مقاومت خمشي دارند. ستونهای مستطيلي داراي منحنی پيچیده اندرکنش دومحوري نيرو - خمش هستند که مقدار دقیق آن با استفاده از برنامه های کامپیوتري بدست می آيد.

روشی که در این مثال استفاده شده است، برای محاسبات دستی مناسب است. اندرکنش دو محوری با رابطه زیر کنترل می‌شود:

$$\frac{M_x}{mM_{CEX}} + \frac{M_y}{mM_{CEY}} \leq 1.0$$

قابل انتظار تک محوری برای خمش حول محورهای  $x$ ,  $y$  می‌باشد. ضریب  $m$  بکاررفته در رابطه بالا با توجه به شکل پذیری عضو محاسبه می‌گردد. کنترل ستونه در محل ورودی گاراژ در شکل زیر نشان داده می‌شود.

کنترل ستونها در امتداد A :

$$Q_E = 100\% \cdot E_{QY} + 30\% \cdot E_{QX}, \quad Q_G = 0.9D$$

$$M_x = Q_{EX} = 732 \text{ KN.m}$$

$$M_y = Q_{EY} = 62.3 \text{ KN.m}$$

$$\underline{\sigma} \text{ نيروي محوري} \approx 0$$

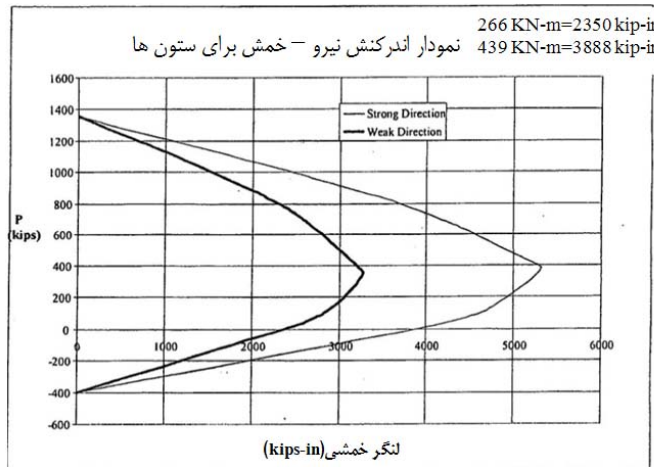
مقاومت خمشي قابل انتظار ستون  $M_{CE}$  براساس تنش کششی تسلييم قابل انتظار آرماتورهای طولی محاسبه می‌گردد.  
تنش تسلييم اسمی  $= 1.25(300 \text{ MPa}) = 375 \text{ MPa}$

ظرفیت ستون براساس برنامه کامپیوتري محاسبه می‌گردد.

$$M_{CEX} = 439 \text{ KN.m}, M_{CEY} = 266 \text{ KN.m}$$

ضریب  $m$  برای ساختمان مزبور با سطح عملکرد استفاده بی وقفه برابر ۱.۵ خواهد بود:

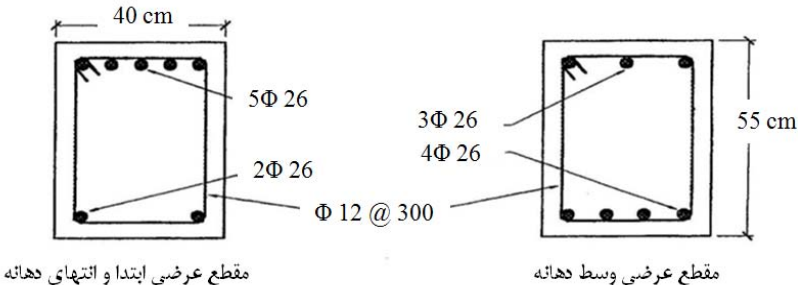
$$\frac{M_x}{mM_{CEX}} + \frac{M_y}{mM_{CEY}} \leq 1.0 = \frac{732}{1.5 \times 439} + \frac{62.3}{1.5 \times 266} = 1.3 > 1.0, FAILS$$



شکل مثال ۴-۲-ص

#### گام ۶: کنترل خمش در تیرها

خمش واردہ بر تیر باید در طول تیر کنترل شود. مقاومت قابل انتظار تیر، باید  $M_{CE}$  برای تنش تسليم قابل انتظار آرماتورهای طولی محاسبه گردد:  $1.25(300) = 375$  = تنش تسليم اسمی، ظرفیت خمشی تیر با استفاده از برنامه کامپیوترا محاسبه شده است.



شکل مثال ۴-۲-ض

تیرها در تراز بام

در انتهای تیر:

$$\text{خمش مثبت} = M_{UD}^+ = \text{لنگر خمشی مثبت}$$

$$\text{خمش منفی} = M_{UD}^- = \text{لنگر خمشی منفی}$$

$$\text{مقاومت قابل انتظار انتهای تیر} = M_{CE}^+ = 164 \text{ KN.m}, M_{CE}^- = 389 \text{ KN.m}$$

$$D/C ratios : \begin{cases} M^+ D / C = 220 / 164 = 1.3 < 2.0 \\ M^- D / C = 408 / 389 = 1.05 < 2.0 \end{cases}$$

(طبق جدول ۶-۳ و دستورالعمل ۳۶۰ نیاز شکل پذیری کم می باشد.)

توجه: به نسبت  $D/C$  نیازمندیم تا با توجه به آن مقاومت برشی تیرها تحت تلاش‌های کنترل شونده نیروی تعیین گردد. ضریب  $m$  برای تیرهای بتن مسلح براساس دستورالعمل برابر با  $1/5$  در سطح عملکرد استفاده می‌شود با نیاز شکل پذیری کم می‌باشد.

$$mM_{CE}^+ = (1.5)(164KN.m) = 247KN.m > 220KN.m, OK$$

$$mM_{CE}^- = (1.5)(389KN.m) = 584KN.m > 408KN.m, OK$$

وسط تیر:

$$mM_{UD}^+ = \text{لنگر خمشی مثبت موجود} = 155KN.m$$

$$\text{مقدار لنگر منفی وسط دهانه ناچیز است} = M_{UD}^- = \text{لنگر خمشی منفی موجود}$$

$$\text{مقاومت قابل انتظار وسط تیر} = M_{CE}^+ = 316KN.m$$

$$D/C ratios: M^+D/C = 155/316 = 0.5 < 2$$

(طبق جدول جدول ۶-۳ و دستورالعمل ۳۶۰ نیاز شکل پذیری کمی می‌باشد.)

$$mM_{CE}^+ = (1.5)(316KN.m) = 474KN.m > Q_{UD} = 155KN.m, OK$$

تیرهای تراز طبقه همکف

انتهای تیر

$$mM_{UD}^+ = \text{بزرگترین لنگر خمشی مثبت} = 119KN.m$$

$$mM_{UD}^- = \text{بزرگترین لنگر خمشی منفی} = 399KN.m$$

$$\text{مقاومت قابل انتظار در انتهای تیر} = M_{CE}^+ = 164KN.m, M_{CE}^- = 389KN.m$$

$$D/C ratios: \begin{cases} M^+D/C = 119/164 = 0.7 < 2.0 \\ M^-D/C = 399/389 = 0.9 < 2.0 \end{cases}$$

(طبق جدول جدول ۶-۳ و دستورالعمل ۳۶۰ نیاز شکل پذیری کمی می‌باشد.)

$$mM_{CE}^+ = (1.5)(164KN.m) = 246KN.m > 119KN.m, OK$$

$$mM_{CE}^- = (1.5)(389KN.m) = 584KN.m > 399KN.m, OK$$

وسط تیر:

$$mM_{UD}^+ = \text{بزرگترین لنگر خمشی مثبت} = 184KN.m$$

$$\text{از لنگر خمشی منفی در وسط دهانه صرفنظر می‌شود} = M_{UD}^- = \text{بزرگترین لنگر خمشی منفی}$$

$$M_{CE}^+ = \text{مقاومت قابل انتظار در وسط تیر} = M_{CE}^+ = 316 \text{KN.m}$$

$D/C ratios : M^+ D/C = 184/316 = 0.6 < 2.0$  (نیاز شکل پذیری کم)

$$mM_{CE}^+ = (1.5)(316) = 474 \text{KN.m} > 184 \text{KN.m}, ok$$

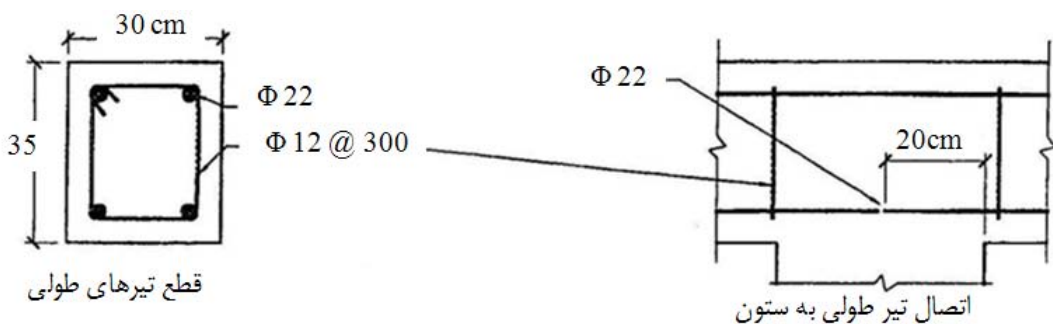
### تیرهای راستای طولی

میلگرد طولی پایین تیر از محل اتصال تیر به ستون به صورت ممتد عبور نکرده است. این میلگرد وسط عرض ستون در محل اتصال قطع شده است. بر اساس بخش ۳-۶، دستورالعمل ۳۶۰ مقاومت کششی میلگردهای قرار گرفته در مقطع بتی که دارای حداقل پوشش خالص  $3d_b$  باشد به صورت زیر محاسبه می‌گردد (نحوه در نظر گرفتن اثر وجود طول مهار ناکافی):

$$f_s = \frac{17.2}{d_b} f_y \leq f_y$$

در این معادله  $f_s$  حداقل تنشی است که در میلگرد مهارشده با طول گیرداری  $L_e$  قابل ایجاد است.

$d_b$  = قطر میلگرد و  $f_y$  تنש تسليم میلگرد می‌باشد.



شکل مثال ۴-۲-۶

### مقاومت برای میلگردهای طولی در ناحیه اتصال تیر به ستون

$$f_s = \frac{17.2}{22} \times 200 \text{mm} = 158 \text{MPa} < 300 \text{MPa}, \text{use } f_s = 158 \text{MPa}$$

میلگردهای بالایی تیرهای طولی در نقطه میانی تیر دچار لغزش می‌شود اگر طول لغزش یا مهاری میلگرد کمتر از مقدار مقابل باشد  $20d_b = 20(2.2) = 44 \text{cm}$ ، مقاومت تیرهایی که طول مهاری کوتاهی دارند و در وسط آنها خمش منفی موجود باشد براساس روش موجود در بخش ۳-۵ دستورالعمل ۳۶۰ تعیین می‌گردد. در این مثال تیرهای راستای طولی عملاً در وسط دهانه لنگر خمشی منفی ناچیزی دارند و کنترل شرایط طول مهاری لزومی ندارد.

### در انتهای تیر

$M_{UD}^+ = 24.8 \text{ KN.m}$  بزرگترین لنگر مثبت وارد

$M_{UD}^- = 46.2 \text{ KN.m}$  بزرگترین لنگر منفی وارد

مقاومت قابل انتظار در انتهای تیر  $= M_{CE}^+ = 36.6 \text{ KN.m}$  ،  $M_{CE}^- = 70.5 \text{ KN.m}$

$$D/C \text{ ratios : } \begin{cases} M^+ D / C = 24.8 / 36.6 = 0.7 < 2.0 \\ M^- D / C = 46.2 / 70.5 = 0.9 < 2.0 \end{cases} \quad \text{(نیاز شکل پذیری کم است)}$$

$$mM_{CE}^+ = (1.5)(36.6 \text{ KN.m}) = (55 \text{ KN.m}) > (24.8 \text{ KN.m}), OK$$

$$mM_{CE}^- = (1.5)(70.5 \text{ KN.m}) = (106 \text{ KN.m}) > (46.2 \text{ KN.m}), OK$$

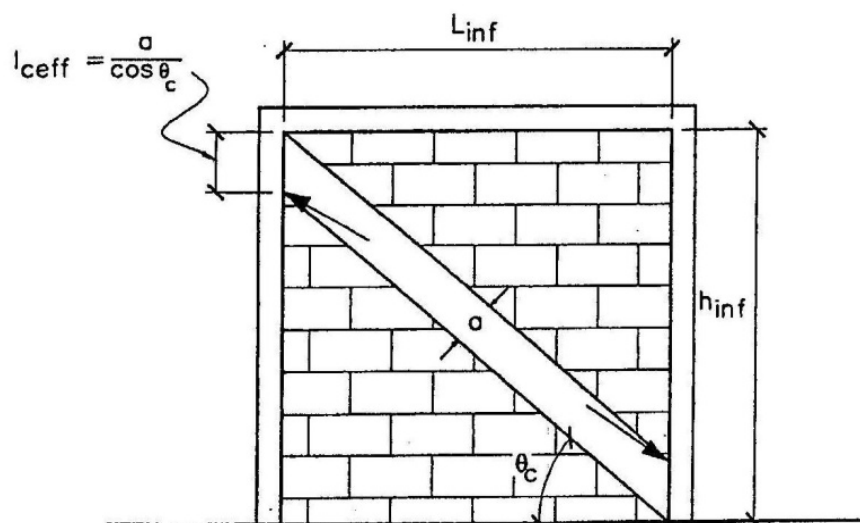
تلاشهای کنترل شونده نیرویی: برش در اعضای سازه نظیر تیر، ستون و دیافراگم جزو تلاشهای کنترل شونده نیرویی است. تلاشهای کنترل شونده نیرویی در اعضای اصلی و ثانوی به شرط زیر رضایت بخش است:

$$Q_{CL} \geq Q_{UF}$$

: ۷ گام

### برش در ستون

بخش ۷-۸-۲-۱، دستورالعمل ۳۶۰ دو روش را برای محاسبه مقاومت مورد نیاز ستونهایی که به پانل میانقابی متصل هستند بیان می کند. در این مثال از روش دوم استفاده شده است که در آن مقاومت قابل انتظار برشی ستون هایی که به پانل میانقابی چسبیده است باید از نیروی ناشی از مجموع مقاومتهای خمی ستون در بالا و پایین آن تقسیم بر ارتفاع موثر بیشتر باشد.



شکل مثال ۴-۲-۳-ظ- نیروی برشی وارد به ستون از طرف پانل میانقابی

تخمین نیروهای واردہ بر ستونها

$$L_{ceff} = \frac{a}{\cos \theta_c}$$

$$\tan \theta_c = \frac{h_{inf} - \frac{a}{\cos \theta_c}}{L_{inf}}$$

معادله فوق با استفاده از روش تکراری با دادن مقادیر  $\theta_c$  قابل حل است. پس از آن  $L_{ceff}$  با توجه به مقادیر تعیین شده برای a و  $\theta_c$  قابل محاسبه می باشد.

### برش در راستای ضعیف ستون

پانلهای میانقابی طولی در راستای ضعیف ستونها ایجاد خمش می نماید. ظرفیت خمشی ستونها در امتداد ضعیف برابر است با

$$M_{CEY} = 266KN.m$$

محاسبه  $L_{ceff}$  برای پانل های میانقابی طولی هم تیپ:

$$a = 70cm, h_{inf} = 580cm, L_{inf} = 575cm$$

تکرار تا محاسبه کامل:

$$\theta_c = 0.7$$

$$L_{ceff} = 100cm$$

محاسبه برش در ستون در امتداد ضعیف:

$$V_{col} = 2M_{col} / L_{ceff} = 2(267KN.m) / (1.0m) = 534KN$$

$$Q_{UF} = V_{col} = 534KN$$

### محاسبه مقاومت برشی ستون با توجه به بخش ۶-۳-۴، دستورالعمل ۳۶۰

کنترل ظرفیت خمشی ستونها نشان می دهد که نیاز شکل پذیری کمی دارند.

دستورالعمل ۳۶۰ تصریح می نماید که مقاومت برشی در اعضای با نیاز شکل پذیری کم در داخل نواحی جاری شده و یا در خارج از آن از فصل ۱۲ آیین نامه بتون ایران محاسبه می شود. با توجه به این موضوع از روش آبا برای محاسبه مقاومت برشی خاموتها و بتون استفاده می گردد.

$$V_n = V_c + V_s$$

در ستونها از آرماتور نمره Φ12 به عنوان خاموت با فواصل 30cm و از آرماتور نمره Φ10 به عنوان سنجاق با فواصل 30cm استفاده شده است.

بنابراین مساحت فولاد برشی در هردو راستای قوی و ضعیف ستون برابر است با:

$$2(115mm^2) + 79mm^2 = 309mm^2$$

$$V_s = \frac{A_v F_y d}{S}$$

$$V_s = \frac{(309mm^2)(30KN/mm^2)(50mm)}{300} = 105KN$$

$$V_c = 0.2\lambda \left[ 1 + \frac{N_u}{12A_g} \right] \sqrt{f'_c} b_w d$$

به صورت محافظه کارانه صفر در نظر گرفته می‌شود.

$$V_c = 0.20(1.0)\sqrt{20MPA} \times (600mm)(350mm) = 188KN$$

$$V_n = Q_{CL} = 188KN + 105KN = 293KN < Q_{UF} = 534KN \quad \text{غیر قابل قبول}$$

همه ستونهایی که به دیوار تکیه دارند در راستای محور ضعیفشان (راستای طولی) برای برش ناکافی هستند. برش در راستای محور قوی (راستای عرضی) کنترل نمی‌شود. زیرا ستونهای موجود نشان می‌دهد که دارای ظرفیت برشی ناکافی می‌باشند.

## گام‌های:

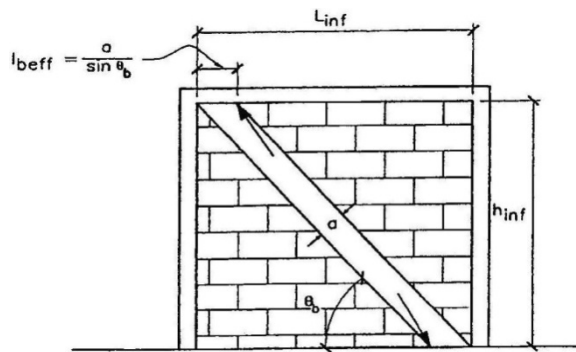
- برش در تیر

بخش ۷-۲-۳-۲، دستورالعمل ۳۶ دو روش را برای محاسبه مقاومت تیرهایی که به پانل میانقابی چسبیده اند، معرفی می‌نماید. در این مثال از روش دوم استفاده می‌شود که بیان می‌دارد، مقاومت برشی قابل انتظار تیری که به پانل میانقابی چسبیده است باید از نیروی حاصل از مجموع مقاومت خمی در انتهای تیر تقسیم به طول معادل  $L_{beff}$  بیشتر باشد.

$$L_{beff} = \frac{a}{\sin \theta_b}$$

$$\tan \theta_b = \frac{h_{inf}}{L_{inf} - \frac{a}{\sin \theta_b}}$$

در معادله فوق با استفاده از روش تکراری مقادیر  $\theta_b$  قابل حل است پس از آن  $L_{beff}$  با توجه به مقادیر تعیین شده برای  $a$  و  $\theta_b$  قابل محاسبه است.



شکل مثال ۴-۲-ع- نیروی برشی وارد به تیر از طرف پانل میانقابی

### - تیرهای راستای طولی

مقاومت خمشی در نواحی انتهایی تیرهای طولی برابر است با:  $M_{CE}^+ = 36.6KN.m$  و  $M_{CE}^- = 70.5KN.m$

برای پانل های میانقابی طولی:  $L_{beff}$

$$a = 75cm, h_{inf} = 580cm, L_{inf} = 575cm$$

تکرار تا محاسبه کامل:

$$\theta_b = 0.9$$

$$L_{beff} = 100cm$$

محاسبه برش تیر:

$$V_{beam} = (M_{CE}^+ + M_{CE}^-) / L_{beff} = (36.6 + 70.5) \times 10^3 / 1000 = 109KN$$

محاسبه مقاومت برشی تیرها براساس بخش ۴-۳-۶ دستورالعمل ۳۶۰ و کنترل ظرفیت خمشی تیرها نشان می دهد که نیاز شکل پذیری در آنها کم است. دستورالعمل ۳۶۰ تصریح می کند که مقاومت برشی در اعضای با نیاز شکل پذیری کم در نواحی جاری شده و یا در خارج از این نواحی از فصل ۱۲ آئین نامه آبا محاسبه می شود.

$$V_n = V_c + V_s$$

در تیرها از آرماتور  $\Phi 12$  به عنوان خاموت با فواصل 30cm استفاده شده است. بنابراین سطح مقطع فولاد برشی موجود برابر

$$2(115mm^2) = 230mm^2$$

$$V_s = \frac{A_v f_y d}{S}$$

$$V_s = \frac{(230mm^2)(300N.mm^2)(300mm)}{300mm} = 69KN$$

$$V_c = 0.2\sqrt{f_c} b_w d$$

$$V_c = 0.2\sqrt{20MPa} \times (300mm)(300mm) = 80.5KN$$

$$V_n = 80.5KN + 69KN = 150KN > Q_{UF} = 109KN$$

### - تیرهای راستای عرضی:

تیرهای راستای عرضی نیم طبقه در امتداد محور C و D و تیرهای عرضی بالایی در امتداد محور D به پانل‌های میانقابی متصلند.

تیرهای عرضی همگی دارای ابعاد و میلگردهای طولی یکسانی هستند.

$$M_{CE}^+ = 164KN.m, M_{CE}^- = 389KN.m$$

تیرهای نیم طبقه:

محاسبه  $L_{beff}$  برای پانل میانقابی عرضی در امتداد خط‌های C و D زیر نیم طبقه:

$$a = 45cm \quad h_{inf} = 275cm \quad L_{inf} = 845cm$$

پس از محاسبات تکراری:

$$\theta_b = 0.37$$

$$L_{beff} = 130cm$$

محاسبه برش تیر:

$$V_{beam} = (M_{CE}^+ + M_{CE}^-)/L_{beff} = (164 + 389) \times 10^3 / (1300) = 425KN$$

$$Q_{UF} = V_{beam} = 425KN$$

کنترل ظرفیت خمی تیرها نشان می‌دهد که نیاز شکل پذیری در آنها کم است. دستورالعمل ۳۶۰ تصریح می‌کند که مقاومت برشی در اعضای با نیاز شکل پذیری کم در نواحی جاری شده و یا در خارج از این نواحی از فصل ۱۲ آئین نامه آبا محاسبه می‌شود.

$$V_n = V_c + V_s$$

در تیرها از آرماتور Φ12 به عنوان خاموت با فواصل 30cm استفاده شده است. بنابراین سطح مقطع فولاد برشی موجود برابر

است با:  $2(115mm^2) = 230mm^2$

$$V_s = \frac{A_v f_y d}{S}$$

$$V_s = \frac{(230mm^2)(300N.mm^2)(500mm)}{300mm} = 115KN$$

$$V_c = 0.2\sqrt{f_c'b_w}d$$

$$V_c = \frac{0.2\sqrt{20MPa} \times (400mm)(500mm)}{1000} = 178KN$$

$$V_n = 115KN + 178KN = 293KN < Q_{UF} = 425KN$$

غیر قابل قبول

تیرهای عرضی در امتداد محور D در تراز بام:

محاسبه  $L_{beff}$  برای پانل میانقابی عرضی در امتداد محور D بالای نیم طبقه:

$$a = 105\text{cm} \quad h_{inf} = 270\text{cm} \quad L_{inf} = 850\text{cm}$$

پس از محاسبات تکراری:

$$\theta_b = 0.43$$

$$L_{beff} = 250\text{cm}$$

محاسبه برش تیر:

$$V_{beam} = (M_{CE}^+ + M_{CE}^-) / L_{beff} = (164 + 389) \times 10^3 / (2500) = 222\text{KN}$$

$$Q_{UF} = V_{beam} = 222\text{KN}$$

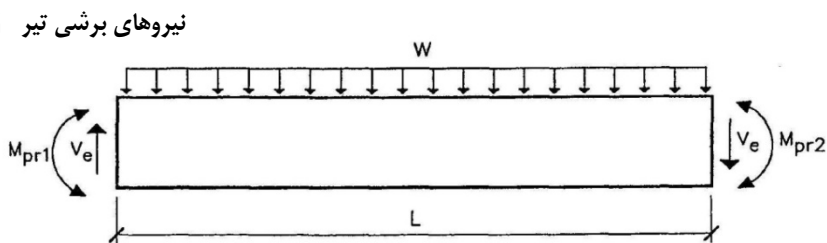
مقاومت برشی این قسمت نیز شبیه تیرهای نیم طبقه است:

$$V_n = 293\text{KN} > Q_{UF} = 222\text{KN}, OK$$

تیرهای عرضی در امتداد محور های C, B, A در تراز بام:

در تیرهای عرضی، مفاصل خمی در دو انتهای در اثر ترکیب بارهای لرزه ای مختلف ایجاد می شود. نیاز برشی تیر براساس فصل بیستم آیین نامه بتن ایران به ظرفیت خمی تیرها وابسته است. نیروی برشی طراحی Ve، با توجه به بارهای استاتیکی واردہ بر بخشی از عضو که مابین دو اتصال است بدست می آید.

ظرفیت های خمی تیر (از برنامه کامپیوتری):



شکل مثال ۲-۴-غ

$$M_{pr1}^+ = 164\text{KN.mm} \quad M_{pr1}^- = 389\text{KN.mm} \quad M_{pr2}^+ = 164\text{KN.mm} \quad M_{pr2}^- = 389\text{KN.mm}$$

$$w = 1.1D + 1.1L = 1.1(30\text{KN/m}) + 1.1(6\text{KN/m}) = 39.6\text{KN.m}$$

$$L = 8.5\text{m} \quad (\text{طول خالص دهانه تیر})$$

$$V_e = (M_{pr1}^+ + M_{pr2}^-) / L + WL / 2 = (164 + 389) / 8.5\text{m} + (39.6\text{KN.m}) \times 8.5\text{m} / 2 = 233\text{KN}$$

$$Q_{UF} = V_e = 233\text{KN}$$

$$V_n = 293\text{KN} \quad (\text{در بخش قبل محاسبه شده است})$$

$$V_n = 293KN > 233KN, OK$$

#### گام ۹: ارزیابی پانل‌های میانقابی درجهت عمود بر صفحه

بر اساس بخش ۲-۷-۷-۲ دستورالعمل ۳۶۰، حداقل نیروی خارج از صفحه که دیوار برای آن کنترل می‌شود از رابطه مقابل محاسبه می‌گردد.

$$F_p = B \times S_s \times W$$

که در آن  $F_p$  نیروی طراحی در جهت خارج از صفحه وارد بر واحد سطح دیوار بین تکیه‌گاه‌های جانبی است و  $w$  وزن دیوار در واحد سطح می‌باشد.

$$W = 440kg / m^2$$

$$S_s = 0.875$$

(جدول ۵-۲، دستورالعمل ۳۶۰)

$$F_p = 0.6 \times 0.875 \times 440 = 230kg / m^2$$

#### مقاومت پانل میانقاب درجهت عمود بر صفحه

بر اساس بند ۱-۳-۸-۷ دستورالعمل ۳۶۰، پانل‌های مورد استفاده در این ساختمان شرایط کنش قوسی را دارا نمی‌باشد لذا مقاومت آنها با توجه به بند ۲-۳-۸-۷ این دستورالعمل به صورت زیر بدست می‌آید.

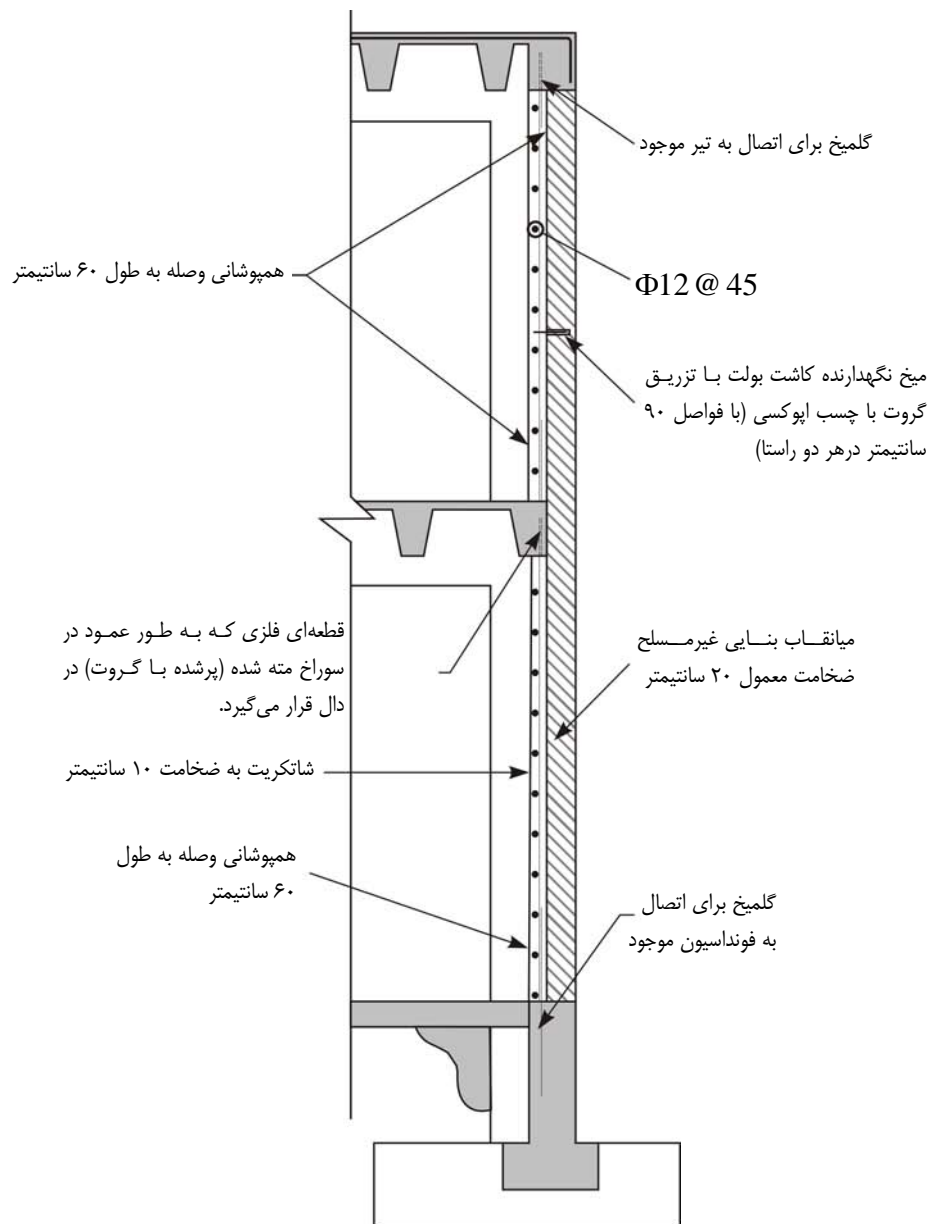
هنگامی که کنش قوسی در نظر گرفته نمی‌شود، کرانه پایین مقاومت یک پانل میانقاب مصالح بنایی غیرمسلح توسط کرانه پایین مقاومت کششی مصالح بنایی در خمس  $f_c$  کنترل می‌شود.  $f_c$  باید مساوی با  $0.7f_c$  برابر مقاومت کششی مورد انتظار مصالح بنایی در خمس که طبق روش آزمایشی معتبری تعیین می‌شود در نظر گرفته می‌شود.

$$F_{te} = 140KN / m^2$$

$$m = 1$$

$$m \times 0.7 \times F_{te} = 1.0 \times 0.7 \times 14000 = 9800kg / m^2 > 230kg / m^2$$

بنابراین دیوارهای ساختمان در هنگام زلزله از صفحه خود خارج نمی‌شوند.



شکل مثال ۴-۲-ف- نمونه‌ای از روش بهسازی مقطع دیوار موجود در راستای محور ۲



## فصل ۵

---

---

### کاہش جرم



**۱-۵ مقدمه**

همان گونه که در فصل چهارم بدان اشاره شد با روش‌هایی مانند اضافه نمودن بادبند، دیوار برشی و ... می‌توان منحنی ظرفیت سازه را افزایش داد. ولی می‌توان به منظور بهسازی سازه‌ها از راهبردهای کاهش نیاز، بجای افزایش منحنی ظرفیت سازه استفاده نمود، که در این راهبرد بوسیله راهکارهایی، پاسخ سازه در برابر نیروهای وارد بر آن اصلاح می‌گردد. در واقع بجای تغییرات در منحنی ظرفیت سازه تغییرات در طیف نیاز صورت می‌گیرد. در کارهای عملی استفاده از این راهبرد باید همراه با افزایش نسبی مقاومت و سختی سازه باشد. از راهکارهای شناخته شده برای دستیابی به این راهبرد می‌توان به کاهش جرم ساختمان، نصب سیستم‌های جداساز لرزه‌ای و یا سیستم‌های غیر فعال اتلاف انرژی (میراگرها) اشاره کرد. در این فصل موضوع کاهش جرم مورد توجه قرار می‌گیرد و سایر موضوعات در فصول بعدی مورد توجه قرار می‌گیرد.

**۲-۵ کاهش جرم ساختمان**

در ساختمان‌هایی که دارای ضعف کلی از نظر سختی جانبی یا ظرفیت باربری هستند یکی از راهکارهای مفید برای بهسازی، کاهش جرم ساختمان می‌باشد. چرا که با کاهش جرم، می‌توان میزان تغییرشکل‌ها و نیروهای داخلی ناشی از زلزله را در اعضا کاهش داد. برای این منظور می‌توان با:

۱- تخریب طبقات فوقانی،

۲- تغییر کاربری ساختمان،

۳- تغییر مصالح استفاده شده در نمای ساختمان،

۴- تغییر مشخصات دیوارهای داخلی،

۵- نصب لوله‌های تأسیسات به صورت رو کار به طوری که منجر به کاهش جرم کف ساختمان گردد،

۶- انتقال تجهیزات و انبارهای سنگین به نقاط دیگر،

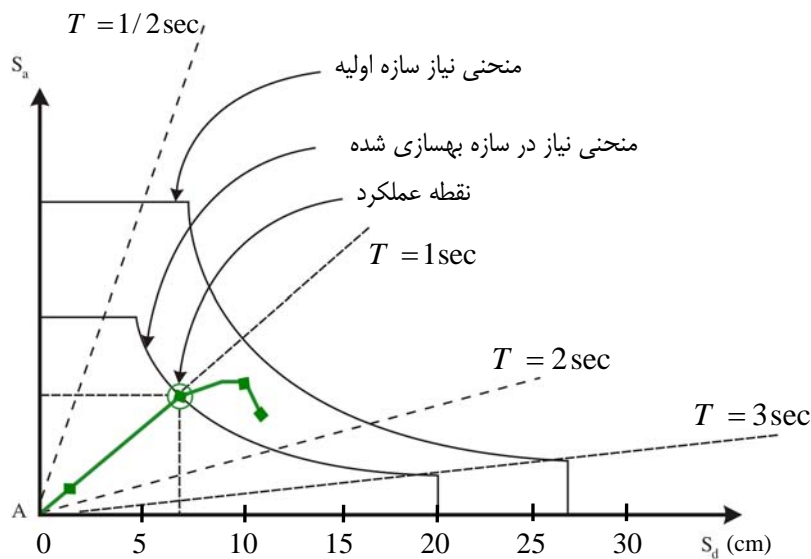
۷- برداشتن مخازن مختلف از روی بام (و یا سایر طبقات)،

جرم ساختمان را کاهش داد.

اگر چه کاهش وزن ساختمان روشی برای بهبود عملکرد لرزه‌ای می‌باشد و این راهبرد، برخوردي نسبتاً ریشه‌ای با مسئله آسیب‌پذیری سازه می‌باشد ولی در عمل بدليل وزن ناچیز اعضای قابل حذف در ساختمان و مشکلاتی که در برابر حذف یک طبقه وجود دارد، استفاده از این راهبرد مشکل می‌باشد.

در شکل ۱-۵ تاثیر کاهش جرم ساختمان بر منحنی نیاز سازه نشان داده شده است.

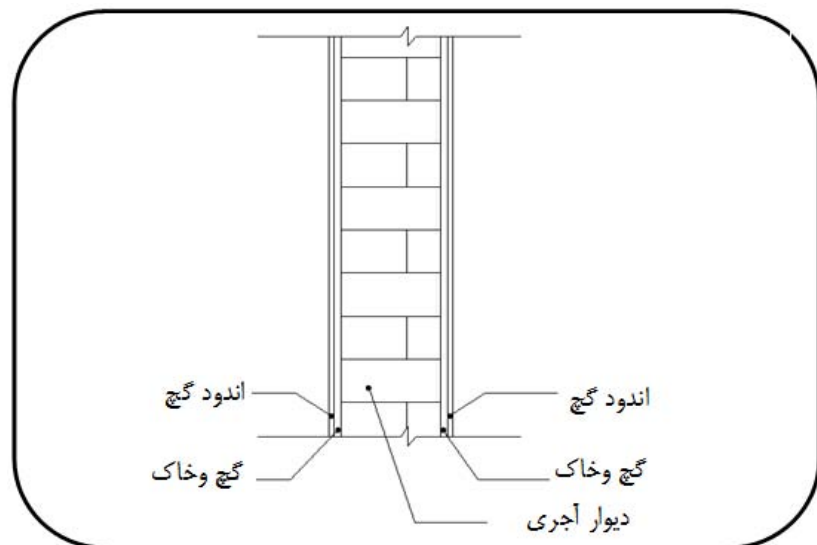
همان گونه که در شکل ۱-۵ مشاهده می‌شود با کاهش جرم سازه تغییری در منحنی ظرفیت سازه به وجود نمی‌آید و تنها این امر موجب کاهش منحنی نیاز سازه می‌گردد.



شکل (۱-۵) تاثیر کاهش جرم ساختمان بر منحنی نیاز سازه

### مثال ۱-۵

مطلوبست مقایسه نیروی زلزله وارد بر ساختمانی که در آن از تیغه‌های سنتی استفاده شده با همان ساختمان در صورتی که از تیغه‌های سبک کنافی استفاده شده باشد. زیر بنای هر طبقه ۲۰۰ مترمربع و تعداد طبقات ساختمان ۵ می‌باشد. ساختمان در شهر II تهران می‌باشد و دارای کاربری مسکونی است. سیستم باربر جانبی ساختمان نیز مهاربند هم محور فولادیست. زمین نیز نوع II می‌باشد. ارتفاع تیغه‌ها  $\frac{3}{20}$  متر و طول تیغه‌ها در هر طبقه از این ساختمان ۴۵ متر می‌باشد.



تیغه‌های سنتی

شکل مثال ۱-۵-الف

$$\text{دیوار آجری} \quad ۰/۱۰ \times ۱۸۵۰ = ۱۸۵ \quad kg / m^2$$

$$\text{گل و گچ} \quad ۲ \times ۰/۰۱۵ \times ۱۶۰۰ = ۴۸ \quad kg / m^2$$

$$\text{گچ} \quad ۲ \times ۰/۰۱۰ \times ۱۳۰۰ = ۲۶ \quad kg / m^2$$

$$259 : \text{مجموع (ضخامت ۱۰ سانتیمتر)} \quad 259 \quad kg / m^2$$

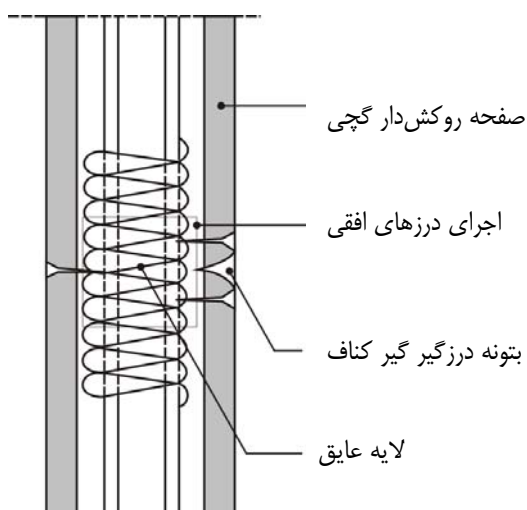
با توجه به ارتفاع و طول دیوارها وزن حاصل از تیغه‌ها برابر:

$$259 \times 45 \times ۳/۲۰ = ۳۷۲۹۶ kg$$

می‌باشد که با توجه به اینکه وزن هر متر مربع دیوار کمتر از ۲۷۵ کیلوگرم بر متر مربع است پس بار معادل گستردگی تیغه‌ها برابر:

$$\frac{37296}{۲۰} = 1865 kg / m^2$$

حال بجای جزئیات فوق، از جزئیات تیغه سبک مطابق شکل زیر استفاده شود، خواهیم داشت:



شکل مثال ۱-۵-ب

$$40 \text{ کیلوگرم} / m^2 = \text{وزن یک متر مربع تیغه سبک}$$

$$40 \times 45 \times ۳/۲۰ = 5760 kg$$

$$\frac{5760}{۲۰} = 288 << 1865 = \text{بار معادل سطحی}$$

$$50 kg / m^2 = \text{بار معادل سطحی حداقل طبق مبحث ششم مقررات ملی ساختمان}$$

محاسبه ضریب برش پایه ساختمان:

$$C = \frac{ABI}{R}$$

$$C = \frac{0.35 \times 2.0 \times 1}{6} = 0.146$$

| تیغه‌های سیک | تیغه‌های سنتی |  |
|--------------|---------------|--|
| ۴۰           | ۲۵۹           | وزن واحد سطح تیغه‌ها $\text{kg}/\text{m}^2$            |
| ۵۰           | ۱۸۶/۵         | بار معادل گستردگی تیغه‌ها $\text{kg}/\text{m}^2$       |
| ۱۰۰۰         | ۳۷۲۹۶         | وزن حاصل از تیغه‌ها در ساختمان $\text{kg}$             |
| ۱۴۶۰         | ۵۴۴۵          | نیروی زلزله حاصل از وزن تیغه‌ها در ساختمان $\text{kg}$ |

با مقایسه اعداد فوق به صراحت می‌توان عنوان نمود که با استفاده از تیغه‌های کنافی بجای تیغه‌های سنتی می‌توان برش پایه حاصل از زلزله را در حدود ۴ تن کاهش داد.

## **فصل ۶**

---

---

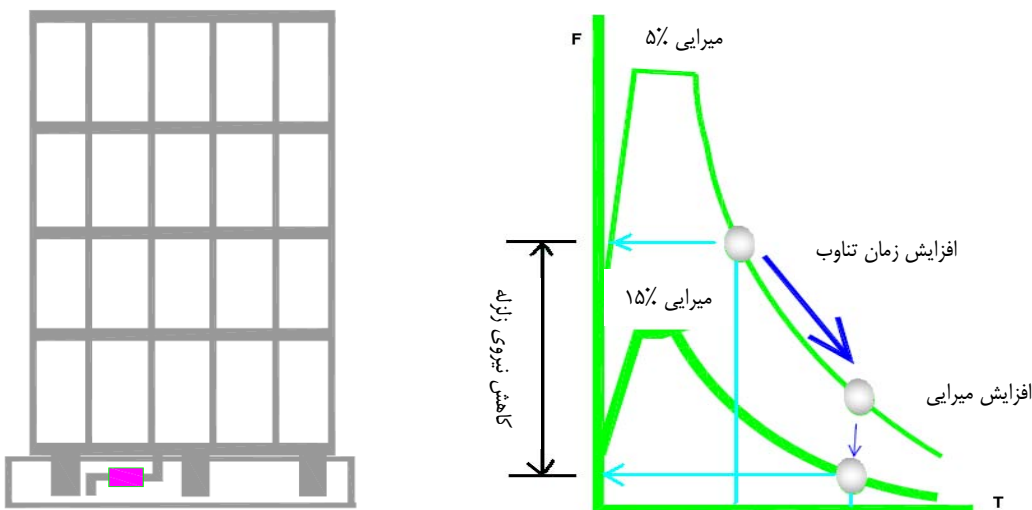
# **جداسازی لرزا های در بهسازی سازه ها**



## ۶-۱- کلیات

در بهسازی لرزه‌ای سازه‌ها، به جای افزایش ظرفیت باربری سازه تحت نیروهای جانبی می‌توان نیروهای وارد بر آنها را کاهش داد. در روش جداسازی لرزه‌ای، سازه بر روی تکیه گاههایی که قابلیت تعییرشکل جانبی زیادی دارند قرار می‌گیرد. در صورت وقوع زلزله، عمدتاً تعییرشکلها در تکیه گاه رخ داده و سازه مانند جسمی صلب با تعییرشکل‌های کوچکی ارتعاش می‌کند.

در سالهای اخیر، تکنولوژی جداسازی لرزه‌ای پیشرفت قابل ملاحظه‌ای داشته است. نصب سیستم‌های جداساز لرزه‌ای منجر به افزایش زمان تناوب اصلی سازه و کاهش نیروهای وارد بر آن می‌گردد. این روش برای ساختمانهای کوتاه و متوسط بدليل پائین بودن زمان تناوب آنها، موثرتر از ساختمانهای بلند می‌باشد. نصب جداگر باعث افزایش زمان تناوب و میرایی سازه می‌گردد. همانطور که شکل ۶-۱ نشان می‌دهد هر کدام از دو تأثیر فوق می‌تواند باعث کاهش نیروی جانبی ناشی از زلزله شوند.



شکل ۶-۱- تأثیرات استفاده از جداسازهای لرزه‌ای بر طیف پاسخ سازه‌ها

جداگرها باید به اندازه کافی سخت باشد تا تحت بارهای سرویس، بارهای باد یا زلزله‌های کوچک، برای ساکنین ارتعاش‌های آزار دهنده ایجاد نکند.

در استفاده از جداسازهای لرزه‌ای موارد زیر باید مورد توجه قرار گیرد:

الف- جداسازی از پایه برای ساختمان‌های سخت‌تر نتایج بهتری بدست می‌دهد (در ساختمانهای با زمان تناوب کمتر از ۱ ثانیه، با نصب جداگر لرزه‌ای زمان تناوب اصلی سازه به بیش از ۲ ثانیه افزایش می‌یابد).

ب- امواج زلزله در حین عبور از لایه‌های خاک فیلتر می‌شوند. شتاب حرکت زمین در خاک‌های سخت از مولفه‌های فرکانس بالا و در خاک‌های نرم از مولفه‌های فرکانس پائین تشکیل می‌شود. از این رو در خاک‌های سخت جداگر لرزه‌ای بسیار کاربردی بوده و در خاک‌های نرم از کارایی آن کاسته می‌شود. در خاک‌های خیلی نرم بعلت نزدیکی زمین تناوب سازه جداسده به زمان تناوب حداقل پاسخ سازه، جداسازی نتیجه مطلوبی نداشته و در مواردی باعث افزایش نیروهای وارد بر سازه نیز می‌گردد.

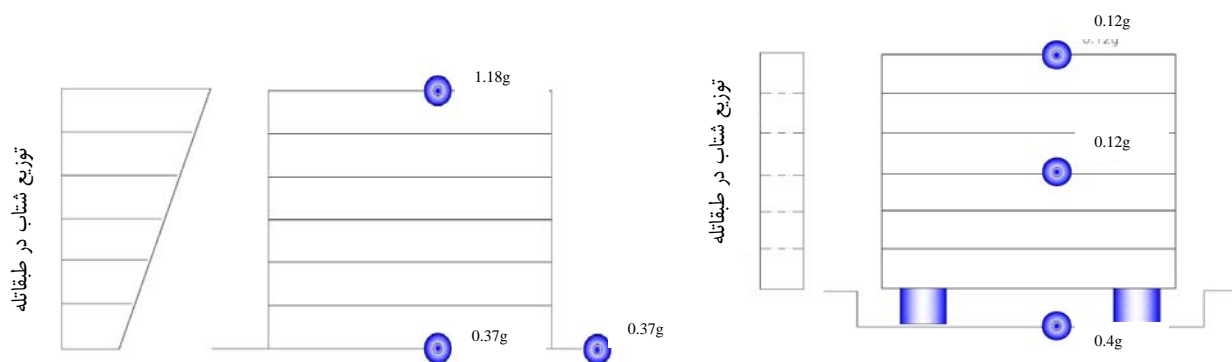
جداگرها به دلایل زیر باعث کاهش نیروی زلزله وارد برسازه می‌گردند:

- ۱- افزایش زمان تناوب مود اول (مود جداشده).
- ۲- کاهش شتاب طیفی (شبه شتاب) به علت افزایش زمان تناوب (برای اکثر طیف‌های طراحی در زمین‌های سخت این موضوع صادق است).
- ۳- عدم تحریک مودهای بالاتر توسط حرکت زمین، هر چند که ممکن است شتاب طیفی آنها بزرگ باشد، لیکن به علت کوچک بودن پاسخ استاتیکی مودی (مشارکت جرمی)، برش پایه مودهای بالاتر خیلی کوچک می‌باشد.
- ۴- بالا بودن میرایی سیستم جداگر و خاصیت جذب انرژی که به عنوان عامل ثانویه در نظر گرفته می‌شود.

#### ۶-۱-۱- مقایسه ساختمان با و بدون جدا سازی لرزه‌ای در زلزله‌های گذشته

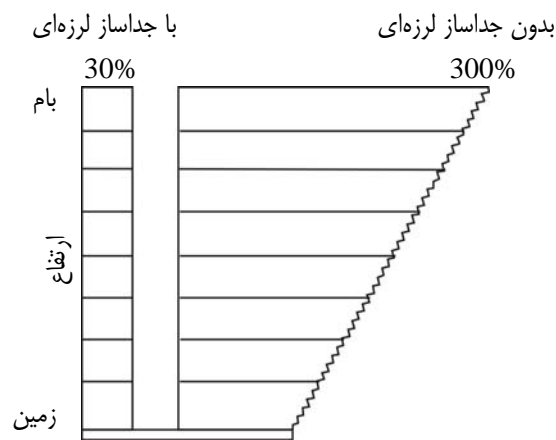
در ساختمان ۷ طبقه مرکز کامپیوتر غرب ژاپن شتاب زلزله وارد به ساختمان در تراز پایه  $0.4g$  بود که در این وضعیت با توجه به استفاده از سیستم جدا ساز لرزه‌ای، شتاب وارد به طبقات و بام  $0.12g$  اندازه گیری شد که نشان دهنده کاهش مقدار شتاب وارد به سازه به میزان  $70$  درصد می‌باشد (شکل ۶-۱). در ساختمان مشابهی که از سیستم جدا ساز استفاده نشده، میزان شتاب زلزله در تراز پایه  $0.37g$  اندازه گیری شد لیکن مقدار شتاب اندازه گیری شده در تراز بام  $0.18g$  می‌باشد (شکل ۶-۲) که نشان دهنده افزایش شتاب در طبقه بام به میزان  $300$  درصد می‌باشد.

در شکل ۶-۲ شتاب افقی ساختمان‌های مذکور مقایسه شده است.



شکل ۶-۳- ساختمان سنتی (جدانشده)، زلزله کوبه ۱۹۹۵

شکل ۶-۲- ساختمان مرکز کامپیوتر غرب ژاپن (جاداشده از پایه)، زلزله کوبه ۱۹۹۵



شکل ۶-۴- مقایسه درصد شتاب افقی دو ساختمان مجبور در زلزله کوبه ۱۹۹۵

## ۶-۱-۲- معیارهای طراحی جدآگرها

در طراحی جدآگرها معیارهای زیر باید مورد توجه قرار گیرد:

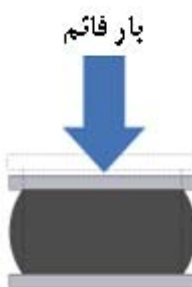
- ۱- جدآگرها در حداکثر تغییرمکان‌های ناشی از زلزله پایدار باقی بمانند.
- ۲- با افزایش تغییرمکان، مقاومت جدآگر نیز افزایش یابد.
- ۳- تحت سیکل‌های ناشی از بارگذاری زلزله، جدآگر زوال محدود شونده داشته باشد.
- ۴- مشخصات مکانیکی(سختی موثر و میرایی) تکرار شونده و در عین حال پایدار داشته باشد.

## ۶-۲- انواع سیستم‌های جداسازی

سیستم‌های جداسازی لرزه‌ای از تنوع بسیار زیادی برخوردار می‌باشند. این سیستم‌ها از لحاظ نوع مواد و عملکرد به شرح زیر تقسیم می‌شوند.

### ۶-۲-۱- سیستمهای الاستومر (لاستیک طبیعی)

نشیمن لاستیک طبیعی، نخستین بار در سال ۱۹۶۹ برای حفاظت لرزه‌ای ساختمان مدرسه پستالوزی شهر اسکوپیه مقدونیه به کار رفت. این نشیمن‌ها، بلوک‌های لاستیکی بزرگی می‌باشند که برخلاف نمونه‌های امروزی، قادر صفحات فولادی تقویت کننده بوده و در اثر وزن ساختمان، حدود ۲۵٪ فشرده می‌شوند. (شکل ۶-۵) سختی قائم نشیمنها فقط چند برابر سختی افقی بوده و لاستیک مورد استفاده تقریباً قادر میرایی است. در هر دو سمت نشیمنهای لاستیکی بلوکهایی از جنس شیشه اسفنجی (فوم) قرار داده می‌شود که جهت جلوگیری از حرکت ساختمان در اثر باد، تردداتی داخلی ساختمان یا زمین لرزه‌های با شدت کم می‌باشد.



شکل ۶-۵- تغییر شکل قائم جداگر لاستیکی خالص

## ۶-۲- سیستم‌های لاستیکی طبیعی و مصنوعی با میرایی کم به همراه صفحات فولادی

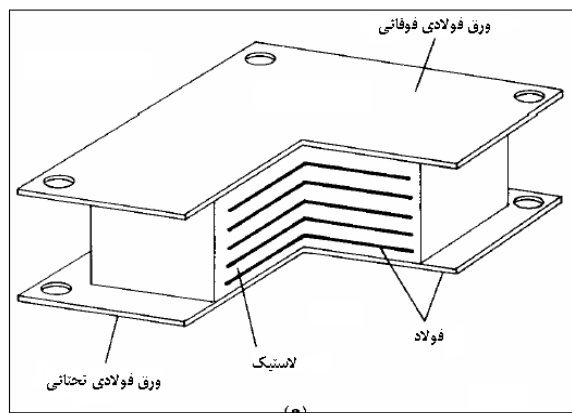
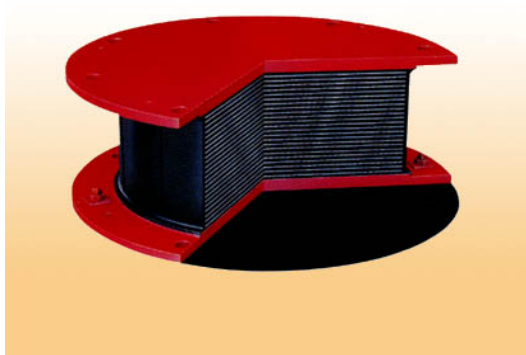
نشیمن‌های لاستیک طبیعی و مصنوعی با میرایی کم بطور گسترده‌ای به همراه میراگرهای لزج (ویسکوز)، میله‌های فولادی، میله‌های سربی و وسایل اصطکاکی بکار می‌روند. همانطور که در شکل ۶-۶ نشان داده شده است، این جداگرها شامل دو ورق ضخیم فولادی در بالا و پائین و ورق‌های نازک فولادی متعددی می‌باشند. ورق‌های فولادی مسلح کننده از انبساط جانبی لاستیک جلوگیری کرده و سختی قائم را به مقدار زیادی افزایش می‌دهند اما هیچ تاثیری بر سختی افقی سیستم که بوسیله مدول برشی الستومر کنترل می‌شود، ندارند. رفتار ماده در برش تا کرنشهای بیش از ۱۰۰٪ کاملاً خطی بوده و میرایی آن در حدود ۲ تا ۳ درصد مقدار بحرانی می‌باشد.

از مزایای این نوع نشیمن به موارد زیر می‌توان اشاره کرد:

- ساخت آسان نشیمن‌ها (فرآیند ترکیب مصالح و پیوند آن با فولاد).

- مدلسازی آسان و عدم وابستگی پاسخ دینامیکی آنها به دما و سن نمونه‌ها.

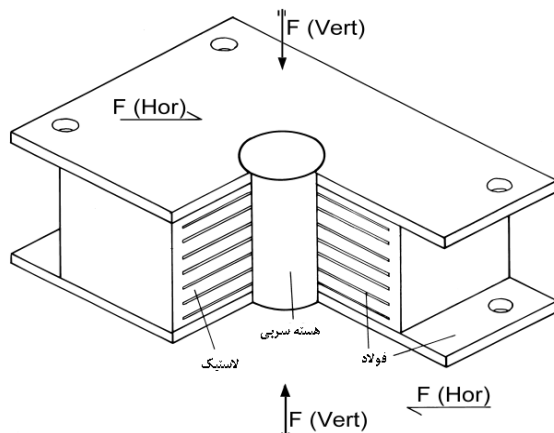
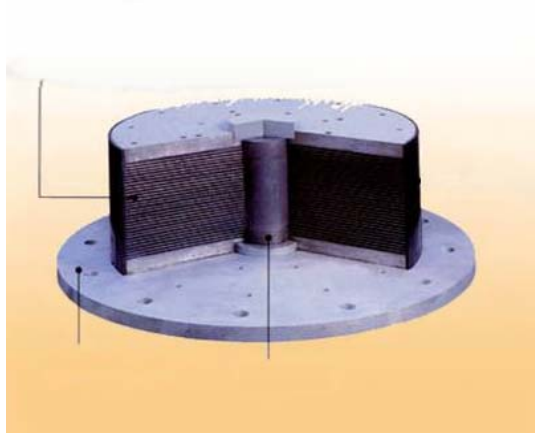
این نشیمن‌ها معمولاً به سیستم میراگر مکمل نیاز دارند که دارای اتصالات دقیق و پیچیده‌ای بوده و نوع فلزی آنها در سیکل‌های پایین دستخوش پدیده خستگی می‌گردد. اجزای مستهلك کننده انرژی شامل مجموعه‌ای از تجهیزات فولادی تسلیم شونده می‌باشند.



شکل ۶-۶- جداگر لاستیکی طبیعی و مصنوعی با میرایی کم

### ۶-۲-۳- سیستم جدأگر لاستیکی با هسته سربی (LRB)

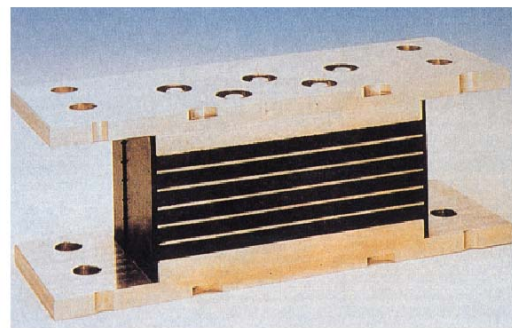
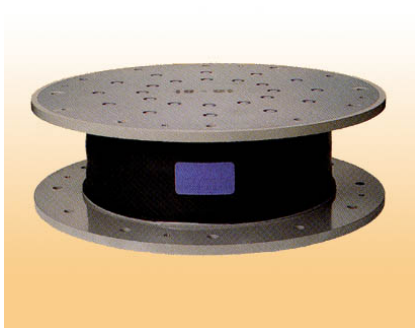
این نوع از نشیمنهای دارای یک یا چند هسته سربی بوده به همین دلیل از میرایی بالایی برخوردار می‌باشد (شکل ۶-۷). صفحات فولادی به کار رفته در این سیستم سبب تغییرشکل هسته سربی در برش می‌شوند. هسته‌های سربی در برابر نیروهای برشی تغییرشکل داده و سبب ایجاد پاسخ دوخطی در نشیمن می‌شوند. سختی و میرایی موثر نشیمنهای با هسته سربی، وابسته به مقدار جابجایی آن می‌باشد. محاسبه تغییرمکان متناظر با مقدار میرایی لازم از ضروری‌ترین سنجش‌های کار با این نوع جدأگر می‌باشد. ساختمانهایی که به وسیله این نشیمنهای تقویت شده‌اند، در زلزله‌های ۱۹۹۴ نورث‌ریچ و ۱۹۹۵ کوبه، عملکرد خوبی داشته‌اند.



شکل ۶-۷- جدأگر لاستیکی با هسته سربی (LRB)

### ۶-۲-۴- سیستم‌های لاستیک طبیعی با میرایی زیاد (HDNR)

میرایی این سیستم از افزودن بلوکهای کربنی بسیار ریز، روغنها و سایر پرکننده‌های ویژه به لاستیک حاصل می‌شود. حد پائین میرایی ( $10\%$ ) مربوط به سختی معادل  $50$  تا  $55$  دورومتر و مدول برشی در حدود  $34 \text{ MPa}$  و حد بالای میرایی ( $20\%$ ) مربوط به سیستمهای با سختی  $70$ - $75$  دورومتر و مدول برشی  $40 \text{ MPa}$  می‌باشد (شکل ۶-۸).



شکل ۶-۸- جدأگر لاستیک طبیعی با میرایی زیاد (HDNR)

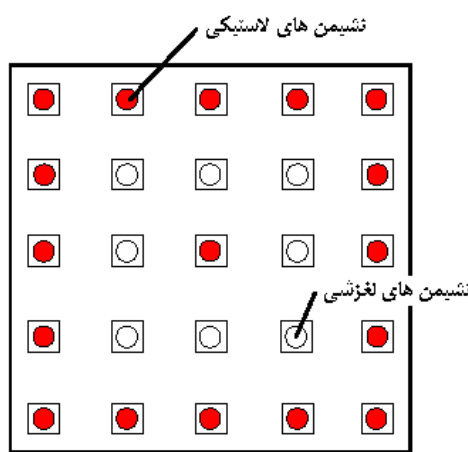
## ۶-۲-۵- سیستم ترکیبی EERC

این سیستم متشکل از دو سیستم الاستومری و لغزنده بوده و در موسسه تحقیقاتی EERC ابداع شده است. در این سیستم، ستونهای داخلی ساختمان برروی المانهای لغزنده‌ای که از جنس فولاد ضدزنگ می‌باشند قرار می‌گیرند و ستونهای خارجی برروی نشیمنهای لاستیک طبیعی با میرایی کم واقع می‌شوند. نشیمنهای الاستومری سبب بازگشت سیستم به حالت اولیه و کنترل پیچش ساختمان می‌گردند و اجزاء لغزنده، میرایی مورد نیاز سیستم را فراهم می‌آورند.

## ۶-۲-۶- سیستم ترکیبی TASS

این سیستم توسط گروه TAISEI توسعه داده شده است. در این سیستم، تمام بارهای قائم سنگین بوسیله لغزنده تلفونی ضدزنگ حمل می‌شود و نشیمنهای لایه‌ای نئوپرنی که باری به آنها وارد نمی‌شود به منظور ایجاد نیروی جانبی بازگرداننده مورد استفاده قرار می‌گیرند (شکل ۹-۶).

ضریب اصطکاک سطح تلفون بین ۱۵٪ تا ۲۵٪ برای سرعتهای کم تا زیاد متغیر می‌باشد.

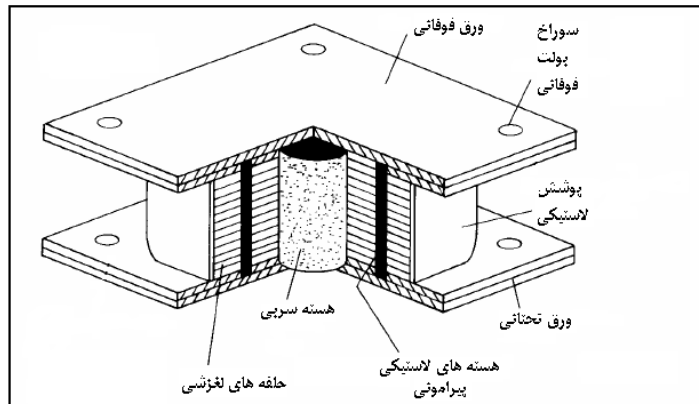


شکل ۹-۶- جدأگر ترکیبی TASS

در این سیستم بدليل کمی باربری عمودی نشیمنهای الاستومری، نشیمنها تحت کشش واقع می‌شوند. از سوی دیگر حساسیت سطح لغزنده به سرعت، مدلسازی این سیستم را دشوار کرده است.

## ۶-۲-۷- سیستم جدأگر اصطکاکی پس جهنه (R-FBI)

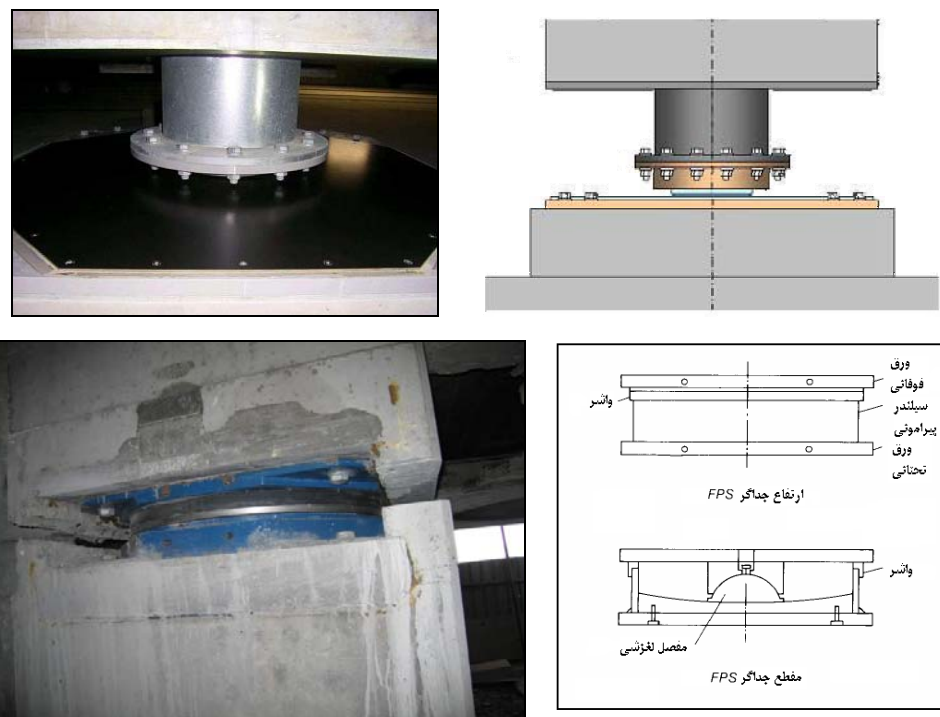
در این نشیمن با استفاده از سطوح متعدد لغزنده مشترک مشکل ضریب اصطکاک زیاد تلفون روی فولاد ضدزنگ در سرعتهای بالا رفع شده است. سرعت بین لایه‌های مختلف تقسیم شده و با کاهش سرعت هر لایه، ضریب اصطکاک کاهش می‌یابد. علاوه بر المانهای لغزنده، هسته مرکزی که از جنس لاستیک می‌باشد، نیرویی بازگرداننده‌ای در سیستم ایجاد می‌کند. آزمایش‌های صورت گرفته برروی این سیستم نشان می‌دهند که هسته لاستیکی توانایی توزیع مناسب تغییرمکان‌ها را ندارد، برای رفع این مشکل میله فولادی در داخل هسته لاستیکی قرار گرفته تا توزیع تغییرمکان بین لایه‌های لغزنده را بهبود بخشد (شکل ۱۰-۶).



شکل ۶-۱۰- جدآگر R-FBI

#### ۶-۲-۸- سیستم آونگ اصطکاکی FPS

این سیستم بوسیله هندسه خاص خود، عمل لغزش و نیروی بازگرداننده را فراهم می‌کند. جداساز FPS که در شکل ۱۱-۶ نشان داده شده است دارای قسمت لغزنه مفصلی است که بر روی سطح کروی از جنس فولاد ضدزنگ می‌لغزد. سطح دیگر این لغزنه نیز کروی نیز کروی بوده و با لایه‌ای از فولاد ضد زنگ پوشیده شده است. حرکت قسمت لغزنه مفصلی و سطح کروی باعث ایجاد میرایی در جداساز می‌شود. سختی موثر جداساز و میرایی آن به وسیله شعاع انحنای سطح محدب کنترل می‌گردد.



شکل ۶-۱۱- جدآگرهای اصطکاکی FPS

## ۶-۲-۹- سیستم‌های فنری

سیستم‌های جداسازی الاستومری و لغزنه برای فراهم کردن جداسازی افقی مورد استفاده قرار می‌گیرند. هنگامی که جداسازی کامل (سه بعدی) ممکن نباشد می‌توان از سیستم‌های فنری استفاده کرد. در شکل ۱۲-۶ سیستم فنری GERB نشان داده شده است. این سیستم برای جداسازی تجهیزات توربین نیروگاه‌ها طراحی شده است.

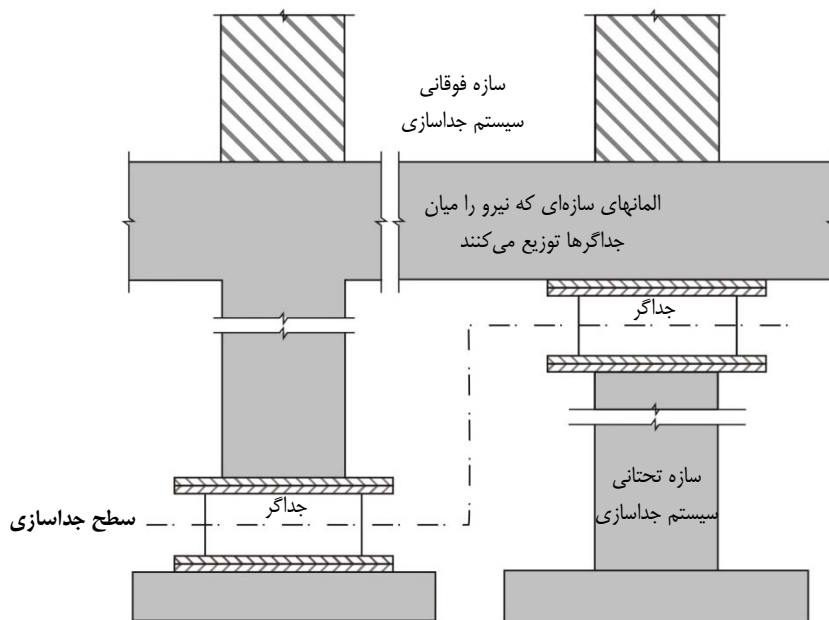


شکل ۱۲-۶ - جداگر GERB

در این سیستم از فنرهای حلقوی فولادی که در دو راستای افقی و قائم انعطاف پذیرند استفاده شود. فنرهای حلقوی فولادی قادر میرایی بوده و این سیستم همواره با میراگر لژج GERB بکار می‌رود.

## ۶-۳- تعریف المانهای سازه جداسده

سطح جداسازی، سطح فرضی بین بخش فوقانی سازه و بخش تحتانی آن می‌باشد که بخش تحتانی بصورت صلب با زمین حرکت می‌کند. این سطح جداسازی شده صفحه افقی است که می‌تواند در تراز پروژه جابجا شود(شکل ۱۳-۶). سیستم‌های الکتریکی و تاسیسات که از عرض سطح جداسازی عبور می‌کنند باید با حداکثر تغییرمکان نسبی سازگاری داشته باشند. واحدهای جداگر الاستومری-سرپی در کرنش‌های کوچک سخت بوده و معمولاً معیارهای تغییرمکان در برابر بارهای باد را تامین می‌نمایند. نیروی اصطکاک ایستایی جداگر لغزشی معمولاً بزرگتر از نیروی باد است.

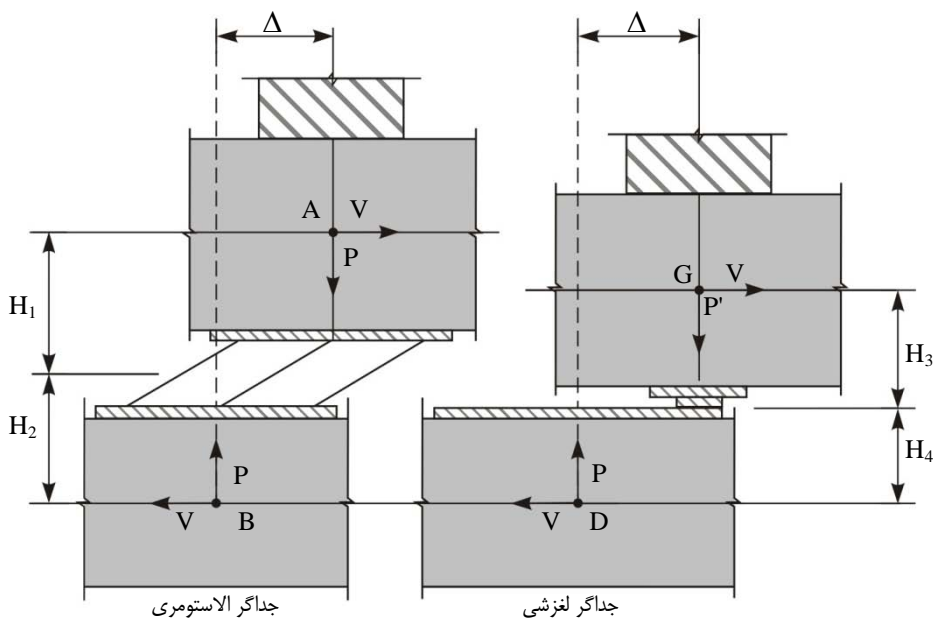


شکل ۶-۱۳- اجزای سیستم جداگر

#### ۶-۴- اثرات بارهای $P - \Delta$ بر سیستم جداسازی

دلیل وجود تغییرشکل‌های بزرگ در سیستم‌های جداسازی شده لحاظ نمودن اثرات  $\Delta - P$  در جداسازها و المانهای سازه

مجاور، امری ضروریست (شکل ۶-۱۴).



شکل ۶-۱۴- لنگرهای حاصل از برش افقی و اثرات  $P - \Delta$

## ۶-۵- مراحل نصب جداگر لرزه‌ای

پس از تعیین ابعاد جداگر که با توجه به سطح خطر لرزه‌ای و سطح عملکرد ساختمان تعیین می‌گردد باید تراز برش ستونها و دیوارهای برشی نیز تعیین شوند. تراز برش در طبقه جداسازی شده باید براساس به حداقل رسانی اثرات خمشی بر روی ستونهای جدا شده و فونداسیون تعیین شود.

مراحل نصب جداگر برای بهسازی ساختمان کتابخانه دانشگاه ویکتوریای نیوزلند توضیح داده شده است. لازم به ذکر است که سازه این ساختمان از نوع قاب خمشی بتن مسلح بوده که برای جداسازی آن به برش ستونها اکتفا شده و عملیات نصب جداگر برای هر ستون بطور کامل انجام گرفته و سپس عملیات نصب بر روی ستون بعدی آغاز می‌گردد. ابتدا جک‌های هیدرولیکی در اطراف ستون جدا شونده به منظور باربردای ثقلی از روی ستون در تراز نصب جداگر تعییه می‌گردند (شکل ۶-۱۵).



شکل ۶-۱۵- نصب جک‌های هیدرولیکی اطراف ستون جدا شده

سپس تجهیزات فیلتر کننده برای انتقال گرد و خاک ناشی از برش ستون به خارج از ساختمان اجرا می‌گردد. (شکل ۶-۱۶)



شکل ۶-۱۶- مکش گرد و خاک با استفاده از اجرای سیستم تهویه

برای شروع برش ستون ابتدا حلقه شاقول شده در محل برش ستون و به دور آن ایجاد می‌گردد تا سطح برش بصورت کاملاً افقی باشد. سپس برش ستون به کمک دستگاههای برش با کابلهای تیغه الماسه شروع می‌گردد (شکل ۶-۱۷).



شکل ۱۷-۶ - برش ستون

پس از بریدن ستون در دو تراز بالا و پائین محل نصب جداگر سازه خرپایی نگهدارنده برای قراردادن جرثقیل در اطراف ستون ایجاد گردیده و سپس بلوك جدا شده با کمک جرثقیل ریلی به بیرون هدایت می‌گردد ( اشکال ۱۸-۶ و ۱۹-۶).

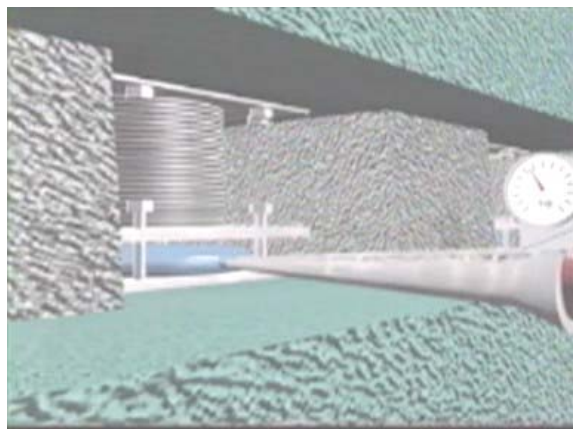


شکل ۱۸-۶ - نصب سازه خرپایی نگهدارنده



شکل ۱۹-۶ - خروج بلوك بریده شده

پس از خارج کردن بلوک بتنی، جداگر ما بین ستون قرار گرفته و سپس فضای بین جداگر و ستون توسط گروت انبساطی پرشده و پیرامون سطح برش خورده رینگ فولادی اجرا می‌گردد.

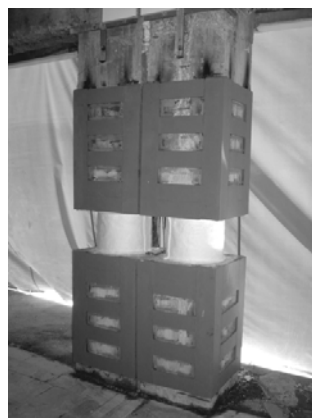


شکل ۶-۲۰- تزریق گروت انبساطی

با اطمینان از برقراری اتصال مناسب، فشار از روی جک‌های هیدرولیکی برداشته شده و بار ستون به سیستم جداگر منتقل می‌گردد(شکل ۶-۲۰).

## ۶-۶- درز انبساط

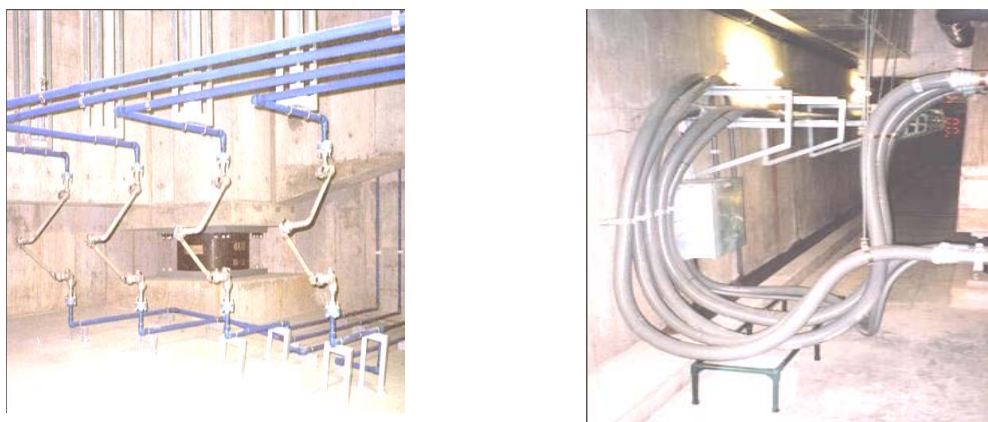
درصورتیکه ساختمان از بلوک‌های نزدیک به هم تشکیل شده و بین بلوک‌ها درز انبساط پیش‌بینی شده باشد، در اثر تغییرشکل افقی جداگر در هنگام زلزله، امکان برخورد این بلوک‌ها به یکدیگر وجود دارد. برای رفع این مشکل میتوان از قفل لرزه‌ای (Seismic lock) در عرض درز انبساطی استفاده نمود. این سیستم از مواد با ویسکوزیتیه بالا ساخته شده که در برابر حرکات آزاد و طولانی مدت حرارتی ساختمان وارد عمل نمی‌شود ولی در هنگام بروز شوک‌های شدید ناشی از زلزله قفل شده و مانع از حرکت نسبی دو بلوک مجاور نسبت به هم می‌شود. راه حل دیگر دوختن ستونهای بالای سطح جدا شده با استفاده از پیوندهای دائمی مانند اتصال با ورق‌های فولادی همانند شکل ۶-۲۱ می‌باشد. با توجه به تغییرشکل نسبی کم در طبقات بالاتر نیاز به دوختن درز انبساط در طبقات بالاتر نمی‌باشد.



شکل ۶-۲۱- اتصال ستونهای درز انبساطی در بالا و پایین سطح جدا شده

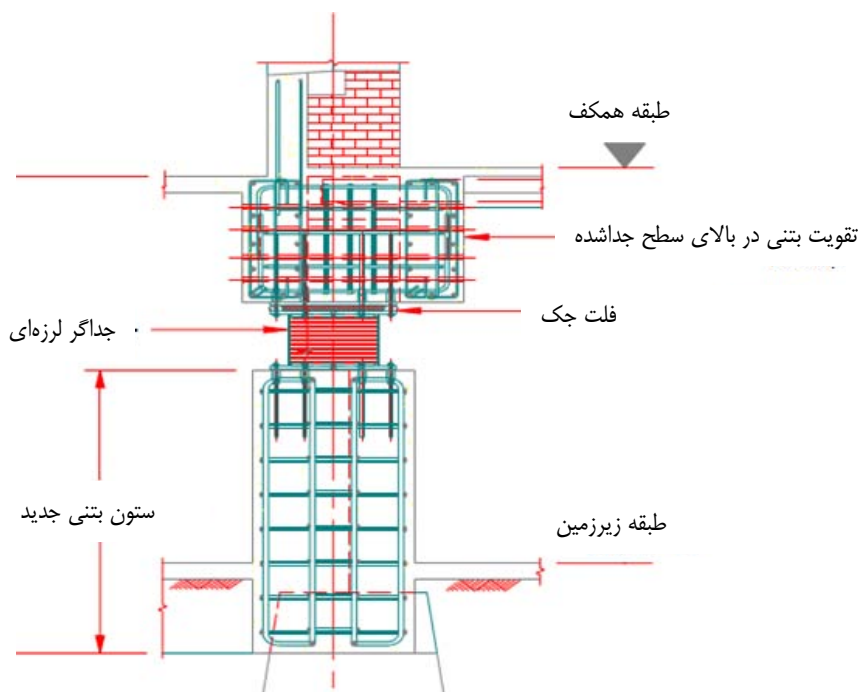
## ۶-۷- اجزای غیر سازه‌ای

المانهای معماری، مکانیکی و برقی در سطوح جداسازی شده مانند نما، پله برقی، قابهای پنجره، مجاري آب پشت بام، کابلها، لوله‌های آتش نشانی و دیوارها باید در برابر حرکات جداگرها در سطح جدا شده طراحی شوند تا پس از زلزله سریعتر قابل استفاده باشند. در شکل ۶-۲۲ برخی از این المانها نشان داده شده‌اند.

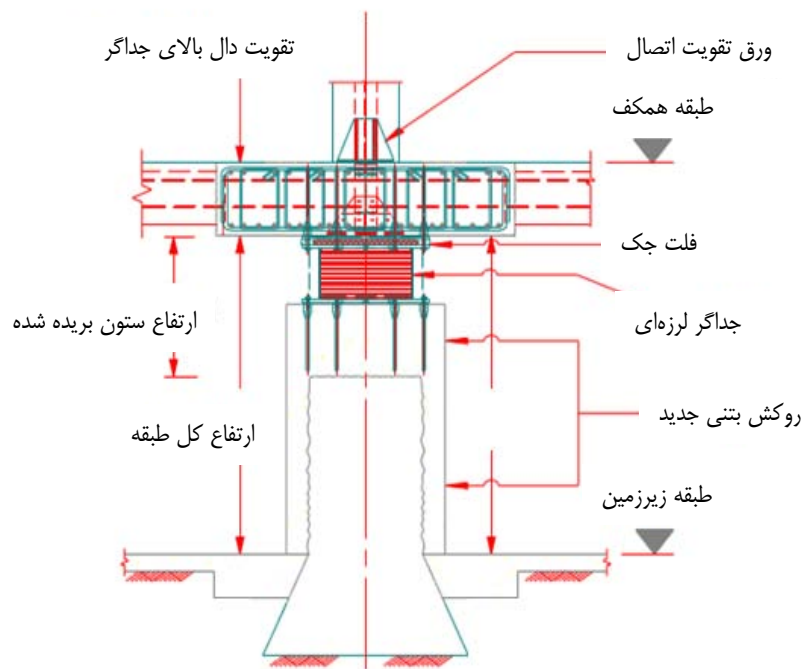


شکل ۶-۲۲- استفاده از اتصالات مناسب برای تاسیسات مکانیکی و برقی در تراز جداشده

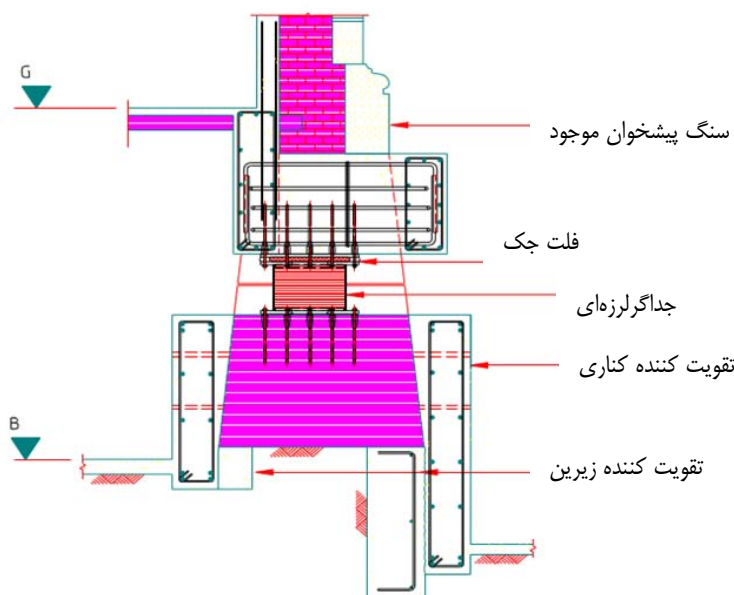
در اشکال ۶-۲۳ تا ۶-۲۶ چند مورد از جزئیات تیپ جداسازی برای بهسازی ساختمانها ارائه شده است.



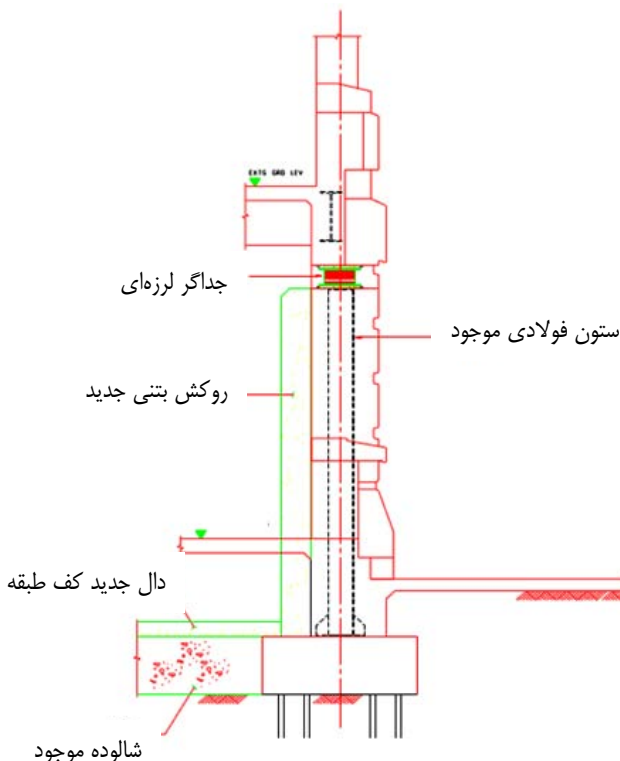
شکل ۶-۲۳- جزئیات تیپ نصب جداگر در زیر دیوار برشی باربر



شکل ۶-۲۴- جزئیات تیپ نصب جداگر در ستون بتنی موجود



شکل ۶-۲۵- جزئیات تیپ نصب جداگر در ساختمان بنایی موجود



شکل ۶-۲۶- جزئیات تیپ نصب جداگر در ستونهای فولادی

## ۶-۸- مراحل طراحی جداگر لرزه‌ای لاستیکی با میرایی بالا (HDR):

برای طراحی جداگر لاستیکی با میرایی بالا می‌توان به ترتیب زیر عمل نمود:

۱- تعیین وزن کل سازه ( $P_{(DL+LL)max}$ ) و بارمحوری سنگین‌ترین ستون ( $W_{DL+LL}, W_{DL+0.2\times LL}$ )

۲- تعیین زمان تنابوب اصلی سازه ( $T_F$ ) و انتخاب زمان تنابوب سازه جداسازی شده ( $T_D$ )

در صورتیکه  $T_D \geq 3 \times T_F$  باشد جداسازی کارایی بهتری خواهد داشت.

چنانچه  $T_D \geq 3.0_{(SEC)}$  باشد نیاز به طیف طرح ویژه ساختگاه می‌باشد.

مناسب‌ترین بازه زمان تنابوب هدف ( $T_D$ ) بین ۲/۵ تا ۲ ثانیه می‌باشد.

۳- محاسبه سختی جانی موثر کل جداگرها ( $K_{eff}$ ):

$$K_{eff} = \frac{W_{DL+0.2\times LL}}{g} \left( \frac{2\pi}{T_D} \right)^2 \quad (1-6)$$

۴- محاسبه تغییر مکان طرح ( $D_D$ ):

$$D_D = \left( \frac{g}{4\pi^2} \right) \frac{S_{1D} \cdot T_D}{B_1} \quad (2-6)$$

: شتاب طیفی در زمان تنابوب یک ثانیه ( $S_{1D}=A \times B_{1D}$ ) برای زلزله طرح

A: نسبت شتاب مبنای طرح منطقه

B: ضریب بازتاب سازه در زمان تناوب یک ثانیه  $B_{1D}$

B1: ضریب میرایی که برای جداگر با نسبت میرایی  $\beta_D = 1/5$  می‌باشد (جدول ۱-۸ نشریه ۳۶۰).

۵- محاسبه مجموع مساحت جداگرها  $A_{total}$  براساس حداکثر سطح مقطع بدست آمده از سه معیار محدودیت تنفس  
مجاز قائم  $A_1$ ، محدودیت کرنش برشی  $A_2$  و محدودیت سختی برشی  $A_3$ .

$$A_1 = \frac{N \cdot P_{(DL+LL)max}}{\sigma_{all}} \quad (3-6)$$

$$A_2 = \frac{6S \cdot W_{DL+LL}}{E_C \cdot \gamma} \quad (4-6)$$

$$t = \frac{D_D}{\gamma} \quad (5-6)$$

$$A_3 = \frac{K_{eff} \cdot t}{G} \quad (6-6)$$

$$A_{total} = \max\{A_1, A_2, A_3\} \quad (7-6)$$

٪: کرنش برشی جداکثر لاستیک (150%)

G: مدول برشی لاستیک (0.4~1.0 MPa)

$\sigma_{all}$ : تنفس فشاری مجاز (10 MPa)

t: ضخامت مجموع لایه‌های لاستیکی بین ورق‌های فولادی

$E_C = E(1 + 2kS^2)$ : مدول فشاری قائم لاستیک و فولاد (E: 3.3 G~4.0 G)

k: ضریب اصلاح مدول (0.5 ≤ k ≤ 1.0)

S: ضریب شکل جداگر (10 ≤ S ≤ 20)

A<sub>total</sub>: مجموع مساحت تمام جداگرها

$A_n$ : سطح مقطع یک جداگر

N: تعداد جداگرها

$$A_n = \frac{A_{total}}{N} \quad (8-6)$$

۶- تعیین ضخامت لایه‌های لاستیک

$$t_r = \frac{d}{4S} \quad \text{برای جداگر استوانه‌ای} \quad (9-6)$$

$$t_r = \frac{a}{4S} \quad \text{برای جداگر مکعب مستطیلی} \quad (10-6)$$

$$n = \frac{t}{t_r} \quad \text{تعداد لایه‌های لاستیک بین ورق‌های فولادی}$$

d: قطر جداگر استوانه‌ای

a: ضلع سطح جداگر مکعب مستطیلی

۷- تعیین ضخامت ورق‌های فولادی بین لایه‌های لاستیکی:

$$3mm \geq t_s \geq \frac{4t_r \times P_{(DLL+LL)\max}}{A_r \cdot F_s} \geq 2mm \quad (11-6)$$

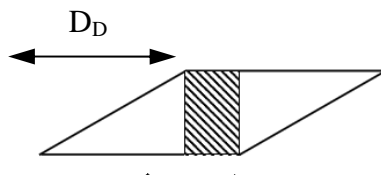
$D_D = A_r$  = مساحت همپوشانی سطوح بالا و پائین جداگر تحت تغییر مکان طرح

$$A_r = A \left( 1 - \frac{D_D}{a} \right) \quad \text{برای نشیمن با سطح مربعی} \quad (12-6)$$

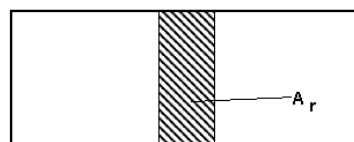
$$A_r = 0.5 \left( d^2 \sin^{-1} \left( \frac{\zeta}{d} \right) - D_D \zeta \right) \quad \text{برای نشیمن استوانه‌ای} \quad (13-6)$$

$$\zeta = \sqrt{(d^2 - D_D^2)} \quad (14-6)$$

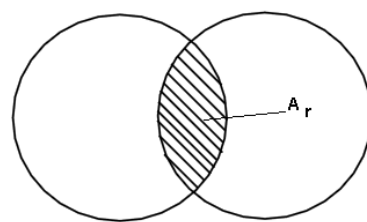
F<sub>s</sub>=0.6F<sub>y</sub>: تنش مجاز ورق‌های فولادی



نمای جداگر تغییرشکل یافته



پلان جداگر مکعبی تغییرشکل یافته



پلان جداگر استوانه‌ای تغییرشکل یافته

شکل ۶-۲۷- مساحت همپوشانی تحت تغییر مکان طرح

### -۸- کنترل بار کمانش

تعیین بار بحرانی کمانش:

$$P_{crit} = \sqrt{P_S \cdot P_E}$$

$$P_S = GA_s \quad , \quad P_E = \frac{\pi^2 (EI)_{eff}}{t^2} \quad , \quad (EI)_{eff} = E_C \left(\frac{1}{3}\right) I \quad (۱۵-۶)$$

$$SF = \frac{P_{crit}}{P_{DL+LL+EQ}} \geq 1.0$$

As: سطح ورق فولادی جداگر

I: ممان اینرسی سطح جداگر

P<sub>DL+LL+EQ</sub>: نیروی محوری وارد بر جداگر ناشی از بارهای ثقلی و زلزله

### -۹- کنترل روابط آئین‌نامه آشتو

$$\varepsilon_c = \frac{P_{DL+LL}}{K_v \cdot t_r} \quad \text{کرنش قائم} \quad (۱۶-۶)$$

$$\varepsilon_{sc} = 6S \cdot \varepsilon_c \quad \text{کرنش برشی حاصل از بار قائم} \quad (۱۷-۶)$$

$$K_v = \frac{E_c \cdot A}{t_r} \quad \text{سختی قائم یک لایه لاستیک} \quad (۱۸-۶)$$

$$\varepsilon_{sr} = \frac{d^2 \cdot \theta}{2t_r \cdot t} \quad \text{کرنش برشی حاصل از چرخش جداگر}(\theta) \quad (۱۹-۶)$$

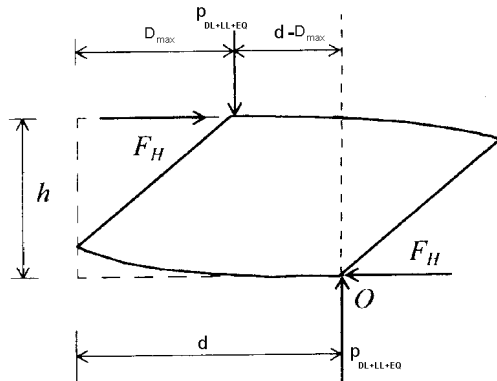
$$\varepsilon_{sh} = \frac{D_D}{t} \quad \text{کرنش برشی حاصل از تغییر شکل جانبی} \quad (۲۰-۶)$$

$\varepsilon_u$  کرنش نهایی پارگی لاستیک که از آزمایش بدست می‌آید.

$$\varepsilon_{sc} \leq \frac{\varepsilon_u}{3} \quad (۲۱-۶)$$

$$(\varepsilon_{sc} + \varepsilon_{sh} + \varepsilon_{sr}) \leq 0.75 \varepsilon_u \quad (۲۲-۶)$$

#### ۱۰- جلوگیری از غلتش جداگر



شکل ۶-۲۸- دیاگرام نیروهای وارد بر جداگر

$$K_H = \frac{K_{eff}}{N} \quad (23-6)$$

$$D_{max} \leq \frac{d \cdot P_{DL+LL+EQ}}{P_{DL+LL+EQ} + K_H \cdot h} \quad (24-6)$$

:  $K_H$  سختی جانبی یک جداگر

:  $D_{max}$  تغییر مکان جداگر

:  $h$  ارتفاع جداگر

#### ۱۱- برش پایه طرح V (وارد برسازه جداسازی شده)

$$V = K_{eff} \cdot D_D \quad (25-6)$$

#### ۶-۹- مراحل طراحی جداگر لرزه‌ای لاستیکی با هسته سربی (LRB):

برای طراحی جداگر لاستیکی با هسته سربی می‌توان به ترتیب زیر عمل نمود.

۱- تعیین وزن کل سازه ( $P_{(DL+LL)max}$ ) و بارمحوری سنگین‌ترین ستون ( $W_{DL+0.2 \times LL}$ ,  $W_{DL+LL}$ )

۲- تعیین زمان تناوب اصلی سازه ( $T_F$ ) و انتخاب زمان تناوب سازه جداسازی شده ( $T_D$ )

در صورتیکه  $T_D \geq 3 \times T_F$  باشد جداسازی کارایی بهتری خواهد داشت.

چنانچه  $T_D \geq 3.0_{(SEC)}$  باشد نیاز به طیف طرح ویژه ساختگاه می‌باشد.

مناسب‌ترین بازه زمان تناوب هدف ( $T_D$ ) بین ۲/۵ تا ۲ ثانیه می‌باشد.

-۳- محاسبه سختی جانبی موثر کل جداگرها ( $K_{eff}$ ):

$$K_{eff} = \frac{W_{DL+0.2\times LL}}{g} \left( \frac{2\pi}{T_D} \right)^2 \quad (26-6)$$

-۴- محاسبه تغییر مکان طرح ( $D_D$ ):

$$D_D = \left( \frac{g}{4\pi^2} \right) \frac{S_{1D} \cdot T_D}{B_1} \quad (27-6)$$

$S_{1D}$ : شتاب طیفی در زمان تناوب یک ثانیه برای زلزله طرح

$A$ : نسبت شتاب مبنای طرح منطقه

$B_{1D}$ : ضریب بازتاب سازه در زمان تناوب یک ثانیه

$B_1$ : ضریب میرایی که برای جداگر با نسبت میرایی  $\beta_D = 25\%$  برابر  $1/6$  می‌باشد (جدول ۸-۱ نشریه ۳۶۰).

-۵- محاسبه مساحت هسته سربی براساس درصد میرایی بحرانی ( $\beta_{eff} = 25\%$ )

-۱-۵- میزان استهلاک انرژی در هر سیکل:

$$W_D = 2\pi k_{eff} \cdot D_D^2 \cdot \beta_{eff} \quad (28-6)$$

-۲-۵- مقاومت تسلیم سرب:

$$Q_d \equiv \frac{W_D}{4D_D} \quad (29-6)$$

-۳-۵- سختی ثانویه جداگر:

$$k_d = k_{eff} - \frac{Q_d}{D_D} \quad (30-6)$$

-۴-۵- تغییر مکان تسلیم جداگر:

$$D_y = \frac{Q_d}{k_u - k_d}, \quad k_u \approx 10k_d \quad (31-6)$$

-۵-۵- سطح مقطع کل هسته‌های سربی:

$$A_{pb}^{total} = \frac{Q_d}{F_y^{pb}} \quad (32-6)$$

$F_y^{pb}$ : تنش تسلیم سرب

-۶-۵- سختی مورد نیاز لاستیک‌ها:

$$k_{rubber} = k_{eff} - \frac{Q_d}{D_D} \quad (33-6)$$

۶- محاسبه مساحت لاستیک جداگرها ( $A_{rub}$ ) براساس حداکثر سطح مقطع بدست آمده از سه معیار محدودیت تنش مجاز قائم  $A_1$ , محدودیت کرنش برشی  $A_2$  و محدودیت سختی برشی  $A_3$ .

$$A_1 = \frac{N \cdot P_{(DL+LL) \max}}{\sigma_{all}} \quad (34-6)$$

$$A_2 = \frac{6S \cdot W_{DL+LL}}{E_C \cdot \gamma} \quad (35-6)$$

$$t = \frac{D_D}{\gamma} \quad (36-6)$$

$$A_3 = \frac{K_{rubber} \cdot t}{G} \quad (37-6)$$

٪: کرنش برشی جداکثر لاستیک (150%)

G : مدول برشی لاستیک (0.4~1.0 MPa)

$\sigma_{all}$  : تنش فشاری مجاز (10 MPa)

t : ضخامت مجموع لایه‌های لاستیکی بین ورق‌های فولادی

$E_C = E(1 + 2kS^2)$  : مدول فشاری قائم لاستیک و فولاد (E<sub>C</sub>)

E : مدول قائم لاستیک (3.3G~4.0G)

S : ضریب شکل جداگر (10 ≤ S ≤ 20)

k : ضریب اصلاح مدول (0.5 ≤ k ≤ 1.0)

$A_{rub}$  : مجموع مساحت لاستیک جداگرها

$A_{total}$  : مساحت مجموع جداگرها (لاستیک+هسته سربی)

$$A_{total} = A_{rub} + A_{pb}^{total} \quad (38-6)$$

$A_n$  : سطح مقطع یک جداگر

N : تعداد جداگرها

$$A_n = \frac{A_{total}}{N} \quad (39-6)$$

۷- تعیین ضخامت لایه‌های لاستیک

$$t_r = \frac{d}{4S} \quad \text{برای جداگر استوانه‌ای} \quad (40-6)$$

$$t_r = \frac{a}{4S} \quad \text{برای جداگر مکعبی مستطیلی} \quad (41-6)$$

$$n = \frac{t}{t_r} \quad \text{تعداد لایه‌های لاستیک بین ورق‌های فولادی:}$$

d: قطر جداگر استوانه‌ای

a: ضلع سطح نشیمن

-۸- تعیین ضخامت ورق‌های فولادی مابین لایه‌های لاستیک:

$$3mm \geq t_s \geq \frac{4t_r \times P_{(DL+LL)max}}{A_r \cdot F_s} \geq 2mm \quad (42-6)$$

(شکل ۲۷-۶): مساحت همپوشانی سطوح بالا و پائین جداگر تحت تغییر مکان طرح D<sub>D</sub>: A<sub>r</sub>

$$A_r = A \left( 1 - \frac{D_D}{a} \right) \quad \text{برای نشیمن با سطح مربعی} \quad (43-6)$$

$$A_r = 0.5 \left( d^2 \sin^{-1} \left( \frac{\zeta}{d} \right) - D_D \zeta \right) \quad \text{برای نشیمن استوانه‌ای} \quad (44-6)$$

$$\zeta = \sqrt{(d^2 - D_D^2)} \quad (45-6)$$

F<sub>s</sub>=0.6F<sub>y</sub>: تنش مجاز ورق‌های فولادی

-۹- کنترل بار کمانش

تعیین بار بحرانی کمانش:

$$P_{crit} = \sqrt{P_S \cdot P_E}$$

$$P_S = GA_s \quad , \quad P_E = \frac{\pi^2 (EI)_{eff}}{t^2} \quad , \quad (EI)_{eff} = E_c \left( \frac{1}{3} \right) I \quad (46-6)$$

$$\frac{P_{crit}}{P_{DL+LL+EQ}} \geq 1.0 \text{ SF=}$$

As: سطح ورق فولادی یک جداگر

I: ممان اینرسی سطح یک جداگر

## ۱۰- کنترل روابط آئین نامه آشتو

$$\varepsilon_c = \frac{P_{(DL+LL)max}}{K_v t_r} \quad \text{کرنش قائم:} \quad (47-6)$$

$$\varepsilon_{sc} = 6S \cdot \varepsilon_c \quad \text{کرنش برشی حاصل از بار قائم:} \quad (48-6)$$

$$K_v = \frac{E_c \cdot A}{t_r} \quad \text{سختی قائم یک لایه لاستیک:} \quad (49-6)$$

$$\varepsilon_{sr} = \frac{d^2 \cdot \theta}{2t_r \cdot t} \quad \text{کرنش برشی حاصل از چرخش جداگر}(\theta). \quad (50-6)$$

$$\varepsilon_{sh} = \frac{D_D}{t} \quad \text{کرنش برشی حاصل از تغییر شکل جانبی:} \quad (51-6)$$

$\varepsilon_u$  کرنش نهایی پارگی لاستیک که از آزمایش بدست می‌آید.

$$\varepsilon_{sc} \leq \frac{\varepsilon_u}{3} \quad (52-6)$$

$$(\varepsilon_{sc} + \varepsilon_{sh} + \varepsilon_{sr}) \leq 0.75 \varepsilon_u \quad (53-6)$$

## ۱۱- جلوگیری از غلتش جداگر(شکل ۲۸-۶)

$$D_{max} \leq \frac{d \cdot P_{DL+LL+EQ}}{P_{DL+LL+EQ} + K_H \cdot h} \quad (54-6)$$

$$K_H = \frac{K_{eff}}{N} \quad (55-6)$$

: سختی جانبی یک جداگر  $K_H$

: تغییر مکان حداقل  $D_{max}$

: ارتفاع جداگر  $h$

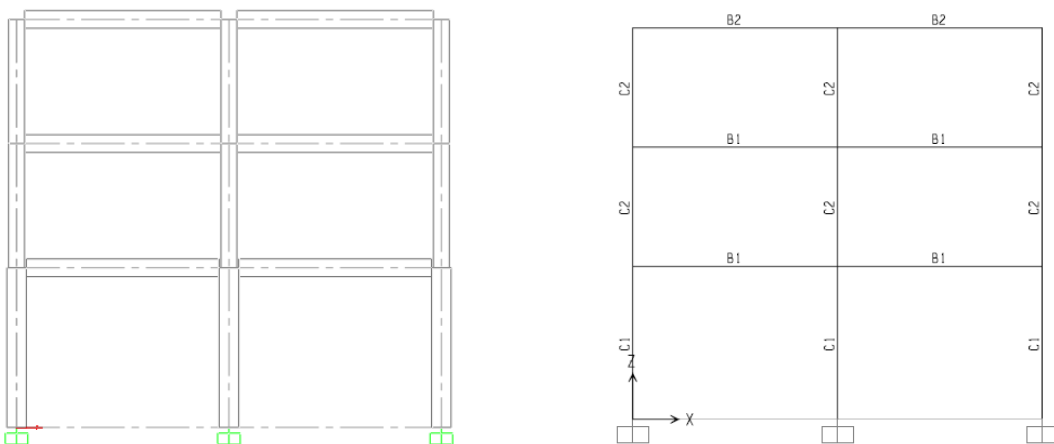
## ۱۲- برش پایه طرح V (وارد برسازه جداسازی شده)

$$V = K_{eff} \cdot D_D \quad (56-6)$$

## ۶-۱۰-۱- مثال

### ۶-۱۰-۱- توصیف

مثال حاضر قاب خمی بتنی دو بعدی (دو دهانه در سه طبقه) می‌باشد. محل احداث این سازه ناحیه‌ای با خطر نسبی زلزله بسیار زیاد فرض شده است. نوع خاک نیز براساس دسته بندی آئین نامه ۲۸۰۰ از نوع دو (II) می‌باشد. این سازه پیش از بهسازی بر اساس آئین نامه ۲۸۰۰ ویرایش ۳ و مفروضات فوق طراحی شد. سپس جهت ارتقای سطح عملکرد این سازه از روش جداگر لرزه‌ای برای بهسازی آن استفاده می‌شود. در این مثال از جداگر LRB (لاستیکی-هسته سربی) با توجه به کاربرد فراوان آن برای بهسازی لرزه‌ای استفاده شده است. در ادامه نحوه طراحی و کنترل آن ارائه شده است. در شکل ۲۹-۶ نمای دو بعدی سازه پیش از جداسازی ملاحظه می‌شود.



شکل ۲۹-۶ - مدل دو بعدی قاب بتنی

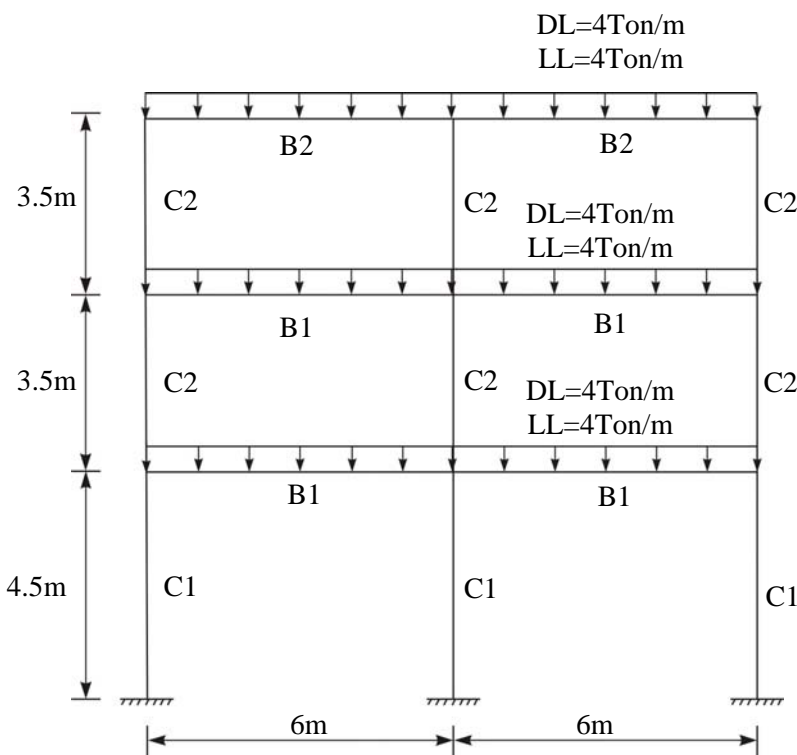
### ۶-۱۰-۲- طراحی قاب خمی بتنی بر اساس آئین نامه ۲۸۰۰

با طراحی قاب خمی بتنی بر اساس آئین نامه ۲۸۰۰ انتظار می‌رود:

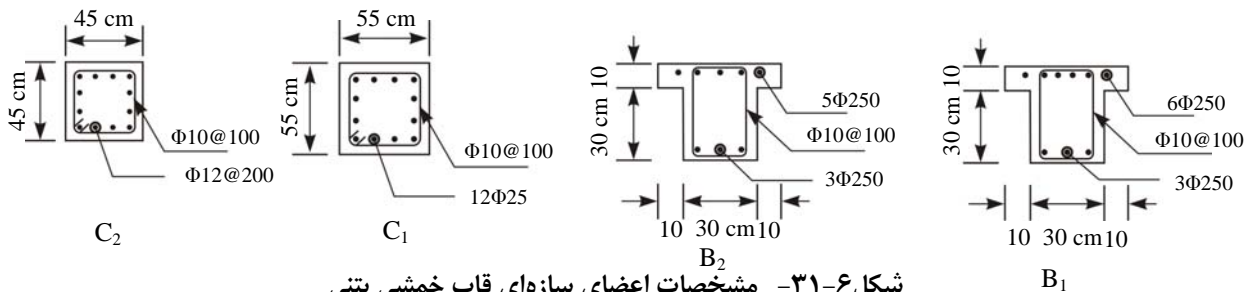
الف : با حفظ ایستایی ساختمان در زلزله‌های شدید (زلزله طرح که احتمال وقوع آن و یا زلزله‌های بزرگتر از آن در ۵۰ سال عمر مفید ساختمان کمتر از ۱۰٪ می‌باشد. زلزله با دوره‌ی بازگشت ۴۷۵ ساله)، تلفات جانی به حداقل برسد و نیز ساختمان در برابر زلزله‌های خفیف و متوسط (زلزله سطح بهره‌برداری که احتمال وقوع آن یا زلزله‌های بزرگتر از آن در ۵۰ سال عمر مفید ساختمان بیشتر از ۹۹/۵٪ می‌باشد) بدون وارد شدن آسیب عمده سازه‌ای قادر به مقاومت باشد.

ب : با توجه به اهمیت ساختمان مورد بررسی (ساختمان با اهمیت متوسط، گروه ۳) خسارات سازه‌ای و غیر سازه‌ای در آن به حداقل برسد.

پیکربندی و بارگذاری نقلی قاب خمی بتنی در شکل (۳۰-۶) و مشخصات مقاطع آن در شکل (۳۱-۶) نشان داده شده است (وزن اسکلت ۲۸/۸ تن می‌باشد).



شکل ۶-۳۰- پیکربندی و بارگذاری ثقلی قاب خمثی بتُنی



شکل ۶-۳۱- مشخصات اعضای سازه‌ای قاب خمثی بتُنی

مقاومت فشاری نمونه استوانه‌ای ۲۸ روزه بتن  $f_c=250 \text{ kg/cm}^2$  و مقاومت تسلیم فولاد  $f_y=4000 \text{ kg/cm}^2$  می‌باشد.

جهت بارگذاری لرزه‌ای، برش پایه‌ی زلزله بر اساس آینین نامه ۲۸۰۰ تعیین می‌گردد.

$$V = \frac{ABI}{R} W$$

مشخصات لرزه‌ای سازه تعیین برش پایه در جدول ۱-۶ داده شده است.

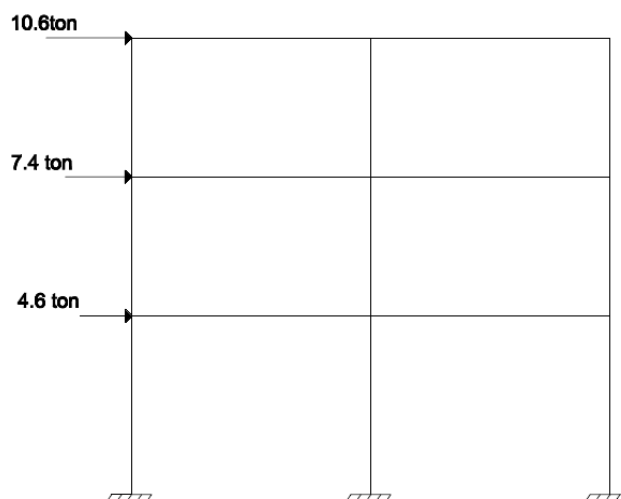
جدول ۱-۶ مشخصات لرزه‌ای سازه

| مشخصه لرزه‌ای          | مقدار عددی            | توضیحات                                  |
|------------------------|-----------------------|--|
| زمان تناوب اصلی سازه   | $T = 0.44\text{Sec}$  | $T = 0.07(H)^{\frac{3}{4}}$              |
| شتاب مبنای طرح         | $A = 0.35g$           | محل سازه: تهران با خطر نسبی بسیار زیاد   |
| ضریب بازتاب            | $B = 2.5$             | بر اساس طیف طرح استاندارد آیین نامه ۲۸۰۰ |
| ضریب اهمیت             | $I = 1$               | ساختمان با اهمیت متوسط(گروه ۳)           |
| ضریب رفتار             | $R = 7$               | قابل خمی بتنی با شکل پذیری متوسط         |
| وزن موثر سازه در زلزله | $W = 180 \text{ ton}$ | $W = W_D + 20\%W_L$                      |

با توجه به جدول ۱-۶ برش پایه قابل محاسبه است:

$$V = \frac{ABI}{R}W = \frac{0.35 \times 2.5 \times 1}{7} \times 180 = 0.125 \times 180 = 22.5 \text{ ton}$$

توزیع نیروی زلزله در ارتفاع در شکل ۳۲-۶ نشان داده شده است:



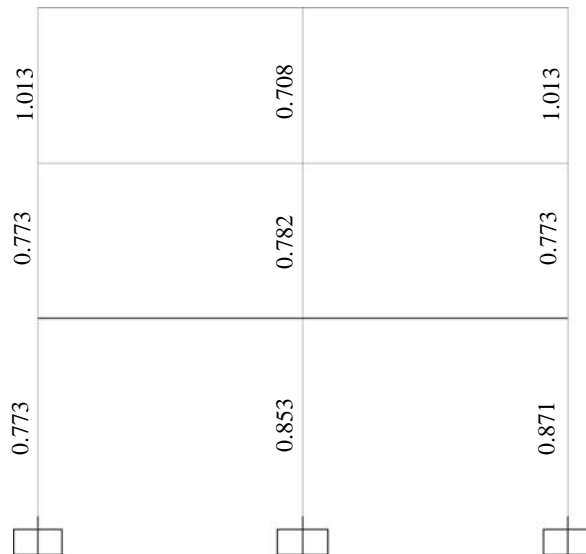
شکل ۳۲-۶ - توزیع نیروی زلزله در ارتفاع

با توجه به بارگذاری ثقلی و لرزه‌ای، تحلیل و طراحی سازه به روشن حالت حدی بر اساس ترکیب‌های بارگذاری زیر انجام

می‌شود (ACI-318-99).

- 1)  $D_{con1} = 1.4D$
- 2)  $D_{con2} = 1.4D + 1.7L$
- 3)  $D_{con3} = 0.75(1.4D + 1.7L + 1.87E)$
- 4)  $D_{con4} = 0.75(1.4D + 1.7L - 1.87E)$
- 5)  $D_{con5} = 0.9D + 1.43E$
- 6)  $D_{con6} = 0.9D - 1.43E$

نسبت اندرکنش نیروی محوری و لنگر خمشی در ستون‌ها در شکل ۳۳-۶ نشان داده شده است. همانطور که ملاحظه می‌شود اعضاً سازه طوری طراحی شده است که از حداقل ظرفیت آنها استفاده و نسبت تنش به عدد ۱ نزدیک شود.



شکل ۳۳-۶ - نسبت اندرکنش نیروی محوری و لنگر خمشی در ستون‌های قاب خمشی بتنی

تعییرمکان جانبی نسبی طبقات نیز بر اساس بند (۵-۲) آینین‌نامه ۲۸۰۰ کنترل و نتایج در جدول ۲-۶ ارائه شده است. در این جدول  $\Delta_w$  تعییرمکان جانبی نسبی طرح در طبقه،  $\Delta_M$  تعییرمکان جانبی نسبی واقعی طرح در طبقه،  $\Delta_{all}$  مقدار مجاز تعییرمکان جانبی نسبی طرح و  $h_i$  ارتفاع طبقه می‌باشد.

جدول ۲-۶ کنترل تعییرمکان جانبی نسبی طبقات

| طبقه | $\Delta_{wi}$<br>(cm) | $\Delta_M = 0.7R\Delta_{wi}$<br>(cm) | $\Delta_{all} = 0.025h_i$<br>(cm) | $\Delta_M \leq 0.025h_i$ |
|------|-----------------------|--------------------------------------|-----------------------------------|--------------------------|
| 1    | 1.36                  | 6.66                                 | 11.3                              | Ok                       |
| 2    | 1.77                  | 8.67                                 | 8.8                               | Ok                       |
| 3    | 1.35                  | 6.62                                 | 8.8                               | Ok                       |

ضوابط طرح لرزه‌ای برای قاب‌های خمشی بتنی با شکل پذیری متوسط نیز بر اساس مبحث نهم مقررات ملی ساختمان کنترل شده است. پس از طراحی سازه بر اساس آینین‌نامه ۲۸۰۰، ارزیابی لرزه‌ای آن طبق نشریه‌ی ۳۶۰ انجام می‌شود.

### ۶-۱۰-۳- ارزیابی لرزه‌ای سازه بر اساس نشریه‌ی ۳۶۰

#### مبانی و ملزومات

- سطح عملکرد ساختمان

سطح عملکرد ساختمان ایمنی جانی می‌باشد، به طوریکه اجزای سازه‌ای آن دارای سطح عملکرد ۳ (ایمنی جانی) و اجزای غیرسازه‌ای آن دارای سطح عملکرد C (ایمنی جانی) باشد.

- سطح خطر لرزه‌ای

سطح خطر لرزه‌ای ساختمان، سطح خطر-۱ می‌باشد. این سطح خطر معادل زلزله طرح (DBE) بر اساس آیین نامه ۲۸۰۰ می‌باشد.

- هدف بهسازی

با توجه به سطح عملکرد و سطح خطر انتخابی، هدف بهسازی مینا برای این سازه در نظر گرفته می‌شود که در آن انتظار می‌رود تحت زلزله‌ی سطح خطر-۱، ایمنی جانی ساکنین تأمین گردد.

- سطح اطلاعات

سطح اطلاعات به صورت سطح اطلاعات متعارف فرض می‌شود. با توجه به جدول (۱-۲) نشریه‌ی ۳۶۰ ضریب آگاهی K برابر ۱ می‌باشد.

- مقاومت مصالح

کرانه‌ی پایین مقاومت فشاری بتن برابر مقاومت اسمی آن و مقاومت فشاری مورد انتظار بتن با توجه به جدول ۱-۶ نشریه‌ی ۳۶۰، ۱/۲۵ برابر کرانه‌ی پایین مقاومت فشاری بتن در نظر گرفته می‌شود. کرانه‌ی پایین مقاومت تسلیم میل گردها برابر مقاومت اسمی و مقاومت تسلیم موردنظر میل گردها ۱/۱۵ برابر مقاومت کرانه‌ی پایین منظور می‌شود.

$$f_{cl}' = 250 \text{ kg/cm}^2$$

مقاومت فشاری کرانه‌ی پایین بتن

$$f_{ce}' = 1.25 \times 250 = 312.5 \text{ kg/cm}^2$$

مقاومت فشاری مورد انتظار بتن

$$f_{yLB} = 4000 \text{ kg/cm}^2$$

مقاومت تسلیم کرانه‌ی پایین فولاد

$$f_{ye} = 1.15 \times 4000 = 4600 \text{ kg/cm}^2$$

مقاومت تسلیم مورد انتظار فولاد

- روش تحلیل استاتیکی خطی

- برآورد نیروها و تغییرشکل‌ها

در روش تحلیل استاتیکی خطی، نیروی جانبی ناشی از زلزله (V) به صورت ضربی از وزن کل سازه طبق رابطه‌ی زیر محاسبه می‌شود:

$$V = C_1 C_2 C_3 C_m S_a W$$

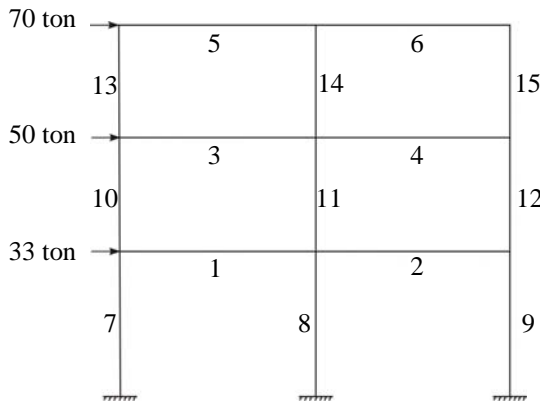
ضرایب این رابطه طبق نشریه‌ی ۳۶۰ تعیین می‌شود:

### جدول ۶-۳ ضرایب برش پایه در روش تحلیل استاتیکی خطی

| مقدار ضریب             | توضیحات  |
|------------------------|--|
| $T = 0.44 \text{ Sec}$ | بر اساس رابطه تجربی  |
| $C_1 = 1.075$          | ضریب تصحیح برای اعمال تغییرمکان‌های غیرارتگاعی سیستم   |
| $C_2 = 1$              | ضریبی برای اعمال اثرات کاهش سختی و مقاومت اعضای سازه‌ای بر تغییرمکان‌ها به دلیل رفتار چرخشی آنها |
| $C_3 = 1$              | ضریبی برای اعمال اثرات ثانویه $P-\Delta$ با رفتار غیرخطی مصالح                                   |
| $C_m = 0.9$            | جهت اعمال اثر مودهای بالاتر  |
| $S_a$                  | $(S_a = A \times B = 0.35 \times 2.5 = 0.875)$ شتاب طیفی   |
| $W = 180 \text{ ton}$  | وزن مؤثر   |

$$V = C_1 C_2 C_3 C_m S_a W = 0.85 \times 180 = 153 \text{ ton}$$

در شکل زیر توزیع نیروی زلزله در ارتفاع نشان داده شده است.



شکل ۶-۳۴ - توزیع نیروی زلزله در ارتفاع

### • کنترل ضوابط محدوده‌ی کاربرد روش استاتیکی خطی

طبق بند (۱-۳-۲) نشریه ۳۶۰ استفاده از روش استاتیکی خطی هنگامی مجاز است که شرایط زیر برقرار باشد:

- ۱- نسبت نیرو به ظرفیت ( $DCR = Q_{UD}/Q_{CE}$ ) برای هر تلاش (نظیر نیروی محوری، لنگر خمشی و نیروی برشی، بدون لحاظ اثرات اندرکنشی) در هر عضو اصلی که بزرگترین این نسبت، تلاش بحرانی را مشخص می‌کند، کمتر از ۲ باشد.
- ۲- اگر نسبت نیرو به ظرفیت حتی در یکی از اعضای اصلی بیش از ۲ باشد باید هر سه شرط زیر برقرار باشد:
  - ۱- اقطاع درسیستم باربر جانبی در صفحه و خارج از صفحه وجود نداشته باشد.

۲-۲- متوسط نسبت نیروی برشی به ظرفیت برشی اعضای هر طبقه بیش از ۲۵٪ با متوسط نسبت نیروی برشی به ظرفیت برشی یک طبقه بالاتر یا پایین‌تر اختلاف نداشته باشد. متوسط نسبت نیروی برشی به ظرفیت برشی با استفاده از نسبت وزنی مطابق رابطه زیر محاسبه می‌شود.

$$\overline{DCR} = \frac{\sum_{i=1}^n DCR_i V_i}{\sum_{i=1}^n V_i}$$

در این رابطه  $V_i$  نیروی برشی در عضو  $i$  از طبقه مورد نظر با فرض رفتار ارجاعی سازه و  $DCR_i$  نسبت نیرو به ظرفیت برای تلاش بحرانی در عضو  $i$  و  $n$  تعداد کل اعضای طبقه مورد نظر می‌باشد.

۳-۲- نسبت نیرو به ظرفیت برای تلاش بحرانی دراثر پیچش در هر عضو از طبقه بیش از ۵۰٪ با عضو واقع شده در سمت مقابل آن نسبت به مرکز پیچش اختلاف نداشته باشد.

۳- زمان تناوب اصلی ساختمان کوچکتر از  $T_s = 3/5$  باشد، مشروط بر آن که تعداد طبقات ساختمان از ۲۰ طبقه تجاوز نکند.

۴- تغییر ابعاد پلان در طبقات متواالی به استثنای خرپشته کمتر از ۴۰٪ باشد.

۵- حداکثر تغییر مکان جانبی در هر طبقه و در هر راستا کمتر از ۱/۵ برابر تغییر مکان متوسط آن طبقه باشد.

۶- تغییر مکان متوسط جانبی در هر طبقه، به استثنای خرپشته، کم تر از ۵۰٪ با طبقه بالا یا پایین آن اختلاف داشته باشد.

۷- سازه دارای سیستم باربر جانبی متعامد باشد.

پس از بیان شرایط مربوط به محدوده‌ی کاربرد روش استاتیکی خطی، این شرایط برای قاب خمی بتی مورد بررسی در این گزارش کنترل می‌گردد:

۱- مقدار نسبت نیرو به ظرفیت ( $DCR = Q_{UD}/Q_{CE}$ ) برای تلاش‌های ایجاد شده در تیرها و ستون‌ها به ترتیب در جداول ۶-۴ و ۶-۵ تعیین شده است. ملاحظه می‌شود مقدار نسبت نیرو به ظرفیت برای تمام تلاشها کمتر از ۲ نمی‌باشد. بنابراین شرط ۲ باید بررسی گردد.

**جدول ۶-۶ مقادیر DCR در تیرها**

| شماره<br>تیر | <b>V<sub>UD</sub></b><br>(Ton) | <b>V<sub>CE</sub></b><br>(Ton) | <b>DCR<sub>V</sub></b> | <b>M<sub>UD</sub></b><br>(Ton-m) | <b>M<sub>CE</sub></b><br>(Ton-m) | <b>DCR<sub>M</sub></b> |
|--------------|--------------------------------|--------------------------------|------------------------|----------------------------------|----------------------------------|------------------------|
| 1            | 42.3                           | 47.6                           | 0.89                   | 64                               | 18.8                             | 3.4                    |
| 2            | 42.3                           | 47.6                           | 0.89                   | 64                               | 18.8                             | 3.4                    |
| 3            | 40.6                           | 47.6                           | 0.87                   | 59.2                             | 18.8                             | 3.1                    |
| 4            | 40.6                           | 47.6                           | 0.87                   | 59.2                             | 18.8                             | 3.1                    |
| 5            | 31.64                          | 47.6                           | 0.66                   | 34.5                             | 18.8                             | 1.8                    |
| 6            | 31.64                          | 47.6                           | 0.66                   | 34.5                             | 18.8                             | 1.8                    |

### جدول ۵-۶ مقادیر DCR در ستون‌ها

| شماره<br>ستون | P <sub>UD</sub><br>(ton) | P <sub>CE</sub><br>(ton) | DCR <sub>P</sub> | V <sub>UD</sub><br>(ton) | V <sub>CE</sub><br>(ton) | DCR <sub>V</sub> | M <sub>UD</sub><br>(t.m) | M <sub>CE</sub><br>(t.m) | DCR <sub>M</sub> |
|---------------|--------------------------|--------------------------|------------------|--------------------------|--------------------------|------------------|--------------------------|--------------------------|------------------|
| 7             | 123.8                    | 847.0                    | 0.1              | 50.0                     | 67.0                     | 0.7              | 191.0                    | 57.0                     | 3.3              |
| 8             | 115.8                    | 847.0                    | 0.1              | 59.6                     | 67.0                     | 0.9              | 206.0                    | 57.0                     | 3.6              |
| 9             | 123.7                    | 847.0                    | 0.1              | 49.6                     | 67.0                     | 0.7              | 191.0                    | 57.0                     | 3.3              |
| 10            | 76.7                     | 561.0                    | 0.1              | 37.8                     | 49.0                     | 0.8              | 59.2                     | 31.0                     | 1.9              |
| 11            | 76.3                     | 561.0                    | 0.1              | 53.0                     | 49.0                     | 1.1              | 81.7                     | 31.0                     | 2.6              |
| 12            | 76.7                     | 561.0                    | 0.1              | 37.9                     | 49.0                     | 0.8              | 59.2                     | 31.0                     | 1.9              |
| 13            | 33.2                     | 561.0                    | 0.1              | 23.7                     | 49.0                     | 0.5              | 54.5                     | 31.0                     | 1.7              |
| 14            | 38.7                     | 561.0                    | 0.1              | 37.4                     | 49.0                     | 0.8              | 74.4                     | 31.0                     | 2.4              |
| 15            | 33.2                     | 561.0                    | 0.1              | 23.6                     | 49.0                     | 0.5              | 54.4                     | 31.0                     | 1.7              |

۲- چون نسبت نیرو به ظرفیت در برخی موارد بیشتر از ۲ شده است، هر سه شرط زیر باید برقرار باشد:

۱- انقطاع درسیستم باربر جانبی در صفحه و خارج از صفحه وجود ندارد.

۲- متوسط نسبت نیروی برشی به ظرفیت برشی اعضای هر طبقه در جدول ۶-۶ محاسبه شده است. ملاحظه می‌شود

این شرط با تقریب خوبی کنترل شده است.

### جدول ۶-۶ محاسبه DCR متوسط طبقات

| FLOOR1                 |                     |                |                                     | FLOOR2                 |                     |                |                                     | FLOOR3                 |                     |                |                                     |
|------------------------|---------------------|----------------|-------------------------------------|------------------------|---------------------|----------------|-------------------------------------|------------------------|---------------------|----------------|-------------------------------------|
| ID                     | DCR <sub>i,cr</sub> | V <sub>i</sub> | DCR <sub>i,cr</sub> *V <sub>i</sub> | ID                     | DCR <sub>i,cr</sub> | V <sub>i</sub> | DCR <sub>i,cr</sub> *V <sub>i</sub> | ID                     | DCR <sub>i,cr</sub> | V <sub>i</sub> | DCR <sub>i,cr</sub> *V <sub>i</sub> |
| 7                      | 3.3                 | 49.98          | 164.93                              | 10                     | 1.9                 | 37.79          | 71.80                               | 13                     | 1.73                | 23.69          | 41.00                               |
| 8                      | 3.6                 | 59.58          | 214.50                              | 11                     | 2.6                 | 52.97          | 137.72                              | 14                     | 2.36                | 37.38          | 88.30                               |
| 9                      | 3.3                 | 49.58          | 163.60                              | 12                     | 1.09                | 37.89          | 72.00                               | 15                     | 1.73                | 23.59          | 40.81                               |
| 1                      | 3.40                | 42.34          | 143.96                              | 3                      | 3.10                | 40.63          | 125.95                              | 5                      | 1.80                | 31.64          | 57.00                               |
| 2                      | 3.40                | 42.27          | 143.72                              | 4                      | 3.10                | 40.60          | 125.86                              | 6                      | 1.80                | 31.64          | 56.95                               |
| $\Sigma$               |                     | 243.75         | 830.71                              | $\Sigma$               |                     | 209.88         | 533.33                              | $\Sigma$               |                     | 147.94         | 284.06                              |
| DCR <sub>avg,1</sub> = | 3.40                |                |                                     | DCR <sub>avg,2</sub> = | 2.54                |                |                                     | DCR <sub>avg,3</sub> = | 1.92                |                |                                     |

$$\frac{\overline{DCR_1} - \overline{DCR_2}}{\overline{DCR_1}} \times 100 = \frac{3.4 - 2.54}{3.4} \times 100 = 25\%$$

$$\frac{\overline{DCR_2} - \overline{DCR_3}}{\overline{DCR_2}} \times 100 = \frac{2.54 - 1.92}{2.54} \times 100 = 24\%$$

۲- با توجه به اینکه قاب بتنی مورد بررسی دو بعدی و متقاضن است، در آن پیچش اتفاق نمی‌افتد و این شرط کنترل می‌گردد.

۳- با توجه به مقادیر زمان تناوب و تعداد طبقات شرط سوم نیز کنترل می‌شود.

$$T = 0.44 < 3.5T_s$$

$n = 3 < 20$ : تعداد طبقات

۴- تغییر ابعاد در پلان وجود ندارد.

۵- با توجه به دو بعدی بودن مسئله حداکثر تغییر مکان جانبی هر طبقه با مقدار متوسط آن برابر است و در نتیجه این شرط نیز کنترل می‌گردد.

مقدار تغییر مکان متوسط جانبی در هر طبقه در جدول ۷-۶ مشخص شده است.

جدول ۷-۶ کنترل تغییر مکان متوسط جانبی

| طبقه | تغییر مکان متوسط جانبی (cm) |
|------|-----------------------------|
| ۱    | ۸/۸                         |
| ۲    | ۱۹/۸                        |
| ۳    | ۲۸                          |

$$\frac{\Delta_2 - \Delta_1}{\Delta_2} \times 100 = \frac{19.8 - 8.8}{19.8} \times 100 = 55\%$$

$$\frac{\Delta_3 - \Delta_2}{\Delta_3} \times 100 = \frac{28 - 19.8}{28} \times 100 = 29\%$$

بنابراین شرط ۷ به طور تقریبی کنترل می‌گردد.

۷- این شرط نیز با توجه به دو بعدی بودن مسئله کنترل می‌شود.

بنابراین با توجه به کنترل تمام شرایط محدوده‌ی کاربرد روش استاتیکی خطی، استفاده از این روش مجاز می‌باشد.

#### • کنترل معیارهای پذیرش

در این قسمت پس از تشریح نحوه کنترل معیارهای پذیرش، به منظور مقایسه نتایج عددی، نسبت تنش موجود به تنش مجاز در طراحی بر اساس آیین‌نامه ۲۸۰۰ با نسبت معیارهای پذیرش مقایسه می‌گردد.

#### • تلاش‌های کنترل شونده توسط تغییرشکل

تلاش‌های کنترل شونده توسط تغییرشکل توسط ترکیبات بارگذاری زیر برآورد می‌گردد:

$$Q_{UD} = Q_G \pm Q_E$$

$$1) Q_{UD1} = 1.1Q_D + 1.1Q_L + Q_E$$

$$2) Q_{UD2} = 1.1Q_D + 1.1Q_L - Q_E$$

$$3) Q_{UD3} = 0.9Q_D + Q_E$$

$$4) Q_{UD4} = 0.9Q_D - Q_E$$

پس از تعیین تلاش‌ها، معیارهای پذیرش بر اساس رابطه‌ی زیر کنترل می‌گردد.

$$Q_{UD} < m\kappa Q_{CE}$$

در این رابطه  $Q_{CE}$  ظرفیت مورد انتظار و  $m$  ضریب اصلاح بر مبنای رفتار غیرخطی عضو می‌باشد.

خمش در تیرها به عنوان تلاش کنترل شونده توسط تغییرشکل تلقی می‌گردد. ضریب  $m$  برای خمش در تیرها طبق جدول ۶-۴ نشریه‌ی ۳۶۰ تعیین می‌شود. ضریب آگاهی  $K$  نیز برابر ۱ در نظر گرفته شده است. نتایج کنترل معیار پذیرش خمش در تیرها بر اساس ترکیب بار بحرانی در جدول ۶-۸ ارائه شده است.

#### جدول ۶-۸ کنترل معیار پذیرش خمش در تیرها

| شماره عضو | $M_{UD}$<br>(ton.m) | $m\kappa M_{CE}$<br>(ton.m) | $\frac{M_{UD}}{m\kappa M_{CE}}$ | طراحی براساس آیین‌نامه ۲۸۰۰<br>$\frac{M_u}{\varphi M_n}$ |
|-----------|---------------------|-----------------------------|---------------------------------|--|
| 1         | 64.0                | 56.4                        | 1.13                            | 0.97   |
| 2         | 64.0                | 56.4                        | 1.13                            | 0.97   |
| 3         | 59.2                | 56.4                        | 1.05                            | 0.97   |
| 4         | 59.2                | 56.4                        | 1.05                            | 0.97   |
| 5         | 34.5                | 84.6                        | 0.41                            | 0.90   |
| 6         | 34.5                | 84.6                        | 0.41                            | 0.90   |

#### • تلاش‌های کنترل شونده توسط نیرو

تلاش‌های کنترل شونده توسط نیرو با ترکیبات بارگذاری زیر بررسی می‌شود:

$$Q_{UF} = Q_G \pm \frac{Q_E}{C_1 C_2 C_3 J}$$

ضرایب  $C_1$  و  $C_2$  و  $C_3$  در جدول ۶-۳ مشخص گردید. ضریب  $J$  نیز طبق بند (۳-۱-۱-۲) نشریه‌ی ۳۶۰ برای منطقه با خطر نسبی زیاد و بسیار زیاد برابر ۲ در نظر گرفته می‌شود.

$$C_1 = 1.075, C_2 = C_3 = 1$$

$$J = 2$$

$$1) Q_{UF1} = 1.1Q_D + 1.1Q_L + 0.47Q_E$$

$$2) Q_{UF2} = 1.1Q_D + 1.1Q_L - 0.47Q_E$$

$$3) Q_{UF3} = 0.9Q_D + 0.47Q_E$$

$$4) Q_{UF4} = 0.9Q_D - 0.47Q_E$$

پس از تعیین تلاش‌ها، معیارهای پذیرش بر اساس رابطه‌ی زیر کنترل می‌گردد.

$$Q_{UF} < \kappa Q_{CL}$$

در این رابطه  $Q_{CL}$  ظرفیت کرانه‌ی پایین و  $\kappa$  ضریب آگاهی می‌باشد. برش در تیرها و ستون‌ها به عنوان تلاش کنترل شونده توسط نیرو تلقی می‌گردد. نتایج کنترل معیار پذیرش برش در تیرها و ستون‌ها بر اساس ترکیب بار بحرانی در جداول ۹-۶ و ۱۰-۶ ارائه شده است.

**جدول ۹-۶ کنترل معیار پذیرش برش در تیرها**

| شماره عضو | $V_{UF}$<br>(ton) | $\kappa V_{CL}$<br>(ton) | $\frac{V_{UF}}{\kappa V_{CL}}$ | طراحی بر اساس آیین نامه ۲۸۰۰<br>$\frac{V_u}{\varphi V_n}$ |
|-----------|-------------------|--------------------------|--------------------------------|---|
| 1         | 28.6              | 41.8                     | 0.68                           | 0.97  |
| 2         | 28.5              | 41.8                     | 0.68                           | 0.97  |
| 3         | 27.9              | 41.8                     | 0.67                           | 0.97  |
| 4         | 27.8              | 41.8                     | 0.67                           | 0.97  |
| 5         | 24.0              | 41.8                     | 0.57                           | 0.83  |
| 6         | 23.9              | 41.8                     | 0.57                           | 0.83  |

**جدول ۱۰-۶ کنترل معیار پذیرش برش در ستون‌ها**

| شماره عضو | $V_{UF}$<br>ton | $\kappa V_{CL}$<br>ton | ارزیابی به روش استاتیکی خطی<br>$\frac{V_{UF}}{kV_{CL}}$ | طراحی بر اساس آیین نامه ۲۸۰۰<br>$\frac{V_u}{\varphi V_n}$ |
|-----------|-----------------|------------------------|---|---|
| 7         | 25.1            | 58.9                   | 0.43  | 0.94  |
| 8         | 28.0            | 58.9                   | 0.48  | 0.94  |
| 9         | 24.9            | 58.9                   | 0.43  | 0.94  |
| 10        | 20.0            | 43.1                   | 0.46  | 0.93  |
| 11        | 24.9            | 43.1                   | 0.58  | 0.93  |
| 12        | 20.0            | 43.1                   | 0.46  | 0.93  |
| 13        | 15.0            | 43.1                   | 0.35  | 0.93  |
| 14        | 17.6            | 43.1                   | 0.41  | 0.93  |
| 15        | 14.9            | 43.1                   | 0.35  | 0.93  |

### • کنترل اندرکنش نیروی محوری و لنگر خمی در ستون‌ها

برای ستون‌های بتنی که تحت اثر توازن نیروی محوری و خمی دو محوره قرار دارند، مقاومت باید با درنظر گرفتن اثر خمی دو محوره به دست آید. در صورتی که روش‌های خطی استفاده شود، نیروی محوری طراحی،  $P_{UF}$ ، باید براساس ترکیب بارهای کنترل شونده توسط نیرو مطابق بند (۳-۴) نشریه ۳۶۰ به دست آید. لنگرهای طراحی،  $M_{UD}$ ، باید حول هر محور اصلی براساس ترکیب بارهای کنترل شونده توسط تغییر شکل مطابق بند (۳-۴) بدست آید. ملاک پذیرش براساس معادله زیر است:

$$\left[ \frac{M_{UD_x}}{m_x \kappa M_{CE_x}} \right]^2 + \left[ \frac{M_{UD_y}}{m_y \kappa M_{CE_y}} \right]^2 \leq 1$$

که در آن:

$P_{UF}$ : لنگ خمی طراحی حول محور x برای نیروی محوری  $M_{UD_x}$

$P_{UF}$ : لنگ خمی طراحی حول محور y برای نیروی محوری  $M_{UD_y}$

$P_{UF}$ : مقاومت خمی مورد انتظار حول محور x با حضور نیروی محوری  $M_{CE_x}$

$P_{UF}$ : مقاومت خمی مورد انتظار حول محور y با حضور نیروی محوری  $M_{CE_y}$

$\kappa$ : ضریب آگاهی

$m_x$ : ضریب m ستون برای خمی حول محور x

$m_y$ : ضریب m ستون برای خمی حول محور y

با توجه به اینکه قاب خمی بتی در این مثال دو بعدی در نظر گرفته شده است نیاز به کنترل خمی دو محوره نبوده و

رابطه فوق به صورت زیر ساده می‌شود:

$$\left[ \frac{M_{UD}}{m \kappa M_{CE}} \right] \leq 1$$

نتایج کنترل معیار پذیرش ستون‌ها در جدول ۱۱-۶ خلاصه شده است.

جدول ۱۱-۶ کنترل معیار پذیرش در ستون‌ها

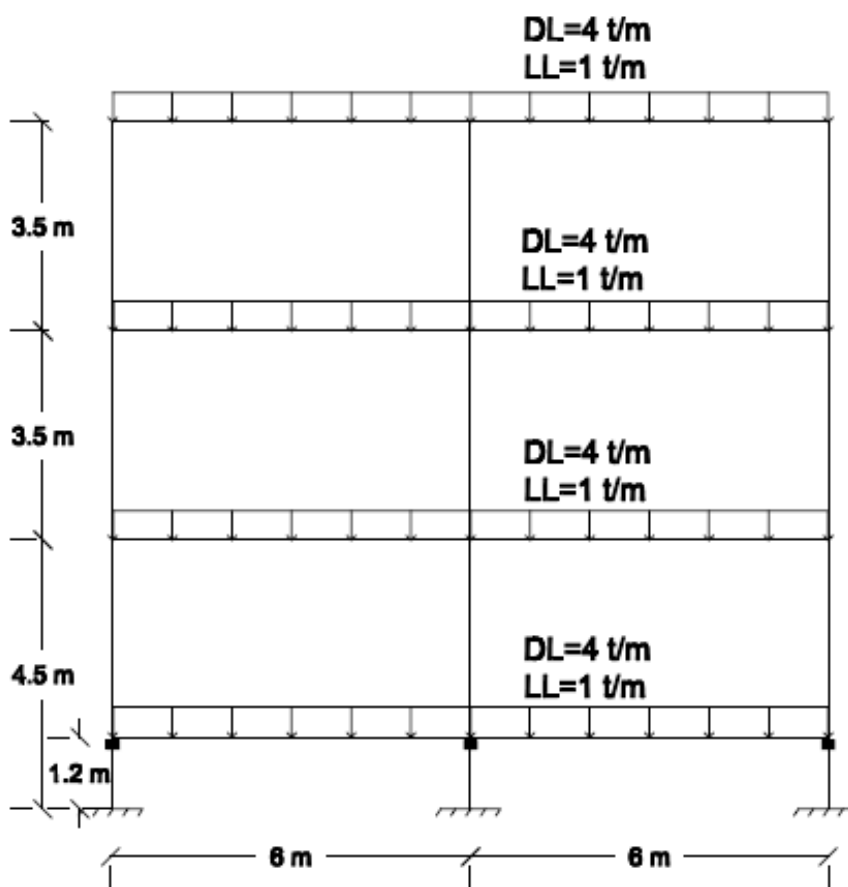
| شماره<br>عضو | $P_{UF}$<br>(ton) | $P_{CL}$<br>(ton) | $\frac{P_{UF}}{P_{CL}}$ | $\left[ \frac{M_{UD}}{m \kappa M_{CE}} \right]$ | طراحی بر اساس آیین نامه<br>۲۸۰۰ |
|--------------|-------------------|-------------------|-------------------------|---|---------------------------------|
| 7            | 90                | 700               | 0.13                    | 1.05  | 0.87                            |
| 8            | 116               | 700               | 0.17                    | 1   | 0.85                            |
| 9            | 90                | 700               | 0.13                    | 1.05  | 0.87                            |
| 10           | 56                | 460               | 0.12                    | 0.52  | 0.78                            |
| 11           | 76                | 460               | 0.17                    | 0.73  | 0.78                            |
| 12           | 56                | 460               | 0.12                    | 0.52  | 0.78                            |
| 13           | 25                | 460               | 0.05                    | 0.53  | 1.01                            |
| 14           | 39                | 460               | 0.08                    | 0.72  | 0.71                            |
| 15           | 25                | 460               | 0.05                    | 0.53  | 1.01                            |

#### ۶-۱۰-۴- بهسازی به روش جداسازی لرزه‌ای

با توجه به مسائل اجرایی، نصب جداگر در پائین ترین تراز ستون هم از نظر برش ستون و هم از نظر نصب جداگر راحت‌تر می‌باشد. ولی به دلیل افزایش ضریب کمانش ستون بریده شده نسبت به ستون بریده نشده لازم است که اتكای جانبی ستون بریده شده در تراز بالای سطح برش بوسیله کلاف‌بندی افقی تامین گردد. البته این کلاف به همراه کف صلب برای سرویس‌دهی

طبقه همکف ایجاد می‌شود. لازم به ذکر است که تراز کف افقی ایجاد شده باید حداقل  $1/2$  متر بالاتر از کف موجود باشد تا بازرسی جدآگرها امکان‌پذیر باشد.

با توجه به ایجاد کف جدید بارهای مرده و زنده که بر روی کف طبقه همکف (روی زمین) قرار گرفته بودند. اکنون برروی این کف قرار می‌گیرند. بنابراین بارگذاری جدید در شکل ۳۵-۶ نشان داده شده است



شکل ۳۵-۶ - بارگذاری ثقلی قاب خمشی جدید

همانطور که در بالا ملاحظه می‌شود با ایجاد کف جدید، بارگذاری ثقلی تغییر پیداکرده و بارگذاری جانبی سیستم جداسازی شده بصورت زیر انجام می‌شود:

#### • روش استاتیکی خطی

روش استاتیکی خطی (LSP) در جداسازی لرزه‌ای مبتنی بر تغییر مکان است که از معادلات ساده برای تعیین پاسخ سازه جدا شده استفاده می‌شود. اگرچه این روش خطی می‌باشد، لیکن روابط سختی موثر و میرایی موثر از خصوصیات غیرخطی جدآگر حاصل شده است. در این روش فرض می‌شود روسازه صلب است و تغییر مکانهای جانبی ابتدا در سیستم جداسازی اتفاق می‌افتد.

• طراحی جداگر لرزه‌ای:

-۱- تعیین وزن کل سازه ( $P_{(DL+LL)max}$ ) و بار محوری سنگین‌ترین ستون ( $W_{DL+LL}$ ,  $W_{DL+0.2\times LL}$ )

$$W_{DL+LL} = 272.4 \text{ ton}$$

$$P_{(DL+LL)max} = 136.2 \text{ ton}$$

$$W_{DL+0.2\times LL} = 234 \text{ ton}$$

-۲- تعیین زمان تناوب اصلی سازه  $T_F$  و زمان تناوب سازه جداسازی شده  $T_D$

زمان تناوب هدف برابر ۲ ثانیه انتخاب می‌گردد.

$$T_{fix} = 0.07H^{3/4} = 0.07 \times (10.3)^{0.75} = 0.40 \text{ (sec)}$$

$$T_D = 2 \text{ sec} \geq 3T_{fix} = 3 \times 0.40 = 1.2 \text{ (sec)}$$

-۳- محاسبه سختی جانبی موثرکل جداگرها ( $K_{eff}$ ) :

$$K_{effD} = \left( \frac{4\pi^2}{T_D^2} \right) \frac{W_{DL+0.2LL}}{g} = \left( \frac{4\pi^2}{2^2} \right) \times \frac{234}{9.81} = 235.4 \text{ (ton/m)}$$

-۴- محاسبه تغییر مکان طرح ( $D_D$ ):

با فرض نسبت میرایی بحرانی برابر ۲۵ درصد برای جداگر لاستیکی - سربی داریم (جدول ۱-۸ نشریه ۳۶۰):

$$\beta_1 = 25\% \rightarrow B_1 = 1.6$$

$$T_1 = 1 \text{ (sec)} \rightarrow T_1 > T_s \rightarrow B_{1D} = (S + 1) \left( \frac{T_s}{T_1} \right)^{2/3} = (1.5 + 1) \left( \frac{0.5}{1} \right)^{2/3} = 1.57$$

$$S_1 = A \times B_{1D} = 0.35 \times 1.57 = 0.55$$

$$D_D = \left[ \frac{g}{4\pi^2} \right] \cdot \frac{S_1 T_D}{B_1} = \left[ \frac{9.81}{4\pi^2} \right] \frac{0.55 \times 2}{1.6} = 0.17 \text{ m}$$

-۵- محاسبه مساحت هسته سربی براساس درصد میرایی بحرانی ( $\beta_{eff} = 25\%$ )

۱-۵- میزان استهلاک انرژی در هر سیکل:

$$W_D = 2\pi k_{eff} \cdot D_D^2 \cdot \beta_{eff} = 2 \times \pi \times 235.4 \times 0.17^2 \times 0.25 = 10.69 \text{ tom.m}$$

$$Q_d \cong \frac{W_D}{4D_D} = \frac{10.69}{4 \times 0.17} = 15.72 \text{ ton}$$

-۲- مقاومت تسلیم سرب:

$$k_d = k_{eff} - \frac{Q_d}{D_D} = 235.4 - \frac{15.72}{0.17} = 143 \frac{\text{ton}}{\text{m}}$$

-۳- سختی ثانویه جداگرها:

$$k_u \approx 10k_d$$

$$D_y = \frac{Q_d}{k_u - k_d} = \frac{15.72}{9 \times 143} = 0.012 \text{ m}$$

$$A_{pb}^{total} = \frac{Q_d}{F_y^{pb}} = \frac{15.72}{1200} = 0.013 \text{ m}^2$$

$$A_{pb}^N = \frac{A_{pb}^{total}}{N} = \frac{0.013}{3} = 0.0043 \text{ m}^2 \quad R_{lead} = 4 \text{ cm}$$

$$Q_d = 18 \text{ ton}$$

$$k_{rubber} = k_{eff} - \frac{Q_d}{D_D} = 235.4 - \frac{18}{0.17} = 129.5 \frac{\text{ton}}{\text{m}} \quad 6-5$$

۶- محاسبه مساحت لاستیک جداگرها ( $A_{rub}$ ) براساس حداکثر سطح مقطع بدست آمده از سه معیار محدودیت تنش مجاز قائم  $A_1$ ، محدودیت کرنش برشی  $A_2$  و محدودیت سختی برشی  $A_3$ :

$$A_1 = \frac{N.P_{(DL+LL)max}}{\sigma_{all}} = \frac{3 \times 136.2}{1000} = 0.408 \text{ m}^2$$

$$A_2 = \frac{6S.W_{DL+LL}}{E_c \cdot \gamma} = \frac{6 \times 12 \times 272.4}{50000 \times 1.5} = 0.2615 \text{ m}^2$$

$$t = \frac{D_D}{\gamma} = \frac{0.17}{1.5} = 0.12 \text{ m}$$

$$A_3 = \frac{K_{rubber} \cdot t}{G} = \frac{129.5 \times 0.12}{50} = 0.31 \text{ m}^2$$

$$A_{total} = A_{rub} + A_{pb}^{total} = 0.408 + 0.013 = 0.421 \text{ m}^2$$

$$A_n = \frac{A_{total}}{N} = \frac{0.421}{3} = 0.14 \text{ m}^2, \quad d = 0.50 \text{ m}$$

۴-۵- تغییر مکان تسلیم جداگرها:

۵-۵- سطح مقطع کل هسته‌های سرب:

شعاع هسته‌ها:

۷- تعیین ضخامت لایه‌های لاستیک

$$t_r = \frac{d}{4S} = \frac{50}{4 \times 12.5} = 1 \text{ cm}$$

$$n = \frac{t}{t_r} = \frac{12}{1} = 12$$

۸- تعیین ضخامت ورق‌های فولادی مابین لایه‌های لاستیک: (جنس ورق از فولاد ST52 می باشد)

$$t_s = \frac{4t_r \cdot P_{(DL+LL)max}}{A_r \cdot F_s} = \frac{4 \times 1 \times 136.2 \times 10^3}{0.1128 \times 10^4 \times (0.6 \times 3600)} = 0.22 \text{ cm} \geq 2 \text{ mm} \quad t_s = 2.5 \text{ mm}$$

$$A_r = 0.5 \left( 0.5^2 \sin^{-1} \left( \frac{0.47}{0.50} \right) - 0.17 \times 0.47 \right) = 0.1128 \text{ m}^2$$

$$\zeta = \sqrt{(d^2 - D_D^2)} = \sqrt{(0.50^2 - 0.17^2)} = 0.47$$

## ۹- کنترل بار کمانش

$$P_{crit} = \sqrt{P_S \cdot P_E}$$

$$I = \frac{\pi d^4}{64} = \frac{\pi \times 0.5^4}{64} = 0.00307 \text{ } m^4$$

$$P_S = GA_s = 50 \times \pi(0.24^2 - 0.04^2) = 8.8 \text{ ton}$$

$$P_E = \frac{\pi^2 (EI)_{eff}}{t^2} = \frac{\pi^2 (51)}{0.12^2} = 34955 \text{ ton}$$

$$(EI)_{eff} = E_C \left(\frac{1}{3}\right) I = 50000 \times \frac{0.00307}{3} = 51 \text{ ton.m}^2$$

$$P_{crit} = \sqrt{P_S \cdot P_E} = \sqrt{8.8 \times 34955} = 554.6 \text{ ton}$$

$$SF = \frac{P_{crit}}{P_{DL+LL+EQ}} = \frac{554.6}{166} = 3.34 \geq 1.0$$

## ۱۰- کنترل روابط آشتو

کرنش بزشی حاصل از بار قائم از روابط زیر به دست می‌آید:

$$K_v = \frac{E_C \cdot A}{t_r} = \frac{50000 \times \pi \times 0.25^2}{0.01} = 9.8 \times 10^5 \frac{\text{ton}}{\text{m}}$$

$$\varepsilon_C = \frac{P_{(DL+LL)\max}}{K_v \cdot t_r} = \frac{136.2}{9.8 \times 10^5 \times 0.01} = 0.0139$$

$$\varepsilon_{SC} = 6S \cdot \varepsilon_C = 6 \times \frac{50}{4} \times 0.0139 = 1.043$$

کرنش نهایی پارگی الاستیک ( $\varepsilon_u$ ) حاصل از آزمایش معمولاً در حدود ۵۰۰ درصد به دست می‌آید.

$$\varepsilon_{SC} \leq \frac{\varepsilon_u}{3} = \frac{5}{3} = 1.66 \Rightarrow 1.043 \leq 1.66O.K$$

## ۱۱- جلوگیری از غلتش جداگر

$$K_H = \frac{K_{eff}}{N} = \frac{185.6}{3} = 61.87 \frac{\text{ton}}{\text{m}}$$

$$h = 12 \times 1 + 11 \times 0.25 + 2 \times 2.5 = 19.75 \text{ cm}$$

$$D_{\max} \leq \frac{d \cdot P_{DL+LL+EQ}}{P_{DL+LL+EQ} + K_H \times h} = \frac{0.5 \times 166}{166 + 61.8 \times 0.198} = 0.46 \text{ m}$$

۱۲- برش پایه طرح:

$$k_{eff} = k_{rubber} + \frac{Q_d}{D_D} = \frac{G.A_{rubber}}{t} + \frac{Q_d}{D_D} = \frac{50 \times \pi (0.25^2 - 0.04^2)}{0.12} + \frac{18}{0.17} = 185.6 \frac{ton}{m}$$

$$V = K_{eff} \cdot D_D = 185.6 \times 0.17 = 31.55 \text{ ton}$$

• توزیع نیرو در ارتفاع ساختمان: (تحلیل استاتیکی)

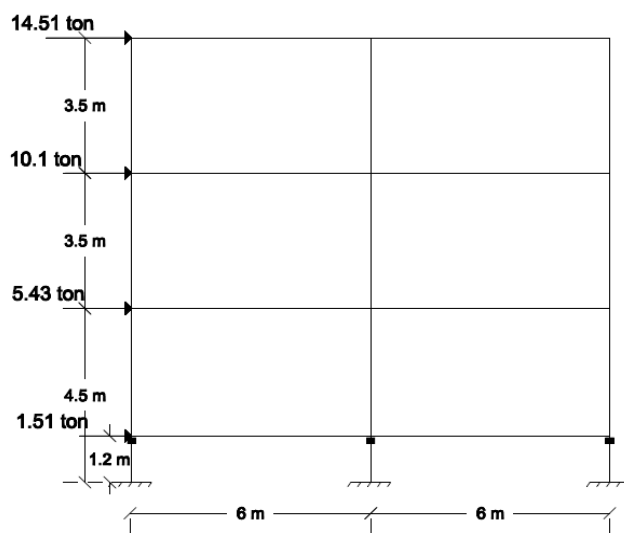
تمام برش پایه  $V$  در ارتفاع سازه فوقانی سیستم جداساز طبق رابطه زیر باید توزیع شود:

$$F_i = \frac{w_i h_i}{\sum_{j=1}^n w_j h_j} V_s$$

جدول ۱۲-۶ جدول توزیع بار جانبی در ارتفاع سازه

| طبقه | وزن طبقه (ton) $W_i$ | ارتفاع طبقه (m) $H_i$ | ارتفاع از پایه (m) $h_i$ | $w_i h_i$ (ton.m) | $F_i$ (ton) | $V_i$ (ton) | $M_i$ (t.m) |
|------|----------------------|-----------------------|--------------------------|-------------------|-------------|-------------|-------------|
| 2    | 68.1                 | 3.5                   | 11.5                     | 783.2             | 14.51       | 14.51       | 50.78       |
| 1    | 68.1                 | 3.5                   | 8                        | 544.8             | 10.1        | 24.61       | 136.92      |
| همکف | 68.1                 | 3.3                   | 4.3                      | 292.8             | 5.43        | 30.04       | 263.05      |
| جديد | 68.1                 | 1.2                   | 1.2                      | 81.7              | 1.51        | 31.55       | 273.9       |
| جمع  | 180                  | 11.5                  | —                        | 1702.5            | 31.55       | —           | —           |

در شکل ۳۶-۶ توزیع بار زلزله سطح خطر یک برای مدل جدید نشان داده شده است.



شکل ۳۶-۶- نمای بارگذاری استاتیکی بر روی قاب جداسازی شده با کف جدید

### • کنترل معیار پذیرش [۷]

در این قسمت پس از تشریح نحوه کنترل معیارهای پذیرش، به منظور مقایسه نتایج عددی، نسبت تنش موجود با معیارهای پذیرش کنترل می‌گردد.

در روش خطی اجزای ساختمان جداسازی شده باید برای نیروها و تغییرشکل‌ها طبق روابط زیر با ضریب  $m = 1$  کنترل

شوند:

$$mkQ_{CE} \geq Q_{UD} \quad \text{کنترل شونده توسط تغییرشکل}$$

$$kQ_{CL} \geq Q_{UF} \quad \text{کنترل شونده توسط نیرو}$$

### • تلاش‌های کنترل شونده توسط تغییرشکل [۷]

تلاش‌های کنترل شونده توسط تغییرشکل توسط ترکیبات بارگذاری زیر بدست می‌آید:

$$1) Q_{UD1} = 1.1Q_D + 1.1Q_L + Q_E$$

$$2) Q_{UD2} = 1.1Q_D + 1.1Q_L - Q_E$$

$$3) Q_{UD3} = 0.9Q_D + Q_E$$

$$4) Q_{UD4} = 0.9Q_D - Q_E$$

پس از تعیین تلاش‌ها، معیارهای پذیرش براساس رابطه زیر کنترل می‌شود:

$$mkQ_{CE} \geq Q_{UD}$$

در رابطه فوق  $Q_{CE}$  ظرفیت مورد انتظار و  $m$  ضریب اصلاح بر مبنای رفتار غیر خطی عضو می‌باشد.

خمش در تیرها بعنوان تلاش کنترل شونده توسط تغییرشکل تلقی می‌شود. و ضریب  $m$  در سازه جداشده برای تیرها ۱ در

نظرگرفته می‌شود. یعنی عملأً سطح عملکرد مدنظر برای ارزیابی سازه سطح عملکرد استفاده‌ی بدون وقفه (IO) می‌باشد.

ضریب آگاهی  $K$  در اینجا برابر یک در نظر گرفته شده است.

نتایج کنترل معیار پذیرش خمث در تیرها براساس ترکیب بار بحرانی در مدل بهسازی شده به شرح جدول ۶-۱۳ می‌باشد.

### جدول ۱۳-۶ کنترل معیار پذیرش خمس در تیرها در سطح خطر-۱

| شماره عضو    | $M_{UD}$<br>(ton.m) | $M_{CE}$<br>(ton.m) | $m k M_{CE}$<br>(ton.m) | $\frac{M_{UD}}{m k M_{CE}}$ | بهسازی شده | بهسازی نشده | طراحی براساس آئین<br>نامه ۲۸۰۰ |
|--------------|---------------------|---------------------|-------------------------|-----------------------------|------------|-------------|--------------------------------|
| 6            | -30.83              | 34.3                | 34.3                    | 0.9                         | 1.13       | 0.97        |                                |
| 5            | -30.83              | 34.3                | 34.3                    | 0.9                         | 1.13       | 0.97        |                                |
| 4            | -38.01              | 42.8                | 42.8                    | 0.9                         | 1.05       | 0.97        |                                |
| 3            | -38.01              | 42.8                | 42.8                    | 0.9                         | 1.05       | 0.97        |                                |
| 2            | -42.85              | 42.8                | 42.8                    | 1                           | 0.41       | 0.9         |                                |
| 1            | -42.85              | 42.8                | 42.8                    | 1                           | 0.41       | 0.9         |                                |
| Added beam-1 | -41.59              | 42.8                | 42.8                    | 1                           | -          | -           |                                |
| Added beam-2 | -41.59              | 42.8                | 42.8                    | 1                           | -          | -           |                                |

### • تلاش‌های کنترل شونده توسط نیرو [۷]

تلاش‌های کنترل شونده توسط نیرو توسط ترکیبات بارگذاری زیر بدست می‌آید:

$$Q_{UF} = Q_G \pm \frac{Q_E}{C_1 C_2 C_3 J}$$

$$C_1=1, \quad C_2=C_3=1, \quad J=1$$

مطابق با بند ۱-۲-۸ نشریه شماره ۳۶۰، در مورد سازه‌های جداسازی شده خرائی  $C_0$ ،  $C_1$ ،  $C_2$ ،  $C_3$  و  $J$  باید مساوی یک اختیار شوند:

همانطور که در بالا ملاحظه می‌شود نیروی زلزله بدون کاهش اعمال می‌شود.

$$1) Q_{UD1} = 1.1Q_D + 1.1Q_L + 1.0Q_E$$

$$2) Q_{UD2} = 1.1Q_D + 1.1Q_L - 1.0Q_E$$

$$3) Q_{UD3} = 0.9Q_D + 1.0Q_E$$

$$4) Q_{UD4} = 0.9Q_D - 1.0Q_E$$

پس از تعیین تلاش‌ها، معیارهای پذیرش براساس رابطه زیر کنترل می‌شود:

$$\kappa Q_{CL} \geq Q_{UF}$$

در این رابطه  $Q_{CL}$  ظرفیت کرانه پائین و  $\kappa$  ضریب آگاهی می‌باشد. برش در تیرها و ستون‌ها عنوان تلاش کنترل شونده توسط نیرو تلقی می‌گردد. نتایج کنترل معیار پذیرش برش در تیرها و ستون‌ها براساس ترکیب بار بحرانی در ادامه ارائه شده است.

نتایج کنترل معیار پذیرش برای نیروی برشی در تیرها و ستون‌ها براساس ترکیب بار بحرانی در مدل بهسازی شده به شرح جداول ۱۴-۶ و ۱۵-۶ می‌باشد.

جدول ۱۴-۶ کنترل معیار پذیرش برش در تیرها

| شماره عضو    | $V_{UF}$ (ton) | $k V_{CL}$ (ton) | بهسازی شده<br>$\frac{V_{UF}}{k V_{CL}}$ |
|--------------|----------------|------------------|---|
| 6            | 22.34          | 41.8             | 0.53                                    |
| 5            | 22.34          | 41.8             | 0.53                                    |
| 4            | 24.5           | 41.8             | 0.59                                    |
| 3            | 24.5           | 41.8             | 0.59                                    |
| 2            | 26.04          | 41.8             | 0.62                                    |
| 1            | 26.04          | 41.8             | 0.62                                    |
| Added beam-1 | 26             | 41.8             | 0.62                                    |
| Added beam-2 | 26             | 41.8             | 0.62                                    |

جدول ۱۵-۶ کنترل معیار پذیرش برش در ستون‌ها

| شماره عضو    | $V_{UF}$ (ton) | $k V_{CL}$ (ton) | بهسازی شده<br>$\frac{V_{UF}}{k V_{CL}}$ |
|--------------|----------------|------------------|---|
| 7            | 18.3           | 58.9             | 0.31                                    |
| 10           | 12.11          | 43.1             | 0.28                                    |
| 13           | 11.75          | 43.1             | 0.27                                    |
| 8            | 20.16          | 58.9             | 0.34                                    |
| 11           | 13.53          | 43.1             | 0.31                                    |
| 14           | 10.1           | 43.1             | 0.23                                    |
| 9            | 18.3           | 58.9             | 0.31                                    |
| 12           | 12.1           | 43.1             | 0.28                                    |
| 15           | 11.76          | 43.1             | 0.27                                    |
| Sub column-1 | 13.9           | 58.9             | 0.24                                    |
| Sub column-2 | 13.9           | 58.9             | 0.24                                    |
| Sub column-3 | 13.9           | 58.9             | 0.24                                    |

## • کنترل اندرکنش نیروی محوری و لنگر خمشی در ستون‌ها [۷]

برای ستون‌های بتنی که تحت اثر توازن نیروی محوری و لنگر خمشی دو محوره قرار دارند، مقاومت باید با در نظر گرفتن اثر خمش دو محوره به دست آید. در صورتی که از روش‌های خطی استفاده شود، نیروی محوری طراحی،  $P_{UF}$ ، باید براساس ترکیب بارهای کنترل شونده توسط نیرو بدست آید. لنگرهای طراحی،  $M_{UD}$ ، باید حول هر محور اصلی براساس ترکیب بارهای کنترل شونده توسط تغییرشکل بدست آید. ملاک پذیرش براساس معادله زیر است:

$$\left[ \frac{M_{UD_x}}{m_x \kappa M_{CE_x}} \right]^2 + \left[ \frac{M_{UD_y}}{m_y \kappa M_{CE_y}} \right]^2 \leq 1.0$$

عبارات بالا عبارتند از:

$M_{UD_x}$ : لنگر خمشی طراحی حول محور x برای نیروی محوری  $P_{UF}$

$M_{UD_y}$ : لنگر خمشی طراحی حول محور y برای نیروی محوری  $P_{UF}$

$M_{CE_x}$ : مقاومت خمشی مورد انتظار حول محور x برای نیروی محوری  $P_{UF}$

$M_{CE_y}$ : مقاومت خمشی مورد انتظار حول محور y برای نیروی محوری  $P_{UF}$

$\kappa$ : ضریب آگاهی

$m_x$ : ضریب m ستون برای خمش حول محور x

$m_y$ : ضریب m ستون برای خمش حول محور y

لازم به ذکر است که ضریب m در سازه جداشده برای ستون‌ها برابر ۱ در نظر گرفته می‌شود. یعنی عملاً سطح عملکردمنظر برای ارزیابی سازه بدون وقفه (Operational) می‌باشد.

با توجه به اینکه قاب مورد نظر دو بعدی می‌باشد. لذا رابطه کنترل خمش به رابطه زیر تبدیل می‌شود:

$$\left[ \frac{M_{UD_y}}{m_y \kappa M_{CE_y}} \right] \leq 1.0$$

نتایج کنترل معیار پذیرش اندرکنش نیروی محوری و خمین در ستون‌ها به شرح جدول ۱۶-۶ می‌باشد.

**جدول ۱۶-۶ کنترل معیار پذیرش اندرکنش نیروی محوری و خمین در ستون‌ها**

| شماره عضو    | $P_{UF}$<br>(ton) | $M_{UD}$<br>(ton.m) | $\delta_S M_{UD}$ | $mk M_{CE}$<br>(ton.m) | بهسازی شده<br>$\frac{\delta_S M_{UD}}{mk M_{CE}}$ |
|--------------|-------------------|---------------------|-------------------|------------------------|---|
| 7            | 81.34             | 36.2                | 47.06             | 67.8                   | 0.69  |
| 10           | 48.83             | 23.96               | 28.4              | 55.18                  | 0.51  |
| 13           | 22.38             | 27.45               | 26.28             | 50.53                  | 0.52  |
| 8            | 116.48            | 38.44               | 50                | 68.8                   | 0.73  |
| 11           | 76.14             | 26.56               | 34.97             | 56.23                  | 0.62  |
| 14           | 38.81             | 22.75               | 20.55             | 51.69                  | 0.40  |
| 9            | 81.34             | 36.2                | 47.02             | 67.8                   | 0.69  |
| 12           | 48.83             | 23.96               | 28.39             | 40.41                  | 0.70  |
| 15           | 22.38             | 27.45               | 26.28             | 48.07                  | 0.55  |
| Sub column-1 | 101.91            | 16.7                | 25.05             | 68                     | 0.37  |
| Sub column-2 | 151.44            | 16.7                | 25.05             | 73.5                   | 0.34  |
| Sub column-3 | 101.91            | 16.7                | 25.05             | 68                     | 0.37  |

#### • نتیجه گیری ارزیابی سازه بهسازی شده با جداگر لرزه‌ای

با توجه به اینکه نیروی زلزله برای کنترل اعضای کنترل شونده توسط نیرو بدون کاهش بوده و همچنین ضریب  $m=1$  درنظر گرفته می‌شود لذا عملکرد سازه بهسازی شده با جداگر لرزه‌ای در سطح قابلیت استفاده بدون وقفه کنترل می‌شود. با توجه به نتایج بالا، سازه بهسازی شده مزبور برای زلزله سطح خطر یک به سطح عملکرد سازه‌ای استفاده بدون وقفه دست یافته است.



## فصل ۷

---

---

میراگر در بهسازی سازه‌ها



## ۱-۷- مقدمه

در بهسازی لرزه‌ای سازه‌ها یکی از روش‌های کاهش نیروی جانبی ناشی از زلزله استفاده از میراگرها می‌باشد.

در حین زلزله انرژی زیادی به سازه اعمال می‌گردد. این انرژی به دو صورت جنبشی و پتانسیل (کرنشی) بر سازه اعمال می‌گردد که به طریقی جذب یا مستهلك می‌گردد. اگر سازه فاقد میرایی باشد ارتعاش آن پیوسته خواهد بود اما بدليل وجود میرایی در مصالح، ارتعاش کاهش می‌یابد. انرژی وارد بر سازه در اثر زلزله مطابق رابطه (۱-۷) محاسبه می‌شود:

$$E = E_K + E_S + E_h + E_d \quad (1-7)$$

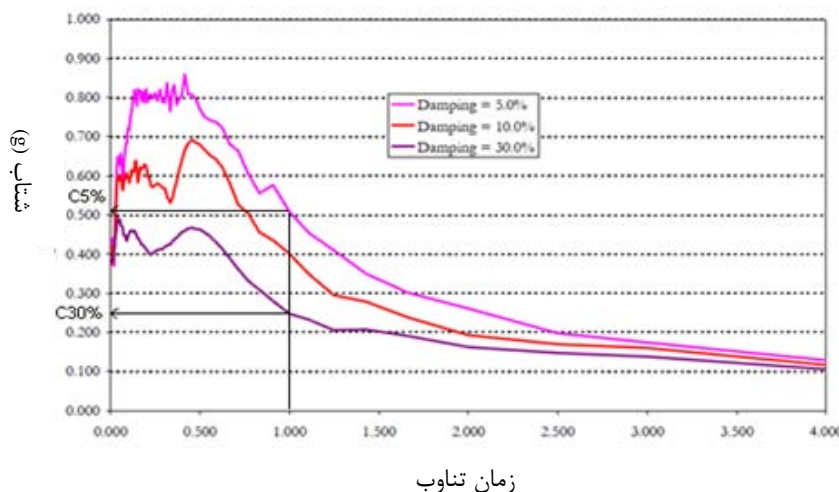
در رابطه فوق  $E$  انرژی ورودی زلزله،  $E_k$  انرژی جنبشی  $E_s$  انرژی کرنشی قابل بازگشت در محدوده الاستیک،  $E_h$  مقدار انرژی اتلاف شده به واسطه تغییر شکل غیرالاستیک و  $E_d$  مقدار انرژی مستهلك شده به وسیله میراگر الحاقی می‌باشد.

در سیستم‌های جداسازی لرزه‌ای، استفاده از سیستم‌های مستهلك کننده انرژی، جایگاه ویژه‌ای را به خود اختصاص داده‌اند. افزایش میرایی با استفاده از روش‌های مختلفی نظیر تسیلیم واسطه فلزی نرم، اصطکاک دو فلز بر روی هم، حرکت یک پیستون درون یک ماده لزج و یا رفتار ویسکوالاستیک در موادی از جنس شبیه لاستیک امکان‌پذیر می‌باشد.

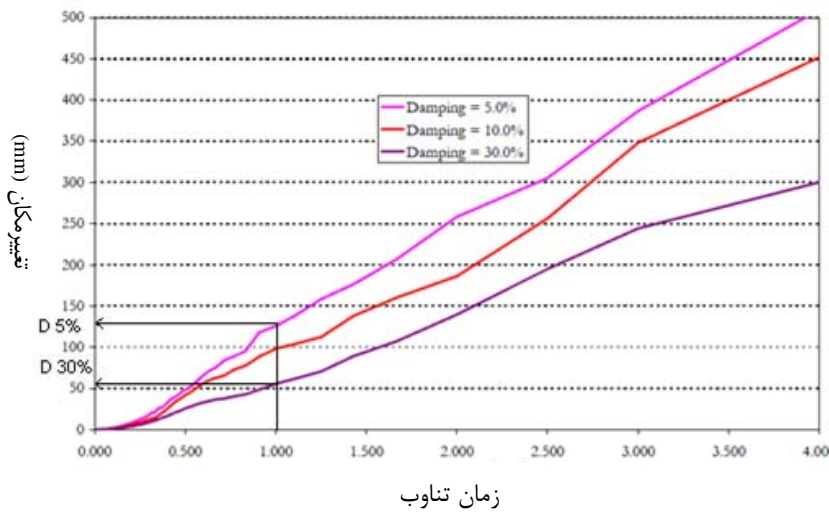
از دیدگاه تحلیلی، میراگرها به دو نوع وابسته به تغییرمکان و وابسته به سرعت تقسیم می‌شوند. از دیدگاه رفتاری انواع میراگرها عبارتند از: ۱. اصطکاکی ۲. تسیلیمی ۳. آلیاژی ۴. ویسکو الاستیک (ترکیب ویسکوز و تسیلیمی) از نظر رفتاری این میراگرها می‌توانند وابسته به تغییرمکان و وابسته به سرعت باشند که در بندهای مربوطه توضیح داده می‌شود.

## ۲-۷- اثر میرایی بر پاسخ سازه

افزایش میرایی باعث کاهش پاسخ سازه (شتاب و تغییرمکان) می‌شود. افزایش میرایی در زمان تناوب‌های پائین (نزدیک به صفر) بر مقدار طیف اثری ندارد و در زمان تناوب‌های بالا نیز اثر کمی بر روی شتاب پاسخ دارد. شکل‌های ۱-۷ و ۲-۷ بیشترین اثر افزایش میرایی را در زمان تناوب‌های  $2/5$  تا  $2/0$  ثانیه نشان می‌دهد.



شکل ۱-۷- اثر میرایی بر طیف پاسخ شتاب



شکل ۲-۷- اثر میرائی بر طیف پاسخ تغییرمکان

در آئین نامه‌های طراحی و بهسازی لرزه‌ای اثر میرایی با تعریف ضریب میرایی ( $B$ ) که تابعی از درصد میرایی بحرانی ( $\beta$ ) است مشخص می‌شود. این ضریب برای دو حالت زمان تناوب‌های کوتاه ( $B_S$ ) و زمان تناوب یک ثانیه ( $B_1$ ) تعریف شده است. دامنه عمل ( $B_S$ ) بر روی منحنی طیف پاسخ بین زمان تناوب  $T_0$  تا  $0.2T_0$  است.  $T_0$  زمان تناوب انتقال از محدوده شتاب ثابت به سرعت ثابت طیف می‌باشد(شکل ۳-۷). از ضریب ( $B_1$ ) نیز برای کاهش طیف در زمان تناوب‌های بالاتر از  $T_0$  استفاده می‌شود. مقادیر ضریب میرایی براساس درصد میرایی بحرانی در جدول ۱-۷<sup>۱</sup> ارائه شده است. در روش استاتیکی خطی با میراگر وابسته به تغییرمکان، درصد میرایی بحرانی موثر ( $\beta_{eff}$ ) سازه توسط رابطه (۲-۷) محاسبه می‌شود:

$$\beta_{eff} = \beta + \frac{\sum_j W_j}{4\pi W_K} \quad (2-7)$$

پارامترهای روابط فوق به شرح زیر می‌باشد:

$\beta$  = میرایی سیستم قاب‌بندی ساختمان که باید مساوی ۵٪ فرض شود مگر اینکه میرایی دیگری مورد نظر باشد.  
 $W_j$  = در میراگر وابسته به تغییرمکان، عبارتست از کار انجام شده توسط میراگر  $j$  در یک چرخه کامل تحت تغییرمکان‌های  $\delta$  کف‌های طبقات.

$W_K$  = حداکثر انرژی کرنشی قاب است که از رابطه (۳-۷) به دست می‌آید.

$$W_K = \frac{1}{2} \sum_i F_i \delta_i \quad (3-7)$$

$F_i$  = نیروی اینرسی در کف طبقه  $i$  ام بوده و عمل جمع روی کلیه کف‌های  $n$  انجام می‌گیرد.

<sup>۱</sup> این جدول همان جدول ۱-۸ نشریه ۳۶۰ می‌باشد.

در روش استاتیکی خطی با میراگر وابسته به سرعت، درصد میرایی بحرانی موثر ( $\beta_{eff}$ ) سازه توسط رابطه (۴-۷) محاسبه

می‌شود:

$$\beta_{eff} = \beta + \frac{\sum_j W_j}{4\pi W_K} \quad (4-7)$$

که برای میراگر ویسکوز خطی از رابطه (۵-۷) محاسبه می‌شود:

$$\beta_{eff} = \beta + \frac{T \sum_j C_j \cos^2 \theta_j \phi_{rj}^2}{4\pi \sum_i \left[ \frac{W_i}{g} \right] \phi_i^2} \quad (5-7)$$

پارامترهای روابط فوق به شرح زیر می‌باشند:

$\beta$  = میرایی سیستم قاب‌بندی ساختمان که باید مساوی ۵٪ فرض شود مگر اینکه میرایی دیگری مورد نظر باشد.

$T$  = زمان تنابوب اصلی سازه بهسازی شده که در محاسبه آن سختی وسایل وابسته به سرعت نیز محاسبه شده است.

$C_j$  = ثابت میرایی وسیله زام

$\delta_{rj}$  = تغییر مکان نسبی بین دو انتهای وسیله زام در امتداد محور این وسیله

$\theta_j$  = زاویه شبیب وسیله نقلیه زام با افق

$\varphi_{rj}$  = تغییر مکان نسبی بین دو انتهای وسیله زام در مود اول در جهت افقی

$W_i$  = وزن موجود طبقه i ام

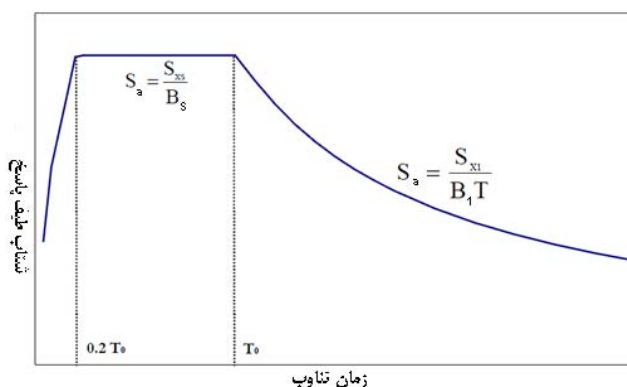
$\varphi_i$  = تغییر مکان طبقه i ام در مود اول

$W_j$  = در وسایل وابسته به سرعت کار انجام شده توسط میراگر ویسکوز خطی زام در یک چرخه کامل بارگذاری است که توسط رابطه

حساب می‌شود: (۶-۷)

$$W_j = \frac{2\pi^2}{T} C_j \delta_{rj}^2 \quad (6-7)$$

$W_K$  = حداکثر انرژی کرنشی قاب است که از رابطه (۳-۷) به دست می‌آید.



شکل ۳-۷ - طیف پاسخ طرح براساس ضریب میرایی

### جدول ۱-۷- خواص $B_1$ و $B_S$ بر حسب درصد میراگری موردنظر ( $\beta$ )

| $B_1$ | $B_S$ | $\beta$   |
|-------|-------|-----------|
| ۰/۸   | ۰/۸   | $\leq 2$  |
| ۱/۰   | ۱/۰   | ۵         |
| ۱/۲   | ۱/۲   | ۱۰        |
| ۱/۵   | ۱/۸   | ۲۰        |
| ۱/۷   | ۲/۳   | ۳۰        |
| ۱/۹   | ۲/۷   | ۴۰        |
| ۲/۰   | ۲/۰   | $\geq 50$ |

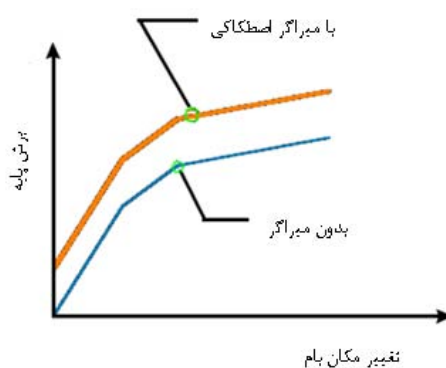
### ۳-۷- انواع میراگرها

همانطور که گفته شد، میراگرها بر اساس عملکرد آنها به انواع اصطکاکی، تسلیمی، ویسکوز، ویسکوالاستیک، آلیاژی جرمی دسته‌بندی می‌گردند.

از مزایای استفاده از میراگرها می‌توان به جذب انرژی زیاد، سادگی در نصب و تعویض آنها و همچنین هماهنگی با سایر اعضای سازه اشاره نمود.

### ۳-۱-۷- میراگرهای اصطکاکی

در این نوع میراگر که از نظر تحلیلی وابسته به تغییر مکان هستند، انرژی زلزله صرف غلبه بر اصطکاک موجود در سطح تماس قطعات می‌شود. از ویژگی‌های دیگر این میراگرها می‌توان به عدم ایجاد خستگی در بارهای خدمت (به دلیل فعال نشدن میراگرها تحت این بارها) و وابسته نبودن عملکرد آنها به سرعت بارگذاری و دمای محیط اشاره نمود. این میراگرها به موازات مهاربندها نصب می‌شوند.



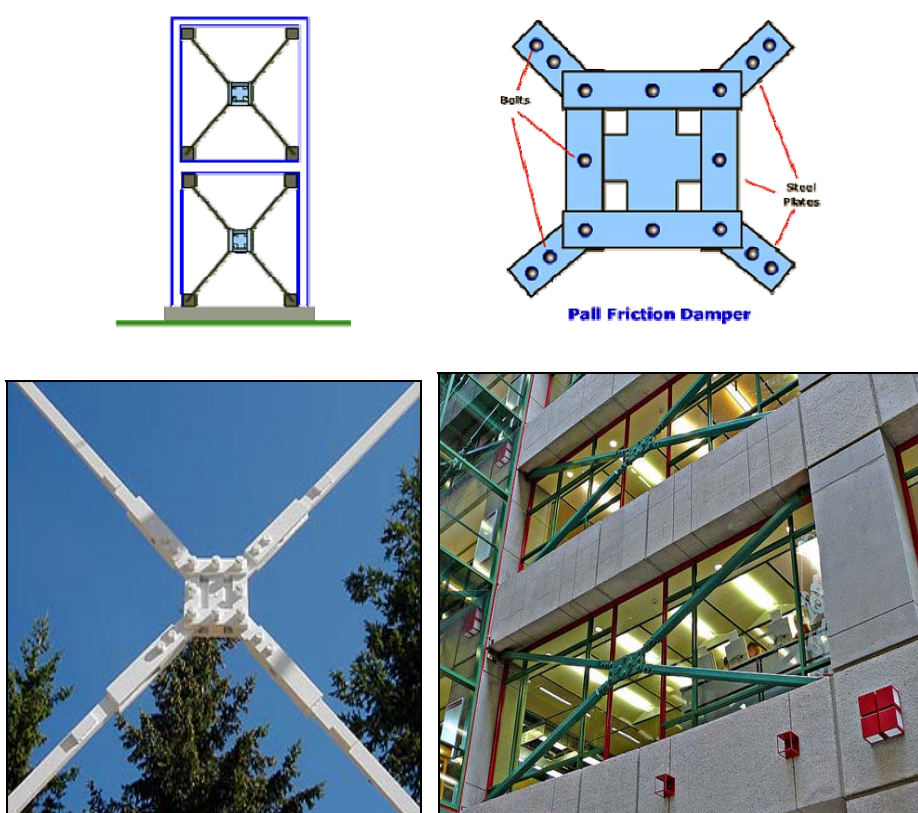
شکل ۴-۷- تأثیر استفاده از میراگرهای اصطکاکی بر منحنی ظرفیت سازه

در شکل ۷-۵، میراگرهای اصطکاکی چرخشی نشان داده شده است. به علت رفتار بسیار ساده و سهولت در نصب و ساخت، این نوع میراگر به یکی از متداول‌ترین میراگرهای اصطکاکی تبدیل شده است.

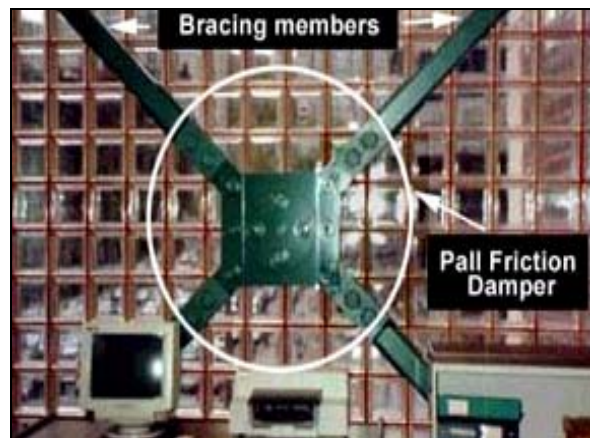


شکل ۷-۵- استفاده از میراگرهای اصطکاکی چرخشی در مقاوم سازی

نوع دیگر میراگرهای اصطکاکی، میراگر اصطکاکی پال (Pall) می‌باشد (شکل ۷-۶). این میراگر شامل یک بادبند و چند سری ورق فولادی به همراه پیچ‌های اصطکاکی می‌باشد که در بخش میانی بادبند نصب می‌شوند. ورقهای فولادی توسط پیچ‌های پُر مقاومت به یکدیگر متصل شده که نسبت به یکدیگر تحت نیروی مشخصی لغزش می‌کنند.



شکل ۷-۶- استفاده از میراگرهای اصطکاکی پال (Pall) در مقاوم سازی

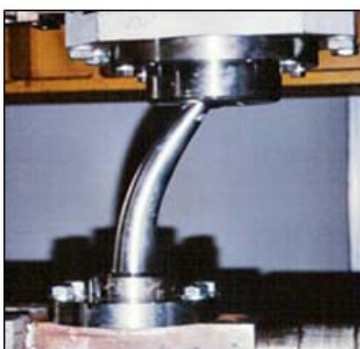


ادامه شکل ۷-۶- استفاده از میراگرهای اصطکاکی پال (Pall) در مقاوم سازی

### ۷-۳-۲- میراگرهای تسلیمی

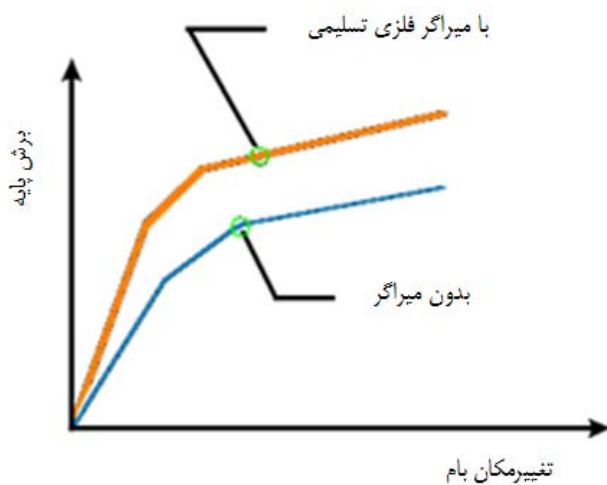
این میراگر که از لحاظ تحلیلی، وابسته به تعییر مکان است، انرژی منتقل شده به سازه صرف تسلیم و رفتار غیر خطی در قطعات بکار رفته می‌شود. در این میراگرهای از تعییر شکل غیر الاستیک فلزاتِ شکل پذیری مانند فولاد و سرب به منظور اتلاف انرژی استفاده می‌شود.

در تمام سازه‌های معمولی اتلاف انرژی بر شکل پذیری اعضای فولادی پس از تسلیم متکی است.



شکل ۷-۷- نمونه هایی از انواع میراگرهای فلزی جاری شونده (تسلیمی)

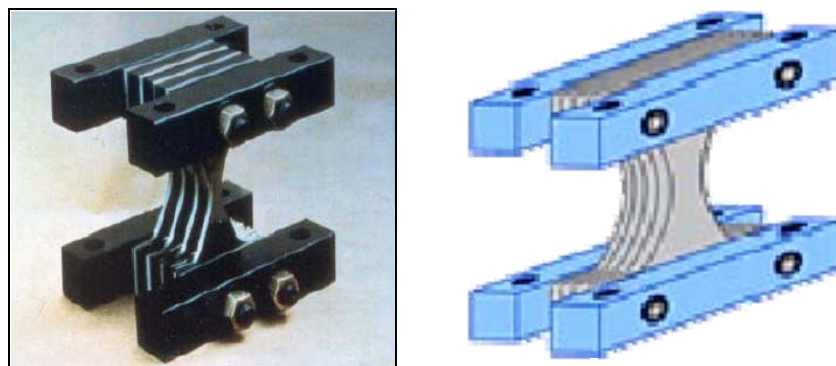
در بادبندها استفاده از میراگرهای فلزی تسلیمی متداول‌تر می‌باشد. این نوع میراگرها اغلب از چند ورق فولادی موازی تشکیل می‌شوند و در ترکیب با سیستم بادبندی، نقش جذب و اتلاف انرژی را بر عهده می‌گیرند. این قسمت از مهاربند به عنوان فیوز در سازه عمل نموده و با تمرکز رفتار غیر خطی در خود، مانع از بروز رفتار غیر خطی و آسیب در سایر اجزای اصلی و فرعی سازه می‌گردد.



شکل ۷-۸-۷- تأثیر استفاده از میراگرهای فلزی تسلیمی بر منحنی ظرفیت سازه

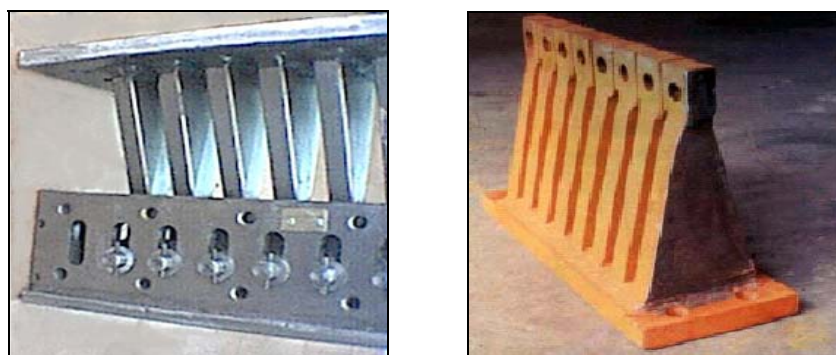
میراگرهای فلزی X شکل، از کارایی قابل توجهی برخوردار می‌باشند. تسلیم گسترده در تمام حجم فولاد، تأمین میرایی هیسترتیک و اتلاف انرژی فوق العاده از خصوصیات منحصر به فرد این نوع میراگر می‌باشد.

این میراگرها ضمن تأمین میرایی از سختی جانبی بالایی برخوردار بوده و به همین جهت با عنوان میرایی و سختی افزوده<sup>۱</sup> (ADAS<sup>1</sup>)، نامگذاری شده است.



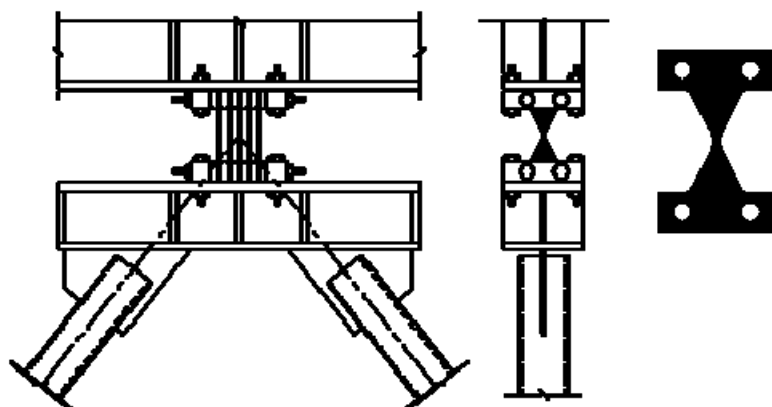
شکل ۷-۹-۷- میراگر X-ADAS

<sup>1</sup> Added Damping And Stiffness

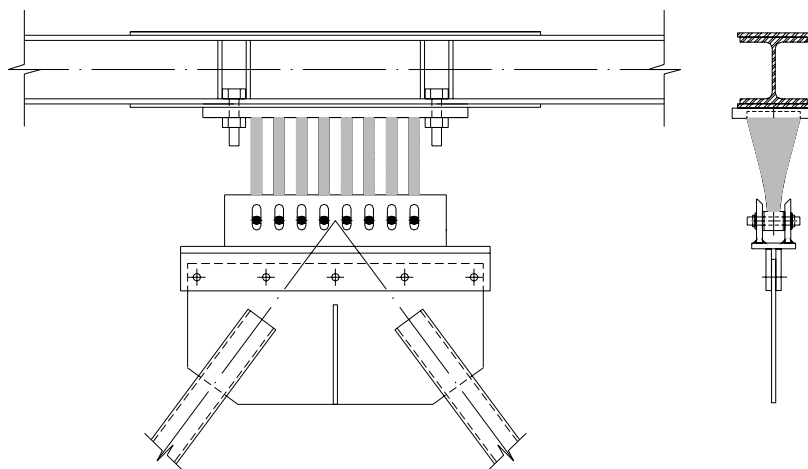


شکل ۷-۱۰- میراگر T-ADAS

این میراگرها معمولاً بین راس مهاربندهای جناقی و تیر طبقه نصب می‌شوند. با پیش‌بینی اتصالات مناسب، این میراگرها در قابهای بتُنی نیز قابل نصب می‌باشند.



شکل ۷-۱۱- نحوه استقرار میراگر X-ADAS در قاب

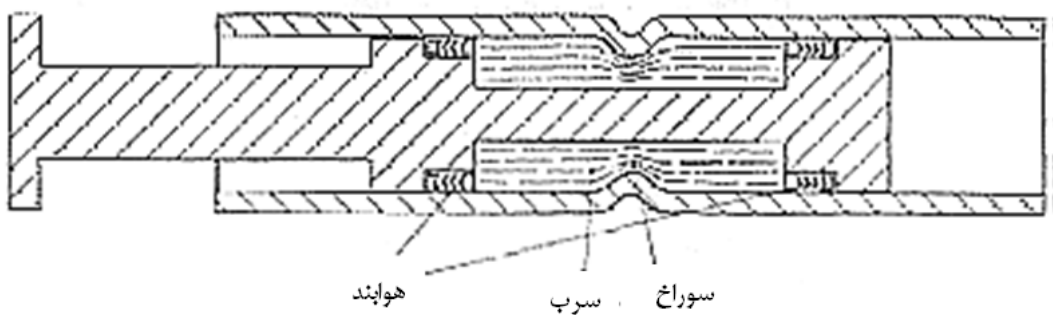


شکل ۷-۱۲- نحوه استقرار میراگر T-ADAS در قاب



شکل ۷-۱۳- نمونه هایی از بکارگیری میراگر

از انواع دیگر میراگرهای تسلیم شونده، میراگر سربی تزریقی (LED) می‌باشد. این میراگر از یک سیلندر دومحفظه‌ای، پیستون و سرب داخل پیستون تشکیل شده است که با حرکت پیستون به هنگام زلزله سرب از محفظه بزرگتر به محفظه کوچکتر حرکت می‌کند که با تغییرشکل خمیری، انرژی جنبشی بصورت حرارتی تلف می‌شود. در شکل ۷-۱۴ مقطع طولی میراگر سربی تزریقی نشان داده شده است.



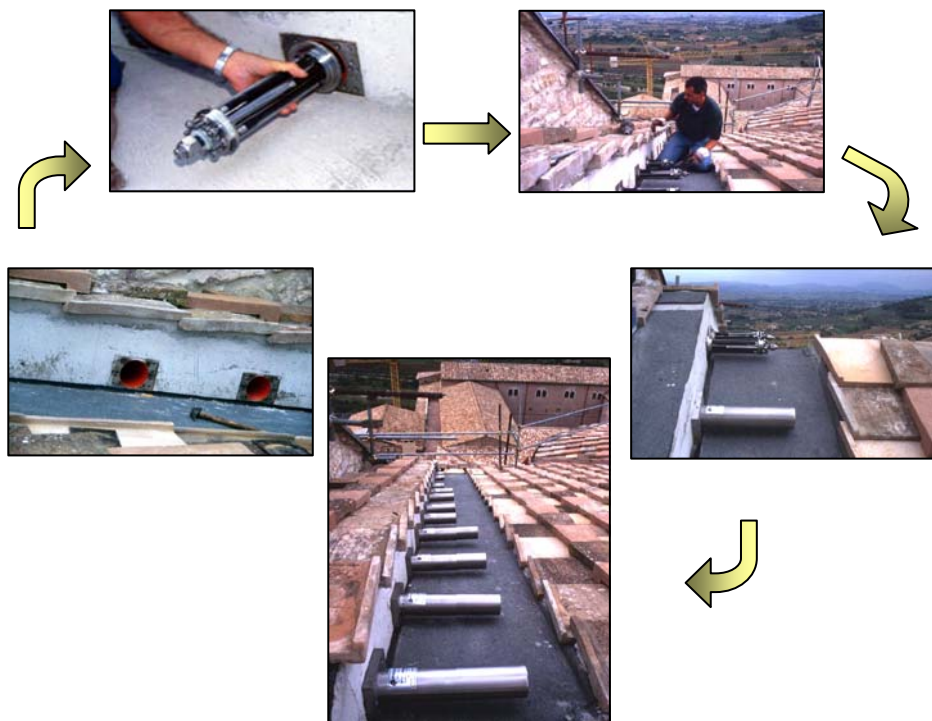
شکل ۷-۱۴- مقطع طولی میراگر سربی- تزریقی (LED)

### ۳-۳-۷- میراگرهای آلیاژی (SMA)

میراگرهای آلیاژی<sup>۱</sup> SMA، از فلزاتی ساخته می‌شوند که دو خاصیت زیر را دارا باشند:

- ۱- انعطاف‌پذیری آنها مشابه با انعطاف پذیری قطعه لاستیکی باشد.
- ۲- پس از اعمال تغییرشکلهای زیاد در آنها، در اثر حرارت به حالت اولیه خود باز گردند.

آلیاژ نیکل و تیتانیوم ضمن دارا بودن این خواص از مقاومت خوبی در برابر خوردگی نیز برخوردار است.

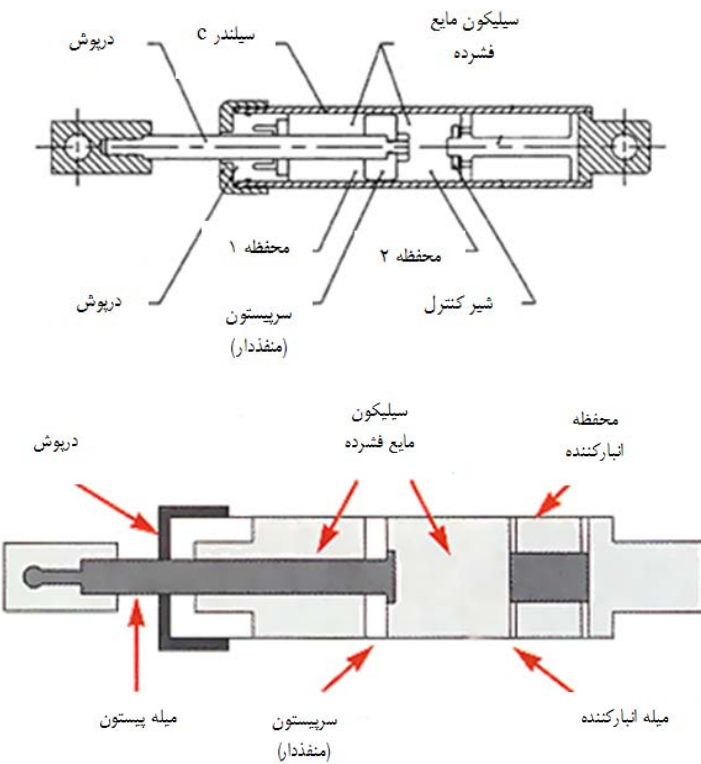


شکل ۷-۱۵- ترمیم سقف کلیسای سن فرانسیس (ایتالیا) با میراگرهای SMA

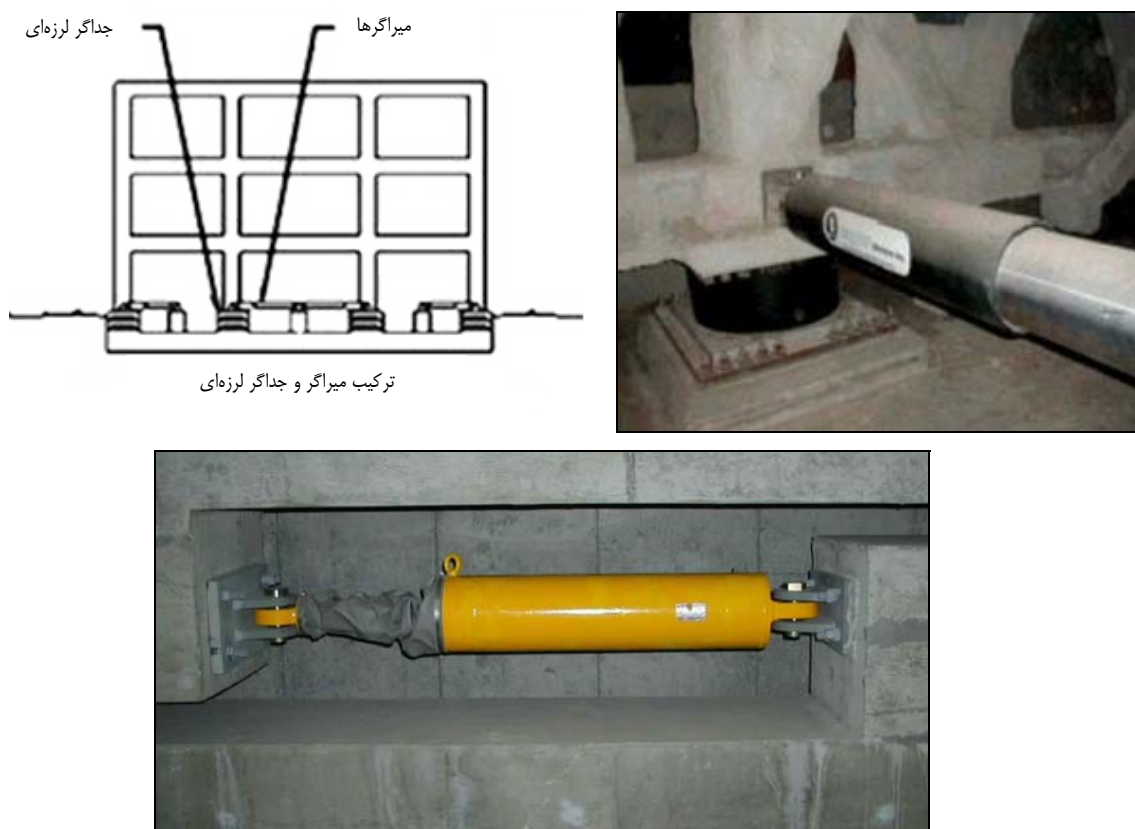
### ۴-۳-۷- میراگرهای ویسکوز

در این میراگرها با استفاده از حرکت مایع لزج درون سیلندر انرژی مستهلك می‌شود. میراگرهای ویسکوز به دلیل سادگی در نصب، قابلیت انطباق و هماهنگی با سایر اعضاء و همچنین تنوع در ابعاد و اندازه‌های آنها، کاربرد بسیاری در طراحی و مقاوم سازی پیدا کرده‌اند.

<sup>۱</sup> Shape Memory Alloy



شکل ۷-۱۶- جزئیات تیپ سیستم میراگر ویسکوز

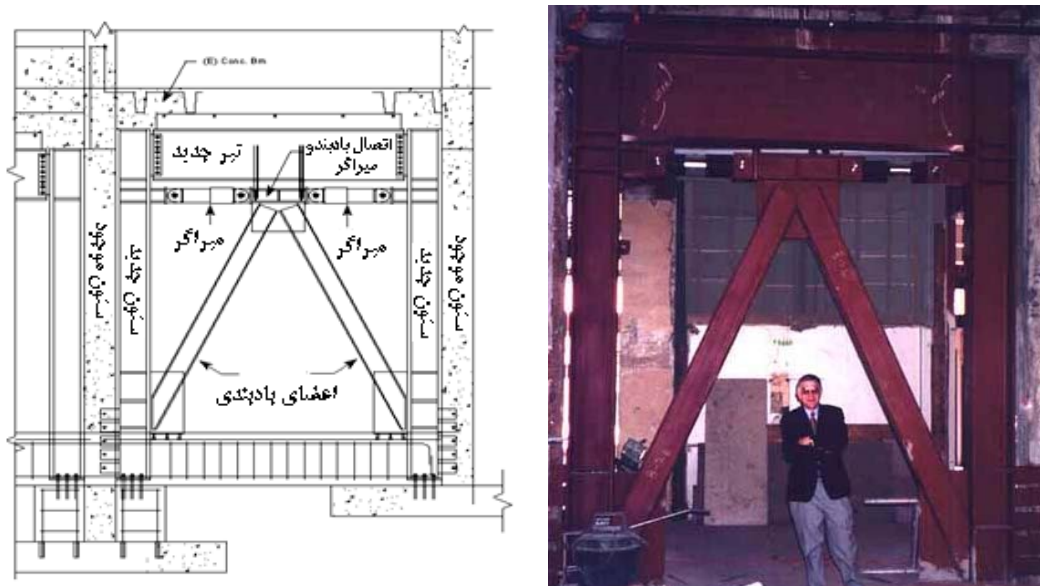


شکل ۷-۱۷- اتصال میراگرهای ویسکوز در کف و فونداسیون سازه ها

این نوع میراگرها به سه روش زیر به سازه متصل می‌گردند:

- نصب میراگرها به کف و یا فونداسیونها (در روش جداسازی لرزه‌ای).
- اتصال میراگرها در بادبندهای جناغی (شکل ۱۸-۷).
- نصب میراگرها در بادبندهای قطری (شکل ۱۹-۷).

در اتصال میراگرها در کف و یا فونداسیون سازه‌ها می‌توان از ترکیب میراگرها با جداسازها استفاده کرد.



شکل ۱۸-۷- استفاده از میراگرهای ویسکوز در بادبندهای جناغی

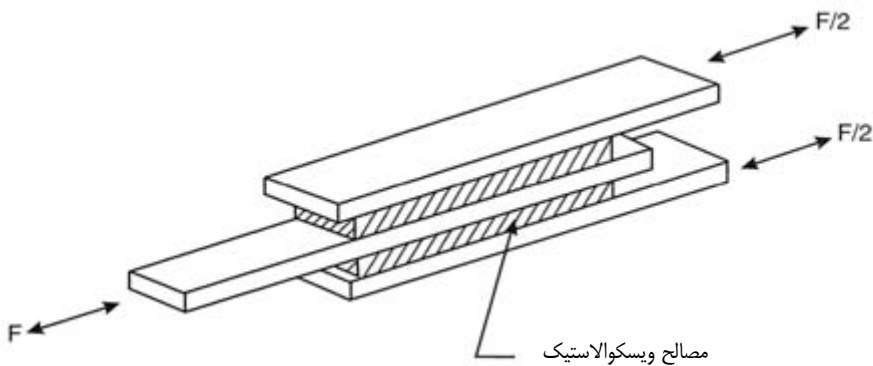


شکل ۱۹-۷- استفاده از میراگرهای ویسکوز در بادبندهای قطری

### ۵-۳-۷- میراگر ویسکوالاستیک

مصالح ویسکوالاستیک از مواد با پایه الاستومری و پلیمری می‌باشند که درهنگام زلزله با انجام تغییرشکل‌های برشی، انرژی را مستهلك می‌کنند. میراگر ویسکوالاستیک از یک یا چند لایه از مواد ویسکوالاستیک محصور شده در میان ورق‌های فولادی

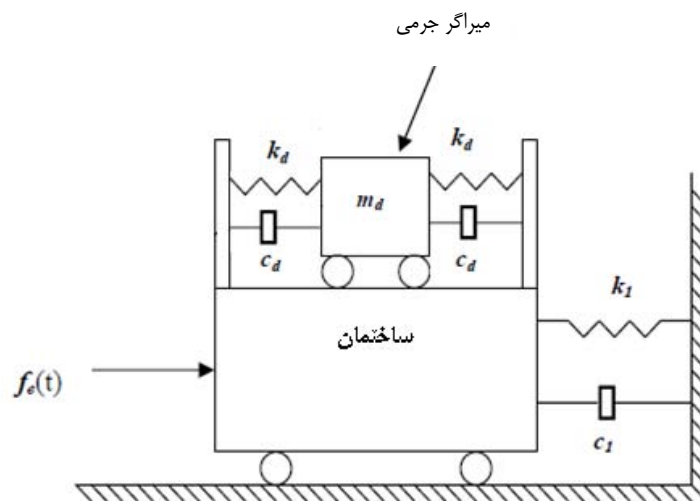
تشکیل می‌شود. در شکل ۲۰-۷ ساده‌ترین نوع آن نشان داده شده است. این میراگرها به نحوی در سازه قرار می‌گیرند که تغییر مکان نسبی طبقات باعث تغییرشکل برشی آنها شود. خصوصیات مکانیکی این میراگر به حرارت و فرکانس بارگذاری بستگی دارد. فرکانس‌های حرکت مورد انتظار این میراگر را باید تخمین زد. درجه حرارت این میراگر با تبدیل انرژی جنبشی به حرارتی بالاتر می‌رود که این تغییرات حرارت باید در طراحی این نوع میراگر مدنظر قرار گیرد.



شکل ۲۰-۷-میراگر ویسکوالاستیک جامد

### ۶-۳-۷- میراگر جرمی

شکل ۲۱-۷ ساختار عمومی میراگر جرمی را نشان می‌دهد. جرم روی تکیه‌گاهی که به عنوان غلتک عمل می‌نماید، قرار گرفته و به جرم اجازه حرکت به صورت انتقالی - جانبی نسبت به کف را می‌دهد. فرها و میراگرها بین جرم و اعضای تکیه‌گاهی عمودی قرار گرفته و نیروی جانبی «در فاز مخالف» به سطح کف و سپس به قاب سازه‌ای انتقال می‌دهند. میراگرهای انتقالی دو جهته به صورت فنر-میراگر در دو جهت عمودی ساخته می‌شوند و امکان کنترل حرکت سازه در دو صفحه عمودی را فراهم می‌آورند.



شکل ۲۱-۷-مدل میراگر جرمی در ساختمان

### جدول ۲-۷ - کاربرد و رفتار انواع میراگرها

| ردیف | نوع میراگر   | مدل رفتاری   | کاربرد                                      |
|------|--------------|--|---|
| ۱    | تسلیمی       | وابسته به تغییر مکان                                     | سازه‌های کوتاه و متوسط در مقابل زلزله       |
| ۲    | اصطکاکی      | وابسته به تغییر مکان                                     | سازه‌های کوتاه و متوسط در مقابل زلزله       |
| ۳    | آلیاژی       | سایر وسایل (نه وابسته به سرعت و نه وابسته به تغییر مکان) | کنترل لرزه‌ای موضعی                         |
| ۴    | ویسکوز       | وابسته به سرعت   | اکثر سازه‌ها در مقابل باد و زلزله           |
| ۵    | ویسکوالاستیک | وابسته به سرعت و تغییر مکان                              | سازه‌های کوتاه و متوسط در مقابل باد و زلزله |
| ۶    | جرمی         | سایر وسایل (نه وابسته به سرعت و نه وابسته به تغییر مکان) | سازه‌های بلند در مقابل باد و زلزله          |

### ۴-۴- روشهای تحلیل سازه با میراگر

هدف از این فصل ارائه روشهای تحلیل سازه میراشده با استفاده از وسایل جاذب انرژی می‌باشد. چهار روش تحلیل، در ادامه بحث شده‌اند.

- ۱- روش تحلیل سازه غیرخطی و میراگر غیرخطی(NS/ND)
- ۲- روش تحلیل سازه خطی و میراگر غیرخطی(LS/ND)
- ۳- روش تحلیل سازه غیرخطی و میراگر خطی(NS/LD)
- ۴- روش تحلیل سازه خطی و میراگر خطی(LS/LD)

### ۱-۴-۱- روش تحلیل سازه غیرخطی و میراگر غیرخطی(NS/ND)

تحلیل دینامیکی غیرخطی (تاریخچه زمانی) با در نظر گرفتن رفتار غیرخطی اعضای سازه‌ای همانند میراگرهای تحلیل دقیق و کامل سازه را امکان پذیر می‌سازد. برخی از نرم افزارهای طراحی مانند ETABS و SAP2000 می‌توانند رفتار هیسترزیس دوخطی میراگرهای هیسترزیس را با کمک المان پلاستیک مدل کنند. در این نرم افزارها المانهای غیرخطی (شامل میراگرهای تحلیل دقیق) در تعداد محدودی از نقاط تعریف شده و نیروهای المانهای غیرخطی در هرگام زمانی یا بارگذاری محاسبه می‌شوند.

علاوه بر این روش‌های تقریبی متعددی برای سازه‌های میراشده غیرخطی وجود دارد. برای مثال به روشهای استاتیکی غیرخطی(NSP) ارائه شده در نشریه ۳۶۰ می‌توان اشاره نمود. در این روش، سیستم چند درجه آزادی غیرالاستیک به سیستم یک

درجه آزادی خطی معادل تبدیل می‌شود و پاسخ غیرخطی سیستم یک درجه آزادی براساس طیف ساخته شده از پاسخ طیفی زلزله با میرایی  $\% ۵$  تقسیم بر ضرایب میرایی  $B_1$  و  $B_2$  محاسبه می‌شود.

#### ۷-۴-۲- روش تحلیل سازه غیرخطی و میراگر خطی (NS/LD)

در روش (NS/LD) با درنظرگرفتن رفتار خطی برای میراگر بطور قابل ملاحظه‌ای ساده می‌شود. در این روش میرایی و سختی خطی معادلی برای میراگر تعریف می‌شود. این کار به سازه میراشده این امکان را می‌دهد که تحلیل غیرخطی آن همانند روش‌های بکار رفته برای سازه معمولی با تصحیح سختی و میرایی المانها صورت پذیرد.

#### ۷-۴-۳- روش تحلیل سازه خطی و میراگر غیرخطی (LS/ND)

در این روش برای ساده‌سازی تحلیل، رفتار المانهای سازه میراشده بصورت خطی و رفتار میراگرها بصورت غیرخطی مدل می‌شوند و این تحلیل با استفاده از برنامه‌های کامپیوتری موجود به سادگی انجام می‌شود.

#### ۷-۴-۴- روش تحلیل سازه خطی و میراگر خطی (LS/LD)

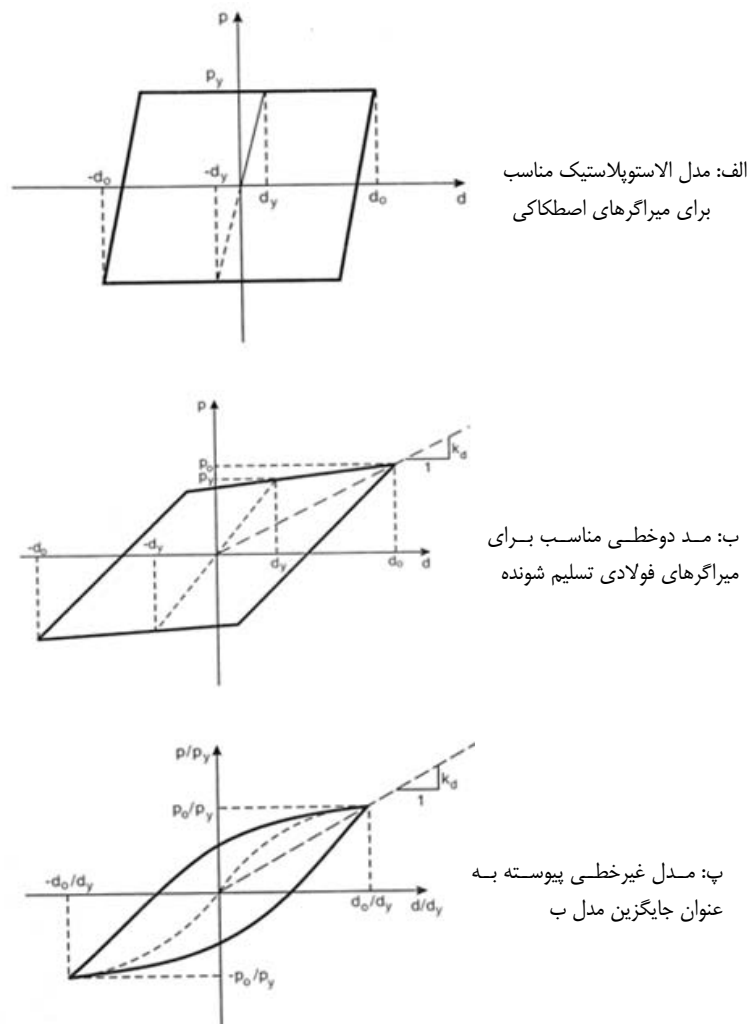
این روش برای سازه‌های با میراگر الحقی که امکان مدل‌سازی خطی داشته باشند، بکار می‌رود. در این وضعیت آنالیز مدل و پاسخ طیفی این نوع سازه‌ها بسیار کاربردی می‌باشد.

### ۷-۵- مشخصات کاربردی میراگرها

#### ۷-۵-۱- میراگرها وابسته به تغییرمکان (شامل انواع اصطکاکی و تسليمي)

این میراگرها انرژی زلزله را از طریق تسلييم فلز و یا اصطکاک سطوح تماسی مستهلك می‌کنند. استهلاک انرژی در هردو این وسایل به نیرو و تغییرمکان نسبی داخلی آنها بستگی دارد. بنابراین، هر دو با روابط هیسترزیس نیرو - تغییرشکل مدل می‌شوند. رفتار نیرو-تغییرشکل این میراگرها به سه روش الاستوپلاستیک، دو خطی و چند خطی که در شکل ۲۲-۷ نشان داده شده‌اند، مدل می‌شوند. مشخصه‌های پسماند این مدلها از روی منحنی نیرو-تغییرشکل مشخص می‌شوند. سطح داخل این منحنی‌ها معرف میزان انرژی مستهلك شده در هر سیکل می‌باشند. در شکل ۲۲-۷ سیکل کامل چرخه‌ای این میراگرها تا بازگشت به نقطه آغاز نشان داده شده است.

میرایی ویسکوز معادل با برابر قراردادن سطح داخل حلقه پسماند با سطح داخل سیکل میراگر ویسکوز تعیین می‌گردد.



شکل ۲۲-۷- رفتار چرخه‌ای مدل‌های غیرخطی نیرو-تغییرمکان

أنواع منحنى چرخه‌ای به شرح زیر می‌باشد:

#### ۱- مدل الاستوپلاستیک(شکل ۲۲-۷-الف):

سختی الاستیک اولیه (میراگر) از تقسیم نیروی تسلیم تجربی بر تغییرمکان نظیر آن حاصل می‌شود:

$$k_e = \frac{P_y}{d_y} \quad (7-7)$$

$d_y$  به ترتیب نیرو و تغییرمکان تسلیم می‌باشد. استهلاک انرژی در هر سیکل(E) معادل با سطح داخل حلقه پسماند میان نقاط  $(d_o, P_y)$  و  $(-d_o, -P_y)$  می‌باشد و از رابطه (۷-۷) تعیین می‌گردد.

$$E = 4P_y(d_o - d_y), \quad d_o \geq d_y \quad (7-7)$$

۲- مدل دوخطی(شکل ۲۲-۷-ب):

سختی الاستیک اولیه این مدل همانند مدل الاستوپلاستیک می‌باشد. شب ثانویه که به شب کرنش سخت شدگی معروف است با پارامتر  $k_h$  تعریف می‌شود. کرنش سخت شدگی هم بر انرژی مستهلك شده و هم بر نیروی بازگرداننده تاثیر می‌گذارد. رابطه استهلاک انرژی دوخطی براساس شکل منحنی آن برابر است با:

$$E = 4(k_e - k_h)d_y(d_o - d_y), \quad d_o \geq d_y \quad (9-7)$$

معادله بالا نشان میدهد که با افزایش تغییرمکان تسلیم( $d_y$ )، نیروی بازگرداننده افزایش می‌یابد و با افزایش سختی ثانویه از میزان استهلاک انرژی در هر سیکل کاسته می‌شود.

۳- مدل پیوسته(شکل ۲۲-۷-پ):

در این مدل رابطه نیرو-تغییرمکان برابر است با:

$$\frac{d}{d_y} = \frac{P}{P_y} + \alpha \left( \frac{P}{P_y} \right)^r \quad (10-7)$$

$d$ =تغییرمکان میراگر

$d_y$ =تغییرمکان تسلیم میراگر

$P$ =نیروی واردہ به میراگر

$P_y$ =نیروی تسلیم میراگر

$\alpha$ =ضریب ثابت مثبت

$r$ =عدد صحیح مثبت فرد بزرگتر از یک

در این مدل سطح زیر حلقه پسماند در حد فاصل  $(-d_o, P_y)$  و  $(d_o, P_y)$  از رابطه (11-7) تعیین می‌گردد.

$$E = 4d_y P_y \left[ \frac{(r-1)}{(r+1)} \right] \left( \frac{P_o}{P_y} \right)^{r+1} \quad (11-7)$$

مقادیر ضرایب  $P_y, \alpha, r, d_y$  از آزمایشات تجربی بر روی میراگرهای بدست می‌آید.

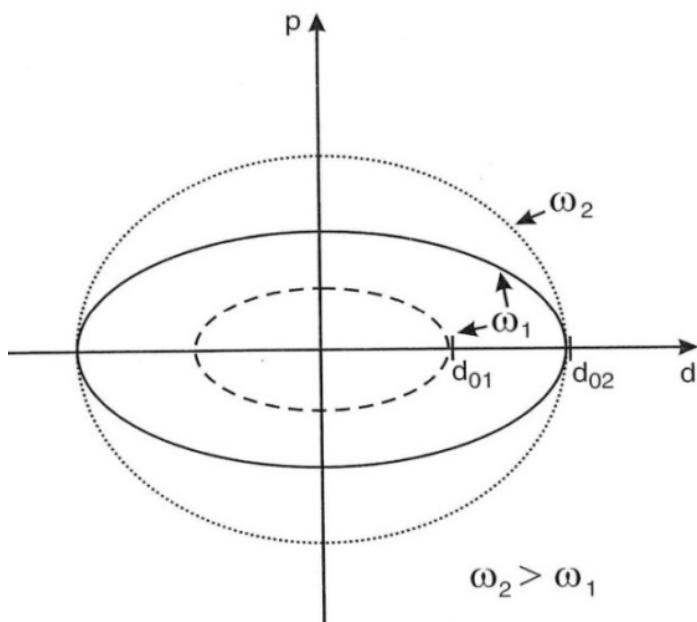
۲-۵-۷- میراگر وابسته به سرعت شامل انواع میراگرهای ویسکوز

میراگرهای ویسکوز متنوعی برای کاربردهای ساختمانی توسعه یافته‌اند. به عنوان مثال میراگرهای ویسکوز دیواری شکل درساختمانهای ژاپن نصب شده‌اند. این دیوارها از طریق عملکرد برشی، مواد مایع داخل محفظه دیوارهای شکل انرژی را مستهلك می‌کنند. نوع دیگری از میراگرهای مایع، براساس عبور مایع از منفذها شکل گرفته‌اند. در ایالات متحده آمریکا بیشتر از این نوع

میراگر استفاده شده است. میراگرهای ویسکوز منفذی با مکانیزم شبیه به میل لنگ و پیستون برای مصارف صنعتی و نظامی توسعه یافته‌اند که در شکل ۱۶-۷ نشان داده شده است. در محفظه داخل سیلندر ماده سیلیکون غیرقابل فشرده شدن با اعمال نیرو توسط پیستون به حرکت درمی‌آید. سرپیستون از منافذی با ترمومترات فلزی غیرفعال برای خنثی نمودن تغییرات حرارتی تشکیل شده است و برای محصور نگهدارشتن محتویات داخل آن از درپوش‌های با مقاومت بالا استفاده شده است. نیروی ایجاد شده در میراگر ویسکوز براساس شکل منفذ برابر با رابطه ۱۲-۷ می‌باشد:

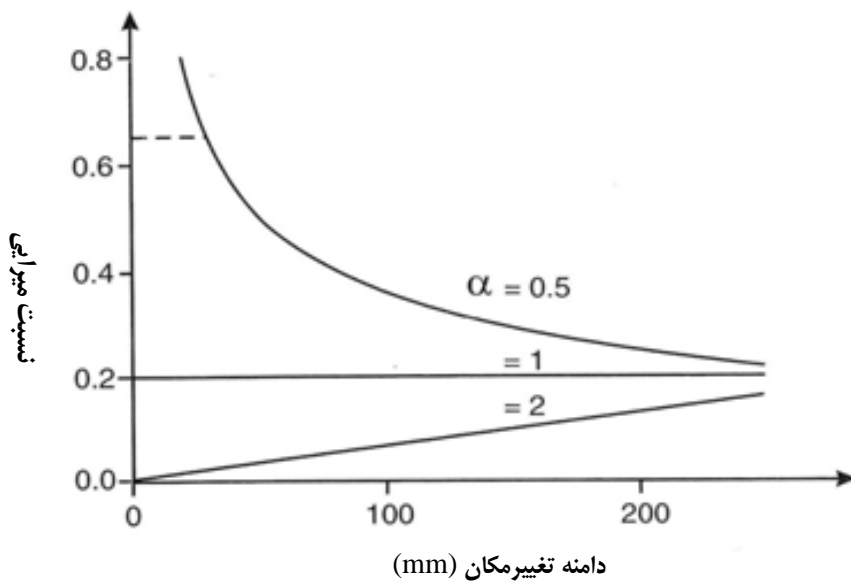
$$P(t) = c_v(\omega) |\dot{d}|^\alpha \operatorname{sgn}(\dot{d}) \quad (12-7)$$

ضریب میرایی برای فرکانس تقریباً ۴ هرتز بوده و محدوده  $\alpha$  از  $0/3$  تا  $2$  متغیر است. در صورتیکه  $\alpha$  برابر با یک باشد رفتار میراگر خطی است و در سایر حالات رفتار میراگر غیرخطی خواهد بود. مقادیر کوچک  $\alpha$  (برای مثال  $0/5$ ) در کاهش شوکهای با سرعت بالا موثر هستند. در مقابل مقدار  $1 \leq \alpha \leq 1$  برای استفاده در سازه در مقابل باد و زلزله مطلوب هستند. در شکل ۲۳-۷ حلقه‌های نیرو-تغییرشکل وابستگی آنها را به دامنه و فرکانس ارتعاش نشان می‌دهد.



شکل ۲۳-۷-رابطه نیرو-تغییرمکان میراگر ویسکوز

برای  $\alpha < 1$  ضریب میرایی با افزایش دامنه حرکت کاهش می‌یابد. در مقابل برای  $\alpha > 1$  با افزایش دامنه حرکت، میرایی افزایش می‌یابد و برای  $\alpha = 1$  ضریب میرایی مستقل از دامنه حرکت خواهد بود (شکل ۲۴-۷).



شکل ۷-۲۴-۷-نسبت میرایی میراگرهای ویسکوز بعنوان تابعی از دامنه حرکت

### ۷-۵-۳- میراگرهای ویسکوالاستیک جامد (وابسته به سرعت و تغییرمکان)

خاصیت اصلی در طراحی میراگر ویسکوالاستیک مدول برشی ذخیره  $G'$  و مدول برشی از دست رفته  $G''$  می‌باشد. مدول برشی ذخیره نشان‌دهنده سختی برشی و مدول برشی از دست رفته نشان‌دهنده سختی ویسکوز یا سختی ویسکوز به سرعت می‌باشد. روابط تنش-کرنش مواد ویسکوالاستیک به شرح زیر می‌باشد:

$$\tau(t) = G'\gamma(t) \pm \frac{G''\dot{\gamma}(t)}{\omega} \quad (7-13)$$

پارامترهای بالا به شرح زیرند:

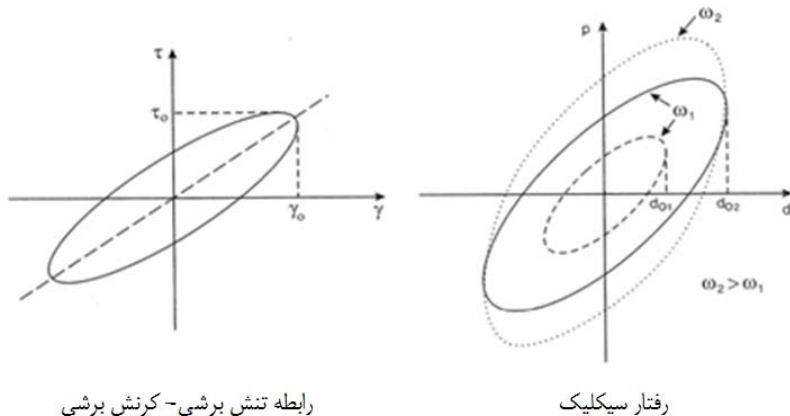
$\tau(t)$ =تنش برشی وابسته به زمان  $t$

$\gamma(t)$ =کرنش برشی وابسته به زمان  $t$

$\dot{\gamma}(t)$ =سرعت تغییرکرنش برشی(سرعت برشی) وابسته به زمان  $t$

$\alpha=$ فرکانس دورانی بر حسب رادیان بر ثانیه

در شکل ۷-۲۵ مشاهده می‌شود که رابطه تنش-کرنش، بیضی با شیب غیر صفر است. شیب به پارامتر  $G'$  و سطح بیضی به  $G''$  بستگی دارد. بنابراین رابطه‌ای ساده میان انرژی مستهلک شده توسط میراگر ویسکوالاستیک و میراگرهای ویسکوز برقرار می‌باشد. شکل ۷-۲۵-۷ وابستگی این میراگر را به سرعت و دامنه ارتعاش نشان می‌دهد.



شکل ۷-۲۵- اشکال منحنی هیسترزیس میراگر ویسکوالاستیک جامد

سختی موثر صفحه‌ای از مواد ویسکوالاستیک با ضخامت  $h$  و سطح  $A$  برابر است با:

$$k_d = \frac{AG'(\omega)}{h} \quad (14-7)$$

ضریب میراگر ویسکوز معادل یا موثر از رابطه (۱۵-۷) تعیین می‌شود.

$$c_d = \frac{AG''(\omega)}{\omega h} \quad (15-7)$$

نسبت مدول برشی از دست رفته به مدول برشی ذخیره، ضریب از دست رفتگی  $\eta$  نامیده می‌شود.

$$\eta = \frac{G''(\omega)}{G'(\omega)} \quad (16-7)$$

نتایج تجربی نشان میدهند که اگرچه  $G'$  و  $G''$  توابعی از فرکانس ارتعاش هستند اما ضریب از دست رفتگی  $\eta$  نسبت به تغییر فرکانس حساس نمی‌باشد. زمانیکه از ضریب از دست رفتگی استفاده شود میراگر ویسکوز موثر برابر خواهد بود با:

$$c_d = \frac{k_d \eta}{\omega} \quad (17-7)$$

پس با فرکانس مشخص ضریب میراگری متناسب با سختی می‌باشد.

#### ۷-۵-۴- اشکال مختلف نصب میراگر

در شکل ۷-۲۶ اشکال قرارگیری میراگرها در قاب یک دهانه و یک طبقه نشان داده شده است. نسبت‌های میراگری برای اشکال بدبندی قطری و جناغی کمتر از ۵٪ می‌باشد و برای سایر اشکال ترکیبی، بیش از ۲۳٪ است. این اشکال، بکارگیری میراگر در سازه‌های با سختی زیاد را ممکن می‌سازد و هزینه کمتری نسبت به اشکال قطری و جناغی دارند. در ایالات متحده سه ساختمان ۳۷ طبقه با این شکل ترکیبی میراگر ساخته شده‌اند (شکل ۷-۲۷).

|  |  |   |  |
|--|--|---|--|
| قطری                                     |  | $f = \cos \theta$   | $\theta = 37^\circ$<br>$f = 0.799$<br>$\beta = 0.032$                                      |
| جناغی                                    |  | $f = 1.00$  | $f = 1.00$<br>$\beta = 0.05$   |
| اتصال<br>میراگر از<br>پایین به<br>بادبند |  | $f = \frac{\sin \theta_2}{\cos(\theta_1 + \theta_2)}$                 | $\theta_1 = 31.9^\circ, \theta_2 = 43.2^\circ$<br>$f = 2.662$<br>$\beta = 0.344$           |
| اتصال<br>میراگر از<br>بالا به<br>بادبند  |  | $f = \frac{\sin \theta_2}{\cos(\theta_1 + \theta_2)} + \sin \theta_1$ | $\theta_1 = 31.9^\circ, \theta_2 = 43.2^\circ$<br>$f = 3.191$<br>$\beta = 0.509$           |
| معکوس<br>میراگر از<br>بالا به<br>بادبند  |  | $f = \frac{\sin \theta_2}{\cos(\theta_1 + \theta_2)} - \cos \theta_2$ | $\theta_1 = 30^\circ, \theta_2 = 49^\circ, \alpha = 0.7$<br>$f = 2.521$<br>$\beta = 0.318$ |
| اتصال<br>تقسیمی<br>میراگر                |  | $f = \frac{\cos \psi}{\tan(\theta_3)}$                                | $\theta_3 = 9^\circ, \psi = 70^\circ$<br>$f = 2.159$<br>$\beta = 0.233$                    |

شکل ۷-۲۶- اشکال مختلف قرارگیری میراگر در قاب سازه‌ای



شکل ۷-۲۷- اشکال ترکیبی از نصب میراگر در ساختمان‌های بلند

## ۷-۶- سطوح عملکرد

در جدول ۳-۷ کیفیت سطوح عملکردی سازه‌های مقاوم‌سازی شده با روش‌های جداگر لرزه‌ای و میراگرها براساس FEMA274 ارائه شده است. در این جدول میراگرها بعنوان گزینه مناسب برای اهداف عملکردی ایمنی جانی و خرابی محدود معرفی شده‌اند. در سطح ایمنی جانی، این گزینه مقاوم‌سازی اقتصادی می‌باشد. تجربه‌های بهسازی نشان می‌دهد که میراگرها به سطح عملکرد بی‌وقفه نیز دست خواهند یافت.

جدول ۳-۷- قابلیت جداگر لرزه‌ای و میراگرها در تامین سطوح عملکرد سازه

| عملکرد                 |             | جاداسازی لرزه‌ای | میراگر        |
|------------------------|-------------|------------------|---------------|
| سطح                    | محدوده      |                  |               |
| قابلیت استفاده بی‌وقفه | کنترل خسارت | بسیار مناسب      | توصیه نمی‌شود |
| خرابی محدود            | کنترل خسارت | مناسب            | مناسب         |
| ایمنی جانی             | ایمنی محدود | توصیه نمی‌شود    | مناسب         |
| آستانه فروریزش         | ایمنی محدود | غیرعملی          | توصیه نمی‌شود |

## ۷-۷- گام‌های بهسازی سازه با استفاده از میراگر

$$\text{گام ۱-} \text{ تعیین میزان کاهش در برش پایه نیروی زلزله و ضریب کاهش میرایی } B = \frac{V}{V_r} > 1$$

گام ۲- تعیین درصد میرایی بحرانی هدف ( $\beta$ ) براساس ضریب کاهش میرایی  $B$  و جدول ۱-۷.

گام ۳- انتخاب شکل بادبند و جانمایی میراگر در دهانه‌های مجاز با توجه به ضوابط فصل ۸ نشریه ۳۶۰ و شکل ۷-۲۶.

گام ۴- تعیین سختی موثر میراگر با در نظر گرفتن نیروی نهایی میراگر  $F_{max}$ ، معادل درصدی از نیروی جانبی زلزله در طبقه (حداکثر ۳۰ درصد) و تغییر مکان نسبی آن طبقه از سازه اولیه (بدون میراگر).

$$K_{eff} = \frac{\Delta_{max}}{F_{max}} \quad (18-7)$$

$K_{eff}$  : سختی موثر میراگر

$\Delta_{max}$  : تغییر شکل میراگر

$F_{max}$  : نیروی محوری نهایی میراگر

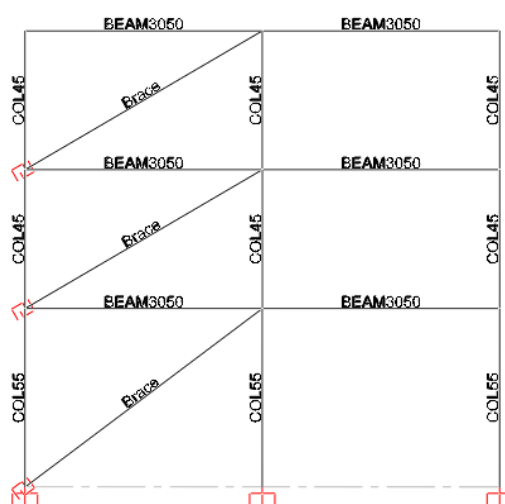
گام ۵- انجام تحلیل خطی و مقایسه سختی موثر میراگرها با استفاده از نیروها و تغییر مکانهای میراگرها (بدست آمده از تحلیل) با مقادیر متناظر فرض شده که در صورت تطابق مقادیر، عضو بادبندی طراحی اولیه می‌گردد و در غیر این صورت سختی موثر جدید در مدل تعریف شده و تحلیل مجدد انجام می‌گردد. پس از همگرایی سختی موثر نهایی  $K_{eff}$  بدست می‌آید.

گام ۶- محاسبه درصد میراگر نسبی کل سازه (روابط ۲-۷ تا ۲-۶) و کاهش طیف نیاز (برش پایه) در تحلیل خطی و ارزیابی اعضای سازه براساس نشریه ۳۶۰ انجام گردد. در صورت عدم ارضای معیارهای پذیرش به گام ۲ برگردید.

گام ۷- در صورت اقتصادی نبودن طرح، تعداد و یا اندازه میراگرها را کاهش داده و مجدد تحلیل را انجام دهید.

#### ۸-۷- مثال

مثال حاضر قاب خمی بتنی دو بعدی (دو دهانه، سه طبقه) با مشخصات تعریف شده در فصل ۶ می‌باشد. در این مثال از میراگر فلزی (وابسته به تغییر مکان) برای بهسازی لرزه‌ای استفاده شده است. در ادامه نحوه طراحی و کنترل آن ارائه شده است. در هر طبقه از ساختمان بادبند و میراگر به شکل قطری اضافه شده است. میراگرها در محل اتصال بادبند به تیر و ستون با طول ناچیز و با درجه آزادی محوری مدل شده‌اند (شکل ۲۸-۷).



شکل ۲۸-۷- مدل نرم افزاری بادبند و میراگر در سازه

### ۸-۱-۱- روش استاتیکی خطی در طراحی میراگر

در این مثال سعی شده است براساس گامهای معرفی شده دربخش قبلی میراگر طراحی شوند.

(۱) تعیین درصد میرایی بحرانی هدف براساس کاهش نیروی زلزله.

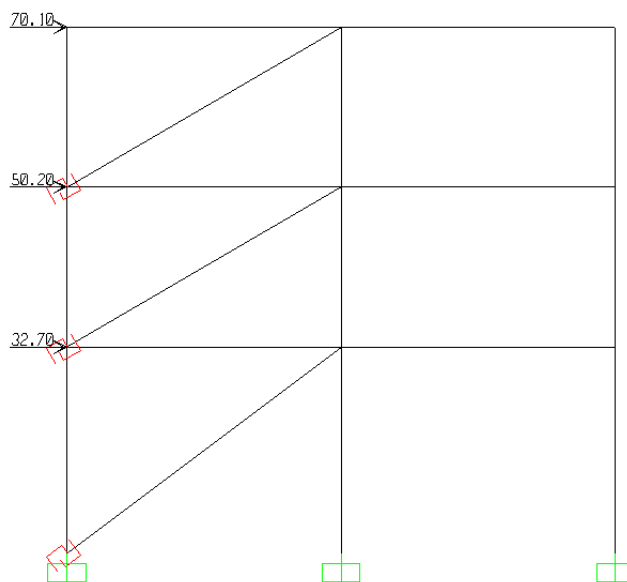
در این مثال هدف اینست که با اضافه نمودن میراگر، در هر سه طبقه، برش پایه را تا حد ممکن کاهش دهیم.

(۲) شکل بادبند و جانمایی میراگر در دهانه‌های مجاز با توجه به ضوابط فصل ۸ نشریه ۳۶۰.

شکل بادبند قطری در نظر گرفته شده و با توجه به دو بعدی بودن سازه، گزینه‌های جانمایی میراگر محدود بوده و مطابق

شکل ۷-۲۸ انتخاب شده است.

(۳) تعیین سختی موثر میراگر، با درنظر گرفتن نیروی نهایی میراگر در هر طبقه برابر با درصدی از نیروی جانبی زلزله در آن طبقه (حداکثر ۳۰ درصد) و تغییر مکان نسبی آن طبقه در سازه اولیه (بدون میراگر).



شکل ۷-۲۹- توزیع اولیه نیروی جانبی کاهش نیافته در ارتفاع سازه

با توجه به نرمی نسبی سازه قاب خمسی فرض می‌شود ۳۰٪ نیروی جانبی در هر طبقه بر میراگر آن طبقه وارد می‌شود. نیروی محوری وارد بر میراگرها در جدول ۷-۴ آورده شده است.

جدول ۷-۴- نیروی محوری وارد بر میراگر

| طبقه | برش طبقه<br>(ton) | % ۳۰<br>برش طبقه<br>ton | نیروی محوری میراگر<br>ton |
|------|-------------------|-------------------------|---------------------------|
| 3    | 70.1              | 21.03                   | 24.28                     |
| 2    | 120.3             | 36.1                    | 41.68                     |
| 1    | 153               | 45.9                    | 57.47                     |

با توجه به تفاوت نیروهای میراگرها در طبقات از سه سایز میراگر با نیروهای محوری متفاوت استفاده می‌نماییم.  
پارامتر مدلسازی سه سایز میراگر فوق در تحلیل خطی از تبدیل رفتار دوخطی میراگرهای فلزی به رفتارخطی با فرمول زیر بدست

می‌آید:

$$F_{\max} = K_{eff} \times D_{\max}$$

نیروی حداکثر:  $F_{\max}$

سختی موثر:  $K_{eff}$

تعییرمکان حداکثر:  $D_{\max}$

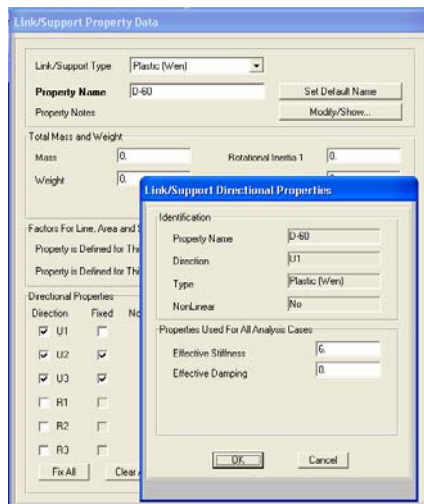
#### (۴) معرفی میراگر در نرم افزار SAP و انجام تحلیل

در این نرم افزار ۱۰ نوع المان الحاقی اعم از یک خطی، دو خطی تا چند خطی در منوی Link/Support Properties شده است. این المانها با توجه به نوع رفتاری که از میراگر انتظار می‌رود انتخاب و مقادیر پارامترهای آن با فرض اولیه معرفی و سپس با تحلیل سعی و خطا دامنه پهینه آنها برای کنترل نهایی سازه بدست می‌آید. در این مثال از المان Plastic(Wen) برای تعريف میراگر استفاده شده است(شکل ۳۰-۷).

در جدول ۵-۷ مقادیر پارامتر سختی موثر میراگرها با فرض اولیه محاسبه شده است.

جدول ۵-۷ - سختی موثر میراگرها در فرض اولیه

| طبقه | حداکثر نیروی محوری میراگر (Ton) | تعییرمکان (cm) | سختی موثر ( $\frac{ton}{cm}$ ) |
|------|---------------------------------|----------------|--------------------------------|
| 3    | 24.28                           | 9.71           | 2.5                            |
| 2    | 41.68                           | 10.42          | 4                              |
| 1    | 57.47                           | 9.58           | 6                              |



شکل ۳۰-۷ - معرفی سختی موثر میراگر در برنامه SAP2000

تغییرمکان کلی و نسبی طبقات و نیروی محوری در میراگرها پس از معرفی مقادیر فوق در مدلسازی و تحلیل خطی میراگر توسط نرم افزار در جدول ۷-۶ و جدول ۷-۷ ارائه شده است.

**جدول ۷-۶- تغییرمکان طبقات تحت نیروی زلزله**

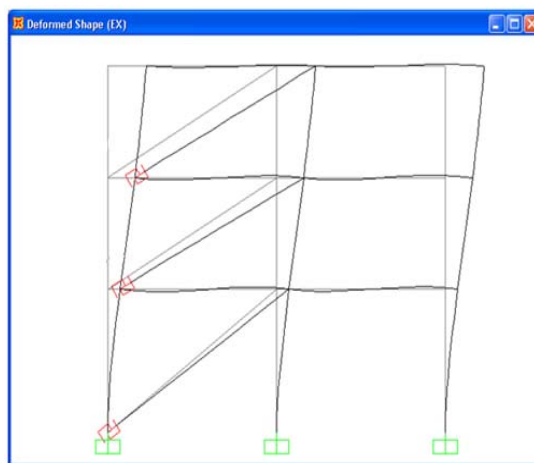
| طبقه | جابجایی کل | تغییرمکان نسبی طبقات |
|------|------------|----------------------|
| Text | cm         | cm                   |
| 3    | 25.01      | 7.17                 |
| 2    | 17.84      | 9.81                 |
| 1    | 8.03       | 8.03                 |

نیروهای موجود در میراگرها:

**جدول ۷-۷- نیروی محوری در میراگرها تحت نیروی زلزله**

| میراگر | P (ton) |
|--------|---------|
| طبقه ۳ | 13.97   |
| طبقه ۲ | 29.27   |
| طبقه ۱ | 32.8    |

حال نیروی محوری میراگر در جدول ۷-۷ را با ستون دوم جدول ۵-۷ مقایسه می‌کنیم، در صورت عدم انطباق مقادیر متناظر آنها سختی موثر جدید حاصل از جداول ۶-۷ و ۷-۷ را برای المان میراگر معرفی می‌نماییم و این عمل را تا همگرا شدن مقادیر نیروی محوری و تغییرمکان میراگر با مقادیر گام قبلی ادامه می‌دهیم.  
نتایج تحلیل مجدد در شکل ۷-۳۱ و جدول ۷-۸ ارائه شده است.



**شکل ۷-۳۱- تغییرشکل جانبی سازه میراشده**

جدول ۷-۸ - تغییرشکل محوری میراگرها

| میراگر | تغییرشکل محوری<br>(cm) |
|--------|------------------------|
| طبقه ۳ | 5.35                   |
| طبقه ۲ | 7.32                   |
| طبقه ۱ | 5.59                   |

## (۵) محاسبه درصد میرایی نسبی کل سازه

همانطور که گفته شد سعی و خطاباید تا آنجا ادامه یابد که نیروهای ایجاد شده در میراگر با نیروهای مدنظر قرارگرفته برای معرفی سختی تطابق خوبی پیدا کنند. در جدول ۹-۷ تا جدول ۱۱-۷ نتایج نهایی سازه میراشده بدست آمده است.

جدول ۹-۷ - سختی و میرایی موثر میراگرها

| طبقه | حداکثر نیروی محوری میراگر<br>(Ton) | تغییرمکان نسبی طبقه<br>(cm) | سختی موثر ( $K_{eff}$ )<br>( $\frac{ton}{cm}$ ) |
|------|------------------------------------|-----------------------------|---|
| 3    | 15                                 | 5                           | 3   |
| 2    | 30                                 | 7                           | 4.28  |
| 1    | 35                                 | 5                           | 7   |

نیروهای موجود در میراگرها:

جدول ۱۰-۷ - نیروهای محوری وارد بر میراگرها در اثر زلزله طرح تحت تحلیل استاتیکی خطی

| میراگر | P (ton) |
|--------|---------|
| طبقه ۳ | 17.24   |
| طبقه ۲ | 33.6    |
| طبقه ۱ | 42.16   |

جدول ۱۱-۷ - تغییرشکل محوری میراگرها در اثر زلزله طرح تحت تحلیل استاتیکی خطی

| میراگر | تغییرشکل محوری<br>(cm) |
|--------|------------------------|
| طبقه ۳ | 5.75                   |
| طبقه ۲ | 7.85                   |
| طبقه ۱ | 6.02                   |

حال مقدار میرایی اضافه شده به سازه توسط میراگرها را حساب می‌کنیم. درصد میرایی نسبی بحرانی اضافه شده به سازه با استفاده از معادله زیر محاسبه می‌شود:

$$\beta_{eff} = \beta + \frac{\sum W_j}{4\pi W_K}$$

$$\beta = 5\%$$

پارامترهای روابط فوق به شرح زیر می‌باشد:

$\beta$  = میرایی سیستم قاب‌بندی ساختمان که باید مساوی ۵٪ فرض شود مگراینکه میرایی دیگری مورد نظر باشد.  
 $W_j$  = عبارتست از کار انجام شده توسط وسیله زام در چرخه کامل تحت تغییر مکان‌های  $\delta_i$  کف‌های طبقات، (عمل جمع زدن روی کلیه وسایل زانجام می‌گیرد).

$W_K$  = حداکثر انرژی کرنشی قاب است که از معادله زیر به دست می‌آید:

$$W_K = \frac{1}{2} \sum_i F_i \delta_i$$

$F_i$  = نیروی اینرسی در کف طبقه  $i$  ام بوده و عمل جمع روی کلیه کف‌های  $i$  انجام می‌گیرد.  
 با توجه به روابط فوق، میزان میرایی اضافه شده به سازه در جدول ۱۲-۷ محاسبه شده است.

جدول ۱۲-۷ - میرایی محاسبه شده برای میراگرها

| Damping of Total Structure |       |            |          |       |            |         |         |
|----------------------------|-------|------------|----------|-------|------------|---------|---------|
| Story                      | $F_i$ | $\delta_i$ | $W_K$    | $F_j$ | $\delta_j$ | $W_j$   | Damping |
|                            | ton   | cm         | ton.cm   | ton   | cm         | ton.cm  | %       |
| 3                          | 70.1  | 22.34      | 783.017  | 17.24 | 5.75       | 396.52  |         |
| 2                          | 50.2  | 15.78      | 396.078  | 33.60 | 7.85       | 1055.04 |         |
| 1                          | 32.7  | 7.04       | 115.104  | 42.16 | 6.02       | 1015.2  |         |
| Total                      | 153   | --         | 1294.199 | 93.00 | 17.73      | 2466.76 | 15.17   |

#### • طراحی بادبند:

بنابر توصیه نشریه ۳۶۰ اجزا و اتصالاتی که نیروها را بین وسایل اتلاف انرژی انتقال می‌دهند باید طوری طراحی شوند که به ازای نیروهای واردہ بر میراگر در حالت ارتجاعی خطی باقی بمانند. بنابراین موضوع طراحی مهاربند براساس حداکثر ظرفیت میراگرها صورت می‌پذیرد.

حداکثر نیروهای ایجاد شده در بادبند براساس ظرفیت میراگر در جدول ۱۳-۷ ارائه شده است.

## جدول ۷-۱۳ - نیروی وارد بر بادبند تحت اثر زلزله طرح

| بادبند | P <sub>u</sub> (ton) |
|--------|----------------------|
| طبقه ۳ | 17.24                |
| طبقه ۲ | 33.60                |
| طبقه ۱ | 42.16                |

با در نظر گرفتن مقطع لوله (شکل ۷-۳۲) با مشخصات زیر کنترل‌ها را انجام می‌دهیم:



مقطع بادبند طبقات ۱ و ۲

مقطع بادبند در طبقه ۳

شکل ۷-۳۲- مقطع بادبند‌های قطری در نظر گرفته شده

خصوصیات فیزیکی بادبند طبقه سوم:

$$A=33.63(\text{cm}^2)$$

$$I_{22}=I_{33}=1928(\text{cm}^4)$$

$$r_{22}=r_{33}=7.57(\text{cm})$$

$$L_u=550(\text{cm})$$

$$K=1.00$$

$$\lambda=kL/r=1\times 550/7.57=72.65 \quad F_a=1093(\text{kg/cm}^2)$$

$$P=F_a \times A=1093 \times 33.63=36.7 \text{ ton} > 17.24 \text{ (ton)} \quad O.K$$

خصوصیات فیزیکی مقطع بادبند طبقات اول و دوم:

$$A=54.23(\text{cm}^2)$$

$$I_{22}=I_{33}=5806(\text{cm}^4)$$

$$r_{22}=r_{33}=10.34(\text{cm})$$

$$L_u=600(\text{cm})$$

$$K=1.00$$

$$\lambda=kL/r=1\times 600/10.34=58 \quad F_a=1189(\text{kg/cm}^2)$$

$$P = F_a \times A = 1189 \times 54.23 = 64.5 \text{ ton} > 42.16 \text{ (ton)}$$

### ۲-۸-۷- ارزیابی سازه با میراگر

حال برای ارزیابی سازه، بار جانبی استاتیکی معادل حاصل از رابطه (۳-۶) نشريه ۳۶۰ باید توسط ضریب اصلاح میرایی موجود در جدول (۱-۸) کاهش داده شود تا اتلاف انرژی (میرایی) تامین شده توسط وسائل اتلاف انرژی (میراگرها) به حساب آید. اثر میرایی محاسبه شده برابراست با:

$$\beta = 5\%$$

$$\frac{\sum_j W_j}{4\pi W_K} = 15.17\%$$

$$\beta_{eff} = \beta + \frac{\sum_j W_j}{4\pi W_K} = 5 + 15.17 = 20.17\% \quad T = 0.44 < T_s = 0.5 \quad B_l = 1.5, B_s = 1.8$$

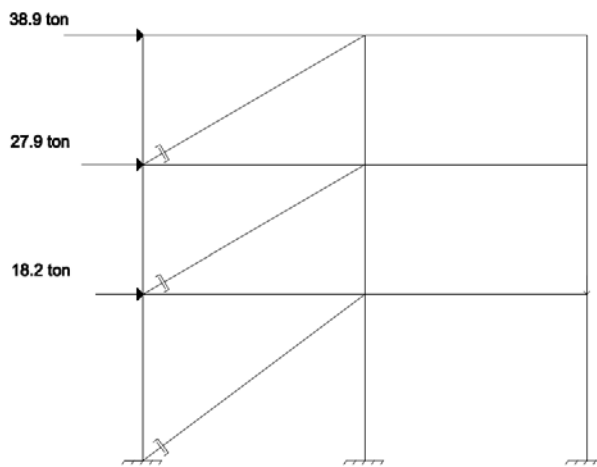
$$V = C_1 C_2 C_3 C_m S_a W = 0.85 \times 180 = 153 \text{ ton}$$

$$V_{Damped} = \frac{V}{B_s} = \frac{153}{1.8} = 85 \text{ ton}$$

نیروهای داخلی ساختمان بهسازی شده برای طراحی میراگرهای وابسته به تغییر مکان باید براساس نیروی جانبی در هر تراز ساختمان که از رابطه (۳-۱۰) نشريه ۳۶۰ با برش پایه اصلاح شده معادل بددست می‌آید، محاسبه شوند.

$$F_i = \frac{W_i h_i^k}{\sum_{j=1}^n W_j h_j^k} V$$

$$T=0.44 \longrightarrow k=1.0$$



شکل ۷-۳۳- توزیع نیرو جانبی در سازه میراشده

### کنترل معیار پذیرش •

در این قسمت پس از تشریح نحوه کنترل معیارهای پذیرش، نسبت تنش موجود در سازه بهسازی شده با نسبت معیارهای پذیرش مقایسه می‌گردد.

در روش خطی اجزای ساختمان بهسازی شده با میراگر باید برای نیروها و تغییرشکل‌ها طبق روابط زیر با ضریب  $m = 1.0$  کنترل شوند:

$$mkQ_{CE} \geq Q_{UD}$$

$$kQ_{CL} \geq Q_{UF}$$

کنترل شونده توسط تغییرشکل

کنترل شونده توسط نیرو

### تلاش‌های کنترل شونده توسط تغییرشکل •

تلاش‌های کنترل شونده توسط تغییرشکل ترکیبات بارگذاری زیر بدست می‌آید:

$$1) Q_{UD1} = 1.1Q_D + 1.1Q_L + Q_E$$

$$2) Q_{UD2} = 1.1Q_D + 1.1Q_L - Q_E$$

$$3) Q_{UD3} = 0.9Q_D + Q_E$$

$$4) Q_{UD4} = 0.9Q_D - Q_E$$

پس از تعیین تلاش‌ها، معیارهای پذیرش براساس رابطه زیر کنترل می‌شود:

$$mkQ_{CE} \geq Q_{UD}$$

در رابطه فوق  $Q_{CE}$  ظرفیت مورد انتظار و  $m$  ضریب اصلاح بر مبنای رفتار غیرخطی عضو می‌باشد.

خمش در تیرها بعنوان تلاش کنترل شونده توسط تغییرشکل تلقی می‌شود و ضریب  $m$  در سازه میرا شده برای تیرها یک در نظرگرفته می‌شود. ضریب آگاهی  $K$  در اینجا برابر یک می‌باشد.

نتایج کنترل معیار پذیرش خمث در تیرها براساس ترکیب بار بحرانی در مدل به شرح جدول ۱۴-۷ می‌باشد.

جدول ۱۴-۷- کنترل معیار پذیرش خمث در تیرها در سطح خطر-

| شماره<br>عضو | $M_{UD}$<br>(ton.m) | $M_{CE}$<br>(ton.m) | $mkM_{CE}$<br>(ton.m) | بهسازی شده<br>$\frac{M_{UD}}{mkM_{CE}}$ |
|--------------|---------------------|---------------------|-----------------------|---|
| 6            | -34.9               | 34.3                | 34.3                  | 1.02                                    |
| 5            | -34.9               | 34.3                | 34.3                  | 1.02                                    |
| 4            | -49.46              | 42.8                | 42.8                  | 1.16                                    |
| 3            | -49.46              | 42.8                | 42.8                  | 1.16                                    |
| 2            | -52.36              | 42.8                | 42.8                  | 1.22                                    |
| 1            | -52.36              | 42.8                | 42.8                  | 1.22                                    |

### تلاش‌های کنترل شونده توسط نیرو •

تلاش‌های کنترل شونده توسط نیرو توسط ترکیبات بارگذاری زیر بدست می‌آید:

$$Q_{UF} = Q_G \pm \frac{Q_E}{C_1 C_2 C_3 J}$$

ضرایب  $C_1$  و  $C_2$  و  $C_3$  و ضریب  $J$  برابرند با:

$$C_1=1.0, \quad C_2=C_3=1.0, \quad J=1.0$$

$$1) Q_{UD1} = 1.1Q_D + 1.1Q_L + 1.0Q_E$$

$$2) Q_{UD2} = 1.1Q_D + 1.1Q_L - 1.0Q_E$$

$$3) Q_{UD3} = 0.9Q_D + 1.0Q_E$$

$$4) Q_{UD4} = 0.9Q_D - 1.0Q_E$$

پس از تعیین تلاش‌ها، معیارهای پذیرش براساس رابطه زیر کنترل می‌شود:

$$kQ_{CL} \geq Q_{UF}$$

در این رابطه  $Q_{CL}$  ظرفیت کرانه پائین و  $K$  ضریب آگاهی می‌باشد. برش در تیرها و ستون‌ها بعنوان تلاش کنترل شونده توسط نیرو تلقی می‌گردد. در ادامه نتایج کنترل معیار پذیرش برش در تیرها و ستون‌ها براساس ترکیب بار بحرانی ارائه شده است.

نتایج کنترل معیار پذیرش برای نیروی برشی در تیرها و ستون‌ها براساس ترکیب بار بحرانی در مدل با میراگر به شرح جداول ۱۵-۷ و ۱۶-۷ می‌باشد.

جدول ۱۵-۷ - کنترل معیار پذیرش برش در تیرها

| شماره عضو | $V_{UF}$ (ton) | $k V_{CL}$ (ton) | $\frac{V_{UF}}{kV_{CL}}$ بهسازی شده |
|-----------|----------------|------------------|-------------------------------------|
| 6         | 24.78          | 41.8             | 0.59                                |
| 5         | 24.87          | 41.8             | 0.59                                |
| 4         | 23.33          | 41.8             | 0.56                                |
| 3         | 28             | 41.8             | 0.67                                |
| 2         | 28.42          | 41.8             | 0.68                                |
| 1         | 29.4           | 41.8             | 0.7                                 |

جدول ۱۶-۷ - کنترل معیار پذیرش برش در ستون‌ها

| شماره عضو | $V_{UF}$ (ton) | $k V_{CL}$ (ton) | $\frac{V_{UF}}{kV_{CL}}$ بهسازی شده |
|-----------|----------------|------------------|-------------------------------------|
| 7         | 23.94          | 58.9             | 0.41                                |
| 10        | 18.54          | 43.1             | 0.43                                |
| 13        | 14.58          | 43.1             | 0.34                                |
| 8         | 26.65          | 58.9             | 0.45                                |
| 11        | 22.97          | 43.1             | 0.53                                |
| 14        | 16.58          | 43.1             | 0.38                                |
| 9         | 24             | 58.9             | 0.41                                |
| 12        | 18.61          | 43.1             | 0.43                                |
| 15        | 14.72          | 43.1             | 0.34                                |

### • کنترل اندرکنش نیروی محوری و لنگر خمشی در ستون‌ها

برای ستون‌های بتی که تحت اثر توازن نیروی محوری و لنگر خمشی دو محوره قرار دارند، مقاومت باید با در نظر گرفتن اثر خمین دو محوره به دست آید. در صورتی که روش‌های خطی استفاده شود، نیروی محوری طراحی  $P_{UF}$ ، باید براساس ترکیب بارهای کنترل شونده توسط نیرو محاسبه شوند. لنگرهای طراحی  $M_{UD}$  نیز باید حول هر محور اصلی براساس ترکیب بارهای کنترل شونده توسط تغییرشکل بدست آید. ملاک پذیرش براساس معادله زیر است:

$$\left[ \frac{M_{UD_x}}{m_x k M_{CE_x}} \right]^2 + \left[ \frac{M_{UD_y}}{m_y k M_{CE_y}} \right]^2 \leq 1.0$$

که در عبارات بالا:

$M_{UD_x}$ : لنگر خمشی طراحی حول محور X برای نیروی محوری  $P_{UF}$

$M_{UD_y}$ : لنگر خمشی طراحی حول محور Y برای نیروی محوری  $P_{UF}$

$M_{CE_x}$ : مقاومت خمشی مورد انتظار حول محور X برای نیروی محوری  $P_{UF}$

$M_{CE_y}$ : مقاومت خمشی مورد انتظار حول محور Y برای نیروی محوری  $P_{UF}$

$K$ : ضریب آگاهی

$m_x$ : ضریب m ستون برای خمین حول محور X

$m_y$ : ضریب m ستون برای خمین حول محور Y

از آنجا که قاب مورد نظر دو بعدی می‌باشد، رابطه کنترل خمین به رابطه زیر تبدیل می‌شود:

$$\left[ \frac{M_{UD_y}}{m_y k M_{CE_y}} \right] \leq 1.0$$

که در نتایج کنترل معیار پذیرش اندرکنش نیروی محوری و خمین در ستون‌ها براساس ترکیب بار بحرانی در مدل با میراگر به شرح جدول ۷-۷ می‌باشد.

جدول ۷-۷- کنترل معیار پذیرش اندرکنش نیروی محوری و خمین در ستونها

| شماره عضو | $P_{UF}$<br>(ton) | $M_{UD}$<br>(ton.m) | $m k M_{CE}$<br>(ton.m) | بهسازی شده<br>$\frac{M_{UD}}{m k M_{CE}}$ |
|-----------|-------------------|---------------------|-------------------------|---|
| 7         | 101               | 87.55               | 67.8                    | 1.29                                      |
| 10        | 59.76             | 33.37               | 55.18                   | 0.60                                      |
| 13        | 25.18             | 35                  | 50.53                   | 0.69                                      |
| 8         | 141.6             | 91.7                | 67.8                    | 1.35                                      |
| 11        | 89.54             | 41.25               | 56.23                   | 0.73                                      |
| 14        | 43.2              | 37                  | 51.69                   | 0.72                                      |
| 9         | 87.74             | 87.83               | 67.8                    | 1.30                                      |
| 12        | 55.3              | 33.51               | 40.41                   | 0.83                                      |
| 15        | 25.28             | 35.23               | 48.07                   | 0.73                                      |

### ۳-۸-۷- نتیجه‌گیری

همانطور که ملاحظه شد، تحلیل خطی برای سازه بهسازی شده با میراگر نتایج کنترل سازه در سطح عملکرد بدون وقفه برای بخشی اعضا مطلوب نبوده و در نتیجه بهسازی با کمک میراگر با درنظرگرفتن سطح عملکرد پائین‌تر (خرابی محدود، DC) مناسب می‌باشد.

## **فصل ۸**

---

---

### **بهسازی ساختمان‌های بنایی**



**۱-۸ - مقدمه**

بخش قابل توجهی از ساختمان‌های موجود در کشور از نوع مصالح بنایی می‌باشد که در ساخت اکثر آنها ضوابط آینه‌نامه‌ای رعایت نشده است. آسیب‌پذیری بسیار شدید این ساختمان‌ها در زلزله‌های گذشته اهمیت توجه به بهسازی لرزه‌ای این ساختمان‌ها را بیش از پیش مطرح می‌نماید. در این فصل سعی بر آن است که با توجه به تجربیات موجود در خصوص عملکرد لرزه‌ای ساختمان‌های بنایی و همچنین مراجع و دستورالعمل‌های موجود، رفتار لرزه‌ای المان‌های سازه‌ای در این ساختمان‌ها مورد بررسی قرار گرفته و روش‌های مختلف ارزیابی و بهسازی آنها ارائه گردد.

**۲-۸ - انواع خسارات بوجود آمده ناشی از زلزله‌های گذشته**

وقوع زمین‌لرزه‌های گذشته، آسیب‌دیدگی بسیاری از سازه‌های بنایی را به همراه داشته است. اما عموماً ساختمان‌هایی که ضوابط آینه‌نامه‌های طراحی در اجرای آنها رعایت شده، پس از وقوع زلزله پایداری خود را که لازمه اینمی جانی ساکنان است حفظ نموده‌اند و حتی در بسیاری موارد پس از زلزله قابلیت سکونت و استفاده داشته‌اند.

به طور کلی آسیب‌های وارد بر سازه‌های بنایی پس از وقوع زلزله شامل:

الف) عدم انسجام سقف

ب) فروریختگی دیوارها

ب-۱) شکست خارج صفحه

ب-۲) شکست داخل صفحه

- لنزش درز ملات افقی<sup>۱</sup>

- کشش قطری<sup>۲</sup>

- حرکت گهواره‌ای<sup>۳</sup>

- خرابی فشاری پنجه<sup>۴</sup>

پ) خرابی کلاف‌های قائم و افقی به علت استفاده از مصالح نامناسب

ت) خرابی کلی سازه به علت نامنظمی در پلان یا ارتفاع می‌باشد.

عدم وجود اتصال مناسب دیوارها با یکدیگر و عدم وجود مهار بین سقف‌ها و دیوارها در ساختمان‌های آجری باعث ایجاد جداسدگی و گسترش ترک در محل تقاطع دیوارها، دیوار با سقف و حتی فروریختگی خارج از صفحه آنها می‌شود. گاهی اوقات هم

<sup>1</sup> Bed-joint sliding

<sup>2</sup> Diagonal tension

<sup>3</sup> Rocking

<sup>4</sup> Toe crushing

حتی اگر فرم سازه‌ای مناسب باشد عدم کیفیت مناسب مصالح دیوار باعث ایجاد ترکهای قطری، از هم پاشیده شدن دیوار و فروریختگی نهایی می‌گردد.

عدم پیکربندی مناسب پلان، بازشوهای بزرگ در دیوار، کمبود مسیر بار در هر دو جهت اغلب باعث خسارت شدید یا حتی فروریختگی بسیاری از ساختمانها می‌گردد. در کل می‌توان خرابی دیوار و سقف را به دو دسته خرابی‌های داخل صفحه (تحت اثر نیروهای داخل صفحه) و خرابی‌های خارج صفحه (تحت اثر نیروهای خارج صفحه) تقسیم‌بندی نمود.

در هنگام وقوع زلزله در دیوارهای موازی با جهت زلزله نیروهای داخل صفحه و در دیوارهای عمود بر آن نیروهای خارج صفحه به وجود می‌آید. البته در واقعیت جهت ارتعاش ناشی از زلزله دقیقاً موازی با یکی از امتدادهای اصلی سازه نمی‌باشد و در نتیجه در اکثر مواقع دیوارها به طور همزمان تحت اثر نیروهای داخل و خارج صفحه قرار می‌گیرند.

خرابی‌های داخل صفحه خرابی‌هایی هستند که در صفحه دیوار به وقوع پیوسته و باعث ایجاد ترک و یا حرکت جانبی در امتداد صفحه دیوار می‌شوند. خرابی‌های خارج صفحه نیز خرابی‌هایی هستند که باعث وقوع خرابی، واژگونی و یا حرکت دیوار در امتداد عمود بر صفحه آن می‌شوند. هر یک از انواع این خرابی‌ها، خود ممکن است به دلایل متفاوت و تحت حالتهای گوناگون رخ دهد که در ادامه به بررسی مفصل‌تر آن پرداخته می‌شود.

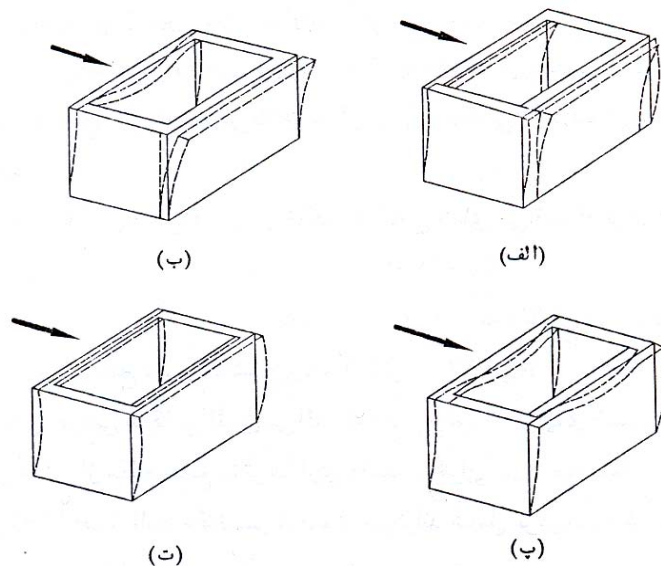
اجزای سازه‌ای ساختمان‌های بنایی که تا قبل از وقوع زمین‌لرزه، اساساً بارهای قائم را تحمل می‌کردند، حال باید بتوانند بارهای افقی را که به صورت لنگر خمشی و نیروی برشی اضافی به سازه وارد می‌شوند را نیز تحمل نمایند. عمدۀ ضعف ساختمان‌های بنایی عدم صلبیت سقف و تغییرمکان دیوارها بعلت انفال دیوارهای متقطع و شکم دادن آنها می‌باشد که باعث فروریختش سقف می‌گردد. همچنین بازشوها نقش زیادی در مقاومت دیوار دارند. در ادامه انواع مکانیسم‌های شکست در ساختمان‌های بنایی آجری معرفی شده‌اند.

## ۱-۲-۸- شکست خارج صفحه

هنگامی که مقاومت کششی دیوار به علت اتصال نامناسب دیوارها با هم کمتر از نیروی وارد به آن باشد ترکهای قائمی در گوشه دیوارهایی که دچار خمش خارج از صفحه شده اند بوجود می‌آید. در این شرایط ارتعاش دیوارها یکنواخت نبوده و دیوارهای خارجی دچار فروریختگی می‌شوند (شکل ۱-۸).

وجود اتصال مناسب بین کلافهای بتی مسلح در تراز کف و سقف باعث ارتعاش دیوارها به طور همزمان می‌شود (شکل ۱-۸-پ). با این وجود خمش خارج از صفحه دیوارها، باعث کاهش مقاومت ساختمان می‌گردد.

بدیهی است، هنگامی که دیوارها به وسیله دالهای بتی مسلح صلب و کلاف در تراز سقف به یکدیگر متصل هستند، رفتار بهتری خواهند داشت. در این صورت ارتعاش دیوارها به صورت همزمان انجام می‌گیرد (شکل ۱-۸-ت) و خمش خارج از صفحه دیوارها محدودتر می‌شود. در این حالت هر دیوار از چهار طرف توسط تکیه‌گاههای صلب محصور شده و به مقاومت ساختمان در برابر بارهای جانبی کمک می‌نمایند.



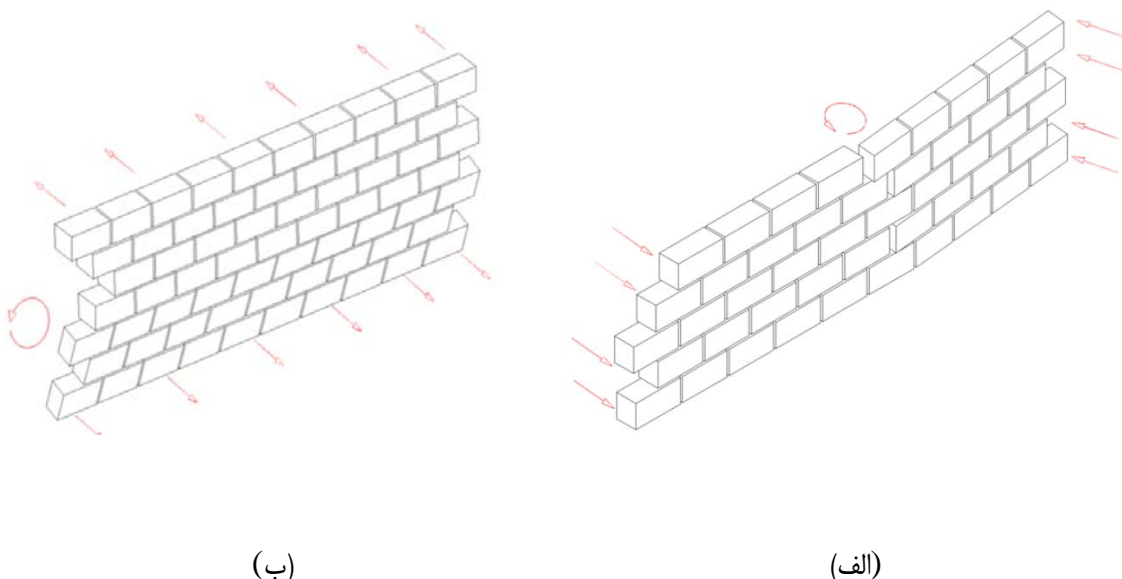
الف و ب) اتصال نامناسب دیوارهای سازه‌ای با یکدیگر (بدون کلاف)

پ) اتصال مناسب دیوارهای سازه‌ای با یکدیگر (با کلاف)

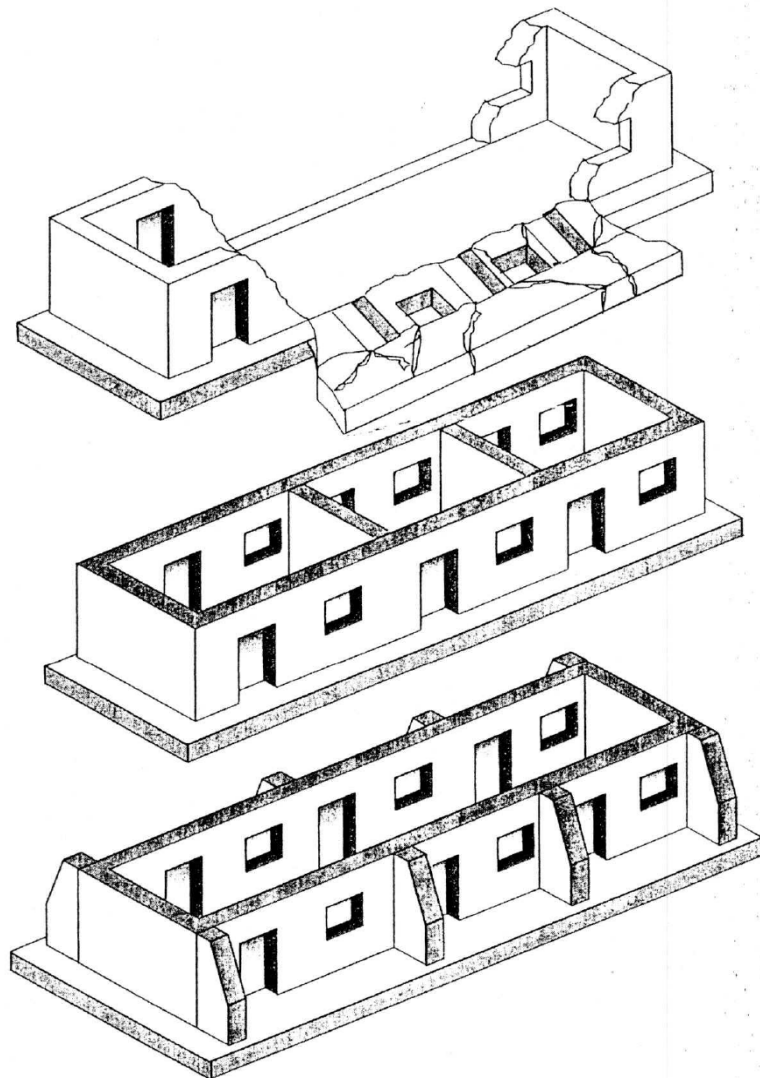
ت) اتصال مناسب دیوارها با سقف توسط دال بتنی صلب

شکل ۸-۱-۸ - ارتعاش ساختمان بنایی در حین حرکات زمین لرزه

نیروهای زلزله وارد بر دیوارهایی که در راستای عمودی نیروی زلزله واقع هستند (دیوار عرضی) باعث ایجاد ترکهایی مشابه دال تختی که بر چهار تکیه گاه زمین، سقف و دو دیوار برشی عمود بر دیوار واقع است، می‌گردد. هرگاه فاصله بین دو تکیه گاه بالا و پایین زیاد باشد ترکهای خمی در راستای افقی به وجود می‌آیند (شکل ۲-۸). علاوه بر این چنانچه اتصال دیوار خمی و دیوارهای متعامد خوب نباشد، در حین زلزله دیوارهای متعامد از هم جدا می‌شوند.



شکل ۲-۸ - حالت‌های شکست خارج صفحه دیوار (الف) شکست عرضی (ب) شکست طولی



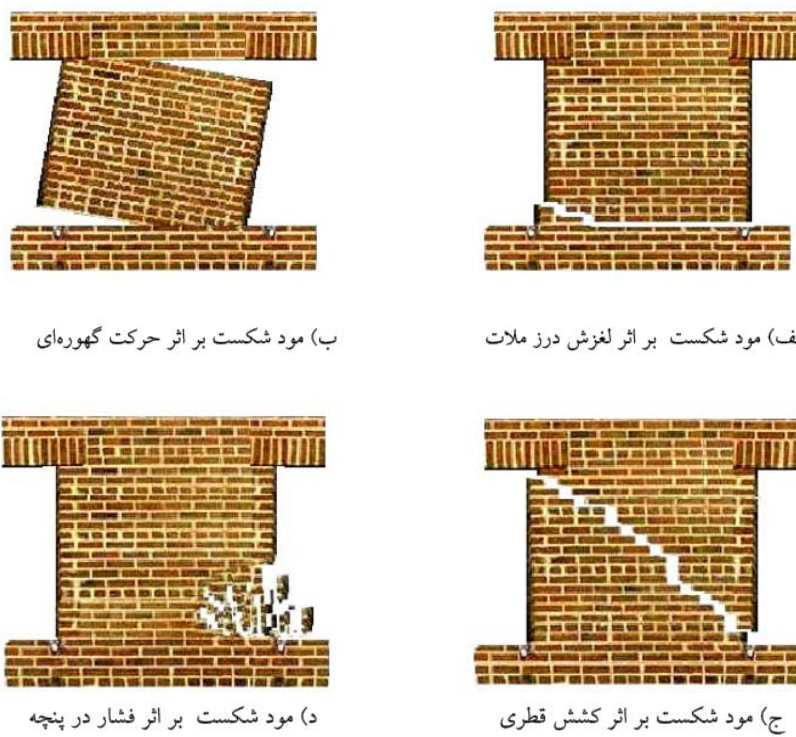
شکل ۳-۸ - کاهش خرابی خارج از صفحه در دیوارهای پشت‌بنددار

## ۲-۲-۸ - شکست داخل صفحه

نیروهای درون صفحه‌ای که در اثر وقوع زلزله به دیوارهای بنایی وارد می‌شوند، بسته به هندسه آنها (نسبت ارتفاع به طول)، مشخصات مصالح، میزان نیروی محوری و عوامل دیگر ممکن است باعث وقوع انواع متفاوتی از گسیختگی‌های داخل صفحه دیوار شوند. از مهمترین این خرابی‌ها که مورد توجه آئین‌نامه‌های ارزیابی لرزه‌ای هم می‌باشد می‌توان به لغزش افقی درز ملات، ترک خودگی کششی، حرکت گهواره‌ای و خرابی فشاری پنجه اشاره نمود (شکل ۴-۸).

### الف) لغزش درز ملات افقی

این مود خرابی بر اثر پیشرفت ترک افقی در راستای ملات بین آجرها به وجود می‌آید (شکل ۴-۸-الف). در این حالت دیوار در امتداد ملات افقی دچار لغزش می‌شود. این مود خرابی ممکن است به دو صورت اتفاق بیفتد: ۱- لغزش روی صفحه افقی، ۲- لغزش روی صفحه پله‌ای.



شکل ۴-۸ - مکانیزم‌های شکست در یک دیوار بنایی

پس از وقوع ترک قطري (شکل ۵-۸) لغزش درز ملات نوعی مود خرابي شکل‌پذير و با اتلاف انرژي بسیار زياد در چرخه هيسترزیس می‌باشد. در صورتیکه لغزش درز ملات ادامه پیدا کند و هیچ مود خرابی غير شکل‌پذير دیگری رخ ندهد، در محلهای ترک خورده افت مقاومت رخ داده و تا زمانیکه ناپایداری رخ دهد ادامه خواهد یافت. حالت لغزش پله‌ای به طور تئوریک قابل وقوع است ولی در نمونه‌های واقعی به ندرت گزارشاتی از وقوع آن وجود دارد.



شکل ۵-۸ - لغزش درز ملات پس از ترک خورده‌گی قطري

### (ب) کشش قطری

در این حالت ترک قطری کششی بدون شکل‌پذیری زیاد در دیوار رخ می‌دهد. به طور معمول این حالت در دیوارهای با ملات قوی و آجر ضعیف با نیروی فشاری زیاد ایجاد می‌شود. ترکها در این مود خرابی به صورت ضربدری بوده و از داخل آجرها عبور می‌کنند. در بیشتر اوقات ترک خوردگی به سرعت و به صورت شکست ترد رخ می‌دهد و پس از آن باربری قائم دیوار به سرعت کاهش می‌یابد. حالت دیگر ترک خوردگی قطری، ترک خوردگی پله‌ای است که در شرایط ملات ضعیف، آجر قوی رخ می‌دهد که در بخش لغزش درز در مورد آن توضیح داده شد.

### (ج) حرکت گهواره‌ای

در این حالت زمانیکه پاشنه دیوار در اثر خمش زیاد، ترک می‌خورد دیوار مانند جسمی صلب حول پنجه می‌چرخد. این مود خرابی عموماً زمانی رخ می‌دهد که ظرفیت برشی دیوار زیاد، پایه آن لاغر و نیروی فشاری کم باشد. تغییرشکل‌های دیوار در این حالت پس از ترک خوردگی زیاد بوده و می‌تواند برای سیکلهای زیادی پایدار باشد. این مود خرابی می‌تواند باعث واژگونی داخل صفحه، افت مقاومت و نرم‌شدن و تغییر مکانهای خارج صفحه شود.

### (د) خرابی فشاری پنجه

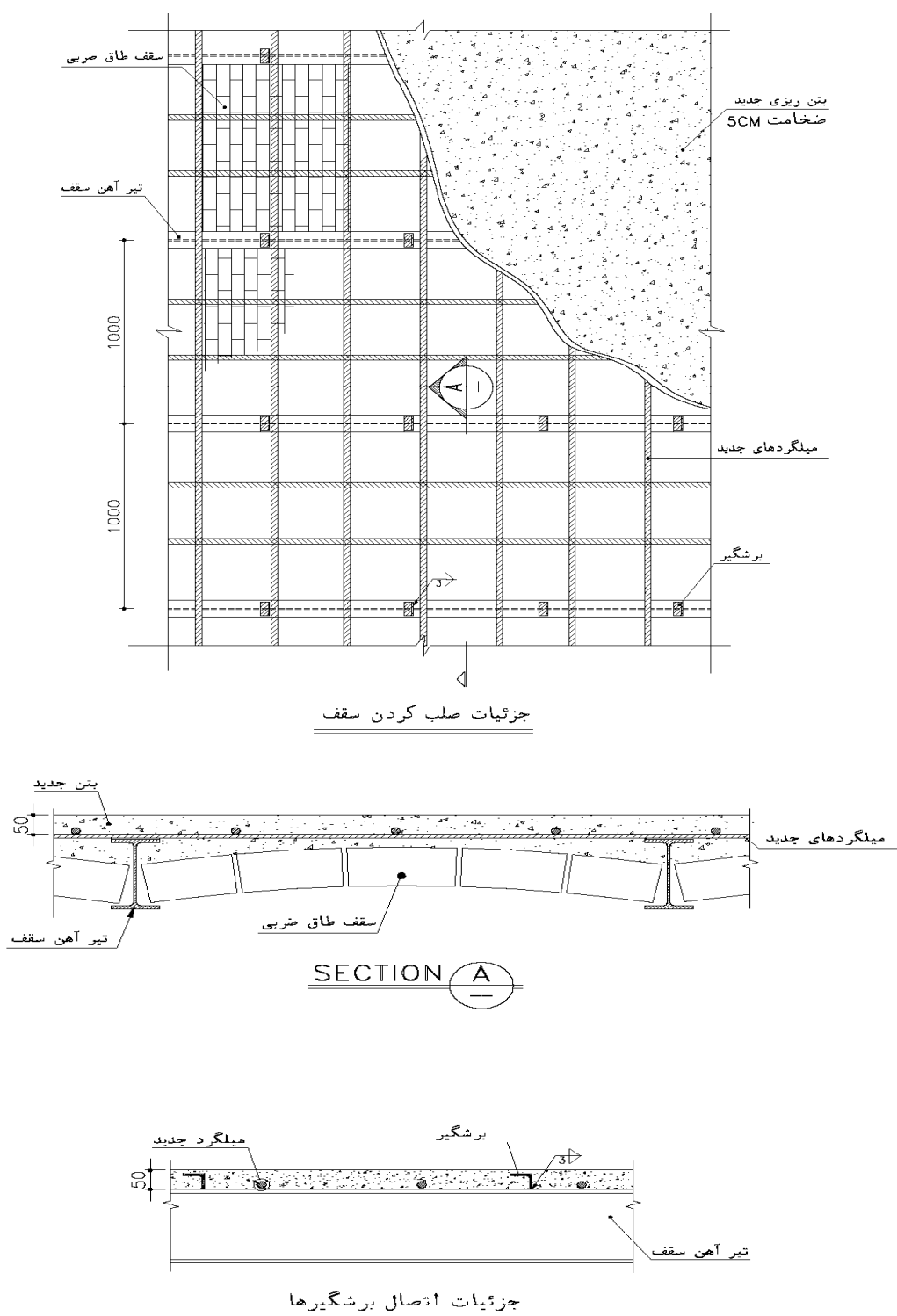
در این حالت در اثر فشار زیاد، پنجه دیوار دچار خردشیدگی می‌شود که شکل‌پذیری زیادی برای دیوار به همراه نمی‌آورد و از مودهای غیرشکل‌پذیر محسوب می‌شود. این حالت از خرابی عموماً پس از وقوع حرکت گهواره‌ای و به دلیل چرخش دیوار روی پنجه آن رخ می‌دهد. به همین دلیل بعضی از روش‌های ارزیابی لرزه‌ای سازه‌های بنایی مود خرابی حرکت گهواره‌ای و خرابی پنجه را به طور مشترک مورد بررسی قرار می‌دهند.

## ۳-۸- روش‌های بهسازی سقف (یکپارچه نمودن سقف)

در کلیه روش‌های تقویت، فرض اساسی این است که سقف به طور یکپارچه عمل می‌کند در غیر اینصورت نمی‌توان از المان‌های لرزه‌ای که در بخشی از ساختمان قرار گفته برای جذب نیروهای زلزله در بخش‌های دیگر استفاده کرد. سقفهای دال بتی درجا، بتی پیش ساخته با اتصالات مناسب، سقف تیرچه بلوك و تیرچه‌های فلزی از صلبیت برشی کافی برخوردارند. سقف طاق ضربی، جزء سقفهای ذکر شده نیست و باید منسجم و در صورت نیاز صلب گردد. در سقف‌های طاق ضربی برای ایجاد انسجام و یکپارچگی از روش‌های زیر استفاده می‌شود:

۱. ابتدا خاک، سنگ و نخاله روی آجرها را برداشته و مطابق شکل میلگرددهایی را به تیرها جوش می‌دهند. سپس روی سقف بتن می‌ریزیم تا پوششی به ضخامت حداقل ۵ cm روی تیرها ایجاد شود.

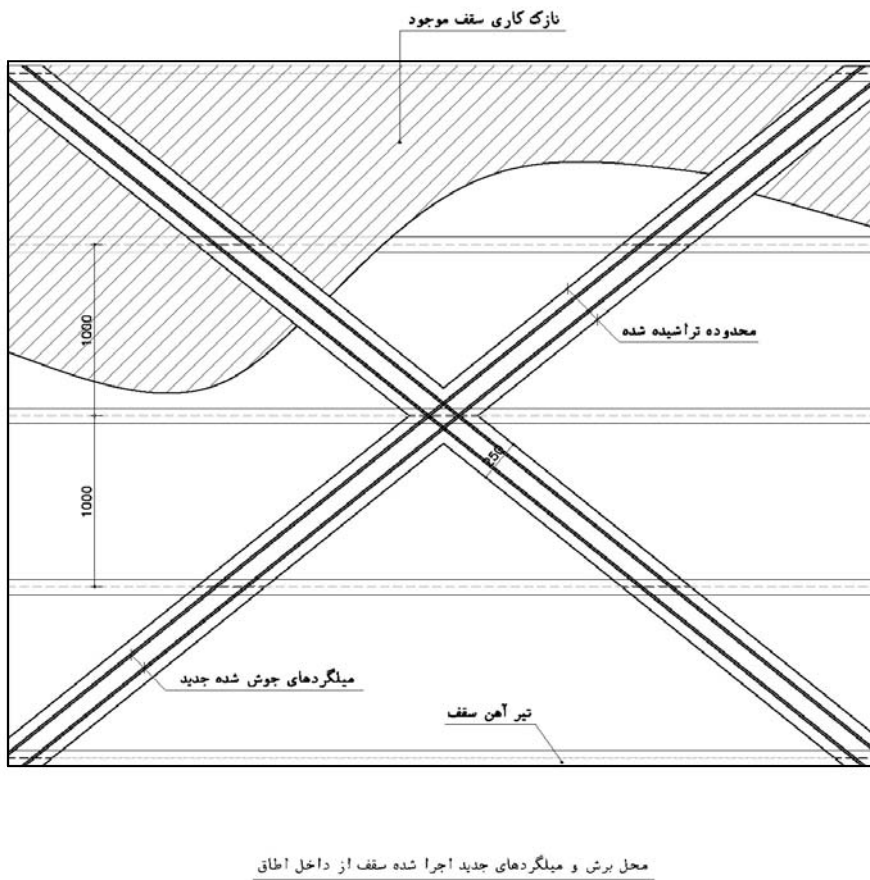
در مواردی که استفاده از روش فوق میسر و اقتصادی نباشد می‌توان از روش‌های دیگر استفاده نمود، البته درجه صلبیت به اندازه روش گفته شده در بالا افزایش نمی‌یابد.



شکل ۸-۶- بهسازی سقف با بتن رویه

۲. انود سقف را از داخل هر اتاق به صورت ضربدری می‌تراشیم و یک جفت میلگرد نمره ۸ یا تسمه را مطابق شکل (۷-۸)، به

زیر تیر آهن جوش می‌دهیم.

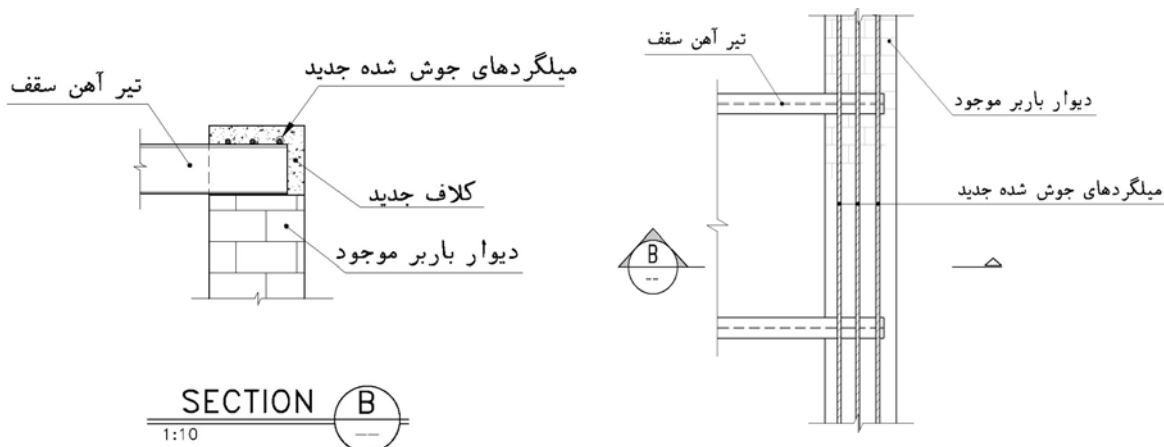


محل برش و میلگرد های جدید اجرا شده سقف از داخل اطاق

### شکل ۷-۸- بهسازی سقف با تسممه فولادی

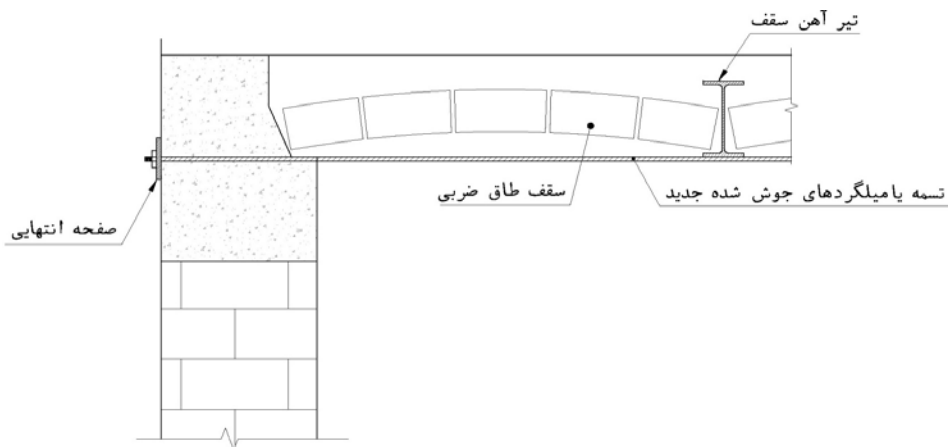
شرایط انسجام و یکپارچگی برای سقفهای طاق ضربی طبق بند (۱-۳-۱۱-۳) آین نامه ۲۸۰۰ به صورت زیر بیان شده‌اند:

- الف- فاصله بین تیرآهن‌ها از یک متر تجاوز نکند.
- ب- تیرآهن باید به گونه‌ای مناسب به کلاف افقی متصل گردد.
- پ- تیرآهن باید بوسیله میلگرد و یا تسممه فولادی به صورت ضربدری به یکدیگر بسته شوند به طوری که اولاً طول مستطیل ضربدری شده بیش از  $1/5$  برابر عرض آن نباشد و ثانیاً مساحت تحت پوشش هر ضربدری از  $25$  مترمربع تجاوز ننماید.
- ت- تکیه‌گاه مناسبی برای پاطاق آخرین دهانه طاق ضربی تعییه گردد.
- ث- حداقل سطح مقطع میلگرد و یا تسممه که برای مهاربندی ضربدری تیرآنهای سقف و یا استوارکردن آخرین دهانه بکار می‌رود، میلگرد  $14$  میلیمتری و یا تسممه معادل آن باشد.
- در این روش سقف به صورت کامل صلب نمی‌شود ولی انسجام و یکپارچگی مناسبی در آن بوجود می‌آید.
- ۳. روی دیوارهای باربر، فاصله بین تیرها را تمیز کرده پس از جوش دادن سه میلگرد نمره  $18$  به تیرها روی آنها بتزن ریزی به گونه‌ای انجام می‌شود که کلاف افقی به ارتفاع حداقل  $25\text{ cm}$  ایجاد شود.



شکل ۸-۸- بهسازی سقف با ایجاد کلاف جدید

۴. یکی دیگر از راهکارهای بهسازی سقف و منسجم نمودن آن (سقفهای مسطح با طاق ضربی) استفاده از بستهای افقی است. این بسته‌ها باید حداقل در انتهای چشممه‌ها و در یک چهارم دهانه‌ها مطابق شکل قرار گیرند تا برش قوسهای توسط این بسته‌ها متعادل شود. لازم است که بسته‌ها به صورت پیوسته در زیر تمامی دهانه‌ها ادامه یابد.



شکل ۸-۹- بهسازی سقف با مهار پاطاق

در بعضی نقاط ایران، سقف‌ها با تیرهای چوبی و کاهگل ساخته می‌شوند. توصیه می‌گردد در صورت امکان، این سقف‌ها برچیذه شده و با نوع مناسب‌تری جایگزین گردد. در غیر اینصورت حداقل به روش‌های فوق با تعییه میلگردهای ضربدری از رو یا زیر و ایجاد کلافهای افقی روی دیوارهای باربر اطراف، اندکی به صلیبت آنها افزوده گردد. لازم به ذکر است که این نوع سقف‌ها یا انواع نظیر آنها مانند سقفهای شیروانی یا ساخته شده از صفحات موجودار فلزی، ماهیتاً از نوع انعطاف‌پذیر هستند.

#### ۴-۸- تقویت ساختمان‌های بنایی در مقابل بارهای جانبی

روشهای مختلفی برای افزایش سختی و مقاومت سازه‌های بنایی در مقابل بارهای جانبی وجود دارد که انتخاب هرکدام از این روش‌ها بسته به شرایط ساختمان و سلیقه مهندس طراح انجام می‌شود، البته انتخاب روش مناسب برای تقویت معمولاً تا حد زیادی

تابع مسائل اقتصادی می‌باشد. با توجه به اینکه در ساختمان‌های بنایی سیستم مقاوم در برابر بارهای جانبی، دیوارهای باربر سازه می‌باشند، برای تقویت ساختمان در مقابل بارهای لرزه‌ای بیشتر طرح‌های ارائه شده در رابطه با دیوارها می‌باشند. در زیر به معرفی تعدادی از روش‌های موجود برای تقویت ساختمانهای بنایی در مقابل بارهای جانبی می‌پردازیم.

- ۱ سیستم کامپوزیت FRP
- ۲ روکش بتنی<sup>۱</sup>
- ۳ تعییه دیوار برشی
- ۴ استقرار دیوارهای جدید
- ۵ استفاده از پشت‌بند
- ۶ تزریق صمخ اپوکسی یا ملات
- ۷ تعییه کلاف‌های قائم

#### ۱-۴-۸ سیستم کامپوزیت FRP

##### ۱-۴-۸ معرفی سیستم

استفاده از سیستم‌های FRP برای مقاوم‌سازی سازه‌های بتنی از حدود اواسط سال ۱۹۸۰ میلادی رواج یافت. در سالهای اخیر استفاده از این سیستم در سراسر جهان به طور چشمگیری رشد نموده است.

سیستم‌های FRP با جایگزینی آن به جای تقویت کننده‌های دیگر مانند صفحات فولادی و پوشش‌های بتنی شکل گرفته است. اعضای سازه‌ای که توسط این سیستم‌ها مقاوم‌سازی می‌شوند عبارتند از تیرها، دالهای ستونه، دیوارهای اتصالات و سازه‌هایی همانند کوره‌ها، دوکش‌ها، طاقهای گنبدها، تونلهای سیلوها، لوله‌ها و خرپاهای.

##### ۲-۱-۴-۸ مزایا

مزیت اصلی مصالح FRP، نسبت بالای مقاومت به وزن و مقاومت زیاد آن در مقابل خوردگی می‌باشد. مقاومت بالای آنها در عین حال که وزن کمی دارند سبب می‌گردد که جابجایی و حمل و نقل آنها راحت‌تر بوده و هزینه استفاده از آنها کاهش یابد. همچنین مقاوم بودن آنها در برابر خوردگی سبب دوام و پایا بودن عملکرد آنها می‌گردد.

صفحات FRP حداقل دو برابر مقاومت صفحات فولادی را دارا هستند که این مقدار می‌تواند تا ۱۰ برابر مقاومت صفحات فولادی نیز افزایش یابد در حالیکه وزن آنها فقط ۲۰٪ وزن فولاد است.

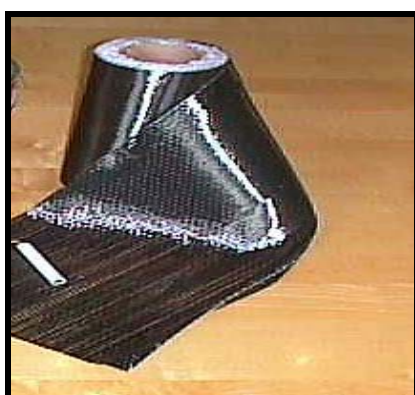
محدودیت استفاده و کاربرد آنها در مهندسی ساختمان به قیمت بالای آنها بر می‌گردد. البته هزینه و قیمت آنها رو به کاهش است و به این ترتیب استفاده از آنها بیشتر و خواهد شد. استفاده از آنها در زمینه مقاوم‌سازی سازه‌ها، هر چند که هزینه بالایی دارد، اما با توجه به هزینه اجرایی کم و نیز سایر مزایای FRP، در کل به عنوان یکی از موثرترین راه‌های مقاوم‌سازی به شمار می‌رود.

<sup>۱</sup> Shotcrete

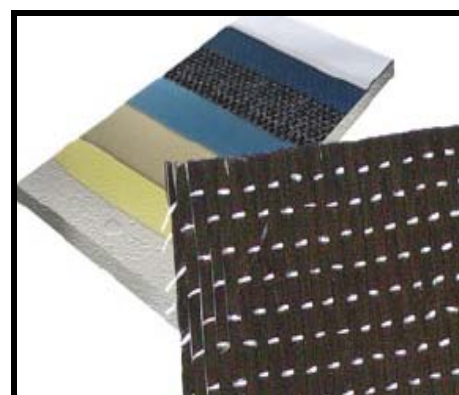
### ۱-۴-۳- روش‌های ساخت مواد مرکب FRP

مجموعه‌ای از الیاف می‌باشد که توسط رزین به یکدیگر متصل شده‌اند.

بسته به نوع الیاف مصرفی، FRP به سه نوع الیاف شیشه GFRP، الیاف کربن CFRP و الیاف آرامید AFRP دسته‌بندی می‌شود. رزین‌های مورد استفاده هم عبارتند از پلی‌استر، نیل‌استر و اپوکسی. در اشكال ۱۰-۸ تا ۱۲-۸ انواع مختلف FRP نشان داده شده است.



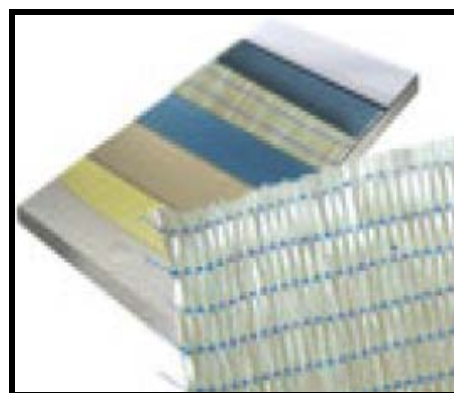
الیاف کربن



شکل ۱۰-۸



الیاف شیشه



شکل ۱۱-۸



الیاف آرامید



شکل ۱۲-۸

دو روش متدائل برای استفاده از FRP در مقاومسازی سازه وجود دارد:

روش اول چسباندن تر می‌باشد. در این روش در محل اجرا، از رزین برای آغشته‌سازی الیاف به هم بافته نشده استفاده می‌گردد.

روش دوم استفاده از مصالح FRP پیش‌ساخته می‌باشد. مصالح پیش‌ساخته FRP می‌تواند به اشکال متفاوتی تولید شود که هم مناسب برای مقاومسازی تیرها در برابر خمش باشد و هم به شکل صفحاتی که بتوان از آنها برای دور پیچ کردن ستونها استفاده کرد.

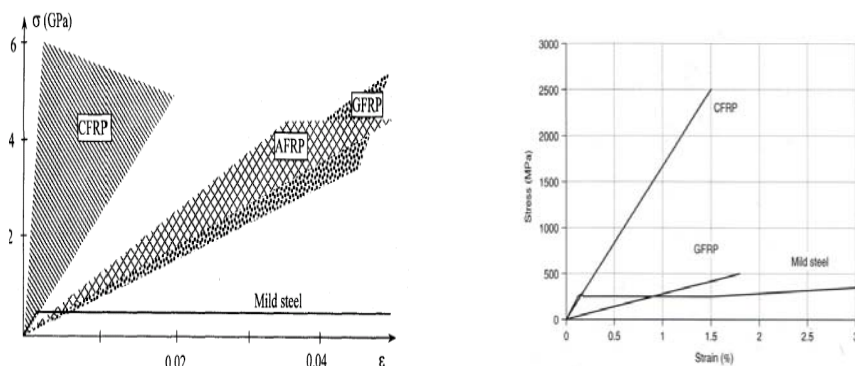
روش چسباندن تر این مزیت را دارد که استفاده از آن در نقاط غیرمسطح و دارای انحصار و نیز لبه‌های مقطع راحت‌تر است. به همین دلیل به نظر می‌رسد که تقویت دیوارهای آجری که معمولاً دارای سطوح غیرمسطح هستند با روش چسباندن تر، مناسب‌تر خواهد بود.

#### ۴-۱-۴-۸- مشخصات مکانیکی مواد مرکب FRP

تاکنون از هر سه نوع FRP یعنی AFRP، CFRP، GFRP برای مقاومسازی استفاده شده است. جدول ۱-۸ مشخصات مصالح FRP با الیاف یک جهتی یا خطی را نشان می‌دهد. باید خاطر نشان کرد که این ارقام و محدوده‌ها برای مصالح معمول و متدائل FRP تهیه شده است و ممکن است محصولی خاص در شرایطی خاص، مشخصات دیگر از خود بروز دهد. نمودار تنش-کرنش تک‌محوری انواع الیاف FRP و فولاد در شکل ۱۳-۸ نشان داده شده است.

جدول ۱-۸ مشخصات مکانیکی انواع الیاف

| حدنهایی<br>کرنش کششی (%) | مقاومت کششی<br>(Mpa) | مدول الاستیسیته<br>(Gpa) | مشخصات                  | جنس    |
|--------------------------|----------------------|--------------------------|-------------------------|--------|
| ۱/۴-۲                    | ۳۵۰۰-۴۸۰۰            | ۲۱۵-۲۳۵                  | با مقاومت بالا          | کربن   |
| ۱/۵-۲/۳                  | ۳۵۰۰-۶۰۰۰            | ۲۱۵-۲۳۵                  | با مقاومت بسیار بالا    |        |
| ۰/۵-۰/۹                  | ۲۵۰۰-۳۱۰۰            | ۳۵۰-۵۰۰                  | با مدول بالا            |        |
| ۰/۲-۰/۴                  | ۲۱۰۰-۲۴۰۰            | ۵۰۰-۷۰۰                  | با مدول بسیار بالا      |        |
| ۵                        | ۱۹۰۰-۳۰۰۰            | ۷۰                       | E                       | شیشه   |
| ۴/۵-۵/۵                  | ۳۵۰۰-۴۸۰۰            | ۸۵-۹۰                    | S                       |        |
| ۴/۳-۵                    | ۳۵۰۰-۴۱۰۰            | ۷۰-۸۰                    | با مدول متوسط           |        |
| ۲/۵-۳/۵                  | ۳۵۰۰-۴۰۰۰            | ۱۱۵-۱۳۰                  | با مدول الاستیسیته بالا | آرامید |



شکل ۱۳-۸ - نمودار تنش-کرنش تک محوری انواع الیاف (کربن، شیشه و آرامید) و فولاد

### ۱-۴-۵- رزین‌ها

رزین‌های پلیمری هم به عنوان ماده نگهدارنده الیاف در ساخت لایه FRP و هم برای چسباندن این لایه‌ها بر روی بتن، آجر و غیره استفاده می‌گردد. کاربرد آنها به عنوان متصل کننده FRP بسیار حیاتی است زیرا چسبندگی ضعیف می‌تواند سبب شکست ناگهانی و غیره منتظره سیستم مرکب شود.

امروزه رزین‌های اپوکسی بسیار قوی تولید می‌شوند، به گونه‌ای که خیلی از شکست‌های چسبندگی به صورت کنده شدن لایه‌ای از بتن یا آجر (یعنی در اثر ضعف بتن یا آجر) رخ می‌دهد. بنابراین مقاومت تعیین‌کننده، مربوط به مقاومت ماده‌ای است که چسب قراراست FRP را به آن بچسباند نه مقاومت چسب، درنتیجه شکست یا در داخل بتن و یا در بتن مجاور سطح تماس چسب و بتن، رخ می‌دهد.

### ۱-۴-۶- ضریب کاهش محیطی برای سیستم‌های FRP با شرایط گوناگون

جز حالت‌های خاص، خصوصیات مواد FRP که به وسیله سازندگان آنها ارائه می‌شود، عموماً به صورت خصوصیات اولیه بوده و اثر شرایط در معرض قرارگیری محیطی تحت زمانهای طولانی بر روی این خصوصیات در نظر گرفته نمی‌شود. به این دلیل خصوصیات مواد FRP مانند خصوصیات کششی، گسیختگی خوشی و پایداری در برابر خستگی، بعد از قرار گرفتن در شرایط محیطی کاهش می‌یابد و لذا این کاهش باید در روابط طراحی لحاظ شود.

همانطور که در جدول ۲-۸ دیده می‌شود، اگر سیستم FRP در مکانی تقریباً کنترل شده و آزمایشگاهی قرار گیرد، ضریب کاهش اعمال شده به مقدار یک نزدیک خواهد بود. اگر FRP در محیطی به شدت نامناسب قرار گیرد، مثلاً جایی که به طور طولانی در معرض رطوبت زیاد، آب شور یا مواد قلیایی باشد، کمترین ضریب کاهش باید استفاده شود.

جدول ۲-۸ ضریب کاهش محیطی برای سیستم‌های FRP با شرایط گوناگون

| شرایط در معرض قرارگیری   | نوع الیاف- رزین | ضریب کاهش محیطی، $C_E$ |
|--|-----------------|------------------------|
| شرایط داخلی  | کربن- اپوکسی    | ۰/۹۵                   |
|  | شیشه- اپوکسی    | ۰/۷۵                   |
|  | آرامید- اپوکسی  | ۰/۸۵                   |
| شرایط خارجی<br>(پلا، اسکله‌ها و پارکینگ‌های غیر<br>بسته)               | کربن- اپوکسی    | ۰/۸۵                   |
|  | شیشه- اپوکسی    | ۰/۶۵                   |
|  | آرامید- اپوکسی  | ۰/۷۵                   |
| محیط‌های ناهنجار<br>(کارگاه‌های شیمیایی و<br>کارخانه‌های تصفیه فاضلاب) | کربن- اپوکسی    | ۰/۸                    |
|  | شیشه- اپوکسی    | ۰/۵                    |
|  | آرامید- اپوکسی  | ۰/۷                    |

### ۱-۴-۷- مقایسه عملکرد انواع کامپوزیت‌ها در سازه

بطور کلی کامپوزیت‌های CFRP دارای خصوصیات بالاتری نسبت به GFRP می‌باشند. اما در عوض کامپوزیت‌های GFRP ارزانتر می‌باشند. جدول ۳-۸ مقایسه کیفی انواع کامپوزیت‌های FRP برای مقاومت‌سازی ساختمان‌ها را نشان می‌دهد.

### جدول ۳-۸ مقایسه کیفی بین الیافهای کربن با مقاومت بالا، شیشه و آرامید

| خصوصیات مصالح   | مقاومت کششی | کامپوزیت شیشه | کامپوزیت آرامید | کامپوزیت کربن |
|-----------------|-------------|---------------|-----------------|---------------|
| مقاومت فشاری    | خیلی خوب    | عالی          | خیلی خوب        | خوب           |
| مدول الاستیسیته | ناکافی      | خیلی خوب      | خیلی خوب        | کافی          |
| رفتار دراز مدت  | خوب         | خیلی خوب      | خیلی خوب        | کافی          |
| رفتار خستگی     | خوب         | عالی          | کافی            | کافی          |
| ظرفیت کمانش     | عالی        | کافی          | عالی            | کافی          |
| مقاومت قلیابی   | خوب         | خیلی خوب      | خیلی خوب        | ناکافی        |

آنچه مسلم است انتخاب نوع مصالح بسته به نوع سازه مورد مقاومسازی و پارامترهای تعیین کننده دیگری از جمله شرایط کاری و هزینه برآورد شده، می‌تواند توسط مهندس طراح مورد بررسی قرار گیرد. جدول ۴-۸ مقایسه کاربردی انواع کامپوزیت‌های FRP برای مقاومسازی ساختمان‌ها را نشان می‌دهد.

### جدول ۴-۸ مقایسه کاربردی انواع الیاف

| اعضا  | کاربرد     | کامپوزیت آرامید | کامپوزیت شیشه | کامپوزیت کربن |
|-------|------------|-----------------|---------------|---------------|
| تیر   | خمش        | خوب             | کافی          | خیلی خوب      |
|       | برش        | خوب             | کافی          | خیلی خوب      |
|       | خدمت پذیری | ناکافی          | ناکافی        | خیلی خوب      |
| دال   | الخمش      | خوب             | کافی          | خیلی خوب      |
|       | برش        | خوب             | کافی          | خیلی خوب      |
|       | خدمت پذیری | ناکافی          | ناکافی        | خیلی خوب      |
| ستون  | الخمش      | خوب             | کافی          | خیلی خوب      |
|       | برش        | خوب             | کافی          | خیلی خوب      |
|       | خدمت پذیری | ناکافی          | ناکافی        | خیلی خوب      |
| دیوار | ضربه       | خیلی خوب        | خیلی خوب      | خوب           |
|       | لرزه       | خیلی خوب        | خیلی خوب      | خوب           |
|       | الخمش      | خوب             | کافی          | خیلی خوب      |
|       | برش        | خوب             | کافی          | خیلی خوب      |
|       | خدمت پذیری | ناکافی          | ناکافی        | خیلی خوب      |
|       | ضربه       | خیلی خوب        | خیلی خوب      | خوب           |
|       | لرزه       | خیلی خوب        | خیلی خوب      | خوب           |

### ۴-۸-۱-۴ روش و تکنیک مقاومسازی با FRP

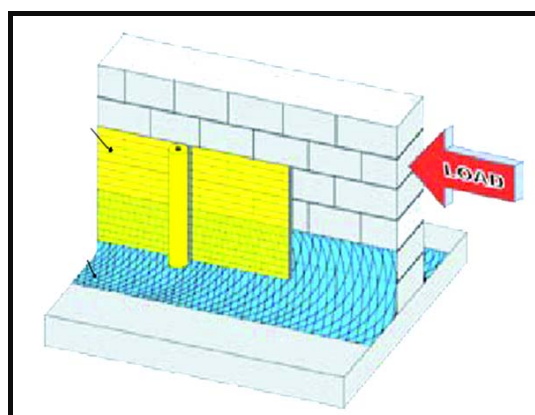
تکنیک پایه مقاومسازی با FRP که در طیف گسترده‌ای به کار می‌رود، شامل روش چسباندن نوارهای تولید شده پیش‌ساخته است. نکته‌ای که در اینجا وجود دارد این است که در راستای نوارهای FRP و یا الیافی که به کمک رزین در محل به کامپوزیت FRP تبدیل می‌شوند باید تا حدی که امکان اجرایی وجود دارد، در جهت محور اصلی تنشهای کششی عضو باشد. در ادامه به بررسی رفتار و نحوه صحیح قرارگیری FRP در دیوارهای آجری می‌پردازیم.

#### ۱-۸-۱-۴-۸- تقویت دیوارهای آجری بدون اعضای بتنی یا فولادی محیطی

##### الف: تقویت برشی

دیوارهایی که نسبت بعدی (ارتفاع به طول) کمی دارند دچار شکست برشی شده و ترکهای قطری در آنها ظاهر می‌شوند. مود شکست در این حالت به صورت ترد در دیوار رخ می‌دهد.

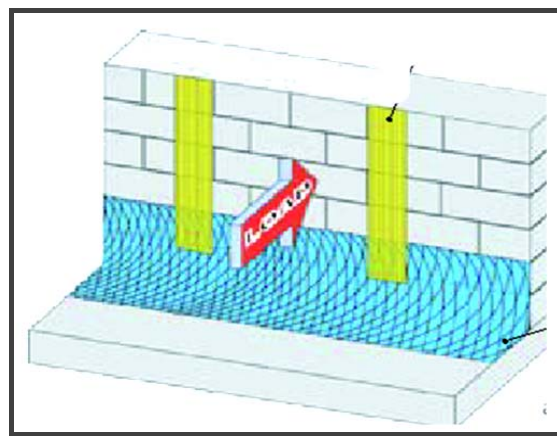
برای جبران ضعف برشی دیوار، صفحات FRP در راستای طول دیوار و به صورت افقی در دو وجه دیوار نصب می‌گردد. نحوه عملکرد FRP بدین صورت می‌باشد که پس از ایجاد ترکهای برشی در دیوار، کرنش در آن منطقه افزایش یافته و نیروها به FRP منتقل می‌گردد. نتایج نشان می‌دهد که تقویت برشی دیوار با صفحات FRP سبب افزایش مقاومت و شکل‌پذیری دیوار می‌گردد (شکل ۱۴-۸).



شکل ۱۴-۸ - تقویت برشی دیوار با FRP

##### ب: تقویت خمشی

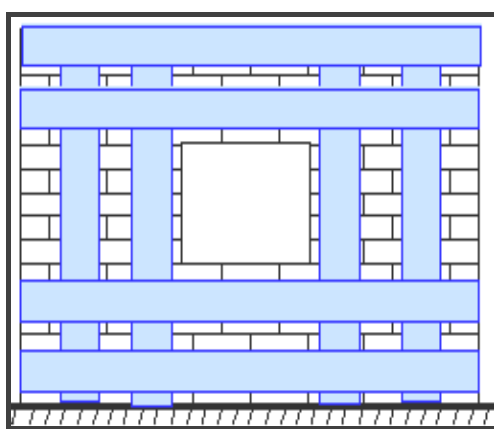
برای جبران ضعف خمشی دیوار، صفحات FRP در راستای ارتفاع و به صورت قائم در دو طرف نصب می‌گردد (شکل ۱۵-۸).



شکل ۱۵-۸ - تقویت خمشی دیوار با FRP

در صورتیکه FRP به منظور افزایش مقاومت خمی بر روی دیوار به صورت ارتفاعی استفاده شود، لازم است که انتهای آن به نحو مناسبی در پای دیوار مهار گردد تا نیروهای درون این صفحات به تکیه‌گاه پای دیوار انتقال یابد. برای مهار انتهای صفحات خمی می‌توان از مقطع نبشی فولادی در مجاورت تکیه‌گاه دیوار که بر آن پیچ می‌گردد و یا از صفحه برشی FRP عمود بر لایه FRP خمی در انتهای لایه استفاده نمود.

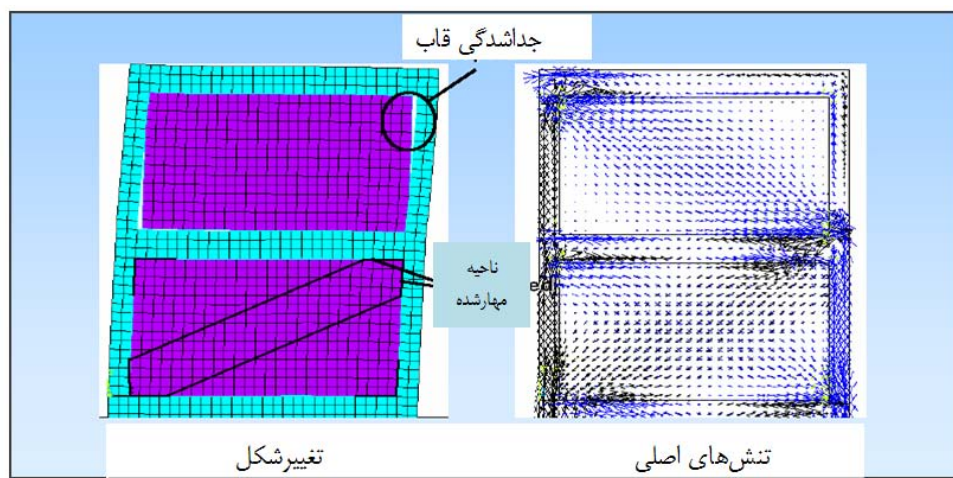
در صورتیکه از هر دو تقویت خمی و برشی به صورت قرارگیری الیاف به طور افقی و عمودی بر روی دیوار به صورت توام استفاده گردد افزایش سختی، مقاومت و شکل‌پذیری بیشتر از حالت‌های قبل است. در این سیستم قرارگیری الیاف به صورت افقی خود مهار کننده الیاف خمی می‌باشد (شکل ۱۶-۸).



شکل ۱۶-۸ - تقویت برشی و خمی همزمان با استفاده FRP

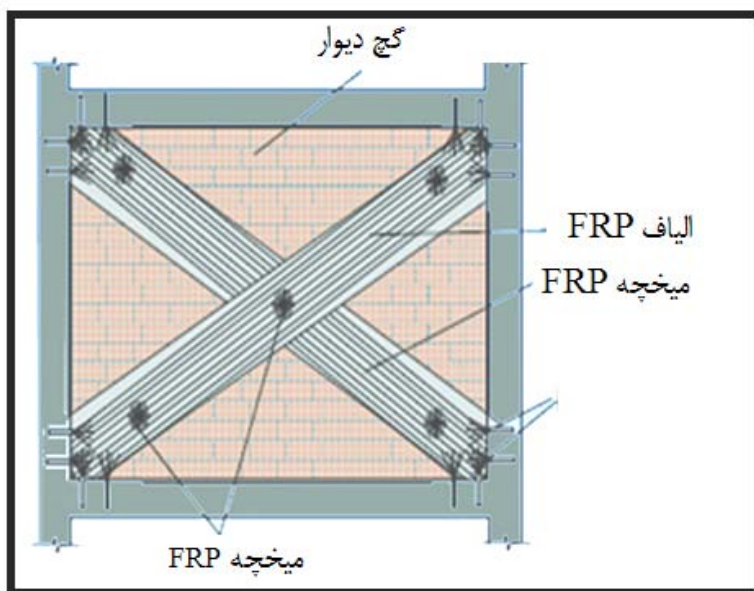
#### ۲-۸-۱-۴-۸ - تقویت دیوارهای آجری با اعضاً بتنی یا فولادی محیطی

این گونه از دیوارها رفتاری کاملاً متفاوت با دیوارهای آزاد بدون عناصر محیطی دارند و در هنگام اعمال بارهای جانبی در امتداد صفحه دیوار، بین آنها و عناصر احاطه کننده‌شان اندرکنش بوجود می‌آید و راستای تنشهای کششی از حالت افقی به حالت قطري عوض می‌گردد (شکل ۱۷-۸).



شکل ۱۷-۸ - رفتار دیوارهای آجری با اعضاً بتنی یا فولادی محیطی

همچنین در حالتی که بارهای جانبی در امتداد عمود بر صفحه دیوار، بر آن اعمال می‌گردد رفتار دیوار شبیه به دال تخت می‌باشد و بر اثر لنگرهای خمشی ایجاد شده ترکهایی پدیدار می‌شود که مشابه خطوط سیلان در دالهای تخت است. قطرهای دیوار در حالتی که توسط اعضای بتنی یا فولادی احاطه شده است احتیاج به تقویت داشته و ترک‌خوردگی و شکست در این ناحیه اتفاق می‌افتد. لذا برای تقویت دیوارهای آجری با اعضای بتنی یا فولادی محیطی، الیاف FRP به صورت قطری روی دیوار چسبانده می‌شود (شکل ۱۸-۸).



شکل ۱۸-۸ - تقویت برشی و خمشی دیوارهای آجری با اعضای محیطی

در شکل ۱۹-۸ چند نمونه از تقویت‌های اجرا شده و نحوه نصب الیافها روی این نوع دیوارها ملاحظه می‌گردد.



شکل ۱۹-۸ - نحوه اجرا و نصب نوارهای FRP

## ۲-۴-۸ روکش بتنی

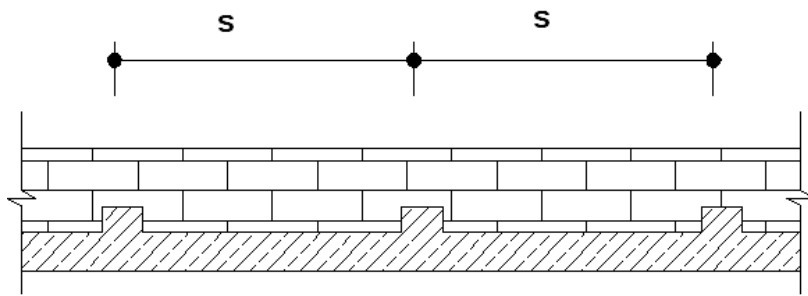
یکی از روش‌های موثر تقویت ساختمانهای موجود ایجاد روکش بتنی روی دیوار است. در این روش شبکه‌ای از میلگردهای افقی و قائم روی دیوار نصب می‌شود و سپس بر روی آن بتن می‌پاشند.

استفاده از روکش بتنی برای سازه‌های بتنی و آجری نتایج مفیدی دربرداشته و تجربه نشان می‌دهد که بتن پاشیده شده به خوبی درزها را پر کرده، اتصال و چسبندگی مناسبی را فراهم می‌آورد. در این روش سطوح آجری کاملاً تمیز می‌شوند و برای ایجاد چسبندگی بیشتر سطوح صاف زخمی می‌گردند. قبل از پاشیدن بتن، زیرکار را کمی تر می‌کنند اما نه چندان که بتن فرو ریزد.

همچنین قبل از شروع، قسمتهایی از زیرکار را که خرد شده یا سست است تراشیده و عمل پاشش در چند لایه صورت می‌گیرد تا گودشدنگی به حداقل برسد و در نقاطی که پاشش خوب انجام نشده و به عوارضی همچون گودشدنگی، برآمدگی و یا پوسته شدن، انجامیده است بتن تراشیده، دوباره پاشیده می‌شود.

با ایجاد روکش بتنی در سطوح بیرونی یا درونی دیوارهای آجری می‌توان مقاومت لرزه‌ای ساختمان را به طور چشمگیری افزایش داد، آنگاه این دیوارهای آجری-بتنی می‌توانند دیوارهای برشی بتنی نیروی جانبی زلزله را بگیرند.

برای ایجاد روکش بتنی باید در دیوار شیارهای قائم ایجاد کرد تا پس از پاشیدن بتن این شیارها همچون کلاف قائم عمل کرده و علاوه بر تقویت مقاومت خمشی دیوار، روکش بتنی و دیوار آجری را به طور مناسبی با هم یکپارچه کنند (شکل ۲۰-۸).

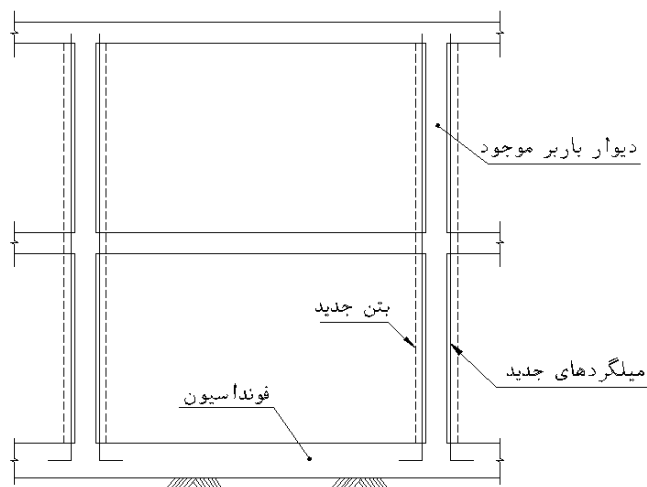


شکل ۲۰-۸ - اجرای کلاف با روکش بتنی

فاصله کلافهای قائم S می‌تواند بین ۲ تا ۲/۵ متر باشد. در کنار بازشوها حتماً باید کلاف افقی گرچه می‌تواند عملکرد روکش را بهبود بخشد اما به سبب آنکه بارهای قائم به دیوار آجری وارد می‌شوند، کندن شیار افقی می‌تواند خطرناک باشد و لذا استفاده از کلافهای افقی ایجاد شده با روکش بتنی توصیه نمی‌شود.

در موردی که ایجاد روکش در سطوح بیرونی ممکن نباشد باید سطوح داخلی را روکش کرد. باید توجه داشت که در محل اتصال دیوار به سقف، روکش قطع می‌شود و در نتیجه نیروهای خمشی وارد به روکش در طبقه بالا به طبقه پایین منتقل نمی‌شوند.

برای رفع این نقص می‌باید در نقاطی غیر از تکیه‌گاه تیرها، آجرهای سقف برداشته و میلگردها را از آن عبور داد تا دیوار برشی به صورت شکل ۲۱-۸ درآید. همچنین می‌توان از نبشی‌های زیر و روی سقف استفاده نمود این نبشی‌ها توسط بولت به یکدیگر متصل شده و میلگرهای روکش بتنی به آنها جوش می‌شوند.



شکل ۸-۲۱-۸ - اجرای روکش بتنی برای طبقات

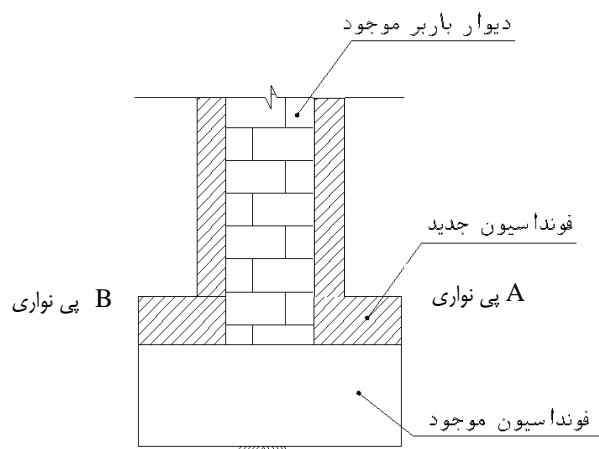
باید توجه داشت که میلگردهای قائم نیز باید به پی متصل شوند.

نکته: چنانچه هر دو سطح دیوار آجری روکش شود، مقاومت جانبی بسیار بهتری حاصل می‌شود، به ویژه اگر این دو روکش با سوراخ کردن دیوار و قراردادن میلگرد رابط به هم وصل شوند.

#### ۸-۴-۲-۱- تقویت پی دیوارهای روکش شده

نیروی افقی حاصل از زلزله که به دیوارهای روکش شده وارد می‌شود باید به زمین منتقل گردد. بدین منظور می‌توانیم از ایجاد پی نواری بتنی روی فونداسیون دیوار موجود استفاده نماییم.

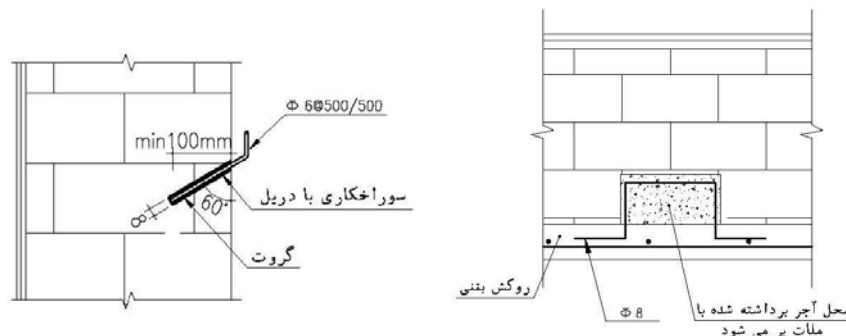
در دیوارهایی که دو طرفشان روکش شده، در دو سمت دیوار پی نواری بتنی A و B را قرار داده و به منظور حفظ انسجام مجموعه، در فواصل معینی دیوار را سوراخ کرده و دو قسمت را به هم متصل می‌کنیم (شکل ۸-۲۲).



شکل ۸-۲۲-۸ - فونداسیون روکش بتنی

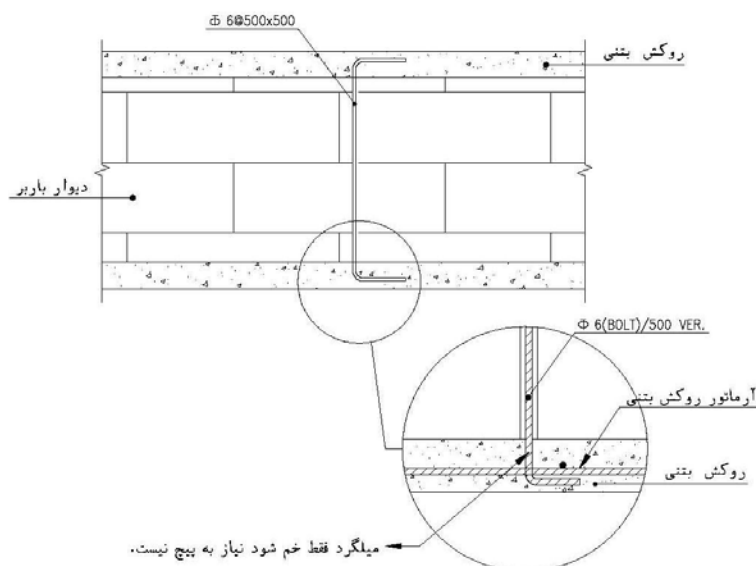
#### ۲-۲-۴-۸- اتصال میلگردهای روکش بتنی به دیوار بنایی

برای اتصال شبکه آرماتورها به دیوار از برشگیرهایی که به دیوار متصل می‌شوند استفاده می‌گردد. این برشگیرها با زاویه‌ای به دیوار متصل شده و اطراف آنها با گروت پر می‌شود. جهت اتصال بهتر شبکه آرماتور بهتر است برشگیرها به صورت عصایی شکل خم شوند (شکل ۲۳-۸).



شکل ۲۳-۸- نمونه‌ای از اتصال شبکه آرماتورهای روکش بتنی به دیوار(برشگیرها)

در روکش‌های دوره برای اتصال میلگردهای روکش بتنی از میلگردهایی که از داخل دیوار عبور می‌کنند، مطابق شکل ۲۴-۸ استفاده می‌کنند.

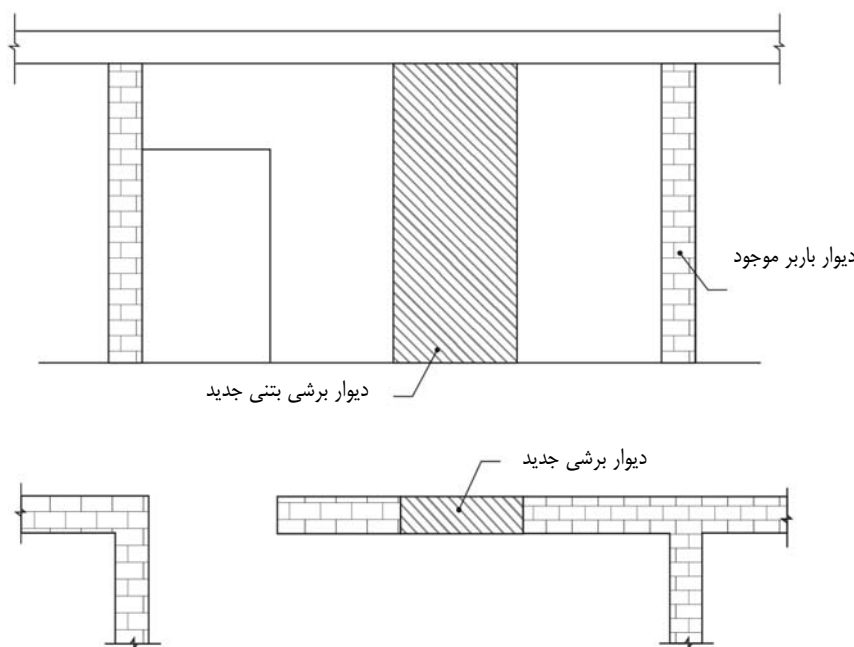


شکل ۲۴-۸- نمونه‌ای از اتصال روکش دوره

#### ۳-۴-۸- تعییه دیوار برشی

پس از اینکه سقف را یکپارچه (صلب) ساختیم، می‌توانیم با استفاده از دیوارهای برشی ساختمان را در یک یا هر دوچهت مقاوم کنیم. برای مقاوم‌سازی به این روش ابتدا باید بخشی از دیوار موجود را برداشته و بجای آن دیوار برشی بتنی مسلح ساخته شود. (شکل ۲۵-۸).

مقاومت این دیوار برشی با استفاده از روش‌های محاسباتی موجود برای دیوار بتن مسلح محاسبه می‌شود.



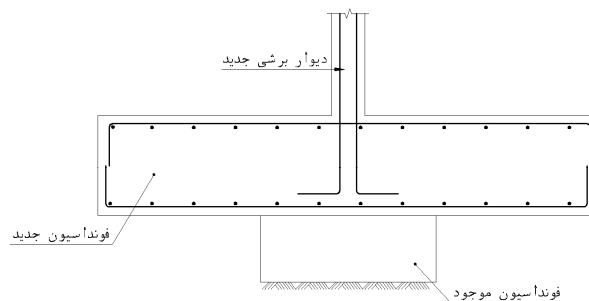
شکل ۲۵-۸ - جایگزین کردن دیوار برشی جدید به جای دیوار بنایی

#### ۴-۳-۱- اتصال دیوارهای برشی در طبقات

چنانچه دیوار برشی در بیش از یک طبقه از ساختمان امتداد داشته باشد باید حتماً از سقف عبور نماید و با طبقه بعدی به طور یکپارچه عمل کند. بدین منظور باید سقف را تراشید و میلگردها را عبور داد؛ در صورت وجود تیرآهن در سرراه، آن را درون بتن غرق می‌کنیم (به طور کامل اطراف آنرا بتن فرا می‌گیرد).

#### ۴-۳-۲- پی دیوارهای برشی

دیوارهای برشی به دلیل مقاومت فوق العاده‌شان، برای تحمل نیروی زلزله بخش بزرگی از ساختمان کافی هستند. به همین سبب مسئله مهم در مورد آنها طراحی پی است که باید این نیروی بزرگ را به زمین منتقل کند. توصیه می‌شود بجای تعريض پی دیوارهای موجود، بخشی از کف اتاق را مطابق شکل ۲۶-۸ بتن‌ریزی کرد و آن را به عنوان پی دیوار برشی مورد استفاده قرارداد.



شکل ۲۶-۸ - پی جدید دیوار برشی

### ۴-۳-۳-۴-۸- مقایسه روش تقویت روکش بتنی با روش تعییه دیوار برشی

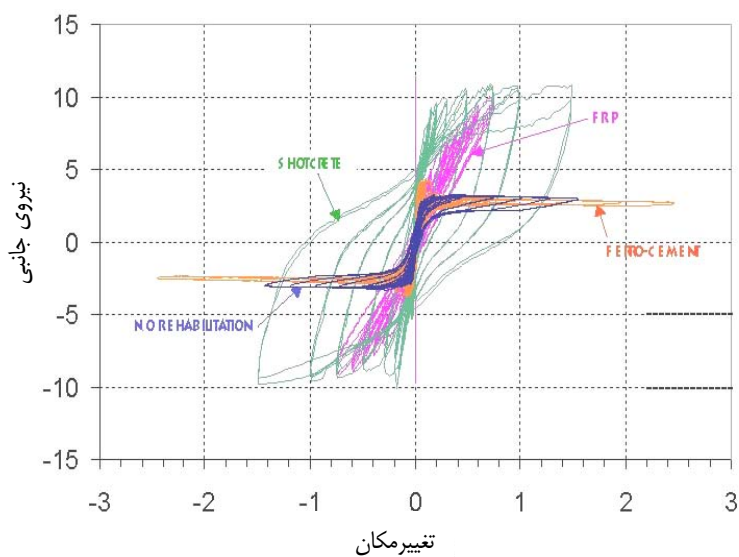
اگر از روش تقویت روکش بتنی استفاده نماییم، اولاً دیوارهای موجود تخریب نمی‌گردند و ثانیاً از دیوار آجری قدیمی به عنوان قالب استفاده می‌شود.

استفاده از روکش بتنی و دیوارهای برشی باعث افزایش وزن ساختمان می‌گردد برای اینکه دیوارهای برشی بتوانند نیروی جانبی ساختمان را به طور کامل تحمل کنند باید سقف سازه صلب باشد ولی در روکش بتنی نیاز به صلب بودن سقف نمی‌باشد.

اگر از روش دیوار برشی استفاده شود برای دیوارهای آجری باقیمانده با طول بیش از ۵ متر نیاز به تعییه کلاف قائم داریم ولی در روش روکش بتنی کلاف قائم نیز به وجود می‌آید.

در روش اجرای دیوار بتنی از فضای اطاقها کاسته نمی‌شود ولی در روش روکش بتنی از فضای اطاقها به علت افزایش ضخامت دیوار کاسته می‌شود.

در شکل ۲۷-۸ ظرفیت شکل‌پذیری روش‌های فوق با یکدیگر مقایسه شده است.

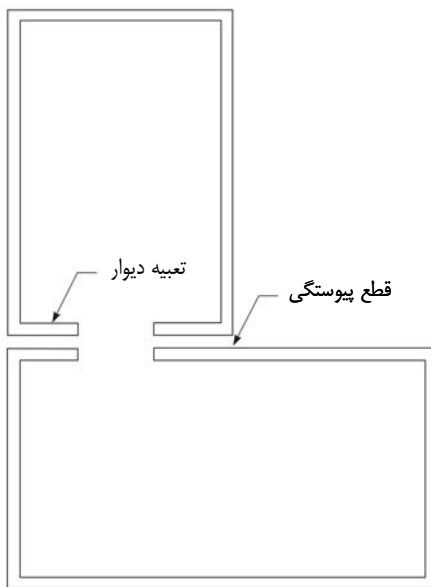


شکل ۲۷-۸- مقایسه رفتار روکش بتنی، FRP و دیوار برشی

### ۴-۴-۸- استقرار دیوارهای جدید

در حین زلزله، ساختمانهای نامتقارن در معرض اثرات پیچش واقع می‌شوند. با جداسازی قسمتهایی از ساختمان می‌توان مرکز جرم را بر مرکز سختی منطبق نمود که در این صورت پیچش در ساختمان اتفاق نمی‌افتد. همچنین با ایجاد دیوارهای جدید (مصالح بنایی) مانند شکل ۲۸-۸ می‌توان واحدهایی را به طور اختصاصی قرینه نمود.

ضمناً استقرار دیوارهای متقاطع، قدرت برابری بیشتری برای دیوارهای طویل ساختمانهای نظیر خوابگاهها، مدارس و غیره فراهم می‌نماید. تنها باید دقت شود که تغییرات معماری بوجود آمده باعث از بین رفن کاربری‌های مدنظر نگردد.



شکل ۸-۲۸ - ایجاد دیوار جدید و رفع نامنظمی در پلان

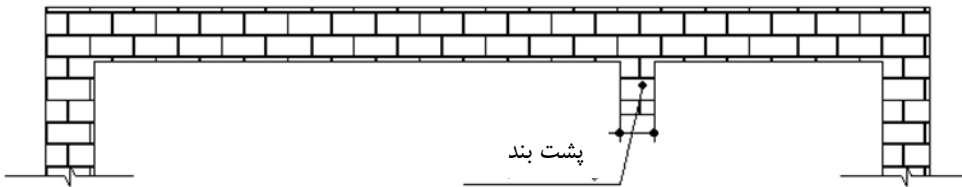
مساله اصلی در این چنین اصلاحاتی، ایجاد گیرداری بین دیوارهای جدید و قدیم می‌باشد. عموماً با استفاده از کلیدهای فولادی و بتنی تعییه شده در دیوارهای قدیمی این گیرداری تأمین می‌شود.

در استقرار دیوارهای جدید باید به یک نکته توجه داشت که دیوار جدید باید در طول مدت بهره‌برداری ساختمان مستقر بوده و هیچگاه برداشته نشود. بنابراین در مقاومسازی ساختمانهایی که امکان تغییر کاربری دارند باید همواره به این نکته توجه نمود که پس از تغییرات کاربری دیوارهای جدید از معماری ساختمان حذف نشود.

#### ۸-۴-۵- استفاده از پشت بند

دیوارهای عمود بر دیوار سازه‌ای، پشت‌بند نامیده می‌شود که از شکست و جداشدن دیوارهای طویل جلوگیری می‌کند. براساس آیین‌نامه ۲۸۰۰ ایران، دیواری به عنوان پشت‌بند تلقی می‌شود که ضخامت آن حداقل ۲۰ سانتیمتر و طول آن با

احتساب ضخامت دیوار سازه‌ای حداقل برابر  $\frac{1}{6}$  بزرگترین دهانه طرفین پشت‌بند باشد.



شکل ۸-۲۹ - ایجاد پشت بند

آین نامه ۲۸۰۰ ایران حداکثر طول مجاز دیوار سازه‌ای بین دو پشت‌بند را ۳۰ برابر خشامت آن معرفی می‌نماید مشروط برآنکه این مقدار از ۸ متر تجاوز نکند. در حالتی که دیوار سازه‌ای، شرایط ذکر شده را ارضانکند و یا از نظر مقاومت خمی (پرتاب خارج از صفحه دیوار) ضعیف باشد می‌توانیم با ایجاد پشت‌بندهای جدید و مهار آن به نحو مناسبی با دیوار سازه‌ای، طول دیوار سازه‌ای را کاهش داده و ساختمان را تقویت نماییم.

برای اتصال پشت‌بند به دیوار، بهتر است از میلگردات مهاری به عنوان گیره استفاده شود. گیره‌ها هر چند رج در میان، دو دیوار را به یکدیگر متصل می‌نمایند و در مقایسه با رفتار اتصال آجر به آجر (هشت گیر) در زلزله، از نرمی بیشتری برخوردارند و در تمام مدت زلزله پایدار باقی می‌ماند.

#### ۶-۴-۶- تزریق صفحه اپوکسی یا ملات

تکنیک تزریق صفحه اپوکسی برای مقاومت‌سازی سازه‌های بتُنی و بنایی بکار گرفته می‌شود. هدف این تکنیک پر نمودن ترکها و در نتیجه رفع نواقص پیوستگی بین قسمتهای مختلف ناشی از ترکهای است.

همچنین در کشور ما، به هنگام آجرجینی دیوارهای بنایی، درزهای قائم بین آجرها توسط ملات کاملاً پر نمی‌شوند. روش‌های تزریق صفحه یا ملات علاوه بر پرکردن ترکها، باعث پرشدن این درزها نیز می‌گردد. به نظر می‌رسد این عمل مقاومت دیوار در مقابل گسیختگی خارج از صفحه را تا چندین برابر افزایش دهد.

ملات‌ها ترکیبی از سیمان پرتلند، آهک و آب، با اسلامپ بالا هستند. ملات‌ها را در درزها و ترکهای با عرض بزرگتر از ۳ میلیمتر و اکثراً در مواقعی که مسائل اقتصادی مهم است، بجای اپوکسی به کار می‌برند. ترکهای ریزتر با ژل اپوکسی یا به صورت خشک پر می‌شوند. سپس ملات بنایی با فشار پایین، درون حفره‌های سازه پمپاژ می‌شوند. در این عملیات مقدار قابل توجهی از مواد، درون درزها و حفره‌های بین واحدهای آجری جریان می‌یابد. اسلامپ بالا برای جریان انداختن ملات درون ترکها و همچنین آب کافی در ملات برای هیدراسیون سیمان پس از جذب آب آن توسط آجرها یا بلوکهای مورد نیاز می‌باشد.

تزریق اپوکسی چسبناک در ترکهای با عرض ۱۲/۰ میلیمتر امکان‌پذیر می‌باشد. اما مصالح اپوکسی برای ترمیم سازه‌های بنایی بسیار گران تمام می‌شود. زیرا اپوکسی درون تمام حفره‌ها، سوراخها و درزها به همان خوبی ترکها جریان می‌باید و مصرف را بالا می‌برد. این نوع جریان نیازمند مقدار زیادی اپوکسی است که هزینه بالایی دارد. مقاومت کششی صفحه‌های اپوکسی تا ۳۵ مگاپاسکال (۳۵۰ کیلوگرم بر سانتیمترمربع) نیز می‌باشد.

#### ۷-۴-۷- تعییه کلافهای قائم

پس از تسلیح، موثرترین روش مقاومت‌سازی دیوارهای بنایی ایجاد کلاف پیرامون آنها می‌باشد. در این صورت دیوار کلاف بندی شده عملاً مانند قاب مرکب رفتار کرده و عضو لرزه‌ای تلقی می‌گردد، از آن گذشته ایجاد کلاف بندی به انسجام و یکپارچگی ساختمان نیز کمک می‌نماید.

چنانچه در ساختمان، کلاف افقی در بالا و پایین دیوارها موجود باشد، اجرای کلاف قائم بسیار راحت خواهد بود. در این صورت در فواصل ۳ متری شیارهای قائمی در دیوارها ایجاد شده، آنگاه سوراخهای قائمی نیز داخل کلافهای افقی جهت عبور میلگردها در محل اتصال با کلاف قائم تعییه می‌گردد.

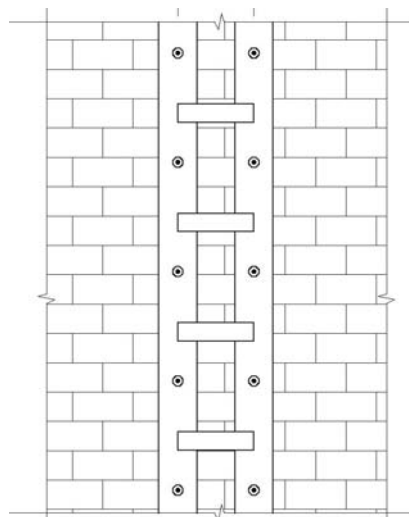
میلگردهای طولی در کلاف قائم از سوراخهای تعییه شده در کلافهای افقی عبور و اطراف آنها با دوغاب سیمان، گروت و یا انواع ملاتهای منبسط شونده پر می‌گردد. از شیارهای ایجاد شده در دیوار نیز به عنوان قالب بتن استفاده می‌شود.

مجموعه ایجاد شده قاب بتنی را تشکیل می‌دهند که دیوار بنایی را در بر می‌گیرد. ابعاد و سایر مشخصات کلافها باید با خوباب مندرج در آین نامه ۲۸۰۰ ایران تطبیق داشته باشد.

برای اجرای کلاف قائم در وسط دیوارها می‌توان از دو ورق به عرض ۱۰ سانتیمتر و ضخامت ۵ میلیمتر در دو طرف دیوار استفاده کرد. این ورق‌ها در فواصل ۵۰ سانتیمتری باید توسط میلگرد به دیوار متصل شوند. این دو ورق با بستهایی با ابعاد متناسب در هر ۵۰ سانتیمتر به یکدیگر متصل می‌شوند.

مراحل اجرا به صورت زیر می‌باشد:

- نازک کاری در محل اجرا برداشته می‌شود.
  - سوراخهای سرتاسری به قطر ۸ میلیمتر در فواصل ۵۰ سانتیمتری از یکدیگر ایجاد می‌شوند.
  - سوراخهای مناسب در ورق برای اتصال ورقهای کلاف به دیوار ایجاد می‌شوند.
  - ورقهای یک طرف دیوار بوسیله آرماتورهای رابط به فواصل ۵۰ سانتیمتر به دیوار نصب می‌شوند.
  - از سمت دیگر آرماتورهای داخل کلاف با ملات مناسب منبسط شونده یا گروت پر شده و ورقهای آن نصب می‌شوند.
- نحوه نصب پروفیل در دو طرف دیوار به یکدیگر به گونه‌ای باشد که در صورت جابجایی المان بنایی انسجام کلاف تعییه شده حفظ شود.



شکل ۸-۳۰- ایجاد کلاف قائم توسط ورقهای فولادی

## ۸-۵-۸- بہسازی سیستم سازه‌ای ساختمان از طریق کامل نمودن مسیر بار، رفع نامنظمی‌ها در پلان یا ارتفاع

مطالعه رفتار ساختمان‌ها در زلزله‌های گذشته نشان می‌دهد که عملکرد ساختمان‌ها نسبت به تغییرات کوچکی در مقابله با این تغییرات متفاوت است. بسیار حساس می‌باشد و انقطاع در مسیر انتقال بار و همچنین نامنظمی در پلان و ارتفاع منجر به خرابی سازه می‌گردد. برای رفع نامنظمی و کامل نمودن مسیر انتقال بار مطابق فصل سوم عمل می‌گردد و در اینجا تنها به موارد نامنظمی ساختمان اشاره می‌گردد.

### ۸-۵-۸-۱- نامنظمی در پلان

نامنظمی در پلان ساختمان، باعث تولید نیروهای پیچشی در ساختمان تحت اثر نیروهای جانبی می‌گردد. این نیروهای پیچشی به همراه نیروهای افقی ناشی از انتقال جانبی ساختمان، باعث وارد آمدن نیروهای اضافی قابل ملاحظه‌ای بر عناصر باربر سازه‌ای گشته و می‌تواند منجر به خرابی گردد. مطابق با بند ۱-۱-۸-۱ آین نامه ۲۸۰۰، ساختمان‌هایی با مشخصات ذیل در گروه ساختمان‌های منظم در پلان قرار می‌گیرند:

۱- پلان ساختمان دارای شکل متقارن و یا تقریباً متقارن نسبت به محورهای اصلی ساختمان، که معمولاً عناصر مقاوم در

برابر زلزله، در امتداد آن‌ها قرار دارند، باشد و در صورت وجود فرورفتگی یا پیشامدگی در پلان، اندازه آن در هر امتداد از

درصد بعد خارجی ساختمان در آن امتداد تجاوز ننماید.

۲- در هر طبقه فاصله بین مرکز چرم و مرکز سختی در هر یک از دو امتداد متعامد ساختمان از ۲۰ درصد بعد ساختمان در

آن امتداد بیشتر نباشد.

۳- تغییرات ناگهانی در سختی دیافراگم هر طبقه نسبت به طبقات مجاور از ۵۰ درصد بیشتر نبوده و مجموع سطوح بازشو از

۵۰ درصد سطح کل دیافراگم تجاوز ننماید.

۴- در مسیر انتقال نیروی جانبی به زمین انقطعی مانند تغییر صفحه اجزای باربر جانبی در طبقات وجود نداشته باشد.

۵- در هر طبقه حداقل تغییر مکان نسبی در انتهای ساختمان، با احتساب پیچش تصادفی، بیشتر از ۲۰ درصد با متوسط

تغییر مکان نسبی دو انتهای ساختمان در آن طبقه اختلاف نداشته باشد.

### ۸-۵-۸-۲- نامنظمی در ارتفاع

نامنظمی قائم در ساختمانها شامل طبقه ضعیف، نامنظمی هندسی و نامنظمی در وزن طبقات می‌باشد که سبب اعمال نیروی قابل ملاحظه اضافی به برخی از اعضاء در این طبقات می‌گردد.

مطابق با بند ۱-۱-۸-۱ آین نامه ۲۸۰۰، اختمان‌های با مشخصات زیر در گروه ساختمان‌های منظم در ارتفاع قرار می‌گیرند:

۱- توزیع چرم در ارتفاع ساختمان، تقریباً یکنواخت باشد بطوریکه چرم هیچ طبقه‌ای، به استثنای بام و خرپشته بام

نسبت به چرم طبقه زیر خود بیشتر از ۵۰ درصد تغییر نداشته باشد.

- ۲ سختی جانبی در هیچ طبقه‌ای کمتر از ۷۰ درصد سختی جانبی طبقه روی خود و یا کمتر از ۸۰ درصد متوسط سختی ۳ طبقه روی خود نباشد، به عبارت دیگر هیچ طبقه‌ای نرم نباشد.
- ۳ مقاومت جانبی هیچ طبقه‌ای کمتر از ۸۰ درصد مقاومت جانبی طبقه روی خود نباشد (هیچ طبقه‌ای ضعیف نباشد) مقاومت هر طبقه برابر با مجموع مقاومت جانبی کلیه اجزای مقاومی است که برش طبقه را در جهت موردنظر تحمل می‌نمایند.

### مثال ۱-۸: مقاوم‌سازی ساختمان بنایی

ساختمان یک طبقه مصالح بنایی با کاربری آموزشی است. موقعیت این ساختمان در شهرستان کازرون استان فارس و خاک محل مطابق استاندارد ۲۸۰۰ از نوع II می‌باشد. ابعاد کلی پلان  $31 \times 16$  متر و سیستم مقاوم در برابر بارهای موجود ساختمان دیوارهای بنایی است و با توجه به بازدیدهای عینی انجام شده، این مدرسه در برابر زلزله سطح خطر ۱ آسیب‌پذیر می‌باشد. مطابق با آزمایشات انجام شده مقاومت برشی ملات برابر با  $25/0$  کیلوگرم بر سانتیمتر مربع در نظر گرفته می‌شود. ساختمان از آغاز ساخت دارای کاربری آموزشی بوده و با تعداد حدوداً ۲۰۰ نفر دانشآموز در مقطع راهنمایی در یک شیفت به سرویس‌دهی خود ادامه می‌دهد. زیربنای این سازه یک طبقه در حدود ۴۸۰ مترمربع است و مساحت بام آن بعلت وجود طریقه‌ها در طرفین ۵۲۱ مترمربع می‌باشد.

### ارزیابی کیفی

#### گروه‌بندی ساختمان

ساختمان در سال ۱۳۴۹ به بهره‌برداری رسیده است. با توجه به بند ۱-۷-۲-الف آیین‌نامه ۲۸۰۰، مدارس جزء ساختمان‌های با اهمیت زیاد، یعنی گروه ۲ آیین‌نامه می‌باشند و طبق جدول ۵ استاندارد ۲۸۰۰، دارای ضریب اهمیتی برابر  $1/2$  هستند.

### توزيع نسبی فضاهای

ساختمان دارای فضاهای مختلف با کاربری‌های ذیل می‌باشد:

| ردیف  | تیغه‌بندی | راهنو | آبدارخانه و سرویس بهداشتی | فضاهای اداری | کلاس                      | تعداد | مساحت ( $m^2$ ) | درصد از کل |
|-------|-----------|-------|---------------------------|--------------|---------------------------|-------|-----------------|------------|
| ۱     |           |       |                           |              | کلاس                      | ۷     | ۲۵۶             | ۵۳/۳       |
| ۲     |           |       |                           |              | فضاهای اداری              | ۱     | ۳۵              | ۷/۳        |
| ۳     |           |       |                           |              | آبدارخانه و سرویس بهداشتی | ۱     | ۱۰              | ۲/۱        |
| ۴     |           |       |                           |              | راهنو                     | --    | ۹۹              | ۲۰/۶       |
| ۵     |           |       |                           |              | تیغه‌بندی                 | --    | ۸۰              | ۱۶/۷       |
| مجموع |           |       |                           |              |                           |       | ۴۸۰             | ۱۰۰        |

### مشخصات معماری

خلاصه‌ای از مشخصات معماری ساختمان در جدول زیر آورده شده است:

| ردیف | نوع مشخصات              | شرح                            |
|------|-------------------------|--------------------------------|
| ۱    | طبقات                   | نadarد                         |
|      | زیرزمین                 | ۳/۹۶ متر                       |
| ۲    | ارتفاع                  | ۴۸۰ مترمربع                    |
|      | زیربنا                  | ۰/۵×۲ و ۰/۳×۰/۸ و ۰/۳×۲        |
| ۳    | ابعاد                   | ۰/۹×۳                          |
|      | دربها                   | نadarد                         |
| ۴    | دربها                   | درز انقطاع                     |
| ۵    | اجزای طره‌ای            | طره‌های سرتاسری به عرض ۰/۵ متر |
| ۶    | تیغه‌بندی ساختمان       | ۴۵ سانتی‌متری                  |
| ۷    | ارتفاع جان‌بناه         | ۳۰ سانتی‌متری                  |
| ۸    | سقف کاذب                | نadarد                         |
| ۹    | کفسازی                  | موزائیک                        |
| ۱۰   | عایق کاری بام           | ایزوگام                        |
| ۱۱   | دیوارهای پیرامونی       | ۴۵ سانتی‌متری                  |
| ۱۲   | موقعیت ساختمان در محوطه | شمال محوطه                     |
| ۱۳   | راه‌پله‌ها              | نadarد                         |
| ۱۴   | ابعاد کلی ساختمان       | ۳۱×۱۶                          |
| ۱۵   | راهروها                 | ۳ متری                         |
| ۱۶   | نما                     | سنگی                           |
| ۱۷   |                         |                                |

مواردی که در مشخصات فنی به آن‌ها پرداخته شده است به طور اجمالی در زیر آورده شده‌اند. اطلاعات مندرج در جدول با توجه به بازدیدهای انجام یافته، به دست آمده‌اند. لازم به ذکر است که توضیحات بیشتر راجع به مشخصات فنی در بخش پیکربندی آورده شده است.

### مشخصات فنی ساختمان

| ردیف | نوع مشخصات                  | شرح                                 |
|------|-----------------------------|-------------------------------------|
| ۱    | نوع اسکلت                   | دیوار بنایی با کلافبندی افقی و قائم |
| ۲    | سیستم سقف                   | طاق‌ضریبی                           |
| ۳    | سیستم مقاوم لرزه‌ای (جهت X) | دیوار بنایی                         |
| ۴    | سیستم مقاوم لرزه‌ای (جهت Y) | دیوار بنایی                         |
| ۵    | درجه اهمیت                  | زیاد                                |
| ۶    | نوع زمین                    | II                                  |
| ۷    | شتاب مبنای طرح              | ۰/۳                                 |
| ۸    | سیستم بی                    | نوواری                              |
| ۹    | مصالح سفتکاری               | آجرفشاری و ملات ماسه سیمان          |

## ارزیابی وضعیت اعضای سازه‌ای

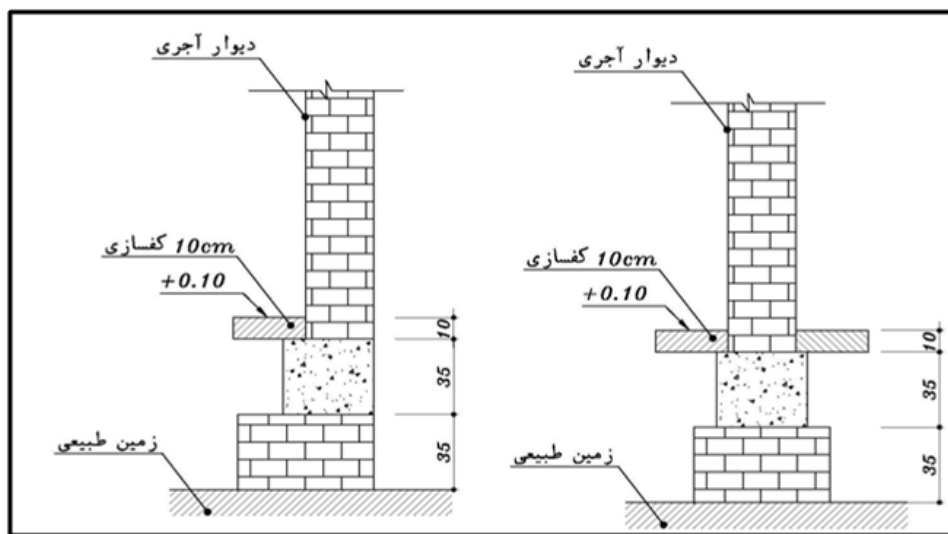
### سیستم باربر ثقلی

در این ساختمان جهت انتقال بارهای ثقلی از سیستم دیوارهای باربر بنایی استفاده شده است. دیوارهای موجود در ساختمان دارای ضخامت و وضعیت ظاهری تقریباً مناسبی هستند. در برخی دیوارها ترک خوردنگی‌هایی دیده شده است که ظاهراً مربوط به نازک کاری می‌باشد. به خصوص در اطراف بازشوها این ترکها مشهودتر است. در بعضی دیوارها بازشوهای بزرگ و غیر اصولی اجرا شده است.

## سیستم مقاوم لرزه‌ای

### دیوارهای آجری

در این ساختمان برای اجرای کرسی چینی و دیوارهای اصلی از آجر فشاری و ملات ماسه و سیمان استفاده شده است. با توجه به عملکرد این دیوارها، نوع مصالح بکاررفته و مقاومت برشی آنها از اهمیت خاصی برخوردار است. ضخامت دیوارهای اجرا شده در حدود ۴۰ سانتیمتر می‌باشد. با توجه به شناسایی انجام گرفته سیستم سازه‌ای ساختمان، دیوارهای بنایی با کلاف بتُنی است.



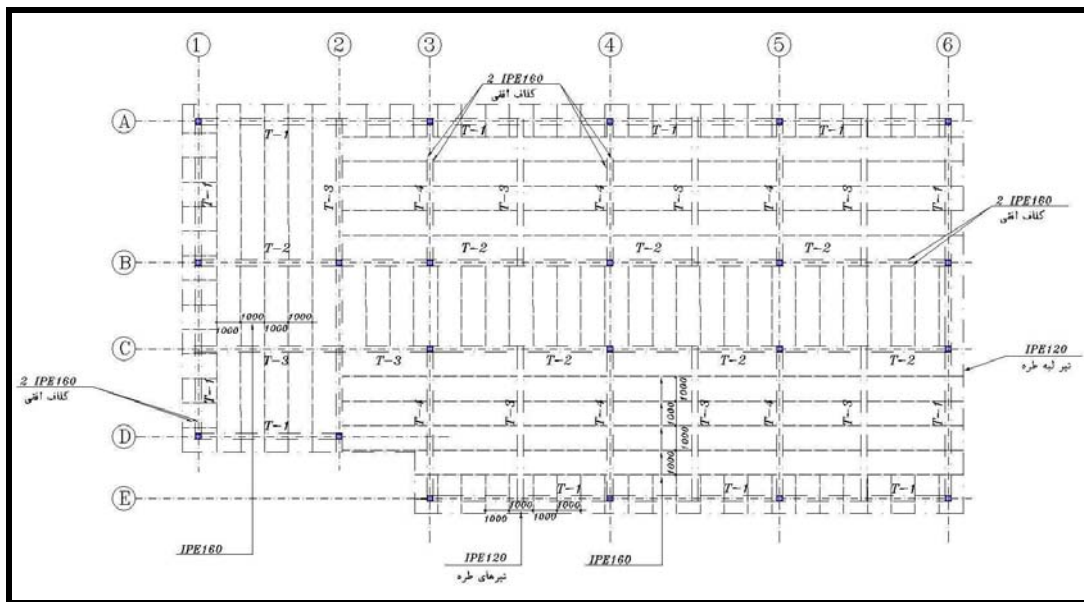
شکل مثال ۱-۸-الف-نمایش مقطع کلاف بتُنی موجود زیر دیوار

### پی‌ها

زیر فونداسیون کرسی چینی با عرض ۶۰ و ارتفاع ۳۵ سانتیمتر اجرا شده است. عرض فونداسیون ۴۰ سانتیمتر و ارتفاع آن ۳۵ سانتیمتر می‌باشد آرماتورهای طولی  $4\Phi 12 @ \geq 300mm$  در بالا و پایین و خاموت‌ها  $\Phi 8$  می‌باشند.

سیستم سقف

سیستم سقف از نوع طاق ضربی است و تیرچه‌ها بدون هیچ تمهدی بر روی دیوارهای ساختمان قرار گرفته‌اند.



### شکل مثال ۸-۱-ب- پلان تیریزی سقف طبقه

وضعیت پیکربندی

در این بخش موارد زیر مورد بررسی قرار گرفته است:

گروه‌بندی ساختمان از نظر سیستم سازه‌ای

گروه‌بندی ساختمان از نظر شکل

پیوستگی انتقال بار قائم

پیوستگی انتقال بار جانبی

## وضعیت ساختمان از لحاظ پیچش

انسحام سقف

## ۱- گروه‌بندی ساختمان از نظر سیستم سازه‌ای

مطالقه، با بند ۱-۹ آییننامه ۲۸۰۰، ساختمان، را از نظر سیستم سازه‌ای، ممکن توان، از گروه ساختمان‌های، با سیستم دیوارهای،

ما، بـ دانست.

#### ۲- گوهنی، ساختمان، از نظر شکا

- بلان: مطالية، با بند ۱-۱-۸-۱-۱ آیینه نامه ۲۸۰۰، مص. تهان ساختمان، را در بلان منظمه دانست.

- ارتفاع: مطابق با بند ۱-۸-۲ آیین نامه ۲۸۰۰، می‌توان ساختمان را در ارتفاع منظم دانست.

### ۳- پیوستگی مسیر انتقال بار قائم

طبق بند ۱-۵ آیین نامه ۲۸۰۰، عناصری که بارهای قائم را منتقل می‌کنند، باید در طبقات مختلف تا حد امکان بر روی هم قرار داده شوند تا انتقال بار این عناصر به یکدیگر با واسطه عناصر افقی صورت نگیرد. در این ساختمان هیچ‌گونه انقطاعی در مسیر انتقال بار قائم وجود ندارد.

### ۴- پیوستگی مسیر انتقال بار جانی

در این ساختمانها انفال در اعضای باربر جانی مشاهده نشده است، در نتیجه مسیر انتقال بارهای جانی دارای پیوستگی لازم خواهد بود.

### ۵- وضعیت ساختمان از نظر پیچش

با توجه به نحوه توزیع تقریباً یکنواخت و متقارن دیوارها، در ساختمان پیچش چندانی ایجاد نخواهد گردید.

### ۶- انسجام ساختمان

انسجام در سازه و رفتار یکپارچه آن بستگی به اعضاء، ترتیب انتقال بار از عضوی به عضو دیگر و توالی و نحوه آن، جزئیات اتصال بین اعضاء و کیفیت اجرای ساختمان دارد. سیستم سقف از نوع طاق‌ضریب انتخاب شده است که دارای صلابت و رفتار مناسب در هنگام وقوع زلزله نمی‌باشد، لذا بهسازی و مقاومسازی سقف امری ضروری می‌باشد. همچنین اتصال نامناسب تیرچه‌های سقف و دیوارها قادر به تامین انسجام بین اجزای باربر جانی نمی‌باشد.

## ارزیابی سیستم سازه‌ای ساختمان

### ۱- محاسبه نیروی برتری

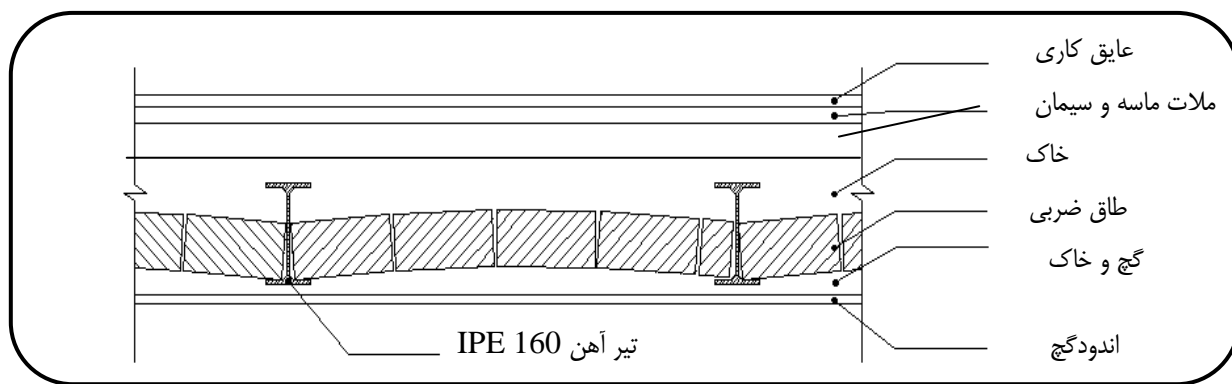
جهت محاسبه نیروی برتری، ابتدا بارهای ثقلی و جانی ساختمان تعیین می‌گردد، سپس براساس مقادیر بدست آمده نیروی برتری نیز محاسبه می‌گردد.

#### بارگذاری:

الف- بارهای ثقلی:

الف-۱- بار مرده:

بار مرده سقف: جزئیات سقف موجود ساختمان به شکل زیر می‌باشد:

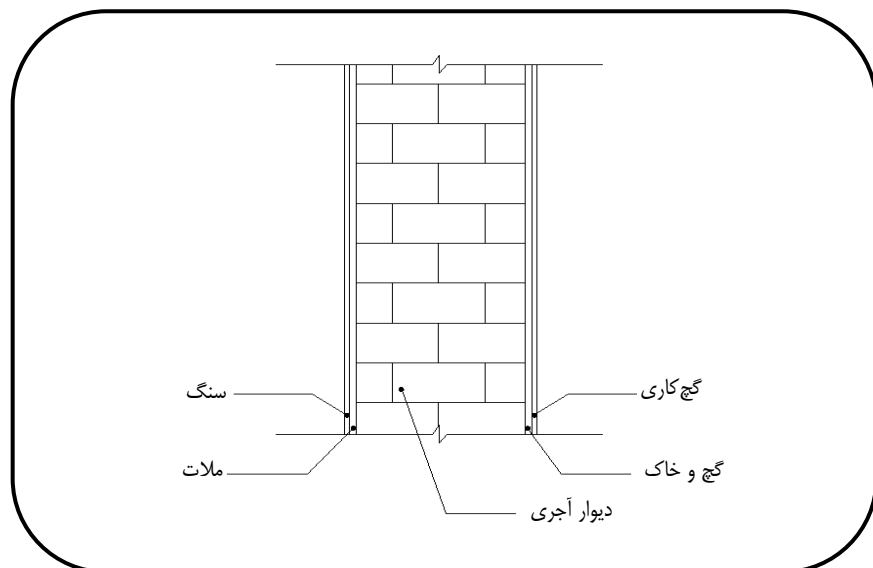


|                   |  |
|-------------------|--|
| عایق کاری         | $15 \text{ kg/m}^2$  |
| ملات ماسه و سیمان | $0.1 \times 2400 = 240 \text{ kg/m}^2$                     |
| خاک               | $\frac{1}{2}(0.06+0.03) \times 1700 = 76.5 \text{ kg/m}^2$ |
| سقف طاق ضربی      | $213 \text{ kg/m}^2$                                       |
| گچ و خاک          | $0.035 \times 1600 = 56 \text{ kg/m}^2$                    |
| اندود گچ          | $0.015 \times 1300 = 19.5 \text{ kg/m}^2$                  |

مجموع  $620 \text{ kg/m}^2$

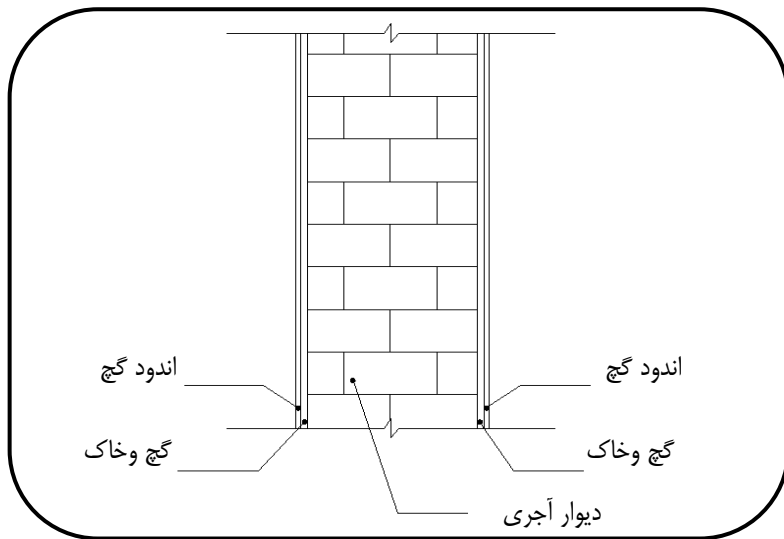
- بار مرده دیوارها :

الف) دیوارهای پیرامونی با ضخامت ۴۵ سانتیمتر مطابق جزئیات زیر :



|            |   |
|------------|---|
| گچ و خاک   | $0.03 \times 1600 = 48 \quad kg / m^2$    |
| گچ کاری    | $0.02 \times 1300 = 26 \quad kg / m^2$    |
| دیوار آجری | $0.35 \times 1850 = 647.5 \quad kg / m^2$ |
| سنگ        | $0.02 \times 2700 = 54 \quad kg / m^2$    |
| ملات       | $0.03 \times 2100 = 63 \quad kg / m^2$    |
| <hr/>      |   |
| مجموع      | $838.5 \quad kg / m^2$                    |

(ب) دیوارهای داخلی با ضخامت ۴۵ سانتی متر



$$\text{دیوار آجری} \quad 0.35 \times 1850 = 647.5 \quad kg / m^2$$

$$\text{گل و گچ} \quad 0.06 \times 1600 = 96 \quad kg / m^2$$

$$\text{گچ} \quad 0.04 \times 1300 = 52 \quad kg / m^2$$

---


$$\text{مجموع (ضخامت ۴۵ سانتیمتر)} \quad 795.5 \quad kg / m^2$$

الف-۲- بارهای زنده:

- بار زنده بام:

با توجه به قرارگیری منطقه در مراکز با بار برف مبنای متوسط، طبق بند ۲-۴-۶ مبحث ششم حداقل بار برف برای این ساختمان برابر با  $kg/m^2$  ۱۰۰ در نظر گرفته می‌شود و همچنین مطابق با جدول شماره ۱-۳-۶ مبحث فوق حداقل بار زنده بامهای تخت که به عنوان محل تجمع مورد استفاده قرار نمی‌گیرند برابر با  $kg/m^2$  ۱۵۰ می‌باشد.

ب- بارهای جانبی

ب-۱- بار باد:

با توجه به ارتفاع کم ساختمان صرفاً بار زلزله به عنوان بار جانبی در نظر گرفته می‌شود و از محاسبه بار باد صرفنظر می‌شود.

ب-۲- بار زلزله:

برای ارزیابی کفایت مقاومت برشی ساختمان، طبق بند ۶-۷-۱-۲-۲ دستورالعمل بهسازی ظرفیت برشی دیوارها و حداقل نیروی برش پایه ساختمان در هر یک از امتدادهای اصلی ساختمان با استفاده از رابطه زیر محاسبه می‌گردد.

$$V = 0.33 IAW$$

که در آن:

$$V = \text{نیروی برش پایه}$$

$$A = \text{شتاب مبنای طرح}$$

$$I = \text{ضریب اهمیت ساختمان}$$

$$W = \text{وزن ساختمان شامل بارهای مرده و درصدی از بار زنده}$$

نیروی برش پایه براساس رابطه زیر در طبقات ساختمان توزیع می‌گردد.

$$f_i = \frac{w_i h_i}{\sum_1^n w_i h_i} V$$

که در آن:

$$f_i = \text{نیروی جانبی در تراز طبقه } i$$

$$W_i = \text{وزن طبقه } i \text{ (وزن سقف و سریارزنه و نصف وزن دیوارهایی که در بالا و پایین سقف قرار دارند)}$$

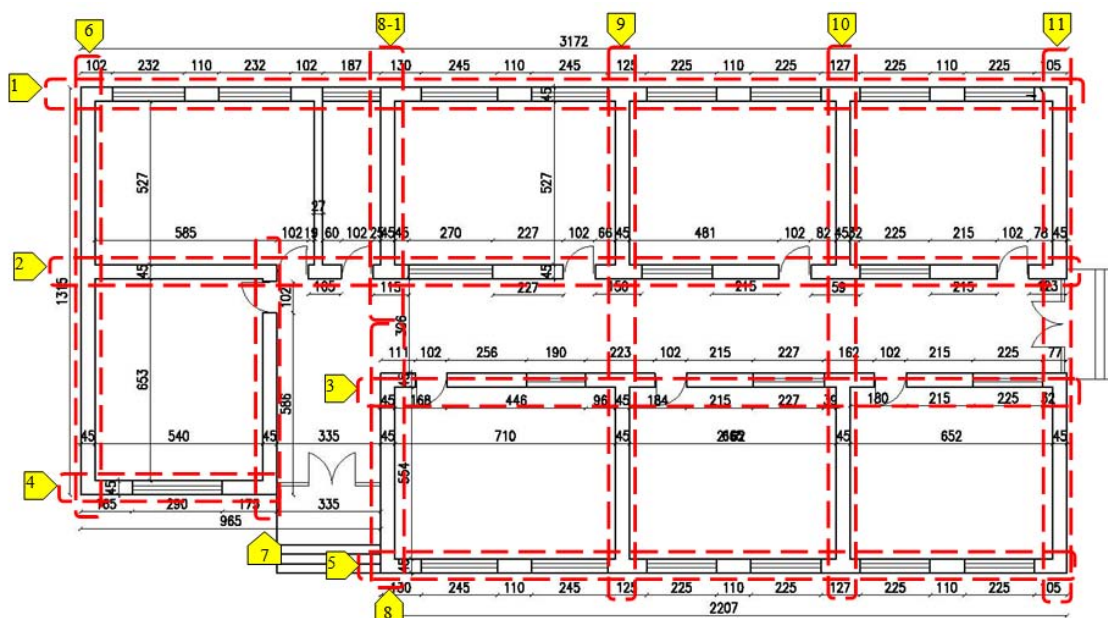
$$h_i = \text{ارتفاع سقف طبقه } i \text{ از تراز پایه}$$

$$n = \text{تعداد طبقات ساختمان}$$

## محاسبه وزن ساختمان

الف: وزن دیوارها

با توجه به مقدادر بدست آمده از بارگذاری فوق برای دیوارهای ساختمان وزن دیوارها به صورت زیر محاسبه می‌گردد.



شکل مثال ۱-۸-پ- نامگذاری دیوارهای ساختمان

## وزن دیوارهای ساختمان

| محل دیوارها             | شماره دیوار | مساحت بازشوها (m <sup>2</sup> ) | مساحت کل دیوار (m <sup>2</sup> ) | مساحت خالص دیوار (m <sup>2</sup> ) | وزن واحد سطح دیوار kg/m <sup>2</sup> | وزن کل دیوار kg |
|-------------------------|-------------|---------------------------------|----------------------------------|------------------------------------|--------------------------------------|-----------------|
| پیرامونی                | 1           | 38.78                           | 104.68                           | 65.90                              | 838.50                               | 55253.80        |
| داخلی                   | 2           | 21.38                           | 104.68                           | 83.30                              | 795.50                               | 66261.97        |
| داخلی                   | 3           | 14.49                           | 72.83                            | 58.34                              | 795.50                               | 46410.27        |
| داخلی                   | 4           | 5.51                            | 20.79                            | 15.28                              | 795.50                               | 12155.24        |
| پیرامونی                | 5           | 26.41                           | 72.83                            | 46.42                              | 838.50                               | 38924.01        |
| پیرامونی                | 6           | 0.00                            | 43.40                            | 43.40                              | 838.50                               | 36386.71        |
| داخلی                   | 7           | 3.12                            | 24.68                            | 21.56                              | 795.50                               | 17153.21        |
| داخلی                   | 8           | 10.10                           | 51.71                            | 41.61                              | 795.50                               | 33103.14        |
| داخلی                   | 9           | 10.10                           | 51.71                            | 41.61                              | 795.50                               | 33101.55        |
| داخلی                   | 10          | 10.10                           | 51.71                            | 41.61                              | 795.50                               | 33101.55        |
| پیرامونی                | 11          | 10.10                           | 51.71                            | 41.61                              | 838.50                               | 34890.82        |
| داخلی                   | 12          | تیغه های موجود ساختمان          |                                  |                                    |                                      | 8686.00         |
| مجموع وزن دیوارها (ton) |             |                                 |                                  |                                    |                                      | 415.43          |

ب- محاسبه وزن لرزه ای ساختمان

وزن از رابطه روپرتو بدست می‌آید:

$$W = A \times (DL + \lambda LL) + W_{wall}$$

$=$  بار مرده  $DL$

$=$  بار زنده  $LL$

$\lambda$  = درصد مشارکت بار زنده طبق بند جدول ۱ فصل ۲ آینین نامه ۲۸۰۰

$W_{wall}$  = وزن دیوارها متشکل از نیمی از وزن دیوارهایی که در بالا و پایین سقف طبقه قرار دارند.

$$A_{roof} = 521 m^2 \quad Dl = 620 \frac{kg}{m^2} \quad Ll = 150 kg / m^2 \quad \lambda = 0.2$$

$$W_{wall} = 0.5 \times 415.43 = 207.715 \text{ ton}$$

$$W_{side} = 89.13 \times 0.30 \times 0.30 \times 1850 = 14.840 \text{ ton}$$

$$w = 14.84 + 207.715 + 521 \times [0.620 + (0.2 \times 0.150)] = 561.205 \text{ ton}$$

نیروی برش پایه برابر است با:

$$v = 0.33 \times 0.30 \times 1.2 \times 561.205 = 66.671 \text{ ton}$$

به علت یک طبقه بودن نیروی برشی در ترازهای مختلف ارتفاعی تقسیم نمی‌شود.

### ۳- کفایت دیوارهای ساختمان موجود

طبق بند ۷-۶-۲-۲ دستورالعمل بهسازی ساختمانهای موجود مجموع سطح مقطع دیوار در هر طبقه از مقداری

که از رابطه زیر محاسبه می‌گردد نباید کمتر باشد در غیراین صورت ساختمان به لحاظ کافی نبودن مقاومت برشی آسیب‌پذیر می‌باشد.

$$A_i = \frac{V_i}{V_a}$$

$A_i$  = مجموع سطح مقطع دیوارهای طبقه  $i$  ام

$V_i$  = نیروی برشی طبقه  $i$  ام

$V_a$  = تنش مجاز برشی دیوار که از رابطه زیر محاسبه می‌شود

(طبق بند ۷-۶-۲-۲ دستورالعمل بهسازی)

$$V_a = 0.1V_t + 0.15\sigma_c \leq 6 \text{ kg/cm}^2$$

تنش ناشی از وزن دیوار به طور میانگین برابر است با:

$$\sigma_c = 0.33 \text{ kg/cm}^2$$

تنش برشی دیوارهای مصالح بنایی  $0.25 \text{ kg/cm}^2$  محسوب می‌گردد. در نتیجه:

$$V_a = 0.1 \times 0.25 + 0.15 \times 0.33 = 0.0745 \text{ kg/cm}^2$$

$$A_{req1} = \frac{66671}{0.0745} = 894912.8 \text{ cm}^2 = 90 \text{ m}^2$$

سطح مقطع دیوارهای موجود در ساختمان در هر راستا نباید از ۷۵٪ مقادیر مجاز دیوار نسبی مطابق استاندارد ۲۸۰۰ و مقدار محاسبه شده فوق کمتر باشد. مطابق بند ۶-۱-۲-۲-۱-۶ دستورالعمل بهسازی دیوارهایی که مقاومت برشی ملات آنها کمتر از ۲ کیلوگرم بر سانتیمترمربع است شرایط حداقل کیفیت ملات را دارا نیستند و به لحاظ مقاومت برشی آسیب‌پذیرند، دیوارهای ساختمان مورد مطالعه، مقاومت برشی ملات کمتر از ۲ کیلوگرم بر سانتیمتر مربع دارند و از این لحاظ آسیب پذیرند.

#### بررسی دیوار نسبی:

حداقل دیوار نسبی در هر امتداد ساختمان برای ساختمان‌های آجری ۱ طبقه نباید از ۷۵٪ مقادیر جدول زیر کمتر باشد:

#### حداقل دیوار نسبی در هر امتداد ساختمان‌های آجری

| طبقه       | زیرزمین | همکف | اول |
|------------|---------|------|-----|
| دیوار نسبی | ۶٪      | ۴٪   | --  |

دیوارهای بالا و پایین بازشوها در محاسبه دیوار نسبی منظور نمی‌شود. همچنین دیوارهایی که شروط کنترل کننده بازشوها را نیز ارضاء نمی‌کنند (کنترلهای انجام شده در بند ۶ ارزیابی دیوارهای باربر) جز بازشو محاسبه می‌گردند.

#### دیوارهای نسبی در راستای طولی

| مساحت دیوار ( $\text{m}^2$ ) | ضخامت مؤثر دیوار (m)                | طول خالص (m) | طول کل دیوار (m) | طول آسیب‌پذیر دیوار (m) | طول بازشو (m) | دیوارهای امتداد طولی |
|------------------------------|-------------------------------------|--------------|------------------|-------------------------|---------------|----------------------|
| 1.624                        | 0.35                                | 4.64         | 31.72            | 6.67                    | 20.41         | 1                    |
| 6.422                        | 0.35                                | 18.35        | 31.72            | 1.05                    | 12.32         | 2                    |
| 4.406                        | 0.35                                | 12.59        | 22.07            | 0.00                    | 9.48          | 3                    |
| 1.19                         | 0.35                                | 3.40         | 6.30             | 0.00                    | 2.90          | 4                    |
| 1.267                        | 0.35                                | 3.62         | 22.07            | 4.55                    | 13.90         | 5                    |
| 14.909                       | مجموع مساحت افقی در راستای طولی (X) |              |                  |                         |               |                      |
| 480                          | مساحت طبقه                          |              |                  |                         |               |                      |
| 3.1                          | در صد دیوار نسبی در راستای طولی (X) |              |                  |                         |               |                      |

### دیوارهای نسبی در راستای عرضی

| دیوارهای امتداد عرضی                | طول بازشو (m) | طول آسیب‌پذیر دیوار (m) | طول کل دیوار (m) | طول خالص (m) | ضخامت موثر دیوار (m) | مساحت دیوار ( $m^2$ ) |
|-------------------------------------|---------------|-------------------------|------------------|--------------|----------------------|-----------------------|
| 6                                   | 0.00          | 0.00                    | 13.15            | 13.15        | 0.35                 | 4.602                 |
| 7                                   | 1.02          | 0.00                    | 7.48             | 6.46         | 0.35                 | 2.261                 |
| 8                                   | 3.06          | 0.00                    | 15.67            | 12.61        | 0.35                 | 4.41                  |
| 9                                   | 3.06          | 0.00                    | 15.67            | 12.61        | 0.35                 | 4.41                  |
| 10                                  | 3.06          | 0.00                    | 15.67            | 12.61        | 0.35                 | 4.41                  |
| 11                                  | 3.06          | 0.00                    | 15.67            | 12.61        | 0.35                 | 4.41                  |
| مجموع مساحت افقی در راستای عرضی (γ) |               |                         |                  |              |                      | 24.503                |
| مساحت طبقه                          |               |                         |                  |              |                      | 480                   |
| در صد دیوار نسبی در راستای عرضی (γ) |               |                         |                  |              |                      | 5.1                   |

مقدار مساحت افقی دیوارهای ساختمان در هر دو راستا ضوابط دیوار نسبی را رعایت می‌کنند ولی مقدار مساحت دیوار مورد نیاز طبقه محاسبه شده بر اساس مقاومت برشی ملات در هر دو راستا بیشتر از مقادیر دیوارهای موجود است و ساختمان در برابر بارهای جانبی ناشی از زلزله، آسیب‌پذیر می‌باشد.

### انسجام ساختمان

کلیه عناصر ساختمان باید توسط کلافهای افقی و قائم مطابق ضوابط بند ۳-۹ استاندارد ۲۸۰۰ به یکدیگر پیوسته باشند. سیستم سقف در ساختمان از نوع طاق ضربی انتخاب شده است که دارای صلابت و رفتار مناسب در هنگام وقوع زلزله نمی‌باشد. همچنین اتصال مناسبی بین تیرچه‌های سقف وجود ندارد.

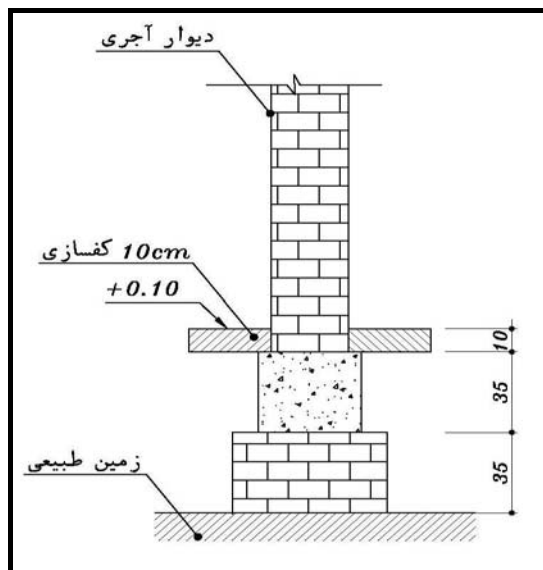
### - کلافها

#### - کلاف افقی

کنترل بندهای زیر مطابق با بند ۳-۹ آیین نامه ۲۸۰۰، الزامی می‌باشد.

الف- در تراز زیر دیوارها:

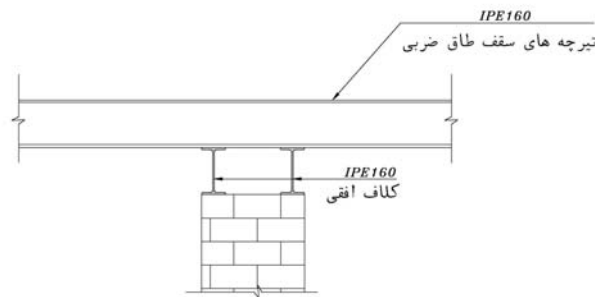
در تراز زیر دیوار، باید کلاف با بتون مسلح وجود داشته باشد و عرض آن از ۲۵ سانتی متر و یا عرض دیوار و ارتفاع آن نیز از  $\frac{2}{3}$  عرض دیوار یا ۲۵ سانتیمتر کمتر نباشد. در زیر دیوارهای ساختمان فونداسیون بتون مسلح وجود دارد و عرض آن ۴۰ سانتیمتر و ارتفاع آن نیز ۳۵ سانتیمتر می‌باشد و از این لحاظ آسیب‌پذیر نمی‌باشد.



شکل مثال ۸-۱-ت- وجود شنازهای زیر دیوار

ب - در زیر سقف:

- ۱- در زیر تراز سقف کلاف افقی وجود داشته باشد، عرض و ارتفاع کلاف باید از ۲۰ سانتیمتر کمتر باشد و چنانچه از پروفیلهای فولادی استفاده شده باشد سطح مقطع آنها معادل تیرآنها نمره ۱۰ باشد و این کلاف به نحو مناسبی به سقف، دیوار و کلاف قائم متصل شده باشد. مطابق با نقشه‌های اجرایی در تراز سقف ساختمان کلاف افقی با مقطع پروفیل تیرآهن ساده 2IPE 160 موجود است و آسیب پذیر نمی باشد.



شکل مثال ۸-۱-ث- وضعیت کلاف افقی روی دیوارها

- ۲- در هر تراز اضلاع مختلف کلاف باید به یکدیگر متصل شوند تا کلاف‌بندی یکپارچه و شبکه‌مانند به گونه‌ای بهم پیوسته تشکیل گردد. کلاف سقف نباید درهیچ‌جا منقطع باشد و در صورت عبور دودکش و کانال کولر و غیره، باید میلگردھای کلاف از دو طرف این مجاري عبور کند و قطر این مجاري باید از نصف عرض کلاف بیشتر باشد. کلاف‌های افقی در این ساختمان به یکدیگر متصل هستند و از داخل آنها دودکش و کانال عبور نکرده است ولی اتصال آنها مناسب نبوده و منسجم نمی باشند.

۳- در صورتی که ساختمان دارای ستونهای فولادی باشد این ستونها باید به نحو مناسب به عناصر سقف متصل شوند. این ساختمان قادر هر گونه ستون فولادی می‌باشد.

۴- میلگردهای طولی کلافها حداقل باید قطری برابر  $10\text{ میلی متر}$  برای میلگرد آجدار و  $12\text{ میلی متر}$  برای میلگرد ساده داشته باشند و تعداد آنها باید حداقل  $4$  عدد باشد و فاصله دو میلگرد مجاور نباید از  $25\text{ سانتیمتر}$  تجاوز نماید. میلگردهای طولی باید با تنگهایی به قطر  $6\text{ میلیمتر}$  با فاصله  $25\text{ سانتیمتر}$  یا ارتفاع کلاف هر کدام که کمتر باشد، به یکدیگر بسته شوند. حداکثر فاصله تنگها در فاصله  $75\text{ سانتیمتر}$  از بر کلاف قائم باید به  $15\text{ سانتیمتر}$  کاهش یابد. ضمناً پوشش میلگردها برای کلافهای سقف نباید از  $2/5\text{ سانتیمتر}$  و برای کلافهای پی نباید از  $5\text{ سانتیمتر}$  کمتر باشد. میلگردهای کلاف های پی  $4$  عدد  $12\text{ آجدار}$  می باشند و فاصله خاموتهای آنها  $30\text{ سانتیمتر}$  و با قطر  $6\text{ میلیمتر}$  و ساده می باشند. در ساختمان مورد نظر کلافهای سقف فلزی بوده و نیاز به کنترل ندارد.

### -کلاف قائم-

در تمامی ساختمانهای بنایی اجرای کلاف قائم با مشخصات زیرالزمایی می‌باشد.

کلافها در گوشه‌های اصلی ساختمان و در طول دیوار با فاصله محور به محور  $5\text{ متر}$  از یکدیگر وجود داشته باشند. در گوشه‌های اطاقهای ساختمان مورد مطالعه کلاف قائم وجود دارد و فاصله آنها در حدود  $7/25\text{ متر}$  می‌باشد.



شکل مثال ۱-۸-ج- وجود کلافهای قائم

۱- ابعاد مقطع کلافهای بتن مسلح نباید از  $20\times 20\text{ سانتیمتر}$  کمتر باشد و قطر میلگردهای طولی در کلافهای قائم بتنی باید حداقل  $10\text{ میلیمتر}$  برای میلگردهای آجدار و  $12\text{ میلیمتر}$  برای میلگردهای ساده باشد. ضمناً تعداد آنها باید حداقل  $4$  عدد باشد. میلگردهای طولی باید با تنگهایی به قطر  $6\text{ میلیمتر}$  با فاصله  $20\text{ سانتیمتر}$  به یکدیگر بسته شوند. حداکثر فاصله تنگها

در فاصله ۷۵ سانتیمتری از بر کلاف افقی باید به ۱۵ سانتیمتر کاهش یابد. ضمناً پوشش میلگردها برای کلافهای قائم نباید از ۲/۵ سانتیمتر کمتر باشد. در ساختمان مورد مطالعه ابعاد کلافهای قائم ساختمان  $25 \times 25$  سانتیمتر بوده و میلگردهای کلاف‌های قائم ۴ عدد ۱۴ آجدار می‌باشند و فاصله خاموتهای آنها حدود ۳۰ سانتیمتر و با قطر ۸ میلیمتر و آجدار می‌باشند، حداکثر فاصله افقی تنگها در بر تکیه گاه کاهش نیافته است و پوشش میلگردها در کلاف قائم از ۲/۵ سانتیمتر کمتر نمی‌باشد.

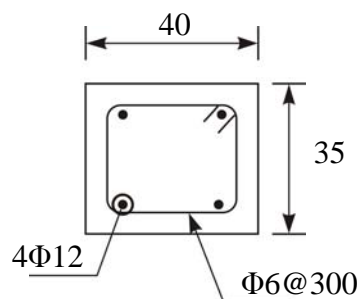
- کلافها باید به نحو مناسب به کلافهای افقی متصل شوند. میلگردهای کلاف قائم باید حداقل به اندازه ۳۰ سانتیمتر در کلاف افقی مهارگردند. در ساختمان مورد مطالعه کلافهای قائم و افقی به نحو مناسبی به یکدیگر متصل نشده‌اند.

### - نامنظمی در پلان و ارتفاع ، کنترل پیچش

ساختمان در پلان و ارتفاع منظم بوده و با توجه به توزیع یکنواخت جرم آن، ابعاد کلی ساختمان، نحوه قرار گیری دیوارها و همچنین نوع سقف (عدم صلیبیت کافی) در این سازه پیچش اتفاق نمی‌افتد.

- پی

در صورتی که پی دیوار برابر از بتن غیر مسلح و یا لاشه سنگ باشد، عمق و عرض پی باید هر کدام حداقل دو برابر ضخامت دیوار باشد و پی بصورت یک شبکه گسترده در زیر دیوار برابر قرار داشته باشد.



شکل مثال ۱-۸-ج- پی موجود در ساختمان و آرماتورهای آن

همانطور که ملاحظه می‌گردد پی موجود در ساختمان مسلح بوده ولی لازم است که ظرفیت برابری پی به لحاظ توان انتقال نیروهای دیوار به خاک بررسی گردد و در صورت نیاز با افزودن ابعاد پی این نقص برطرف شود. تنש ایجاد شده در خاک زیر پی در دو حالت زیر ناشی از بارهای وارد محسوبه می‌شود.

### الف ) بار ثقلی

این بار ناشی از بار مرده و زنده طبقات، وزن دیوارهای روی پی، کرسی چینی و وزن خود پی می‌باشد. بار مرده و زنده طبقات بر حسب سهم بارگیر هر دیوار به پی منتقل می‌گردد.

## ب) بارهای ثقلی به همراه زلزله

عناصر باربر جانبی سازه نیروی ناشی از زلزله را به پی ساختمان منتقل می‌کنند این نیرو باعث افزایش تنشهای خاک زیر پی می‌گردد. تنشهای مجاز مربوط به این ترکیبات بارگذاری را می‌توان به میزان یک سوم افزایش داد.

در ساختمان با توجه به وزن زیاد سازه جهت کنترل تنش خاک زیر فونداسیون از ترکیب بارهای ثقلی استفاده می‌کنیم. بدین منظور تنش خاک زیر فونداسیون برای یک فنر از دیوار کنار راهرو به صورت زیر محاسبه می‌شود.

$$W_{wall} = 1 \times 838.5 \times 3.35 = 2809 \text{ kg}$$

$$W_{roof} = 620 \times \left( \frac{5.7}{2} + 0.80 \right) = 2263 \text{ kg}$$

$$W_{ll} = \left( \frac{5.7}{2} + 0.80 \right) \times 1 \times 150 = 547.5 \text{ kg}$$

$$W_{found} = 0.35 \times 0.40 \times 1.00 \times 2500 = 350 \text{ kg}$$

$$W_{basewall} = 0.35 \times 0.60 \times 1.00 \times 1850 = 388.5 \text{ kg}$$

$$W_{\text{جهت}} = 1 \times 0.30 \times 0.30 \times 1850 = 166.5$$

$$W_{total} = 6524.5 \text{ kg}$$

$$A_{s foundation} = 40 \times 100 = 4000 \text{ cm}^2$$

$$q_{all} = 1.63 \text{ kg/cm}^2 \leq 2 \text{ kg/cm}^2 \quad OK$$

### - ساختمان‌های مجاور

ساختمان مورد نظر از چهار طرف آزاد بوده و از این لحاظ آسیب‌پذیر نمی‌باشد.

### - ارزیابی دیوار باربر

در ارزیابی آسیب‌پذیری دیوارهای باربر موارد زیر باید کنترل گردد:

#### ۱- کنترل اجرای واحدهای بنایی

دیوارهای بنایی باید طوری چیده شوند که همپوشانی افقی بین واحدها برقرار باشد درزهای قائم روی هم قرار نگیرد. حداقل ۱۰٪ دیوار شامل واحدهای بنایی باشد که رج داخلی را به رج خارجی متصل نماید. فاصله بین واحدها از ۶۰ سانتیمتر تجاوز ننماید. عرض ترکهای مورب از نشست ناهمگون دیوار از ۳ میلیمتر تجاوز ننماید، دیوار فاقد شکمدادگی و کج شدگی باشد و واحدهای بنایی یک سطح پیوسته و صاف ایجاد کرده باشند با توجه به بازدهی‌های انجام شده از ساختمان همپوشانی افقی بین واحدهای بنایی برقرار بوده درزهای افقی در یک تراز می‌باشند و درزهای قائم روی هم قرار نگرفته‌اند. عرض ترکهای موجود در حدود ۵٪ میلیمتر است و دیوارها فاقد شکمدادگی و کج شدگی می‌باشند.

#### ۲- کنترل درزهای قائم بین واحدهای بنایی

درزهای قائم بین واحدهای بنایی در ساختمان به طور کامل پر شده‌اند.

### ۳- کنترل ارتفاع دیوارها و جلوگیری از پرتاب خارج از صفحه

در این ساختمان نسبت ارتفاع به ضخامت دیوار بیش از ۱۰ نبوده و ساختمان از این نظر آسیب‌پذیر نمی‌باشد. همچنین مطابق بند ۷-۳-۱-۶-۳ دستورالعمل بهسازی، لازمست لنگر خمی خارج از صفحه ناشی از اینرسی دیوار محاسبه شده و تنش خمی ایجاد شده با مقادیر مجاز کنترل شود. نیروی اینرسی عمود بر دیوار از رابطه زیر محاسبه می‌شود.

$$F_p = 0.7 AIW_p$$

$F_p$  = نیروی عمود بر صفحه دیوار

$W_p$  = وزن دیوار و ملحقات آن

مقاومت کششی دیوار براساس تبصره ۱-۲-۸ استاندارد ۲۸۰۰ به صورت زیر منظور می‌شود.

برای قطعات الحقی که با مصالح بنایی و ملات ماسه سیمان ساخته می‌شوند می‌توان مقاومت کششی مجاز مصالح و ملات را حداکثر تا ۱۵ درصد مقاومت فشاری آنها (مطابق آیین نامه ۵۱۹) در محاسبات منظور نمود. نیروی  $F_p$  محاسبه شده از رابطه فوق به صورت گسترده و عمود بر سطح دیوار به آن وارد می‌شود.

مطابق با نشریه ۵۱۹:

$$f_{c.b} = m' f'_{c.b}$$

در این رابطه  $f'_{c.b}$  حداقل مقاومت آجر مصرفی در آزمایش استاندارد فشاری و  $f_{c.b}$  تنش مجاز بر آجرچینی و  $m'$  ضریبی است که طبق جدول زیر محاسبه می‌گردد.

#### ضریب مقاومت فشاری مصالح بنایی

| حداقل مقاومت آجر مصرفی |             |          |            | تا ۱۰۰ کیلوگرم<br>بر سانتیمترمربع |          |            |          | ۱۰۰ تا ۱۵۰ کیلوگرم<br>بر سانتیمترمربع |             |          |            | ۱۵۰ تا ۲۵۰ کیلوگرم<br>بر سانتیمترمربع |          |            |          |
|------------------------|-------------|----------|------------|-----------------------------------|----------|------------|----------|---------------------------------------|-------------|----------|------------|---------------------------------------|----------|------------|----------|
| نوع ملات               |             |          |            | ملاط ماسه سیمان                   |          |            |          | ملاط ماسه آهک                         |             |          |            | ملاط ماسه سیمان                       |          |            |          |
| ضریب $m'$              |             |          |            | ۰/۰۸۸                             |          |            |          | ۰/۰۶۳                                 |             |          |            | ۰/۰۴                                  |          |            |          |
| ملاط ماسه سیمان        | ملاط با تار | ملاط آهک | ملاط سیمان | ملاط با تار                       | ملاط آهک | ملاط سیمان | ملاط آهک | ملاط سیمان                            | ملاط با تار | ملاط آهک | ملاط سیمان | ملاط با تار                           | ملاط آهک | ملاط سیمان | ملاط آهک |

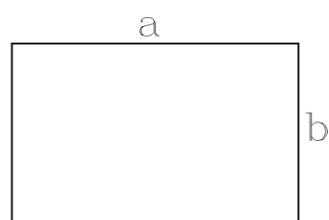
در این حالت در صورت نداشتن ترکهای سازه‌ای دیوار به صورت یک دال یکپارچه تحت اثر بار گسترده یکنواخت عمل می‌کند، به علت آنکه دیوارهای هر راستا تنها از یک سمت به دیوارهای راستای دیگر متصل می‌باشند تکیه‌گاههای آن به صورت مفصلی فرض می‌شوند. طبق جداول تعیین لنگر دالها لنگر مثبت در این حالت (تکیه گاه مفصلی) از رابطه زیر محاسبه می‌شود. برای بحرانی ترین حالت دیوار با طول  $7/30$  متر و ارتفاع  $3/30$  متر کنترل می‌گردد:

$$F_p = 0.7 \times 0.3 \times 1.2 \times W_p = 0.252 W_p$$

$$M = \alpha \times w \times l^2, a > b$$

$$\frac{a}{b} = \frac{7.30}{3.30} = 2.21 \Rightarrow \alpha = 0.095, \beta = 0.006$$

$$l = b \Rightarrow \alpha = 0.095$$



$$l = a \Rightarrow \alpha = 0.006$$

که در آن  $W$  مقدار نیروی گستردگی وارد به دیوار در واحد سطح است و  $L$  طول ضلع موردنظر می‌باشد. با توجه به رابطه فوق مشاهده می‌گردد که لنگر ماکریم در جهت طول کوچکتر ایجاد می‌شود. در این ساختمان طول افقی تمامی دیوارها از ارتفاع دیوار بیشتر می‌باشد که این موضوع باعث استفاده از ارتفاع دیوار در رابطه فوق می‌شود.

$$F_p = 0.8385 \times 0.252 = 0.2113 \text{ ton/m}^2$$

$$M = 0.095 \times 0.2113 \times 3.30^2 = 0.218 \text{ ton.m}$$

$$S = \frac{I}{C} \quad \text{و} \quad I = \frac{bh^3}{12} \quad C = \frac{h}{2}$$

$$S = \frac{bh^2}{6} = 100 \times 40^2 / 6 = 26666 \text{ cm}^3 \quad \text{در واحد طول}$$

$$\sigma = \frac{M}{S} = \frac{0.2186 \times 10^5}{26666} = 0.819 < \left\{ 0.15 \times 0.12 \times 100 = 1.8 \text{ kg/cm}^2 \right\}$$

طبق نشریه ۵۱۹ برای واحد بنایی با مقاومت فشاری تا ۱۰۰ کیلوگرم بر سانتیمتر مربع این ضریب برای ملات ماسه سیمان برابر با ۱/۲۰ می‌گردد. با توجه به محاسبات بالا مشاهده می‌شود که دیوار ساختمان ظرفیت خمی کافی در برابر بارهای وارد را داشته و احتمال ترک خوردگی و پرتاب دیوار وجود ندارد در صورتی که آن دیوار فاقد ترک سازه‌ای باشد.

#### ۴- کنترل ارتفاع دیوار

- حداقل تعداد طبقات بدون احتساب زیرزمین ۲ طبقه می‌باشد و تراز روی بام نسبت به متوسط تراز زمین مجاور نباید از ۸ متر تجاوز نماید. با توجه به یک طبقه بودن ساختمان و ارتفاع آن (حدوداً ۳/۹۵ متر) این بند ارضا می‌گردد.
- حداقل ارتفاع طبقه (از روی کلاف افقی زیرین تا زیر سقف) ۴ متر می‌باشد با توجه به ارتفاع ساختمان این بند ارضا می‌گردد.

#### ۵- کنترل طول آزاد دیوار

در صورتی که طول آزاد دیوار از ۵ متر بیشتر باشد، دیوار آسیب‌پذیر تلقی می‌شود. با توجه به پلان ساختمان دیوارهای با طول آزاد بیش از ۵ متر در ساختمان وجود داشته و ساختمان از این لحاظ آسیب‌پذیر می‌باشد.

#### ۶- کنترل تراکم دیوار

##### ۱- کنترل بازشوها دیوار

اندازه و موقعیت بازشوها باید خوبابط بند ۳-۵-۲ استاندارد ۲۸۰۰ را رعایت کنند.

۱- ضخامت هیچ دیواری کمتر از ۲۰ سانتیمتر نباشد.

۲- مجموع سطح بازشوها در هر دیوار از یک سوم سطح دیوار بیشتر نباشد.

۳- مجموع طول بازشوها در هر دیوار از نصف طول دیوار بیشتر نباشد.

۴- فاصله افقی دو بازشو نباید از  $\frac{2}{3}$  ارتفاع کوچکترین بازشو طرفین خود کمتر بوده و از  $\frac{1}{6}$  مجموع طول آن دو بازشو نیز کمتر نباشد.

۵- ابعاد بازشو از  $\frac{2}{5}$  متر بیشتر نباشد.

۶- فاصله اولین بازشو از برخارجی ساختمان کمتر از  $\frac{2}{3}$  ارتفاع بازشو نباشد.

در ادامه جداولی جهت کنترل ضوابط فوق آورده شده است. در این جداول نامگذاری دیوارها مطابق با نقشه‌های نشان‌داده شده می‌باشد. ۵ شرط به شرح زیر کنترل شده است:

**Cond.1:** ضخامت هیچ دیواری از ۲۰ سانتی‌متر کمتر نباشد.

**Cond.2:** فاصله افقی دو بازشو از  $\frac{1}{6}$  مجموع طول آن دو بازشو کمتر نباشد.

**Cond.3:** فاصله افقی دو بازشو از  $\frac{2}{3}$  ارتفاع کوچکترین بازشوی طرفین خود کمتر نباشد.

**Cond.4:** ابعاد بازشو بیش از  $\frac{2}{5}$  متر نباشد.

**Cond.5:** مجموع سطح بازشوها در هر دیوار برابر از  $\frac{1}{3}$  سطح آن دیوار بیشتر نباشد.

**Cond.6:** مجموع طول بازشوها در هر دیوار برابر از  $\frac{1}{2}$  طول دیوار بیشتر نباشد.

**Cond.7:** فاصله اولین بازشو از برخارجی ساختمان کمتر از  $\frac{2}{3}$  ارتفاع بازشو نباشد.

**الف- کنترل شرط ۱ (Cond. 1)**

تمامی دیوارهای برابر ضخامتی بیش از ۲۰ سانتی‌متر دارند و دیوارهای با ضخامت کمتر از ۲۰ سانتی‌متر در صورت وجود جزء تیغه‌های ساختمان به حساب آورده شده‌اند.

**ب- کنترل شروط ۲، ۳ و ۴ (Cond. 2, Cond. 3, Cond. 4)**

### کنترل شروط ۲ و ۳ و ۴

| Wall.NO.1                         |         |            |                   |                       |        |        |        |
|-----------------------------------|---------|------------|-------------------|-----------------------|--------|--------|--------|
| WL <sub>i</sub> / OP <sub>i</sub> | طول (m) | ارتفاع (m) | 1/6 x (Li-1+Li+1) | 2/3 x Min (Hi-1,Hi+1) | Cond.2 | Cond.3 | Cond.4 |
| WL                                | 1.02    | 3.30       |                   |                       |        |        |        |
| OP                                | 2.32    | 1.90       |                   |                       |        |        | G      |
| WL                                | 1.10    | 3.30       | 0.77              | 1.27                  | G      | NG     |        |
| OP                                | 2.32    | 1.90       |                   |                       |        |        | G      |
| WL                                | 1.02    | 3.30       | 0.70              | 1.27                  | G      | NG     |        |
| OP                                | 1.87    | 1.90       |                   |                       |        |        | G      |
| WL                                | 1.30    | 3.30       | 0.72              | 1.27                  | G      | G      |        |
| OP                                | 2.45    | 1.90       |                   |                       |        |        | G      |
| WL                                | 1.10    | 3.30       | 0.82              | 1.27                  | G      | NG     |        |
| OP                                | 2.45    | 1.90       |                   |                       |        |        | G      |
| WL                                | 1.25    | 3.30       | 0.78              | 1.27                  | G      | NG     |        |
| OP                                | 2.25    | 1.90       |                   |                       |        |        | G      |
| WL                                | 1.10    | 3.30       | 0.75              | 1.27                  | G      | NG     |        |
| OP                                | 2.25    | 1.90       |                   |                       |        |        | G      |
| WL                                | 1.27    | 3.30       | 0.75              | 1.27                  | G      | G      |        |
| OP                                | 2.25    | 1.90       |                   |                       |        |        | G      |
| WL                                | 1.10    | 3.30       | 0.75              | 1.27                  | G      | NG     |        |
| OP                                | 2.25    | 1.90       |                   |                       |        |        | G      |
| WL                                | 1.10    | 3.30       |                   |                       |        |        |        |

| Wall.NO.2                         |         |            |                  |                      |        |        |        |
|-----------------------------------|---------|------------|------------------|----------------------|--------|--------|--------|
| WL <sub>i</sub> / OP <sub>i</sub> | طول (m) | ارتفاع (m) | 1/6 x(Li-1+Li+1) | 2/3 x Min(Hi-1,Hi+1) | Cond.2 | Cond.3 | Cond.4 |
| WL                                | 6.30    | 3.30       |                  |                      |        |        |        |
| OP                                | 1.02    | 3.06       |                  |                      |        |        | NG     |
| WL                                | 1.05    | 3.30       | 0.34             | 2.04                 | G      | NG     |        |
| OP                                | 1.02    | 3.06       |                  |                      |        |        | NG     |
| WL                                | 1.15    | 3.30       | 0.62             | 0.53                 | G      | G      |        |
| OP                                | 2.70    | 0.80       |                  |                      |        |        | NG     |
| WL                                | 2.27    | 3.30       | 0.62             | 0.53                 | G      | G      |        |
| OP                                | 1.02    | 3.06       |                  |                      |        |        | NG     |
| WL                                | 1.50    | 3.30       | 0.55             | 0.53                 | G      | G      |        |
| OP                                | 2.27    | 0.80       |                  |                      |        |        | G      |
| WL                                | 2.15    | 3.30       | 0.55             | 0.53                 | G      | G      |        |
| OP                                | 1.02    | 3.06       |                  |                      |        |        | NG     |
| WL                                | 1.59    | 3.30       | 0.55             | 0.53                 | G      | G      |        |
| OP                                | 2.25    | 0.80       |                  |                      |        |        | G      |
| WL                                | 2.15    | 3.30       | 0.55             | 0.53                 | G      | G      |        |
| OP                                | 1.02    | 3.06       |                  |                      |        |        | NG     |
| WL                                | 1.23    | 3.30       |                  |                      |        |        |        |

WL=دیوار

OP=بازشوی موجود در دیوار

| Wall.NO.3                         |         |            |                  |                      |        |        |        |
|-----------------------------------|---------|------------|------------------|----------------------|--------|--------|--------|
| WL <sub>i</sub> / OP <sub>i</sub> | طول (m) | ارتفاع (m) | 1/6 x(Li-1+Li+1) | 2/3 x Min(Hi-1,Hi+1) | Cond.2 | Cond.3 | Cond.4 |
| WL                                | 1.11    | 3.30       |                  |                      |        |        |        |
| OP                                | 1.02    | 3.06       |                  |                      |        |        | NG     |
| WL                                | 2.56    | 3.30       | 0.49             | 0.53                 | G      | G      |        |
| OP                                | 1.90    | 0.80       |                  |                      |        |        | G      |
| WL                                | 2.23    | 3.30       | 0.49             | 0.53                 | G      | G      |        |
| OP                                | 1.02    | 3.06       |                  |                      |        |        | NG     |
| WL                                | 2.15    | 3.30       | 0.55             | 0.53                 | G      | G      |        |
| OP                                | 2.27    | 0.80       |                  |                      |        |        | G      |
| WL                                | 1.62    | 3.30       | 0.55             | 0.53                 | G      | G      |        |
| OP                                | 1.02    | 3.06       |                  |                      |        |        | NG     |
| WL                                | 2.15    | 3.30       | 0.55             | 0.53                 | G      | G      |        |
| OP                                | 2.25    | 0.80       |                  |                      |        |        | G      |
| WL                                | 0.77    | 3.30       |                  |                      |        |        |        |

\* توجه شود که کنترل شرط ۲ و ۳ مربوط به دیوارهایی است که در طول آنها حداقل دو بازشو وجود دارد، لذا در دیوارهایی که فقط دارای یک بازشو هستند کنترل این شرط مفهومی نداشته و فقط ابعاد بازشو (شرط ۴) برای این دیوارها در جداول زیر کنترل می‌گردد

| Wall.NO.4                         |         |            |                  |                      |        |        |        |
|-----------------------------------|---------|------------|------------------|----------------------|--------|--------|--------|
| WL <sub>i</sub> / OP <sub>i</sub> | طول (m) | ارتفاع (m) | 1/6 x(Li-1+Li+1) | 2/3 x Min(Hi-1,Hi+1) | Cond.2 | Cond.3 | Cond.4 |
| WL                                | 1.65    | 3.30       |                  |                      |        |        |        |
| OP                                | 2.90    | 1.90       |                  |                      |        |        | NG     |
| WL                                | 1.75    | 3.30       |                  |                      |        |        |        |

| Wall.NO.5                         |         |            |                  |                      |        |        |        |
|-----------------------------------|---------|------------|------------------|----------------------|--------|--------|--------|
| WL <sub>i</sub> / OP <sub>i</sub> | طول (m) | ارتفاع (m) | 1/6 x(Li-1+Li+1) | 2/3 x Min(Hi-1,Hi+1) | Cond.2 | Cond.3 | Cond.4 |
| WL                                | 1.30    | 3.30       |                  |                      |        |        |        |
| OP                                | 2.45    | 1.90       |                  |                      |        |        | G      |
| WL                                | 1.10    | 3.30       | 0.82             | 1.27                 | G      | NG     |        |
| OP                                | 2.45    | 1.90       |                  |                      |        |        | G      |
| WL                                | 1.25    | 3.30       | 0.78             | 1.27                 | G      | NG     |        |
| OP                                | 2.25    | 1.90       |                  |                      |        |        | G      |
| WL                                | 1.10    | 3.30       | 0.75             | 1.27                 | G      | NG     |        |
| OP                                | 2.25    | 1.90       |                  |                      |        |        | G      |
| WL                                | 1.27    | 3.30       | 0.75             | 1.27                 | G      | G      |        |
| OP                                | 2.25    | 1.90       |                  |                      |        |        | G      |
| WL                                | 1.10    | 3.30       | 0.75             | 1.27                 | G      | NG     |        |
| OP                                | 2.25    | 1.90       |                  |                      |        |        | G      |
| WL                                | 1.05    | 3.30       |                  |                      |        |        |        |

| Wall.NO.6                         |         |            |                  |                      |        |        |        |
|-----------------------------------|---------|------------|------------------|----------------------|--------|--------|--------|
| WL <sub>i</sub> / OP <sub>i</sub> | طول (m) | ارتفاع (m) | 1/6 x(Li-1+Li+1) | 2/3 x Min(Hi-1,Hi+1) | Cond.2 | Cond.3 | Cond.4 |
| WL                                | 13.15   | 3.30       |                  |                      |        |        |        |

| Wall.NO.7                         |         |            |                  |                      |        |        |        |
|-----------------------------------|---------|------------|------------------|----------------------|--------|--------|--------|
| WL <sub>i</sub> / OP <sub>i</sub> | طول (m) | ارتفاع (m) | 1/6 x(Li-1+Li+1) | 2/3 x Min(Hi-1,Hi+1) | Cond.2 | Cond.3 | Cond.4 |
| WL                                | 5.86    | 3.30       |                  |                      |        |        |        |
| OP                                | 1.02    | 3.06       |                  |                      |        |        | NG     |
| WL                                | 0.55    | 3.30       |                  |                      |        |        |        |

| Wall.NO.8                         |         |            |                  |                      |        |        |        |
|-----------------------------------|---------|------------|------------------|----------------------|--------|--------|--------|
| WL <sub>i</sub> / OP <sub>i</sub> | طول (m) | ارتفاع (m) | 1/6 x(Li-1+Li+1) | 2/3 x Min(Hi-1,Hi+1) | Cond.2 | Cond.3 | Cond.4 |
| WL                                | 6.12    | 3.30       |                  |                      |        |        |        |
| OP                                | 3.06    | 3.30       |                  |                      |        |        | NG     |
| WL                                | 6.44    | 3.30       |                  |                      |        |        |        |

| Wall.NO.9                         |         |            |                  |                      |        |        |        |
|-----------------------------------|---------|------------|------------------|----------------------|--------|--------|--------|
| WL <sub>i</sub> / OP <sub>i</sub> | طول (m) | ارتفاع (m) | 1/6 x(Li-1+Li+1) | 2/3 x Min(Hi-1,Hi+1) | Cond.2 | Cond.3 | Cond.4 |
| WL                                | 6.12    | 3.30       |                  |                      |        |        |        |
| OP                                | 3.06    | 3.30       |                  |                      |        |        | NG     |
| WL                                | 6.44    | 3.30       |                  |                      |        |        |        |

| Wall.NO.10                        |         |            |                  |                      |        |        |        |
|-----------------------------------|---------|------------|------------------|----------------------|--------|--------|--------|
| WL <sub>i</sub> / OP <sub>i</sub> | طول (m) | ارتفاع (m) | 1/6 x(Li-1+Li+1) | 2/3 x Min(Hi-1,Hi+1) | Cond.2 | Cond.3 | Cond.4 |
| WL                                | 6.12    | 3.30       |                  |                      |        |        |        |
| OP                                | 3.06    | 3.30       |                  |                      |        |        | NG     |
| WL                                | 6.44    | 3.30       |                  |                      |        |        |        |

| Wall.NO.11                        |         |            |                  |                      |        |        |        |
|-----------------------------------|---------|------------|------------------|----------------------|--------|--------|--------|
| WL <sub>i</sub> / OP <sub>i</sub> | طول (m) | ارتفاع (m) | 1/6 x(Li-1+Li+1) | 2/3 x Min(Hi-1,Hi+1) | Cond.2 | Cond.3 | Cond.4 |
| WL                                | 6.12    | 3.30       |                  |                      |        |        |        |
| OP                                | 3.06    | 3.30       |                  |                      |        |        | NG     |
| WL                                | 6.44    | 3.30       |                  |                      |        |        |        |

## پ- کنترل شروط ۵ و ۶ (Cond. 5, Cond. 6)

## کنترل شروط ۵ و ۶

| نام دیوار | طول بازشو (m) | مساحت بازشو ( $m^2$ ) | طول کل دیوار (m) | مساحت ( $m^2$ ) | cond4. | cond5. |
|-----------|---------------|-----------------------|------------------|-----------------|--------|--------|
| 1         | 20.41         | 38.78                 | 31.72            | 104.68          | NG     | NG     |
| 2         | 12.32         | 21.38                 | 31.72            | 104.68          | G      | G      |
| 3         | 9.48          | 14.49                 | 22.07            | 72.83           | G      | G      |
| 4         | 2.90          | 5.51                  | 6.30             | 20.79           | G      | G      |
| 5         | 13.90         | 26.41                 | 22.07            | 72.83           | NG     | NG     |
| 6         | 0.00          | 0.00                  | 13.15            | 43.40           | G      | G      |
| 7         | 1.02          | 3.12                  | 7.48             | 24.68           | G      | G      |
| 8         | 3.06          | 10.10                 | 15.67            | 51.71           | G      | G      |
| 9         | 3.06          | 10.10                 | 15.67            | 51.71           | G      | G      |
| 10        | 3.06          | 10.10                 | 15.67            | 51.71           | NG     | NG     |
| 11        | 3.06          | 10.10                 | 15.67            | 51.71           | NG     | NG     |

## ت- کنترل فاصله بازشو از بر خارجی دیوار (Cond. 7)

## کنترل فاصله بازشوها مطابق با دستورالعمل

| نام دیوار | طول دیوار (ابتدا) | طول دیوار (انتها) | طول دیوار ( $h_{op}$ ) | ( $2/3 h_{op1}$ ) | ( $2/3 h_{op2}$ ) | $L_1 > (0.66h_1)$ | $L_2 > (0.66h_2)$ |
|-----------|-------------------|-------------------|------------------------|-------------------|-------------------|-------------------|-------------------|
| 1         | 1.02              | 1.10              | 1.25                   | 1.25              | 1.25              | NG                | NG                |
| 2         | 6.30              | 1.23              | 2.02                   | 2.02              | 2.02              | G                 | NG                |
| 3         | 1.11              | 0.77              | 2.02                   | 0.53              | 0.53              | G                 | G                 |
| 4         | 1.65              | 1.75              | 1.25                   | 1.25              | 1.25              | G                 | G                 |
| 5         | 1.30              | 1.05              | 1.25                   | 1.25              | 1.25              | G                 | NG                |
| 6         | 0.00              | 0.00              | 0.00                   | 0.00              | 0.00              | G                 | G                 |
| 7         | 5.86              | 0.55              | 2.02                   | 2.02              | 2.02              | G                 | NG                |
| 8         | 6.12              | 6.44              | 2.18                   | 2.18              | 2.18              | G                 | G                 |
| 9         | 6.12              | 6.44              | 2.18                   | 2.18              | 2.18              | G                 | G                 |
| 10        | 6.12              | 6.44              | 2.18                   | 2.18              | 2.18              | G                 | G                 |
| 11        | 6.12              | 6.44              | 2.18                   | 2.18              | 2.18              | G                 | G                 |

## ۷- کنترل وجود هشت گیر

اگر در اجرای قسمتهای مختلف یک دیوار باربر و یا گوشه دو دیوار متقاطع باربر، از روش هشت گیر استفاده شده باشد، محل اجرای هشت گیر به عنوان نقطه انفال در دیوار تلقی می‌گردد و دیوار آسیب‌پذیر می‌باشد. با توجه به نقشه‌های اجرایی موجود در محل تقاطع دیوارها در این ساختمان از کلاف استفاده شده و هشت گیر اجرا نشده است. لذا از این لحاظ آسیب‌پذیر نمی‌باشد.

## ۸- کنترل قرار داشتن تیرهای باربر سقف بروی دیوار

در صورتیکه تیرهای باربر سقف بار خود را به صورت مستقیم به بالای دیوار مصالح بنایی منتقل نماید و برای این منظور از کلاف یا زیرسربی چوبی، فلزی، بتنی و یا صفحه تکیه‌گاه استفاده نشده باشد، ناحیه بالای دیوار و اتصال دال

به دیوار آسیب‌پذیر تلقی می‌گردد. ساختمان مورد مطالعه دارای کلاف افقی است و تیر آهنها مستقیماً روی دیوار قرار نگرفته‌اند ولی نحوه اتصالشان به کلاف بدون تمهید خاصی است و از این لحاظ آسیب‌پذیر تلقی می‌گردند.

#### ۹- کنترل نیروی رانش و سقفهای قوسی

در این ساختمان سقف قوسی وجود ندارد.

#### ۱۰- لوله و دودکش درون دیوار باربر

با توجه به بازدیدها و سوندازهای انجام شده دودکش از داخل دیوارها عبور نکرده است.

### - ارزیابی سقف

#### ۱- زیادبودن وزن سقف

طبق بازدیدها و سوندازهای انجام شده در سقف هیچگونه افزایش ضخامت غیرمتعارفی در جهت افزایش سختی دال و همچنین عایق نمودن مضاعف بام و غیره انجام نشده است و سقف از این نظر آسیب‌پذیر نمی‌باشد.

#### ۲- انسجام و یکنواختی سقف

سیستم سقف در این ساختمان از نوع طاق‌ضربی است که دارای صلیبت و رفتار مناسب در هنگام وقوع زلزله نمی‌باشد. همچنین اتصال مناسبی بین تیرچه‌های سقف وجود ندارد.

#### ۳- طول تکیه گاهی تیرهای سقف

در سقفهای طاق‌ضربی و چوبی طول تکیه گاهی نباید از ۲۰ سانتیمتر یا ارتفاع تیر کمتر باشد، سیستم سقف ساختمان از نوع طاق‌ضربی است و طول تکیه‌گاهی تیرهای آن برای دیوارهای میانی کمتر از ۲۰ سانتیمتر می‌باشد.

#### ۴- کنترل بازشوها در دال

مطابق دستورالعمل مجموع سطوح بازشو باید از ۵۰٪ سطح کل دیافراگم کمتر باشد و طول بازشو در مجاورت دیوار باربر باید کمتر از ۲۵٪ طول دیوار باشد و حداکثر طول بازشو در مجاورت دیوارهای باربر ۲ متر می‌باشد. سقف ساختمان قادر بازشو می‌باشد و از این لحاظ آسیب‌پذیر نیست.

#### ۵- نسبت طول دهانه به عرض دال

چنانچه نسبت طول دهانه به عرض دیافراگم در سقفهای انعطاف‌پذیر بیش از ۳ باشد، دال به لحاظ تغییرشکل زیاد آسیب‌پذیر می‌باشد. در این ساختمان نسبت طول به عرض کمتر از ۳ است و از لحاظ تغییرشکل زیاد آسیب‌پذیر نمی‌باشد.

## - ارزیابی اتصالات اعضاي ساختمان

### ۱- اتصال بین دیوارهای باربر متقاطع

واحدهای بنایی در تمام دیوارهای باربر متقاطع باید در یک تراز چیده و در یک سطح بالا آورده شده باشد. در صورتیکه دیوارهای متقاطع مطابق بند ۳-۱۰-۳ استاندارد ۲۸۰۰ ایران اجرا نگردیده باشد و یا در اجرای آنها از کلافهای بتنی، فلزی و چوبی گوشش استفاده نشده باشد، دیوارهای متقاطع به لحاظ اتصال نامناسب آسیب‌پذیر می‌باشد. واحدهای بنایی دیوارهای باربر در این ساختمان در یک تراز چیده شده و در اجرای دیوارهای ساختمان از کلاف قائم استفاده شده است در نتیجه دیوارهای متقاطع به لحاظ اتصال نا مناسب در این قسمت آسیب‌پذیر نمی‌باشد.

### ۲- اتصال دیوارهای باربر و دال

دیوارهای باربر مصالح بنایی باید در تراز طبقات مطابق بند ۲-۱۱-۳ استاندارد ۲۸۰۰ ایران به دال متصل شده باشد تا نیروهای زلزله بدون جابجا شدن دال به دیوار باربر انتقال یابد. انتظار می‌رود با توجه به نحوه اتصال سقف و تکیه‌گاهها و نوع مصالح آن (طاق ضربی) سازه در زلزله منسجم عمل ننماید.

### ۳- اتصال بین دیوارها و دال در جهت عمود بر صفحه دیوار

برای اینکه نیروهای عمود بر صفحه دیوار بتواند به دال منتقل گردد، اتصال دیوار و دال باید بتواند نیروی عمود بر صفحه دیوار را تحمل نماید. بین دیوارها و دال اتصال مناسبی وجود ندارد و در نتیجه اتصال دیوار و دال در جهت عمود بر صفحه دیوار نیز آسیب‌پذیر تلقی می‌گردد.

### ۴- اتصال بین تیغه‌ها و دیوارهای باربر

تیغه‌های متصل به دیوار باربر در ساختمان دارای اتصال کافی می‌باشد و دیوار و تیغه متکی به آن به طور همزمان چیده شده‌اند، اتصال تیغه‌ها آسیب‌پذیر نمی‌باشد.

## - اعضاي غيرسازهای

### ۱- دیوارهای غيرباربر و تیغه‌ها

در ساختمان برای ایجاد فضاهای غیر آجری استفاده نشده است دیوارهایی که ضخامت آنها کمتر از ۲۰ سانتیمتر است را می‌توان جز دیوارهای غيرسازهای (تیغه) محسوب نمود.

مطابق خواباط بند ۷-۳ استاندارد ۲۸۰۰ تیغه‌ها باید خواباط زیر را رعایت کنند:

۱- حداقل طول مجاز دیوار غیر سازه ای (بین دو پشت‌بند) باید از ۶ متر یا ۴۰ برابر ضخامت دیوار هر کدام که کمترند، بیشتر باشد. طول تیغه‌های موجودین دو پشت‌بند نهایتاً  $\frac{5}{27}$  متر است که با توجه به ضخامت آنها حدود ۲۷ سانتیمتر اين شرط ارضاء می‌گردد.

۲- حداقل ارتفاع مجاز تیغه‌ها از کف مجاور بیش از  $\frac{3}{5}$  متر نباشد. ارتفاع تیغه‌های ساختمان تا زیر سقف  $\frac{3}{30}$  متر می‌باشد. این بند استاندارد ۲۸۰۰ نیز ارضا می‌گردد.

۳- لبه فوقانی تیغه‌هایی که در تمام ارتفاع ساختمان ادامه ندارد باید با کلاف فولادی، بتنی یا چوبی که به سازه ساختمان و یا کلافهای احاطه کننده متصل می‌باشند، کلافبندی شود. در لبه فوقانی تیغه‌ها کلاف وجود نداشته ولی ارتفاع تیغه‌ها تا زیر سقف ساختمان می‌باشد و تیغه‌ها ضوابط این بند را ارضا نموده و آسیب‌پذیر نمی‌باشند.

۴- لبه قائم تیغه‌ها نباید آزاد باشد. این لبه باید به یک تیغه دیگر یا یک دیوار سازه‌ای و یا یکی از اجزای سازه و یا عنصر قائم متکی باشد. تیغه‌های این ساختمان با دیوارهای سازه‌ای متقاطع بوده و لبه قائم آنها به یک تیغه دیگر و یا یک دیوار سازه‌ای متصل گردیده است.

۵- در صورتی که دیوار و یا تیغه متکی برآن به صورت لاریز یا هشتگیر چیده شده باشد اتصال آنها کافی تلقی گردد. تیغه‌های ساختمان و دیوارهای متصل به آنها به صورت همزمان و هشتگیر ایجاد گردیده‌اند و اتصال آنها با یکدیگر کافی می‌باشد و از این لحاظ نیز آسیب‌پذیر نمی‌باشند.

## ۲- نمای ساختمان

در نماسازی با آجر ارجح است که آجر به طور همزمان با دیوار اجرا شود و ابعاد آن با مصالح دیوار یکسان باشد تا هر دو در هر رگ روی یک لایه ملات چیده شوند. نمای ساختمان با سنگ پلاک اجرا شده و قادر ترک عمیقی است لذا به نظر آسیب‌پذیر نمی‌باشد.

## ۳- جان‌پناه و دودکش‌ها

جان‌پناه ساختمان دارای ارتفاع و ضخامت  $0.3$  متر است و مطابق بند ۹-۶-۱-۶ دستورالعمل بهسازی لرزه‌ای ساختمان‌های موجود، جان‌پناه‌های بنایی غیرمسلح با نسبت ارتفاع به ضخامت بزرگتر از  $1/5$  نیاز به کنترل برای بهسازی دارند، این نسبت برای جان‌پناه مدرسه برابر با ۱ است که از این لحاظ آسیب‌پذیر نمی‌باشد.

## ۴- ارزیابی سیستم کلاف

در ارزیابی سیستم کلاف باید کلیه ضوابط بند ۳-۹ استاندارد ۲۸۰۰ رعایت گردد این ضوابط در بند انسجام کنترل گردیده‌اند. همچنین کنترل موارد زیر نیز الزامی است:

### ۱- ارزیابی کیفیت مصالح کلاف

چنانچه در بررسی‌های عینی کلاف، تخلخل یا نواقص دیگری در بتن مشاهده گردد، کلاف به لحاظ کیفیت نامناسب مصالح آسیب‌پذیر می‌باشد. همچنین استفاده از روش‌های مناسب آزمایشگاهی جهت تعیین مقاومت فشاری بتن توصیه می‌گردد. چنانچه

مقاومت فشاری بتن کمتر از ۱۵۰ کیلوگرم بر سانتیمترمربع باشد، کلاف آسیب‌پذیر تلقی می‌گردد. در ساختمان مورد مطالعه مقاومت بتن کلاوهای کمتر از میزان فوق بوده و آسیب‌پذیر می‌باشد.

### نتایج چکش اشمیت

| توضیحات     | حدود مقاومت فشاری<br>kg/cm <sup>2</sup> | عدد<br>میانگین | زاویه چکش<br>نسبت به افق<br>(degree) | قرائتها |    |    |    |    |    |    |    |    |    | مشخصات محل<br>آزمایش | ردیف |
|-------------|---|----------------|--------------------------------------|---------|----|----|----|----|----|----|----|----|----|----------------------|------|
|             |   |                |                                      | ۱۰      | ۹  | ۸  | ۷  | ۶  | ۵  | ۴  | ۳  | ۲  | ۱  |                      |      |
| HT-5,6: کد: | <100                                    | 16             | 0                                    |         |    |    | 16 | 17 | 17 | 14 | 15 | 16 | 14 | C-3                  | ۱    |
| HT-2,3: کد: | <100                                    | 17             | 0                                    | 17      | 16 | 15 | 18 | 16 | 16 | 15 | 16 | 18 | 18 | D-4                  | ۲    |
| F-1: کد:    | 119                                     | 22             | 0                                    |         |    |    | 23 | 20 | 23 | 20 | 21 | 22 | 23 | F-4                  | ۳    |

### نتایج کر گیری

| مقاآمت<br>فشاری نهایی<br>(kg/cm <sup>2</sup> )    | ضرایب تصحیح |      |      | وجود میلگرد عمود بر محور منزه |             |                      |             | مقاآمت<br>فشاری<br>(kg/cm <sup>2</sup> ) | نیروی<br>گسیختگی<br>(kg) | وزن<br>مخصوص<br>(gr/cm <sup>3</sup> ) | وزن<br>(gr) | نسبت<br>ارتفاع به<br>قطر<br>(L/D) | ارتفاع<br>(L)<br>(cm) | قطر<br>(D)<br>(cm) | امتداد<br>افقی:<br>عمودی:<br>۱:۰ | شماره<br>نمونه | ردیف |
|---|-------------|------|------|-------------------------------|-------------|----------------------|-------------|--|--------------------------|---------------------------------------|-------------|-----------------------------------|-----------------------|--------------------|----------------------------------|----------------|------|
|   | جود         | L/D  | جود  | if                            | $\varphi.d$ | جود<br>فاحله<br>(cm) | جود<br>(mm) |  |                          |                                       |             |                                   |                       |                    |                                  |                |      |
| 82  | 1.00        | 0.87 | 1.00 | —                             | —           | —                    | —           | 93                                       | 6.350                    | 2.13                                  | 1.518       | 1.13                              | 10.50                 | 9.30               | 0                                | F1             | ۱    |
|   |             |      |      | —                             | —           | —                    | —           |  |                          |                                       |             |                                   |                       |                    |                                  |                |      |
|   |             |      |      | —                             | —           | —                    | —           |  |                          |                                       |             |                                   |                       |                    |                                  |                |      |
| محل نمونه برداری: فونداسیون - طبقه همکف : (F-4)   |             |      |      |                               |             |                      |             |  |                          |                                       |             |                                   |                       |                    |                                  |                |      |
| 129   | 1.00        | 1.00 | 1.00 | —                             | —           | —                    | —           | 129                                      | 8.750                    | 2.18                                  | 2.766       | 2.01                              | 18.70                 | 9.30               | 0                                | F2             | ۲    |
|   |             |      |      | —                             | —           | —                    | —           |  |                          |                                       |             |                                   |                       |                    |                                  |                |      |
|   |             |      |      | —                             | —           | —                    | —           |  |                          |                                       |             |                                   |                       |                    |                                  |                |      |
| + محل نمونه برداری: فونداسیون - طبقه همکف : (F-4) |             |      |      |                               |             |                      |             |  |                          |                                       |             |                                   |                       |                    |                                  |                |      |

### ۲- ارزیابی اتصالات اجزای کلاف

چنانچه در بررسی‌های انجام شده مشخص گردد که میلگردهای کلاف بتی در اتصالات همپوشانی لازم را نداشته و یا اتصالات کلاوهای فولادی مناسب نباشند، سیستم کلاف به لحاظ وضعیت نامناسب اتصالات آسیب‌پذیر می‌باشد. در این ساختمان کلاوهای افقی فلزی و کلاوهای قائم بتی می‌باشند و اتصال مناسبی بین آنها برقرار نیست و از این لحاظ آسیب‌پذیر می‌باشند.

### ۳- ارزیابی سیستم کلاف بواسطه وجود انفصل

چنانچه کلاف افقی و یا قائم در هر تراز از ساختمان بواسطه وجود بازشو و یا نیم طبقه ادامه نیافته و به کلاف قائم و یا افقی مجاور متصل نباشد، سیستم کلاف به لحاظ وجود انفصل آسیب‌پذیر می‌باشد. در کلاوهای افقی و قائم ساختمان بازشو وجود نداشته در نتیجه از این لحاظ آسیب‌پذیر نمی‌باشند.

#### ۴- ارزیابی کلاف بواسطه عبور لوله

در صورتیکه لوله آب، فاضلاب و یا دودکش از کلاف افقی و یا قائم عبور نماید و قطر انفال ایجاد شده بیش از یک هشت‌عرض کلاف باشد، کلاف به لحاظ وجود انفال آسیب‌پذیر می‌باشد. ساختمان از این لحاظ آسیب‌پذیر نمی‌باشد.

#### ۵- ارزیابی اتصال دیوار و کلاف

در صورتیکه بین دیوار و کلاف اتصال مناسبی وجود نداشته باشد این اتصال آسیب‌پذیر است. در این ساختمان اتصال کلافهای قائم به دیوارها مناسب ارزیابی می‌گردد.

#### ۶- ارزیابی وجود کلاف افقی پی

در صورتیکه در تراز پی از کلاف افقی استفاده نشده باشد و خود پی نیز به واسطه ناپیوستگی، قابلیت ایفای نقش کلاف افقی را نداشته باشد، سیستم کلاف بندی آسیب‌پذیر می‌باشد. مطابق با بررسی‌های انجام شده پی ساختمان از این لحاظ آسیب‌پذیر نمی‌باشد.

#### -کنترل واژگونی

جهت کنترل ساختمان در برابر واژگونی از روابط فصل ۳ دستورالعمل بهسازی لرزه‌ای استفاده می‌شود در این روشها، لنگر مقاوم واژگونی در هر طبقه برابر لنگر مقاوم بارهای مرده در طبقه موردنظر می‌باشد. در هنگام وجود برکنش در طبقه موردنظر، لنگر مقاوم واژگونی از حاصل جمع لنگر مقاوم بارهای مرده بعلاوه لنگر ناشی از ظرفیت انتقال کشش در ستونهای کششی بدست می‌آید.

#### ۱- محاسبه نیروی برشی جهت کنترل واژگونی ساختمان

جهت محاسبه نیروی جانبی از ضوابط بند ۲-۱-۳-۳ دستورالعمل بهسازی لرزه‌ای استفاده می‌کنیم.

در روش تحلیل استاتیکی خطی، نیروی جانبی ناشی از زلزله ( $V$ ) به صورت ضربی از وزن کل ساختمان ( $W$ ) محاسبه می‌شود:

$$V = C_1 C_2 C_3 C_m S_a W$$

$W$  = وزن کل ساختمان، شامل وزن مرده ساختمان و درصدی از سربار زنده

$S_a$  = شتاب طیفی به ازای زمان تناوب اصلی  $T$  است.

$C_1$  = ضریب تصحیح برای اعمال تغییرمکانهای غیرارتیجاعی سیستم است، که از رابطه زیر بدست می‌آید.

$$C_1 = 1 + \frac{T_s - T}{2T_s - 0.2}$$

در این رابطه  $T$  زمان تناوب اصلی سازه است و  $T_s$  زمان تناوب مشترک بین دو ناحیه شتاب ثابت و سرعت ثابت در طیف بازتاب طرح و مقدار آن براساس بند ۳-۴-۲ استاندارد ۲۸۰۰ به دست می‌آید.

در هر صورت مقدار  $C_1$  باید از ۱ کمتر و از  $1/5$  بیشتر انتخاب شود.

$C_2$  = اثرات کاهش سختی و مقاومت اعضاًی سازه‌ای را بر تغییر مکانها به دلیل رفتار چرخشی آنها وارد می‌کند و مقدار آن برای تحلیل خطی یک فرض می‌شود.

$C_3$  = برای اعمال اثرات  $P - \Delta$  با رفتار غیرخطی مصالح می‌باشد.

$C_m$  = برای اعمال اثر مودهای بالاتر

### جدول ۱۸ - مشخصات خاک منطقه

| S   | T <sub>S</sub> | T <sub>o</sub> | نوع زمین |
|-----|----------------|----------------|----------|
| 1.5 | 0.5            | 0.1            | II       |

$$T = 0.05 \times (H)^{3/4}$$

$$H = 3.9m \quad (\text{ارتفاع ساختمان})$$

$$T = 0.05 \times 3.9^{(0.75)} = 0.138$$

$$T_o \leq T \leq T_s \Rightarrow S = 1.5 \text{ & } B = 2.5$$

$$S_a = BA = 0.75$$

$$C_1 = 1 + \frac{T_s - T}{2T_s - 0.2} \leq 1.5$$

$$C_1 = 1 + \frac{0.50 - 0.138}{2 \times 0.5 - 0.2} = 1.452 \leq 1.5$$

$$C_2 = C_3 = 1$$

در تحلیل خطی

و براساس جدول (۱-۳) دستورالعمل بهسازی لرزه‌ای در ساختمان‌های یک طبقه ۱ در نظر گرفته می‌شود. در نتیجه:

$$V = 1.452 \times 1 \times 1 \times 0.75 \times W$$

$$V = 1.089 \times 561.205 = 611.15$$

### ۲- توزیع نیروی جانبی در ارتفاع

ساختمان یک طبقه بوده و نیاز به توزیع نیرو در ارتفاع ندارد.

### ۳- کنترل لنگر واژگونی ساختمان

#### کنترل لنگر واژگونی

| طبقه  | h(m) | f <sub>x</sub> (ton) | f <sub>y</sub> (ton) | W <sub>D</sub> | X <sub>جهت</sub><br>M <sub>o</sub> =f <sub>x</sub> × h | y <sub>جهت</sub><br>M <sub>o</sub> =f <sub>y</sub> × h | X(m)  | Y(m)  | X <sub>جهت</sub><br>M <sub>R</sub> =W <sub>D</sub> × x / 2 | y <sub>جهت</sub><br>M <sub>R</sub> =W <sub>D</sub> × y / 2 |
|-------|------|----------------------|----------------------|----------------|--|--|-------|-------|--|--|
| 1     | 3.90 | 611                  | 611                  | 545.57         | 2382.9   | 2382.9   | 31.72 | 15.67 | 8652.74  | 4274.54  |
| مجموع |      |                      |                      |                | 2382.9   | 2382.9   |       |       | 8652.74  | 4274.54  |

W<sub>D</sub> وزن طبقه ناشی از بار مرده

طبق بند ۱-۲-۳ دستورالعمل بهسازی، جهت کنترل واژگونی از رابطه زیر استفاده می‌شود:

$$M_{ST} > \frac{M_{OT}}{C_1 C_2 C_3 J}$$

در رابطه فوق:

$$M_{ST} = \text{لنگر مقاوم ناشی از بارهای مرده}$$

$$M_{OT} = \text{لنگر واژگونی در طبقه موردنظر}$$

$J$  = ضریب کاهش بار است که براساس بند ۳-۱-۴ دستورالعمل بهسازی برای مناطق زلزله خیز با خطر نسبی بسیار زیاد و زیاد برابر ۲ در نظر گرفته می‌شود.

$$x = \frac{2382.9}{1 \times 1 \times 1.452 \times 2} = 820.56 \text{ ok}$$

$$y = \frac{2382.9}{1 \times 1 \times 1.452 \times 2} = 820.56 \text{ ok}$$

بنابراین ساختمان از نظر واژگونی مشکلی ندارد.

### -کنترل تیرهای فلزی سقف و نعل در گاه

#### ۱- تیرهای سقف

الف) مطابق با توضیحات ارایه شده نوع سقف از طاق ضربی و تیرهای IPE160 در فواصل ۱ متری می‌باشد.

برای کنترل آنها از ضوابط فصل پنجم دستورالعمل استفاده می‌کنیم.

برای بلندترین دهانه (بحرانی ترین حالت) کنترل می‌گردد:

$$L_{(m)} = 5.52m$$

$$\text{عرض بارگیر} = 100 \text{ cm}$$

$$\text{بار مرده} = 620 \text{ kg/m}^2$$

$$\text{بار زنده} = 150 \text{ cm}$$

$$q = (0.620 + 0.150) \times 1.00 = 0.77 \text{ ton/m}$$

$$comb1 = 1.1(Q_{DL} + Q_{LL})$$

طبق دستورالعمل بهسازی

$$\Rightarrow Q = 1.1 \times 0.77 = 0.847 \text{ ton/m}$$

باروارد بر واحد طول تیر

کنترل خمسی طبق بند ۴-۳-۲ دستورالعمل بهسازی:

$$M_{\max} = \frac{QL^2}{8}$$

$$M_{\max_1} = \frac{0.847 \times 5.52^2}{8} = 3.23 \text{ ton.m}$$

تیرها با عملکرد رفتاری کنترل شونده توسط تغییرشکل در نظر گرفته می‌شوند. تلاشها در اعضای اصلی و غیراصلی که توسط تغییرشکل کنترل می‌شوند از رابطه زیر بدست می‌آید:

$$mkQ_{CE} \geq Q_{UD}$$

$$Q_{CE} = M_{CE} = M_{PCE} = ZF_{ye}$$

: اساس مقطع خمیری

: تنش تسليیم مورد انتظار مصالح

$$F_{ye} = 1.1 \times F_y \Rightarrow F_{ye} = 1.1 \times 2400 = 2640 \text{ kg/cm}^2$$

$$Z = 123 \text{ cm}^3$$

$$M_{PCE} = 123 \times 2640 = 324720 \text{ kg.cm}$$

$K =$  ضریب آگاهی طبق بند (۴-۲-۵) دستورالعمل بهسازی

طبق جدول (۵-۲) دستورالعمل چنانچه شرایط زیر برقرار باشد و سطح عملکرد مورد انتظار LS (ایمنی جانی) موردنظر باشد "m=6" انتخاب می‌شود.

$$\text{(الف)} \quad \frac{h}{t_m} \leq \frac{3185}{\sqrt{F_{ye}}}$$

$$\text{(ب)} \quad \frac{b_f}{2t_f} \leq \frac{420}{\sqrt{F_{ye}}}$$

IPE ۱۶۰ برای پروفیل

$$\frac{h}{t_w} = \frac{16}{0.50} = 32 \leq \frac{3185}{\sqrt{2640}} = 61.98 \quad \text{OK✓} \quad \text{(الف)}$$

$$\frac{b_f}{2t_f} = \frac{8.2}{2 \times 0.74} = 5.54 \leq \frac{420}{\sqrt{2640}} = 8.17 \quad \text{OK✓} \quad \text{(ب)}$$

$$\Rightarrow mkQ_{CE} = 6 \times 1 \times 324720 = 1,948,320 \text{ kg.cm} = 19.48 \text{ ton.m}$$

$$M_{UD1} = 3.23 \text{ ton.m}$$

$$M_{UD1} < mkQ_{CE}$$

## ۲- تیرهای نعل درگاه

مطابق با برداشت‌های انجام شده پنجره‌ها به تراز زیر سقف متصل شده‌اند و ساختمان فاقد نعل درگاه است در نتیجه آسیب‌پذیر نمی‌باشد.

### موارد آسیب‌پذیر و روش‌های بهسازی آن

| ردیف | مواردی که نیاز به بهسازی دارند   | طرح پیشنهادی                               |
|------|--|--|
| ۱    | افزایش مقاومت جانبی دیوارهای باربر   | استفاده از روکش بتنی                       |
| ۲    | انسجام سقف و افزودن یکپارچگی آن  | اجرای تسمه ضربدری                          |
| ۳    | انسجام سقف و دیوار برابر   | استفاده از نبشی‌های سرتاسری                |
| ۴    | پرتاب خارج از صفحه دیوارها   | روکش بتنی و استفاده از کلافهای فولادی      |
| ۵    | بهسازی بازشوها   | روکش بتنی                                  |
| ۶    | بهسازی طول آزاد دیوارها  | تعییه کلاف قائم با روکش بتنی یا ورق فولادی |
| ۷    | افزایش ضخامت دیوار   | استفاده از روکش بتنی                       |
| ۸    | بهسازی جانپناه بام   | آسیب‌پذیر نمی‌باشد                         |
| ۹    | طول تکیه‌گاهی تیرهای سقف   | بوسیله نبشی‌های سرتاسری                    |
| ۱۰   | مقاومت برشی حداقل ملات   | استفاده از روکش بتنی                       |
| ۱۱   | کنترل رفتار المانهای مقاوم در برابر بارهای جانبی با توجه به انعطاف‌پذیری سقف | استفاده از روکش بتنی                       |

### معرفی طرح نهایی بهسازی

#### ۱- بهسازی سقف

جهت ایجاد انسجام و یکپارچگی در سقف طاق ضربی ساختمان از روش زیر برای بهسازی استفاده می‌شود:

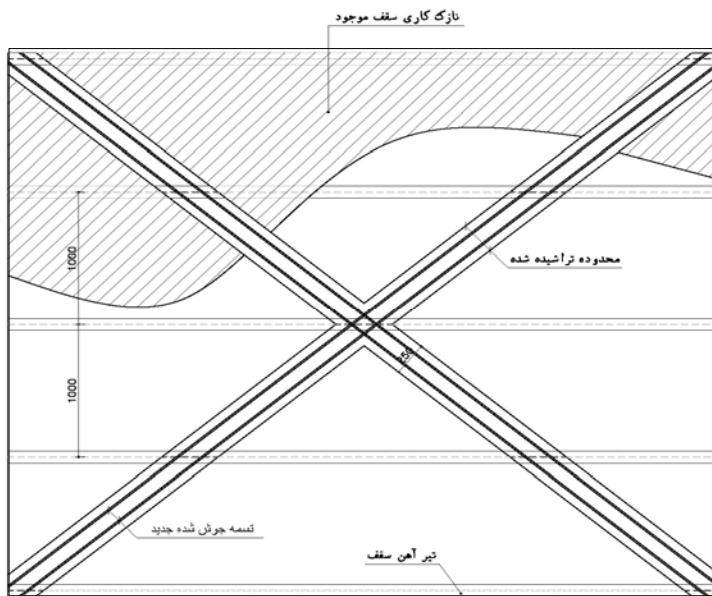
اندود سقف را از داخل هر اتاق به صورت ضربدری تراشیده می‌شود تا تیر آهن‌های سقف موجود مشخص شوند. نبشی‌های پیرامونی که مربوط به اتصال روکش بتنی به سقف می‌باشند در محل خود نصب می‌گردند. یک جفت تسمه مطابق شکل ۱-۸-ح به زیر تیر آهن‌های سقف موجود و انتهای نبشی‌های پیرامونی جوش می‌شوند.

در این روش سقف به صورت کامل صلب نمی‌شود ولی انسجام و یکپارچگی مناسبی در آن بوجود می‌آید.

مهاربندی‌های ضربدری برای تیر آهن‌های سقف طاق ضربی یکی از شرایط لازم جهت ایجاد انسجام و یکپارچگی سقف می‌باشد.

مزایای استفاده از این روش:

- آسیب نرسیدن به کفسازی و عدم نیاز به کفسازی مجدد.
- حجم پایین تخریب.
- آسیب کمتر به تاسیسات مکانیکی و برقی موجود در کف.
- اقتصادی‌تر بودن این روش نسبت به سایر روشها.
- سهولت اجرا.



شکل مثال ۱-۱-ح- بهسازی سقف با تسمه فولادی

## ۲- روکش بتنی

در این روش شبکه‌ای از میلگرد‌های افقی و قائم روی دیوار نصب می‌شود و سپس بر روی آن بتن می‌پاشند. ابتدا نازک کاری موجود دیوار تراشیده شده، سطوح آجری کاملاً تمیز می‌شوند و برای ایجاد چسبندگی بیشتر سطوح صاف زخمی می‌گردند. قبل از پاشیدن بتن، زیرکار را کمی تر می‌کنند، اما نه چندان که بتن فرو ریزد. همچنین قبل از شروع، قسمتهایی از زیر کار را که خرد شده یا سست می‌باشند از دیوار جدا می‌گردند. پس از تراشیدن نازک کاری، برشگیرها مطابق با جزئیات اجرایی ارائه شده در محل خود نصب شده و اطراف آنها با گروت پر می‌شود. بعد از نصب برشگیرها شبکه فولادی در محل خود نصب می‌شود. تمامی آرماتورها به نبشی‌های فوقانی و تحتانی جوش شده و برشگیرها نیز به شبکه متصل می‌شوند. عمل پاشش باستی توسط بتن پاش انجام شده و در چند لایه صورت گیرد تا میزان گودشدگی به حداقل برسد. در نقاطی که پاشش خوب انجام نشده و به عوارضی همچون گودشدگی، برآمدگی و یا پوسته شدن، انجامیده است بتن تراشیده و دوباره پاشیده می‌شود.

با ایجاد روکش بتنی در سطوح بیرونی یا درونی دیوارهای آجری می‌توان مقاومت لرزه‌ای ساختمان را به طور چشمگیری افزایش داد، آنگاه این دیوارهای آجری- بتنی می‌توانند دیوارهای برشی بتنی نیروی جانبی زلزله را بگیرند.

باید توجه داشت که در محل اتصال دیوار به سقف، روکش قطع می‌شود و در نتیجه نیروهای وارد به ساختمان در تراز سقف به روکش منتقل نمی‌شوند. برای رفع این نقص از نبشی‌های محیطی افقی در زیر سقفها استفاده می‌شود.

## ۳- تقویت پی دیوارهای روکش شده

نیروی افقی حاصل از زلزله که به دیوارهای روکش شده وارد می‌شود باید به زمین منتقل شود. در محل اتصال روکش بتنی با فونداسیون برای روکش بتنی، پی جدیدی احداث می‌گردد این پی جدید روی فونداسیون اجرا می‌شود. ابعاد این فونداسیون باید به صورتی انتخاب شود که نیروهای وارد بر روکش را تحمل نماید. با توجه به اینکه در روکش بتنی اجرا شده در اثر بارهای

جانبی علاوه بر برش، خمش هم ایجاد می‌گردد، باید در بالا و پائین مقطع پی آرماتور به کار بردش شود و با توجه به اینکه رفتار این دیوارها به صورت کلی برشی بوده و به علت گستردگی و یکپارچه عمل کردن دیوارهای تقویت شده مقدار خمش ایجاد شده در پی کم است، این پی‌ها نیاز به ارتفاع زیادی ندارند.

#### ۴- انسجام سقف و دیوار

با توجه به ارزیابی‌های انجام شده تیرهای سقف بدون هیچ مهار و یا تمهدی روی کلاف افقی قرار گرفته‌اند. جهت انسجام سقف و دیوار راهکار زیر پیشنهاد می‌گردد.

در زیر سقف جهت ایجاد اتصال بین سقف طاق ضربی و دیوار، از نبشی سرتاسری که توسط بولتهایی در فواصل معین به کلافها متصل شده است و تیرچه‌های سقف نیز به این نبشی‌ها جوش می‌شوند، استفاده می‌شود. این نبشی‌ها در روکش بتی نیز مورد استفاده قرار می‌گیرند و میلگردهای روکش به این نبشی‌ها متصل می‌شوند.

مزایای استفاده از راهکارهای فوق:

۱- تحریب کم

۲- سهولت اجرا

۳- ایجاد انسجام کافی به طور همزمان برای سقف

۴- بستن پا طاق سقف طاق ضربی

۵- تامین طول نشیمن کافی برای تیرچه‌ها

۶- جوش میلگردهای روکش بتی به نبشی‌ها

۷- تامین انسجام سقف و دیوارها و کلافها

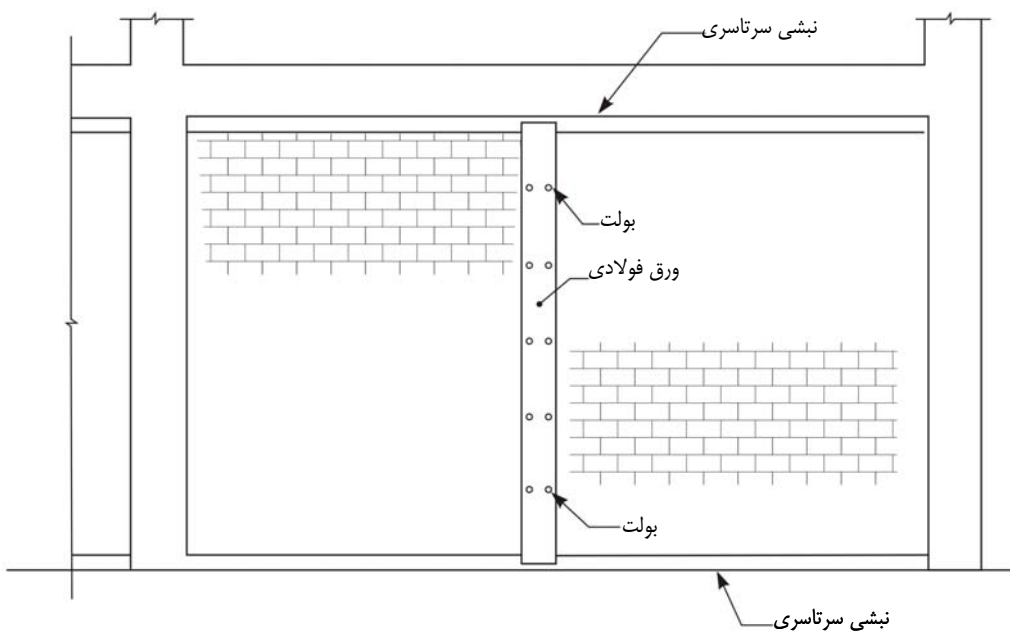
۸- تامین اتصالات لازم جهت تامین مقاومت پرتاپ خارج از صفحه

#### ۵- تامین مقاومت لازم جهت ممانعت از پرتاپ خارج از صفحه

طبق ارزیابی‌های انجام شده بعلت عدم وجود اتصال مناسب بین دیوار و کلافهای قائم وافقی، امکان پرتاپ خارج از صفحه دیوار در اثر نیروی زلزله وجود دارد در صورت عدم استفاده از روکش بتی بمنظور مقاومسازی دیوار، برای کنترل پرتاپ خارج از صفحه آنها از تسمه‌هایی که به دو طرف دیوار متصل می‌گردند و با بولت به یکدیگر متصل می‌شوند، استفاده می‌گردد. در دیوارهایی که طول آزاد بیشتر از ۵ متر دارند این کلافها آسیب‌پذیری ناشی از طول زیاد دیوارها را نیز مرتفع می‌سازند.

#### ۶- بهسازی دیوارهای با بازشو

دیوارهایی که به علت وجود بازشو آسیب‌پذیر می‌باشند با ایجاد روکش بتی بهسازی می‌گردند این روکش بتی هم مقاومت دیوار در برابر بارهای جانبی را افزایش می‌دهد و هم موارد دیگر آسیب‌پذیری موجود را از بین می‌برد.



شکل مثال ۱-۱-خ- کنترل پرتاپ خارج از صفحه

#### ۷- بهسازی دیوارهایی که شرایط حداقل کیفیت ملات را ندارند.

طبق بند ۷-۱-۲-۳ دستورالعمل بهسازی چنانچه مقاومت برشی ملات دیوارها کمتر از ۲ کیلوگرم بر سانتیمترمربع باشد آن دیوارها شرایط حداقل کیفیت ملات را دارا نمی‌باشند و به لحاظ مقاومت برشی آسیب‌پذیر هستند. با استفاده از روکش بتی این نقص برطرف می‌گردد. با توجه به این ضعف میزان روکش بتی و ضخامت آن طوری باید محاسبه گردد که چنانچه بار وارد بر دیوار بر حسب سختی بین دیوار و روکش تقسیم گردد نیروی وارد به دیوار بیش از مقاومت برشی آن نگردد (دیوار پایدار بماند) و همچنین روکش و میلگرددهای آن توانایی تحمل بار وارد بر حسب سختی روکش را دارا باشند.

#### ۸- بهسازی رفتار دیوارهادر برابر بارهای جانبی با در نظر گرفتن انعطاف پذیری سقف.

سقف ساختمان بوسیله نبشی‌های پیرامونی و تسممه‌های ضربدری منسجم می‌شود ، بعلت ساختار سقف و اجرای آن با طاق خربی، پس از انسجام نیز نمی‌توان سقف را کاملاً صلب فرض نمود. بنابراین نیروی وارد شده به هر دیوار با فرض سقف منعطف و بر حسب سطح بارگیر آن ، محاسبه می‌شود.

#### ارزیابی تفصیلی فنی طرح نهایی بهسازی

##### ۱- مقدار روکش بتی مورد نیاز

با توجه به اینکه بتی با ضخامت کم و همچنین کیفیت نامناسب به روی دیوار پاشیده می‌شود و همچنین با توجه به سوابق و تجربیات اجرای روکش بتی، در محاسبه ظرفیت دیوارها از مقاومت برشی بتی صرف‌نظر شده و صرفاً مقاومت برشی آرماتورهای مورد استفاده منظور می‌گردد. برای محاسبه روکش بتی به آیین نامه‌های معتبر مراجعه شود.

## ۲- محاسبه ابعاد چشممه‌های آرماتور مورد نیاز

بهسازی سقف منجر به منسجم شدن آن می‌گردد و دیوارها بر حسب سختی خود بار تحمل نمی‌کنند و تنها نسبت سطح بار گیر آنها معین کننده نیروی وارد به هر دیوار می‌باشد. با این فرض و توضیحات بند فوق نیروی برشی سهم هر دیوار را تنها مقاومت برشی ملات و میلگرددهای روکش بتی اجرا شده روی آن تحمل می‌کند و آرماتورهای آن به صورت زیر محاسبه می‌گردد:

ابتدا نیروی برشی دیوار بر حسب سطح بار گیر آن معین می‌شود و سپس با فرض اینکه این نیرو به نسبت سختی بین روکش و دیوار تقسیم می‌گردد، آرماتورهای روکش بتی طراحی می‌شود.

میزان افزایش وزن ساختمان بدلیل اجرای روکش بتی برابر است با:

$$L_{total} = 260 \text{ m}$$

$$t_{shot} = 6 \text{ cm}$$

$$W_{shot} = 0.06 \times 260 \times 3.60 \times 2.5 = 140.4 \text{ ton}$$

$$V = 0.33 AIW$$

$$V = 0.33 \times 0.3 \times 1.2 \times \frac{1}{2} \times 140.4 = 8.339 \text{ ton}$$

$$V_{total} = 66.67 + 8.339 = 75 \text{ ton}$$

محاسبه روکش بتی برای دیوار شماره ۱ در راستای طولی ساختمان

$$A_1 = 31.72 \times \frac{5.95}{2} = 94.37 \text{ m}^2$$

سطح بار گیر دیوار:

$$\frac{A_1}{A_{total}} = \frac{94.37}{521} = 0.1811$$

نسبت سطح بار گیر به مساحت کل:

نیروی برشی وارد به دیوار (روکش و دیوار بنایی):

$$V_1 = 0.1811 \times V_{total}$$

$$V_1 = 0.1811 \times 75 = 13.582 \text{ ton}$$

با توجه به مقاومت برشی ملات دیوارها، مقدار نیروی برشی قابل تحمل دیوار مطابق زیر محاسبه می‌گردد:

$$L_{net} = 11.31 \text{ m}$$

طول خالص دیوار بدون بازشو

$$t_{eff} = 0.35 \text{ m}$$

ضخامت مؤثر

$$v_a = 0.0745 \text{ kg/cm}^2$$

تنش مجاز برشی ملات

$$\Rightarrow V_{wall} = 11.31 \times 0.35 \times 0.0745 \times \frac{10^{-3}}{10^{-4}} = 2.95 \text{ ton}$$

مقاومت برشی دیوار

با توجه به توزیع نیرو بر حسب سختی نباید نیروی وارد به دیوار از مقدار فوق تجاوز کند.

محاسبه نسبت سختی روکش و دیوار:

سختی روکش بتنی از رابطه زیر بدست می‌آید:

$$k = \frac{1}{\frac{h^3}{12E_c I_{gc}} + \frac{h}{A_v G_c}}$$

$$E_c = 15100\sqrt{f_c}$$

$$G_c = \frac{E_c}{2(1+\nu)}$$

سختی دیوار از رابطه زیر بدست می‌آید

$$k = \frac{1}{\frac{h^3}{12E_{me} I_{gme}} + \frac{h}{A_v G_{me}}}$$

$$E_{me} = 550f_{me}$$

$$G_{me} = 0.40E_{me}$$

با توجه به رابطه‌های فوق نسبت سختی روکش بتنی به سختی دیوار بنایی برابر است با:

$$\frac{k_{shot}}{k_{wall}} = \frac{E_c t_c}{E_{me} t_{me}} \times \left[ \frac{\left(\frac{h}{l}\right)^2 + 2.5}{\left(\frac{h}{l}\right)^2 + 2.5} \right]$$

برای دیوار شماره ۱ و با فرضیات زیر این نسبت محاسبه می‌گردد:

$$f_c = 150 \frac{kg}{cm^2}$$

$$E_c = 15100\sqrt{150} = 184936 \frac{kg}{cm^2}$$

$$t_c = 6 cm$$

$$f_{me} = 15 \frac{kg}{cm^2}$$

$$E_{me} = 550 \times 15 = 8250 \frac{kg}{cm^2}$$

$$t_{me} = 35 cm$$

$$h = 360 cm$$

$$L_{net} = 1131 cm$$

$$\frac{k_{shot}}{k_{wall}} = \left[ \frac{184936 \times 6}{8250 \times 35} \right] = 3.84$$

مقدار نیروی برشی واردہ به روکش بتنی برابر است با:

$$\begin{cases} \frac{V_{shot}}{V_{wall}} = 3.84 \\ V_{shot} + V_{wall} = 13.582 \text{ ton} \end{cases} \Rightarrow \begin{cases} V_{shot} = 10.776 \text{ ton} \\ V_{wall} = 2.806 \text{ ton} \leq V_{\max(wall)} = 2.95 \text{ ton} \text{ ok} \end{cases}$$

با توجه به اینکه بتن با ضخامت کم و کیفیت نامناسب به روی دیوار پاشیده می‌شود و همچنین با توجه به سوابق و تجربیات اجرای روکش بتنه، در محاسبه از مقاومت برشی بتن صرفنظر شده و صرفاً مقاومت برشی آرماتورهای مورد استفاده منظور می‌شود.

#### محاسبه ابعاد چشممه‌های میلگرد روکش بتنه:

فواصل میلگردهای افقی با توجه به نیروی برشی وارد بر دیوار:

$$s = \frac{A_s f_s d}{V}$$

$$f_s = 0.55 \times F_y = 0.55 \times 3000 = 1650 \frac{\text{kg}}{\text{cm}^2}$$

$$d = 0.8 L_{net}$$

$$\text{If use } \Phi 4 \Rightarrow s = \frac{0.125 \times 0.55 \times 3000 \times (1131 \times 80\%)}{10.776 \times 1000} \Rightarrow s = 17.31 \text{ cm}$$

#### فواصل میلگردهای قائم:

مساحت مقطع میلگرد قائم برای مقابله با شکست خمشی از رابطه زیر محاسبه می‌گردد:

$$A_s = \frac{\left[ \frac{h}{l} \times 1.4 \times V - \frac{1}{2} \times (W_1 + W_2) \right]}{0.35 \times F_Y}$$

با توجه به اینکه روکش بار ثقلی را تحمل نمی‌کند از این بار صرفنظر می‌کنیم.

$W_1$  = وزن دیوار برابر با وزن روکش می‌باشد.

$W_2$  = وزن سربار دیوار برابر با صفر در نظر گرفته می‌شود.

$$W_1 = 11.31 \times 3.60 \times [(0.06 \times 2.5)] = 6.107 \text{ ton}$$

$$W_2 = 0 \text{ ton}$$

$$V = 10.776 \text{ ton}$$

$$A_s = \frac{\left[ \frac{360}{1131} \times 1.4 \times 10776 - (0.5 \times 6107) \right]}{0.35 \times 3000} = 1.66 \text{ cm}^2 \Rightarrow \text{use } A_s \text{ min}$$

با توجه به محاسبات فوق از همان قطر و فواصل میلگرد افقی برای آرماتورهای قائم استفاده می‌گردد.

در ادامه ابعاد چشممه‌های آرماتور برای تمامی دیوارهای ساختمان در غالب جدول محاسبه گردیده است:

## ابعاد شبکه‌های آرماتور

| نام دیوار | سطح بازگیر | نسبت مساحت به کل طبقه | مقدار نیروی برشی وارد | مقدار نیروی محرک دیوار | ضخامت موثر | مقاومت نهایی برشی دیوار | نسبت مساحت روشی به دیوار | نیروی وارد به دیوار تحت اثر بار چاپی | بلندی دیوار تحت اثر بار چاپی | نیروی وارد به دیوار پلیداری دیوار | نیروی وارد به دیوار روکش بتنی | $S = \{A_s f_s c / V\}$<br>$\phi = 4_{mm}$ |
|-----------|------------|-----------------------|-----------------------|------------------------|------------|-------------------------|--------------------------|--------------------------------------|------------------------------|-----------------------------------|-------------------------------|--|
| 1         | 94.37      | 0.18                  | 13.58                 | 31.72                  | 11.31      | 0.35                    | 2.949                    | 3.84                                 | 2.805                        | ok                                | 10.779                        | 17.31                                      |
| 2         | 155.43     | 0.30                  | 22.37                 | 31.72                  | 19.40      | 0.35                    | 5.059                    | 3.84                                 | 4.620                        | ok                                | 17.754                        | 18.03                                      |
| 3         | 110.35     | 0.21                  | 15.89                 | 22.07                  | 12.59      | 0.35                    | 3.283                    | 3.84                                 | 3.280                        | ok                                | 12.605                        | 16.48                                      |
| 4         | 22.37      | 0.04                  | 3.22                  | 6.30                   | 3.40       | 0.35                    | 0.887                    | 3.84                                 | 0.665                        | ok                                | 2.555                         | 21.96                                      |
| 5         | 66.21      | 0.13                  | 9.53                  | 22.07                  | 8.17       | 0.35                    | 2.130                    | 3.84                                 | 1.968                        | ok                                | 7.563                         | 17.82                                      |
| 6         | 51.29      | 0.10                  | 7.38                  | 13.15                  | 13.15      | 0.35                    | 3.429                    | 3.84                                 | 1.524                        | ok                                | 5.858                         | 37.04                                      |
| 7         | 37.40      | 0.07                  | 5.38                  | 7.48                   | 6.46       | 0.35                    | 1.684                    | 3.84                                 | 1.112                        | ok                                | 4.272                         | 24.95                                      |
| 8         | 47.22      | 0.09                  | 6.80                  | 6.44                   | 6.44       | 0.35                    | 1.679                    | 3.84                                 | 1.404                        | ok                                | 5.394                         | 19.70                                      |
| 8-1       | 64.42      | 0.12                  | 9.27                  | 6.17                   | 6.17       | 0.35                    | 1.609                    | 3.84                                 | 1.915                        | Nok                               | 7.359                         | 13.83                                      |
| 9         | 112.82     | 0.22                  | 16.24                 | 15.67                  | 12.61      | 0.35                    | 3.288                    | 3.84                                 | 3.354                        | Nok                               | 12.888                        | 16.14                                      |
| 10        | 112.04     | 0.22                  | 16.13                 | 15.67                  | 12.61      | 0.35                    | 3.288                    | 3.84                                 | 3.330                        | Nok                               | 12.798                        | 16.26                                      |
| 11        | 58.76      | 0.11                  | 8.46                  | 15.67                  | 12.61      | 0.35                    | 3.288                    | 3.84                                 | 1.747                        | ok                                | 6.712                         | 31.00                                      |

مطابق جدول فوق با توجه به اجرای روکش به ضخامت ۶ سانتیمتر و همچنین تقسیم نیروی بر حسب سختی، نیروهای وارد بر دیوارهای مشخص شده، بیش از مقاومت برشی دیوار بوده و پس از اعمال نیروی جانبی دیوار پایدار نخواهد ماند، برای رفع این نقیصه لازم است که نسبت سختی روکش به دیوار افزایش یابد و در نتیجه باید ضخامت روکش افزایش یابد با توجه به نحوه اجرا روکش بتی و محدودیتهای آن، از روکش دوره استفاده می‌گردد.

#### - محاسبه روکش بتی برای دیوار شماره ۱-۸ در راستای عرضی ساختمان

محاسبه سختی روکش بتی دوره

$$\frac{k_{shot}}{k_{wall}} = \frac{E_c t_c}{E_{me} t_{me}}$$

$$f_c = 150 \frac{kg}{cm^2}$$

$$E_c = 15100\sqrt{150} = 184936 \frac{kg}{cm^2}$$

$$t_c = 2 \times 6 cm$$

$$f_{me} = 15 \frac{kg}{cm^2}$$

$$E_{me} = 550 \times 15 = 8250 \frac{kg}{cm^2}$$

$$t_{me} = 35 cm$$

$$h = 360 cm$$

$$l_{net} = 617 cm$$

$$\frac{k_{shot}}{k_{wall}} = \left[ \frac{184936 \times 2 \times 6}{8250 \times 35} \right] = 7.69$$

مقدار نیروی برشی واردہ به روکش بتی برابر است با:

$$\begin{cases} \frac{V_{shot}}{V_{wall}} = 7.69 \\ V_{shot} + V_{wall} = 9.27 ton \end{cases} \Rightarrow \begin{cases} V_{shot} = 8.203 ton \\ V_{wall} = 1.067 ton \leq V_{max(wall)} = 1.592 ton \quad ok \end{cases}$$

$$s = \frac{A_s f_s d}{V}$$

$$f_s = 0.55 \times F_y = 0.55 \times 3000 = 1650 \frac{kg}{cm^2}$$

$$d = 0.8 L_{net}$$

$$If \ use \Phi 4 \ for \ each \ side \Rightarrow s = \frac{0.125 \times 0.55 \times 3000 \times (617 \times 80\%)}{8.203/2 \times 1000} \Rightarrow s = 24.82 \ cm$$

## نوع و آرما تور روکش بتنی

| نام دیوار | سطح برگیر | نسبت مصالحت به کل طبقه | مقدار نیتروز اولیه وارد دیوار | طول دیوار | طول موثر | ضخامت موثر | مقابله نهایی دیوار | نسبت سختی روکش به دیوار | نمودی واری دیوار | پایداری دیوار | نمودی واری بهار | نمودی واری دیوار | $S_e(Af_s d \Delta V)$ | $\phi = f_{rmn}$ | نوع روکش |
|-----------|-----------|------------------------|-------------------------------|-----------|----------|------------|--------------------|-------------------------|------------------|---------------|-----------------|------------------|------------------------|------------------|----------|
| 1         | 94.37     | 0.18                   | 13.58                         | 31.72     | 11.31    | 0.35       | 2.949              | 3.84                    | 2.805            | ok            | 10.779          | 17.31            | t=6 cm                 | t=6 cm           | پک روکش  |
| 2         | 155.43    | 0.30                   | 22.37                         | 31.72     | 19.40    | 0.35       | 5.059              | 3.84                    | 4.620            | ok            | 17.754          | 18.03            | t=6 cm                 | t=6 cm           | پک روکش  |
| 3         | 110.35    | 0.21                   | 15.89                         | 22.07     | 12.59    | 0.35       | 3.283              | 3.84                    | 3.280            | ok            | 12.605          | 16.48            | t=6 cm                 | t=6 cm           | پک روکش  |
| 4         | 22.37     | 0.04                   | 3.22                          | 6.30      | 3.40     | 0.35       | 0.887              | 3.84                    | 0.665            | ok            | 2.555           | 21.96            | t=6 cm                 | t=6 cm           | پک روکش  |
| 5         | 66.21     | 0.13                   | 9.53                          | 22.07     | 8.17     | 0.35       | 2.130              | 3.84                    | 1.968            | ok            | 7.563           | 17.82            | t=6 cm                 | t=6 cm           | پک روکش  |
| 6         | 51.29     | 0.10                   | 7.38                          | 13.15     | 13.15    | 0.35       | 3.429              | 3.84                    | 1.524            | ok            | 5.858           | 37.04            | t=6 cm                 | t=6 cm           | پک روکش  |
| 7         | 37.40     | 0.07                   | 5.38                          | 7.48      | 6.46     | 0.35       | 1.684              | 3.84                    | 1.112            | ok            | 4.272           | 24.95            | t=6 cm                 | t=6 cm           | پک روکش  |
| 8         | 47.22     | 0.09                   | 6.80                          | 6.44      | 6.44     | 0.35       | 1.679              | 3.84                    | 1.404            | ok            | 5.394           | 19.70            | t=6 cm                 | t=6 cm           | پک روکش  |
| 8-1       | 64.42     | 0.12                   | 9.27                          | 6.17      | 6.17     | 0.35       | 1.609              | 7.69                    | 1.068            | ok            | 8.206           | 24.81            | t=2x6 cm               | t=2x6 cm         | پک روکش  |
| 9         | 112.82    | 0.22                   | 16.24                         | 15.67     | 12.61    | 0.35       | 3.283              | 7.69                    | 1.870            | ok            | 14.372          | 28.96            | t=2x6 cm               | t=2x6 cm         | پک روکش  |
| 10        | 112.04    | 0.22                   | 16.13                         | 15.67     | 12.61    | 0.35       | 3.283              | 7.69                    | 1.857            | ok            | 14.272          | 29.16            | t=2x6 cm               | t=2x6 cm         | پک روکش  |
| 11        | 58.76     | 0.11                   | 8.46                          | 15.67     | 12.61    | 0.35       | 3.283              | 3.84                    | 1.747            | ok            | 6.712           | 31.00            | t=6 cm                 | t=6 cm           | پک روکش  |

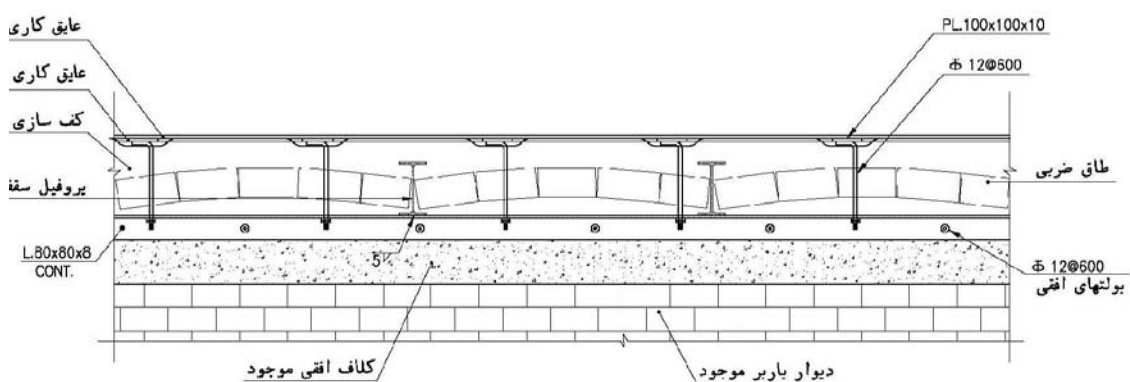
مینیمم مقدار آرماتورهای مصرفی در روکش بتنی و با توجه به استفاده از شبکه‌های جوش شده برابر با  $\frac{1}{2}\%$  می‌باشد بنابراین با فرض استفاده از روکش بتنی با ضخامت ۶ سانتیمتر آرماتور مورد نیاز برابر است با:

$$\rho_{min} = 0.002$$

$$A_{smin} = 0.002 \times 6 \times 100 = 1.2 \Rightarrow$$

$$use \Phi 4 @ 10cm \Rightarrow 10 \times 0.125 = 1.25 \geq 1.2 \ ok$$

محاسبه اتصالات روکش بتنی به سقف:



شکل مثال ۱-۱-د- اتصال روکش بتنی به سقف

برای اتصال روکش بتنی به سقف از اتصالات مطابق شکل فوق استفاده می‌نماییم. برای این اتصال از نبیشی  $80 \times 80$  در زیر سقف استفاده می‌گردد این نبیشی توسط بولتهای افقی و قائم به سقف متصل شده است، این اعضا به صورت زیر کنترل می‌شوند:

#### ۱- کنترل بولت‌ها

ماکزیمم نیروی برشی وارد به دیوار مطابق محاسبات انجام شده برابر با  $13.58 \text{ ton/m}$  برای دیوار شماره ۱ می‌باشد (از تقسیم نیرو بر طول موثر دیوار و مقایسه نتایج) و بدلیل اینکه بولتها متصل کننده دیوار و روکش می‌باشند برای نیروی کل وارد به دیوار بر حسب سطح بارگیر، محاسبه می‌گردد:

تنش مجاز برشی بولتها مطابق با جدول ۱۰-۱-۱۰-۶ مبحث دهم مقررات ملی، برای قطعات دندانه شده و در حالتی که سطح برش از قسمت دندانه شده نمی‌گذرد برابر است با :

$$F_v = 0.22 F_u$$

مطابق با بند ۵ توضیحات جدول مذکور وقتی که فاصله اولین و آخرین پیچ در امتداد نیرو از ۱۲۵۰ میلیمتر تجاوز کند این تنش مجاز را باید  $20\%$  کاهش داد و در نتیجه:

$$F_v = 0.8 \times 0.22 \times F_u$$

$$F_v = 0.8 \times 0.22 \times 5000 = 880 \text{ kg/cm}^2$$

$$\text{use } \Phi 12 \Rightarrow A_s = 1.13 \text{ cm}^2$$

$$\text{SHEAR CAPACITY FOR } 1\Phi 12 = 1.13 \times 880 = 995 \text{ Kg}$$

$$\text{for ground floor} \rightarrow V_{\max} = 13.580 \text{ ton} \Rightarrow n = 13.580 \times 1000 / 995 = 13.648$$

$$L_{net} = 11.31 \text{ m} \Rightarrow \frac{11.31}{13.648} = 0.82 \text{ m}$$

use  $\Phi 12 @ 60 \text{ cm}$

## ۲- کنترل نبشی‌های محیطی زیر سقف

این نبشی به صورت زیر محاسبه می‌گردد:

- برش داخلی (برای نیروی وارد بر روکش کنترل می‌گردد)

$$V_{\max} = 10.79 \text{ ton in } 11.31 \text{ m}$$

$$F_v = 0.4F_y$$

$$F_v = 0.4 \times 2400 = 960 \text{ kg/cm}^2$$

$$\text{SHEAR CAPACITY FOR } L 80 \times 80 \times 8 = 0.8 \times 960 = 768 \text{ kg/cm}$$

$$\Rightarrow \frac{10790}{1131} = 9.54 < 768 \text{ ok}$$

- نیروی محوری (برای نیروی وارد بر روکش کنترل می‌گردد)

با توجه به فواصل بولتها طول آزاد عضو فشاری برابر با  $60 \text{ سانتیمتر}$  می‌باشد بولتها به صورت یکی در میان و فواصل  $60 \text{ سانتیمتر}$  به دیوار و سقف متصل می‌گردند در نتیجه ماکزیمم طول آزاد نبشی بین بولتها  $60 \text{ سانتیمتر}$  می‌باشد:

*IF use  $L 80 \times 80 \times 8$*

$$\lambda = \frac{K L}{r} = \frac{1 \times 60}{2.42} = 24.8 \Rightarrow F_a = 1354 \text{ kg/cm}^2$$

$$f_a = \frac{P}{A} = \frac{10790}{12.3} = 877.23 \text{ kg/cm}^2$$

$$\Rightarrow 877.23 < 1354 \text{ ok}$$

- کنترل جوش آرماتور روکش بتی به نبشی

ساق جوش  $2 \text{ میلیمتر}$  در نظر گرفته می‌شود. (برای نیروی وارد بر روکش کنترل می‌گردد)

$$L = \frac{V}{650D} \Rightarrow \text{If } D = 2\text{mm} \Rightarrow \frac{\frac{10790}{1131} \times 100}{650 \times 0.2} = 7.338\text{cm}$$

$\Phi 4 @ 100\text{mm} \Rightarrow 10\text{in}1\text{m}$

$$7.338/10 = 0.75\text{ cm}$$

با توجه به خم کردن آرماتورها جهت اتصال به نبیشی و ناصاف بودن انتهای میلگرد و سهولت در اجرا در جهت اطمینان طول جوش برای هر میلگرد برابر با ۵ سانتیمتر در نظر گرفته می‌شود.

#### - کنترل محل سوراخ بولتها در بال نبیشی

برای کنترل محل سوراخها باید شرایط زیر رعایت شوند.

- حداقل فواصل سوراخها

فاصله مرکز به مرکز سوراخهای استاندارد نباید از ۳ برابر قطر وسیله اتصال کمتر باشد.

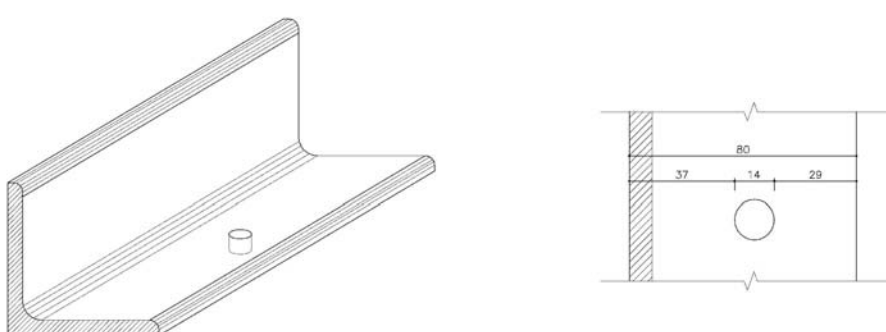
- حداقل فاصله تا لبه

فاصله مرکز سوراخهای استاندارد تا لبه قطعه اتصال شونده (لبه نورد شده ورق) نباید از ۲ برابر قطر بولت کمتر باشد.

- حداکثر فاصله تا لبه

حداکثر فاصله از مرکز هر پیچ تا نزدیکترین لبه قطعه برای قطعات رنگ نشده که تحت اثر خوردگی و زنگ زدگی ناشی از عوامل جوی قرار داشته باشند نباید از ۸ برابر ضخامت نازکترین قسمت متصل شونده و همچنین از ۱۲/۵ سانتیمتر بیشتر شود.

با توجه به اندازه بولتها مورد نیاز و همچنین محل سوراخهای آنها این شرایط به صورت زیر کنترل می‌شوند:



شکل مثال ۱-۱-ذ- محل سوراخهای نبیشی

$$1) 3d < 300 \text{ mm} \Rightarrow 3 \times 12 < 300 \text{ mm} \quad \text{ok}$$

$$2) \ 2d \leq 29 \text{ mm} \Rightarrow 2 \times 12 < 29 \text{ mm} \quad ok$$

$$3) \quad 29 < 8t \text{ or } 125 \text{ mm} \Rightarrow 29 < 8 \times 8 \text{ or } 125 \text{ mm} \quad ok$$

محاسبه اتصالات روکش بتنی به دیوار (پرشگیرها):

کنترل این برشگیرها از نیروی پرشی ماکریم وارد بر دیوار استفاده می‌نماییم.

$$V_{\max} = 13.58 \text{ ton in } 11.31 \text{ m}$$

$$F_v = 0.8 \times 0.22 \times F_u$$

$$F_y = 0.8 \times 0.22 \times 5000 = 880 \text{ kg/cm}^2$$

*SHEAR CAPACITY FOR 1Φ4 =  $A_s \times F_v = 0.125 \times 880 = 110 \text{ kg}$*

$$n = \frac{13580}{110} = 123.454$$

*need 123.454 bolts in  $11.31 \times 3.60 m^2$*

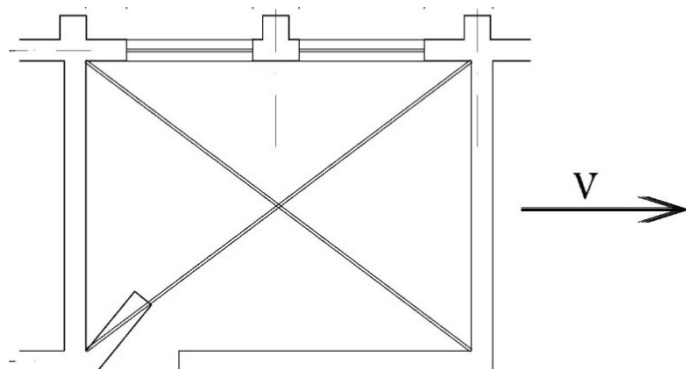
$$\Rightarrow \frac{11.31 \times 3.60}{123.454} = 0.3298 \text{ bolts in } 1m^2 \Rightarrow \sqrt{0.3298} = 0.56 \text{ m}$$

$\Rightarrow$  use  $\Phi 4$  @  $500 \times 500$  mm

محاسبه تسمه‌های ضربدری منسجم کننده سقف:

چون این تسممهای جهت انسجام سقف به کار می‌روند باید توانایی تحمل نیروی برشی وارد بر سقف را داشته باشند. نهایتاً مساحت این تسممهای مطابق توصیه آیین‌نامه ۲۸۰۰ جهت اجرای سقف طاق ضربی نباید از مساحت یک میلگرد ۱۴ کمتر شود.

نیاید مساحت محسوس بین تسمه ها از ۲۵ متر مربع بیشتر گردد:



### شکل مثال ۱-۱-ر- تسمه های ضربدری

$$V_i = 0.33 \times A_i W_i$$

$$W_i = A_i \times (DL + \lambda LL)$$

$$W_i = 25 \times 680 = 17 \text{ ton}$$

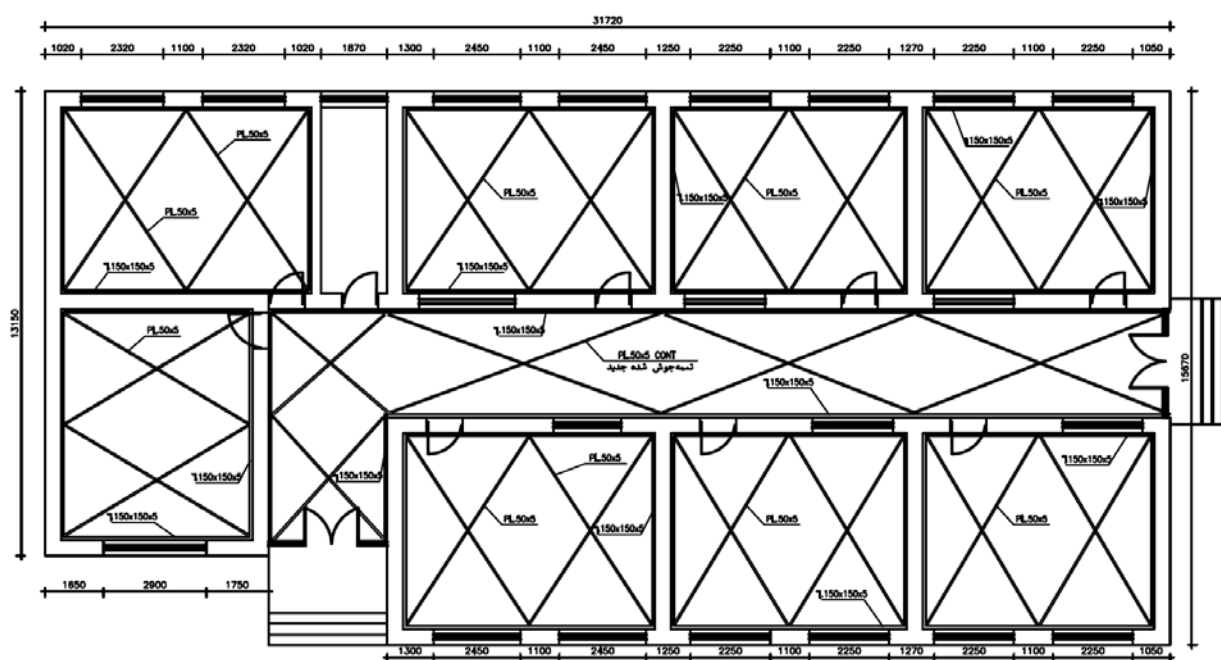
$$V_i = 0.33 \times 0.3 \times 1.2 \times 17 = 2.02 \text{ ton}$$

$$T = \max \left[ \frac{2.02}{2 \cos 40} = 1.32 \text{ ton} \quad \& \quad \frac{2.02}{2 \sin 40} = 1.57 \text{ ton} \right] \text{ (for each plate)}$$

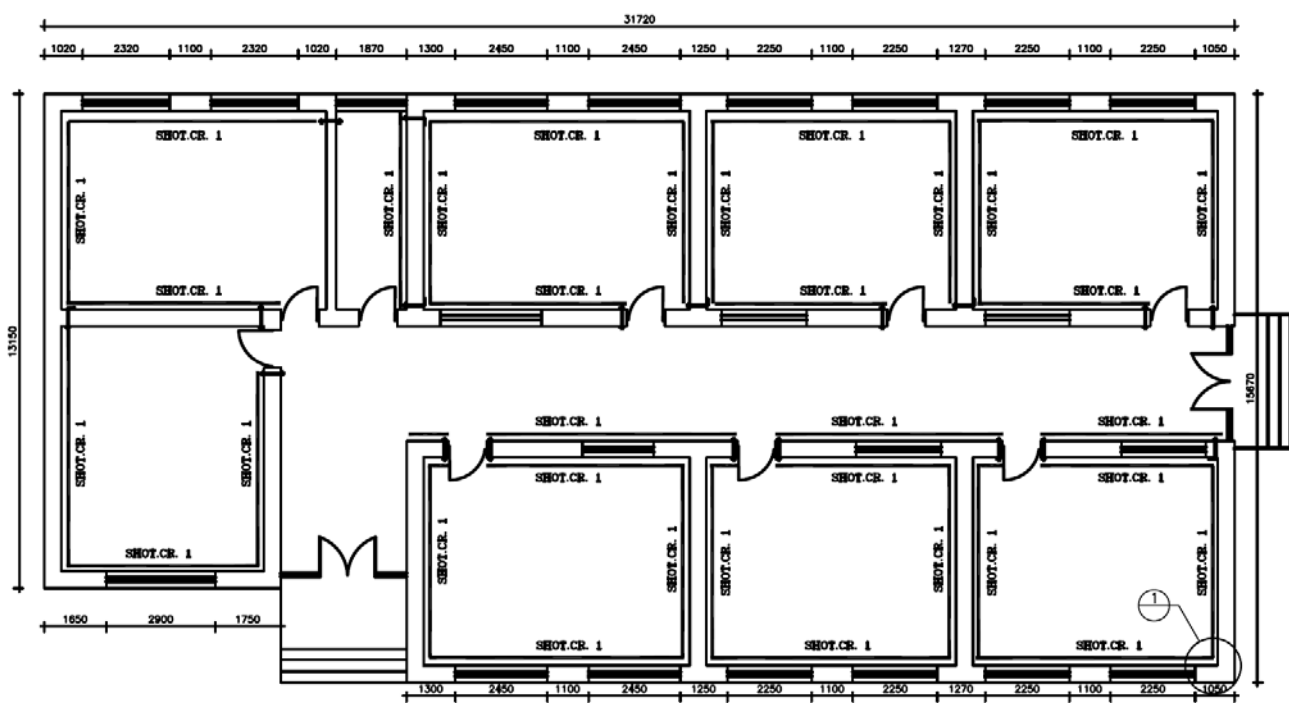
$$F_t = \min(0.6 F_y \text{ or } 0.5 F_u) = 1440 \text{ kg/cm}^2$$

$$\frac{1570}{1440} = 1.09 \text{ cm}^2$$

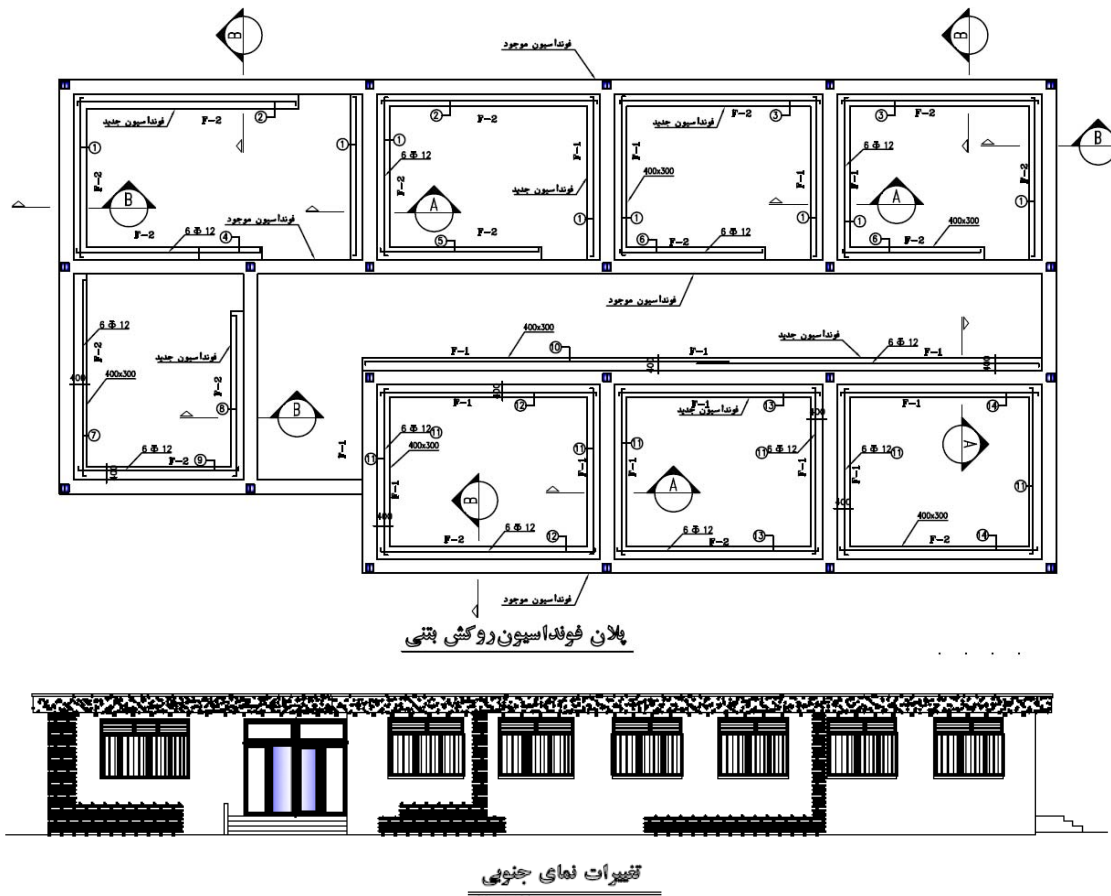
use plate  $50 \times 5 \text{ mm}$

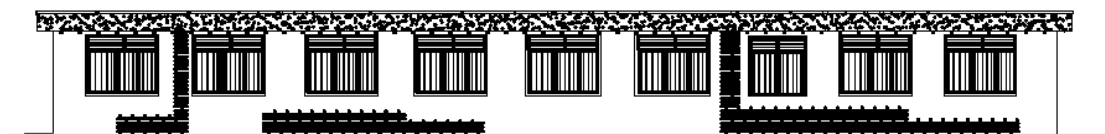


شکل مثال ۱-۱-ز- تسمیه‌ها و نسبتی‌های زیر سقف

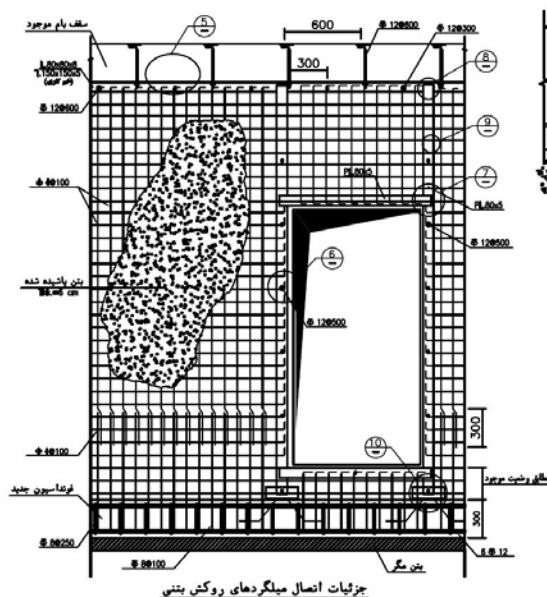


شکل مثال ۱-۳- پلان روکش بتنی

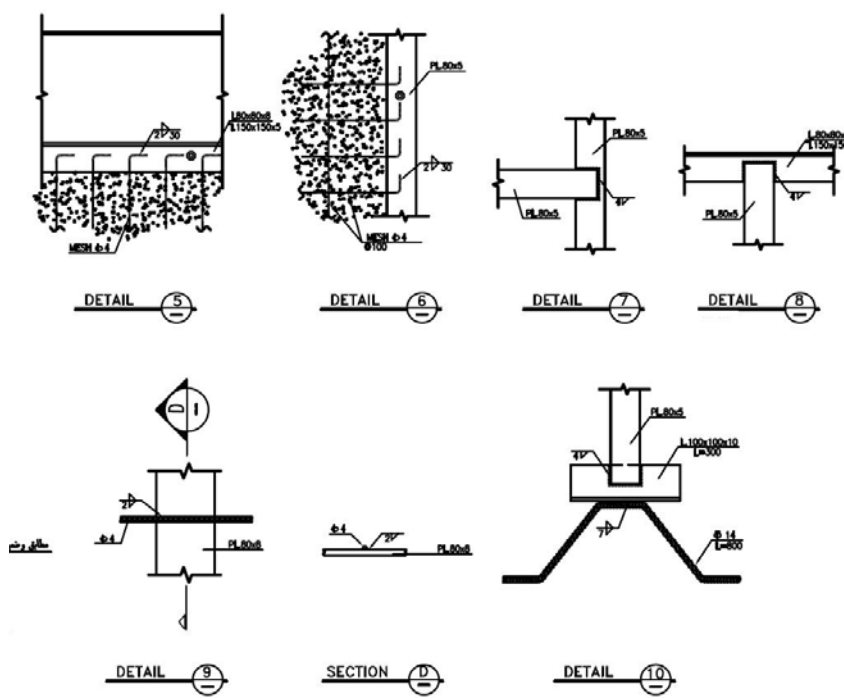


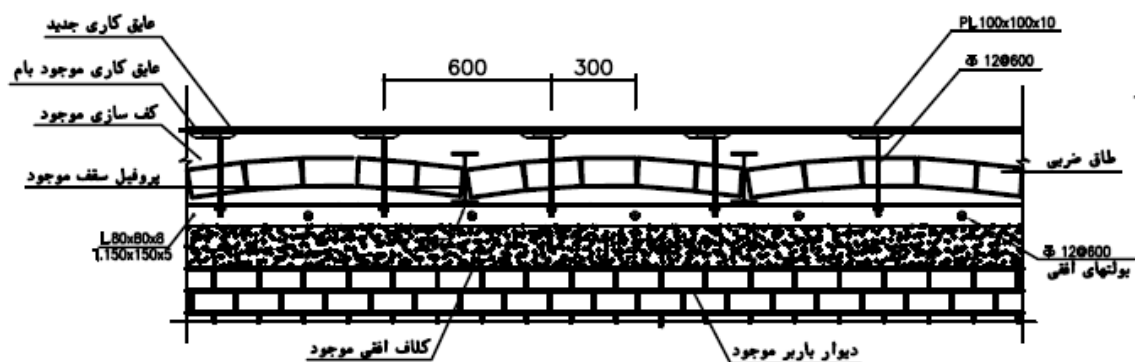


تغییرات نمای شمالی

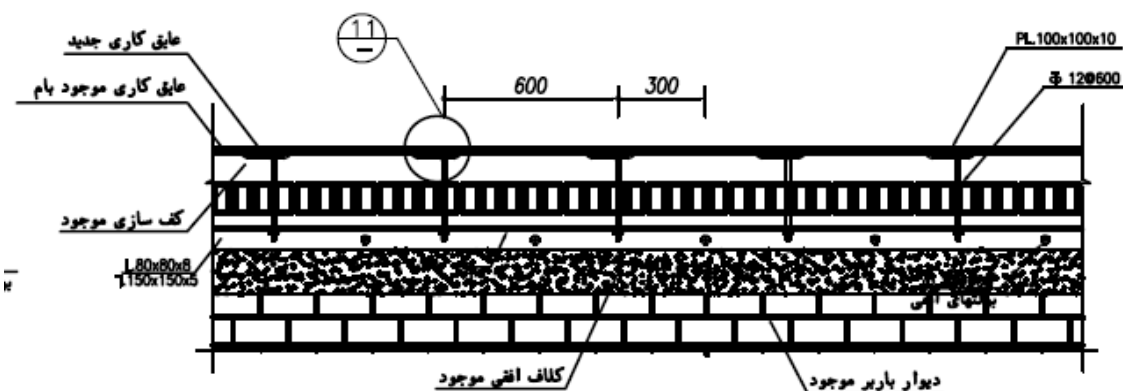


جزئیات انتقال مبلغرهای روکش بتنی

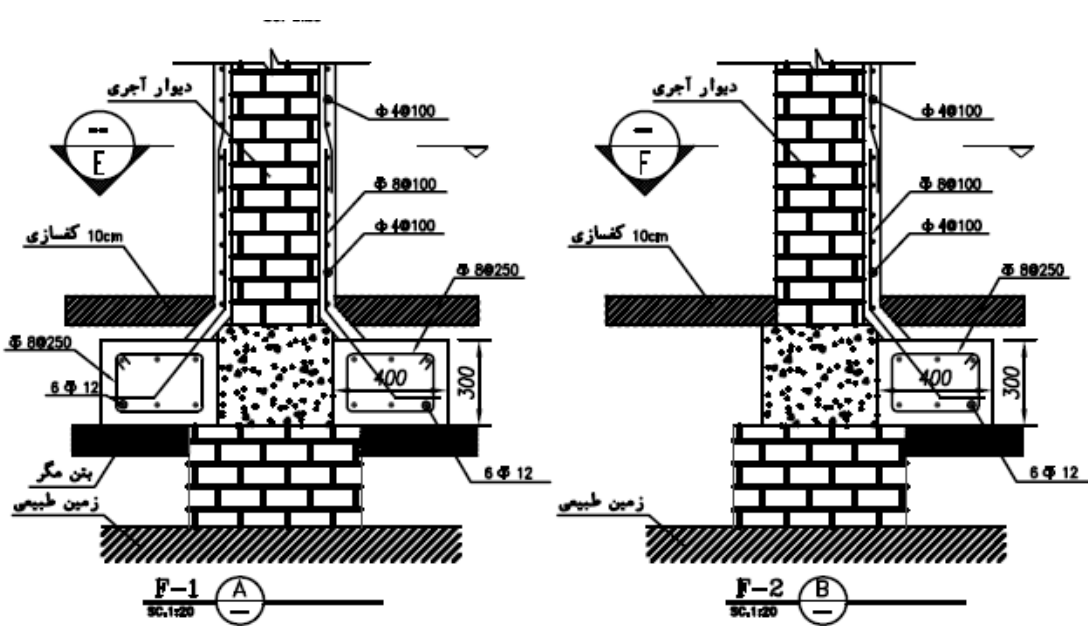


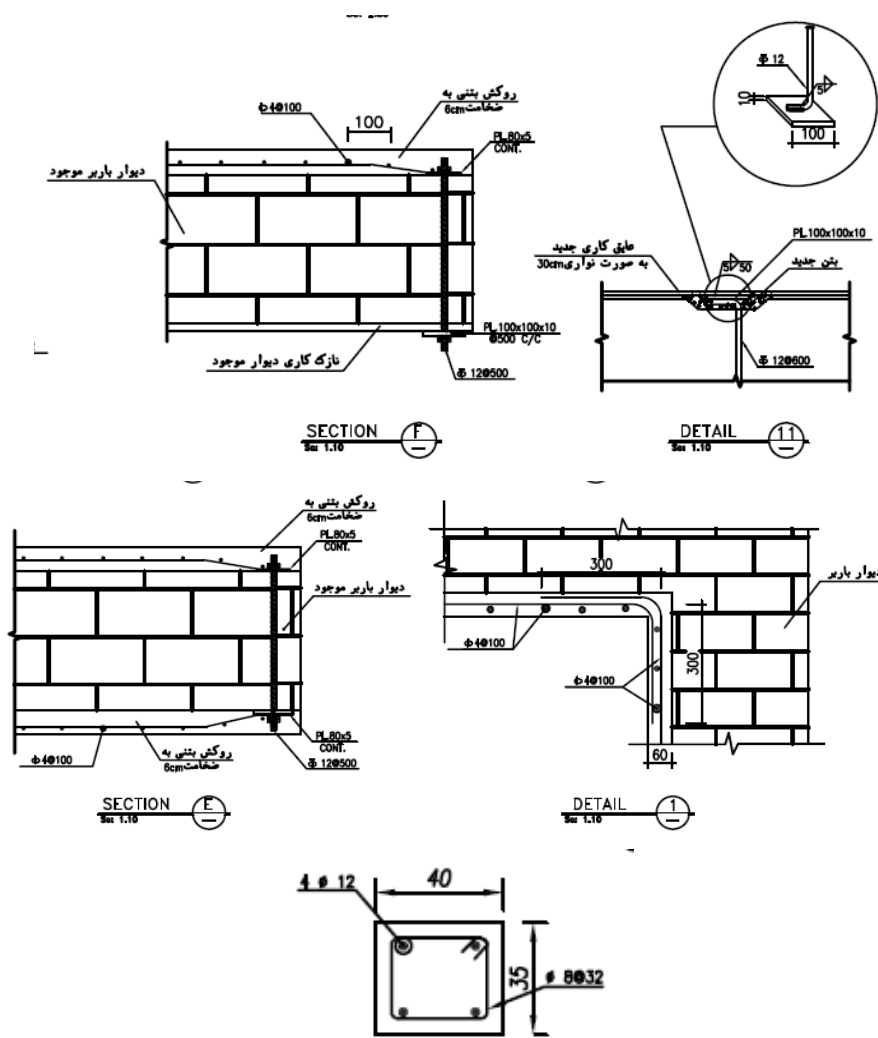


جزئیات اتصال نبشی‌های زیر بام در جهت عمود بر تیرچه ریزی



جزئیات اتصال نبشی‌های زیر بام در جهت تیرچه ریزی





## **فصل ۹**

---

---

# **بهسازی ساختمان‌های روستایی**



**۱-۹ - مقدمه**

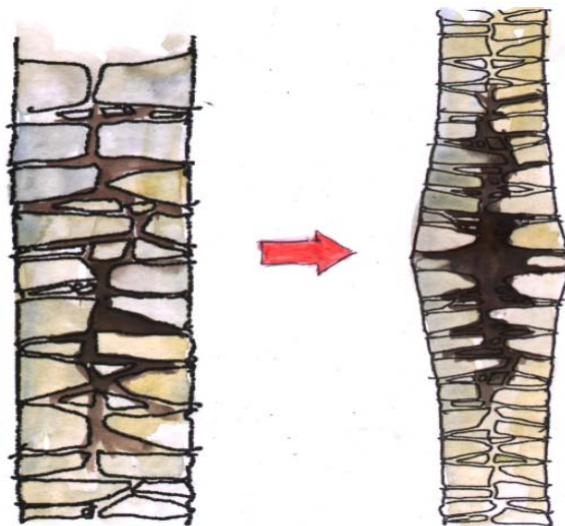
دو دسته ساختمان‌های روستایی در ایران وجود دارد. دسته اول ساختمان‌هایی هستند که در آنها ضوابط مربوط به ساختمان‌های بنایی غیر مسلح رعایت شده و برای مقاومسازی این گونه ساختمان‌ها می‌توان مطابق فصل مقاومسازی ساختمان‌های بنایی این راهنمای عمل نمود. دسته دوم ساختمان‌های روستایی هستند که عمدتاً توسط افراد محلی بدون توجه به اصول اولیه مهندسی ساخته شده‌اند. مصالح اصلی این ساختمان‌ها به شرایط محیطی روستا و اقلیم آن منطقه بستگی دارد، از این رو مشخصات مصالح مصرفی در این نوع ساختمان‌ها عمدتاً بر هیچ یک از استانداردها و نشریات معتبر، منطبق نمی‌باشد. در نتیجه ارائه این فصل به هیچ عنوان به معنای تأیید این گونه ساختمان‌ها نیست، بلکه با توجه به تعداد زیاد این گونه ساختمان‌ها و آمار مرگ و میر بالای افراد حتی در زلزله‌های ضعیف می‌باشد. بهسازی این ساختمان‌ها به معنی رفع عیوب سازه و مقاومت آن در برابر زلزله‌های بزرگ نمی‌باشد، بلکه احتمال فروپاش کلی سازه و بروز فاجعه را تا حدودی کاهش می‌دهد.

**۲-۹ - مقاومسازی دیوارها**

در ساختمان‌های روستایی، دیوارها علاوه بر جداسازی فضاهای، وظیفه تحمل بارهای قائم و جانبی را دارا می‌باشند. این دیوارها باید یکپارچکی مناسب برای انتقال نیروهای جانبی به فونداسیون را دارا باشند. روش‌های مختلفی به منظور بهسازی دیوارهای ساختمان‌های روستایی وجود دارد که این روش‌ها متناسب با نوع ضعف و خرابی موجود در دیوار است.

**۲-۹-۱ - عناصر همبند در دیوارهای سنگی**

از خرابی‌های خارج از صفحه این گونه دیوارها شکم دادن و جداسدگی لایه‌های دیوار می‌باشد. نمونه‌ای از این نوع خرابی در شکل ۱-۹ نشان داده شده است. علت اصلی این نوع خرابی حرکت یا لرزش خارج از صفحه دیوار می‌باشد.

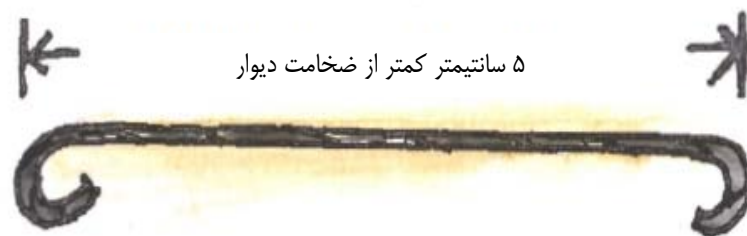


شکل ۱-۹ شکم دادن و جداسدگی جداره دیوار

بهترین روش مقاومسازی این دیوارها نصب عناصر همبند می‌باشد که با استفاده از آنها می‌توان از شکم دادن و تورق دیوار جلوگیری نمود. این المان‌ها بتن مسلح درجا می‌باشند. از محسن استفاده از المان‌های همبند مقید نمودن دو سمت دیوار و در نتیجه کاهش احتمال جداسازی و شکم دادن آن و تا حدودی کاهش آسیب‌های وارد بر دیوار می‌باشد.

### ۱-۲-۹- نحوه اجرای عناصر همبند

ابتدا موقعیت عناصر همبند را مشخص نموده سپس سنگی را که در موقعیت المان همبند می‌باشد از داخل دیوار خارج می‌نماییم تا سوراخی در موقعیت مورد نظر به وجود بیاید. سوراخ ایجاد شده در دیوار باید بگونه‌ای باشد که قسمت میانی سوراخ قطر کمتری نسبت به دو سر سوراخ داشته باشد. سوراخ ایجاد شده از دو طرف با بتنی با طرح اختلاط مناسب (بتن مورد استفاده با نسبت ۵۰ کیلوگرم سیمان، ۷/۰ متر مکعب ماسه و ۱۴/۰ متر مکعب شن می‌باشد) پر می‌گردد. سپس میلگرد سنجاقی با قطر ۸ میلیمتر که از دو طرف خم شده، در داخل سوراخ رانده می‌شود (شکل ۲-۹). همواره باید از وجود پوشش بتنی مناسب در دو انتهای المان همبند اطمینان حاصل گردد. طول میلگرد پس از خم همواره باید ۵ سانتیمتر کمتر از ضخامت دیوار باشد. عمل آوری و محافظت از بتن با پاشیدن آب بر روی بتن باید حداقل ۱۰ روز ادامه یابد.



شکل ۲-۹ طول میلگرد همبند پس از خم همواره باید ۵ سانتیمتر کمتر از ضخامت دیوار باشد

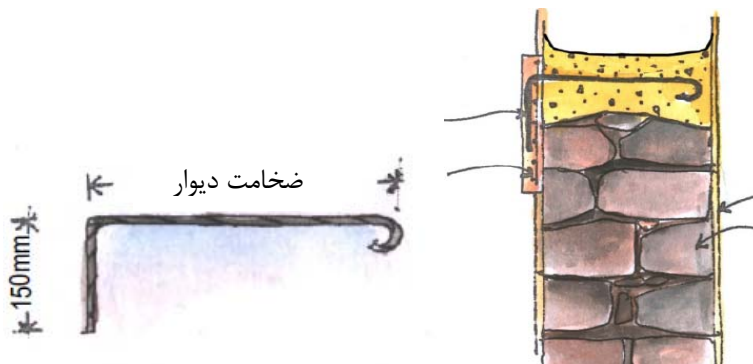
### ۲-۱-۲-۹- جزئیات مناسب میلگرد المان همبند

الف - دو طرف میلگرد داخل عضو همبند باید بصورت قالب بوده و طول آن پس از خم باید ۵ سانتیمتر کمتر از ضخامت دیوار باشد. (شکل ۳-۹).



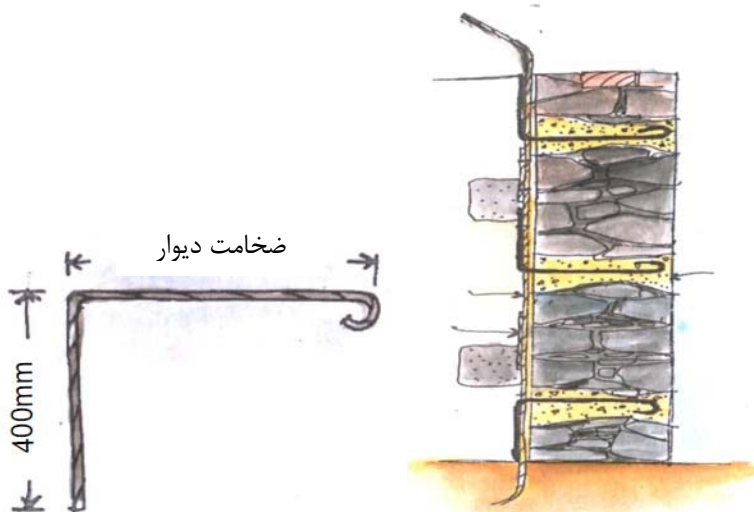
شکل ۳-۹ دو طرف میلگرد داخل عضو همبند باید بصورت قالب باشد

ب - یک طرف میلگرد سنجاقی به صورت قلاب در داخل عضو همبند قرار می‌گیرد و طرف دیگر به صورت L شکل به شبکه سیمی متصل می‌گردد. طول قسمت خم شده باید حداقل ۱۵ سانتیمتر باشد. طول میلگرد پس از خم شدگی باید معادل ضخامت دیوار باشد (شکل ۴-۹).



شکل ۴-۹ یک طرف میلگرد به صورت قلاب و طرف دیگر به صورت L شکل به شبکه سیمی جوش می‌شود

پ - یک طرف میلگرد به صورت قلاب در سوراخ قرار می‌گیرد و طرف دیگر به صورت L شکل مانند میله‌ای عمودی بر روی دیوار قرار می‌گیرد. طول قسمت خم شده باید حداقل ۴۰ سانتیمتر باشد. طول میلگرد پس از خم شدگی باید معادل ضخامت دیوار باشد (شکل ۵-۹).



شکل ۵-۹ یک طرف میلگرد به صورت قلاب و طرف دیگر به صورت L شکل مانند میله‌ای عمودی بر روی دیوار قرار می‌گیرد

## ۲-۲-۹ - عناصر همبند در دیوارهای آجری

نمونه‌ای از این نوع خرابی در شکل ۶-۹ نشان داده شده است. علت اصلی این نوع خرابی حرکت یا لرزش خارج از صفحه دیوار می‌باشد.



شکل ۶-۶ نمونه‌ای از خرابی خارج از صفحه دیوارهای بنایی

همانند دیوارهای سنگی، برای مقاومسازی دیوارهای آجری در مقابل تورق، می‌توان از اجزای همبند استفاده نمود. برای اجرای آن ابتدا موقعیت عناصر همبند را مشخص نموده سپس آجری را که در موقعیت المان همبند می‌باشد از داخل دیوار خارج می‌نماییم تا سوراخی در موقعیت مورد نظر به وجود بیاید. سوراخ ایجاد شده تا قسمت میانی آن و از دو طرف با بتنی با طرح اختلاط مناسب (بتن مورد استفاده با نسبت ۵۰ کیلوگرم سیمان، ۰/۰۵۲۵ متر مکعب ماسه و ۰/۱۰۵ متر مکعب شن می‌باشد) پر می‌گردد. سپس میلگرد با قطر ۸ میلیمتر که از دو طرف خم شده را در داخل سوراخ قرار داده و سوراخ کاملاً با بتن پر می‌گردد. همواره باید از وجود پوشش بتنی مناسب در دو انتهای عناصر همبند اطمینان حاصل گردد. طول میلگرد پس از خم همواره باید ۵ سانتیمتر کمتر از ضخامت دیوار باشد. عمل آوری و محافظت از بتن با پاشیدن آب بر روی بتن باید حداقل ۱۰ روز ادامه یابد.

### ۳-۲-۹- تسممه‌های افقی

اتصال ضعیف دیوارها به یکدیگر، مقاومت کششی داخل صفحه کم، آسیب‌پذیری دیوارهای بلند و طولانی که منجر به ایجاد ترک‌های زیادی در سازه می‌گردد و... همگی از جمله ضعف‌های قابل مشاهده در ساختمان‌های روستاوی می‌باشد. استفاده از تسممه‌های افقی که مانند کمربندی دورپیچ در محیط ساختمان اجرا می‌گردد از جمله روش‌هاییست که می‌تواند از ایجاد چنین مشکلاتی جلوگیری نماید.

این تسممه‌ها باعث یکپارچگی دیوارها، کاهش خمس خارج از صفحه و افزایش مقاومت برشی داخل صفحه دیوارها با ایجاد مکانیزم دورگیری می‌گردد که این عمل از ایجاد ترک‌های قطری مخصوصاً ترک‌هایی که در گوشه‌های بازشوها به وجود می‌آیند جلوگیری می‌نماید.

### ۳-۲-۹-۱- موقعیت تسممه‌های افقی لرزه‌ای

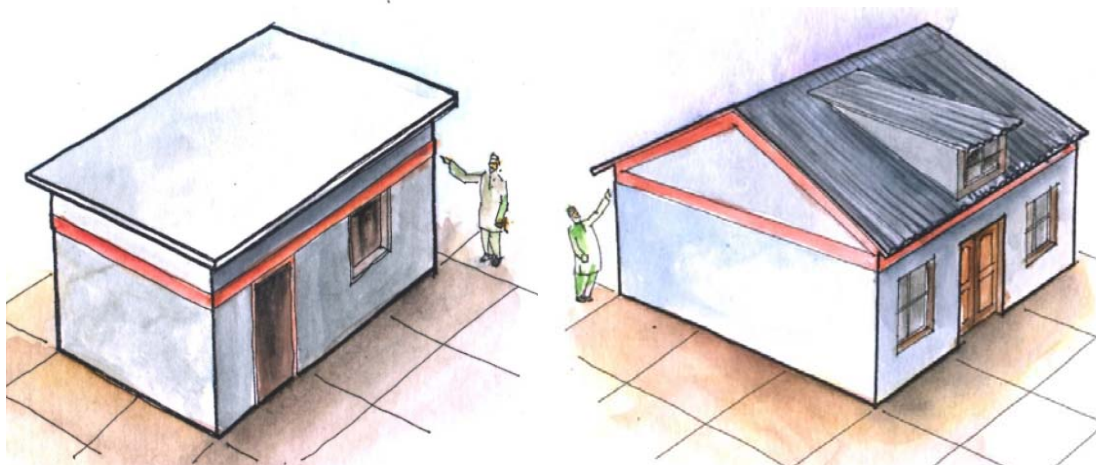
تسممه‌های لرزه‌ای باید به صورت پیوست بر روی دیوار اجرا شوند (شکل ۷-۹).

۱- در قسمت زیرین تراز طبقه

۲- در قسمت فوقانی بازشوها (در شرایطی که فاصله تراز طبقه از قسمت فوقانی بازشوها کمتر از ۹۰ سانتیمتر باشد به تسمه لرزه‌ای قسمت فوقانی بازشوها احتیاجی نیست).

۳- در قسمت زیرین سطح شیبدار بر روی دیوار.

**نکته:** در سقف‌ها و کف‌هایی که بتن مسلح می‌باشند، بکاربردن تسمه لرزه‌ای افقی در تراز طبقه و کف احتیاج نمی‌باشد.



شکل ۷-۹ موقعیت تسمه‌های افقی لرزه‌ای

#### ۲-۳-۲-۹-مشخصات تسمه افقی لرزه‌ای

مطابق شکل ۹-۹، تسمه افقی لرزه‌ای از آرماتورهای شبکه سیمی جوش شده گالوانیزه و میلگردی‌های طولی ساخته می‌شوند که پس از پیچ شدن به دیوار کاملاً با انود سیمان پوشانده می‌شوند. پهنهای سیمانکاری شده باید ۳ سانتیمتر بیشتر از شبکه سیمی جوش شده باشد. معمولاً تسمه افقی لرزه‌ای از ۲ میلگرد طولی نمره ۱۰ تشكیل شده که بواسیله شبکه جوشی و یا خرپایی به یکدیگر وصل می‌شوند (شکل ۹-۹).

#### ۲-۳-۳-۲-۹-نحوه کارگذاری تسمه افقی لرزه‌ای

مراحل اجرای تسمه افقی لرزه‌ای به شرح زیر است:

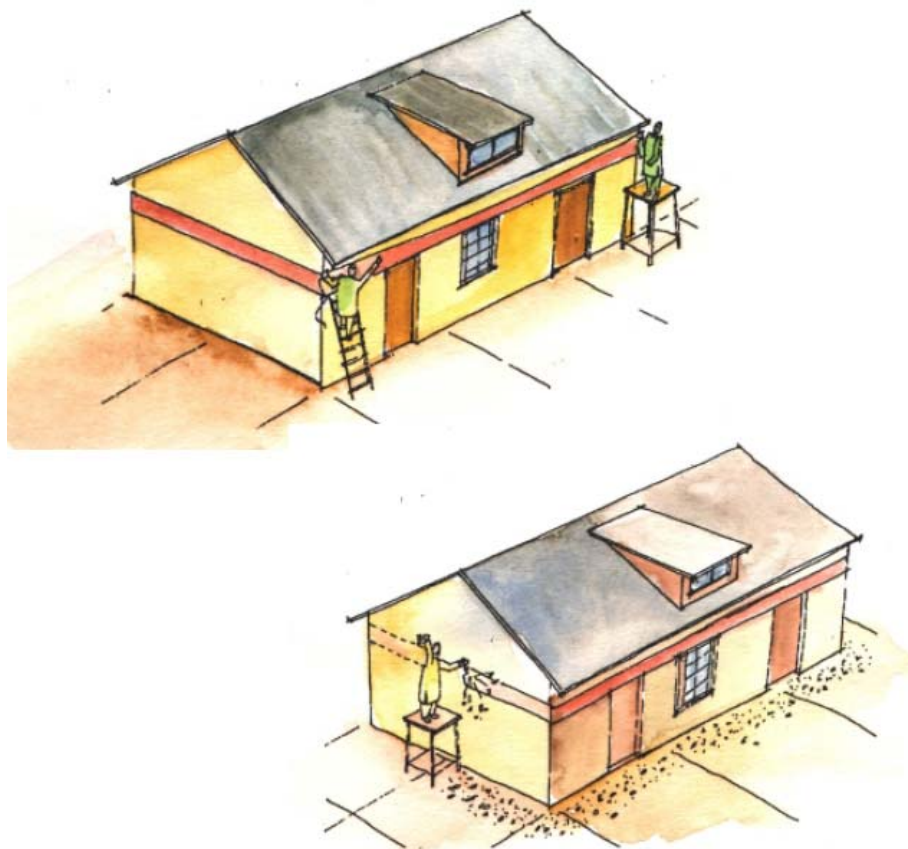
گام ۱. مشخص نمودن لبه فوقانی و تحتانی تسمه افقی لرزه‌ای بر روی دیوار.

گام ۲. کندن نما و پوشش دیوار بین لبه فوقانی و تحتانی تسمه افقی لرزه‌ای (شکل ۸-۹).

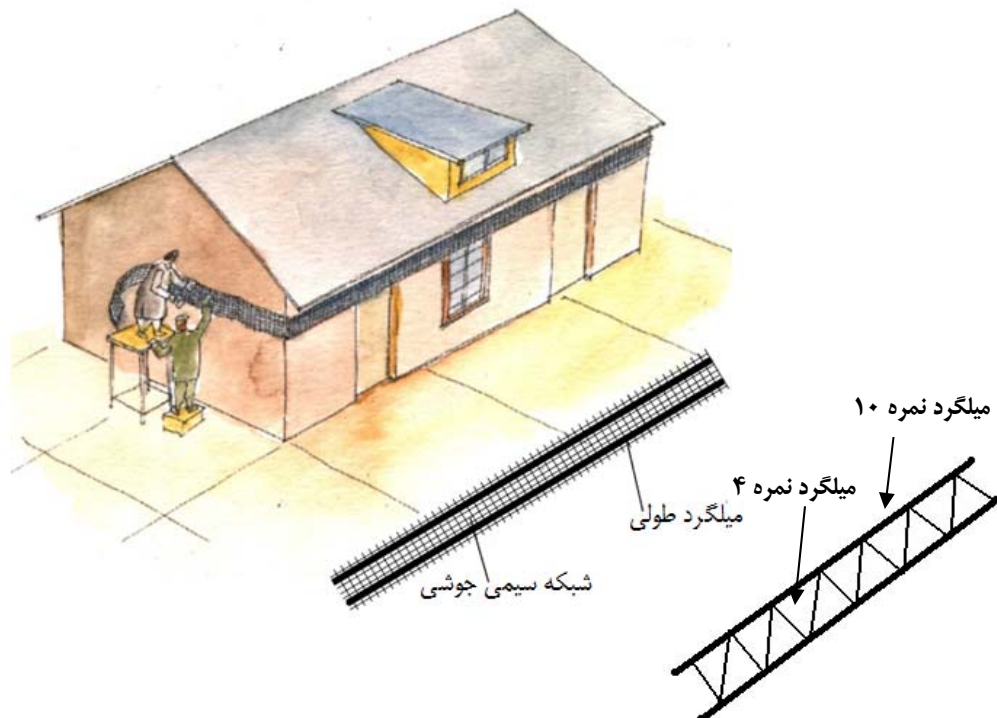
گام ۳. تراشیدن و کندن ملات موجود بر روی بندها تا عمق حدوداً  $1/2$  سانتیمتر و تمیز نمودن آنها.

گام ۴. تهیی شبکه سیمی جوشی به طول مورد نیاز با بریدن آرماتور و جوش نمودن آنها.

گام ۵. نصب شبکه سیمی جوشی توسط دو ردیف میخ با طول ۱۰ تا ۱۵ سانتیمتر که به فاصله ۳۰ سانتیمتر از یکدیگر قرار گرفته‌اند بر روی دیوار آجری یا بلوك بتی. میخ‌ها باید بر روی بندها که با ملات پرشده‌اند کوبیده شوند. بین شبکه و دیوار نیز باید حدود  $1/5$  سانتیمتر فاصله باشد تا فاصله آن را بتوان با ملات پرنمود. (شکل ۹-۹)



شکل ۸-۹ آماده‌سازی دیوار برای نصب تسمه لرزه‌ای



شکل ۹-۹ نصب تسمه لرزه‌ای

در دیوارهای با لشه سنگ، مطابق شکل ۱۰-۹ باید گل میخ‌های L شکل توسط بتن درجا به فاصله  $1/25$  تا  $1/5$  متر اجرا گردد و بعد از اینکه بتن خود را گرفت می‌توان شبکه سیمی جوشی را به گل میخ‌ها متصل نمود. به عنوان قیدهای اضافی نیز از میخ‌هایی به طول  $10$  سانتیمتر به فاصله  $10$  تا  $15$  سانتیمتر استفاده می‌گردد.

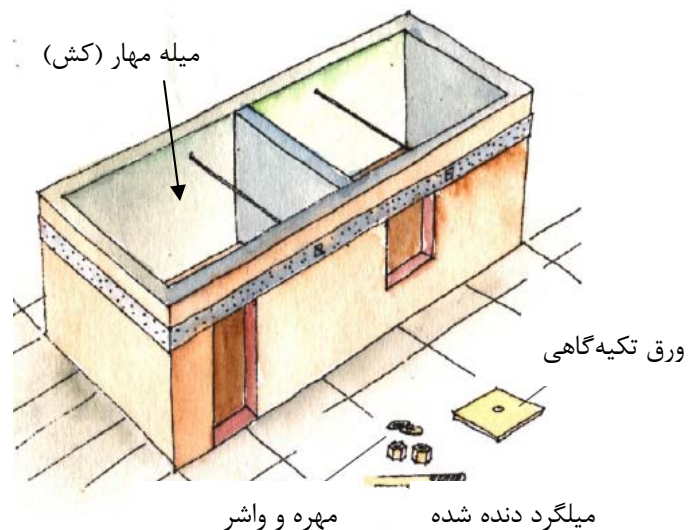


شکل ۱۰-۹ گل میخ‌های برشی برای نصب تسمه لرزه‌ای

با همپوشانی میلگرددهای شبکه سیمی جوشی باید از یکپارچه بودن آن اطمینان حاصل گردد. همپوشانی میلگردها باید حداقل  $30$  سانتیمتر باشد.

#### گام ۶ نصب میله‌مهار (شکل ۱۱-۹)

میله مهار باید دارای قطر  $12$  میلیمتر باشد و هر دو طرف آن به خوبی رزو شده و به کمک مهره و صفحه فلزی به ابعاد  $10 \times 10$  سانتیمتر مطابق شکل ۱۱-۹ به تسمه کششی متصل شود. میله مهار در ارتفاعی مناسب نصب شده و تسمه روی دیوار را به تسمه دیوار روبرویی متصل می‌نماید. میله باید درون غلاف مناسبی قرار گیرد تا از آسیب و خوردگی در امان باشد. میله مهار توسط مهره‌های دو انتهای کاملاً در جای خود محکم می‌گردد. میله‌مهار از نایابداری خارج از صفحه دیوار جلوگیری می‌نماید.



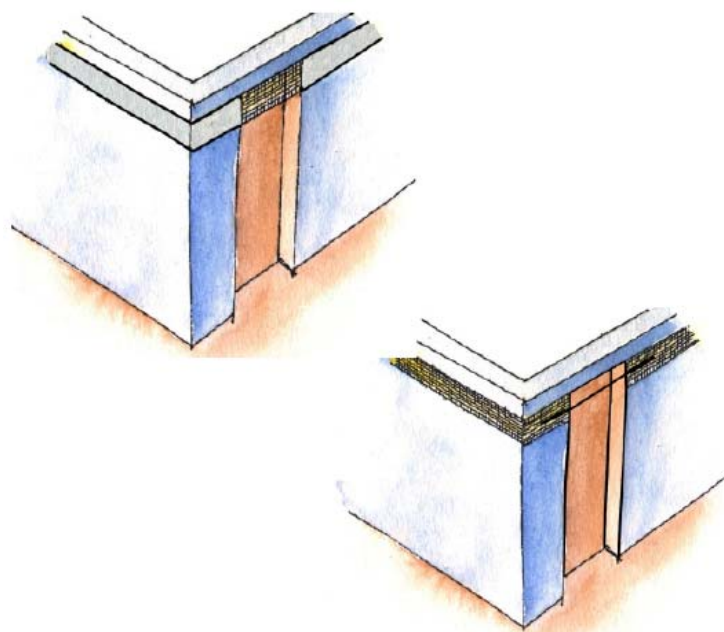
شکل ۱۱-۹ نحوه نصب میله‌مهار

گام ۷. جایی که تسمه کششی با بازشو برخورد می‌نماید می‌توان به یکی از دو شکل زیر رفتار نمود (شکل ۱۲-۹):

الف – امتداد دادن شبکه سیمی و سایر آرماتورها بدون پوشش روی آن.

ب – استفاده از میلگردی با قطر ۱۲ میلیمتر بجای شبکه آرماتورها به طوری که میلگرد اتصال همپوشانی مناسبی با

تسمه کششی داشته باشد.



شکل ۱۲-۹ نحوه عبور تسمه کششی از روی بازشوها

#### گام ۸. اجرای اندود ملات

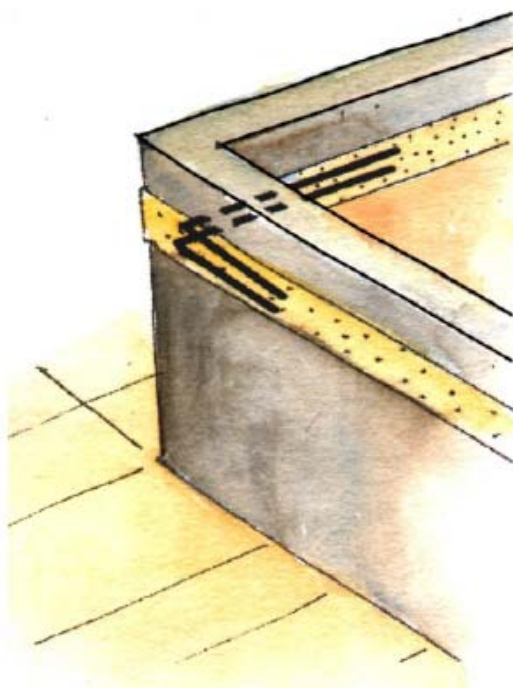
با ریختن آب بر روی سطح دیوار باید غبار را از روی دیوار پاک و تمام دیوار را کاملاً خیس نمود. در شرایطی که هنوز دیوار خیس است، ملاتی از سیمان را با نسبت ماسه به سیمان، ۳ به ۱ و ضخامت حدود ۱۲ میلیمتر به عنوان لایه اول اندود بر روی دیوار اجرا نموده و بعد از ۱ یا ۲ ساعت لایه دوم را مشابه لایه اول با ضخامتی مناسب بر روی دیوار اجرا نموده به طوری که پوشش مناسبی حداقل به اندازه ۱۶ میلیمتر بر روی میلگردها ایجاد گردد.

اگر ضخامت پوشش اجرا شده بر روی آرماتورها زیاد باشد، اندود اجرا شده بر روی میلگردها شروع به ریزش می‌نماید به همین دلیل اجرای اندود با ضخامت ۱۶ میلیمتر بر روی میلگردها امری مهم و ضروری است.

گام ۹. مراقبت از اندود روی میلگردها حداقل به مدت ۱۵ روز.

#### ۹-۳-۲-۴- جزئیات تسمه افقی در گوشها

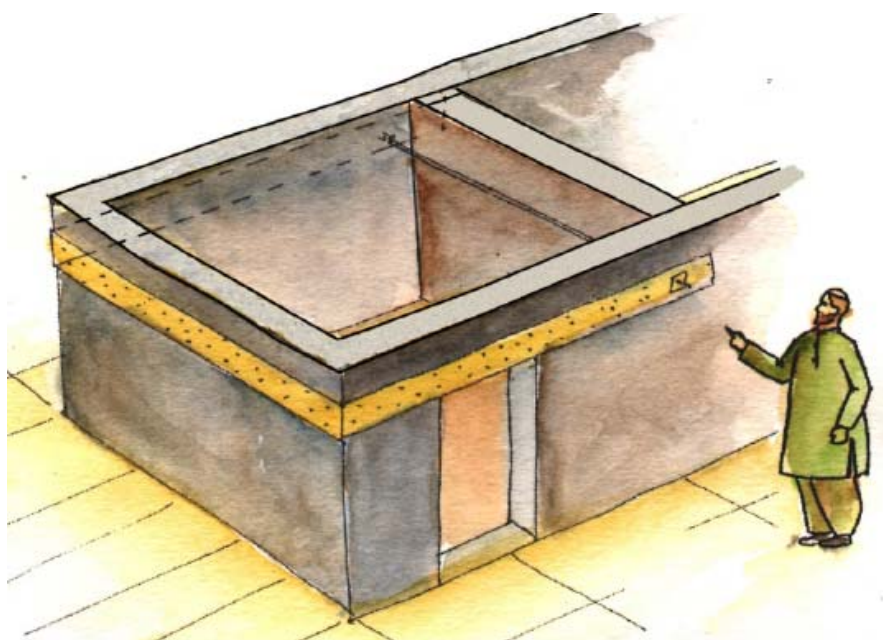
مطابق شکل ۱۳-۹، تسمه‌های افقی در محل گوشه به کمک ۲ میلگرد نمره ۱۰ L شکل به یکدیگر وصل می‌شوند. بهتر است این میلگردها، به میلگردهای طولی تسمه‌ها جوش شوند.



شکل ۱۳-۹ نحوه اتصال انتهای تسمه کششی یک وجه از دیوار به انتهای تسمه وجه دیگر

۳-۲-۵- پیوستگی تسمه در شرایطی که بصورت محیطی کامل اجرا نشده باشد

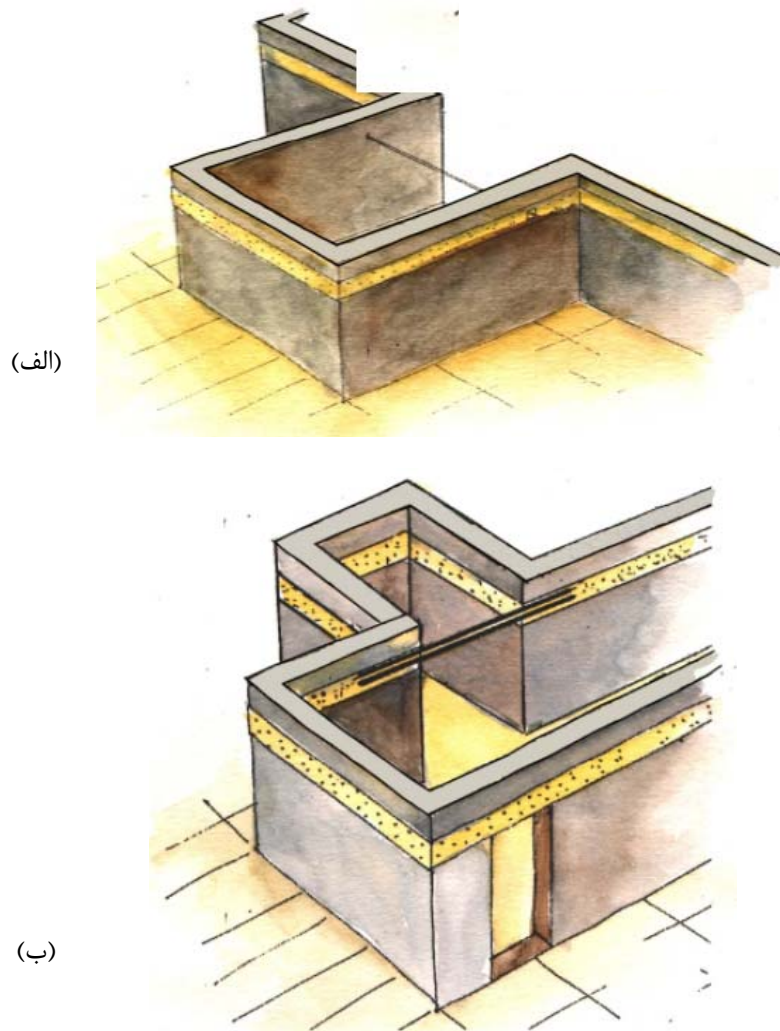
- ۱- اجرای تسمه کششی بر روی دیوار و تا حد امکان در امتداد آرماتورهای تسمه بر روی دیوار چهارم.
- ۲- ایجاد سوراخ بر روی دو دیوار مقابل و تسمه روی آنها
- ۳- قرار دادن میله مهار درون سوراخ به منظور بستن دو انتهای کمربندی لرزه‌ای (شکل ۱۴-۹).



شکل ۱۴-۹ اطمینان از پیوستگی تسمه در شرایطی که تسمه تنها در سر وجه اجرا شده باشد

### ۶-۳-۲-۹- پیوستگی تسمه لرزه‌ای اجرا شده بر روی سازه الحقی متصل به دیوار اصلی

- ۱- تسمه به صورت پیوسته در تمام اطراف سازه اجرا می‌گردد.
- ۲- میلگرد اتصال بر روی سازه الحقی به دو صورت زیر اجرا می‌گردد (شکل ۱۵-۹) :
  - الف- میلگرد اتصال بر روی دو دیوار متقابل به هم بر روی سازه الحقی اجرا می‌گردد.
  - ب- اگر تسمه لرزه‌ای بر روی وجه داخلی دیوار سازه اصلی اجرا شده باشد، میلگرد اتصال را می‌توان بر روی انتهای تسمه لرزه‌ای سازه اصلی با طول مهاری مناسب اجرا نمود.



شکل ۱۵-۹ اطمینان از پیوستگی تسمه لرزه‌ای اجرا شده بر روی سازه الحقی متصل به دیوار اصلی

### ۶-۴-۲-۹- تسمه‌های قائم

دیوارهایی که در محل اتصال دیوار به دیوار فوقانی و یا دیوار به سقف ضعیف می‌باشند دچار ترکهای افقی شده و حتی در بعضی موارد دچار فوربریزش می‌شوند. تعییه تسمه‌های قائم از ایجاد چنین شکستهایی جلوگیری می‌نماید (شکل ۱۶-۹).



خرابی به علت ضعف در مقاومت خمشی دیوارهای بنایی



خرابی به علت ضعف در محل اتصال دیوار به سقف ضعیف



خرابی به علت ضعف در دیوار به سقف فوکانی

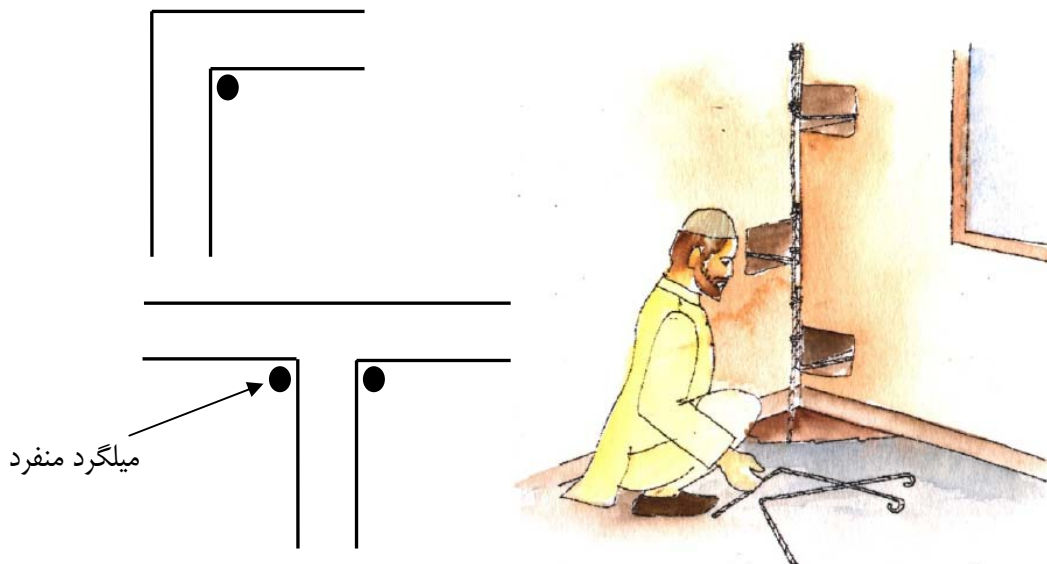
#### شکل ۱۶-۹ انواع خرابی به علت ضعف در مقاومت خمشی دیوارهای بنایی

تعییه تسمه قائم منجر به افزایش مقاومت کششی دیوار، کاهش ترک‌های افقی، کاهش احتمال شکم دادن دیوار و فروریزش آن می‌شود. میلگردهای قائم همچنین پیوستگی بین سقف و دیوار را افزایش داده و تکیه‌گاههای اضافی برای دیوار به وجود می‌آورد که این امر از لرزش دیوارها بر اثر زلزله جلوگیری می‌نماید. استفاده از تسمه‌های قائم، پیوستگی دیوارهای فوکانی و تحتانی را نیز افزایش می‌دهد.

تسمه‌های قائم را می‌توان به شکل میلگرد تک یا شبکه جوشی (شکل ۹-۹) اجرا نمود. میلگرد منفرد در محل گوشه‌ها، در سمت داخل اتصال و در تقاطع‌ها (T) در هر دو سمت داخل اتصال اجرا می‌گردد (شکل ۱۷-۹). قطر میلگردهای قائم منفرد مورد نیاز برای تقویت ساختمان‌های بنایی در جدول ۱-۹ ارائه شده است.

جدول ۱-۹ - میلگردهای قائم منفرد مورد نیاز برای تقویت خمشی ساختمان‌های بنایی

| قطر میلگرد مورد نیاز | طبقه     | تعداد طبقه |
|----------------------|----------|------------|
| ۱۲                   | همکف     | ۱          |
| ۱۲                   | طبقه اول |            |
| ۱۶                   | همکف     | ۲          |

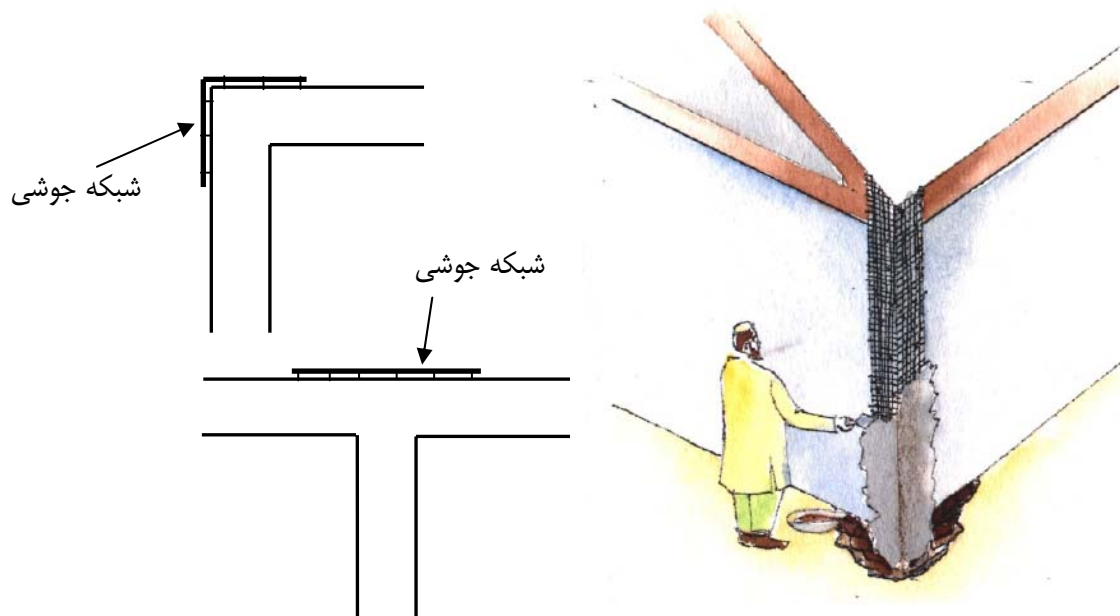


شکل ۱۷-۹ تعبیه میلگرد منفرد در وجه داخلی دیوار

شبکه جوشی، در محل اتصال گوشه‌ها در سمت خارج دیوار به شکل L و در محل تقاطع‌ها در سمت خارج به صورت مسطح نصب می‌گردد (شکل ۱۸-۹). عرض تسمه کششی برای تقویت ساختمان‌های بنایی در جدول ۲-۹ ارائه شده است.

جدول ۲-۹ - شبکه جوشی آرماتور مورد نیاز برای تقویت خمشی ساختمان‌های بنایی

| عرض تسمه کششی به سانتیمتر | طبقه     | تعداد طبقه |
|---------------------------|----------|------------|
| ۳۰                        | همکف     | ۱          |
| ۳۰                        | طبقه اول |            |
| ۴۰                        | همکف     | ۲          |

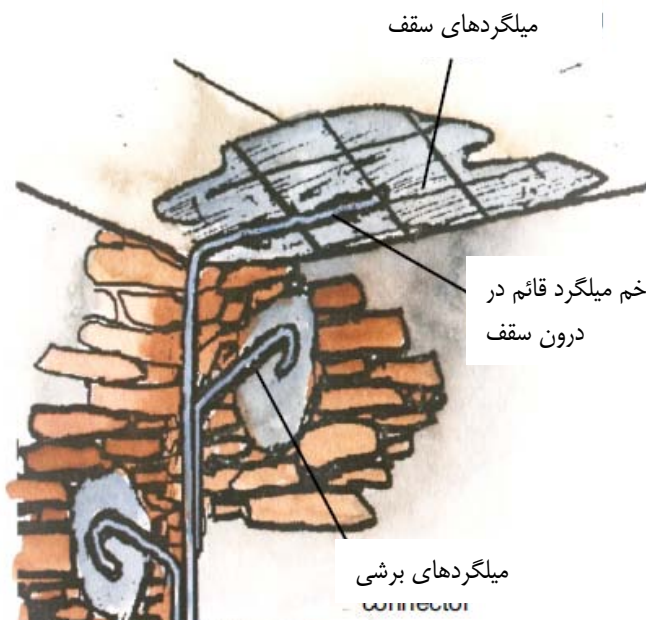


شکل ۱۸-۹ تعبیه شبکه جوشی آرماتور در سمت خارج دیوارها

#### ۴-۲-۹- نحوه اجرای میلگردهای قائم منفرد

- گام ۱. علامت‌گذاری مکان‌هایی که در آن میلگردهای عمودی باید جایگذاری شوند.
- گام ۲. کندن انود روى دیوار تا فاصله ۱۰ سانتیمتر از کنج دیوار به طوری که انود سایر قسمت‌ها آسیب نبیند.
- گام ۳. کندن ملات روی بندها تا عمق حدود ۱۲ میلیمتر.
- گام ۴. کندن سوراخی به عمق ۴۵ سانتیمتر و به اندازه  $30 \times 30$  سانتیمتر در گوشه کف اتاق.
- گام ۵. ایجاد سوراخ‌هایی به صورت متواالی بر روی دیوار به منظور ایجاد بستهای برشی. سوراخ اول به فاصله ۱۵ سانتیمتری از کف و بر روی یکی از دیوارها ایجاد می‌شود و سوراخ بعدی بر روی دیوار مجاور و به فاصله ۶۰ سانتیمتر بالاتر از سوراخ اول کنده می‌شود. البته همواره سوراخ آخر باید ۱۵ سانتیمتر با سقف فاصله داشته باشد. تمام سوراخ‌ها باید با دقیق تمیز شوند.
- گام ۶: تعبیه میلگرد منفرد به شکلی که قسمت تحتانی درون سوراخ قرار گرفته و حداقل دارای ۱۵ سانتیمتر خم L شکل باشد. میلگرد منفرد از تمام طبقات میانی باید عبور نماید و به یکی از المانهای سازه‌ای سقف مهار شود.
- گام ۷: تعبیه میلگردهای آجدار با قطر ۸ میلیمتر درون سوراخ‌های داخل دیوار که به منظور اتصال برشی ساخته شده‌اند (شکل ۱۹-۹). میلگردهای آجدار برشی باید به میلگرد اصلی متصل شوند. میلگردهای قائم اصلی نیز باید حداقل  $\frac{3}{5}$  تا ۵ سانتیمتر از دیوار فاصله داشته باشد (شکل ۲۰-۹).
- گام ۸. پرنمودن سوراخ ایجاد شده در کف با بتون مناسب.
- گام ۹. تمیز نمودن سوراخ‌های اتصال دهنده‌های برشی و پرنمودن آن با ملات مناسب منبسط شونده. به هنگام پرنمودن سوراخ همواره باید از پوشش روی میلگردها اطمینان حاصل گردد.
- گام ۱۰. تمیز نمودن سطح دیوار با فرچه و آب.

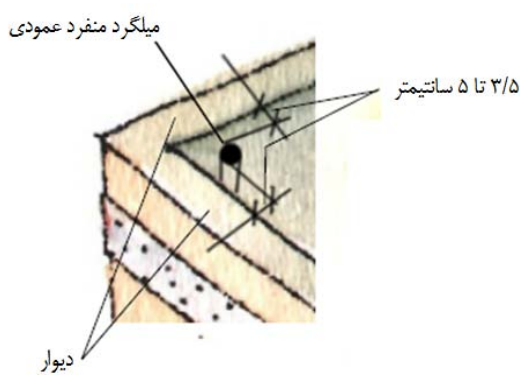
گام ۱۱. بتن ریزی در اطراف میلگرد منفرد. بتن ریزی به کمک ورق فولادی گالوانیزه و تخته چوبی به صورت مرحله‌ای انجام می‌شود و ارتفاع هر مرحله از بتن ریزی نباید بیشتر از ۹۰ سانتیمتر باشد. حداقل پوشش روی میلگرد باید  $1/5$  سانتیمتر باشد. آرماتور قائم باید کاملاً در سقف مهار شوند. لازم به ذکر است بتن مورد استفاده با نسبت  $50$  کیلوگرم سیمان در  $0.525$  متر مکعب ماسه و  $105$  متر مکعب شن می‌باشد.



شکل ۹-۱۹ آرماتور قائم باید کاملاً در سقف مهار شوند

#### گام ۱۲. باز نمودن قالبها پس از سخت شدن بتن:

گام ۱۳: مراقبت از بتن حداقدا، به مدت ۱۵ روز.



شکل ۲۰-۹ میلگردهای قائم اصلی باید حداقل  $\frac{3}{5}$  تا ۵ سانتیمتر از دیوار فاصله داشته باشد

## ۹-۲-۴-۳-۲- نحوه اجرای تسمه قائم در گوشه‌ها

گام ۱. مشخص نمودن گوشههایی از سازه که باید تسمه قائم در آن اجرا گردد.

#### گام ۲. علامت‌گذاری امتداد تسمه قائم بر روی دیوار (شکل ۹-۲۱)



شکل ۲۱-۹ علامت‌گذاری امتداد تسمه قائم

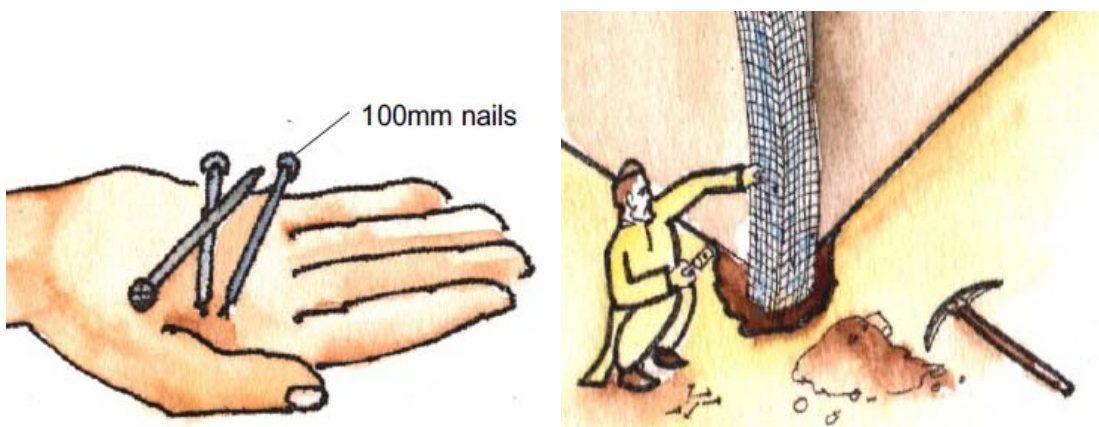
گام ۳. کدن انود روى دیوار در قسمت‌های علامت‌گذاري شده به طوری که سایر قسمت‌ها آسیب نبینند. تسمه از روی شالوده شروع و به سقف ختم می‌شود.

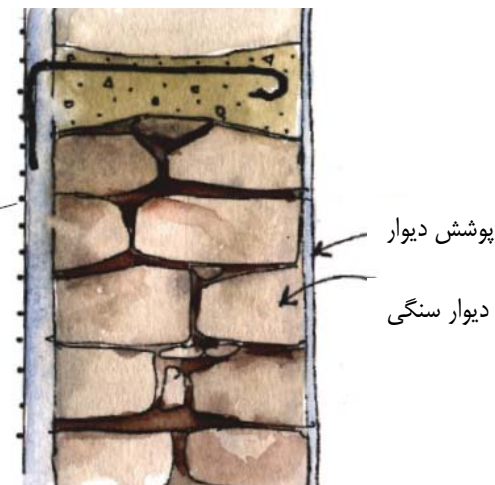
گام ۴. تراشیدن ملات موجود بر روی بندها تا عمقی حدود  $1/2$  سانتیمتر.

گام ۵. آماده نمودن شبکه جوشی به طول مورد نیاز و متصل نمودن آن به به آرماتورهای طولی.

گام ۶. نصب شبکه بر روی دیوار توسط میخ‌هایی به طول  $10$  یا  $15$  سانتیمتر و به فاصله حدوداً  $30$  سانتیمتر از یکدیگر بصورت شطرنجی به طوری که میخ‌ها درون ملات (بر روی بندها) کوییده شوند (شکل ۲۲-۹). در دیوارهایی که از سنگ ساخته شده‌اند تسمه‌های کششی توسط گل‌میخ‌هایی که درون دیوار تعییه شده‌اند اجرا می‌گردند (شکل ۲۳-۹). این گل‌میخ‌ها به شکل L بوده و اطمینان بیشتری برای عملکرد بهتر تسمه ایجاد می‌نماید. گل‌میخ اول باید  $15$  سانتیمتر بالاتر از کف زمین اجرا گردد و فاصله آنها از یکدیگر نباید بیشتر از  $60$  سانتیمتر باشد. سپس شبکه سیمی جوشی اجرا می‌گردد. برای اطمینان از پیوستگی شبکه در محل‌های اتصال، میلگردها باید حداقل دارای  $30$  سانتیمتر همپوشانی باشند.

گام ۷. تعییه فاصله‌دهندهایی برای ایجاد فاصله‌ای حدود  $1/5$  سانتیمتر بین شبکه و دیوار تا ملات به طور کامل بین آنها قرار گیرد.

شکل ۲۲-۹ نصب شبکه بر روی دیوار توسط میخ‌هایی به طول  $10$  یا  $15$  سانتیمتر



شکل ۲۳-۹ در دیوارهایی که از سنگ ساخته شده‌اند تسمه کششی توسط گل میخ اجرا می‌گردد

گام ۸. پاک نمودن گرد غبار را از روی دیوار با ریختن آب ببروی آن و خیس نمودن تمام قسمت‌های دیوار.

گام ۹. اجرای ملاتی با نسبت ماسه به سیمان، ۳ به ۱ و ضخامت حدود ۱۲ میلیمتر به عنوان لایه اول انود بر روی دیوار در شرایطی که هنوز دیوار خیس است و سپس اجرای لایه دوم مشابه لایه اول با ضخامتی مناسب بر روی دیوار به طوری که پوشش مناسبی حداقل به ضخامت ۱۶ میلیمتر بر روی تسمه ایجاد گردد. اگر ضخامت پوشش اجرا شده بر روی آرماتورها زیاد باشد، انود اجرا شده بر روی میلگردها شروع به ریزش می‌نماید، به همین دلیل اجرای انود با ضخامت ۱۶ میلیمتر بر روی میلگردها امری مهم و ضروری است.

گام ۱۰. محافظت از انود روی میلگردها حداقل به مدت ۱۵ روز.

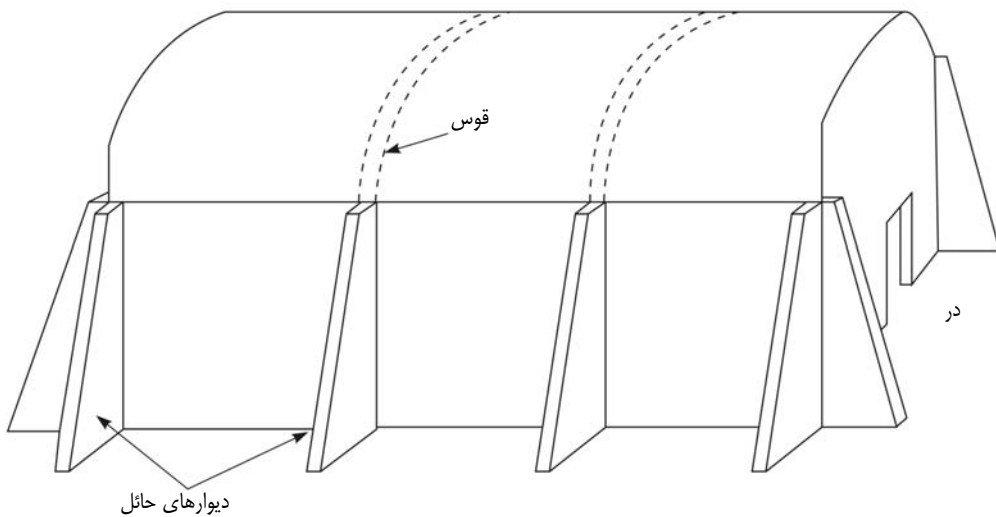
### ۳-۹- ساختمان‌های خشتی و گلی

#### ۱-۳-۹- دیوارهای خشتی و گلی

استفاده از خشت‌های گلی خام که در زیر آفتاب خشک می‌شوند برای ساختن ساختمان‌ها در بسیاری از نقاط خشک ایران رایج است. زیرا مصالح این گونه ساختمان‌ها در محل موجود است و در ماههایی که کار کشاورزی وجود ندارد روتستایان می‌توانند آنها را بسازند. دیوارهایی که با خشت‌های گلی ساخته می‌شوند ضخیم و سنگین هستند و در نتیجه عایق خوبی در مقابل سرما و گرما می‌باشند. ولی از لحاظ سازه‌ای ضعیف بوده و احتمال فروریختن آنها در زلزله‌های متعدد و بزرگ بسیار زیاد است. این دیوارها بدون تقویت یا مسلح شدن نباید بکار روند.

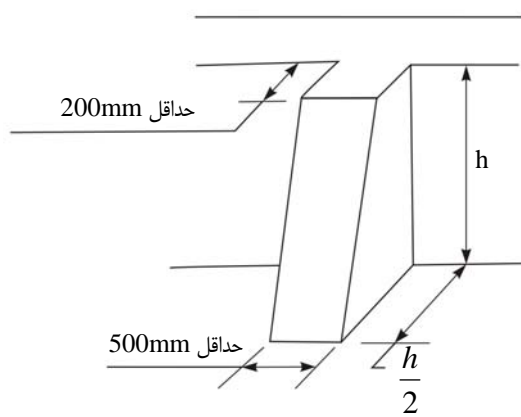
دیوارهای خشتی و گلی را می‌توان با استفاده از دیوارهای حائل ذوزنقه‌ای مطابق شکل ۲۴-۹ در مقابل زلزله تقویت نمود. این دیوارهای حائل باید در همان زمانی که دیوارهای اصلی ساخته می‌شوند ساخته و به آنها متصل گردد. اگر دیوارهای حائل بعداً اضافه شوند احتمالاً در موقع خشک شدن منقبض شده و از دیوارهای اصلی فاصله می‌گیرند. پس اگر سازه خشتی فاقد دیوار حائل ذوزنقه‌ای باشد نشان‌دهنده ضعف سازه می‌باشد و باید آن را تقویت نمود.

در هر یک از گوشه‌های ساختمان دو دیوار حائل (یکی در جهت طول و دیگری در جهت عرض ساختمان) باید ساخته شود. این دیوارهای حائل در جایی که دیوار عرضی با دیوار طولی برخورد می‌کند و یا دیوار سقف قوسی سنگینی را تحمل می‌کند باید ساخته شوند.



شکل ۲۴-۹ تقویت دیوارهای خشتی و گلی با استفاده از دیوارهای حائل ذوزنقه‌ای

اندازه و شکل دیوارهای حائل باید مطابق شکل ۲۵-۹ باشد. ضخامت این دیوارها باید حداقل ۵۰ سانتیمتر باشد و طول آنها در بالای دیوار باید حداقل ۲۰ سانتیمتر و در پای دیوار باید  $\frac{h}{2}$  (ارتفاع دیوار) باشد. پی دیوار حائل باید در همان تراز پی دیوار اصلی قرار داده شود. ساختمان‌های خشتی گنبدهای شکل را نیز می‌توان به وسیله دیوارهای حائل تقویت نمود.



شکل ۲۵-۹ اندازه و شکل دیوارهای حائل

طی تجربیاتی که از زلزله‌های اخیر بدست آمده علت اصلی فرو ریختن این ساختمان‌ها جدا شدن دیوارها در محل اتصال با سقف و ریختن دیوارها می‌باشد. در اثر ارتعاشات افقی ناشی از زلزله دیوارها به طور افقی حرکت کرده و از سقف جدا می‌شوند و معمولاً خرابی ساختمان از گوشه‌ها (محل برخورد دیوارها) آغاز می‌گردد.

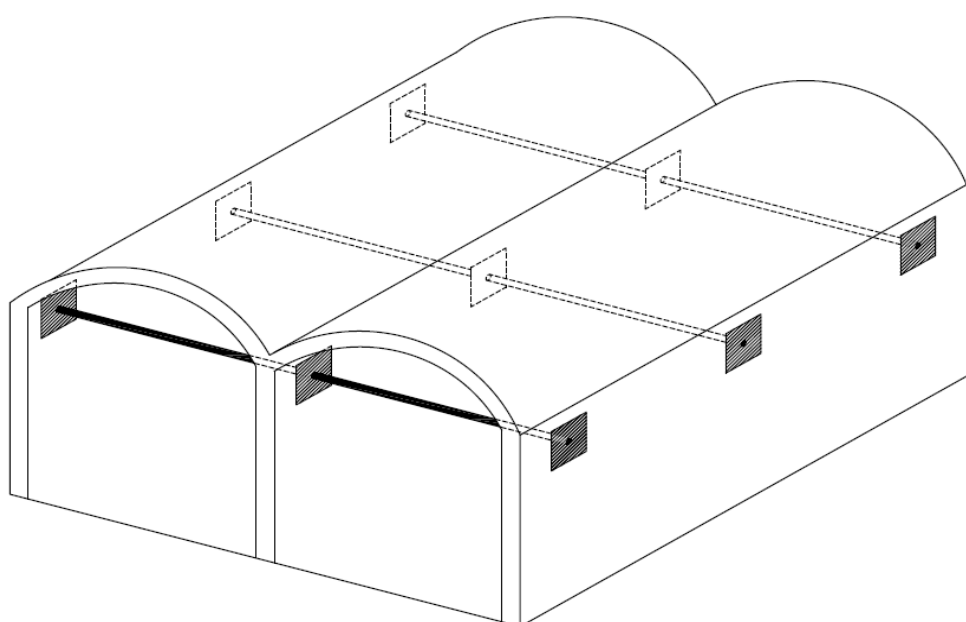
در بسیاری از روستاهای ایران با خشت‌های خام ساختمان‌های دو طبقه نیز می‌سازند. پس از زلزله قائنات تقریباً تمام ساختمان‌های دو طبقه خشته فرو ریختند ولی اکثر ساختمان‌های یک طبقه با وجود اینکه ترک‌های زیادی دیدند و غیرقابل استفاده گشته‌ند به طور کامل فرو نریختند. از ساختن ساختمان‌های خشته بیش از یک طبقه مطلقاً باید خوداری نمود.

زلزله‌های اخیر ایران نشان داده‌اند که ساختمان‌های مخروطی شکل، ساختمان‌های با سقف گنبدی و همچنین برج‌های استوانه‌ای نسبت به ساختمان‌های با سقف مسطح مقاوم‌تر می‌باشند. به نظر می‌رسد که فرم‌های مذبور در موقع وقوع زلزله رفتار سه بعدی داشته و در حین زلزله بصورت یکپارچه عمل می‌کنند.

با افزودن بعضی از مواد می‌توان خصوصیات مکانیکی خشت را اصلاح کرد. مثلاً هرگاه به خشت کاه افزوده شود از مقاومت فشاری آن مقداری کاسته می‌شود ولی مقاومت کششی، شکل‌پذیری و خاصیت جذب انرژی آن بهتر می‌گردد و از ترک‌های ناشی از انقباض جلوگیری به عمل می‌آید. از این جهت به نظر می‌رسد که با افزودن کاه به خاک رس مصالح بهتری برای مقاومت در مقابل زلزله حاصل می‌شود، البته لازم است در این مورد تحقیقات آزمایشگاهی بیشتری صورت گیرد.

### ۲-۳-۹- مقاوم‌سازی طاق‌های قوسی

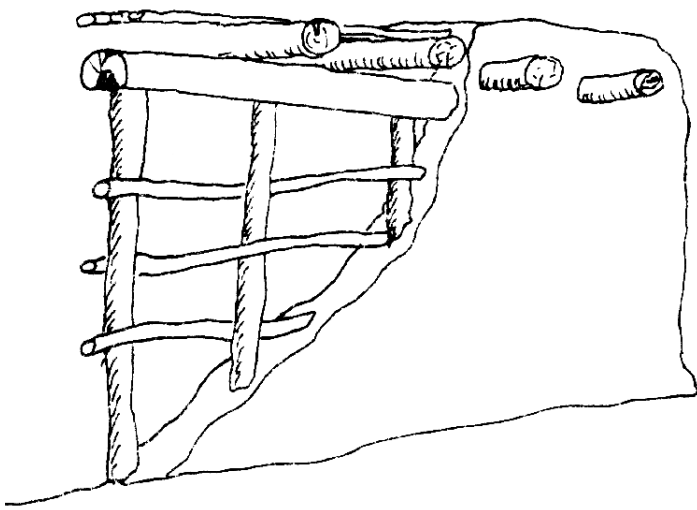
طاق‌های قوسی از جمله سقف‌های سنگین مورد استفاده در ساختمان‌های سنتی می‌باشند. این سقف‌ها به علت شکل هندسی خود مقاومت مناسبی در برابر بارهای قائم دارند. بهترین روش برای مقاوم‌سازی این نوع سقف‌ها استفاده کش‌های فولادیست. این پروفیل‌ها از اعمال نیروهای افقی به دیوار جلوگیری می‌نماید. پروفیل‌ها باید مطابق شکل ۲۶-۹ توسط صفحات فلزی  $50 \times 50$  سانتی‌متر به دیوار متصل شوند. نمونه‌ای از طاق قوسی مقاوم‌سازی شده با این روش در شکل ۲۶-۹ نشان داده شده است.



شکل ۲۶-۹ نمونه‌ای از طاق قوسی مقاوم‌سازی شده با کشن‌های فولادی

### ۳-۳-۹ - ساختمان‌های کاه‌گلی توام با چوب

این نوع ساختمان‌ها بیشتر در شمال ایران ساخته می‌شوند. نحوه ساختن این ساختمان‌ها بدین ترتیب است که ستون‌های چوبی در فواصل تقریباً ۷۵ سانتیمتر از یکدیگر قرار داده می‌شوند و آنها را به وسیله چوب‌های باریک، چبر و غیره به طور افقی و مورب به یکدیگر وصل می‌کنند. سپس یک رو یا هر دو روی دیوار را با گل یا کاه‌گل می‌پوشانند (شکل ۲۷-۹). چوب پس از چند سال می‌پرسد یا به وسیله موریانه خورده می‌شود. ساختمان در چنین شرایطی حتی در زلزله‌ای با شدت متوسط فرو می‌ریزد، بخصوص اگر سقف ساختمان سنگین باشد. توجه کنید سقف کاه‌گلی در حالت مرطوب خیلی سنگین می‌گردد، بنابراین خطر فرو ریختن آنها در هنگام زلزله در فصل بارندگی بیشتر از سایر فصول سال است.



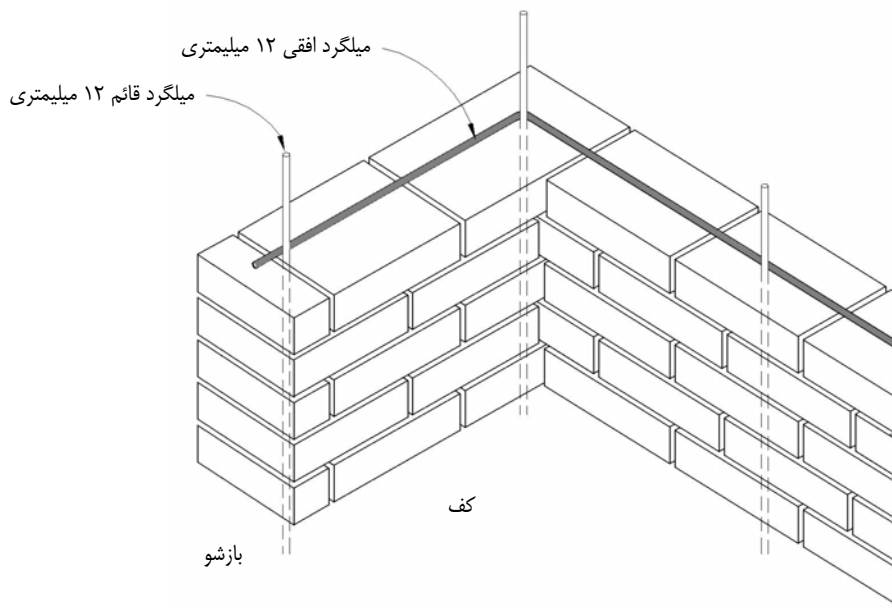
شکل ۲۷-۹ ساختمان‌های کاه‌گلی توام با چوب

اگر نتوان از ساختن این نوع ساختمان‌ها اجتناب نمود تمام ساختمان باید مطابق بخش ۴-۳-۹ به یکدیگر بسته شود یا باید از سقف‌های سبک مانند ورق‌های کنگره‌ای فولادی یا آلومینیومی استفاده نمود.

### ۳-۴-۹ - مسلح نمودن دیوارهای گلی

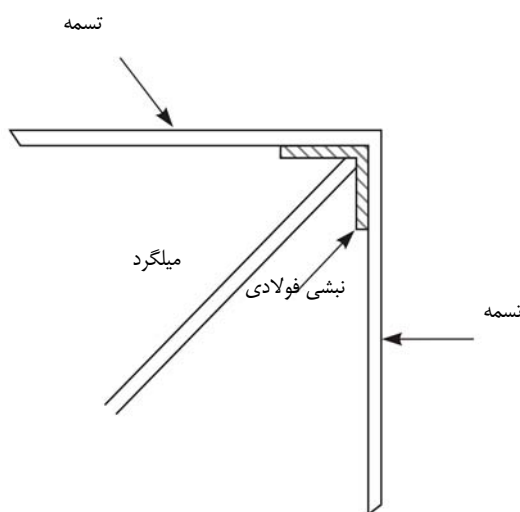
وقتی که به دلایل اقتصادی استفاده از دیوارهای گلی و یا خشت خام اجتناب ناپذیر باشد با مسلح نمودن دیوارها می‌توان جان افراد زیادی را در زلزله احتمالی آینده نجات داد. استفاده از سه میلگرد قائم ۱۲ میلیمتری در هر یک از گوشه‌های ساختمان مطابق شکل ۲۸-۹ روشنی برای مسلح کردن خشت‌های با کیفیت خوب می‌باشد. برای این کار خشت‌ها را باید به وسیله متنه سوراخ نمود و میلگردها را از داخل آنها عبور داد. در جایی که دو قطعه میلگرد به یکدیگر متصل می‌شوند باید یکدیگر را در طول ۳۰ سانتیمتر پوشانند و به وسیله سیم‌های فولادی به یکدیگر بسته شوند. این میلگردهای قائم از پائین باید داخل پی دیوارها قرار داده شوند. در گوشه‌ها باید علاوه بر میلگردهای قائم از میلگردهای افقی فولادی ۱۲ میلیمتری در هر یک متر ارتفاع دیوارها مطابق شکل ۲۸-۹

استفاده نمود. این روش شبیه روشی است که برای ساختمان‌های آجری بکار می‌رود و اجرای آن برای ساختمان‌های خشتی پرزمت است و ممکن است اقتصادی نباشد.



شکل ۲۸-۹ مسلح نمودن دیوارهای گلی

اما روش مناسب و ساده برای مسلح کردن این دیوارها استفاده از فولادهای نبشی به طور قائم در گوشه‌های ساختمان و در محل برخورد دیوارها می‌باشد (شکل ۲۹-۹). نبشی‌ها باید حداقل ۷۵ سانتیمتر در داخل زمین ادامه داده شوند و اندازه آنها نباید از  $75 \times 75 \times 6$  میلیمتر کمتر باشد.

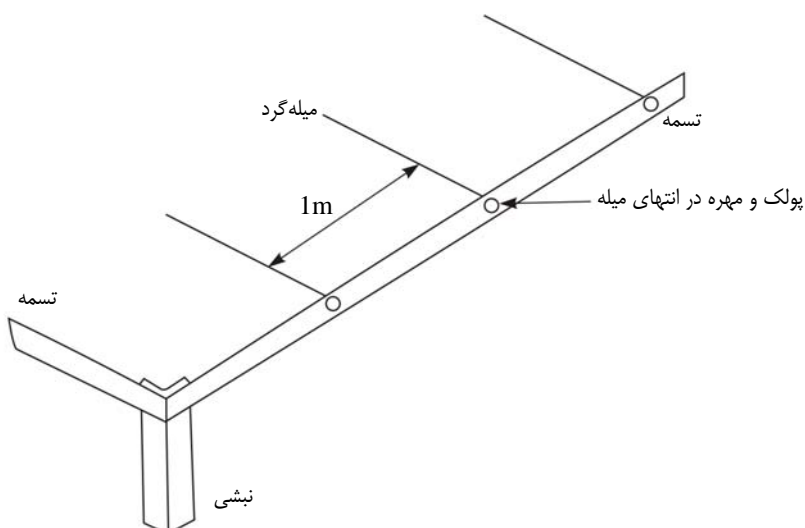


شکل ۲۹-۹ مسلح کردن این دیوارهای خشتی با استفاده از فولادهای نبشی

قسمت فوقانی نبشی‌ها باید به صورت‌های زیر به یکدیگر متصل شود:

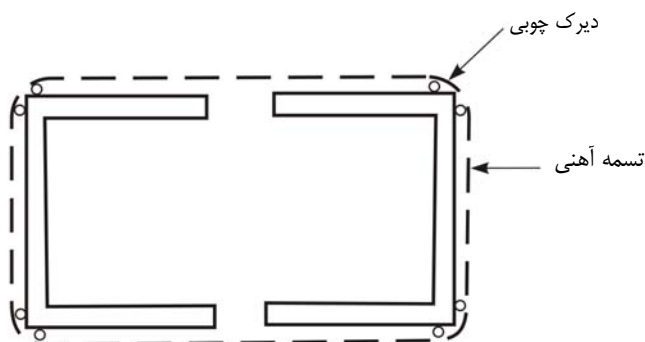
۱- تسممهای فولادی با ابعاد حداقل  $75 \times 6$  میلیمتر به نبشی‌ها جوش شوند.

- ۲- میلگردهای فولادی ۱۲ میلیمتری در امتداد قطر اتاق‌ها و در زیر سقف‌ها قرار گیرند و به نبیشی‌ها جوش شوند.
- ۳- در مناطقی از ایران که به طور سنتی اتاق‌ها دراز و با سقف‌های قوس نیم دایره‌ای ساخته می‌شوند استفاده از مهارهای قطری چندان فایده‌ای ندارد. در این حالت بهترین روش مسلح استفاده از نبیشی‌های فولادی و تسممهای فولادی مطابق فوق و بستن نبیشی‌ها به یکدیگر بوسیله میلگردها در فواصل یک متری می‌باشد (شکل ۳۰-۹).



شکل ۳۰-۹ بستن نبیشی‌ها به یکدیگر بوسیله میلگردها در فواصل یک متر

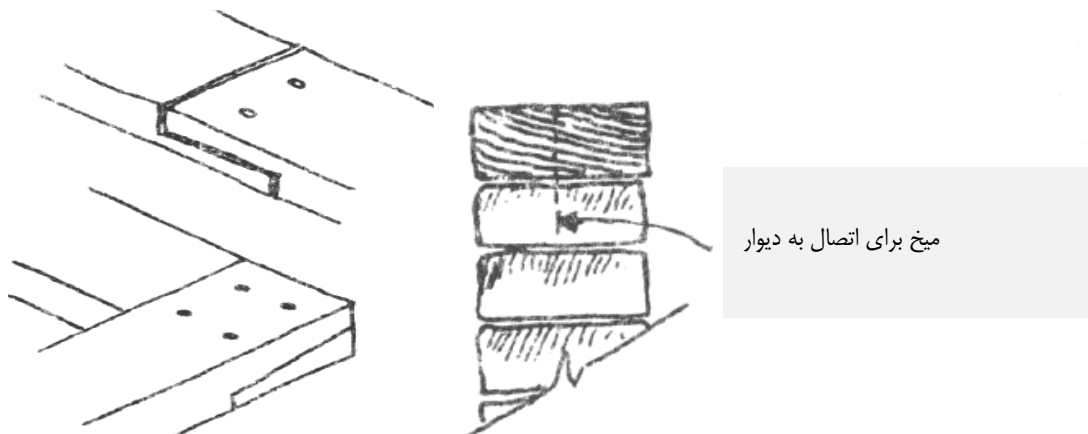
در جایی که مسلح کردن دیوارها به صورت فوق اقتصادی نباشد حداقل با استفاده از دیرک‌های چوبی بزرگ در گوشه‌ها به طور قائم به جای نبیشی‌های فولادی و بستن آنها به یکدیگر به وسیله تسمه آهنی می‌توان تا حدودی بر مقاومت ساختمان در مقابل نیروهای زلزله اضافه نمود (شکل ۳۱-۹). این روش تقویت ساختمان نه تنها خیلی ضعیفتر از روش‌های دیگر است بلکه چوب ممکن است پوسیده و یا توسط حشرات خورد شود، بنابراین ممکن است عمر نسبتاً کمی داشته باشد.



شکل ۳۱-۹ تقویت دیوار با استفاده از دیرک‌های چوبی بزرگ در گوشه‌ها به طور قائم و بستن آنها با تسمه آهنی

برای تقویت ساختمان‌های خشتی می‌توان از تیر کلاف سراسری در بالای دیوارها استفاده نمود. کلاف‌های بتونی سنگین در روی ساختمان‌های خشتی با مقاومت کم ممکن است اثر معکوس داشته باشد و باعث فروریختن دیوارها در اثر ارتعاشات زلزله گردد.

برای بستن دیوارهای خشتشی به یکدیگر می‌توان از تیرهای کلاف چوبی (شکل ۳۲-۹) استفاده نمود، هر چند که اثر آن از تیر کلاف بتنی کمتر است. ضخامت این تیرها باید حداقل برابر ۱۰ سانتیمتر و عرض آنها باید برابر با عرض دیوار باشد. در گوشه‌های دیوار تیرهای چوبی را باید به طور محکم به یکدیگر متصل نمود. این تیرها همچنین باید به وسیله میخ‌هایی به دیوار زیر متصل گردند.



شکل ۳۲-۹ تقویت ساختمان‌های خشتشی با استفاده از تیر کلاف سراسری در بالای دیوارها

#### ۴-۹- ساختمان‌های چوبی

به علت نسبت مقاومت به وزن بالا، رفتار ساختمان‌های چوبی در زلزله می‌تواند خیلی خوب باشد. همچنین مقاومت نهائی چوب تحت بارگذاری دینامیکی حدود ۲۵ درصد بیشتر از مقاومت آن در شرایط استاتیکی می‌باشد. چوب برخلاف فولاد مزیت رفتار ارتجاعی را ندارد بنابراین باید بصورت ماده شکننده طرح گردد. مقاومت یا سختی چوب تحت بارگذاری دوره‌ای به مقدار جزئی تنزل پیدا می‌کند و ساختمان‌های چوبی دارای میرایی زیادی می‌باشند.

#### ۴-۱- علل اصلی خسارات وارد بر ساختمان‌های چوبی بر اثر زلزله

علل اصلی خسارات وارد بر ساختمان‌های چوبی بر اثر زلزله عبارتند از:

- ۱- کافی نبودن مقاومت اتصالات.
- ۲- استفاده از سقف‌های سنگین بدون اینکه قاب نگذارنده مقاومت کافی داشته باشد.
- ۳- فقدان یکپارچگی زیربنا.
- ۴- واکنش زیاد در روی زمین‌های نرم. (بطور کلی هر چقدر ساختمان چوبی در روی زمین نرم‌تری قرار گرفته باشد خسارات وارد برآن نیز بیشتر است.)
- ۵- نامتقارن بودن فرم سازه.

۶- وجود طبقه نرم در ساختمان‌های چوبی دو طبقه بطوریکه طبقه تحتانی کاملاً فروریخته در حالیکه طبقه فوقانی بدون صدمه به زمین نشسته است.

۷- عدم پیوستگی بین سازه چوبی و شالوده به طوری که لغزش تمام ساختمان قابل مشاهده است.

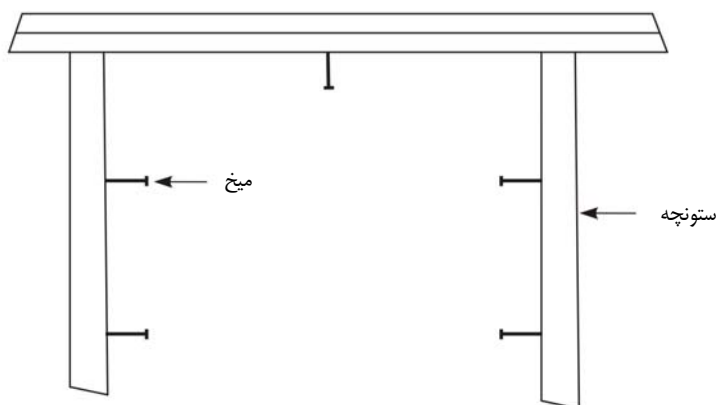
۸- از بین رفتن مقاومت چوب در اثر پوسیدگی یا حمله حشرات.

۹- عدم مقاومت کافی در مقابل آتش سوزی پس از زلزله.

#### ۲-۴-۹- مقاوم‌سازی ساختمان‌های چوبی با پرکننده‌های سنگی

##### ۲-۴-۹-۱- مقاوم‌سازی دیوار ساختمان‌های چوبی با پرکننده‌های سنگی در برابر تغییرشکل‌های خارج از صفحه

در بعضی از روستاهای ایران (مثلاً کناره جنوبی دریای مازندران) که خانه‌های چوبی ساخته می‌شود بین قاب چوبی را با آجر یا سنگ و ملات پر می‌کنند. این پرکننده‌های سنگین داخل ساختمان را در برابر هوا سرد و گرم حفظ می‌کنند. برای ازدیاد مقاومت اینگونه ساختمانها در مقابل زلزله باید دقت نمود که از ملات مرغوب استفاده شود و آجرها یا سنگ‌ها کاملاً فواصل خالی درون قاب چوبی را بپوشانند. برای اینکه از جدا شدن و بیرون ریختن این پرکننده‌ها در هنگام وقوع زلزله جلوگیری شود باید آنها را با میخ‌های بلند به قاب چوبی متصل نمود (شکل ۳۳-۹). طول این میخ‌ها باید حداقل ۱۰ سانتیمتر باشد و آنها را باید در فواصل ۶۰ سانتیمتر به اندازه حداقل ۲ سانتیمتر در داخل ستونچه‌ها، ورق تحتانی و ورق فوقانی فرو کرد. بقیه طول میخ‌ها در داخل ملات پرکننده‌ها جاگذاشته می‌شود. (شکل ۳۳-۹)



شکل ۳۳-۹ میخ‌های بلند برای اتصال آجرها یا سنگ‌ها به قاب چوبی

خرابی متداول این ساختمان‌ها بیشتر به علت تغییرشکل‌های خارج از صفحه دیوارها و در نتیجه ریزش تکه‌های بزرگ نما، ایجاد ترک‌های عمیق و یا جداسدگی مواد پرکننده و در بعضی از موارد ریزش مواد پرکننده دیوارها می‌باشد، که علت اصلی این خرابی‌ها عدم دورگیری مناسب پرکننده‌های دیوار است (شکل ۳۴-۹).



ب: ایجاد ترک بر روی مواد پر کننده دیوار

الف: ریزش تکه‌های بزرگ نما

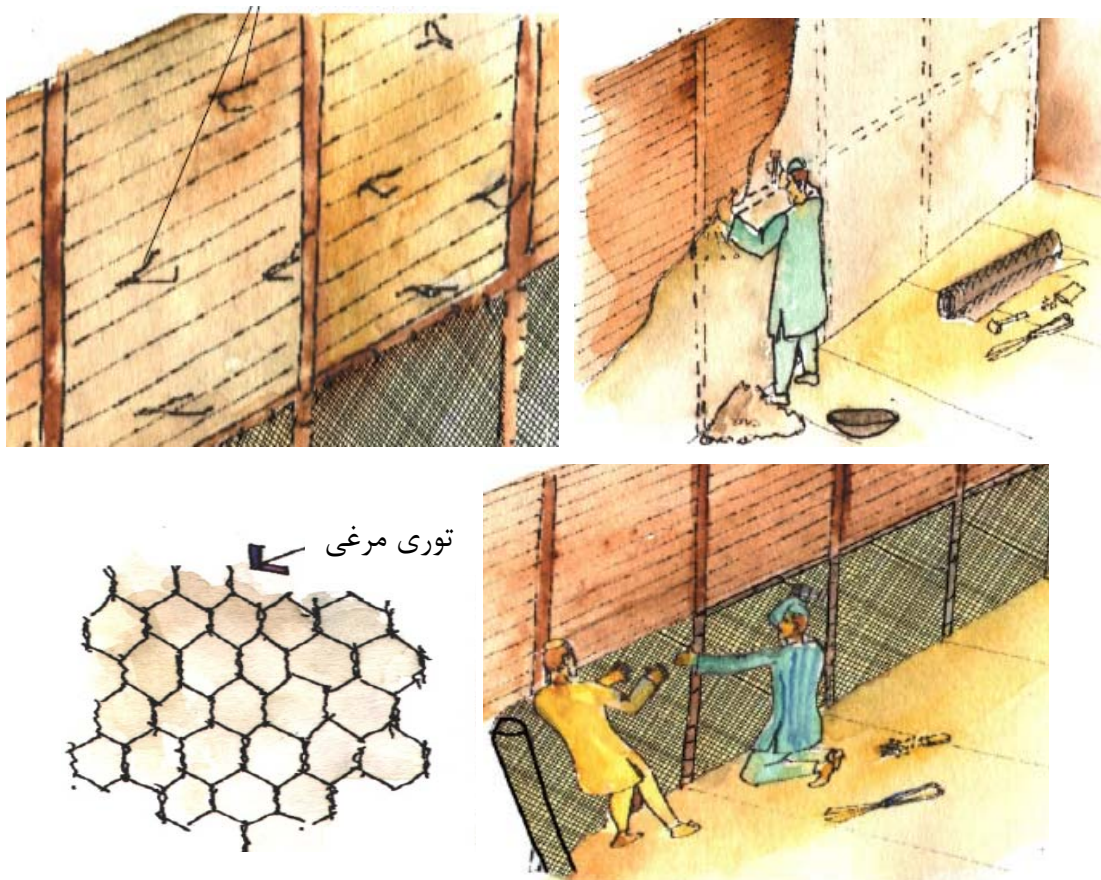


پ: ریزش تکه‌هایی از مواد پرکننده

شکل ۳۴-۹ انواع خرابی‌های متداول در ساختمان‌های چوبی با پرکننده‌های سنگی

بهترین روش برای مقاوم‌سازی دیوار ساختمان‌های چوبی با پرکننده‌های سنگی تحت تغییرشکل‌های خارج از صفحه استفاده از توری مرغی می‌باشد. با اجرا نمودن توری مرغی در دو سمت دیوار می‌توان از تغییرشکل‌های جانبی دیوار و در نتیجه خرابی آن جلوگیری نمود. در مناطقی که به علت رطوبت زیاد احتمال خوردگی بالاست بهتر است بجا ای توری مرغی از تورهای با ضخامت بالا استفاده شود.

برای نصب توری مرغی ابتدا باید تمام اندودکاری سطح دیوار را کنده به طوری که سنگها و کلیه المان‌های چوبی نمایان شوند. سپس ۲ میلگرد با قطر ۶ میلیمتر و به طول ۱۰ سانتیمتر از میان پرکننده دیوار تعییه می‌گردند. این میلگردها در نقاط مختلف دیوار و با فاصله از المان‌های چوبی اجرا می‌گردند. سپس توری مرغی از یک گوشه دیوار در امتداد طولی و عرضی اجرا می‌گردد. توری مرغی باید با میخ‌های مناسب به طول ۵ یا ۶ سانتیمتر به المان‌ها متصل می‌گردد. در آخر روی دیوار اندود می‌شود (شکل ۳۵-۹).



شکل ۳۵-۹ نحوه اجرای توری مرغی برای مقاوم‌سازی دیوار در برابر تغییرشکل‌های خارج از صفحه

#### ۴-۹-۲-۲-۲- مقاوم‌سازی ساختمان‌های چوبی در برابر تغییرشکل‌های داخل صفحه

تغییرشکل‌های داخل صفحه این ساختمان‌ها باعث ریزش تکه‌های بزرگ نما، ایجاد ترک‌های قطری و یا تغییرشکل جانبی دائم سازه می‌گردد، که علت اصلی این خرابی‌ها عدم وجود بادبندهای مناسب و یا اتصالات ضعیف بادبندها می‌باشد (شکل ۳۶-۹).

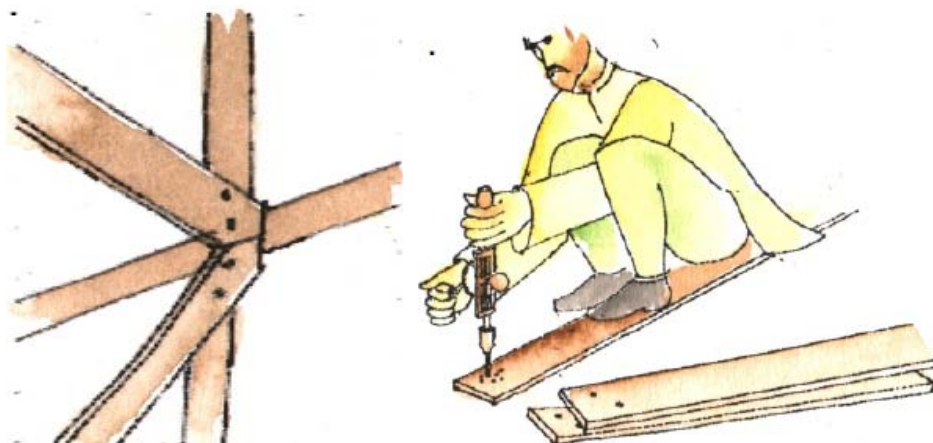


شکل ۳۶-۹ تغییرشکل جانبی دائم سازه به علت عدم وجود بادبندهای مناسب و یا اتصالات ضعیف بادبندها

استفاده از مهاربندها با اتصال مناسب به تیر و ستون منجر به افزایش سختی جانبی سازه شده و تغییرشکل‌های داخل صفحه ساختمان را کاهش می‌دهد.

برای نصب بادبندهای قطری در این ساختمان‌ها به صورت زیر عمل می‌گردد:

- ۱- کندن تمام انودکاری روی دیوار تا کلیه المانهای چوبی نمایان گردند.
- ۲- نصب تخته‌هایی با مقطع  $2 \times 10$  سانتیمتر بر روی سطح دیوار به صورت قطری.
- ۳- استفاده از حداقل دو میخ مناسب به طول‌های ۶ تا  $7/5$  سانتیمتر در هر انتهای عضو قطری برای متصل نمودن آن به اعضای اصلی. برای جلوگیری از ایجاد ترک در عضوهای قطری (به علت زدن میخ) باید عضو را از پیش سوراخ نمود. این عمل را در تیرها و ستون‌های چوبی نیز می‌توان انجام داد (شکل ۳۷-۹).



شکل ۳۷-۹ پیش سوراخ نمودن عضو و استفاده از حداقل دو میخ برای اتصال عضو قطری به اعضای اصلی

- ۴- در مکان‌هایی که اعضای قطری به صورت نمایان می‌باشند، چوب‌های بادبند باید از جنس مناسب بوده و برای محافظت بیشتر رنگ شوند.
- ۵- از هرگونه ناپیوستگی اعضای قطری باید جلوگیری شود و برای پیوستگی بیشتر باید بین دهانه‌های مجاور جهت بادبندها مخالف یکدیگر باشند (شکل ۳۸-۹).



شکل ۳۸-۹ پیوستگی اعضای قطری



## فصل ۱۰

---

---

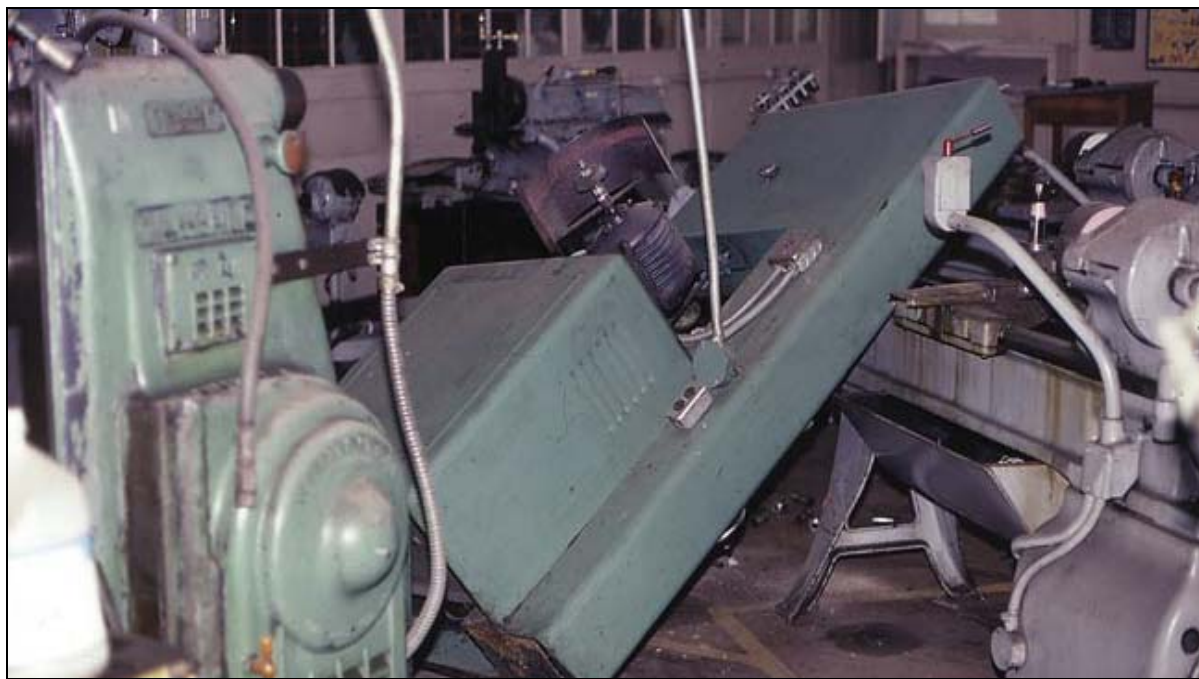
بهسازی لرزا های عناصر غیر سازه ای



**۱-۱۰- مقدمه**

در گذشته اکثر تلاش طراحان به کم کردن آسیب وارد شده به سیستم مقاوم در برابر نیروی جانبی معطوف بوده است، در حالی که نگهداری سیستم‌های مکانیکی، الکتریکی، لوله کشی و معماری معمولاً به سازندگان و یا پیمانکاران مسئول نصب آنها و اگذار می‌شود. زلزله ۱۹۶۴ آلاسکا و زلزله‌های متعاقب آن باعث شد که کنترل لرزه‌ای اجزای غیرسازه‌ای مورد توجه قرار گیرد و زیانهای مالی و خطرات جانی ناشی از آسیب دیدن این گونه سیستم‌ها کاهش داده شود. براساس ارزیابی‌های انجام شده بعضاً، خسارات مالی ناشی از آسیب به اجزای غیرسازه‌ای از مقدار آسیب وارد بر اجزای سازه‌ای تجاوز می‌نماید.

از آسیب‌های متدالو تجهیزات مکانیکی سنگین در اثر زلزله‌های گذشته می‌توان به واژگونی آنها اشاره نمود. نمونه‌ای از این آسیب‌ها در شکل ۱-۱۰ نشان داده شده است. آسیب‌دیدگی وسایل معمولی مانند وسایل روشنایی در اثر زلزله‌های گذشته نیز کاملاً مشهود است (شکل ۲-۱۰).



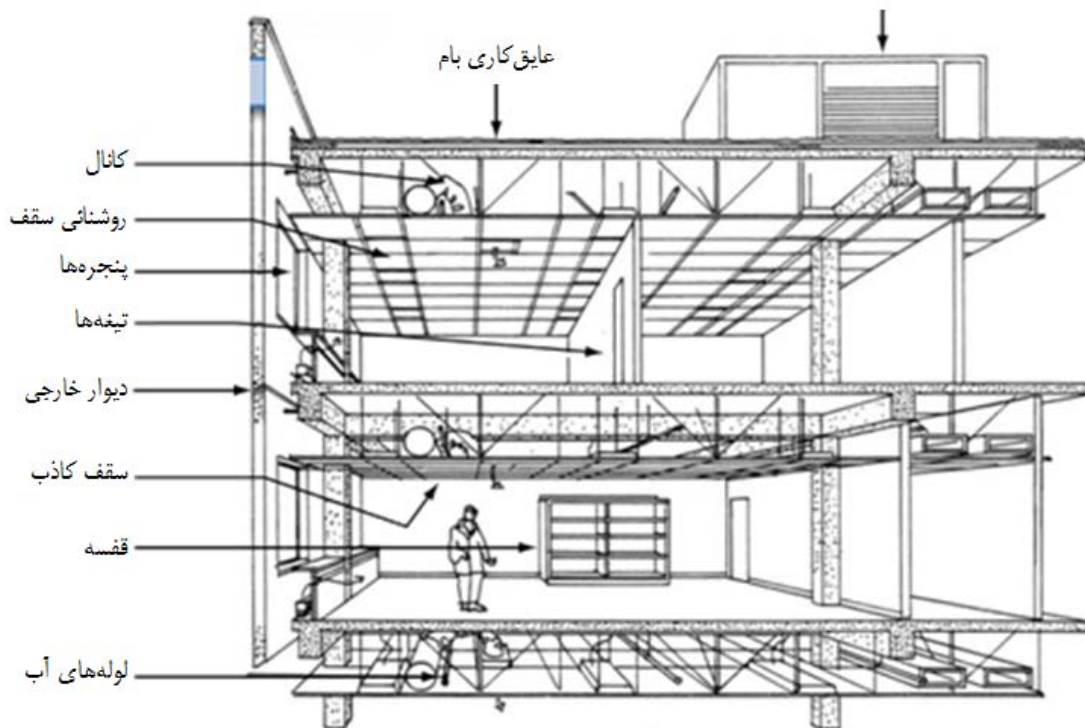
**شکل ۱-۱۰- واژگونی تجهیزات سنگین در هنگام زلزله**

با توجه به موارد ذکر شده و ابعاد وسیع خسارت‌هایی که در اثر آسیب‌های اجزای غیرسازه‌ای، بر ساختمان وارد می‌شود، این سازی لرزه‌ای این سیستم‌ها در سالهای اخیر مورد توجه طراحان و مسئولین بهره‌بردار قرار گرفته است. سیستم‌های غیرسازه‌ای شامل اجزای معماری، مکانیکی و الکتریکی می‌باشد. این اجزا عناصری از قبیل دیوارهای غیرباربر، پانلهای دیوار خارجی، سقفهای کاذب، تجهیزات تهویه هوای، دیگهای بخار، آسانسورها، وسایل قطع و وصل الکتریکی، دستگاه‌های روشنایی و... را در بر می‌گیرند.



شکل ۱۰-۲- آسیب به سیستم روشنایی در هنگام زلزله

#### تهویه هوای مطبوع



شکل ۱۰-۳- اجزای غیر سازه‌ای تیپ در یک ساختمان معمولی

## ۱۰-۲- مقاوم سازی اجزای معماری

اجزا و سیستم‌های معماری شامل تیغه‌های غیر باربر داخلی، پانلهای دیوار خارجی، سقف‌های کاذب و موارد مشابه است. زلزله‌های اخیر مثالهای متعددی از آسیب‌های وارد شده به چنین سیستم‌هایی را نشان می‌دهند. بسیاری از این اجزا هنگام وقوع زلزله دچار آسیب‌های شدیدی شده‌اند که با صرف هزینه‌های زیادی ترمیم می‌شوند. در ادامه به انواع متداول آسیب‌های وارد بر این اجزا و راهکارهای بهسازی لرزه‌ای آنها پرداخته شده است.

### ۱۰-۲-۱- بررسی آسیب‌های وارد به سیستم‌ها و اجزای معماری در زلزله‌های اخیر

تجربه حاصل از زلزله‌های اخیر اطلاعات ارزشمندی را در رابطه با آسیب‌پذیری عناصر غیرسازه‌ای فراهم آورده است. جدول ۱-۱۰ فهرست آسیب‌های وارد بر اجزا و سیستم‌های معماری را که پس از وقوع زلزله‌های گذشته تعیین شده است، نشان می‌دهد. همانطور که دیده می‌شود، اجزایی که بیشتر دچار آسیب شده‌اند عبارتند از سیستمهای سقف و سیستمهای تیغه بندی. از بین تمامی سیستمهای سقف، سقف ساخته شده به روش سنتی (اندود شده) بدترین عملکرد را داشته‌اند و بهترین عملکرد مربوط به سیستم سقف‌های پیش ساخته بوده است.

جدول ۱۰-۱- آسیب وارد به سیستم‌ها و اجزای معماری در طی زلزله‌های اخیر

| جزء معماری   | آسیب‌های وارد شده در زلزله  |
|--------------|---|
| سقف‌های معلق |   |
| درب‌ها       |   |
| پنجره‌ها     |   |

### ادامه جدول ۱-۱۰- آسیب وارد به سیستمها و اجزای معماری در طی زلزله‌های اخیر

| آسیب‌های وارد شده در زلزله   | جزء معماری             |
|--|------------------------|
|       | تیغه‌ها                |
|       | نماها                  |
|   | لوازم آشپزخانه و کمدها |

سیستم‌های تیغه‌ای در اثر جابجائی نسبی سازه تا حدودی آسیب می‌بینند. این آسیب‌ها شامل گسیختگی‌هایی در قسمت درزها، گسیختگی‌های فشاری در قسمت فوقانی (ناشی از اثر سازه بر تیغه) و گسیختگی‌های کنج‌ها می‌شود.

### ۲-۲-۱۰- راهکارهای کاهش آسیب پذیری در سیستم‌های معماری

بطور کلی می‌توان از دو راهبرد برای طراحی لرزه‌ای اجزای معماری استفاده کرد:

۱- روش جداسازی، که در آن اجزا از فاصله کافی نسبت به سازه برخوردارند بطوری که تغییر شکل سازه، تنفس چشمگیری بر اجزا اعمال نمی‌کند.

۲- روش تغییرشکل، که در آن اجزا با این هدف طراحی می‌شوند که بتوانند تغییر شکل لازم در برابر زلزله را تحمل کنند. مقدار نیروی زلزله به وزن سیستم، ضریب زلزله مربوط به جزء و مشخصات عملکردی آن بستگی دارد.

نیروی زلزله در اعضای مختلف سازه‌ای، پاسخ‌های متفاوتی را بوجود می‌آورد و اجزای غیرسازه‌ای متصل به این اعضا باید تغییرشکل ناشی از این اعضا سازه‌ای را نیز تحمل کنند. برای مثال، تمامی اجزای غیرسازه‌ای موجود در ساختمان باید طوری طراحی شوند که با میزان تغییرمکان جانبی پیش‌بینی شده برای سازه مطابقت داشته باشند. با استفاده از تغییرمکانهای جانبی پیش‌بینی شده

طبقه، می‌توان درجه جداسازی لازم را تعیین کرد تا از آسیب‌دیدگی برخی از اجزای معماری جلوگیری یا از میزان آن کاست. اجزای غیرسازه‌ای باید برای نیروهای ناشی از وزن خودشان نیز مهار شوند. به عنوان مثال این نیروها از پاسخ دینامیکی دیوار بنایی یا سقف کاذب ناشی می‌شوند.

جدول ۱۰-۲- آسیب‌های گزارش شده در سیستمهای اجزای معماری طی زلزله‌های اخیر

| سیستمهای اجزا   | آسیب ثبت شده  | تیغه‌ها |
|---|---|---------|
| دائمی- بنایی و کاشی کاری                                      | ترک خوردگی واحدهای تغییر مکان افقی؛ از بین رفت و اندود یا گسیختگی فشاری در بالای تیغه‌ها؛ گسیختگی درزهای واژگونی.   |         |
| دائمی- پایه و صفحه گچی یا اندود غیر قابل نصب- فلز، چوب و شیشه | واژگونی همراه با گسیختگی‌های سقف مجاور تیغه‌ها؛ ترک خوردگی سطح؛ تغییر مکان افقی؛ ورقه ورقه شدن رویه از پایه‌ها.   |         |
| نوار چوبی زیرسازی   | جاداشدگی در کانال بالا و پایین، شکستگی‌های فشاری؛ واژگونی؛ ترک خوردگی یا جاداشدگی   |         |
| سیستم کاشی داخل سقف آویزان - زبانه‌های روکار                  | ترک خوردگی در رویه؛ گسیختگی‌های مربوط به جاداشدن اجزای سازه‌ای که نوار زیرسازی بر روی آنها قرار گرفته است.  |         |
| سیستمهای زبانه‌دار توکار از نوع آویزان                        | پیچیده شدن یا شکستگی آویزانهای جاداشدن کاشیها از سیستم معلق؛ خمش فشاری سیستم در پیرامون اتاق؛ شکستگی درزهای لرزه‌ای؛ شکستگی برشی در اتصالات درونی سیستم آویخته. |         |
| اندود یا صفحه گچی آویزان                                      | گسیختگی‌های مشابه با زبانه‌های روکار وجود دارد، بجز اینکه کاشیها کمتری از سیستم آویزان جدا می‌شوند.   |         |
| کاشی، اندود، یا صفحه گچی به کار رفته در سطح                   | اندود از روی توفال جدا می‌شود؛ ایجاد ترکهای برشی در رویه؛ سیستم آویزان مشابه با دیگر سیستمهای آویخته دچار آسیب می‌شود.  |         |
| دورهای چوب  | عموماً عملکرد بهتری نسبت به سیستمهای آویزان دارند؛ به خاطر تغییر مکان سازه اندود ترک می‌خورد و می‌افتد؛ جاداشدن کاشیها از سقف.                                  |         |
| دورهای چوب  | قابلها به خاطر جایهای مخصوص کننده آنها دچار اعوجاج می‌شوند. گاهی درها موجب تغییر شکل لولاهای می‌شوند.   |         |

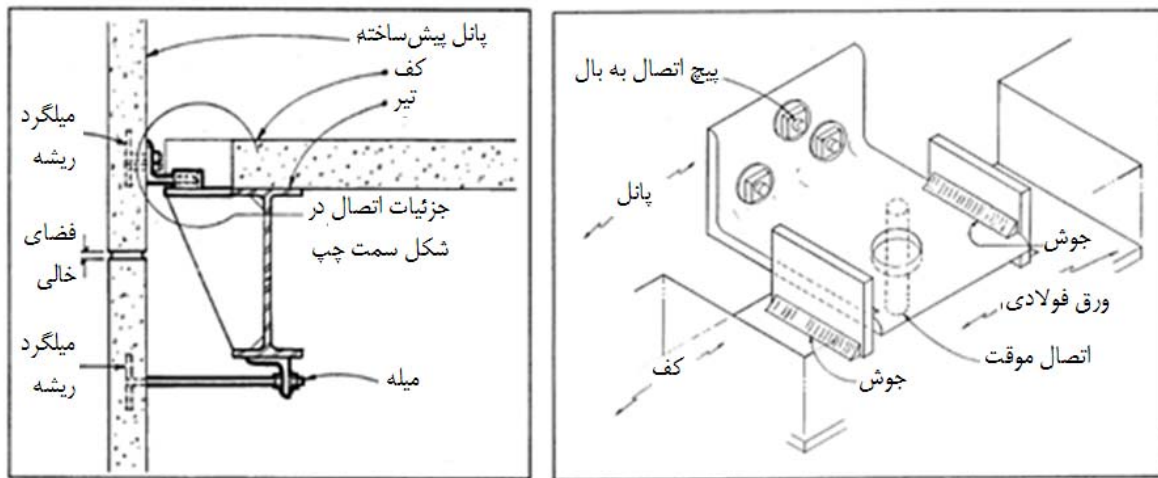
در اغلب حالات روش ایجاد مقاومت کافی در اجزای معماری نتایج قابل قبولی نمی‌دهد.

تاکنون اقدامات زیادی برای جلوگیری از وارد شدن آسیب غیرسازه‌ای به سیستمهای معماری انجام شده است که در ادامه به ذکر آنها پرداخته شده است.

### الف) نماهای و شیشه کاری:

نمایهای صلب و سنگین نباید به قابهای ساختمانی نسبتاً انعطاف‌پذیر متصل شوند. این دیوارها نباید به گونه‌ای نصب شوند که جلوی تغییر شکل‌های جانبی قاب را بگیرند. شکافی که با پرکننده‌های ارتجاعی پوشیده باشد می‌تواند قاب سازه‌ای را از دیوارهای

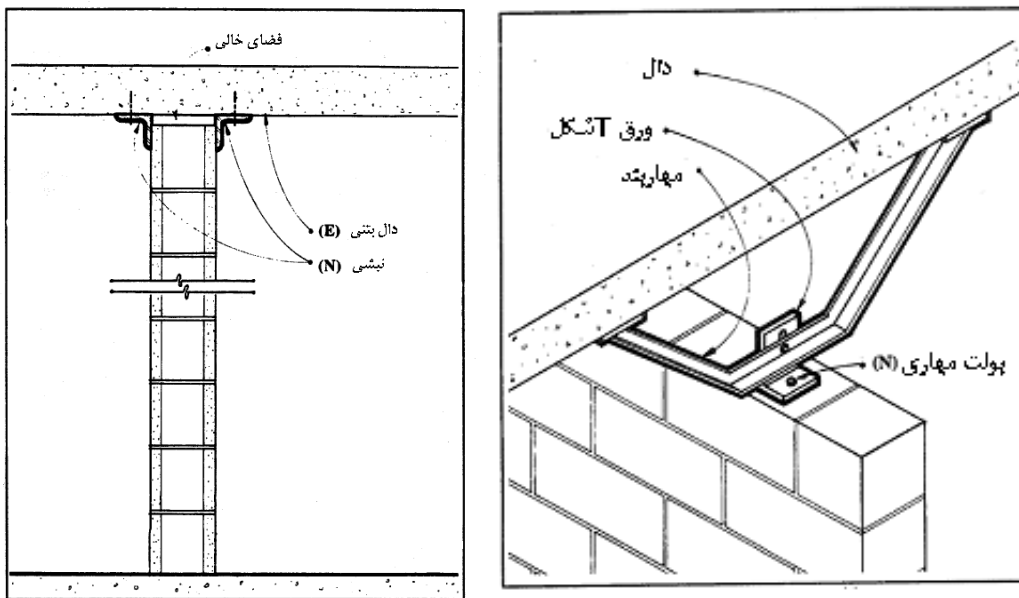
پرکننده غیر سازه‌ای جدا کند. در عین حال این دیوارها باید بوسیله مهارهایی در مقابل حرکت خارج صفحه مهار شوند (شکل ۱۰-۴).



شکل ۱۰-۴ - چگونگی اتصال نما و دیوار معماري به سازه

#### ب) تیغه‌ها:

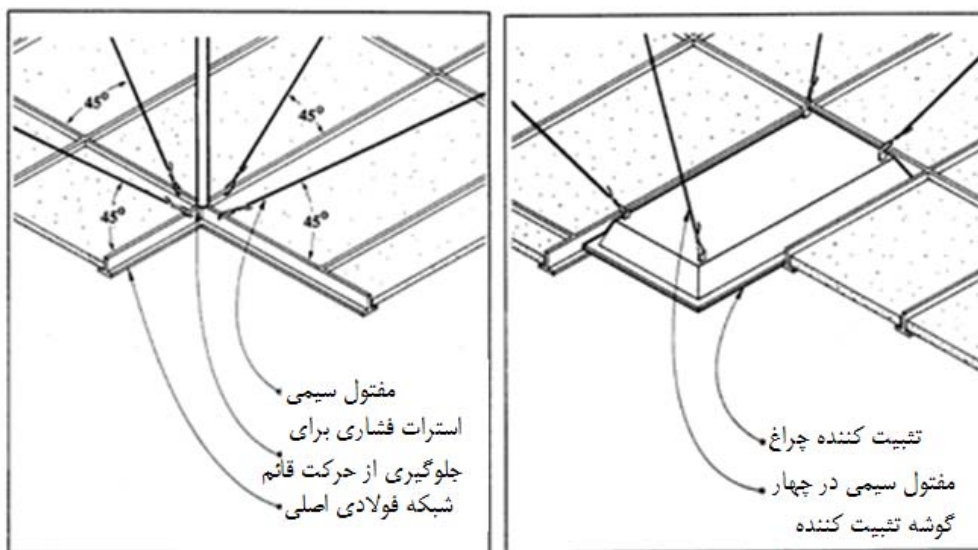
در ساختمانهایی که قابهای سازه‌ای انعطاف پذیر دارند، تیغه‌ها فقط به عضو سازه‌ای از قبیل دال متصل شده و توسط درز از دیگر عضوهای سازه‌ای جدا شوند و حتی امکان تیغه‌های بنایی غیر مسلح با تیغه‌های سبک جایگزین شوند. این تیغه‌ها باید در فواصل حداقل ۴ متری به سقف یا قاب فوقانی متصل شوند (شکل ۱۰-۵). این اتصالات امکان تغییر شکل خارج از صفحه را محدود می‌نمایند. مجراهای و لوله‌کشی‌های موجود در تیغه‌ها باید به عضو سازه‌ای که تیغه به آن مهار شده است، متصل شوند. بازشووهای موجود در تیغه‌هایی که شبکه‌های لوله کشی، مجرای انتقال و مجرای هوا از آنها می‌گذرد باید به نحو مناسبی تقویت شوند (شکل ۱۰-۶).



شکل ۱۰-۵- جزئیات ایمن سازی تیغه‌ها در برابر زلزله

**ب ) سقف‌ها:**

شبکه‌های سقف‌های کاذب باید بطور مناسبی از چهار گوشه مهاربندی شوند. سقفهای پیش ساخته گچی نیز باید با استفاده از ابزارهایی مهار و میخکوبی شوند. همچنین در سقفهایی که شکل نامنظم دارند، اتصالات نوارهای فولادی زیرسازی باید با استفاده از پرج، پیچ یا جوش تقویت شود. سطوح بزرگی از سقف که توسط ردیفهایی از چراگاه‌های خطی یا وسایل روشنایی از هم جدا شده‌اند با بسته‌های صلب به یکدیگر بسته و وسایل روشنایی به سیستم سقف محکم متصل شوند.



شکل ۱۰-۶- مهاربندی جانبی سقف کاذب و چراغ روشنایی

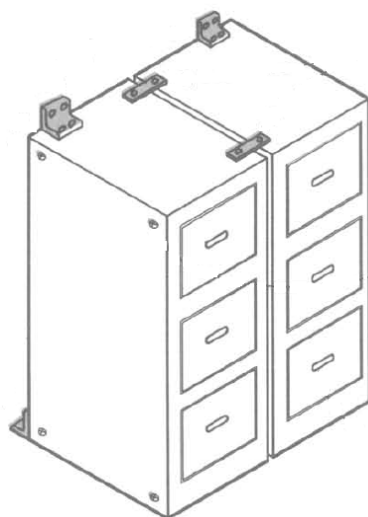
### ت) خروجی‌ها :

در دیوارهای مربوط به خروجی‌ها نباید از دیوارهای غیرمسلح بتنی استفاده شود. همچنین استفاده از نماهای شکننده در داخل راهروهای خروجی مجاز نمی‌باشد. تمامی باز شوهای درهای خروجی از لحاظ سازه‌ای باید به گونه‌ای باشند که از خارج شدن درها از چارچوب‌های خود جلوگیری کنند. قفسه‌های خود ایستا یا قفسه‌های شیشه‌ای باید در نواحی پر رفت و آمد عمومی به ویژه در نزدیکی درهای خروجی قرار داده شوند.

وسایل روشنایی آویخته در نزدیکی درهای خروجی نصب نشوند. استفاده از چراگاه‌هایی که در داخل و یا بر روی سطح نصب می‌شوند، مناسب‌تر هستند.

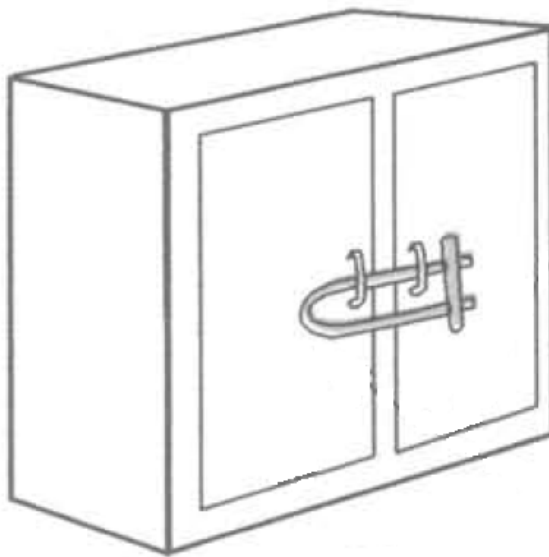
### ث) قفسه‌ها و کابینت‌ها:

قفسه‌ها باید به کف‌ها محکم شده و یا از بالا بطور جانبی به اجزای سازه‌ای مهار شوند. برای تقویت قفسه‌ها می‌توان آنها را با مهاربندی جانبی و میل مهارها به اجزای سازه‌ای متصل نمود. قفسه‌هایی که در امتداد دیوارها قرار داده شده‌اند، برای اجتناب از برخورد با دیوار، باید به آن متصل شوند (شکل ۷-۱۰).



شکل ۷-۱۰ - مهار قفسه با اتصال دیوار

اقلام بی‌ثبات واقع در قفسه‌های مرتفع باید توسط میله در جای خود ثابت شوند. لوازم پزشکی نیز در کابینتهایی نگهداری شوند که به کف و یا دیوارها محکم شده و به درهای قفل‌دار مجهز شوند (شکل ۸-۱۰).



شکل ۱۰-۸- استفاده از درهای قفل‌دار برای قفسه‌ها

### ج) درها و پنجره‌های شیشه‌ای:

درها و پنجره‌های شیشه‌ای برای جلوگیری از شکست در هنگام زلزله از مهمترین اقدامات می‌باشد. عدم فاصله کافی شیشه از لبه‌های قاب پنجره و اعمال بار در هنگام زلزله به شیشه دلیل اصلی شکست می‌باشد. در هنگام نصب قاب در و پنجره، فراهم نمودن فاصله کافی برای جلوگیری از شکست لرزه‌ای لازم می‌باشد.

یکی از تکنیک‌های پیشنهادی برای کاهش خطرات جانی ناشی از شکستن شیشه، بکار بردن فیلم سولار چسبنده در پنجره می‌باشد. این فیلم تکه‌های شیشه را در کنار هم نگه‌می‌دارد و اثرات حرارت و نور را کاهش دهنده.

### ۱۰-۳- مقاوم‌سازی اجزای مکانیکی و الکتریکی

تجهیزات مکانیکی و الکتریکی همانند اجزای معماری که در بخش قبلی در مورد آنها بحث شد، در معرض آسیب‌های ناشی از زلزله قرار دارند. از آنجا که روشهای نصب این گونه سیستمها محدود است، امکان بروز آسیب در این اجزا زیاد می‌باشد. از طرف دیگر اغلب تجهیزات مکانیکی و الکتریکی مخصوص پروژه ساخته نمی‌شوند و اغلب بصورت پیش ساخته می‌باشند و مشخصات آنها را سازندگان تعیین می‌کنند. آشنا نبودن این سازندگان به مباحث طراحی و ایمن‌سازی لرزه‌ای، موجب بروز آسیب‌های متعددی به این سیستمها در خلال زلزله‌های گذشته شده است.

### ۱۰-۳-۱- بررسی آسیب‌های وارد شده به سیستم‌های مکانیکی و برقی در زلزله‌های اخیر

تجهیزات مکانیکی و الکتریکی عموماً به دو صورت زیر نصب می‌شوند:

۱- تجهیزاتی که به صورت صلب به سازه ساختمان یا زمین مهاربندی می‌شوند.

۲- تجهیزاتی که بر روی جداسازهای لرزه‌ای نصب می‌شوند.

گسیختگی تجهیزاتی که به صورت صلب به زمین یا سازه متصل شده‌اند، عموماً ناشی از کمبود استحکام مهارها یا عدم توانایی اجزای متصل به این تجهیزات به علت جابجایی‌های نسبی و نیروی زلزله ناشی از وزن تجهیزات می‌باشد.

تجهیزاتی که بر روی جداسازهای ارتعاشی نصب می‌شوند نیز می‌توانند دچار آسیب‌های متعددی شوند. هر یک از این جداسازها و پایه‌های ارتعاشی آنها باید بتواند در برابر نیروهای وارد شده مقاومت کنند. اغلب گسیختگی‌ها در این نوع از سیستمها مربوط به عدم مهار کافی پایه‌های ارتعاشی و جداسازها می‌باشد (شکل ۹-۱۰).

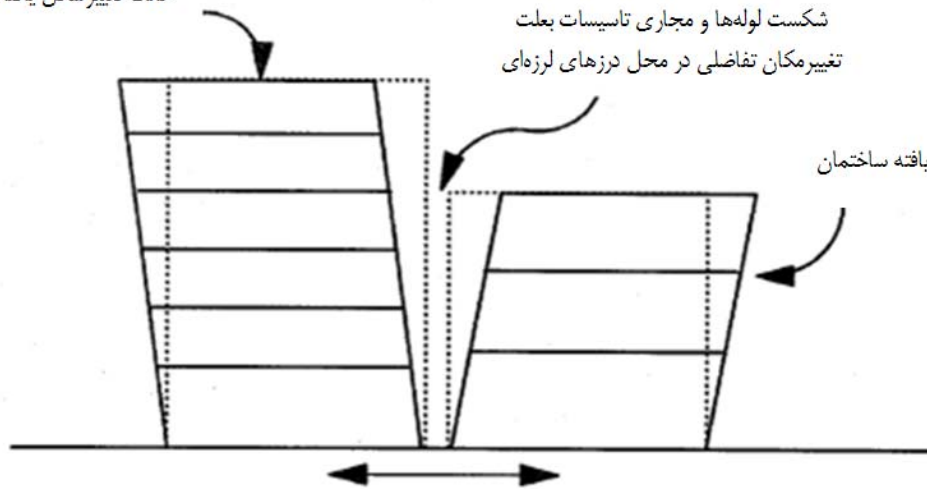


شکل ۹-۱۰- آسیب واردہ به جداگر فنری در زلزله

حالت تغییرشکل یافته ساختمان

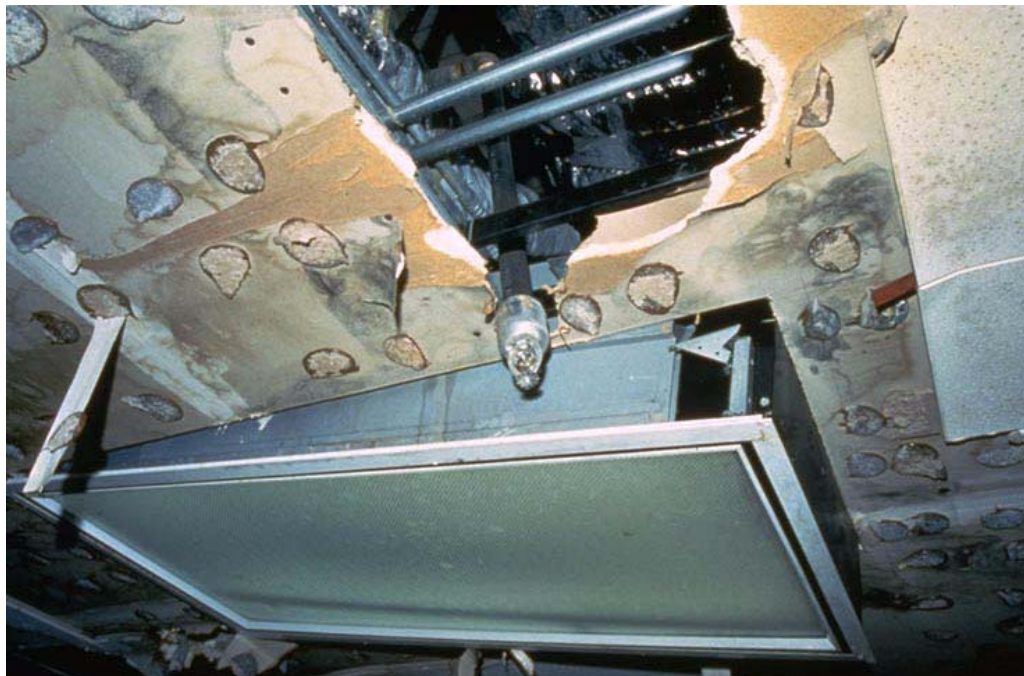
شکست لوله‌ها و مجاری تاسیسات بعلت  
تغییرمکان تفاضلی در محل درزهای لرزه‌ای

حالت تغییرشکل یافته ساختمان

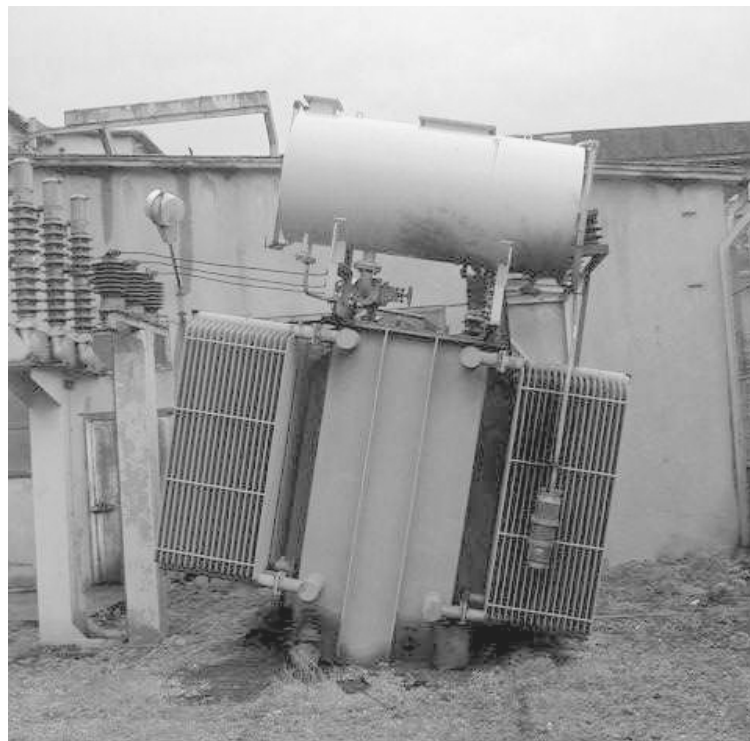


شکل ۱۰-۱۰- تغییرمکان نسبی دو سمت سازه که باعث شکست لوله‌ها و داکتهای صلب می‌شوند

لوله‌ها و کانالهایی که درزهای ساختمان را قطع می‌کنند به سبب ایجاد جابجایی نسبی سازه در دو طرف درزها، دچار آسیب می‌شوند (شکل ۱۰-۱۰). تیغه‌هایی که شامل لوله‌کشی یا مجرای صلب مدفون می‌باشند نیز به سبب برهم‌کنش بین شبکه لوله‌کشی و بدنهٔ تیغه، دچار آسیب دیدگی می‌شوند. در شکل ۱۰-۱۰، ۱۱-۱۰، ۱۲-۱۰ و ۱۳-۱۰ مثالهای متعددی از آسیب‌های وارد شده به انواع سیستم‌های مکانیکی و الکتریکی نشان داده شده است.



شکل ۱۰-۱۱ - آسیب واردہ به تاسیسات مکانیکی بالای سقف کاذب



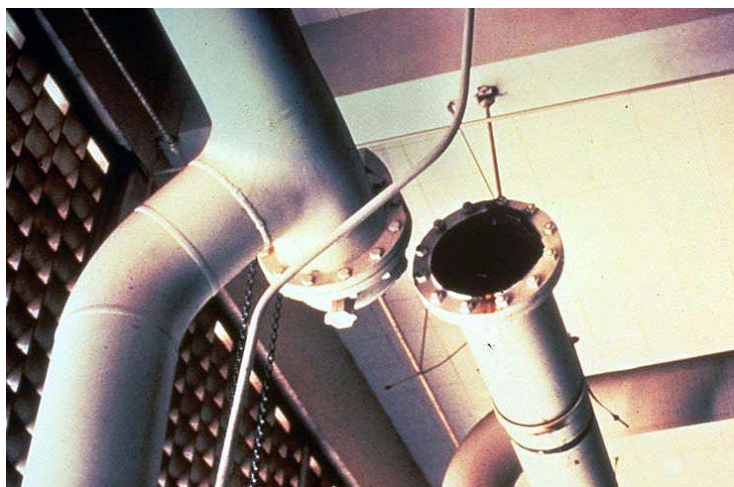
شکل ۱۲-۱۰ - آسیب واردہ به مبدل برق

در طی زلزله‌های اخیر، وسایل روشنایی سبک و تاسیسات لوله‌کشی نیز دستخوش آسیب‌های چشمگیری شده‌اند. انواع وسایل روشنایی که بیشترین آسیب را متحمل شده‌اند وسایل روشنایی آویخته از زنجیرند که مستقیماً توسط سازه نگه داشته نشده‌اند. وسایل روشنایی که در ردیفهای طولانی و نوک به نوک هم قرار می‌گیرند غالباً بیشتر از وسایل روشنایی که بطور جداگانه نصب می‌شوند آسیب دیده‌اند، زیرا این وسایل بر اثر برخورد با یکدیگر در حین وقوع زلزله آسیب می‌بینند.



شکل ۱۳-۱۰ - نمونه‌ای از آسیب واردہ به وسایل روشنایی در زلزله

آسیب‌پذیری لوله کشی‌ها در هنگام زلزله از چند جنبه حائز اهمیت است. برای مثال قطع جریان در لوله‌های اصلی آب به واسطه شکستگی‌ها می‌تواند جان بازماندگان زلزله را به خطر بیندازد. همچنین شکست و انفجار در لوله‌های گاز طبیعی می‌تواند باعث آتش سوزی‌های وسیع گردد. در صورت آسیب دیدن لوله‌ها و شبکه‌های جمع‌آوری فاضلاب احتمال شیوع بیماری پس از زلزله افزایش پیدا می‌کند. در شکل ۱۴-۱۰ نمونه‌ای از آسیب‌های وارد شده به تاسیسات لوله کشی در زلزله نشان داده شده است.



شکل ۱۴-۱۰ - نمونه‌ای از آسیب وارد به تاسیسات لوله کشی در زلزله‌های گذشته

### ۱۰-۳-۲- راهکارهای کاهش آسیب‌پذیری در سیستمهای مکانیکی و الکتریکی

در ادامه بعضی از راهکارهایی که تا به حال در مورد کاهش آسیب‌پذیری لرزه‌ای سیستمهای مکانیکی و الکتریکی بکار گرفته شده‌اند، شرح داده خواهد شد.

#### الف ) تجهیزات نصب شده بر روی جداسازهای لرزه‌ای :

بطور کلی تجهیزات سنگین نمی‌باشد در طبقات بالای ساختمان نصب شوند. در صورت نصب شدن این تجهیزات در ارتفاع، تمامی پایه‌های جداساز آنها می‌باید از لحاظ مقاومت در برابر زلزله به دقت مورد بررسی قرار گیرند. وسایل جداساز لرزه‌ای که بر روی کف‌ها نصب می‌شوند باید به دال و کف تجهیزات متصل شوند. تا جایی که ممکن است باید از بکار بردن پایه‌ها و پداستالهای سنگین در زیر تجهیزاتی که بر روی جداسازهای لرزه‌ای نصب می‌شوند خودداری نمود تا نیروهای وارد بر آنها کاهش یابد. در اطراف پایه می‌توان از وسایل و مهارهای مقید کننده‌ای برای جلوگیری از حرکات جانبی و قائم استفاده نمود تا این جابجایی‌ها را محدود کنند (شکل ۱۵-۱۰).



شکل ۱۵-۱۰ - جداسازی لرزه‌ای با مهار جانبی

### ب) مخازن و تجهیزات سنگین بدون استفاده از جداسازها:

تکیه‌گاه‌های مربوط به مخازن و تجهیزات سنگین باید در مقابل نیروهای زلزله طراحی و تکیه‌گاه‌ها به کف‌ها مهارشوند.

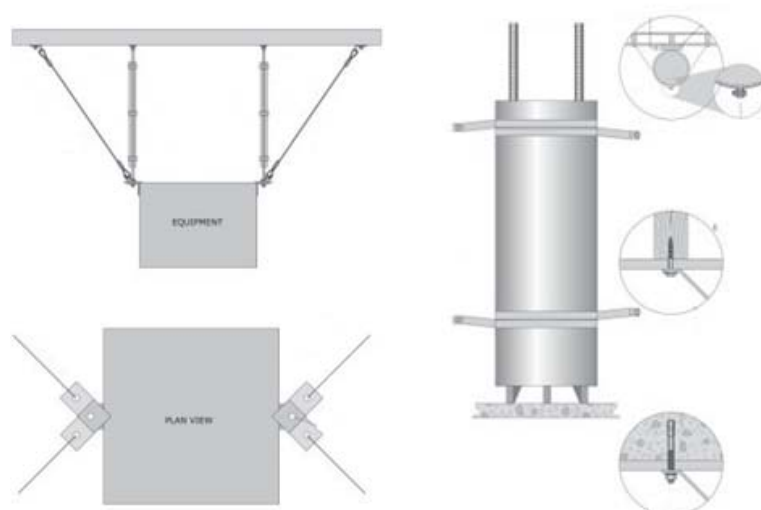
مخازن آویزان نیز باید به سیستم‌های آویز نگهدارنده خود تسمه‌بندی شده و به مهار جانبی مجهز شوند (شکل ۱۶-۱۰).

از لوله‌های حدیده نباید برای ساخت پایه مخازن یا سایر تجهیزات استفاده نمود. چرا که تجربه نشان داده که گسیختگی‌های

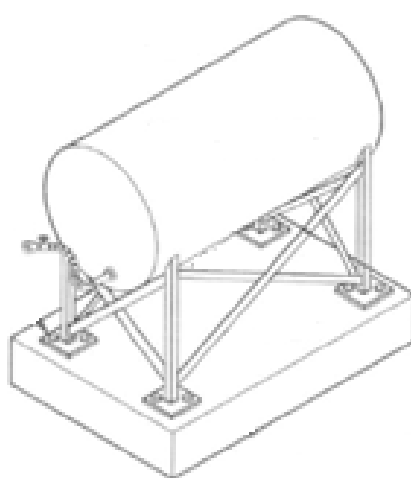
متعددی در صفحه تضعیف شده توسط رزو، در این تکیه‌گاه‌ها ایجاد می‌شود.

مخازن افقی باید به نشمن خود مهار شده و نشیمن آنها به کف‌های سازه‌ای پیچ و متصل شوند. هر قاب نگه دارنده منابع یا

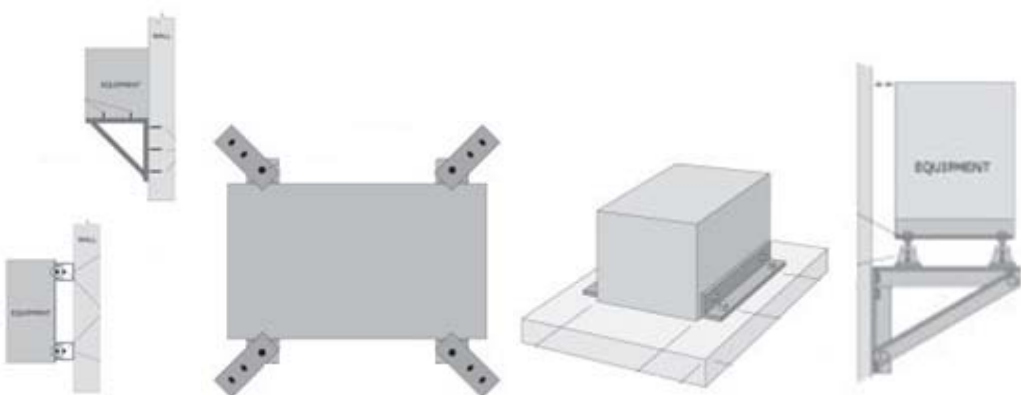
تجهیزات هوایی باید به مهاربندی کافی مجهز و به دال سازه‌ای و دیوارها مهار شود (شکل ۱۷-۱۰ و ۱۸-۱۰).



شکل ۱۶-۱۰ - دورگیری و مهار منابع تولید حرارت آب



شکل ۱۷-۱۰ - مهاربندی تانک‌های افقی



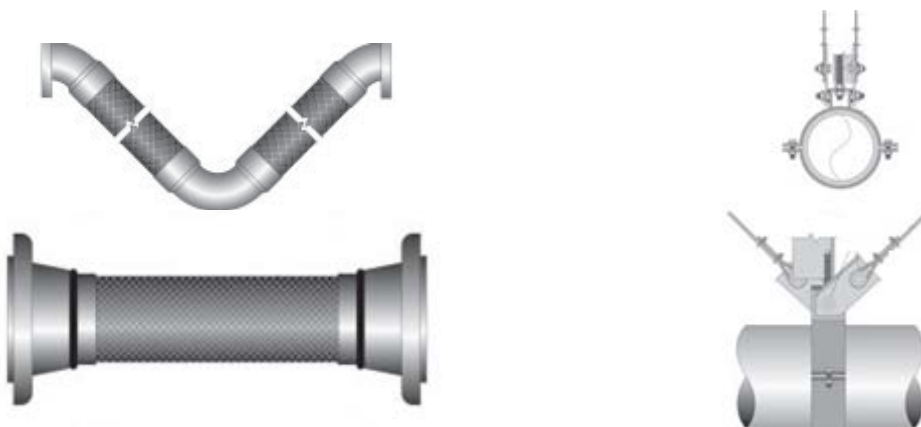
شکل ۱۸-۱۰ - اشكال مختلف برای مهار تجهيزات

### پ) تاسیسات لوله کشی:

خطوط لوله باید حتی المقدور به سیستم سازه‌ای متصل شوند و اتصالات آن باید در مکان‌های پیش‌بینی شود که سیستمهای سازه‌ای تغییر‌شکلهای زیادی نداشته باشند. در شبکه لوله‌کشی باید درزهای متحرکی تعییه شود تا امکان انجام حرکات منطبق با سازه فراهم شود و همچنین باید در برابر نیروهای افقی هم در جهت طولی و هم در جهت جانبی مهار شود (شکل ۱۹-۱۰ و ۲۱-۱۰).

سیستمهای لوله‌کشی آویخته باید در سراسر طول خود، سازگاری با سایر اجزای متصل شده را داشته باشند. برای مثال، اگر لوله اصلی امکان تغییر‌مکان جانبی دارد، خطوط لوله انشعابی نباید به اجزای سازه‌ای مهاربندی شوند و همچنین در اتصالات تجهيزات باید درزهای متحرک تعییه شود.

لوله‌ها نباید درزهای لرزه‌ای در سازه‌ها را قطع کنند. اگر چنین کاری اجتناب ناپذیر باشد، قطع شدگی باید در پایین‌ترین طبقه ممکن انجام شود و تمامی تغییر‌شکلهای و تنش‌های ایجاد شده در آنها مورد ارزیابی قرار گیرد. در جایی که لوله‌ها از محل درزهای لرزه‌ای یا انبساطی عبور می‌کنند و یا در قسمت‌هایی که لوله‌های دارای تکیه‌گاه‌های صلب به تجهیزاتی که جداساز لرزه‌ای دارند، متصل می‌شوند، باید از درزهای انعطاف‌پذیر استفاده نمود. در شکل ۲۰-۱۰ جزئیاتی در مورد شبکه‌های لوله‌کشی که درزهای لرزه‌ای را قطع می‌کنند، ارائه شده است.



شکل ۱۹-۱۰ - درز انبساطی در لوله

شکل ۲۰-۱۰ - مهارهای طولی لوله



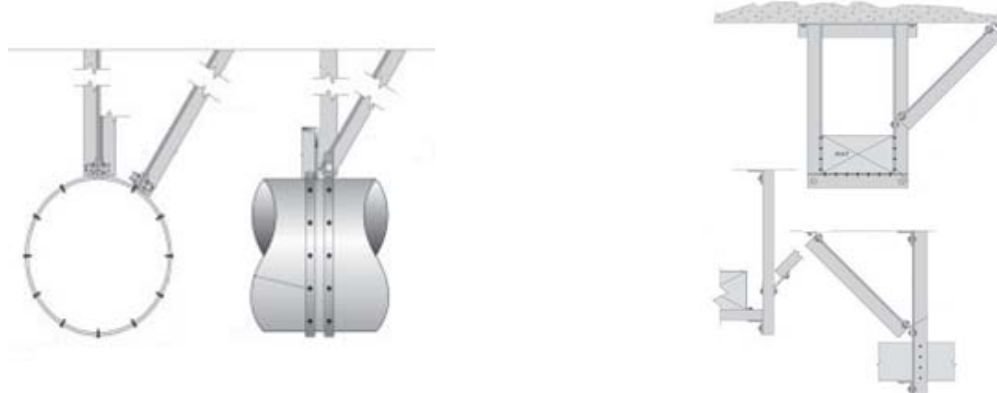
شکل ۲۱-۱۰- مهارهای جانبی برای لوله‌ها

در دو قسمت غیر مشابه از ساختمانها که ممکن است در اثر زلزله حرکات متفاوتی داشته باشند (از قبیل دیوار، سقف یا دو دیوار متعامد با سختی‌های مختلف) نباید سیستم لوله کشی بصورت صلب به آنها متصل شود. وزن لوله‌ها باید در یک نقطه یا نقاطی واقع در بالای مرکز ثقل لوله نگهداشته شود و در فواصل منظم از مهارهای جانبی استفاده شود.

#### ت) سیستم‌های توزیع هوا :

آویزه‌ها و تکیه‌گاه‌هایی که برای نگهداری مجاری هوا از آنها استفاده می‌شود باید به مهارهای جانبی مجهز شوند (شکل ۲۲-۱۰ و ۲۳-۱۰). اتصالات مجاری انعطاف‌پذیر هوا باید در وضعیت نیمه تاشده و به صورتی نصب شوند تا امکان انجام حرکات نسبی بین آنها فراهم شود.

باشندگی‌های مربوط به عبور مجاری هوا در میان دیوارها یا سقف‌ها باید به اندازه کافی بزرگ باشند تا انجام حرکات پیش‌بینی‌شده لوله‌ها و مجاری هوا ممکن شود.



شکل ۲۲-۱۰- مهارهای طولی و جانبی برای داکت‌های با قطر زیاد داکت‌های مستطیلی

**ث) آسانسورها :**

تمام اجزای الکتریکی درون پانلهای آسانسور باید به قاب پانلی محکم شوند و تمامی درها و پانلهای مفصلی به قفلهای مناسبی مجهز شوند.

تکیه‌گاههای ریلهای هدایت کننده وزنه تعادل که در بعضی از آسانسورها موجود می‌باشد باید برای مقاومت در برابر نیروهای زلزله طراحی شوند. دستک ریلهای هادی وزنه تعادل باید بوسیله زیرسربی تقویت شوند. از این زیر سربی‌های ایمنی می‌توان برای محافظت مجموعه‌های غلتکی، در برابر آسیب‌های ناشی از سقوط وزنه تعادل استفاده نمود. دستکها را می‌توان با استفاده از صفحات لچکی یا بستهایی که در فواصل متوالی قرار داده می‌شوند تقویت نمود.

چاله آسانسور و سیستم سازه‌ای اطراف آن باید به مقدار کافی تقویت و مهار شوند تا از تاییدگی درها و سقوط آویزها به درون چاله آسانسور جلوگیری به عمل آید.

**ج) شبکه‌های روشنایی :**

شبکه‌های روشنایی که در تورفتگی سقف کارگذاشته می‌شوند باید به سیستم آویز سقف که برای تحمل وزن تجهیزات واقعی بر سقف طراحی می‌شود، محکم شده و به آن مهار شوند. تمام قلابهایی که برای آویزان کردن شبکه‌های روشنایی از آنها استفاده می‌شود باید مجهز به بستهای ایمنی باشند. در حالتی که از سقف‌های کاذب پیش ساخته استفاده شده است، شبکه‌های روشنایی نباید به اعضای زیرسازی سقف‌های کاذب متصل و حتی‌الامکان مستقیماً به اعضای سازه‌ای متصل شوند.

تاسیسات روشنایی بهتر است مستقیماً به اعضای سازه‌ای متصل شوند. اما در صورت استفاده از تاسیسات الکتریکی آویخته باید آنها را بوسیله وسایل مناسبی مهار نمود.

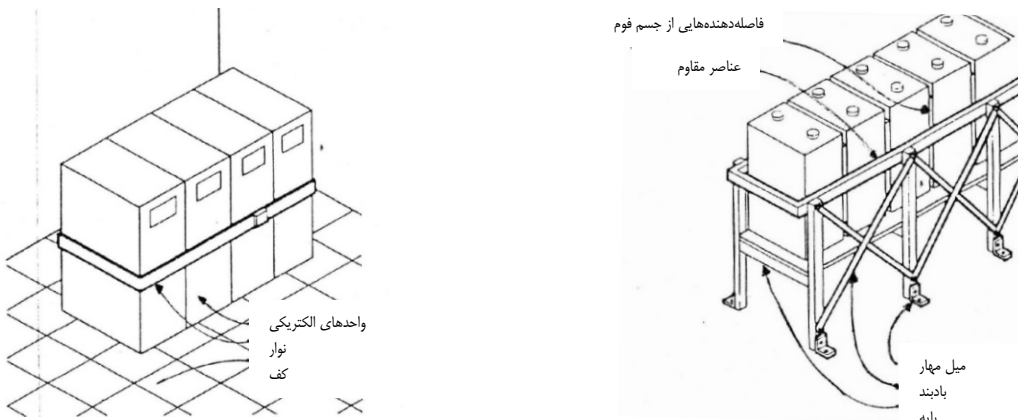
**چ) سایر سیستمهای الکتریکی ساختمان:**

تمامی تجهیزات الکتریکی از قبیل مبدلها، وسایل قطع و وصل و تابلوهای کنترل باید به اعضای سازه‌ای مهاربندی شوند (شکل ۲۵-۱۰). هرگاه احتمال حرکت بین اجزای تابلو برق وجود داشته باشد، به جای سیمهای صلب مسی باید از سیمهای به هم تابیده انعطاف‌پذیر استفاده کرد. برای جلوگیری از کشیدگی سیمهای برق در مجراهای طولانی، می‌توان از جعبه تقسیم اضافی با سیم‌های مسی استفاده نمود.

تاخدامکان باید از قطع درزهای لرزه‌ای توسط مجراهای و لولهای محافظ سیمهای برق اجتناب نمود و در صورت قطع درزهای لرزه‌ای از آرایشهایی که تغییر شکل‌های مورد نیاز را فراهم می‌سازند استفاده نمود. در تمامی مجراهای که درزهای لرزه‌ای را قطع می‌کنند سیم زمین باید جداگانه نصب شود. همچنین در هر جای دیگری از شبکه برق که احتمال گسیختگی سیستم اتصال به زمین وجود دارد، باید از سیم زمین جداگانه استفاده نمود.

## ۵) سیستم‌های اضطراری:

مولدهای برق اضطراری که در ساختمان تعبیه می‌شوند باید بر روی جداسازهای لرزه‌ای نصب شوند و مباحث پیشین در مورد آنها رعایت شود. پایه‌های باتری استارت کننده باید به سازه متصل شوند و هر کدام از باتری‌ها برای جلوگیری از حرکت بطور مناسبی به پایه‌ها متصل شوند (شکل ۱۰-۲۴). واحدهای روشنایی اضطراری که با باتری کار می‌کنند نیز باید به سازه ساختمان مهارشده و نکات قبلی در مورد آنها رعایت گردد.



شکل ۱۰-۲۴- مهاربندی سیستم باتری و برق اضطراری - ۲۵-۱۰

## مثال ۱-۱۰

این مثال نمونه‌ایی از مقاومسازی تجهیزات سرمایش-گرمایش (HVAC) قرار گرفته در طبقه بام یک ساختمان ۵ طبقه در مقابل اثرات زلزله می‌باشد. ابعاد و وزن تجهیزات مکانیکی به شرح زیر می‌باشد:

$$h=1.2\text{m}$$

ارتفاع:

$$w=1.5\text{m}$$

عرض:

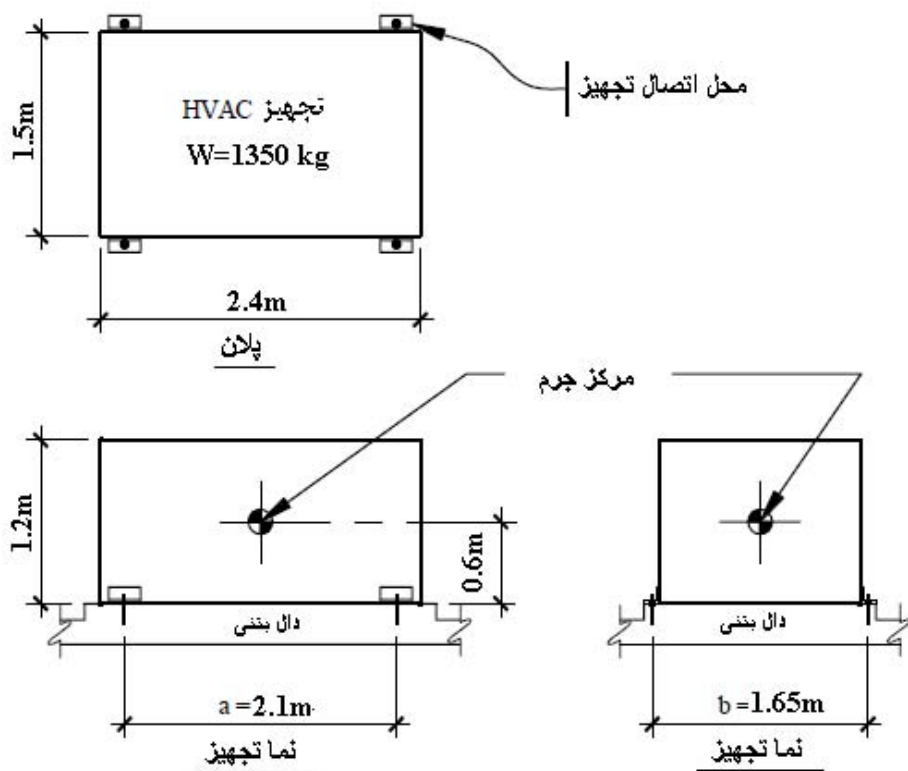
$$L=2.4\text{m}$$

طول:

$$W_p=1350 \text{ kg}$$

وزن در حال انجام کار:

تجهیز بر روی دو شاسی طولی قرار گرفته که در چارگوشه به پایه متصل شده است (شکل ۱۰-۲۶). محل استقرار تجهیز در طبقه پنجم (بام) یک ساختمان اداری می‌باشد. جهت اتصال به کف بتی اتصال مستقیم با کمک بولتهای مهاری طراحی شده است.



شکل ۱۰-۲۶- پلان و نماهای جانبی تجهیز سرمایش-گرمایش (HVAC)

پارامترهای طراحی:

نیروی افقی لرزه‌ای وارد بر تجهیز براساس نشریه ۳۶۰ به شرح زیر می‌باشد:

$$F_p = \frac{0.4a_p S_s I_p W_p \left[ 1 + \frac{2x}{h} \right]}{R_p}$$

$$F_{p\max} = 1.6 S_s I_p W_p$$

$$F_{p\min} = 0.3 S_s I_p W_p$$

نیروی قائم لرزه‌ای وارد بر تجهیز براساس نشریه ۳۶۰ به شرح زیر می‌باشد:

$$F_{pV} = \frac{0.27 a_p S_s I_p W_p}{R_p}$$

$$F_{pV\max} = \frac{2}{3} F_{p\max}$$

$$F_{pV\min} = 0.2 S_s I_p W_p$$

پارامترهای فوق عبارتند از:

$F_p$ : نیروی طراحی لرزه‌ای که در راستای افقی در مرکز جرم جزء مورد نظر اعمال یا براساس توزیع جرم جزء توزیع می‌شود.

$F_{PV}$ : نیروی طراحی لرزاهاي که در راستای قائم در مرکز جرم جزء مورد نظر اعمال یا براساس توزیع جرم جزء توزیع می‌شود.

$S_S$ : مقدار شتاب طیفی در زمان تنابوب کوتاه برای سطح خطر مورد نظر.

$I_p$ : ضریب عملکرد جزء مربوطه که برای سطح اینمی جانی، برابر یک و برای سطح قابلیت استفاده بدون وقفه برابر با  $1/5$  می‌باشد.

$W_P$ : وزن جزء مورد نظر در حالت بهره‌برداری.

$a_p$ : ضریب بزرگنمایی پاسخ جزء غیرسازه ای.

$x$ : ارتفاع مرکز جرم جزء نسبت به تراز پایه ساختمان.

$h$ : ارتفاع متوسط بام سازه نسبت به تراز پایه.

$R_p$ : ضریب اصلاح پاسخ جزء.

ضریب بزرگنمایی پاسخ  $a_p$  (جدول ۲-۹ نشریه ۳۶۰):

$a_p = 1.0$  برای اتصال مستقیم;

ضریب اصلاح پاسخ  $R_p$  (جدول ۲-۹ نشریه ۳۶۰):

$R_p = 3.0$  برای اتصال مستقیم;

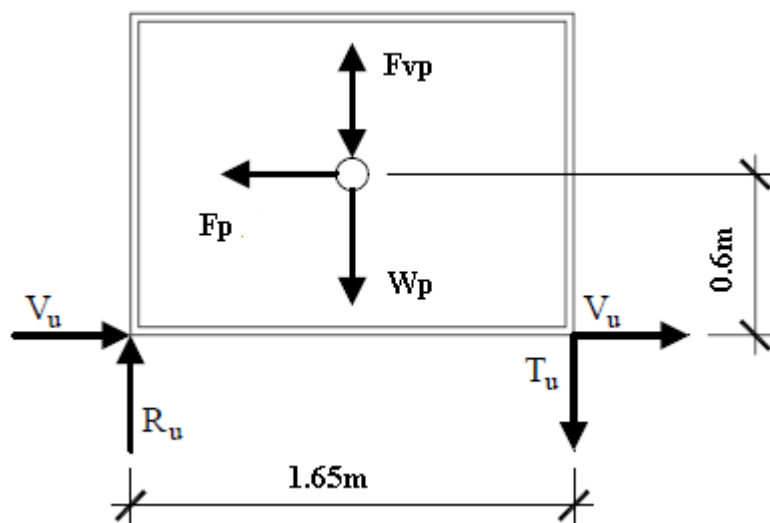
$S_S = 1.487$  شتاب طیفی:

$I_p = 1.5$  ضریب عملکرد تجهیز  $I_p$  (استفاده بدون وقفه):

$\frac{x}{h} = 1$  تراز نصب تجهیز،  $x$  نسبت به ارتفاع کل ساختمان،  $h$ :

برآورد نیروهای لرزاهاي وارد بر تجهیز:

در شکل ۲۷-۱۰ دیاگرام آزاد نیروهای وارد بر تجهیز برای تحلیل نشان داده شده است:



شکل ۲۷-۱۰ - دیاگرام آزاد نیروهای وارد بر تجهیز

نیروی افقی لرزه‌ای وارد بر تجهیز برابر است با:

$$F_p = \frac{0.4a_p S_s I_p W_p \left[ 1 + \frac{2x}{h} \right]}{R_p} = \frac{0.4(1)(1.487)(1.5)(1350)[1 + 2(1)]}{3} = 1204.5 \text{ kg}$$

$$F_{p\max} = 1.6S_s I_p W_p = 1.6 \times 1.487 \times 1.5 \times 1350 = 4818 \text{ kg}$$

$$F_{p\min} = 0.3S_s I_p W_p = 0.3 \times 1.487 \times 1.5 \times 1350 = 903 \text{ kg}$$

$$F_{p\min} = 903 \leq F_p = 1204.5 \leq F_{p\max} = 4818 \quad O.K.$$

نیروی قائم لرزه‌ای وارد بر تجهیز:

$$F_{pv} = \frac{0.27a_p S_s I_p W_p}{R_p} = \frac{0.27(1)(1.487)(1.5)(1350)}{3} = 271 \text{ kg}$$

$$F_{pv\max} = \frac{2}{3} F_{p\max} = \frac{2}{3} \times 4818 = 3212 \text{ kg}$$

$$F_{pv\min} = 0.2S_s I_p W_p = 0.2 \times 1.487 \times 1.5 \times 1350 = 602 \text{ kg}$$

$$F_{pv\min} = 602 \leq F_{pv} = 271 \text{ NOT.G. } F_{pv} = 602 \text{ kg}$$

نیروهای وارد بر تکیه گاهها در اتصال مستقیم با کمک بولت مهاری به شرح زیر می‌باشد:

:  $U=1.2DL+1.0E$

$$V_u = \frac{F_p}{4\text{bolts}} = \frac{1204.5}{4} = 301.12 \text{ kg / bolt}$$

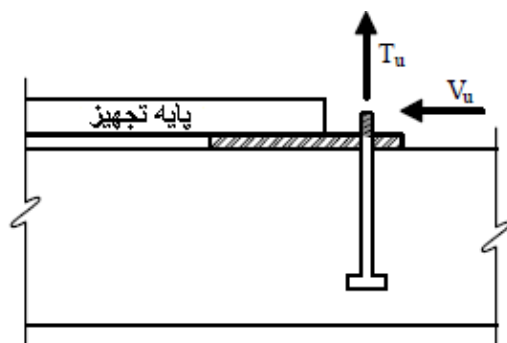
$$T_u = \frac{-1.2 \times 1350 \times 0.825 + 1.0 \times 1204.5 \times 0.6 + 1.0 \times 602 \times 0.825}{1.65 \times 2} = -35.5 \text{ kg / bolt}$$

:  $U=0.9DL-1.0E$

$$V_u = \frac{F_p}{4\text{bolts}} = \frac{1204.5}{4} = 301.12 \text{ kg / bolt}$$

$$T_u = \frac{-0.9 \times 1350 \times 0.825 + 1204.5 \times 0.6 + 602 \times 0.825}{1.65 \times 2} = 65.75 \text{ kg / bolt} \quad \text{tension}$$

همانطور که ملاحظه می‌شود بولتها به کشش می‌افتد. در ادامه طراحی و کنترل بولتها به شرح زیر صورت می‌پذیرد.



شکل ۱۰-۲۸- اتصال مستقیم تجهیز بوسیله بولت مهاری به سازه

طراحی میله مهار برای نیروی کششی

$$f'_c = 280 \frac{kg}{cm^2}$$

$$\begin{cases} f_y = 3500 \frac{kg}{cm^2} \\ f_{ut} = 4200 \frac{kg}{cm^2} \end{cases}$$

تعیین قطر میله مهار

$$A_s = \frac{T_u}{f_{ds}}$$

روش حالت حدی:

$$f_{ds} = (\min) \begin{cases} \phi f_y = 0.9 \times 3500 = 3150 \left( \frac{kg}{cm^2} \right) \\ 0.8 f_{ut} = 0.8 \times 4200 = 3360 \left( \frac{kg}{cm^2} \right) \end{cases}$$

$$A_s = \frac{65.75}{3150} = 0.021 cm^2$$

محاسبه سطح مقطع مورد نیاز بولت مهاری برای نیروی برشی:

$$A_{vf} = \frac{V_u}{\mu \phi f_y} = \frac{1204.5 / 4}{0.9 \times 0.85 \times 3500} = 0.112 cm^2$$

$\mu = 0.9$  ضریب اصطکاک مساوی

$\phi = 0.85$  مساوی

از گلمیخ  $\varnothing 10$  استفاده می‌شود.

کنترل تنش لهیگی در کلاهک:

مساحت کل کلاهک بولت مهاری (گلمیخ) حداقل باید  $2/5$  برابر سطح مقطع تنہ بولت مهاری (گلمیخ) باشد.

قطر کلاهک گلمیخ:

$$d_h = 25 mm$$

$$A_h = \pi \times \frac{2.5^2}{4} = 4.91 cm^2$$

$$\frac{A_h}{A_s} = \frac{4.91}{0.79} = 6.2 > 2.5 \quad O.K.$$

کنترل ضخامت کلاهک

$$t_h \geq \frac{d_h - d_s}{2} = \frac{2.5 - 1}{2} = 0.75 cm$$

ضخامت کلاهک ۱۰ میلیمتر انتخاب می‌گردد. ضمناً کلاهک گلمیخ باید هم محور تنہ گلمیخ باشد.  
تعیین طول مهاری لازم برای جلوگیری از قلوه کن شدن بتن:

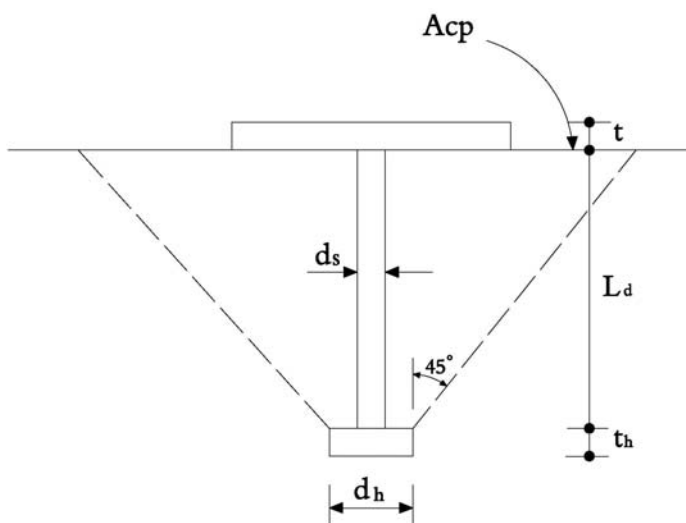
$$P_{dc} \geq A_s f_{ut}$$

$$= P_{dc} \text{ مقاومت کشش مخروطی بتن}$$

$$P_{dc} = 1.06\phi\sqrt{f'_c}A_{cp}$$

$$A_{cp} = \pi \left[ (L_d + d_h / 2)^2 - (d_h / 2)^2 \right]$$

$$= A_{cp} \text{ مساحت تصویرشده مخروط ۴۵ درجه براساس شکل ۲۹-۱۰}$$



شکل ۲۹-۱۰ - شکست مخروطی بتن (قلوه کن شدن بتن)

طول گلمیخ ( $L_d$ ) از رابطه زیر محاسبه می‌شود:

$$\pi \left[ (L_d + d_h / 2)^2 - (d_h / 2)^2 \right] 1.06\phi\sqrt{f'_c} \geq A_s f_{ut}$$

$$A_s f_{ut} = 0.79 \times 4200 = 3318 \text{ kg}$$

$$1.06\phi\sqrt{f'_c} = 1.06 \times 0.65 \times \sqrt{280} = 11.53 \frac{\text{kg}}{\text{cm}^2}$$

$$\pi \left[ (L_d + d_h / 2)^2 - (d_h / 2)^2 \right] = \frac{3318}{11.53} = 288$$

$$\left[ (L_d + 1.25)^2 - (1.25)^2 \right] = 91.6$$

$$L_d = 8.4 \text{ cm}$$

$L_d$  مساوی ۹۰ میلیمتر انتخاب می‌شود.

کنترل ضخامت ورق سطحی:

$$\frac{d_s}{t} \leq 2.7 \longrightarrow t = \frac{d_s}{2.7}$$

$$t = \frac{1}{2.7} = 0.37\text{cm} \longrightarrow t = 1\text{cm}$$

## مراجع:

- [1]. [ATC40, 1996] – Seismic Evaluation and Retrofit of Concrete Buildings, completed by Applied Technology Council under project ATC 40, California Seismic Safety Commission, Report No. SSC 96-01, November 1996 (also available from ATC).
- [2]. Jack P. Moehle, " State of Research on Seismic Retrofit of Concrete Building Structures in the US". Pacific Earthquake Engineering Research Center University of California, Berkeley
- [3]. Hugo Bachmann, Seismic Conceptual Design of Buildings – Basic principles for engineers, architects, building owners, and authorities
- [4] Building Construction Under Seismic Condition in the Balkan Region, vol 5, *Repair and Strengthening of reinforced concrete, stone and brick masonry building*, UNDP/UNIDO industrial Development Organization, 1983.
- [5] Amarnath Chakrabarti, Devdas Menon, Amlan K.Sengupta, "Handbook on Seismic retrofit of Building"
- [6] ACI 440.3R-04, Guide Test Methods for Fiber-Reinforced Polymers (FRPs) for Reinforcing or Strengthening Concrete Structures.
- [7] Chen, Handbook of Seismic Retrofit, chapter 11.
- [8] SEISMIC RETROFITTING OF HIGHWAY BRIDGES, Federal Highway Administration (FHWA) publication Seismic Retrofitting Manual for Highway Bridges
- [9] FEMA172, NEHRP Handbook of Techniques for the Seismic Rehabilitation of Existing Buildings
- [10] Terry J. Wipf, P.E. Professor of Civil Engineering, EVALUATION OF POST-TENSION STRENGTHENED STEEL GIRDER BRIDGE USING FRP BARS Sponsored by the Iowa Department of Transportation and the Federal Highway Administration (FHWA), Iowa State University Manager of Bridge Engineering Center for Transportation Research and Education.

- [11] Jack Moehle, Beam-Column Connections, University of California, Berkeley with contributions from Dawn Lehman and Laura Lowes University of Washington, Seattle
- [12] EARTHQUAKE ENGINEERING RESEARCH INSTITUTE CONTINUING EDUCATION COMMITTEE (EERI)
- [13] FEMA-451 (2006) “NEHRP Recommended Provisions: Design Examples”, Chapter 13.
- [14] Earthquake Tip, Learning Earthquake Design and Construction.
- [15] ACI 318-08 (American Concrete Institute), Building Code Requirements for Structural Concrete and Commentary
- [16] FEMA 351, Recommended Seismic Evaluation and Upgrade Criteria for Existing Welded Steel Moment-Frame Buildings
- [17] Rakesh Sharma, Harsh Gupta, Md. Moqtada, Seismic Resistance of Steel Structure.
- [18] FEMA 353, Recommended Specifications and Quality Assurance Guidelines for Steel Moment-Frame Construction for Seismic Applications.
- [19] Michel Bruneau, Canadian Conference on Effective Design of Structures McMaster University Hamilton, Ontario, Canada July 10 – 13, 2005
- [20] Mark Fintel, Performance of Buildings with Shear Wall in earthquakes of Last 30 years.
- [21] FEMA 454, Designing for Earthquakes, a Manual for Architects, December 2006.
- [22] Hugo Bachmann, Seismic Conceptual Design of Buildings – Basic principles for engineers, architects, building owners, and authorities.
- [23] Earthquake Tip, Learning Earthquake Design and Construction (Eq.Tip).

- [24] FEMA 454, Designing for Earthquakes, a Manual for Architects, December 2006.
- [26] Building Construction Under Seismic Condition in the Balkan Region, vol 5, Repair and Strengthening of reinforced concrete, stone and brick masonry building, UNDP/UNIDO industrial Development Organization, 1983.
- [27] Fumio WATANABE, Satoru MIYAZAKI, Masanori TANI, Susumu KONO, SEISMIC STRENGTHENING USING PRECAST PRESTRESSE DCONCRETE BRACES, 13th World Conference on Earthquake Engineering Vancouver, B.C., Canada August 1-6, 2004 Paper No. 3406
- [28] ACI 318-08 (American Concrete Institute), Building Code Requirements for Structural Concrete and Commentary
- [29] ACI 440.3R-04, Guide Test Methods for Fiber-Reinforced Polymers (FRPs) for Reinforcing or Strengthening Concrete Structures.
- [30] FEMA 306, Evaluation of Earthquake Damaged Concrete and Masonry Wall Buildings: Basic Procedures Manual. Applied Technology Council. Redwood City, CA, 1999.
- [31] FEMA 307, Evaluation of Earthquake Damaged Concrete and Masonry Wall Buildings: Technical Resources. Applied Technology Council. Redwood City, CA, 1999.
- [32] Zhao Q. and Astaneh-Asl, A. (2007) "Seismic Behavior of Composite Shear Wall Systems and Application of Smart Structures Technology," International J. of Steel Structures, KSSC, Vol.7 No.1 (2007-03), pp. 69-76.
- [33] US Army Corps of Engineering, Seismic Evaluation and Rehabilitation for Building.
- [34]. [ATC, 1996] – Seismic Evaluation and Retrofit of Concrete Buildings, completed by Applied Technology Council under project ATC 40, California Seismic Safety Commission, Report No. SSC 96-01, November 1996 (also available from ATC).

[35] Yeong-Bin Yang, Kuo-Chun Chang, Jong-Dar Yau; “Earthquake Engineering Seismology to Performance-Base Handbook”

[36] FEMA451(2006), “NEHRP Recommended Provisions: Design Examples”, Chapter13.

[37] Kelly, James, Naeim, Farzad; Design of Seismic Isolated Structures: From Theory to Practice.

[38] C.Yilmaz, E.Booth and C.Sketchley "RETROFIT OF ANTALYA AIRPORT INTERNATIONAL TERMINAL BUILDING, TURKEY USING SEISMIC ISOLATION" First European Conference on Earthquake Engineering and Seismology, Geneva, Switzerland, 3-8 September 2006

[39] Trevor E Kelly (2001); “Base Isolation Design Guidelines” Holmes Consulting Group.

[40] Robert. D. Hanson, TSU T. Soong; “Seismic design with supplemental energy dissipation devices” published by Earthquake Engineering Research Institute

[41] Trevor E Kelly Holmes Consulting Group (2001), Damper Design Guidelines.

[42].I. H. Mualla, L.O. Nielsen, B. Belev, W. I. Liao, C. H. Loh, A. Agrawal. “PERFORMANCE OF FRICTION-DAMPED FRAME STRUCTURE: SHAKING TABLE TESTING AND NUMERICAL SIMULATIONS”.

[43] C. PasquinA, N. Leboeuf, T. Pall(2002) “FRICTION DAMPERS FOR SEISMIC REHABILITATION OF EATON BUILDING, MONTREAL” 4th Structural Specialty Conference of the Canadian Society for Civil Engineering Montréal, Québec, Canada, June 5-8

[44] Yeong-Bin Yang, Kuo-Chun Chang, Jong-Dar Yau; “Earthquake Engineering Seismology to Performance-Base” Handbook

[45] A. Whittaker, M. Constantinou; “Earthquake Engineering Seismology to Performance-Base” Handbook (Chapter 12: Seismic Energy Dissipation Systems for Buildings).

[46] FEMA274; "GLOBAL TOPICS REPORT ON THE PRESTANDARD AND COMMENTARY FOR THE SEISMIC REHABILITATION OF BUILDINGS"

[47] FEMA356, PRESTANDARD AND COMMENTARY FOR THE SEISMIC REHABILITATION OF BUILDINGS.

[48] Manual for Restoration and Retrofitting of Rural Structures in Kashmir, For Reducing Vulnerability of Existing Structures of Earthquake Affected Areas of Jammu and Kashmir, UNESCO New Delhi.

[49] John D.Gillengerten, "THE SEISMIC DESIGN HANDBOOK,Farzad Naeim", Chapter13,2nd Edition.

[50] Fema-172 (1992) "NEHRP Handbook of Techniques for the Seismic Rehabilitation of Existing Buildings"

[51] Fema-74 (1994) "Reducing the Risks of Nonstructural Earthquake Damage".

[52] Chen .Wai-Fah, Scawthorn.Ch,(2002) "Earthquake Engineering Handbook,Chen", Chapter20.

[53] FEMA-413 (2004) "INSTALLING SEISMIC RESTRAINTS FOR ELECTRICAL EQUIPMENT"

[54] FEMA-412 (2002) "INSTALLING SEISMIC RESTRAINTS FOR MECHANICAL EQUIPMENT"

[55] FEMA-414 (2004) "INSTALLING SEISMIC RESTRAINTS FOR DUCT AND PIPE"

[۵۶] براجا. ام. داس "اصول مهندسی ژئوتکنیک" جلد دوم. ترجمه مهندس شاپور طاحونی.

[۵۷] مهندس شاپور طاحونی "طراحی ساختمان‌های بتن مسلح بر مبنای آیین‌نامه بتن ایران" انتشارات دانشگاه تهران.

[۵۸] نشریه شماره ۳۴۵ راهنمای طراحی و ضوابط اجرایی بهسازی ساختمانهای بتنی موجود با استفاده از مصالح تقویتی

FRP

[۶۰] مبحث ۱۰ مقررات ملی ساختمان، طرح و اجرای ساختمانهای فولادی، ۱۳۸۷.

[۶۱] مهندس شاپور طاحونی "طراحی ساختمانهای فولادی بر مبنای آیین‌نامه فولاد ایران" انتشارات علم و ادب.

[۶۲] مهندس شاپور طاحونی "طراحی سازه‌های بتن مسلح بر مبنای ACI" جلد دوم.

[۶۳] دکتر علیرضا رهایی و مهندس سعید نعمتی "ارزیابی عملکرد و روش‌های مقاوم‌سازی سازه‌های بتنی".

[۶۴] مهندس شاپور طاحونی "راهنمای جوش و اتصالات جوشی" ساختمانهای فولادی ۱۳۸۶

[۶۵] پایان‌نامه دکترا، دکتر مهدی شریفی، استاد راهنما دکتر مرتضی زاهدی "بررسی ضوابط پیشنهادی کمیته SAC در مورد اتصالات جوشی" زمستان ۱۳۸۳.

[۶۶] نشریه ۲۶۴ "آیین‌نامه اتصالات در سازه‌های فولادی" ساختمانهای فولادی ۱۳۸۶

[۶۷] آیین‌نامه زلزله ایران، ۲۸۰۰. ویرایش ۱۳۸۴

[۶۸] جزئیات اجرایی بهسازی لرزه‌ای ساختمانهای موجود، دفتر امور فنی و تدوین معیارهای سازمان مدیریت، پژوهشگاه بین‌المللی زلزله شناسی و مهندسی زلزله

[۶۹] نشریه ۱۲۰، آیین‌نامه بتن ایران (آب)، سازمان مدیریت و برنامه‌ریزی، دفتر امور فنی.

[۷۰] نشریه ۳۶۰، (۱۳۸۵)، "دستورالعمل بهسازی لرزه‌ای ساختمان‌های موجود" معاونت امور فنی سازمان مدیریت و برنامه‌ریزی.

[۷۱] نشریه ۳۷۶، دستورالعمل بهسازی لرزه‌ای ساختمان‌های بنایی غیرمسلح موجود.

[۷۲] نشریه ۳۴۵، راهنمای طراحی و ضوابط اجرایی بهسازی ساختمان‌های بتی موجود با استفاده از مصالح تقویتی FRP

[۷۳] ساختمان‌های کوچک در مناطق لرزه‌خیز، تألیف دکتر حجت الله عادلی، آذر ۱۳۶۲

[۷۴] شاپور طاحونی، امیرپیمان زندی(۱۳۸۳)"اتصالات در سازه‌های فولادی" چاپ ششم.



## خواننده گرامی

دفتر نظام فنی اجرایی معاونت برنامه‌ریزی و نظارت راهبردی رییس جمهور، با گذشت بیش از سی سال فعالیت تحقیقاتی و مطالعاتی خود، افرون بر چهارصد عنوان نشریه تخصصی-فنی، در قالب آیننامه، ضابطه، معیار، دستورالعمل، مشخصات فنی عمومی و مقاله، به صورت تالیف و ترجمه، تهیه و ابلاغ کرده است. نشریه پیوست در راستای موارد یاد شده تهیه شده، تا در راه نیل به توسعه و گسترش علوم در کشور و بهبود فعالیت‌های عمرانی به کار برده شود. فهرست نشریات منتشر شده در سال‌های اخیر در سایت اینترنتی

قابل دستیابی می‌باشد. [nezamfanni.ir](http://nezamfanni.ir)

دفتر نظام فنی اجرایی

**Islamic Republic of Iran  
Vice presidency for Strategic Planning and Supervision**

# **Guideline and Details for Seismic Rehabilitation of Existent Building**

**No. 524**

**2011**

## این نشریه:

ارائه جزئیات مناسب برای بهسازی لرزه‌ای ساختمان‌ها می‌باشد. رویکردها و انواع روش‌های بهسازی لرزه‌ای ساختمان‌های موجود از دیگر موارد ذکر شده در این نشریه می‌باشد.